



COMPLETAMENTO DELL'INTERVENTO DI EDILIZIA ABITATIVA SOSTITUTIVA PER LA
REALIZZAZIONE DI 126 ALLOGGI IN VIA CUPA SPINELLI - CIRCOSCRIZIONE
CHIAIANO

1° LOTTO FUNZIONALE - CUP: B62J01000030008

PROGETTO ESECUTIVO

PROGETTAZIONE ATI: INGEGNERIA e SVILUPPO S.R.L. - ING. SERGIO CAMERA



San Vitaliano (NA)
Via Nazionale delle Puglie n. 283
Telefono 0815198672
e-mail info@iesingegneria.com
pec info@pec.iesingegneria.com
CI e P.IVA n. 07918340634

COORDINAMENTO DEL PROGETTO
Ing. ANTONIO RUSSO



DIRETTORE DEI LAVORI: Ing. SERGIO CAMERA
INTEGRAZIONI SPECIALIS.: Ing. FRANCESCO SIRIGNANO
GRUPPO DI LAVORO:
Arch. VINCENZO RUSSO
Ing. PASQUALINO DE LAURENTIIS
Arch. MADDALENA GAGLIONE
Geom. VINCENZO AUTORINO

COMMITTENTE:

Comune di Napoli
Area Trasformazione del Territorio
Servizio Edilizia Residenziale Pubblica e Nuove Centralità

Dirigente:
Arch. PAOLA CEROTTO

RUP:
Ing. GIOVANNI DE CARLO

APPROVAZIONI:

OGGETTO:

RELAZIONE GEOTECNICA E SULLE
FONDAZIONE

ELABORATO:

ST/A-06

SCALA: --
COMMESSA: I122_08
REDAZIONE: CAP
VERIFICA: SIR
APPROVAZIONE: ARU

01	OTTOBRE 2020	REVISIONE	PDL	SIR	ARU	RUP
Rev	Data	Motivazione	Redatto	Verificato	Approvato	Autorizzato

Sommario

Sommario	1
1 Normativa di riferimento	2
2 Premessa	2
3 Descrizione delle opere in sito	4
Risposta sismica locale	4
Parametri di analisi	5
4 Problemi geotecnici e scelte tipologiche	7
Tipologia di fondazione	7
4.1 Elementi di fondazione	8
4.1.1 Fondazioni profonde	8
4.1.2 Carico limite pali	8
4.2 Preferenze del suolo	9
5 Modellazione del sottosuolo e metodi di analisi e di verifica	10
Modello di fondazione	10
Formulazione di Calcolo	12
Procedura operativa di calcolo	13
Note	13
6 Verifiche delle fondazioni	14
6.1 Verifiche travate C.A.	14
6.2 Verifiche platea C.A.	122
6.3 Verifiche pali	126
6.4 Cedimenti	204
6.4.1 Cedimenti pali estremi	204
6.4.2 Cedimenti pali in combinazioni di carico	204
7 Conclusioni	222

1 Normativa di riferimento

- ✓ **NORME TECNICHE PER LE COSTRUZIONI NTC 2018**
Aggiornamento delle Norme tecniche per le costruzioni D.M. 17 gennaio 2018.
- ✓ **CONSIGLIO SUPERIORE DEI LAVORI PUBBLICI**
Istruzioni per l'applicazione dell' "Aggiornamento delle "Norme tecniche per le costruzioni"" di cui al D.M. 17/01/ 2018. Circolare 21 gennaio 2019, n.7.
- ✓ **CONSIGLIO SUPERIORE DEI LAVORI PUBBLICI**
Pericolosità sismica e Criteri generali per la classificazione sismica del territorio nazionale. Allegato al voto n. 36 del 27.07.2007
- ✓ **NORMA TECNICA UNI EN 1997-1:2005 (EUROCODICE 7 - PROGETTAZIONE GEOTECNICA)**
Progettazione geotecnica - Parte 1: Regole generali.
- ✓ **EUROCODICE 8**
Indicazioni progettuali per la resistenza sismica delle strutture - Parte 5: Fondazioni, strutture di contenimento ed aspetti geotecnici.
- ✓ **D.M. 11/03/1988**
Norme tecniche riguardanti le indagini sui terreni e sulle rocce, la stabilità dei pendii naturali e delle scarpate, i criteri generali e le prescrizioni per la progettazione, l'esecuzione e il collaudo delle opere di sostegno delle terre e delle opere di fondazione (norma possibile se si opera in Zona sismica 4, attuali Classi I e II).

2 Premessa

Con la presente relazione si sono analizzate le caratteristiche dei terreni di fondazione ai lavori di "Completamento dell'intervento di edilizia abitativa sostitutiva per la realizzazione di 126 alloggi in via Cupa Spinelli – Chiaiano (NA) – 1° Lotto Funzionale"; in particolare la presente riguarda le opere fondali di due corpi di fabbrica, denominati Fabbricato A e Fabbricato B, dotati di giunto tecnico in elevazione mentre la fondazioni sarà unica e del tipo profondo su n. 108 pali del diametro di 60 cm e di lunghezza 18 m.

In essa si riportano le caratteristiche del modello geotecnico, i metodi di calcolo adottati ed i risultati delle le analisi svolte per le verifiche delle opere di fondazione supportando la progettazione strutturale. Per la definizione del modello geotecnico di calcolo si è fatto riferimento a quanto determinato nell'ambito della relazione geologica redatta dal dott. geol. Daniela VIAPPIANI, per quanto concerne la definizione delle azioni di calcolo trasmesse dalla struttura in elevazione alle opere di fondazione queste sono state ricavate direttamente dai risultati dell'analisi della struttura in elevazione.

Indagini geognostiche

Il programma di indagini è stato condotto al fine di ottenere un quadro chiaro sui rapporti geo-stratigrafici dei terreni e di caratterizzarne i principali parametri geologici e geo-meccanici.

Il sito di intervento è stato già oggetto di diverse campagne di indagini geognostiche e studi geologici a supporto del progetto edificatorio "Appalto integrato concernente la progettazione esecutiva e l'esecuzione dei lavori di edilizia sostitutiva per la demolizione/costruzione di n. 126 alloggi realizzati con i fondi della L. 219/81 e 25/80, in prefabbricazione pesante in Via Cupa Spinelli di cui le attuali opere da realizzare ne rappresentano un completamento ", ritenuti attuali e pertinenti alla finalità del presente lavoro. I dati stratigrafici e geotecnici disponibili per il sito in esame sono stati integrati, in ragione della quantità di dati esistenti e delle limitate risorse economiche, con una prospezione geofisica di superficie nell'ambito del sito in cui è prevista la realizzazione dei nuovi fabbricati.

I dati esistenti e consultati si riferiscono ad indagini geognostiche eseguite nella medesima area durante le campagne di indagini effettuate nel 2003 e nel 2006 per lo studio geologico per il citato Appalto Integrato, a cui si rimanda per eventuali approfondimenti. Delle numerose indagini eseguite sono state riesaminate le risultanze di sondaggi e prove in sito più prossimi alle zone di intervento per i Fabbricati A e B, come rappresentato nella planimetria ubicazionale e nella tabella riassuntiva a seguire.



FIG.1 Carta dell'ubicazione delle indagini in sito pregresse estratta da relazione geologica per APPALTO INTEGRATO CONCERNENTE LA PROGETTAZIONE ESECUTIVA E L'ESECUZIONE DEI LAVORI DI EDILIZIA SOSTITUTIVA PER LA DEMOLIZIONE/COSTRUZIONE DI N. 126 ALLOGGI REALIZZATI CON I FONDI DELLA L. 219/81 E 25/80 IN PREFABBRICAZIONE PESANTE IN VIA CUPA SPINELLI CHIAIANO – NAPOLI

Campagna Indagini 2003				
Sigla	Profondità m	Sigla campione indisturbato	Intervallo di profondità	Quantità prove SPT
S2	26.00	/	/	5
		/	/	6
S6	30.00	/	/	
CPT4	22.20			
CPT5	16.20			
CPT6	22.60			
Campagna Indagini 2006				
Sigla	Profondità m	Sigla campione indisturbato	Intervallo di profondità	Quantità prove SPT
S1	30.00	CI1	5.30-5.75	6
		CI2	10.0-10.55	5
S2	30.00	CI1	4.80-5.30	
CPT1	18.20			
CPT2	16.60			

Tab.1 Sondaggi e prove delle precedenti campagne di indagini in sito

Modello geotecnico di analisi

Il profilo geologico dei terreni investigati, dedotto dallo studio geologico-tecnico con relative indagini è rappresentato dalla seguente tabella:

Descrizione	Natura geologica	Coesione (c')	Coesione non drenata (Cu)	Angolo di attrito interno ϕ	Angolo di attrito di interfaccia δ	Coeff. α di adesione della coesione (0;1)	Coeff. di spinta K0	γ naturale	γ saturo	E	v	Qualità roccia RQD (0;1)
Orizzonte 1	Generico	0	0	30	20	1	0.5	0.0013	0.0017	500	0.32	0
Orizzonte 2	Generico	0	0	34	22	1	0.44	0.0014	0.0018	900	0.3	0
Orizzonte 3	Generico	0	0	40	30	1	0.36	0.0015	0.0019	900	0.3	0

Descrizione: descrizione o nome assegnato all'elemento.

Coesione: coesione efficace del terreno. [daN/cm²]

Coesione non drenata: coesione non drenata (Cu) del terreno, per terreni eminentemente coesivi. [daN/cm²]

Attrito interno: angolo di attrito interno del terreno. [deg]

δ : angolo di attrito all'interfaccia terreno-cla. [deg]

Coeff. di Adesione: coeff. di adesione della coesione all'interfaccia terreno-cla, compreso tra 0 ed 1. Il valore è adimensionale.

Coeff. di spinta K0: coefficiente di spinta a riposo del terreno. Il valore è adimensionale.

γ naturale: peso specifico naturale del terreno in sito, assegnato alle zone non immerse. [daN/cm³]

γ saturo: peso specifico saturo del terreno in sito, assegnato alle zone immerse. [daN/cm³]

E: modulo elastico longitudinale del terreno. [daN/cm²]

v: coefficiente di Poisson del terreno. Il valore è adimensionale.

Rqd: rock quality degree. Per roccia assume valori nell'intervallo (0;1). Il valore convenzionale 0 indica che si tratta di un terreno sciolto. Il valore è adimensionale.

Permeabilità Kh: permeabilità orizzontale. Permeabilità orizzontale del terreno. [cm/s]

Permeabilità Kv: permeabilità verticale. Permeabilità verticale del terreno. [cm/s]

Dal modello geologico si ricava il modello geotecnico che di seguito viene rappresentato

Terreno	Sp.	Liqf	Kor,i	Kor,s	Kve,i	Kve,s	Eel,s	Eel,i	Eed,s	Eed,i	CC,s	CC,i	CR,s	CR,i	E0,s	E0,i	OCR,s	OCR,i
Orizzonte 1	500	No	1.5	1	1	1	500	500	400	400	0	0	0	0	0	0	1	1
Orizzonte 2	700	No	1.5	1	1	1	900	900	800	800	0	0	0	0	0	0	1	1
Orizzonte 3	1000	No	1.5	1	1	1	900	900	0	0	0	0	0	0	0	0	1	1

Stratigrafie

Terreno: terreno mediamente uniforme presente nello strato.

Sp.: spessore dello strato. [cm]

Liqf: indica se considerare lo strato come liquefacibile nelle combinazioni sismiche.

Kor,i: coefficiente K orizzontale al livello inferiore dello strato per modellazione palo. [daN/cm³]

Kor,s: coefficiente K orizzontale al livello superiore dello strato per modellazione palo. [daN/cm³]

Kve,i: coefficiente K verticale al livello inferiore dello strato per modellazione palo. [daN/cm³]

Kve,s: coefficiente K verticale al livello superiore dello strato per modellazione palo. [daN/cm³]

Eel,s: modulo elastico al livello superiore dello strato per calcolo cedimenti istantanei; 0 per non calcolarli. [daN/cm²]

Eel,i: modulo elastico al livello inferiore dello strato per calcolo cedimenti istantanei; 0 per non calcolarli. [daN/cm²]

Eed,s: modulo edometrico al livello superiore per calcolo cedimenti complessivi; 0 per non calcolarli. [daN/cm²]

Eed,i: modulo edometrico al livello inferiore per calcolo cedimenti complessivi; 0 per non calcolarli. [daN/cm²]

CC,s: coefficiente di compressione vergine CC al livello superiore per calcolo cedimenti di consolidazione; 0 per non calcolarli. Il valore è adimensionale.

CC,i: coefficiente di compressione vergine CC al livello inferiore per calcolo cedimenti di consolidazione; 0 per non calcolarli. Il valore è adimensionale.

CR,s: coefficiente di ricomprensione CR al livello superiore per calcolo cedimenti di consolidazione; 0 per non calcolarli. Il valore è adimensionale.

CR,i: coefficiente di ricomprensione CR al livello inferiore per calcolo cedimenti di consolidazione; 0 per non calcolarli. Il valore è adimensionale.

E0,s: indice dei vuoti E0 al livello superiore per calcolo cedimenti di consolidazione. Il valore è adimensionale.

E0,i: indice dei vuoti E0 al livello inferiore per calcolo cedimenti di consolidazione. Il valore è adimensionale.

OCR,s: indice di sovraconsolidazione OCR al livello superiore per calcolo cedimenti di consolidazione; 1 per terreno NC. Il valore è adimensionale.

OCR,i: indice di sovraconsolidazione OCR al livello inferiore per calcolo cedimenti di consolidazione; 1 per terreno NC. Il valore è adimensionale.

Inoltre, come riportato nella relazione geologica-tecnica svolta in ottemperanza alle norme tecniche del D.M.17/01/2018 e circolare 7/19, è stata effettuata un'indagine per la determinazione della categoria di suolo mediante modellazione sismica del sito con determinazione della velocità equivalente, **Vs,eq**, nel caso in esame pari a 321 m/s, classificando i terreni investigati come appartenenti alla categoria di suolo **C**: Depositi di terreni a grana grossa mediamente addensati o terreni a grana fina mediamente consistenti con profondità del substrato superiori a 30 m, caratterizzati da un miglioramento delle proprietà meccaniche con la profondità e da valori di velocità equivalente compresi tra 180 m/s e 360 m/s.

3 Descrizione delle opere in sito

La **struttura in oggetto** è stata analizzata secondo la norma D.M. 17-01-18 (N.T.C.), considerandola come tipo di costruzione 2 - Costruzioni con livelli di prestazioni ordinari. In particolare si è prevista, in accordo con il committente, una vita nominale dell'opera di $V_n=50$ anni per una classe d'uso II, e quindi una vita di riferimento di 50 anni (NTC18 e NTC08 §2.4.3).

L'opera è edificata in località Napoli; Latitudine ED50 40,863° (40° 51' 47"); Longitudine ED50 14,2767° (14° 16' 36"); Altitudine s.l.m. 18,6 m. (coordinate esatte: 40,863 14,2767).

La pericolosità sismica di base del sito di costruzione è definita in termini di accelerazione orizzontale massima attesa al suolo in condizioni ideali su sito di riferimento rigido e superficie topografica orizzontale. Le azioni di progetto si ricavano, ai sensi delle NTC, dalle accelerazioni a_g e dalle relative forme spettrali. I tre parametri fondamentali (accelerazione a_g , fattore di amplificazione F_o e periodo T^*C) si ricavano per ciascun nodo del del reticolo di riferimento in funzione del periodo di ritorno dell'azione sismica TR previsto, espresso in anni; quest'ultimo è noto una volta fissate la vita di riferimento V_r della costruzione e la probabilità di superamento attesa nell'arco della vita di riferimento. Le probabilità di superamento nel periodo di riferimento P_{Vr} cui riferirsi per individuare l'azione sismica agente in ciascuno degli stati limite considerati sono riportate nella tabella 3.2.I del §3.2.1 della norma; i valori di P_{Vr} forniti in tabella possono essere ridotti in funzione del grado di protezione che si vuole raggiungere.

Nella presente progettazione si sono considerati i seguenti parametri sismici:

PVr SLD (%)	63	
Tr SLD	50	
Ag/g SLD	0.0595	
Fo SLD	2.336	
Tc* SLD	0.31	[s]
PVr SLV (%)	10	
Tr SLV	475	
Ag/g SLV	0.1677	
Fo SLV	2.374	
Tc* SLV	0.339	[s]

Risposta sismica locale

Le condizioni stratigrafiche del volume di terreno interessato dall'opera e le condizioni topografiche concorrono a modificare l'azione sismica in superficie rispetto a quella attesa su un sito rigido con superficie orizzontale. Tali modifiche, in ampiezza, durata e contenuto in frequenza, sono il risultato della risposta sismica locale. Gli effetti stratigrafici sono legati alla successione stratigrafica, alle proprietà meccaniche dei terreni, alla geometria del contatto tra il substrato rigido e i terreni sovrastanti ed alla geometria dei contatti tra gli strati di terreno. Gli effetti topografici sono invece legati alla configurazione topografica del piano campagna ed alla possibile focalizzazione delle onde sismiche in punti particolari (pendii, creste). Nella presente progettazione l'effetto della risposta sismica locale è stato valutato individuando la categoria di sottosuolo di riferimento corrispondente alla situazione in sito e considerando le condizioni topografiche locali (NTC18 e NTC08 §3.2.2). Per la valutazione del coefficiente di amplificazione stratigrafica SS la caratterizzazione geotecnica condotta nel volume significativo consente di identificare il sottosuolo prevalente nella categoria C - Depositi di terreni a grana grossa mediamente addensati o terreni a grana fina mediamente consistenti. Si riporta per completezza la corrispondente descrizione indicata nella norma (NTC18 e NTC08 Tab. 3.2.II).

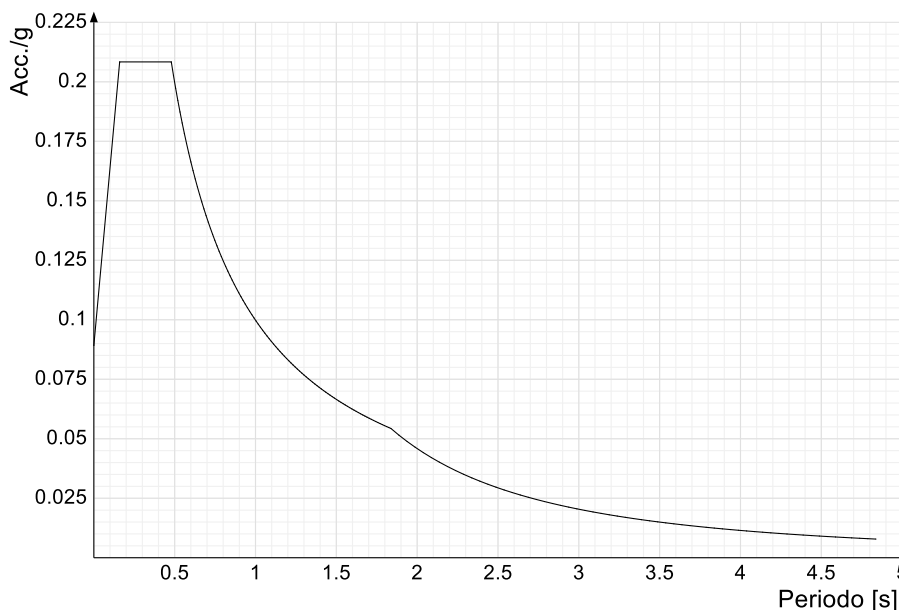
Categoria suolo C: Depositi di terreni a grana grossa mediamente addensati o terreni a grana fina mediamente consistenti con profondità del substrato superiori a 30 m, caratterizzati da un miglioramento delle proprietà meccaniche con la profondità e da valori di velocità equivalente compresi tra 180 m/s e 360 m/s.

Categoria topografica T1: Superficie pianeggiante, pendii e rilievi isolati con inclinazione media $i \leq 15^\circ$

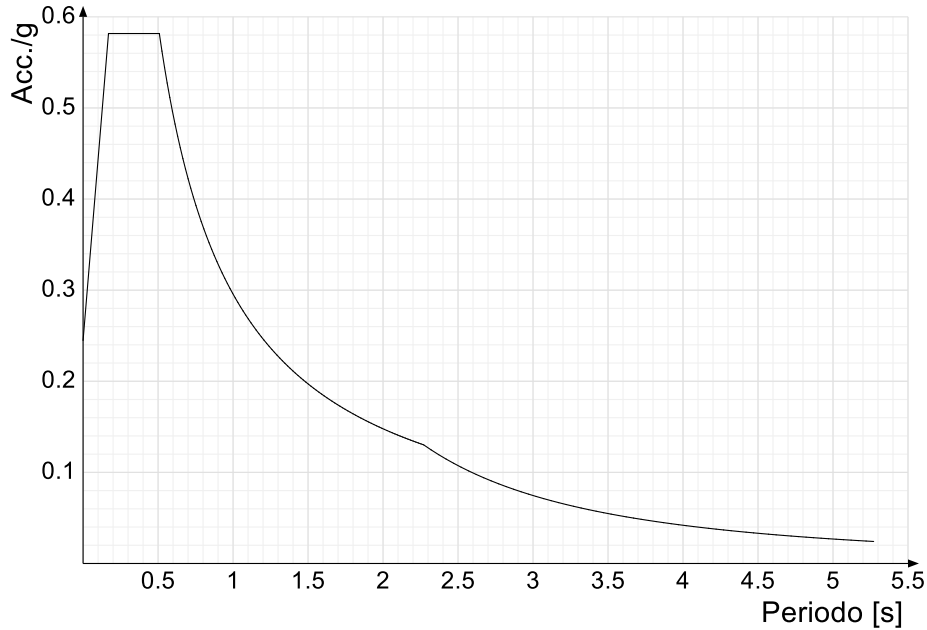
In base alle categorie scelte si sono infine adottati i seguenti coefficienti di amplificazione e spettrali:

Si riportano infine gli spettri di risposta elastici delle componenti orizzontali per gli stati limite considerati.

Viene mostrato lo spettro "Spettro di risposta elastico in accelerazione delle componenti orizzontali SLD § 3.2.3.2.1 [3.2.2]".



Viene mostrato lo spettro "Spettro di risposta elastico in accelerazione delle componenti orizzontali SLV § 3.2.3.2.1 [3.2.2]".



Parametri di analisi

Si è condotta una analisi di tipo Lineare dinamica su una costruzione di calcestruzzo.

Le parti strutturali in c.a. sono inquadrabili nella tipologia Strutture miste equivalenti a pareti $q_0=3.0 \cdot \alpha_u/\alpha_1$, con rapporto α_u/α_1 corrispondente a Strutture a pareti accoppiate o miste equivalenti a pareti $\alpha_u/\alpha_1=(1.0+1.2)/2$.

Si è considerata una classe di duttilità CD"B", a cui corrispondono per la struttura in esame i seguenti fattori di struttura:

Fattore di comportamento per sisma SLD X	1.41
Fattore di comportamento per sisma SLD Y	1.41
Fattore di comportamento per sisma SLV X	2.11
Fattore di comportamento per sisma SLV Y	2.11

Altri parametri che influenzano l'azione sismica di progetto sono riassunti in questo prospetto:

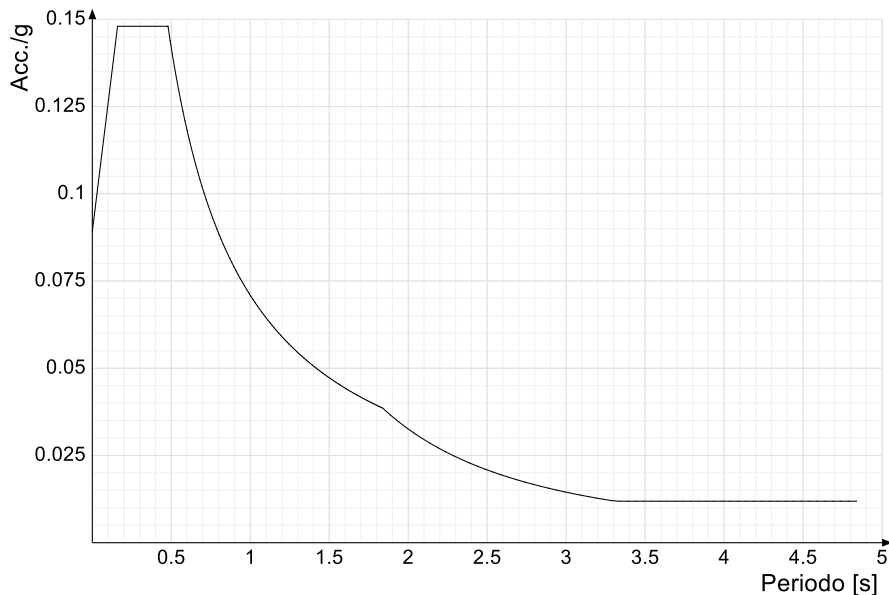
Smorzamento viscoso (%)	5	
Rotazione del sisma	0	[deg]
Quota dello '0' sismico	300	[cm]

Nell'analisi dinamica modale si sono analizzati 15 modi di vibrare valutati secondo il metodo di Ritz.

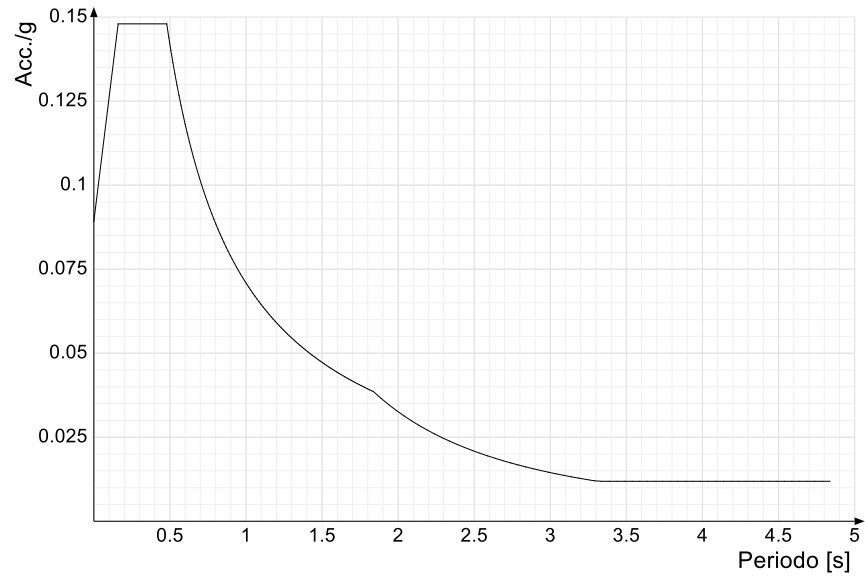
Per tenere conto della variabilità spaziale del moto sismico, nonché di eventuali incertezze nella localizzazione delle masse, la normativa richiede di attribuire al centro di massa una eccentricità accidentale (NTC18 e NTC08 §7.2.6), in aggiunta alla eccentricità naturale della costruzione, mediante l'applicazione di carichi statici costituiti da momenti torcenti di valore pari alla risultante orizzontale della forza agente al piano, moltiplicata per l'eccentricità accidentale del baricentro delle masse rispetto alla sua posizione di calcolo. La torsione accidentale è stata applicata anche ai nodi della struttura appartenenti a piani flessibili, in aggiunta a quella sui piani dichiarati come infinitamente rigidi.

Si riportano infine gli spettri di risposta di progetto delle componenti orizzontali per gli stati limite considerati.

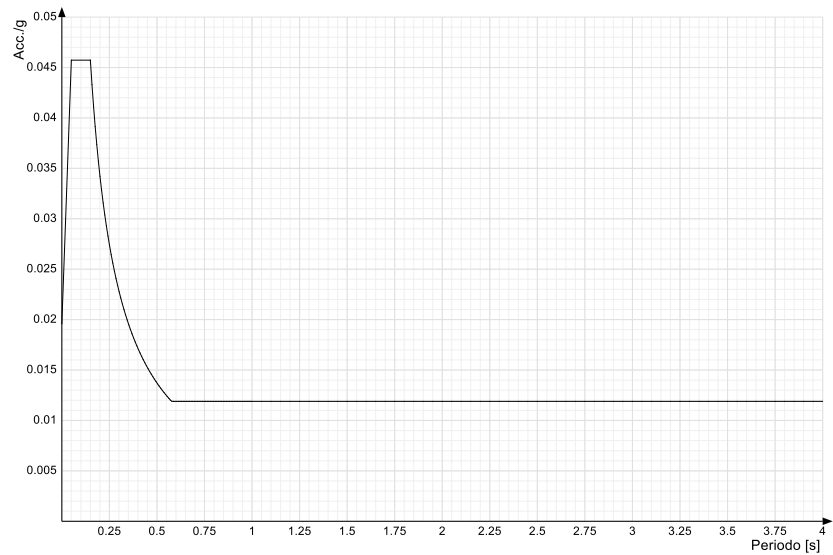
Viene mostrato lo spettro "Spettro di risposta di progetto in accelerazione della componente X SLD § 3.2.3.5".



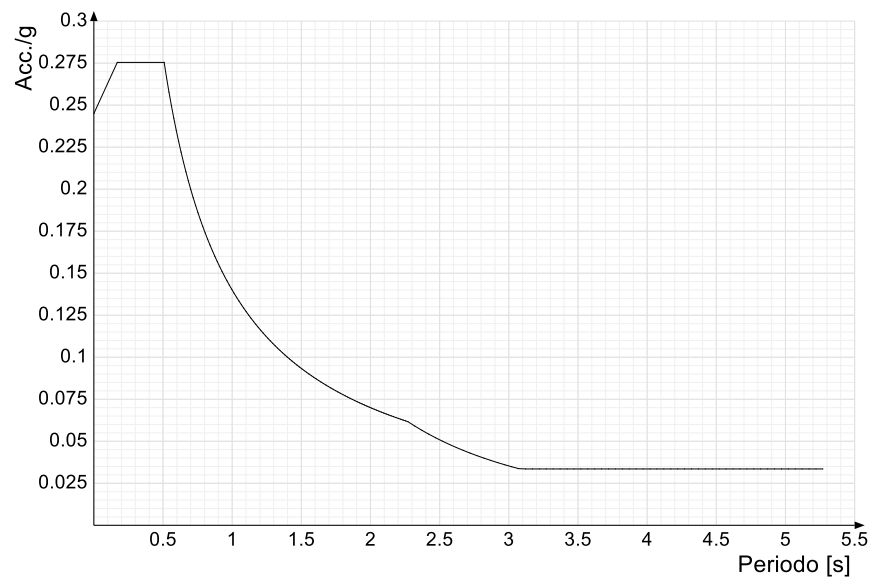
Viene mostrato lo spettro "Spettro di risposta di progetto in accelerazione della componente Y SLD § 3.2.3.5".



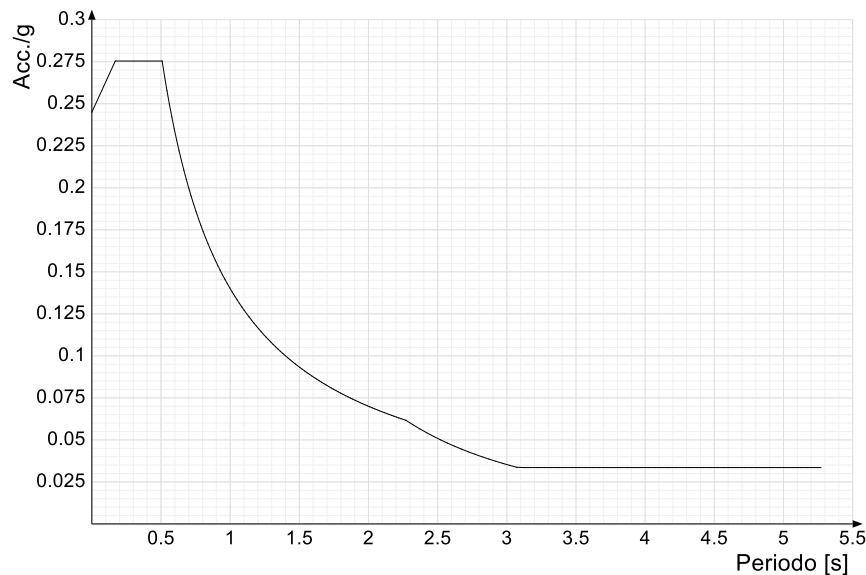
Viene mostrato lo spettro "Spettro di risposta di progetto in accelerazione della componente verticale SLD § 3.2.3.5".



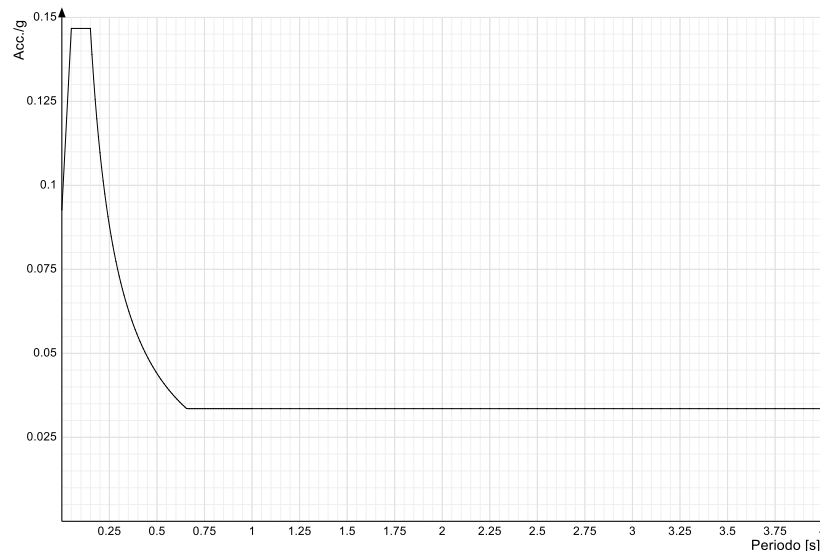
Viene mostrato lo spettro "Spettro di risposta di progetto in accelerazione della componente X SLV § 3.2.3.5".



Viene mostrato lo spettro "Spettro di risposta di progetto in accelerazione della componente Y SLV § 3.2.3.5".



Viene mostrato lo spettro "Spettro di risposta di progetto in accelerazione della componente verticale SLV § 3.2.3.5".



4 Problemi geotecnici e scelte tipologiche

Tipologia di fondazione

Il sistema fondale previsto sarà di tipo profondo con pali di fondazione del diametro di 60 cm e lunghezza di 18,00 m, che chi collegano in sommità a platee di spessore 80 cm e travi di dimensione 90x80 cm (L x H), attestate ad una profondità di circa – 1,20 m (compreso il magrone di spessore 20 cm) dalla quota di riferimento del progetto architettonico.

Nella modellazione si è considerata la presenza di fondazioni profonde, schematizzando il suolo con un letto di molle elastiche di assegnata rigidezza. In direzione orizzontale si è considerata una rigidezza pari a 0.5 volte quella verticale.

I valori di default dei parametri di modellazione del suolo, cioè quelli adottati dove non diversamente specificato, sono i seguenti:

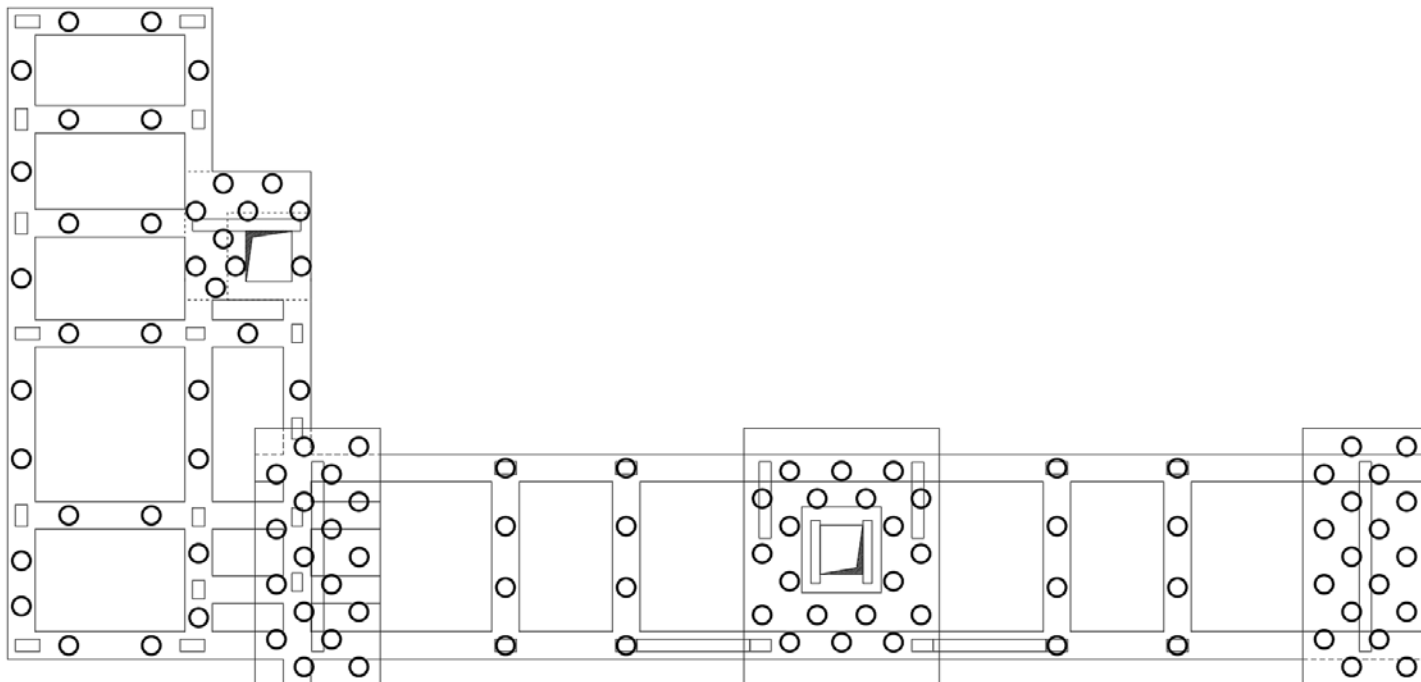
Coefficiente di sottofondo verticale per fondazioni superficiali (default)	2	[daN/cm ³]
K punta palo (default)	4	[daN/cm ³]
Pressione limite punta palo (default)	10	[daN/cm ²]

Per elementi nei quali si sono valutati i parametri geotecnici in funzione della stratigrafia sottostante si sono adottate le seguenti formulazioni di letteratura:

Metodo di calcolo della K verticale	Vesic
Metodo di calcolo della capacità portante	Terzaghi
Metodo di calcolo della pressione limite punta palo	Vesic

La resistenza limite offerta dai pali in direzione orizzontale e verticale è funzione dell'attrito e della coesione che si può sviluppare all'interfaccia con il terreno. Oltre ai dati del suolo, descritti nelle seguenti stratigrafie, hanno influenza anche i seguenti parametri:

Coefficiente di sicurezza per carico limite (fondazioni superficiali)	2.3
Coefficiente di sicurezza per scorrimento (fondazioni superficiali)	1.1
Coefficiente di sicurezza portanza verticale pali infissi, punta	1.15
Coefficiente di sicurezza portanza verticale pali infissi, laterale compressione	1.15
Coefficiente di sicurezza portanza verticale pali infissi, laterale trazione	1.25
Coefficiente di sicurezza portanza verticale pali trivellati, punta	1.35
Coefficiente di sicurezza portanza verticale pali trivellati, laterale compressione	1.15
Coefficiente di sicurezza portanza verticale pali trivellati, laterale trazione	1.25
Coefficiente di sicurezza portanza verticale micropali, punta	1.35
Coefficiente di sicurezza portanza verticale micropali, laterale compressione	1.15
Coefficiente di sicurezza portanza verticale micropali, laterale trazione	1.25
Fattore di correlazione resistenza caratteristica dei pali in base alle verticali indagate	1.6



Rappresentazione in pianta di tutti gli elementi strutturali di fondazione.

4.1 Elementi di fondazione

4.1.1 Fondazioni profonde

Descrizione breve: descrizione breve usata nelle tabelle dei capitoli dei pali e plinti su pali.

Stratigrafia: stratigrafia del terreno nel punto medio in pianta dell'elemento.

Sondaggio: è possibile indicare esplicitamente un sondaggio definito nelle preferenze oppure richiedere di estrapolare il sondaggio dalla definizione del sito espressa nelle preferenze.

Estradosso: distanza dalla quota superiore del sondaggio misurata in verticale con verso positivo verso l'alto. [cm]

Deformazione volumetrica: valore della deformazione volumetrica impiegato nel calcolo della pressione limite a rottura con la formula di Vesic. Il valore è adimensionale. Accetta anche il valore di default espresso nelle preferenze.

K punta: coefficiente di sottofondo verticale del terreno in punta palo. [daN/cm³]

Pressione limite punta: valore limite di pressione del terreno in punta palo. [daN/cm²]

Descrizione breve	Stratigrafia			K punta	Pressione limite punta
	Sondaggio	Estradosso	Deformazione volumetrica		
FPP1	Sondaggio	0	Default (0.087)	Da Stratigrafia (6.94)	Da Stratigrafia (104.05)

4.1.2 Carico limite pali

Capacità portante palo	615522 = Default (321318) + Default (294204); 615522 = Default (321318) + Default (294204)
Laterale	Default (321318)
Punta	Default (294204)
Deformazione volumetrica	0.087
Laterale breve termine	Default (321318)
Punta breve termine	Default (294204)

4.2 Preferenze del suolo

Fondazioni non modellate e struttura bloccata alla base	no	
Fondazioni bloccate orizzontalmente	no	
Considera peso sismico delle fondazioni	no	
Fondazioni superficiali e profonde su suolo elastoplastico	no	
Coefficiente di sottofondo verticale per fondazioni superficiali (default)	2	[daN/cm ³]
Rapporto di coefficiente sottofondo orizzontale/verticale	0.5	
Pressione verticale limite sul terreno per abbassamento (default)	10	[daN/cm ²]
Pressione verticale limite sul terreno per innalzamento (default)	0.001	[daN/cm ²]
Metodo di calcolo della K verticale	Vesic	
Metodo di calcolo della portanza e della pressione limite	Terzaghi	
Terreno laterale di riporto da piano posa fondazioni (default)	Orizzonte 1	
Dimensione massima della discretizzazione del palo (default)	180	[cm]
Moltiplicatore coesione per pressione orizzontale limite nei pali	1	
Moltiplicatore spinta passiva per pressione orizzontale pali	1	
K punta palo (default)	4	[daN/cm ³]
Pressione limite punta palo (default)	10	[daN/cm ²]
Pressione per verifica schiacciamento fondazioni superficiali	6	[daN/cm ²]
Calcola cedimenti fondazioni superficiali	no	
Spessore massimo strato	100	[cm]
Profondità massima	3000	[cm]
Cedimento assoluto ammissibile	5	[cm]
Cedimento differenziale ammissibile	5	[cm]
Cedimento relativo ammissibile	5	[cm]
Rapporto di inflessione F/L ammissibile	0.003333	
Rotazione rigida ammissibile	0.191	[deg]
Rotazione assoluta ammissibile	0.191	[deg]
Distorsione positiva ammissibile	0.191	[deg]
Distorsione negativa ammissibile	0.095	[deg]
Considera fondazioni compensate	si	
Coefficiente di riduzione della a Max attesa	0.3	
Condizione per la valutazione della spinta su pareti	Lungo termine	
Considera l'azione sismica del terreno anche su pareti sotto lo zero sismico	no	
Calcola cedimenti teorici pali	si	
Considera accorciamento del palo	si	
Distanza influenza cedimento palo	180	[cm]
Distribuzione attrito laterale	Attrito laterale uniforme	
Ripartizione del carico	Ripartizione come da modello FEM	
Scelta terreno laterale	Media pesata degli strati coinvolti	
Scelta terreno punta	Primo strato incontrato	
Cedimento assoluto ammissibile	5	[cm]
Cedimento medio ammissibile	5	[cm]
Cedimento differenziale ammissibile	5	[cm]
Rotazione rigida ammissibile	0.191	[deg]
Trascura la coesione efficace in verifica allo scorrimento	no	
Considera inclinazione spinta del terreno contro pareti	no	
Esegui verifica a liquefazione	si	
Metodo di verifica liquefazione	Seed-Idriss (1982)	
Coeff. di sicurezza minimo a liquefazione	1.3	
Magnitudo scaling factor per liquefazione	1	

5 Modellazione del sottosuolo e metodi di analisi e di verifica

Modellazione del sottosuolo e metodi di analisi e di verifica: contiene la descrizione del modello di calcolo adottato per il suolo, con i relativi parametri di modellazione; sono indicati anche gli eventuali metodi adottati per ricavare i parametri di modellazione ed i metodi e le condizioni con cui sono condotte le verifiche geotecniche.

Modello di fondazione

Le travi di fondazione sono modellate tramite uno specifico elemento finito che gestisce il suolo elastico alla Winkler. Le fondazioni a plinto superficiale sono modellate con un numero elevato di molle verticali elastiche agenti su nodi collegati rigidamente al nodo centrale. Le fondazioni a platea sono modellate con l'inserimento di molle verticali elastiche agenti nei nodi delle mesh.

Il palo di fondazione è stato modellato tramite il frazionamento in più aste verticali. Nei nodi di suddivisione vengono posizionate molle assialsimmetriche elastiche denominate FLAT, che riproducono l'interazione con il terreno lungo la superficie laterale del palo. L'elemento finito denominato FLAT possiede 3 gradi di libertà, ovvero spostamento lungo l'asse del palo (verticale), spostamento planare (orizzontale), rotazione attorno all'asse (torcente). Il comportamento elastico degli elementi FLAT è dato dalle costanti elastiche orizzontali, verticali e rotazionali. Esse sono calcolate a partire dalle costanti elastiche orizzontali e verticali caratteristiche di ogni strato di terreno che compone la stratigrafia nella quale il palo è immerso. In punta al palo, in aggiunta all'elemento FLAT, viene inserita una molla elastica verticale le cui caratteristiche sono ricavate dai dati di input del palo o dalla stratigrafia.

Verifica di scorrimento

La verifica di scorrimento della fondazione superficiale viene eseguita considerando le caratteristiche del terreno immediatamente sottostante al piano di posa della fondazione, ricavato in base alla stratigrafia associata all'elemento, e trascurando, a favore di sicurezza, l'eventuale spinta passiva laterale. Qualora l'elemento in verifica sia formato da parti non omogenee tra loro, ad esempio una travata in cui le singole travi di fondazione siano associate ad un differente sondaggio, verranno condotte verifiche geotecniche distinte sui singoli tratti.

Lo scorrimento di una fondazione avviene nel momento in cui le componenti delle forze parallele al piano di contatto tra fondazione e terreno vincono l'attrito e la coesione terreno-fondazione e, qualora fosse presente, la spinta passiva laterale.

Il coefficiente di sicurezza a scorrimento si ottiene dal rapporto tra le forze stabilizzanti di progetto (R_d) e quelle instabilizzanti (E_d):

$$R_d = (N \cdot \tan(\varphi) + c_a \cdot B \cdot L + \alpha \cdot S_p) / \gamma_{Rs}$$

$$E_d = \sqrt{T_x^2 + T_y^2}$$

dove:

- N = risultante delle forze normali al piano di scorrimento;
- T_x, T_y = componenti delle forze tangenziali al piano di scorrimento;
- tan(phi) = coefficiente di attrito terreno-fondazione;
- c_a = aderenza alla base, pari alla coesione del terreno di fondazione o ad una sua frazione;
- B, L = dimensioni della fondazione;
- alpha = fattore di riduzione della spinta passiva;
- S_p = spinta passiva dell'eventuale terreno laterale;
- gamma_{rs} = fattore di sicurezza parziale per lo scorrimento;

Le normative prevedono che il fattore di sicurezza a scorrimento $FS=R_d/E_d$ sia non minore di un prefissato limite.

Verifica di capacità portante

La verifica di capacità portante della fondazione superficiale viene eseguita mediante formulazioni di letteratura geotecnica considerando le caratteristiche dei terreni sottostanti al piano di posa della fondazione, ricavati in base alla stratigrafia associata all'elemento.

Qualora l'elemento in verifica sia formato da parti non omogenee tra loro, ad esempio una travata in cui le singole travi di fondazione siano associate ad un differente sondaggio, verranno condotte verifiche geotecniche distinte sui singoli tratti.

La verifica viene fatta raffrontando la portanza di progetto (R_d) con la sollecitazione di progetto (E_d); la prima deriva dalla portanza calcolata con metodi della letteratura geotecnica, ridotta da opportuni fattori di sicurezza parziali; la seconda viene valutata ricavando la risultante della sollecitazione scaricata al suolo con una integrazione delle pressioni nel tratto di calcolo. Le normative prevedono che il fattore di sicurezza alla capacità portante, espresso come rapporto tra il carico ultimo di progetto della fondazione (R_d) ed il carico agente (E_d), sia non minore di un prefissato limite.

La portanza di una fondazione rappresenta il carico ultimo trasmissibile al suolo prima di arrivare alla rottura del terreno. Le formule di calcolo presenti in letteratura sono nate per la fondazione nastriforme indefinita ma aggiungono una serie di termini correttivi per considerare le effettive condizioni al contorno della fondazione, esprimendo la capacità portante ultima in termini di pressione limite agente su di una fondazione equivalente soggetta a carico centrato.

La determinazione della capacità portante ai fini della verifica è stata condotta secondo il metodo di Terzaghi, che viene descritto nei paragrafi successivi.

Metodo di Terzaghi

La capacità portante, attraverso la formula di Terzaghi, risulta:

$$N_c = (N_q - 1) \cdot ctg \phi; \quad N_q = \frac{e^{2(0.75\pi - \phi/2)tg\phi}}{2 \cdot \cos^2\left(45^\circ + \frac{\phi}{2}\right)}; \quad N_\gamma = \frac{tg\phi}{2} \cdot \left(\frac{K_{p\gamma}}{\cos^2\phi} - 1\right)$$

dove:

c = coesione dello strato di fondazione;
q = sovraccarico del terreno sovrastante il piano di fondazione;
gamma' = peso di volume efficace dello strato di fondazione;
B = larghezza efficace della fondazione ($B = B_f - 2e$);
Nc, Nq, Ny = fattori di capacità portante;
sc, s_gamma = fattori di forma della fondazione;

Per la teoria di Terzaghi i coefficienti sopra definiti assumono le espressioni che seguono:

$$Q_{lim} = c \cdot N_c \cdot s_c + q \cdot N_q + \frac{1}{2} \gamma' \cdot B \cdot N_\gamma \cdot s_\gamma$$

nelle quali si sono considerati i seguenti dati:

phi = angolo di attrito dello strato di fondazione;

Kpy è un valore interpolato linearmente dalla seguente tabella (phi/ Kpy), ricavata da Bowles interpretando i fattori di capacità portante di Terzaghi a ritroso: 0°/10.8; 5°/12.2; 10°/14.7; 15°/18.6; 20°/25; 25°/35; 30°/52; 35°/82; 40°/141; 45°/298; 50°/800;

I fattori di forma sc ed s_gamma valgono 1 per la fondazione nastriforme.

Influenza degli strati sulla capacità portante

Le formulazioni utilizzate per la portanza prevedono la presenza di uno stesso terreno nella zona interessata dalla potenziale rottura. In prima approssimazione lo spessore di tale zona è pari a:

$$H = \frac{1}{2} \cdot B \cdot \tan(45^\circ + \phi/2)$$

In presenza di stratificazioni di terreni diversi all'interno di tale zona, il calcolo diventa più complesso; non esiste una metodologia univoca per questi casi, differenti autori hanno proposto soluzioni diverse a seconda dei casi che si possono presentare. In prima approssimazione, nel caso di stratificazioni, viene trovata una media delle caratteristiche dei terreni, pesata sullo spessore degli strati interessati. Nel caso in cui il primo strato incontrato sia coesivo viene anche verificato che la compressione media agente sulla fondazione non superi la tensione limite di espulsione, circostanza che provocherebbe il rifluimento del terreno da sotto la fondazione, rendendo impossibile la portanza.

La tensione limite di espulsione qult per terreno coesivo viene calcolata come:

$$q_{ult} = 4c + q$$

dove c è la coesione e q è il sovraccarico agente sul piano di posa.

Influenza del sisma sulla capacità portante

La capacità portante nelle combinazioni sismiche viene valutata mediante l'estensione di procedure classiche al caso di azione sismica.

L'effetto inerziale prodotto dalla struttura in elevazione sulla fondazione può essere considerato tenendo conto dell'effetto dell'inclinazione (rapporto tra forze T parallele al piano di posa e carico normale N) e dell'eccentricità (rapporto tra momento M e carico normale N) delle azioni in fondazione, e produce variazioni di tutti i coefficienti di capacità portante del carico limite, oltre alla riduzione dell'area efficace.

L'effetto cinematico si manifesta per effetto dell'inerzia delle masse del suolo sotto la fondazione come una riduzione della resistenza teorica calcolata in condizioni statiche; tale riduzione è in funzione del coefficiente sismico orizzontale kh, cioè dell'accelerazione normalizzata massima attesa al suolo, e delle caratteristiche del suolo. L'effetto è più marcato su terreni granulari, mentre nei suoli coesivi è poco rilevante.

Per tener conto nella determinazione del carico limite di tali effetti inerziali vengono introdotti nelle combinazioni sismiche anche i fattori correttivi e (earthquake), valutati secondo **Paolucci e Pecker**:

$$e_q = \left(1 - \frac{k_h}{\tan \phi}\right)^{0.35}; \quad e_c = 1 - 0.32 \cdot k_h; \quad e_\gamma = e_q$$

Verifica di capacità portante pali

La verifica di capacità portante del palo viene eseguita raffrontando la portanza di progetto (Rd) con la sollecitazione di progetto (Ed), valutata come sforzo normale agente alla sommità del palo, compreso il peso proprio del palo. La portanza di progetto (Rd) è pari alla portanza verticale calcolata, mediante una formulazione analitica, divisa per opportuni fattori di sicurezza parziali.

La portanza verticale complessiva calcolata è data dalla somma del contributo laterale+punta, o del solo contributo laterale nel caso di palo in trazione.

La **capacità portante laterale** viene calcolata con una formulazione statica, in funzione della coesione e dell'attrito laterale dei terreni incontrati lungo il fusto del palo, valutata nel punto medio di ciascuno strato omogeneo presente. Il valore complessivo laterale è data dalla sommatoria:

$$P_v = \sum_i (\alpha \cdot c + k_0 \cdot p_v \cdot \tan \phi) \cdot S_i$$

dove si sono indicati con:

k0 il coefficiente di spinta a riposo dell'i-esimo terreno della stratigrafia

pv= Sum gamma_i*hi, la pressione litostatica verticale efficace nel punto di calcolo

po=k0 * pv, la pressione litostatica orizzontale efficace nel punto di calcolo

c, phi la coesione e l'angolo di attrito interno dell'i-esimo terreno

alpha il coefficiente di adesione della coesione all'interfaccia terreno-pali (usualmente tra 0.5÷0.8)

D il diametro di perforazione del palo

Si la superficie laterale dell'i-esimo tratto di calcolo (Pi * D * hi)

La capacità portante di punta del palo viene presa pari al prodotto tra la pressione limite di rottura in punta palo, dichiarata espressamente o calcolata con formule analitiche di letteratura, e l'area della punta del palo. Nei pali in cui si è calcolata la pressione limite con formule analitiche in funzione della stratigrafia sottostante la punta del palo, questa viene calcolata utilizzando la formulazione proposta da Vesic per la capacità portante alla punta dei pali.

Con tale formulazione i fattori di capacità portante sono:

$$N'_q = \frac{3e^{(\pi/2-\phi)\tan\phi}}{3-\sin\phi} \cdot \left[\lg\left(45 + \frac{\phi}{2}\right) \right]^2 \cdot I_{rr} \left[\frac{4\sin\phi}{3(1+\sin\phi)} \right]$$

$$N'_c = (N'_q - 1) \cdot \cot\phi$$

L'indice di rigidezza ridotto I_{rr} tiene conto della deformazione volumetrica $\epsilon_{s,v}$ raggiunta dal terreno in condizioni prossime alla rottura e riduce l'indice di rigidezza I_r teorico. Secondo la formulazione proposta da Vesic quest'ultimo è pari al rapporto tra modulo di elasticità tangenziale G e resistenza al taglio del terreno (Fondazioni, J.E.Bowles).

$$I_r = \frac{G}{c + q \cdot \tan\phi}$$

$$I_{rr} = \frac{I_r}{1 + \epsilon \cdot I_r}$$

Il valore di portanza alla punta è quindi:

$$P_{pu} = A_p \cdot \left[c \cdot N'_c + \eta \cdot q \cdot (N'_q - 1) \right]$$

dove si sono indicati con:

A_p , l'area della punta del palo

c , ϕ la coesione e l'angolo di attrito interno del terreno sottostante la punta

η , coefficiente indicato da Vesic, dato da: $(1 + 2 \cdot K_0)/3$

q sforzo verticale efficace (pressione geostatica) agente alla profondità della punta

A favore di sicurezza tale formulazione trascura il termine N'_q e considera il peso proprio del palo.

In condizioni non drenate ($c=c_u$ e $\phi=0$) il termine N'_q diventa pari a 1, mentre il termine N'_c viene assunto pari all'usuale valore (9) utilizzato per pali. In tali condizioni la portanza alla punta si semplifica in:

$$P_{pu} = A_p \cdot [9 \cdot c_u]$$

Valutazione dei Cedimenti

Il cedimento teorico sul piano di posa delle fondazioni superficiali viene calcolato per ciascuno dei punti di valutazione con le formulazioni geotecniche descritte in seguito; il suo valore dipende dalle reazioni scaricate sul terreno dall'intero modello, dalla combinazione, dalla stratigrafia presente al di sotto del punto di valutazione, dallo spessore e profondità degli strati di calcolo.

La valutazione dei cedimenti, e in generale quello delle deformazioni del suolo, è complessa, per via della natura non lineare, anisotropa e multifase dei terreni. Il calcolo rigoroso, specie in situazioni geotecniche complesse, è possibile solo con modelli matematici molto sofisticati, contenenti numerosi parametri di difficile determinazione. Tuttavia, nella maggior parte dei casi comuni, si ritiene accettabile l'applicazione di metodi di valutazione dei cedimenti semplificati, in quanto sono in grado di fornire, con un numero ridotto di parametri, una stima sufficientemente accurata. Uno dei metodi di uso più generale, indicato anche negli annessi dell'eurocodice EC7, è il metodo sforzi-deformazioni (stress-strain method). Tale metodo consente di valutare il cedimento totale di una fondazione posta su un suolo coesivo o non coesivo. I passi da eseguire e le ipotesi di calcolo possono essere così riassunte:

- determinare l'incremento di tensione lungo la verticale del punto di calcolo dovuto ai carichi agenti; questo può essere derivato sulla base della teoria dell'elasticità, assumendo in generale terreno omogeneo e isotropo;
- determinare la deformazione del suolo con la profondità, in base all'andamento del modulo di elasticità, o di altre leggi sforzi-deformazioni determinate mediante test di laboratorio;
- integrare le deformazioni verticali trovate in un numero sufficientemente elevato di punti.

L'entità del cedimento che si può calcolare varia a seconda del fenomeno considerato e della durata del carico. I metodi più comunemente usati consentono di valutare il cedimento a breve termine (istantaneo) e quello a lungo termine (di consolidazione); esistono anche metodi che valutano con procedure semiempiriche il cedimento nel suo complesso, istantaneo+consolidazione, oppure metodi che computano anche l'incremento di deformazione dovuto ai fenomeni viscosi che avvengono nel tempo (consolidazione secondaria o creep).

Formulazione di Calcolo

Il programma implementa un metodo configurabile nella famiglia sforzi-deformazioni (stress-strain method). L'incremento di tensione verticale in un qualsiasi punto del sottosuolo viene valutato sulla base della teoria dell'elasticità, diffondendo la reazione vincolare Q di ciascun nodo di fondazione mediante una espressione alla Boussinesq:

$$q_v = \frac{3 \cdot Q \cdot z^3}{2\pi \cdot R^5}$$

dove:

- q_v = incremento di tensione verticale nel punto di calcolo;
- z = profondità del punto di calcolo rispetto al carico;
- R = distanza spaziale tra punto di calcolo e punto di carico.

La pressione diffusa da piastre è discretizzata in base alle reazioni vincolari dei nodi della mesh che le rappresenta, e quindi in funzione della dimensione di meshatura; ad un passo più fitto corrisponde quindi un calcolo più preciso. La pressione diffusa da travi di fondazione è discretizzata invece in 30 tratti per ogni asta del modello, quella dai plinti superficiali è discretizzata in 25 punti. Anche le reazioni verticali nei nodi lungo il fusto dei pali concorrono all'incremento di tensione nei punti circostanti.

Noto l'andamento delle tensioni nel sottosuolo il programma determina il cedimento su un numero elevato di strati omogenei. In funzione dei dati resi disponibili può venire calcolato il cedimento elastico (istantaneo), il cedimento edometrico (complessivo), il cedimento di consolidazione primaria (differito nel tempo).

Nel **cedimento elastico** si fa uso del modulo elastico per cedimento dichiarato nella stratigrafia, interpolando linearmente il valore alla quota del centro del sottostrato di calcolo; il valore adottato per questo parametro di rigidità deve rappresentare in questo caso il comportamento non drenato o a breve termine, e può essere assegnato costante o linearmente variabile per ciascun strato del sondaggio.

Nel **cedimento edometrico** si fa uso del modulo edometrico dichiarato nella stratigrafia, interpolando linearmente il valore alla quota del centro del sottostrato di calcolo; se in uno o più punti della verticale viene trovato valore nullo del parametro, si interpreta l'assenza del dato (non potendo fisicamente essere nullo) e tale strato non contribuirà al cedimento complessivo calcolato. Si ricorda che il modulo edometrico è concettualmente diverso da un modulo elastico, e viene determinato mediante una prova edometrica (ad espansione laterale impedita) di laboratorio. Il suo valore non è una costante in quanto varia con il livello di tensione, e quindi va scelto opportunamente in funzione dell'intervallo tensionale significativo per il problema in esame. Inoltre il metodo edometrico determina un cedimento complessivo indistinto della fondazione, cioè comprendente sia il cedimento istantaneo che quello di consolidazione.

Il **cedimento di consolidazione** primaria è un fenomeno più complesso, legato all'espulsione nel tempo dell'acqua contenuta nello scheletro solido dei terreni coesivi, e conseguente riduzione dell'indice dei vuoti e della porosità. Nei terreni granulari tale fenomeno non accade ed il cedimento è prevalentemente istantaneo, mentre nei coesivi la consolidazione si completa in un tempo fortemente variabile, a seconda della permeabilità dei terreni e della posizione degli strati; questo tempo può andare da pochi giorni a decine di anni. L'entità del cedimento è fortemente non lineare e dipende dall'incremento di tensione indotto in profondità, ma anche dalla tensione massima sopportata da quel terreno in passato (nota come grado di sovraconsolidazione). Per descrivere compiutamente il fenomeno è necessaria la conoscenza di almeno 4 parametri, di determinazione sperimentale in laboratorio su provini indisturbati.

- Coefficiente di compressione vergine C_c
- Coefficiente di ricomprensione C_R
- Indice dei vuoti e_0
- Indice di sovraconsolidazione OCR (Over Consolidation Ratio)

Per la descrizione e la determinazione di questi parametri si rimanda ad un qualsiasi testo della vasta letteratura geotecnica sull'argomento. L'espressione generale del cedimento di un singolo strato, nel caso più complesso di terreno OC (sovraconsolidato) sottoposto ad una tensione superiore a quella massima sopportata in passato, è la seguente:

$$dH = \frac{H_0}{1+e_0} \cdot \left[C_R \cdot \log_{10} \frac{\sigma'_c}{\sigma'_o} + C_c \cdot \log_{10} \frac{\sigma'_o + d\sigma'}{\sigma'_c} \right]$$

dove:

- dH = cedimento dello strato
- H_0 = spessore iniziale dello strato di calcolo
- e_0 = indice dei vuoti nel centro dello strato
- C_R = coefficiente di ricomprensione
- C_c = coefficiente di compressione vergine
- σ'_o = tensione verticale efficace nello stato iniziale
- σ'_c = tensione verticale efficace massima sopportata in passato (consolidazione attuale del suolo)
- $d\sigma'$ = incremento di tensione verticale causato dai carichi

Nel caso di carico che non provoca il superamento del ginocchio σ'_c , oppure di terreno NC (normal consolidato) l'espressione è analoga ma si riduce ad avere un solo termine. Il cedimento così calcolato è quello finale, cioè quello che si ha al termine del processo di consolidazione.

Valori tipici di C_c sono compresi tra 0.1 e 0.8; C_R è dell'ordine di $1/5 \div 1/10$ del valore di C_c .

Per una stima approssimata dell'indice di compressione per argille N.C. si può ricorrere alla seguente relazione, in funzione del limite di liquidità:

$$C_c = 0,009 (w_L - 10).$$

Talvolta invece dei coefficienti si dispone dei rapporti di compressione/ricomprensione (RC e RR), che sono legati ai primi dalle espressioni:

$$RC = \frac{C_c}{1+e_0} \quad RR = \frac{C_R}{1+e_0}$$

I rapporti di compressione/ricomprensione (RC e RR) hanno lo svantaggio di dipendere dal livello tensionale, ma sono variabili su stretti campi, in genere compresi tra:

$$RC \rightarrow (0.1 \div 0.3); \quad RR \rightarrow (0.01 \div 0.04)$$

Procedura operativa di calcolo

Il cedimento viene calcolato in tutti i punti dei nodi di fondazione del modello ad elementi finiti, ed è dato dalla sommatoria dei cedimenti degli strati sottostanti il punto di valutazione, divisi in un numero adeguato di sottostrati. Per ogni sottostrato il programma calcola l'incremento di tensione nel centro strato, provocato da tutte le reazioni vincolari al suolo scaricate dalle fondazioni, superficiali e profonde. Questa procedura implica che il tempo necessario al calcolo cresce quadraticamente con il numero di nodi di fondazione, ma ha il vantaggio di considerare l'influenza di tutti i nodi sulla verticale di calcolo. Si possono calcolare i cedimenti con una o più delle tre metodologie previste, cioè cedimenti istantanei, edometrici e di consolidazione.

I primi sono solitamente impiegati su terreni granulari incoerenti. Il cedimento edometrico si basa invece sulla correlazione con un modulo di deformazione volumetrica ricavato da una semplice prova di laboratorio (prova edometrica, cioè in condizioni di espansione laterale impedita); fornisce un cedimento valutato nel suo complesso, cioè comprendente la parte istantanea più la consolidazione; il valore calcolato è attendibile quanto più il modulo edometrico è valutato sul range di tensioni che si hanno effettivamente in sito, e quanto più si è vicini alle condizioni edometriche (fondazioni estese su strati coesivi sottili). I cedimenti di consolidazione avvengono su terreni coesivi argillosi, normal o sovraconsolidati (NC o OC); per il calcolo è necessario conoscere i quattro parametri indicati nella teoria (e_0 , C_c , C_R , OCR), che si riducono a 2 nel caso di terreni NC (e_0 , C_c).

Note

- Su terreni argillosi normalconsolidati (NC) non è necessaria la conoscenza del parametro C_R , in quanto non entra in gioco nel calcolo, mentre il parametro OCR è in tal caso unitario per definizione.
- Talvolta sono noti solamente i rapporti di compressione/ricomprensione RC e RR , in questo caso è possibile porre a zero l'indice dei vuoti ($e_0=0$) ed indicare questi ultimi al posto dei coefficienti C_c e C_R . Vista la non linearità della diffusione delle tensioni e la variabilità dei parametri con la profondità, il calcolo diventa più preciso al crescere del numero di sottostrati considerati. Il programma somma il cedimento dei vari sottostrati, e determina il cedimento del punto di calcolo su tutte le combinazioni di esercizio.

6 Verifiche delle fondazioni

Le verifiche nei confronti degli Stati Limite ultimi SLU strutturali (STR) e geotecnici (GEO) sono state effettuate applicando la combinazione (A1+M1+R3) di coefficienti parziali prevista dall'approccio 2:

DA1.2 - Approccio 2:
- Combinazione 1:(A1+M1+R3)

Le verifiche strutturali delle fondazioni in combinazioni sismiche sono state condotte in campo sostanzialmente elastico.

6.1 Verifiche travate C.A.

Le unità di misura elencate nel capitolo sono in [cm, daN] ove non espressamente specificato.

N°: indice progressivo della sezione.

Descrizione: descrizione della sezione.

Tipo: tipo di sezione.

Base: base della sezione. [cm]

Altezza: altezza della sezione. [cm]

Copriferro sup.: distanza del bordo della staffa dalla superficie superiore del getto. [cm]

Copriferro inf.: distanza del bordo della staffa dalla superficie inferiore del getto. [cm]

Copriferro lat.: distanza del bordo della staffa dalle superfici laterali del getto. [cm]

x: distanza da asse appoggio sinistro. [cm]

A sup.: area efficace di armatura longitudinale superiore. [cm²]

C.b. sup.: distanza dal bordo del baricentro dell'armatura longitudinale superiore. [cm]

A inf.: area efficace di armatura longitudinale inferiore. [cm²]

C.b. inf.: distanza dal bordo del baricentro dell'armatura longitudinale inferiore. [cm]

M+ela: momento flettente desunto dal solutore che tende le fibre inferiori. [daN*cm]

Comb.: combinazione.

M+des: momento flettente di progetto che tende le fibre inferiori. [daN*cm]

M+ult: momento ultimo per trazione delle fibre inferiori. [daN*cm]

x/d: rapporto tra posizione asse neutro e altezza utile.

M-ela: momento flettente desunto dal solutore che tende le fibre superiori. [daN*cm]

M-des: momento flettente di progetto che tende le fibre superiori. [daN*cm]

M-ult: momento ultimo per trazione delle fibre superiori. [daN*cm]

Verifica: stato di verifica.

A st: area di staffe per unità di lunghezza. [cm²]

A sl: area di armatura longitudinale tesa per valutazione resistenza taglio in assenza di armature a taglio. [cm²]

A sag: area equivalente di barre piegate per unità di lunghezza. [cm²]

Vela: taglio elastico. [daN]

Vdes: taglio di progetto. [daN]

Vrd: resistenza a taglio della sezione senza armature. [daN]

Vrcd: sforzo di taglio che produce il cedimento delle bielle. [daN]

Vrsd: resistenza a taglio per la presenza delle armature. [daN]

Vult: taglio ultimo. [daN]

cotgθ: cotg dell'angolo di inclinazione dei puntoni in calcestruzzo.

Rara: famiglia di combinazione di verifica.

Mela: momento elastico. [daN*cm]

Mdes: momento di progetto. [daN*cm]

σ c: tensione di compressione nel calcestruzzo. [daN/cm²]

σ c lim.: tensione limite di compressione nel calcestruzzo. [daN/cm²]

σ f.: tensione di trazione nell'acciaio. [daN/cm²]

σ f lim.: tensione limite di trazione nell'acciaio. [daN/cm²]

Elastica+: massima freccia a sezione interamente reagente di solo calcestruzzo. [cm]

Elastica-: minima freccia a sezione interamente reagente di solo calcestruzzo. [cm]

Fess.+:: massima freccia a sezione fessurata ed omogeneizzata. [cm]

Fess.-: minima freccia a sezione fessurata ed omogeneizzata. [cm]

Quasi permanente: famiglia di combinazione di verifica.

σ FRP: tensione di trazione nell'FRP. [daN/cm²]

σ FRP lim.: tensione limite di trazione nell'FRP. [daN/cm²]

Fess. viscosa+: massima freccia a sezione fessurata ed omogeneizzata a viscosità esaurita. [cm]

Fess. viscosa-: minima freccia a sezione fessurata ed omogeneizzata a viscosità esaurita. [cm]

l/f: rapporto luce su freccia in combinazione quasi permanente.

Frequente: famiglia di combinazione di verifica.

Bordo: bordo interessato dalla fessura.

Rara: famiglia di combinazione per verifica inferiore.

Dmax: distanza massima tra le fessure. [cm]

Esm: dilatazione media delle barre di armatura.

Wd: valore di calcolo di apertura delle fessure. [cm]

Comb: combinazione.

Frequente: famiglia di combinazione per verifica inferiore.

Quasi permanente: famiglia di combinazione per verifica inferiore.

Trave a "Fondazione" Pil.A1-Pil.A15

Caratteristiche dei materiali

Acciaio: B450C Fyk 4500
Calcestruzzo: C25/30 Rck 300

Elenco delle sezioni

N°	Descrizione	Tipo	Base	Altezza	Copriferro sup.	Copriferro inf.	Copriferro lat.
1	R 90x80	Rettangolare	90	80	4	4	4

Output campate

Campata 1 tra i fili Pil.A1 - Palo45, sezione R 90x80, asta 2295

Verifiche a flessione in famiglia SLU

x	A sup.	C.b. sup.	A inf.	C.b. inf.	M+ela	Comb.	M+des	M+ult	x/d	M-ela	Comb.	M-des	M-ult	x/d	Verifica
0	31.42	6	31.42	6	1202239	SLU 16	94260	8588058	0.102						Si
45	31.42	6	31.42	6	-625751	SLU 1	6016	8588058	0.102	-1397349	SLU 16	-3385347	-8588058	0.102	Si
64	31.42	6	31.42	6	-1227188	SLU 1	24953	8588058	0.102	-2534800	SLU 16	-4554421	-8588058	0.102	Si
98	31.42	6	31.42	6						-4607644	SLU 16	-4607644	-8588058	0.102	Si
128	31.42	6	31.42	6						-6475237	SLU 16	-5530328	-8588058	0.102	Si

Verifiche a flessione in famiglia SLV (domini sostanzialmente elastici)

La struttura oppure parte di essa, è stata dichiarata come non dissipativa pertanto la verifica a pressoflessione, per tutte o solo alcune sezioni, viene eseguita calcolando i momenti resistenti in campo sostanzialmente elastico secondo D.M. 17-01-2018 §7.4.1

Le dilatazioni ultime utilizzate sono le seguenti: $\epsilon_{c2}= 0.002$, $\epsilon_{yd}= 0.0019$

x	A sup.	C.b. sup.	A inf.	C.b. inf.	M+ela	Comb.	M+des	M+ult	x/d	M-ela	Comb.	M-des	M-ult	x/d	Verifica
0	31.42	6	31.42	6	3401897	SLV 8	1007479	8238298	0.245	-1725781	SLV 9	-992005	-8238298	0.245	Si
45	31.42	6	31.42	6	600230	SLV 12	600230	8238298	0.245	-2322174	SLV 5	-4230069	-8238298	0.245	Si
64	31.42	6	31.42	6	-567	SLV 16	600230	8238298	0.245	-3215188	SLV 1	-5784163	-8238298	0.245	Si
98	31.42	6	31.42	6						-5855486	SLV 2	-5855486	-8238298	0.245	Si
128	31.42	6	31.42	6						-8374204	SLV 2	-7135580	-8238298	0.245	Si

Verifiche SLD Resistenza a flessione (domini sostanzialmente elastici)

La struttura oppure parte di essa, è stata dichiarata come non dissipativa pertanto la verifica a pressoflessione, per tutte o solo alcune sezioni, viene eseguita calcolando i momenti resistenti in campo sostanzialmente elastico secondo D.M. 17-01-2018 §7.4.1

Le dilatazioni ultime utilizzate sono le seguenti: $\epsilon_{c2}= 0.002$, $\epsilon_{yd}= 0.0019$

x	A sup.	C.b. sup.	A inf.	C.b. inf.	M+ela	Comb.	M+des	M+ult	x/d	M-ela	Comb.	M-des	M-ult	x/d	Verifica
0	31.42	6	31.42	6	2159020	SLD 8	527862	8238298	0.245	-482905	SLD 9	-482905	-8238298	0.245	Si
45	31.42	6	31.42	6						-1614857	SLD 5	-3219662	-8238298	0.245	Si
64	31.42	6	31.42	6						-2427208	SLD 1	-4391583	-8238298	0.245	Si
98	31.42	6	31.42	6						-4445234	SLD 2	-4445234	-8238298	0.245	Si
128	31.42	6	31.42	6						-6336724	SLD 2	-5396981	-8238298	0.245	Si

Verifiche a taglio in famiglia SLU

x	A st	A sl	A sag	Vela	Comb.	Vdes	Vrd	Vrcd	Vrsd	Vult	cotgθ	Verifica
0	0	31.42	0	-56655	SLU 16	-56655	-27611	-211438	0	-27611	1	Si
45	0.412	31.42	0	-58878	SLU 16	-58878	-27611	-211438	-107458	-107458	1	Si
64	0.412	31.42	0	-59824	SLU 16	-59824	-27611	-211438	-107458	-107458	1	Si
98	0.412	31.42	0	-61512	SLU 16	-61512	-27611	-211438	-107458	-107458	1	Si
128	0	31.42	0	-62994	SLU 16	-62994	-27611	-211438	0	-27611	1	Si

Verifiche a taglio in famiglia SLV

x	A st	A sl	A sag	Vela	Comb.	Vdes	Vrd	Vrcd	Vrsd	Vult	cotgθ	Verifica
0	0	31.42	0	7804	SLV 15	7804	27611	211438	0	27611	1	Si
0	0	31.42	0	-81603	SLV 2	-81603	-27611	-211438	0	-27611	1	Si
45	0.412	31.42	0	6094	SLV 15	6094	27611	211438	107458	107458	1	Si
45	0.412	31.42	0	-83313	SLV 2	-83313	-27611	-211438	-107458	-107458	1	Si
64	0.412	31.42	0	5366	SLV 15	5366	27611	211438	107458	107458	1	Si
64	0.412	31.42	0	-84041	SLV 2	-84041	-27611	-211438	-107458	-107458	1	Si
98	0.412	31.42	0	4068	SLV 15	4068	27611	211438	107458	107458	1	Si
98	0.412	31.42	0	-85340	SLV 2	-85340	-27611	-211438	-107458	-107458	1	Si
128	0	31.42	0	2928	SLV 15	2928	27611	211438	0	27611	1	Si
128	0	31.42	0	-86480	SLV 2	-86480	-27611	-211438	0	-27611	1	Si

Verifiche SLD Resistenza a taglio

x	A st	A sl	A sag	Vela	Comb.	Vdes	Vrd	Vrcd	Vrsd	Vult	cotgθ	Verifica
0	0	31.42	0	-59713	SLD 2	-59713	-27611	-211438	0	-27611	1	Si
45	0.412	31.42	0	-61423	SLD 2	-61423	-27611	-211438	-107458	-107458	1	Si
64	0.412	31.42	0	-62152	SLD 2	-62152	-27611	-211438	-107458	-107458	1	Si
98	0.412	31.42	0	-63450	SLD 2	-63450	-27611	-211438	-107458	-107458	1	Si
128	0	31.42	0	-64590	SLD 2	-64590	-27611	-211438	0	-27611	1	Si

Verifiche delle tensioni in esercizio

x	Rara							Quasi permanente							Verifica
	Mela	Comb.	Mdes	σ c	σ c lim.	σ f.	σ f lim.	Mela	Comb.	Mdes	σ c	σ c lim.	σ FRP	σ FRP lim.	
0	899059	8	72190	0.9	149.4	34.1	3600	838058	4	72190	0.9	112.1	0	$+\infty$	Si
45	-1015000	8	-2480866	29.5	149.4	1171	3600	-860972	4	-2167716	25.8	112.1	0	$+\infty$	Si
64	-1853492	8	-3343683	39.8	149.4	1578.3	3600	-1607877	4	-2938947	35	112.1	0	$+\infty$	Si
98	-3382975	8	-3382975	40.3	149.4	1596.8	3600	-2974098	4	-2974098	35.4	112.1	0	$+\infty$	Si
128	-4762502	8	-4064191	48.4	149.4	1918.4	3600	-4210272	4	-3583637	42.7	112.1	0	$+\infty$	Si

Verifica di apertura delle fessure

x	Bordo	Rara				Frequente				Quasi permanente				Verifica
		Dmax	Esm	Wd	Comb	Dmax	Esm	Wd	Comb	Dmax	Esm	Wd	Comb	
64	superiore	31.6	0.00046	0.0145	8	31.6	0.00042	0.0133	4	31.6	0.0004	0.0128	4	Si
68	superiore	31.6	0.00047	0.0147	8	31.6	0.00042	0.0134	4	31.6	0.00041	0.0129	4	Si
98	superiore	31.6	0.00047	0.0147	8	31.6	0.00042	0.0134	4	31.6	0.00041	0.0129	4	Si
128	superiore	31.6	0.00056	0.0177	8	31.6	0.00056	0.0178	4	31.6	0.00053	0.0169	4	Si

Verifica di deformabilità

x	Rara				Frequente				Quasi permanente						Verifica	
	Elastica+	Elastica-	Fess.+	Fess.-	Elastica+	Elastica-	Fess.+	Fess.-	Elastica+	Elastica-	Fess. viscosa+	Comb.	Fess. viscosa-	Comb.	l/f	
45	-0.001	-0.002	-0.001	-0.002	-0.001	-0.002	-0.001	-0.002	-0.001	-0.002	-0.004	1	-0.005	1	9999	Si
64	-0.002	-0.003	-0.002	-0.003	-0.002	-0.003	-0.002	-0.003	-0.002	-0.002	-0.005	1	-0.007	1	9999	Si
81	-0.002	-0.003	-0.002	-0.003	-0.002	-0.003	-0.002	-0.003	-0.002	-0.003	-0.005	1	-0.007	1	9999	Si
98	-0.002	-0.003	-0.002	-0.003	-0.002	-0.002	-0.002	-0.003	-0.002	-0.002	-0.004	1	-0.006	1	9999	Si

Campata 2 tra i fili Palo45 - Palo39, sezione R 90x80, asta 2294

Verifiche a flessione in famiglia SLU

x	A sup.	C.b. sup.	A inf.	C.b. inf.	M+ela	Comb.	M+des	M+ult	x/d	M-ela	Comb.	M-des	M-ult	x/d	Verifica
0	31.42	6	31.42	6						-5956182	SLU 16	-5662141	-8588058	0.102	Si
30	31.42	6	31.42	6						-5390291	SLU 16	-5390291	-8588058	0.102	Si
74	31.42	6	31.42	6	-2404693	SLU 1	43234	8588058	0.102	-4637990	SLU 16	-5196347	-8588058	0.102	Si
118	31.42	6	31.42	6						-3982129	SLU 16	-4467772	-8588058	0.102	Si
148	31.42	6	31.42	6						-3591533	SLU 16	-3591533	-8588058	0.102	Si

Verifiche a flessione in famiglia SLV (domini sostanzialmente elastici)

La struttura oppure parte di essa, è stata dichiarata come non dissipativa pertanto la verifica a pressoflessione, per tutte o solo alcune sezioni, viene eseguita calcolando i momenti resistenti in campo sostanzialmente elastico secondo D.M. 17-01-2018 §7.4.1

Le dilatazioni ultime utilizzate sono le seguenti: $\epsilon_c2= 0.002$, $\epsilon_{yd}= 0.0019$

x	A sup.	C.b. sup.	A inf.	C.b. inf.	M+ela	Comb.	M+des	M+ult	x/d	M-ela	Comb.	M-des	M-ult	x/d	Verifica
0	31.42	6	31.42	6						-5726815	SLD 2	-5520900	-8238298	0.245	Si
30	31.42	6	31.42	6	74883	SLV 15	268458	8238298	0.245	-7033302	SLV 2	-7033302	-8238298	0.245	Si
74	31.42	6	31.42	6	328107	SLV 15	503682	8238298	0.245	-6372661	SLV 2	-6860051	-8238298	0.245	Si
118	31.42	6	31.42	6	559472	SLV 15	559472	8238298	0.245	-5838531	SLV 2	-6228992	-8238298	0.245	Si
148	31.42	6	31.42	6	711585	SLV 15	558949	8238298	0.245	-5555137	SLV 2	-5555137	-8238298	0.245	Si

Verifiche SLD Resistenza a flessione (domini sostanzialmente elastici)

La struttura oppure parte di essa, è stata dichiarata come non dissipativa pertanto la verifica a pressoflessione, per tutte o solo alcune sezioni, viene eseguita calcolando i momenti resistenti in campo sostanzialmente elastico secondo D.M. 17-01-2018 §7.4.1

Le dilatazioni ultime utilizzate sono le seguenti: $\epsilon_c2= 0.002$, $\epsilon_{yd}= 0.0019$

x	A sup.	C.b. sup.	A inf.	C.b. inf.	M+ela	Comb.	M+des	M+ult	x/d	M-ela	Comb.	M-des	M-ult	x/d	Verifica
0	31.42	6	31.42	6						-5726815	SLD 2	-5520900	-8238298	0.245	Si
30	31.42	6	31.42	6						-5293444	SLD 2	-5293444	-8238298	0.245	Si
74	31.42	6	31.42	6						-4733313	SLD 2	-5146894	-8238298	0.245	Si
118	31.42	6	31.42	6						-4273232	SLD 2	-4610613	-8238298	0.245	Si
148	31.42	6	31.42	6						-4021496	SLD 2	-4021496	-8238298	0.245	Si

Verifiche a taglio in famiglia SLU

x	A st	A sl	A sag	Vela	Comb.	Vdes	Vrd	Vrcd	Vrsd	Vult	cotgθ	Verifica
0	0	31.42	0	19605	SLU 16	19605	27611	211438	0	27611	1	Si
30	0.142	31.42	0	18123	SLU 16	18123	27611	211438	37074	37074	1	Si
74	0.142	31.42	0	15941	SLU 16	15941	27611	211438	37074	37074	1	Si
118	0.142	31.42	0	13760	SLU 16	13760	27611	211438	37074	37074	1	Si
148	0	31.42	0	12278	SLU 16	12278	27611	211438	0	27611	1	Si

Verifiche a taglio in famiglia SLV

x	A st	A sl	A sag	Vela	Comb.	Vdes	Vrd	Vrcd	Vrsd	Vult	cotgθ	Verifica
0	0	31.42	0	28607	SLV 5	28607	27611	211438	0	27611	1	Si
0	0	31.42	0	-3959	SLV 12	-3959	-27611	-211438	0	-27611	1	Si
30	0.142	31.42	0	27467	SLV 5	27467	27611	211438	37074	37074	1	Si
30	0.142	31.42	0	-5099	SLV 12	-5099	-27611	-211438	-37074	-37074	1	Si
74	0.142	31.42	0	25789	SLV 5	25789	27611	211438	37074	37074	1	Si
74	0.142	31.42	0	-6777	SLV 12	-6777	-27611	-211438	-37074	-37074	1	Si
118	0.142	31.42	0	24111	SLV 5	24111	27611	211438	37074	37074	1	Si
118	0.142	31.42	0	-8456	SLV 12	-8456	-27611	-211438	-37074	-37074	1	Si
148	0	31.42	0	22971	SLV 5	22971	27611	211438	0	27611	1	Si
148	0	31.42	0	-9596	SLV 12	-9596	-27611	-211438	0	-27611	1	Si

Verifiche SLD Resistenza a taglio

x	A st	A sl	A sag	Vela	Comb.	Vdes	Vrd	Vrcd	Vrsd	Vult	cotgθ	Verifica
0	0	31.42	0	20743	SLD 5	20743	27611	211438	0	27611	1	Si
30	0.142	31.42	0	19603	SLD 5	19603	27611	211438	37074	37074	1	Si
74	0.142	31.42	0	17925	SLD 5	17925	27611	211438	37074	37074	1	Si
118	0.142	31.42	0	16246	SLD 5	16246	27611	211438	37074	37074	1	Si
118	0.142	31.42	0	-591	SLD 12	-591	-27611	-211438	-37074	-37074	1	Si
148	0	31.42	0	15106	SLD 5	15106	27611	211438	0	27611	1	Si
148	0	31.42	0	-1731	SLD 12	-1731	-27611	-211438	0	-27611	1	Si

Verifiche delle tensioni in esercizio

x	Rara							Quasi permanente							Verifica
	Mela	Comb.	Mdes	σ c	σ c lim.	σ f.	σ f lim.	Mela	Comb.	Mdes	σ c	σ c lim.	σ FRP	σ FRP lim.	
0	-4369812	8	-4155114	49.5	149.4	1961.3	3600	-3831804	4	-3646972	43.4	112.1	0	++	Si
30	-3957487	8	-3957487	47.1	149.4	1868	3600	-3479209	4	-3479209	41.4	112.1	0	++	Si
74	-3412619	8	-3816622	45.4	149.4	1801.5	3600	-3022277	4	-3359980	40	112.1	0	++	Si
118	-2941936	8	-3290004	39.2	149.4	1552.9	3600	-2639529	4	-2921298	34.8	112.1	0	++	Si
148	-2664453	8	-2664453	31.7	149.4	1257.7	3600	-2421776	4	-2421776	28.8	112.1	0	++	Si

Verifica di apertura delle fessure

x	Bordo	Rara				Frequente				Quasi permanente				Verifica
		Dmax	Esm	Wd	Comb	Dmax	Esm	Wd	Comb	Dmax	Esm	Wd	Comb	
0	superiore	31.6	0.00057	0.0181	8	31.6	0.00058	0.0184	4	31.6	0.00055	0.0173	4	Si
30	superiore	31.6	0.00054	0.0172	8	31.6	0.00054	0.0171	4	31.6	0.00051	0.0161	4	Si
45	superiore	31.6	0.00054	0.0172	8	31.6	0.00054	0.0171	4	31.6	0.00051	0.0161	4	Si
74	superiore	31.6	0.00052	0.0166	8	31.6	0.00051	0.0162	4	31.6	0.00048	0.0152	4	Si
118	superiore	31.6	0.00045	0.0143	8	31.6	0.00042	0.0132	4	31.6	0.0004	0.0127	4	Si

Verifica di deformabilità

x	Rara				Frequente				Quasi permanente						Verifica
	Elastica+	Elastica-	Fess.+	Fess.-	Elastica+	Elastica-	Fess.+	Fess.-	Elastica+	Elastica-	Fess. viscosa+	Comb.	Fess. viscosa-	Comb.	
30	-0.004	-0.005	-0.003	-0.006	-0.004	-0.005	-0.003	-0.005	-0.004	-0.005	-0.008	1	-0.013	1	9999 Si
64	-0.005	-0.008	-0.005	-0.008	-0.005	-0.007	-0.005	-0.007	-0.005	-0.007	-0.012	1	-0.018	1	9999 Si
74	-0.005	-0.008	-0.005	-0.008	-0.005	-0.007	-0.005	-0.007	-0.005	-0.007	-0.012	1	-0.018	1	9999 Si
118	-0.003	-0.005	-0.003	-0.005	-0.003	-0.004	-0.003	-0.004	-0.003	-0.004	-0.007	1	-0.011	1	9999 Si

Campata 3 tra i fili Palo39 - PilA5, sezione R 90x80, asta 2293

Verifiche a flessione in famiglia SLU

x	A sup.	C.b. sup.	A inf.	C.b. inf.	M+ela	Comb.	M+des	M+ult	x/d	M-ela	Comb.	M-des	M-ult	x/d	Verifica
0	31.42	6	31.42	6						-3978646	SLU 16	-2546576	-8588058	0.102	Si
30	31.42	6	31.42	6	-798471	SLU 1	1965782	8588058	0.102	-1136699	SLU 16	-1136699	-8588058	0.102	Si
74	31.42	6	37.7	6	2966466	SLU 16	5623193	10257044	0.112	1126047	SLU 1	-413607	-8587845	0.099	Si
103	31.42	6	37.7	6	5623193	SLU 16	5623193	10257044	0.112						Si
148	31.42	6	37.7	6	9639843	SLU 16	7656499	10257044	0.112						Si

Verifiche a flessione in famiglia SLV (domini sostanzialmente elastici)

La struttura oppure parte di essa, è stata dichiarata come non dissipativa pertanto la verifica a pressoflessione, per tutte o solo alcune sezioni, viene

eseguita calcolando i momenti resistenti in campo sostanzialmente elastico secondo D.M. 17-01-2018 §7.4.1

Le dilatazioni ultime utilizzate sono le seguenti: $\epsilon_c2= 0.002$, $\epsilon_{yd}= 0.0019$

x	A sup.	C.b. sup.	A inf.	C.b. inf.	M+ela	Comb.	M+des	M+ult	x/d	M-ela	Comb.	M-des	M-ult	x/d	Verifica
0	31.42	6	31.42	6	580623	SLV 15	580623	8238298	0.245	-5850345	SLV 2	-4452733	-8238298	0.245	Si
30	31.42	6	31.42	6	1372073	SLV 15	2225460	8238298	0.245	-3063674	SLV 2	-3063674	-8238298	0.245	Si
74	31.42	6	37.7	6	2506632	SLV 15	3910690	9805731	0.268	945228	SLV 2	-2064812	-8257448	0.24	Si
103	31.42	6	37.7	6	3910690	SLV 8	3910690	9805731	0.268						Si
148	31.42	6	37.7	6	7699163	SLV 2	5659130	9805731	0.268						Si

Verifiche SLD Resistenza a flessione (domini sostanzialmente elastici)

La struttura oppure parte di essa, è stata dichiarata come non dissipativa pertanto la verifica a pressoflessione, per tutte o solo alcune sezioni, viene eseguita calcolando i momenti resistenti in campo sostanzialmente elastico secondo D.M. 17-01-2018 §7.4.1

Le dilatazioni ultime utilizzate sono le seguenti: $\epsilon_c2= 0.002$, $\epsilon_{yd}= 0.0019$

x	A sup.	C.b. sup.	A inf.	C.b. inf.	M+ela	Comb.	M+des	M+ult	x/d	M-ela	Comb.	M-des	M-ult	x/d	Verifica
0	31.42	6	31.42	6						-4276551	SLD 2	-3121109	-8238298	0.245	Si
30	31.42	6	31.42	6	286780	SLD 15	1675176	8238298	0.245	-1978381	SLD 2	-1978381	-8238298	0.245	Si
74	31.42	6	37.7	6	2125326	SLD 15	3655860	9805731	0.268	1326534	SLD 2	-1155471	-8257448	0.24	Si
103	31.42	6	37.7	6	3655860	SLD 8	3655860	9805731	0.268						Si
148	31.42	6	37.7	6	6806627	SLD 2	5162430	9805731	0.268						Si

Verifiche a taglio in famiglia SLU

x	A st	A sl	A sag	Vela	Comb.	Vdes	Vrd	Vrcd	Vrsd	Vult	cotgθ	Verifica
0	0	31.42	0	95474	SLU 16	95474	27611	211438	0	27611	1	Si
30	0.428	31.42	0	93992	SLU 16	93992	27611	211438	111644	111644	1	Si
74	0.428	31.42	0	91810	SLU 16	91810	27611	211438	111644	111644	1	Si
103	0.428	31.42	0	90369	SLU 16	90369	27611	211438	111644	111644	1	Si
148	0	37.7	0	88146	SLU 16	88146	29341	211438	0	29341	1	Si

Verifiche a taglio in famiglia SLV

x	A st	A sl	A sag	Vela	Comb.	Vdes	Vrd	Vrcd	Vrsd	Vult	cotgθ	Verifica
0	0	31.42	0	93744	SLV 2	93744	27611	211438	0	27611	1	Si
30	0.428	31.42	0	92604	SLV 2	92604	27611	211438	111644	111644	1	Si
74	0.428	31.42	0	90926	SLV 2	90926	27611	211438	111644	111644	1	Si
103	0.428	31.42	0	89817	SLV 2	89817	27611	211438	111644	111644	1	Si
148	0	37.7	0	88107	SLV 2	88107	29341	211438	0	29341	1	Si

Verifiche SLD Resistenza a taglio

x	A st	A sl	A sag	Vela	Comb.	Vdes	Vrd	Vrcd	Vrsd	Vult	cotgθ	Verifica
0	0	31.42	0	77322	SLD 2	77322	27611	211438	0	27611	1	Si
30	0.428	31.42	0	76182	SLD 2	76182	27611	211438	111644	111644	1	Si
74	0.428	31.42	0	74504	SLD 2	74504	27611	211438	111644	111644	1	Si
103	0.428	31.42	0	73395	SLD 2	73395	27611	211438	111644	111644	1	Si
148	0	37.7	0	71685	SLD 2	71685	29341	211438	0	29341	1	Si

Verifiche delle tensioni in esercizio

x	Rara								Quasi permanente								Verifica
	Mela	Comb.	Mdes	σ c	σ c lim.	σ f.	σ f lim.	Mela	Comb.	Mdes	σ c	σ c lim.	σ FRP	σ FRP lim.			
0	-2938819	8	-1893005	22.5	149.4	893.5	3600	-2634861	4	-1731795	20.6	112.1	0	+∞	Si		
30	-864262	8	-864262	10.3	149.4	407.9	3600	-845800	4	-845800	10.1	112.1	0	+∞	Si		
74	2127783	8	4062963	45.5	149.4	1608.5	3600	1725930	4	3383543	37.9	112.1	0	+∞	Si		
103	4062963	8	4062963	45.5	149.4	1608.5	3600	3383543	4	3383543	37.9	112.1	0	+∞	Si		
148	6985360	8	5543377	62	149.4	2194.6	3600	5877695	4	4649835	52	112.1	0	+∞	Si		

Verifica di apertura delle fessure

x	Bordo	Rara				Frequente				Quasi permanente				Verifica
		Dmax	Esm	Wd	Comb	Dmax	Esm	Wd	Comb	Dmax	Esm	Wd	Comb	
59	inferiore	31.6	0.00046	0.0146	8	31.6	0.0004	0.0128	4	31.6	0.00038	0.0121	4	Si
74	inferiore	29.2	0.00047	0.0137	8	29.2	0.00044	0.0127	4	29.2	0.0004	0.0116	4	Si
103	inferiore	29.2	0.00047	0.0137	8	29.2	0.00044	0.0127	4	29.2	0.0004	0.0116	4	Si
148	inferiore	29.2	0.00069	0.02	8	29.2	0.00069	0.0201	4	29.2	0.00064	0.0187	4	Si

Verifica di deformabilità

x	Rara				Frequente				Quasi permanente							Verifica
	Elastica+	Elastica-	Fess.+	Fess.-	Elastica+	Elastica-	Fess.+	Fess.-	Elastica+	Elastica-	Fess. viscosa+	Comb.	Fess. viscosa-	Comb.	l/f	
30	0.002	0.001	0.002	0.001	0.002	0.001	0.002	0.001	0.001	0.001	0.004	4	0.002	4	9999	Si
74	0.005	0.003	0.006	0.002	0.004	0.003	0.005	0.002	0.004	0.003	0.011	4	0.006	4	9999	Si
103	0.006	0.003	0.007	0.003	0.005	0.003	0.005	0.003	0.005	0.003	0.013	4	0.007	4	9999	Si

Campata 4 tra i fili Pil.A5 - Palo29, sezione R 90x80, asta 2292

Verifiche a flessione in famiglia SLU

x	A sup.	C.b. sup.	A inf.	C.b. inf.	M+ela	Comb.	M+des	M+ult	x/d	M-ela	Comb.	M-des	M-ult	x/d	Verifica
0	31.42	6	37.7	6	9521446	SLU 16	7968995	10257044	0.112						Si
45	31.42	6	37.7	6	6366723	SLU 16	6366723	10257044	0.112						Si
92	31.42	6	37.7	6	2928630	SLU 16	5350515	10257044	0.112						Si
155	31.42	6	31.42	6	-937603	SLU 1	759490	8588058	0.102	-1765361	SLU 16	-1765361	-8588058	0.102	Si
185	31.42	6	31.42	6						-4086864	SLU 16	-2915053	-8588058	0.102	Si

Verifiche a flessione in famiglia SLV (domini sostanzialmente elastici)

La struttura oppure parte di essa, è stata dichiarata come non dissipativa pertanto la verifica a pressoflessione, per tutte o solo alcune sezioni, viene eseguita calcolando i momenti resistenti in campo sostanzialmente elastico secondo D.M. 17-01-2018 §7.4.1

Le dilatazioni ultime utilizzate sono le seguenti: $\epsilon_c2= 0.002$, $\epsilon_{yd}= 0.0019$

x	A sup.	C.b. sup.	A inf.	C.b. inf.	M+ela	Comb.	M+des	M+ult	x/d	M-ela	Comb.	M-des	M-ult	x/d	Verifica
0	31.42	6	37.7	6	12327235	SLV 8	10615262	9805731	0.268	-621749	SLV 9	-621749	-8257448	0.24	Si
45	31.42	6	37.7	6	8819064	SLV 8	8819064	9805731	0.268	-1006949	SLV 9	-1318934	-8257448	0.24	Si
92	31.42	6	37.7	6	5088213	SLV 12	7704277	9805731	0.268	-1552093	SLV 5	-2057281	-8257448	0.24	Si
155	31.42	6	31.42	6	411356	SLV 16	2810381	8238298	0.245	-2763363	SLV 1	-2763363	-8238298	0.245	Si
185	31.42	6	31.42	6						-4182112	SLV 1	-3520829	-8238298	0.245	Si

Verifiche SLD Resistenza a flessione (domini sostanzialmente elastici)

La struttura oppure parte di essa, è stata dichiarata come non dissipativa pertanto la verifica a pressoflessione, per tutte o solo alcune sezioni, viene eseguita calcolando i momenti resistenti in campo sostanzialmente elastico secondo D.M. 17-01-2018 §7.4.1

Le dilatazioni ultime utilizzate sono le seguenti: $\epsilon_c2= 0.002$, $\epsilon_{yd}= 0.0019$

x	A sup.	C.b. sup.	A inf.	C.b. inf.	M+ela	Comb.	M+des	M+ult	x/d	M-ela	Comb.	M-des	M-ult	x/d	Verifica
0	31.42	6	37.7	6	9180173	SLD 8	7836310	9805731	0.268						Si
45	31.42	6	37.7	6	6430876	SLD 8	6430876	9805731	0.268						Si
92	31.42	6	37.7	6	3473732	SLD 12	5551522	9805731	0.268	62389	SLD 5	-949897	-8257448	0.24	Si
155	31.42	6	31.42	6	-369790	SLD 16	1642705	8238298	0.245	-1982218	SLD 1	-1982218	-8238298	0.245	Si
185	31.42	6	31.42	6						-3421966	SLD 1	-2722201	-8238298	0.245	Si

Verifiche a taglio in famiglia SLU

x	A st	A sl	A sag	Vela	Comb.	Vdes	Vrd	Vrcd	Vrsd	Vult	cotgθ	Verifica
0	0	37.7	0	-68989	SLU 16	-68989	-29341	-211438	0	-29341	1	Si
45	0.371	37.7	0	-71212	SLU 16	-71212	-29341	-211438	-96759	-96759	1	Si
92	0.371	31.42	0	-73559	SLU 16	-73559	-27611	-211438	-96759	-96759	1	Si
155	0.371	31.42	0	-76646	SLU 16	-76646	-27611	-211438	-96759	-96759	1	Si
185	0	31.42	0	-78128	SLU 16	-78128	-27611	-211438	0	-27611	1	Si

Verifiche a taglio in famiglia SLV

x	A st	A sl	A sag	Vela	Comb.	Vdes	Vrd	Vrcd	Vrsd	Vult	cotgθ	Verifica
0	0	37.7	0	-78121	SLV 8	-78121	-29341	-211438	0	-29341	1	Si
45	0.371	37.7	0	-79831	SLV 8	-79831	-29341	-211438	-96759	-96759	1	Si
92	0.371	31.42	0	-81636	SLV 8	-81636	-27611	-211438	-96759	-96759	1	Si
155	0.371	31.42	0	-84011	SLV 8	-84011	-27611	-211438	-96759	-96759	1	Si
185	0	31.42	0	-85151	SLV 8	-85151	-27611	-211438	0	-27611	1	Si

Verifiche SLD Resistenza a taglio

x	A st	A sl	A sag	Vela	Comb.	Vdes	Vrd	Vrcd	Vrsd	Vult	cotgθ	Verifica
0	0	37.7	0	-60754	SLD 8	-60754	-29341	-211438	0	-29341	1	Si
45	0.371	37.7	0	-62464	SLD 8	-62464	-29341	-211438	-96759	-96759	1	Si
92	0.371	31.42	0	-64269	SLD 8	-64269	-27611	-211438	-96759	-96759	1	Si
155	0.371	31.42	0	-66644	SLD 8	-66644	-27611	-211438	-96759	-96759	1	Si
185	0	31.42	0	-67784	SLD 8	-67784	-27611	-211438	0	-27611	1	Si

Verifiche delle tensioni in esercizio

x	Rara							Quasi permanente							Verifica
	Mela	Comb.	Mdes	σ c	σ c lim.	σ f.	σ f lim.	Mela	Comb.	Mdes	σ c	σ c lim.	σ FRP	σ FRP lim.	
0	6913689	8	5787221	64.7	149.4	2291.1	3600	5852743	4	4898562	54.8	112.1	0	+∞	Si
45	4622429	8	4622429	51.7	149.4	1830	3600	3906057	4	3906057	43.7	112.1	0	+∞	Si
92	2120717	8	3883472	43.4	149.4	1537.4	3600	1768060	4	3275831	36.6	112.1	0	+∞	Si
155	-1301921	8	-1301921	15.5	149.4	614.5	3600	-1176004	4	-1176004	14	112.1	0	+∞	Si
185	-2997393	8	-2141149	25.5	149.4	1010.7	3600	-2641759	4	-1900373	22.6	112.1	0	+∞	Si

Verifica di apertura delle fessure

x	Bordo	Rara				Frequente				Quasi permanente				Verifica
		Dmax	Esm	Wd	Comb	Dmax	Esm	Wd	Comb	Dmax	Esm	Wd	Comb	
0	inferiore	29.2	0.00073	0.0214	8	29.2	0.00074	0.0215	4	29.2	0.00069	0.0201	4	Si
45	inferiore	29.2	0.00053	0.0156	8	29.2	0.00054	0.0157	4	29.2	0.0005	0.0145	4	Si
92	inferiore	29.2	0.00045	0.0131	8	29.2	0.00041	0.012	4	29.2	0.00038	0.011	4	Si

Verifica di deformabilità

x	Rara				Frequente				Quasi permanente					Verifica		
	Elastica+	Elastica-	Fess.+	Fess.-	Elastica+	Elastica-	Fess.+	Fess.-	Elastica+	Elastica-	Fess. viscosa+	Comb.	Fess. viscosa-	Comb.	l/f	
45	0.008	0.005	0.011	0.004	0.007	0.005	0.008	0.004	0.007	0.005	0.019	4	0.011	4	9627	Si
55	0.008	0.005	0.011	0.004	0.008	0.005	0.009	0.004	0.007	0.005	0.02	4	0.012	4	9273	Si
92	0.008	0.005	0.009	0.004	0.007	0.005	0.007	0.004	0.006	0.005	0.017	4	0.01	4	9999	Si
155	0.002	0.001	0.002	0.001	0.002	0.001	0.002	0.001	0.002	0.001	0.004	4	0.002	4	9999	Si

Campata 5 tra i fili Palo29 - Palo24, sezione R 90x80, asta 2291

Verifiche a flessione in famiglia SLU

x	A sup.	C.b. sup.	A inf.	C.b. inf.	M+ela	Comb.	M+des	M+ult	x/d	M-ela	Comb.	M-des	M-ult	x/d	Verifica
0	31.42	6	31.42	6						-3627083	SLU 16	-3601341	-8588058	0.102	Si
30	31.42	6	31.42	6						-3597829	SLU 16	-3617764	-8588058	0.102	Si
113	31.42	6	31.42	6	-1764490	SLU 1	117403	8588058	0.102	-3746627	SLU 16	-3902276	-8588058	0.102	Si
195	31.42	6	31.42	6						-4231655	SLU 16	-4231655	-8588058	0.102	Si
225	31.42	6	31.42	6						-4491392	SLU 16	-4350408	-8588058	0.102	Si

Verifiche a flessione in famiglia SLV (domini sostanzialmente elastici)

La struttura oppure parte di essa, è stata dichiarata come non dissipativa pertanto la verifica a pressoflessione, per tutte o solo alcune sezioni, viene eseguita calcolando i momenti resistenti in campo sostanzialmente elastico secondo D.M. 17-01-2018 §7.4.1

Le dilatazioni ultime utilizzate sono le seguenti: $\epsilon_{c2} = 0.002$, $\epsilon_{yd} = 0.0019$

x	A sup.	C.b. sup.	A inf.	C.b. inf.	M+ela	Comb.	M+des	M+ult	x/d	M-ela	Comb.	M-des	M-ult	x/d	Verifica
0	31.42	6	31.42	6	669994	SLV 16	512616	8238298	0.245	-5397628	SLV 1	-5176581	-8238298	0.245	Si
30	31.42	6	31.42	6	312354	SLV 16	312354	8238298	0.245	-4946850	SLV 1	-4946850	-8238298	0.245	Si
113	31.42	6	31.42	6						-3944102	SLV 1	-4300890	-8238298	0.245	Si
195	31.42	6	31.42	6						-4051725	SLV 4	-4051725	-8238298	0.245	Si
225	31.42	6	31.42	6						-4655468	SLV 8	-4312818	-8238298	0.245	Si

Verifiche SLD Resistenza a flessione (domini sostanzialmente elastici)

La struttura oppure parte di essa, è stata dichiarata come non dissipativa pertanto la verifica a pressoflessione, per tutte o solo alcune sezioni, viene eseguita calcolando i momenti resistenti in campo sostanzialmente elastico secondo D.M. 17-01-2018 §7.4.1

Le dilatazioni ultime utilizzate sono le seguenti: $\epsilon_{c2} = 0.002$, $\epsilon_{yd} = 0.0019$

x	A sup.	C.b. sup.	A inf.	C.b. inf.	M+ela	Comb.	M+des	M+ult	x/d	M-ela	Comb.	M-des	M-ult	x/d	Verifica
0	31.42	6	31.42	6						-3906876	SLD 1	-3778488	-8238298	0.245	Si
30	31.42	6	31.42	6						-3654119	SLD 1	-3654119	-8238298	0.245	Si
113	31.42	6	31.42	6						-3166057	SLD 1	-3323539	-8238298	0.245	Si
195	31.42	6	31.42	6						-3373780	SLD 4	-3373780	-8238298	0.245	Si
225	31.42	6	31.42	6						-3777485	SLD 8	-3553903	-8238298	0.245	Si

Verifiche a taglio in famiglia SLU

x	A st	A sl	A sag	Vela	Comb.	Vdes	Vrd	Vrcd	Vrsd	Vult	cotgθ	Verifica
0	0	31.42	0	3713	SLU 9	3713	27611	211438	0	27611	1	Si
30	0.152	31.42	0	2231	SLU 9	2231	27611	211438	39696	39696	1	Si
30	0.152	31.42	0	-281	SLU 8	-281	-27611	-211438	-39696	-39696	1	Si
113	0.152	31.42	0	-3841	SLU 16	-3841	-27611	-211438	-39696	-39696	1	Si
195	0.152	31.42	0	-7917	SLU 16	-7917	-27611	-211438	-39696	-39696	1	Si
225	0	31.42	0	-9399	SLU 16	-9399	-27611	-211438	0	-27611	1	Si

Verifiche a taglio in famiglia SLV

x	A st	A sl	A sag	Vela	Comb.	Vdes	Vrd	Vrcd	Vrsd	Vult	cotgθ	Verifica
0	0	31.42	0	21397	SLV 5	21397	27611	211438	0	27611	1	Si
0	0	31.42	0	-17152	SLV 12	-17152	-27611	-211438	0	-27611	1	Si
30	0.152	31.42	0	20257	SLV 5	20257	27611	211438	39696	39696	1	Si
30	0.152	31.42	0	-18292	SLV 12	-18292	-27611	-211438	-39696	-39696	1	Si
113	0.152	31.42	0	17122	SLV 5	17122	27611	211438	39696	39696	1	Si
113	0.152	31.42	0	-21427	SLV 12	-21427	-27611	-211438	-39696	-39696	1	Si
195	0.152	31.42	0	13987	SLV 5	13987	27611	211438	39696	39696	1	Si
195	0.152	31.42	0	-24562	SLV 12	-24562	-27611	-211438	-39696	-39696	1	Si
225	0	31.42	0	12847	SLV 5	12847	27611	211438	0	27611	1	Si
225	0	31.42	0	-25702	SLV 12	-25702	-27611	-211438	0	-27611	1	Si

Verifiche SLD Resistenza a taglio

x	A st	A sl	A sag	Vela	Comb.	Vdes	Vrd	Vrcd	Vrsd	Vult	cotgθ	Verifica
0	0	31.42	0	12046	SLD 5	12046	27611	211438	0	27611	1	Si
0	0	31.42	0	-7801	SLD 12	-7801	-27611	-211438	0	-27611	1	Si
30	0.152	31.42	0	10906	SLD 5	10906	27611	211438	39696	39696	1	Si
30	0.152	31.42	0	-8941	SLD 12	-8941	-27611	-211438	-39696	-39696	1	Si
113	0.152	31.42	0	7771	SLD 5	7771	27611	211438	39696	39696	1	Si
113	0.152	31.42	0	-12076	SLD 12	-12076	-27611	-211438	-39696	-39696	1	Si
195	0.152	31.42	0	4636	SLD 5	4636	27611	211438	39696	39696	1	Si
195	0.152	31.42	0	-15211	SLD 12	-15211	-27611	-211438	-39696	-39696	1	Si
225	0	31.42	0	3496	SLD 5	3496	27611	211438	0	27611	1	Si
225	0	31.42	0	-16351	SLD 12	-16351	-27611	-211438	0	-27611	1	Si

Verifiche delle tensioni in esercizio

x	Rara								Quasi permanente						Verifica
	Mela	Comb.	Mdes	σ c	σ c lim.	σ f.	σ f lim.	Mela	Comb.	Mdes	σ c	σ c lim.	σ FRP	σ FRP lim.	
0	-2664097	8	-2641223	31.4	149.4	1246.7	3600	-2363817	4	-2331983	27.8	112.1	0	+∞	Si
30	-2635450	8	-2643966	31.5	149.4	1248	3600	-2317248	4	-2317248	27.6	112.1	0	+∞	Si
113	-2733016	8	-2845928	33.9	149.4	1343.3	3600	-2365528	4	-2458546	29.3	112.1	0	+∞	Si
195	-3089221	8	-3089221	36.8	149.4	1458.2	3600	-2672447	4	-2672447	31.8	112.1	0	+∞	Si
225	-3282875	8	-3177498	37.8	149.4	1499.8	3600	-2848178	4	-2751763	32.8	112.1	0	+∞	Si

Verifica di apertura delle fessure

La campata non presenta apertura delle fessure

Verifica di deformabilità

x	Rara				Frequente				Quasi permanente						Verifica
	Elastica+	Elastica-	Fess.+	Fess.-	Elastica+	Elastica-	Fess.+	Fess.-	Elastica+	Elastica-	Fess. viscosa+	Comb.	Fess. viscosa-	Comb.	
30	-0.004	-0.006	-0.004	-0.006	-0.004	-0.006	-0.004	-0.004	-0.004	-0.006	-0.009	1	-0.013	1	9999 Si
113	-0.009	-0.014	-0.008	-0.013	-0.009	-0.013	-0.008	-0.012	-0.009	-0.012	-0.021	1	-0.028	1	9999 Si
195	-0.004	-0.007	-0.004	-0.006	-0.004	-0.006	-0.004	-0.006	-0.004	-0.006	-0.01	1	-0.013	1	9999 Si

Campata 6 tra i fili Palo24 - Pil.A9, sezione R 90x80, asta 2290

Verifiche a flessione in famiglia SLU

x	A sup.	C.b. sup.	A inf.	C.b. inf.	M+ela	Comb.	M+des	M+ult	x/d	M-ela	Comb.	M-des	M-ult	x/d	Verifica
0	31.42	6	31.42	6						-5160836	SLU 16	-4044671	-8588058	0.102	Si
30	31.42	6	31.42	6						-2950626	SLU 16	-2950626	-8588058	0.102	Si
93	31.42	6	31.42	6	1511551	SLU 16	3809902	8588058	0.102	863918	SLU 1	-842029	-8588058	0.102	Si
111	31.42	6	31.42	6	2795307	SLU 16	4773474	8588058	0.102						Si
140	47.08	6	53.79	6	4773474	SLU 16	4773474	14530568	0.124						Si
185	56.55	6	56.55	6	7761256	SLU 16	6292276	15268143	0.12						Si

Verifiche a flessione in famiglia SLV (domini sostanzialmente elastici)

La struttura oppure parte di essa, è stata dichiarata come non dissipativa pertanto la verifica a pressoflessione, per tutte o solo alcune sezioni, viene eseguita calcolando i momenti resistenti in campo sostanzialmente elastico secondo D.M. 17-01-2018 §7.4.1

Le dilatazioni ultime utilizzate sono le seguenti: $\epsilon_{c2} = 0.002$, $\epsilon_{yd} = 0.0019$

x	A sup.	C.b. sup.	A inf.	C.b. inf.	M+ela	Comb.	M+des	M+ult	x/d	M-ela	Comb.	M-des	M-ult	x/d	Verifica
0	31.42	6	31.42	6						-5404443	SLV 1	-4095198	-8238298	0.245	Si
30	31.42	6	31.42	6	-944499	SLV 15	704062	8238298	0.245	-2744577	SLV 2	-2744577	-8238298	0.245	Si
93	31.42	6	31.42	6	3057711	SLV 5	5847867	8238298	0.245	-953218	SLV 12	-1290956	-8238298	0.245	Si
111	31.42	6	31.42	6	4564885	SLV 1	7072420	8238298	0.245	-802493	SLV 16	-1100238	-8238298	0.245	Si
140	47.08	6	53.79	6	7072420	SLV 1	7072420	13856143	0.305	-763789	SLV 16	-826144	-12240274	0.279	Si
185	56.55	6	56.55	6	10905980	SLV 1	9010707	14595535	0.304	-772105	SLV 16	-751129	-14595535	0.304	Si

Verifiche SLD Resistenza a flessione (domini sostanzialmente elastici)

La struttura oppure parte di essa, è stata dichiarata come non dissipativa pertanto la verifica a pressoflessione, per tutte o solo alcune sezioni, viene eseguita calcolando i momenti resistenti in campo sostanzialmente elastico secondo D.M. 17-01-2018 §7.4.1

Le dilatazioni ultime utilizzate sono le seguenti: $\epsilon_{c2} = 0.002$, $\epsilon_{yd} = 0.0019$

x	A sup.	C.b. sup.	A inf.	C.b. inf.	M+ela	Comb.	M+des	M+ult	x/d	M-ela	Comb.	M-des	M-ult	x/d	Verifica
0	31.42	6	31.42	6						-4362485	SLD 1	-3338404	-8238298	0.245	Si
30	31.42	6	31.42	6	-1387557	SLD 15	224174	8238298	0.245	-2301520	SLD 2	-2301520	-8238298	0.245	Si
93	31.42	6	31.42	6	2080795	SLD 5	4218514	8238298	0.245	23698	SLD 12	-886596	-8238298	0.245	Si
111	31.42	6	31.42	6	3250579	SLD 5	5145335	8238298	0.245	511813	SLD 12	-379741	-8238298	0.245	Si
140	47.08	6	53.79	6	5145335	SLD 1	5145335	13856143	0.305						Si
185	56.55	6	56.55	6	8033665	SLD 1	6609872	14595535	0.304						Si

Verifiche a taglio in famiglia SLU

x	A st	A sl	A sag	Vela	Comb.	Vdes	Vrd	Vrcd	Vrsd	Vult	cotgθ	Verifica
0	0	31.42	0	74418	SLU 16	74418	27611	211438	0	27611	1	Si
30	0.4	31.42	0	72936	SLU 16	72936	27611	211438	104201	104201	1	Si
93	0.4	31.42	0	69849	SLU 16	69849	27611	211438	104201	104201	1	Si
140	0.4	31.42	0	67502	SLU 16	67502	27611	211438	104201	104201	1	Si
185	0	31.42	0	65279	SLU 16	65279	27611	211438	0	27611	1	Si

Verifiche a taglio in famiglia SLV

x	A st	A sl	A sag	Vela	Comb.	Vdes	Vrd	Vrcd	Vrsd	Vult	cotgθ	Verifica
0	0	31.42	0	91466	SLV 1	91466	27611	211438	0	27611	1	Si
30	0.4	31.42	0	90326	SLV 1	90326	27611	211438	104201	104201	1	Si
93	0.4	31.42	0	87951	SLV 1	87951	27611	211438	104201	104201	1	Si
140	0.4	31.42	0	86146	SLV 1	86146	27611	211438	104201	104201	1	Si
185	0	31.42	0	84436	SLV 1	84436	27611	211438	0	27611	1	Si
185	0	31.42	0	-1147	SLV 16	-1147	-27611	-211438	0	-27611	1	Si

Verifiche SLD Resistenza a taglio

x	A st	A sl	A sag	Vela	Comb.	Vdes	Vrd	Vrcd	Vrsd	Vult	cotgθ	Verifica
0	0	31.42	0	70411	SLD 1	70411	27611	211438	0	27611	1	Si
30	0.4	31.42	0	69271	SLD 1	69271	27611	211438	104201	104201	1	Si
93	0.4	31.42	0	66896	SLD 1	66896	27611	211438	104201	104201	1	Si
140	0.4	31.42	0	65091	SLD 1	65091	27611	211438	104201	104201	1	Si
185	0	31.42	0	63381	SLD 1	63381	27611	211438	0	27611	1	Si

Verifiche delle tensioni in esercizio

x	Rara								Quasi permanente						Verifica
	Mela	Comb.	Mdes	σ c	σ c lim.	σ f.	σ f lim.	Mela	Comb.	Mdes	σ c	σ c lim.	σ FRP	σ FRP lim.	
0	-3774568	8	-2954111	35.2	149.4	1394.4	3600	-3287585	4	-2557554	30.4	112.1	0	+∞	Si
30	-2150670	8	-2150670	25.6	149.4	1015.2	3600	-1844538	4	-1844538	22	112.1	0	+∞	Si
93	1122890	8	2806199	33.4	149.4	1324.6	3600	2534811	4	2534811	30.2	112.1	0	+∞	Si
140	3511309	8	3511309	32.3	149.4	980.9	3600	3154316	4	3154316	29	112.1	0	+∞	Si

RELAZIONE GEOTECNICA E SULLE FONDAZIONI

x	Rara							Quasi permanente							Verifica
	Mela	Comb.	Mdes	σc	σc lim.	$\sigma f.$	σf lim.	Mela	Comb.	Mdes	σc	σc lim.	σFRP	σFRP lim.	
185	5695207	8	4622420	40	149.4	1226.1	3600	5066938	4	4129789	35.7	112.1	0	+∞	Si

Verifica di apertura delle fessure

x	Bordo	Rara				Frequente				Quasi permanente				Verifica
		Dmax	Esm	Wd	Comb	Dmax	Esm	Wd	Comb	Dmax	Esm	Wd	Comb	
111	inferiore	31.6	0.00048	0.0153	8	31.6	0.00046	0.0145	4	31.6	0.00043	0.0137	4	Si
185	inferiore	25.1	0.00036	0.009	8	25.1	0.00036	0.009	4	25.1	0.00034	0.0085	4	Si

Verifica di deformabilità

x	Rara				Frequente				Quasi permanente							Verifica	
	Elastica+	Elastica-	Fess.+	Fess.-	Elastica+	Elastica-	Fess.+	Fess.-	Elastica+	Elastica-	Fess. viscosa+	Comb.	Fess. viscosa-	Comb.	l/f		
30	0	0	0	0	0	0	0	0	0	0	0	1	0	1	9999	Si	
93	0.004	0.003	0.004	0.003	0.004	0.003	0.003	0.003	0.004	0.003	0.008	4	0.006	4	9999	Si	
130	0.006	0.004	0.005	0.003	0.005	0.004	0.004	0.004	0.003	0.005	0.004	0.01	4	0.007	4	9999	Si
140	0.005	0.004	0.005	0.003	0.005	0.004	0.004	0.004	0.003	0.005	0.004	0.01	4	0.007	4	9999	Si

Campata 7 tra i fili Pil.A9 - Palo19, sezione R 90x80, asta 2288

Verifiche a flessione in famiglia SLU

x	A sup.	C.b. sup.	A inf.	C.b. inf.	M+ela	Comb.	M+des	M+ult	x/d	M-ela	Comb.	M-des	M-ult	x/d	Verifica
0	56.55	6	56.55	6	7405889	SLU 16	6163389	15268143	0.12						Si
45	44.81	6	53.24	6	4871094	SLU 16	4871094	14382141	0.125						Si
72	25.13	6	25.13	6	3302572	SLU 16	4871094	6915255	0.095						Si
90	25.13	6	25.13	6	2236729	SLU 16	4195741	6915255	0.095						Si
150	25.13	6	25.13	6	-723824	SLU 1	626044	6915255	0.095	-1431670	SLU 16	-1431670	-6915255	0.095	Si
180	25.13	6	25.13	6						-3332569	SLU 16	-2371004	-6915255	0.095	Si

Verifiche a flessione in famiglia SLV (domini sostanzialmente elastici)

La struttura oppure parte di essa, è stata dichiarata come non dissipativa pertanto la verifica a pressoflessione, per tutte o solo alcune sezioni, viene eseguita calcolando i momenti resistenti in campo sostanzialmente elastico secondo D.M. 17-01-2018 §7.4.1

Le dilatazioni ultime utilizzate sono le seguenti: $\epsilon c2= 0.002$, $\epsilon yd= 0.0019$

x	A sup.	C.b. sup.	A inf.	C.b. inf.	M+ela	Comb.	M+des	M+ult	x/d	M-ela	Comb.	M-des	M-ult	x/d	Verifica
0	56.55	6	56.55	6	8397846	SLV 1	6999048	14595535	0.304						Si
45	44.81	6	53.24	6	5715142	SLV 1	5715142	13705062	0.305						Si
72	25.13	6	25.13	6	4088176	SLV 1	5715142	6635554	0.225	280463	SLV 16	-309897	-6635554	0.225	Si
90	25.13	6	25.13	6	3001462	SLV 1	5011108	6635554	0.225	-26256	SLV 16	-864954	-6635554	0.225	Si
150	25.13	6	25.13	6	123346	SLV 9	1486938	6635554	0.225	-1970745	SLV 8	-1970745	-6635554	0.225	Si
180	25.13	6	25.13	6						-3509081	SLV 8	-2789758	-6635554	0.225	Si

Verifiche SLD Resistenza a flessione (domini sostanzialmente elastici)

La struttura oppure parte di essa, è stata dichiarata come non dissipativa pertanto la verifica a pressoflessione, per tutte o solo alcune sezioni, viene eseguita calcolando i momenti resistenti in campo sostanzialmente elastico secondo D.M. 17-01-2018 §7.4.1

Le dilatazioni ultime utilizzate sono le seguenti: $\epsilon c2= 0.002$, $\epsilon yd= 0.0019$

x	A sup.	C.b. sup.	A inf.	C.b. inf.	M+ela	Comb.	M+des	M+ult	x/d	M-ela	Comb.	M-des	M-ult	x/d	Verifica
0	56.55	6	56.55	6	6649294	SLD 1	5543290	14595535	0.304						Si
45	44.81	6	53.24	6	4479025	SLD 1	4479025	13705062	0.305						Si
72	25.13	6	25.13	6	3150465	SLD 1	4479025	6635554	0.225						Si
90	25.13	6	25.13	6	2256370	SLD 1	3905401	6635554	0.225	718837	SLD 16	-366063	-6635554	0.225	Si
150	25.13	6	25.13	6	-380206	SLD 9	975185	6635554	0.225	-1467193	SLD 8	-1467193	-6635554	0.225	Si
180	25.13	6	25.13	6						-2870302	SLD 8	-2189406	-6635554	0.225	Si

Verifiche a taglio in famiglia SLU

x	A st	A sl	A sag	Vela	Comb.	Vdes	Vrd	Vrcd	Vrsd	Vult	cotgθ	Verifica
0	0	25.13	0	-55212	SLU 16	-55212	-25632	-211438	0	-25632	1	Si
45	0.299	25.13	0	-57435	SLU 16	-57435	-25632	-211438	-77974	-77974	1	Si
90	0.299	25.13	0	-59658	SLU 16	-59658	-25632	-211438	-77974	-77974	1	Si
150	0.299	25.13	0	-62622	SLU 16	-62622	-25632	-211438	-77974	-77974	1	Si
180	0	25.13	0	-64104	SLU 16	-64104	-25632	-211438	0	-25632	1	Si

Verifiche a taglio in famiglia SLV

x	A st	A sl	A sag	Vela	Comb.	Vdes	Vrd	Vrcd	Vrsd	Vult	cotgθ	Verifica
0	0	25.13	0	-59743	SLV 3	-59743	-25632	-211438	0	-25632	1	Si
45	0.299	25.13	0	-61453	SLV 3	-61453	-25632	-211438	-77974	-77974	1	Si
90	0.299	25.13	0	-63163	SLV 3	-63163	-25632	-211438	-77974	-77974	1	Si
150	0.299	25.13	0	-65443	SLV 3	-65443	-25632	-211438	-77974	-77974	1	Si
180	0	25.13	0	-66583	SLV 3	-66583	-25632	-211438	0	-25632	1	Si

Verifiche SLD Resistenza a taglio

x	A st	A sl	A sag	Vela	Comb.	Vdes	Vrd	Vrcd	Vrsd	Vult	cotgθ	Verifica
0	0	25.13	0	-47880	SLD 3	-47880	-25632	-211438	0	-25632	1	Si
45	0.299	25.13	0	-49590	SLD 3	-49590	-25632	-211438	-77974	-77974	1	Si
90	0.299	25.13	0	-51300	SLD 3	-51300	-25632	-211438	-77974	-77974	1	Si
150	0.299	25.13	0	-53580	SLD 3	-53580	-25632	-211438	-77974	-77974	1	Si
180	0	25.13	0	-54720	SLD 3	-54720	-25632	-211438	0	-25632	1	Si

Verifiche delle tensioni in esercizio

x	Rara							Quasi permanente							Verifica
	Mela	Comb.	Mdes	σc	σc lim.	$\sigma f.$	σf lim.	Mela	Comb.	Mdes	σc	σc lim.	σFRP	σFRP lim.	
0	5437084	8	4527827	39.2	149.4	1201	3600	4848066	4	4046251	35	112.1	0	+∞	Si
45	3580266	8	3580266	33.4	149.4	1011.1	3600	3206132	4	3206132	29.9	112.1	0	+∞	Si
90	1646856	8	3084950	41.2	149.4	1810.8	3600	1487603	4	2766683	37	112.1	0	+∞	Si
150	-1050956	8	-1050956	14	149.4	616.9	3600	-923700	4	-923700	12.3	112.1	0	+∞	Si
180	-2451170	8	-1742513	23.3	149.4	1022.8	3600	-2180657	4	-1543628	20.6	112.1	0	+∞	Si

Verifica di apertura delle fessure

x	Bordo	Rara				Frequente				Quasi permanente				Verifica
		Dmax	Esm	Wd	Comb	Dmax	Esm	Wd	Comb	Dmax	Esm	Wd	Comb	
0	inferiore	25.1	0.00035	0.0088	8	25.1	0.00035	0.0087	4	25.1	0.00033	0.0082	4	Si
72	inferiore	35.3	0.00061	0.0216	8	35.3	0.0006	0.0213	4	35.3	0.00057	0.0202	4	Si
90	inferiore	35.3	0.00053	0.0186	8	35.3	0.00049	0.0172	4	35.3	0.00047	0.0167	4	Si

Verifica di deformabilità

x	Rara				Frequente				Quasi permanente							Verifica
	Elastica+	Elastica-	Fess.+	Fess.-	Elastica+	Elastica-	Fess.+	Fess.-	Elastica+	Elastica-	Fess. viscosa+	Comb.	Fess. viscosa-	Comb.	l/f	
45	0.006	0.004	0.005	0.003	0.006	0.004	0.005	0.003	0.005	0.004	0.011	4	0.008	4	9999	Si
66	0.006	0.005	0.006	0.004	0.006	0.005	0.005	0.004	0.006	0.005	0.012	4	0.009	4	9999	Si
90	0.006	0.004	0.005	0.003	0.005	0.004	0.005	0.003	0.005	0.004	0.011	4	0.008	4	9999	Si
150	0.002	0.001	0.001	0.001	0.001	0.001	0.001	0.001	0.001	0.001	0.003	4	0.002	4	9999	Si

Campata 8 tra i fili Palo19 - Pil.A12, sezione R 90x80, asta 2289

Verifiche a flessione in famiglia SLU

x	A sup.	C.b. sup.	A inf.	C.b. inf.	M+ela	Comb.	M+des	M+ult	x/d	M-ela	Comb.	M-des	M-ult	x/d	Verifica
0	25.13	6	25.13	6						-3335746	SLU 16	-2597867	-6915255	0.095	Si
30	25.13	6	25.13	6						-1882217	SLU 16	-1882217	-6915255	0.095	Si
90	25.13	6	25.13	6	891475	SLU 16	2353906	6915255	0.095	379955	SLU 2	-626176	-6915255	0.095	Si
135	25.13	6	25.13	6	2854816	SLU 16	2854816	6915255	0.095						Si
180	25.13	6	25.13	6	4718554	SLU 16	3811582	6915255	0.095						Si

Verifiche a flessione in famiglia SLV (domini sostanzialmente elastici)

La struttura oppure parte di essa, è stata dichiarata come non dissipativa pertanto la verifica a pressoflessione, per tutte o solo alcune sezioni, viene eseguita calcolando i momenti resistenti in campo sostanzialmente elastico secondo D.M. 17-01-2018 §7.4.1

Le dilatazioni ultime utilizzate sono le seguenti: $\epsilon_{c2} = 0.002$, $\epsilon_{yd} = 0.0019$

x	A sup.	C.b. sup.	A inf.	C.b. inf.	M+ela	Comb.	M+des	M+ult	x/d	M-ela	Comb.	M-des	M-ult	x/d	Verifica
0	25.13	6	25.13	6						-3902281	SLV 1	-3045909	-6635554	0.225	Si
30	25.13	6	25.13	6	-347274	SLV 16	755039	6635554	0.225	-2119006	SLV 1	-2119006	-6635554	0.225	Si
90	25.13	6	25.13	6	2333906	SLV 5	4361717	6635554	0.225	-1269010	SLV 12	-1455428	-6635554	0.225	Si
135	25.13	6	25.13	6	5068782	SLV 5	5068782	6635554	0.225	-1535393	SLV 12	-1535393	-6635554	0.225	Si
180	25.13	6	25.13	6	7746411	SLV 5	6430925	6635554	0.225	-1897762	SLV 12	-1701603	-6635554	0.225	Si

Verifiche SLD Resistenza a flessione (domini sostanzialmente elastici)

La struttura oppure parte di essa, è stata dichiarata come non dissipativa pertanto la verifica a pressoflessione, per tutte o solo alcune sezioni, viene eseguita calcolando i momenti resistenti in campo sostanzialmente elastico secondo D.M. 17-01-2018 §7.4.1

Le dilatazioni ultime utilizzate sono le seguenti: $\epsilon_{c2} = 0.002$, $\epsilon_{yd} = 0.0019$

x	A sup.	C.b. sup.	A inf.	C.b. inf.	M+ela	Comb.	M+des	M+ult	x/d	M-ela	Comb.	M-des	M-ult	x/d	Verifica
0	25.13	6	25.13	6						-3048747	SLD 1	-2379789	-6635554	0.225	Si
30	25.13	6	25.13	6	-783311	SLD 16	273039	6635554	0.225	-1682969	SLD 1	-1682969	-6635554	0.225	Si
90	25.13	6	25.13	6	1458428	SLD 5	2947806	6635554	0.225	-393532	SLD 12	-855034	-6635554	0.225	Si
135	25.13	6	25.13	6	3463476	SLD 5	3463476	6635554	0.225	69913	SLD 12	-263152	-6635554	0.225	Si
180	25.13	6	25.13	6	5401815	SLD 5	4453947	6635554	0.225						Si

Verifiche a taglio in famiglia SLU

x	A st	A sl	A sag	Vela	Comb.	Vdes	Vrd	Vrcd	Vrsd	Vult	cotgθ	Verifica
0	0	25.13	0	49192	SLU 16	49192	25632	211438	0	25632	1	Si
30	0.269	25.13	0	47710	SLU 16	47710	25632	211438	70176	70176	1	Si
90	0.269	25.13	0	44746	SLU 16	44746	25632	211438	70176	70176	1	Si
135	0.269	25.13	0	42523	SLU 16	42523	25632	211438	70176	70176	1	Si
180	0	25.13	0	40300	SLU 16	40300	25632	211438	0	25632	1	Si

Verifiche a taglio in famiglia SLV

x	A st	A sl	A sag	Vela	Comb.	Vdes	Vrd	Vrcd	Vrsd	Vult	cotgθ	Verifica
0	0	25.13	0	65670	SLV 5	65670	25632	211438	0	25632	1	Si
0	0	25.13	0	-2257	SLV 12	-2257	-25632	-211438	0	-25632	1	Si
30	0.269	25.13	0	64530	SLV 5	64530	25632	211438	70176	70176	1	Si
30	0.269	25.13	0	-3397	SLV 12	-3397	-25632	-211438	-70176	-70176	1	Si
90	0.269	25.13	0	62250	SLV 5	62250	25632	211438	70176	70176	1	Si
90	0.269	25.13	0	-5677	SLV 12	-5677	-25632	-211438	-70176	-70176	1	Si
135	0.269	25.13	0	60540	SLV 5	60540	25632	211438	70176	70176	1	Si
135	0.269	25.13	0	-7387	SLV 12	-7387	-25632	-211438	-70176	-70176	1	Si
180	0	25.13	0	58830	SLV 5	58830	25632	211438	0	25632	1	Si
180	0	25.13	0	-9097	SLV 12	-9097	-25632	-211438	0	-25632	1	Si

Verifiche SLD Resistenza a taglio

x	A st	A sl	A sag	Vela	Comb.	Vdes	Vrd	Vrcd	Vrsd	Vult	cotgθ	Verifica
0	0	25.13	0	49151	SLD 5	49151	25632	211438	0	25632	1	Si
30	0.269	25.13	0	48011	SLD 5	48011	25632	211438	70176	70176	1	Si
90	0.269	25.13	0	45731	SLD 5	45731	25632	211438	70176	70176	1	Si
135	0.269	25.13	0	44021	SLD 5	44021	25632	211438	70176	70176	1	Si
180	0	25.13	0	42311	SLD 5	42311	25632	211438	0	25632	1	Si

Verifiche delle tensioni in esercizio

x	Rara								Quasi permanente						Verifica
	Mela	Comb.	Mdes	σ c	σ c lim.	σ f.	σ f lim.	Mela	Comb.	Mdes	σ c	σ c lim.	σ FRP	σ FRP lim.	
0	-2450633	8	-1908957	25.5	149.4	1120.5	3600	-2167230	4	-1691635	22.6	112.1	0	+∞	Si
30	-1384381	8	-1384381	18.5	149.4	812.6	3600	-1233140	4	-1233140	16.5	112.1	0	+∞	Si
90	645533	8	1712930	22.9	149.4	1005.4	3600	532448	4	1453144	19.4	112.1	0	+∞	Si
135	2078024	8	2078024	27.8	149.4	1219.7	3600	1766694	4	1766694	23.6	112.1	0	+∞	Si
180	3433898	8	2775113	37.1	149.4	1628.9	3600	2924324	4	2364661	31.6	112.1	0	+∞	Si

Verifica di apertura delle fessure

La campata non presenta apertura delle fessure

Verifica di deformabilità

x	Rara				Frequente				Quasi permanente						Verifica
	Elastica+	Elastica-	Fess.+	Fess.-	Elastica+	Elastica-	Fess.+	Fess.-	Elastica+	Elastica-	Fess. viscosa+	Comb.	Fess. viscosa-	Comb.	I/f
30	0	0	0	0	0	0	0	0	0	0	0	4	0	4	9999
90	0.002	0.001	0.002	0.001	0.002	0.001	0.002	0.001	0.002	0.001	0.004	4	0.003	4	9999
126	0.003	0.002	0.003	0.002	0.003	0.002	0.002	0.002	0.003	0.002	0.005	4	0.004	4	9999
135	0.003	0.002	0.003	0.002	0.003	0.002	0.002	0.002	0.003	0.002	0.005	4	0.004	4	9999

Campata 9 tra i fili Pil.A12 - Palo7, sezione R 90x80, asta 2287

Verifiche a flessione in famiglia SLU

x	A sup.	C.b. sup.	A inf.	C.b. inf.	M+ela	Comb.	M+des	M+ult	x/d	M-ela	Comb.	M-des	M-ult	x/d	Verifica
0	25.13	6	25.13	6	5170119	SLU 16	4034966	6915255	0.095						Si
45	25.13	6	25.13	6	2849840	SLU 16	2849840	6915255	0.095						Si
85	25.13	6	25.13	6	703478	SLU 16	2495790	6915255	0.095	267249	SLU 2	-1143785	-6915255	0.095	Si
140	25.13	6	25.13	6						-2377054	SLU 16	-2377054	-6915255	0.095	Si
170	25.13	6	25.13	6						-4120077	SLU 16	-3237533	-6915255	0.095	Si

Verifiche a flessione in famiglia SLV (domini sostanzialmente elastici)

La struttura oppure parte di essa, è stata dichiarata come non dissipativa pertanto la verifica a pressoflessione, per tutte o solo alcune sezioni, viene eseguita calcolando i momenti resistenti in campo sostanzialmente elastico secondo D.M. 17-01-2018 §7.4.1

Le dilatazioni ultime utilizzate sono le seguenti: $\epsilon_{c2} = 0.002$, $\epsilon_{yd} = 0.0019$

x	A sup.	C.b. sup.	A inf.	C.b. inf.	M+ela	Comb.	M+des	M+ult	x/d	M-ela	Comb.	M-des	M-ult	x/d	Verifica
0	25.13	6	25.13	6	4959777	SLV 8	3862543	6635554	0.225						Si
45	25.13	6	25.13	6	2695552	SLV 8	2695552	6635554	0.225						Si
85	25.13	6	25.13	6	851550	SLV 16	2359757	6635554	0.225	-49078	SLV 1	-1640481	-6635554	0.225	Si

RELAZIONE GEOTECNICA E SULLE FONDAZIONI

x	A sup.	C.b. sup.	A inf.	C.b. inf.	M+ela	Comb.	M+des	M+ult	x/d	M-ela	Comb.	M-des	M-ult	x/d	Verifica
140	25.13	6	25.13	6	-420309	SLV 14	315351	6635554	0.225	-2762702	SLV 3	-2762702	-6635554	0.225	Si
170	25.13	6	25.13	6						-4386490	SLV 4	-3557220	-6635554	0.225	Si

Verifiche SLD Resistenza a flessione (domini sostanzialmente elastici)

La struttura oppure parte di essa, è stata dichiarata come non dissipativa pertanto la verifica a pressoflessione, per tutte o solo alcune sezioni, viene eseguita calcolando i momenti resistenti in campo sostanzialmente elastico secondo D.M. 17-01-2018 §7.4.1

Le dilatazioni ultime utilizzate sono le seguenti: $\epsilon_c=0.002$, $\epsilon_{yd}=0.0019$

x	A sup.	C.b. sup.	A inf.	C.b. inf.	M+ela	Comb.	M+des	M+ult	x/d	M-ela	Comb.	M-des	M-ult	x/d	Verifica
0	25.13	6	25.13	6	4139949	SLD 8	3224381	6635554	0.225						Si
45	25.13	6	25.13	6	2253983	SLD 8	2253983	6635554	0.225						Si
85	25.13	6	25.13	6	631240	SLD 16	1970704	6635554	0.225	171231	SLD 1	-1224915	-6635554	0.225	Si
140	25.13	6	25.13	6						-2189110	SLD 3	-2189110	-6635554	0.225	Si
170	25.13	6	25.13	6						-3573737	SLD 4	-2868314	-6635554	0.225	Si

Verifiche a taglio in famiglia SLU

x	A st	A sl	A sag	Vela	Comb.	Vdes	Vrd	Vrcd	Vrsd	Vult	cotgθ	Verifica
0	0	25.13	0	-50449	SLU 16	-50449	-25632	-211438	0	-25632	1	Si
45	0.265	25.13	0	-52672	SLU 16	-52672	-25632	-211438	-68945	-68945	1	Si
85	0.265	25.13	0	-54648	SLU 16	-54648	-25632	-211438	-68945	-68945	1	Si
140	0.265	25.13	0	-57365	SLU 16	-57365	-25632	-211438	-68945	-68945	1	Si
170	0	25.13	0	-58847	SLU 16	-58847	-25632	-211438	0	-25632	1	Si

Verifiche a taglio in famiglia SLV

x	A st	A sl	A sag	Vela	Comb.	Vdes	Vrd	Vrcd	Vrsd	Vult	cotgθ	Verifica
0	0	25.13	0	-50156	SLV 8	-50156	-25632	-211438	0	-25632	1	Si
45	0.265	25.13	0	-51866	SLV 8	-51866	-25632	-211438	-68945	-68945	1	Si
85	0.265	25.13	0	-53386	SLV 8	-53386	-25632	-211438	-68945	-68945	1	Si
140	0.265	25.13	0	-55476	SLV 8	-55476	-25632	-211438	-68945	-68945	1	Si
170	0	25.13	0	-56616	SLV 8	-56616	-25632	-211438	0	-25632	1	Si

Verifiche SLD Resistenza a taglio

x	A st	A sl	A sag	Vela	Comb.	Vdes	Vrd	Vrcd	Vrsd	Vult	cotgθ	Verifica
0	0	25.13	0	-41419	SLD 8	-41419	-25632	-211438	0	-25632	1	Si
45	0.265	25.13	0	-43129	SLD 8	-43129	-25632	-211438	-68945	-68945	1	Si
85	0.265	25.13	0	-44649	SLD 8	-44649	-25632	-211438	-68945	-68945	1	Si
140	0.265	25.13	0	-46739	SLD 8	-46739	-25632	-211438	-68945	-68945	1	Si
170	0	25.13	0	-47879	SLD 8	-47879	-25632	-211438	0	-25632	1	Si

Verifiche delle tensioni in esercizio

x	Rara							Quasi permanente							Verifica
	Mela	Comb.	Mdes	σ c	σ c lim.	σ f.	σ f lim.	Mela	Comb.	Mdes	σ c	σ c lim.	σ FRP	σ FRP lim.	
0	3772605	8	2943868	39.3	149.4	1728	3600	3254634	4	2535625	33.9	112.1	0	$+\infty$	Si
45	2076689	8	2076689	27.7	149.4	1218.9	3600	1778176	4	1778176	23.8	112.1	0	$+\infty$	Si
85	504676	8	1817581	24.3	149.4	1066.9	3600	401236	4	1551742	20.7	112.1	0	$+\infty$	Si
140	-1756291	8	-1756291	23.5	149.4	1030.9	3600	-1591506	4	-1591506	21.3	112.1	0	$+\infty$	Si
170	-3037802	8	-2388560	31.9	149.4	1402	3600	-2726711	4	-2150622	28.7	112.1	0	$+\infty$	Si

Verifica di apertura delle fessure

La campata non presenta apertura delle fessure

Verifica di deformabilità

x	Rara				Frequente				Quasi permanente						Verifica	
	Elastica+	Elastica-	Fess.+	Fess.-	Elastica+	Elastica-	Fess.+	Fess.-	Elastica+	Elastica-	Fess. viscosa+	Comb.	Fess. viscosa-	Comb.	I/f	
45	0.003	0.002	0.002	0.001	0.002	0.002	0.002	0.001	0.002	0.002	0.005	4	0.003	4	9999	Si
45	0.003	0.002	0.002	0.001	0.002	0.002	0.002	0.001	0.002	0.002	0.005	4	0.003	4	9999	Si
85	0.002	0.001	0.001	0.001	0.002	0.001	0.001	0.001	0.001	0.001	0.003	4	0.002	4	9999	Si
140	0	0	0	0	0	0	0	0	0	0	-0.001	2	-0.001	2	9999	Si

Campata 10 tra i fili Palo7 - Pil.A13, sezione R 90x80, asta 2286

Verifiche a flessione in famiglia SLU

x	A sup.	C.b. sup.	A inf.	C.b. inf.	M+ela	Comb.	M+des	M+ult	x/d	M-ela	Comb.	M-des	M-ult	x/d	Verifica
0	25.13	6	25.13	6						-3994181	SLU 16	-3240531	-6915255	0.095	Si
30	25.13	6	25.13	6						-2508945	SLU 16	-2508945	-6915255	0.095	Si
85	25.13	6	25.13	6	102947	SLU 8	1605157	6915255	0.095	-23803	SLU 10	-1462131	-6915255	0.095	Si
125	25.13	6	25.13	6	1901645	SLU 16	1901645	6915255	0.095						Si
170	25.13	6	25.13	6	3835243	SLU 16	2893431	6915255	0.095						Si

Verifiche a flessione in famiglia SLV (domini sostanzialmente elastici)

La struttura oppure parte di essa, è stata dichiarata come non dissipativa pertanto la verifica a pressoflessione, per tutte o solo alcune sezioni, viene eseguita calcolando i momenti resistenti in campo sostanzialmente elastico secondo D.M. 17-01-2018 §7.4.1

Le dilatazioni ultime utilizzate sono le seguenti: $\epsilon_c=0.002$, $\epsilon_{yd}=0.0019$

x	A sup.	C.b. sup.	A inf.	C.b. inf.	M+ela	Comb.	M+des	M+ult	x/d	M-ela	Comb.	M-des	M-ult	x/d	Verifica
0	25.13	6	25.13	6						-5071200	SLV 1	-3940421	-6635554	0.225	Si
30	25.13	6	25.13	6	-278443	SLV 14	400122	6635554	0.225	-3071778	SLV 3	-3071778	-6635554	0.225	Si
85	25.13	6	25.13	6	1631300	SLV 5	3742454	6635554	0.225	-1579077	SLV 12	-1884516	-6635554	0.225	Si
125	25.13	6	25.13	6	4170333	SLV 5	4170333	6635554	0.225	-1788255	SLV 12	-1788255	-6635554	0.225	Si
170	25.13	6	25.13	6	7018216	SLV 5	5625761	6635554	0.225	-2160268	SLV 12	-1967307	-6635554	0.225	Si

Verifiche SLD Resistenza a flessione (domini sostanzialmente elastici)

La struttura oppure parte di essa, è stata dichiarata come non dissipativa pertanto la verifica a pressoflessione, per tutte o solo alcune sezioni, viene eseguita calcolando i momenti resistenti in campo sostanzialmente elastico secondo D.M. 17-01-2018 §7.4.1

Le dilatazioni ultime utilizzate sono le seguenti: $\epsilon_c=0.002$, $\epsilon_{yd}=0.0019$

x	A sup.	C.b. sup.	A inf.	C.b. inf.	M+ela	Comb.	M+des	M+ult	x/d	M-ela	Comb.	M-des	M-ult	x/d	Verifica
0	25.13	6	25.13	6						-3882085	SLD 1	-3063501	-6635554	0.225	Si
30	25.13	6	25.13	6						-2385723	SLD 3	-2385723	-6635554	0.225	Si
85	25.13	6	25.13	6	851479	SLD 5	2409407	6635554	0.225	-799255	SLD 12	-1445096	-6635554	0.225	Si
125	25.13	6	25.13	6	2722044	SLD 5	2722044	6635554	0.225	-339966	SLD 12	-712162	-6635554	0.225	Si
170	25.13	6	25.13	6	4787127	SLD 5	3780304	6635554	0.225						Si

Verifiche a taglio in famiglia SLU

x	A st	A sl	A sag	Vela	Comb.	Vdes	Vrd	Vrcd	Vrsd	Vult	cotgθ	Verifica
0	0	25.13	0	50254	SLU 16	50254	25632	211438	0	25632	1	Si
30	0.298	25.13	0	48772	SLU 16	48772	25632	211438	77563	77563	1	Si
85	0.298	25.13	0	46055	SLU 16	46055	25632	211438	77563	77563	1	Si
125	0.298	25.13	0	44079	SLU 16	44079	25632	211438	77563	77563	1	Si
170	0	25.13	0	41856	SLU 16	41856	25632	211438	0	25632	1	Si

Verifiche a taglio in famiglia SLV

x	A st	A sl	A sag	Vela	Comb.	Vdes	Vrd	Vrcd	Vrsd	Vult	cotgθ	Verifica
0	0	25.13	0	70479	SLV 1	70479	25632	211438	0	25632	1	Si
0	0	25.13	0	-4251	SLV 16	-4251	-25632	-211438	0	-25632	1	Si
30	0.298	25.13	0	69339	SLV 1	69339	25632	211438	77563	77563	1	Si
30	0.298	25.13	0	-5391	SLV 16	-5391	-25632	-211438	-77563	-77563	1	Si
85	0.298	25.13	0	67249	SLV 1	67249	25632	211438	77563	77563	1	Si
85	0.298	25.13	0	-7481	SLV 16	-7481	-25632	-211438	-77563	-77563	1	Si
125	0.298	25.13	0	65729	SLV 1	65729	25632	211438	77563	77563	1	Si
125	0.298	25.13	0	-9001	SLV 16	-9001	-25632	-211438	-77563	-77563	1	Si
170	0	25.13	0	64019	SLV 1	64019	25632	211438	0	25632	1	Si
170	0	25.13	0	-10711	SLV 16	-10711	-25632	-211438	0	-25632	1	Si

Verifiche SLD Resistenza a taglio

x	A st	A sl	A sag	Vela	Comb.	Vdes	Vrd	Vrcd	Vrsd	Vult	cotgθ	Verifica
0	0	25.13	0	52120	SLD 1	52120	25632	211438	0	25632	1	Si
30	0.298	25.13	0	50980	SLD 1	50980	25632	211438	77563	77563	1	Si
85	0.298	25.13	0	48890	SLD 1	48890	25632	211438	77563	77563	1	Si
125	0.298	25.13	0	47370	SLD 1	47370	25632	211438	77563	77563	1	Si
170	0	25.13	0	45660	SLD 1	45660	25632	211438	0	25632	1	Si

Verifiche delle tensioni in esercizio

x	Rara							Quasi permanente							Verifica
	Mela	Comb.	Mdes	σ c	σ c lim.	σ f.	σ f lim.	Mela	Comb.	Mdes	σ c	σ c lim.	σ FRP	σ FRP lim.	
0	-2947182	8	-2391659	31.9	149.4	1403.8	3600	-2651302	4	-2154719	28.8	112.1	0	+∞	Si
30	-1853108	8	-1853108	24.8	149.4	1087.7	3600	-1675110	4	-1675110	22.4	112.1	0	+∞	Si
85	64233	8	1169083	15.6	149.4	686.2	3600	26112	4	1000112	13.4	112.1	0	+∞	Si
85	-17628	2	-1082887	14.5	149.4	635.6	3600	-13196	1	-990158	13.2	112.1	0	+∞	Si
125	1386338	8	1386338	18.5	149.4	813.7	3600	1191039	4	1191039	15.9	112.1	0	+∞	Si
170	2801097	8	2112938	28.2	149.4	1240.2	3600	2428974	4	1829227	24.4	112.1	0	+∞	Si

Verifica di apertura delle fessure

La campata non presenta apertura delle fessure

Verifica di deformabilità

x	Rara				Frequente				Quasi permanente						Verifica
	Elastica+	Elastica-	Fess.+	Fess.-	Elastica+	Elastica-	Fess.+	Fess.-	Elastica+	Elastica-	Fess. viscosa+	Comb.	Fess. viscosa-	Comb.	l/f
30	-0.001	-0.001	-0.001	-0.001	-0.001	-0.001	-0.001	-0.001	-0.001	-0.001	-0.002	1	-0.002	1	9999
34	-0.001	-0.001	-0.001	-0.001	-0.001	-0.001	-0.001	-0.001	-0.001	-0.001	-0.002	1	-0.002	1	9999
85	0	0	0	0	0	0	0	0	0	0	0	4	0	4	9999
125	0.001	0.001	0.001	0.001	0.001	0.001	0.001	0.001	0.001	0.001	0.002	4	0.001	4	9999

Campata 11 tra i fili Pil.A13 - Palo3, sezione R 90x80, asta 2285

Verifiche a flessione in famiglia SLU

x	A sup.	C.b. sup.	A inf.	C.b. inf.	M+ela	Comb.	M+des	M+ult	x/d	M-ela	Comb.	M-des	M-ult	x/d	Verifica
0	25.13	6	25.13	6	4299841	SLU 16	3022906	6915255	0.095						Si
45	25.13	6	25.13	6	1696126	SLU 16	1696126	6915255	0.095	664116	SLU 1	-443259	-6915255	0.095	Si
80	25.13	6	25.13	6	-281236	SLU 8	1595859	6915255	0.095	-512010	SLU 10	-2446560	-6915255	0.095	Si
130	25.13	6	25.13	6						-3494588	SLU 16	-3494588	-6915255	0.095	Si
160	25.13	6	25.13	6						-5411662	SLU 16	-4442093	-6915255	0.095	Si

Verifiche a flessione in famiglia SLV (domini sostanzialmente elastici)

La struttura oppure parte di essa, è stata dichiarata come non dissipativa pertanto la verifica a pressoflessione, per tutte o solo alcune sezioni, viene eseguita calcolando i momenti resistenti in campo sostanzialmente elastico secondo D.M. 17-01-2018 §7.4.1

Le dilatazioni ultime utilizzate sono le seguenti: $\epsilon_{c2} = 0.002$, $\epsilon_{yd} = 0.0019$

x	A sup.	C.b. sup.	A inf.	C.b. inf.	M+ela	Comb.	M+des	M+ult	x/d	M-ela	Comb.	M-des	M-ult	x/d	Verifica
0	25.13	6	25.13	6	3953617	SLV 8	2474006	6635554	0.225						Si
45	25.13	6	25.13	6	1239322	SLV 16	1239322	6635554	0.225	748691	SLV 1	-1141037	-6635554	0.225	Si
80	25.13	6	25.13	6	522895	SLV 14	1200004	6635554	0.225	-1242812	SLV 3	-3346935	-6635554	0.225	Si
130	25.13	6	25.13	6	-296234	SLV 9	224521	6635554	0.225	-4454290	SLV 8	-4454290	-6635554	0.225	Si
160	25.13	6	25.13	6						-6472630	SLV 8	-5456869	-6635554	0.225	Si

Verifiche SLD Resistenza a flessione (domini sostanzialmente elastici)

La struttura oppure parte di essa, è stata dichiarata come non dissipativa pertanto la verifica a pressoflessione, per tutte o solo alcune sezioni, viene eseguita calcolando i momenti resistenti in campo sostanzialmente elastico secondo D.M. 17-01-2018 §7.4.1

Le dilatazioni ultime utilizzate sono le seguenti: $\epsilon_{c2} = 0.002$, $\epsilon_{yd} = 0.0019$

x	A sup.	C.b. sup.	A inf.	C.b. inf.	M+ela	Comb.	M+des	M+ult	x/d	M-ela	Comb.	M-des	M-ult	x/d	Verifica
0	25.13	6	25.13	6	3338896	SLD 8	2175835	6635554	0.225						Si
45	25.13	6	25.13	6	1122125	SLD 16	1122125	6635554	0.225	865888	SLD 1	-726844	-6635554	0.225	Si
80	25.13	6	25.13	6	91501	SLD 14	1070606	6635554	0.225	-811418	SLD 3	-2554102	-6635554	0.225	Si
130	25.13	6	25.13	6						-3458535	SLD 8	-3458535	-6635554	0.225	Si
160	25.13	6	25.13	6						-5111143	SLD 8	-4277383	-6635554	0.225	Si

Verifiche a taglio in famiglia SLU

x	A st	A sl	A sag	Vela	Comb.	Vdes	Vrd	Vrcd	Vrsd	Vult	cotgθ	Verifica
0	0	25.13	0	-56745	SLU 16	-56745	-25632	-211438	0	-25632	1	Si
45	0.296	25.13	0	-58968	SLU 16	-58968	-25632	-211438	-77057	-77057	1	Si
80	0.296	25.13	0	-60697	SLU 16	-60697	-25632	-211438	-77057	-77057	1	Si
130	0.296	25.13	0	-63167	SLU 16	-63167	-25632	-211438	-77057	-77057	1	Si
160	0	25.13	0	-64649	SLU 16	-64649	-25632	-211438	0	-25632	1	Si

Verifiche a taglio in famiglia SLV

x	A st	A sl	A sag	Vela	Comb.	Vdes	Vrd	Vrcd	Vrsd	Vult	cotgθ	Verifica
0	0	25.13	0	-61899	SLV 8	-61899	-25632	-211438	0	-25632	1	Si
45	0.296	25.13	0	-63609	SLV 8	-63609	-25632	-211438	-77057	-77057	1	Si
80	0.296	25.13	0	-64939	SLV 8	-64939	-25632	-211438	-77057	-77057	1	Si
130	0.296	25.13	0	-66839	SLV 8	-66839	-25632	-211438	-77057	-77057	1	Si
160	0	25.13	0	-67979	SLV 8	-67979	-25632	-211438	0	-25632	1	Si

Verifiche SLD Resistenza a taglio

x	A st	A sl	A sag	Vela	Comb.	Vdes	Vrd	Vrcd	Vrsd	Vult	cotgθ	Verifica
0	0	25.13	0	-49650	SLD 8	-49650	-25632	-211438	0	-25632	1	Si
45	0.296	25.13	0	-51360	SLD 8	-51360	-25632	-211438	-77057	-77057	1	Si
80	0.296	25.13	0	-52690	SLD 8	-52690	-25632	-211438	-77057	-77057	1	Si
130	0.296	25.13	0	-54590	SLD 8	-54590	-25632	-211438	-77057	-77057	1	Si
160	0	25.13	0	-55730	SLD 8	-55730	-25632	-211438	0	-25632	1	Si

Verifiche delle tensioni in esercizio

x	Rara							Quasi permanente							Verifica
---	------	--	--	--	--	--	--	------------------	--	--	--	--	--	--	----------

RELAZIONE GEOTECNICA E SULLE FONDAZIONI

	Mela	Comb.	Mdes	σ_c	σ_c lim.	σ_f	σ_f lim.	Mela	Comb.	Mdes	σ_c	σ_c lim.	σ_{FRP}	σ_{FRP} lim.	
0	3126505	8	2192073	29.3	149.4	1286.7	3600	2666728	4	1849538	24.7	112.1	0	+\infty	Si
45	1219300	8	1219300	16.3	149.4	715.7	3600	994006	4	994006	13.3	112.1	0	+\infty	Si
80	-393160	2	-1822203	24.3	149.4	1069.6	3600	-388651	1	-1691603	22.6	112.1	0	+\infty	Si
130	-2592881	8	-2592881	34.6	149.4	1521.9	3600	-2375262	4	-2375262	31.7	112.1	0	+\infty	Si
160	-4003786	8	-3289847	43.9	149.4	1931	3600	-3629844	4	-2994066	40	112.1	0	+\infty	Si

Verifica di apertura delle fessure

La campata non presenta apertura delle fessure

Verifica di deformabilità

x	Rara				Frequente				Quasi permanente						Verifica
	Elastica+	Elastica-	Fess.+	Fess.-	Elastica+	Elastica-	Fess.+	Fess.-	Elastica+	Elastica-	Fess. viscosa+	Comb.	Fess. viscosa-	Comb.	I/f
45	0.001	0	0	0	0.001	0	0	0	0.001	0	0	4	0	4	9999
80	-0.001	-0.001	-0.001	-0.001	-0.001	-0.001	-0.001	-0.001	-0.001	-0.001	-0.002	4	-0.003	4	9999
117	-0.001	-0.002	-0.002	-0.002	-0.001	-0.002	-0.002	-0.002	-0.001	-0.002	-0.004	1	-0.004	1	9999
130	-0.001	-0.002	-0.001	-0.002	-0.001	-0.002	-0.001	-0.002	-0.001	-0.002	-0.003	1	-0.004	1	9999

Campata 12 tra i fili Palo3 - Pil.A15, sezione R 90x80, asta 946

Verifiche a flessione in famiglia SLU

x	A sup.	C.b. sup.	A inf.	C.b. inf.	M+ela	Comb.	M+des	M+ult	x/d	M-ela	Comb.	M-des	M-ult	x/d	Verifica
0	25.13	6	25.13	6						-5537251	SLU 16	-4895962	-6915255	0.095	Si
30	25.13	6	25.13	6						-4276738	SLU 16	-4276738	-6915255	0.095	Si
80	25.13	6	25.13	6	-1203070	SLU 1	45811	6915255	0.095	-2274239	SLU 16	-3594184	-6915255	0.095	Si
115	25.13	6	25.13	6						-946260	SLU 16	-2208480	-6915255	0.095	Si
160	25.13	6	25.13	6	672612	SLU 16	117736	6915255	0.095						Si

Verifiche a flessione in famiglia SLV (domini sostanzialmente elastici)

La struttura oppure parte di essa, è stata dichiarata come non dissipativa pertanto la verifica a pressoflessione, per tutte o solo alcune sezioni, viene eseguita calcolando i momenti resistenti in campo sostanzialmente elastico secondo D.M. 17-01-2018 §7.4.1

Le dilatazioni ultime utilizzate sono le seguenti: $\epsilon_{c2} = 0.002$, $\epsilon_{yd} = 0.0019$

x	A sup.	C.b. sup.	A inf.	C.b. inf.	M+ela	Comb.	M+des	M+ult	x/d	M-ela	Comb.	M-des	M-ult	x/d	Verifica
0	25.13	6	25.13	6						-7097887	SLV 3	-6234536	-6635554	0.225	Si
30	25.13	6	25.13	6						-5353312	SLV 3	-5353312	-6635554	0.225	Si
80	25.13	6	25.13	6	-90001	SLV 9	724285	6635554	0.225	-2917269	SLV 8	-4406026	-6635554	0.225	Si
115	25.13	6	25.13	6	777607	SLV 9	777607	6635554	0.225	-1975629	SLV 8	-2863426	-6635554	0.225	Si
160	25.13	6	25.13	6	2453922	SLV 5	1120202	6635554	0.225	-1461966	SLV 12	-1184893	-6635554	0.225	Si

Verifiche SLD Resistenza a flessione (domini sostanzialmente elastici)

La struttura oppure parte di essa, è stata dichiarata come non dissipativa pertanto la verifica a pressoflessione, per tutte o solo alcune sezioni, viene eseguita calcolando i momenti resistenti in campo sostanzialmente elastico secondo D.M. 17-01-2018 §7.4.1

Le dilatazioni ultime utilizzate sono le seguenti: $\epsilon_{c2} = 0.002$, $\epsilon_{yd} = 0.0019$

x	A sup.	C.b. sup.	A inf.	C.b. inf.	M+ela	Comb.	M+des	M+ult	x/d	M-ela	Comb.	M-des	M-ult	x/d	Verifica
0	25.13	6	25.13	6						-5457228	SLD 3	-4799144	-6635554	0.225	Si
30	25.13	6	25.13	6						-4140777	SLD 3	-4140777	-6635554	0.225	Si
80	25.13	6	25.13	6	-770890	SLD 9	63421	6635554	0.225	-2236380	SLD 8	-3427258	-6635554	0.225	Si
115	25.13	6	25.13	6	111492	SLD 9	111492	6635554	0.225	-1309513	SLD 8	-2186714	-6635554	0.225	Si
160	25.13	6	25.13	6	1503836	SLD 5	562344	6635554	0.225	-511880	SLD 12	-511880	-6635554	0.225	Si

Verifiche a taglio in famiglia SLU

x	A st	A sl	A sag	Vela	Comb.	Vdes	Vrd	Vrcd	Vrsd	Vult	cotg θ	Verifica
0	0	25.13	0	42764	SLU 16	42764	25632	211438	0	25632	1	Si
30	0.259	25.13	0	41282	SLU 16	41282	25632	211438	67424	67424	1	Si
80	0.259	25.13	0	38812	SLU 16	38812	25632	211438	67424	67424	1	Si
115	0.259	25.13	0	37083	SLU 16	37083	25632	211438	67424	67424	1	Si
160	0	25.13	0	34860	SLU 16	34860	25632	211438	0	25632	1	Si

Verifiche a taglio in famiglia SLV

x	A st	A sl	A sag	Vela	Comb.	Vdes	Vrd	Vrcd	Vrsd	Vult	cotg θ	Verifica
0	0	25.13	0	59888	SLV 3	59888	25632	211438	0	25632	1	Si
0	0	25.13	0	-778	SLV 14	-778	-25632	-211438	0	-25632	1	Si
30	0.259	25.13	0	58748	SLV 3	58748	25632	211438	67424	67424	1	Si
30	0.259	25.13	0	-1918	SLV 14	-1918	-25632	-211438	-67424	-67424	1	Si
80	0.259	25.13	0	56848	SLV 3	56848	25632	211438	67424	67424	1	Si
80	0.259	25.13	0	-3818	SLV 14	-3818	-25632	-211438	-67424	-67424	1	Si
115	0.259	25.13	0	55518	SLV 3	55518	25632	211438	67424	67424	1	Si
115	0.259	25.13	0	-5148	SLV 14	-5148	-25632	-211438	-67424	-67424	1	Si
160	0	25.13	0	53808	SLV 3	53808	25632	211438	0	25632	1	Si
160	0	25.13	0	-6858	SLV 14	-6858	-25632	-211438	0	-25632	1	Si

Verifiche SLD Resistenza a taglio

x	A st	A sl	A sag	Vela	Comb.	Vdes	Vrd	Vrcd	Vrsd	Vult	cotg θ	Verifica
0	0	25.13	0	45031	SLD 3	45031	25632	211438	0	25632	1	Si
30	0.259	25.13	0	43891	SLD 3	43891	25632	211438	67424	67424	1	Si
80	0.259	25.13	0	41991	SLD 3	41991	25632	211438	67424	67424	1	Si
115	0.259	25.13	0	40661	SLD 3	40661	25632	211438	67424	67424	1	Si
160	0	25.13	0	38951	SLD 3	38951	25632	211438	0	25632	1	Si

Verifiche delle tensioni in esercizio

x	Rara							Quasi permanente							Verifica
	Mela	Comb.	Mdes	σ_c	σ_c lim.	σ_f	σ_f lim.	Mela	Comb.	Mdes	σ_c	σ_c lim.	σ_{FRP}	σ_{FRP} lim.	
0	-4104803	8	-3626836	48.4	149.4	2128.8	3600	-3746448	4	-3303248	44.1	112.1	0	+\infty	Si
30	-3165843	8	-3165843	42.3	149.4	1858.2	3600	-2877021	4	-2877021	38.4	112.1	0	+\infty	Si
80	-1676569	8	-2657872	35.5	149.4	1560.1	3600	-1503635	4	-2407757	32.2	112.1	0	+\infty	Si
115	-690823	8	-1627722	21.7	149.4	955.4	3600	-599011	4	-1458729	19.5	112.1	0	+\infty	Si
160	508465	8	72008	1	149.4	42.3	3600	495978	4	32346	0.4	112.1	0	+\infty	Si

Verifica di apertura delle fessure

x	Bordo	Rara				Frequente				Quasi permanente				Verifica
		Dmax	Esm	Wd	Comb	Dmax	Esm	Wd	Comb	Dmax	Esm	Wd	Comb	
0	superiore	35.3	0.00062	0.0219	8	35.3	0.00063	0.0221	4	35.3	0.0006	0.0212	4	Si
30	superiore	35.3	0.00054	0.0191	8	35.3	0.00051	0.0178	4	35.3	0.00049	0.0173	4	Si

Verifica di deformabilità

x	Rara				Frequente				Quasi permanente						Verifica
	Elastica+	Elastica-	Fess.+	Fess.-	Elastica+	Elastica-	Fess.+	Fess.-	Elastica+	Elastica-	Fess. viscosa+	Comb.	Fess. viscosa-	Comb.	I/f
30	-0.002	-0.003	-0.002	-0.003	-0.002	-0.003	-0.002	-0.003	-0.002	-0.003	-0.006	1	-0.008	1	9999

RELAZIONE GEOTECNICA E SULLE FONDAZIONI

x	Rara				Frequente				Quasi permanente						Verifica
	Elastica+	Elastica-	Fess.+	Fess.-	Elastica+	Elastica-	Fess.+	Fess.-	Elastica+	Elastica-	Fess. viscosa+	Comb.	Fess. viscosa-	Comb.	
64	-0.003	-0.004	-0.003	-0.004	-0.003	-0.004	-0.003	-0.004	-0.003	-0.004	-0.008	1	-0.01	1	9999 Si
80	-0.003	-0.004	-0.003	-0.004	-0.003	-0.004	-0.003	-0.004	-0.003	-0.004	-0.008	1	-0.01	1	9999 Si
115	-0.002	-0.003	-0.002	-0.003	-0.002	-0.002	-0.002	-0.003	-0.002	-0.002	-0.005	1	-0.006	1	9999 Si

Trave a "Fondazione" Pil.A1-Platea B3

Caratteristiche dei materiali

Acciaio: B450C Fyk 4500
Calcestruzzo: C25/30 Rck 300

Elenco delle sezioni

N°	Descrizione	Tipo	Base	Altezza	Copriferro sup.	Copriferro inf.	Copriferro lat.
1	R 90x80	Rettangolare	90	80	4	4	4

Output campate

Campata 1 tra i fili Pil.A1 - Palo49, sezione R 90x80, asta 2306

Verifiche a flessione in famiglia SLU

x	A sup.	C.b. sup.	A inf.	C.b. inf.	M+ela	Comb.	M+des	M+ult	x/d	M-ela	Comb.	M-des	M-ult	x/d	Verifica
0	31.42	6	31.42	6	9648970	SLU 16	2734435	8588058	0.102						Si
45	31.42	6	31.42	6	1526129	SLU 16	1526129	8588058	0.102	808576	SLU 1	-289504	-8588058	0.102	Si
77	31.42	6	31.42	6	-111548	SLU 1	1526129	8588058	0.102	-245115	SLU 16	-2114422	-8588058	0.102	Si
125	31.42	6	31.42	6						-2928032	SLU 16	-2928032	-8588058	0.102	Si
155	31.42	6	31.42	6						-4679792	SLU 16	-3792849	-8588058	0.102	Si

Verifiche a flessione in famiglia SLV (domini sostanzialmente elastici)

La struttura oppure parte di essa, è stata dichiarata come non dissipativa pertanto la verifica a pressoflessione, per tutte o solo alcune sezioni, viene eseguita calcolando i momenti resistenti in campo sostanzialmente elastico secondo D.M. 17-01-2018 §7.4.1

Le dilatazioni ultime utilizzate sono le seguenti: $\epsilon_{c2} = 0.002$, $\epsilon_{yd} = 0.0019$

x	A sup.	C.b. sup.	A inf.	C.b. inf.	M+ela	Comb.	M+des	M+ult	x/d	M-ela	Comb.	M-des	M-ult	x/d	Verifica
0	31.42	6	31.42	6	6205105	SLD 9	5309572	8238298	0.245	-4599905	SLV 8	-4599905	-8238298	0.245	Si
45	31.42	6	31.42	6	7282679	SLV 9	7282679	8238298	0.245	-5298047	SLV 8	-6017559	-8238298	0.245	Si
77	31.42	6	31.42	6	5673772	SLV 9	7282679	8238298	0.245	-5997641	SLV 8	-6917481	-8238298	0.245	Si
125	31.42	6	31.42	6	3534599	SLV 11	5005534	8238298	0.245	-7377314	SLV 6	-7377314	-8238298	0.245	Si
155	31.42	6	31.42	6	2600916	SLV 15	2600916	8238298	0.245	-8754185	SLV 2	-8261278	-8238298	0.245	Si

Verifiche SLD Resistenza a flessione (domini sostanzialmente elastici)

La struttura oppure parte di essa, è stata dichiarata come non dissipativa pertanto la verifica a pressoflessione, per tutte o solo alcune sezioni, viene eseguita calcolando i momenti resistenti in campo sostanzialmente elastico secondo D.M. 17-01-2018 §7.4.1

Le dilatazioni ultime utilizzate sono le seguenti: $\epsilon_{c2} = 0.002$, $\epsilon_{yd} = 0.0019$

x	A sup.	C.b. sup.	A inf.	C.b. inf.	M+ela	Comb.	M+des	M+ult	x/d	M-ela	Comb.	M-des	M-ult	x/d	Verifica
0	31.42	6	31.42	6	6205105	SLD 9	5309572	8238298	0.245	-1156041	SLD 8	-1156041	-8238298	0.245	Si
45	31.42	6	31.42	6	4254053	SLD 9	4254053	8238298	0.245	-2269421	SLD 8	-3224883	-8238298	0.245	Si
77	31.42	6	31.42	6	2876390	SLD 9	4254053	8238298	0.245	-3200259	SLD 8	-4280457	-8238298	0.245	Si
125	31.42	6	31.42	6	939226	SLD 11	2286768	8238298	0.245	-4781941	SLD 6	-4781941	-8238298	0.245	Si
155	31.42	6	31.42	6						-5984672	SLD 2	-5510325	-8238298	0.245	Si

Verifiche a taglio in famiglia SLU

x	A st	A sl	A sag	Vela	Comb.	Vdes	Vrd	Vrcd	Vrzd	Vult	cotgθ	Verifica
0	0	31.42	0	-51479	SLU 16	-51479	-27611	-211438	0	-27611	1	Si
45	0.314	31.42	0	-53702	SLU 16	-53702	-27611	-211438	-81874	-81874	1	Si
77	0.314	31.42	0	-55308	SLU 16	-55308	-27611	-211438	-81874	-81874	1	Si
125	0.314	31.42	0	-57654	SLU 16	-57654	-27611	-211438	-81874	-81874	1	Si
155	0	31.42	0	-59136	SLU 16	-59136	-27611	-211438	0	-27611	1	Si

Verifiche a taglio in famiglia SLV

x	A st	A sl	A sag	Vela	Comb.	Vdes	Vrd	Vrcd	Vrzd	Vult	cotgθ	Verifica
0	0	31.42	0	184	SLV 12	184	27611	211438	0	27611	1	Si
0	0	31.42	0	-66568	SLV 5	-66568	-27611	-211438	0	-27611	1	Si
45	0.314	31.42	0	-68278	SLV 5	-68278	-27611	-211438	-81874	-81874	1	Si
77	0.314	31.42	0	-69513	SLV 5	-69513	-27611	-211438	-81874	-81874	1	Si
125	0.314	31.42	0	-71318	SLV 5	-71318	-27611	-211438	-81874	-81874	1	Si
155	0	31.42	0	-72458	SLV 5	-72458	-27611	-211438	0	-27611	1	Si

Verifiche SLD Resistenza a taglio

x	A st	A sl	A sag	Vela	Comb.	Vdes	Vrd	Vrcd	Vrzd	Vult	cotgθ	Verifica
0	0	31.42	0	-50428	SLD 5	-50428	-27611	-211438	0	-27611	1	Si
45	0.314	31.42	0	-52138	SLD 5	-52138	-27611	-211438	-81874	-81874	1	Si
77	0.314	31.42	0	-53373	SLD 5	-53373	-27611	-211438	-81874	-81874	1	Si
125	0.314	31.42	0	-55178	SLD 5	-55178	-27611	-211438	-81874	-81874	1	Si
155	0	31.42	0	-56318	SLD 5	-56318	-27611	-211438	0	-27611	1	Si

Verifiche delle tensioni in esercizio

x	Rara							Quasi permanente							Verifica
	Mela	Comb.	Mdes	σ c	σ c lim.	σ f.	σ f lim.	Mela	Comb.	Mdes	σ c	σ c lim.	σ FRP	σ FRP lim.	
0	2864121	8	2013860	24	149.4	950.6	3600	2524532	4	1777609	21.2	112.1	0	$+\infty$	Si
45	1125229	8	1125229	13.4	149.4	531.1	3600	992316	4	992316	11.8	112.1	0	$+\infty$	Si
77	-178283	8	-1555776	18.5	149.4	734.4	3600	-161935	4	-1386488	16.5	112.1	0	$+\infty$	Si
125	-2155859	8	-2155859	25.7	149.4	1017.6	3600	-1921357	4	-1921357	22.9	112.1	0	$+\infty$	Si
155	-3448920	8	-2793879	33.3	149.4	1318.8	3600	-3076634	4	-2490485	29.6	112.1	0	$+\infty$	Si

Verifica di apertura delle fessure

La campata non presenta apertura delle fessure

Verifica di deformabilità

x	Rara				Frequente				Quasi permanente						Verifica
	Elastica+	Elastica-	Fess.+	Fess.-	Elastica+	Elastica-	Fess.+	Fess.-	Elastica+	Elastica-	Fess. viscosa+	Comb.	Fess. viscosa-	Comb.	
45	0.001	0.001	0	0	0.001	0.001	0	0	0.001	0.001	0.001	4	0.001	4	9999 Si
77	0	0	0	0	0	0	0	0	0	0	-0.001	1	-0.001	1	9999 Si
119	-0.001	-0.001	-0.001	-0.001	-0.001	-0.001	-0.001	-0.001	-0.001	-0.001	-0.002	1	-0.003	1	9999 Si
125	-0.001	-0.001	-0.001	-0.001	-0.001	-0.001	-0.001	-0.001	-0.001	-0.001	-0.002	1	-0.003	1	9999 Si

Campata 2 tra i fili Palo49 - Palo50, sezione R 90x80, asta 2307

Verifiche a flessione in famiglia SLU

x	A sup.	C.b. sup.	A inf.	C.b. inf.	M+ela	Comb.	M+des	M+ult	x/d	M-ela	Comb.	M-des	M-ult	x/d	Verifica
0	31.42	6	31.42	6						-3992401	SLU 16	-3769049	-8588058	0.102	Si
30	31.42	6	31.42	6						-3567482	SLU 16	-3567482	-8588058	0.102	Si
135	31.42	6	31.42	6	-1198626	SLU 1	177845	8588058	0.102	-2428374	SLU 16	-2730933	-8588058	0.102	Si
240	31.42	6	31.42	6						-1834807	SLU 16	-1963835	-8588058	0.102	Si
270	31.42	6	31.42	6						-1764683	SLU 16	-1764683	-8588058	0.102	Si

Verifiche a flessione in famiglia SLV (domini sostanzialmente elastici)

La struttura oppure parte di essa, è stata dichiarata come non dissipativa pertanto la verifica a pressoflessione, per tutte o solo alcune sezioni, viene eseguita calcolando i momenti resistenti in campo sostanzialmente elastico secondo D.M. 17-01-2018 §7.4.1

Le dilatazioni ultime utilizzate sono le seguenti: $\epsilon_{c2} = 0.002$, $\epsilon_{yd} = 0.0019$

x	A sup.	C.b. sup.	A inf.	C.b. inf.	M+ela	Comb.	M+des	M+ult	x/d	M-ela	Comb.	M-des	M-ult	x/d	Verifica
0	31.42	6	31.42	6	2863393	SLV 15	2548586	8238298	0.245	-5539430	SLV 2	-7521987	-8238298	0.245	Si
30	31.42	6	31.42	6	2438329	SLV 15	2438329	8238298	0.245	-7126365	SLV 2	-7126365	-8238298	0.245	Si
135	31.42	6	31.42	6	827636	SLV 11	1349258	8238298	0.245	-3936362	SLV 6	-4868541	-8238298	0.245	Si
240	31.42	6	31.42	6	698658	SLV 8	698658	8238298	0.245	-3067368	SLV 9	-3067368	-8238298	0.245	Si
270	31.42	6	31.42	6	1151597	SLV 8	1098665	8238298	0.245	-3461900	SLV 9	-3421413	-8238298	0.245	Si

Verifiche SLD Resistenza a flessione (domini sostanzialmente elastici)

La struttura oppure parte di essa, è stata dichiarata come non dissipativa pertanto la verifica a pressoflessione, per tutte o solo alcune sezioni, viene eseguita calcolando i momenti resistenti in campo sostanzialmente elastico secondo D.M. 17-01-2018 §7.4.1

Le dilatazioni ultime utilizzate sono le seguenti: $\epsilon_{c2} = 0.002$, $\epsilon_{yd} = 0.0019$

x	A sup.	C.b. sup.	A inf.	C.b. inf.	M+ela	Comb.	M+des	M+ult	x/d	M-ela	Comb.	M-des	M-ult	x/d	Verifica
0	31.42	6	31.42	6	247148	SLD 11	93738	8238298	0.245	-5067139	SLD 6	-5067139	-8238298	0.245	Si
30	31.42	6	31.42	6	172965	SLD 11	172965	8238298	0.245	-4861001	SLD 6	-4861001	-8238298	0.245	Si
135	31.42	6	31.42	6						-2815405	SLD 6	-3402926	-8238298	0.245	Si
240	31.42	6	31.42	6						-2168273	SLD 9	-2168273	-8238298	0.245	Si
270	31.42	6	31.42	6	41286	SLD 8	19198	8238298	0.245	-2351589	SLD 9	-2341947	-8238298	0.245	Si

Verifiche a taglio in famiglia SLU

x	A st	A sl	A sag	Vela	Comb.	Vdes	Vrd	Vrcd	Vrsd	Vult	cotgθ	Verifica
0	0	31.42	0	14920	SLU 16	14920	27611	211438	0	27611	1	Si
30	0.15	31.42	0	13438	SLU 16	13438	27611	211438	38986	38986	1	Si
135	0.15	31.42	0	8251	SLU 16	8251	27611	211438	38986	38986	1	Si
240	0.15	31.42	0	3064	SLU 16	3064	27611	211438	38986	38986	1	Si
270	0	31.42	0	1797	SLU 8	1797	27611	211438	0	27611	1	Si
270	0	31.42	0	-932	SLU 9	-932	-27611	-211438	0	-27611	1	Si

Verifiche a taglio in famiglia SLV

x	A st	A sl	A sag	Vela	Comb.	Vdes	Vrd	Vrcd	Vrsd	Vult	cotgθ	Verifica
0	0	31.42	0	35787	SLV 8	35787	27611	211438	0	27611	1	Si
0	0	31.42	0	-14483	SLV 9	-14483	-27611	-211438	0	-27611	1	Si
30	0.15	31.42	0	34647	SLV 8	34647	27611	211438	38986	38986	1	Si
30	0.15	31.42	0	-15623	SLV 9	-15623	-27611	-211438	-38986	-38986	1	Si
135	0.15	31.42	0	30657	SLV 8	30657	27611	211438	38986	38986	1	Si
135	0.15	31.42	0	-19613	SLV 9	-19613	-27611	-211438	-38986	-38986	1	Si
240	0.15	31.42	0	26667	SLV 8	26667	27611	211438	38986	38986	1	Si
240	0.15	31.42	0	-23603	SLV 9	-23603	-27611	-211438	-38986	-38986	1	Si
270	0	31.42	0	25527	SLV 8	25527	27611	211438	0	27611	1	Si
270	0	31.42	0	-24743	SLV 9	-24743	-27611	-211438	0	-27611	1	Si

Verifiche SLD Resistenza a taglio

x	A st	A sl	A sag	Vela	Comb.	Vdes	Vrd	Vrcd	Vrsd	Vult	cotgθ	Verifica
0	0	31.42	0	23762	SLD 8	23762	27611	211438	0	27611	1	Si
0	0	31.42	0	-2458	SLD 9	-2458	-27611	-211438	0	-27611	1	Si
30	0.15	31.42	0	22622	SLD 8	22622	27611	211438	38986	38986	1	Si
30	0.15	31.42	0	-3598	SLD 9	-3598	-27611	-211438	-38986	-38986	1	Si
135	0.15	31.42	0	18632	SLD 8	18632	27611	211438	38986	38986	1	Si
135	0.15	31.42	0	-7588	SLD 9	-7588	-27611	-211438	-38986	-38986	1	Si
240	0.15	31.42	0	14642	SLD 8	14642	27611	211438	38986	38986	1	Si
240	0.15	31.42	0	-11578	SLD 9	-11578	-27611	-211438	-38986	-38986	1	Si
270	0	31.42	0	13502	SLD 8	13502	27611	211438	0	27611	1	Si
270	0	31.42	0	-12718	SLD 9	-12718	-27611	-211438	0	-27611	1	Si

Verifiche delle tensioni in esercizio

x	Rara							Quasi permanente							Verifica
	Mela	Comb.	Mdes	σ c	σ c lim.	σ f.	σ f lim.	Mela	Comb.	Mdes	σ c	σ c lim.	σ FRP	σ FRP lim.	
0	-2947020	8	-2779078	33.1	149.4	1311.8	3600	-2646141	4	-2486700	29.6	112.1	0	+∞	Si
30	-2627895	8	-2627895	31.3	149.4	1240.4	3600	-2344018	4	-2344018	27.9	112.1	0	+∞	Si
135	-1778733	8	-2002884	23.8	149.4	945.4	3600	-1554363	4	-1759642	20.9	112.1	0	+∞	Si
240	-1349218	8	-1439884	17.1	149.4	679.7	3600	-1184355	4	-1256149	15	112.1	0	+∞	Si
270	-1303013	8	-1303013	15.5	149.4	615	3600	-1155151	4	-1155151	13.7	112.1	0	+∞	Si

Verifica di apertura delle fessure

La campata non presenta apertura delle fessure

Verifica di deformabilità

x	Rara				Frequente				Quasi permanente							Verifica
	Elastica+	Elastica-	Fess.+	Fess.-	Elastica+	Elastica-	Fess.+	Fess.-	Elastica+	Elastica-	Fess. viscosa+	Comb.	Fess. viscosa-	Comb.	I/f	
30	-0.004	-0.006	-0.004	-0.006	-0.004	-0.006	-0.004	-0.005	-0.004	-0.005	-0.009	1	-0.012	1	9999	Si
126	-0.009	-0.014	-0.008	-0.012	-0.009	-0.012	-0.008	-0.011	-0.009	-0.012	-0.021	1	-0.027	1	9999	Si
135	-0.009	-0.013	-0.008	-0.012	-0.009	-0.012	-0.008	-0.011	-0.009	-0.012	-0.021	1	-0.027	1	9999	Si
240	-0.003	-0.005	-0.003	-0.004	-0.003	-0.004	-0.003	-0.004	-0.003	-0.004	-0.007	1	-0.009	1	9999	Si

Campata 3 tra i fili Palo50 - PilA2, sezione R 90x80, asta 1601

Verifiche a flessione in famiglia SLU

x	A sup.	C.b. sup.	A inf.	C.b. inf.	M+ela	Comb.	M+des	M+ult	x/d	M-ela	Comb.	M-des	M-ult	x/d	Verifica
0	31.42	6	31.42	6						-1986494	SLU 16	-1286081	-8588058	0.102	Si
30	31.42	6	31.42	6	-170784	SLU 2	1396141	8588058	0.102	-364664	SLU 16	-364664	-8588058	0.102	Si
77	31.42	6	31.42	6	2134421	SLU 16	3795438	8588058	0.102						Si
110	31.42	6	31.42	6	3795438	SLU 16	3795438	8588058	0.102						Si
155	31.42	6	31.42	6	6030262	SLU 16	5100119	8588058	0.102						Si

Verifiche a flessione in famiglia SLV (domini sostanzialmente elastici)

La struttura oppure parte di essa, è stata dichiarata come non dissipativa pertanto la verifica a pressoflessione, per tutte o solo alcune sezioni, viene

eseguita calcolando i momenti resistenti in campo sostanzialmente elastico secondo D.M. 17-01-2018 §7.4.1

Le dilatazioni ultime utilizzate sono le seguenti: $\epsilon_{c2}= 0.002$, $\epsilon_{yd}= 0.0019$

x	A sup.	C.b. sup.	A inf.	C.b. inf.	M+ela	Comb.	M+des	M+ult	x/d	M-ela	Comb.	M-des	M-ult	x/d	Verifica
0	31.42	6	31.42	6	1018230	SLV 12	1018230	8238298	0.245	-3645152	SLV 5	-3165257	-8238298	0.245	Si
30	31.42	6	31.42	6	1883061	SLV 8	3895933	8238298	0.245	-2309879	SLV 9	-2309879	-8238298	0.245	Si
77	31.42	6	31.42	6	4910576	SLV 2	7282511	8238298	0.245	-1959752	SLV 15	-2095871	-8238298	0.245	Si
110	31.42	6	31.42	6	7282511	SLV 2	7282511	8238298	0.245	-2095871	SLV 15	-2095871	-8238298	0.245	Si
155	31.42	6	31.42	6	10642826	SLV 6	9235550	8238298	0.245	-2460522	SLV 11	-2295753	-8238298	0.245	Si

Verifiche SLD Resistenza a flessione (domini sostanzialmente elastici)

La struttura oppure parte di essa, è stata dichiarata come non dissipativa pertanto la verifica a pressoflessione, per tutte o solo alcune sezioni, viene eseguita calcolando i momenti resistenti in campo sostanzialmente elastico secondo D.M. 17-01-2018 §7.4.1

Le dilatazioni ultime utilizzate sono le seguenti: $\epsilon_{c2}= 0.002$, $\epsilon_{yd}= 0.0019$

x	A sup.	C.b. sup.	A inf.	C.b. inf.	M+ela	Comb.	M+des	M+ult	x/d	M-ela	Comb.	M-des	M-ult	x/d	Verifica
0	31.42	6	31.42	6						-2535819	SLD 5	-2073270	-8238298	0.245	Si
30	31.42	6	31.42	6	873486	SLD 8	2470843	8238298	0.245	-1300304	SLD 9	-1300304	-8238298	0.245	Si
77	31.42	6	31.42	6	3235482	SLD 2	5022333	8238298	0.245	-284658	SLD 15	-875349	-8238298	0.245	Si
110	31.42	6	31.42	6	5022333	SLD 6	5022333	8238298	0.245	164307	SLD 11	-297321	-8238298	0.245	Si
155	31.42	6	31.42	6	7556551	SLD 6	6515584	8238298	0.245						Si

Verifiche a taglio in famiglia SLU

x	A st	A sl	A sag	Vela	Comb.	Vdes	Vrd	Vrcd	Vrsd	Vult	cotgθ	Verifica
0	0	31.42	0	62719	SLU 16	62719	27611	211438	0	27611	1	Si
30	0.393	31.42	0	61428	SLU 16	61428	27611	211438	102343	102343	1	Si
77	0.393	31.42	0	59384	SLU 16	59384	27611	211438	102343	102343	1	Si
110	0.393	31.42	0	57986	SLU 16	57986	27611	211438	102343	102343	1	Si
155	0	31.42	0	56050	SLU 16	56050	27611	211438	0	27611	1	Si

Verifiche a taglio in famiglia SLV

x	A st	A sl	A sag	Vela	Comb.	Vdes	Vrd	Vrcd	Vrsd	Vult	cotgθ	Verifica
0	0	31.42	0	94340	SLV 6	94340	27611	211438	0	27611	1	Si
0	0	31.42	0	-9141	SLV 11	-9141	-27611	-211438	0	-27611	1	Si
30	0.393	31.42	0	93347	SLV 6	93347	27611	211438	102343	102343	1	Si
30	0.393	31.42	0	-10134	SLV 11	-10134	-27611	-211438	-102343	-102343	1	Si
77	0.393	31.42	0	91775	SLV 6	91775	27611	211438	102343	102343	1	Si
77	0.393	31.42	0	-11706	SLV 11	-11706	-27611	-211438	-102343	-102343	1	Si
110	0.393	31.42	0	90699	SLV 6	90699	27611	211438	102343	102343	1	Si
110	0.393	31.42	0	-12781	SLV 11	-12781	-27611	-211438	-102343	-102343	1	Si
155	0	31.42	0	89210	SLV 6	89210	27611	211438	0	27611	1	Si
155	0	31.42	0	-14271	SLV 11	-14271	-27611	-211438	0	-27611	1	Si

Verifiche SLD Resistenza a taglio

x	A st	A sl	A sag	Vela	Comb.	Vdes	Vrd	Vrcd	Vrsd	Vult	cotgθ	Verifica
0	0	31.42	0	70007	SLD 6	70007	27611	211438	0	27611	1	Si
30	0.393	31.42	0	69014	SLD 6	69014	27611	211438	102343	102343	1	Si
77	0.393	31.42	0	67442	SLD 6	67442	27611	211438	102343	102343	1	Si
110	0.393	31.42	0	66367	SLD 6	66367	27611	211438	102343	102343	1	Si
155	0	31.42	0	64877	SLD 6	64877	27611	211438	0	27611	1	Si

Verifiche delle tensioni in esercizio

x	Rara								Quasi permanente								Verifica
	Mela	Comb.	Mdes	σ c	σ c lim.	σ f.	σ f lim.	Mela	Comb.	Mdes	σ c	σ c lim.	σ FRP	σ FRP lim.			
0	-1469037	8	-949306	11.3	149.4	448.1	3600	-1313461	4	-837510	10	112.1	0	+∞	Si		
30	-266198	8	-266198	3.2	149.4	125.7	3600	-213409	4	-213409	2.5	112.1	0	+∞	Si		
77	1585366	8	2814623	33.5	149.4	1328.6	3600	1475412	4	2593320	30.9	112.1	0	+∞	Si		
110	2814623	8	2814623	33.5	149.4	1328.6	3600	2593320	4	2593320	30.9	112.1	0	+∞	Si		
155	4466635	8	3779713	45	149.4	1784.1	3600	4091152	4	3469899	41.3	112.1	0	+∞	Si		

Verifica di apertura delle fessure

La campata non presenta apertura delle fessure

Verifica di deformabilità

x	Rara				Frequente				Quasi permanente								Verifica
	Elastica+	Elastica-	Fess.+	Fess.-	Elastica+	Elastica-	Fess.+	Fess.-	Elastica+	Elastica-	Fess. viscosa+	Comb.	Fess. viscosa-	Comb.	l/f		
30	0.001	0.001	0.001	0.001	0.001	0.001	0.001	0.001	0.001	0.001	0.003	4	0.003	4	9999	Si	
77	0.003	0.002	0.004	0.003	0.003	0.002	0.003	0.003	0.003	0.002	0.009	4	0.007	4	9999	Si	
98	0.004	0.003	0.004	0.003	0.003	0.003	0.004	0.003	0.003	0.003	0.009	4	0.007	4	9999	Si	
110	0.003	0.003	0.004	0.003	0.003	0.003	0.004	0.003	0.003	0.003	0.009	4	0.007	4	9999	Si	

Campata 4 tra i fili Pil.A2 - Palo51, sezione R 90x80, aste 2248, 2400

Verifiche a flessione in famiglia SLU

x	A sup.	C.b. sup.	A inf.	C.b. inf.	M+ela	Comb.	M+des	M+ult	x/d	M-ela	Comb.	M-des	M-ult	x/d	Verifica
0	31.42	6	31.42	6	4432645	SLV 16	3751913	8588058	0.102						Si
45	31.42	6	31.42	6	3139709	SLU 16	3139709	8588058	0.102						Si
127	31.42	6	31.42	6	638661	SLU 15	1662971	8588058	0.102	448198	SLU 1	-440847	-8588058	0.102	Si
225	31.42	6	31.42	6						-1103018	SLU 16	-1178156	-8588058	0.102	Si
255	31.42	6	31.42	6						-1152295	SLU 16	-1120190	-8588058	0.102	Si

Verifiche a flessione in famiglia SLV (domini sostanzialmente elastici)

La struttura oppure parte di essa, è stata dichiarata come non dissipativa pertanto la verifica a pressoflessione, per tutte o solo alcune sezioni, viene eseguita calcolando i momenti resistenti in campo sostanzialmente elastico secondo D.M. 17-01-2018 §7.4.1

Le dilatazioni ultime utilizzate sono le seguenti: $\epsilon_{c2}= 0.002$, $\epsilon_{yd}= 0.0019$

x	A sup.	C.b. sup.	A inf.	C.b. inf.	M+ela	Comb.	M+des	M+ult	x/d	M-ela	Comb.	M-des	M-ult	x/d	Verifica
0	31.42	6	31.42	6	10482535	SLV 9	9034511	8238298	0.245	-4302763	SLV 8	-3782766	-8238298	0.245	Si
45	31.42	6	31.42	6	7711095	SLV 9	7711095	8238298	0.245	-3298119	SLV 8	-3298119	-8238298	0.245	Si
127	31.42	6	31.42	6	2813308	SLV 9	4711609	8238298	0.245	-1859526	SLV 8	-2327449	-8238298	0.245	Si
225	31.42	6	31.42	6	389869	SLV 5	682332	8238298	0.245	-1865358	SLV 12	-2245615	-8238298	0.245	Si
255	31.42	6	31.42	6	243317	SLV 8	243317	8238298	0.245	-1794119	SLV 9	-1287876	-8238298	0.245	Si

Verifiche SLD Resistenza a flessione (domini sostanzialmente elastici)

La struttura oppure parte di essa, è stata dichiarata come non dissipativa pertanto la verifica a pressoflessione, per tutte o solo alcune sezioni, viene eseguita calcolando i momenti resistenti in campo sostanzialmente elastico secondo D.M. 17-01-2018 §7.4.1

Le dilatazioni ultime utilizzate sono le seguenti: $\epsilon_{c2}= 0.002$, $\epsilon_{yd}= 0.0019$

x	A sup.	C.b. sup.	A inf.	C.b. inf.	M+ela	Comb.	M+des	M+ult	x/d	M-ela	Comb.	M-des	M-ult	x/d	Verifica
0	31.42	6	31.42	6	6892085	SLD 9	5920635	8238298	0.245	-712314	SLD 8	-668890	-8238298	0.245	Si
45	31.42	6	31.42	6	5034098	SLD 9	5034098	8238298	0.245	-621122	SLD 8	-621122	-8238298	0.245	Si
127	31.42	6	31.42	6	1679038	SLD 9	2997283	8238298	0.245	-725256	SLD 8	-1171850	-8238298	0.245	Si
225	31.42	6	31.42	6						-1329812	SLD 12	-1557524	-8238298	0.245	Si

RELAZIONE GEOTECNICA E SULLE FONDAZIONI

x	A sup.	C.b. sup.	A inf.	C.b. inf.	M+ela	Comb.	M+des	M+ult	x/d	M-ela	Comb.	M-des	M-ult	x/d	Verifica
255	31.42	6	31.42	6						-1307782	SLD 9	-1018066	-8238298	0.245	Si

Verifiche a taglio in famiglia SLU

x	A st	A sl	A sag	Vela	Comb.	Vdes	Vrd	Vrcd	Vrsd	Vult	cotgθ	Verifica
0	0	31.42	0	-26073	SLU 16	-26073	-27611	-211438	0	-27611	1	Si
42	0	31.42	0	-27146	SLU 16	-27146	-27611	-211438	0	-27611	1	Si
45	0.262	31.42	0	-27209	SLU 16	-27209	-27611	-211438	-68227	-68227	1	Si
127	0.262	31.42	0	-29291	SLU 16	-29291	-27611	-211438	-68227	-68227	1	Si
225	0.262	31.42	0	-1160	SLU 11	-1160	-27611	-211438	-68227	-68227	1	Si
255	0	31.42	0	-1917	SLU 11	-1917	-27611	-211438	0	-27611	1	Si

Verifiche a taglio in famiglia SLV

x	A st	A sl	A sag	Vela	Comb.	Vdes	Vrd	Vrcd	Vrsd	Vult	cotgθ	Verifica
0	0	31.42	0	22413	SLV 8	22413	27611	211438	0	27611	1	Si
0	0	31.42	0	-57945	SLV 9	-57945	-27611	-211438	0	-27611	1	Si
42	0	31.42	0	21588	SLV 8	21588	27611	211438	0	27611	1	Si
42	0	31.42	0	-58770	SLV 9	-58770	-27611	-211438	0	-27611	1	Si
45	0.262	31.42	0	21540	SLV 8	21540	27611	211438	68227	68227	1	Si
45	0.262	31.42	0	-58818	SLV 9	-58818	-27611	-211438	-68227	-68227	1	Si
127	0.262	31.42	0	19938	SLV 8	19938	27611	211438	68227	68227	1	Si
127	0.262	31.42	0	-60420	SLV 9	-60420	-27611	-211438	-68227	-68227	1	Si
225	0.262	31.42	0	5848	SLV 8	5848	27611	211438	68227	68227	1	Si
225	0.262	31.42	0	-7593	SLV 9	-7593	-27611	-211438	-68227	-68227	1	Si
255	0	31.42	0	5265	SLV 8	5265	27611	211438	0	27611	1	Si
255	0	31.42	0	-8176	SLV 9	-8176	-27611	-211438	0	-27611	1	Si

Verifiche SLD Resistenza a taglio

x	A st	A sl	A sag	Vela	Comb.	Vdes	Vrd	Vrcd	Vrsd	Vult	cotgθ	Verifica
0	0	31.42	0	2997	SLD 8	2997	27611	211438	0	27611	1	Si
0	0	31.42	0	-38528	SLD 9	-38528	-27611	-211438	0	-27611	1	Si
42	0	31.42	0	2172	SLD 8	2172	27611	211438	0	27611	1	Si
42	0	31.42	0	-39353	SLD 9	-39353	-27611	-211438	0	-27611	1	Si
45	0.262	31.42	0	2123	SLD 8	2123	27611	211438	68227	68227	1	Si
45	0.262	31.42	0	-39402	SLD 9	-39402	-27611	-211438	-68227	-68227	1	Si
127	0.262	31.42	0	522	SLD 8	522	27611	211438	68227	68227	1	Si
127	0.262	31.42	0	-41003	SLD 9	-41003	-27611	-211438	-68227	-68227	1	Si
225	0.262	31.42	0	2684	SLD 8	2684	27611	211438	68227	68227	1	Si
225	0.262	31.42	0	-4430	SLD 9	-4430	-27611	-211438	-68227	-68227	1	Si
255	0	31.42	0	2102	SLD 8	2102	27611	211438	0	27611	1	Si
255	0	31.42	0	-5013	SLD 9	-5013	-27611	-211438	0	-27611	1	Si

Verifiche delle tensioni in esercizio

x	Rara							Quasi permanente							Verifica
	Mela	Comb.	Mdes	σ c	σ c lim.	σ f.	σ f lim.	Mela	Comb.	Mdes	σ c	σ c lim.	σ FRP	σ FRP lim.	
0	3301578	8	2797564	33.3	149.4	1320.5	3600	3089886	4	2625873	31.3	112.1	0	+∞	Si
45	2343603	8	2343603	27.9	149.4	1106.2	3600	2206488	4	2206488	26.3	112.1	0	+∞	Si
127	485534	7	1247657	14.9	149.4	588.9	3600	476891	4	1192080	14.2	112.1	0	+∞	Si
225	-814198	8	-867699	10.3	149.4	409.6	3600	-737744	4	-781641	9.3	112.1	0	+∞	Si
255	-852087	8	-827400	9.8	149.4	390.5	3600	-775401	4	-750838	8.9	112.1	0	+∞	Si

Verifica di apertura delle fessure

La campata non presenta apertura delle fessure

Verifica di deformabilità

x	Rara				Frequente				Quasi permanente						Verifica
	Elastica+	Elastica-	Fess.+	Fess.-	Elastica+	Elastica-	Fess.+	Fess.-	Elastica+	Elastica-	Fess. viscosa+	Comb.	Fess. viscosa-	Comb.	l/f
45	0.005	0.004	0.004	0.003	0.005	0.004	0.004	0.003	0.005	0.004	0.009	4	0.008	4	9999
76	0.006	0.005	0.005	0.004	0.005	0.005	0.004	0.004	0.005	0.005	0.011	4	0.01	4	9999
127	0.004	0.003	0.003	0.003	0.004	0.003	0.003	0.003	0.004	0.003	0.008	4	0.007	4	9999
225	0	-0.001	0	0	0	0	0	0	0	0	0	1	0	1	9999

Campata 5 tra i fili Palo51 - Palo53, sezione R 90x80, aste 2402, 2401

Verifiche a flessione in famiglia SLU

x	A sup.	C.b. sup.	A inf.	C.b. inf.	M+ela	Comb.	M+des	M+ult	x/d	M-ela	Comb.	M-des	M-ult	x/d	Verifica
0	31.42	6	31.42	6						-1080680	SLU 16	-1023025	-8588058	0.102	Si
30	31.42	6	31.42	6						-919561	SLU 16	-919561	-8588058	0.102	Si
45	31.42	6	31.42	6	-459009	SLU 1	7239	8588058	0.102	-886786	SLU 16	-919561	-8588058	0.102	Si
90	31.42	6	31.42	6						-789748	SLU 16	-858997	-8588058	0.102	Si

Verifiche a flessione in famiglia SLV (domini sostanzialmente elastici)

La struttura oppure parte di essa, è stata dichiarata come non dissipativa pertanto la verifica a pressoflessione, per tutte o solo alcune sezioni, viene eseguita calcolando i momenti resistenti in campo sostanzialmente elastico secondo D.M. 17-01-2018 §7.4.1

Le dilatazioni ultime utilizzate sono le seguenti: $\epsilon_{c2}=0.002$, $\epsilon_{yd}=0.0019$

x	A sup.	C.b. sup.	A inf.	C.b. inf.	M+ela	Comb.	M+des	M+ult	x/d	M-ela	Comb.	M-des	M-ult	x/d	Verifica
0	31.42	6	31.42	6						-1318105	SLV 8	-1318105	-8238298	0.245	Si
30	31.42	6	31.42	6	434761	SLV 9	1026964	8238298	0.245	-1636637	SLV 8	-2131068	-8238298	0.245	Si
45	31.42	6	31.42	6	735218	SLV 9	1266675	8238298	0.245	-1905550	SLV 8	-2321546	-8238298	0.245	Si
72	31.42	6	31.42	6	1165997	SLV 9	1453479	8238298	0.245	-2240983	SLV 8	-2473102	-8238298	0.245	Si
90	31.42	6	31.42	6	1453479	SLV 9	1453479	8238298	0.245	-2473102	SLV 8	-2473102	-8238298	0.245	Si

Verifiche SLD Resistenza a flessione (domini sostanzialmente elastici)

La struttura oppure parte di essa, è stata dichiarata come non dissipativa pertanto la verifica a pressoflessione, per tutte o solo alcune sezioni, viene eseguita calcolando i momenti resistenti in campo sostanzialmente elastico secondo D.M. 17-01-2018 §7.4.1

Le dilatazioni ultime utilizzate sono le seguenti: $\epsilon_{c2}=0.002$, $\epsilon_{yd}=0.0019$

x	A sup.	C.b. sup.	A inf.	C.b. inf.	M+ela	Comb.	M+des	M+ult	x/d	M-ela	Comb.	M-des	M-ult	x/d	Verifica
0	31.42	6	31.42	6						-1034747	SLD 8	-1034747	-8238298	0.245	Si
30	31.42	6	31.42	6	-48267	SLD 9	291829	8238298	0.245	-1153609	SLD 8	-1395933	-8238298	0.245	Si
45	31.42	6	31.42	6	119358	SLD 9	432175	8238298	0.245	-1289689	SLD 8	-1487046	-8238298	0.245	Si
72	31.42	6	31.42	6	373375	SLD 9	540751	8238298	0.245	-1448361	SLD 8	-1560374	-8238298	0.245	Si
90	31.42	6	31.42	6	540751	SLD 9	540751	8238298	0.245	-1560374	SLD 8	-1560374	-8238298	0.245	Si

Verifiche a taglio in famiglia SLU

x	A st	A sl	A sag	Vela	Comb.	Vdes	Vrd	Vrcd	Vrsd	Vult	cotgθ	Verifica
0	0	31.42	0	7424	SLU 16	7424	27611	211438	0	27611	1	Si
30	0.157	31.42	0	6898	SLU 16	6898	27611	211438	40936	40936	1	Si
45	0.157	31.42	0	3324	SLU 13	3324	27611	211438	40936	40936	1	Si
90	0.157	31.42	0	2535	SLU 13	2535	27611	211438	40936	40936	1	Si

Verifiche a taglio in famiglia SLV

x	A st	A sl	A sag	Vela	Comb.	Vdes	Vrd	Vrcd	Vrsd	Vult	cotgθ	Verifica
0	0	31.42	0	28117	SLV 5	28117	27611	211438	0	27611	1	Si
0	0	31.42	0	-17338	SLV 12	-17338	-27611	-211438	0	-27611	1	Si
30	0.157	31.42	0	27712	SLV 5	27712	27611	211438	40936	40936	1	Si
30	0.157	31.42	0	-17743	SLV 12	-17743	-27611	-211438	-40936	-40936	1	Si
45	0.157	31.42	0	23014	SLV 5	23014	27611	211438	40936	40936	1	Si
45	0.157	31.42	0	-17941	SLV 12	-17941	-27611	-211438	-40936	-40936	1	Si
90	0.157	31.42	0	22406	SLV 5	22406	27611	211438	40936	40936	1	Si
90	0.157	31.42	0	-18548	SLV 12	-18548	-27611	-211438	-40936	-40936	1	Si

Verifiche SLD Resistenza a taglio

x	A st	A sl	A sag	Vela	Comb.	Vdes	Vrd	Vrcd	Vrsd	Vult	cotgθ	Verifica
0	0	31.42	0	17511	SLD 5	17511	27611	211438	0	27611	1	Si
0	0	31.42	0	-6733	SLD 12	-6733	-27611	-211438	0	-27611	1	Si
30	0.157	31.42	0	17106	SLD 5	17106	27611	211438	40936	40936	1	Si
30	0.157	31.42	0	-7138	SLD 12	-7138	-27611	-211438	-40936	-40936	1	Si
45	0.157	31.42	0	13494	SLD 5	13494	27611	211438	40936	40936	1	Si
45	0.157	31.42	0	-8421	SLD 12	-8421	-27611	-211438	-40936	-40936	1	Si
90	0.157	31.42	0	12886	SLD 5	12886	27611	211438	40936	40936	1	Si
90	0.157	31.42	0	-9028	SLD 12	-9028	-27611	-211438	-40936	-40936	1	Si

Verifiche delle tensioni in esercizio

x	Rara							Quasi permanente							Verifica
	Mela	Comb.	Mdes	σ c	σ c lim.	σ f.	σ f lim.	Mela	Comb.	Mdes	σ c	σ c lim.	σ FRP	σ FRP lim.	
0	-797040	8	-753469	9	149.4	355.7	3600	-717642	4	-675703	8	112.1	0	+∞	Si
30	-675440	8	-675440	8	149.4	318.8	3600	-600938	4	-600938	7.2	112.1	0	+∞	Si
45	-652392	8	-675440	8	149.4	318.8	3600	-585166	4	-600938	7.2	112.1	0	+∞	Si
90	-577891	8	-631053	7.5	149.4	297.9	3600	-509811	4	-563605	6.7	112.1	0	+∞	Si

Verifica di apertura delle fessure

La campata non presenta apertura delle fessure

Verifica di deformabilità

x	Rara				Frequente				Quasi permanente						Verifica
	Elastica+	Elastica-	Fess.+	Fess.-	Elastica+	Elastica-	Fess.+	Fess.-	Elastica+	Elastica-	Fess. viscosa+	Comb.	Fess. viscosa-	Comb.	
30	0	0	0	0	0	0	0	0	0	0	-0.001	1	-0.001	1	9999 Si
45	0	0	0	0	0	0	0	0	0	0	-0.001	1	-0.001	1	9999 Si

Campata 6 tra i fili Palo53 - 7, sezione R 90x80, aste 2405, 2404

Verifiche a flessione in famiglia SLU

x	A sup.	C.b. sup.	A inf.	C.b. inf.	M+ela	Comb.	M+des	M+ult	x/d	M-ela	Comb.	M-des	M-ult	x/d	Verifica
0	31.42	6	31.42	6						-1202708	SLU 16	-1202708	-8588058	0.102	Si
2	31.42	6	31.42	6						-1193930	SLU 16	-1202708	-8588058	0.102	Si
23	31.42	6	31.42	6	-424922	SLU 1	2962	8588058	0.102	-811653	SLU 16	-1202708	-8588058	0.102	Si
45	31.42	6	31.42	6						-873143	SLU 16	-1137379	-8588058	0.102	Si

Verifiche a flessione in famiglia SLV (domini sostanzialmente elastici)

La struttura oppure parte di essa, è stata dichiarata come non dissipativa pertanto la verifica a pressoflessione, per tutte o solo alcune sezioni, viene eseguita calcolando i momenti resistenti in campo sostanzialmente elastico secondo D.M. 17-01-2018 §7.4.1

Le dilatazioni ultime utilizzate sono le seguenti: $\epsilon_{c2} = 0.002$, $\epsilon_{yd} = 0.0019$

x	A sup.	C.b. sup.	A inf.	C.b. inf.	M+ela	Comb.	M+des	M+ult	x/d	M-ela	Comb.	M-des	M-ult	x/d	Verifica
0	31.42	6	31.42	6	95753	SLV 9	2606759	8238298	0.245	-1715689	SLV 8	-3711978	-8238298	0.245	Si
12	31.42	6	31.42	6	629325	SLV 9	3000880	8238298	0.245	-2146322	SLV 8	-4142682	-8238298	0.245	Si
23	31.42	6	31.42	6	2241787	SLV 9	3000880	8238298	0.245	-3323049	SLV 8	-4142682	-8238298	0.245	Si
45	31.42	6	31.42	6	3000880	SLV 9	3000880	8238298	0.245	-4142682	SLV 8	-4142682	-8238298	0.245	Si

Verifiche SLD Resistenza a flessione (domini sostanzialmente elastici)

La struttura oppure parte di essa, è stata dichiarata come non dissipativa pertanto la verifica a pressoflessione, per tutte o solo alcune sezioni, viene eseguita calcolando i momenti resistenti in campo sostanzialmente elastico secondo D.M. 17-01-2018 §7.4.1

Le dilatazioni ultime utilizzate sono le seguenti: $\epsilon_{c2} = 0.002$, $\epsilon_{yd} = 0.0019$

x	A sup.	C.b. sup.	A inf.	C.b. inf.	M+ela	Comb.	M+des	M+ult	x/d	M-ela	Comb.	M-des	M-ult	x/d	Verifica
0	31.42	6	31.42	6	-330185	SLD 9	1140915	8238298	0.245	-1289750	SLD 8	-2246134	-8238298	0.245	Si
12	31.42	6	31.42	6	-17229	SLD 9	1344188	8238298	0.245	-1499768	SLD 8	-2485990	-8238298	0.245	Si
23	31.42	6	31.42	6	950208	SLD 9	1344188	8238298	0.245	-2031470	SLD 8	-2485990	-8238298	0.245	Si
45	31.42	6	31.42	6	1344188	SLD 9	1344188	8238298	0.245	-2485990	SLD 8	-2485990	-8238298	0.245	Si

Verifiche a taglio in famiglia SLU

x	A st	A sl	A sag	Vela	Comb.	Vdes	Vrd	Vrcd	Vrsd	Vult	cotgθ	Verifica
0	0.157	31.42	0	3941	SLU 13	3941	27611	211438	40936	40936	1	Si
2	0.14	31.42	0	3888	SLU 13	3888	27611	211438	36388	36388	1	Si
23	0.14	31.42	0	-1427	SLU 16	-1427	-27611	-211438	-36388	-36388	1	Si
45	0.209	31.42	0	-2217	SLU 16	-2217	-27611	-211438	-54582	-54582	1	Si

Verifiche a taglio in famiglia SLV

x	A st	A sl	A sag	Vela	Comb.	Vdes	Vrd	Vrcd	Vrsd	Vult	cotgθ	Verifica
0	0.157	31.42	0	33879	SLV 9	33879	27611	211438	40936	40936	1	Si
0	0.157	31.42	0	-27836	SLV 8	-27836	-27611	-211438	-40936	-40936	1	Si
2	0.14	31.42	0	33838	SLV 9	33838	27611	211438	36388	36388	1	Si
2	0.14	31.42	0	-27876	SLV 8	-27876	-27611	-211438	-36388	-36388	1	Si
23	0.14	31.42	0	24148	SLV 9	24148	27611	211438	36388	36388	1	Si
23	0.14	31.42	0	-25334	SLV 8	-25334	-27611	-211438	-36388	-36388	1	Si
45	0.209	31.42	0	23540	SLV 9	23540	27611	211438	54582	54582	1	Si
45	0.209	31.42	0	-25942	SLV 8	-25942	-27611	-211438	-54582	-54582	1	Si

Verifiche SLD Resistenza a taglio

x	A st	A sl	A sag	Vela	Comb.	Vdes	Vrd	Vrcd	Vrsd	Vult	cotgθ	Verifica
0	0.157	31.42	0	19533	SLD 9	19533	27611	211438	40936	40936	1	Si
0	0.157	31.42	0	-13490	SLD 8	-13490	-27611	-211438	-40936	-40936	1	Si
2	0.14	31.42	0	19493	SLD 9	19493	27611	211438	36388	36388	1	Si
2	0.14	31.42	0	-13531	SLD 8	-13531	-27611	-211438	-36388	-36388	1	Si
23	0.14	31.42	0	12645	SLD 9	12645	27611	211438	36388	36388	1	Si
23	0.14	31.42	0	-13831	SLD 8	-13831	-27611	-211438	-36388	-36388	1	Si
45	0.209	31.42	0	12037	SLD 9	12037	27611	211438	54582	54582	1	Si
45	0.209	31.42	0	-14439	SLD 8	-14439	-27611	-211438	-54582	-54582	1	Si

Verifiche delle tensioni in esercizio

x	Rara							Quasi permanente						Verifica
---	------	--	--	--	--	--	--	------------------	--	--	--	--	--	----------

RELAZIONE GEOTECNICA E SULLE FONDAZIONI

	Mela	Comb.	Mdes	σc	σc lim.	σf .	σf lim.	Mela	Comb.	Mdes	σc	σc lim.	σ FRP	σ FRP lim.	
0	-890055	8	-890055	10.6	149.4	420.1	3600	-809968	4	-809968	9.6	112.1	0	+∞	Si
23	-597758	8	-890055	10.6	149.4	420.1	3600	-540631	4	-809968	9.6	112.1	0	+∞	Si
45	-640466	8	-839912	10	149.4	396.5	3600	-570901	4	-759721	9	112.1	0	+∞	Si

Verifica di apertura delle fessure

La campata non presenta apertura delle fessure

Verifica di deformabilità

x	Rara				Frequente				Quasi permanente						Verifica
	Elastica+	Elastica-	Fess.+	Fess.-	Elastica+	Elastica-	Fess.+	Fess.-	Elastica+	Elastica-	Fess. viscosa+	Comb.	Fess. viscosa-	Comb.	l/f
21	0	0	0	0	0	0	0	0	0	0	0	1	0	1	9999
23	0	0	0	0	0	0	0	0	0	0	0	1	0	1	9999

Campata 7 tra i fili 7 - Palo52, sezione R 90x80, asta 2403

Verifiche a flessione in famiglia SLU

x	A sup.	C.b. sup.	A inf.	C.b. inf.	M+ela	Comb.	M+des	M+ult	x/d	M-ela	Comb.	M-des	M-ult	x/d	Verifica
0	31.42	6	31.42	6						-718717	SLU 16	-863081	-8588058	0.102	Si
15	31.42	6	31.42	6	-435328	SLU 1	1316	8588058	0.102	-863081	SLU 16	-863081	-8588058	0.102	Si
22	31.42	6	31.42	6	-474911	SLU 1	329	8588058	0.102	-937237	SLU 16	-927392	-8588058	0.102	Si
45	31.42	6	31.42	6						-1167603	SLU 16	-1010077	-8588058	0.102	Si

Verifiche a flessione in famiglia SLV (domini sostanzialmente elastici)

La struttura oppure parte di essa, è stata dichiarata come non dissipativa pertanto la verifica a pressoflessione, per tutte o solo alcune sezioni, viene eseguita calcolando i momenti resistenti in campo sostanzialmente elastico secondo D.M. 17-01-2018 §7.4.1

Le dilatazioni ultime utilizzate sono le seguenti: $\epsilon_{c2} = 0.002$, $\epsilon_{yd} = 0.0019$

x	A sup.	C.b. sup.	A inf.	C.b. inf.	M+ela	Comb.	M+des	M+ult	x/d	M-ela	Comb.	M-des	M-ult	x/d	Verifica
0	31.42	6	31.42	6	2919114	SLV 9	2919114	8238298	0.245	-3860415	SLV 8	-3860415	-8238298	0.245	Si
15	31.42	6	31.42	6	2438395	SLV 9	2919114	8238298	0.245	-3567342	SLV 8	-3860415	-8238298	0.245	Si
22	31.42	6	31.42	6	2197387	SLV 9	2197387	8238298	0.245	-3423194	SLV 8	-3423194	-8238298	0.245	Si
45	31.42	6	31.42	6	1473083	SLV 9	1473083	8238298	0.245	-3001621	SLV 8	-3001621	-8238298	0.245	Si

Verifiche SLD Resistenza a flessione (domini sostanzialmente elastici)

La struttura oppure parte di essa, è stata dichiarata come non dissipativa pertanto la verifica a pressoflessione, per tutte o solo alcune sezioni, viene eseguita calcolando i momenti resistenti in campo sostanzialmente elastico secondo D.M. 17-01-2018 §7.4.1

Le dilatazioni ultime utilizzate sono le seguenti: $\epsilon_{c2} = 0.002$, $\epsilon_{yd} = 0.0019$

x	A sup.	C.b. sup.	A inf.	C.b. inf.	M+ela	Comb.	M+des	M+ult	x/d	M-ela	Comb.	M-des	M-ult	x/d	Verifica
0	31.42	6	31.42	6	1347449	SLD 9	1347449	8238298	0.245	-2288750	SLD 8	-2288750	-8238298	0.245	Si
15	31.42	6	31.42	6	1046060	SLD 9	1347449	8238298	0.245	-2175006	SLD 8	-2288750	-8238298	0.245	Si
22	31.42	6	31.42	6	894274	SLD 9	894274	8238298	0.245	-2120081	SLD 8	-2120081	-8238298	0.245	Si
45	31.42	6	31.42	6	435200	SLD 9	435200	8238298	0.245	-1963738	SLD 8	-1963738	-8238298	0.245	Si

Verifiche a taglio in famiglia SLU

x	A st	A sl	A sag	Vela	Comb.	Vdes	Vrd	Vrcd	Vrsd	Vult	cotgθ	Verifica
0	0.209	31.42	0	-9449	SLU 16	-9449	-27611	-211438	-54582	-54582	1	Si
15	0.209	31.42	0	-9800	SLU 16	-9800	-27611	-211438	-54582	-54582	1	Si
22	0	31.42	0	-9975	SLU 16	-9975	-27611	-211438	0	-27611	1	Si
45	0	31.42	0	-10502	SLU 16	-10502	-27611	-211438	0	-27611	1	Si

Verifiche a taglio in famiglia SLV

x	A st	A sl	A sag	Vela	Comb.	Vdes	Vrd	Vrcd	Vrsd	Vult	cotgθ	Verifica
0	0.209	31.42	0	20233	SLV 8	20233	27611	211438	54582	54582	1	Si
0	0.209	31.42	0	-32472	SLV 9	-32472	-27611	-211438	-54582	-54582	1	Si
15	0.209	31.42	0	19963	SLV 8	19963	27611	211438	54582	54582	1	Si
15	0.209	31.42	0	-32742	SLV 9	-32742	-27611	-211438	-54582	-54582	1	Si
22	0	31.42	0	19828	SLV 8	19828	27611	211438	0	27611	1	Si
22	0	31.42	0	-32877	SLV 9	-32877	-27611	-211438	0	-27611	1	Si
45	0	31.42	0	19423	SLV 8	19423	27611	211438	0	27611	1	Si
45	0	31.42	0	-33282	SLV 9	-33282	-27611	-211438	0	-27611	1	Si

Verifiche SLD Resistenza a taglio

x	A st	A sl	A sag	Vela	Comb.	Vdes	Vrd	Vrcd	Vrsd	Vult	cotgθ	Verifica
0	0.209	31.42	0	7995	SLD 8	7995	27611	211438	54582	54582	1	Si
0	0.209	31.42	0	-20235	SLD 9	-20235	-27611	-211438	-54582	-54582	1	Si
15	0.209	31.42	0	7725	SLD 8	7725	27611	211438	54582	54582	1	Si
15	0.209	31.42	0	-20505	SLD 9	-20505	-27611	-211438	-54582	-54582	1	Si
22	0	31.42	0	7590	SLD 8	7590	27611	211438	0	27611	1	Si
22	0	31.42	0	-20640	SLD 9	-20640	-27611	-211438	0	-27611	1	Si
45	0	31.42	0	7185	SLD 8	7185	27611	211438	0	27611	1	Si
45	0	31.42	0	-21045	SLD 9	-21045	-27611	-211438	0	-27611	1	Si

Verifiche delle tensioni in esercizio

x	Rara								Quasi permanente								Verifica
	Mela	Comb.	Mdes	σc	σc lim.	σf .	σf lim.	Mela	Comb.	Mdes	σc	σc lim.	σ FRP	σ FRP lim.			
0	-527038	8	-633431	7.5	149.4	299	3600	-470650	4	-564473	6.7	112.1	0	+∞	Si		
15	-633431	8	-633431	7.5	149.4	299	3600	-564473	4	-564473	6.7	112.1	0	+∞	Si		
22	-688146	8	-680864	8.1	149.4	321.4	3600	-612903	4	-606407	7.2	112.1	0	+∞	Si		
45	-858367	8	-741849	8.8	149.4	350.2	3600	-764269	4	-660321	7.9	112.1	0	+∞	Si		

Verifica di apertura delle fessure

La campata non presenta apertura delle fessure

Verifica di deformabilità

x	Rara				Frequente				Quasi permanente						Verifica
	Elastica+	Elastica-	Fess.+	Fess.-	Elastica+	Elastica-	Fess.+	Fess.-	Elastica+	Elastica-	Fess. viscosa+	Comb.	Fess. viscosa-	Comb.	l/f
15	0	0	0	0	0	0	0	0	0	0	0	1	0	1	9999
22	0	0	0	0	0	0	0	0	0	0	0	1	0	1	9999
24	0	0	0	0	0	0	0	0	0	0	0	1	0	1	9999

Campata 8 tra i fili Palo52 - Palo54, sezione R 90x80, aste 943, 942

Verifiche a flessione in famiglia SLU

x	A sup.	C.b. sup.	A inf.	C.b. inf.	M+ela	Comb.	M+des	M+ult	x/d	M-ela	Comb.	M-des	M-ult	x/d	Verifica
0	31.42	6	31.42	6						-1349950	SLU 16	-1349950	-8588058	0.102	Si
30	45.33	6	56.95	6	-705803	SLU 1	1316	15362801	0.131	-1408787	SLU 16	-1868947	-12289272	0.106	Si
45	45.33	6	58.19	6	-893614	SLU 1	5265	15689218	0.133	-1781004	SLU 16	-1868947	-12289690	0.106	Si
60	45.33	6	51.72	6	-938641	SLU 1	1316	13980504	0.122	-1868947	SLU 16	-1868947	-12288461	0.109	Si

RELAZIONE GEOTECNICA E SULLE FONDAZIONI

x	A sup.	C.b. sup.	A inf.	C.b. inf.	M+ela	Comb.	M+des	M+ult	x/d	M-ela	Comb.	M-des	M-ult	x/d	Verifica
90	31.42	6	28.27	6						-2060628	SLU 16	-1959522	-8587865	0.104	Si

Verifiche a flessione in famiglia SLV (domini sostanzialmente elastici)

La struttura oppure parte di essa, è stata dichiarata come non dissipativa pertanto la verifica a pressoflessione, per tutte o solo alcune sezioni, viene eseguita calcolando i momenti resistenti in campo sostanzialmente elastico secondo D.M. 17-01-2018 §7.4.1

Le dilatazioni ultime utilizzate sono le seguenti: $\epsilon_{c2}= 0.002$, $\epsilon_{yd}= 0.0019$

x	A sup.	C.b. sup.	A inf.	C.b. inf.	M+ela	Comb.	M+des	M+ult	x/d	M-ela	Comb.	M-des	M-ult	x/d	Verifica
0	31.42	6	31.42	6	920413	SLV 9	785156	8238298	0.245	-2665361	SLV 8	-2558504	-8238298	0.245	Si
30	45.33	6	56.95	6	636849	SLV 9	636849	14612973	0.315	-2454796	SLV 8	-2454796	-11818415	0.272	Si
45	45.33	6	58.19	6	-364217	SLV 9	636849	14913366	0.319	-1931209	SLV 8	-2454796	-11823447	0.271	Si
60	45.33	6	51.72	6	-527102	SLV 9	636849	13336796	0.3	-1882048	SLV 8	-2454796	-11795092	0.276	Si
90	31.42	6	28.27	6						-1922948	SLV 2	-1719215	-8227816	0.248	Si

Verifiche SLD Resistenza a flessione (domini sostanzialmente elastici)

La struttura oppure parte di essa, è stata dichiarata come non dissipativa pertanto la verifica a pressoflessione, per tutte o solo alcune sezioni, viene eseguita calcolando i momenti resistenti in campo sostanzialmente elastico secondo D.M. 17-01-2018 §7.4.1

Le dilatazioni ultime utilizzate sono le seguenti: $\epsilon_{c2}= 0.002$, $\epsilon_{yd}= 0.0019$

x	A sup.	C.b. sup.	A inf.	C.b. inf.	M+ela	Comb.	M+des	M+ult	x/d	M-ela	Comb.	M-des	M-ult	x/d	Verifica
0	31.42	6	31.42	6	84085	SLD 9	5063	8238298	0.245	-1829033	SLD 8	-1778411	-8238298	0.245	Si
30	45.33	6	56.95	6						-1733482	SLD 8	-1733482	-11818415	0.272	Si
45	45.33	6	58.19	6						-1563008	SLD 8	-1733482	-11823447	0.271	Si
60	45.33	6	51.72	6						-1562298	SLD 8	-1733482	-11795092	0.276	Si
90	31.42	6	28.27	6						-1632507	SLD 2	-1525647	-8227816	0.248	Si

Verifiche a taglio in famiglia SLU

x	A st	A sl	A sag	Vela	Comb.	Vdes	Vrd	Vrcd	Vrsd	Vult	cotgθ	Verifica
0	0	45.33	0	-1610	SLU 16	-1610	-31201	-211438	0	-31201	1	Si
30	0.209	45.33	0	-2312	SLU 16	-2312	-31201	-211438	-54582	-54582	1	Si
45	0.209	45.33	0	-5687	SLU 16	-5687	-31201	-211438	-54582	-54582	1	Si
60	0.209	45.33	0	-6038	SLU 16	-6038	-31201	-211438	-54582	-54582	1	Si
90	0	45.33	0	-6740	SLU 16	-6740	-31201	-211438	0	-31201	1	Si

Verifiche a taglio in famiglia SLV

x	A st	A sl	A sag	Vela	Comb.	Vdes	Vrd	Vrcd	Vrsd	Vult	cotgθ	Verifica
0	0	45.33	0	7454	SLV 8	7454	31201	211438	0	31201	1	Si
0	0	51.72	0	-9347	SLV 9	-9347	-32603	-211438	0	-32603	1	Si
30	0.209	45.33	0	6914	SLV 8	6914	31201	211438	54582	54582	1	Si
30	0.209	51.72	0	-9887	SLV 9	-9887	-32603	-211438	-54582	-54582	1	Si
45	0.209	45.33	0	4769	SLV 8	4769	31201	211438	54582	54582	1	Si
45	0.209	45.33	0	-12080	SLV 9	-12080	-31201	-211438	-54582	-54582	1	Si
60	0.209	45.33	0	4499	SLV 8	4499	31201	211438	54582	54582	1	Si
60	0.209	45.33	0	-12350	SLV 9	-12350	-31201	-211438	-54582	-54582	1	Si
90	0	45.33	0	3959	SLV 8	3959	31201	211438	0	31201	1	Si
90	0	45.33	0	-12890	SLV 9	-12890	-31201	-211438	0	-31201	1	Si

Verifiche SLD Resistenza a taglio

x	A st	A sl	A sag	Vela	Comb.	Vdes	Vrd	Vrcd	Vrsd	Vult	cotgθ	Verifica
0	0	45.33	0	3535	SLD 8	3535	31201	211438	0	31201	1	Si
0	0	51.72	0	-5429	SLD 9	-5429	-32603	-211438	0	-32603	1	Si
30	0.209	45.33	0	2995	SLD 8	2995	31201	211438	54582	54582	1	Si
30	0.209	45.33	0	-5969	SLD 9	-5969	-31201	-211438	-54582	-54582	1	Si
45	0.209	45.33	0	839	SLD 8	839	31201	211438	54582	54582	1	Si
45	0.209	45.33	0	-8150	SLD 9	-8150	-31201	-211438	-54582	-54582	1	Si
60	0.209	45.33	0	569	SLD 8	569	31201	211438	54582	54582	1	Si
60	0.209	45.33	0	-8420	SLD 9	-8420	-31201	-211438	-54582	-54582	1	Si
90	0	45.33	0	29	SLD 8	29	31201	211438	0	31201	1	Si
90	0	45.33	0	-8960	SLD 9	-8960	-31201	-211438	0	-31201	1	Si

Verifiche delle tensioni in esercizio

x	Rara								Quasi permanente								Verifica
	Mela	Comb.	Mdes	σ c	σ c lim.	σ f.	σ f lim.	Mela	Comb.	Mdes	σ c	σ c lim.	σ FRP	σ FRP lim.			
0	-990423	8	-990423	11.8	149.4	467.5	3600	-872474	4	-872474	10.4	112.1	0	+∞	Si		
30	-1033298	8	-1371117	12.7	149.4	450.2	3600	-908974	4	-1204575	11.1	112.1	0	+∞	Si		
45	-1306485	8	-1371117	12.6	149.4	450.1	3600	-1147713	4	-1204575	11.1	112.1	0	+∞	Si		
60	-1371117	8	-1371117	13	149.4	451	3600	-1204575	4	-1204575	11.4	112.1	0	+∞	Si		
90	-1512531	8	-1437774	17.4	149.4	679.4	3600	-1330448	4	-1263461	15.3	112.1	0	+∞	Si		

Verifica di apertura delle fessure

La campata non presenta apertura delle fessure

Verifica di deformabilità

x	Rara				Frequente				Quasi permanente								Verifica
	Elastica+	Elastica-	Fess.+	Fess.-	Elastica+	Elastica-	Fess.+	Fess.-	Elastica+	Elastica-	Fess. viscosa+	Comb.	Fess. viscosa-	Comb.	l/f		
30	-0.001	-0.001	0	-0.001	-0.001	-0.001	0	-0.001	-0.001	-0.001	-0.001	1	-0.001	1	9999	Si	
45	-0.001	-0.001	-0.001	-0.001	-0.001	-0.001	-0.001	-0.001	-0.001	-0.001	-0.001	1	-0.002	1	9999	Si	
48	-0.001	-0.001	-0.001	-0.001	-0.001	-0.001	-0.001	-0.001	-0.001	-0.001	-0.001	1	-0.002	1	9999	Si	
60	-0.001	-0.001	-0.001	-0.001	-0.001	-0.001	-0.001	-0.001	-0.001	-0.001	-0.001	1	-0.002	1	9999	Si	

Campata 9 tra i fili Palo54 - Palo58, sezione R 90x80, aste 941, 395

Verifiche a flessione in famiglia SLU

x	A sup.	C.b. sup.	A inf.	C.b. inf.	M+ela	Comb.	M+des	M+ult	x/d	M-ela	Comb.	M-des	M-ult	x/d	Verifica
0	31.42	6	28.27	6						-2639916	SLU 16	-2639916	-8587865	0.104	Si
30	31.42	6	28.27	6						-3021956	SLU 16	-3470807	-8587865	0.104	Si
48	31.42	6	28.27	6						-3261292	SLU 16	-6080828	-8587865	0.104	Si
240	31.42	6	28.27	6	-277005	SLU 1	615858	7751739	0.097	-786602	SLU 16	-1784033	-8587865	0.104	Si
450	31.42	6	28.27	6	4243580	SLU 16	4243580	7751739	0.097						Si
480	31.42	6	28.27	6	4785001	SLU 16	4525042	7751739	0.097						Si

Verifiche a flessione in famiglia SLV (domini sostanzialmente elastici)

La struttura oppure parte di essa, è stata dichiarata come non dissipativa pertanto la verifica a pressoflessione, per tutte o solo alcune sezioni, viene eseguita calcolando i momenti resistenti in campo sostanzialmente elastico secondo D.M. 17-01-2018 §7.4.1

Le dilatazioni ultime utilizzate sono le seguenti: $\epsilon_{c2}= 0.002$, $\epsilon_{yd}= 0.0019$

x	A sup.	C.b. sup.	A inf.	C.b. inf.	M+ela	Comb.	M+des	M+ult	x/d	M-ela	Comb.	M-des	M-ult	x/d	Verifica
0	31.42	6	28.27	6						-2912830	SLV 2	-2912830	-8227816	0.248	Si
30	31.42	6	28.27	6						-3295476	SLV 4	-3742996	-8227816	0.248	Si
240	31.42	6	28.27	6	-96451	SLV 7	910648	7446532	0.233	-809372	SLV 10	-1585616	-8227816	0.248	Si
450	31.42	6	28.27	6	6332662	SLV 4	6332662	7446532	0.233	-1286151	SLV 13	-1286151	-8227816	0.248	Si

RELAZIONE GEOTECNICA E SULLE FONDAZIONI

x	A sup.	C.b. sup.	A inf.	C.b. inf.	M+ela	Comb.	M+des	M+ult	x/d	M-ela	Comb.	M-des	M-ult	x/d	Verifica
480	31.42	6	28.27	6	7137762	SLV 4	6743755	7446532	0.233	-1513496	SLV 13	-1391825	-8227816	0.248	Si

Verifiche SLD Resistenza a flessione (domini sostanzialmente elastici)

La struttura oppure parte di essa, è stata dichiarata come non dissipativa pertanto la verifica a pressoflessione, per tutte o solo alcune sezioni, viene eseguita calcolando i momenti resistenti in campo sostanzialmente elastico secondo D.M. 17-01-2018 §7.4.1

Le dilatazioni ultime utilizzate sono le seguenti: $\epsilon_{c2} = 0.002$, $\epsilon_{yd} = 0.0019$

x	A sup.	C.b. sup.	A inf.	C.b. inf.	M+ela	Comb.	M+des	M+ult	x/d	M-ela	Comb.	M-des	M-ult	x/d	Verifica
0	31.42	6	28.27	6						-2309669	SLD 2	-2309669	-8227816	0.248	Si
30	31.42	6	28.27	6						-2620411	SLD 4	-2986302	-8227816	0.248	Si
240	31.42	6	28.27	6	-264369	SLD 7	529552	7446532	0.233	-641454	SLD 10	-1336962	-8227816	0.248	Si
450	31.42	6	28.27	6	4465456	SLD 4	4465456	7446532	0.233						Si
480	31.42	6	28.27	6	5017309	SLD 4	4749788	7446532	0.233						Si

Verifiche a taglio in famiglia SLU

x	A st	A sl	A sag	Vela	Comb.	Vdes	Vrd	Vrcd	Vrsd	Vult	cotgθ	Verifica
0	0	31.42	0	-12383	SLU 16	-12383	-27611	-211438	0	-27611	1	Si
30	0.196	31.42	0	-13085	SLU 16	-13085	-27611	-211438	-51170	-51170	1	Si
112	0.172	31.42	0	35461	SLU 16	35461	27611	211438	44949	44949	1	Si
240	0.172	31.42	0	29138	SLU 16	29138	27611	211438	44949	44949	1	Si
450	0.148	28.27	0	18764	SLU 16	18764	26659	211438	38529	38529	1	Si
480	0	28.27	0	17282	SLU 16	17282	26659	211438	0	26659	1	Si

Verifiche a taglio in famiglia SLV

x	A st	A sl	A sag	Vela	Comb.	Vdes	Vrd	Vrcd	Vrsd	Vult	cotgθ	Verifica
0	0	31.42	0	-12716	SLV 4	-12716	-27611	-211438	0	-27611	1	Si
30	0.196	31.42	0	-13256	SLV 4	-13256	-27611	-211438	-51170	-51170	1	Si
240	0.172	31.42	0	35386	SLV 4	35386	27611	211438	44949	44949	1	Si
450	0.148	28.27	0	27406	SLV 4	27406	26659	211438	38529	38529	1	Si
480	0.148	31.42	0	-7045	SLV 13	-7045	-27611	-211438	-38529	-38529	1	Si
464	0	28.27	0	26874	SLV 4	26874	26659	211438	0	26659	1	Si
464	0	31.42	0	-7577	SLV 13	-7577	-27611	-211438	0	-27611	1	Si
480	0	28.27	0	26266	SLV 4	26266	26659	211438	0	26659	1	Si
480	0	31.42	0	-8185	SLV 13	-8185	-27611	-211438	0	-27611	1	Si

Verifiche SLD Resistenza a taglio

x	A st	A sl	A sag	Vela	Comb.	Vdes	Vrd	Vrcd	Vrsd	Vult	cotgθ	Verifica
0	0	31.42	0	-10204	SLD 4	-10204	-27611	-211438	0	-27611	1	Si
30	0.196	31.42	0	-10744	SLD 4	-10744	-27611	-211438	-51170	-51170	1	Si
112	0.172	31.42	0	31800	SLD 4	31800	27611	211438	44949	44949	1	Si
240	0.172	31.42	0	26936	SLD 4	26936	27611	211438	44949	44949	1	Si
450	0.148	28.27	0	18955	SLD 4	18955	26659	211438	38529	38529	1	Si
480	0	28.27	0	17815	SLD 4	17815	26659	211438	0	26659	1	Si

Verifiche delle tensioni in esercizio

x	Rara							Quasi permanente							Verifica
	Mela	Comb.	Mdes	σ c	σ c lim.	σ f.	σ f lim.	Mela	Comb.	Mdes	σ c	σ c lim.	σ FRP	σ FRP lim.	
0	-1933635	8	-1933635	23.4	149.4	913.8	3600	-1687372	4	-1687372	20.4	112.1	0	$+\infty$	Si
30	-2210936	8	-2537808	30.7	149.4	1199.3	3600	-1922490	4	-2202538	26.7	112.1	0	$+\infty$	Si
240	-561336	8	-1288740	15.6	149.4	609	3600	-452911	4	-1078529	13.1	112.1	0	$+\infty$	Si
450	3056730	8	3056730	37.7	149.4	1597.6	3600	2523255	4	2523255	31.2	112.1	0	$+\infty$	Si
480	3437308	8	3255289	40.2	149.4	1701.4	3600	2812133	4	2675965	33	112.1	0	$+\infty$	Si

Verifica di apertura delle fessure

x	Bordo	Rara				Frequente				Quasi permanente				Verifica
		Dmax	Esm	Wd	Comb	Dmax	Esm	Wd	Comb	Dmax	Esm	Wd	Comb	
48	superiore	31.6	0.00061	0.0193	8	31.6	0.00063	0.02	4	31.6	0.00059	0.0188	4	Si
480	inferiore	33.2	0.0005	0.0165	8	33.2	0.00043	0.0144	4	33.2	0.00041	0.0135	4	Si

Verifica di deformabilità

x	Rara				Frequente				Quasi permanente						Verifica	
	Elastica+	Elastica-	Fess.+	Fess.-	Elastica+	Elastica-	Fess.+	Fess.-	Elastica+	Elastica-	Fess. viscosa+	Comb.	Fess. viscosa-	Comb.	I/f	
30	-0.006	-0.01	-0.005	-0.01	-0.006	-0.009	-0.005	-0.008	-0.006	-0.009	-0.013	1	-0.021	1	9999	Si
128	-0.016	-0.026	-0.014	-0.027	-0.016	-0.023	-0.014	-0.022	-0.016	-0.022	-0.034	1	-0.055	1	9999	Si
240	-0.009	-0.015	-0.008	-0.016	-0.009	-0.013	-0.008	-0.013	-0.009	-0.013	-0.02	1	-0.033	1	9999	Si
450	0.004	0.002	0.003	0.002	0.003	0.002	0.003	0.002	0.003	0.002	0.006	4	0.005	4	9999	Si

Campata 10 tra i fili Palo58 - Palo62, sezione R 90x80, asta 394

Verifiche a flessione in famiglia SLU

x	A sup.	C.b. sup.	A inf.	C.b. inf.	M+ela	Comb.	M+des	M+ult	x/d	M-ela	Comb.	M-des	M-ult	x/d	Verifica
0	31.42	6	28.27	6	2704025	SLU 16	2704025	7751739	0.097						Si
30	31.42	6	28.27	6	2729846	SLU 16	2729887	7751739	0.097						Si
197	31.42	6	28.27	6	2062571	SLU 16	2304714	7751739	0.097						Si
365	31.42	6	28.27	6	47000	SLV 8	526542	7751739	0.097	-170748	SLV 9	-170748	-8587865	0.104	Si
395	31.42	6	28.27	6						-569096	SLV 9	-359238	-8587865	0.104	Si

Verifiche a flessione in famiglia SLV (domini sostanzialmente elastici)

La struttura oppure parte di essa, è stata dichiarata come non dissipativa pertanto la verifica a pressoflessione, per tutte o solo alcune sezioni, viene eseguita calcolando i momenti resistenti in campo sostanzialmente elastico secondo D.M. 17-01-2018 §7.4.1

Le dilatazioni ultime utilizzate sono le seguenti: $\epsilon_{c2} = 0.002$, $\epsilon_{yd} = 0.0019$

x	A sup.	C.b. sup.	A inf.	C.b. inf.	M+ela	Comb.	M+des	M+ult	x/d	M-ela	Comb.	M-des	M-ult	x/d	Verifica
0	31.42	6	28.27	6	3037622	SLV 16	2982332	7446532	0.233	-39114	SLV 1	-39114	-8227816	0.248	Si
30	31.42	6	28.27	6	2908171	SLV 16	2908171	7446532	0.233						Si
197	31.42	6	28.27	6	1964314	SLV 8	2176093	7446532	0.233						Si
365	31.42	6	28.27	6	1115976	SLV 4	1266440	7446532	0.233	-1221748	SLV 13	-1221748	-8227816	0.248	Si
395	31.42	6	28.27	6	945595	SLV 4	945595	7446532	0.233	-1755381	SLV 13	-1478270	-8227816	0.248	Si

Verifiche SLD Resistenza a flessione (domini sostanzialmente elastici)

La struttura oppure parte di essa, è stata dichiarata come non dissipativa pertanto la verifica a pressoflessione, per tutte o solo alcune sezioni, viene eseguita calcolando i momenti resistenti in campo sostanzialmente elastico secondo D.M. 17-01-2018 §7.4.1

Le dilatazioni ultime utilizzate sono le seguenti: $\epsilon_{c2} = 0.002$, $\epsilon_{yd} = 0.0019$

x	A sup.	C.b. sup.	A inf.	C.b. inf.	M+ela	Comb.	M+des	M+ult	x/d	M-ela	Comb.	M-des	M-ult	x/d	Verifica
0	31.42	6	28.27	6	2288976	SLD 16	2280144	7446532	0.233						Si
30	31.42	6	28.27	6	2253645	SLD 16	2253645	7446532	0.233						Si
197	31.42	6	28.27	6	1650170	SLD 8	1826420	7446532	0.233						Si
365	31.42	6	28.27	6	548108	SLD 4	797258	7446532	0.233	-653880	SLD 13	-653880	-8227816	0.248	Si
395	31.42	6	28.27	6	288591	SLD 4	288591	7446532	0.233	-1098377	SLD 13	-866886	-8227816	0.248	Si

Verifiche a taglio in famiglia SLU

x	A st	A sl	A sag	Vela	Comb.	Vdes	Vrd	Vrcd	Vrsd	Vult	cotgθ	Verifica
---	------	------	-------	------	-------	------	-----	------	------	------	-------	----------

RELAZIONE GEOTECNICA E SULLE FONDAZIONI

x	A st	A sl	A sag	Vela	Comb.	Vdes	Vrd	Vrcd	Vrsd	Vult	cotgθ	Verifica
0	0	28.27	0	5465	SLV 9	5465	26659	211438	0	26659	1	Si
30	0.141	28.27	0	3983	SLV 9	3983	26659	211438	36659	36659	1	Si
30	0.141	28.27	0	-771	SLV 8	-771	-26659	-211438	-36659	-36659	1	Si
197	0.141	28.27	0	-8126	SLV 16	-8126	-26659	-211438	-36659	-36659	1	Si
365	0.141	28.27	0	-16401	SLV 16	-16401	-26659	-211438	-36659	-36659	1	Si
395	0	31.42	0	-17883	SLV 16	-17883	-27611	-211438	0	-27611	1	Si

Verifiche a taglio in famiglia SLV

x	A st	A sl	A sag	Vela	Comb.	Vdes	Vrd	Vrcd	Vrsd	Vult	cotgθ	Verifica
0	0	31.42	0	9173	SLV 1	9173	27611	211438	0	27611	1	Si
0	0	28.27	0	-3804	SLV 16	-3804	-26659	-211438	0	-26659	1	Si
30	0.141	28.27	0	8033	SLV 1	8033	26659	211438	36659	36659	1	Si
30	0.141	28.27	0	-4944	SLV 16	-4944	-26659	-211438	-36659	-36659	1	Si
197	0.141	28.27	0	1668	SLV 1	1668	26659	211438	36659	36659	1	Si
197	0.141	28.27	0	-11309	SLV 16	-11309	-26659	-211438	-36659	-36659	1	Si
365	0.141	31.42	0	-17674	SLV 16	-17674	-27611	-211438	-36659	-36659	1	Si
395	0	31.42	0	-18814	SLV 16	-18814	-27611	-211438	0	-27611	1	Si

Verifiche SLD Resistenza a taglio

x	A st	A sl	A sag	Vela	Comb.	Vdes	Vrd	Vrcd	Vrsd	Vult	cotgθ	Verifica
0	0	28.27	0	5995	SLD 1	5995	26659	211438	0	26659	1	Si
0	0	28.27	0	-627	SLD 16	-627	-26659	-211438	0	-26659	1	Si
30	0.141	28.27	0	4855	SLD 1	4855	26659	211438	36659	36659	1	Si
30	0.141	28.27	0	-1767	SLD 16	-1767	-26659	-211438	-36659	-36659	1	Si
197	0.141	28.27	0	-8132	SLD 16	-8132	-26659	-211438	-36659	-36659	1	Si
365	0.141	31.42	0	-14497	SLD 16	-14497	-27611	-211438	-36659	-36659	1	Si
395	0	31.42	0	-15637	SLD 16	-15637	-27611	-211438	0	-27611	1	Si

Verifiche delle tensioni in esercizio

x	Rara								Quasi permanente						Verifica
	Mela	Comb.	Mdes	σ c	σ c lim.	σ f.	σ f lim.	Mela	Comb.	Mdes	σ c	σ c lim.	σ FRP	σ FRP lim.	
0	1918173	8	1918173	23.7	149.4	1002.6	3600	1499254	4	1499254	18.5	112.1	0	+∞	Si
30	1949835	8	1953602	24.1	149.4	1021.1	3600	1562024	4	1592532	19.7	112.1	0	+∞	Si
197	1502424	8	1675591	20.7	149.4	875.8	3600	1288299	4	1426937	17.6	112.1	0	+∞	Si
365	-131345	1	-131345	1.6	149.4	62.1	3600	-131345	1	-131345	1.6	112.1	0	+∞	Si
395	-437767	1	-276337	3.3	149.4	130.6	3600	-437767	1	-276337	3.3	112.1	0	+∞	Si

Verifica di apertura delle fessure

La campata non presenta apertura delle fessure

Verifica di deformabilità

x	Rara				Frequente				Quasi permanente							Verifica
	Elastica+	Elastica-	Fess.+	Fess.-	Elastica+	Elastica-	Fess.+	Fess.-	Elastica+	Elastica-	Fess. viscosa+	Comb.	Fess. viscosa-	Comb.	I/f	
30	0.007	0.004	0.007	0.004	0.007	0.004	0.006	0.004	0.006	0.004	0.014	4	0.009	4	9999	Si
171	0.023	0.014	0.02	0.012	0.021	0.014	0.018	0.012	0.02	0.014	0.042	4	0.03	4	9324	Si
197	0.023	0.014	0.02	0.012	0.02	0.014	0.018	0.012	0.02	0.014	0.042	4	0.03	4	9474	Si
365	0.004	0.003	0.004	0.002	0.004	0.003	0.003	0.002	0.004	0.003	0.008	4	0.006	4	9999	Si

Campata 11 tra i fili Palo62 - Pil.B8, sezione R 90x80, aste 2263, 2352, 2352

Verifiche a flessione in famiglia SLU

x	A sup.	C.b. sup.	A inf.	C.b. inf.	M+ela	Comb.	M+des	M+ult	x/d	M-ela	Comb.	M-des	M-ult	x/d	Verifica
0	31.42	6	28.27	6	447793	SLV 8	447793	7751739	0.097	-167443	SLV 9	-32595	-8587865	0.104	Si
30	31.42	6	28.27	6	579833	SLV 16	717052	7751739	0.097						Si
161	25.13	6	25.13	6	807581	SLV 16	830763	6915255	0.095						Si
220	25.13	6	25.13	6	636451	SLV 12	752765	6915255	0.095						Si
405	25.13	6	25.13	6						-491156	SLV 16	-719747	-6915255	0.095	Si
440	25.13	6	25.13	6						-156228	SLV 16	-156228	-6915255	0.095	Si

Verifiche a flessione in famiglia SLV (domini sostanzialmente elastici)

La struttura oppure parte di essa, è stata dichiarata come non dissipativa pertanto la verifica a pressoflessione, per tutte o solo alcune sezioni, viene eseguita calcolando i momenti resistenti in campo sostanzialmente elastico secondo D.M. 17-01-2018 §7.4.1

Le dilatazioni ultime utilizzate sono le seguenti: $\epsilon_{c2} = 0.002$, $\epsilon_{yd} = 0.0019$

x	A sup.	C.b. sup.	A inf.	C.b. inf.	M+ela	Comb.	M+des	M+ult	x/d	M-ela	Comb.	M-des	M-ult	x/d	Verifica
0	31.42	6	28.27	6	4687394	SLV 15	4426544	7446532	0.233	-4458730	SLV 2	-4023512	-8227816	0.248	Si
30	31.42	6	28.27	6	4149135	SLV 15	4149135	7446532	0.233	-3604533	SLV 2	-3604533	-8227816	0.248	Si
220	25.13	6	25.13	6	1022779	SLV 6	1687081	6635554	0.225	-561317	SLV 11	-931517	-6635554	0.225	Si
352	25.13	6	25.13	6	3421137	SLV 2	3865222	6635554	0.225	-3777637	SLV 15	-4695163	-6635554	0.225	Si
405	25.13	6	25.13	6	2566361	SLV 2	3865222	6635554	0.225	-3150104	SLV 15	-4695163	-6635554	0.225	Si
440	25.13	6	25.13	6	2506845	SLV 2	2476933	6635554	0.225	-2699847	SLV 15	-2699847	-6635554	0.225	Si

Verifiche SLD Resistenza a flessione (domini sostanzialmente elastici)

La struttura oppure parte di essa, è stata dichiarata come non dissipativa pertanto la verifica a pressoflessione, per tutte o solo alcune sezioni, viene eseguita calcolando i momenti resistenti in campo sostanzialmente elastico secondo D.M. 17-01-2018 §7.4.1

Le dilatazioni ultime utilizzate sono le seguenti: $\epsilon_{c2} = 0.002$, $\epsilon_{yd} = 0.0019$

x	A sup.	C.b. sup.	A inf.	C.b. inf.	M+ela	Comb.	M+des	M+ult	x/d	M-ela	Comb.	M-des	M-ult	x/d	Verifica
0	31.42	6	28.27	6	2441523	SLD 15	2351441	7446532	0.233	-2212859	SLD 2	-1948409	-8227816	0.248	Si
30	31.42	6	28.27	6	2244879	SLD 15	2244879	7446532	0.233	-1700277	SLD 2	-1700277	-8227816	0.248	Si
220	25.13	6	25.13	6	768944	SLD 6	1046679	6635554	0.225	197704	SLD 11	-291115	-6635554	0.225	Si
352	25.13	6	25.13	6	1657059	SLD 2	1767096	6635554	0.225	-2013559	SLD 15	-2597037	-6635554	0.225	Si
405	25.13	6	25.13	6	1165104	SLD 2	1767096	6635554	0.225	-1748847	SLD 15	-2597037	-6635554	0.225	Si
440	25.13	6	25.13	6	1229961	SLD 2	1127541	6635554	0.225	-1422963	SLD 15	-1422963	-6635554	0.225	Si

Verifiche a taglio in famiglia SLU

x	A st	A sl	A sag	Vela	Comb.	Vdes	Vrd	Vrcd	Vrsd	Vult	cotgθ	Verifica
0	0	31.42	0	9051	SLV 9	9051	27611	211438	0	27611	1	Si
30	0.142	28.27	0	7569	SLV 9	7569	26659	211438	37115	37115	1	Si
220	0.142	25.13	0	-4407	SLV 16	-4407	-25632	-211438	-37115	-37115	1	Si
381	0.142	25.13	0	-12377	SLV 16	-12377	-25632	-211438	-37115	-37115	1	Si
405	0.142	25.13	0	1696	SLV 16	1696	25632	211438	37115	37115	1	Si
440	0	25.13	0	2395	SLV 16	2395	25632	211438	0	25632	1	Si

Verifiche a taglio in famiglia SLV

x	A st	A sl	A sag	Vela	Comb.	Vdes	Vrd	Vrcd	Vrsd	Vult	cotgθ	Verifica
0	0	31.42	0	29072	SLV 2	29072	27611	211438	0	27611	1	Si
0	0	28.27	0	-17354	SLV 15	-17354	-26659	-211438	0	-26659	1	Si
30	0.142	31.42	0	27932	SLV 2	27932	27611	211438	37115	37115	1	Si
30	0.142	28.27	0	-18494	SLV 15	-18494	-26659	-211438	-37115	-37115	1	Si
220	0.142	25.13	0	20712	SLV 2	20712	25632	211438	37115	37115	1	Si

RELAZIONE GEOTECNICA E SULLE FONDAZIONI

x	A st	A sl	A sag	Vela	Comb.	Vdes	Vrd	Vrcd	Vrsd	Vult	cotgθ	Verifica
220	0.142	25.13	0	-25714	SLV 15	-25714	-25632	-211438	-37115	-37115	1	Si
405	0.142	25.13	0	6986	SLV 15	6986	25632	211438	37115	37115	1	Si
405	0.142	25.13	0	-5110	SLV 2	-5110	-25632	-211438	-37115	-37115	1	Si
440	0	25.13	0	4180	SLV 1	4180	25632	211438	0	25632	1	Si
440	0	25.13	0	-1392	SLV 16	-1392	-25632	-211438	0	-25632	1	Si

Verifiche SLD Resistenza a taglio

x	A st	A sl	A sag	Vela	Comb.	Vdes	Vrd	Vrcd	Vrsd	Vult	cotgθ	Verifica
0	0	31.42	0	17682	SLD 2	17682	27611	211438	0	27611	1	Si
0	0	28.27	0	-5964	SLD 15	-5964	-26659	-211438	0	-26659	1	Si
30	0.142	31.42	0	16542	SLD 2	16542	27611	211438	37115	37115	1	Si
30	0.142	28.27	0	-7104	SLD 15	-7104	-26659	-211438	-37115	-37115	1	Si
220	0.142	25.13	0	9322	SLD 2	9322	25632	211438	37115	37115	1	Si
220	0.142	25.13	0	-14324	SLD 15	-14324	-25632	-211438	-37115	-37115	1	Si
405	0.142	25.13	0	4022	SLD 15	4022	25632	211438	37115	37115	1	Si
405	0.142	25.13	0	-2146	SLD 2	-2146	-25632	-211438	-37115	-37115	1	Si
440	0	25.13	0	2811	SLD 1	2811	25632	211438	0	25632	1	Si
440	0	25.13	0	-23	SLD 16	-23	-25632	-211438	0	-25632	1	Si

Verifiche delle tensioni in esercizio

x	Rara							Quasi permanente							Verifica
	Mela	Comb.	Mdes	σ c	σ c lim.	σ f.	σ f lim.	Mela	Comb.	Mdes	σ c	σ c lim.	σ FRP	σ FRP lim.	
0	255595	8	255595	3.2	149.4	133.6	3600	114332	4	114332	1.4	112.1	0	+∞	Si
0	-128802	1	-25073	0.3	149.4	11.8	3600	-128802	1	-31460	0.4	112.1	0	+∞	Si
30	394856	8	509255	6.3	149.4	266.2	3600	272301	4	407464	5	112.1	0	+∞	Si
220	488682	4	569505	7.6	149.4	334.3	3600	484604	2	544663	7.3	112.1	0	+∞	Si
405	-351473	8	-511495	6.8	149.4	300.2	3600	-291872	4	-414970	5.5	112.1	0	+∞	Si
440	-111139	8	-111139	1.5	149.4	65.2	3600	-96501	4	-96501	1.3	112.1	0	+∞	Si

Verifica di apertura delle fessure

La campata non presenta apertura delle fessure

Verifica di deformabilità

x	Rara				Frequente				Quasi permanente						Verifica
	Elastica+	Elastica-	Fess.+	Fess.-	Elastica+	Elastica-	Fess.+	Fess.-	Elastica+	Elastica-	Fess. viscosa+	Comb.	Fess. viscosa-	Comb.	l/f
30	0.002	0.002	0.002	0.001	0.002	0.002	0.002	0.001	0.002	0.002	0.004	4	0.003	4	9999
191	0.008	0.008	0.006	0.006	0.008	0.008	0.006	0.006	0.008	0.008	0.015	4	0.015	4	9999
220	0.008	0.007	0.006	0.006	0.008	0.007	0.006	0.006	0.008	0.007	0.015	2	0.015	2	9999
405	0.001	0	0.001	0.001	0.001	0.001	0.001	0.001	0.001	0.001	0.002	1	0.002	1	9999

Campata 12 tra i fili Pil.B8 - Palo80, sezione R 90x80, aste 2351, 2350

Verifiche a flessione in famiglia SLU

x	A sup.	C.b. sup.	A inf.	C.b. inf.	M+ela	Comb.	M+des	M+ult	x/d	M-ela	Comb.	M-des	M-ult	x/d	Verifica
0	25.13	6	25.13	6	611336	SLU 16	304577	6915255	0.095						Si
35	25.13	6	25.13	6	-3450	SLU 4	2395	6915255	0.095	-27609	SLU 14	-1226019	-6915255	0.095	Si
47	25.13	6	25.13	6	-128627	SLU 1	5685	6915255	0.095	-247669	SLU 16	-1226019	-6915255	0.095	Si
65	25.13	6	25.13	6	-620077	SLU 1	1079	6915255	0.095	-1226019	SLU 16	-1226019	-6915255	0.095	Si
95	25.13	6	25.13	6						-1522106	SLU 16	-1368798	-6915255	0.095	Si

Verifiche a flessione in famiglia SLV (domini sostanzialmente elastici)

La struttura oppure parte di essa, è stata dichiarata come non dissipativa pertanto la verifica a pressoflessione, per tutte o solo alcune sezioni, viene eseguita calcolando i momenti resistenti in campo sostanzialmente elastico secondo D.M. 17-01-2018 §7.4.1

Le dilatazioni ultime utilizzate sono le seguenti: $\epsilon_{c2} = 0.002$, $\epsilon_{yd} = 0.0019$

x	A sup.	C.b. sup.	A inf.	C.b. inf.	M+ela	Comb.	M+des	M+ult	x/d	M-ela	Comb.	M-des	M-ult	x/d	Verifica
0	25.13	6	25.13	6	1456953	SLV 9	1069212	6635554	0.225	-696267	SLV 8	-694491	-6635554	0.225	Si
35	25.13	6	25.13	6	673704	SLV 10	673704	6635554	0.225	-708510	SLV 7	-933603	-6635554	0.225	Si
47	25.13	6	25.13	6	390477	SLV 10	673704	6635554	0.225	-720049	SLV 7	-933603	-6635554	0.225	Si
65	25.13	6	25.13	6	-647915	SLV 6	673704	6635554	0.225	-933603	SLV 11	-933603	-6635554	0.225	Si
95	25.13	6	25.13	6						-1121605	SLV 9	-1009675	-6635554	0.225	Si

Verifiche SLD Resistenza a flessione (domini sostanzialmente elastici)

La struttura oppure parte di essa, è stata dichiarata come non dissipativa pertanto la verifica a pressoflessione, per tutte o solo alcune sezioni, viene eseguita calcolando i momenti resistenti in campo sostanzialmente elastico secondo D.M. 17-01-2018 §7.4.1

Le dilatazioni ultime utilizzate sono le seguenti: $\epsilon_{c2} = 0.002$, $\epsilon_{yd} = 0.0019$

x	A sup.	C.b. sup.	A inf.	C.b. inf.	M+ela	Comb.	M+des	M+ult	x/d	M-ela	Comb.	M-des	M-ult	x/d	Verifica
0	25.13	6	25.13	6	955428	SLD 9	658359	6635554	0.225	-194741	SLD 8	-194741	-6635554	0.225	Si
35	25.13	6	25.13	6	352056	SLD 10	352056	6635554	0.225	-386862	SLD 7	-865841	-6635554	0.225	Si
47	25.13	6	25.13	6	132218	SLD 10	352056	6635554	0.225	-461790	SLD 7	-865841	-6635554	0.225	Si
65	25.13	6	25.13	6	-715676	SLD 6	352056	6635554	0.225	-865841	SLD 11	-865841	-6635554	0.225	Si
95	25.13	6	25.13	6						-1054080	SLD 9	-948000	-6635554	0.225	Si

Verifiche a taglio in famiglia SLU

x	A st	A sl	A sag	Vela	Comb.	Vdes	Vrd	Vrcd	Vrsd	Vult	cotgθ	Verifica
0	0	25.13	0	-17529	SLU 16	-17529	-25632	-211438	0	-25632	1	Si
35	0	25.13	0	-18344	SLU 16	-18344	-25632	-211438	0	-25632	1	Si
35	0.209	25.13	0	-18348	SLU 16	-18348	-25632	-211438	-54585	-54585	1	Si
47	0.209	25.13	0	-18640	SLU 16	-18640	-25632	-211438	-54585	-54585	1	Si
65	0.209	25.13	0	-9519	SLU 16	-9519	-25632	-211438	-54585	-54585	1	Si
95	0	25.13	0	-10221	SLU 16	-10221	-25632	-211438	0	-25632	1	Si

Verifiche a taglio in famiglia SLV

x	A st	A sl	A sag	Vela	Comb.	Vdes	Vrd	Vrcd	Vrsd	Vult	cotgθ	Verifica
0	0	25.13	0	152	SLV 8	152	25632	211438	0	25632	1	Si
0	0	25.13	0	-22250	SLV 9	-22250	-25632	-211438	0	-25632	1	Si
35	0	25.13	0	-22877	SLV 9	-22877	-25632	-211438	0	-25632	1	Si
35	0.209	25.13	0	-22880	SLV 9	-22880	-25632	-211438	-54585	-54585	1	Si
47	0.209	25.13	0	-23105	SLV 9	-23105	-25632	-211438	-54585	-54585	1	Si
65	0.209	25.13	0	-10481	SLV 9	-10481	-25632	-211438	-54585	-54585	1	Si
95	0	25.13	0	-11021	SLV 9	-11021	-25632	-211438	0	-25632	1	Si

Verifiche SLD Resistenza a taglio

x	A st	A sl	A sag	Vela	Comb.	Vdes	Vrd	Vrcd	Vrsd	Vult	cotgθ	Verifica
0	0	25.13	0	-17023	SLD 9	-17023	-25632	-211438	0	-25632	1	Si
35	0	25.13	0	-17650	SLD 9	-17650	-25632	-211438	0	-25632	1	Si
35	0.209	25.13	0	-17653	SLD 9	-17653	-25632	-211438	-54585	-54585	1	Si
47	0.209	25.13	0	-17878	SLD 9	-17878	-25632	-211438	-54585	-54585	1	Si
65	0.209	25.13	0	-8449	SLD 9	-8449	-25632	-211438	-54585	-54585	1	Si
95	0	25.13	0	-8989	SLD 9	-8989	-25632	-211438	0	-25632	1	Si

Verifiche delle tensioni in esercizio

x	Rara							Quasi permanente							Verifica
	Mela	Comb.	Mdes	σ c	σ c lim.	σ f.	σ f lim.	Mela	Comb.	Mdes	σ c	σ c lim.	σ FRP	σ FRP lim.	
0	446827	8	222532	3	149.4	130.6	3600	380343	4	186981	2.5	112.1	0	+	Si
35	-20185	6	-900023	12	149.4	528.3	3600	-19382	3	-790759	10.6	112.1	0	+	Si
47	-182263	8	-900023	12	149.4	528.3	3600	-164786	4	-790759	10.6	112.1	0	+	Si
65	-900023	8	-900023	12	149.4	528.3	3600	-790759	4	-790759	10.6	112.1	0	+	Si
95	-1117819	8	-1004871	13.4	149.4	589.8	3600	-982271	4	-882465	11.8	112.1	0	+	Si

Verifica di apertura delle fessure

La campata non presenta apertura delle fessure

Verifica di deformabilità

x	Rara				Frequente				Quasi permanente							Verifica
	Elastica+	Elastica-	Fess.+	Fess.-	Elastica+	Elastica-	Fess.+	Fess.-	Elastica+	Elastica-	Fess. viscosa+	Comb.	Fess. viscosa-	Comb.	I/f	
35	0	0	0	0	0	0	0	0	0	0	0	1	-0.001	1	9999	Si
47	0	0	0	0	0	0	0	0	0	0	-0.001	1	-0.001	1	9999	Si
60	0	0	0	0	0	0	0	0	0	0	-0.001	1	-0.001	1	9999	Si
65	0	0	0	0	0	0	0	0	0	0	-0.001	1	-0.001	1	9999	Si

Campata 13 tra i fili Palo80 - Palo81, sezione R 90x80, aste 2356, 2355, 2354

Verifiche a flessione in famiglia SLU

x	A sup.	C.b. sup.	A inf.	C.b. inf.	M+ela	Comb.	M+des	M+ult	x/d	M-ela	Comb.	M-des	M-ult	x/d	Verifica
0	25.13	6	25.13	6						-1651972	SLU 16	-1651972	-6915255	0.095	Si
30	25.13	6	25.13	6						-1673031	SLU 16	-1799529	-6915255	0.095	Si
85	25.13	6	25.13	6	-904896	SLU 1	28665	6915255	0.095	-1834443	SLU 16	-2076596	-6915255	0.095	Si
140	25.13	6	25.13	6						-2140677	SLU 16	-2140677	-6915255	0.095	Si
170	25.13	6	25.13	6						-2247460	SLU 16	-2188806	-6915255	0.095	Si

Verifiche a flessione in famiglia SLV (domini sostanzialmente elastici)

La struttura oppure parte di essa, è stata dichiarata come non dissipativa pertanto la verifica a pressoflessione, per tutte o solo alcune sezioni, viene eseguita calcolando i momenti resistenti in campo sostanzialmente elastico secondo D.M. 17-01-2018 §7.4.1

Le dilatazioni ultime utilizzate sono le seguenti: $\epsilon c2= 0.002$, $\epsilon yd= 0.0019$

x	A sup.	C.b. sup.	A inf.	C.b. inf.	M+ela	Comb.	M+des	M+ult	x/d	M-ela	Comb.	M-des	M-ult	x/d	Verifica
0	25.13	6	25.13	6						-1571167	SLV 2	-1537369	-6635554	0.225	Si
30	25.13	6	25.13	6						-1510435	SLV 2	-1510435	-6635554	0.225	Si
85	25.13	6	25.13	6						-1437258	SLV 2	-1598730	-6635554	0.225	Si
140	25.13	6	25.13	6						-1676156	SLV 5	-1676156	-6635554	0.225	Si
170	25.13	6	25.13	6						-1805022	SLV 9	-1730709	-6635554	0.225	Si

Verifiche SLD Resistenza a flessione (domini sostanzialmente elastici)

La struttura oppure parte di essa, è stata dichiarata come non dissipativa pertanto la verifica a pressoflessione, per tutte o solo alcune sezioni, viene eseguita calcolando i momenti resistenti in campo sostanzialmente elastico secondo D.M. 17-01-2018 §7.4.1

Le dilatazioni ultime utilizzate sono le seguenti: $\epsilon c2= 0.002$, $\epsilon yd= 0.0019$

x	A sup.	C.b. sup.	A inf.	C.b. inf.	M+ela	Comb.	M+des	M+ult	x/d	M-ela	Comb.	M-des	M-ult	x/d	Verifica
0	25.13	6	25.13	6						-1323520	SLD 2	-1306561	-6635554	0.225	Si
30	25.13	6	25.13	6						-1297077	SLD 2	-1297077	-6635554	0.225	Si
85	25.13	6	25.13	6						-1306990	SLD 2	-1471890	-6635554	0.225	Si
140	25.13	6	25.13	6						-1532873	SLD 5	-1532873	-6635554	0.225	Si
170	25.13	6	25.13	6						-1635210	SLD 9	-1576937	-6635554	0.225	Si

Verifiche a taglio in famiglia SLU

x	A st	A sl	A sag	Vela	Comb.	Vdes	Vrd	Vrcd	Vrsd	Vult	cotg θ	Verifica
0	0	25.13	0	246	SLU 9	246	25632	211438	0	25632	1	Si
0	0	25.13	0	-408	SLU 8	-408	-25632	-211438	0	-25632	1	Si
30	0.143	25.13	0	-1053	SLU 16	-1053	-25632	-211438	-37215	-37215	1	Si
85	0.143	25.13	0	-1865	SLU 16	-1865	-25632	-211438	-37215	-37215	1	Si
140	0.143	25.13	0	-3209	SLU 16	-3209	-25632	-211438	-37215	-37215	1	Si
170	0	25.13	0	-3911	SLU 16	-3911	-25632	-211438	0	-25632	1	Si

Verifiche a taglio in famiglia SLV

x	A st	A sl	A sag	Vela	Comb.	Vdes	Vrd	Vrcd	Vrsd	Vult	cotg θ	Verifica
0	0	25.13	0	2336	SLV 2	2336	25632	211438	0	25632	1	Si
0	0	25.13	0	-2446	SLV 15	-2446	-25632	-211438	0	-25632	1	Si
30	0.143	25.13	0	1796	SLV 2	1796	25632	211438	37215	37215	1	Si
30	0.143	25.13	0	-2986	SLV 15	-2986	-25632	-211438	-37215	-37215	1	Si
85	0.143	25.13	0	-2041	SLV 13	-2041	-25632	-211438	-37215	-37215	1	Si
140	0.143	25.13	0	667	SLV 4	667	25632	211438	37215	37215	1	Si
140	0.143	25.13	0	-4886	SLV 13	-4886	-25632	-211438	-37215	-37215	1	Si
170	0	25.13	0	127	SLV 4	127	25632	211438	0	25632	1	Si
170	0	25.13	0	-5426	SLV 13	-5426	-25632	-211438	0	-25632	1	Si

Verifiche SLD Resistenza a taglio

x	A st	A sl	A sag	Vela	Comb.	Vdes	Vrd	Vrcd	Vrsd	Vult	cotg θ	Verifica
0	0	25.13	0	1172	SLD 2	1172	25632	211438	0	25632	1	Si
0	0	25.13	0	-1283	SLD 15	-1283	-25632	-211438	0	-25632	1	Si
30	0.143	25.13	0	632	SLD 2	632	25632	211438	37215	37215	1	Si
30	0.143	25.13	0	-1823	SLD 15	-1823	-25632	-211438	-37215	-37215	1	Si
85	0.143	25.13	0	-1626	SLD 13	-1626	-25632	-211438	-37215	-37215	1	Si
140	0.143	25.13	0	-3566	SLD 9	-3566	-25632	-211438	-37215	-37215	1	Si
170	0	25.13	0	-4106	SLD 9	-4106	-25632	-211438	0	-25632	1	Si

Verifiche delle tensioni in esercizio

x	Rara							Quasi permanente							Verifica
	Mela	Comb.	Mdes	σc	σc lim.	σf .	σf lim.	Mela	Comb.	Mdes	σc	σc lim.	σFRP	σFRP lim.	
0	-1212681	8	-1212681	16.2	149.4	711.8	3600	-1063979	4	-1063979	14.2	112.1	0	$+\infty$	Si
30	-1227045	8	-1318280	17.6	149.4	773.8	3600	-1073746	4	-1149588	15.4	112.1	0	$+\infty$	Si
85	-1343615	8	-1521909	20.3	149.4	893.3	3600	-1170982	4	-1328304	17.7	112.1	0	$+\infty$	Si
140	-1569083	8	-1569083	21	149.4	921	3600	-1369818	4	-1369818	18.3	112.1	0	$+\infty$	Si
170	-1648294	8	-1604640	21.4	149.4	941.9	3600	-1441204	4	-1401463	18.7	112.1	0	$+\infty$	Si

Verifica di apertura delle fessure

La campata non presenta apertura delle fessure

Verifica di deformabilità

x	Rara				Frequente				Quasi permanente								Verifica
---	------	--	--	--	-----------	--	--	--	------------------	--	--	--	--	--	--	--	----------

RELAZIONE GEOTECNICA E SULLE FONDAZIONI

	Elastica+	Elastica-	Fess.+	Fess.-	Elastica+	Elastica-	Fess.+	Fess.-	Elastica+	Elastica-	Fess. viscosa+	Comb.	Fess. viscosa-	Comb.	I/f	
30	-0.002	-0.002	-0.001	-0.002	-0.002	-0.002	-0.001	-0.002	-0.002	-0.002	-0.004	1	-0.005	1	9999	Si
85	-0.003	-0.004	-0.003	-0.004	-0.003	-0.004	-0.003	-0.003	-0.003	-0.003	-0.006	1	-0.008	1	9999	Si
140	-0.002	-0.002	-0.002	-0.002	-0.002	-0.002	-0.002	-0.002	-0.002	-0.002	-0.004	1	-0.005	1	9999	Si

Campata 14 tra i fili Palo81 - Palo82, sezione R 90x80, aste 2360, 2359, 2358, 2357

Verifiche a flessione in famiglia SLU

x	A sup.	C.b. sup.	A inf.	C.b. inf.	M+ela	Comb.	M+des	M+ult	x/d	M-ela	Comb.	M-des	M-ult	x/d	Verifica
0	25.13	6	25.13	6						-2326248	SLU 16	-2268806	-6915255	0.095	Si
30	25.13	6	25.13	6						-2221890	SLU 16	-2221890	-6915255	0.095	Si
85	25.13	6	25.13	6	-874030	SLU 1	28665	6915255	0.095	-1762260	SLU 16	-1953020	-6915255	0.095	Si
140	25.13	6	25.13	6						-1584659	SLU 16	-1727538	-6915255	0.095	Si
170	34.84	6	39.01	6						-1559543	SLU 16	-1559543	-9500061	0.103	Si

Verifiche a flessione in famiglia SLV (domini sostanzialmente elastici)

La struttura oppure parte di essa, è stata dichiarata come non dissipativa pertanto la verifica a pressoflessione, per tutte o solo alcune sezioni, viene eseguita calcolando i momenti resistenti in campo sostanzialmente elastico secondo D.M. 17-01-2018 §7.4.1

Le dilatazioni ultime utilizzate sono le seguenti: $\epsilon_c = 0.002$, $\epsilon_{yd} = 0.0019$

x	A sup.	C.b. sup.	A inf.	C.b. inf.	M+ela	Comb.	M+des	M+ult	x/d	M-ela	Comb.	M-des	M-ult	x/d	Verifica
0	25.13	6	25.13	6						-1790921	SLV 6	-1726734	-6635554	0.225	Si
30	25.13	6	25.13	6						-1896153	SLV 2	-1896153	-6635554	0.225	Si
85	25.13	6	25.13	6						-1274772	SLV 5	-1496153	-6635554	0.225	Si
140	25.13	6	25.13	6						-1282491	SLV 13	-1282491	-6635554	0.225	Si
170	34.84	6	39.01	6						-1358027	SLV 13	-1317547	-9124324	0.252	Si

Verifiche SLD Resistenza a flessione (domini sostanzialmente elastici)

La struttura oppure parte di essa, è stata dichiarata come non dissipativa pertanto la verifica a pressoflessione, per tutte o solo alcune sezioni, viene eseguita calcolando i momenti resistenti in campo sostanzialmente elastico secondo D.M. 17-01-2018 §7.4.1

Le dilatazioni ultime utilizzate sono le seguenti: $\epsilon_c = 0.002$, $\epsilon_{yd} = 0.0019$

x	A sup.	C.b. sup.	A inf.	C.b. inf.	M+ela	Comb.	M+des	M+ult	x/d	M-ela	Comb.	M-des	M-ult	x/d	Verifica
0	25.13	6	25.13	6						-1670323	SLD 6	-1670323	-6635554	0.225	Si
30	25.13	6	25.13	6						-1205971	SLD 5	-1375428	-6635554	0.225	Si
85	25.13	6	25.13	6						-1156211	SLD 13	-1182783	-6635554	0.225	Si
140	25.13	6	25.13	6						-1188312	SLD 13	-1168917	-9124324	0.252	Si
170	34.84	6	39.01	6											

Verifiche a taglio in famiglia SLU

x	A st	A sl	A sag	Vela	Comb.	Vdes	Vrd	Vrcd	Vrsd	Vult	cotgθ	Verifica
0	0	25.13	0	3830	SLU 16	3830	25632	211438	0	25632	1	Si
30	0.143	25.13	0	3128	SLU 16	3128	25632	211438	37215	37215	1	Si
85	0.143	25.13	0	1856	SLU 16	1856	25632	211438	37215	37215	1	Si
140	0.143	25.13	0	1188	SLU 16	1188	25632	211438	37215	37215	1	Si
170	0	25.13	0	509	SLU 8	509	25632	211438	0	25632	1	Si
170	0	25.13	0	-99	SLU 9	-99	-25632	-211438	0	-25632	1	Si

Verifiche a taglio in famiglia SLV

x	A st	A sl	A sag	Vela	Comb.	Vdes	Vrd	Vrcd	Vrsd	Vult	cotgθ	Verifica
0	0	25.13	0	5829	SLV 6	5829	25632	211438	0	25632	1	Si
0	0	25.13	0	-677	SLV 11	-677	-25632	-211438	0	-25632	1	Si
30	0.143	25.13	0	5289	SLV 6	5289	25632	211438	37215	37215	1	Si
30	0.143	25.13	0	-1217	SLV 11	-1217	-25632	-211438	-37215	-37215	1	Si
85	0.143	25.13	0	2508	SLV 4	2508	25632	211438	37215	37215	1	Si
85	0.143	25.13	0	-70	SLV 13	-70	-25632	-211438	-37215	-37215	1	Si
140	0.143	25.13	0	3744	SLV 4	3744	25632	211438	37215	37215	1	Si
140	0.143	25.13	0	-2337	SLV 13	-2337	-25632	-211438	-37215	-37215	1	Si
170	0	25.13	0	3204	SLV 4	3204	25632	211438	0	25632	1	Si
170	0	25.13	0	-2877	SLV 13	-2877	-25632	-211438	0	-25632	1	Si

Verifiche SLD Resistenza a taglio

x	A st	A sl	A sag	Vela	Comb.	Vdes	Vrd	Vrcd	Vrsd	Vult	cotgθ	Verifica
0	0	25.13	0	4301	SLD 6	4301	25632	211438	0	25632	1	Si
30	0.143	25.13	0	3761	SLD 6	3761	25632	211438	37215	37215	1	Si
85	0.143	25.13	0	1874	SLD 4	1874	25632	211438	37215	37215	1	Si
140	0.143	25.13	0	2254	SLD 4	2254	25632	211438	37215	37215	1	Si
140	0.143	25.13	0	-847	SLD 13	-847	-25632	-211438	-37215	-37215	1	Si
170	0	25.13	0	1714	SLD 4	1714	25632	211438	0	25632	1	Si
170	0	25.13	0	-1387	SLD 13	-1387	-25632	-211438	0	-25632	1	Si

Verifiche delle tensioni in esercizio

x	Rara								Quasi permanente								Verifica
	Mela	Comb.	Mdes	σ c	σ c lim.	σ f.	σ f lim.	Mela	Comb.	Mdes	σ c	σ c lim.	σ FRP	σ FRP lim.			
0	-1706312	8	-1663642	22.2	149.4	976.5	3600	-1492991	4	-1454351	19.4	112.1	0	+∞	Si		
30	-1629069	8	-1629069	21.8	149.4	956.2	3600	-1423809	4	-1423809	19	112.1	0	+∞	Si		
85	-1291377	8	-1430875	19.1	149.4	839.9	3600	-1127964	4	-1248483	16.7	112.1	0	+∞	Si		
140	-1163139	8	-1265933	16.9	149.4	743.1	3600	-1021168	4	-1105798	14.8	112.1	0	+∞	Si		
170	-1145620	8	-1145620	12.6	149.4	488	3600	-1008169	4	-1008169	11.1	112.1	0	+∞	Si		

Verifica di apertura delle fessure

La campata non presenta apertura delle fessure

Verifica di deformabilità

x	Rara				Frequente				Quasi permanente								Verifica
	Elastica+	Elastica-	Fess.+	Fess.-	Elastica+	Elastica-	Fess.+	Fess.-	Elastica+	Elastica-	Fess. viscosa+	Comb.	Fess. viscosa-	Comb.	I/f		
30	-0.002	-0.002	-0.002	-0.002	-0.002	-0.002	-0.002	-0.002	-0.002	-0.002	-0.004	1	-0.005	1	9999	Si	
79	-0.003	-0.004	-0.002	-0.004	-0.003	-0.004	-0.002	-0.003	-0.003	-0.003	-0.006	1	-0.008	1	9999	Si	
85	-0.003	-0.004	-0.002	-0.004	-0.003	-0.004	-0.002	-0.003	-0.003	-0.003	-0.006	1	-0.008	1	9999	Si	
140	-0.002	-0.002	-0.001	-0.002	-0.002	-0.002	-0.001	-0.002	-0.002	-0.002	-0.004	1	-0.005	1	9999	Si	

Campata 15 tra i fili Palo82 - Pil.B7, sezione R 90x80, aste 393, 392

Verifiche a flessione in famiglia SLU

x	A sup.	C.b. sup.	A inf.	C.b. inf.	M+ela	Comb.	M+des	M+ult	x/d	M-ela	Comb.	M-des	M-ult	x/d	Verifica
0	34.84	6	39.01	6						-1495567	SLU 16	-1338063	-9500061	0.103	Si
30	42.09	6	49.36	6	-610054	SLU 1	145331	13352403	0.122	-1191089	SLU 16	-1191089	-11427712	0.106	Si
48	44.66	6	50.27	6	-526200	SLU 1	145331	13595222	0.121	-1023191	SLU 16	-1191089	-12110830	0.109	Si
60	44.66	6	50.27	6	145331	SLU 16	145331	13595222	0.121	60057	SLU 1	-1191089	-12110830	0.109	Si
95	37.14	6	42.28	6	869985	SLU 16	514823	11474582	0.115						Si

Verifiche a flessione in famiglia SLV (domini sostanzialmente elastici)

La struttura oppure parte di essa, è stata dichiarata come non dissipativa pertanto la verifica a pressoflessione, per tutte o solo alcune sezioni, viene eseguita calcolando i momenti resistenti in campo sostanzialmente elastico secondo D.M. 17-01-2018 §7.4.1

Le dilatazioni ultime utilizzate sono le seguenti: $\epsilon_{c2} = 0.002$, $\epsilon_{yd} = 0.0019$

x	A sup.	C.b. sup.	A inf.	C.b. inf.	M+ela	Comb.	M+des	M+ult	x/d	M-ela	Comb.	M-des	M-ult	x/d	Verifica
0	34.84	6	39.01	6						-1222454	SLV 6	-1003013	-9124324	0.252	Si
30	42.09	6	49.36	6	-647956	SLV 9	625051	12737035	0.296	-899806	SLV 8	-899806	-10977256	0.268	Si
48	44.66	6	50.27	6	-569912	SLV 9	625051	12976278	0.297	-763382	SLV 8	-899806	-11621903	0.275	Si
60	44.66	6	50.27	6	625051	SLV 6	625051	12976278	0.297	-464283	SLV 11	-899806	-11621903	0.275	Si
95	37.14	6	42.28	6	1451394	SLV 6	1044345	10967376	0.279	-373481	SLV 11	-373481	-9710700	0.257	Si

Verifiche SLD Resistenza a flessione (domini sostanzialmente elastici)

La struttura oppure parte di essa, è stata dichiarata come non dissipativa pertanto la verifica a pressoflessione, per tutte o solo alcune sezioni, viene eseguita calcolando i momenti resistenti in campo sostanzialmente elastico secondo D.M. 17-01-2018 §7.4.1

Le dilatazioni ultime utilizzate sono le seguenti: $\epsilon_{c2} = 0.002$, $\epsilon_{yd} = 0.0019$

x	A sup.	C.b. sup.	A inf.	C.b. inf.	M+ela	Comb.	M+des	M+ult	x/d	M-ela	Comb.	M-des	M-ult	x/d	Verifica
0	34.84	6	39.01	6						-1103839	SLD 6	-936993	-9124324	0.252	Si
30	42.09	6	49.36	6	-708309	SLD 9	369721	12737035	0.296	-839452	SLD 8	-839452	-10977256	0.268	Si
48	44.66	6	50.27	6	-616873	SLD 9	369721	12976278	0.297	-716421	SLD 8	-839452	-11621903	0.275	Si
60	44.66	6	50.27	6	369721	SLD 6	369721	12976278	0.297	-208953	SLD 11	-839452	-11621903	0.275	Si
95	37.14	6	42.28	6	1023485	SLD 6	702425	10967376	0.279						Si

Verifiche a taglio in famiglia SLU

x	A st	A sl	A sag	Vela	Comb.	Vdes	Vrd	Vrcd	Vrsd	Vult	cotgθ	Verifica
0	0	42.09	0	10500	SLU 16	10500	30439	211438	0	30439	1	Si
30	0.209	42.09	0	9798	SLU 16	9798	30439	211438	54579	54579	1	Si
48	0.209	42.09	0	9389	SLU 16	9389	30439	211438	54579	54579	1	Si
60	0.209	49.36	0	21114	SLU 16	21114	32099	211438	54579	54579	1	Si
60	0	49.36	0	21110	SLU 16	21110	32099	211438	0	32099	1	Si
95	0	49.36	0	20295	SLU 16	20295	32099	211438	0	32099	1	Si

Verifiche a taglio in famiglia SLV

x	A st	A sl	A sag	Vela	Comb.	Vdes	Vrd	Vrcd	Vrsd	Vult	cotgθ	Verifica
0	0	42.09	0	11800	SLV 6	11800	30439	211438	0	30439	1	Si
30	0.209	42.09	0	11260	SLV 6	11260	30439	211438	54579	54579	1	Si
48	0.209	42.09	0	10945	SLV 6	10945	30439	211438	54579	54579	1	Si
60	0.209	49.36	0	23960	SLV 6	23960	32099	211438	54579	54579	1	Si
60	0	49.36	0	23957	SLV 6	23957	32099	211438	0	32099	1	Si
95	0	49.36	0	23330	SLV 6	23330	32099	211438	0	32099	1	Si

Verifiche SLD Resistenza a taglio

x	A st	A sl	A sag	Vela	Comb.	Vdes	Vrd	Vrcd	Vrsd	Vult	cotgθ	Verifica
0	0	42.09	0	9475	SLD 6	9475	30439	211438	0	30439	1	Si
30	0.209	42.09	0	8935	SLD 6	8935	30439	211438	54579	54579	1	Si
48	0.209	42.09	0	8620	SLD 6	8620	30439	211438	54579	54579	1	Si
60	0.209	49.36	0	19012	SLD 6	19012	32099	211438	54579	54579	1	Si
60	0	49.36	0	19009	SLD 6	19009	32099	211438	0	32099	1	Si
95	0	49.36	0	18382	SLD 6	18382	32099	211438	0	32099	1	Si

Verifiche delle tensioni in esercizio

x	Rara							Quasi permanente							Verifica
	Mela	Comb.	Mdes	σ c	σ c lim.	σ f.	σ f lim.	Mela	Comb.	Mdes	σ c	σ c lim.	σ FRP	σ FRP lim.	
0	-1099260	8	-983281	10.8	149.4	418.8	3600	-970523	4	-868152	9.6	112.1	0	$+\infty$	Si
30	-875400	8	-875400	8.6	149.4	309.5	3600	-773881	4	-773881	7.6	112.1	0	$+\infty$	Si
48	-752288	8	-875400	8.4	149.4	292.2	3600	-666647	4	-773881	7.4	112.1	0	$+\infty$	Si
60	104895	8	104895	1	149.4	31.3	3600	80384	4	80384	0.8	112.1	0	$+\infty$	Si
95	635357	8	375637	3.9	149.4	132.8	3600	538956	4	315182	3.3	112.1	0	$+\infty$	Si

Verifica di apertura delle fessure

La campata non presenta apertura delle fessure

Verifica di deformabilità

x	Rara				Frequente				Quasi permanente								Verifica
	Elastica+	Elastica-	Fess.+	Fess.-	Elastica+	Elastica-	Fess.+	Fess.-	Elastica+	Elastica-	Fess. viscosa+	Comb.	Fess. viscosa-	Comb.	l/f		
30	0	0	0	0	0	0	0	0	0	0	-0.001	1	-0.001	1		9999	Si
32	0	0	0	0	0	0	0	0	0	0	-0.001	1	-0.001	1		9999	Si
48	0	0	0	0	0	0	0	0	0	0	0	1	-0.001	1		9999	Si
60	0	0	0	0	0	0	0	0	0	0	0	1	0	1		9999	Si

Campata 16 tra i fili Pil.B7 - Palo86, sezione R 90x80, aste 391, 390

Verifiche a flessione in famiglia SLU

x	A sup.	C.b. sup.	A inf.	C.b. inf.	M+ela	Comb.	M+des	M+ult	x/d	M-ela	Comb.	M-des	M-ult	x/d	Verifica
0	37.14	6	42.28	6						-234540	SLU 15	-234540	-10109985	0.104	Si
35	25.13	6	25.13	6						-361537	SLU 16	-687404	-6915255	0.095	Si
220	25.13	6	25.13	6	685806	SLU 16	807949	6915255	0.095						Si
279	25.13	6	25.13	6	865741	SLU 16	892365	6915255	0.095						Si
410	25.13	6	25.13	6	653406	SLU 16	786718	6915255	0.095						Si
440	25.13	6	25.13	6	497342	SLU 8	497342	6915255	0.095	-48088	SLU 9	-48088	-6915255	0.095	Si

Verifiche a flessione in famiglia SLV (domini sostanzialmente elastici)

La struttura oppure parte di essa, è stata dichiarata come non dissipativa pertanto la verifica a pressoflessione, per tutte o solo alcune sezioni, viene eseguita calcolando i momenti resistenti in campo sostanzialmente elastico secondo D.M. 17-01-2018 §7.4.1

Le dilatazioni ultime utilizzate sono le seguenti: $\epsilon_{c2} = 0.002$, $\epsilon_{yd} = 0.0019$

x	A sup.	C.b. sup.	A inf.	C.b. inf.	M+ela	Comb.	M+des	M+ult	x/d	M-ela	Comb.	M-des	M-ult	x/d	Verifica
0	37.14	6	42.28	6	2934061	SLV 13	2786061	10967376	0.279	-3260334	SLV 4	-3173236	-9710700	0.257	Si
35	25.13	6	25.13	6	2624466	SLV 13	3250546	6635554	0.225	-3094588	SLV 4	-4105029	-6635554	0.225	Si
220	25.13	6	25.13	6	893810	SLV 10	1414735	6635554	0.225	132569	SLV 7	-616836	-6635554	0.225	Si
410	25.13	6	25.13	6	3983976	SLV 4	3983976	6635554	0.225	-3280393	SLV 13	-3280393	-6635554	0.225	Si
440	25.13	6	25.13	6	4457741	SLV 4	4229136	6635554	0.225	-4054427	SLV 13	-3659286	-6635554	0.225	Si

Verifiche SLD Resistenza a flessione (domini sostanzialmente elastici)

La struttura oppure parte di essa, è stata dichiarata come non dissipativa pertanto la verifica a pressoflessione, per tutte o solo alcune sezioni, viene eseguita calcolando i momenti resistenti in campo sostanzialmente elastico secondo D.M. 17-01-2018 §7.4.1

Le dilatazioni ultime utilizzate sono le seguenti: $\epsilon_{c2} = 0.002$, $\epsilon_{yd} = 0.0019$

x	A sup.	C.b. sup.	A inf.	C.b. inf.	M+ela	Comb.	M+des	M+ult	x/d	M-ela	Comb.	M-des	M-ult	x/d	Verifica
0	37.14	6	42.28	6	1416081	SLD 13	1325697	10967376	0.279	-1742354	SLD 4	-1712873	-9710700	0.257	Si
35	25.13	6	25.13	6	1222963	SLD 13	1448037	6635554	0.225	-1693085	SLD 4	-2302520	-6635554	0.225	Si

RELAZIONE GEOTECNICA E SULLE FONDAZIONI

x	A sup.	C.b. sup.	A inf.	C.b. inf.	M+ela	Comb.	M+des	M+ult	x/d	M-ela	Comb.	M-des	M-ult	x/d	Verifica
220	25.13	6	25.13	6	715355	SLD 10	918155	6635554	0.225	311024	SLD 7	-120257	-6635554	0.225	Si
410	25.13	6	25.13	6	2200316	SLD 4	2200316	6635554	0.225	-1496733	SLD 13	-1496733	-6635554	0.225	Si
440	25.13	6	25.13	6	2368009	SLD 4	2292401	6635554	0.225	-1964694	SLD 13	-1722551	-6635554	0.225	Si

Verifiche a taglio in famiglia SLU

x	A st	A sl	A sag	Vela	Comb.	Vdes	Vrd	Vrcd	Vrsd	Vult	cotgθ	Verifica
0	0	25.13	0	-3314	SLU 16	-3314	-25632	-211438	0	-25632	1	Si
35	0.142	25.13	0	-4133	SLU 16	-4133	-25632	-211438	-37116	-37116	1	Si
59	0.142	25.13	0	12495	SLU 16	12495	25632	211438	37116	37116	1	Si
220	0.142	25.13	0	4525	SLU 16	4525	25632	211438	37116	37116	1	Si
410	0.142	25.13	0	-7146	SLU 9	-7146	-25632	-211438	-37116	-37116	1	Si
440	0	25.13	0	-8628	SLU 9	-8628	-25632	-211438	0	-25632	1	Si

Verifiche a taglio in famiglia SLV

x	A st	A sl	A sag	Vela	Comb.	Vdes	Vrd	Vrcd	Vrsd	Vult	cotgθ	Verifica
0	0	25.13	0	5263	SLV 3	5263	25632	211438	0	25632	1	Si
0	0	25.13	0	-8743	SLV 14	-8743	-25632	-211438	0	-25632	1	Si
35	0.142	25.13	0	4633	SLV 3	4633	25632	211438	37116	37116	1	Si
35	0.142	25.13	0	-9373	SLV 14	-9373	-25632	-211438	-37116	-37116	1	Si
220	0.142	25.13	0	23564	SLV 4	23564	25632	211438	37116	37116	1	Si
220	0.142	25.13	0	-18040	SLV 13	-18040	-25632	-211438	-37116	-37116	1	Si
410	0.142	25.13	0	16344	SLV 4	16344	25632	211438	37116	37116	1	Si
410	0.142	25.13	0	-25260	SLV 13	-25260	-25632	-211438	-37116	-37116	1	Si
440	0	25.13	0	15204	SLV 4	15204	25632	211438	0	25632	1	Si
440	0	25.13	0	-26400	SLV 13	-26400	-25632	-211438	0	-25632	1	Si

Verifiche SLD Resistenza a taglio

x	A st	A sl	A sag	Vela	Comb.	Vdes	Vrd	Vrcd	Vrsd	Vult	cotgθ	Verifica
0	0	25.13	0	1833	SLD 3	1833	25632	211438	0	25632	1	Si
0	0	25.13	0	-5313	SLD 14	-5313	-25632	-211438	0	-25632	1	Si
35	0.142	25.13	0	1203	SLD 3	1203	25632	211438	37116	37116	1	Si
35	0.142	25.13	0	-5943	SLD 14	-5943	-25632	-211438	-37116	-37116	1	Si
220	0.142	25.13	0	13359	SLD 4	13359	25632	211438	37116	37116	1	Si
220	0.142	25.13	0	-7835	SLD 13	-7835	-25632	-211438	-37116	-37116	1	Si
410	0.142	25.13	0	6139	SLD 4	6139	25632	211438	37116	37116	1	Si
410	0.142	25.13	0	-15055	SLD 13	-15055	-25632	-211438	-37116	-37116	1	Si
440	0	25.13	0	4999	SLD 4	4999	25632	211438	0	25632	1	Si
440	0	25.13	0	-16195	SLD 13	-16195	-25632	-211438	0	-25632	1	Si

Verifiche delle tensioni in esercizio

x	Rara							Quasi permanente							Verifica
	Mela	Comb.	Mdes	σ c	σ c lim.	σ f.	σ f lim.	Mela	Comb.	Mdes	σ c	σ c lim.	σ FRP	σ FRP lim.	
0	-170823	7	-170823	1.8	149.4	68.3	3600	-163136	4	-163136	1.7	112.1	0	$+\infty$	Si
35	-261315	8	-494220	6.6	149.4	290.1	3600	-235061	4	-427242	5.7	112.1	0	$+\infty$	Si
220	524291	8	610444	8.2	149.4	358.3	3600	513190	4	583227	7.8	112.1	0	$+\infty$	Si
410	454847	8	565197	7.6	149.4	331.8	3600	351792	4	478258	6.4	112.1	0	$+\infty$	Si
440	319231	8	319231	4.3	149.4	187.4	3600	201657	4	201657	2.7	112.1	0	$+\infty$	Si
440	-36991	1	-36991	0.5	149.4	21.7	3600	-36991	1	-36991	0.5	112.1	0	$+\infty$	Si

Verifica di apertura delle fessure

La campata non presenta apertura delle fessure

Verifica di deformabilità

x	Rara				Frequente				Quasi permanente							Verifica
	Elastica+	Elastica-	Fess.+	Fess.-	Elastica+	Elastica-	Fess.+	Fess.-	Elastica+	Elastica-	Fess. viscosa+	Comb.	Fess. viscosa-	Comb.	I/f	
35	0.001	0.001	0.001	0.001	0.001	0.001	0.001	0.001	0.001	0.001	0.003	1	0.002	1	9999	Si
220	0.008	0.008	0.007	0.007	0.008	0.008	0.007	0.007	0.008	0.008	0.017	4	0.017	4	9999	Si
264	0.009	0.008	0.007	0.007	0.009	0.008	0.007	0.007	0.008	0.008	0.018	4	0.017	4	9999	Si
410	0.003	0.002	0.002	0.002	0.002	0.002	0.002	0.002	0.002	0.002	0.005	4	0.004	4	9999	Si

Campata 17 tra i fili Palo86 - Palo90, sezione R 90x80, asta 389

Verifiche a flessione in famiglia SLU

x	A sup.	C.b. sup.	A inf.	C.b. inf.	M+ela	Comb.	M+des	M+ult	x/d	M-ela	Comb.	M-des	M-ult	x/d	Verifica
0	25.13	6	25.13	6						-921618	SLU 16	-656808	-6915255	0.095	Si
30	25.13	6	25.13	6	-275868	SLU 6	136308	6915255	0.095	-429805	SLU 12	-429805	-6915255	0.095	Si
198	25.13	6	25.13	6	1723153	SLU 16	1978180	6915255	0.095						Si
277	25.13	6	25.13	6	2241528	SLU 16	2366597	6915255	0.095						Si
365	42.79	6	49.01	6	2455231	SLU 16	2455231	13259900	0.121						Si
395	28.27	6	28.27	6	2441016	SLU 16	2441016	7751818	0.099						Si

Verifiche a flessione in famiglia SLV (domini sostanzialmente elastici)

La struttura oppure parte di essa, è stata dichiarata come non dissipativa pertanto la verifica a pressoflessione, per tutte o solo alcune sezioni, viene eseguita calcolando i momenti resistenti in campo sostanzialmente elastico secondo D.M. 17-01-2018 §7.4.1

Le dilatazioni ultime utilizzate sono le seguenti: $\epsilon_c = 0.002$, $\epsilon_{yd} = 0.0019$

x	A sup.	C.b. sup.	A inf.	C.b. inf.	M+ela	Comb.	M+des	M+ult	x/d	M-ela	Comb.	M-des	M-ult	x/d	Verifica
0	25.13	6	25.13	6	848183	SLV 15	848183	6635554	0.225	-2152985	SLV 2	-1870128	-6635554	0.225	Si
30	25.13	6	25.13	6	1022791	SLV 15	1177940	6635554	0.225	-1609987	SLV 2	-1609987	-6635554	0.225	Si
198	25.13	6	25.13	6	1870846	SLV 11	2067524	6635554	0.225						Si
365	42.79	6	49.01	6	2667355	SLV 3	2667355	12655416	0.295						Si
395	28.27	6	28.27	6	2801232	SLV 3	2743969	7438156	0.235	-118776	SLV 14	-47790	-7438156	0.235	Si

Verifiche SLD Resistenza a flessione (domini sostanzialmente elastici)

La struttura oppure parte di essa, è stata dichiarata come non dissipativa pertanto la verifica a pressoflessione, per tutte o solo alcune sezioni, viene eseguita calcolando i momenti resistenti in campo sostanzialmente elastico secondo D.M. 17-01-2018 §7.4.1

Le dilatazioni ultime utilizzate sono le seguenti: $\epsilon_c = 0.002$, $\epsilon_{yd} = 0.0019$

x	A sup.	C.b. sup.	A inf.	C.b. inf.	M+ela	Comb.	M+des	M+ult	x/d	M-ela	Comb.	M-des	M-ult	x/d	Verifica
0	25.13	6	25.13	6	117544	SLD 15	117544	6635554	0.225	-1422346	SLD 2	-1186328	-6635554	0.225	Si
30	25.13	6	25.13	6	382623	SLD 15	637942	6635554	0.225	-969819	SLD 2	-969819	-6635554	0.225	Si
198	25.13	6	25.13	6	1506853	SLD 11	1679318	6635554	0.225						Si
277	25.13	6	25.13	6	1868471	SLD 7	1955687	6635554	0.225						Si
365	42.79	6	49.01	6	2051956	SLD 3	2051956	12655416	0.295						Si
395	28.27	6	28.27	6	2092880	SLD 3	2081363	7438156	0.235						Si

Verifiche a taglio in famiglia SLU

x	A st	A sl	A sag	Vela	Comb.	Vdes	Vrd	Vrcd	Vrsd	Vult	cotgθ	Verifica
0	0	25.13	0	18270	SLU 16	18270	25632	211438	0	25632	1	Si
30	0.141	25.13	0	16787	SLU 16	16787	25632	211438	36659	36659	1	Si
198	0.141	25.13	0	8513	SLU 16	8513	25632	211438	36659	36659	1	Si

RELAZIONE GEOTECNICA E SULLE FONDAZIONI

x	A st	A sl	A sag	Vela	Comb.	Vdes	Vrd	Vrcd	Vrsd	Vult	cotgθ	Verifica
365	0.141	44.57	0	1105	SLV 8	1105	31025	211438	36659	36659	1	Si
365	0.141	44.57	0	-3755	SLU 9	-3755	-31025	-211438	-36659	-36659	1	Si
395	0	49.01	0	-5237	SLU 9	-5237	-32022	-211438	0	-32022	1	Si

Verifiche a taglio in famiglia SLV

x	A st	A sl	A sag	Vela	Comb.	Vdes	Vrd	Vrcd	Vrsd	Vult	cotgθ	Verifica
0	0	25.13	0	19092	SLV 4	19092	25632	211438	0	25632	1	Si
30	0.141	25.13	0	17952	SLV 4	17952	25632	211438	36659	36659	1	Si
198	0.141	25.13	0	11587	SLV 4	11587	25632	211438	36659	36659	1	Si
198	0.141	25.13	0	-1492	SLV 13	-1492	-25632	-211438	-36659	-36659	1	Si
365	0.141	44.57	0	5222	SLV 4	5222	31025	211438	36659	36659	1	Si
365	0.141	44.57	0	-7857	SLV 13	-7857	-31025	-211438	-36659	-36659	1	Si
395	0	49.01	0	4082	SLV 4	4082	32022	211438	0	32022	1	Si
395	0	42.79	0	-8997	SLV 13	-8997	-30606	-211438	0	-30606	1	Si

Verifiche SLD Resistenza a taglio

x	A st	A sl	A sag	Vela	Comb.	Vdes	Vrd	Vrcd	Vrsd	Vult	cotgθ	Verifica
0	0	25.13	0	15890	SLD 4	15890	25632	211438	0	25632	1	Si
30	0.141	25.13	0	14750	SLD 4	14750	25632	211438	36659	36659	1	Si
198	0.141	25.13	0	8385	SLD 4	8385	25632	211438	36659	36659	1	Si
365	0.141	44.57	0	2020	SLD 4	2020	31025	211438	36659	36659	1	Si
365	0.141	44.57	0	-4656	SLD 13	-4656	-31025	-211438	-36659	-36659	1	Si
395	0	49.01	0	880	SLD 4	880	32022	211438	0	32022	1	Si
395	0	49.01	0	-5796	SLD 13	-5796	-32022	-211438	0	-32022	1	Si

Verifiche delle tensioni in esercizio

x	Rara							Quasi permanente							Verifica
	Mela	Comb.	Mdes	σ c	σ c lim.	σ f.	σ f lim.	Mela	Comb.	Mdes	σ c	σ c lim.	σ FRP	σ FRP lim.	
0	-697368	8	-498953	6.7	149.4	292.9	3600	-652401	4	-470362	6.3	112.1	0	$+\infty$	Si
30	-327935	4	-327935	4.4	149.4	192.5	3600	-315719	2	-315719	4.2	112.1	0	$+\infty$	Si
198	1256180	8	1438716	19.2	149.4	844.5	3600	1085532	4	1231713	16.5	112.1	0	$+\infty$	Si
365	1750713	8	1751808	16.9	149.4	536.2	3600	1397201	4	1420166	13.7	112.1	0	$+\infty$	Si
395	1727492	8	1727492	21.7	149.4	903.8	3600	1341228	4	1341228	16.9	112.1	0	$+\infty$	Si

Verifica di apertura delle fessure

La campata non presenta apertura delle fessure

Verifica di deformabilità

x	Rara				Frequente				Quasi permanente								Verifica
	Elastica+	Elastica-	Fess.+	Fess.-	Elastica+	Elastica-	Fess.+	Fess.-	Elastica+	Elastica-	Fess. viscosa+	Comb.	Fess. viscosa-	Comb.	l/f		
30	0.003	0.002	0.003	0.002	0.003	0.002	0.003	0.002	0.003	0.002	0.006	4	0.004	4		9999	Si
198	0.019	0.012	0.016	0.01	0.017	0.012	0.015	0.01	0.016	0.012	0.035	4	0.025	4		9999	Si
224	0.019	0.012	0.017	0.01	0.017	0.012	0.015	0.01	0.017	0.012	0.035	4	0.025	4		9999	Si
365	0.006	0.004	0.005	0.003	0.006	0.004	0.005	0.003	0.005	0.004	0.011	4	0.008	4		9999	Si

Campata 18 tra i fili Palo90 - Palo105, sezione R 90x80, aste 2265, 2378

Verifiche a flessione in famiglia SLU

x	A sup.	C.b. sup.	A inf.	C.b. inf.	M+ela	Comb.	M+des	M+ult	x/d	M-ela	Comb.	M-des	M-ult	x/d	Verifica
0	28.27	6	28.27	6	3490696	SLU 16	3383765	7751818	0.099						Si
30	28.27	6	28.27	6	3255328	SLU 16	3255328	7751818	0.099						Si
240	28.27	6	28.27	6	460695	SLU 9	970633	7751818	0.099	261204	SLU 8	-308584	-7751818	0.099	Si
450	28.27	6	28.27	6						-2001006	SLU 16	-2302470	-7751818	0.099	Si
480	28.27	6	28.27	6						-1751747	SLU 16	-1751747	-7751818	0.099	Si

Verifiche a flessione in famiglia SLV (domini sostanzialmente elastici)

La struttura oppure parte di essa, è stata dichiarata come non dissipativa pertanto la verifica a pressoflessione, per tutte o solo alcune sezioni, viene eseguita calcolando i momenti resistenti in campo sostanzialmente elastico secondo D.M. 17-01-2018 §7.4.1

Le dilatazioni ultime utilizzate sono le seguenti: $\epsilon_{c2} = 0.002$, $\epsilon_{yd} = 0.0019$

x	A sup.	C.b. sup.	A inf.	C.b. inf.	M+ela	Comb.	M+des	M+ult	x/d	M-ela	Comb.	M-des	M-ult	x/d	Verifica
0	28.27	6	28.27	6	6646708	SLV 15	6312867	7438156	0.235	-2657996	SLV 2	-2397992	-7438156	0.235	Si
30	28.27	6	28.27	6	5962209	SLV 15	5962209	7438156	0.235	-2154257	SLV 2	-2154257	-7438156	0.235	Si
240	28.27	6	28.27	6	531910	SLV 6	1252663	7438156	0.235	102692	SLV 11	-864584	-7438156	0.235	Si
450	28.27	6	28.27	6	607301	SLV 2	756652	7438156	0.235	-3101451	SLV 15	-3608476	-7438156	0.235	Si
480	28.27	6	28.27	6	456318	SLV 2	456318	7438156	0.235	-2662595	SLV 15	-2662595	-7438156	0.235	Si

Verifiche SLD Resistenza a flessione (domini sostanzialmente elastici)

La struttura oppure parte di essa, è stata dichiarata come non dissipativa pertanto la verifica a pressoflessione, per tutte o solo alcune sezioni, viene eseguita calcolando i momenti resistenti in campo sostanzialmente elastico secondo D.M. 17-01-2018 §7.4.1

Le dilatazioni ultime utilizzate sono le seguenti: $\epsilon_{c2} = 0.002$, $\epsilon_{yd} = 0.0019$

x	A sup.	C.b. sup.	A inf.	C.b. inf.	M+ela	Comb.	M+des	M+ult	x/d	M-ela	Comb.	M-des	M-ult	x/d	Verifica
0	28.27	6	28.27	6	4369355	SLD 15	4180766	7438156	0.235	-380643	SLD 2	-265891	-7438156	0.235	Si
30	28.27	6	28.27	6	3975494	SLD 15	3975494	7438156	0.235	-167542	SLD 2	-167542	-7438156	0.235	Si
240	28.27	6	28.27	6	431265	SLD 6	971346	7438156	0.235	203337	SLD 11	-486205	-7438156	0.235	Si
450	28.27	6	28.27	6						-2193539	SLD 15	-2540873	-7438156	0.235	Si
480	28.27	6	28.27	6						-1898170	SLD 15	-1898170	-7438156	0.235	Si

Verifiche a taglio in famiglia SLU

x	A st	A sl	A sag	Vela	Comb.	Vdes	Vrd	Vrcd	Vrsd	Vult	cotgθ	Verifica
0	0	28.27	0	1230	SLU 9	1230	26659	211438	0	26659	1	Si
0	0	28.27	0	-7364	SLU 8	-7364	-26659	-211438	0	-26659	1	Si
30	0.148	28.27	0	-8563	SLU 16	-8563	-26659	-211438	-38527	-38527	1	Si
240	0.16	28.27	0	-18937	SLU 16	-18937	-26659	-211438	-41739	-41739	1	Si
400	0.157	28.27	0	-26841	SLU 16	-26841	-26659	-211438	-40936	-40936	1	Si
450	0.157	28.27	0	8659	SLU 16	8659	26659	211438	40936	40936	1	Si
480	0	28.27	0	7957	SLU 16	7957	26659	211438	0	26659	1	Si

Verifiche a taglio in famiglia SLV

x	A st	A sl	A sag	Vela	Comb.	Vdes	Vrd	Vrcd	Vrsd	Vult	cotgθ	Verifica
0	0	28.27	0	17389	SLV 2	17389	26659	211438	0	26659	1	Si
0	0	28.27	0	-22237	SLV 15	-22237	-26659	-211438	0	-26659	1	Si
30	0.148	28.27	0	16249	SLV 2	16249	26659	211438	38527	38527	1	Si
30	0.148	28.27	0	-23377	SLV 15	-23377	-26659	-211438	-38527	-38527	1	Si
240	0.16	28.27	0	8269	SLV 2	8269	26659	211438	41739	41739	1	Si
240	0.16	28.27	0	-31357	SLV 15	-31357	-26659	-211438	-41739	-41739	1	Si
400	0.157	28.27	0	2189	SLV 2	2189	26659	211438	40936	40936	1	Si
400	0.157	28.27	0	-37437	SLV 15	-37437	-26659	-211438	-40936	-40936	1	Si
450	0.157	28.27	0	14955	SLV 15	14955	26659	211438	40936	40936	1	Si
450	0.157	28.27	0	-4820	SLV 2	-4820	-26659	-211438	-40936	-40936	1	Si

RELAZIONE GEOTECNICA E SULLE FONDAZIONI

x	A st	A sl	A sag	Vela	Comb.	Vdes	Vrd	Vrcd	Vrsd	Vult	cotgθ	Verifica
480	0	28.27	0	14415	SLV 15	14415	26659	211438	0	26659	1	Si
480	0	28.27	0	-5360	SLV 2	-5360	-26659	-211438	0	-26659	1	Si

Verifiche SLD Resistenza a taglio

x	A st	A sl	A sag	Vela	Comb.	Vdes	Vrd	Vrcd	Vrsd	Vult	cotgθ	Verifica
0	0	28.27	0	7697	SLD 2	7697	26659	211438	0	26659	1	Si
0	0	28.27	0	-12545	SLD 15	-12545	-26659	-211438	0	-26659	1	Si
30	0.148	28.27	0	6557	SLD 2	6557	26659	211438	38527	38527	1	Si
30	0.148	28.27	0	-13685	SLD 15	-13685	-26659	-211438	-38527	-38527	1	Si
240	0.16	28.27	0	-21665	SLD 15	-21665	-26659	-211438	-41739	-41739	1	Si
400	0.157	28.27	0	-27745	SLD 15	-27745	-26659	-211438	-40936	-40936	1	Si
450	0.157	28.27	0	10198	SLD 11	10198	26659	211438	40936	40936	1	Si
450	0.157	28.27	0	-62	SLD 6	-62	-26659	-211438	-40936	-40936	1	Si
480	0	28.27	0	9658	SLD 11	9658	26659	211438	0	26659	1	Si
480	0	28.27	0	-602	SLD 6	-602	-26659	-211438	0	-26659	1	Si

Verifiche delle tensioni in esercizio

x	Rara							Quasi permanente							Verifica
	Mela	Comb.	Mdes	σ c	σ c lim.	σ f.	σ f lim.	Mela	Comb.	Mdes	σ c	σ c lim.	σ FRP	σ FRP lim.	
0	2490151	8	2420681	30.4	149.4	1266.5	3600	1994356	4	1957437	24.6	112.1	0	+∞	Si
30	2334668	8	2334668	29.4	149.4	1221.5	3600	1903976	4	1903976	23.9	112.1	0	+∞	Si
240	354380	1	727815	9.2	149.4	380.8	3600	354380	1	680588	8.6	112.1	0	+∞	Si
450	-1456897	8	-1673887	21	149.4	875.8	3600	-1247075	4	-1425912	17.9	112.1	0	+∞	Si
480	-1278589	8	-1278589	16.1	149.4	669	3600	-1103138	4	-1103138	13.9	112.1	0	+∞	Si

Verifica di apertura delle fessure

La campata non presenta apertura delle fessure

Verifica di deformabilità

x	Rara				Frequente				Quasi permanente						Verifica
	Elastica+	Elastica-	Fess.+	Fess.-	Elastica+	Elastica-	Fess.+	Fess.-	Elastica+	Elastica-	Fess. viscosa+	Comb.	Fess. viscosa-	Comb.	
30	0.005	0.004	0.005	0.003	0.005	0.004	0.004	0.003	0.005	0.004	0.01	4	0.008	4	9999 Si
128	0.012	0.009	0.011	0.008	0.011	0.009	0.01	0.008	0.011	0.009	0.024	4	0.02	4	9999 Si
240	0.005	0.004	0.005	0.004	0.005	0.005	0.005	0.004	0.005	0.005	0.011	1	0.01	1	9999 Si
450	-0.002	-0.004	-0.002	-0.003	-0.002	-0.003	-0.002	-0.003	-0.002	-0.003	-0.004	1	-0.006	1	9999 Si

Campata 19 tra i fili Palo105 - 20, sezione R 90x80, aste 2377, 2376, 2375

Verifiche a flessione in famiglia SLU

x	A sup.	C.b. sup.	A inf.	C.b. inf.	M+ela	Comb.	M+des	M+ult	x/d	M-ela	Comb.	M-des	M-ult	x/d	Verifica
0	28.27	6	28.27	6						-1182086	SLU 16	-1113277	-7751818	0.099	Si
30	28.27	6	28.27	6						-1054998	SLU 16	-1054998	-7751818	0.099	Si
67	28.27	6	28.27	6	-281428	SLU 1	20073	7751818	0.099	-610314	SLU 16	-1038943	-7751818	0.099	Si
135	28.27	6	28.27	6	4601	SLU 9	4601	7751818	0.099	-42769	SLU 8	-183492	-7751818	0.099	Si

Verifiche a flessione in famiglia SLD (domini sostanzialmente elastici)

La struttura oppure parte di essa, è stata dichiarata come non dissipativa pertanto la verifica a pressoflessione, per tutte o solo alcune sezioni, viene eseguita calcolando i momenti resistenti in campo sostanzialmente elastico secondo D.M. 17-01-2018 §7.4.1

Le dilatazioni ultime utilizzate sono le seguenti: $\epsilon_{c2} = 0.002$, $\epsilon_{yd} = 0.0019$

x	A sup.	C.b. sup.	A inf.	C.b. inf.	M+ela	Comb.	M+des	M+ult	x/d	M-ela	Comb.	M-des	M-ult	x/d	Verifica
0	28.27	6	28.27	6						-1486581	SLV 15	-1480000	-7438156	0.235	Si
30	28.27	6	28.27	6	154266	SLV 2	1270906	7438156	0.235	-1486305	SLV 15	-2052357	-7438156	0.235	Si
67	28.27	6	28.27	6	1320188	SLV 6	2973907	7438156	0.235	-2083104	SLV 11	-3195875	-7438156	0.235	Si
103	28.27	6	28.27	6	3045968	SLV 6	3876680	7438156	0.235	-3251698	SLV 11	-3913378	-7438156	0.235	Si
135	28.27	6	28.27	6	3876680	SLV 6	3876680	7438156	0.235	-3913378	SLV 11	-3913378	-7438156	0.235	Si

Verifiche SLD Resistenza a flessione (domini sostanzialmente elastici)

La struttura oppure parte di essa, è stata dichiarata come non dissipativa pertanto la verifica a pressoflessione, per tutte o solo alcune sezioni, viene eseguita calcolando i momenti resistenti in campo sostanzialmente elastico secondo D.M. 17-01-2018 §7.4.1

Le dilatazioni ultime utilizzate sono le seguenti: $\epsilon_{c2} = 0.002$, $\epsilon_{yd} = 0.0019$

x	A sup.	C.b. sup.	A inf.	C.b. inf.	M+ela	Comb.	M+des	M+ult	x/d	M-ela	Comb.	M-des	M-ult	x/d	Verifica
0	28.27	6	28.27	6						-1124948	SLD 15	-1100261	-7438156	0.235	Si
30	28.27	6	28.27	6	-245832	SLD 2	494905	7438156	0.235	-1086208	SLD 15	-1276356	-7438156	0.235	Si
67	28.27	6	28.27	6	525660	SLD 6	1539185	7438156	0.235	-1288576	SLD 11	-1761153	-7438156	0.235	Si
103	28.27	6	28.27	6	1581621	SLD 6	2066613	7438156	0.235	-1787351	SLD 11	-2103310	-7438156	0.235	Si
135	28.27	6	28.27	6	2066613	SLD 6	2066613	7438156	0.235	-2103310	SLD 11	-2103310	-7438156	0.235	Si

Verifiche a taglio in famiglia SLU

x	A st	A sl	A sag	Vela	Comb.	Vdes	Vrd	Vrcd	Vrsd	Vult	cotgθ	Verifica
0	0	28.27	0	4587	SLU 16	4587	26659	211438	0	26659	1	Si
30	0.15	28.27	0	3885	SLU 16	3885	26659	211438	38987	38987	1	Si
67	0.15	28.27	0	3381	SLU 16	3381	26659	211438	38987	38987	1	Si
135	0.209	28.27	0	3866	SLU 16	3866	26659	211438	54582	54582	1	Si

Verifiche a taglio in famiglia SLV

x	A st	A sl	A sag	Vela	Comb.	Vdes	Vrd	Vrcd	Vrsd	Vult	cotgθ	Verifica
0	0	28.27	0	9643	SLV 6	9643	26659	211438	0	26659	1	Si
0	0	28.27	0	-3646	SLV 11	-3646	-26659	-211438	0	-26659	1	Si
30	0.15	28.27	0	9103	SLV 6	9103	26659	211438	38987	38987	1	Si
30	0.15	28.27	0	-4186	SLV 11	-4186	-26659	-211438	-38987	-38987	1	Si
67	0.15	28.27	0	11804	SLV 6	11804	26659	211438	38987	38987	1	Si
67	0.15	28.27	0	-7472	SLV 11	-7472	-26659	-211438	-38987	-38987	1	Si
90	0.15	28.27	0	26993	SLV 6	26993	26659	211438	38987	38987	1	Si
90	0.15	28.27	0	-20574	SLV 11	-20574	-26659	-211438	-38987	-38987	1	Si
135	0.209	28.27	0	26183	SLV 6	26183	26659	211438	54582	54582	1	Si
135	0.209	28.27	0	-21384	SLV 11	-21384	-26659	-211438	-54582	-54582	1	Si

Verifiche SLD Resistenza a taglio

x	A st	A sl	A sag	Vela	Comb.	Vdes	Vrd	Vrcd	Vrsd	Vult	cotgθ	Verifica
0	0	28.27	0	6561	SLD 6	6561	26659	211438	0	26659	1	Si
0	0	28.27	0	-564	SLD 11	-564	-26659	-211438	0	-26659	1	Si
30	0.15	28.27	0	6021	SLD 6	6021	26659	211438	38987	38987	1	Si
30	0.15	28.27	0	-1104	SLD 11	-1104	-26659	-211438	-38987	-38987	1	Si
67	0.15	28.27	0	7341	SLD 6	7341	26659	211438	38987	38987	1	Si
67	0.15	28.27	0	-3009	SLD 11	-3009	-26659	-211438	-38987	-38987	1	Si
90	0.15	28.27	0	15975	SLD 6	15975	26659	211438	38987	38987	1	Si
90	0.15	28.27	0	-9556	SLD 11	-9556	-26659	-211438	-38987	-38987	1	Si
135	0.209	28.27	0	15165	SLD 6	15165	26659	211438	54582	54582	1	Si
135	0.209	28.27	0	-10366	SLD 11	-10366	-26659	-211438	-54582	-54582	1	Si

Verifiche delle tensioni in esercizio

x	Rara							Quasi permanente							Verifica
	Mela	Comb.	Mdes	σ c	σ c lim.	σ f.	σ f lim.	Mela	Comb.	Mdes	σ c	σ c lim.	σ FRP	σ FRP lim.	
0	-863853	8	-813136	10.2	149.4	425.4	3600	-747874	4	-702897	8.8	112.1	0	$+\infty$	Si
30	-770519	8	-770519	9.7	149.4	403.1	3600	-666020	4	-666020	8.4	112.1	0	$+\infty$	Si
67	-444400	8	-758789	9.5	149.4	397	3600	-381458	4	-655896	8.2	112.1	0	$+\infty$	Si
135	3540	1	3540	0	149.4	1.9	3600	3540	1	3540	0	112.1	0	$+\infty$	Si
135	-27333	8	-131230	1.6	149.4	68.7	3600	-18349	4	-108278	1.4	112.1	0	$+\infty$	Si

Verifica di apertura delle fessure

La campata non presenta apertura delle fessure

Verifica di deformabilità

x	Rara				Frequente				Quasi permanente							Verifica
	Elastica+	Elastica-	Fess.+	Fess.-	Elastica+	Elastica-	Fess.+	Fess.-	Elastica+	Elastica-	Fess. viscosa+	Comb.	Fess. viscosa-	Comb.	I/f	
30	0	-0.001	0	-0.001	0	-0.001	0	-0.001	0	-0.001	-0.001	1	-0.001	1	9999	Si
54	-0.001	-0.001	0	-0.001	-0.001	-0.001	0	-0.001	-0.001	-0.001	-0.001	1	-0.002	1	9999	Si
67	-0.001	-0.001	0	-0.001	-0.001	-0.001	0	-0.001	-0.001	-0.001	-0.001	1	-0.002	1	9999	Si

Campata 20 tra i fili 20 - Palo106, sezione R 90x80, asta 2374

Verifiche a flessione in famiglia SLU

x	A sup.	C.b. sup.	A inf.	C.b. inf.	M+ela	Comb.	M+des	M+ult	x/d	M-ela	Comb.	M-des	M-ult	x/d	Verifica
0	28.27	6	28.27	6	3890898	SLU 16	228545	7751818	0.099						Si
23	28.27	6	28.27	6	131030	SLU 16	228545	7751818	0.099						Si
45	28.27	6	28.27	6	23803	SLU 12	179311	7751818	0.099						Si

Verifiche a flessione in famiglia SLV (domini sostanzialmente elastici)

La struttura oppure parte di essa, è stata dichiarata come non dissipativa pertanto la verifica a pressoflessione, per tutte o solo alcune sezioni, viene eseguita calcolando i momenti resistenti in campo sostanzialmente elastico secondo D.M. 17-01-2018 §7.4.1

Le dilatazioni ultime utilizzate sono le seguenti: $\epsilon_{c2} = 0.002$, $\epsilon_{yd} = 0.0019$

x	A sup.	C.b. sup.	A inf.	C.b. inf.	M+ela	Comb.	M+des	M+ult	x/d	M-ela	Comb.	M-des	M-ult	x/d	Verifica
0	28.27	6	28.27	6	3890898	SLV 6	3890898	7438156	0.235	-3589513	SLV 11	-3589513	-7438156	0.235	Si
23	28.27	6	28.27	6	3211857	SLV 6	3890898	7438156	0.235	-3039194	SLV 11	-3589513	-7438156	0.235	Si
45	28.27	6	28.27	6	2524866	SLV 6	3538788	7438156	0.235	-2499150	SLV 11	-3302070	-7438156	0.235	Si

Verifiche SLD Resistenza a flessione (domini sostanzialmente elastici)

La struttura oppure parte di essa, è stata dichiarata come non dissipativa pertanto la verifica a pressoflessione, per tutte o solo alcune sezioni, viene eseguita calcolando i momenti resistenti in campo sostanzialmente elastico secondo D.M. 17-01-2018 §7.4.1

Le dilatazioni ultime utilizzate sono le seguenti: $\epsilon_{c2} = 0.002$, $\epsilon_{yd} = 0.0019$

x	A sup.	C.b. sup.	A inf.	C.b. inf.	M+ela	Comb.	M+des	M+ult	x/d	M-ela	Comb.	M-des	M-ult	x/d	Verifica
0	28.27	6	28.27	6	2156160	SLD 6	2156160	7438156	0.235	-1854776	SLD 11	-1854776	-7438156	0.235	Si
23	28.27	6	28.27	6	1761419	SLD 6	2156160	7438156	0.235	-1588756	SLD 11	-1854776	-7438156	0.235	Si
45	28.27	6	28.27	6	1358192	SLD 6	1951952	7438156	0.235	-1332475	SLD 11	-1715234	-7438156	0.235	Si

Verifiche a taglio in famiglia SLU

x	A st	A sl	A sag	Vela	Comb.	Vdes	Vrd	Vrcd	Vrsd	Vult	cotgθ	Verifica
0	0.209	28.27	0	-4071	SLU 16	-4071	-26659	-211438	-54582	-54582	1	Si
23	0.209	28.27	0	-4597	SLU 16	-4597	-26659	-211438	-54582	-54582	1	Si
45	0.209	28.27	0	-5124	SLU 16	-5124	-26659	-211438	-54582	-54582	1	Si

Verifiche a taglio in famiglia SLV

x	A st	A sl	A sag	Vela	Comb.	Vdes	Vrd	Vrcd	Vrsd	Vult	cotgθ	Verifica
0	0.209	28.27	0	25412	SLV 7	25412	26659	211438	54582	54582	1	Si
0	0.209	28.27	0	-30728	SLV 10	-30728	-26659	-211438	-54582	-54582	1	Si
23	0.209	28.27	0	25007	SLV 7	25007	26659	211438	54582	54582	1	Si
23	0.209	28.27	0	-31133	SLV 10	-31133	-26659	-211438	-54582	-54582	1	Si
45	0.209	28.27	0	24602	SLV 7	24602	26659	211438	54582	54582	1	Si
45	0.209	28.27	0	-31538	SLV 10	-31538	-26659	-211438	-54582	-54582	1	Si

Verifiche SLD Resistenza a taglio

x	A st	A sl	A sag	Vela	Comb.	Vdes	Vrd	Vrcd	Vrsd	Vult	cotgθ	Verifica
0	0.209	28.27	0	12405	SLD 7	12405	26659	211438	54582	54582	1	Si
0	0.209	28.27	0	-17721	SLD 10	-17721	-26659	-211438	-54582	-54582	1	Si
23	0.209	28.27	0	12000	SLD 7	12000	26659	211438	54582	54582	1	Si
23	0.209	28.27	0	-18126	SLD 10	-18126	-26659	-211438	-54582	-54582	1	Si
45	0.209	28.27	0	11595	SLD 7	11595	26659	211438	54582	54582	1	Si
45	0.209	28.27	0	-18531	SLD 10	-18531	-26659	-211438	-54582	-54582	1	Si

Verifiche delle tensioni in esercizio

x	Rara							Quasi permanente							Verifica
	Mela	Comb.	Mdes	σc	σc lim.	σf .	σf lim.	Mela	Comb.	Mdes	σc	σc lim.	σFRP	σFRP lim.	
0	169647	8	169647	2.1	149.4	88.8	3600	150692	4	150692	1.9	112.1	0	$+\infty$	Si
23	97460	8	169647	2.1	149.4	88.8	3600	86332	4	150692	1.9	112.1	0	$+\infty$	Si
45	17584	4	133244	1.7	149.4	69.7	3600	14281	2	118359	1.5	112.1	0	$+\infty$	Si

Verifica di apertura delle fessure

La campata non presenta apertura delle fessure

Verifica di deformabilità

x	Rara				Frequente				Quasi permanente							Verifica
	Elastica+	Elastica-	Fess.+	Fess.-	Elastica+	Elastica-	Fess.+	Fess.-	Elastica+	Elastica-	Fess. viscosa+	Comb.	Fess. viscosa-	Comb.	I/f	
20	0	0	0	0	0	0	0	0	0	0	0	4	0	4	9999	Si
23	0	0	0	0	0	0	0	0	0	0	0	4	0	4	9999	Si

Campata 21 tra i fili Palo106 - Palo108, sezione R 90x80, aste 406, 405

Verifiche a flessione in famiglia SLU

x	A sup.	C.b. sup.	A inf.	C.b. inf.	M+ela	Comb.	M+des	M+ult	x/d	M-ela	Comb.	M-des	M-ult	x/d	Verifica
0	28.27	6	28.27	6	70452	SLU 16	70452	7751818	0.099						Si
45	28.27	6	28.27	6	-46024	SLU 1	64923	7751818	0.099	-88447	SLU 16	-113946	-7751818	0.099	Si
60	28.27	6	28.27	6	-59536	SLU 1	53160	7751818	0.099	-113946	SLU 16	-113946	-7751818	0.099	Si
90	28.27	6	28.27	6						-180740	SLU 16	-142078	-7751818	0.099	Si

Verifiche a flessione in famiglia SLV (domini sostanzialmente elastici)

La struttura oppure parte di essa, è stata dichiarata come non dissipativa pertanto la verifica a pressoflessione, per tutte o solo alcune sezioni, viene eseguita calcolando i momenti resistenti in campo sostanzialmente elastico secondo D.M. 17-01-2018 §7.4.1

RELAZIONE GEOTECNICA E SULLE FONDAZIONI

Le dilatazioni ultime utilizzate sono le seguenti: $\epsilon_c=0.002$, $\epsilon_{yd}=0.0019$

x	A sup.	C.b. sup.	A inf.	C.b. inf.	M+ela	Comb.	M+des	M+ult	x/d	M-ela	Comb.	M-des	M-ult	x/d	Verifica
0	28.27	6	28.27	6	1438363	SLV 10	1438363	7438156	0.235	-1347338	SLV 7	-1347338	-7438156	0.235	Si
45	28.27	6	28.27	6	409116	SLV 6	1347064	7438156	0.235	-523452	SLV 11	-1261514	-7438156	0.235	Si
60	28.27	6	28.27	6	291673	SLV 2	1229855	7438156	0.235	-439273	SLV 15	-1158516	-7438156	0.235	Si
90	28.27	6	28.27	6	264840	SLV 4	211677	7438156	0.235	-503270	SLV 13	-450107	-7438156	0.235	Si

Verifiche SLD Resistenza a flessione (domini sostanzialmente elastici)

La struttura oppure parte di essa, è stata dichiarata come non dissipativa pertanto la verifica a pressoflessione, per tutte o solo alcune sezioni, viene eseguita calcolando i momenti resistenti in campo sostanzialmente elastico secondo D.M. 17-01-2018 §7.4.1

Le dilatazioni ultime utilizzate sono le seguenti: $\epsilon_c=0.002$, $\epsilon_{yd}=0.0019$

x	A sup.	C.b. sup.	A inf.	C.b. inf.	M+ela	Comb.	M+des	M+ult	x/d	M-ela	Comb.	M-des	M-ult	x/d	Verifica
0	28.27	6	28.27	6	793207	SLD 10	793207	7438156	0.235	-702183	SLD 7	-702183	-7438156	0.235	Si
45	28.27	6	28.27	6	190784	SLD 6	743049	7438156	0.235	-305119	SLD 11	-657499	-7438156	0.235	Si
60	28.27	6	28.27	6	118646	SLD 6	676811	7438156	0.235	-266246	SLD 11	-605472	-7438156	0.235	Si
90	28.27	6	28.27	6	75860	SLD 4	55060	7438156	0.235	-314290	SLD 13	-278367	-7438156	0.235	Si

Verifiche a taglio in famiglia SLU

x	A st	A sl	A sag	Vela	Comb.	Vdes	Vrd	Vrcd	Vrsd	Vult	cotgθ	Verifica
0	0.209	28.27	0	2	SLV 9	2	26659	211438	54582	54582	1	Si
0	0.209	28.27	0	-335	SLV 8	-335	-26659	-211438	-54582	-54582	1	Si
45	0.157	28.27	0	-1524	SLV 16	-1524	-26659	-211438	-40936	-40936	1	Si
60	0.157	28.27	0	-1875	SLV 16	-1875	-26659	-211438	-40936	-40936	1	Si
90	0	28.27	0	-2577	SLV 16	-2577	-26659	-211438	0	-26659	1	Si

Verifiche a taglio in famiglia SLV

x	A st	A sl	A sag	Vela	Comb.	Vdes	Vrd	Vrcd	Vrsd	Vult	cotgθ	Verifica
0	0.209	28.27	0	7702	SLV 7	7702	26659	211438	54582	54582	1	Si
0	0.209	28.27	0	-7959	SLV 10	-7959	-26659	-211438	-54582	-54582	1	Si
45	0.157	28.27	0	7722	SLV 7	7722	26659	211438	40936	40936	1	Si
45	0.157	28.27	0	-9670	SLV 10	-9670	-26659	-211438	-40936	-40936	1	Si
60	0.157	28.27	0	7452	SLV 7	7452	26659	211438	40936	40936	1	Si
60	0.157	28.27	0	-9940	SLV 10	-9940	-26659	-211438	-40936	-40936	1	Si
90	0	28.27	0	6912	SLV 7	6912	26659	211438	0	26659	1	Si
90	0	28.27	0	-10480	SLV 10	-10480	-26659	-211438	0	-26659	1	Si

Verifiche SLD Resistenza a taglio

x	A st	A sl	A sag	Vela	Comb.	Vdes	Vrd	Vrcd	Vrsd	Vult	cotgθ	Verifica
0	0.209	28.27	0	4059	SLD 7	4059	26659	211438	54582	54582	1	Si
0	0.209	28.27	0	-4315	SLD 10	-4315	-26659	-211438	-54582	-54582	1	Si
45	0.157	28.27	0	3673	SLD 7	3673	26659	211438	40936	40936	1	Si
45	0.157	28.27	0	-5621	SLD 10	-5621	-26659	-211438	-40936	-40936	1	Si
60	0.157	28.27	0	3403	SLD 7	3403	26659	211438	40936	40936	1	Si
60	0.157	28.27	0	-5891	SLD 10	-5891	-26659	-211438	-40936	-40936	1	Si
90	0	28.27	0	2863	SLD 7	2863	26659	211438	0	26659	1	Si
90	0	28.27	0	-6431	SLD 10	-6431	-26659	-211438	0	-26659	1	Si

Verifiche delle tensioni in esercizio

x	Rara							Quasi permanente							Verifica
	Mela	Comb.	Mdes	σ c	σ c lim.	σ f.	σ f lim.	Mela	Comb.	Mdes	σ c	σ c lim.	σ FRP	σ FRP lim.	
0	51866	8	51866	0.7	149.4	27.1	3600	45512	4	45512	0.6	112.1	0	$+\infty$	Si
45	-65101	8	-83902	1.1	149.4	43.9	3600	-57168	4	-73800	0.9	112.1	0	$+\infty$	Si
60	-83902	8	-83902	1.1	149.4	43.9	3600	-73800	4	-73800	0.9	112.1	0	$+\infty$	Si
90	-133655	8	-104728	1.3	149.4	54.8	3600	-119215	4	-92458	1.2	112.1	0	$+\infty$	Si

Verifica di apertura delle fessure

La campata non presenta apertura delle fessure

Verifica di deformabilità

x	Rara				Frequente				Quasi permanente							Verifica
	Elastica+	Elastica-	Fess.+	Fess.-	Elastica+	Elastica-	Fess.+	Fess.-	Elastica+	Elastica-	Fess. viscosa+	Comb.	Fess. viscosa-	Comb.	l/f	
45	0	0	0	0	0	0	0	0	0	0	0	1	0	1	9999	Si
60	0	0	0	0	0	0	0	0	0	0	0	1	0	1	9999	Si
63	0	0	0	0	0	0	0	0	0	0	0	1	0	1	9999	Si

Campata 22 tra i fili Palo108 - 25, sezione R 90x80, asta 404

Verifiche a flessione in famiglia SLU

x	A sup.	C.b. sup.	A inf.	C.b. inf.	M+ela	Comb.	M+des	M+ult	x/d	M-ela	Comb.	M-des	M-ult	x/d	Verifica
0	28.27	6	28.27	6						-30122	SLV 12	-14428	-7751818	0.099	Si
30	28.27	6	28.27	6						-9256	SLV 12	-11252	-7751818	0.099	Si
35	28.27	6	28.27	6						-7875	SLV 16	-13801	-7751818	0.099	Si
37	28.27	6	28.27	6						-7444	SLV 16	-14786	-7751818	0.099	Si
70	28.27	6	28.27	6						-14786	SLV 16	-14786	-7751818	0.099	Si

Verifiche a flessione in famiglia SLV (domini sostanzialmente elastici)

La struttura oppure parte di essa, è stata dichiarata come non dissipativa pertanto la verifica a pressoflessione, per tutte o solo alcune sezioni, viene eseguita calcolando i momenti resistenti in campo sostanzialmente elastico secondo D.M. 17-01-2018 §7.4.1

Le dilatazioni ultime utilizzate sono le seguenti: $\epsilon_c=0.002$, $\epsilon_{yd}=0.0019$

x	A sup.	C.b. sup.	A inf.	C.b. inf.	M+ela	Comb.	M+des	M+ult	x/d	M-ela	Comb.	M-des	M-ult	x/d	Verifica
0	28.27	6	28.27	6	198832	SLV 11	179523	7438156	0.235	-238859	SLV 6	-196363	-7438156	0.235	Si
30	28.27	6	28.27	6	152056	SLV 11	152056	7438156	0.235	-161897	SLV 6	-161897	-7438156	0.235	Si
35	28.27	6	28.27	6	142697	SLV 11	152056	7438156	0.235	-150643	SLV 6	-161897	-7438156	0.235	Si
70	28.27	6	28.27	6	64661	SLV 11	139401	7438156	0.235	-84626	SLV 6	-146932	-7438156	0.235	Si

Verifiche SLD Resistenza a flessione (domini sostanzialmente elastici)

La struttura oppure parte di essa, è stata dichiarata come non dissipativa pertanto la verifica a pressoflessione, per tutte o solo alcune sezioni, viene eseguita calcolando i momenti resistenti in campo sostanzialmente elastico secondo D.M. 17-01-2018 §7.4.1

Le dilatazioni ultime utilizzate sono le seguenti: $\epsilon_c=0.002$, $\epsilon_{yd}=0.0019$

x	A sup.	C.b. sup.	A inf.	C.b. inf.	M+ela	Comb.	M+des	M+ult	x/d	M-ela	Comb.	M-des	M-ult	x/d	Verifica
0	28.27	6	28.27	6	96740	SLD 11	91875	7438156	0.235	-136767	SLD 6	-108715	-7438156	0.235	Si
30	28.27	6	28.27	6	78886	SLD 11	78886	7438156	0.235	-88727	SLD 6	-88727	-7438156	0.235	Si
35	28.27	6	28.27	6	74344	SLD 11	78886	7438156	0.235	-82291	SLD 6	-88727	-7438156	0.235	Si
70	28.27	6	28.27	6	29971	SLD 11	72686	7438156	0.235	-49937	SLD 6	-80217	-7438156	0.235	Si

Verifiche a taglio in famiglia SLU

x	A st	A sl	A sag	Vela	Comb.	Vdes	Vrd	Vrcd	Vrsd	Vult	cotgθ	Verifica
0	0	28.27	0	1047	SLV 12	1047	26659	211438	0	26659	1	Si
30	0.157	28.27	0	345	SLV 12	345	26659	211438	40936	40936	1	Si

RELAZIONE GEOTECNICA E SULLE FONDAZIONI

x	A st	A sl	A sag	Vela	Comb.	Vdes	Vrd	Vrcd	Vrsd	Vult	cotgθ	Verifica
35	0.157	28.27	0	228	SLV 12	228	26659	211438	40936	40936	1	Si
70	0.157	28.27	0	-647	SLV 14	-647	-26659	-211438	-40936	-40936	1	Si

Verifiche a taglio in famiglia SLV

x	A st	A sl	A sag	Vela	Comb.	Vdes	Vrd	Vrcd	Vrsd	Vult	cotgθ	Verifica
0	0	28.27	0	2838	SLV 6	2838	26659	211438	0	26659	1	Si
0	0	28.27	0	-1291	SLV 11	-1291	-26659	-211438	0	-26659	1	Si
30	0.157	28.27	0	2298	SLV 6	2298	26659	211438	40936	40936	1	Si
30	0.157	28.27	0	-1831	SLV 11	-1831	-26659	-211438	-40936	-40936	1	Si
35	0.157	28.27	0	2208	SLV 6	2208	26659	211438	40936	40936	1	Si
35	0.157	28.27	0	-1921	SLV 11	-1921	-26659	-211438	-40936	-40936	1	Si
70	0.157	28.27	0	1578	SLV 6	1578	26659	211438	40936	40936	1	Si
70	0.157	28.27	0	-2551	SLV 11	-2551	-26659	-211438	-40936	-40936	1	Si

Verifiche SLD Resistenza a taglio

x	A st	A sl	A sag	Vela	Comb.	Vdes	Vrd	Vrcd	Vrsd	Vult	cotgθ	Verifica
0	0	28.27	0	1873	SLD 6	1873	26659	211438	0	26659	1	Si
0	0	28.27	0	-326	SLD 11	-326	-26659	-211438	0	-26659	1	Si
30	0.157	28.27	0	1333	SLD 6	1333	26659	211438	40936	40936	1	Si
30	0.157	28.27	0	-866	SLD 11	-866	-26659	-211438	-40936	-40936	1	Si
35	0.157	28.27	0	1243	SLD 6	1243	26659	211438	40936	40936	1	Si
35	0.157	28.27	0	-956	SLD 11	-956	-26659	-211438	-40936	-40936	1	Si
70	0.157	28.27	0	613	SLD 6	613	26659	211438	40936	40936	1	Si
70	0.157	28.27	0	-1586	SLD 11	-1586	-26659	-211438	-40936	-40936	1	Si

Verifiche delle tensioni in esercizio

x	Rara								Quasi permanente						Verifica
	Mela	Comb.	Mdes	σ c	σ c lim.	σ f.	σ f lim.	Mela	Comb.	Mdes	σ c	σ c lim.	σ FRP	σ FRP lim.	
0	-22661	4	-10646	0.1	149.4	5.6	3600	-20342	2	-8591	0.1	112.1	0	+∞	Si
30	-6726	4	-8338	0.1	149.4	4.4	3600	-4934	2	-7131	0.1	112.1	0	+∞	Si
35	-5677	8	-10310	0.1	149.4	5.4	3600	-3973	4	-9191	0.1	112.1	0	+∞	Si
70	-11072	8	-11072	0.1	149.4	5.8	3600	-9983	4	-9983	0.1	112.1	0	+∞	Si

Verifica di apertura delle fessure

La campata non presenta apertura delle fessure

Verifica di deformabilità

x	Rara				Frequente				Quasi permanente							Verifica
	Elastica+	Elastica-	Fess.+	Fess.-	Elastica+	Elastica-	Fess.+	Fess.-	Elastica+	Elastica-	Fess. viscosa+	Comb.	Fess. viscosa-	Comb.	l/f	
30	0	0	0	0	0	0	0	0	0	0	0	1	0	1	9999	Si
35	0	0	0	0	0	0	0	0	0	0	0	1	0	1	9999	Si
37	0	0	0	0	0	0	0	0	0	0	0	1	0	1	9999	Si

Trave a "Fondazione" Pil.A2-Pil.A16

Caratteristiche dei materiali

Acciaio: B450C Fyk 4500
Calcestruzzo: C25/30 Rck 300

Elenco delle sezioni

N°	Descrizione	Tipo	Base	Altezza	Copriferro sup.	Copriferro inf.	Copriferro lat.
1	R 90x80	Rettangolare	90	80	4	4	4

Output campate

Campata 1 tra i fili Pil.A2 - Palo46, sezione R 90x80, asta 2308

Verifiche a flessione in famiglia SLU

x	A sup.	C.b. sup.	A inf.	C.b. inf.	M+ela	Comb.	M+des	M+ult	x/d	M-ela	Comb.	M-des	M-ult	x/d	Verifica
0	25.13	6	25.13	6	25940	SLV 9	25940	6915255	0.095	-83273	SLV 8	-83273	-6915255	0.095	Si
45	25.13	6	25.13	6	-308723	SLV 1	8168	6915255	0.095	-627932	SLV 16	-847811	-6915255	0.095	Si
46	25.13	6	25.13	6	-312785	SLV 1	8316	6915255	0.095	-634584	SLV 16	-847811	-6915255	0.095	Si
61	25.13	6	25.13	6	-444119	SLV 1	3722	6915255	0.095	-847811	SLV 16	-847811	-6915255	0.095	Si
91	25.13	6	25.13	6						-1294153	SLV 16	-1059878	-6915255	0.095	Si

Verifiche a flessione in famiglia SLV (domini sostanzialmente elastici)

La struttura oppure parte di essa, è stata dichiarata come non dissipativa pertanto la verifica a pressoflessione, per tutte o solo alcune sezioni, viene eseguita calcolando i momenti resistenti in campo sostanzialmente elastico secondo D.M. 17-01-2018 §7.4.1

Le dilatazioni ultime utilizzate sono le seguenti: $\epsilon_{c2} = 0.002$, $\epsilon_{yd} = 0.0019$

x	A sup.	C.b. sup.	A inf.	C.b. inf.	M+ela	Comb.	M+des	M+ult	x/d	M-ela	Comb.	M-des	M-ult	x/d	Verifica
0	25.13	6	25.13	6	955696	SLV 15	648126	6635554	0.225	-996323	SLV 2	-996323	-6635554	0.225	Si
45	25.13	6	25.13	6	562328	SLV 12	591876	6635554	0.225	-1368059	SLV 5	-1706711	-6635554	0.225	Si
46	25.13	6	25.13	6	563032	SLV 12	591876	6635554	0.225	-1378085	SLV 5	-1706711	-6635554	0.225	Si
61	25.13	6	25.13	6	591876	SLV 12	591876	6635554	0.225	-1706711	SLV 5	-1706711	-6635554	0.225	Si
91	25.13	6	25.13	6	683191	SLV 8	465168	6635554	0.225	-2430009	SLV 9	-2016083	-6635554	0.225	Si

Verifiche SLD Resistenza a flessione (domini sostanzialmente elastici)

La struttura oppure parte di essa, è stata dichiarata come non dissipativa pertanto la verifica a pressoflessione, per tutte o solo alcune sezioni, viene eseguita calcolando i momenti resistenti in campo sostanzialmente elastico secondo D.M. 17-01-2018 §7.4.1

Le dilatazioni ultime utilizzate sono le seguenti: $\epsilon_{c2} = 0.002$, $\epsilon_{yd} = 0.0019$

x	A sup.	C.b. sup.	A inf.	C.b. inf.	M+ela	Comb.	M+des	M+ult	x/d	M-ela	Comb.	M-des	M-ult	x/d	Verifica
0	25.13	6	25.13	6	478026	SLD 15	236488	6635554	0.225	-518654	SLD 2	-518654	-6635554	0.225	Si
45	25.13	6	25.13	6	97906	SLD 12	97906	6635554	0.225	-903637	SLD 5	-1154114	-6635554	0.225	Si
46	25.13	6	25.13	6	96045	SLD 12	97906	6635554	0.225	-911098	SLD 5	-1154114	-6635554	0.225	Si
61	25.13	6	25.13	6	39280	SLD 12	97906	6635554	0.225	-1154114	SLD 5	-1154114	-6635554	0.225	Si
91	25.13	6	25.13	6						-1681621	SLD 9	-1387368	-6635554	0.225	Si

Verifiche a taglio in famiglia SLU

x	A st	A sl	A sag	Vela	Comb.	Vdes	Vrd	Vrcd	Vrsd	Vult	cotgθ	Verifica
0	0	25.13	0	-11124	SLV 16	-11124	-25632	-211438	0	-25632	1	Si
45	0.196	25.13	0	-13347	SLV 16	-13347	-25632	-211438	-51169	-51169	1	Si
46	0.196	25.13	0	-13372	SLV 16	-13372	-25632	-211438	-51169	-51169	1	Si
61	0.196	25.13	0	-14138	SLV 16	-14138	-25632	-211438	-51169	-51169	1	Si
91	0	25.13	0	-15620	SLV 16	-15620	-25632	-211438	0	-25632	1	Si

Verifiche a taglio in famiglia SLV

x	A st	A sl	A sag	Vela	Comb.	Vdes	Vrd	Vrcd	Vrsd	Vult	cotgθ	Verifica
0	0	25.13	0	8973	SLV 8	8973	25632	211438	0	25632	1	Si
0	0	25.13	0	-24265	SLV 9	-24265	-25632	-211438	0	-25632	1	Si
45	0.196	25.13	0	7263	SLV 8	7263	25632	211438	51169	51169	1	Si
45	0.196	25.13	0	-25975	SLV 9	-25975	-25632	-211438	-51169	-51169	1	Si
46	0.196	25.13	0	7244	SLV 8	7244	25632	211438	51169	51169	1	Si
46	0.196	25.13	0	-25994	SLV 9	-25994	-25632	-211438	-51169	-51169	1	Si
61	0.196	25.13	0	6655	SLV 8	6655	25632	211438	51169	51169	1	Si
61	0.196	25.13	0	-26583	SLV 9	-26583	-25632	-211438	-51169	-51169	1	Si
91	0	25.13	0	5515	SLV 8	5515	25632	211438	0	25632	1	Si
91	0	25.13	0	-27723	SLV 9	-27723	-25632	-211438	0	-25632	1	Si

Verifiche SLD Resistenza a taglio

x	A st	A sl	A sag	Vela	Comb.	Vdes	Vrd	Vrcd	Vrsd	Vult	cotgθ	Verifica
0	0	25.13	0	962	SLD 8	962	25632	211438	0	25632	1	Si
0	0	25.13	0	-16253	SLD 9	-16253	-25632	-211438	0	-25632	1	Si
45	0.196	25.13	0	-17963	SLD 9	-17963	-25632	-211438	-51169	-51169	1	Si
46	0.196	25.13	0	-17982	SLD 9	-17982	-25632	-211438	-51169	-51169	1	Si
61	0.196	25.13	0	-18571	SLD 9	-18571	-25632	-211438	-51169	-51169	1	Si
91	0	25.13	0	-19711	SLD 9	-19711	-25632	-211438	0	-25632	1	Si

Verifiche delle tensioni in esercizio

x	Rara							Quasi permanente							Verifica
	Mela	Comb.	Mdes	σ c	σ c lim.	σ f.	σ f lim.	Mela	Comb.	Mdes	σ c	σ c lim.	σ FRP	σ FRP lim.	
0	19954	1	19954	0.3	149.4	11.7	3600	19954	1	19954	0.3	112.1	0	+∞	Si
0	-48864	8	-48864	0.7	149.4	28.7	3600	-20314	4	-20314	0.3	112.1	0	+∞	Si
45	-459785	8	-624423	8.3	149.4	366.5	3600	-402866	4	-557417	7.4	112.1	0	+∞	Si
46	-464761	8	-624423	8.3	149.4	366.5	3600	-407526	4	-557417	7.4	112.1	0	+∞	Si
61	-624423	8	-624423	8.3	149.4	366.5	3600	-557417	4	-557417	7.4	112.1	0	+∞	Si
91	-959328	8	-783334	10.5	149.4	459.8	3600	-873409	4	-706872	9.4	112.1	0	+∞	Si

Verifica di apertura delle fessure

La campata non presenta apertura delle fessure

Verifica di deformabilità

x	Rara				Frequente				Quasi permanente							Verifica
	Elastica+	Elastica-	Fess.+	Fess.-	Elastica+	Elastica-	Fess.+	Fess.-	Elastica+	Elastica-	Fess. viscosa+	Comb.	Fess. viscosa-	Comb.	I/f	
45	0	0	0	0	0	0	0	0	0	0	-0.001	1	-0.001	1	9999	Si
46	0	0	0	0	0	0	0	0	0	0	-0.001	1	-0.001	1	9999	Si
52	0	0	0	0	0	0	0	0	0	0	-0.001	1	-0.001	1	9999	Si
61	0	0	0	0	0	0	0	0	0	0	-0.001	1	-0.001	1	9999	Si

Campata 2 tra i fili Palo46 - Pil.A3, sezione R 90x80, asta 1610

Verifiche a flessione in famiglia SLU

x	A sup.	C.b. sup.	A inf.	C.b. inf.	M+ela	Comb.	M+des	M+ult	x/d	M-ela	Comb.	M-des	M-ult	x/d	Verifica
0	25.13	6	25.13	6						-1472633	SLU 16	-716992	-6915255	0.095	Si
30	25.13	6	25.13	6	94279	SLU 10	793790	6915255	0.095	-4619	SLU 8	-4619	-6915255	0.095	Si
45	25.13	6	25.13	6	770307	SLU 15	793790	6915255	0.095	494694	SLU 1	-4619	-6915255	0.095	Si
46	25.13	6	25.13	6	793790	SLU 15	793790	6915255	0.095	508208	SLU 1	-4619	-6915255	0.095	Si
91	25.13	6	25.13	6	2907181	SLU 16	1874800	6915255	0.095						Si

Verifiche a flessione in famiglia SLV (domini sostanzialmente elastici)

La struttura oppure parte di essa, è stata dichiarata come non dissipativa pertanto la verifica a pressoflessione, per tutte o solo alcune sezioni, viene eseguita calcolando i momenti resistenti in campo sostanzialmente elastico secondo D.M. 17-01-2018 §7.4.1

Le dilatazioni ultime utilizzate sono le seguenti: $\epsilon_{c2} = 0.002$, $\epsilon_{yd} = 0.0019$

x	A sup.	C.b. sup.	A inf.	C.b. inf.	M+ela	Comb.	M+des	M+ult	x/d	M-ela	Comb.	M-des	M-ult	x/d	Verifica
0	25.13	6	25.13	6	1120452	SLV 8	1120452	6635554	0.225	-3058421	SLV 9	-2326074	-6635554	0.225	Si
30	25.13	6	25.13	6	1719861	SLV 8	2149241	6635554	0.225	-1630456	SLV 9	-1630456	-6635554	0.225	Si
45	25.13	6	25.13	6	2134151	SLV 8	2149241	6635554	0.225	-1024022	SLV 9	-1630456	-6635554	0.225	Si
46	25.13	6	25.13	6	2149241	SLV 8	2149241	6635554	0.225	-1006542	SLV 9	-1630456	-6635554	0.225	Si
91	25.13	6	25.13	6	4242405	SLV 2	2971994	6635554	0.225	-241516	SLV 15	-123119	-6635554	0.225	Si

Verifiche SLD Resistenza a flessione (domini sostanzialmente elastici)

La struttura oppure parte di essa, è stata dichiarata come non dissipativa pertanto la verifica a pressoflessione, per tutte o solo alcune sezioni, viene eseguita calcolando i momenti resistenti in campo sostanzialmente elastico secondo D.M. 17-01-2018 §7.4.1

Le dilatazioni ultime utilizzate sono le seguenti: $\epsilon_{c2} = 0.002$, $\epsilon_{yd} = 0.0019$

x	A sup.	C.b. sup.	A inf.	C.b. inf.	M+ela	Comb.	M+des	M+ult	x/d	M-ela	Comb.	M-des	M-ult	x/d	Verifica
0	25.13	6	25.13	6	128822	SLD 8	128822	6635554	0.225	-2066791	SLD 9	-1432818	-6635554	0.225	Si
30	25.13	6	25.13	6	915982	SLD 8	1386162	6635554	0.225	-826577	SLD 9	-826577	-6635554	0.225	Si
45	25.13	6	25.13	6	1370644	SLD 8	1386162	6635554	0.225	-260515	SLD 9	-826577	-6635554	0.225	Si
46	25.13	6	25.13	6	1386162	SLD 8	1386162	6635554	0.225	-243464	SLD 9	-826577	-6635554	0.225	Si
91	25.13	6	25.13	6	3145015	SLD 2	2150564	6635554	0.225						Si

Verifiche a taglio in famiglia SLU

x	A st	A sl	A sag	Vela	Comb.	Vdes	Vrd	Vrcd	Vrsd	Vult	cotgθ	Verifica
0	0	25.13	0	50378	SLU 16	50378	25632	211438	0	25632	1	Si
30	0.393	25.13	0	48896	SLU 16	48896	25632	211438	102342	102342	1	Si
45	0.393	25.13	0	48130	SLU 16	48130	25632	211438	102342	102342	1	Si
46	0.393	25.13	0	48105	SLU 16	48105	25632	211438	102342	102342	1	Si
91	0	25.13	0	45882	SLU 16	45882	25632	211438	0	25632	1	Si

Verifiche a taglio in famiglia SLV

x	A st	A sl	A sag	Vela	Comb.	Vdes	Vrd	Vrcd	Vrsd	Vult	cotgθ	Verifica
0	0	25.13	0	66406	SLV 6	66406	25632	211438	0	25632	1	Si
30	0.393	25.13	0	65266	SLV 6	65266	25632	211438	102342	102342	1	Si
45	0.393	25.13	0	64677	SLV 6	64677	25632	211438	102342	102342	1	Si
46	0.393	25.13	0	64658	SLV 6	64658	25632	211438	102342	102342	1	Si
91	0	25.13	0	62948	SLV 6	62948	25632	211438	0	25632	1	Si
91	0	25.13	0	-1144	SLV 11	-1144	-25632	-211438	0	-25632	1	Si

Verifiche SLD Resistenza a taglio

x	A st	A sl	A sag	Vela	Comb.	Vdes	Vrd	Vrcd	Vrsd	Vult	cotgθ	Verifica
0	0	25.13	0	51335	SLD 6	51335	25632	211438	0	25632	1	Si
30	0.393	25.13	0	50195	SLD 6	50195	25632	211438	102342	102342	1	Si
45	0.393	25.13	0	49606	SLD 6	49606	25632	211438	102342	102342	1	Si
46	0.393	25.13	0	49587	SLD 6	49587	25632	211438	102342	102342	1	Si
91	0	25.13	0	47877	SLD 6	47877	25632	211438	0	25632	1	Si

Verifiche delle tensioni in esercizio

x	Rara							Quasi permanente							Verifica
	Mela	Comb.	Mdes	σ c	σ c lim.	σ f.	σ f lim.	Mela	Comb.	Mdes	σ c	σ c lim.	σ FRP	σ FRP lim.	
0	-1085392	8	-523994	7	149.4	307.6	3600	-968985	4	-453600	6.1	112.1	0	$+\infty$	Si
30	72213	2	596955	8	149.4	350.4	3600	70204	1	571349	7.6	112.1	0	$+\infty$	Si
45	579497	7	596955	8	149.4	350.4	3600	555065	4	571349	7.6	112.1	0	$+\infty$	Si
46	596955	7	596955	8	149.4	350.4	3600	571349	4	571349	7.6	112.1	0	$+\infty$	Si
91	2163186	8	1398844	18.7	149.4	821.1	3600	2000445	4	1305122	17.4	112.1	0	$+\infty$	Si

Verifica di apertura delle fessure

La campata non presenta apertura delle fessure

Verifica di deformabilità

x	Rara				Frequente				Quasi permanente							Verifica
	Elastica+	Elastica-	Fess.+	Fess.-	Elastica+	Elastica-	Fess.+	Fess.-	Elastica+	Elastica-	Fess. viscosa+	Comb.	Fess. viscosa-	Comb.	I/f	
30	0	0	0	0	0	0	0	0	0	0	0.001	4	0.001	4	9999	Si
45	0.001	0.001	0	0	0.001	0.001	0	0	0.001	0.001	0.001	4	0.001	4	9999	Si
46	0.001	0.001	0	0	0.001	0.001	0	0	0.001	0.001	0.001	4	0.001	4	9999	Si
61	0.001	0.001	0.001	0	0.001	0.001	0.001	0	0.001	0.001	0.001	4	0.001	4	9999	Si

Campata 3 tra i fili Pil.A3 - Palo40, sezione R 90x80, asta 2309

Verifiche a flessione in famiglia SLU

x	A sup.	C.b. sup.	A inf.	C.b. inf.	M+ela	Comb.	M+des	M+ult	x/d	M-ela	Comb.	M-des	M-ult	x/d	Verifica
0	25.13	6	25.13	6	2749885	SLU 16	2209533	6915255	0.095						Si
45	25.13	6	25.13	6	1645530	SLU 16	1645530	6915255	0.095						Si
60	25.13	6	25.13	6	1279640	SLU 16	1645530	6915255	0.095						Si
89	25.13	6	25.13	6	519930	SLU 16	1376004	6915255	0.095						Si
119	25.13	6	25.13	6						-340232	SLU 9	-128484	-6915255	0.095	Si

Verifiche a flessione in famiglia SLV (domini sostanzialmente elastici)

La struttura oppure parte di essa, è stata dichiarata come non dissipativa pertanto la verifica a pressoflessione, per tutte o solo alcune sezioni, viene eseguita calcolando i momenti resistenti in campo sostanzialmente elastico secondo D.M. 17-01-2018 §7.4.1

Le dilatazioni ultime utilizzate sono le seguenti: $\epsilon c2= 0.002$, $\epsilon yd= 0.0019$

x	A sup.	C.b. sup.	A inf.	C.b. inf.	M+ela	Comb.	M+des	M+ult	x/d	M-ela	Comb.	M-des	M-ult	x/d	Verifica
0	25.13	6	25.13	6	4169354	SLV 8	3622177	6635554	0.225	-243507	SLV 9	-243507	-6635554	0.225	Si
45	25.13	6	25.13	6	2977634	SLV 8	2977634	6635554	0.225	-657427	SLV 9	-1015562	-6635554	0.225	Si
60	25.13	6	25.13	6	2594444	SLV 8	2977634	6635554	0.225	-807059	SLV 9	-1142381	-6635554	0.225	Si
89	25.13	6	25.13	6	1822188	SLV 8	2694719	6635554	0.225	-1142381	SLV 9	-1142381	-6635554	0.225	Si
119	25.13	6	25.13	6	1056866	SLV 8	1056866	6635554	0.225	-1535393	SLV 9	-1271907	-6635554	0.225	Si

Verifiche SLD Resistenza a flessione (domini sostanzialmente elastici)

La struttura oppure parte di essa, è stata dichiarata come non dissipativa pertanto la verifica a pressoflessione, per tutte o solo alcune sezioni, viene eseguita calcolando i momenti resistenti in campo sostanzialmente elastico secondo D.M. 17-01-2018 §7.4.1

Le dilatazioni ultime utilizzate sono le seguenti: $\epsilon c2= 0.002$, $\epsilon yd= 0.0019$

x	A sup.	C.b. sup.	A inf.	C.b. inf.	M+ela	Comb.	M+des	M+ult	x/d	M-ela	Comb.	M-des	M-ult	x/d	Verifica
0	25.13	6	25.13	6	3095706	SLD 8	2626051	6635554	0.225						Si
45	25.13	6	25.13	6	2094060	SLD 8	2094060	6635554	0.225	226147	SLD 9	-260109	-6635554	0.225	Si
60	25.13	6	25.13	6	1768359	SLD 8	2094060	6635554	0.225	19026	SLD 9	-424752	-6635554	0.225	Si
89	25.13	6	25.13	6	1104560	SLD 8	1853795	6635554	0.225	-424752	SLD 9	-424752	-6635554	0.225	Si
119	25.13	6	25.13	6	433230	SLD 8	433230	6635554	0.225	-911757	SLD 9	-629313	-6635554	0.225	Si

Verifiche a taglio in famiglia SLU

x	A st	A sl	A sag	Vela	Comb.	Vdes	Vrd	Vrcd	Vrsd	Vult	cotg θ	Verifica
0	0	25.13	0	-24014	SLU 16	-24014	-25632	-211438	0	-25632	1	Si
45	0.143	25.13	0	-25067	SLU 16	-25067	-25632	-211438	-37215	-37215	1	Si
60	0.143	25.13	0	-25406	SLU 16	-25406	-25632	-211438	-37215	-37215	1	Si
89	0.143	25.13	0	-26096	SLU 16	-26096	-25632	-211438	-37215	-37215	1	Si
119	0	25.13	0	-26798	SLU 16	-26798	-25632	-211438	0	-25632	1	Si

Verifiche a taglio in famiglia SLV

x	A st	A sl	A sag	Vela	Comb.	Vdes	Vrd	Vrcd	Vrsd	Vult	cotg θ	Verifica
0	0	25.13	0	-27836	SLV 8	-27836	-25632	-211438	0	-25632	1	Si
45	0.143	25.13	0	-28646	SLV 8	-28646	-25632	-211438	-37215	-37215	1	Si
60	0.143	25.13	0	-28907	SLV 8	-28907	-25632	-211438	-37215	-37215	1	Si
89	0.143	25.13	0	-29438	SLV 8	-29438	-25632	-211438	-37215	-37215	1	Si
119	0	25.13	0	-29978	SLV 8	-29978	-25632	-211438	0	-25632	1	Si

Verifiche SLD Resistenza a taglio

x	A st	A sl	A sag	Vela	Comb.	Vdes	Vrd	Vrcd	Vrsd	Vult	cotg θ	Verifica
0	0	25.13	0	-22834	SLD 8	-22834	-25632	-211438	0	-25632	1	Si
45	0.143	25.13	0	-23644	SLD 8	-23644	-25632	-211438	-37215	-37215	1	Si
60	0.143	25.13	0	-23905	SLD 8	-23905	-25632	-211438	-37215	-37215	1	Si
89	0.143	25.13	0	-24436	SLD 8	-24436	-25632	-211438	-37215	-37215	1	Si
119	0	25.13	0	-24976	SLD 8	-24976	-25632	-211438	0	-25632	1	Si

Verifiche delle tensioni in esercizio

x	Rara							Quasi permanente							Verifica
	Mela	Comb.	Mdes	σ c	σ c lim.	σ f.	σ f lim.	Mela	Comb.	Mdes	σ c	σ c lim.	σ FRP	σ FRP lim.	
0	2064839	8	1657429	22.1	149.4	972.9	3600	1962923	4	1570610	21	112.1	0	$+\infty$	Si
45	1231826	8	1231826	16.5	149.4	723	3600	1160104	4	1160104	15.5	112.1	0	$+\infty$	Si
60	955685	8	1231826	16.5	149.4	723	3600	893692	4	1160104	15.5	112.1	0	$+\infty$	Si
89	382103	8	1028419	13.7	149.4	603.6	3600	339904	4	963876	12.9	112.1	0	$+\infty$	Si
119	-261717	1	-86487	1.2	149.4	50.8	3600	-261717	1	-54353	0.7	112.1	0	$+\infty$	Si

Verifica di apertura delle fessure

La campata non presenta apertura delle fessure

Verifica di deformabilità

x	Rara				Frequente				Quasi permanente							Verifica
	Elastica+	Elastica-	Fess.+	Fess.-	Elastica+	Elastica-	Fess.+	Fess.-	Elastica+	Elastica-	Fess. viscosa+	Comb.	Fess. viscosa-	Comb.	I/f	
45	0.002	0.001	0.001	0.001	0.001	0.001	0.001	0.001	0.001	0.001	0.003	4	0.003	4	9999	Si
48	0.002	0.001	0.001	0.001	0.001	0.001	0.001	0.001	0.001	0.001	0.003	4	0.003	4	9999	Si
60	0.002	0.001	0.001	0.001	0.001	0.001	0.001	0.001	0.001	0.001	0.003	4	0.003	4	9999	Si
89	0.001	0.001	0.001	0.001	0.001	0.001	0.001	0.001	0.001	0.001	0.002	4	0.002	4	9999	Si

Campata 4 tra i fili Palo40 - Pil.A6, sezione R 90x80, asta 1609

Verifiche a flessione in famiglia SLU

x	A sup.	C.b. sup.	A inf.	C.b. inf.	M+ela	Comb.	M+des	M+ult	x/d	M-ela	Comb.	M-des	M-ult	x/d	Verifica
0	25.13	6	25.13	6						-267427	SLU 15	-267427	-6915255	0.095	Si
30	25.13	6	25.13	6	959488	SLU 16	2298403	6915255	0.095						Si
62	25.13	6	25.13	6	2246613	SLU 16	2921381	6915255	0.095						Si
79	25.13	6	25.13	6	2921381	SLU 16	2921381	6915255	0.095						Si
124	25.13	6	25.13	6	4677558	SLU 16	3847718	6915255	0.095						Si

Verifiche a flessione in famiglia SLV (domini sostanzialmente elastici)

La struttura oppure parte di essa, è stata dichiarata come non dissipativa pertanto la verifica a pressoflessione, per tutte o solo alcune sezioni, viene eseguita calcolando i momenti resistenti in campo sostanzialmente elastico secondo D.M. 17-01-2018 §7.4.1

Le dilatazioni ultime utilizzate sono le seguenti: $\epsilon_c2= 0.002$, $\epsilon_{yd}= 0.0019$

x	A sup.	C.b. sup.	A inf.	C.b. inf.	M+ela	Comb.	M+des	M+ult	x/d	M-ela	Comb.	M-des	M-ult	x/d	Verifica
0	25.13	6	25.13	6	1940356	SLV 8	1940356	6635554	0.225	-2348890	SLV 9	-1895918	-6635554	0.225	Si
30	25.13	6	25.13	6	2608159	SLV 8	3357349	6635554	0.225	-1444672	SLV 9	-1444672	-6635554	0.225	Si
62	25.13	6	25.13	6	3327941	SLV 8	3713097	6635554	0.225	-520419	SLV 9	-1444672	-6635554	0.225	Si
79	25.13	6	25.13	6	3713097	SLV 8	3713097	6635554	0.225	-46054	SLV 9	-986017	-6635554	0.225	Si
124	25.13	6	25.13	6	4740507	SLV 8	4234112	6635554	0.225						Si

Verifiche SLD Resistenza a flessione (domini sostanzialmente elastici)

La struttura oppure parte di essa, è stata dichiarata come non dissipativa pertanto la verifica a pressoflessione, per tutte o solo alcune sezioni, viene eseguita calcolando i momenti resistenti in campo sostanzialmente elastico secondo D.M. 17-01-2018 §7.4.1

Le dilatazioni ultime utilizzate sono le seguenti: $\epsilon_c2= 0.002$, $\epsilon_{yd}= 0.0019$

x	A sup.	C.b. sup.	A inf.	C.b. inf.	M+ela	Comb.	M+des	M+ult	x/d	M-ela	Comb.	M-des	M-ult	x/d	Verifica
0	25.13	6	25.13	6	920175	SLD 8	920175	6635554	0.225	-1328709	SLD 9	-910361	-6635554	0.225	Si
30	25.13	6	25.13	6	1643653	SLD 8	2442334	6635554	0.225	-480166	SLD 9	-480166	-6635554	0.225	Si
62	25.13	6	25.13	6	2411250	SLD 8	2817125	6635554	0.225	396271	SLD 9	-480166	-6635554	0.225	Si
79	25.13	6	25.13	6	2817125	SLD 8	2817125	6635554	0.225	849918	SLD 9	-46458	-6635554	0.225	Si
124	25.13	6	25.13	6	3884642	SLD 8	3369718	6635554	0.225						Si

Verifiche a taglio in famiglia SLU

x	A st	A sl	A sag	Vela	Comb.	Vdes	Vrd	Vrcd	Vrsd	Vult	cotgθ	Verifica
0	0	25.13	0	42945	SLU 16	42945	25632	211438	0	25632	1	Si
30	0.192	25.13	0	42271	SLU 16	42271	25632	211438	50127	50127	1	Si
62	0.192	25.13	0	41552	SLU 16	41552	25632	211438	50127	50127	1	Si
79	0.192	25.13	0	41171	SLU 16	41171	25632	211438	50127	50127	1	Si
124	0	25.13	0	40160	SLU 16	40160	25632	211438	0	25632	1	Si

Verifiche a taglio in famiglia SLV

x	A st	A sl	A sag	Vela	Comb.	Vdes	Vrd	Vrcd	Vrsd	Vult	cotgθ	Verifica
0	0	25.13	0	37628	SLV 6	37628	25632	211438	0	25632	1	Si
30	0.192	25.13	0	37110	SLV 6	37110	25632	211438	50127	50127	1	Si
62	0.192	25.13	0	36557	SLV 6	36557	25632	211438	50127	50127	1	Si
79	0.192	25.13	0	36264	SLV 6	36264	25632	211438	50127	50127	1	Si
124	0	25.13	0	35486	SLV 6	35486	25632	211438	0	25632	1	Si

Verifiche SLD Resistenza a taglio

x	A st	A sl	A sag	Vela	Comb.	Vdes	Vrd	Vrcd	Vrsd	Vult	cotgθ	Verifica
0	0	25.13	0	32865	SLD 6	32865	25632	211438	0	25632	1	Si
30	0.192	25.13	0	32347	SLD 6	32347	25632	211438	50127	50127	1	Si
62	0.192	25.13	0	31794	SLD 6	31794	25632	211438	50127	50127	1	Si
79	0.192	25.13	0	31500	SLD 6	31500	25632	211438	50127	50127	1	Si
124	0	25.13	0	30723	SLD 6	30723	25632	211438	0	25632	1	Si

Verifiche delle tensioni in esercizio

x	Rara							Quasi permanente							Verifica
	Mela	Comb.	Mdes	σ c	σ c lim.	σ f.	σ f lim.	Mela	Comb.	Mdes	σ c	σ c lim.	σ FRP	σ FRP lim.	
0	-205110	7	-205110	2.7	149.4	120.4	3600	-204267	4	-176100	2.4	112.1	0	$+\infty$	Si
30	693518	8	1673362	22.4	149.4	982.2	3600	581744	4	1436770	19.2	112.1	0	$+\infty$	Si
62	1635480	8	2128961	28.4	149.4	1249.6	3600	1403761	4	1833521	24.5	112.1	0	$+\infty$	Si
79	2128961	8	2128961	28.4	149.4	1249.6	3600	1833521	4	1833521	24.5	112.1	0	$+\infty$	Si
124	3412176	8	2806261	37.5	149.4	1647.2	3600	2948063	4	2422942	32.4	112.1	0	$+\infty$	Si

Verifica di apertura delle fessure

La campata non presenta apertura delle fessure

Verifica di deformabilità

x	Rara				Frequente				Quasi permanente						Verifica		
	Elastica+	Elastica-	Fess.+	Fess.-	Elastica+	Elastica-	Fess.+	Fess.-	Elastica+	Elastica-	Fess. viscosa+	Comb.	Fess. viscosa-	Comb.	I/f		
30	0.001	0.001	0.001	0.001	0.001	0.001	0.001	0.001	0.001	0.001	0.003	4	0.002	4	9999	Si	
62	0.003	0.002	0.002	0.002	0.001	0.002	0.002	0.002	0.001	0.002	0.002	0.005	4	0.004	4	9999	Si
74	0.003	0.002	0.002	0.002	0.002	0.002	0.002	0.002	0.002	0.002	0.002	0.005	4	0.004	4	9999	Si
79	0.003	0.002	0.002	0.002	0.002	0.002	0.002	0.002	0.002	0.002	0.002	0.005	4	0.004	4	9999	Si

Campata 5 tra i fili Pil.A6 - Palo30, sezione R 90x80, asta 2310

Verifiche a flessione in famiglia SLU

x	A sup.	C.b. sup.	A inf.	C.b. inf.	M+ela	Comb.	M+des	M+ult	x/d	M-ela	Comb.	M-des	M-ult	x/d	Verifica
0	25.13	6	25.13	6	4672904	SLU 16	3728183	6915255	0.095						Si
45	25.13	6	25.13	6	2808288	SLU 16	2808288	6915255	0.095						Si
92	25.13	6	25.13	6	786070	SLU 16	2209549	6915255	0.095	372996	SLU 1	-665003	-6915255	0.095	Si
155	25.13	6	25.13	6						-1959773	SLU 16	-1959773	-6915255	0.095	Si
185	25.13	6	25.13	6						-3311947	SLU 16	-2612690	-6915255	0.095	Si

Verifiche a flessione in famiglia SLV (domini sostanzialmente elastici)

La struttura oppure parte di essa, è stata dichiarata come non dissipativa pertanto la verifica a pressoflessione, per tutte o solo alcune sezioni, viene eseguita calcolando i momenti resistenti in campo sostanzialmente elastico secondo D.M. 17-01-2018 §7.4.1

Le dilatazioni ultime utilizzate sono le seguenti: $\epsilon_c2= 0.002$, $\epsilon_{yd}= 0.0019$

x	A sup.	C.b. sup.	A inf.	C.b. inf.	M+ela	Comb.	M+des	M+ult	x/d	M-ela	Comb.	M-des	M-ult	x/d	Verifica
0	25.13	6	25.13	6	6902563	SLV 8	5784129	6635554	0.225	-826392	SLV 9	-826392	-6635554	0.225	Si
45	25.13	6	25.13	6	4687049	SLV 8	4687049	6635554	0.225	-1044822	SLV 9	-1241215	-6635554	0.225	Si
92	25.13	6	25.13	6	2325984	SLV 12	3860280	6635554	0.225	-1336018	SLV 5	-1597012	-6635554	0.225	Si
155	25.13	6	25.13	6	-625041	SLV 16	877722	6635554	0.225	-2005624	SLV 1	-2005624	-6635554	0.225	Si
185	25.13	6	25.13	6						-2893831	SLV 3	-2417919	-6635554	0.225	Si

Verifiche SLD Resistenza a flessione (domini sostanzialmente elastici)

La struttura oppure parte di essa, è stata dichiarata come non dissipativa pertanto la verifica a pressoflessione, per tutte o solo alcune sezioni, viene

eseguita calcolando i momenti resistenti in campo sostanzialmente elastico secondo D.M. 17-01-2018 §7.4.1

Le dilatazioni ultime utilizzate sono le seguenti: $\epsilon_{c2}= 0.002$, $\epsilon_{yd}= 0.0019$

x	A sup.	C.b. sup.	A inf.	C.b. inf.	M+ela	Comb.	M+des	M+ult	x/d	M-ela	Comb.	M-des	M-ult	x/d	Verifica
0	25.13	6	25.13	6	5049888	SLD 8	4171655	6635554	0.225						Si
45	25.13	6	25.13	6	3311188	SLD 8	3311188	6635554	0.225	331039	SLD 9	-213301	-6635554	0.225	Si
92	25.13	6	25.13	6	1444152	SLD 12	2662755	6635554	0.225	-454185	SLD 5	-1046599	-6635554	0.225	Si
155	25.13	6	25.13	6	-964598	SLD 16	287813	6635554	0.225	-1666068	SLD 1	-1666068	-6635554	0.225	Si
185	25.13	6	25.13	6						-2560008	SLD 3	-2086456	-6635554	0.225	Si

Verifiche a taglio in famiglia SLU

x	A st	A sl	A sag	Vela	Comb.	Vdes	Vrd	Vrcd	Vrsd	Vult	cotgθ	Verifica
0	0	25.13	0	-39803	SLU 16	-39803	-25632	-211438	0	-25632	1	Si
45	0.228	25.13	0	-40884	SLU 16	-40884	-25632	-211438	-59544	-59544	1	Si
92	0.228	25.13	0	-42026	SLU 16	-42026	-25632	-211438	-59544	-59544	1	Si
155	0.228	25.13	0	-43528	SLU 16	-43528	-25632	-211438	-59544	-59544	1	Si
185	0	25.13	0	-44249	SLU 16	-44249	-25632	-211438	0	-25632	1	Si

Verifiche a taglio in famiglia SLV

x	A st	A sl	A sag	Vela	Comb.	Vdes	Vrd	Vrcd	Vrsd	Vult	cotgθ	Verifica
0	0	25.13	0	-47927	SLV 8	-47927	-25632	-211438	0	-25632	1	Si
45	0.228	25.13	0	-48759	SLV 8	-48759	-25632	-211438	-59544	-59544	1	Si
92	0.228	25.13	0	-49637	SLV 8	-49637	-25632	-211438	-59544	-59544	1	Si
155	0.228	25.13	0	-50793	SLV 8	-50793	-25632	-211438	-59544	-59544	1	Si
185	0	25.13	0	-51347	SLV 8	-51347	-25632	-211438	0	-25632	1	Si

Verifiche SLD Resistenza a taglio

x	A st	A sl	A sag	Vela	Comb.	Vdes	Vrd	Vrcd	Vrsd	Vult	cotgθ	Verifica
0	0	25.13	0	-37411	SLD 8	-37411	-25632	-211438	0	-25632	1	Si
45	0.228	25.13	0	-38243	SLD 8	-38243	-25632	-211438	-59544	-59544	1	Si
92	0.228	25.13	0	-39121	SLD 8	-39121	-25632	-211438	-59544	-59544	1	Si
155	0.228	25.13	0	-40276	SLD 8	-40276	-25632	-211438	-59544	-59544	1	Si
185	0	25.13	0	-40831	SLD 8	-40831	-25632	-211438	0	-25632	1	Si

Verifiche delle tensioni in esercizio

x	Rara							Quasi permanente							Verifica
	Mela	Comb.	Mdes	σ c	σ c lim.	σ f.	σ f lim.	Mela	Comb.	Mdes	σ c	σ c lim.	σ FRP	σ FRP lim.	
0	3432721	8	2738699	36.6	149.4	1607.5	3600	3038085	4	2422911	32.4	112.1	0	+∞	Si
45	2062097	8	2062097	27.5	149.4	1210.4	3600	1821114	4	1821114	24.3	112.1	0	+∞	Si
92	573779	8	1621628	21.7	149.4	951.8	3600	494983	4	1429129	19.1	112.1	0	+∞	Si
155	-1449941	8	-1449941	19.4	149.4	851.1	3600	-1315333	4	-1315333	17.6	112.1	0	+∞	Si
185	-2447610	8	-1931511	25.8	149.4	1133.7	3600	-2210567	4	-1747033	23.3	112.1	0	+∞	Si

Verifica di apertura delle fessure

La campata non presenta apertura delle fessure

Verifica di deformabilità

x	Rara				Frequente				Quasi permanente						Verifica	
	Elastica+	Elastica-	Fess.+	Fess.-	Elastica+	Elastica-	Fess.+	Fess.-	Elastica+	Elastica-	Fess. viscosa+	Comb.	Fess. viscosa-	Comb.	l/f	
45	0.003	0.002	0.003	0.002	0.003	0.002	0.002	0.002	0.003	0.002	0.006	4	0.004	4	9999	Si
55	0.003	0.002	0.003	0.002	0.003	0.002	0.002	0.002	0.003	0.002	0.006	4	0.004	4	9999	Si
92	0.002	0.002	0.002	0.001	0.002	0.002	0.002	0.001	0.002	0.002	0.004	4	0.003	4	9999	Si
155	0	0	0	0	0	0	0	0	0	0	-0.001	4	-0.001	4	9999	Si

Campata 6 tra i fili Palo30 - Palo25, sezione R 90x80, asta 2323

Verifiche a flessione in famiglia SLU

x	A sup.	C.b. sup.	A inf.	C.b. inf.	M+ela	Comb.	M+des	M+ult	x/d	M-ela	Comb.	M-des	M-ult	x/d	Verifica
0	25.13	6	25.13	6						-2945643	SLU 16	-2866327	-6915255	0.095	Si
30	25.13	6	25.13	6						-2797541	SLU 16	-2797541	-6915255	0.095	Si
113	25.13	6	25.13	6	-1325527	SLU 1	55612	6915255	0.095	-2498849	SLU 16	-2600405	-6915255	0.095	Si
195	25.13	6	25.13	6						-2359426	SLU 16	-2396695	-6915255	0.095	Si
225	25.13	6	25.13	6						-2348215	SLU 16	-2348215	-6915255	0.095	Si

Verifiche a flessione in famiglia SLV (domini sostanzialmente elastici)

La struttura oppure parte di essa, è stata dichiarata come non dissipativa pertanto la verifica a pressoflessione, per tutte o solo alcune sezioni, viene eseguita calcolando i momenti resistenti in campo sostanzialmente elastico secondo D.M. 17-01-2018 §7.4.1

Le dilatazioni ultime utilizzate sono le seguenti: $\epsilon_{c2}= 0.002$, $\epsilon_{yd}= 0.0019$

x	A sup.	C.b. sup.	A inf.	C.b. inf.	M+ela	Comb.	M+des	M+ult	x/d	M-ela	Comb.	M-des	M-ult	x/d	Verifica
0	25.13	6	25.13	6						-3308265	SLV 5	-3092314	-6635554	0.225	Si
30	25.13	6	25.13	6						-2912009	SLV 5	-2912009	-6635554	0.225	Si
113	25.13	6	25.13	6						-2400926	SLV 1	-2554488	-6635554	0.225	Si
195	25.13	6	25.13	6						-2562565	SLV 8	-2562565	-6635554	0.225	Si
225	25.13	6	25.13	6						-2849844	SLV 8	-2715274	-6635554	0.225	Si

Verifiche SLD Resistenza a flessione (domini sostanzialmente elastici)

La struttura oppure parte di essa, è stata dichiarata come non dissipativa pertanto la verifica a pressoflessione, per tutte o solo alcune sezioni, viene eseguita calcolando i momenti resistenti in campo sostanzialmente elastico secondo D.M. 17-01-2018 §7.4.1

Le dilatazioni ultime utilizzate sono le seguenti: $\epsilon_{c2}= 0.002$, $\epsilon_{yd}= 0.0019$

x	A sup.	C.b. sup.	A inf.	C.b. inf.	M+ela	Comb.	M+des	M+ult	x/d	M-ela	Comb.	M-des	M-ult	x/d	Verifica
0	25.13	6	25.13	6						-2658993	SLD 5	-2519452	-6635554	0.225	Si
30	25.13	6	25.13	6						-2402001	SLD 5	-2402001	-6635554	0.225	Si
113	25.13	6	25.13	6						-2033208	SLD 1	-2143397	-6635554	0.225	Si
195	25.13	6	25.13	6						-2094520	SLD 8	-2094520	-6635554	0.225	Si
225	25.13	6	25.13	6						-2247308	SLD 8	-2173456	-6635554	0.225	Si

Verifiche a taglio in famiglia SLU

x	A st	A sl	A sag	Vela	Comb.	Vdes	Vrd	Vrcd	Vrsd	Vult	cotgθ	Verifica
0	0	25.13	0	5288	SLU 16	5288	25632	211438	0	25632	1	Si
30	0.152	25.13	0	4586	SLU 16	4586	25632	211438	39696	39696	1	Si
113	0.152	25.13	0	2655	SLU 16	2655	25632	211438	39696	39696	1	Si
195	0.152	25.13	0	802	SLU 8	802	25632	211438	39696	39696	1	Si
225	0.152	25.13	0	-335	SLU 9	-335	-25632	-211438	-39696	-39696	1	Si
225	0	25.13	0	262	SLU 8	262	25632	211438	0	25632	1	Si
225	0	25.13	0	-1037	SLU 9	-1037	-25632	-211438	0	-25632	1	Si

Verifiche a taglio in famiglia SLV

x	A st	A sl	A sag	Vela	Comb.	Vdes	Vrd	Vrcd	Vrsd	Vult	cotgθ	Verifica
0	0	25.13	0	14040	SLV 9	14040	25632	211438	0	25632	1	Si
0	0	25.13	0	-6671	SLV 8	-6671	-25632	-211438	0	-25632	1	Si
30	0.152	25.13	0	13500	SLV 9	13500	25632	211438	39696	39696	1	Si

RELAZIONE GEOTECNICA E SULLE FONDAZIONI

x	A st	A sl	A sag	Vela	Comb.	Vdes	Vrd	Vrcd	Vrsd	Vult	cotgθ	Verifica
30	0.152	25.13	0	-7211	SLV 8	-7211	-25632	-211438	-39696	-39696	1	Si
113	0.152	25.13	0	12015	SLV 8	12015	25632	211438	39696	39696	1	Si
113	0.152	25.13	0	-8696	SLV 8	-8696	-25632	-211438	-39696	-39696	1	Si
195	0.152	25.13	0	10530	SLV 9	10530	25632	211438	39696	39696	1	Si
195	0.152	25.13	0	-10181	SLV 8	-10181	-25632	-211438	-39696	-39696	1	Si
225	0	25.13	0	9990	SLV 9	9990	25632	211438	0	25632	1	Si
225	0	25.13	0	-10721	SLV 8	-10721	-25632	-211438	0	-25632	1	Si

Verifiche SLD Resistenza a taglio

x	A st	A sl	A sag	Vela	Comb.	Vdes	Vrd	Vrcd	Vrsd	Vult	cotgθ	Verifica
0	0	25.13	0	9122	SLD 9	9122	25632	211438	0	25632	1	Si
0	0	25.13	0	-1752	SLD 8	-1752	-25632	-211438	0	-25632	1	Si
30	0.152	25.13	0	8582	SLD 9	8582	25632	211438	39696	39696	1	Si
30	0.152	25.13	0	-2292	SLD 8	-2292	-25632	-211438	-39696	-39696	1	Si
113	0.152	25.13	0	7097	SLD 9	7097	25632	211438	39696	39696	1	Si
113	0.152	25.13	0	-3777	SLD 8	-3777	-25632	-211438	-39696	-39696	1	Si
195	0.152	25.13	0	5612	SLD 9	5612	25632	211438	39696	39696	1	Si
195	0.152	25.13	0	-5262	SLD 8	-5262	-25632	-211438	-39696	-39696	1	Si
225	0	25.13	0	5072	SLD 9	5072	25632	211438	0	25632	1	Si
225	0	25.13	0	-5802	SLD 8	-5802	-25632	-211438	0	-25632	1	Si

Verifiche delle tensioni in esercizio

x	Rara							Quasi permanente							Verifica
	Mela	Comb.	Mdes	σ c	σ c lim.	σ f.	σ f lim.	Mela	Comb.	Mdes	σ c	σ c lim.	σ FRP	σ FRP lim.	
0	-2174091	8	-2114710	28.2	149.4	1241.3	3600	-1954117	4	-1898845	25.4	112.1	0	$+\infty$	Si
30	-2063429	8	-2063429	27.6	149.4	1211.2	3600	-1851672	4	-1851672	24.7	112.1	0	$+\infty$	Si
113	-1842637	8	-1917135	25.6	149.4	1125.3	3600	-1653480	4	-1718856	23	112.1	0	$+\infty$	Si
195	-1744358	8	-1769406	23.6	149.4	1038.6	3600	-1577802	4	-1593727	21.3	112.1	0	$+\infty$	Si
225	-1738996	8	-1737627	23.2	149.4	1019.9	3600	-1580657	4	-1575179	21	112.1	0	$+\infty$	Si

Verifica di apertura delle fessure

La campata non presenta apertura delle fessure

Verifica di deformabilità

x	Rara								Quasi permanente								Verifica
	Elastica+	Elastica-	Fess.+	Fess.-	Elastica+	Elastica-	Fess.+	Fess.-	Elastica+	Elastica-	Fess. viscosa+	Comb.	Fess. viscosa-	Comb.	I/f		
30	-0.003	-0.005	-0.003	-0.004	-0.003	-0.004	-0.003	-0.004	-0.003	-0.004	-0.008	1	-0.01	1		9999	Si
113	-0.007	-0.01	-0.006	-0.009	-0.007	-0.009	-0.006	-0.008	-0.007	-0.009	-0.016	1	-0.02	1		9999	Si
195	-0.003	-0.004	-0.003	-0.004	-0.003	-0.004	-0.003	-0.004	-0.003	-0.004	-0.007	1	-0.009	1		9999	Si

Campata 7 tra i fili Palo25 - Pil.A10, sezione R 90x80, asta 1607

Verifiche a flessione in famiglia SLU

x	A sup.	C.b. sup.	A inf.	C.b. inf.	M+ela	Comb.	M+des	M+ult	x/d	M-ela	Comb.	M-des	M-ult	x/d	Verifica
0	25.13	6	25.13	6						-2729957	SLU 16	-1982898	-6915255	0.095	Si
30	25.13	6	25.13	6	-717887	SLU 1	375875	6915255	0.095	-1246321	SLU 16	-1246321	-6915255	0.095	Si
93	25.13	6	25.13	6	1777112	SLU 16	3350534	6915255	0.095						Si
111	25.13	6	25.13	6	2654499	SLU 16	4013657	6915255	0.095						Si
140	40.8	6	47.51	6	4013657	SLU 16	4013657	12862400	0.12						Si
185	50.27	6	50.27	6	6083963	SLU 16	5060606	13598457	0.116						Si

Verifiche a flessione in famiglia SLV (domini sostanzialmente elastici)

La struttura oppure parte di essa, è stata dichiarata come non dissipativa pertanto la verifica a pressoflessione, per tutte o solo alcune sezioni, viene eseguita calcolando i momenti resistenti in campo sostanzialmente elastico secondo D.M. 17-01-2018 §7.4.1

Le dilatazioni ultime utilizzate sono le seguenti: $\epsilon_{c2} = 0.002$, $\epsilon_{yd} = 0.0019$

x	A sup.	C.b. sup.	A inf.	C.b. inf.	M+ela	Comb.	M+des	M+ult	x/d	M-ela	Comb.	M-des	M-ult	x/d	Verifica
0	25.13	6	25.13	6						-2959280	SLV 1	-2380424	-6635554	0.225	Si
30	25.13	6	25.13	6	55084	SLV 16	929545	6635554	0.225	-1759976	SLV 1	-1759976	-6635554	0.225	Si
93	25.13	6	25.13	6	1826081	SLV 11	3039652	6635554	0.225	400776	SLV 6	-663040	-6635554	0.225	Si
111	25.13	6	25.13	6	2498194	SLV 11	3563317	6635554	0.225	865462	SLV 6	-33889	-6635554	0.225	Si
140	40.8	6	47.51	6	3563317	SLV 11	3563317	12275673	0.292						Si
185	50.27	6	50.27	6	5256493	SLV 7	4144989	13010471	0.292						Si

Verifiche SLD Resistenza a flessione (domini sostanzialmente elastici)

La struttura oppure parte di essa, è stata dichiarata come non dissipativa pertanto la verifica a pressoflessione, per tutte o solo alcune sezioni, viene eseguita calcolando i momenti resistenti in campo sostanzialmente elastico secondo D.M. 17-01-2018 §7.4.1

Le dilatazioni ultime utilizzate sono le seguenti: $\epsilon_{c2} = 0.002$, $\epsilon_{yd} = 0.0019$

x	A sup.	C.b. sup.	A inf.	C.b. inf.	M+ela	Comb.	M+des	M+ult	x/d	M-ela	Comb.	M-des	M-ult	x/d	Verifica
0	25.13	6	25.13	6						-2399694	SLD 1	-1866768	-6635554	0.225	Si
30	25.13	6	25.13	6	-390057	SLD 16	575438	6635554	0.225	-1314835	SLD 1	-1314835	-6635554	0.225	Si
93	25.13	6	25.13	6	1490184	SLD 11	2613157	6635554	0.225	736673	SLD 6	-302777	-6635554	0.225	Si
111	25.13	6	25.13	6	2114261	SLD 11	3092106	6635554	0.225						Si
140	40.8	6	47.51	6	3092106	SLD 11	3092106	12275673	0.292						Si
185	50.27	6	50.27	6	4614493	SLD 7	3720400	13010471	0.292						Si

Verifiche a taglio in famiglia SLU

x	A st	A sl	A sag	Vela	Comb.	Vdes	Vrd	Vrcd	Vrsd	Vult	cotgθ	Verifica
0	0	25.13	0	49807	SLU 16	49807	25632	211438	0	25632	1	Si
30	0.228	25.13	0	49105	SLU 16	49105	25632	211438	59544	59544	1	Si
93	0.228	25.13	0	47643	SLU 16	47643	25632	211438	59544	59544	1	Si
140	0.228	25.13	0	46531	SLU 16	46531	25632	211438	59544	59544	1	Si
185	0	25.13	0	45478	SLU 16	45478	25632	211438	0	25632	1	Si

Verifiche a taglio in famiglia SLV

x	A st	A sl	A sag	Vela	Comb.	Vdes	Vrd	Vrcd	Vrsd	Vult	cotgθ	Verifica
0	0	25.13	0	42345	SLV 5	42345	25632	211438	0	25632	1	Si
30	0.228	25.13	0	41805	SLV 5	41805	25632	211438	59544	59544	1	Si
93	0.228	25.13	0	40680	SLV 5	40680	25632	211438	59544	59544	1	Si
140	0.228	25.13	0	39825	SLV 5	39825	25632	211438	59544	59544	1	Si
185	0	25.13	0	39015	SLV 5	39015	25632	211438	0	25632	1	Si

Verifiche SLD Resistenza a taglio

x	A st	A sl	A sag	Vela	Comb.	Vdes	Vrd	Vrcd	Vrsd	Vult	cotgθ	Verifica
0	0	25.13	0	37662	SLD 5	37662	25632	211438	0	25632	1	Si
30	0.228	25.13	0	37122	SLD 5	37122	25632	211438	59544	59544	1	Si
93	0.228	25.13	0	35997	SLD 5	35997	25632	211438	59544	59544	1	Si
140	0.228	25.13	0	35142	SLD 5	35142	25632	211438	59544	59544	1	Si
185	0	25.13	0	34332	SLD 5	34332	25632	211438	0	25632	1	Si

Verifiche delle tensioni in esercizio

x	Rara							Quasi permanente							Verifica
	Mela	Comb.	Mdes	σc	σc lim.	σf	σf lim.	Mela	Comb.	Mdes	σc	σc lim.	σFRP	σFRP lim.	
0	-2017602	8	-1468069	19.6	149.4	861.7	3600	-1820980	4	-1332681	17.8	112.1	0	+∞	Si
30	-926599	8	-926599	12.4	149.4	543.9	3600	-852446	4	-852446	11.4	112.1	0	+∞	Si
93	1294420	8	2448961	32.7	149.4	1437.5	3600	1113428	4	2132029	28.5	112.1	0	+∞	Si
140	2935267	8	2935267	29	149.4	926.4	3600	2560366	4	2560366	25.3	112.1	0	+∞	Si
185	4452427	8	3702922	34.2	149.4	1102.8	3600	3893822	4	3236169	29.9	112.1	0	+∞	Si

Verifica di apertura delle fessure

La campata non presenta apertura delle fessure

Verifica di deformabilità

x	Rara				Frequente				Quasi permanente						Verifica
	Elastica+	Elastica-	Fess.+	Fess.-	Elastica+	Elastica-	Fess.+	Fess.-	Elastica+	Elastica-	Fess. viscosa+	Comb.	Fess. viscosa-	Comb.	
30	0.001	0.001	0.001	0	0.001	0.001	0.001	0	0.001	0.001	0.002	4	0.001	4	9999 Si
93	0.005	0.003	0.004	0.002	0.004	0.003	0.004	0.002	0.004	0.003	0.008	4	0.006	4	9999 Si
117	0.005	0.003	0.005	0.003	0.005	0.003	0.004	0.003	0.005	0.003	0.009	4	0.007	4	9999 Si
140	0.005	0.003	0.004	0.003	0.005	0.003	0.004	0.003	0.004	0.003	0.008	4	0.006	4	9999 Si

Campata 8 tra i fili Pil.A10 - , sezione R 90x80, asta 2243

Verifiche a flessione in famiglia SLU

x	A sup.	C.b. sup.	A inf.	C.b. inf.	M+ela	Comb.	M+des	M+ult	x/d	M-ela	Comb.	M-des	M-ult	x/d	Verifica
0	50.27	6	50.27	6	6420967	SLU 16	5087849	13598457	0.116						Si
45	40.87	6	47.62	6	3731055	SLU 16	3731055	12891068	0.12						Si
55	38.46	6	44.17	6	3126915	SLU 16	3731055	11975628	0.117						Si
73	25.13	6	25.13	6	2013168	SLU 16	3731055	6915255	0.095	956630	SLU 1	-83779	-6915255	0.095	Si
110	25.13	6	25.13	6	-144387	SLU 4	1807786	6915255	0.095	-254472	SLU 14	-254472	-6915255	0.095	Si

Verifiche a flessione in famiglia SLV (domini sostanzialmente elastici)

La struttura oppure parte di essa, è stata dichiarata come non dissipativa pertanto la verifica a pressoflessione, per tutte o solo alcune sezioni, viene eseguita calcolando i momenti resistenti in campo sostanzialmente elastico secondo D.M. 17-01-2018 §7.4.1

Le dilatazioni ultime utilizzate sono le seguenti: $\epsilon c2= 0.002$, $\epsilon yd= 0.0019$

x	A sup.	C.b. sup.	A inf.	C.b. inf.	M+ela	Comb.	M+des	M+ult	x/d	M-ela	Comb.	M-des	M-ult	x/d	Verifica
0	50.27	6	50.27	6	6215785	SLV 11	5120268	13010471	0.292						Si
45	40.87	6	47.62	6	3990708	SLV 7	3990708	12302857	0.292	746870	SLV 10	-684603	-10666162	0.265	Si
55	38.46	6	44.17	6	3612244	SLV 7	3990708	11440057	0.284	348974	SLV 10	-1173554	-10048445	0.26	Si
73	25.13	6	25.13	6	2980283	SLV 7	3990708	6635554	0.225	-451858	SLV 10	-2231992	-6635554	0.225	Si
110	25.13	6	25.13	6	2079240	SLV 1	2872683	6635554	0.225	-2452700	SLV 16	-2452700	-6635554	0.225	Si

Verifiche SLD Resistenza a flessione (domini sostanzialmente elastici)

La struttura oppure parte di essa, è stata dichiarata come non dissipativa pertanto la verifica a pressoflessione, per tutte o solo alcune sezioni, viene eseguita calcolando i momenti resistenti in campo sostanzialmente elastico secondo D.M. 17-01-2018 §7.4.1

Le dilatazioni ultime utilizzate sono le seguenti: $\epsilon c2= 0.002$, $\epsilon yd= 0.0019$

x	A sup.	C.b. sup.	A inf.	C.b. inf.	M+ela	Comb.	M+des	M+ult	x/d	M-ela	Comb.	M-des	M-ult	x/d	Verifica
0	50.27	6	50.27	6	5219233	SLD 11	4239070	13010471	0.292						Si
45	40.87	6	47.62	6	3237445	SLD 7	3237445	12302857	0.292						Si
55	38.46	6	44.17	6	2852214	SLD 7	3237445	11440057	0.284	1109004	SLD 10	-297737	-10048445	0.26	Si
73	25.13	6	25.13	6	2174292	SLD 7	3237445	6635554	0.225	354133	SLD 10	-1166546	-6635554	0.225	Si
110	25.13	6	25.13	6	970909	SLD 1	2053593	6635554	0.225	-1344369	SLD 16	-1344369	-6635554	0.225	Si

Verifiche a taglio in famiglia SLU

x	A st	A sl	A sag	Vela	Comb.	Vdes	Vrd	Vrcd	Vrsd	Vult	cotgθ	Verifica
0	0	25.13	0	-59249	SLU 16	-59249	-25632	-211438	0	-25632	1	Si
44	0	25.13	0	-60279	SLU 16	-60279	-25632	-211438	0	-25632	1	Si
45	0.29	25.13	0	-60302	SLU 16	-60302	-25632	-211438	-75575	-75575	1	Si
55	0.29	25.13	0	-60536	SLU 16	-60536	-25632	-211438	-75575	-75575	1	Si
110	0.29	25.13	0	-61823	SLU 16	-61823	-25632	-211438	-75575	-75575	1	Si

Verifiche a taglio in famiglia SLV

x	A st	A sl	A sag	Vela	Comb.	Vdes	Vrd	Vrcd	Vrsd	Vult	cotgθ	Verifica
0	0	25.13	0	-67195	SLV 16	-67195	-25632	-211438	0	-25632	1	Si
44	0	25.13	0	-67987	SLV 16	-67987	-25632	-211438	0	-25632	1	Si
45	0.29	25.13	0	-68005	SLV 16	-68005	-25632	-211438	-75575	-75575	1	Si
55	0.29	25.13	0	-68185	SLV 16	-68185	-25632	-211438	-75575	-75575	1	Si
110	0.29	25.13	0	-69175	SLV 16	-69175	-25632	-211438	-75575	-75575	1	Si

Verifiche SLD Resistenza a taglio

x	A st	A sl	A sag	Vela	Comb.	Vdes	Vrd	Vrcd	Vrsd	Vult	cotgθ	Verifica
0	0	25.13	0	-52867	SLD 16	-52867	-25632	-211438	0	-25632	1	Si
44	0	25.13	0	-53659	SLD 16	-53659	-25632	-211438	0	-25632	1	Si
45	0.29	25.13	0	-53677	SLD 16	-53677	-25632	-211438	-75575	-75575	1	Si
55	0.29	25.13	0	-53857	SLD 16	-53857	-25632	-211438	-75575	-75575	1	Si
110	0.29	25.13	0	-54847	SLD 16	-54847	-25632	-211438	-75575	-75575	1	Si

Verifiche delle tensioni in esercizio

x	Rara							Quasi permanente							Verifica
	Mela	Comb.	Mdes	σc	σc lim.	σf	σf lim.	Mela	Comb.	Mdes	σc	σc lim.	σFRP	σFRP lim.	
0	4696060	8	3720969	34.4	149.4	1108.2	3600	4093500	4	3240250	30	112.1	0	+∞	Si
45	2727667	8	2727667	26.9	149.4	859	3600	2368789	4	2368789	23.3	112.1	0	+∞	Si
55	2285337	8	2727667	27.9	149.4	924.4	3600	1980609	4	2368789	24.2	112.1	0	+∞	Si
110	-190869	6	-190869	2.5	149.4	112	3600	-189685	3	-189685	2.5	112.1	0	+∞	Si

Verifica di apertura delle fessure

La campata non presenta apertura delle fessure

Verifica di deformabilità

x	Rara				Frequente				Quasi permanente						Verifica
	Elastica+	Elastica-	Fess.+	Fess.-	Elastica+	Elastica-	Fess.+	Fess.-	Elastica+	Elastica-	Fess. viscosa+	Comb.	Fess. viscosa-	Comb.	
45	0.003	0.002	0.003	0.002	0.003	0.002	0.003	0.002	0.003	0.002	0.006	4	0.005	4	9999 Si
55	0.003	0.002	0.003	0.002	0.003	0.002	0.003	0.002	0.003	0.002	0.007	4	0.005	4	9999 Si
110	0	0	0.002	0.001	0	0	0.001	0.001	0	0	0.003	4	0.002	4	9999 Si

Campata 9 tra i fili - Palo16, sezione R 90x80, aste 2242, 2241

Verifiche a flessione in famiglia SLU

x	A sup.	C.b. sup.	A inf.	C.b. inf.	M+ela	Comb.	M+des	M+ult	x/d	M-ela	Comb.	M-des	M-ult	x/d	Verifica
0	25.13	6	25.13	6	5394	SLU 4	5394	6915255	0.095	-50976	SLU 13	-952789	-6915255	0.095	Si
55	25.13	6	25.13	6						-1317968	SLU 16	-1560545	-6915255	0.095	Si
80	25.13	6	25.13	6						-1560545	SLU 16	-1560545	-6915255	0.095	Si
110	25.13	6	25.13	6						-1870917	SLU 16	-1710471	-6915255	0.095	Si

Verifiche a flessione in famiglia SLV (domini sostanzialmente elastici)

La struttura oppure parte di essa, è stata dichiarata come non dissipativa pertanto la verifica a pressoflessione, per tutte o solo alcune sezioni, viene eseguita calcolando i momenti resistenti in campo sostanzialmente elastico secondo D.M. 17-01-2018 §7.4.1

Le dilatazioni ultime utilizzate sono le seguenti: $\epsilon_{c2} = 0.002$, $\epsilon_{yd} = 0.0019$

x	A sup.	C.b. sup.	A inf.	C.b. inf.	M+ela	Comb.	M+des	M+ult	x/d	M-ela	Comb.	M-des	M-ult	x/d	Verifica
0	25.13	6	25.13	6	1502154	SLV 1	1502154	6635554	0.225	-1563521	SLV 16	-2277503	-6635554	0.225	Si
18	25.13	6	25.13	6	1222531	SLV 1	1502154	6635554	0.225	-1947146	SLV 16	-2695334	-6635554	0.225	Si
55	25.13	6	25.13	6	520066	SLV 1	1172375	6635554	0.225	-2248167	SLV 16	-2695334	-6635554	0.225	Si
80	25.13	6	25.13	6	244244	SLV 5	811383	6635554	0.225	-2303129	SLV 12	-2695334	-6635554	0.225	Si
110	25.13	6	25.13	6	143134	SLV 5	143134	6635554	0.225	-2628621	SLV 12	-2528558	-6635554	0.225	Si

Verifiche SLD Resistenza a flessione (domini sostanzialmente elastici)

La struttura oppure parte di essa, è stata dichiarata come non dissipativa pertanto la verifica a pressoflessione, per tutte o solo alcune sezioni, viene eseguita calcolando i momenti resistenti in campo sostanzialmente elastico secondo D.M. 17-01-2018 §7.4.1

Le dilatazioni ultime utilizzate sono le seguenti: $\epsilon_{c2} = 0.002$, $\epsilon_{yd} = 0.0019$

x	A sup.	C.b. sup.	A inf.	C.b. inf.	M+ela	Comb.	M+des	M+ult	x/d	M-ela	Comb.	M-des	M-ult	x/d	Verifica
0	25.13	6	25.13	6	753173	SLD 1	753173	6635554	0.225	-814541	SLD 16	-1472980	-6635554	0.225	Si
55	25.13	6	25.13	6	-158579	SLD 1	390073	6635554	0.225	-1569522	SLD 16	-1850660	-6635554	0.225	Si
80	25.13	6	25.13	6						-1687808	SLD 12	-1850660	-6635554	0.225	Si
110	25.13	6	25.13	6						-1966783	SLD 12	-1856967	-6635554	0.225	Si

Verifiche a taglio in famiglia SLU

x	A st	A sl	A sag	Vela	Comb.	Vdes	Vrd	Vrcd	Vrsd	Vult	cotgθ	Verifica
0	0.29	25.13	0	-27854	SLU 16	-27854	-25632	-211438	-75575	-75575	1	Si
51	0.157	25.13	0	-29055	SLU 16	-29055	-25632	-211438	-40936	-40936	1	Si
55	0.157	25.13	0	-9410	SLU 16	-9410	-25632	-211438	-40936	-40936	1	Si
80	0.157	25.13	0	-9995	SLU 16	-9995	-25632	-211438	-40936	-40936	1	Si
110	0	25.13	0	-10697	SLU 16	-10697	-25632	-211438	0	-25632	1	Si

Verifiche a taglio in famiglia SLV

x	A st	A sl	A sag	Vela	Comb.	Vdes	Vrd	Vrcd	Vrsd	Vult	cotgθ	Verifica
0	0.29	25.13	0	-30460	SLV 11	-30460	-25632	-211438	-75575	-75575	1	Si
55	0.157	25.13	0	10501	SLV 10	10501	25632	211438	40936	40936	1	Si
55	0.157	25.13	0	-23282	SLV 7	-23282	-25632	-211438	-40936	-40936	1	Si
80	0.157	25.13	0	10051	SLV 10	10051	25632	211438	40936	40936	1	Si
80	0.157	25.13	0	-23732	SLV 7	-23732	-25632	-211438	-40936	-40936	1	Si
110	0	25.13	0	9511	SLV 10	9511	25632	211438	0	25632	1	Si
110	0	25.13	0	-24272	SLV 7	-24272	-25632	-211438	0	-25632	1	Si

Verifiche SLD Resistenza a taglio

x	A st	A sl	A sag	Vela	Comb.	Vdes	Vrd	Vrcd	Vrsd	Vult	cotgθ	Verifica
0	0.29	25.13	0	-24581	SLD 11	-24581	-25632	-211438	-75575	-75575	1	Si
55	0.157	25.13	0	2648	SLD 10	2648	25632	211438	40936	40936	1	Si
55	0.157	25.13	0	-15428	SLD 7	-15428	-25632	-211438	-40936	-40936	1	Si
80	0.157	25.13	0	2198	SLD 10	2198	25632	211438	40936	40936	1	Si
80	0.157	25.13	0	-15878	SLD 7	-15878	-25632	-211438	-40936	-40936	1	Si
110	0	25.13	0	1658	SLD 10	1658	25632	211438	0	25632	1	Si
110	0	25.13	0	-16418	SLD 7	-16418	-25632	-211438	0	-25632	1	Si

Verifiche delle tensioni in esercizio

x	Rara							Quasi permanente							Verifica
	Mela	Comb.	Mdes	σ c	σ c lim.	σ f.	σ f lim.	Mela	Comb.	Mdes	σ c	σ c lim.	σ FRP	σ FRP lim.	
0	-38426	5	-702444	9.4	149.4	412.3	3600	-38426	3	-637522	8.5	112.1	0	+∞	Si
55	-968292	8	-1148935	15.3	149.4	674.4	3600	-864050	4	-1029443	13.8	112.1	0	+∞	Si
80	-1148935	8	-1148935	15.3	149.4	674.4	3600	-1029443	4	-1029443	13.8	112.1	0	+∞	Si
110	-1380537	8	-1260690	16.8	149.4	740	3600	-1242744	4	-1132047	15.1	112.1	0	+∞	Si

Verifica di apertura delle fessure

La campata non presenta apertura delle fessure

Verifica di deformabilità

x	Rara				Frequente				Quasi permanente							Verifica
	Elastica+	Elastica-	Fess.+	Fess.-	Elastica+	Elastica-	Fess.+	Fess.-	Elastica+	Elastica-	Fess. viscosa+	Comb.	Fess. viscosa-	Comb.	I/f	
0	0	0	0.002	0.001	0	0	0.001	0.001	0	0	0.003	4	0.002	4	9999	Si
55	-0.001	-0.001	0	0	-0.001	-0.001	0	0	-0.001	-0.001	-0.001	1	-0.001	1	9999	Si
80	-0.001	-0.001	0	0	-0.001	-0.001	0	0	-0.001	-0.001	-0.001	1	-0.001	1	9999	Si

Campata 10 tra i fili Palo16 - Palo10, sezione R 90x80, aste 2246, 2245, 2244

Verifiche a flessione in famiglia SLU

x	A sup.	C.b. sup.	A inf.	C.b. inf.	M+ela	Comb.	M+des	M+ult	x/d	M-ela	Comb.	M-des	M-ult	x/d	Verifica
0	25.13	6	25.13	6						-1899472	SLU 16	-1745098	-6915255	0.095	Si
30	25.13	6	25.13	6						-1478670	SLU 16	-2208327	-6635554	0.095	Si
90	25.13	6	25.13	6	-483227	SLU 1	24332	6915255	0.095	-983622	SLU 16	-1114919	-6915255	0.095	Si
150	25.13	6	25.13	6						-557324	SLU 16	-787696	-6915255	0.095	Si
180	25.13	6	25.13	6						-1174710	SLU 16	-428486	-6915255	0.095	Si

Verifiche a flessione in famiglia SLV (domini sostanzialmente elastici)

La struttura oppure parte di essa, è stata dichiarata come non dissipativa pertanto la verifica a pressoflessione, per tutte o solo alcune sezioni, viene eseguita calcolando i momenti resistenti in campo sostanzialmente elastico secondo D.M. 17-01-2018 §7.4.1

Le dilatazioni ultime utilizzate sono le seguenti: $\epsilon_{c2} = 0.002$, $\epsilon_{yd} = 0.0019$

x	A sup.	C.b. sup.	A inf.	C.b. inf.	M+ela	Comb.	M+des	M+ult	x/d	M-ela	Comb.	M-des	M-ult	x/d	Verifica
0	25.13	6	25.13	6						-1888040	SLV 16	-1888040	-6635554	0.225	Si
30	25.13	6	25.13	6	78166	SLV 1	857219	6635554	0.225	-2031881	SLV 16	-2208327	-6635554	0.225	Si
90	25.13	6	25.13	6	1098414	SLV 1	2013372	6635554	0.225	-2362654	SLV 16	-2967887	-6635554	0.225	Si
150	25.13	6	25.13	6	2739553	SLV 1	2739553	6635554	0.225	-3463004	SLV 16	-3463004	-6635554	0.225	Si
180	25.13	6	25.13	6	2274897	SLV 1	2274897	6635554	0.225	-3787902	SLV 16	-3787902	-6635554	0.225	Si

Verifiche SLD Resistenza a flessione (domini sostanzialmente elastici)

La struttura oppure parte di essa, è stata dichiarata come non dissipativa pertanto la verifica a pressoflessione, per tutte o solo alcune sezioni, viene

RELAZIONE GEOTECNICA E SULLE FONDAZIONI

eseguita calcolando i momenti resistenti in campo sostanzialmente elastico secondo D.M. 17-01-2018 §7.4.1

Le dilatazioni ultime utilizzate sono le seguenti: $\epsilon_{c2} = 0.002$, $\epsilon_{yd} = 0.0019$

x	A sup.	C.b. sup.	A inf.	C.b. inf.	M+ela	Comb.	M+des	M+ult	x/d	M-ela	Comb.	M-des	M-ult	x/d	Verifica
0	25.13	6	25.13	6						-1580372	SLD 16	-1550444	-6635554	0.225	Si
30	25.13	6	25.13	6	-439085	SLD 1	104841	6635554	0.225	-1514630	SLD 16	-1514630	-6635554	0.225	Si
90	25.13	6	25.13	6	249275	SLD 1	790509	6635554	0.225	-1513515	SLD 16	-1745025	-6635554	0.225	Si
150	25.13	6	25.13	6	1216449	SLD 1	1216449	6635554	0.225	-1939900	SLD 16	-1939900	-6635554	0.225	Si
180	25.13	6	25.13	6	788312	SLD 1	788312	6635554	0.225	-2301317	SLD 16	-2084108	-6635554	0.225	Si

Verifiche a taglio in famiglia SLU

x	A st	A sl	A sag	Vela	Comb.	Vdes	Vrd	Vrcd	Vrsd	Vult	cotgθ	Verifica
0	0	25.13	0	18308	SLU 16	18308	25632	211438	0	25632	1	Si
30	0.157	25.13	0	17762	SLU 16	17762	25632	211438	40936	40936	1	Si
90	0.157	25.13	0	9681	SLU 16	9681	25632	211438	40936	40936	1	Si
150	0.157	25.13	0	8589	SLU 16	8589	25632	211438	40936	40936	1	Si
180	0	25.13	0	3112	SLU 16	3112	25632	211438	0	25632	1	Si

Verifiche a taglio in famiglia SLV

x	A st	A sl	A sag	Vela	Comb.	Vdes	Vrd	Vrcd	Vrsd	Vult	cotgθ	Verifica
0	0	25.13	0	30942	SLV 1	30942	25632	211438	0	25632	1	Si
0	0	25.13	0	-6365	SLV 16	-6365	-25632	-211438	0	-25632	1	Si
30	0.157	25.13	0	30522	SLV 1	30522	25632	211438	40936	40936	1	Si
30	0.157	25.13	0	-6785	SLV 16	-6785	-25632	-211438	-40936	-40936	1	Si
90	0.157	25.13	0	35700	SLV 1	35700	25632	211438	40936	40936	1	Si
90	0.157	25.13	0	-23271	SLV 16	-23271	-25632	-211438	-40936	-40936	1	Si
150	0.157	25.13	0	34860	SLV 1	34860	25632	211438	40936	40936	1	Si
150	0.157	25.13	0	-24111	SLV 16	-24111	-25632	-211438	-40936	-40936	1	Si
156	0	25.13	0	47005	SLV 1	47005	25632	211438	0	25632	1	Si
156	0	25.13	0	-43147	SLV 16	-43147	-25632	-211438	0	-25632	1	Si
180	0	25.13	0	46669	SLV 1	46669	25632	211438	0	25632	1	Si
180	0	25.13	0	-43483	SLV 16	-43483	-25632	-211438	0	-25632	1	Si

Verifiche SLD Resistenza a taglio

x	A st	A sl	A sag	Vela	Comb.	Vdes	Vrd	Vrcd	Vrsd	Vult	cotgθ	Verifica
0	0	25.13	0	21769	SLD 1	21769	25632	211438	0	25632	1	Si
30	0.157	25.13	0	21349	SLD 1	21349	25632	211438	40936	40936	1	Si
90	0.157	25.13	0	21203	SLD 1	21203	25632	211438	40936	40936	1	Si
90	0.157	25.13	0	-8774	SLD 16	-8774	-25632	-211438	-40936	-40936	1	Si
150	0.157	25.13	0	20363	SLD 1	20363	25632	211438	40936	40936	1	Si
150	0.157	25.13	0	-9614	SLD 16	-9614	-25632	-211438	-40936	-40936	1	Si
156	0	25.13	0	24853	SLD 1	24853	25632	211438	0	25632	1	Si
156	0	25.13	0	-20995	SLD 16	-20995	-25632	-211438	0	-25632	1	Si
180	0	25.13	0	24517	SLD 1	24517	25632	211438	0	25632	1	Si
180	0	25.13	0	-21331	SLD 16	-21331	-25632	-211438	0	-25632	1	Si

Verifiche delle tensioni in esercizio

x	Rara							Quasi permanente							Verifica
	Mela	Comb.	Mdes	σ c	σ c lim.	σ f.	σ f lim.	Mela	Comb.	Mdes	σ c	σ c lim.	σ FRP	σ FRP lim.	
0	-1400361	8	-1286177	17.2	149.4	754.9	3600	-1258676	4	-1154883	15.4	112.1	0	∞	Si
30	-1089448	8	-1089448	14.6	149.4	639.5	3600	-976858	4	-976858	13	112.1	0	∞	Si
90	-720178	8	-821016	11	149.4	481.9	3600	-632120	4	-734318	9.8	112.1	0	∞	Si
150	-409569	8	-577169	7.7	149.4	338.8	3600	-361725	4	-507006	6.8	112.1	0	∞	Si
180	-860659	8	-316027	4.2	149.4	185.5	3600	-756502	4	-281110	3.8	112.1	0	∞	Si

Verifica di apertura delle fessure

La campata non presenta apertura delle fessure

Verifica di deformabilità

x	Rara				Frequente				Quasi permanente						Verifica
	Elastica+	Elastica-	Fess.+	Fess.-	Elastica+	Elastica-	Fess.+	Fess.-	Elastica+	Elastica-	Fess. viscosa+	Comb.	Fess. viscosa-	Comb.	I/f
30	-0.001	-0.001	-0.001	-0.001	-0.001	-0.001	-0.001	-0.001	-0.001	-0.001	-0.003	1	-0.003	1	9999
84	-0.001	-0.001	-0.002	-0.002	-0.001	-0.001	-0.002	-0.002	-0.001	-0.001	-0.004	1	-0.005	1	9999
90	-0.001	-0.001	-0.002	-0.002	-0.001	-0.001	-0.002	-0.002	-0.001	-0.001	-0.004	1	-0.005	1	9999
150	0	-0.001	-0.001	-0.001	0	-0.001	-0.001	-0.001	0	-0.001	-0.002	1	-0.003	1	9999

Campata 11 tra i fili Palo10 - Pil.A14, sezione R 90x80, aste 1600, 1599, 1598, 948

Verifiche a flessione in famiglia SLU

x	A sup.	C.b. sup.	A inf.	C.b. inf.	M+ela	Comb.	M+des	M+ult	x/d	M-ela	Comb.	M-des	M-ult	x/d	Verifica
0	25.13	6	25.13	6						-1346843	SLU 16	-1346843	-6915255	0.095	Si
30	25.13	6	25.13	6						-1931163	SLU 16	-2130614	-6915255	0.095	Si
100	25.13	6	25.13	6	-1259524	SLU 1	82295	6915255	0.095	-2178953	SLU 16	-2726846	-6915255	0.095	Si
150	25.13	6	25.13	6	-1118946	SLU 1	177089	6915255	0.095	-1936693	SLU 16	-2726846	-6915255	0.095	Si
255	25.13	6	25.13	6	1888612	SLU 16	1888612	6915255	0.095						Si
300	25.13	6	25.13	6	3361285	SLU 16	2649934	6915255	0.095						Si

Verifiche a flessione in famiglia SLV (domini sostanzialmente elastici)

La struttura oppure parte di essa, è stata dichiarata come non dissipativa pertanto la verifica a pressoflessione, per tutte o solo alcune sezioni, viene eseguita calcolando i momenti resistenti in campo sostanzialmente elastico secondo D.M. 17-01-2018 §7.4.1

Le dilatazioni ultime utilizzate sono le seguenti: $\epsilon_{c2} = 0.002$, $\epsilon_{yd} = 0.0019$

x	A sup.	C.b. sup.	A inf.	C.b. inf.	M+ela	Comb.	M+des	M+ult	x/d	M-ela	Comb.	M-des	M-ult	x/d	Verifica
0	25.13	6	25.13	6	2425873	SLV 3	1717065	6635554	0.225	-4265267	SLV 14	-3945500	-6635554	0.225	Si
30	25.13	6	25.13	6	992593	SLV 3	1449706	6635554	0.225	-3626261	SLV 14	-3626261	-6635554	0.225	Si
100	25.13	6	25.13	6	1420366	SLV 1	1924010	6635554	0.225	-4414618	SLV 16	-5671734	-6635554	0.225	Si
150	25.13	6	25.13	6	1815295	SLV 1	1924010	6635554	0.225	-4466028	SLV 16	-5671734	-6635554	0.225	Si
255	25.13	6	25.13	6	3617192	SLV 10	3617192	6635554	0.225	-1005645	SLV 7	-1213117	-6635554	0.225	Si
300	25.13	6	25.13	6	6061840	SLV 10	4945242	6635554	0.225	-1451557	SLV 7	-1295888	-6635554	0.225	Si

Verifiche SLD Resistenza a flessione (domini sostanzialmente elastici)

La struttura oppure parte di essa, è stata dichiarata come non dissipativa pertanto la verifica a pressoflessione, per tutte o solo alcune sezioni, viene eseguita calcolando i momenti resistenti in campo sostanzialmente elastico secondo D.M. 17-01-2018 §7.4.1

Le dilatazioni ultime utilizzate sono le seguenti: $\epsilon_{c2} = 0.002$, $\epsilon_{yd} = 0.0019$

x	A sup.	C.b. sup.	A inf.	C.b. inf.	M+ela	Comb.	M+des	M+ult	x/d	M-ela	Comb.	M-des	M-ult	x/d	Verifica
0	25.13	6	25.13	6	791507	SLD 3	334553	6635554	0.225	-2630901	SLD 14	-2562989	-6635554	0.225	Si
30	25.13	6	25.13	6	-134257	SLD 3	221058	6635554	0.225	-2499411	SLD 14	-2499411	-6635554	0.225	Si
100	25.13	6	25.13	6	-9514	SLD 1	94238	6635554	0.225	-2984738	SLD 16	-3807064	-6635554	0.225	Si
150	25.13	6	25.13	6	270892	SLD 1	639444	6635554	0.225	-2921625	SLD 16	-3807064	-6635554	0.225	Si
255	25.13	6	25.13	6	2530766	SLD 10	2530766	6635554	0.225	80781	SLD 7	-386203	-6635554	0.225	Si
300	25.13	6	25.13	6	4301021	SLD 10	3477534	6635554	0.225						Si

Verifiche a taglio in famiglia SLU

x	A st	A sl	A sag	Vela	Comb.	Vdes	Vrd	Vrcd	Vrsd	Vult	cotgθ	Verifica
0	0	25.13	0	-19126	SLU 16	-19126	-25632	-211438	0	-25632	1	Si
30	0.265	25.13	0	-19828	SLU 16	-19828	-25632	-211438	-69137	-69137	1	Si
150	0.265	25.13	0	39024	SLU 16	39024	25632	211438	69137	69137	1	Si
255	0.265	25.13	0	33837	SLU 16	33837	25632	211438	69137	69137	1	Si
260	0	25.13	0	33590	SLU 16	33590	25632	211438	0	25632	1	Si
300	0	25.13	0	31614	SLU 16	31614	25632	211438	0	25632	1	Si

Verifiche a taglio in famiglia SLV

x	A st	A sl	A sag	Vela	Comb.	Vdes	Vrd	Vrcd	Vrsd	Vult	cotgθ	Verifica
0	0	25.13	0	21823	SLV 14	21823	25632	211438	0	25632	1	Si
0	0	25.13	0	-47758	SLV 3	-47758	-25632	-211438	0	-25632	1	Si
30	0.265	25.13	0	21283	SLV 14	21283	25632	211438	69137	69137	1	Si
30	0.265	25.13	0	-48298	SLV 3	-48298	-25632	-211438	-69137	-69137	1	Si
150	0.265	25.13	0	63014	SLV 10	63014	25632	211438	69137	69137	1	Si
150	0.265	25.13	0	-8910	SLV 7	-8910	-25632	-211438	-69137	-69137	1	Si
255	0.265	25.13	0	59024	SLV 10	59024	25632	211438	69137	69137	1	Si
255	0.265	25.13	0	-12900	SLV 7	-12900	-25632	-211438	-69137	-69137	1	Si
260	0	25.13	0	58834	SLV 10	58834	25632	211438	0	25632	1	Si
260	0	25.13	0	-13090	SLV 7	-13090	-25632	-211438	0	-25632	1	Si
300	0	25.13	0	57314	SLV 10	57314	25632	211438	0	25632	1	Si
300	0	25.13	0	-14610	SLV 7	-14610	-25632	-211438	0	-25632	1	Si

Verifiche SLD Resistenza a taglio

x	A st	A sl	A sag	Vela	Comb.	Vdes	Vrd	Vrcd	Vrsd	Vult	cotgθ	Verifica
0	0	25.13	0	4778	SLD 14	4778	25632	211438	0	25632	1	Si
0	0	25.13	0	-30714	SLD 3	-30714	-25632	-211438	0	-25632	1	Si
30	0.265	25.13	0	4238	SLD 14	4238	25632	211438	69137	69137	1	Si
30	0.265	25.13	0	-31254	SLD 3	-31254	-25632	-211438	-69137	-69137	1	Si
150	0.265	25.13	0	46069	SLD 10	46069	25632	211438	69137	69137	1	Si
255	0.265	25.13	0	42079	SLD 10	42079	25632	211438	69137	69137	1	Si
260	0	25.13	0	41889	SLD 10	41889	25632	211438	0	25632	1	Si
300	0	25.13	0	40369	SLD 10	40369	25632	211438	0	25632	1	Si

Verifiche delle tensioni in esercizio

x	Rara								Quasi permanente						Verifica
	Mela	Comb.	Mdes	σ c	σ c lim.	σ f.	σ f lim.	Mela	Comb.	Mdes	σ c	σ c lim.	σ FRP	σ FRP lim.	
0	-1000353	8	-1000353	13.4	149.4	587.2	3600	-919697	4	-919697	12.3	112.1	0	+∞	Si
30	-1433298	8	-1581212	21.1	149.4	928.1	3600	-1316834	4	-1452812	19.4	112.1	0	+∞	Si
150	-1440321	8	-2028770	27.1	149.4	1190.8	3600	-1325367	4	-1873862	25	112.1	0	+∞	Si
255	1400574	8	1400574	18.7	149.4	822.1	3600	1305774	4	1305774	17.4	112.1	0	+∞	Si
300	2489837	8	1964425	26.2	149.4	1153.1	3600	2305141	4	1824677	24.4	112.1	0	+∞	Si

Verifica di apertura delle fessure

La campata non presenta apertura delle fessure

Verifica di deformabilità

x	Rara				Frequente				Quasi permanente						Verifica
	Elastica+	Elastica-	Fess.+	Fess.-	Elastica+	Elastica-	Fess.+	Fess.-	Elastica+	Elastica-	Fess. viscosa+	Comb.	Fess. viscosa-	Comb.	I/f
30	-0.003	-0.004	-0.003	-0.003	-0.003	-0.004	-0.003	-0.003	-0.003	-0.004	-0.006	1	-0.008	1	9999
120	-0.008	-0.011	-0.006	-0.008	-0.008	-0.01	-0.006	-0.007	-0.008	-0.01	-0.015	1	-0.018	1	9999
150	-0.007	-0.009	-0.005	-0.007	-0.007	-0.009	-0.005	-0.006	-0.007	-0.009	-0.014	1	-0.016	1	9999
255	-0.001	-0.001	0	-0.001	-0.001	-0.001	0	0	-0.001	-0.001	-0.001	1	-0.001	1	9999

Campata 12 tra i fili Pil.A14 - Palo4, sezione R 90x80, asta 2324

Verifiche a flessione in famiglia SLU

x	A sup.	C.b. sup.	A inf.	C.b. inf.	M+ela	Comb.	M+des	M+ult	x/d	M-ela	Comb.	M-des	M-ult	x/d	Verifica
0	25.13	6	25.13	6	2875952	SLU 16	2112280	6915255	0.095						Si
45	25.13	6	25.13	6	1298757	SLU 16	1298757	6915255	0.095	611008	SLU 1	-119517	-6915255	0.095	Si
80	25.13	6	25.13	6	41853	SLU 8	1237267	6915255	0.095	-167484	SLU 9	-1285900	-6915255	0.095	Si
130	25.13	6	25.13	6						-1952977	SLU 16	-1952977	-6915255	0.095	Si
160	25.13	6	25.13	6						-3185703	SLU 16	-2558309	-6915255	0.095	Si

Verifiche a flessione in famiglia SLV (domini sostanzialmente elastici)

La struttura oppure parte di essa, è stata dichiarata come non dissipativa pertanto la verifica a pressoflessione, per tutte o solo alcune sezioni, viene eseguita calcolando i momenti resistenti in campo sostanzialmente elastico secondo D.M. 17-01-2018 §7.4.1

Le dilatazioni ultime utilizzate sono le seguenti: $\epsilon_{c2} = 0.002$, $\epsilon_{yd} = 0.0019$

x	A sup.	C.b. sup.	A inf.	C.b. inf.	M+ela	Comb.	M+des	M+ult	x/d	M-ela	Comb.	M-des	M-ult	x/d	Verifica
0	25.13	6	25.13	6	2728816	SLV 10	2102536	6635554	0.225						Si
45	25.13	6	25.13	6	2089651	SLV 5	2089651	6635554	0.225	-400797	SLV 12	-1990037	-6635554	0.225	Si
80	25.13	6	25.13	6	1974213	SLV 5	2082955	6635554	0.225	-2073486	SLV 12	-3746464	-6635554	0.225	Si
130	25.13	6	25.13	6	1790818	SLV 5	1919372	6635554	0.225	-4606690	SLV 12	-4606690	-6635554	0.225	Si
160	25.13	6	25.13	6	1646669	SLV 5	1646669	6635554	0.225	-6183298	SLV 12	-5393060	-6635554	0.225	Si

Verifiche SLD Resistenza a flessione (domini sostanzialmente elastici)

La struttura oppure parte di essa, è stata dichiarata come non dissipativa pertanto la verifica a pressoflessione, per tutte o solo alcune sezioni, viene eseguita calcolando i momenti resistenti in campo sostanzialmente elastico secondo D.M. 17-01-2018 §7.4.1

Le dilatazioni ultime utilizzate sono le seguenti: $\epsilon_{c2} = 0.002$, $\epsilon_{yd} = 0.0019$

x	A sup.	C.b. sup.	A inf.	C.b. inf.	M+ela	Comb.	M+des	M+ult	x/d	M-ela	Comb.	M-des	M-ult	x/d	Verifica
0	25.13	6	25.13	6	2352623	SLD 10	1773030	6635554	0.225						Si
45	25.13	6	25.13	6	1494377	SLD 5	1494377	6635554	0.225	194477	SLD 12	-1033762	-6635554	0.225	Si
80	25.13	6	25.13	6	998894	SLD 5	1470264	6635554	0.225	-1098166	SLD 12	-2391728	-6635554	0.225	Si
130	25.13	6	25.13	6	243330	SLD 5	754853	6635554	0.225	-3059202	SLD 12	-3059202	-6635554	0.225	Si
160	25.13	6	25.13	6						-4287339	SLD 12	-3668392	-6635554	0.225	Si

Verifiche a taglio in famiglia SLU

x	A st	A sl	A sag	Vela	Comb.	Vdes	Vrd	Vrcd	Vrsd	Vult	cotgθ	Verifica
0	0	25.13	0	-33934	SLU 16	-33934	-25632	-211438	0	-25632	1	Si
45	0.222	25.13	0	-36157	SLU 16	-36157	-25632	-211438	-57793	-57793	1	Si
80	0.222	25.13	0	-37886	SLU 16	-37886	-25632	-211438	-57793	-57793	1	Si
130	0.222	25.13	0	-40356	SLU 16	-40356	-25632	-211438	-57793	-57793	1	Si
160	0	25.13	0	-41838	SLU 16	-41838	-25632	-211438	0	-25632	1	Si

Verifiche a taglio in famiglia SLV

x	A st	A sl	A sag	Vela	Comb.	Vdes	Vrd	Vrcd	Vrsd	Vult	cotgθ	Verifica
0	0	25.13	0	1137	SLV 5	1137	25632	211438	0	25632	1	Si
0	0	25.13	0	-47485	SLV 12	-47485	-25632	-211438	0	-25632	1	Si

RELAZIONE GEOTECNICA E SULLE FONDAZIONI

x	A st	A sl	A sag	Vela	Comb.	Vdes	Vrd	Vrcd	Vrsd	Vult	cotgθ	Verifica
45	0.222	25.13	0	-49195	SLV 12	-49195	-25632	-211438	-57793	-57793	1	Si
80	0.222	25.13	0	-50525	SLV 12	-50525	-25632	-211438	-57793	-57793	1	Si
130	0.222	25.13	0	-52425	SLV 12	-52425	-25632	-211438	-57793	-57793	1	Si
160	0	25.13	0	-53565	SLV 12	-53565	-25632	-211438	0	-25632	1	Si

Verifiche SLD Resistenza a taglio

x	A st	A sl	A sag	Vela	Comb.	Vdes	Vrd	Vrcd	Vrsd	Vult	cotgθ	Verifica
0	0	25.13	0	-35673	SLD 12	-35673	-25632	-211438	0	-25632	1	Si
45	0.222	25.13	0	-37383	SLD 12	-37383	-25632	-211438	-57793	-57793	1	Si
80	0.222	25.13	0	-38713	SLD 12	-38713	-25632	-211438	-57793	-57793	1	Si
130	0.222	25.13	0	-40613	SLD 12	-40613	-25632	-211438	-57793	-57793	1	Si
160	0	25.13	0	-41753	SLD 12	-41753	-25632	-211438	0	-25632	1	Si

Verifiche delle tensioni in esercizio

x	Rara							Quasi permanente							Verifica
	Mela	Comb.	Mdes	σ c	σ c lim.	σ f.	σ f lim.	Mela	Comb.	Mdes	σ c	σ c lim.	σ FRP	σ FRP lim.	
0	2116520	8	1551086	20.7	149.4	910.4	3600	1925845	4	1404309	18.8	112.1	0	$+\infty$	Si
45	947306	8	947306	12.7	149.4	556	3600	844427	4	844427	11.3	112.1	0	$+\infty$	Si
80	-128834	1	-974091	13	149.4	571.8	3600	-128834	1	-943715	12.6	112.1	0	$+\infty$	Si
130	-1470894	8	-1470894	19.6	149.4	863.4	3600	-1407936	4	-1407936	18.8	112.1	0	$+\infty$	Si
160	-2389803	8	-1921863	25.7	149.4	1128.1	3600	-2268315	4	-1829640	24.4	112.1	0	$+\infty$	Si

Verifica di apertura delle fessure

La campata non presenta apertura delle fessure

Verifica di deformabilità

x	Rara				Frequente				Quasi permanente						Verifica	
	Elastica+	Elastica-	Fess.+	Fess.-	Elastica+	Elastica-	Fess.+	Fess.-	Elastica+	Elastica-	Fess. viscosa+	Comb.	Fess. viscosa-	Comb.		I/f
45	0.001	0	0.001	0	0.001	0	0	0	0.001	0	0.001	4	0.001	4	9999	Si
80	0	0	0	0	0	0	0	0	0	0	0	4	-0.001	4	9999	Si
123	-0.001	-0.001	-0.001	-0.001	-0.001	-0.001	-0.001	-0.001	-0.001	-0.001	-0.002	4	-0.002	4	9999	Si
130	-0.001	-0.001	-0.001	-0.001	-0.001	-0.001	-0.001	-0.001	-0.001	-0.001	-0.002	4	-0.002	4	9999	Si

Campata 13 tra i fili Palo4 - Pil.A16, sezione R 90x80, asta 947

Verifiche a flessione in famiglia SLU

x	A sup.	C.b. sup.	A inf.	C.b. inf.	M+ela	Comb.	M+des	M+ult	x/d	M-ela	Comb.	M-des	M-ult	x/d	Verifica
0	25.13	6	25.13	6						-3557550	SLU 16	-3099196	-6915255	0.095	Si
30	25.13	6	25.13	6						-2662907	SLU 16	-2662907	-6915255	0.095	Si
80	25.13	6	25.13	6	-758172	SLU 1	45811	6915255	0.095	-1270193	SLU 16	-2184022	-6915255	0.095	Si
115	25.13	6	25.13	6						-369063	SLU 16	-1225167	-6915255	0.095	Si
160	25.13	6	25.13	6	701004	SLU 16	231542	6915255	0.095						Si

Verifiche a flessione in famiglia SLV (domini sostanzialmente elastici)

La struttura oppure parte di essa, è stata dichiarata come non dissipativa pertanto la verifica a pressoflessione, per tutte o solo alcune sezioni, viene eseguita calcolando i momenti resistenti in campo sostanzialmente elastico secondo D.M. 17-01-2018 §7.4.1

Le dilatazioni ultime utilizzate sono le seguenti: $\epsilon_{c2}=0.002$, $\epsilon_{yd}=0.0019$

x	A sup.	C.b. sup.	A inf.	C.b. inf.	M+ela	Comb.	M+des	M+ult	x/d	M-ela	Comb.	M-des	M-ult	x/d	Verifica
0	25.13	6	25.13	6	1497953	SLV 5	1403299	6635554	0.225	-6584373	SLV 12	-5823569	-6635554	0.225	Si
30	25.13	6	25.13	6	1246508	SLV 5	1246508	6635554	0.225	-5034575	SLV 12	-5034575	-6635554	0.225	Si
80	25.13	6	25.13	6	839737	SLV 5	1103603	6635554	0.225	-2614205	SLV 12	-4198358	-6635554	0.225	Si
115	25.13	6	25.13	6	735644	SLV 10	827500	6635554	0.225	-1215786	SLV 7	-2538119	-6635554	0.225	Si
160	25.13	6	25.13	6	2180107	SLV 10	1156629	6635554	0.225	-1131026	SLV 7	-833818	-6635554	0.225	Si

Verifiche SLD Resistenza a flessione (domini sostanzialmente elastici)

La struttura oppure parte di essa, è stata dichiarata come non dissipativa pertanto la verifica a pressoflessione, per tutte o solo alcune sezioni, viene eseguita calcolando i momenti resistenti in campo sostanzialmente elastico secondo D.M. 17-01-2018 §7.4.1

Le dilatazioni ultime utilizzate sono le seguenti: $\epsilon_{c2}=0.002$, $\epsilon_{yd}=0.0019$

x	A sup.	C.b. sup.	A inf.	C.b. inf.	M+ela	Comb.	M+des	M+ult	x/d	M-ela	Comb.	M-des	M-ult	x/d	Verifica
0	25.13	6	25.13	6						-4615304	SLD 12	-4064000	-6635554	0.225	Si
30	25.13	6	25.13	6						-3504173	SLD 12	-3504173	-6635554	0.225	Si
80	25.13	6	25.13	6	1200	SLD 5	249784	6635554	0.225	-1776668	SLD 12	-2907007	-6635554	0.225	Si
115	25.13	6	25.13	6	272120	SLD 10	272120	6635554	0.225	-752262	SLD 7	-1722158	-6635554	0.225	Si
160	25.13	6	25.13	6	1401976	SLD 10	672821	6635554	0.225	-352895	SLD 7	-320946	-6635554	0.225	Si

Verifiche a taglio in famiglia SLU

x	A st	A sl	A sag	Vela	Comb.	Vdes	Vrd	Vrcd	Vrsd	Vult	cotgθ	Verifica
0	0	25.13	0	30568	SLV 16	30568	25632	211438	0	25632	1	Si
30	0.222	25.13	0	29086	SLV 16	29086	25632	211438	57792	57792	1	Si
80	0.222	25.13	0	26616	SLV 16	26616	25632	211438	57792	57792	1	Si
115	0.222	25.13	0	24887	SLV 16	24887	25632	211438	57792	57792	1	Si
160	0	25.13	0	22664	SLV 16	22664	25632	211438	0	25632	1	Si

Verifiche a taglio in famiglia SLV

x	A st	A sl	A sag	Vela	Comb.	Vdes	Vrd	Vrcd	Vrsd	Vult	cotgθ	Verifica
0	0	25.13	0	53740	SLV 12	53740	25632	211438	0	25632	1	Si
0	0	25.13	0	-9313	SLV 5	-9313	-25632	-211438	0	-25632	1	Si
30	0.222	25.13	0	52600	SLV 12	52600	25632	211438	57792	57792	1	Si
30	0.222	25.13	0	-10453	SLV 5	-10453	-25632	-211438	-57792	-57792	1	Si
80	0.222	25.13	0	50700	SLV 12	50700	25632	211438	57792	57792	1	Si
80	0.222	25.13	0	-12353	SLV 5	-12353	-25632	-211438	-57792	-57792	1	Si
115	0.222	25.13	0	49370	SLV 12	49370	25632	211438	57792	57792	1	Si
115	0.222	25.13	0	-13683	SLV 5	-13683	-25632	-211438	-57792	-57792	1	Si
160	0	25.13	0	47660	SLV 12	47660	25632	211438	0	25632	1	Si
160	0	25.13	0	-15393	SLV 5	-15393	-25632	-211438	0	-25632	1	Si

Verifiche SLD Resistenza a taglio

x	A st	A sl	A sag	Vela	Comb.	Vdes	Vrd	Vrcd	Vrsd	Vult	cotgθ	Verifica
0	0	25.13	0	38462	SLD 12	38462	25632	211438	0	25632	1	Si
30	0.222	25.13	0	37322	SLD 12	37322	25632	211438	57792	57792	1	Si
80	0.222	25.13	0	35422	SLD 12	35422	25632	211438	57792	57792	1	Si
115	0.222	25.13	0	34092	SLD 12	34092	25632	211438	57792	57792	1	Si
160	0	25.13	0	32382	SLD 12	32382	25632	211438	0	25632	1	Si
160	0	25.13	0	-115	SLD 5	-115	-25632	-211438	0	-25632	1	Si

Verifiche delle tensioni in esercizio

x	Rara								Quasi permanente								Verifica
	Mela	Comb.	Mdes	σ c	σ c lim.	σ f.	σ f lim.		Mela	Comb.	Mdes	σ c	σ c lim.	σ FRP	σ FRP lim.		

RELAZIONE GEOTECNICA E SULLE FONDAZIONI

x	Rara							Quasi permanente							Verifica
	Mela	Comb.	Mdes	σc	$\sigma c \text{ lim.}$	$\sigma f.$	$\sigma f \text{ lim.}$	Mela	Comb.	Mdes	σc	$\sigma c \text{ lim.}$	σFRP	$\sigma FRP \text{ lim.}$	
0	-2672584	8	-2326530	31.1	149.4	1365.6	3600	-2543210	4	-2210135	29.5	112.1	0	+∞	Si
30	-1997449	8	-1997449	26.7	149.4	1172.4	3600	-1894034	4	-1894034	25.3	112.1	0	+∞	Si
80	-947885	8	-1636342	21.9	149.4	960.5	3600	-887734	4	-1547377	20.7	112.1	0	+∞	Si
115	-269936	8	-913989	12.2	149.4	536.5	3600	-240071	4	-855310	11.4	112.1	0	+∞	Si
160	533613	8	178109	2.4	149.4	104.5	3600	524541	4	178109	2.4	112.1	0	+∞	Si

Verifica di apertura delle fessure

La campata non presenta apertura delle fessure

Verifica di deformabilità

x	Rara				Frequente				Quasi permanente						Verifica
	Elastica+	Elastica-	Fess.+	Fess.-	Elastica+	Elastica-	Fess.+	Fess.-	Elastica+	Elastica-	Fess. viscosa+	Comb.	Fess. viscosa-	Comb.	
30	-0.002	-0.002	-0.002	-0.002	-0.002	-0.002	-0.002	-0.002	-0.002	-0.002	-0.004	1	-0.005	1	9999 Si
59	-0.002	-0.003	-0.002	-0.002	-0.002	-0.002	-0.002	-0.002	-0.002	-0.002	-0.005	1	-0.006	1	9999 Si
80	-0.002	-0.002	-0.002	-0.002	-0.002	-0.002	-0.002	-0.002	-0.002	-0.002	-0.005	1	-0.006	1	9999 Si
115	-0.001	-0.001	-0.001	-0.001	-0.001	-0.001	-0.001	-0.001	-0.001	-0.001	-0.003	1	-0.003	1	9999 Si

Trave a "Fondazione" Pil.A3-Platea B1

Caratteristiche dei materiali

Acciaio: B450C Fyk 4500

Calcestruzzo: C25/30 Rck 300

Elenco delle sezioni

N°	Descrizione	Tipo	Base	Altezza	Copriferro sup.	Copriferro inf.	Copriferro lat.
1	R 90x80	Rettangolare	90	80	4	4	4

Output campate

Campata 1 tra i fili Pil.A3 - Palo43, sezione R 90x80, aste 2249, 2384

Verifiche a flessione in famiglia SLU

x	A sup.	C.b. sup.	A inf.	C.b. inf.	M+ela	Comb.	M+des	M+ult	x/d	M-ela	Comb.	M-des	M-ult	x/d	Verifica
0	25.13	6	25.13	6	2828426	SLU 9	2548930	6635554	0.095	-2741022	SLU 8	-2500347	-6635554	0.095	Si
45	25.13	6	25.13	6	27831	SLU 9	27831	6915255	0.095	-116589	SLU 8	-292927	-6915255	0.095	Si
127	25.13	6	25.13	6	-209043	SLU 1	154985	6915255	0.095	-662440	SLU 16	-980675	-6915255	0.095	Si
161	25.13	6	25.13	6	-379225	SLU 1	133351	6915255	0.095	-987816	SLU 16	-1171853	-6915255	0.095	Si
255	25.13	6	25.13	6						-865347	SLU 16	-865347	-6915255	0.095	Si

Verifiche a flessione in famiglia SLV (domini sostanzialmente elastici)

La struttura oppure parte di essa, è stata dichiarata come non dissipativa pertanto la verifica a pressoflessione, per tutte o solo alcune sezioni, viene eseguita calcolando i momenti resistenti in campo sostanzialmente elastico secondo D.M. 17-01-2018 §7.4.1

Le dilatazioni ultime utilizzate sono le seguenti: $\epsilon c2= 0.002$, $\epsilon yd= 0.0019$

x	A sup.	C.b. sup.	A inf.	C.b. inf.	M+ela	Comb.	M+des	M+ult	x/d	M-ela	Comb.	M-des	M-ult	x/d	Verifica
0	25.13	6	25.13	6	2828426	SLV 9	2548930	6635554	0.225	-2741022	SLV 8	-2500347	-6635554	0.225	Si
45	25.13	6	25.13	6	2372766	SLV 13	2372766	6635554	0.225	-2439653	SLV 4	-2439653	-6635554	0.225	Si
127	25.13	6	25.13	6	1887933	SLV 13	2058067	6635554	0.225	-2636861	SLV 4	-2917170	-6635554	0.225	Si
161	25.13	6	25.13	6	1743500	SLV 13	1884767	6635554	0.225	-2923929	SLV 4	-3142322	-6635554	0.225	Si
255	25.13	6	25.13	6	417114	SLV 13	664431	6635554	0.225	-1531396	SLV 4	-1747322	-6635554	0.225	Si

Verifiche SLD Resistenza a flessione (domini sostanzialmente elastici)

La struttura oppure parte di essa, è stata dichiarata come non dissipativa pertanto la verifica a pressoflessione, per tutte o solo alcune sezioni, viene eseguita calcolando i momenti resistenti in campo sostanzialmente elastico secondo D.M. 17-01-2018 §7.4.1

Le dilatazioni ultime utilizzate sono le seguenti: $\epsilon c2= 0.002$, $\epsilon yd= 0.0019$

x	A sup.	C.b. sup.	A inf.	C.b. inf.	M+ela	Comb.	M+des	M+ult	x/d	M-ela	Comb.	M-des	M-ult	x/d	Verifica
0	25.13	6	25.13	6	1495824	SLD 9	1309222	6635554	0.225	-1408419	SLD 8	-1260639	-6635554	0.225	Si
45	25.13	6	25.13	6	1194642	SLD 9	1194642	6635554	0.225	-1261529	SLD 8	-1305736	-6635554	0.225	Si
127	25.13	6	25.13	6	776079	SLD 13	944843	6635554	0.225	-1525007	SLD 4	-1784093	-6635554	0.225	Si
161	25.13	6	25.13	6	610495	SLD 9	772498	6635554	0.225	-1790924	SLD 8	-1973029	-6635554	0.225	Si
255	25.13	6	25.13	6	-58392	SLD 13	75124	6635554	0.225	-1055890	SLD 4	-1158014	-6635554	0.225	Si

Verifiche a taglio in famiglia SLU

x	A st	A sl	A sag	Vela	Comb.	Vdes	Vrd	Vrcd	Vrsd	Vult	cotgθ	Verifica
0	0	25.13	0	630	SLU 9	630	25632	211438	0	25632	1	Si
0	0	25.13	0	-2579	SLU 8	-2579	-25632	-211438	0	-25632	1	Si
45	0.15	25.13	0	-4656	SLU 16	-4656	-25632	-211438	-38987	-38987	1	Si
127	0.15	25.13	0	-8732	SLU 16	-8732	-25632	-211438	-38987	-38987	1	Si
178	0.15	25.13	0	-11251	SLU 16	-11251	-25632	-211438	-38987	-38987	1	Si
255	0.15	25.13	0	-1445	SLU 9	-1445	-25632	-211438	-38987	-38987	1	Si

Verifiche a taglio in famiglia SLV

x	A st	A sl	A sag	Vela	Comb.	Vdes	Vrd	Vrcd	Vrsd	Vult	cotgθ	Verifica
0	0	25.13	0	15058	SLV 6	15058	25632	211438	0	25632	1	Si
0	0	25.13	0	-16770	SLV 11	-16770	-25632	-211438	0	-25632	1	Si
42	0	25.13	0	13443	SLV 6	13443	25632	211438	0	25632	1	Si
42	0	25.13	0	-18385	SLV 11	-18385	-25632	-211438	0	-25632	1	Si
45	0.15	25.13	0	13348	SLV 6	13348	25632	211438	38987	38987	1	Si
45	0.15	25.13	0	-18480	SLV 11	-18480	-25632	-211438	-38987	-38987	1	Si
127	0.15	25.13	0	10213	SLV 6	10213	25632	211438	38987	38987	1	Si
127	0.15	25.13	0	-21615	SLV 11	-21615	-25632	-211438	-38987	-38987	1	Si
255	0.15	25.13	0	8599	SLV 8	8599	25632	211438	38987	38987	1	Si
255	0.15	25.13	0	-10144	SLV 9	-10144	-25632	-211438	-38987	-38987	1	Si

Verifiche SLD Resistenza a taglio

x	A st	A sl	A sag	Vela	Comb.	Vdes	Vrd	Vrcd	Vrsd	Vult	cotgθ	Verifica
0	0	25.13	0	7621	SLD 6	7621	25632	211438	0	25632	1	Si
0	0	25.13	0	-9333	SLD 11	-9333	-25632	-211438	0	-25632	1	Si
42	0	25.13	0	6006	SLD 6	6006	25632	211438	0	25632	1	Si
42	0	25.13	0	-10948	SLD 11	-10948	-25632	-211438	0	-25632	1	Si
45	0.15	25.13	0	5911	SLD 6	5911	25632	211438	38987	38987	1	Si
45	0.15	25.13	0	-11043	SLD 11	-11043	-25632	-211438	-38987	-38987	1	Si
127	0.15	25.13	0	2776	SLD 6	2776	25632	211438	38987	38987	1	Si
127	0.15	25.13	0	-14178	SLD 11	-14178	-25632	-211438	-38987	-38987	1	Si

RELAZIONE GEOTECNICA E SULLE FONDAZIONI

x	A st	A sl	A sag	Vela	Comb.	Vdes	Vrd	Vrcd	Vrsd	Vult	cotgθ	Verifica
255	0.15	25.13	0	4053	SLD 8	4053	25632	211438	38987	38987	1	Si
255	0.15	25.13	0	-5599	SLD 9	-5599	-25632	-211438	-38987	-38987	1	Si

Verifiche delle tensioni in esercizio

x	Rara							Quasi permanente							Verifica
	Mela	Comb.	Mdes	σ c	σ c lim.	σ f.	σ f lim.	Mela	Comb.	Mdes	σ c	σ c lim.	σ FRP	σ FRP lim.	
0	49956	6	42110	0.6	149.4	24.7	3600	46090	3	38243	0.5	112.1	0	$+\infty$	Si
45	21408	1	21408	0.3	149.4	12.6	3600	21408	1	21408	0.3	112.1	0	$+\infty$	Si
45	-70590	8	-200714	2.7	149.4	117.8	3600	-33443	4	-140201	1.9	112.1	0	$+\infty$	Si
127	-469499	8	-703834	9.4	149.4	413.1	3600	-374464	4	-585432	7.8	112.1	0	$+\infty$	Si
255	-632914	8	-632914	8.5	149.4	371.5	3600	-557141	4	-557141	7.4	112.1	0	$+\infty$	Si

Verifica di apertura delle fessure

La campata non presenta apertura delle fessure

Verifica di deformabilità

x	Rara				Frequente				Quasi permanente						Verifica
	Elastica+	Elastica-	Fess.+	Fess.-	Elastica+	Elastica-	Fess.+	Fess.-	Elastica+	Elastica-	Fess. viscosa+	Comb.	Fess. viscosa-	Comb.	l/f
45	0	-0.001	0	-0.001	0	-0.001	0	-0.001	0	-0.001	-0.001	1	-0.002	1	9999
127	-0.001	-0.003	-0.001	-0.003	-0.001	-0.003	-0.001	-0.003	-0.001	-0.002	-0.003	1	-0.006	1	9999
153	-0.002	-0.003	-0.001	-0.003	-0.002	-0.003	-0.001	-0.002	-0.002	-0.003	-0.004	1	-0.006	1	9999

Campata 2 tra i fili Palo43 - Pil.A4, sezione R 90x80, asta 2388

Verifiche a flessione in famiglia SLU

x	A sup.	C.b. sup.	A inf.	C.b. inf.	M+ela	Comb.	M+des	M+ult	x/d	M-ela	Comb.	M-des	M-ult	x/d	Verifica
0	25.13	6	25.13	6						-633186	SLV 16	-633186	-6915255	0.095	Si
4	25.13	6	25.13	6						-606861	SLV 16	-633186	-6915255	0.095	Si
22	25.13	6	25.13	6						-506300	SLV 16	-633186	-6915255	0.095	Si
34	25.13	6	25.13	6						-447299	SLV 16	-447299	-6915255	0.095	Si
67	25.13	6	25.13	6						-288066	SLV 16	-288066	-6915255	0.095	Si

Verifiche a flessione in famiglia SLV (domini sostanzialmente elastici)

La struttura oppure parte di essa, è stata dichiarata come non dissipativa pertanto la verifica a pressoflessione, per tutte o solo alcune sezioni, viene eseguita calcolando i momenti resistenti in campo sostanzialmente elastico secondo D.M. 17-01-2018 §7.4.1

Le dilatazioni ultime utilizzate sono le seguenti: $\epsilon_{c2} = 0.002$, $\epsilon_{yd} = 0.0019$

x	A sup.	C.b. sup.	A inf.	C.b. inf.	M+ela	Comb.	M+des	M+ult	x/d	M-ela	Comb.	M-des	M-ult	x/d	Verifica
0	25.13	6	25.13	6	462134	SLV 9	685052	6635554	0.225	-1262983	SLV 8	-1305693	-6635554	0.225	Si
22	25.13	6	25.13	6	685052	SLV 9	685052	6635554	0.225	-1305693	SLV 8	-1305693	-6635554	0.225	Si
34	25.13	6	25.13	6	793333	SLV 9	781750	6635554	0.225	-1330704	SLV 8	-1327536	-6635554	0.225	Si
67	25.13	6	25.13	6	1105170	SLV 9	906075	6635554	0.225	-1420069	SLV 8	-1355620	-6635554	0.225	Si

Verifiche SLD Resistenza a flessione (domini sostanzialmente elastici)

La struttura oppure parte di essa, è stata dichiarata come non dissipativa pertanto la verifica a pressoflessione, per tutte o solo alcune sezioni, viene eseguita calcolando i momenti resistenti in campo sostanzialmente elastico secondo D.M. 17-01-2018 §7.4.1

Le dilatazioni ultime utilizzate sono le seguenti: $\epsilon_{c2} = 0.002$, $\epsilon_{yd} = 0.0019$

x	A sup.	C.b. sup.	A inf.	C.b. inf.	M+ela	Comb.	M+des	M+ult	x/d	M-ela	Comb.	M-des	M-ult	x/d	Verifica
0	25.13	6	25.13	6	51319	SLD 9	211624	6635554	0.225	-852168	SLD 8	-852168	-6635554	0.225	Si
16	25.13	6	25.13	6	164452	SLD 9	211624	6635554	0.225	-837242	SLD 8	-852168	-6635554	0.225	Si
22	25.13	6	25.13	6	211624	SLD 9	211624	6635554	0.225	-832265	SLD 8	-852168	-6635554	0.225	Si
34	25.13	6	25.13	6	288480	SLD 9	280349	6635554	0.225	-825851	SLD 8	-825851	-6635554	0.225	Si
67	25.13	6	25.13	6	505713	SLD 9	368710	6635554	0.225	-820612	SLD 8	-818255	-6635554	0.225	Si

Verifiche a taglio in famiglia SLU

x	A st	A sl	A sag	Vela	Comb.	Vdes	Vrd	Vrcd	Vrsd	Vult	cotgθ	Verifica
0	0.15	25.13	0	5903	SLV 16	5903	25632	211438	38987	38987	1	Si
22	0.14	25.13	0	5376	SLV 16	5376	25632	211438	36388	36388	1	Si
25	0	25.13	0	5323	SLV 16	5323	25632	211438	0	25632	1	Si
34	0	25.13	0	5113	SLV 16	5113	25632	211438	0	25632	1	Si
67	0	25.13	0	4323	SLV 16	4323	25632	211438	0	25632	1	Si

Verifiche a taglio in famiglia SLV

x	A st	A sl	A sag	Vela	Comb.	Vdes	Vrd	Vrcd	Vrsd	Vult	cotgθ	Verifica
0	0.15	25.13	0	10228	SLV 9	10228	25632	211438	38987	38987	1	Si
0	0.15	25.13	0	-1814	SLV 8	-1814	-25632	-211438	-38987	-38987	1	Si
22	0.14	25.13	0	9823	SLV 9	9823	25632	211438	36388	36388	1	Si
22	0.14	25.13	0	-2219	SLV 8	-2219	-25632	-211438	-36388	-36388	1	Si
25	0	25.13	0	9783	SLV 9	9783	25632	211438	0	25632	1	Si
25	0	25.13	0	-2259	SLV 8	-2259	-25632	-211438	0	-25632	1	Si
34	0	25.13	0	9621	SLV 9	9621	25632	211438	0	25632	1	Si
34	0	25.13	0	-2421	SLV 8	-2421	-25632	-211438	0	-25632	1	Si
67	0	25.13	0	9013	SLV 9	9013	25632	211438	0	25632	1	Si
67	0	25.13	0	-3029	SLV 8	-3029	-25632	-211438	0	-25632	1	Si

Verifiche SLD Resistenza a taglio

x	A st	A sl	A sag	Vela	Comb.	Vdes	Vrd	Vrcd	Vrsd	Vult	cotgθ	Verifica
0	0.15	25.13	0	7387	SLD 9	7387	25632	211438	38987	38987	1	Si
22	0.14	25.13	0	6982	SLD 9	6982	25632	211438	36388	36388	1	Si
25	0	25.13	0	6941	SLD 9	6941	25632	211438	0	25632	1	Si
34	0	25.13	0	6779	SLD 9	6779	25632	211438	0	25632	1	Si
67	0	25.13	0	6172	SLD 9	6172	25632	211438	0	25632	1	Si
67	0	25.13	0	-187	SLD 8	-187	-25632	-211438	0	-25632	1	Si

Verifiche delle tensioni in esercizio

x	Rara							Quasi permanente							Verifica
	Mela	Comb.	Mdes	σ c	σ c lim.	σ f.	σ f lim.	Mela	Comb.	Mdes	σ c	σ c lim.	σ FRP	σ FRP lim.	
0	-461065	8	-461065	6.2	149.4	270.6	3600	-400425	4	-400425	5.3	112.1	0	$+\infty$	Si
22	-365711	8	-461065	6.2	149.4	270.6	3600	-310320	4	-400425	5.3	112.1	0	$+\infty$	Si
34	-321451	8	-321451	4.3	149.4	188.7	3600	-268686	4	-268686	3.6	112.1	0	$+\infty$	Si
67	-202339	8	-202339	2.7	149.4	118.8	3600	-157450	4	-157450	2.1	112.1	0	$+\infty$	Si

Verifica di apertura delle fessure

La campata non presenta apertura delle fessure

Verifica di deformabilità

x	Rara				Frequente				Quasi permanente						Verifica
---	------	--	--	--	-----------	--	--	--	------------------	--	--	--	--	--	----------

RELAZIONE GEOTECNICA E SULLE FONDAZIONI

	Elastica+	Elastica-	Fess.+	Fess.-	Elastica+	Elastica-	Fess.+	Fess.-	Elastica+	Elastica-	Fess. viscosa+	Comb.	Fess. viscosa-	Comb.	I/f	
22	0	0	0	0	0	0	0	0	0	0	0	1	0	1	9999	Si
34	0	0	0	0	0	0	0	0	0	0	0	1	-0.001	1	9999	Si
49	0	0	0	0	0	0	0	0	0	0	0	1	-0.001	1	9999	Si
67	0	0	0	0	0	0	0	0	0	0	0	1	-0.001	1	9999	Si

Campata 3 tra i fili Pil.A4 - ?, sezione R 90x80, aste 2387, 2386

Verifiche a flessione in famiglia SLU

x	A sup.	C.b. sup.	A inf.	C.b. inf.	M+ela	Comb.	M+des	M+ult	x/d	M-ela	Comb.	M-des	M-ult	x/d	Verifica
0	25.13	6	25.13	6	1163	SLU 9	1163	6915255	0.095	-157533	SLU 8	-86885	-6915255	0.095	Si
34	25.13	6	25.13	6	21960	SLU 9	21960	6915255	0.095	-131940	SLU 8	-77963	-6915255	0.095	Si
45	25.13	6	25.13	6	66140	SLU 9	75792	6915255	0.095	-71024	SLU 8	-71024	-6915255	0.095	Si
68	25.13	6	25.13	6	75792	SLU 9	75792	6915255	0.095	-59719	SLU 8	-71024	-6915255	0.095	Si

Verifiche a flessione in famiglia SLV (domini sostanzialmente elastici)

La struttura oppure parte di essa, è stata dichiarata come non dissipativa pertanto la verifica a pressoflessione, per tutte o solo alcune sezioni, viene eseguita calcolando i momenti resistenti in campo sostanzialmente elastico secondo D.M. 17-01-2018 §7.4.1

Le dilatazioni ultime utilizzate sono le seguenti: $\epsilon_{c2} = 0.002$, $\epsilon_{yd} = 0.0019$

x	A sup.	C.b. sup.	A inf.	C.b. inf.	M+ela	Comb.	M+des	M+ult	x/d	M-ela	Comb.	M-des	M-ult	x/d	Verifica
0	25.13	6	25.13	6	1485849	SLV 9	1485849	6635554	0.225	-1620393	SLV 8	-1620393	-6635554	0.225	Si
34	25.13	6	25.13	6	1635108	SLV 9	1635108	6635554	0.225	-1730310	SLV 8	-1730310	-6635554	0.225	Si
45	25.13	6	25.13	6	2027485	SLV 9	2227530	6635554	0.225	-2034928	SLV 8	-2218045	-6635554	0.225	Si
68	25.13	6	25.13	6	2227530	SLV 9	2227530	6635554	0.225	-2218045	SLV 8	-2218045	-6635554	0.225	Si

Verifiche SLD Resistenza a flessione (domini sostanzialmente elastici)

La struttura oppure parte di essa, è stata dichiarata come non dissipativa pertanto la verifica a pressoflessione, per tutte o solo alcune sezioni, viene eseguita calcolando i momenti resistenti in campo sostanzialmente elastico secondo D.M. 17-01-2018 §7.4.1

Le dilatazioni ultime utilizzate sono le seguenti: $\epsilon_{c2} = 0.002$, $\epsilon_{yd} = 0.0019$

x	A sup.	C.b. sup.	A inf.	C.b. inf.	M+ela	Comb.	M+des	M+ult	x/d	M-ela	Comb.	M-des	M-ult	x/d	Verifica
0	25.13	6	25.13	6	750551	SLD 9	750551	6635554	0.225	-885094	SLD 8	-885094	-6635554	0.225	Si
34	25.13	6	25.13	6	839924	SLD 9	839924	6635554	0.225	-935126	SLD 8	-935126	-6635554	0.225	Si
45	25.13	6	25.13	6	1075239	SLD 9	1187496	6635554	0.225	-1082681	SLD 8	-1178011	-6635554	0.225	Si
68	25.13	6	25.13	6	1187496	SLD 9	1187496	6635554	0.225	-1178011	SLD 8	-1178011	-6635554	0.225	Si

Verifiche a taglio in famiglia SLU

x	A st	A sl	A sag	Vela	Comb.	Vdes	Vrd	Vrcd	Vrsd	Vult	cotgθ	Verifica
0	0	25.13	0	1295	SLU 16	1295	25632	211438	0	25632	1	Si
34	0	25.13	0	506	SLU 16	506	25632	211438	0	25632	1	Si
45	0.14	25.13	0	865	SLU 16	865	25632	211438	36388	36388	1	Si
68	0.14	25.13	0	338	SLU 16	338	25632	211438	36388	36388	1	Si

Verifiche a taglio in famiglia SLV

x	A st	A sl	A sag	Vela	Comb.	Vdes	Vrd	Vrcd	Vrsd	Vult	cotgθ	Verifica
0	0	25.13	0	5158	SLV 5	5158	25632	211438	0	25632	1	Si
0	0	25.13	0	-3385	SLV 12	-3385	-25632	-211438	0	-25632	1	Si
34	0	25.13	0	4550	SLV 5	4550	25632	211438	0	25632	1	Si
34	0	25.13	0	-3992	SLV 12	-3992	-25632	-211438	0	-25632	1	Si
36	0	25.13	0	10825	SLV 5	10825	25632	211438	0	25632	1	Si
36	0	25.13	0	-9344	SLV 12	-9344	-25632	-211438	0	-25632	1	Si
45	0.14	25.13	0	10663	SLV 5	10663	25632	211438	36388	36388	1	Si
45	0.14	25.13	0	-9506	SLV 12	-9506	-25632	-211438	-36388	-36388	1	Si
68	0.14	25.13	0	10258	SLV 5	10258	25632	211438	36388	36388	1	Si
68	0.14	25.13	0	-9911	SLV 12	-9911	-25632	-211438	-36388	-36388	1	Si

Verifiche SLD Resistenza a taglio

x	A st	A sl	A sag	Vela	Comb.	Vdes	Vrd	Vrcd	Vrsd	Vult	cotgθ	Verifica
0	0	25.13	0	3167	SLD 5	3167	25632	211438	0	25632	1	Si
0	0	25.13	0	-1394	SLD 12	-1394	-25632	-211438	0	-25632	1	Si
34	0	25.13	0	2560	SLD 5	2560	25632	211438	0	25632	1	Si
34	0	25.13	0	-2002	SLD 12	-2002	-25632	-211438	0	-25632	1	Si
36	0	25.13	0	6128	SLD 5	6128	25632	211438	0	25632	1	Si
36	0	25.13	0	-4647	SLD 12	-4647	-25632	-211438	0	-25632	1	Si
45	0.14	25.13	0	5966	SLD 5	5966	25632	211438	36388	36388	1	Si
45	0.14	25.13	0	-4809	SLD 12	-4809	-25632	-211438	-36388	-36388	1	Si
68	0.14	25.13	0	5561	SLD 5	5561	25632	211438	36388	36388	1	Si
68	0.14	25.13	0	-5214	SLD 12	-5214	-25632	-211438	-36388	-36388	1	Si

Verifiche delle tensioni in esercizio

x	Rara							Quasi permanente							Verifica
	Mela	Comb.	Mdes	σ c	σ c lim.	σ f.	σ f lim.	Mela	Comb.	Mdes	σ c	σ c lim.	σ FRP	σ FRP lim.	
0	894	1	894	0	149.4	0.5	3600	894	1	894	0	112.1	0	+∞	Si
0	-104724	8	-44958	0.6	149.4	26.4	3600	-67272	4	-16741	0.2	112.1	0	+∞	Si
34	16892	1	16892	0.2	149.4	9.9	3600	16892	1	16892	0.2	112.1	0	+∞	Si
34	-82329	8	-36763	0.5	149.4	21.6	3600	-47601	4	-9417	0.1	112.1	0	+∞	Si
45	50877	1	58301	0.8	149.4	34.2	3600	50877	1	58301	0.8	112.1	0	+∞	Si
45	-30390	8	-30390	0.4	149.4	17.8	3600	-3721	4	-3721	0	112.1	0	+∞	Si
68	58301	1	58301	0.8	149.4	34.2	3600	58301	1	58301	0.8	112.1	0	+∞	Si
68	-20379	8	-30390	0.4	149.4	17.8	3600								Si

Verifica di apertura delle fessure

La campata non presenta apertura delle fessure

Verifica di deformabilità

x	Rara				Frequente				Quasi permanente						Verifica
	Elastica+	Elastica-	Fess.+	Fess.-	Elastica+	Elastica-	Fess.+	Fess.-	Elastica+	Elastica-	Fess. viscosa+	Comb.	Fess. viscosa-	Comb.	I/f
0	0	0	0	0	0	0	0	0	0	0	0	1	-0.001	1	9999
34	0	0	0	0	0	0	0	0	0	0	0	1	0	1	9999
45	0	0	0	0	0	0	0	0	0	0	0	1	0	1	9999

Campata 4 tra i fili ? - Palo44, sezione R 90x80, asta 2385

Verifiche a flessione in famiglia SLU

x	A sup.	C.b. sup.	A inf.	C.b. inf.	M+ela	Comb.	M+des	M+ult	x/d	M-ela	Comb.	M-des	M-ult	x/d	Verifica
0	25.13	6	25.13	6						-185697	SLU 16	-334626	-6915255	0.095	Si
12	25.13	6	25.13	6	-72059	SLU 1	1027	6915255	0.095	-236373	SLU 16	-393107	-6915255	0.095	Si
22	25.13	6	25.13	6	-102858	SLU 1	2962	6915255	0.095	-283479	SLU 16	-393107	-6915255	0.095	Si
45	25.13	6	25.13	6						-393107	SLU 16	-393107	-6915255	0.095	Si

Verifiche a flessione in famiglia SLV (domini sostanzialmente elastici)

La struttura oppure parte di essa, è stata dichiarata come non dissipativa pertanto la verifica a pressoflessione, per tutte o solo alcune sezioni, viene eseguita calcolando i momenti resistenti in campo sostanzialmente elastico secondo D.M. 17-01-2018 §7.4.1

Le dilatazioni ultime utilizzate sono le seguenti: $\epsilon_{c2} = 0.002$, $\epsilon_{yd} = 0.0019$

x	A sup.	C.b. sup.	A inf.	C.b. inf.	M+ela	Comb.	M+des	M+ult	x/d	M-ela	Comb.	M-des	M-ult	x/d	Verifica
0	25.13	6	25.13	6	1792957	SLV 9	1792957	6635554	0.225	-1991449	SLV 8	-1991449	-6635554	0.225	Si
22	25.13	6	25.13	6	1449865	SLV 9	1792957	6635554	0.225	-1787545	SLV 8	-1991449	-6635554	0.225	Si
45	25.13	6	25.13	6	1104085	SLV 9	1615149	6635554	0.225	-1599180	SLV 8	-1883751	-6635554	0.225	Si

Verifiche SLD Resistenza a flessione (domini sostanzialmente elastici)

La struttura oppure parte di essa, è stata dichiarata come non dissipativa pertanto la verifica a pressoflessione, per tutte o solo alcune sezioni, viene eseguita calcolando i momenti resistenti in campo sostanzialmente elastico secondo D.M. 17-01-2018 §7.4.1

Le dilatazioni ultime utilizzate sono le seguenti: $\epsilon_{c2} = 0.002$, $\epsilon_{yd} = 0.0019$

x	A sup.	C.b. sup.	A inf.	C.b. inf.	M+ela	Comb.	M+des	M+ult	x/d	M-ela	Comb.	M-des	M-ult	x/d	Verifica
0	25.13	6	25.13	6	913278	SLD 9	913278	6635554	0.225	-1111770	SLD 8	-1111770	-6635554	0.225	Si
22	25.13	6	25.13	6	698112	SLD 9	913278	6635554	0.225	-1035792	SLD 8	-1111770	-6635554	0.225	Si
45	25.13	6	25.13	6	477043	SLD 9	802260	6635554	0.225	-972138	SLD 8	-1070862	-6635554	0.225	Si

Verifiche a taglio in famiglia SLU

x	A st	A sl	A sag	Vela	Comb.	Vdes	Vrd	Vrcd	Vrsd	Vult	cotgθ	Verifica
0	0.14	25.13	0	-4083	SLU 16	-4083	-25632	-211438	-36388	-36388	1	Si
22	0.14	25.13	0	-4609	SLU 16	-4609	-25632	-211438	-36388	-36388	1	Si
43	0.14	25.13	0	-5100	SLU 16	-5100	-25632	-211438	-36388	-36388	1	Si
45	0.157	25.13	0	-5136	SLU 16	-5136	-25632	-211438	-40936	-40936	1	Si

Verifiche a taglio in famiglia SLV

x	A st	A sl	A sag	Vela	Comb.	Vdes	Vrd	Vrcd	Vrsd	Vult	cotgθ	Verifica
0	0.14	25.13	0	9775	SLV 8	9775	25632	211438	36388	36388	1	Si
0	0.14	25.13	0	-15556	SLV 9	-15556	-25632	-211438	-36388	-36388	1	Si
22	0.14	25.13	0	9370	SLV 8	9370	25632	211438	36388	36388	1	Si
22	0.14	25.13	0	-15961	SLV 9	-15961	-25632	-211438	-36388	-36388	1	Si
43	0.14	25.13	0	8992	SLV 8	8992	25632	211438	36388	36388	1	Si
43	0.14	25.13	0	-16339	SLV 9	-16339	-25632	-211438	-36388	-36388	1	Si
45	0.157	25.13	0	8965	SLV 8	8965	25632	211438	40936	40936	1	Si
45	0.157	25.13	0	-16366	SLV 9	-16366	-25632	-211438	-40936	-40936	1	Si

Verifiche SLD Resistenza a taglio

x	A st	A sl	A sag	Vela	Comb.	Vdes	Vrd	Vrcd	Vrsd	Vult	cotgθ	Verifica
0	0.14	25.13	0	3830	SLD 8	3830	25632	211438	36388	36388	1	Si
0	0.14	25.13	0	-9611	SLD 9	-9611	-25632	-211438	-36388	-36388	1	Si
22	0.14	25.13	0	3425	SLD 8	3425	25632	211438	36388	36388	1	Si
22	0.14	25.13	0	-10016	SLD 9	-10016	-25632	-211438	-36388	-36388	1	Si
43	0.14	25.13	0	3047	SLD 8	3047	25632	211438	36388	36388	1	Si
43	0.14	25.13	0	-10394	SLD 9	-10394	-25632	-211438	-36388	-36388	1	Si
45	0.157	25.13	0	3020	SLD 8	3020	25632	211438	40936	40936	1	Si
45	0.157	25.13	0	-10421	SLD 9	-10421	-25632	-211438	-40936	-40936	1	Si

Verifiche delle tensioni in esercizio

x	Rara							Quasi permanente							Verifica
	Mela	Comb.	Mdes	σ c	σ c lim.	σ f.	σ f lim.	Mela	Comb.	Mdes	σ c	σ c lim.	σ FRP	σ FRP lim.	
0	-129037	8	-241299	3.2	149.4	141.6	3600	-99246	4	-205486	2.7	112.1	0	+∞	Si
22	-202700	8	-285476	3.8	149.4	167.6	3600	-168840	4	-247548	3.3	112.1	0	+∞	Si
45	-285476	8	-285476	3.8	149.4	167.6	3600	-247548	4	-247548	3.3	112.1	0	+∞	Si

Verifica di apertura delle fessure

La campata non presenta apertura delle fessure

Verifica di deformabilità

x	Rara				Frequente				Quasi permanente							Verifica
	Elastica+	Elastica-	Fess.+	Fess.-	Elastica+	Elastica-	Fess.+	Fess.-	Elastica+	Elastica-	Fess. viscosa+	Comb.	Fess. viscosa-	Comb.	l/f	
22	0	0	0	0	0	0	0	0	0	0	0	1	0	1	9999	Si
24	0	0	0	0	0	0	0	0	0	0	0	1	0	1	9999	Si

Campata 5 tra i fili Palo44 - Palo48, sezione R 90x80, aste 2398, 2397

Verifiche a flessione in famiglia SLU

x	A sup.	C.b. sup.	A inf.	C.b. inf.	M+ela	Comb.	M+des	M+ult	x/d	M-ela	Comb.	M-des	M-ult	x/d	Verifica
0	25.13	6	25.13	6						-498462	SLU 16	-511553	-6915255	0.095	Si
45	25.13	6	25.13	6	-255787	SLU 1	7239	6915255	0.095	-522300	SLU 16	-606670	-6915255	0.095	Si
60	25.13	6	25.13	6						-606670	SLU 16	-606670	-6915255	0.095	Si
90	25.13	6	25.13	6						-654933	SLU 16	-625537	-6915255	0.095	Si

Verifiche a flessione in famiglia SLV (domini sostanzialmente elastici)

La struttura oppure parte di essa, è stata dichiarata come non dissipativa pertanto la verifica a pressoflessione, per tutte o solo alcune sezioni, viene eseguita calcolando i momenti resistenti in campo sostanzialmente elastico secondo D.M. 17-01-2018 §7.4.1

Le dilatazioni ultime utilizzate sono le seguenti: $\epsilon_{c2} = 0.002$, $\epsilon_{yd} = 0.0019$

x	A sup.	C.b. sup.	A inf.	C.b. inf.	M+ela	Comb.	M+des	M+ult	x/d	M-ela	Comb.	M-des	M-ult	x/d	Verifica
0	25.13	6	25.13	6	744985	SLV 9	744985	6635554	0.225	-1382313	SLV 8	-1382313	-6635554	0.225	Si
45	25.13	6	25.13	6	476107	SLV 9	678072	6635554	0.225	-1148789	SLV 8	-1317593	-6635554	0.225	Si
60	25.13	6	25.13	6	-90794	SLV 5	589151	6635554	0.225	-709669	SLV 12	-1238675	-6635554	0.225	Si
90	25.13	6	25.13	6						-712463	SLV 9	-541233	-6635554	0.225	Si

Verifiche SLD Resistenza a flessione (domini sostanzialmente elastici)

La struttura oppure parte di essa, è stata dichiarata come non dissipativa pertanto la verifica a pressoflessione, per tutte o solo alcune sezioni, viene eseguita calcolando i momenti resistenti in campo sostanzialmente elastico secondo D.M. 17-01-2018 §7.4.1

Le dilatazioni ultime utilizzate sono le seguenti: $\epsilon_{c2} = 0.002$, $\epsilon_{yd} = 0.0019$

x	A sup.	C.b. sup.	A inf.	C.b. inf.	M+ela	Comb.	M+des	M+ult	x/d	M-ela	Comb.	M-des	M-ult	x/d	Verifica
0	25.13	6	25.13	6	248323	SLD 9	248323	6635554	0.225	-885650	SLD 8	-885650	-6635554	0.225	Si
45	25.13	6	25.13	6	97243	SLD 9	212297	6635554	0.225	-769924	SLD 8	-851818	-6635554	0.225	Si
60	25.13	6	25.13	6	-236806	SLD 5	162738	6635554	0.225	-563657	SLD 12	-812261	-6635554	0.225	Si
90	25.13	6	25.13	6						-578435	SLD 9	-489806	-6635554	0.225	Si

Verifiche a taglio in famiglia SLU

x	A st	A sl	A sag	Vela	Comb.	Vdes	Vrd	Vrcd	Vrsd	Vult	cotgθ	Verifica
0	0.157	25.13	0	26	SLU 14	26	25632	211438	40936	40936	1	Si
0	0.157	25.13	0	-10	SLU 4	-10	-25632	-211438	-40936	-40936	1	Si
45	0.157	25.13	0	-1059	SLU 12	-1059	-25632	-211438	-40936	-40936	1	Si
60	0.157	25.13	0	-1258	SLU 16	-1258	-25632	-211438	-40936	-40936	1	Si

RELAZIONE GEOTECNICA E SULLE FONDAZIONI

x	A st	A sl	A sag	Vela	Comb.	Vdes	Vrd	Vrcd	Vrsd	Vult	cotgθ	Verifica
90	0	25.13	0	-1960	SLV 16	-1960	-25632	-211438	0	-25632	1	Si

Verifiche a taglio in famiglia SLV

x	A st	A sl	A sag	Vela	Comb.	Vdes	Vrd	Vrcd	Vrsd	Vult	cotgθ	Verifica
0	0.157	25.13	0	5828	SLV 8	5828	25632	211438	40936	40936	1	Si
0	0.157	25.13	0	-5803	SLV 9	-5803	-25632	-211438	-40936	-40936	1	Si
45	0.157	25.13	0	5018	SLV 8	5018	25632	211438	40936	40936	1	Si
45	0.157	25.13	0	-6613	SLV 9	-6613	-25632	-211438	-40936	-40936	1	Si
60	0.157	25.13	0	5746	SLV 8	5746	25632	211438	40936	40936	1	Si
60	0.157	25.13	0	-7634	SLV 9	-7634	-25632	-211438	-40936	-40936	1	Si
90	0	25.13	0	5206	SLV 8	5206	25632	211438	0	25632	1	Si
90	0	25.13	0	-8174	SLV 9	-8174	-25632	-211438	0	-25632	1	Si

Verifiche SLD Resistenza a taglio

x	A st	A sl	A sag	Vela	Comb.	Vdes	Vrd	Vrcd	Vrsd	Vult	cotgθ	Verifica
0	0.157	25.13	0	3090	SLD 8	3090	25632	211438	40936	40936	1	Si
0	0.157	25.13	0	-3066	SLD 9	-3066	-25632	-211438	-40936	-40936	1	Si
45	0.157	25.13	0	2280	SLD 8	2280	25632	211438	40936	40936	1	Si
45	0.157	25.13	0	-3876	SLD 9	-3876	-25632	-211438	-40936	-40936	1	Si
60	0.157	25.13	0	2596	SLD 8	2596	25632	211438	40936	40936	1	Si
60	0.157	25.13	0	-4485	SLD 9	-4485	-25632	-211438	-40936	-40936	1	Si
90	0	25.13	0	2056	SLD 8	2056	25632	211438	0	25632	1	Si
90	0	25.13	0	-5025	SLD 9	-5025	-25632	-211438	0	-25632	1	Si

Verifiche delle tensioni in esercizio

x	Rara							Quasi permanente							Verifica
	Mela	Comb.	Mdes	σ c	σ c lim.	σ f.	σ f lim.	Mela	Comb.	Mdes	σ c	σ c lim.	σ FRP	σ FRP lim.	
0	-364078	8	-374067	5	149.4	219.6	3600	-318664	4	-328246	4.4	112.1	0	+∞	Si
45	-382305	8	-447054	6	149.4	262.4	3600	-336341	4	-400232	5.3	112.1	0	+∞	Si
60	-447054	8	-447054	6	149.4	262.4	3600	-400232	4	-400232	5.3	112.1	0	+∞	Si
90	-484010	8	-461482	6.2	149.4	270.9	3600	-436658	4	-414395	5.5	112.1	0	+∞	Si

Verifica di apertura delle fessure

La campata non presenta apertura delle fessure

Verifica di deformabilità

x	Rara				Frequente				Quasi permanente						Verifica
	Elastica+	Elastica-	Fess.+	Fess.-	Elastica+	Elastica-	Fess.+	Fess.-	Elastica+	Elastica-	Fess. viscosa+	Comb.	Fess. viscosa-	Comb.	I/f
45	0	0	0	0	0	0	0	0	0	0	-0.001	1	-0.001	1	9999
48	0	0	0	0	0	0	0	0	0	0	-0.001	1	-0.001	1	9999
60	0	0	0	0	0	0	0	0	0	0	-0.001	1	-0.001	1	9999

Campata 6 tra i fili Palo48 - 23, sezione R 90x80, asta 1602

Verifiche a flessione in famiglia SLU

x	A sup.	C.b. sup.	A inf.	C.b. inf.	M+ela	Comb.	M+des	M+ult	x/d	M-ela	Comb.	M-des	M-ult	x/d	Verifica
0	25.13	6	25.13	6						-477440	SLV 16	-390581	-6915255	0.095	Si
30	25.13	6	25.13	6						-314245	SLV 16	-314245	-6915255	0.095	Si
35	25.13	6	25.13	6						-289084	SLV 16	-314245	-6915255	0.095	Si
70	25.13	6	25.13	6						-129394	SLV 16	-280678	-6915255	0.095	Si

Verifiche a flessione in famiglia SLV (domini sostanzialmente elastici)

La struttura oppure parte di essa, è stata dichiarata come non dissipativa pertanto la verifica a pressoflessione, per tutte o solo alcune sezioni, viene eseguita calcolando i momenti resistenti in campo sostanzialmente elastico secondo D.M. 17-01-2018 §7.4.1

Le dilatazioni ultime utilizzate sono le seguenti: $\epsilon_{c2} = 0.002$, $\epsilon_{yd} = 0.0019$

x	A sup.	C.b. sup.	A inf.	C.b. inf.	M+ela	Comb.	M+des	M+ult	x/d	M-ela	Comb.	M-des	M-ult	x/d	Verifica
0	25.13	6	25.13	6						-626551	SLV 2	-517351	-6635554	0.225	Si
30	25.13	6	25.13	6	3600	SLV 15	3605	6635554	0.225	-415923	SLV 2	-415923	-6635554	0.225	Si
35	25.13	6	25.13	6	3373	SLV 15	3605	6635554	0.225	-382411	SLV 2	-415923	-6635554	0.225	Si
70	25.13	6	25.13	6	-10356	SLV 15	3185	6635554	0.225	-160975	SLV 2	-371134	-6635554	0.225	Si

Verifiche SLD Resistenza a flessione (domini sostanzialmente elastici)

La struttura oppure parte di essa, è stata dichiarata come non dissipativa pertanto la verifica a pressoflessione, per tutte o solo alcune sezioni, viene eseguita calcolando i momenti resistenti in campo sostanzialmente elastico secondo D.M. 17-01-2018 §7.4.1

Le dilatazioni ultime utilizzate sono le seguenti: $\epsilon_{c2} = 0.002$, $\epsilon_{yd} = 0.0019$

x	A sup.	C.b. sup.	A inf.	C.b. inf.	M+ela	Comb.	M+des	M+ult	x/d	M-ela	Comb.	M-des	M-ult	x/d	Verifica
0	25.13	6	25.13	6						-473552	SLD 2	-389221	-6635554	0.225	Si
30	25.13	6	25.13	6						-312813	SLD 2	-312813	-6635554	0.225	Si
35	25.13	6	25.13	6						-287604	SLD 2	-312813	-6635554	0.225	Si
70	25.13	6	25.13	6						-124038	SLD 2	-279149	-6635554	0.225	Si

Verifiche a taglio in famiglia SLU

x	A st	A sl	A sag	Vela	Comb.	Vdes	Vrd	Vrcd	Vrsd	Vult	cotgθ	Verifica
0	0	25.13	0	5791	SLV 16	5791	25632	211438	0	25632	1	Si
30	0.157	25.13	0	5089	SLV 16	5089	25632	211438	40936	40936	1	Si
35	0.157	25.13	0	4972	SLV 16	4972	25632	211438	40936	40936	1	Si
70	0.157	25.13	0	4153	SLV 16	4153	25632	211438	40936	40936	1	Si

Verifiche a taglio in famiglia SLV

x	A st	A sl	A sag	Vela	Comb.	Vdes	Vrd	Vrcd	Vrsd	Vult	cotgθ	Verifica
0	0	25.13	0	7302	SLV 2	7302	25632	211438	0	25632	1	Si
30	0.157	25.13	0	6762	SLV 2	6762	25632	211438	40936	40936	1	Si
30	0.157	25.13	0	-17	SLV 15	-17	-25632	-211438	-40936	-40936	1	Si
35	0.157	25.13	0	6672	SLV 2	6672	25632	211438	40936	40936	1	Si
35	0.157	25.13	0	-107	SLV 15	-107	-25632	-211438	-40936	-40936	1	Si
70	0.157	25.13	0	6042	SLV 2	6042	25632	211438	40936	40936	1	Si
70	0.157	25.13	0	-737	SLV 15	-737	-25632	-211438	-40936	-40936	1	Si

Verifiche SLD Resistenza a taglio

x	A st	A sl	A sag	Vela	Comb.	Vdes	Vrd	Vrcd	Vrsd	Vult	cotgθ	Verifica
0	0	25.13	0	5634	SLD 2	5634	25632	211438	0	25632	1	Si
30	0.157	25.13	0	5094	SLD 2	5094	25632	211438	40936	40936	1	Si
35	0.157	25.13	0	5004	SLD 2	5004	25632	211438	40936	40936	1	Si
70	0.157	25.13	0	4374	SLD 2	4374	25632	211438	40936	40936	1	Si

Verifiche delle tensioni in esercizio

x	Rara							Quasi permanente							Verifica
	Mela	Comb.	Mdes	σ c	σ c lim.	σ f.	σ f lim.	Mela	Comb.	Mdes	σ c	σ c lim.	σ FRP	σ FRP lim.	
0	-352251	8	-287795	3.8	149.4	168.9	3600	-315423	4	-256745	3.4	112.1	0	+∞	Si

RELAZIONE GEOTECNICA E SULLE FONDAZIONI

x	Rara							Quasi permanente							Verifica
	Mela	Comb.	Mdes	σc	σc lim.	$\sigma f.$	σf lim.	Mela	Comb.	Mdes	σc	σc lim.	σFRP	σFRP lim.	
30	-231433	8	-231433	3.1	149.4	135.8	3600	-206161	4	-206161	2.8	112.1	0	+∞	Si
35	-212865	8	-231433	3.1	149.4	135.8	3600	-189519	4	-206161	2.8	112.1	0	+∞	Si
70	-95530	8	-206666	2.8	149.4	121.3	3600	-85665	4	-183975	2.5	112.1	0	+∞	Si

Verifica di apertura delle fessure

La campata non presenta apertura delle fessure

Verifica di deformabilità

x	Rara				Frequente				Quasi permanente							Verifica
	Elastica+	Elastica-	Fess.+	Fess.-	Elastica+	Elastica-	Fess.+	Fess.-	Elastica+	Elastica-	Fess. viscosa+	Comb.	Fess. viscosa-	Comb.	I/f	
30	0	0	0	0	0	0	0	0	0	0	0	1	0	1	9999	Si
33	0	0	0	0	0	0	0	0	0	0	0	1	0	1	9999	Si
35	0	0	0	0	0	0	0	0	0	0	0	1	0	1	9999	Si

Trave a "Fondazione" Pil.A5-Plata B1

Caratteristiche dei materiali

Acciaio: B450C Fyk 4500

Calcestruzzo: C25/30 Rck 300

Elenco delle sezioni

N°	Descrizione	Tipo	Base	Altezza	Copriferro sup.	Copriferro inf.	Copriferro lat.
1	R 90x80	Rettangolare	90	80	4	4	4

Output campate

Campata 1 tra i fili Pil.A5 - Palo35, sezione R 90x80, asta 2304

Verifiche a flessione in famiglia SLU

x	A sup.	C.b. sup.	A inf.	C.b. inf.	M+ela	Comb.	M+des	M+ult	x/d	M-ela	Comb.	M-des	M-ult	x/d	Verifica
0	25.13	6	25.13	6	836240	SLU 16	110877	6915255	0.095						Si
45	25.13	6	25.13	6						-1081621	SLU 16	-2531274	-6915255	0.095	Si
77	25.13	6	25.13	6	-1200293	SLU 1	19944	6915255	0.095	-2496069	SLU 16	-3971147	-6915255	0.095	Si
125	25.13	6	25.13	6						-4607956	SLU 16	-4607956	-6915255	0.095	Si
155	25.13	6	25.13	6						-5968922	SLU 16	-5283198	-6915255	0.095	Si

Verifiche a flessione in famiglia SLV (domini sostanzialmente elastici)

La struttura oppure parte di essa, è stata dichiarata come non dissipativa pertanto la verifica a pressoflessione, per tutte o solo alcune sezioni, viene eseguita calcolando i momenti resistenti in campo sostanzialmente elastico secondo D.M. 17-01-2018 §7.4.1

Le dilatazioni ultime utilizzate sono le seguenti: $\epsilon c2= 0.002$, $\epsilon yd= 0.0019$

x	A sup.	C.b. sup.	A inf.	C.b. inf.	M+ela	Comb.	M+des	M+ult	x/d	M-ela	Comb.	M-des	M-ult	x/d	Verifica
0	25.13	6	25.13	6	3111321	SLV 13	2521590	6635554	0.225	-2049045	SLV 4	-2049045	-6635554	0.225	Si
45	25.13	6	25.13	6	1870463	SLV 13	1870463	6635554	0.225	-3240145	SLV 4	-4150618	-6635554	0.225	Si
77	25.13	6	25.13	6	957169	SLV 13	1870463	6635554	0.225	-4128392	SLV 4	-5063341	-6635554	0.225	Si
125	25.13	6	25.13	6	-403282	SLV 13	553613	6635554	0.225	-5469598	SLV 4	-5469598	-6635554	0.225	Si
155	25.13	6	25.13	6						-6343094	SLV 4	-5879883	-6635554	0.225	Si

Verifiche SLD Resistenza a flessione (domini sostanzialmente elastici)

La struttura oppure parte di essa, è stata dichiarata come non dissipativa pertanto la verifica a pressoflessione, per tutte o solo alcune sezioni, viene eseguita calcolando i momenti resistenti in campo sostanzialmente elastico secondo D.M. 17-01-2018 §7.4.1

Le dilatazioni ultime utilizzate sono le seguenti: $\epsilon c2= 0.002$, $\epsilon yd= 0.0019$

x	A sup.	C.b. sup.	A inf.	C.b. inf.	M+ela	Comb.	M+des	M+ult	x/d	M-ela	Comb.	M-des	M-ult	x/d	Verifica
0	25.13	6	25.13	6	1844599	SLD 13	1250369	6635554	0.225	-782322	SLD 4	-782322	-6635554	0.225	Si
45	25.13	6	25.13	6	615783	SLD 13	615783	6635554	0.225	-1985465	SLD 4	-2902159	-6635554	0.225	Si
77	25.13	6	25.13	6	-291407	SLD 13	615783	6635554	0.225	-2879815	SLD 4	-3818648	-6635554	0.225	Si
125	25.13	6	25.13	6						-4225816	SLD 4	-4225816	-6635554	0.225	Si
155	25.13	6	25.13	6						-5099711	SLD 4	-4647128	-6635554	0.225	Si

Verifiche a taglio in famiglia SLU

x	A st	A sl	A sag	Vela	Comb.	Vdes	Vrd	Vrcd	Vrsd	Vult	cotgθ	Verifica
0	0	25.13	0	-42091	SLU 16	-42091	-25632	-211438	0	-25632	1	Si
45	0.196	25.13	0	-43144	SLU 16	-43144	-25632	-211438	-51171	-51171	1	Si
77	0.196	25.13	0	-43905	SLU 16	-43905	-25632	-211438	-51171	-51171	1	Si
125	0.196	25.13	0	-45016	SLU 16	-45016	-25632	-211438	-51171	-51171	1	Si
155	0	25.13	0	-45718	SLU 16	-45718	-25632	-211438	0	-25632	1	Si

Verifiche a taglio in famiglia SLV

x	A st	A sl	A sag	Vela	Comb.	Vdes	Vrd	Vrcd	Vrsd	Vult	cotgθ	Verifica
0	0	25.13	0	-31392	SLV 12	-31392	-25632	-211438	0	-25632	1	Si
45	0.196	25.13	0	-32202	SLV 12	-32202	-25632	-211438	-51171	-51171	1	Si
77	0.196	25.13	0	-32787	SLV 12	-32787	-25632	-211438	-51171	-51171	1	Si
125	0.196	25.13	0	-33642	SLV 12	-33642	-25632	-211438	-51171	-51171	1	Si
155	0	25.13	0	-34182	SLV 12	-34182	-25632	-211438	0	-25632	1	Si

Verifiche SLD Resistenza a taglio

x	A st	A sl	A sag	Vela	Comb.	Vdes	Vrd	Vrcd	Vrsd	Vult	cotgθ	Verifica
0	0	25.13	0	-29084	SLD 12	-29084	-25632	-211438	0	-25632	1	Si
45	0.196	25.13	0	-29894	SLD 12	-29894	-25632	-211438	-51171	-51171	1	Si
77	0.196	25.13	0	-30479	SLD 12	-30479	-25632	-211438	-51171	-51171	1	Si
125	0.196	25.13	0	-31334	SLD 12	-31334	-25632	-211438	-51171	-51171	1	Si
155	0	25.13	0	-31874	SLD 12	-31874	-25632	-211438	0	-25632	1	Si

Verifiche delle tensioni in esercizio

x	Rara							Quasi permanente							Verifica
	Mela	Comb.	Mdes	σc	σc lim.	$\sigma f.$	σf lim.	Mela	Comb.	Mdes	σc	σc lim.	σFRP	σFRP lim.	
0	613193	8	78767	1.1	149.4	46.2	3600	531138	4	67764	0.9	112.1	0	+∞	Si
45	-788902	8	-1849864	24.7	149.4	1085.8	3600	-684841	4	-1608078	21.5	112.1	0	+∞	Si
77	-1824085	8	-2904605	38.8	149.4	1704.9	3600	-1585611	4	-2528406	33.8	112.1	0	+∞	Si
125	-3371365	8	-3371365	45	149.4	1978.9	3600	-2936440	4	-2936440	39.2	112.1	0	+∞	Si
155	-4369474	8	-3866388	51.6	149.4	2269.4	3600	-3810472	4	-3369424	45	112.1	0	+∞	Si

Verifica di apertura delle fessure

x	Bordo	Rara				Frequente				Quasi permanente				Verifica
		Dmax	Esm	Wd	Comb	Dmax	Esm	Wd	Comb	Dmax	Esm	Wd	Comb	
119	superiore	35.3	0.00058	0.0203	8	35.3	0.00053	0.0187	4	35.3	0.0005	0.0177	4	Si
125	superiore	35.3	0.00058	0.0203	8	35.3	0.00053	0.0187	4	35.3	0.0005	0.0177	4	Si
155	superiore	35.3	0.00066	0.0233	8	35.3	0.00066	0.0232	4	35.3	0.00062	0.0218	4	Si

Verifica di deformabilità

x	Rara				Frequente				Quasi permanente						Verifica	
	Elastica+	Elastica-	Fess.+	Fess.-	Elastica+	Elastica-	Fess.+	Fess.-	Elastica+	Elastica-	Fess. viscosa+	Comb.	Fess. viscosa-	Comb.	I/f	
45	-0.002	-0.003	-0.002	-0.003	-0.002	-0.002	-0.002	-0.003	-0.002	-0.002	-0.005	1	-0.007	1	9999	Si
77	-0.003	-0.004	-0.003	-0.004	-0.003	-0.004	-0.003	-0.004	-0.003	-0.004	-0.007	1	-0.01	1	9999	Si
93	-0.003	-0.005	-0.003	-0.005	-0.003	-0.004	-0.003	-0.004	-0.003	-0.004	-0.007	1	-0.01	1	9999	Si
125	-0.002	-0.004	-0.002	-0.004	-0.002	-0.003	-0.002	-0.003	-0.002	-0.003	-0.006	1	-0.008	1	9999	Si

Campata 2 tra i fili Palo35 - Palo36, sezione R 90x80, asta 2305

Verifiche a flessione in famiglia SLU

x	A sup.	C.b. sup.	A inf.	C.b. inf.	M+ela	Comb.	M+des	M+ult	x/d	M-ela	Comb.	M-des	M-ult	x/d	Verifica
0	25.13	6	25.13	6						-5217962	SLU 16	-5008706	-6915255	0.095	Si
30	25.13	6	25.13	6						-4809770	SLU 16	-4809770	-6915255	0.095	Si
135	25.13	6	25.13	6	-1754858	SLU 1	84242	6915255	0.095	-3545979	SLU 16	-3918972	-6915255	0.095	Si
240	25.13	6	25.13	6						-2540602	SLU 16	-2831396	-6915255	0.095	Si
270	25.13	6	25.13	6						-2300471	SLU 16	-2300471	-6915255	0.095	Si

Verifiche a flessione in famiglia SLV (domini sostanzialmente elastici)

La struttura oppure parte di essa, è stata dichiarata come non dissipativa pertanto la verifica a pressoflessione, per tutte o solo alcune sezioni, viene eseguita calcolando i momenti resistenti in campo sostanzialmente elastico secondo D.M. 17-01-2018 §7.4.1

Le dilatazioni ultime utilizzate sono le seguenti: $\epsilon_{c2} = 0.002$, $\epsilon_{yd} = 0.0019$

x	A sup.	C.b. sup.	A inf.	C.b. inf.	M+ela	Comb.	M+des	M+ult	x/d	M-ela	Comb.	M-des	M-ult	x/d	Verifica
0	25.13	6	25.13	6						-6271431	SLV 4	-5918687	-6635554	0.225	Si
30	25.13	6	25.13	6						-5573402	SLV 4	-5573402	-6635554	0.225	Si
135	25.13	6	25.13	6						-3260639	SLV 4	-3971508	-6635554	0.225	Si
240	25.13	6	25.13	6						-2299404	SLV 16	-2299404	-6635554	0.225	Si
270	25.13	6	25.13	6						-2507385	SLV 14	-2233742	-6635554	0.225	Si

Verifiche SLD Resistenza a flessione (domini sostanzialmente elastici)

La struttura oppure parte di essa, è stata dichiarata come non dissipativa pertanto la verifica a pressoflessione, per tutte o solo alcune sezioni, viene eseguita calcolando i momenti resistenti in campo sostanzialmente elastico secondo D.M. 17-01-2018 §7.4.1

Le dilatazioni ultime utilizzate sono le seguenti: $\epsilon_{c2} = 0.002$, $\epsilon_{yd} = 0.0019$

x	A sup.	C.b. sup.	A inf.	C.b. inf.	M+ela	Comb.	M+des	M+ult	x/d	M-ela	Comb.	M-des	M-ult	x/d	Verifica
0	25.13	6	25.13	6						-4835351	SLD 4	-4588294	-6635554	0.225	Si
30	25.13	6	25.13	6						-4348921	SLD 4	-4348921	-6635554	0.225	Si
135	25.13	6	25.13	6						-2775110	SLD 4	-3252197	-6635554	0.225	Si
240	25.13	6	25.13	6						-1986380	SLD 16	-2001480	-6635554	0.225	Si
270	25.13	6	25.13	6						-2023337	SLD 14	-1914423	-6635554	0.225	Si

Verifiche a taglio in famiglia SLU

x	A st	A sl	A sag	Vela	Comb.	Vdes	Vrd	Vrcd	Vrsd	Vult	cotgθ	Verifica
0	0	25.13	0	13964	SLU 16	13964	25632	211438	0	25632	1	Si
30	0.15	25.13	0	13262	SLU 16	13262	25632	211438	38986	38986	1	Si
135	0.15	25.13	0	10805	SLU 16	10805	25632	211438	38986	38986	1	Si
240	0.15	25.13	0	8348	SLU 16	8348	25632	211438	38986	38986	1	Si
270	0	25.13	0	7646	SLU 16	7646	25632	211438	0	25632	1	Si

Verifiche a taglio in famiglia SLV

x	A st	A sl	A sag	Vela	Comb.	Vdes	Vrd	Vrcd	Vrsd	Vult	cotgθ	Verifica
0	0	25.13	0	23559	SLV 4	23559	25632	211438	0	25632	1	Si
0	0	25.13	0	-5183	SLV 13	-5183	-25632	-211438	0	-25632	1	Si
30	0.15	25.13	0	23019	SLV 4	23019	25632	211438	38986	38986	1	Si
30	0.15	25.13	0	-5723	SLV 13	-5723	-25632	-211438	-38986	-38986	1	Si
135	0.15	25.13	0	21129	SLV 4	21129	25632	211438	38986	38986	1	Si
135	0.15	25.13	0	-7613	SLV 13	-7613	-25632	-211438	-38986	-38986	1	Si
240	0.15	25.13	0	19239	SLV 4	19239	25632	211438	38986	38986	1	Si
240	0.15	25.13	0	-9503	SLV 13	-9503	-25632	-211438	-38986	-38986	1	Si
270	0	25.13	0	18699	SLV 4	18699	25632	211438	0	25632	1	Si
270	0	25.13	0	-10043	SLV 13	-10043	-25632	-211438	0	-25632	1	Si

Verifiche SLD Resistenza a taglio

x	A st	A sl	A sag	Vela	Comb.	Vdes	Vrd	Vrcd	Vrsd	Vult	cotgθ	Verifica
0	0	25.13	0	16498	SLD 4	16498	25632	211438	0	25632	1	Si
30	0.15	25.13	0	15958	SLD 4	15958	25632	211438	38986	38986	1	Si
135	0.15	25.13	0	14068	SLD 4	14068	25632	211438	38986	38986	1	Si
135	0.15	25.13	0	-552	SLD 13	-552	-25632	-211438	-38986	-38986	1	Si
240	0.15	25.13	0	12178	SLD 4	12178	25632	211438	38986	38986	1	Si
240	0.15	25.13	0	-2442	SLD 13	-2442	-25632	-211438	-38986	-38986	1	Si
270	0	25.13	0	11638	SLD 4	11638	25632	211438	0	25632	1	Si
270	0	25.13	0	-2982	SLD 13	-2982	-25632	-211438	0	-25632	1	Si

Verifiche delle tensioni in esercizio

x	Rara							Quasi permanente							Verifica
	Mela	Comb.	Mdes	σ c	σ c lim.	σ f.	σ f lim.	Mela	Comb.	Mdes	σ c	σ c lim.	σ FRP	σ FRP lim.	
0	-3823324	8	-3669112	49	149.4	2153.6	3600	-3347289	4	-3209628	42.9	112.1	0	$+\infty$	Si
30	-3522837	8	-3522837	47.1	149.4	2067.8	3600	-3079905	4	-3079905	41.1	112.1	0	$+\infty$	Si
135	-2597967	8	-2869891	38.3	149.4	1684.5	3600	-2270895	4	-2506076	33.5	112.1	0	$+\infty$	Si
240	-1871877	8	-2080572	27.8	149.4	1221.2	3600	-1660666	4	-1832617	24.5	112.1	0	$+\infty$	Si
270	-1700668	8	-1700668	22.7	149.4	998.2	3600	-1522559	4	-1522559	20.3	112.1	0	$+\infty$	Si

Verifica di apertura delle fessure

x	Bordo	Rara				Frequente				Quasi permanente				Verifica
		Dmax	Esm	Wd	Comb	Dmax	Esm	Wd	Comb	Dmax	Esm	Wd	Comb	
0	superiore	35.3	0.00063	0.0221	8	35.3	0.00061	0.0215	4	35.3	0.00057	0.0202	4	Si
30	superiore	35.3	0.0006	0.0212	8	35.3	0.00057	0.0202	4	35.3	0.00054	0.0189	4	Si

Verifica di deformabilità

x	Rara				Frequente				Quasi permanente							Verifica
	Elastica+	Elastica-	Fess.+	Fess.-	Elastica+	Elastica-	Fess.+	Fess.-	Elastica+	Elastica-	Fess. viscosa+	Comb.	Fess. viscosa-	Comb.	I/f	
30	-0.006	-0.009	-0.005	-0.009	-0.006	-0.008	-0.005	-0.007	-0.006	-0.008	-0.014	1	-0.02	1	9999	Si
126	-0.013	-0.02	-0.012	-0.019	-0.013	-0.018	-0.012	-0.017	-0.013	-0.017	-0.031	1	-0.042	1	8648	Si
135	-0.013	-0.02	-0.012	-0.019	-0.013	-0.018	-0.012	-0.017	-0.013	-0.017	-0.031	1	-0.041	1	8681	Si

RELAZIONE GEOTECNICA E SULLE FONDAZIONI

x	Rara				Frequente				Quasi permanente						l/f	Verifica
	Elastica+	Elastica-	Fess.+	Fess.-	Elastica+	Elastica-	Fess.+	Fess.-	Elastica+	Elastica-	Fess. viscosa+	Comb.	Fess. viscosa-	Comb.		
240	-0.005	-0.007	-0.004	-0.007	-0.005	-0.006	-0.004	-0.006	-0.005	-0.006	-0.011	1	-0.015	1	9999	Si

Campata 3 tra i fili Palo36 - Pil.A6, sezione R 90x80, asta 1612

Verifiche a flessione in famiglia SLU

x	A sup.	C.b. sup.	A inf.	C.b. inf.	M+ela	Comb.	M+des	M+ult	x/d	M-ela	Comb.	M-des	M-ult	x/d	Verifica
0	25.13	6	25.13	6						-2822564	SLU 16	-1898377	-6915255	0.095	Si
30	25.13	6	25.13	6	-611403	SLU 1	1030786	6915255	0.095	-984664	SLU 16	-984664	-6915255	0.095	Si
77	25.13	6	25.13	6	1882355	SLU 16	3813469	6915255	0.095	839065	SLU 1	-225658	-6915255	0.095	Si
110	25.13	6	25.13	6	3813469	SLU 16	3813469	6915255	0.095						Si
155	25.13	6	25.13	6	6446731	SLU 16	5141920	6915255	0.095						Si

Verifiche a flessione in famiglia SLV (domini sostanzialmente elastici)

La struttura oppure parte di essa, è stata dichiarata come non dissipativa pertanto la verifica a pressoflessione, per tutte o solo alcune sezioni, viene eseguita calcolando i momenti resistenti in campo sostanzialmente elastico secondo D.M. 17-01-2018 §7.4.1

Le dilatazioni ultime utilizzate sono le seguenti: $\epsilon_{c2}=0.002$, $\epsilon_{yd}=0.0019$

x	A sup.	C.b. sup.	A inf.	C.b. inf.	M+ela	Comb.	M+des	M+ult	x/d	M-ela	Comb.	M-des	M-ult	x/d	Verifica
0	25.13	6	25.13	6						-2783561	SLV 4	-1555205	-6635554	0.225	Si
30	25.13	6	25.13	6	610378	SLV 4	2733546	6635554	0.225	-1973893	SLV 13	-1973893	-6635554	0.225	Si
77	25.13	6	25.13	6	3658071	SLV 4	5784220	6635554	0.225	-1299789	SLV 13	-1746015	-6635554	0.225	Si
110	25.13	6	25.13	6	5784220	SLV 4	5784220	6635554	0.225	-926411	SLV 13	-1309685	-6635554	0.225	Si
155	25.13	6	25.13	6	8722691	SLV 4	7278151	6635554	0.225	-466459	SLV 13	-466459	-6635554	0.225	Si

Verifiche SLD Resistenza a flessione (domini sostanzialmente elastici)

La struttura oppure parte di essa, è stata dichiarata come non dissipativa pertanto la verifica a pressoflessione, per tutte o solo alcune sezioni, viene eseguita calcolando i momenti resistenti in campo sostanzialmente elastico secondo D.M. 17-01-2018 §7.4.1

Le dilatazioni ultime utilizzate sono le seguenti: $\epsilon_{c2}=0.002$, $\epsilon_{yd}=0.0019$

x	A sup.	C.b. sup.	A inf.	C.b. inf.	M+ela	Comb.	M+des	M+ult	x/d	M-ela	Comb.	M-des	M-ult	x/d	Verifica
0	25.13	6	25.13	6						-2339846	SLD 4	-1650923	-6635554	0.225	Si
30	25.13	6	25.13	6	-24766	SLD 4	1698387	6635554	0.225	-1338748	SLD 13	-1338748	-6635554	0.225	Si
77	25.13	6	25.13	6	2439951	SLD 4	4135595	6635554	0.225	-81669	SLD 13	-947480	-6635554	0.225	Si
110	25.13	6	25.13	6	4135595	SLD 4	4135595	6635554	0.225	722214	SLD 13	-101964	-6635554	0.225	Si
155	25.13	6	25.13	6	6465308	SLD 4	5317484	6635554	0.225						Si

Verifiche a taglio in famiglia SLU

x	A st	A sl	A sag	Vela	Comb.	Vdes	Vrd	Vrcd	Vrsd	Vult	cotgθ	Verifica
0	0	25.13	0	61616	SLU 16	61616	25632	211438	0	25632	1	Si
30	0.314	25.13	0	60914	SLU 16	60914	25632	211438	81874	81874	1	Si
77	0.314	25.13	0	59803	SLU 16	59803	25632	211438	81874	81874	1	Si
110	0.314	25.13	0	59042	SLU 16	59042	25632	211438	81874	81874	1	Si
155	0	25.13	0	57989	SLU 16	57989	25632	211438	0	25632	1	Si

Verifiche a taglio in famiglia SLV

x	A st	A sl	A sag	Vela	Comb.	Vdes	Vrd	Vrcd	Vrsd	Vult	cotgθ	Verifica
0	0	25.13	0	68377	SLV 4	68377	25632	211438	0	25632	1	Si
30	0.314	25.13	0	67837	SLV 4	67837	25632	211438	81874	81874	1	Si
77	0.314	25.13	0	66982	SLV 4	66982	25632	211438	81874	81874	1	Si
110	0.314	25.13	0	66397	SLV 4	66397	25632	211438	81874	81874	1	Si
155	0	25.13	0	65587	SLV 4	65587	25632	211438	0	25632	1	Si

Verifiche SLD Resistenza a taglio

x	A st	A sl	A sag	Vela	Comb.	Vdes	Vrd	Vrcd	Vrsd	Vult	cotgθ	Verifica
0	0	25.13	0	54508	SLD 4	54508	25632	211438	0	25632	1	Si
30	0.314	25.13	0	53968	SLD 4	53968	25632	211438	81874	81874	1	Si
77	0.314	25.13	0	53113	SLD 4	53113	25632	211438	81874	81874	1	Si
110	0.314	25.13	0	52528	SLD 4	52528	25632	211438	81874	81874	1	Si
155	0	25.13	0	51718	SLD 4	51718	25632	211438	0	25632	1	Si

Verifiche delle tensioni in esercizio

x	Rara							Quasi permanente							Verifica
	Mela	Comb.	Mdes	σ c	σ c lim.	σ f.	σ f lim.	Mela	Comb.	Mdes	σ c	σ c lim.	σ FRP	σ FRP lim.	
0	-2088158	8	-1409032	18.8	149.4	827.1	3600	-1877943	4	-1275821	17	112.1	0	$+\infty$	Si
30	-737963	8	-737963	9.9	149.4	433.2	3600	-681757	4	-681757	9.1	112.1	0	$+\infty$	Si
77	1366779	8	2783381	37.2	149.4	1633.8	3600	1179141	4	2428904	32.4	112.1	0	$+\infty$	Si
110	2783381	8	2783381	37.2	149.4	1633.8	3600	2428904	4	2428904	32.4	112.1	0	$+\infty$	Si
155	4713606	8	3757585	50.2	149.4	2205.6	3600	4128116	4	3287601	43.9	112.1	0	$+\infty$	Si

Verifica di apertura delle fessure

La campata non presenta apertura delle fessure

Verifica di deformabilità

x	Rara				Frequente				Quasi permanente						Verifica
	Elastica+	Elastica-	Fess.+	Fess.-	Elastica+	Elastica-	Fess.+	Fess.-	Elastica+	Elastica-	Fess. viscosa+	Comb.	Fess. viscosa-	Comb.	
30	0.001	0.001	0.001	0	0.001	0.001	0.001	0	0.001	0.001	0.002	4	0.001	4	9999 Si
77	0.004	0.002	0.003	0.002	0.003	0.002	0.003	0.002	0.003	0.002	0.008	4	0.005	4	9999 Si
103	0.004	0.003	0.004	0.002	0.004	0.003	0.003	0.002	0.004	0.003	0.009	4	0.006	4	9999 Si
110	0.004	0.003	0.004	0.002	0.004	0.003	0.003	0.002	0.003	0.003	0.009	4	0.005	4	9999 Si

Campata 4 tra i fili Pil.A6 - Palo37, sezione R 90x80, aste 2247, 2383, 2382

Verifiche a flessione in famiglia SLU

x	A sup.	C.b. sup.	A inf.	C.b. inf.	M+ela	Comb.	M+des	M+ult	x/d	M-ela	Comb.	M-des	M-ult	x/d	Verifica
0	25.13	6	25.13	6	5971534	SLU 16	5180198	6915255	0.095						Si
45	25.13	6	25.13	6	4365267	SLU 16	4365267	6915255	0.095						Si
127	50.27	6	25.13	6	1297542	SLU 16	2554925	6912626	0.089	868434	SLU 1	-77588	-13549844	0.15	Si
225	50.27	6	25.13	6						-832667	SLU 16	-832667	-13549844	0.15	Si
255	25.13	6	25.13	6						-911571	SLU 16	-866855	-6915255	0.095	Si

Verifiche a flessione in famiglia SLV (domini sostanzialmente elastici)

La struttura oppure parte di essa, è stata dichiarata come non dissipativa pertanto la verifica a pressoflessione, per tutte o solo alcune sezioni, viene eseguita calcolando i momenti resistenti in campo sostanzialmente elastico secondo D.M. 17-01-2018 §7.4.1

Le dilatazioni ultime utilizzate sono le seguenti: $\epsilon_{c2}=0.002$, $\epsilon_{yd}=0.0019$

x	A sup.	C.b. sup.	A inf.	C.b. inf.	M+ela	Comb.	M+des	M+ult	x/d	M-ela	Comb.	M-des	M-ult	x/d	Verifica
0	25.13	6	25.13	6	5713464	SLV 8	4804850	6635554	0.225						Si
45	25.13	6	25.13	6	3813433	SLV 8	3813433	6635554	0.225						Si
127	50.27	6	25.13	6	2286507	SLV 13	2408200	6679966	0.207	-416606	SLV 4	-1917972	-12828214	0.316	Si
225	50.27	6	25.13	6	652653	SLV 13	1223035	6679966	0.207	-1628004	SLV 4	-2015980	-12828214	0.316	Si

RELAZIONE GEOTECNICA E SULLE FONDAZIONI

x	A sup.	C.b. sup.	A inf.	C.b. inf.	M+ela	Comb.	M+des	M+ult	x/d	M-ela	Comb.	M-des	M-ult	x/d	Verifica
255	25.13	6	25.13	6	568733	SLV 13	568733	6635554	0.225	-1658514	SLV 4	-1623041	-6635554	0.225	Si

Verifiche SLD Resistenza a flessione (domini sostanzialmente elastici)

La struttura oppure parte di essa, è stata dichiarata come non dissipativa pertanto la verifica a pressoflessione, per tutte o solo alcune sezioni, viene eseguita calcolando i momenti resistenti in campo sostanzialmente elastico secondo D.M. 17-01-2018 §7.4.1

Le dilatazioni ultime utilizzate sono le seguenti: $\epsilon_{c2}= 0.002$, $\epsilon_{yd}= 0.0019$

x	A sup.	C.b. sup.	A inf.	C.b. inf.	M+ela	Comb.	M+des	M+ult	x/d	M-ela	Comb.	M-des	M-ult	x/d	Verifica
0	25.13	6	25.13	6	4781945	SLD 8	4084325	6635554	0.225						Si
45	25.13	6	25.13	6	3334679	SLD 8	3334679	6635554	0.225						Si
127	50.27	6	25.13	6	1620930	SLD 13	1977808	6679966	0.207	248971	SLD 4	-906063	-12828214	0.316	Si
225	50.27	6	25.13	6	91774	SLD 13	426023	6679966	0.207	-1067125	SLD 4	-1218968	-12828214	0.316	Si
255	25.13	6	25.13	6	21113	SLD 13	21113	6635554	0.225	-1110895	SLD 4	-1076640	-6635554	0.225	Si

Verifiche a taglio in famiglia SLU

x	A st	A sl	A sag	Vela	Comb.	Vdes	Vrd	Vrcd	Vrsd	Vult	cotgθ	Verifica
0	0	25.13	0	-35166	SLU 16	-35166	-25632	-211438	0	-25632	1	Si
42	0	25.13	0	-36161	SLU 16	-36161	-25632	-211438	0	-25632	1	Si
45	0.209	25.13	0	-36219	SLU 16	-36219	-25632	-211438	-54582	-54582	1	Si
127	0.209	25.13	0	-38150	SLU 16	-38150	-25632	-211438	-54582	-54582	1	Si
225	0.209	50.27	0	-2279	SLU 16	-2279	-32294	-211438	-54582	-54582	1	Si
255	0	50.27	0	-2981	SLU 16	-2981	-32294	-211438	0	-32294	1	Si

Verifiche a taglio in famiglia SLV

x	A st	A sl	A sag	Vela	Comb.	Vdes	Vrd	Vrcd	Vrsd	Vult	cotgθ	Verifica
0	0	25.13	0	629	SLV 13	629	25632	211438	0	25632	1	Si
0	0	25.13	0	-43348	SLV 4	-43348	-25632	-211438	0	-25632	1	Si
42	0	25.13	0	-44113	SLV 4	-44113	-25632	-211438	0	-25632	1	Si
45	0.209	25.13	0	-44158	SLV 4	-44158	-25632	-211438	-54582	-54582	1	Si
127	0.209	25.13	0	-45643	SLV 4	-45643	-25632	-211438	-54582	-54582	1	Si
225	0.209	50.27	0	331	SLV 4	331	32294	211438	54582	54582	1	Si
225	0.209	25.13	0	-3605	SLV 13	-3605	-25632	-211438	-54582	-54582	1	Si
255	0	25.13	0	-4145	SLV 13	-4145	-25632	-211438	0	-25632	1	Si

Verifiche SLD Resistenza a taglio

x	A st	A sl	A sag	Vela	Comb.	Vdes	Vrd	Vrcd	Vrsd	Vult	cotgθ	Verifica
0	0	25.13	0	-32540	SLD 4	-32540	-25632	-211438	0	-25632	1	Si
42	0	25.13	0	-33305	SLD 4	-33305	-25632	-211438	0	-25632	1	Si
45	0.209	25.13	0	-33350	SLD 4	-33350	-25632	-211438	-54582	-54582	1	Si
127	0.209	25.13	0	-34835	SLD 4	-34835	-25632	-211438	-54582	-54582	1	Si
225	0.209	25.13	0	-2640	SLD 13	-2640	-25632	-211438	-54582	-54582	1	Si
255	0	25.13	0	-3180	SLD 13	-3180	-25632	-211438	0	-25632	1	Si

Verifiche delle tensioni in esercizio

x	Rara								Quasi permanente								Verifica
	Mela	Comb.	Mdes	σ c	σ c lim.	σ f.	σ f lim.	Mela	Comb.	Mdes	σ c	σ c lim.	σ FRP	σ FRP lim.			
0	4359449	8	3788979	50.6	149.4	2224	3600	3804655	4	3323995	44.4	112.1	0	+∞	Si		
45	3200358	8	3200358	42.8	149.4	1878.5	3600	2825185	4	2825185	37.7	112.1	0	+∞	Si		
127	980819	8	1891427	22.1	149.4	1103.7	3600	934950	4	1712639	20	112.1	0	+∞	Si		
225	-594025	8	-594025	6.3	149.4	179	3600	-487676	4	-487676	5.1	112.1	0	+∞	Si		
255	-653671	8	-619799	8.3	149.4	363.8	3600	-544891	4	-512234	6.8	112.1	0	+∞	Si		

Verifica di apertura delle fessure

x	Bordo	Rara				Frequente				Quasi permanente				Verifica
		Dmax	Esm	Wd	Comb	Dmax	Esm	Wd	Comb	Dmax	Esm	Wd	Comb	
0	inferiore	35.3	0.00065	0.0228	8	35.3	0.00064	0.0227	4	35.3	0.00061	0.0214	4	Si
45	inferiore	35.3	0.00055	0.0193	8	35.3	0.0005	0.0177	4	35.3	0.00048	0.017	4	Si
59	inferiore	35.3	0.00055	0.0193	8	35.3	0.0005	0.0177	4	35.3	0.00048	0.017	4	Si

Verifica di deformabilità

x	Rara				Frequente				Quasi permanente								Verifica
	Elastica+	Elastica-	Fess.+	Fess.-	Elastica+	Elastica-	Fess.+	Fess.-	Elastica+	Elastica-	Fess. viscosa+	Comb.	Fess. viscosa-	Comb.	l/f		
45	0.007	0.005	0.007	0.005	0.006	0.005	0.006	0.005	0.006	0.005	0.016	4	0.011	4	9999	Si	
85	0.008	0.006	0.008	0.006	0.008	0.006	0.007	0.006	0.007	0.006	0.019	4	0.014	4	9999	Si	
127	0.006	0.006	0.007	0.005	0.006	0.006	0.006	0.005	0.006	0.006	0.016	4	0.013	4	9999	Si	
225	0.001	0.001	0.001	0.001	0.001	0.001	0.001	0.001	0.001	0.001	0.003	1	0.003	1	9999	Si	

Campata 5 tra i fili Palo37 - Palo33, sezione R 90x80, asta 2262

Verifiche a flessione in famiglia SLU

x	A sup.	C.b. sup.	A inf.	C.b. inf.	M+ela	Comb.	M+des	M+ult	x/d	M-ela	Comb.	M-des	M-ult	x/d	Verifica
0	25.13	6	25.13	6						-616111	SLU 16	-552418	-6915255	0.095	Si
30	25.13	6	25.13	6	-91409	SLU 1	31966	6915255	0.095	-436879	SLU 16	-436879	-6915255	0.095	Si
45	25.13	6	25.13	6	-37766	SLU 1	95127	6915255	0.095	-351704	SLU 16	-436879	-6915255	0.095	Si
90	25.13	6	25.13	6	142342	SLU 9	142342	6915255	0.095	-146800	SLU 8	-288077	-6915255	0.095	Si

Verifiche a flessione in famiglia SLV (domini sostanzialmente elastici)

La struttura oppure parte di essa, è stata dichiarata come non dissipativa pertanto la verifica a pressoflessione, per tutte o solo alcune sezioni, viene eseguita calcolando i momenti resistenti in campo sostanzialmente elastico secondo D.M. 17-01-2018 §7.4.1

Le dilatazioni ultime utilizzate sono le seguenti: $\epsilon_{c2}= 0.002$, $\epsilon_{yd}= 0.0019$

x	A sup.	C.b. sup.	A inf.	C.b. inf.	M+ela	Comb.	M+des	M+ult	x/d	M-ela	Comb.	M-des	M-ult	x/d	Verifica
0	25.13	6	25.13	6	653798	SLV 13	653798	6635554	0.225	-1371495	SLV 4	-1371495	-6635554	0.225	Si
30	25.13	6	25.13	6	880163	SLV 14	1135390	6635554	0.225	-1344740	SLV 3	-1344740	-6635554	0.225	Si
45	25.13	6	25.13	6	995639	SLV 14	1248822	6635554	0.225	-1340491	SLV 3	-1344740	-6635554	0.225	Si
90	25.13	6	25.13	6	1336502	SLV 14	1336502	6635554	0.225	-1349517	SLV 3	-1349517	-6635554	0.225	Si

Verifiche SLD Resistenza a flessione (domini sostanzialmente elastici)

La struttura oppure parte di essa, è stata dichiarata come non dissipativa pertanto la verifica a pressoflessione, per tutte o solo alcune sezioni, viene eseguita calcolando i momenti resistenti in campo sostanzialmente elastico secondo D.M. 17-01-2018 §7.4.1

Le dilatazioni ultime utilizzate sono le seguenti: $\epsilon_{c2}= 0.002$, $\epsilon_{yd}= 0.0019$

x	A sup.	C.b. sup.	A inf.	C.b. inf.	M+ela	Comb.	M+des	M+ult	x/d	M-ela	Comb.	M-des	M-ult	x/d	Verifica
0	25.13	6	25.13	6	155856	SLD 13	155856	6635554	0.225	-873553	SLD 4	-873553	-6635554	0.225	Si
30	25.13	6	25.13	6	333944	SLD 14	528340	6635554	0.225	-798521	SLD 3	-798521	-6635554	0.225	Si
45	25.13	6	25.13	6	422451	SLD 14	613327	6635554	0.225	-767303	SLD 3	-798521	-6635554	0.225	Si
90	25.13	6	25.13	6	678438	SLD 14	678438	6635554	0.225	-691452	SLD 3	-745061	-6635554	0.225	Si

Verifiche a taglio in famiglia SLU

x	A st	A sl	A sag	Vela	Comb.	Vdes	Vrd	Vrcd	Vrsd	Vult	cotgθ	Verifica
0	0	25.13	0	8229	SLU 16	8229	25632	211438	0	25632	1	Si
30	0.157	25.13	0	7703	SLU 16	7703	25632	211438	40936	40936	1	Si
45	0.157	25.13	0	7439	SLU 16	7439	25632	211438	40936	40936	1	Si

RELAZIONE GEOTECNICA E SULLE FONDAZIONI

x	A st	A sl	A sag	Vela	Comb.	Vdes	Vrd	Vrcd	Vrsd	Vult	cotgθ	Verifica
90	0.157	25.13	0	6650	SLV 16	6650	25632	211438	40936	40936	1	Si

Verifiche a taglio in famiglia SLV

x	A st	A sl	A sag	Vela	Comb.	Vdes	Vrd	Vrcd	Vrsd	Vult	cotgθ	Verifica
0	0	25.13	0	12200	SLV 2	12200	25632	211438	0	25632	1	Si
0	0	25.13	0	-545	SLV 15	-545	-25632	-211438	0	-25632	1	Si
30	0.157	25.13	0	11795	SLV 2	11795	25632	211438	40936	40936	1	Si
30	0.157	25.13	0	-950	SLV 15	-950	-25632	-211438	-40936	-40936	1	Si
45	0.157	25.13	0	11592	SLV 2	11592	25632	211438	40936	40936	1	Si
45	0.157	25.13	0	-1153	SLV 15	-1153	-25632	-211438	-40936	-40936	1	Si
90	0.157	25.13	0	10985	SLV 2	10985	25632	211438	40936	40936	1	Si
90	0.157	25.13	0	-1760	SLV 15	-1760	-25632	-211438	-40936	-40936	1	Si

Verifiche SLD Resistenza a taglio

x	A st	A sl	A sag	Vela	Comb.	Vdes	Vrd	Vrcd	Vrsd	Vult	cotgθ	Verifica
0	0	25.13	0	9100	SLD 2	9100	25632	211438	0	25632	1	Si
30	0.157	25.13	0	8695	SLD 2	8695	25632	211438	40936	40936	1	Si
45	0.157	25.13	0	8492	SLD 2	8492	25632	211438	40936	40936	1	Si
90	0.157	25.13	0	7885	SLD 2	7885	25632	211438	40936	40936	1	Si

Verifiche delle tensioni in esercizio

x	Rara								Quasi permanente						Verifica
	Mela	Comb.	Mdes	σ c	σ c lim.	σ f.	σ f lim.	Mela	Comb.	Mdes	σ c	σ c lim.	σ FRP	σ FRP lim.	
0	-438145	8	-390206	5.2	149.4	229	3600	-358848	4	-313624	4.2	112.1	0	+∞	Si
30	-303440	8	-303440	4.1	149.4	178.1	3600	-232289	4	-232289	3.1	112.1	0	+∞	Si
45	-239505	8	-303440	4.1	149.4	178.1	3600	-172426	4	-232289	3.1	112.1	0	+∞	Si
90	109494	1	109494	1.5	149.4	64.3	3600	109494	1	109494	1.5	112.1	0	+∞	Si
90	-61369	8	-191221	2.6	149.4	112.2	3600	-6507	4	-127319	1.7	112.1	0	+∞	Si

Verifica di apertura delle fessure

La campata non presenta apertura delle fessure

Verifica di deformabilità

x	Rara				Frequente				Quasi permanente						Verifica
	Elastica+	Elastica-	Fess.+	Fess.-	Elastica+	Elastica-	Fess.+	Fess.-	Elastica+	Elastica-	Fess. viscosa+	Comb.	Fess. viscosa-	Comb.	
30	0	0	0	0	0	0	0	0	0	0	0	1	0	1	9999 Si
39	0	0	0	0	0	0	0	0	0	0	0	1	0	1	9999 Si
45	0	0	0	0	0	0	0	0	0	0	0	1	0	1	9999 Si

Campata 6 tra i fili Palo33 - ?, sezione R 90x80, aste 2381, 2380

Verifiche a flessione in famiglia SLU

x	A sup.	C.b. sup.	A inf.	C.b. inf.	M+ela	Comb.	M+des	M+ult	x/d	M-ela	Comb.	M-des	M-ult	x/d	Verifica
0	25.13	6	25.13	6	-164513	SLV 1	105235	6915255	0.095	-600936	SLV 16	-600936	-6915255	0.095	Si
23	25.13	6	25.13	6	-37237	SLV 1	119718	6915255	0.095	-369533	SLV 16	-600936	-6915255	0.095	Si
45	25.13	6	25.13	6	119718	SLV 9	119718	6915255	0.095	-181402	SLV 8	-477289	-6915255	0.095	Si

Verifiche a flessione in famiglia SLV (domini sostanzialmente elastici)

La struttura oppure parte di essa, è stata dichiarata come non dissipativa pertanto la verifica a pressoflessione, per tutte o solo alcune sezioni, viene eseguita calcolando i momenti resistenti in campo sostanzialmente elastico secondo D.M. 17-01-2018 §7.4.1

Le dilatazioni ultime utilizzate sono le seguenti: $\epsilon_{c2}=0.002$, $\epsilon_{yd}=0.0019$

x	A sup.	C.b. sup.	A inf.	C.b. inf.	M+ela	Comb.	M+des	M+ult	x/d	M-ela	Comb.	M-des	M-ult	x/d	Verifica
0	25.13	6	25.13	6	2184634	SLV 13	2184634	6635554	0.225	-2847244	SLV 4	-2847244	-6635554	0.225	Si
6	25.13	6	25.13	6	2091655	SLV 13	2184634	6635554	0.225	-2666070	SLV 4	-2847244	-6635554	0.225	Si
23	25.13	6	25.13	6	1846244	SLV 13	2184634	6635554	0.225	-2193157	SLV 4	-2847244	-6635554	0.225	Si
45	25.13	6	25.13	6	1739370	SLV 12	2004866	6635554	0.225	-1782228	SLV 5	-2498210	-6635554	0.225	Si

Verifiche SLD Resistenza a flessione (domini sostanzialmente elastici)

La struttura oppure parte di essa, è stata dichiarata come non dissipativa pertanto la verifica a pressoflessione, per tutte o solo alcune sezioni, viene eseguita calcolando i momenti resistenti in campo sostanzialmente elastico secondo D.M. 17-01-2018 §7.4.1

Le dilatazioni ultime utilizzate sono le seguenti: $\epsilon_{c2}=0.002$, $\epsilon_{yd}=0.0019$

x	A sup.	C.b. sup.	A inf.	C.b. inf.	M+ela	Comb.	M+des	M+ult	x/d	M-ela	Comb.	M-des	M-ult	x/d	Verifica
0	25.13	6	25.13	6	944916	SLD 13	944916	6635554	0.225	-1607526	SLD 4	-1607526	-6635554	0.225	Si
6	25.13	6	25.13	6	919060	SLD 13	944916	6635554	0.225	-1493474	SLD 4	-1607526	-6635554	0.225	Si
23	25.13	6	25.13	6	850413	SLD 13	944916	6635554	0.225	-1197326	SLD 4	-1607526	-6635554	0.225	Si
45	25.13	6	25.13	6	907874	SLD 12	907874	6635554	0.225	-950732	SLD 5	-1388107	-6635554	0.225	Si

Verifiche a taglio in famiglia SLU

x	A st	A sl	A sag	Vela	Comb.	Vdes	Vrd	Vrcd	Vrsd	Vult	cotgθ	Verifica
0	0.157	25.13	0	7251	SLV 16	7251	25632	211438	40936	40936	1	Si
2	0.14	25.13	0	7199	SLV 16	7199	25632	211438	36388	36388	1	Si
23	0.14	25.13	0	6462	SLV 16	6462	25632	211438	36388	36388	1	Si
45	0.209	25.13	0	619	SLV 9	619	25632	211438	54582	54582	1	Si

Verifiche a taglio in famiglia SLV

x	A st	A sl	A sag	Vela	Comb.	Vdes	Vrd	Vrcd	Vrsd	Vult	cotgθ	Verifica
0	0.157	25.13	0	25372	SLV 8	25372	25632	211438	40936	40936	1	Si
0	0.157	25.13	0	-15411	SLV 9	-15411	-25632	-211438	-40936	-40936	1	Si
2	0.14	25.13	0	25332	SLV 8	25332	25632	211438	36388	36388	1	Si
2	0.14	25.13	0	-15451	SLV 9	-15451	-25632	-211438	-36388	-36388	1	Si
23	0.14	25.13	0	24765	SLV 8	24765	25632	211438	36388	36388	1	Si
23	0.14	25.13	0	-16018	SLV 9	-16018	-25632	-211438	-36388	-36388	1	Si
45	0.209	25.13	0	12486	SLV 8	12486	25632	211438	54582	54582	1	Si
45	0.209	25.13	0	-11715	SLV 9	-11715	-25632	-211438	-54582	-54582	1	Si

Verifiche SLD Resistenza a taglio

x	A st	A sl	A sag	Vela	Comb.	Vdes	Vrd	Vrcd	Vrsd	Vult	cotgθ	Verifica
0	0.157	25.13	0	15732	SLD 8	15732	25632	211438	40936	40936	1	Si
0	0.157	25.13	0	-5771	SLD 9	-5771	-25632	-211438	-40936	-40936	1	Si
2	0.14	25.13	0	15692	SLD 8	15692	25632	211438	36388	36388	1	Si
2	0.14	25.13	0	-5811	SLD 9	-5811	-25632	-211438	-36388	-36388	1	Si
23	0.14	25.13	0	15125	SLD 8	15125	25632	211438	36388	36388	1	Si
23	0.14	25.13	0	-6378	SLD 9	-6378	-25632	-211438	-36388	-36388	1	Si
45	0.209	25.13	0	6861	SLD 8	6861	25632	211438	54582	54582	1	Si
45	0.209	25.13	0	-6090	SLD 9	-6090	-25632	-211438	-54582	-54582	1	Si

Verifiche delle tensioni in esercizio

x	Rara								Quasi permanente						Verifica
	Mela	Comb.	Mdes	σ c	σ c lim.	σ f.	σ f lim.	Mela	Comb.	Mdes	σ c	σ c lim.	σ FRP	σ FRP lim.	

RELAZIONE GEOTECNICA E SULLE FONDAZIONI

x	Rara								Quasi permanente								Verifica
	Mela	Comb.	Mdes	σc	σc lim.	σf	σf lim.		Mela	Comb.	Mdes	σc	σc lim.	σFRP	σFRP lim.		
0	-422559	8	-422559	5.6	149.4	248	3600		-331305	4	-331305	4.4	112.1	0	+∞	Si	
23	-251320	8	-422559	5.6	149.4	248	3600		-173457	4	-331305	4.4	112.1	0	+∞	Si	
45	92091	1	92091	1.2	149.4	54.1	3600		92091	1	92091	1.2	112.1	0	+∞	Si	
45	-90238	8	-330963	4.4	149.4	194.3	3600		-21429	4	-246672	3.3	112.1	0	+∞	Si	

Verifica di apertura delle fessure

La campata non presenta apertura delle fessure

Verifica di deformabilità

x	Rara				Frequente				Quasi permanente								Verifica
	Elastica+	Elastica-	Fess.+	Fess.-	Elastica+	Elastica-	Fess.+	Fess.-	Elastica+	Elastica-	Fess. viscosa+	Comb.	Fess. viscosa-	Comb.	I/f		
17	0	0	0	0	0	0	0	0	0	0	0	1	0	1	9999	Si	
23	0	0	0	0	0	0	0	0	0	0	0	1	0	1	9999	Si	

Campata 7 tra i fili ? - Palo38, sezione R 90x80, asta 2379

Verifiche a flessione in famiglia SLU

x	A sup.	C.b. sup.	A inf.	C.b. inf.	M+ela	Comb.	M+des	M+ult	x/d	M-ela	Comb.	M-des	M-ult	x/d	Verifica
0	25.13	6	25.13	6	19080	SLU 9	19080	6915255	0.095	-234204	SLU 8	-289476	-6915255	0.095	Si
15	25.13	6	25.13	6	-31114	SLU 1	19080	6915255	0.095	-289476	SLU 16	-289476	-6915255	0.095	Si
22	25.13	6	25.13	6	-55528	SLU 1	329	6915255	0.095	-321287	SLU 16	-316735	-6915255	0.095	Si
45	25.13	6	25.13	6						-424620	SLU 16	-351783	-6915255	0.095	Si

Verifiche a flessione in famiglia SLV (domini sostanzialmente elastici)

La struttura oppure parte di essa, è stata dichiarata come non dissipativa pertanto la verifica a pressoflessione, per tutte o solo alcune sezioni, viene eseguita calcolando i momenti resistenti in campo sostanzialmente elastico secondo D.M. 17-01-2018 §7.4.1

Le dilatazioni ultime utilizzate sono le seguenti: $\epsilon c2= 0.002$, $\epsilon yd= 0.0019$

x	A sup.	C.b. sup.	A inf.	C.b. inf.	M+ela	Comb.	M+des	M+ult	x/d	M-ela	Comb.	M-des	M-ult	x/d	Verifica
0	25.13	6	25.13	6	1605440	SLV 12	1605440	6635554	0.225	-1784602	SLV 5	-1784602	-6635554	0.225	Si
12	25.13	6	25.13	6	1460303	SLV 12	1605440	6635554	0.225	-1712388	SLV 5	-1784602	-6635554	0.225	Si
15	25.13	6	25.13	6	1423686	SLV 12	1605440	6635554	0.225	-1694812	SLV 5	-1784602	-6635554	0.225	Si
22	25.13	6	25.13	6	1331580	SLV 12	1331580	6635554	0.225	-1651726	SLV 5	-1651726	-6635554	0.225	Si
45	25.13	6	25.13	6	1050775	SLV 12	1050775	6635554	0.225	-1530129	SLV 5	-1530129	-6635554	0.225	Si

Verifiche SLD Resistenza a flessione (domini sostanzialmente elastici)

La struttura oppure parte di essa, è stata dichiarata come non dissipativa pertanto la verifica a pressoflessione, per tutte o solo alcune sezioni, viene eseguita calcolando i momenti resistenti in campo sostanzialmente elastico secondo D.M. 17-01-2018 §7.4.1

Le dilatazioni ultime utilizzate sono le seguenti: $\epsilon c2= 0.002$, $\epsilon yd= 0.0019$

x	A sup.	C.b. sup.	A inf.	C.b. inf.	M+ela	Comb.	M+des	M+ult	x/d	M-ela	Comb.	M-des	M-ult	x/d	Verifica
0	25.13	6	25.13	6	813330	SLD 12	813330	6635554	0.225	-992492	SLD 5	-992492	-6635554	0.225	Si
12	25.13	6	25.13	6	719599	SLD 12	813330	6635554	0.225	-971684	SLD 5	-992492	-6635554	0.225	Si
15	25.13	6	25.13	6	695797	SLD 12	813330	6635554	0.225	-966922	SLD 5	-992492	-6635554	0.225	Si
22	25.13	6	25.13	6	635653	SLD 12	635653	6635554	0.225	-955798	SLD 5	-955718	-6635554	0.225	Si
45	25.13	6	25.13	6	449924	SLD 12	449924	6635554	0.225	-929278	SLD 5	-929278	-6635554	0.225	Si

Verifiche a taglio in famiglia SLU

x	A st	A sl	A sag	Vela	Comb.	Vdes	Vrd	Vrcd	Vrsd	Vult	cotgθ	Verifica
0	0.209	25.13	0	-3816	SLU 13	-3816	-25632	-211438	-54582	-54582	1	Si
15	0.209	25.13	0	-4167	SLU 13	-4167	-25632	-211438	-54582	-54582	1	Si
22	0	25.13	0	-4343	SLU 13	-4343	-25632	-211438	0	-25632	1	Si
45	0	25.13	0	-4869	SLU 13	-4869	-25632	-211438	0	-25632	1	Si

Verifiche a taglio in famiglia SLV

x	A st	A sl	A sag	Vela	Comb.	Vdes	Vrd	Vrcd	Vrsd	Vult	cotgθ	Verifica
0	0.209	25.13	0	6515	SLV 6	6515	25632	211438	54582	54582	1	Si
0	0.209	25.13	0	-12376	SLV 11	-12376	-25632	-211438	-54582	-54582	1	Si
15	0.209	25.13	0	6245	SLV 6	6245	25632	211438	54582	54582	1	Si
15	0.209	25.13	0	-12646	SLV 11	-12646	-25632	-211438	-54582	-54582	1	Si
22	0	25.13	0	6110	SLV 6	6110	25632	211438	0	25632	1	Si
22	0	25.13	0	-12781	SLV 11	-12781	-25632	-211438	0	-25632	1	Si
45	0	25.13	0	5705	SLV 6	5705	25632	211438	0	25632	1	Si
45	0	25.13	0	-13186	SLV 11	-13186	-25632	-211438	0	-25632	1	Si

Verifiche SLD Resistenza a taglio

x	A st	A sl	A sag	Vela	Comb.	Vdes	Vrd	Vrcd	Vrsd	Vult	cotgθ	Verifica
0	0.209	25.13	0	2036	SLD 6	2036	25632	211438	54582	54582	1	Si
0	0.209	25.13	0	-7897	SLD 11	-7897	-25632	-211438	-54582	-54582	1	Si
15	0.209	25.13	0	1766	SLD 6	1766	25632	211438	54582	54582	1	Si
15	0.209	25.13	0	-8167	SLD 11	-8167	-25632	-211438	-54582	-54582	1	Si
22	0	25.13	0	1631	SLD 6	1631	25632	211438	0	25632	1	Si
22	0	25.13	0	-8302	SLD 11	-8302	-25632	-211438	0	-25632	1	Si
45	0	25.13	0	1226	SLD 6	1226	25632	211438	0	25632	1	Si
45	0	25.13	0	-8707	SLD 11	-8707	-25632	-211438	0	-25632	1	Si

Verifiche delle tensioni in esercizio

x	Rara								Quasi permanente								Verifica
	Mela	Comb.	Mdes	σc	σc lim.	σf	σf lim.		Mela	Comb.	Mdes	σc	σc lim.	σFRP	σFRP lim.		
0	14677	1	14677	0.2	149.4	8.6	3600		14677	1	14677	0.2	112.1	0	+∞	Si	
0	-151244	8	-197132	2.6	149.4	115.7	3600		-89581	4	-135563	1.8	112.1	0	+∞	Si	
15	-197132	8	-197132	2.6	149.4	115.7	3600		-135563	4	-135563	1.8	112.1	0	+∞	Si	
22	-221595	8	-218094	2.9	149.4	128	3600		-160073	4	-156566	2.1	112.1	0	+∞	Si	
45	-301059	8	-245046	3.3	149.4	143.8	3600		-239677	4	-183570	2.5	112.1	0	+∞	Si	

Verifica di apertura delle fessure

La campata non presenta apertura delle fessure

Verifica di deformabilità

x	Rara				Frequente				Quasi permanente								Verifica
	Elastica+	Elastica-	Fess.+	Fess.-	Elastica+	Elastica-	Fess.+	Fess.-	Elastica+	Elastica-	Fess. viscosa+	Comb.	Fess. viscosa-	Comb.	I/f		
15	0	0	0	0	0	0	0	0	0	0	0	1	0	1	9999	Si	
22	0	0	0	0	0	0	0	0	0	0	0	1	0	1	9999	Si	
24	0	0	0	0	0	0	0	0	0	0	0	1	0	1	9999	Si	

Campata 8 tra i fili Palo38 - Palo34, sezione R 90x80, aste 2396, 2395

Verifiche a flessione in famiglia SLU

x	A sup.	C.b. sup.	A inf.	C.b. inf.	M+ela	Comb.	M+des	M+ult	x/d	M-ela	Comb.	M-des	M-ult	x/d	Verifica
0	25.13	6	25.13	6						-502017	SLU 16	-502017	-6915255	0.095	Si
30	25.13	6	25.13	6	-223252	SLU 1	1316	6915255	0.095	-513508	SLU 16	-627917	-6915255	0.095	Si
45	25.13	6	25.13	6	-308948	SLU 1	5265	6915255	0.095	-609164	SLU 16	-627917	-6915255	0.095	Si
60	25.13	6	25.13	6	-324001	SLU 1	1316	6915255	0.095	-627917	SLU 16	-627917	-6915255	0.095	Si
90	25.13	6	25.13	6						-681217	SLU 16	-649302	-6915255	0.095	Si

Verifiche a flessione in famiglia SLV (domini sostanzialmente elastici)

La struttura oppure parte di essa, è stata dichiarata come non dissipativa pertanto la verifica a pressoflessione, per tutte o solo alcune sezioni, viene eseguita calcolando i momenti resistenti in campo sostanzialmente elastico secondo D.M. 17-01-2018 §7.4.1

Le dilatazioni ultime utilizzate sono le seguenti: $\epsilon_{c2} = 0.002$, $\epsilon_{yd} = 0.0019$

x	A sup.	C.b. sup.	A inf.	C.b. inf.	M+ela	Comb.	M+des	M+ult	x/d	M-ela	Comb.	M-des	M-ult	x/d	Verifica
0	25.13	6	25.13	6	699034	SLV 12	628326	6635554	0.225	-1316362	SLV 5	-1248233	-6635554	0.225	Si
30	25.13	6	25.13	6	547977	SLV 12	547977	6635554	0.225	-1186665	SLV 5	-1186665	-6635554	0.225	Si
45	25.13	6	25.13	6	-23315	SLV 12	547977	6635554	0.225	-774104	SLV 5	-1186665	-6635554	0.225	Si
60	25.13	6	25.13	6	-103229	SLV 12	547977	6635554	0.225	-723732	SLV 5	-1186665	-6635554	0.225	Si
90	25.13	6	25.13	6						-680038	SLV 10	-646182	-6635554	0.225	Si

Verifiche SLD Resistenza a flessione (domini sostanzialmente elastici)

La struttura oppure parte di essa, è stata dichiarata come non dissipativa pertanto la verifica a pressoflessione, per tutte o solo alcune sezioni, viene eseguita calcolando i momenti resistenti in campo sostanzialmente elastico secondo D.M. 17-01-2018 §7.4.1

Le dilatazioni ultime utilizzate sono le seguenti: $\epsilon_{c2} = 0.002$, $\epsilon_{yd} = 0.0019$

x	A sup.	C.b. sup.	A inf.	C.b. inf.	M+ela	Comb.	M+des	M+ult	x/d	M-ela	Comb.	M-des	M-ult	x/d	Verifica
0	25.13	6	25.13	6	225944	SLD 12	187967	6635554	0.225	-843272	SLD 5	-807875	-6635554	0.225	Si
30	25.13	6	25.13	6	141128	SLD 12	141128	6635554	0.225	-779816	SLD 5	-779816	-6635554	0.225	Si
45	25.13	6	25.13	6	-198346	SLD 12	141128	6635554	0.225	-599073	SLD 5	-779816	-6635554	0.225	Si
60	25.13	6	25.13	6	-247722	SLD 12	141128	6635554	0.225	-579239	SLD 5	-779816	-6635554	0.225	Si
90	25.13	6	25.13	6						-574683	SLD 10	-546730	-6635554	0.225	Si

Verifiche a taglio in famiglia SLU

x	A st	A sl	A sag	Vela	Comb.	Vdes	Vrd	Vrcd	Vrsd	Vult	cotgθ	Verifica
0	0	25.13	0	14	SLU 8	14	25632	211438	0	25632	1	Si
0	0	25.13	0	-199	SLU 9	-199	-25632	-211438	0	-25632	1	Si
30	0.209	25.13	0	-901	SLU 9	-901	-25632	-211438	-54582	-54582	1	Si
45	0.209	25.13	0	-1131	SLU 10	-1131	-25632	-211438	-54582	-54582	1	Si
60	0.209	25.13	0	-1482	SLU 10	-1482	-25632	-211438	-54582	-54582	1	Si
90	0	25.13	0	-2184	SLU 10	-2184	-25632	-211438	0	-25632	1	Si

Verifiche a taglio in famiglia SLV

x	A st	A sl	A sag	Vela	Comb.	Vdes	Vrd	Vrcd	Vrsd	Vult	cotgθ	Verifica
0	0	25.13	0	4645	SLV 5	4645	25632	211438	0	25632	1	Si
0	0	25.13	0	-4817	SLV 12	-4817	-25632	-211438	0	-25632	1	Si
30	0.209	25.13	0	4105	SLV 5	4105	25632	211438	54582	54582	1	Si
30	0.209	25.13	0	-5357	SLV 12	-5357	-25632	-211438	-54582	-54582	1	Si
45	0.209	25.13	0	4309	SLV 1	4309	25632	211438	54582	54582	1	Si
45	0.209	25.13	0	-6008	SLV 16	-6008	-25632	-211438	-54582	-54582	1	Si
60	0.209	25.13	0	4039	SLV 1	4039	25632	211438	54582	54582	1	Si
60	0.209	25.13	0	-6278	SLV 16	-6278	-25632	-211438	-54582	-54582	1	Si
90	0	25.13	0	3499	SLV 1	3499	25632	211438	0	25632	1	Si
90	0	25.13	0	-6818	SLV 16	-6818	-25632	-211438	0	-25632	1	Si

Verifiche SLD Resistenza a taglio

x	A st	A sl	A sag	Vela	Comb.	Vdes	Vrd	Vrcd	Vrsd	Vult	cotgθ	Verifica
0	0	25.13	0	2411	SLD 5	2411	25632	211438	0	25632	1	Si
0	0	25.13	0	-2583	SLD 12	-2583	-25632	-211438	0	-25632	1	Si
30	0.209	25.13	0	1871	SLD 5	1871	25632	211438	54582	54582	1	Si
30	0.209	25.13	0	-3123	SLD 12	-3123	-25632	-211438	-54582	-54582	1	Si
45	0.209	25.13	0	1814	SLD 5	1814	25632	211438	54582	54582	1	Si
45	0.209	25.13	0	-3514	SLD 12	-3514	-25632	-211438	-54582	-54582	1	Si
60	0.209	25.13	0	1544	SLD 5	1544	25632	211438	54582	54582	1	Si
60	0.209	25.13	0	-3784	SLD 12	-3784	-25632	-211438	-54582	-54582	1	Si
90	0	25.13	0	1004	SLD 5	1004	25632	211438	0	25632	1	Si
90	0	25.13	0	-4324	SLD 12	-4324	-25632	-211438	0	-25632	1	Si

Verifiche delle tensioni in esercizio

x	Rara								Quasi permanente								Verifica
	Mela	Comb.	Mdes	σ c	σ c lim.	σ f.	σ f lim.	Mela	Comb.	Mdes	σ c	σ c lim.	σ FRP	σ FRP lim.			
0	-362752	8	-362752	4.8	149.4	212.9	3600	-308664	4	-308664	4.1	112.1	0	+∞	Si		
30	-372105	8	-461811	6.2	149.4	271.1	3600	-319344	4	-413481	5.5	112.1	0	+∞	Si		
45	-447302	8	-461811	6.2	149.4	271.1	3600	-398709	4	-413481	5.5	112.1	0	+∞	Si		
60	-461811	8	-461811	6.2	149.4	271.1	3600	-413481	4	-413481	5.5	112.1	0	+∞	Si		
90	-502979	8	-478345	6.4	149.4	280.8	3600	-455174	4	-430277	5.7	112.1	0	+∞	Si		

Verifica di apertura delle fessure

La campata non presenta apertura delle fessure

Verifica di deformabilità

x	Rara				Frequente				Quasi permanente								Verifica
	Elastica+	Elastica-	Fess.+	Fess.-	Elastica+	Elastica-	Fess.+	Fess.-	Elastica+	Elastica-	Fess. viscosa+	Comb.	Fess. viscosa-	Comb.	l/f		
30	0	0	0	0	0	0	0	0	0	0	0	1	-0.001	1	9999	Si	
45	0	0	0	0	0	0	0	0	0	0	0	1	-0.001	1	9999	Si	
48	0	0	0	0	0	0	0	0	0	0	0	1	-0.001	1	9999	Si	
60	0	0	0	0	0	0	0	0	0	0	0	1	-0.001	1	9999	Si	

Campata 9 tra i fili Palo34 - Palo34, sezione R 90x80, asta 940

Verifiche a flessione in famiglia SLU

x	A sup.	C.b. sup.	A inf.	C.b. inf.	M+ela	Comb.	M+des	M+ult	x/d	M-ela	Comb.	M-des	M-ult	x/d	Verifica
0	25.13	6	25.13	6						-477614	SLU 16	-390819	-6915255	0.095	Si
30	25.13	6	25.13	6						-314546	SLU 16	-314546	-6915255	0.095	Si
35	25.13	6	25.13	6						-289406	SLU 16	-314546	-6915255	0.095	Si
70	25.13	6	25.13	6						-129863	SLU 16	-281007	-6915255	0.095	Si

Verifiche a flessione in famiglia SLV (domini sostanzialmente elastici)

La struttura oppure parte di essa, è stata dichiarata come non dissipativa pertanto la verifica a pressoflessione, per tutte o solo alcune sezioni, viene eseguita calcolando i momenti resistenti in campo sostanzialmente elastico secondo D.M. 17-01-2018 §7.4.1

RELAZIONE GEOTECNICA E SULLE FONDAZIONI

Le dilatazioni ultime utilizzate sono le seguenti: $\epsilon_c=0.002$, $\epsilon_{yd}=0.0019$

x	A sup.	C.b. sup.	A inf.	C.b. inf.	M+ela	Comb.	M+des	M+ult	x/d	M-ela	Comb.	M-des	M-ult	x/d	Verifica
0	25.13	6	25.13	6	11275	SLV 13	11275	6635554	0.225	-657783	SLV 4	-539122	-6635554	0.225	Si
30	25.13	6	25.13	6	17447	SLV 13	17447	6635554	0.225	-441359	SLV 4	-441359	-6635554	0.225	Si
35	25.13	6	25.13	6	16969	SLV 13	17447	6635554	0.225	-406918	SLV 4	-441359	-6635554	0.225	Si
70	25.13	6	25.13	6	2955	SLV 13	16700	6635554	0.225	-180445	SLV 4	-395331	-6635554	0.225	Si

Verifiche SLD Resistenza a flessione (domini sostanzialmente elastici)

La struttura oppure parte di essa, è stata dichiarata come non dissipativa pertanto la verifica a pressoflessione, per tutte o solo alcune sezioni, viene eseguita calcolando i momenti resistenti in campo sostanzialmente elastico secondo D.M. 17-01-2018 §7.4.1

Le dilatazioni ultime utilizzate sono le seguenti: $\epsilon_c=0.002$, $\epsilon_{yd}=0.0019$

x	A sup.	C.b. sup.	A inf.	C.b. inf.	M+ela	Comb.	M+des	M+ult	x/d	M-ela	Comb.	M-des	M-ult	x/d	Verifica
0	25.13	6	25.13	6						-493116	SLD 4	-403435	-6635554	0.225	Si
30	25.13	6	25.13	6						-328438	SLD 4	-328438	-6635554	0.225	Si
35	25.13	6	25.13	6						-302595	SLD 4	-328438	-6635554	0.225	Si
70	25.13	6	25.13	6						-135437	SLD 4	-293927	-6635554	0.225	Si

Verifiche a taglio in famiglia SLU

x	A st	A sl	A sag	Vela	Comb.	Vdes	Vrd	Vrcd	Vrsd	Vult	cotgθ	Verifica
0	0	25.13	0	5787	SLV 16	5787	25632	211438	0	25632	1	Si
30	0.157	25.13	0	5085	SLV 16	5085	25632	211438	40936	40936	1	Si
35	0.157	25.13	0	4968	SLV 16	4968	25632	211438	40936	40936	1	Si
70	0.157	25.13	0	4149	SLV 16	4149	25632	211438	40936	40936	1	Si

Verifiche a taglio in famiglia SLV

x	A st	A sl	A sag	Vela	Comb.	Vdes	Vrd	Vrcd	Vrsd	Vult	cotgθ	Verifica
0	0	25.13	0	7501	SLV 2	7501	25632	211438	0	25632	1	Si
30	0.157	25.13	0	6961	SLV 2	6961	25632	211438	40936	40936	1	Si
30	0.157	25.13	0	-81	SLV 15	-81	-25632	-211438	-40936	-40936	1	Si
35	0.157	25.13	0	6871	SLV 2	6871	25632	211438	40936	40936	1	Si
35	0.157	25.13	0	-171	SLV 15	-171	-25632	-211438	-40936	-40936	1	Si
70	0.157	25.13	0	6241	SLV 2	6241	25632	211438	40936	40936	1	Si
70	0.157	25.13	0	-801	SLV 15	-801	-25632	-211438	-40936	-40936	1	Si

Verifiche SLD Resistenza a taglio

x	A st	A sl	A sag	Vela	Comb.	Vdes	Vrd	Vrcd	Vrsd	Vult	cotgθ	Verifica
0	0	25.13	0	5769	SLD 2	5769	25632	211438	0	25632	1	Si
30	0.157	25.13	0	5229	SLD 2	5229	25632	211438	40936	40936	1	Si
35	0.157	25.13	0	5139	SLD 2	5139	25632	211438	40936	40936	1	Si
70	0.157	25.13	0	4509	SLD 2	4509	25632	211438	40936	40936	1	Si

Verifiche delle tensioni in esercizio

x	Rara							Quasi permanente							Verifica
	Mela	Comb.	Mdes	σ c	σ c lim.	σ f.	σ f lim.	Mela	Comb.	Mdes	σ c	σ c lim.	σ FRP	σ FRP lim.	
0	-353428	8	-288884	3.9	149.4	169.6	3600	-323254	4	-263558	3.5	112.1	0	+∞	Si
30	-232433	8	-232433	3.1	149.4	136.4	3600	-211956	4	-211956	2.8	112.1	0	+∞	Si
35	-213836	8	-232433	3.1	149.4	136.4	3600	-194975	4	-211956	2.8	112.1	0	+∞	Si
70	-96294	8	-207627	2.8	149.4	121.9	3600	-88745	4	-189315	2.5	112.1	0	+∞	Si

Verifica di apertura delle fessure

La campata non presenta apertura delle fessure

Verifica di deformabilità

x	Rara				Frequente				Quasi permanente						Verifica
	Elastica+	Elastica-	Fess.+	Fess.-	Elastica+	Elastica-	Fess.+	Fess.-	Elastica+	Elastica-	Fess. viscosa+	Comb.	Fess. viscosa-	Comb.	I/f
30	0	0	0	0	0	0	0	0	0	0	0	1	0	1	9999
33	0	0	0	0	0	0	0	0	0	0	0	1	0	1	9999
35	0	0	0	0	0	0	0	0	0	0	0	1	0	1	9999

Trave a "Fondazione" Pil.A9-Pil.A11

Caratteristiche dei materiali

Acciaio: B450C Fyk 4500
Calcestruzzo: C25/30 Rck 300

Elenco delle sezioni

N°	Descrizione	Tipo	Base	Altezza	Copriferro sup.	Copriferro inf.	Copriferro lat.
1	R 90x80	Rettangolare	90	80	4	4	4

Output campate

Campata 1 tra i fili Pil.A9 - Palo21, sezione R 90x80, asta 2302

Verifiche a flessione in famiglia SLU

x	A sup.	C.b. sup.	A inf.	C.b. inf.	M+ela	Comb.	M+des	M+ult	x/d	M-ela	Comb.	M-des	M-ult	x/d	Verifica
0	31.42	6	31.42	6	6277220	SLV 16	4732007	8588058	0.102						Si
45	31.42	6	31.42	6	3163165	SLV 16	3163165	8588058	0.102						Si
77	31.42	6	31.42	6	884819	SLV 16	3163165	8588058	0.102	505522	SLV 1	-1475441	-8588058	0.102	Si
125	31.42	6	31.42	6						-2489696	SLV 16	-2489696	-8588058	0.102	Si
155	31.42	6	31.42	6						-4648125	SLV 16	-3563670	-8588058	0.102	Si

Verifiche a flessione in famiglia SLV (domini sostanzialmente elastici)

La struttura oppure parte di essa, è stata dichiarata come non dissipativa pertanto la verifica a pressoflessione, per tutte o solo alcune sezioni, viene eseguita calcolando i momenti resistenti in campo sostanzialmente elastico secondo D.M. 17-01-2018 §7.4.1

Le dilatazioni ultime utilizzate sono le seguenti: $\epsilon_c=0.002$, $\epsilon_{yd}=0.0019$

x	A sup.	C.b. sup.	A inf.	C.b. inf.	M+ela	Comb.	M+des	M+ult	x/d	M-ela	Comb.	M-des	M-ult	x/d	Verifica
0	31.42	6	31.42	6	8171411	SLV 13	7123794	8238298	0.245						Si
45	31.42	6	31.42	6	5831090	SLV 13	5831090	8238298	0.245	-1630397	SLV 4	-2963194	-8238298	0.245	Si
77	31.42	6	31.42	6	4148683	SLV 13	5831090	8238298	0.245	-2930389	SLV 4	-4416978	-8238298	0.245	Si
125	31.42	6	31.42	6	1901286	SLV 16	3352523	8238298	0.245	-5110531	SLV 1	-5110531	-8238298	0.245	Si
155	31.42	6	31.42	6	573868	SLV 16	573868	8238298	0.245	-6621224	SLV 1	-5814257	-8238298	0.245	Si

Verifiche SLD Resistenza a flessione (domini sostanzialmente elastici)

La struttura oppure parte di essa, è stata dichiarata come non dissipativa pertanto la verifica a pressoflessione, per tutte o solo alcune sezioni, viene eseguita calcolando i momenti resistenti in campo sostanzialmente elastico secondo D.M. 17-01-2018 §7.4.1

RELAZIONE GEOTECNICA E SULLE FONDAZIONI

Le dilatazioni ultime utilizzate sono le seguenti: $\epsilon_c = 0.002$, $\epsilon_{yd} = 0.0019$

x	A sup.	C.b. sup.	A inf.	C.b. inf.	M+ela	Comb.	M+des	M+ult	x/d	M-ela	Comb.	M-des	M-ult	x/d	Verifica
0	31.42	6	31.42	6	6185833	SLD 13	5157098	8238298	0.245						Si
45	31.42	6	31.42	6	3994015	SLD 13	3994015	8238298	0.245	206678	SLD 4	-1220690	-8238298	0.245	Si
77	31.42	6	31.42	6	2404144	SLD 13	3994015	8238298	0.245	-1185850	SLD 4	-2702197	-8238298	0.245	Si
125	31.42	6	31.42	6	173286	SLD 16	1645803	8238298	0.245	-3382531	SLD 1	-3382531	-8238298	0.245	Si
155	31.42	6	31.42	6						-4848838	SLD 1	-4086872	-8238298	0.245	Si

Verifiche a taglio in famiglia SLU

x	A st	A sl	A sag	Vela	Comb.	Vdes	Vrd	Vrcd	Vrsd	Vult	cotgθ	Verifica
0	0	31.42	0	-68673	SLU 16	-68673	-27611	-211438	0	-27611	1	Si
45	0.314	31.42	0	-69726	SLU 16	-69726	-27611	-211438	-81874	-81874	1	Si
77	0.314	31.42	0	-70487	SLU 16	-70487	-27611	-211438	-81874	-81874	1	Si
125	0.314	31.42	0	-71598	SLU 16	-71598	-27611	-211438	-81874	-81874	1	Si
155	0	31.42	0	-72300	SLU 16	-72300	-27611	-211438	0	-27611	1	Si

Verifiche a taglio in famiglia SLV

x	A st	A sl	A sag	Vela	Comb.	Vdes	Vrd	Vrcd	Vrsd	Vult	cotgθ	Verifica
0	0	31.42	0	-61539	SLV 9	-61539	-27611	-211438	0	-27611	1	Si
45	0.314	31.42	0	-62349	SLV 9	-62349	-27611	-211438	-81874	-81874	1	Si
77	0.314	31.42	0	-62934	SLV 9	-62934	-27611	-211438	-81874	-81874	1	Si
125	0.314	31.42	0	-63789	SLV 9	-63789	-27611	-211438	-81874	-81874	1	Si
155	0	31.42	0	-64329	SLV 9	-64329	-27611	-211438	0	-27611	1	Si

Verifiche SLD Resistenza a taglio

x	A st	A sl	A sag	Vela	Comb.	Vdes	Vrd	Vrcd	Vrsd	Vult	cotgθ	Verifica
0	0	31.42	0	-53412	SLD 9	-53412	-27611	-211438	0	-27611	1	Si
45	0.314	31.42	0	-54222	SLD 9	-54222	-27611	-211438	-81874	-81874	1	Si
77	0.314	31.42	0	-54807	SLD 9	-54807	-27611	-211438	-81874	-81874	1	Si
125	0.314	31.42	0	-55662	SLD 9	-55662	-27611	-211438	-81874	-81874	1	Si
155	0	31.42	0	-56202	SLD 9	-56202	-27611	-211438	0	-27611	1	Si

Verifiche delle tensioni in esercizio

x	Rara							Quasi permanente							Verifica
	Mela	Comb.	Mdes	σ c	σ c lim.	σ f.	σ f lim.	Mela	Comb.	Mdes	σ c	σ c lim.	σ FRP	σ FRP lim.	
0	4620431	8	3485473	41.5	149.4	1645.2	3600	4133862	4	3126192	37.2	112.1	0	+∞	Si
45	2332339	8	2332339	27.8	149.4	1100.9	3600	2100347	4	2100347	25	112.1	0	+∞	Si
77	657282	8	2332339	27.8	149.4	1100.9	3600	609147	4	2100347	25	112.1	0	+∞	Si
125	-1825203	8	-1825203	21.7	149.4	861.5	3600	-1604622	4	-1604622	19.1	112.1	0	+∞	Si
155	-3413977	8	-2615559	31.1	149.4	1234.6	3600	-3023678	4	-2310119	27.5	112.1	0	+∞	Si

Verifica di apertura delle fessure

La campata non presenta apertura delle fessure

Verifica di deformabilità

x	Rara				Frequente				Quasi permanente								Verifica
	Elastica+	Elastica-	Fess.+	Fess.-	Elastica+	Elastica-	Fess.+	Fess.-	Elastica+	Elastica-	Fess. viscosa+	Comb.	Fess. viscosa-	Comb.	l/f		
41	0.003	0.002	0.002	0.002	0.003	0.002	0.002	0.002	0.003	0.002	0.006	4	0.004	4	9999	Si	
45	0.003	0.002	0.002	0.002	0.003	0.002	0.002	0.002	0.003	0.002	0.006	4	0.004	4	9999	Si	
77	0.002	0.001	0.002	0.001	0.002	0.001	0.001	0.001	0.002	0.001	0.004	4	0.003	4	9999	Si	
125	0	0	0	0	0	0	0	0	0	0	0	1	0	1	9999	Si	

Campata 2 tra i fili Palo21 - Palo22, sezione R 90x80, asta 2303

Verifiche a flessione in famiglia SLU

x	A sup.	C.b. sup.	A inf.	C.b. inf.	M+ela	Comb.	M+des	M+ult	x/d	M-ela	Comb.	M-des	M-ult	x/d	Verifica
0	31.42	6	31.42	6						-3791397	SLU 16	-3680914	-8588058	0.102	Si
30	31.42	6	31.42	6						-3580750	SLU 16	-3580750	-8588058	0.102	Si
135	31.42	6	31.42	6	-1536931	SLU 1	84242	8588058	0.102	-3008378	SLU 16	-3162096	-8588058	0.102	Si
240	31.42	6	31.42	6						-2694421	SLU 16	-2765940	-8588058	0.102	Si
270	31.42	6	31.42	6						-2651835	SLU 16	-2651835	-8588058	0.102	Si

Verifiche a flessione in famiglia SLV (domini sostanzialmente elastici)

La struttura oppure parte di essa, è stata dichiarata come non dissipativa pertanto la verifica a pressoflessione, per tutte o solo alcune sezioni, viene eseguita calcolando i momenti resistenti in campo sostanzialmente elastico secondo D.M. 17-01-2018 §7.4.1

Le dilatazioni ultime utilizzate sono le seguenti: $\epsilon_c = 0.002$, $\epsilon_{yd} = 0.0019$

x	A sup.	C.b. sup.	A inf.	C.b. inf.	M+ela	Comb.	M+des	M+ult	x/d	M-ela	Comb.	M-des	M-ult	x/d	Verifica
0	31.42	6	31.42	6	1986464	SLV 16	1728231	8238298	0.245	-6902566	SLV 1	-6497928	-8238298	0.245	Si
30	31.42	6	31.42	6	1457092	SLV 16	1457092	8238298	0.245	-6096260	SLV 1	-6096260	-8238298	0.245	Si
135	31.42	6	31.42	6	-500196	SLV 16	135490	8238298	0.245	-3423388	SLV 1	-4243238	-8238298	0.245	Si
240	31.42	6	31.42	6						-3050519	SLV 15	-3050519	-8238298	0.245	Si
270	31.42	6	31.42	6	64195	SLV 2	64195	8238298	0.245	-3651376	SLV 15	-3361959	-8238298	0.245	Si

Verifiche SLD Resistenza a flessione (domini sostanzialmente elastici)

La struttura oppure parte di essa, è stata dichiarata come non dissipativa pertanto la verifica a pressoflessione, per tutte o solo alcune sezioni, viene eseguita calcolando i momenti resistenti in campo sostanzialmente elastico secondo D.M. 17-01-2018 §7.4.1

Le dilatazioni ultime utilizzate sono le seguenti: $\epsilon_c = 0.002$, $\epsilon_{yd} = 0.0019$

x	A sup.	C.b. sup.	A inf.	C.b. inf.	M+ela	Comb.	M+des	M+ult	x/d	M-ela	Comb.	M-des	M-ult	x/d	Verifica
0	31.42	6	31.42	6						-4715873	SLD 1	-4474668	-8238298	0.245	Si
30	31.42	6	31.42	6						-4238770	SLD 1	-4238770	-8238298	0.245	Si
135	31.42	6	31.42	6						-2707250	SLD 1	-3168281	-8238298	0.245	Si
240	31.42	6	31.42	6						-2439047	SLD 15	-2439047	-8238298	0.245	Si
270	31.42	6	31.42	6						-2738152	SLD 15	-2592584	-8238298	0.245	Si

Verifiche a taglio in famiglia SLU

x	A st	A sl	A sag	Vela	Comb.	Vdes	Vrd	Vrcd	Vrsd	Vult	cotgθ	Verifica
0	0	31.42	0	7380	SLU 16	7380	27611	211438	0	27611	1	Si
30	0.15	31.42	0	6678	SLU 16	6678	27611	211438	38986	38986	1	Si
135	0.15	31.42	0	4221	SLU 16	4221	27611	211438	38986	38986	1	Si
240	0.15	31.42	0	1854	SLU 8	1854	27611	211438	38986	38986	1	Si
240	0.15	31.42	0	-392	SLU 9	-392	-27611	-211438	-38986	-38986	1	Si
270	0	31.42	0	1314	SLU 8	1314	27611	211438	0	27611	1	Si
270	0	31.42	0	-1094	SLU 9	-1094	-27611	-211438	0	-27611	1	Si

Verifiche a taglio in famiglia SLV

x	A st	A sl	A sag	Vela	Comb.	Vdes	Vrd	Vrcd	Vrsd	Vult	cotgθ	Verifica
0	0	31.42	0	27318	SLV 1	27318	27611	211438	0	27611	1	Si
0	0	31.42	0	-17536	SLV 16	-17536	-27611	-211438	0	-27611	1	Si
30	0.15	31.42	0	26778	SLV 1	26778	27611	211438	38986	38986	1	Si
30	0.15	31.42	0	-18076	SLV 16	-18076	-27611	-211438	-38986	-38986	1	Si

RELAZIONE GEOTECNICA E SULLE FONDAZIONI

x	A st	A sl	A sag	Vela	Comb.	Vdes	Vrd	Vrcd	Vrsd	Vult	cotgθ	Verifica
135	0.15	31.42	0	24888	SLV 1	24888	27611	211438	38986	38986	1	Si
135	0.15	31.42	0	-19966	SLV 16	-19966	-27611	-211438	-38986	-38986	1	Si
240	0.15	31.42	0	22998	SLV 1	22998	27611	211438	38986	38986	1	Si
240	0.15	31.42	0	-21856	SLV 16	-21856	-27611	-211438	-38986	-38986	1	Si
270	0	31.42	0	22458	SLV 1	22458	27611	211438	0	27611	1	Si
270	0	31.42	0	-22396	SLV 16	-22396	-27611	-211438	0	-27611	1	Si

Verifiche SLD Resistenza a taglio

x	A st	A sl	A sag	Vela	Comb.	Vdes	Vrd	Vrcd	Vrsd	Vult	cotgθ	Verifica
0	0	31.42	0	16267	SLD 1	16267	27611	211438	0	27611	1	Si
0	0	31.42	0	-6485	SLD 16	-6485	-27611	-211438	0	-27611	1	Si
30	0.15	31.42	0	15727	SLD 1	15727	27611	211438	38986	38986	1	Si
30	0.15	31.42	0	-7025	SLD 16	-7025	-27611	-211438	-38986	-38986	1	Si
135	0.15	31.42	0	13837	SLD 1	13837	27611	211438	38986	38986	1	Si
135	0.15	31.42	0	-8915	SLD 16	-8915	-27611	-211438	-38986	-38986	1	Si
240	0.15	31.42	0	11946	SLD 1	11946	27611	211438	38986	38986	1	Si
240	0.15	31.42	0	-10805	SLD 16	-10805	-27611	-211438	-38986	-38986	1	Si
270	0	31.42	0	11406	SLD 1	11406	27611	211438	0	27611	1	Si
270	0	31.42	0	-11345	SLD 16	-11345	-27611	-211438	0	-27611	1	Si

Verifiche delle tensioni in esercizio

x	Rara							Quasi permanente							Verifica
	Mela	Comb.	Mdes	σ c	σ c lim.	σ f.	σ f lim.	Mela	Comb.	Mdes	σ c	σ c lim.	σ FRP	σ FRP lim.	
0	-2782991	8	-2701320	32.2	149.4	1275.1	3600	-2458051	4	-2384849	28.4	112.1	0	+∞	Si
30	-2627586	8	-2627586	31.3	149.4	1240.3	3600	-2319584	4	-2319584	27.6	112.1	0	+∞	Si
135	-2210510	8	-2321393	27.6	149.4	1095.7	3600	-1961792	4	-2053874	24.4	112.1	0	+∞	Si
240	-1992213	8	-2039867	24.3	149.4	962.9	3600	-1802779	4	-1831632	21.8	112.1	0	+∞	Si
270	-1966086	8	-1966086	23.4	149.4	928	3600	-1793590	4	-1793590	21.3	112.1	0	+∞	Si

Verifica di apertura delle fessure

La campata non presenta apertura delle fessure

Verifica di deformabilità

x	Rara				Frequente				Quasi permanente						Verifica	
	Elastica+	Elastica-	Fess.+	Fess.-	Elastica+	Elastica-	Fess.+	Fess.-	Elastica+	Elastica-	Fess. viscosa+	Comb.	Fess. viscosa-	Comb.	l/f	
30	-0.005	-0.007	-0.004	-0.006	-0.005	-0.006	-0.004	-0.006	-0.005	-0.006	-0.011	1	-0.014	1	9999	Si
135	-0.012	-0.017	-0.011	-0.015	-0.012	-0.015	-0.011	-0.014	-0.012	-0.015	-0.026	1	-0.033	1	9999	Si
240	-0.004	-0.006	-0.004	-0.006	-0.004	-0.006	-0.004	-0.005	-0.004	-0.006	-0.01	1	-0.013	1	9999	Si

Campata 3 tra i fili Palo22 - Pil.A10, sezione R 90x80, asta 1611

Verifiche a flessione in famiglia SLU

x	A sup.	C.b. sup.	A inf.	C.b. inf.	M+ela	Comb.	M+des	M+ult	x/d	M-ela	Comb.	M-des	M-ult	x/d	Verifica
0	31.42	6	31.42	6						-2882291	SLU 16	-2097761	-8588058	0.102	Si
30	31.42	6	31.42	6	-762573	SLU 1	629908	8588058	0.102	-1207531	SLU 16	-1207531	-8588058	0.102	Si
77	31.42	6	31.42	6	1406550	SLU 16	3168413	8588058	0.102	533965	SLU 1	-482684	-8588058	0.102	Si
110	31.42	6	31.42	6	3168413	SLU 16	3168413	8588058	0.102						Si
155	31.42	6	31.42	6	5572397	SLU 16	4464356	8588058	0.102						Si

Verifiche a flessione in famiglia SLV (domini sostanzialmente elastici)

La struttura oppure parte di essa, è stata dichiarata come non dissipativa pertanto la verifica a pressoflessione, per tutte o solo alcune sezioni, viene eseguita calcolando i momenti resistenti in campo sostanzialmente elastico secondo D.M. 17-01-2018 §7.4.1

Le dilatazioni ultime utilizzate sono le seguenti: $\epsilon_c=0.002$, $\epsilon_{yd}=0.0019$

x	A sup.	C.b. sup.	A inf.	C.b. inf.	M+ela	Comb.	M+des	M+ult	x/d	M-ela	Comb.	M-des	M-ult	x/d	Verifica
0	31.42	6	31.42	6						-3179512	SLV 11	-2694596	-8238298	0.245	Si
30	31.42	6	31.42	6	1004841	SLV 2	3359168	8238298	0.245	-2720474	SLV 15	-2720474	-8238298	0.245	Si
77	31.42	6	31.42	6	4444995	SLV 1	6945646	8238298	0.245	-2791866	SLV 16	-3028677	-8238298	0.245	Si
110	31.42	6	31.42	6	6945646	SLV 1	6945646	8238298	0.245	-3028677	SLV 16	-3028677	-8238298	0.245	Si
155	31.42	6	31.42	6	10408563	SLV 1	8818019	8238298	0.245	-3411705	SLV 16	-3237895	-8238298	0.245	Si

Verifiche SLD Resistenza a flessione (domini sostanzialmente elastici)

La struttura oppure parte di essa, è stata dichiarata come non dissipativa pertanto la verifica a pressoflessione, per tutte o solo alcune sezioni, viene eseguita calcolando i momenti resistenti in campo sostanzialmente elastico secondo D.M. 17-01-2018 §7.4.1

Le dilatazioni ultime utilizzate sono le seguenti: $\epsilon_c=0.002$, $\epsilon_{yd}=0.0019$

x	A sup.	C.b. sup.	A inf.	C.b. inf.	M+ela	Comb.	M+des	M+ult	x/d	M-ela	Comb.	M-des	M-ult	x/d	Verifica
0	31.42	6	31.42	6						-2596699	SLD 11	-2075881	-8238298	0.245	Si
30	31.42	6	31.42	6	90035	SLD 2	1863418	8238298	0.245	-1805668	SLD 15	-1805668	-8238298	0.245	Si
77	31.42	6	31.42	6	2660095	SLD 1	4486743	8238298	0.245	-1006966	SLD 16	-1533992	-8238298	0.245	Si
110	31.42	6	31.42	6	4486743	SLD 1	4486743	8238298	0.245	-569774	SLD 16	-1018250	-8238298	0.245	Si
155	31.42	6	31.42	6	7004074	SLD 1	5847755	8238298	0.245	-7216	SLD 16	-7216	-8238298	0.245	Si

Verifiche a taglio in famiglia SLU

x	A st	A sl	A sag	Vela	Comb.	Vdes	Vrd	Vrcd	Vrsd	Vult	cotgθ	Verifica
0	0	31.42	0	60005	SLU 16	60005	27611	211438	0	27611	1	Si
30	0.353	31.42	0	59349	SLU 16	59349	27611	211438	92108	92108	1	Si
77	0.353	31.42	0	58309	SLU 16	58309	27611	211438	92108	92108	1	Si
110	0.353	31.42	0	57597	SLU 16	57597	27611	211438	92108	92108	1	Si
155	0	31.42	0	56612	SLU 16	56612	27611	211438	0	27611	1	Si

Verifiche a taglio in famiglia SLV

x	A st	A sl	A sag	Vela	Comb.	Vdes	Vrd	Vrcd	Vrsd	Vult	cotgθ	Verifica
0	0	31.42	0	85069	SLV 1	85069	27611	211438	0	27611	1	Si
0	0	31.42	0	-7446	SLV 16	-7446	-27611	-211438	0	-27611	1	Si
30	0.353	31.42	0	84564	SLV 1	84564	27611	211438	92108	92108	1	Si
30	0.353	31.42	0	-7952	SLV 16	-7952	-27611	-211438	-92108	-92108	1	Si
77	0.353	31.42	0	83764	SLV 1	83764	27611	211438	92108	92108	1	Si
77	0.353	31.42	0	-8751	SLV 16	-8751	-27611	-211438	-92108	-92108	1	Si
110	0.353	31.42	0	83217	SLV 1	83217	27611	211438	92108	92108	1	Si
110	0.353	31.42	0	-9299	SLV 16	-9299	-27611	-211438	-92108	-92108	1	Si
155	0	31.42	0	82459	SLV 1	82459	27611	211438	0	27611	1	Si
155	0	31.42	0	-10056	SLV 16	-10056	-27611	-211438	0	-27611	1	Si

Verifiche SLD Resistenza a taglio

x	A st	A sl	A sag	Vela	Comb.	Vdes	Vrd	Vrcd	Vrsd	Vult	cotgθ	Verifica
0	0	31.42	0	62342	SLD 1	62342	27611	211438	0	27611	1	Si
30	0.353	31.42	0	61836	SLD 1	61836	27611	211438	92108	92108	1	Si
77	0.353	31.42	0	61037	SLD 1	61037	27611	211438	92108	92108	1	Si
110	0.353	31.42	0	60489	SLD 1	60489	27611	211438	92108	92108	1	Si
155	0	31.42	0	59732	SLD 1	59732	27611	211438	0	27611	1	Si

Verifiche delle tensioni in esercizio

x	Rara							Quasi permanente							Verifica	
	Mela	Comb.	Mdes	σ c	σ c lim.	σ f.	σ f lim.	Mela	Comb.	Mdes	σ c	σ c lim.	σ FRP	σ FRP lim.		
0	-2134822	8	-1559339	18.6	149.4	736	3600	-1939911	4	-1432407	17	112.1	0	+	+	Si
30	-906697	8	-906697	10.8	149.4	428	3600	-857817	4	-857817	10.2	112.1	0	+	+	Si
77	1008895	8	2299011	27.4	149.4	1085.2	3600	826564	4	1958484	23.3	112.1	0	+	+	Si
110	2299011	8	2299011	27.4	149.4	1085.2	3600	1958484	4	1958484	23.3	112.1	0	+	+	Si
155	4058002	8	3247665	38.7	149.4	1533	3600	3498429	4	2790062	33.2	112.1	0	+	+	Si

Verifica di apertura delle fessure

La campata non presenta apertura delle fessure

Verifica di deformabilità

x	Rara				Frequente				Quasi permanente							Verifica
	Elastica+	Elastica-	Fess.+	Fess.-	Elastica+	Elastica-	Fess.+	Fess.-	Elastica+	Elastica-	Fess. viscosa+	Comb.	Fess. viscosa-	Comb.	I/f	
30	0.001	0	0.001	0	0	0	0	0	0	0	0.001	4	0	4	9999	Si
77	0.002	0.001	0.002	0.001	0.002	0.001	0.002	0.001	0.002	0.001	0.004	4	0.003	4	9999	Si
103	0.003	0.002	0.003	0.001	0.003	0.002	0.002	0.001	0.002	0.002	0.005	4	0.004	4	9999	Si
110	0.003	0.002	0.003	0.001	0.003	0.002	0.002	0.001	0.002	0.002	0.005	4	0.004	4	9999	Si

Campata 4 tra i fili Pil.A10 - Palo23, sezione R 90x80, asta 945

Verifiche a flessione in famiglia SLU

x	A sup.	C.b. sup.	A inf.	C.b. inf.	M+ela	Comb.	M+des	M+ult	x/d	M-ela	Comb.	M-des	M-ult	x/d	Verifica
0	31.42	6	31.42	6	3942491	SLU 16	3077781	8588058	0.102						Si
45	31.42	6	31.42	6	2284797	SLU 16	2284797	8588058	0.102						Si
81	31.42	6	31.42	6	934773	SLU 16	2197791	8588058	0.102	285916	SLU 1	-488557	-8588058	0.102	Si
131	31.42	6	31.42	6	-728963	SLU 1	282717	8588058	0.102	-1041543	SLU 16	-1041543	-8588058	0.102	Si
161	31.42	6	31.42	6						-2244499	SLU 16	-1602349	-8588058	0.102	Si

Verifiche a flessione in famiglia SLV (domini sostanzialmente elastici)

La struttura oppure parte di essa, è stata dichiarata come non dissipativa pertanto la verifica a pressoflessione, per tutte o solo alcune sezioni, viene eseguita calcolando i momenti resistenti in campo sostanzialmente elastico secondo D.M. 17-01-2018 §7.4.1

Le dilatazioni ultime utilizzate sono le seguenti: $\epsilon c2= 0.002$, $\epsilon yd= 0.0019$

x	A sup.	C.b. sup.	A inf.	C.b. inf.	M+ela	Comb.	M+des	M+ult	x/d	M-ela	Comb.	M-des	M-ult	x/d	Verifica
0	31.42	6	31.42	6	5888255	SLV 1	5248357	8238298	0.245	-956079	SLV 16	-956079	-8238298	0.245	Si
45	31.42	6	31.42	6	4683662	SLV 1	4683662	8238298	0.245	-1892159	SLV 16	-2627353	-8238298	0.245	Si
81	31.42	6	31.42	6	3718642	SLV 1	4621072	8238298	0.245	-2679827	SLV 16	-3451093	-8238298	0.245	Si
131	31.42	6	31.42	6	2324024	SLV 1	3244754	8238298	0.245	-3864881	SLV 16	-3864881	-8238298	0.245	Si
161	31.42	6	31.42	6	1519712	SLV 2	1519712	8238298	0.245	-4638189	SLV 15	-4197898	-8238298	0.245	Si

Verifiche SLD Resistenza a flessione (domini sostanzialmente elastici)

La struttura oppure parte di essa, è stata dichiarata come non dissipativa pertanto la verifica a pressoflessione, per tutte o solo alcune sezioni, viene eseguita calcolando i momenti resistenti in campo sostanzialmente elastico secondo D.M. 17-01-2018 §7.4.1

Le dilatazioni ultime utilizzate sono le seguenti: $\epsilon c2= 0.002$, $\epsilon yd= 0.0019$

x	A sup.	C.b. sup.	A inf.	C.b. inf.	M+ela	Comb.	M+des	M+ult	x/d	M-ela	Comb.	M-des	M-ult	x/d	Verifica
0	31.42	6	31.42	6	4204281	SLD 1	3606513	8238298	0.245						Si
45	31.42	6	31.42	6	3067280	SLD 1	3067280	8238298	0.245	-275778	SLD 16	-1053532	-8238298	0.245	Si
81	31.42	6	31.42	6	2147595	SLD 1	3007860	8238298	0.245	-1108781	SLD 16	-1916893	-8238298	0.245	Si
131	31.42	6	31.42	6	807214	SLD 1	1693469	8238298	0.245	-2348072	SLD 16	-2348072	-8238298	0.245	Si
161	31.42	6	31.42	6	12472	SLD 2	12472	8238298	0.245	-3130949	SLD 15	-2698063	-8238298	0.245	Si

Verifiche a taglio in famiglia SLU

x	A st	A sl	A sag	Vela	Comb.	Vdes	Vrd	Vrcd	Vrsd	Vult	cotgθ	Verifica
0	0	31.42	0	-34125	SLU 16	-34125	-27611	-211438	0	-27611	1	Si
45	0.182	31.42	0	-35244	SLU 16	-35244	-27611	-211438	-47464	-47464	1	Si
81	0.182	31.42	0	-36129	SLU 16	-36129	-27611	-211438	-47464	-47464	1	Si
131	0.182	31.42	0	-37387	SLU 16	-37387	-27611	-211438	-47464	-47464	1	Si
161	0	31.42	0	-38133	SLU 16	-38133	-27611	-211438	0	-27611	1	Si

Verifiche a taglio in famiglia SLV

x	A st	A sl	A sag	Vela	Comb.	Vdes	Vrd	Vrcd	Vrsd	Vult	cotgθ	Verifica
0	0	31.42	0	-32008	SLV 7	-32008	-27611	-211438	0	-27611	1	Si
45	0.182	31.42	0	-32868	SLV 7	-32868	-27611	-211438	-47464	-47464	1	Si
81	0.182	31.42	0	-33549	SLV 7	-33549	-27611	-211438	-47464	-47464	1	Si
131	0.182	31.42	0	-34517	SLV 7	-34517	-27611	-211438	-47464	-47464	1	Si
161	0	31.42	0	-35090	SLV 7	-35090	-27611	-211438	0	-27611	1	Si

Verifiche SLD Resistenza a taglio

x	A st	A sl	A sag	Vela	Comb.	Vdes	Vrd	Vrcd	Vrsd	Vult	cotgθ	Verifica
0	0	31.42	0	-27316	SLD 7	-27316	-27611	-211438	0	-27611	1	Si
45	0.182	31.42	0	-28176	SLD 7	-28176	-27611	-211438	-47464	-47464	1	Si
81	0.182	31.42	0	-28857	SLD 7	-28857	-27611	-211438	-47464	-47464	1	Si
131	0.182	31.42	0	-29825	SLD 7	-29825	-27611	-211438	-47464	-47464	1	Si
161	0	31.42	0	-30398	SLD 7	-30398	-27611	-211438	0	-27611	1	Si

Verifiche delle tensioni in esercizio

x	Rara							Quasi permanente							Verifica
	Mela	Comb.	Mdes	σc	σc lim.	$\sigma f.$	σf lim.	Mela	Comb.	Mdes	σc	σc lim.	σFRP	σFRP lim.	
0	2867620	8	2234156	26.6	149.4	1054.6	3600	2466088	4	1909313	22.7	112.1	0	$+\infty$	Si
45	1652368	8	1652368	19.7	149.4	780	3600	1395751	4	1395751	16.6	112.1	0	$+\infty$	Si
81	661304	8	1588532	18.9	149.4	749.8	3600	519407	4	1339398	15.9	112.1	0	$+\infty$	Si
131	-791557	8	-791557	9.4	149.4	373.6	3600	-770429	4	-770429	9.2	112.1	0	$+\infty$	Si
161	-1676977	8	-1231208	14.7	149.4	581.2	3600	-1559239	4	-1137534	13.5	112.1	0	$+\infty$	Si

Verifica di apertura delle fessure

La campata non presenta apertura delle fessure

Verifica di deformabilità

Caratterizzazione di deformabilità																
x	Rara				Frequente				Quasi permanente							Verifica
	Elastica+	Elastica-	Fess.+	Fess.-	Elastica+	Elastica-	Fess.+	Fess.-	Elastica+	Elastica-	Fess. viscosa+	Comb.	Fess. viscosa-	Comb.	I/f	
45	0.003	0.001	0.002	0.001	0.002	0.001	0.002	0.001	0.002	0.001	0.004	4	0.002	4	9999	Si
48	0.003	0.001	0.002	0.001	0.002	0.001	0.002	0.001	0.002	0.001	0.004	4	0.002	4	9999	Si
81	0.002	0.001	0.002	0.001	0.002	0.001	0.001	0.001	0.002	0.001	0.003	4	0.002	4	9999	Si
131	0	0	0	0	0	0	0	0	0	0	0	4	0	4	9999	Si

Campata 5 tra i fili Palo23 - Pil.A11, sezione R 90x80, asta 944

Verifiche a flessione in famiglia SLU

x	A sup.	C.b. sup.	A inf.	C.b. inf.	M+ela	Comb.	M+des	M+ult	x/d	M-ela	Comb.	M-des	M-ult	x/d	Verifica
0	31.42	6	31.42	6						-2185679	SLU 16	-1931444	-8588058	0.102	Si
30	31.42	6	31.42	6						-1687656	SLU 16	-1687656	-8588058	0.102	Si
81	31.42	6	31.42	6	-546773	SLU 1	22151	8588058	0.102	-894754	SLU 16	-1409541	-8588058	0.102	Si
116	31.42	6	31.42	6						-372868	SLU 16	-859845	-8588058	0.102	Si
161	31.42	6	31.42	6	244057	SLU 16	52599	8588058	0.102						Si

Verifiche a flessione in famiglia SLV (domini sostanzialmente elastici)

La struttura oppure parte di essa, è stata dichiarata come non dissipativa pertanto la verifica a pressoflessione, per tutte o solo alcune sezioni, viene eseguita calcolando i momenti resistenti in campo sostanzialmente elastico secondo D.M. 17-01-2018 §7.4.1

Le dilatazioni ultime utilizzate sono le seguenti: $\epsilon_{c2} = 0.002$, $\epsilon_{yd} = 0.0019$

x	A sup.	C.b. sup.	A inf.	C.b. inf.	M+ela	Comb.	M+des	M+ult	x/d	M-ela	Comb.	M-des	M-ult	x/d	Verifica
0	31.42	6	31.42	6	1737824	SLV 2	1645972	8238298	0.245	-4839741	SLV 15	-2911425	-8238298	0.245	Si
30	31.42	6	31.42	6	1541409	SLV 2	1541409	8238298	0.245	-3926646	SLV 15	-3926646	-8238298	0.245	Si
81	31.42	6	31.42	6	1181020	SLV 2	1421693	8238298	0.245	-2429957	SLV 15	-3407655	-8238298	0.245	Si
116	31.42	6	31.42	6	933791	SLV 2	1163872	8238298	0.245	-1438623	SLV 15	-2362943	-8238298	0.245	Si
161	31.42	6	31.42	6	1073186	SLV 7	809631	8238298	0.245	-703166	SLV 10	-594605	-8238298	0.245	Si

Verifiche SLD Resistenza a flessione (domini sostanzialmente elastici)

La struttura oppure parte di essa, è stata dichiarata come non dissipativa pertanto la verifica a pressoflessione, per tutte o solo alcune sezioni, viene eseguita calcolando i momenti resistenti in campo sostanzialmente elastico secondo D.M. 17-01-2018 §7.4.1

Le dilatazioni ultime utilizzate sono le seguenti: $\epsilon_{c2} = 0.002$, $\epsilon_{yd} = 0.0019$

x	A sup.	C.b. sup.	A inf.	C.b. inf.	M+ela	Comb.	M+des	M+ult	x/d	M-ela	Comb.	M-des	M-ult	x/d	Verifica
0	31.42	6	31.42	6	134404	SLD 2	134404	8238298	0.245	-3236321	SLD 15	-2911425	-8238298	0.245	Si
30	31.42	6	31.42	6	206879	SLD 2	270076	8238298	0.245	-2592116	SLD 15	-2592116	-8238298	0.245	Si
81	31.42	6	31.42	6	296535	SLD 2	344447	8238298	0.245	-1545472	SLD 15	-2227918	-8238298	0.245	Si
116	31.42	6	31.42	6	349306	SLD 2	349306	8238298	0.245	-854137	SLD 15	-1498849	-8238298	0.245	Si
161	31.42	6	31.42	6	653388	SLD 7	400677	8238298	0.245	-283368	SLD 10	-217505	-8238298	0.245	Si

Verifiche a taglio in famiglia SLU

x	A st	A sl	A sag	Vela	Comb.	Vdes	Vrd	Vrcd	Vrsd	Vult	cotgθ	Verifica
0	0	31.42	0	16955	SLU 16	16955	27611	211438	0	27611	1	Si
30	0.146	31.42	0	16253	SLU 16	16253	27611	211438	37969	37969	1	Si
81	0.146	31.42	0	15068	SLU 16	15068	27611	211438	37969	37969	1	Si
116	0.146	31.42	0	14234	SLU 16	14234	27611	211438	37969	37969	1	Si
161	0	31.42	0	13181	SLU 16	13181	27611	211438	0	27611	1	Si

Verifiche a taglio in famiglia SLV

x	A st	A sl	A sag	Vela	Comb.	Vdes	Vrd	Vrcd	Vrsd	Vult	cotgθ	Verifica
0	0	31.42	0	35061	SLV 11	35061	27611	211438	0	27611	1	Si
0	0	31.42	0	-10627	SLV 6	-10627	-27611	-211438	0	-27611	1	Si
30	0.146	31.42	0	34521	SLV 11	34521	27611	211438	37969	37969	1	Si
30	0.146	31.42	0	-11167	SLV 6	-11167	-27611	-211438	-37969	-37969	1	Si
81	0.146	31.42	0	33610	SLV 11	33610	27611	211438	37969	37969	1	Si
81	0.146	31.42	0	-12079	SLV 6	-12079	-27611	-211438	-37969	-37969	1	Si
116	0.146	31.42	0	32968	SLV 11	32968	27611	211438	37969	37969	1	Si
116	0.146	31.42	0	-12720	SLV 6	-12720	-27611	-211438	-37969	-37969	1	Si
161	0	31.42	0	32158	SLV 11	32158	27611	211438	0	27611	1	Si
161	0	31.42	0	-13530	SLV 6	-13530	-27611	-211438	0	-27611	1	Si

Verifiche SLD Resistenza a taglio

x	A st	A sl	A sag	Vela	Comb.	Vdes	Vrd	Vrcd	Vrsd	Vult	cotgθ	Verifica
0	0	31.42	0	24316	SLD 11	24316	27611	211438	0	27611	1	Si
30	0.146	31.42	0	23776	SLD 11	23776	27611	211438	37969	37969	1	Si
30	0.146	31.42	0	-422	SLD 6	-422	-27611	-211438	-37969	-37969	1	Si
81	0.146	31.42	0	22864	SLD 11	22864	27611	211438	37969	37969	1	Si
81	0.146	31.42	0	-1333	SLD 6	-1333	-27611	-211438	-37969	-37969	1	Si
116	0.146	31.42	0	22223	SLD 11	22223	27611	211438	37969	37969	1	Si
116	0.146	31.42	0	-1975	SLD 6	-1975	-27611	-211438	-37969	-37969	1	Si
161	0	31.42	0	21413	SLD 11	21413	27611	211438	0	27611	1	Si
161	0	31.42	0	-2785	SLD 6	-2785	-27611	-211438	0	-27611	1	Si

Verifiche delle tensioni in esercizio

x	Rara								Quasi permanente								Verifica
	Mela	Comb.	Mdes	σ c	σ c lim.	σ f.	σ f lim.	Mela	Comb.	Mdes	σ c	σ c lim.	σ FRP	σ FRP lim.			
0	-1642649	8	-1450762	17.3	149.4	684.8	3600	-1550959	4	-1367770	16.3	112.1	0	+∞	Si		
30	-1266913	8	-1266913	15.1	149.4	598	3600	-1192619	4	-1192619	14.2	112.1	0	+∞	Si		
81	-669406	8	-1057227	12.6	149.4	499	3600	-624469	4	-992981	11.8	112.1	0	+∞	Si		
116	-276694	8	-643123	7.7	149.4	303.6	3600	-252416	4	-599535	7.1	112.1	0	+∞	Si		
161	186826	8	35852	0.4	149.4	16.9	3600	185010	4	24621	0.3	112.1	0	+∞	Si		

Verifica di apertura delle fessure

La campata non presenta apertura delle fessure

Verifica di deformabilità

x	Rara				Frequente				Quasi permanente						Verifica
	Elastica+	Elastica-	Fess.+	Fess.-	Elastica+	Elastica-	Fess.+	Fess.-	Elastica+	Elastica-	Fess. viscosa+	Comb.	Fess. viscosa-	Comb.	l/f
30	-0.001	-0.001	-0.001	-0.001	-0.001	-0.001	-0.001	-0.001	-0.001	-0.001	-0.003	1	-0.003	1	9999
65	-0.001	-0.002	-0.001	-0.002	-0.001	-0.002	-0.001	-0.002	-0.001	-0.002	-0.003	1	-0.004	1	9999
81	-0.001	-0.002	-0.001	-0.002	-0.001	-0.002	-0.001	-0.002	-0.001	-0.002	-0.003	1	-0.004	1	9999
116	-0.001	-0.001	-0.001	-0.001	-0.001	-0.001	-0.001	-0.001	-0.001	-0.001	-0.002	1	-0.002	1	9999

Trave a "Fondazione" Pil.A12-Platea A

Caratteristiche dei materiali

Acciaio: B450C Fyk 4500
Calcestruzzo: C25/30 Rck 300

Elenco delle sezioni

N°	Descrizione	Tipo	Base	Altezza	Copriferro sup.	Copriferro inf.	Copriferro lat.
1	R 90x80	Rettangolare	90	80	4	4	4

Output campate

Campata 1 tra i fili Pil.A12 - Palo13, sezione R 90x80, asta 2300

Verifiche a flessione in famiglia SLU

x	A sup.	C.b. sup.	A inf.	C.b. inf.	M+ela	Comb.	M+des	M+ult	x/d	M-ela	Comb.	M-des	M-ult	x/d	Verifica
0	31.42	6	31.42	6	1584984	SLU 16	448000	8588058	0.102						Si
45	31.42	6	31.42	6						-712611	SLU 16	-2443267	-8588058	0.102	Si
77	31.42	6	31.42	6	-1207204	SLU 1	19944	8588058	0.102	-2401305	SLU 16	-4157386	-8588058	0.102	Si
125	31.42	6	31.42	6						-4914016	SLU 16	-4914016	-8588058	0.102	Si
155	31.42	6	31.42	6						-6528139	SLU 16	-5715837	-8588058	0.102	Si

Verifiche a flessione in famiglia SLV (domini sostanzialmente elastici)

La struttura oppure parte di essa, è stata dichiarata come non dissipativa pertanto la verifica a pressoflessione, per tutte o solo alcune sezioni, viene eseguita calcolando i momenti resistenti in campo sostanzialmente elastico secondo D.M. 17-01-2018 §7.4.1

Le dilatazioni ultime utilizzate sono le seguenti: $\epsilon_c = 0.002$, $\epsilon_{yd} = 0.0019$

x	A sup.	C.b. sup.	A inf.	C.b. inf.	M+ela	Comb.	M+des	M+ult	x/d	M-ela	Comb.	M-des	M-ult	x/d	Verifica
0	31.42	6	31.42	6	3443108	SLV 16	2732950	8238298	0.245	-1366641	SLV 1	-1366641	-8238298	0.245	Si
45	31.42	6	31.42	6	2099136	SLV 16	2099136	8238298	0.245	-3009360	SLV 1	-4258128	-8238298	0.245	Si
77	31.42	6	31.42	6	1115344	SLV 16	2099136	8238298	0.245	-4227739	SLV 1	-5502703	-8238298	0.245	Si
125	31.42	6	31.42	6	-345455	SLV 16	681600	8238298	0.245	-6054139	SLV 1	-6054139	-8238298	0.245	Si
155	31.42	6	31.42	6						-7234196	SLV 1	-6660876	-8238298	0.245	Si

Verifiche SLD Resistenza a flessione (domini sostanzialmente elastici)

La struttura oppure parte di essa, è stata dichiarata come non dissipativa pertanto la verifica a pressoflessione, per tutte o solo alcune sezioni, viene eseguita calcolando i momenti resistenti in campo sostanzialmente elastico secondo D.M. 17-01-2018 §7.4.1

Le dilatazioni ultime utilizzate sono le seguenti: $\epsilon_c = 0.002$, $\epsilon_{yd} = 0.0019$

x	A sup.	C.b. sup.	A inf.	C.b. inf.	M+ela	Comb.	M+des	M+ult	x/d	M-ela	Comb.	M-des	M-ult	x/d	Verifica
0	31.42	6	31.42	6	2261290	SLD 16	1536209	8238298	0.245	-184823	SLD 1	-184823	-8238298	0.245	Si
45	31.42	6	31.42	6	843366	SLD 16	843366	8238298	0.245	-1753589	SLD 1	-2943001	-8238298	0.245	Si
77	31.42	6	31.42	6	-198311	SLD 16	843366	8238298	0.245	-2914084	SLD 1	-4126568	-8238298	0.245	Si
125	31.42	6	31.42	6						-4650537	SLD 1	-4650537	-8238298	0.245	Si
155	31.42	6	31.42	6						-5771145	SLD 1	-5217922	-8238298	0.245	Si

Verifiche a taglio in famiglia SLU

x	A st	A sl	A sag	Vela	Comb.	Vdes	Vrd	Vrcd	Vrsd	Vult	cotgθ	Verifica
0	0	31.42	0	-50530	SLU 16	-50530	-27611	-211438	0	-27611	1	Si
45	0.236	31.42	0	-51583	SLU 16	-51583	-27611	-211438	-61406	-61406	1	Si
77	0.236	31.42	0	-52343	SLU 16	-52343	-27611	-211438	-61406	-61406	1	Si
125	0.236	31.42	0	-53455	SLU 16	-53455	-27611	-211438	-61406	-61406	1	Si
155	0	31.42	0	-54157	SLU 16	-54157	-27611	-211438	0	-27611	1	Si

Verifiche a taglio in famiglia SLV

x	A st	A sl	A sag	Vela	Comb.	Vdes	Vrd	Vrcd	Vrsd	Vult	cotgθ	Verifica
0	0	31.42	0	-38984	SLV 5	-38984	-27611	-211438	0	-27611	1	Si
45	0.236	31.42	0	-39794	SLV 5	-39794	-27611	-211438	-61406	-61406	1	Si
77	0.236	31.42	0	-40379	SLV 5	-40379	-27611	-211438	-61406	-61406	1	Si
125	0.236	31.42	0	-41234	SLV 5	-41234	-27611	-211438	-61406	-61406	1	Si
155	0	31.42	0	-41774	SLV 5	-41774	-27611	-211438	0	-27611	1	Si

Verifiche SLD Resistenza a taglio

x	A st	A sl	A sag	Vela	Comb.	Vdes	Vrd	Vrcd	Vrsd	Vult	cotgθ	Verifica
0	0	31.42	0	-35981	SLD 5	-35981	-27611	-211438	0	-27611	1	Si
45	0.236	31.42	0	-36791	SLD 5	-36791	-27611	-211438	-61406	-61406	1	Si
77	0.236	31.42	0	-37376	SLD 5	-37376	-27611	-211438	-61406	-61406	1	Si
125	0.236	31.42	0	-38231	SLD 5	-38231	-27611	-211438	-61406	-61406	1	Si
155	0	31.42	0	-38771	SLD 5	-38771	-27611	-211438	0	-27611	1	Si

Verifiche delle tensioni in esercizio

x	Rara							Quasi permanente							Verifica
	Mela	Comb.	Mdes	σ c	σ c lim.	σ f.	σ f lim.	Mela	Comb.	Mdes	σ c	σ c lim.	σ FRP	σ FRP lim.	
0	1167256	8	332512	4	149.4	157	3600	1038234	4	300648	3.6	112.1	0	+∞	Si
45	-520408	8	-1792690	21.3	149.4	846.2	3600	-455112	4	-1583599	18.8	112.1	0	+∞	Si
77	-1761831	8	-3053671	36.3	149.4	1441.4	3600	-1556197	4	-2704243	32.2	112.1	0	+∞	Si
125	-3610540	8	-3610540	43	149.4	1704.2	3600	-3199797	4	-3199797	38.1	112.1	0	+∞	Si
155	-4799028	8	-4200753	50	149.4	1982.8	3600	-4258739	4	-3725237	44.3	112.1	0	+∞	Si

Verifica di apertura delle fessure

x	Bordo	Rara				Frequente				Quasi permanente				Verifica
		Dmax	Esm	Wd	Comb	Dmax	Esm	Wd	Comb	Dmax	Esm	Wd	Comb	
93	superiore	31.6	0.0005	0.0157	8	31.6	0.00047	0.0149	4	31.6	0.00045	0.0141	4	Si
125	superiore	31.6	0.0005	0.0157	8	31.6	0.00047	0.0149	4	31.6	0.00045	0.0141	4	Si
155	superiore	31.6	0.00058	0.0183	8	31.6	0.0006	0.0189	4	31.6	0.00057	0.0179	4	Si

Verifica di deformabilità

x	Rara				Frequente				Quasi permanente						Verifica	
	Elastica+	Elastica-	Fess.+	Fess.-	Elastica+	Elastica-	Fess.+	Fess.-	Elastica+	Elastica-	Fess. viscosa+	Comb.	Fess. viscosa-	Comb.	I/f	
45	-0.002	-0.002	-0.002	-0.003	-0.002	-0.002	-0.002	-0.002	-0.002	-0.002	-0.004	1	-0.006	1	9999	Si
77	-0.003	-0.004	-0.003	-0.004	-0.003	-0.004	-0.003	-0.004	-0.003	-0.004	-0.007	1	-0.009	1	9999	Si
98	-0.003	-0.004	-0.003	-0.005	-0.003	-0.004	-0.003	-0.004	-0.003	-0.004	-0.007	1	-0.01	1	9999	Si
125	-0.002	-0.004	-0.002	-0.004	-0.002	-0.003	-0.002	-0.003	-0.002	-0.003	-0.006	1	-0.009	1	9999	Si

Campata 2 tra i fili Palo13 - Palo14, sezione R 90x80, asta 2301

Verifiche a flessione in famiglia SLU

x	A sup.	C.b. sup.	A inf.	C.b. inf.	M+ela	Comb.	M+des	M+ult	x/d	M-ela	Comb.	M-des	M-ult	x/d	Verifica
0	31.42	6	31.42	6						-5473296	SLU 16	-5238340	-8588058	0.102	Si
30	31.42	6	31.42	6						-5013703	SLU 16	-5013703	-8588058	0.102	Si
135	31.42	6	31.42	6	-1836001	SLU 1	84242	8588058	0.102	-3570005	SLU 16	-4000053	-8588058	0.102	Si
240	34.56	6	47.12	6						-2384720	SLU 16	-2732570	-9423628	0.099	Si
270	34.56	6	47.12	6						-2093188	SLU 16	-2093188	-9423628	0.099	Si

Verifiche a flessione in famiglia SLV (domini sostanzialmente elastici)

La struttura oppure parte di essa, è stata dichiarata come non dissipativa pertanto la verifica a pressoflessione, per tutte o solo alcune sezioni, viene eseguita calcolando i momenti resistenti in campo sostanzialmente elastico secondo D.M. 17-01-2018 §7.4.1

Le dilatazioni ultime utilizzate sono le seguenti: $\epsilon_c = 0.002$, $\epsilon_{yd} = 0.0019$

x	A sup.	C.b. sup.	A inf.	C.b. inf.	M+ela	Comb.	M+des	M+ult	x/d	M-ela	Comb.	M-des	M-ult	x/d	Verifica
0	31.42	6	31.42	6	1067481	SLV 16	700820	8238298	0.245	-8223606	SLV 1	-7543584	-8238298	0.245	Si
30	31.42	6	31.42	6	324450	SLV 16	324450	8238298	0.245	-6869727	SLV 1	-6869727	-8238298	0.245	Si
135	31.42	6	31.42	6						-2759879	SLV 9	-3711588	-8238298	0.245	Si

RELAZIONE GEOTECNICA E SULLE FONDAZIONI

x	A sup.	C.b. sup.	A inf.	C.b. inf.	M+ela	Comb.	M+des	M+ult	x/d	M-ela	Comb.	M-des	M-ult	x/d	Verifica
240	34.56	6	47.12	6	2184794	SLV 1	2184794	12141349	0.297	-5359030	SLV 16	-5359030	-9078017	0.244	Si
270	34.56	6	47.12	6	3409038	SLV 1	2801950	12141349	0.297	-6230981	SLV 16	-5792101	-9078017	0.244	Si

Verifiche SLD Resistenza a flessione (domini sostanzialmente elastici)

La struttura oppure parte di essa, è stata dichiarata come non dissipativa pertanto la verifica a pressoflessione, per tutte o solo alcune sezioni, viene eseguita calcolando i momenti resistenti in campo sostanzialmente elastico secondo D.M. 17-01-2018 §7.4.1

Le dilatazioni ultime utilizzate sono le seguenti: $\epsilon_c = 0.002$, $\epsilon_{yd} = 0.0019$

x	A sup.	C.b. sup.	A inf.	C.b. inf.	M+ela	Comb.	M+des	M+ult	x/d	M-ela	Comb.	M-des	M-ult	x/d	Verifica
0	31.42	6	31.42	6						-5943048	SLD 1	-5520113	-8238298	0.245	Si
30	31.42	6	31.42	6						-5104206	SLD 1	-5104206	-8238298	0.245	Si
135	31.42	6	31.42	6						-2553737	SLD 9	-3171021	-8238298	0.245	Si
240	34.56	6	47.12	6	330547	SLD 1	330547	12141349	0.297	-3504783	SLD 16	-3504783	-9078017	0.244	Si
270	34.56	6	47.12	6	1039930	SLD 1	689754	12141349	0.297	-3861873	SLD 16	-3679905	-9078017	0.244	Si

Verifiche a taglio in famiglia SLU

x	A st	A sl	A sag	Vela	Comb.	Vdes	Vrd	Vrcd	Vrsd	Vult	cotgθ	Verifica
0	0	31.42	0	15678	SLU 16	15678	27611	211438	0	27611	1	Si
30	0.18	31.42	0	14976	SLU 16	14976	27611	211438	46784	46784	1	Si
135	0.18	31.42	0	12519	SLU 16	12519	27611	211438	46784	46784	1	Si
240	0.18	31.42	0	10062	SLU 16	10062	27611	211438	46784	46784	1	Si
270	0	34.56	0	9360	SLU 16	9360	28503	211438	0	28503	1	Si

Verifiche a taglio in famiglia SLV

x	A st	A sl	A sag	Vela	Comb.	Vdes	Vrd	Vrcd	Vrsd	Vult	cotgθ	Verifica
0	0	31.42	0	45464	SLV 1	45464	27611	211438	0	27611	1	Si
0	0	31.42	0	-24551	SLV 16	-24551	-27611	-211438	0	-27611	1	Si
30	0.18	31.42	0	44924	SLV 1	44924	27611	211438	46784	46784	1	Si
30	0.18	31.42	0	-25091	SLV 16	-25091	-27611	-211438	-46784	-46784	1	Si
135	0.18	31.42	0	43034	SLV 1	43034	27611	211438	46784	46784	1	Si
135	0.18	31.42	0	-26981	SLV 16	-26981	-27611	-211438	-46784	-46784	1	Si
240	0.18	31.42	0	41144	SLV 1	41144	27611	211438	46784	46784	1	Si
240	0.18	31.42	0	-28871	SLV 16	-28871	-27611	-211438	-46784	-46784	1	Si
270	0	31.42	0	40604	SLV 1	40604	27611	211438	0	27611	1	Si
270	0	34.56	0	-29411	SLV 16	-29411	-28503	-211438	0	-28503	1	Si

Verifiche SLD Resistenza a taglio

x	A st	A sl	A sag	Vela	Comb.	Vdes	Vrd	Vrcd	Vrsd	Vult	cotgθ	Verifica
0	0	31.42	0	28267	SLD 1	28267	27611	211438	0	27611	1	Si
0	0	31.42	0	-7355	SLD 16	-7355	-27611	-211438	0	-27611	1	Si
30	0.18	31.42	0	27727	SLD 1	27727	27611	211438	46784	46784	1	Si
30	0.18	31.42	0	-7895	SLD 16	-7895	-27611	-211438	-46784	-46784	1	Si
135	0.18	31.42	0	25837	SLD 1	25837	27611	211438	46784	46784	1	Si
135	0.18	31.42	0	-9785	SLD 16	-9785	-27611	-211438	-46784	-46784	1	Si
240	0.18	31.42	0	23947	SLD 1	23947	27611	211438	46784	46784	1	Si
240	0.18	31.42	0	-11675	SLD 16	-11675	-27611	-211438	-46784	-46784	1	Si
270	0	31.42	0	23407	SLD 1	23407	27611	211438	0	27611	1	Si
270	0	34.56	0	-12215	SLD 16	-12215	-28503	-211438	0	-28503	1	Si

Verifiche delle tensioni in esercizio

x	Rara							Quasi permanente							Verifica
	Mela	Comb.	Mdes	σ c	σ c lim.	σ f.	σ f lim.	Mela	Comb.	Mdes	σ c	σ c lim.	σ FRP	σ FRP lim.	
0	-4025054	8	-3851410	45.8	149.4	1817.9	3600	-3578063	4	-3421382	40.7	112.1	0	+∞	Si
30	-3685703	8	-3685703	43.9	149.4	1739.7	3600	-3272639	4	-3272639	39	112.1	0	+∞	Si
135	-2624803	8	-2939868	35	149.4	1387.7	3600	-2330488	4	-2607893	31	112.1	0	+∞	Si
240	-1762684	8	-2014518	21.4	149.4	862.8	3600	-1587118	4	-1801293	19.1	112.1	0	+∞	Si
270	-1552609	8	-1552609	16.5	149.4	665	3600	-1410972	4	-1410972	15	112.1	0	+∞	Si

Verifica di apertura delle fessure

x	Bordo	Rara				Frequente				Quasi permanente				Verifica
		Dmax	Esm	Wd	Comb	Dmax	Esm	Wd	Comb	Dmax	Esm	Wd	Comb	
0	superiore	31.6	0.00053	0.0167	8	31.6	0.00052	0.0166	4	31.6	0.0005	0.0157	4	Si
30	superiore	31.6	0.00051	0.016	8	31.6	0.00049	0.0155	4	31.6	0.00046	0.0146	4	Si
54	superiore	31.6	0.00051	0.016	8	31.6	0.00049	0.0155	4	31.6	0.00046	0.0146	4	Si

Verifica di deformabilità

x	Rara				Frequente				Quasi permanente						Verifica	
	Elastica+	Elastica-	Fess.+	Fess.-	Elastica+	Elastica-	Fess.+	Fess.-	Elastica+	Elastica-	Fess. viscosa+	Comb.	Fess. viscosa-	Comb.	I/f	
30	-0.006	-0.009	-0.006	-0.009	-0.006	-0.008	-0.006	-0.008	-0.006	-0.008	-0.014	1	-0.019	1	9999	Si
126	-0.014	-0.02	-0.013	-0.019	-0.014	-0.018	-0.013	-0.017	-0.014	-0.018	-0.031	1	-0.04	1	8755	Si
135	-0.014	-0.02	-0.012	-0.018	-0.014	-0.018	-0.012	-0.017	-0.014	-0.018	-0.031	1	-0.04	1	8804	Si
240	-0.005	-0.007	-0.004	-0.006	-0.005	-0.006	-0.004	-0.006	-0.005	-0.006	-0.011	1	-0.014	1	9999	Si

Campata 3 tra i fili Palo14 - Palo10, sezione R 90x80, asta 2240

Verifiche a flessione in famiglia SLU

x	A sup.	C.b. sup.	A inf.	C.b. inf.	M+ela	Comb.	M+des	M+ult	x/d	M-ela	Comb.	M-des	M-ult	x/d	Verifica
0	34.56	6	47.12	6						-2322885	SLU 16	-1897630	-9423628	0.099	Si
30	34.56	6	47.12	6	-648698	SLU 1	315034	12753605	0.126	-1066093	SLU 16	-1066093	-9423628	0.099	Si
73	34.56	6	47.12	6	719690	SLU 16	2081768	12753605	0.126	293250	SLU 1	-657112	-9423628	0.099	Si
116	34.56	6	47.12	6	2480814	SLU 16	2480814	12753605	0.126						Si
146	34.56	6	47.12	6	3691481	SLU 16	3289581	12753605	0.126						Si

Verifiche a flessione in famiglia SLV (domini sostanzialmente elastici)

La struttura oppure parte di essa, è stata dichiarata come non dissipativa pertanto la verifica a pressoflessione, per tutte o solo alcune sezioni, viene eseguita calcolando i momenti resistenti in campo sostanzialmente elastico secondo D.M. 17-01-2018 §7.4.1

Le dilatazioni ultime utilizzate sono le seguenti: $\epsilon_c = 0.002$, $\epsilon_{yd} = 0.0019$

x	A sup.	C.b. sup.	A inf.	C.b. inf.	M+ela	Comb.	M+des	M+ult	x/d	M-ela	Comb.	M-des	M-ult	x/d	Verifica
0	34.56	6	47.12	6	1604713	SLV 1	1604713	12141349	0.297	-4748259	SLV 16	-4748259	-9078017	0.244	Si
30	34.56	6	47.12	6	4270404	SLV 1	7233729	12141349	0.297	-5746407	SLV 16	-6880160	-9078017	0.244	Si
73	34.56	6	47.12	6	8106884	SLV 1	11060871	12141349	0.297	-7217870	SLV 16	-8371593	-9078017	0.244	Si
116	34.56	6	47.12	6	11930534	SLV 1	11930534	12141349	0.297	-8714440	SLV 16	-8714440	-9078017	0.244	Si
146	34.56	6	47.12	6	14580682	SLV 1	13696621	12141349	0.297	-9768006	SLV 16	-9413089	-9078017	0.244	Si

Verifiche SLD Resistenza a flessione (domini sostanzialmente elastici)

La struttura oppure parte di essa, è stata dichiarata come non dissipativa pertanto la verifica a pressoflessione, per tutte o solo alcune sezioni, viene eseguita calcolando i momenti resistenti in campo sostanzialmente elastico secondo D.M. 17-01-2018 §7.4.1

Le dilatazioni ultime utilizzate sono le seguenti: $\epsilon_c = 0.002$, $\epsilon_{yd} = 0.0019$

x	A sup.	C.b. sup.	A inf.	C.b. inf.	M+ela	Comb.	M+des	M+ult	x/d	M-ela	Comb.	M-des	M-ult	x/d	Verifica
0	34.56	6	47.12	6	39110	SLD 1	39110	12141349	0.297	-3182656	SLD 16	-3182656	-9078017	0.244	Si
30	34.56	6	47.12	6	1804802	SLD 1	3762317	12141349	0.297	-3280804	SLD 16	-3408747	-9078017	0.244	Si

RELAZIONE GEOTECNICA E SULLE FONDAZIONI

x	A sup.	C.b. sup.	A inf.	C.b. inf.	M+ela	Comb.	M+des	M+ult	x/d	M-ela	Comb.	M-des	M-ult	x/d	Verifica
73	34.56	6	47.12	6	4338244	SLD 1	6283970	12141349	0.297	-3449230	SLD 16	-3594691	-9078017	0.244	Si
116	34.56	6	47.12	6	6856023	SLD 1	6856023	12141349	0.297	-3639929	SLD 16	-3639929	-9078017	0.244	Si
146	34.56	6	47.12	6	8597110	SLD 1	8017175	12141349	0.297	-3784433	SLD 16	-3733642	-9078017	0.244	Si

Verifiche a taglio in famiglia SLU

x	A st	A sl	A sag	Vela	Comb.	Vdes	Vrd	Vrcd	Vrsd	Vult	cotgθ	Verifica
0	0	34.56	0	55964	SLU 16	55964	28503	211438	0	28503	1	Si
30	0.474	34.56	0	55436	SLU 16	55436	28503	211438	123404	123404	1	Si
73	0.474	47.12	0	54677	SLU 16	54677	31607	211438	123404	123404	1	Si
116	0.474	47.12	0	53918	SLU 16	53918	31607	211438	123404	123404	1	Si
146	0	47.12	0	53390	SLU 16	53390	31607	211438	0	31607	1	Si

Verifiche a taglio in famiglia SLV

x	A st	A sl	A sag	Vela	Comb.	Vdes	Vrd	Vrcd	Vrsd	Vult	cotgθ	Verifica
0	0	47.12	0	119313	SLV 1	119313	31607	211438	0	31607	1	Si
0	0	34.56	0	-45003	SLV 16	-45003	-28503	-211438	0	-28503	1	Si
30	0.474	47.12	0	118907	SLV 1	118907	31607	211438	123404	123404	1	Si
30	0.474	34.56	0	-45409	SLV 16	-45409	-28503	-211438	-123404	-123404	1	Si
73	0.474	47.12	0	118323	SLV 1	118323	31607	211438	123404	123404	1	Si
73	0.474	34.56	0	-45993	SLV 16	-45993	-28503	-211438	-123404	-123404	1	Si
116	0.474	47.12	0	117739	SLV 1	117739	31607	211438	123404	123404	1	Si
116	0.474	34.56	0	-46577	SLV 16	-46577	-28503	-211438	-123404	-123404	1	Si
146	0	47.12	0	117333	SLV 1	117333	31607	211438	0	31607	1	Si
146	0	34.56	0	-46983	SLV 16	-46983	-28503	-211438	0	-28503	1	Si

Verifiche SLD Resistenza a taglio

x	A st	A sl	A sag	Vela	Comb.	Vdes	Vrd	Vrcd	Vrsd	Vult	cotgθ	Verifica
0	0	47.12	0	78984	SLD 1	78984	31607	211438	0	31607	1	Si
0	0	34.56	0	-4674	SLD 16	-4674	-28503	-211438	0	-28503	1	Si
30	0.474	47.12	0	78578	SLD 1	78578	31607	211438	123404	123404	1	Si
30	0.474	34.56	0	-5080	SLD 16	-5080	-28503	-211438	-123404	-123404	1	Si
73	0.474	47.12	0	77994	SLD 1	77994	31607	211438	123404	123404	1	Si
73	0.474	34.56	0	-5664	SLD 16	-5664	-28503	-211438	-123404	-123404	1	Si
116	0.474	47.12	0	77410	SLD 1	77410	31607	211438	123404	123404	1	Si
116	0.474	34.56	0	-6248	SLD 16	-6248	-28503	-211438	-123404	-123404	1	Si
146	0	47.12	0	77004	SLD 1	77004	31607	211438	0	31607	1	Si
146	0	34.56	0	-6654	SLD 16	-6654	-28503	-211438	0	-28503	1	Si

Verifiche delle tensioni in esercizio

x	Rara							Quasi permanente							Verifica
	Mela	Comb.	Mdes	σ c	σ c lim.	σ f.	σ f lim.	Mela	Comb.	Mdes	σ c	σ c lim.	σ FRP	σ FRP lim.	
0	-1723939	8	-1410244	14.9	149.4	604	3600	-1571773	4	-1289236	13.7	112.1	0	$+\infty$	Si
30	-797222	8	-797222	8.4	149.4	341.5	3600	-738001	4	-738001	7.8	112.1	0	$+\infty$	Si
73	518893	8	1522195	15.6	149.4	485.6	3600	444507	4	1344639	13.7	112.1	0	$+\infty$	Si
116	1816040	8	1816040	18.6	149.4	579.3	3600	1608047	4	1608047	16.4	112.1	0	$+\infty$	Si
146	2707277	8	2411547	24.7	149.4	769.3	3600	2406338	4	2141766	21.9	112.1	0	$+\infty$	Si

Verifica di apertura delle fessure

La campata non presenta apertura delle fessure

Verifica di deformabilità

x	Rara				Frequente				Quasi permanente						Verifica	
	Elastica+	Elastica-	Fess.+	Fess.-	Elastica+	Elastica-	Fess.+	Fess.-	Elastica+	Elastica-	Fess. viscosa+	Comb.	Fess. viscosa-	Comb.	I/f	
30	0	0	0	0	0	0	0	0	0	0	0	4	0	4	9999	Si
73	0.001	0	0.001	0.001	0.001	0	0.001	0.001	0.001	0	0.002	4	0.001	4	9999	Si
102	0.001	0.001	0.001	0.001	0.001	0.001	0.001	0.001	0.001	0.001	0.003	4	0.002	4	9999	Si
116	0.001	0.001	0.001	0.001	0.001	0.001	0.001	0.001	0.001	0.001	0.002	4	0.002	4	9999	Si

Campata 4 tra i fili Palo10 - Palo15, sezione R 90x80, aste 2330, 2329

Verifiche a flessione in famiglia SLU

x	A sup.	C.b. sup.	A inf.	C.b. inf.	M+ela	Comb.	M+des	M+ult	x/d	M-ela	Comb.	M-des	M-ult	x/d	Verifica
0	34.56	6	47.12	6	1728115	SLU 16	1694098	12753605	0.126						Si
30	34.56	6	47.12	6	1641221	SLU 16	1718462	12753605	0.126						Si
45	34.47	6	47.12	6	1582945	SLU 16	1718462	12753669	0.127						Si
54	34.2	6	47.12	6	1445879	SLU 16	1718462	12752947	0.127						Si
60	34.02	6	47.12	6	1353650	SLU 16	1718462	12752996	0.127						Si
90	33.11	6	31.42	6	882188	SLU 16	882188	8588029	0.101						Si

Verifiche a flessione in famiglia SLV (domini sostanzialmente elastici)

La struttura oppure parte di essa, è stata dichiarata come non dissipativa pertanto la verifica a pressoflessione, per tutte o solo alcune sezioni, viene eseguita calcolando i momenti resistenti in campo sostanzialmente elastico secondo D.M. 17-01-2018 §7.4.1

Le dilatazioni ultime utilizzate sono le seguenti: $\epsilon_{c2} = 0.002$, $\epsilon_{yd} = 0.0019$

x	A sup.	C.b. sup.	A inf.	C.b. inf.	M+ela	Comb.	M+des	M+ult	x/d	M-ela	Comb.	M-des	M-ult	x/d	Verifica
0	34.56	6	47.12	6	7566105	SLV 1	6824210	12141349	0.297	-5373735	SLV 16	-4652104	-9078017	0.244	Si
30	34.56	6	47.12	6	5884971	SLV 1	6541483	12141349	0.297	-3754406	SLV 16	-4318117	-9078017	0.244	Si
45	34.47	6	47.12	6	6065124	SLV 1	6541483	12140666	0.297	-4017320	SLV 16	-4318117	-9055690	0.244	Si
60	34.02	6	47.12	6	5268711	SLV 1	6541483	12137612	0.297	-3518794	SLV 16	-4318117	-8941284	0.242	Si
90	33.11	6	31.42	6	3667012	SLV 1	3667012	8243708	0.244	-2532675	SLV 16	-2532675	-8663161	0.252	Si

Verifiche SLD Resistenza a flessione (domini sostanzialmente elastici)

La struttura oppure parte di essa, è stata dichiarata come non dissipativa pertanto la verifica a pressoflessione, per tutte o solo alcune sezioni, viene eseguita calcolando i momenti resistenti in campo sostanzialmente elastico secondo D.M. 17-01-2018 §7.4.1

Le dilatazioni ultime utilizzate sono le seguenti: $\epsilon_{c2} = 0.002$, $\epsilon_{yd} = 0.0019$

x	A sup.	C.b. sup.	A inf.	C.b. inf.	M+ela	Comb.	M+des	M+ult	x/d	M-ela	Comb.	M-des	M-ult	x/d	Verifica
0	34.56	6	47.12	6	4383307	SLD 1	4002272	12141349	0.297	-2190937	SLD 16	-1830167	-9078017	0.244	Si
30	34.56	6	47.12	6	3515524	SLD 1	3873557	12141349	0.297	-1384959	SLD 16	-1650190	-9078017	0.244	Si
45	34.47	6	47.12	6	3588308	SLD 1	3873557	12140666	0.297	-1540504	SLD 16	-1650190	-9055690	0.244	Si
60	34.02	6	47.12	6	3110336	SLD 1	3873557	12137612	0.297	-1360420	SLD 16	-1650190	-8941284	0.242	Si
90	33.11	6	31.42	6	2145037	SLD 1	2145037	8243708	0.244	-1010700	SLD 16	-1010700	-8663161	0.252	Si

Verifiche a taglio in famiglia SLU

x	A st	A sl	A sag	Vela	Comb.	Vdes	Vrd	Vrcd	Vrsd	Vult	cotgθ	Verifica
0	0	47.12	0	807	SLU 9	807	31607	211438	0	31607	1	Si
0	0	47.12	0	-3078	SLU 8	-3078	-31607	-211438	0	-31607	1	Si
30	0.314	47.12	0	174	SLU 9	174	31607	211438	81873	81873	1	Si
30	0.314	47.12	0	-3565	SLU 8	-3565	-31607	-211438	-81873	-81873	1	Si
45	0.314	47.12	0	-16774	SLU 16	-16774	-31607	-211438	-81873	-81873	1	Si
60	0.314	47.12	0	-17091	SLU 16	-17091	-31607	-211438	-81873	-81873	1	Si

RELAZIONE GEOTECNICA E SULLE FONDAZIONI

x	A st	A sl	A sag	Vela	Comb.	Vdes	Vrd	Vrcd	Vrsd	Vult	cotgθ	Verifica
90	0	47.12	0	-17725	SLV 16	-17725	-31607	-211438	0	-31607	1	Si

Verifiche a taglio in famiglia SLV

x	A st	A sl	A sag	Vela	Comb.	Vdes	Vrd	Vrcd	Vrsd	Vult	cotgθ	Verifica
0	0	34.02	0	60334	SLV 16	60334	28353	211438	0	28353	1	Si
0	0	47.12	0	-62128	SLV 1	-62128	-31607	-211438	0	-31607	1	Si
30	0.314	34.02	0	59847	SLV 16	59847	28353	211438	81873	81873	1	Si
30	0.314	47.12	0	-62616	SLV 1	-62616	-31607	-211438	-81873	-81873	1	Si
45	0.314	34.02	0	37000	SLV 16	37000	28353	211438	81873	81873	1	Si
45	0.314	47.12	0	-58755	SLV 1	-58755	-31607	-211438	-81873	-81873	1	Si
60	0.314	34.02	0	36757	SLV 16	36757	28353	211438	81873	81873	1	Si
60	0.314	47.12	0	-58998	SLV 1	-58998	-31607	-211438	-81873	-81873	1	Si
90	0	34.02	0	36269	SLV 16	36269	28353	211438	0	28353	1	Si
90	0	47.12	0	-59486	SLV 1	-59486	-31607	-211438	0	-31607	1	Si

Verifiche SLD Resistenza a taglio

x	A st	A sl	A sag	Vela	Comb.	Vdes	Vrd	Vrcd	Vrsd	Vult	cotgθ	Verifica
0	0	34.02	0	30168	SLD 16	30168	28353	211438	0	28353	1	Si
0	0	47.12	0	-31962	SLD 1	-31962	-31607	-211438	0	-31607	1	Si
30	0.314	34.02	0	29680	SLD 16	29680	28353	211438	81873	81873	1	Si
30	0.314	47.12	0	-32450	SLD 1	-32450	-31607	-211438	-81873	-81873	1	Si
45	0.314	34.02	0	13455	SLD 16	13455	28353	211438	81873	81873	1	Si
45	0.314	47.12	0	-35209	SLD 1	-35209	-31607	-211438	-81873	-81873	1	Si
60	0.314	34.02	0	13211	SLD 16	13211	28353	211438	81873	81873	1	Si
60	0.314	47.12	0	-35453	SLD 1	-35453	-31607	-211438	-81873	-81873	1	Si
90	0	34.02	0	12724	SLD 16	12724	28353	211438	0	28353	1	Si
90	0	47.12	0	-35940	SLD 1	-35940	-31607	-211438	0	-31607	1	Si

Verifiche delle tensioni in esercizio

x	Rara							Quasi permanente							Verifica
	Mela	Comb.	Mdes	σ c	σ c lim.	σ f.	σ f lim.	Mela	Comb.	Mdes	σ c	σ c lim.	σ FRP	σ FRP lim.	
0	1259325	8	1237743	12.7	149.4	394.8	3600	1096185	4	1086053	11.1	112.1	0	$+\infty$	Si
30	1202758	8	1258401	12.9	149.4	401.4	3600	1065283	4	1111683	11.4	112.1	0	$+\infty$	Si
45	1159137	8	1258401	12.9	149.4	401.4	3600	1023902	4	1111683	11.4	112.1	0	$+\infty$	Si
60	991054	8	1258401	12.9	149.4	401.5	3600	874958	4	1111683	11.4	112.1	0	$+\infty$	Si
90	644987	8	644987	7.6	149.4	304.3	3600	567169	4	567169	6.7	112.1	0	$+\infty$	Si

Verifica di apertura delle fessure

La campata non presenta apertura delle fessure

Verifica di deformabilità

x	Rara				Frequente				Quasi permanente								Verifica
	Elastica+	Elastica-	Fess.+	Fess.-	Elastica+	Elastica-	Fess.+	Fess.-	Elastica+	Elastica-	Fess. viscosa+	Comb.	Fess. viscosa-	Comb.	I/f		
30	0.001	0.001	0.001	0	0.001	0.001	0.001	0	0.001	0.001	0.002	4	0.001	4		9999	Si
42	0.001	0.001	0.001	0.001	0.001	0.001	0.001	0.001	0.001	0.001	0.002	4	0.001	4		9999	Si
45	0.001	0.001	0.001	0.001	0.001	0.001	0.001	0.001	0.001	0.001	0.002	4	0.001	4		9999	Si
60	0.001	0.001	0.001	0	0.001	0.001	0.001	0	0.001	0.001	0.001	4	0.001	4		9999	Si

Campata 5 tra i fili Palo15 - Palo11, sezione R 90x80, aste 2326, 2325

Verifiche a flessione in famiglia SLU

x	A sup.	C.b. sup.	A inf.	C.b. inf.	M+ela	Comb.	M+des	M+ult	x/d	M-ela	Comb.	M-des	M-ult	x/d	Verifica
0	33.11	6	31.42	6	722920	SLV 16	644048	8588029	0.101						Si
30	31.42	6	31.42	6	554651	SLV 16	554651	8588058	0.102						Si
40	31.42	6	31.42	6	448139	SLV 16	554651	8588058	0.102						Si
50	31.42	6	31.42	6	378499	SLV 16	554651	8588058	0.102						Si
80	31.42	6	31.42	6	155559	SLV 16	155559	8588058	0.102						Si

Verifiche a flessione in famiglia SLV (domini sostanzialmente elastici)

La struttura oppure parte di essa, è stata dichiarata come non dissipativa pertanto la verifica a pressoflessione, per tutte o solo alcune sezioni, viene eseguita calcolando i momenti resistenti in campo sostanzialmente elastico secondo D.M. 17-01-2018 §7.4.1

Le dilatazioni ultime utilizzate sono le seguenti: $\epsilon_{c2}=0.002$, $\epsilon_{yd}=0.0019$

x	A sup.	C.b. sup.	A inf.	C.b. inf.	M+ela	Comb.	M+des	M+ult	x/d	M-ela	Comb.	M-des	M-ult	x/d	Verifica
0	33.11	6	31.42	6	2768773	SLV 1	2529316	8243708	0.244	-1844250	SLV 16	-1708399	-8663161	0.252	Si
30	31.42	6	31.42	6	2349723	SLV 1	2349723	8238298	0.245	-1648604	SLV 16	-1648604	-8238298	0.245	Si
40	31.42	6	31.42	6	1441607	SLV 1	2349723	8238298	0.245	-852626	SLV 16	-1648604	-8238298	0.245	Si
50	31.42	6	31.42	6	1360712	SLV 1	2349723	8238298	0.245	-867370	SLV 16	-1648604	-8238298	0.245	Si
80	31.42	6	31.42	6	1108809	SLV 1	1108809	8238298	0.245	-923954	SLV 16	-883089	-8238298	0.245	Si

Verifiche SLD Resistenza a flessione (domini sostanzialmente elastici)

La struttura oppure parte di essa, è stata dichiarata come non dissipativa pertanto la verifica a pressoflessione, per tutte o solo alcune sezioni, viene eseguita calcolando i momenti resistenti in campo sostanzialmente elastico secondo D.M. 17-01-2018 §7.4.1

Le dilatazioni ultime utilizzate sono le seguenti: $\epsilon_{c2}=0.002$, $\epsilon_{yd}=0.0019$

x	A sup.	C.b. sup.	A inf.	C.b. inf.	M+ela	Comb.	M+des	M+ult	x/d	M-ela	Comb.	M-des	M-ult	x/d	Verifica
0	33.11	6	31.42	6	1634296	SLD 1	1486088	8243708	0.244	-709773	SLD 16	-665171	-8663161	0.252	Si
30	31.42	6	31.42	6	1365886	SLD 1	1365886	8238298	0.245	-664766	SLD 16	-664766	-8238298	0.245	Si
40	31.42	6	31.42	6	877972	SLD 1	1365886	8238298	0.245	-288990	SLD 16	-664766	-8238298	0.245	Si
50	31.42	6	31.42	6	813501	SLD 1	1365886	8238298	0.245	-320159	SLD 16	-664766	-8238298	0.245	Si
80	31.42	6	31.42	6	610135	SLD 1	610135	8238298	0.245	-425280	SLD 16	-364045	-8238298	0.245	Si

Verifiche a taglio in famiglia SLU

x	A st	A sl	A sag	Vela	Comb.	Vdes	Vrd	Vrcd	Vrsd	Vult	cotgθ	Verifica
0	0	31.42	0	-5258	SLV 16	-5258	-27611	-211438	0	-27611	1	Si
30	0.157	31.42	0	-5960	SLV 16	-5960	-27611	-211438	-40936	-40936	1	Si
40	0.157	31.42	0	-6847	SLV 16	-6847	-27611	-211438	-40936	-40936	1	Si
50	0.157	31.42	0	-7081	SLV 16	-7081	-27611	-211438	-40936	-40936	1	Si
80	0	31.42	0	-7783	SLV 16	-7783	-27611	-211438	0	-27611	1	Si

Verifiche a taglio in famiglia SLV

x	A st	A sl	A sag	Vela	Comb.	Vdes	Vrd	Vrcd	Vrsd	Vult	cotgθ	Verifica
0	0	31.42	0	7055	SLV 14	7055	27611	211438	0	27611	1	Si
0	0	31.42	0	-13962	SLV 3	-13962	-27611	-211438	0	-27611	1	Si
29	0	31.42	0	6527	SLV 14	6527	27611	211438	0	27611	1	Si
29	0	31.42	0	-14490	SLV 3	-14490	-27611	-211438	0	-27611	1	Si
30	0.157	31.42	0	6515	SLV 14	6515	27611	211438	40936	40936	1	Si
30	0.157	31.42	0	-14502	SLV 3	-14502	-27611	-211438	-40936	-40936	1	Si
40	0.157	31.42	0	-8515	SLV 1	-8515	-27611	-211438	-40936	-40936	1	Si
50	0.157	31.42	0	-8695	SLV 1	-8695	-27611	-211438	-40936	-40936	1	Si
80	0	31.42	0	-9235	SLV 1	-9235	-27611	-211438	0	-27611	1	Si

Verifiche SLD Resistenza a taglio

x	A st	A sl	A sag	Vela	Comb.	Vdes	Vrd	Vrcd	Vrsd	Vult	cotgθ	Verifica
0	0	31.42	0	1908	SLD 14	1908	27611	211438	0	27611	1	Si
0	0	31.42	0	-8814	SLD 3	-8814	-27611	-211438	0	-27611	1	Si
29	0	31.42	0	1380	SLD 14	1380	27611	211438	0	27611	1	Si
29	0	31.42	0	-9342	SLD 3	-9342	-27611	-211438	0	-27611	1	Si
30	0.157	31.42	0	1368	SLD 14	1368	27611	211438	40936	40936	1	Si
30	0.157	31.42	0	-9354	SLD 3	-9354	-27611	-211438	-40936	-40936	1	Si
40	0.157	31.42	0	-6637	SLD 1	-6637	-27611	-211438	-40936	-40936	1	Si
50	0.157	31.42	0	-6817	SLD 1	-6817	-27611	-211438	-40936	-40936	1	Si
80	0	31.42	0	-7357	SLD 1	-7357	-27611	-211438	0	-27611	1	Si

Verifiche delle tensioni in esercizio

x	Rara							Quasi permanente							Verifica
	Mela	Comb.	Mdes	σ c	σ c lim.	σ f.	σ f lim.	Mela	Comb.	Mdes	σ c	σ c lim.	σ FRP	σ FRP lim.	
0	527666	8	469685	5.5	149.4	221.6	3600	462261	4	410458	4.8	112.1	0	+∞	Si
30	403608	8	403608	4.8	149.4	190.5	3600	350560	4	350560	4.2	112.1	0	+∞	Si
40	329173	8	403608	4.8	149.4	190.5	3600	294491	4	350560	4.2	112.1	0	+∞	Si
50	277418	8	403608	4.8	149.4	190.5	3600	246671	4	350560	4.2	112.1	0	+∞	Si
80	111370	8	111370	1.3	149.4	52.6	3600	92427	4	92427	1.1	112.1	0	+∞	Si

Verifica di apertura delle fessure

La campata non presenta apertura delle fessure

Verifica di deformabilità

x	Rara				Frequente				Quasi permanente						Verifica
	Elastica+	Elastica-	Fess.+	Fess.-	Elastica+	Elastica-	Fess.+	Fess.-	Elastica+	Elastica-	Fess. viscosa+	Comb.	Fess. viscosa-	Comb.	I/f
30	0	0	0	0	0	0	0	0	0	0	0	4	0	4	9999
35	0	0	0	0	0	0	0	0	0	0	0	4	0	4	9999
40	0	0	0	0	0	0	0	0	0	0	0	4	0	4	9999
50	0	0	0	0	0	0	0	0	0	0	0	4	0	4	9999

Campata 6 tra i fili Palo11 - Palo12, sezione R 90x80, aste 2328, 2327, 2284, 2283

Verifiche a flessione in famiglia SLU

x	A sup.	C.b. sup.	A inf.	C.b. inf.	M+ela	Comb.	M+des	M+ult	x/d	M-ela	Comb.	M-des	M-ult	x/d	Verifica
0	31.42	6	31.42	6	184143	SLU 16	184143	8588058	0.102						Si
30	31.42	6	31.42	6	249217	SLU 16	308748	8588058	0.102						Si
85	31.42	6	31.42	6	233486	SLU 14	291110	8588058	0.102						Si
140	31.42	6	31.42	6	-86694	SLU 1	209846	8588058	0.102	-161852	SLU 16	-161852	-8588058	0.102	Si
170	31.42	6	31.42	6						-388143	SLU 16	-267178	-8588058	0.102	Si

Verifiche a flessione in famiglia SLV (domini sostanzialmente elastici)

La struttura oppure parte di essa, è stata dichiarata come non dissipativa pertanto la verifica a pressoflessione, per tutte o solo alcune sezioni, viene eseguita calcolando i momenti resistenti in campo sostanzialmente elastico secondo D.M. 17-01-2018 §7.4.1

Le dilatazioni ultime utilizzate sono le seguenti: $\epsilon_{c2}=0.002$, $\epsilon_{yd}=0.0019$

x	A sup.	C.b. sup.	A inf.	C.b. inf.	M+ela	Comb.	M+des	M+ult	x/d	M-ela	Comb.	M-des	M-ult	x/d	Verifica
0	31.42	6	31.42	6	579009	SLV 1	462815	8238298	0.245	-355374	SLV 16	-177969	-8238298	0.245	Si
30	31.42	6	31.42	6	386576	SLV 6	916466	8238298	0.245	-59312	SLV 11	-526403	-8238298	0.245	Si
85	31.42	6	31.42	6	1434474	SLV 16	1891027	8238298	0.245	-1081571	SLV 1	-1604052	-8238298	0.245	Si
91	31.42	6	31.42	6	1513608	SLV 16	1900437	8238298	0.245	-1168963	SLV 1	-1615230	-8238298	0.245	Si
140	31.42	6	31.42	6	81610	SLV 14	1900437	8238298	0.245	-297771	SLV 3	-1615230	-8238298	0.245	Si
170	31.42	6	31.42	6	35147	SLV 1	35147	8238298	0.245	-575243	SLV 16	-332201	-8238298	0.245	Si

Verifiche SLD Resistenza a flessione (domini sostanzialmente elastici)

La struttura oppure parte di essa, è stata dichiarata come non dissipativa pertanto la verifica a pressoflessione, per tutte o solo alcune sezioni, viene eseguita calcolando i momenti resistenti in campo sostanzialmente elastico secondo D.M. 17-01-2018 §7.4.1

Le dilatazioni ultime utilizzate sono le seguenti: $\epsilon_{c2}=0.002$, $\epsilon_{yd}=0.0019$

x	A sup.	C.b. sup.	A inf.	C.b. inf.	M+ela	Comb.	M+des	M+ult	x/d	M-ela	Comb.	M-des	M-ult	x/d	Verifica
0	31.42	6	31.42	6	348787	SLD 1	305881	8238298	0.245	-125152	SLD 16	-21035	-8238298	0.245	Si
30	31.42	6	31.42	6	281748	SLD 6	562641	8238298	0.245	45516	SLD 11	-172578	-8238298	0.245	Si
85	31.42	6	31.42	6	816271	SLD 16	1032670	8238298	0.245	-463368	SLD 1	-745695	-8238298	0.245	Si
91	31.42	6	31.42	6	854556	SLD 16	1037030	8238298	0.245	-509911	SLD 1	-751822	-8238298	0.245	Si
140	31.42	6	31.42	6	-11013	SLD 14	1037030	8238298	0.245	-205147	SLD 3	-751822	-8238298	0.245	Si
170	31.42	6	31.42	6						-426735	SLD 16	-260445	-8238298	0.245	Si

Verifiche a taglio in famiglia SLU

x	A st	A sl	A sag	Vela	Comb.	Vdes	Vrd	Vrcd	Vrsd	Vult	cotgθ	Verifica
0	0	31.42	0	2593	SLU 14	2593	27611	211438	0	27611	1	Si
30	0.143	31.42	0	1876	SLU 14	1876	27611	211438	37215	37215	1	Si
85	0.143	31.42	0	-1273	SLU 16	-1273	-27611	-211438	-37215	-37215	1	Si
140	0.143	31.42	0	-7022	SLU 16	-7022	-27611	-211438	-37215	-37215	1	Si
170	0	31.42	0	-7739	SLU 16	-7739	-27611	-211438	0	-27611	1	Si

Verifiche a taglio in famiglia SLV

x	A st	A sl	A sag	Vela	Comb.	Vdes	Vrd	Vrcd	Vrsd	Vult	cotgθ	Verifica
0	0	31.42	0	12810	SLV 14	12810	27611	211438	0	27611	1	Si
0	0	31.42	0	-8879	SLV 3	-8879	-27611	-211438	0	-27611	1	Si
30	0.143	31.42	0	12259	SLV 14	12259	27611	211438	37215	37215	1	Si
30	0.143	31.42	0	-9431	SLV 3	-9431	-27611	-211438	-37215	-37215	1	Si
85	0.143	31.42	0	13742	SLV 16	13742	27611	211438	37215	37215	1	Si
85	0.143	31.42	0	-15064	SLV 1	-15064	-27611	-211438	-37215	-37215	1	Si
140	0.143	31.42	0	6954	SLV 1	6954	27611	211438	37215	37215	1	Si
140	0.143	31.42	0	-16967	SLV 16	-16967	-27611	-211438	-37215	-37215	1	Si
170	0	31.42	0	6402	SLV 1	6402	27611	211438	0	27611	1	Si
170	0	31.42	0	-17519	SLV 16	-17519	-27611	-211438	0	-27611	1	Si

Verifiche SLD Resistenza a taglio

x	A st	A sl	A sag	Vela	Comb.	Vdes	Vrd	Vrcd	Vrsd	Vult	cotgθ	Verifica
0	0	31.42	0	7491	SLD 14	7491	27611	211438	0	27611	1	Si
0	0	31.42	0	-3559	SLD 3	-3559	-27611	-211438	0	-27611	1	Si
30	0.143	31.42	0	6939	SLD 14	6939	27611	211438	37215	37215	1	Si
30	0.143	31.42	0	-4111	SLD 3	-4111	-27611	-211438	-37215	-37215	1	Si
85	0.143	31.42	0	6676	SLD 16	6676	27611	211438	37215	37215	1	Si
85	0.143	31.42	0	-7998	SLD 1	-7998	-27611	-211438	-37215	-37215	1	Si
140	0.143	31.42	0	1081	SLD 1	1081	27611	211438	37215	37215	1	Si
140	0.143	31.42	0	-11094	SLD 16	-11094	-27611	-211438	-37215	-37215	1	Si
170	0	31.42	0	529	SLD 1	529	27611	211438	0	27611	1	Si
170	0	31.42	0	-11646	SLD 16	-11646	-27611	-211438	0	-27611	1	Si

Verifiche delle tensioni in esercizio

x	Rara							Quasi permanente							Verifica
	Mela	Comb.	Mdes	σ c	σ c lim.	σ f.	σ f lim.	Mela	Comb.	Mdes	σ c	σ c lim.	σ FRP	σ FRP lim.	
0	132475	8	132475	1.6	149.4	62.5	3600	111817	4	111817	1.3	112.1	0	+∞	Si
30	182759	8	230920	2.7	149.4	109	3600	163632	4	218710	2.6	112.1	0	+∞	Si
85	177878	6	218166	2.6	149.4	103	3600	176852	3	207957	2.5	112.1	0	+∞	Si
140	-119461	8	-119461	1.4	149.4	56.4	3600	-108080	4	-108080	1.3	112.1	0	+∞	Si
170	-289386	8	-198453	2.4	149.4	93.7	3600	-270048	4	-183179	2.2	112.1	0	+∞	Si

Verifica di apertura delle fessure

La campata non presenta apertura delle fessure

Verifica di deformabilità

x	Rara				Frequente				Quasi permanente							Verifica
	Elastica+	Elastica-	Fess.+	Fess.-	Elastica+	Elastica-	Fess.+	Fess.-	Elastica+	Elastica-	Fess. viscosa+	Comb.	Fess. viscosa-	Comb.	I/f	
30	0	0	0	0	0	0	0	0	0	0	0.001	4	0	4	9999	Si
74	0.001	0.001	0	0	0.001	0.001	0	0	0.001	0.001	0.001	4	0.001	4	9999	Si
85	0.001	0.001	0	0	0.001	0.001	0	0	0.001	0.001	0.001	4	0.001	4	9999	Si
140	0	0	0	0	0	0	0	0	0	0	0	3	0	3	9999	Si

Campata 7 tra i fili Palo12 - 6, sezione R 90x80, asta 2282

Verifiche a flessione in famiglia SLU

x	A sup.	C.b. sup.	A inf.	C.b. inf.	M+ela	Comb.	M+des	M+ult	x/d	M-ela	Comb.	M-des	M-ult	x/d	Verifica
0	31.42	6	31.42	6						-12358	SLU 15	-2336	-8588058	0.102	Si
18	31.42	6	31.42	6						-3090	SLU 15	-1618	-8588058	0.102	Si
30	31.42	6	31.42	6						-369	SLU 10	-369	-8588058	0.102	Si
31	0	0	0	0						-220	SLU 10	-369	0	0	Si
36	0	0	0	0						0	SLU 10	-369	0	0	Si

Verifiche a flessione in famiglia SLV (domini sostanzialmente elastici)

La struttura oppure parte di essa, è stata dichiarata come non dissipativa pertanto la verifica a pressoflessione, per tutte o solo alcune sezioni, viene eseguita calcolando i momenti resistenti in campo sostanzialmente elastico secondo D.M. 17-01-2018 §7.4.1

Le dilatazioni ultime utilizzate sono le seguenti: $\epsilon c2= 0.002$, $\epsilon yd= 0.0019$

x	A sup.	C.b. sup.	A inf.	C.b. inf.	M+ela	Comb.	M+des	M+ult	x/d	M-ela	Comb.	M-des	M-ult	x/d	Verifica
0	31.42	6	31.42	6						-9506	SLV 8	-1797	-8238298	0.245	Si
18	31.42	6	31.42	6						-2377	SLV 3	-1245	-8238298	0.245	Si
30	31.42	6	31.42	6	-284	SLV 16	0	8238298	0.245	-284	SLV 1	-284	-8238298	0.245	Si
31	0	0	0	0	-169	SLV 16	0	0	0	-169	SLV 1	-284	0	0	Si
36	0	0	0	0	0	SLV 16	0	0	0	0	SLV 1	-284	0	0	Si

Verifiche SLD Resistenza a flessione (domini sostanzialmente elastici)

La struttura oppure parte di essa, è stata dichiarata come non dissipativa pertanto la verifica a pressoflessione, per tutte o solo alcune sezioni, viene eseguita calcolando i momenti resistenti in campo sostanzialmente elastico secondo D.M. 17-01-2018 §7.4.1

Le dilatazioni ultime utilizzate sono le seguenti: $\epsilon c2= 0.002$, $\epsilon yd= 0.0019$

x	A sup.	C.b. sup.	A inf.	C.b. inf.	M+ela	Comb.	M+des	M+ult	x/d	M-ela	Comb.	M-des	M-ult	x/d	Verifica
0	31.42	6	31.42	6						-9506	SLD 12	-1797	-8238298	0.245	Si
18	31.42	6	31.42	6						-2377	SLD 4	-1245	-8238298	0.245	Si
30	31.42	6	31.42	6	-284	SLD 15	0	8238298	0.245	-284	SLD 2	-284	-8238298	0.245	Si
31	0	0	0	0	-169	SLD 15	0	0	0	-169	SLD 2	-284	0	0	Si
36	0	0	0	0	0	SLD 15	0	0	0	0	SLD 2	-284	0	0	Si

Verifiche a taglio in famiglia SLU

x	A st	A sl	A sag	Vela	Comb.	Vdes	Vrd	Vrcd	Vrsd	Vult	cotgθ	Verifica
0	0	0	0	761	SLU 15	761	21795	211438	0	21795	1	Si
18	0	0	0	380	SLU 15	380	21795	211438	0	21795	1	Si
30	0.503	0	0	131	SLU 15	131	21795	211438	130998	130998	1	Si
36	0.503	0	0	0	Ger.	0	23101	228582	141620	141620	1	Si

Verifiche a taglio in famiglia SLV

x	A st	A sl	A sag	Vela	Comb.	Vdes	Vrd	Vrcd	Vrsd	Vult	cotgθ	Verifica
0	0	0	0	585	SLV 3	585	21795	211438	0	21795	1	Si
18	0	0	0	293	SLV 3	293	21795	211438	0	21795	1	Si
30	0.503	0	0	101	SLV 3	101	21795	211438	130998	130998	1	Si
36	0.503	0	0	0	Ger.	0	23101	228582	141620	141620	1	Si
36	0.503	0	0	0	Ger.	0	-23101	-228582	-141620	-141620	1	Si

Verifiche SLD Resistenza a taglio

x	A st	A sl	A sag	Vela	Comb.	Vdes	Vrd	Vrcd	Vrsd	Vult	cotgθ	Verifica
0	0	0	0	585	SLD 16	585	21795	211438	0	21795	1	Si
18	0	0	0	293	SLD 16	293	21795	211438	0	21795	1	Si
30	0.503	0	0	101	SLD 16	101	21795	211438	130998	130998	1	Si
36	0.503	0	0	0	Ger.	0	23101	228582	141620	141620	1	Si
36	0.503	0	0	0	Ger.	0	-23101	-228582	-141620	-141620	1	Si

Verifiche delle tensioni in esercizio

x	Rara							Quasi permanente							Verifica
	Mela	Comb.	Mdes	σ c	σ c lim.	σ f.	σ f lim.	Mela	Comb.	Mdes	σ c	σ c lim.	σ FRP	σ FRP lim.	
0	-9506	7	-1797	0	149.4	0.8	3600	-9506	4	-1797	0	112.1	0	$+\infty$	Si
18	-2377	7	-1245	0	149.4	0.6	3600	-2377	4	-1245	0	112.1	0	$+\infty$	Si
30	-284	2	-284	0	149.4	0.1	3600	-284	1	-284	0	112.1	0	$+\infty$	Si
36	0	2	-284	0	0	0	3600	0	1	-284	0	0	0	$+\infty$	Si

Verifica di apertura delle fessure

La campata non presenta apertura delle fessure

Verifica di deformabilità

x	Rara				Frequente				Quasi permanente							Verifica
	Elastica+	Elastica-	Fess.+	Fess.-	Elastica+	Elastica-	Fess.+	Fess.-	Elastica+	Elastica-	Fess. viscosa+	Comb.	Fess. viscosa-	Comb.	I/f	
18	-0.001	-0.002	0	0	-0.001	-0.002	0	0	-0.001	-0.002	0	1	0	1	9999	Si
30	-0.002	-0.003	0	0	-0.002	-0.003	0	0	-0.002	-0.003	0	1	0	1	9999	Si
36	-0.002	-0.004	0	0	-0.002	-0.003	0	0	-0.002	-0.003	0	1	0	1	9999	Si

Trave a "Fondazione" Pil.A13-Pil.A14

Caratteristiche dei materiali

Acciaio: B450C Fyk 4500
Calcestruzzo: C25/30 Rck 300

Elenco delle sezioni

N°	Descrizione	Tipo	Base	Altezza	Copriferro sup.	Copriferro inf.	Copriferro lat.
1	R 90x80	Rettangolare	90	80	4	4	4

Output campate

Campata 1 tra i fili Pil.A13 - Palo5, sezione R 90x80, asta 2298

Verifiche a flessione in famiglia SLU

x	A sup.	C.b. sup.	A inf.	C.b. inf.	M+ela	Comb.	M+des	M+ult	x/d	M-ela	Comb.	M-des	M-ult	x/d	Verifica
0	28.27	6	25.13	6	1525416	SLU 16	368434	6914755	0.094						Si
45	28.27	6	25.13	6						-812175	SLU 16	-2572428	-7752052	0.101	Si
77	28.27	6	25.13	6	-1319630	SLU 1	19944	6914755	0.094	-2529755	SLU 16	-4315432	-7752052	0.101	Si
125	28.27	6	25.13	6						-5084682	SLU 16	-5084682	-7752052	0.101	Si
155	28.27	6	25.13	6						-6725469	SLU 16	-5899835	-7752052	0.101	Si

Verifiche a flessione in famiglia SLV (domini sostanzialmente elastici)

La struttura oppure parte di essa, è stata dichiarata come non dissipativa pertanto la verifica a pressoflessione, per tutte o solo alcune sezioni, viene eseguita calcolando i momenti resistenti in campo sostanzialmente elastico secondo D.M. 17-01-2018 §7.4.1

Le dilatazioni ultime utilizzate sono le seguenti: $\epsilon_{c2}=0.002$, $\epsilon_{yd}=0.0019$

x	A sup.	C.b. sup.	A inf.	C.b. inf.	M+ela	Comb.	M+des	M+ult	x/d	M-ela	Comb.	M-des	M-ult	x/d	Verifica
0	28.27	6	25.13	6	3045527	SLV 16	2223571	6642484	0.222	-1004470	SLV 1	-1004470	-7429082	0.238	Si
45	28.27	6	25.13	6	1463000	SLV 16	1463000	6642484	0.222	-2516080	SLV 1	-3689390	-7429082	0.238	Si
77	28.27	6	25.13	6	327661	SLV 16	1463000	6642484	0.222	-3660512	SLV 1	-4882691	-7429082	0.238	Si
125	28.27	6	25.13	6						-5418432	SLV 3	-5418432	-7429082	0.238	Si
155	28.27	6	25.13	6						-6576583	SLV 3	-6035836	-7429082	0.238	Si

Verifiche SLD Resistenza a flessione (domini sostanzialmente elastici)

La struttura oppure parte di essa, è stata dichiarata come non dissipativa pertanto la verifica a pressoflessione, per tutte o solo alcune sezioni, viene eseguita calcolando i momenti resistenti in campo sostanzialmente elastico secondo D.M. 17-01-2018 §7.4.1

Le dilatazioni ultime utilizzate sono le seguenti: $\epsilon_{c2}=0.002$, $\epsilon_{yd}=0.0019$

x	A sup.	C.b. sup.	A inf.	C.b. inf.	M+ela	Comb.	M+des	M+ult	x/d	M-ela	Comb.	M-des	M-ult	x/d	Verifica
0	28.27	6	25.13	6	2051966	SLD 16	1258060	6642484	0.222	-10909	SLD 1	-10909	-7429082	0.238	Si
45	28.27	6	25.13	6	486761	SLD 16	486761	6642484	0.222	-1539842	SLD 1	-2710948	-7429082	0.238	Si
77	28.27	6	25.13	6	-650533	SLD 16	486761	6642484	0.222	-2682318	SLD 1	-3887860	-7429082	0.238	Si
125	28.27	6	25.13	6						-4412226	SLD 3	-4412226	-7429082	0.238	Si
155	28.27	6	25.13	6						-5539185	SLD 3	-4993411	-7429082	0.238	Si

Verifiche a taglio in famiglia SLU

x	A st	A sl	A sag	Vela	Comb.	Vdes	Vrd	Vrcd	Vrsd	Vult	cotgθ	Verifica
0	0	25.13	0	-51419	SLU 16	-51419	-25632	-211438	0	-25632	1	Si
45	0.275	28.27	0	-52472	SLU 16	-52472	-26659	-211438	-71640	-71640	1	Si
77	0.275	28.27	0	-53232	SLU 16	-53232	-26659	-211438	-71640	-71640	1	Si
125	0.275	28.27	0	-54343	SLU 16	-54343	-26659	-211438	-71640	-71640	1	Si
155	0	28.27	0	-55045	SLU 16	-55045	-26659	-211438	0	-26659	1	Si

Verifiche a taglio in famiglia SLV

x	A st	A sl	A sag	Vela	Comb.	Vdes	Vrd	Vrcd	Vrsd	Vult	cotgθ	Verifica
0	0	25.13	0	-43616	SLV 8	-43616	-25632	-211438	0	-25632	1	Si
45	0.275	25.13	0	-44426	SLV 8	-44426	-25632	-211438	-71640	-71640	1	Si
77	0.275	28.27	0	-45011	SLV 8	-45011	-26659	-211438	-71640	-71640	1	Si
125	0.275	28.27	0	-45866	SLV 8	-45866	-26659	-211438	-71640	-71640	1	Si
155	0	28.27	0	-46406	SLV 8	-46406	-26659	-211438	0	-26659	1	Si

Verifiche SLD Resistenza a taglio

x	A st	A sl	A sag	Vela	Comb.	Vdes	Vrd	Vrcd	Vrsd	Vult	cotgθ	Verifica
0	0	25.13	0	-38942	SLD 8	-38942	-25632	-211438	0	-25632	1	Si
45	0.275	28.27	0	-39752	SLD 8	-39752	-26659	-211438	-71640	-71640	1	Si
77	0.275	28.27	0	-40337	SLD 8	-40337	-26659	-211438	-71640	-71640	1	Si
125	0.275	28.27	0	-41192	SLD 8	-41192	-26659	-211438	-71640	-71640	1	Si
155	0	28.27	0	-41732	SLD 8	-41732	-26659	-211438	0	-26659	1	Si

Verifiche delle tensioni in esercizio

x	Rara								Quasi permanente								Verifica
	Mela	Comb.	Mdes	σ c	σ c lim.	σ f.	σ f lim.	Mela	Comb.	Mdes	σ c	σ c lim.	σ FRP	σ FRP lim.			
0	1129534	8	276528	3.6	149.4	162.2	3600	1020529	4	256082	3.4	112.1	0	+∞		Si	
45	-594653	8	-1893963	24.3	149.4	992	3600	-526540	4	-1694783	21.7	112.1	0	+∞		Si	
77	-1862454	8	-3181322	40.7	149.4	1666.4	3600	-1666425	4	-2854226	36.5	112.1	0	+∞		Si	
125	-3749715	8	-3749715	48	149.4	1964.1	3600	-3366732	4	-3366732	43.1	112.1	0	+∞		Si	
155	-4962552	8	-4352102	55.7	149.4	2279.6	3600	-4461490	4	-3910079	50.1	112.1	0	+∞		Si	

Verifica di apertura delle fessure

x	Bordo	Rara				Frequente				Quasi permanente				Verifica
		Dmax	Esm	Wd	Comb	Dmax	Esm	Wd	Comb	Dmax	Esm	Wd	Comb	
77	superiore	33.2	0.00049	0.0161	8	33.2	0.00045	0.0149	4	33.2	0.00044	0.0145	4	Si
93	superiore	33.2	0.00057	0.019	8	33.2	0.00057	0.019	4	33.2	0.00054	0.0181	4	Si
125	superiore	33.2	0.00057	0.019	8	33.2	0.00057	0.019	4	33.2	0.00054	0.0181	4	Si
155	superiore	33.2	0.00066	0.0221	8	33.2	0.00071	0.0238	4	33.2	0.00068	0.0227	4	Si

Verifica di deformabilità

x	Rara				Frequente				Quasi permanente						Verifica	
	Elastica+	Elastica-	Fess.+	Fess.-	Elastica+	Elastica-	Fess.+	Fess.-	Elastica+	Elastica-	Fess. viscosa+	Comb.	Fess. viscosa-	Comb.	I/f	
45	-0.002	-0.003	-0.002	-0.003	-0.002	-0.002	-0.002	-0.003	-0.002	-0.002	-0.005	1	-0.007	1	9999	Si
77	-0.003	-0.004	-0.003	-0.005	-0.003	-0.004	-0.003	-0.004	-0.003	-0.004	-0.008	1	-0.011	1	9999	Si
98	-0.003	-0.005	-0.003	-0.005	-0.003	-0.004	-0.003	-0.005	-0.003	-0.004	-0.008	1	-0.012	1	9999	Si
125	-0.003	-0.004	-0.003	-0.004	-0.003	-0.003	-0.003	-0.004	-0.003	-0.003	-0.007	1	-0.01	1	9999	Si

Campata 2 tra i fili Palo5 - Palo6, sezione R 90x80, asta 2299

Verifiche a flessione in famiglia SLU

x	A sup.	C.b. sup.	A inf.	C.b. inf.	M+ela	Comb.	M+des	M+ult	x/d	M-ela	Comb.	M-des	M-ult	x/d	Verifica
0	28.27	6	25.13	6						-5593557	SLU 16	-5497179	-7752052	0.101	Si
30	28.27	6	25.13	6						-5411121	SLU 16	-5411121	-7752052	0.101	Si

RELAZIONE GEOTECNICA E SULLE FONDAZIONI

x	A sup.	C.b. sup.	A inf.	C.b. inf.	M+ela	Comb.	M+des	M+ult	x/d	M-ela	Comb.	M-des	M-ult	x/d	Verifica
135	28.27	6	25.13	6	-2669319	SLU 1	84242	6914755	0.094	-4937492	SLU 16	-5059895	-7752052	0.101	Si
240	28.27	6	25.13	6						-4722277	SLU 16	-4762481	-7752052	0.101	Si
270	28.27	6	25.13	6						-4707903	SLU 16	-4707903	-7752052	0.101	Si

Verifiche a flessione in famiglia SLV (domini sostanzialmente elastici)

La struttura oppure parte di essa, è stata dichiarata come non dissipativa pertanto la verifica a pressoflessione, per tutte o solo alcune sezioni, viene eseguita calcolando i momenti resistenti in campo sostanzialmente elastico secondo D.M. 17-01-2018 §7.4.1

Le dilatazioni ultime utilizzate sono le seguenti: $\epsilon_c = 0.002$, $\epsilon_{yd} = 0.0019$

x	A sup.	C.b. sup.	A inf.	C.b. inf.	M+ela	Comb.	M+des	M+ult	x/d	M-ela	Comb.	M-des	M-ult	x/d	Verifica
0	28.27	6	25.13	6						-7231096	SLV 3	-6816577	-7429082	0.238	Si
30	28.27	6	25.13	6						-6544557	SLV 3	-6544557	-7429082	0.238	Si
135	28.27	6	25.13	6						-4368528	SLV 4	-5002083	-7429082	0.238	Si
240	28.27	6	25.13	6						-4788879	SLV 12	-4788879	-7429082	0.238	Si
270	28.27	6	25.13	6						-5233302	SLV 12	-5034690	-7429082	0.238	Si

Verifiche SLD Resistenza a flessione (domini sostanzialmente elastici)

La struttura oppure parte di essa, è stata dichiarata come non dissipativa pertanto la verifica a pressoflessione, per tutte o solo alcune sezioni, viene eseguita calcolando i momenti resistenti in campo sostanzialmente elastico secondo D.M. 17-01-2018 §7.4.1

Le dilatazioni ultime utilizzate sono le seguenti: $\epsilon_c = 0.002$, $\epsilon_{yd} = 0.0019$

x	A sup.	C.b. sup.	A inf.	C.b. inf.	M+ela	Comb.	M+des	M+ult	x/d	M-ela	Comb.	M-des	M-ult	x/d	Verifica
0	28.27	6	25.13	6						-5514275	SLD 3	-5270074	-7429082	0.238	Si
30	28.27	6	25.13	6						-5103952	SLD 3	-5103952	-7429082	0.238	Si
135	28.27	6	25.13	6						-3844281	SLD 4	-4204798	-7429082	0.238	Si
240	28.27	6	25.13	6						-4015441	SLD 12	-4015441	-7429082	0.238	Si
270	28.27	6	25.13	6						-4248664	SLD 12	-4142928	-7429082	0.238	Si

Verifiche a taglio in famiglia SLU

x	A st	A sl	A sag	Vela	Comb.	Vdes	Vrd	Vrcd	Vrsd	Vult	cotgθ	Verifica
0	0	28.27	0	6439	SLU 16	6439	26659	211438	0	26659	1	Si
30	0.15	28.27	0	5737	SLU 16	5737	26659	211438	38986	38986	1	Si
135	0.15	28.27	0	3280	SLU 16	3280	26659	211438	38986	38986	1	Si
240	0.15	28.27	0	1005	SLU 8	1005	26659	211438	38986	38986	1	Si
240	0.15	28.27	0	-787	SLU 9	-787	-26659	-211438	-38986	-38986	1	Si
270	0	28.27	0	465	SLU 8	465	26659	211438	0	26659	1	Si
270	0	28.27	0	-1489	SLU 9	-1489	-26659	-211438	0	-26659	1	Si

Verifiche a taglio in famiglia SLV

x	A st	A sl	A sag	Vela	Comb.	Vdes	Vrd	Vrcd	Vrsd	Vult	cotgθ	Verifica
0	0	28.27	0	23576	SLV 1	23576	26659	211438	0	26659	1	Si
0	0	28.27	0	-14865	SLV 16	-14865	-26659	-211438	0	-26659	1	Si
30	0.15	28.27	0	23036	SLV 1	23036	26659	211438	38986	38986	1	Si
30	0.15	28.27	0	-15405	SLV 16	-15405	-26659	-211438	-38986	-38986	1	Si
135	0.15	28.27	0	21146	SLV 1	21146	26659	211438	38986	38986	1	Si
135	0.15	28.27	0	-17295	SLV 16	-17295	-26659	-211438	-38986	-38986	1	Si
240	0.15	28.27	0	19256	SLV 1	19256	26659	211438	38986	38986	1	Si
240	0.15	28.27	0	-19185	SLV 16	-19185	-26659	-211438	-38986	-38986	1	Si
270	0	28.27	0	18716	SLV 1	18716	26659	211438	0	26659	1	Si
270	0	28.27	0	-19725	SLV 16	-19725	-26659	-211438	0	-26659	1	Si

Verifiche SLD Resistenza a taglio

x	A st	A sl	A sag	Vela	Comb.	Vdes	Vrd	Vrcd	Vrsd	Vult	cotgθ	Verifica
0	0	28.27	0	14160	SLD 1	14160	26659	211438	0	26659	1	Si
0	0	28.27	0	-5450	SLD 16	-5450	-26659	-211438	0	-26659	1	Si
30	0.15	28.27	0	13620	SLD 1	13620	26659	211438	38986	38986	1	Si
30	0.15	28.27	0	-5990	SLD 16	-5990	-26659	-211438	-38986	-38986	1	Si
135	0.15	28.27	0	11730	SLD 1	11730	26659	211438	38986	38986	1	Si
135	0.15	28.27	0	-7880	SLD 16	-7880	-26659	-211438	-38986	-38986	1	Si
240	0.15	28.27	0	9840	SLD 1	9840	26659	211438	38986	38986	1	Si
240	0.15	28.27	0	-9770	SLD 16	-9770	-26659	-211438	-38986	-38986	1	Si
270	0	28.27	0	9300	SLD 1	9300	26659	211438	0	26659	1	Si
270	0	28.27	0	-10310	SLD 16	-10310	-26659	-211438	0	-26659	1	Si

Verifiche delle tensioni in esercizio

x	Rara								Quasi permanente								Verifica
	Mela	Comb.	Mdes	σ c	σ c lim.	σ f.	σ f lim.	Mela	Comb.	Mdes	σ c	σ c lim.	σ FRP	σ FRP lim.			
0	-4129947	8	-4058287	52	149.4	2125.7	3600	-3723489	4	-3658323	46.8	112.1	0	+∞	Si		
30	-3994565	8	-3994565	51.2	149.4	2092.3	3600	-3601096	4	-3601096	46.1	112.1	0	+∞	Si		
135	-3647571	8	-3736229	47.8	149.4	1957	3600	-3299564	4	-3373804	43.2	112.1	0	+∞	Si		
240	-3499356	8	-3524784	45.1	149.4	1846.3	3600	-3196812	4	-3207822	41.1	112.1	0	+∞	Si		
270	-3493252	8	-3492335	44.7	149.4	1829.3	3600	-3203696	4	-3196285	40.9	112.1	0	+∞	Si		

Verifica di apertura delle fessure

x	Bordo	Rara				Frequente				Quasi permanente				Verifica
		Dmax	Esm	Wd	Comb	Dmax	Esm	Wd	Comb	Dmax	Esm	Wd	Comb	
0	superiore	33.2	0.00062	0.0206	8	33.2	0.00065	0.0215	4	33.2	0.00062	0.0206	4	Si
30	superiore	33.2	0.00061	0.0203	8	33.2	0.00063	0.021	4	33.2	0.0006	0.0201	4	Si
36	superiore	33.2	0.00061	0.0203	8	33.2	0.00063	0.021	4	33.2	0.0006	0.0201	4	Si
135	superiore	33.2	0.00057	0.0189	8	33.2	0.00057	0.019	4	33.2	0.00055	0.0182	4	Si
240	superiore	33.2	0.00054	0.0179	8	33.2	0.00053	0.0175	4	33.2	0.0005	0.0167	4	Si
270	superiore	33.2	0.00053	0.0177	8	33.2	0.00052	0.0174	4	33.2	0.0005	0.0167	4	Si

Verifica di deformabilità

x	Rara				Frequente				Quasi permanente						Verifica
	Elastica+	Elastica-	Fess.+	Fess.-	Elastica+	Elastica-	Fess.+	Fess.-	Elastica+	Elastica-	Fess. viscosa+	Comb.	Fess. viscosa-	Comb.	l/f
30	-0.008	-0.011	-0.007	-0.014	-0.008	-0.01	-0.007	-0.012	-0.008	-0.01	-0.019	1	-0.037	1	9999
135	-0.02	-0.028	-0.018	-0.034	-0.02	-0.026	-0.018	-0.028	-0.02	-0.025	-0.046	1	-0.089	1	5819
240	-0.008	-0.011	-0.007	-0.013	-0.008	-0.01	-0.007	-0.011	-0.008	-0.01	-0.018	1	-0.034	1	9999

Campata 3 tra i fili Palo6 - Pil.A14, sezione R 90x80, asta 949

Verifiche a flessione in famiglia SLU

x	A sup.	C.b. sup.	A inf.	C.b. inf.	M+ela	Comb.	M+des	M+ult	x/d	M-ela	Comb.	M-des	M-ult	x/d	Verifica
0	28.27	6	25.13	6						-5340006	SLU 16	-4699448	-7752052	0.101	Si
30	28.27	6	25.13	6						-4069372	SLU 16	-4069372	-7752052	0.101	Si
77	28.27	6	25.13	6	-1184638	SLU 1	19944	6914755	0.094	-2100511	SLU 16	-3475319	-7752052	0.101	Si
110	28.27	6	25.13	6						-783922	SLU 16	-2133305	-7752052	0.101	Si
155	28.27	6	25.13	6	998439	SLU 16	119309	6914755	0.094						Si

Verifiche a flessione in famiglia SLV (domini sostanzialmente elastici)

La struttura oppure parte di essa, è stata dichiarata come non dissipativa pertanto la verifica a pressoflessione, per tutte o solo alcune sezioni, viene

eseguita calcolando i momenti resistenti in campo sostanzialmente elastico secondo D.M. 17-01-2018 §7.4.1

Le dilatazioni ultime utilizzate sono le seguenti: $\epsilon_{c2} = 0.002$, $\epsilon_{yd} = 0.0019$

x	A sup.	C.b. sup.	A inf.	C.b. inf.	M+ela	Comb.	M+des	M+ult	x/d	M-ela	Comb.	M-des	M-ult	x/d	Verifica
0	28.27	6	25.13	6						-4730912	SLV 8	-4172395	-7429082	0.238	Si
30	28.27	6	25.13	6						-3715648	SLV 12	-3721091	-7429082	0.238	Si
77	28.27	6	25.13	6	-298265	SLV 1	1045566	6642484	0.222	-2560480	SLV 16	-3353491	-7429082	0.238	Si
110	28.27	6	25.13	6	1045566	SLV 1	1045566	6642484	0.222	-2108769	SLV 16	-2572595	-7429082	0.238	Si
155	28.27	6	25.13	6	2923094	SLV 1	1925968	6642484	0.222	-1562644	SLV 16	-1562644	-7429082	0.238	Si

Verifiche SLD Resistenza a flessione (domini sostanzialmente elastici)

La struttura oppure parte di essa, è stata dichiarata come non dissipativa pertanto la verifica a pressoflessione, per tutte o solo alcune sezioni, viene eseguita calcolando i momenti resistenti in campo sostanzialmente elastico secondo D.M. 17-01-2018 §7.4.1

Le dilatazioni ultime utilizzate sono le seguenti: $\epsilon_{c2} = 0.002$, $\epsilon_{yd} = 0.0019$

x	A sup.	C.b. sup.	A inf.	C.b. inf.	M+ela	Comb.	M+des	M+ult	x/d	M-ela	Comb.	M-des	M-ult	x/d	Verifica
0	28.27	6	25.13	6						-4209160	SLD 8	-3707307	-7429082	0.238	Si
30	28.27	6	25.13	6						-3261069	SLD 12	-3261069	-7429082	0.238	Si
77	28.27	6	25.13	6	-854111	SLD 1	271040	6642484	0.222	-2004634	SLD 16	-2875779	-7429082	0.238	Si
110	28.27	6	25.13	6	271040	SLD 1	271040	6642484	0.222	-1334243	SLD 16	-2021805	-7429082	0.238	Si
155	28.27	6	25.13	6	1823240	SLD 1	1019844	6642484	0.222	-462790	SLD 16	-462790	-7429082	0.238	Si

Verifiche a taglio in famiglia SLU

x	A st	A sl	A sag	Vela	Comb.	Vdes	Vrd	Vrcd	Vrsd	Vult	cotgθ	Verifica
0	0	28.27	0	42707	SLU 16	42707	26659	211438	0	26659	1	Si
30	0.196	28.27	0	42005	SLU 16	42005	26659	211438	51171	51171	1	Si
77	0.196	28.27	0	40894	SLU 16	40894	26659	211438	51171	51171	1	Si
110	0.196	28.27	0	40133	SLU 16	40133	26659	211438	51171	51171	1	Si
155	0	25.13	0	39080	SLU 16	39080	25632	211438	0	25632	1	Si

Verifiche a taglio in famiglia SLV

x	A st	A sl	A sag	Vela	Comb.	Vdes	Vrd	Vrcd	Vrsd	Vult	cotgθ	Verifica
0	0	28.27	0	45292	SLV 3	45292	26659	211438	0	26659	1	Si
30	0.196	28.27	0	44752	SLV 3	44752	26659	211438	51171	51171	1	Si
77	0.196	28.27	0	43897	SLV 3	43897	26659	211438	51171	51171	1	Si
110	0.196	25.13	0	43312	SLV 3	43312	25632	211438	51171	51171	1	Si
155	0	25.13	0	42502	SLV 3	42502	25632	211438	0	25632	1	Si

Verifiche SLD Resistenza a taglio

x	A st	A sl	A sag	Vela	Comb.	Vdes	Vrd	Vrcd	Vrsd	Vult	cotgθ	Verifica
0	0	28.27	0	37480	SLD 3	37480	26659	211438	0	26659	1	Si
30	0.196	28.27	0	36940	SLD 3	36940	26659	211438	51171	51171	1	Si
77	0.196	28.27	0	36085	SLD 3	36085	26659	211438	51171	51171	1	Si
110	0.196	25.13	0	35500	SLD 3	35500	25632	211438	51171	51171	1	Si
155	0	25.13	0	34690	SLD 3	34690	25632	211438	0	25632	1	Si

Verifiche delle tensioni in esercizio

x	Rara							Quasi permanente							Verifica
	Mela	Comb.	Mdes	σ c	σ c lim.	σ f.	σ f lim.	Mela	Comb.	Mdes	σ c	σ c lim.	σ FRP	σ FRP lim.	
0	-3964587	8	-3488423	44.7	149.4	1827.2	3600	-3647081	4	-3207418	41.1	112.1	0	+∞	Si
30	-3020322	8	-3020322	38.7	149.4	1582	3600	-2775817	4	-2775817	35.5	112.1	0	+∞	Si
77	-1558293	8	-2579046	33	149.4	1350.9	3600	-1429373	4	-2369094	30.3	112.1	0	+∞	Si
110	-581438	8	-1582634	20.3	149.4	829	3600	-531602	4	-1451765	18.6	112.1	0	+∞	Si
155	739892	8	88472	1.2	149.4	51.9	3600	680225	4	83400	1.1	112.1	0	+∞	Si

Verifica di apertura delle fessure

La campata non presenta apertura delle fessure

Verifica di deformabilità

x	Rara				Frequente				Quasi permanente						Verifica
	Elastica+	Elastica-	Fess.+	Fess.-	Elastica+	Elastica-	Fess.+	Fess.-	Elastica+	Elastica-	Fess. viscosa+	Comb.	Fess. viscosa-	Comb.	I/f
30	-0.002	-0.003	-0.002	-0.003	-0.002	-0.003	-0.002	-0.003	-0.002	-0.003	-0.006	1	-0.007	1	9999
62	-0.003	-0.004	-0.003	-0.004	-0.003	-0.004	-0.003	-0.004	-0.003	-0.004	-0.007	1	-0.009	1	9999
77	-0.003	-0.004	-0.003	-0.004	-0.003	-0.003	-0.003	-0.003	-0.003	-0.003	-0.007	1	-0.008	1	9999
110	-0.002	-0.002	-0.002	-0.002	-0.002	-0.002	-0.002	-0.002	-0.002	-0.002	-0.004	1	-0.005	1	9999

Trave a "Fondazione" Pil.A15-Pil.A16

Caratteristiche dei materiali

Acciaio: B450C Fyk 4500

Calcestruzzo: C25/30 Rck 300

Elenco delle sezioni

N°	Descrizione	Tipo	Base	Altezza	Copriferro sup.	Copriferro inf.	Copriferro lat.
1	R 90x80	Rettangolare	90	80	4	4	4

Output campate

Campata 1 tra i fili Pil.A15 - Palo1, sezione R 90x80, asta 2296

Verifiche a flessione in famiglia SLU

x	A sup.	C.b. sup.	A inf.	C.b. inf.	M+ela	Comb.	M+des	M+ult	x/d	M-ela	Comb.	M-des	M-ult	x/d	Verifica
0	34.56	6	28.27	6	5396789	SLU 16	3865103	7751330	0.096						Si
45	34.56	6	28.27	6	2283536	SLU 16	2283536	7751330	0.096	1343258	SLU 1	-85701	-9422270	0.109	Si
77	34.56	6	28.27	6	47701	SLU 9	2283536	7751330	0.096	-37859	SLU 8	-2448584	-9422270	0.109	Si
125	34.56	6	28.27	6						-3497752	SLU 16	-3497752	-9422270	0.109	Si
155	34.56	6	28.27	6						-5747193	SLU 16	-4611409	-9422270	0.109	Si

Verifiche a flessione in famiglia SLV (domini sostanzialmente elastici)

La struttura oppure parte di essa, è stata dichiarata come non dissipativa pertanto la verifica a pressoflessione, per tutte o solo alcune sezioni, viene eseguita calcolando i momenti resistenti in campo sostanzialmente elastico secondo D.M. 17-01-2018 §7.4.1

Le dilatazioni ultime utilizzate sono le seguenti: $\epsilon_{c2} = 0.002$, $\epsilon_{yd} = 0.0019$

x	A sup.	C.b. sup.	A inf.	C.b. inf.	M+ela	Comb.	M+des	M+ult	x/d	M-ela	Comb.	M-des	M-ult	x/d	Verifica
0	34.56	6	28.27	6	10761330	SLV 12	8710333	7454516	0.23	-3390998	SLV 5	-3390998	-9011907	0.26	Si
45	34.56	6	28.27	6	6429867	SLV 12	6429867	7454516	0.23	-3278686	SLV 5	-3431411	-9011907	0.26	Si
77	34.56	6	28.27	6	3431021	SLV 12	6429867	7454516	0.23	-3422286	SLV 5	-4347660	-9011907	0.26	Si
125	34.56	6	28.27	6	184560	SLV 14	2335441	7454516	0.23	-4913521	SLV 3	-4913521	-9011907	0.26	Si

RELAZIONE GEOTECNICA E SULLE FONDAZIONI

x	A sup.	C.b. sup.	A inf.	C.b. inf.	M+ela	Comb.	M+des	M+ult	x/d	M-ela	Comb.	M-des	M-ult	x/d	Verifica
155	34.56	6	28.27	6						-6583721	SLV 7	-5814420	-9011907	0.26	Si

Verifiche SLD Resistenza a flessione (domini sostanzialmente elastici)

La struttura oppure parte di essa, è stata dichiarata come non dissipativa pertanto la verifica a pressoflessione, per tutte o solo alcune sezioni, viene eseguita calcolando i momenti resistenti in campo sostanzialmente elastico secondo D.M. 17-01-2018 §7.4.1

Le dilatazioni ultime utilizzate sono le seguenti: $\epsilon_{c2} = 0.002$, $\epsilon_{yd} = 0.0019$

x	A sup.	C.b. sup.	A inf.	C.b. inf.	M+ela	Comb.	M+des	M+ult	x/d	M-ela	Comb.	M-des	M-ult	x/d	Verifica
0	34.56	6	28.27	6	7325068	SLD 12	5773520	7454516	0.23						Si
45	34.56	6	28.27	6	4079132	SLD 12	4079132	7454516	0.23	-927952	SLD 5	-1799586	-9011907	0.26	Si
77	34.56	6	28.27	6	1784171	SLD 12	4079132	7454516	0.23	-1775436	SLD 5	-3031287	-9011907	0.26	Si
125	34.56	6	28.27	6	-1057667	SLD 14	855211	7454516	0.23	-3671295	SLD 3	-3671295	-9011907	0.26	Si
155	34.56	6	28.27	6						-5300533	SLD 7	-4533737	-9011907	0.26	Si

Verifiche a taglio in famiglia SLU

x	A st	A sl	A sag	Vela	Comb.	Vdes	Vrd	Vrcd	Vrsd	Vult	cotgθ	Verifica
0	0	28.27	0	-68069	SLV 16	-68069	-26659	-211438	0	-26659	1	Si
45	0.471	28.27	0	-70292	SLV 16	-70292	-26659	-211438	-122811	-122811	1	Si
77	0.471	34.56	0	-71897	SLV 16	-71897	-28503	-211438	-122811	-122811	1	Si
125	0.471	34.56	0	-74244	SLV 16	-74244	-28503	-211438	-122811	-122811	1	Si
155	0	34.56	0	-75726	SLV 16	-75726	-28503	-211438	0	-28503	1	Si

Verifiche a taglio in famiglia SLV

x	A st	A sl	A sag	Vela	Comb.	Vdes	Vrd	Vrcd	Vrsd	Vult	cotgθ	Verifica
0	0	34.56	0	7600	SLV 5	7600	28503	211438	0	28503	1	Si
0	0	28.27	0	-99644	SLV 12	-99644	-26659	-211438	0	-26659	1	Si
41	0	34.56	0	6029	SLV 5	6029	28503	211438	0	28503	1	Si
41	0	28.27	0	-101215	SLV 12	-101215	-26659	-211438	0	-26659	1	Si
45	0.471	34.56	0	5890	SLV 5	5890	28503	211438	122811	122811	1	Si
45	0.471	28.27	0	-101354	SLV 12	-101354	-26659	-211438	-122811	-122811	1	Si
77	0.471	34.56	0	4655	SLV 5	4655	28503	211438	122811	122811	1	Si
77	0.471	28.27	0	-102589	SLV 12	-102589	-26659	-211438	-122811	-122811	1	Si
125	0.471	34.56	0	2850	SLV 5	2850	28503	211438	122811	122811	1	Si
125	0.471	34.56	0	-104394	SLV 12	-104394	-28503	-211438	-122811	-122811	1	Si
155	0	34.56	0	1710	SLV 5	1710	28503	211438	0	28503	1	Si
155	0	34.56	0	-105534	SLV 12	-105534	-28503	-211438	0	-28503	1	Si

Verifiche SLD Resistenza a taglio

x	A st	A sl	A sag	Vela	Comb.	Vdes	Vrd	Vrcd	Vrsd	Vult	cotgθ	Verifica
0	0	28.27	0	-73596	SLD 12	-73596	-26659	-211438	0	-26659	1	Si
41	0	28.27	0	-75167	SLD 12	-75167	-26659	-211438	0	-26659	1	Si
45	0.471	28.27	0	-75306	SLD 12	-75306	-26659	-211438	-122811	-122811	1	Si
77	0.471	28.27	0	-76541	SLD 12	-76541	-26659	-211438	-122811	-122811	1	Si
125	0.471	34.56	0	-78346	SLD 12	-78346	-28503	-211438	-122811	-122811	1	Si
155	0	34.56	0	-79486	SLD 12	-79486	-28503	-211438	0	-28503	1	Si

Verifiche delle tensioni in esercizio

x	Rara							Quasi permanente							Verifica
	Mela	Comb.	Mdes	σ c	σ c lim.	σ f.	σ f lim.	Mela	Comb.	Mdes	σ c	σ c lim.	σ FRP	σ FRP lim.	
0	4009376	8	2874602	34.9	149.4	1501	3600	3685166	4	2649563	32.2	112.1	0	+∞	Si
45	1701458	8	1701458	20.6	149.4	888.4	3600	1575590	4	1575590	19.1	112.1	0	+∞	Si
77	36693	1	1701458	20.6	149.4	888.4	3600	36693	1	1575590	19.1	112.1	0	+∞	Si
77	-13008	8	-1811580	21.2	149.4	780.9	3600								Si
125	-2591214	8	-2591214	30.4	149.4	1117	3600	-2364481	4	-2364481	27.7	112.1	0	+∞	Si
155	-4263625	8	-3418909	40.1	149.4	1473.8	3600	-3904664	4	-3126062	36.7	112.1	0	+∞	Si

Verifica di apertura delle fessure

La campata non presenta apertura delle fessure

Verifica di deformabilità

x	Rara				Frequente				Quasi permanente						Verifica
	Elastica+	Elastica-	Fess.+	Fess.-	Elastica+	Elastica-	Fess.+	Fess.-	Elastica+	Elastica-	Fess. viscosa+	Comb.	Fess. viscosa-	Comb.	l/f
45	0.002	0.001	0.001	0.001	0.002	0.001	0.001	0.001	0.002	0.001	0.002	4	0.002	4	9999
77	0	0	0	0	0	0	0	0	0	0	0	1	0	1	9999
124	-0.001	-0.001	-0.001	-0.001	-0.001	-0.001	-0.001	-0.001	-0.001	-0.001	-0.002	1	-0.003	1	9999
125	-0.001	-0.001	-0.001	-0.001	-0.001	-0.001	-0.001	-0.001	-0.001	-0.001	-0.002	1	-0.003	1	9999

Campata 2 tra i fili Palo1 - Palo2, sezione R 90x80, asta 2297

Verifiche a flessione in famiglia SLU

x	A sup.	C.b. sup.	A inf.	C.b. inf.	M+ela	Comb.	M+des	M+ult	x/d	M-ela	Comb.	M-des	M-ult	x/d	Verifica
0	34.56	6	28.27	6						-4829547	SLV 16	-4693253	-9422270	0.109	Si
30	34.56	6	28.27	6						-4578744	SLV 16	-4578744	-9422270	0.109	Si
135	34.56	6	28.27	6	-2288036	SLV 1	177845	7751330	0.096	-4049052	SLV 16	-4158341	-9422270	0.109	Si
240	34.56	6	28.27	6						-4064900	SLV 16	-4064900	-9422270	0.109	Si
270	34.56	6	28.27	6						-4168893	SLV 16	-4106003	-9422270	0.109	Si

Verifiche a flessione in famiglia SLV (domini sostanzialmente elastici)

La struttura oppure parte di essa, è stata dichiarata come non dissipativa pertanto la verifica a pressoflessione, per tutte o solo alcune sezioni, viene eseguita calcolando i momenti resistenti in campo sostanzialmente elastico secondo D.M. 17-01-2018 §7.4.1

Le dilatazioni ultime utilizzate sono le seguenti: $\epsilon_{c2} = 0.002$, $\epsilon_{yd} = 0.0019$

x	A sup.	C.b. sup.	A inf.	C.b. inf.	M+ela	Comb.	M+des	M+ult	x/d	M-ela	Comb.	M-des	M-ult	x/d	Verifica
0	34.56	6	28.27	6	391730	SLV 14	263117	7454516	0.23	-6983729	SLV 3	-6366057	-9011907	0.26	Si
30	34.56	6	28.27	6						-6069755	SLV 7	-6069755	-9011907	0.26	Si
135	34.56	6	28.27	6	-16089	SLV 5	703175	7454516	0.23	-5504860	SLV 12	-6173550	-9011907	0.26	Si
240	34.56	6	28.27	6	2451360	SLV 5	2451360	7454516	0.23	-8097578	SLV 12	-8097578	-9011907	0.26	Si
270	34.56	6	28.27	6	3189793	SLV 5	2872577	7454516	0.23	-9024824	SLV 12	-8596443	-9011907	0.26	Si

Verifiche SLD Resistenza a flessione (domini sostanzialmente elastici)

La struttura oppure parte di essa, è stata dichiarata come non dissipativa pertanto la verifica a pressoflessione, per tutte o solo alcune sezioni, viene eseguita calcolando i momenti resistenti in campo sostanzialmente elastico secondo D.M. 17-01-2018 §7.4.1

Le dilatazioni ultime utilizzate sono le seguenti: $\epsilon_{c2} = 0.002$, $\epsilon_{yd} = 0.0019$

x	A sup.	C.b. sup.	A inf.	C.b. inf.	M+ela	Comb.	M+des	M+ult	x/d	M-ela	Comb.	M-des	M-ult	x/d	Verifica
0	34.56	6	28.27	6						-5218129	SLD 7	-4824035	-9011907	0.26	Si
30	34.56	6	28.27	6						-4675882	SLD 7	-4675882	-9011907	0.26	Si
135	34.56	6	28.27	6						-4175756	SLD 12	-4501987	-9011907	0.26	Si
240	34.56	6	28.27	6						-5533178	SLD 12	-5533178	-9011907	0.26	Si
270	34.56	6	28.27	6	223159	SLD 5	87476	7454516	0.23	-6058190	SLD 12	-5811343	-9011907	0.26	Si

Verifiche a taglio in famiglia SLU

x	A st	A sl	A sag	Vela	Comb.	Vdes	Vrd	Vrcd	Vrsd	Vult	cotgθ	Verifica
0	0	34.56	0	9116	SLU 16	9116	28503	211438	0	28503	1	Si
30	0.15	34.56	0	7634	SLU 16	7634	28503	211438	38986	38986	1	Si
135	0.15	34.56	0	2447	SLU 16	2447	28503	211438	38986	38986	1	Si
240	0.15	34.56	0	-4089	SLU 9	-4089	-28503	-211438	-38986	-38986	1	Si
270	0	34.56	0	-5571	SLU 9	-5571	-28503	-211438	0	-28503	1	Si

Verifiche a taglio in famiglia SLV

x	A st	A sl	A sag	Vela	Comb.	Vdes	Vrd	Vrcd	Vrsd	Vult	cotgθ	Verifica
0	0	34.56	0	38447	SLV 1	38447	28503	211438	0	28503	1	Si
0	0	34.56	0	-25383	SLV 16	-25383	-28503	-211438	0	-28503	1	Si
30	0.15	34.56	0	37307	SLV 1	37307	28503	211438	38986	38986	1	Si
30	0.15	34.56	0	-26523	SLV 16	-26523	-28503	-211438	-38986	-38986	1	Si
135	0.15	34.56	0	33317	SLV 1	33317	28503	211438	38986	38986	1	Si
135	0.15	34.56	0	-30513	SLV 16	-30513	-28503	-211438	-38986	-38986	1	Si
240	0.15	28.27	0	29327	SLV 1	29327	26659	211438	38986	38986	1	Si
240	0.15	34.56	0	-34503	SLV 16	-34503	-28503	-211438	-38986	-38986	1	Si
270	0	28.27	0	28187	SLV 1	28187	26659	211438	0	26659	1	Si
270	0	34.56	0	-35643	SLV 16	-35643	-28503	-211438	0	-28503	1	Si

Verifiche SLD Resistenza a taglio

x	A st	A sl	A sag	Vela	Comb.	Vdes	Vrd	Vrcd	Vrsd	Vult	cotgθ	Verifica
0	0	34.56	0	22835	SLD 1	22835	28503	211438	0	28503	1	Si
0	0	34.56	0	-9771	SLD 16	-9771	-28503	-211438	0	-28503	1	Si
30	0.15	34.56	0	21695	SLD 1	21695	28503	211438	38986	38986	1	Si
30	0.15	34.56	0	-10911	SLD 16	-10911	-28503	-211438	-38986	-38986	1	Si
135	0.15	34.56	0	17705	SLD 1	17705	28503	211438	38986	38986	1	Si
135	0.15	34.56	0	-14901	SLD 16	-14901	-28503	-211438	-38986	-38986	1	Si
240	0.15	34.56	0	13715	SLD 1	13715	28503	211438	38986	38986	1	Si
240	0.15	34.56	0	-18891	SLD 16	-18891	-28503	-211438	-38986	-38986	1	Si
270	0	34.56	0	12575	SLD 1	12575	28503	211438	0	28503	1	Si
270	0	34.56	0	-20031	SLD 16	-20031	-28503	-211438	0	-28503	1	Si

Verifiche delle tensioni in esercizio

x	Rara							Quasi permanente							Verifica
	Mela	Comb.	Mdes	σ c	σ c lim.	σ f.	σ f lim.	Mela	Comb.	Mdes	σ c	σ c lim.	σ FRP	σ FRP lim.	
0	-3586142	8	-3483376	40.8	149.4	1501.6	3600	-3296000	4	-3198364	37.5	112.1	0	+∞	Si
30	-3397368	8	-3397368	39.8	149.4	1464.5	3600	-3117486	4	-3117486	36.6	112.1	0	+∞	Si
135	-3004439	8	-3083901	36.2	149.4	1329.4	3600	-2760475	4	-2828546	33.2	112.1	0	+∞	Si
240	-3031157	8	-3031157	35.5	149.4	1306.7	3600	-2823109	4	-2823109	33.1	112.1	0	+∞	Si
270	-3115303	8	-3064851	35.9	149.4	1321.2	3600	-2917516	4	-2861933	33.6	112.1	0	+∞	Si

Verifica di apertura delle fessure

x	Bordo	Rara				Frequente				Quasi permanente				Verifica
		Dmax	Esm	Wd	Comb	Dmax	Esm	Wd	Comb	Dmax	Esm	Wd	Comb	
0	superiore	30.3	0.00044	0.0132	8	30.3	0.00042	0.0127	4	30.3	0.0004	0.0122	4	Si
30	superiore	30.3	0.00043	0.0129	8	30.3	0.0004	0.0122	4	30.3	0.00039	0.0119	4	Si
36	superiore	30.3	0.00043	0.0129	8	30.3	0.0004	0.0122	4	30.3	0.00039	0.0119	4	Si

Verifica di deformabilità

x	Rara				Frequente				Quasi permanente							Verifica
	Elastica+	Elastica-	Fess.+	Fess.-	Elastica+	Elastica-	Fess.+	Fess.-	Elastica+	Elastica-	Fess. viscosa+	Comb.	Fess. viscosa-	Comb.	I/f	
30	-0.007	-0.009	-0.006	-0.009	-0.007	-0.009	-0.006	-0.008	-0.007	-0.008	-0.016	1	-0.019	1	9999	Si
135	-0.017	-0.023	-0.016	-0.021	-0.017	-0.021	-0.016	-0.019	-0.017	-0.021	-0.039	1	-0.047	1	6971	Si
240	-0.007	-0.009	-0.006	-0.008	-0.007	-0.008	-0.006	-0.008	-0.007	-0.008	-0.015	1	-0.018	1	9999	Si

Campata 3 tra i fili Palo2 - Pil.A16, sezione R 90x80, asta 939

Verifiche a flessione in famiglia SLU

x	A sup.	C.b. sup.	A inf.	C.b. inf.	M+ela	Comb.	M+des	M+ult	x/d	M-ela	Comb.	M-des	M-ult	x/d	Verifica
0	34.56	6	28.27	6						-4734402	SLU 16	-3737698	-9422270	0.109	Si
30	34.56	6	28.27	6						-2763120	SLU 16	-2763120	-9422270	0.109	Si
77	34.56	6	28.27	6	267368	SLU 16	2276422	7751330	0.096	110725	SLU 1	-1845608	-9422270	0.109	Si
110	34.56	6	28.27	6	2276422	SLU 16	2276422	7751330	0.096						Si
155	34.56	6	28.27	6	4972436	SLU 16	3649370	7751330	0.096						Si

Verifiche a flessione in famiglia SLV (domini sostanzialmente elastici)

La struttura oppure parte di essa, è stata dichiarata come non dissipativa pertanto la verifica a pressoflessione, per tutte o solo alcune sezioni, viene eseguita calcolando i momenti resistenti in campo sostanzialmente elastico secondo D.M. 17-01-2018 §7.4.1

Le dilatazioni ultime utilizzate sono le seguenti: $\epsilon_{c2} = 0.002$, $\epsilon_{yd} = 0.0019$

x	A sup.	C.b. sup.	A inf.	C.b. inf.	M+ela	Comb.	M+des	M+ult	x/d	M-ela	Comb.	M-des	M-ult	x/d	Verifica
0	34.56	6	28.27	6	1682009	SLV 5	1682009	7454516	0.23	-8331349	SLV 12	-7266330	-9011907	0.26	Si
30	34.56	6	28.27	6	2286615	SLV 5	3100236	7454516	0.23	-6180654	SLV 12	-6180654	-9011907	0.26	Si
77	34.56	6	28.27	6	3531882	SLV 5	4801324	7454516	0.23	-3202905	SLV 12	-5221076	-9011907	0.26	Si
110	34.56	6	28.27	6	4801324	SLV 7	4801324	7454516	0.23	-1682048	SLV 10	-3247228	-9011907	0.26	Si
155	34.56	6	28.27	6	7102263	SLV 7	6336494	7454516	0.23	-251435	SLV 10	-251435	-9011907	0.26	Si

Verifiche SLD Resistenza a flessione (domini sostanzialmente elastici)

La struttura oppure parte di essa, è stata dichiarata come non dissipativa pertanto la verifica a pressoflessione, per tutte o solo alcune sezioni, viene eseguita calcolando i momenti resistenti in campo sostanzialmente elastico secondo D.M. 17-01-2018 §7.4.1

Le dilatazioni ultime utilizzate sono le seguenti: $\epsilon_{c2} = 0.002$, $\epsilon_{yd} = 0.0019$

x	A sup.	C.b. sup.	A inf.	C.b. inf.	M+ela	Comb.	M+des	M+ult	x/d	M-ela	Comb.	M-des	M-ult	x/d	Verifica
0	34.56	6	28.27	6						-5895678	SLD 12	-5015012	-9011907	0.26	Si
30	34.56	6	28.27	6	229024	SLD 5	1382324	7454516	0.23	-4123064	SLD 12	-4123064	-9011907	0.26	Si
77	34.56	6	28.27	6	1915085	SLD 5	3268170	7454516	0.23	-1586108	SLD 12	-3322169	-9011907	0.26	Si
110	34.56	6	28.27	6	3268170	SLD 7	3268170	7454516	0.23	-148895	SLD 10	-1625362	-9011907	0.26	Si
155	34.56	6	28.27	6	5377908	SLD 7	4521293	7454516	0.23						Si

Verifiche a taglio in famiglia SLU

x	A st	A sl	A sag	Vela	Comb.	Vdes	Vrd	Vrcd	Vrsd	Vult	cotgθ	Verifica
0	0	34.56	0	66454	SLU 16	66454	28503	211438	0	28503	1	Si
30	0.353	34.56	0	64972	SLU 16	64972	28503	211438	92108	92108	1	Si
77	0.353	28.27	0	62625	SLU 16	62625	26659	211438	92108	92108	1	Si
110	0.353	28.27	0	61020	SLU 16	61020	26659	211438	92108	92108	1	Si
155	0	28.27	0	58797	SLU 16	58797	26659	211438	0	26659	1	Si

Verifiche a taglio in famiglia SLV

x	A st	A sl	A sag	Vela	Comb.	Vdes	Vrd	Vrcd	Vrsd	Vult	cotgθ	Verifica
0	0	34.56	0	79710	SLV 8	79710	28503	211438	0	28503	1	Si
30	0.353	34.56	0	78570	SLV 8	78570	28503	211438	92108	92108	1	Si

RELAZIONE GEOTECNICA E SULLE FONDAZIONI

x	A st	A sl	A sag	Vela	Comb.	Vdes	Vrd	Vrcd	Vrsd	Vult	cotgθ	Verifica
77	0.353	34.56	0	76765	SLV 8	76765	28503	211438	92108	92108	1	Si
110	0.353	28.27	0	75530	SLV 8	75530	26659	211438	92108	92108	1	Si
114	0	28.27	0	75391	SLV 8	75391	26659	211438	0	26659	1	Si
155	0	28.27	0	73820	SLV 8	73820	26659	211438	0	26659	1	Si

Verifiche SLD Resistenza a taglio

x	A st	A sl	A sag	Vela	Comb.	Vdes	Vrd	Vrcd	Vrsd	Vult	cotgθ	Verifica
0	0	34.56	0	63772	SLD 8	63772	28503	211438	0	28503	1	Si
30	0.353	34.56	0	62632	SLD 8	62632	28503	211438	92108	92108	1	Si
77	0.353	34.56	0	60827	SLD 8	60827	28503	211438	92108	92108	1	Si
110	0.353	28.27	0	59592	SLD 8	59592	26659	211438	92108	92108	1	Si
155	0	28.27	0	57882	SLD 8	57882	26659	211438	0	26659	1	Si

Verifiche delle tensioni in esercizio

x	Rara							Quasi permanente							Verifica
	Mela	Comb.	Mdes	σ c	σ c lim.	σ f.	σ f lim.	Mela	Comb.	Mdes	σ c	σ c lim.	σ FRP	σ FRP lim.	
0	-3539788	8	-2795296	32.8	149.4	1205	3600	-3324670	4	-2627335	30.8	112.1	0	+∞	Si
30	-2067825	8	-2067825	24.2	149.4	891.4	3600	-1947020	4	-1947020	22.8	112.1	0	+∞	Si
77	193009	8	1690328	20.5	149.4	882.6	3600	164488	4	1559638	18.9	112.1	0	+∞	Si
110	1690328	8	1690328	20.5	149.4	882.6	3600	1559638	4	1559638	18.9	112.1	0	+∞	Si
155	3697573	8	2713136	32.9	149.4	1416.7	3600	3425414	4	2511711	30.5	112.1	0	+∞	Si

Verifica di apertura delle fessure

La campata non presenta apertura delle fessure

Verifica di deformabilità

x	Rara				Frequente				Quasi permanente						Verifica	
	Elastica+	Elastica-	Fess.+	Fess.-	Elastica+	Elastica-	Fess.+	Fess.-	Elastica+	Elastica-	Fess. viscosa+	Comb.	Fess. viscosa-	Comb.	I/f	
30	-0.001	-0.001	-0.001	-0.001	-0.001	-0.001	-0.001	-0.001	-0.001	-0.001	-0.002	1	-0.002	1	9999	Si
77	0.001	0.001	0	0	0.001	0.001	0	0	0.001	0.001	0.001	4	0	4	9999	Si
110	0.002	0.001	0.001	0.001	0.002	0.001	0.001	0.001	0.002	0.001	0.003	4	0.002	4	9999	Si
119	0.002	0.001	0.001	0.001	0.002	0.001	0.001	0.001	0.002	0.001	0.003	4	0.002	4	9999	Si

Trave a "Fondazione" Pil.B5-Pil.B1

Caratteristiche dei materiali

Acciaio: B450C Fyk 4500
Calcestruzzo: C25/30 Rck 300

Elenco delle sezioni

N°	Descrizione	Tipo	Base	Altezza	Copriferro sup.	Copriferro inf.	Copriferro lat.
1	R 90x80	Rettangolare	90	80	4	4	4

Output campate

Campata 1 tra i fili Pil.B5 - Palo90, sezione R 90x80, asta 2367

Verifiche a flessione in famiglia SLU

x	A sup.	C.b. sup.	A inf.	C.b. inf.	M+ela	Comb.	M+des	M+ult	x/d	M-ela	Comb.	M-des	M-ult	x/d	Verifica
0	0	0	0	0	0		0	0	0	0	SLU 16	-2633	0	0	Si
15	28.27	6	25.13	6						-2633	SLU 16	-2633	-7752052	0.101	Si
23	28.27	6	25.13	6						-5923	SLU 16	-4936	-7752052	0.101	Si
45	28.27	6	25.13	6						-23693	SLU 13	-7898	-7752052	0.101	Si

Verifiche a flessione in famiglia SLV (domini sostanzialmente elastici)

La struttura oppure parte di essa, è stata dichiarata come non dissipativa pertanto la verifica a pressoflessione, per tutte o solo alcune sezioni, viene eseguita calcolando i momenti resistenti in campo sostanzialmente elastico secondo D.M. 17-01-2018 §7.4.1

Le dilatazioni ultime utilizzate sono le seguenti: $\epsilon_{c2} = 0.002$, $\epsilon_{yd} = 0.0019$

x	A sup.	C.b. sup.	A inf.	C.b. inf.	M+ela	Comb.	M+des	M+ult	x/d	M-ela	Comb.	M-des	M-ult	x/d	Verifica
0	0	0	0	0	0	SLV 13	0	0	0	0	SLV 4	-2025	0	0	Si
15	28.27	6	25.13	6	-2025	SLV 13	0	6642484	0.222	-2025	SLV 4	-2025	-7429082	0.238	Si
23	28.27	6	25.13	6						-4556	SLV 4	-3797	-7429082	0.238	Si
45	28.27	6	25.13	6						-18225	SLV 2	-6075	-7429082	0.238	Si

Verifiche SLD Resistenza a flessione (domini sostanzialmente elastici)

La struttura oppure parte di essa, è stata dichiarata come non dissipativa pertanto la verifica a pressoflessione, per tutte o solo alcune sezioni, viene eseguita calcolando i momenti resistenti in campo sostanzialmente elastico secondo D.M. 17-01-2018 §7.4.1

Le dilatazioni ultime utilizzate sono le seguenti: $\epsilon_{c2} = 0.002$, $\epsilon_{yd} = 0.0019$

x	A sup.	C.b. sup.	A inf.	C.b. inf.	M+ela	Comb.	M+des	M+ult	x/d	M-ela	Comb.	M-des	M-ult	x/d	Verifica
0	0	0	0	0	0	SLD 3	0	0	0	0	SLD 14	-2025	0	0	Si
15	28.27	6	25.13	6	-2025	SLD 3	0	6642484	0.222	-2025	SLD 14	-2025	-7429082	0.238	Si
23	28.27	6	25.13	6						-4556	SLD 14	-3797	-7429082	0.238	Si
45	28.27	6	25.13	6						-18225	SLD 14	-6075	-7429082	0.238	Si

Verifiche a taglio in famiglia SLU

x	A st	A sl	A sag	Vela	Comb.	Vdes	Vrd	Vrcd	Vrsd	Vult	cotgθ	Verifica
0	0.209	0	0	0	Ger.	0	23101	228582	59007	59007	1	Si
0	0.209	0	0	0	Ger.	0	-23101	-228582	-59007	-59007	1	Si
15	0.209	0	0	0	-351	SLV 13	-351	-21795	-211438	-54582	1	Si
23	0	0	0	0	-527	SLV 13	-527	-21795	-211438	0	1	Si
45	0	0	0	0	-1053	SLV 13	-1053	-21795	-211438	0	1	Si

Verifiche a taglio in famiglia SLV

x	A st	A sl	A sag	Vela	Comb.	Vdes	Vrd	Vrcd	Vrsd	Vult	cotgθ	Verifica
0	0.209	0	0	0	Ger.	0	23101	228582	59007	59007	1	Si
0	0.209	0	0	0	Ger.	0	-23101	-228582	-59007	-59007	1	Si
15	0.209	0	0	0	-270	SLV 2	-270	-21795	-211438	-54582	1	Si
23	0	0	0	0	-405	SLV 2	-405	-21795	-211438	0	1	Si
45	0	0	0	0	-810	SLV 2	-810	-21795	-211438	0	1	Si

Verifiche SLD Resistenza a taglio

x	A st	A sl	A sag	Vela	Comb.	Vdes	Vrd	Vrcd	Vrsd	Vult	cotgθ	Verifica
0	0.209	0	0	0	Ger.	0	23101	228582	59007	59007	1	Si
0	0.209	0	0	0	Ger.	0	-23101	-228582	-59007	-59007	1	Si

RELAZIONE GEOTECNICA E SULLE FONDAZIONI

x	A st	A sl	A sag	Vela	Comb.	Vdes	Vrd	Vrcd	Vrsd	Vult	cotgθ	Verifica
15	0.209	0	0	-270	SLD 14	-270	-21795	-211438	-54582	-54582	1	Si
23	0	0	0	-405	SLD 14	-405	-21795	-211438	0	-21795	1	Si
45	0	0	0	-810	SLD 14	-810	-21795	-211438	0	-21795	1	Si

Verifiche delle tensioni in esercizio

x	Rara							Quasi permanente							Verifica
	Mela	Comb.	Mdes	σ c	σ c lim.	σ f.	σ f lim.	Mela	Comb.	Mdes	σ c	σ c lim.	σ FRP	σ FRP lim.	
0	0	8	-2025	0	0	0	3600	0	4	-2025	0	0	0	+∞	Si
15	-2025	8	-2025	0	149.4	1.1	3600	-2025	4	-2025	0	112.1	0	+∞	Si
23	-4556	8	-3797	0	149.4	2	3600	-4556	4	-3797	0	112.1	0	+∞	Si
45	-18225	5	-6075	0.1	149.4	3.2	3600	-18225	3	-6075	0.1	112.1	0	+∞	Si

Verifica di apertura delle fessure

La campata non presenta apertura delle fessure

Verifica di deformabilità

x	Rara				Frequente				Quasi permanente								Verifica
	Elastica+	Elastica-	Fess.+	Fess.-	Elastica+	Elastica-	Fess.+	Fess.-	Elastica+	Elastica-	Fess. viscosa+	Comb.	Fess. viscosa-	Comb.	I/f		
0	0.032	0.021	0.002	0.001	0.029	0.021	0.001	0.001	0.027	0.021	0.004	4	0.002	4	3279	Si	
15	0.021	0.014	0.001	0.001	0.019	0.014	0.001	0.001	0.018	0.014	0.003	4	0.001	4	4919	Si	
23	0.016	0.01	0.001	0	0.014	0.01	0.001	0	0.014	0.01	0.002	4	0.001	4	6559	Si	

Campata 2 tra i fili Palo90 - Palo89, sezione R 90x80, asta 2365

Verifiche a flessione in famiglia SLU

x	A sup.	C.b. sup.	A inf.	C.b. inf.	M+ela	Comb.	M+des	M+ult	x/d	M-ela	Comb.	M-des	M-ult	x/d	Verifica
0	28.27	6	25.13	6	3622333	SLV 16	2008496	6914755	0.094	-103638	SLV 6	-103638	-7429082	0.238	Si
30	28.27	6	25.13	6	1245485	SLV 16	1245485	6914755	0.094	-805711	SLV 6	-1637468	-7429082	0.238	Si
95	28.27	6	25.13	6	-1048845	SLV 1	37440	6914755	0.094	-2548451	SLV 10	-3531082	-7429082	0.238	Si
160	28.27	6	25.13	6						-4577000	SLV 14	-4577000	-7429082	0.238	Si
190	28.27	6	25.13	6						-5787144	SLV 14	-5176749	-7429082	0.238	Si

Verifiche a flessione in famiglia SLV (domini sostanzialmente elastici)

La struttura oppure parte di essa, è stata dichiarata come non dissipativa pertanto la verifica a pressoflessione, per tutte o solo alcune sezioni, viene eseguita calcolando i momenti resistenti in campo sostanzialmente elastico secondo D.M. 17-01-2018 §7.4.1

Le dilatazioni ultime utilizzate sono le seguenti: $\epsilon_c2= 0.002$, $\epsilon_{yd}= 0.0019$

x	A sup.	C.b. sup.	A inf.	C.b. inf.	M+ela	Comb.	M+des	M+ult	x/d	M-ela	Comb.	M-des	M-ult	x/d	Verifica
0	28.27	6	25.13	6	3622333	SLV 11	2202540	6642484	0.222	-103638	SLV 6	-103638	-7429082	0.238	Si
30	28.27	6	25.13	6	2381238	SLV 11	2381238	6642484	0.222	-805711	SLV 6	-1637468	-7429082	0.238	Si
95	28.27	6	25.13	6	-196928	SLV 7	1080959	6642484	0.222	-2548451	SLV 10	-3531082	-7429082	0.238	Si
160	28.27	6	25.13	6						-4577000	SLV 14	-4577000	-7429082	0.238	Si
190	28.27	6	25.13	6						-5787144	SLV 14	-5176749	-7429082	0.238	Si

Verifiche SLD Resistenza a flessione (domini sostanzialmente elastici)

La struttura oppure parte di essa, è stata dichiarata come non dissipativa pertanto la verifica a pressoflessione, per tutte o solo alcune sezioni, viene eseguita calcolando i momenti resistenti in campo sostanzialmente elastico secondo D.M. 17-01-2018 §7.4.1

Le dilatazioni ultime utilizzate sono le seguenti: $\epsilon_c2= 0.002$, $\epsilon_{yd}= 0.0019$

x	A sup.	C.b. sup.	A inf.	C.b. inf.	M+ela	Comb.	M+des	M+ult	x/d	M-ela	Comb.	M-des	M-ult	x/d	Verifica
0	28.27	6	25.13	6	2754918	SLD 11	2202540	6642484	0.222	-103638	SLV 6	-103638	-7429082	0.238	Si
30	28.27	6	25.13	6	1640978	SLD 11	1640978	6642484	0.222	-65451	SLD 6	-1021932	-7429082	0.238	Si
95	28.27	6	25.13	6	-743861	SLD 7	461113	6642484	0.222	-2001517	SLD 10	-3053333	-7429082	0.238	Si
160	28.27	6	25.13	6						-4105689	SLD 14	-4105689	-7429082	0.238	Si
190	28.27	6	25.13	6						-5238756	SLD 14	-4667617	-7429082	0.238	Si

Verifiche a taglio in famiglia SLU

x	A st	A sl	A sag	Vela	Comb.	Vdes	Vrd	Vrcd	Vrsd	Vult	cotgθ	Verifica
0	0	25.13	0	-50165	SLV 16	-50165	-25632	-211438	0	-25632	1	Si
30	0.242	25.13	0	-50867	SLV 16	-50867	-25632	-211438	-62979	-62979	1	Si
95	0.242	28.27	0	-52388	SLV 16	-52388	-26659	-211438	-62979	-62979	1	Si
160	0.242	28.27	0	-53909	SLV 16	-53909	-26659	-211438	-62979	-62979	1	Si
190	0	28.27	0	-54611	SLV 16	-54611	-26659	-211438	0	-26659	1	Si

Verifiche a taglio in famiglia SLV

x	A st	A sl	A sag	Vela	Comb.	Vdes	Vrd	Vrcd	Vrsd	Vult	cotgθ	Verifica
0	0	25.13	0	-41644	SLV 15	-41644	-25632	-211438	0	-25632	1	Si
30	0.242	25.13	0	-42184	SLV 15	-42184	-25632	-211438	-62979	-62979	1	Si
95	0.242	28.27	0	-43354	SLV 15	-43354	-26659	-211438	-62979	-62979	1	Si
160	0.242	28.27	0	-44524	SLV 15	-44524	-26659	-211438	-62979	-62979	1	Si
190	0	28.27	0	-45064	SLV 15	-45064	-26659	-211438	0	-26659	1	Si

Verifiche SLD Resistenza a taglio

x	A st	A sl	A sag	Vela	Comb.	Vdes	Vrd	Vrcd	Vrsd	Vult	cotgθ	Verifica
0	0	25.13	0	-36999	SLD 15	-36999	-25632	-211438	0	-25632	1	Si
30	0.242	25.13	0	-37539	SLD 15	-37539	-25632	-211438	-62979	-62979	1	Si
95	0.242	28.27	0	-38709	SLD 15	-38709	-26659	-211438	-62979	-62979	1	Si
160	0.242	28.27	0	-39879	SLD 15	-39879	-26659	-211438	-62979	-62979	1	Si
190	0	28.27	0	-40419	SLD 15	-40419	-26659	-211438	0	-26659	1	Si

Verifiche delle tensioni in esercizio

x	Rara							Quasi permanente							Verifica
	Mela	Comb.	Mdes	σ c	σ c lim.	σ f.	σ f lim.	Mela	Comb.	Mdes	σ c	σ c lim.	σ FRP	σ FRP lim.	
0	2020998	8	1470437	19.3	149.4	862.2	3600	1759348	4	1277570	16.8	112.1	0	+∞	Si
30	911846	8	911846	12	149.4	534.7	3600	787763	4	787763	10.3	112.1	0	+∞	Si
95	-1546669	8	-2835751	36.3	149.4	1485.3	3600	-1372689	4	-2509071	32.1	112.1	0	+∞	Si
160	-4081374	8	-4081374	52.3	149.4	2137.8	3600	-3609332	4	-3609332	46.2	112.1	0	+∞	Si
190	-5276786	8	-4675065	59.9	149.4	2448.8	3600	-4667176	4	-4134239	52.9	112.1	0	+∞	Si

Verifica di apertura delle fessure

x	Bordo	Rara				Frequente				Quasi permanente				Verifica
		Dmax	Esm	Wd	Comb	Dmax	Esm	Wd	Comb	Dmax	Esm	Wd	Comb	
133	superiore	33.2	0.00062	0.0207	8	33.2	0.00064	0.0213	4	33.2	0.00061	0.0201	4	Si
160	superiore	33.2	0.00062	0.0207	8	33.2	0.00064	0.0213	4	33.2	0.00061	0.0201	4	Si
190	superiore	33.2	0.00072	0.024	8	33.2	0.00078	0.0259	4	33.2	0.00074	0.0246	4	Si

Verifica di deformabilità

x	Rara								Frequente								Quasi permanente								Verifica
	Elastica+	Elastica-	Fess.+	Fess.-	Elastica+	Elastica-	Fess.+	Fess.-	Elastica+	Elastica-	Fess. viscosa+	Comb.	Fess. viscosa-	Comb.	I/f										
30	-0.001	-0.001	-0.001	-0.002	-0.001	-0.001	-0.001	-0.001	-0.001	-0.001	-0.001	1	-0.004	1	9999	Si									

RELAZIONE GEOTECNICA E SULLE FONDAZIONI

x	Rara				Frequente				Quasi permanente						l/f	Verifica
	Elastica+	Elastica-	Fess.+	Fess.-	Elastica+	Elastica-	Fess.+	Fess.-	Elastica+	Elastica-	Fess. viscosa+	Comb.	Fess. viscosa-	Comb.		
95	-0.004	-0.006	-0.004	-0.006	-0.004	-0.005	-0.004	-0.005	-0.004	-0.005	-0.009	1	-0.014	1	9999	Si
127	-0.004	-0.006	-0.004	-0.007	-0.004	-0.006	-0.004	-0.006	-0.004	-0.006	-0.011	1	-0.016	1	9999	Si
160	-0.003	-0.005	-0.003	-0.006	-0.003	-0.004	-0.003	-0.005	-0.003	-0.004	-0.008	1	-0.013	1	9999	Si

Campata 3 tra i fili Palo89 - Palo88, sezione R 90x80, asta 2363

Verifiche a flessione in famiglia SLU

x	A sup.	C.b. sup.	A inf.	C.b. inf.	M+ela	Comb.	M+des	M+ult	x/d	M-ela	Comb.	M-des	M-ult	x/d	Verifica
0	28.27	6	25.13	6						-6284627	SLU 16	-6238402	-7752052	0.101	Si
30	28.27	6	25.13	6						-6202578	SLU 16	-6202578	-7752052	0.101	Si
100	28.27	6	25.13	6	-3078802	SLU 1	42266	6914755	0.094	-6092596	SLU 16	-6130558	-7752052	0.101	Si
170	28.27	6	25.13	6						-6097535	SLU 16	-6097535	-7752052	0.101	Si
200	28.27	6	25.13	6						-6134566	SLU 16	-6110851	-7752052	0.101	Si

Verifiche a flessione in famiglia SLV (domini sostanzialmente elastici)

La struttura oppure parte di essa, è stata dichiarata come non dissipativa pertanto la verifica a pressoflessione, per tutte o solo alcune sezioni, viene eseguita calcolando i momenti resistenti in campo sostanzialmente elastico secondo D.M. 17-01-2018 §7.4.1

Le dilatazioni ultime utilizzate sono le seguenti: $\epsilon_c = 0.002$, $\epsilon_{yd} = 0.0019$

x	A sup.	C.b. sup.	A inf.	C.b. inf.	M+ela	Comb.	M+des	M+ult	x/d	M-ela	Comb.	M-des	M-ult	x/d	Verifica
0	28.27	6	25.13	6						-5792754	SLV 10	-5553380	-7429082	0.238	Si
30	28.27	6	25.13	6						-5316082	SLV 10	-5316082	-7429082	0.238	Si
100	28.27	6	25.13	6						-4841302	SLV 16	-5001230	-7429082	0.238	Si
170	28.27	6	25.13	6						-5208599	SLV 11	-5208599	-7429082	0.238	Si
200	28.27	6	25.13	6						-5667224	SLV 11	-5431640	-7429082	0.238	Si

Verifiche SLD Resistenza a flessione (domini sostanzialmente elastici)

La struttura oppure parte di essa, è stata dichiarata come non dissipativa pertanto la verifica a pressoflessione, per tutte o solo alcune sezioni, viene eseguita calcolando i momenti resistenti in campo sostanzialmente elastico secondo D.M. 17-01-2018 §7.4.1

Le dilatazioni ultime utilizzate sono le seguenti: $\epsilon_c = 0.002$, $\epsilon_{yd} = 0.0019$

x	A sup.	C.b. sup.	A inf.	C.b. inf.	M+ela	Comb.	M+des	M+ult	x/d	M-ela	Comb.	M-des	M-ult	x/d	Verifica
0	28.27	6	25.13	6						-5001022	SLD 10	-4857834	-7429082	0.238	Si
30	28.27	6	25.13	6						-4719583	SLD 10	-4719583	-7429082	0.238	Si
100	28.27	6	25.13	6						-4415572	SLD 16	-4511122	-7429082	0.238	Si
170	28.27	6	25.13	6						-4640622	SLD 11	-4640622	-7429082	0.238	Si
200	28.27	6	25.13	6						-4903734	SLD 11	-4766955	-7429082	0.238	Si

Verifiche a taglio in famiglia SLU

x	A st	A sl	A sag	Vela	Comb.	Vdes	Vrd	Vrcd	Vrsd	Vult	cotgθ	Verifica
0	0	28.27	0	3090	SLU 16	3090	26659	211438	0	26659	1	Si
30	0.157	28.27	0	2388	SLU 16	2388	26659	211438	40936	40936	1	Si
100	0.157	28.27	0	750	SLU 16	750	26659	211438	40936	40936	1	Si
170	0.157	28.27	0	-1463	SLU 10	-1463	-26659	-211438	-40936	-40936	1	Si
200	0	28.27	0	-2165	SLU 10	-2165	-26659	-211438	0	-26659	1	Si

Verifiche a taglio in famiglia SLV

x	A st	A sl	A sag	Vela	Comb.	Vdes	Vrd	Vrcd	Vrsd	Vult	cotgθ	Verifica
0	0	28.27	0	16360	SLV 10	16360	26659	211438	0	26659	1	Si
0	0	28.27	0	-12142	SLV 7	-12142	-26659	-211438	0	-26659	1	Si
30	0.157	28.27	0	15820	SLV 10	15820	26659	211438	40936	40936	1	Si
30	0.157	28.27	0	-12682	SLV 7	-12682	-26659	-211438	-40936	-40936	1	Si
100	0.157	28.27	0	14560	SLV 10	14560	26659	211438	40936	40936	1	Si
100	0.157	28.27	0	-13942	SLV 7	-13942	-26659	-211438	-40936	-40936	1	Si
170	0.157	28.27	0	13300	SLV 10	13300	26659	211438	40936	40936	1	Si
170	0.157	28.27	0	-15202	SLV 7	-15202	-26659	-211438	-40936	-40936	1	Si
200	0	28.27	0	12760	SLV 10	12760	26659	211438	0	26659	1	Si
200	0	28.27	0	-15742	SLV 7	-15742	-26659	-211438	0	-26659	1	Si

Verifiche SLD Resistenza a taglio

x	A st	A sl	A sag	Vela	Comb.	Vdes	Vrd	Vrcd	Vrsd	Vult	cotgθ	Verifica
0	0	28.27	0	9757	SLD 10	9757	26659	211438	0	26659	1	Si
0	0	28.27	0	-5539	SLD 7	-5539	-26659	-211438	0	-26659	1	Si
30	0.157	28.27	0	9217	SLD 10	9217	26659	211438	40936	40936	1	Si
30	0.157	28.27	0	-6079	SLD 7	-6079	-26659	-211438	-40936	-40936	1	Si
100	0.157	28.27	0	7957	SLD 10	7957	26659	211438	40936	40936	1	Si
100	0.157	28.27	0	-7339	SLD 7	-7339	-26659	-211438	-40936	-40936	1	Si
170	0.157	28.27	0	6697	SLD 10	6697	26659	211438	40936	40936	1	Si
170	0.157	28.27	0	-8599	SLD 7	-8599	-26659	-211438	-40936	-40936	1	Si
200	0	28.27	0	6157	SLD 10	6157	26659	211438	0	26659	1	Si
200	0	28.27	0	-9139	SLD 7	-9139	-26659	-211438	0	-26659	1	Si

Verifiche delle tensioni in esercizio

x	Rara							Quasi permanente							Verifica
	Mela	Comb.	Mdes	σ c	σ c lim.	σ f.	σ f lim.	Mela	Comb.	Mdes	σ c	σ c lim.	σ FRP	σ FRP lim.	
0	-4614058	8	-4579385	58.6	149.4	2398.7	3600	-4098946	4	-4067415	52.1	112.1	0	+∞	Si
30	-4552712	8	-4552712	58.3	149.4	2384.7	3600	-4043884	4	-4043884	51.8	112.1	0	+∞	Si
100	-4472238	8	-4499476	57.6	149.4	2356.8	3600	-3978073	4	-3998336	51.2	112.1	0	+∞	Si
170	-4480164	8	-4480164	57.4	149.4	2346.7	3600	-4000662	4	-4000662	51.2	112.1	0	+∞	Si
200	-4510418	8	-4491291	57.5	149.4	2352.5	3600	-4037200	4	-4014931	51.4	112.1	0	+∞	Si

Verifica di apertura delle fessure

x	Bordo	Rara				Frequente				Quasi permanente				Verifica
		Dmax	Esm	Wd	Comb.	Dmax	Esm	Wd	Comb.	Dmax	Esm	Wd	Comb.	
0	superiore	33.2	0.0007	0.0232	8	33.2	0.00076	0.0252	4	33.2	0.00072	0.024	4	Si
30	superiore	33.2	0.00069	0.0231	8	33.2	0.00075	0.025	4	33.2	0.00072	0.0238	4	Si
100	superiore	33.2	0.00069	0.0228	8	33.2	0.00074	0.0246	4	33.2	0.0007	0.0234	4	Si
170	superiore	33.2	0.00068	0.0227	8	33.2	0.00074	0.0246	4	33.2	0.00071	0.0234	4	Si
200	superiore	33.2	0.00069	0.0228	8	33.2	0.00074	0.0247	4	33.2	0.00071	0.0236	4	Si

Verifica di deformabilità

x	Rara				Frequente				Quasi permanente						Verifica	
	Elastica+	Elastica-	Fess.+	Fess.-	Elastica+	Elastica-	Fess.+	Fess.-	Elastica+	Elastica-	Fess. viscosa+	Comb.	Fess. viscosa-	Comb.	l/f	
30	-0.006	-0.009	-0.006	-0.015	-0.006	-0.009	-0.006	-0.013	-0.006	-0.008	-0.022	1	-0.034	1	9162	Si
100	-0.013	-0.018	-0.012	-0.03	-0.013	-0.017	-0.012	-0.025	-0.013	-0.016	-0.043	1	-0.067	1	4702	Si
170	-0.006	-0.009	-0.006	-0.015	-0.006	-0.009	-0.006	-0.013	-0.006	-0.008	-0.022	1	-0.034	1	9197	Si

Campata 4 tra i fili Palo88 - Palo87, sezione R 90x80, asta 2361

Verifiche a flessione in famiglia SLU

x	A sup.	C.b. sup.	A inf.	C.b. inf.	M+ela	Comb.	M+des	M+ult	x/d	M-ela	Comb.	M-des	M-ult	x/d	Verifica
---	--------	-----------	--------	-----------	-------	-------	-------	-------	-----	-------	-------	-------	-------	-----	----------

RELAZIONE GEOTECNICA E SULLE FONDAZIONI

x	A sup.	C.b. sup.	A inf.	C.b. inf.	M+ela	Comb.	M+des	M+ult	x/d	M-ela	Comb.	M-des	M-ult	x/d	Verifica
0	28.27	6	25.13	6						-6823578	SLU 16	-6070233	-7752052	0.101	Si
30	28.27	6	25.13	6						-5327327	SLU 16	-5327327	-7752052	0.101	Si
95	28.27	6	25.13	6	-1069718	SLU 1	37440	6914755	0.094	-2157407	SLU 16	-3769074	-7752052	0.101	Si
160	28.27	6	25.13	6	913465	SLU 16	913465	6914755	0.094	523487	SLU 1	-647374	-7752052	0.101	Si
190	28.27	6	25.13	6	2297579	SLU 16	1610741	6914755	0.094						Si

Verifiche a flessione in famiglia SLV (domini sostanzialmente elastici)

La struttura oppure parte di essa, è stata dichiarata come non dissipativa pertanto la verifica a pressoflessione, per tutte o solo alcune sezioni, viene eseguita calcolando i momenti resistenti in campo sostanzialmente elastico secondo D.M. 17-01-2018 §7.4.1

Le dilatazioni ultime utilizzate sono le seguenti: $\epsilon_{c2} = 0.002$, $\epsilon_{yd} = 0.0019$

x	A sup.	C.b. sup.	A inf.	C.b. inf.	M+ela	Comb.	M+des	M+ult	x/d	M-ela	Comb.	M-des	M-ult	x/d	Verifica
0	28.27	6	25.13	6						-5553707	SLV 15	-4985066	-7429082	0.238	Si
30	28.27	6	25.13	6						-4427077	SLV 15	-4427077	-7429082	0.238	Si
95	28.27	6	25.13	6	-240379	SLV 6	996573	6642484	0.222	-2555520	SLV 11	-3449895	-7429082	0.238	Si
160	28.27	6	25.13	6	2229615	SLV 10	2229615	6642484	0.222	-950166	SLV 7	-1726395	-7429082	0.238	Si
190	28.27	6	25.13	6	3423229	SLV 10	2831830	6642484	0.222	-313947	SLV 7	-313947	-7429082	0.238	Si

Verifiche SLD Resistenza a flessione (domini sostanzialmente elastici)

La struttura oppure parte di essa, è stata dichiarata come non dissipativa pertanto la verifica a pressoflessione, per tutte o solo alcune sezioni, viene eseguita calcolando i momenti resistenti in campo sostanzialmente elastico secondo D.M. 17-01-2018 §7.4.1

Le dilatazioni ultime utilizzate sono le seguenti: $\epsilon_{c2} = 0.002$, $\epsilon_{yd} = 0.0019$

x	A sup.	C.b. sup.	A inf.	C.b. inf.	M+ela	Comb.	M+des	M+ult	x/d	M-ela	Comb.	M-des	M-ult	x/d	Verifica
0	28.27	6	25.13	6						-5043221	SLD 15	-4507291	-7429082	0.238	Si
30	28.27	6	25.13	6						-3980576	SLD 15	-3980576	-7429082	0.238	Si
95	28.27	6	25.13	6	-779508	SLD 6	374482	6642484	0.222	-2016390	SLD 11	-2991642	-7429082	0.238	Si
160	28.27	6	25.13	6	1491942	SLD 10	1491942	6642484	0.222	-212494	SLD 7	-1108556	-7429082	0.238	Si
190	28.27	6	25.13	6	2554635	SLD 10	2028034	6642484	0.222						Si

Verifiche a taglio in famiglia SLU

x	A st	A sl	A sag	Vela	Comb.	Vdes	Vrd	Vrcd	Vrsd	Vult	cotgθ	Verifica
0	0	28.27	0	50229	SLU 16	50229	26659	211438	0	26659	1	Si
30	0.217	28.27	0	49527	SLU 16	49527	26659	211438	56681	56681	1	Si
95	0.217	28.27	0	48006	SLU 16	48006	26659	211438	56681	56681	1	Si
160	0.217	25.13	0	46485	SLU 16	46485	25632	211438	56681	56681	1	Si
190	0	25.13	0	45783	SLU 16	45783	25632	211438	0	25632	1	Si

Verifiche a taglio in famiglia SLV

x	A st	A sl	A sag	Vela	Comb.	Vdes	Vrd	Vrcd	Vrsd	Vult	cotgθ	Verifica
0	0	28.27	0	43028	SLV 10	43028	26659	211438	0	26659	1	Si
30	0.217	28.27	0	42488	SLV 10	42488	26659	211438	56681	56681	1	Si
95	0.217	28.27	0	41318	SLV 10	41318	26659	211438	56681	56681	1	Si
160	0.217	25.13	0	40148	SLV 10	40148	25632	211438	56681	56681	1	Si
190	0	25.13	0	39608	SLV 10	39608	25632	211438	0	25632	1	Si

Verifiche SLD Resistenza a taglio

x	A st	A sl	A sag	Vela	Comb.	Vdes	Vrd	Vrcd	Vrsd	Vult	cotgθ	Verifica
0	0	28.27	0	38619	SLD 10	38619	26659	211438	0	26659	1	Si
30	0.217	28.27	0	38079	SLD 10	38079	26659	211438	56681	56681	1	Si
95	0.217	28.27	0	36909	SLD 10	36909	26659	211438	56681	56681	1	Si
160	0.217	25.13	0	35739	SLD 10	35739	25632	211438	56681	56681	1	Si
190	0	25.13	0	35199	SLD 10	35199	25632	211438	0	25632	1	Si

Verifiche delle tensioni in esercizio

x	Rara								Quasi permanente						Verifica
	Mela	Comb.	Mdes	σ c	σ c lim.	σ f.	σ f lim.	Mela	Comb.	Mdes	σ c	σ c lim.	σ FRP	σ FRP lim.	
0	-5020405	8	-4464571	57.2	149.4	2338.5	3600	-4512990	4	-4008386	51.3	112.1	0	+∞	Si
30	-3916766	8	-3916766	50.2	149.4	2051.6	3600	-3511813	4	-3511813	45	112.1	0	+∞	Si
95	-1580900	8	-2768115	35.4	149.4	1449.9	3600	-1397949	4	-2471430	31.6	112.1	0	+∞	Si
160	678775	8	678775	8.9	149.4	398	3600	639724	4	639724	8.4	112.1	0	+∞	Si
190	1696155	8	1191480	15.6	149.4	698.7	3600	1554641	4	1101198	14.4	112.1	0	+∞	Si

Verifica di apertura delle fessure

x	Bordo	Rara				Frequente				Quasi permanente				Verifica
		Dmax	Esm	Wd	Comb	Dmax	Esm	Wd	Comb	Dmax	Esm	Wd	Comb	
0	superiore	33.2	0.00068	0.0226	8	33.2	0.00074	0.0246	4	33.2	0.00071	0.0235	4	Si
30	superiore	33.2	0.0006	0.0199	8	33.2	0.00061	0.0203	4	33.2	0.00058	0.0193	4	Si
32	superiore	33.2	0.0006	0.0199	8	33.2	0.00061	0.0203	4	33.2	0.00058	0.0193	4	Si

Verifica di deformabilità

x	Rara				Frequente				Quasi permanente						Verifica
	Elastica+	Elastica-	Fess.+	Fess.-	Elastica+	Elastica-	Fess.+	Fess.-	Elastica+	Elastica-	Fess. viscosa+	Comb.	Fess. viscosa-	Comb.	
30	-0.003	-0.005	-0.003	-0.005	-0.003	-0.004	-0.003	-0.005	-0.003	-0.004	-0.008	1	-0.013	1	9999 Si
63	-0.004	-0.006	-0.004	-0.006	-0.004	-0.006	-0.004	-0.006	-0.004	-0.006	-0.01	1	-0.016	1	9999 Si
95	-0.004	-0.006	-0.004	-0.006	-0.004	-0.006	-0.004	-0.006	-0.004	-0.006	-0.009	1	-0.014	1	9999 Si
160	-0.001	-0.001	-0.001	-0.002	-0.001	-0.001	-0.001	-0.002	-0.001	-0.001	-0.003	1	-0.004	1	9999 Si

Campata 5 tra i fili Palo87 - Pil.B1, sezione R 90x80, asta 385

Verifiche a flessione in famiglia SLU

x	A sup.	C.b. sup.	A inf.	C.b. inf.	M+ela	Comb.	M+des	M+ult	x/d	M-ela	Comb.	M-des	M-ult	x/d	Verifica
0	28.27	6	25.13	6						-23693	SLU 13	-7897	-7752052	0.101	Si
22	28.27	6	25.13	6						-5923	SLU 13	-4936	-7752052	0.101	Si
30	28.27	6	25.13	6						-2632	SLU 13	-2632	-7752052	0.101	Si
40	0	0	0	0						-237	SLU 14	-2632	0	0	Si
45	0	0	0	0						0	SLU 14	-2632	0	0	Si

Verifiche a flessione in famiglia SLV (domini sostanzialmente elastici)

La struttura oppure parte di essa, è stata dichiarata come non dissipativa pertanto la verifica a pressoflessione, per tutte o solo alcune sezioni, viene eseguita calcolando i momenti resistenti in campo sostanzialmente elastico secondo D.M. 17-01-2018 §7.4.1

Le dilatazioni ultime utilizzate sono le seguenti: $\epsilon_{c2} = 0.002$, $\epsilon_{yd} = 0.0019$

x	A sup.	C.b. sup.	A inf.	C.b. inf.	M+ela	Comb.	M+des	M+ult	x/d	M-ela	Comb.	M-des	M-ult	x/d	Verifica
0	28.27	6	25.13	6						-18225	SLV 2	-6075	-7429082	0.238	Si
22	28.27	6	25.13	6						-4556	SLV 2	-3797	-7429082	0.238	Si
30	28.27	6	25.13	6	-2025	SLV 15	0	6642484	0.222	-2025	SLV 2	-2025	-7429082	0.238	Si
40	0	0	0	0	-182	SLV 15	0	0	0	-182	SLV 2	-2025	0	0	Si
45	0	0	0	0	0	SLV 16	0	0	0	0	SLV 1	-2025	0	0	Si

Verifiche SLD Resistenza a flessione (domini sostanzialmente elastici)

La struttura oppure parte di essa, è stata dichiarata come non dissipativa pertanto la verifica a pressoflessione, per tutte o solo alcune sezioni, viene eseguita calcolando i momenti resistenti in campo sostanzialmente elastico secondo D.M. 17-01-2018 §7.4.1

Le dilatazioni ultime utilizzate sono le seguenti: $\epsilon_c = 0.002$, $\epsilon_{yd} = 0.0019$

x	A sup.	C.b. sup.	A inf.	C.b. inf.	M+ela	Comb.	M+des	M+ult	x/d	M-ela	Comb.	M-des	M-ult	x/d	Verifica
0	28.27	6	25.13	6						-18225	SLD 16	-6075	-7429082	0.238	Si
22	28.27	6	25.13	6						-4556	SLD 4	-3797	-7429082	0.238	Si
30	28.27	6	25.13	6	-2025	SLD 13	0	6642484	0.222	-2025	SLD 4	-2025	-7429082	0.238	Si
40	0	0	0	0	-182	SLD 13	0	0	0	-182	SLD 4	-2025	0	0	Si
45	0	0	0	0	0	SLD 13	0	0	0	0	SLD 4	-2025	0	0	Si

Verifiche a taglio in famiglia SLU

x	A st	A sl	A sag	Vela	Comb.	Vdes	Vrd	Vrcd	Vrsd	Vult	cotgθ	Verifica
0	0	0	0	1053	SLU 16	1053	21795	211438	0	21795	1	Si
22	0	0	0	527	SLU 16	527	21795	211438	0	21795	1	Si
30	0.209	0	0	351	SLU 16	351	21795	211438	54582	54582	1	Si
45	0.209	0	0	0	Ger.	0	23101	228582	59007	59007	1	Si

Verifiche a taglio in famiglia SLV

x	A st	A sl	A sag	Vela	Comb.	Vdes	Vrd	Vrcd	Vrsd	Vult	cotgθ	Verifica
0	0	0	0	810	SLV 2	810	21795	211438	0	21795	1	Si
22	0	0	0	405	SLV 2	405	21795	211438	0	21795	1	Si
30	0.209	0	0	270	SLV 2	270	21795	211438	54582	54582	1	Si
45	0.209	0	0	0	Ger.	0	23101	228582	59007	59007	1	Si
45	0.209	0	0	0	Ger.	0	-23101	-228582	-59007	-59007	1	Si

Verifiche SLD Resistenza a taglio

x	A st	A sl	A sag	Vela	Comb.	Vdes	Vrd	Vrcd	Vrsd	Vult	cotgθ	Verifica
0	0	0	0	810	SLD 14	810	21795	211438	0	21795	1	Si
22	0	0	0	405	SLD 14	405	21795	211438	0	21795	1	Si
30	0.209	0	0	270	SLD 14	270	21795	211438	54582	54582	1	Si
45	0.209	0	0	0	Ger.	0	23101	228582	59007	59007	1	Si
45	0.209	0	0	0	Ger.	0	-23101	-228582	-59007	-59007	1	Si

Verifiche delle tensioni in esercizio

x	Rara							Quasi permanente							Verifica
	Mela	Comb.	Mdes	σ c	σ c lim.	σ f.	σ f lim.	Mela	Comb.	Mdes	σ c	σ c lim.	σ FRP	σ FRP lim.	
0	-18225	5	-6075	0.1	149.4	3.2	3600	-18225	3	-6075	0.1	112.1	0	$+\infty$	Si
22	-4556	5	-3797	0	149.4	2	3600	-4556	3	-3797	0	112.1	0	$+\infty$	Si
30	-2025	5	-2025	0	149.4	1.1	3600	-2025	3	-2025	0	112.1	0	$+\infty$	Si
45	0	6	-2025	0	0	0	3600	0	3	-2025	0	0	0	$+\infty$	Si

Verifica di apertura delle fessure

La campata non presenta apertura delle fessure

Verifica di deformabilità

x	Rara				Frequente				Quasi permanente							Verifica
	Elastica+	Elastica-	Fess.+	Fess.-	Elastica+	Elastica-	Fess.+	Fess.-	Elastica+	Elastica-	Fess. viscosa+	Comb.	Fess. viscosa-	Comb.	l/f	
22	0.013	0.009	0.001	0	0.012	0.009	0.001	0	0.012	0.009	0.002	4	0.001	4	7634	Si
30	0.017	0.013	0.001	0.001	0.016	0.013	0.001	0.001	0.016	0.013	0.003	4	0.002	4	5725	Si
45	0.026	0.019	0.002	0.001	0.024	0.019	0.002	0.001	0.024	0.019	0.004	4	0.003	4	3817	Si

Trave a "Fondazione" Pil.B6-Pil.B2

Caratteristiche dei materiali

Acciaio: B450C Fyk 4500
Calcestruzzo: C25/30 Rck 300

Elenco delle sezioni

N°	Descrizione	Tipo	Base	Altezza	Copriferro sup.	Copriferro inf.	Copriferro lat.
1	R 90x80	Rettangolare	90	80	4	4	4

Output campate

Campata 1 tra i fili Pil.B6 - Palo86, sezione R 90x80, asta 2368

Verifiche a flessione in famiglia SLU

x	A sup.	C.b. sup.	A inf.	C.b. inf.	M+ela	Comb.	M+des	M+ult	x/d	M-ela	Comb.	M-des	M-ult	x/d	Verifica
0	0	0	0	0						0	SLU 14	-2633	0	0	Si
15	28.27	6	25.13	6						-2633	SLU 14	-2633	-7752052	0.101	Si
23	28.27	6	25.13	6						-5923	SLU 14	-4936	-7752052	0.101	Si
45	28.27	6	25.13	6						-23693	SLU 15	-7898	-7752052	0.101	Si

Verifiche a flessione in famiglia SLV (domini sostanzialmente elastici)

La struttura oppure parte di essa, è stata dichiarata come non dissipativa pertanto la verifica a pressoflessione, per tutte o solo alcune sezioni, viene eseguita calcolando i momenti resistenti in campo sostanzialmente elastico secondo D.M. 17-01-2018 §7.4.1

Le dilatazioni ultime utilizzate sono le seguenti: $\epsilon_c = 0.002$, $\epsilon_{yd} = 0.0019$

x	A sup.	C.b. sup.	A inf.	C.b. inf.	M+ela	Comb.	M+des	M+ult	x/d	M-ela	Comb.	M-des	M-ult	x/d	Verifica
0	0	0	0	0	0	SLV 3	0	0	0	0	SLV 14	-2025	0	0	Si
15	28.27	6	25.13	6	-2025	SLV 3	0	6642484	0.222	-2025	SLV 14	-2025	-7429082	0.238	Si
23	28.27	6	25.13	6						-4556	SLV 14	-3797	-7429082	0.238	Si
45	28.27	6	25.13	6						-18225	SLV 14	-6075	-7429082	0.238	Si

Verifiche SLD Resistenza a flessione (domini sostanzialmente elastici)

La struttura oppure parte di essa, è stata dichiarata come non dissipativa pertanto la verifica a pressoflessione, per tutte o solo alcune sezioni, viene eseguita calcolando i momenti resistenti in campo sostanzialmente elastico secondo D.M. 17-01-2018 §7.4.1

Le dilatazioni ultime utilizzate sono le seguenti: $\epsilon_c = 0.002$, $\epsilon_{yd} = 0.0019$

x	A sup.	C.b. sup.	A inf.	C.b. inf.	M+ela	Comb.	M+des	M+ult	x/d	M-ela	Comb.	M-des	M-ult	x/d	Verifica
0	0	0	0	0	0	SLD 15	0	0	0	0	SLD 2	-2025	0	0	Si
15	28.27	6	25.13	6	-2025	SLD 15	0	6642484	0.222	-2025	SLD 2	-2025	-7429082	0.238	Si
23	28.27	6	25.13	6						-4556	SLD 2	-3797	-7429082	0.238	Si
45	28.27	6	25.13	6						-18225	SLD 2	-6075	-7429082	0.238	Si

Verifiche a taglio in famiglia SLU

x	A st	A sl	A sag	Vela	Comb.	Vdes	Vrd	Vrcd	Vrsd	Vult	cotgθ	Verifica
0	0.209	0	0	0	Ger.	0	23101	228582	59007	59007	1	Si
15	0.209	0	0	0	-351	SLU 16	-351	-21795	-211438	-54582	1	Si
23	0	0	0	0	-527	SLU 16	-527	-21795	-211438	0	1	Si

RELAZIONE GEOTECNICA E SULLE FONDAZIONI

x	A st	A sl	A sag	Vela	Comb.	Vdes	Vrd	Vrcd	Vrsd	Vult	cotgθ	Verifica
45	0	0	0	-1053	SLU 16	-1053	-21795	-211438	0	-21795	1	Si

Verifiche a taglio in famiglia SLV

x	A st	A sl	A sag	Vela	Comb.	Vdes	Vrd	Vrcd	Vrsd	Vult	cotgθ	Verifica
0	0.209	0	0	0	Ger.	0	23101	228582	59007	59007	1	Si
0	0.209	0	0	0	Ger.	0	-23101	-228582	-59007	-59007	1	Si
15	0.209	0	0	-270	SLV 16	-270	-21795	-211438	-54582	-54582	1	Si
23	0	0	0	-405	SLV 16	-405	-21795	-211438	0	-21795	1	Si
45	0	0	0	-810	SLV 16	-810	-21795	-211438	0	-21795	1	Si

Verifiche SLD Resistenza a taglio

x	A st	A sl	A sag	Vela	Comb.	Vdes	Vrd	Vrcd	Vrsd	Vult	cotgθ	Verifica
0	0.209	0	0	0	Ger.	0	23101	228582	59007	59007	1	Si
0	0.209	0	0	0	Ger.	0	-23101	-228582	-59007	-59007	1	Si
15	0.209	0	0	-270	SLD 13	-270	-21795	-211438	-54582	-54582	1	Si
23	0	0	0	-405	SLD 13	-405	-21795	-211438	0	-21795	1	Si
45	0	0	0	-810	SLD 13	-810	-21795	-211438	0	-21795	1	Si

Verifiche delle tensioni in esercizio

x	Rara							Quasi permanente							Verifica
	Mela	Comb.	Mdes	σ_c	σ_c lim.	σ_f	σ_f lim.	Mela	Comb.	Mdes	σ_c	σ_c lim.	σ_{FRP}	σ_{FRP} lim.	
0	0	6	-2025	0	0	0	3600	0	3	-2025	0	0	0	$+\infty$	Si
15	-2025	6	-2025	0	149.4	1.1	3600	-2025	3	-2025	0	112.1	0	$+\infty$	Si
23	-4556	6	-3797	0	149.4	2	3600	-4556	3	-3797	0	112.1	0	$+\infty$	Si
45	-18225	7	-6075	0.1	149.4	3.2	3600	-18225	4	-6075	0.1	112.1	0	$+\infty$	Si

Verifica di apertura delle fessure

La campata non presenta apertura delle fessure

Verifica di deformabilità

x	Rara				Frequente				Quasi permanente						Verifica	
	Elastica+	Elastica-	Fess.+	Fess.-	Elastica+	Elastica-	Fess.+	Fess.-	Elastica+	Elastica-	Fess. viscosa+	Comb.	Fess. viscosa-	Comb.	l/f	
0	0.031	0.02	0.002	0.001	0.028	0.02	0.001	0.001	0.027	0.02	0.004	4	0.002	4	3382	Si
15	0.02	0.014	0.001	0.001	0.019	0.014	0.001	0.001	0.018	0.014	0.002	4	0.001	4	5072	Si
23	0.015	0.01	0.001	0	0.014	0.01	0.001	0	0.013	0.01	0.002	4	0.001	4	6763	Si

Campata 2 tra i fili Palo86 - Palo85, sezione R 90x80, asta 2366

Verifiche a flessione in famiglia SLU

x	A sup.	C.b. sup.	A inf.	C.b. inf.	M+ela	Comb.	M+des	M+ult	x/d	M-ela	Comb.	M-des	M-ult	x/d	Verifica
0	28.27	6	25.13	6	3479057	SLU 16	1928251	6914755	0.094	-64807	SLV 6	-64807	-7429082	0.238	Si
30	28.27	6	25.13	6	1192407	SLU 16	1192407	6914755	0.094	602928	SLU 1	-454054	-7752052	0.101	Si
95	28.27	6	25.13	6	-1033030	SLU 1	37440	6914755	0.094	-2045594	SLU 16	-3742882	-7752052	0.101	Si
160	28.27	6	25.13	6						-5382642	SLU 16	-5382642	-7752052	0.101	Si
190	28.27	6	25.13	6						-6956030	SLU 16	-6164117	-7752052	0.101	Si

Verifiche a flessione in famiglia SLV (domini sostanzialmente elastici)

La struttura oppure parte di essa, è stata dichiarata come non dissipativa pertanto la verifica a pressoflessione, per tutte o solo alcune sezioni, viene eseguita calcolando i momenti resistenti in campo sostanzialmente elastico secondo D.M. 17-01-2018 §7.4.1

Le dilatazioni ultime utilizzate sono le seguenti: $\epsilon_c = 0.002$, $\epsilon_{yd} = 0.0019$

x	A sup.	C.b. sup.	A inf.	C.b. inf.	M+ela	Comb.	M+des	M+ult	x/d	M-ela	Comb.	M-des	M-ult	x/d	Verifica
0	28.27	6	25.13	6	3479057	SLV 11	2884513	6642484	0.222	-64807	SLV 6	-64807	-7429082	0.238	Si
30	28.27	6	25.13	6	2279552	SLV 11	2279552	6642484	0.222	-752693	SLV 6	-1552280	-7429082	0.238	Si
95	28.27	6	25.13	6	-302834	SLV 7	1009879	6642484	0.222	-2370360	SLV 10	-3255705	-7429082	0.238	Si
160	28.27	6	25.13	6						-4118951	SLV 10	-4118951	-7429082	0.238	Si
190	28.27	6	25.13	6						-5073434	SLV 14	-4541480	-7429082	0.238	Si

Verifiche SLD Resistenza a flessione (domini sostanzialmente elastici)

La struttura oppure parte di essa, è stata dichiarata come non dissipativa pertanto la verifica a pressoflessione, per tutte o solo alcune sezioni, viene eseguita calcolando i momenti resistenti in campo sostanzialmente elastico secondo D.M. 17-01-2018 §7.4.1

Le dilatazioni ultime utilizzate sono le seguenti: $\epsilon_c = 0.002$, $\epsilon_{yd} = 0.0019$

x	A sup.	C.b. sup.	A inf.	C.b. inf.	M+ela	Comb.	M+des	M+ult	x/d	M-ela	Comb.	M-des	M-ult	x/d	Verifica
0	28.27	6	25.13	6	2656055	SLD 11	2120771	6642484	0.222						Si
30	28.27	6	25.13	6	1576171	SLD 11	1576171	6642484	0.222	-49311	SLD 6	-973248	-7429082	0.238	Si
95	28.27	6	25.13	6	-782784	SLD 7	425407	6642484	0.222	-1890409	SLD 10	-2876786	-7429082	0.238	Si
160	28.27	6	25.13	6						-3835223	SLD 10	-3835223	-7429082	0.238	Si
190	28.27	6	25.13	6						-4814118	SLD 14	-4292580	-7429082	0.238	Si

Verifiche a taglio in famiglia SLU

x	A st	A sl	A sag	Vela	Comb.	Vdes	Vrd	Vrcd	Vrsd	Vult	cotgθ	Verifica
0	0	25.13	0	-48354	SLU 16	-48354	-25632	-211438	0	-25632	1	Si
30	0.242	25.13	0	-49056	SLU 16	-49056	-25632	-211438	-62979	-62979	1	Si
95	0.242	28.27	0	-50577	SLU 16	-50577	-26659	-211438	-62979	-62979	1	Si
160	0.242	28.27	0	-52098	SLU 16	-52098	-26659	-211438	-62979	-62979	1	Si
190	0	28.27	0	-52800	SLU 16	-52800	-26659	-211438	0	-26659	1	Si

Verifiche a taglio in famiglia SLV

x	A st	A sl	A sag	Vela	Comb.	Vdes	Vrd	Vrcd	Vrsd	Vult	cotgθ	Verifica
0	0	25.13	0	-39791	SLV 11	-39791	-25632	-211438	0	-25632	1	Si
30	0.242	25.13	0	-40331	SLV 11	-40331	-25632	-211438	-62979	-62979	1	Si
95	0.242	28.27	0	-41501	SLV 11	-41501	-26659	-211438	-62979	-62979	1	Si
160	0.242	28.27	0	-42671	SLV 11	-42671	-26659	-211438	-62979	-62979	1	Si
190	0	28.27	0	-43211	SLV 11	-43211	-26659	-211438	0	-26659	1	Si

Verifiche SLD Resistenza a taglio

x	A st	A sl	A sag	Vela	Comb.	Vdes	Vrd	Vrcd	Vrsd	Vult	cotgθ	Verifica
0	0	25.13	0	-35767	SLD 11	-35767	-25632	-211438	0	-25632	1	Si
30	0.242	25.13	0	-36307	SLD 11	-36307	-25632	-211438	-62979	-62979	1	Si
95	0.242	28.27	0	-37477	SLD 11	-37477	-26659	-211438	-62979	-62979	1	Si
160	0.242	28.27	0	-38647	SLD 11	-38647	-26659	-211438	-62979	-62979	1	Si
190	0	28.27	0	-39187	SLD 11	-39187	-26659	-211438	0	-26659	1	Si

Verifiche delle tensioni in esercizio

x	Rara							Quasi permanente							Verifica
	Mela	Comb.	Mdes	σ c	σ c lim.	σ f.	σ f lim.	Mela	Comb.	Mdes	σ c	σ c lim.	σ FRP	σ FRP lim.	
0	1946763	8	1415060	18.6	149.4	829.8	3600	1707125	4	1239292	16.3	112.1	0	$+\infty$	Si
30	875328	8	875328	11.5	149.4	513.3	3600	763430	4	763430	10	112.1	0	$+\infty$	Si
95	-1501467	8	-2748683	35.2	149.4	1439.7	3600	-1336597	4	-2442022	31.3	112.1	0	$+\infty$	Si
160	-3954452	8	-3954452	50.6	149.4	2071.3	3600	-3512813	4	-3512813	45	112.1	0	$+\infty$	Si

RELAZIONE GEOTECNICA E SULLE FONDAZIONI

x	Rara								Quasi permanente								Verifica
	Mela	Comb.	Mdes	σc	σc lim.	σf .	σf lim.		Mela	Comb.	Mdes	σc	σc lim.	σFRP	σFRP lim.		
190	-5112146	8	-4529284	58	149.4	2372.4	3600		-4542768	4	-4023775	51.5	112.1	0	+∞		Si

Verifica di apertura delle fessure

x	Bordo	Rara				Frequente				Quasi permanente				Verifica
		Dmax	Esm	Wd	Comb	Dmax	Esm	Wd	Comb	Dmax	Esm	Wd	Comb	
133	superiore	33.2	0.0006	0.02	8	33.2	0.00061	0.0204	4	33.2	0.00058	0.0193	4	Si
160	superiore	33.2	0.0006	0.02	8	33.2	0.00061	0.0204	4	33.2	0.00058	0.0193	4	Si
190	superiore	33.2	0.00069	0.023	8	33.2	0.00075	0.0249	4	33.2	0.00071	0.0236	4	Si

Verifica di deformabilità

x	Rara				Frequente				Quasi permanente								Verifica
	Elastica+	Elastica-	Fess.+	Fess.-	Elastica+	Elastica-	Fess.+	Fess.-	Elastica+	Elastica-	Fess. viscosa+	Comb.	Fess. viscosa-	Comb.	I/f		
30	-0.001	-0.001	-0.001	-0.002	-0.001	-0.001	-0.001	-0.001	-0.001	-0.001	-0.002	1	-0.004	1	9999		Si
95	-0.004	-0.005	-0.004	-0.006	-0.004	-0.005	-0.004	-0.005	-0.004	-0.005	-0.009	1	-0.013	1	9999		Si
127	-0.004	-0.006	-0.004	-0.007	-0.004	-0.006	-0.004	-0.006	-0.004	-0.005	-0.01	1	-0.015	1	9999		Si
160	-0.003	-0.004	-0.003	-0.005	-0.003	-0.004	-0.003	-0.005	-0.003	-0.004	-0.008	1	-0.012	1	9999		Si

Campata 3 tra i fili Palo85 - Palo84, sezione R 90x80, asta 2364

Verifiche a flessione in famiglia SLU

x	A sup.	C.b. sup.	A inf.	C.b. inf.	M+ela	Comb.	M+des	M+ult	x/d	M-ela	Comb.	M-des	M-ult	x/d	Verifica
0	28.27	6	25.13	6						-6088047	SLU 16	-6042882	-7752052	0.101	Si
30	28.27	6	25.13	6						-6008117	SLU 16	-6008117	-7752052	0.101	Si
100	28.27	6	25.13	6	-3040470	SLU 1	42266	6914755	0.094	-5903081	SLU 16	-5938690	-7752052	0.101	Si
170	28.27	6	25.13	6						-5912965	SLU 16	-5912965	-7752052	0.101	Si
200	28.27	6	25.13	6						-5952116	SLU 16	-5927340	-7752052	0.101	Si

Verifiche a flessione in famiglia SLV (domini sostanzialmente elastici)

La struttura oppure parte di essa, è stata dichiarata come non dissipativa pertanto la verifica a pressoflessione, per tutte o solo alcune sezioni, viene eseguita calcolando i momenti resistenti in campo sostanzialmente elastico secondo D.M. 17-01-2018 §7.4.1

Le dilatazioni ultime utilizzate sono le seguenti: $\epsilon c2 = 0.002$, $\epsilon yd = 0.0019$

x	A sup.	C.b. sup.	A inf.	C.b. inf.	M+ela	Comb.	M+des	M+ult	x/d	M-ela	Comb.	M-des	M-ult	x/d	Verifica
0	28.27	6	25.13	6						-5380088	SLV 10	-5148505	-7429082	0.238	Si
30	28.27	6	25.13	6						-4918716	SLV 10	-4918716	-7429082	0.238	Si
100	28.27	6	25.13	6						-4290330	SLV 15	-4537127	-7429082	0.238	Si
170	28.27	6	25.13	6						-5062140	SLV 11	-5062140	-7429082	0.238	Si
200	28.27	6	25.13	6						-5509667	SLV 11	-5278503	-7429082	0.238	Si

Verifiche SLD Resistenza a flessione (domini sostanzialmente elastici)

La struttura oppure parte di essa, è stata dichiarata come non dissipativa pertanto la verifica a pressoflessione, per tutte o solo alcune sezioni, viene eseguita calcolando i momenti resistenti in campo sostanzialmente elastico secondo D.M. 17-01-2018 §7.4.1

Le dilatazioni ultime utilizzate sono le seguenti: $\epsilon c2 = 0.002$, $\epsilon yd = 0.0019$

x	A sup.	C.b. sup.	A inf.	C.b. inf.	M+ela	Comb.	M+des	M+ult	x/d	M-ela	Comb.	M-des	M-ult	x/d	Verifica
0	28.27	6	25.13	6						-4735841	SLD 10	-4596995	-7429082	0.238	Si
30	28.27	6	25.13	6						-4462963	SLD 10	-4462963	-7429082	0.238	Si
100	28.27	6	25.13	6						-4087407	SLD 15	-4228148	-7429082	0.238	Si
170	28.27	6	25.13	6						-4520936	SLD 11	-4520936	-7429082	0.238	Si
200	28.27	6	25.13	6						-4778370	SLD 11	-4643875	-7429082	0.238	Si

Verifiche a taglio in famiglia SLU

x	A st	A sl	A sag	Vela	Comb.	Vdes	Vrd	Vrcd	Vrsd	Vult	cotgθ	Verifica
0	0	28.27	0	3020	SLU 16	3020	26659	211438	0	26659	1	Si
30	0.157	28.27	0	2318	SLU 16	2318	26659	211438	40936	40936	1	Si
100	0.157	28.27	0	680	SLU 16	680	26659	211438	40936	40936	1	Si
170	0.157	28.27	0	-1473	SLU 10	-1473	-26659	-211438	-40936	-40936	1	Si
200	0	28.27	0	-2175	SLU 10	-2175	-26659	-211438	0	-26659	1	Si

Verifiche a taglio in famiglia SLV

x	A st	A sl	A sag	Vela	Comb.	Vdes	Vrd	Vrcd	Vrsd	Vult	cotgθ	Verifica
0	0	28.27	0	15859	SLV 10	15859	26659	211438	0	26659	1	Si
0	0	28.27	0	-11693	SLV 7	-11693	-26659	-211438	0	-26659	1	Si
30	0.157	28.27	0	15319	SLV 10	15319	26659	211438	40936	40936	1	Si
30	0.157	28.27	0	-12233	SLV 7	-12233	-26659	-211438	-40936	-40936	1	Si
100	0.157	28.27	0	14059	SLV 10	14059	26659	211438	40936	40936	1	Si
100	0.157	28.27	0	-13493	SLV 7	-13493	-26659	-211438	-40936	-40936	1	Si
170	0.157	28.27	0	12799	SLV 10	12799	26659	211438	40936	40936	1	Si
170	0.157	28.27	0	-14753	SLV 7	-14753	-26659	-211438	-40936	-40936	1	Si
200	0	28.27	0	12259	SLV 10	12259	26659	211438	0	26659	1	Si
200	0	28.27	0	-15293	SLV 7	-15293	-26659	-211438	0	-26659	1	Si

Verifiche SLD Resistenza a taglio

x	A st	A sl	A sag	Vela	Comb.	Vdes	Vrd	Vrcd	Vrsd	Vult	cotgθ	Verifica
0	0	28.27	0	9475	SLD 10	9475	26659	211438	0	26659	1	Si
0	0	28.27	0	-5310	SLD 7	-5310	-26659	-211438	0	-26659	1	Si
30	0.157	28.27	0	8935	SLD 10	8935	26659	211438	40936	40936	1	Si
30	0.157	28.27	0	-5850	SLD 7	-5850	-26659	-211438	-40936	-40936	1	Si
100	0.157	28.27	0	7675	SLD 10	7675	26659	211438	40936	40936	1	Si
100	0.157	28.27	0	-7110	SLD 7	-7110	-26659	-211438	-40936	-40936	1	Si
170	0.157	28.27	0	6415	SLD 10	6415	26659	211438	40936	40936	1	Si
170	0.157	28.27	0	-8370	SLD 7	-8370	-26659	-211438	-40936	-40936	1	Si
200	0	28.27	0	5875	SLD 10	5875	26659	211438	0	26659	1	Si
200	0	28.27	0	-8910	SLD 7	-8910	-26659	-211438	0	-26659	1	Si

Verifiche delle tensioni in esercizio

x	Rara								Quasi permanente								Verifica
	Mela	Comb.	Mdes	σc	σc lim.	σf .	σf lim.		Mela	Comb.	Mdes	σc	σc lim.	σFRP	σFRP lim.		
0	-4477791	8	-4443840	56.9	149.4	2327.7	3600		-3996097	4	-3964953	50.8	112.1	0	+∞		Si
30	-4417888	8	-4417888	56.6	149.4	2314.1	3600		-3941808	4	-3941808	50.5	112.1	0	+∞		Si
100	-4340784	8	-4366419	55.9	149.4	2287.1	3600		-3877802	4	-3897206	49.9	112.1	0	+∞		Si
170	-4352079	8	-4352079	55.7	149.4	2279.6	3600		-3902195	4	-3902195	50	112.1	0	+∞		Si
200	-4383777	8	-4363928	55.9	149.4	2285.8	3600		-3939507	4	-3916851	50.2	112.1	0	+∞		Si

Verifica di apertura delle fessure

Clima di Operazione delle Ressure																
x	Bordo	Rara				Frequente				Quasi permanente				Verifica		
		Dmax	Esm	Wd	Comb	Dmax	Esm	Wd	Comb	Dmax	Esm	Wd	Comb			
0	superiore	33.2	0.00068	0.0225	8	33.2	0.00073	0.0243	4	33.2	0.0007	0.0231	4	Si		
30	superiore	33.2	0.00067	0.0224	8	33.2	0.00073	0.0241	4	33.2	0.00069	0.023	4	Si		
100	superiore	33.2	0.00067	0.0221	8	33.2	0.00071	0.0237	4	33.2	0.00068	0.0226	4	Si		
170	superiore	33.2	0.00066	0.0221	8	33.2	0.00071	0.0237	4	33.2	0.00068	0.0226	4	Si		

RELAZIONE GEOTECNICA E SULLE FONDAZIONI

x	Bordo	Rara				Frequente				Quasi permanente				Verifica
		Dmax	Esm	Wd	Comb	Dmax	Esm	Wd	Comb	Dmax	Esm	Wd	Comb	
200	superiore	33.2	0.00067	0.0221	8	33.2	0.00072	0.0238	4	33.2	0.00068	0.0227	4	Si

Verifica di deformabilità

x	Rara				Frequente				Quasi permanente							Verifica
	Elastica+	Elastica-	Fess.+	Fess.-	Elastica+	Elastica-	Fess.+	Fess.-	Elastica+	Elastica-	Fess. viscosa+	Comb.	Fess. viscosa-	Comb.	I/f	
30	-0.006	-0.009	-0.006	-0.014	-0.006	-0.008	-0.006	-0.012	-0.006	-0.008	-0.018	1	-0.033	1	9999	Si
100	-0.013	-0.018	-0.011	-0.028	-0.013	-0.017	-0.011	-0.023	-0.013	-0.016	-0.032	1	-0.064	1	6213	Si
170	-0.006	-0.009	-0.006	-0.014	-0.006	-0.008	-0.006	-0.012	-0.006	-0.008	-0.017	1	-0.033	1	9999	Si

Campata 4 tra i fili Palo84 - Palo83, sezione R 90x80, asta 2362

Verifiche a flessione in famiglia SLU

x	A sup.	C.b. sup.	A inf.	C.b. inf.	M+ela	Comb.	M+des	M+ult	x/d	M-ela	Comb.	M-des	M-ult	x/d	Verifica
0	28.27	6	25.13	6						-6631927	SLU 16	-5898903	-7752052	0.101	Si
30	28.27	6	25.13	6						-5176318	SLU 16	-5176318	-7752052	0.101	Si
95	28.27	6	25.13	6	-1060653	SLU 1	37440	6914755	0.094	-2094459	SLU 16	-3661012	-7752052	0.101	Si
160	28.27	6	25.13	6	888353	SLU 16	888353	6914755	0.094	514617	SLU 1	-627372	-7752052	0.101	Si
190	28.27	6	25.13	6	2231823	SLU 16	1565307	6914755	0.094						Si

Verifiche a flessione in famiglia SLV (domini sostanzialmente elastici)

La struttura oppure parte di essa, è stata dichiarata come non dissipativa pertanto la verifica a pressoflessione, per tutte o solo alcune sezioni, viene eseguita calcolando i momenti resistenti in campo sostanzialmente elastico secondo D.M. 17-01-2018 §7.4.1

Le dilatazioni ultime utilizzate sono le seguenti: $\epsilon_{c2}=0.002$, $\epsilon_{yd}=0.0019$

x	A sup.	C.b. sup.	A inf.	C.b. inf.	M+ela	Comb.	M+des	M+ult	x/d	M-ela	Comb.	M-des	M-ult	x/d	Verifica
0	28.27	6	25.13	6						-5011388	SLV 11	-4593610	-7429082	0.238	Si
30	28.27	6	25.13	6						-4187737	SLV 11	-4187737	-7429082	0.238	Si
95	28.27	6	25.13	6	-269386	SLV 6	940515	6642484	0.222	-2464466	SLV 11	-3337018	-7429082	0.238	Si
160	28.27	6	25.13	6	2104231	SLV 10	2104231	6642484	0.222	-860158	SLV 7	-1657137	-7429082	0.238	Si
190	28.27	6	25.13	6	3206191	SLV 10	2660919	6642484	0.222	-177247	SLV 7	-177247	-7429082	0.238	Si

Verifiche SLD Resistenza a flessione (domini sostanzialmente elastici)

La struttura oppure parte di essa, è stata dichiarata come non dissipativa pertanto la verifica a pressoflessione, per tutte o solo alcune sezioni, viene eseguita calcolando i momenti resistenti in campo sostanzialmente elastico secondo D.M. 17-01-2018 §7.4.1

Le dilatazioni ultime utilizzate sono le seguenti: $\epsilon_{c2}=0.002$, $\epsilon_{yd}=0.0019$

x	A sup.	C.b. sup.	A inf.	C.b. inf.	M+ela	Comb.	M+des	M+ult	x/d	M-ela	Comb.	M-des	M-ult	x/d	Verifica
0	28.27	6	25.13	6						-4729067	SLD 11	-4276943	-7429082	0.238	Si
30	28.27	6	25.13	6						-3834590	SLD 11	-3834590	-7429082	0.238	Si
95	28.27	6	25.13	6	-779111	SLD 6	347601	6642484	0.222	-1954741	SLD 11	-2907923	-7429082	0.238	Si
160	28.27	6	25.13	6	1416957	SLD 10	1416957	6642484	0.222	-172884	SLD 7	-1068482	-7429082	0.238	Si
190	28.27	6	25.13	6	2420953	SLD 10	1923856	6642484	0.222						Si

Verifiche a taglio in famiglia SLU

x	A st	A sl	A sag	Vela	Comb.	Vdes	Vrd	Vrcd	Vrsd	Vult	cotgθ	Verifica
0	0	28.27	0	48874	SLU 16	48874	26659	211438	0	26659	1	Si
30	0.217	28.27	0	48172	SLU 16	48172	26659	211438	56681	56681	1	Si
95	0.217	28.27	0	46651	SLU 16	46651	26659	211438	56681	56681	1	Si
160	0.217	25.13	0	45130	SLU 16	45130	25632	211438	56681	56681	1	Si
190	0	25.13	0	44428	SLU 16	44428	25632	211438	0	25632	1	Si

Verifiche a taglio in famiglia SLV

x	A st	A sl	A sag	Vela	Comb.	Vdes	Vrd	Vrcd	Vrsd	Vult	cotgθ	Verifica
0	0	28.27	0	39993	SLV 10	39993	26659	211438	0	26659	1	Si
30	0.217	28.27	0	39453	SLV 10	39453	26659	211438	56681	56681	1	Si
95	0.217	28.27	0	38283	SLV 10	38283	26659	211438	56681	56681	1	Si
160	0.217	25.13	0	37113	SLV 10	37113	25632	211438	56681	56681	1	Si
190	0	25.13	0	36573	SLV 10	36573	25632	211438	0	25632	1	Si

Verifiche SLD Resistenza a taglio

x	A st	A sl	A sag	Vela	Comb.	Vdes	Vrd	Vrcd	Vrsd	Vult	cotgθ	Verifica
0	0	28.27	0	36673	SLD 10	36673	26659	211438	0	26659	1	Si
30	0.217	28.27	0	36133	SLD 10	36133	26659	211438	56681	56681	1	Si
95	0.217	28.27	0	34963	SLD 10	34963	26659	211438	56681	56681	1	Si
160	0.217	25.13	0	33793	SLD 10	33793	25632	211438	56681	56681	1	Si
190	0	25.13	0	33253	SLD 10	33253	25632	211438	0	25632	1	Si

Verifiche delle tensioni in esercizio

x	Rara							Quasi permanente							Verifica
	Mela	Comb.	Mdes	σ c	σ c lim.	σ f.	σ f lim.	Mela	Comb.	Mdes	σ c	σ c lim.	σ FRP	σ FRP lim.	
0	-4887935	8	-4346199	55.7	149.4	2276.5	3600	-4410774	4	-3917411	50.2	112.1	0	+∞	Si
30	-3812494	8	-3812494	48.8	149.4	1997	3600	-3432078	4	-3432078	43.9	112.1	0	+∞	Si
95	-1537727	8	-2693640	34.5	149.4	1410.9	3600	-1366926	4	-2415452	30.9	112.1	0	+∞	Si
160	660851	8	660851	8.7	149.4	387.5	3600	622037	4	622037	8.2	112.1	0	+∞	Si
190	1650031	8	1159456	15.2	149.4	679.9	3600	1514472	4	1072269	14.1	112.1	0	+∞	Si

Verifica di apertura delle fessure

x	Bordo	Rara				Frequente				Quasi permanente				Verifica
		Dmax	Esm	Wd	Comb	Dmax	Esm	Wd	Comb	Dmax	Esm	Wd	Comb	
0	superiore	33.2	0.00066	0.022	8	33.2	0.00072	0.0238	4	33.2	0.00068	0.0227	4	Si
30	superiore	33.2	0.00058	0.0193	8	33.2	0.00059	0.0196	4	33.2	0.00056	0.0186	4	Si
44	superiore	33.2	0.00058	0.0193	8	33.2	0.00059	0.0196	4	33.2	0.00056	0.0186	4	Si

Verifica di deformabilità

x	Rara				Frequente				Quasi permanente						Verifica	
	Elastica+	Elastica-	Fess.+	Fess.-	Elastica+	Elastica-	Fess.+	Fess.-	Elastica+	Elastica-	Fess. viscosa+	Comb.	Fess. viscosa-	Comb.	I/f	
30	-0.003	-0.004	-0.003	-0.005	-0.003	-0.004	-0.003	-0.004	-0.003	-0.004	-0.008	1	-0.012	1	9999	Si
63	-0.004	-0.006	-0.004	-0.007	-0.004	-0.006	-0.004	-0.006	-0.004	-0.005	-0.01	1	-0.015	1	9999	Si
95	-0.004	-0.006	-0.004	-0.006	-0.004	-0.005	-0.004	-0.005	-0.004	-0.005	-0.009	1	-0.014	1	9999	Si
160	-0.001	-0.001	-0.001	-0.002	-0.001	-0.001	-0.001	-0.001	-0.001	-0.001	-0.003	1	-0.004	1	9999	Si

Campata 5 tra i fili Palo83 - Pil.B2, sezione R 90x80, asta 386

Verifiche a flessione in famiglia SLU

x	A sup.	C.b. sup.	A inf.	C.b. inf.	M+ela	Comb.	M+des	M+ult	x/d	M-ela	Comb.	M-des	M-ult	x/d	Verifica
0	28.27	6	25.13	6						-23693	SLU 13	-7897	-7752052	0.101	Si
22	28.27	6	25.13	6						-5923	SLU 13	-4936	-7752052	0.101	Si
30	28.27	6	25.13	6						-2632	SLU 13	-2632	-7752052	0.101	Si
40	0	0	0	0						-237	SLU 9	-2632	0	0	Si
45	0	0	0	0						0	SLU 10	-2632	0	0	Si

Verifiche a flessione in famiglia SLV (domini sostanzialmente elastici)

La struttura oppure parte di essa, è stata dichiarata come non dissipativa pertanto la verifica a pressoflessione, per tutte o solo alcune sezioni, viene eseguita calcolando i momenti resistenti in campo sostanzialmente elastico secondo D.M. 17-01-2018 §7.4.1

Le dilatazioni ultime utilizzate sono le seguenti: $\epsilon_{c2} = 0.002$, $\epsilon_{yd} = 0.0019$

x	A sup.	C.b. sup.	A inf.	C.b. inf.	M+ela	Comb.	M+des	M+ult	x/d	M-ela	Comb.	M-des	M-ult	x/d	Verifica
0	28.27	6	25.13	6						-18225	SLV 3	-6075	-7429082	0.238	Si
22	28.27	6	25.13	6						-4556	SLV 3	-3797	-7429082	0.238	Si
30	28.27	6	25.13	6	-2025	SLV 16	0	6642484	0.222	-2025	SLV 1	-2025	-7429082	0.238	Si
40	0	0	0	0	-182	SLV 16	0	0	0	-182	SLV 1	-2025	0	0	Si
45	0	0	0	0	0	SLV 16	0	0	0	0	SLV 1	-2025	0	0	Si

Verifiche SLD Resistenza a flessione (domini sostanzialmente elastici)

La struttura oppure parte di essa, è stata dichiarata come non dissipativa pertanto la verifica a pressoflessione, per tutte o solo alcune sezioni, viene eseguita calcolando i momenti resistenti in campo sostanzialmente elastico secondo D.M. 17-01-2018 §7.4.1

Le dilatazioni ultime utilizzate sono le seguenti: $\epsilon_{c2} = 0.002$, $\epsilon_{yd} = 0.0019$

x	A sup.	C.b. sup.	A inf.	C.b. inf.	M+ela	Comb.	M+des	M+ult	x/d	M-ela	Comb.	M-des	M-ult	x/d	Verifica
0	28.27	6	25.13	6						-18225	SLD 2	-6075	-7429082	0.238	Si
22	28.27	6	25.13	6						-4556	SLD 2	-3797	-7429082	0.238	Si
30	28.27	6	25.13	6	-2025	SLD 15	0	6642484	0.222	-2025	SLD 2	-2025	-7429082	0.238	Si
40	0	0	0	0	-182	SLD 3	0	0	0	-182	SLD 14	-2025	0	0	Si
45	0	0	0	0	0	SLD 2	0	0	0	0	SLD 15	-2025	0	0	Si

Verifiche a taglio in famiglia SLU

x	A st	A sl	A sag	Vela	Comb.	Vdes	Vrd	Vrcd	Vrsd	Vult	cotgθ	Verifica
0	0	0	0	1053	SLU 13	1053	21795	211438	0	21795	1	Si
22	0	0	0	527	SLU 13	527	21795	211438	0	21795	1	Si
30	0.209	0	0	351	SLU 13	351	21795	211438	54582	54582	1	Si
45	0.209	0	0	0	Ger.	0	-23101	-228582	-59007	-59007	1	Si

Verifiche a taglio in famiglia SLV

x	A st	A sl	A sag	Vela	Comb.	Vdes	Vrd	Vrcd	Vrsd	Vult	cotgθ	Verifica
0	0	0	0	810	SLV 4	810	21795	211438	0	21795	1	Si
22	0	0	0	405	SLV 4	405	21795	211438	0	21795	1	Si
30	0.209	0	0	270	SLV 4	270	21795	211438	54582	54582	1	Si
45	0.209	0	0	0	Ger.	0	23101	228582	59007	59007	1	Si
45	0.209	0	0	0	Ger.	0	-23101	-228582	-59007	-59007	1	Si

Verifiche SLD Resistenza a taglio

x	A st	A sl	A sag	Vela	Comb.	Vdes	Vrd	Vrcd	Vrsd	Vult	cotgθ	Verifica
0	0	0	0	810	SLD 2	810	21795	211438	0	21795	1	Si
22	0	0	0	405	SLD 2	405	21795	211438	0	21795	1	Si
30	0.209	0	0	270	SLD 2	270	21795	211438	54582	54582	1	Si
45	0.209	0	0	0	Ger.	0	23101	228582	59007	59007	1	Si
45	0.209	0	0	0	Ger.	0	-23101	-228582	-59007	-59007	1	Si

Verifiche delle tensioni in esercizio

x	Rara							Quasi permanente							Verifica
	Mela	Comb.	Mdes	σ c	σ c lim.	σ f.	σ f lim.	Mela	Comb.	Mdes	σ c	σ c lim.	σ FRP	σ FRP lim.	
0	-18225	5	-6075	0.1	149.4	3.2	3600	-18225	3	-6075	0.1	112.1	0	+∞	Si
22	-4556	5	-3797	0	149.4	2	3600	-4556	3	-3797	0	112.1	0	+∞	Si
30	-2025	5	-2025	0	149.4	1.1	3600	-2025	3	-2025	0	112.1	0	+∞	Si
45	0	2	-2025	0	0	0	3600	0	1	-2025	0	0	0	+∞	Si

Verifica di apertura delle fessure

La campata non presenta apertura delle fessure

Verifica di deformabilità

x	Rara				Frequente				Quasi permanente						Verifica
	Elastica+	Elastica-	Fess.+	Fess.-	Elastica+	Elastica-	Fess.+	Fess.-	Elastica+	Elastica-	Fess. viscosa+	Comb.	Fess. viscosa-	Comb.	l/f
22	0.013	0.009	0.001	0	0.012	0.009	0.001	0	0.012	0.009	0.002	4	0.001	4	7774
30	0.017	0.012	0.001	0.001	0.016	0.012	0.001	0.001	0.015	0.012	0.003	4	0.002	4	5830
45	0.025	0.019	0.002	0.001	0.024	0.019	0.002	0.001	0.023	0.019	0.004	4	0.003	4	3887

Trave a "Fondazione" Pil.B9-Pil.B3

Caratteristiche dei materiali

Acciaio: B450C Fyk 4500
Calcestruzzo: C25/30 Rck 300

Elenco delle sezioni

N°	Descrizione	Tipo	Base	Altezza	Copriferro sup.	Copriferro inf.	Copriferro lat.
1	R 90x80	Rettangolare	90	80	4	4	4

Output campate

Campata 1 tra i fili Pil.B9 - Palo62, sezione R 90x80, asta 2336

Verifiche a flessione in famiglia SLU

x	A sup.	C.b. sup.	A inf.	C.b. inf.	M+ela	Comb.	M+des	M+ult	x/d	M-ela	Comb.	M-des	M-ult	x/d	Verifica
0	0	0	0	0	0	SLU 12	0	0	0	0	SLU 6	-2633	0	0	Si
15	28.27	6	25.13	6	-2025	SLU 4	0	6914755	0.094	-2633	SLU 14	-2633	-7752052	0.101	Si
23	28.27	6	25.13	6						-5923	SLU 14	-4936	-7752052	0.101	Si
45	28.27	6	25.13	6						-23693	SLU 16	-7898	-7752052	0.101	Si

Verifiche a flessione in famiglia SLV (domini sostanzialmente elastici)

La struttura oppure parte di essa, è stata dichiarata come non dissipativa pertanto la verifica a pressoflessione, per tutte o solo alcune sezioni, viene eseguita calcolando i momenti resistenti in campo sostanzialmente elastico secondo D.M. 17-01-2018 §7.4.1

Le dilatazioni ultime utilizzate sono le seguenti: $\epsilon_{c2} = 0.002$, $\epsilon_{yd} = 0.0019$

x	A sup.	C.b. sup.	A inf.	C.b. inf.	M+ela	Comb.	M+des	M+ult	x/d	M-ela	Comb.	M-des	M-ult	x/d	Verifica
0	0	0	0	0	0	SLV 8	0	0	0	0	SLV 9	-2025	0	0	Si
15	28.27	6	25.13	6	-2025	SLV 3	0	6642484	0.222	-2025	SLV 14	-2025	-7429082	0.238	Si
23	28.27	6	25.13	6						-4556	SLV 14	-3797	-7429082	0.238	Si
45	28.27	6	25.13	6						-18225	SLV 2	-6075	-7429082	0.238	Si

Verifiche SLD Resistenza a flessione (domini sostanzialmente elastici)

La struttura oppure parte di essa, è stata dichiarata come non dissipativa pertanto la verifica a pressoflessione, per tutte o solo alcune sezioni, viene eseguita calcolando i momenti resistenti in campo sostanzialmente elastico secondo D.M. 17-01-2018 §7.4.1

Le dilatazioni ultime utilizzate sono le seguenti: $\epsilon_{c2} = 0.002$, $\epsilon_{yd} = 0.0019$

x	A sup.	C.b. sup.	A inf.	C.b. inf.	M+ela	Comb.	M+des	M+ult	x/d	M-ela	Comb.	M-des	M-ult	x/d	Verifica
0	0	0	0	0	0	SLD 10	0	0	0	0	SLD 7	-2025	0	0	Si
15	28.27	6	25.13	6	-2025	SLD 14	0	6642484	0.222	-2025	SLD 3	-2025	-7429082	0.238	Si
23	28.27	6	25.13	6						-4556	SLD 1	-3797	-7429082	0.238	Si
45	28.27	6	25.13	6						-18225	SLD 1	-6075	-7429082	0.238	Si

Verifiche a taglio in famiglia SLU

x	A st	A sl	A sag	Vela	Comb.	Vdes	Vrd	Vrcd	Vrsd	Vult	cotgθ	Verifica
0	0.209	0	0	0	Ger.	0	-23101	-228582	-59007	-59007	1	Si
15	0.209	0	0	0	-351 SLU 16	-351	-21795	-211438	-54582	-54582	1	Si
23	0	0	0	0	-527 SLU 16	-527	-21795	-211438	0	-21795	1	Si
45	0	0	0	0	-1053 SLU 16	-1053	-21795	-211438	0	-21795	1	Si

Verifiche a taglio in famiglia SLV

x	A st	A sl	A sag	Vela	Comb.	Vdes	Vrd	Vrcd	Vrsd	Vult	cotgθ	Verifica
0	0.209	0	0	0	Ger.	0	23101	228582	59007	59007	1	Si
0	0.209	0	0	0	Ger.	0	-23101	-228582	-59007	-59007	1	Si
15	0.209	0	0	0	-270 SLV 2	-270	-21795	-211438	-54582	-54582	1	Si
23	0	0	0	0	-405 SLV 2	-405	-21795	-211438	0	-21795	1	Si
45	0	0	0	0	-810 SLV 2	-810	-21795	-211438	0	-21795	1	Si

Verifiche SLD Resistenza a taglio

x	A st	A sl	A sag	Vela	Comb.	Vdes	Vrd	Vrcd	Vrsd	Vult	cotgθ	Verifica
0	0.209	0	0	0	Ger.	0	23101	228582	59007	59007	1	Si
0	0.209	0	0	0	Ger.	0	-23101	-228582	-59007	-59007	1	Si
15	0.209	0	0	0	-270 SLD 13	-270	-21795	-211438	-54582	-54582	1	Si
23	0	0	0	0	-405 SLD 13	-405	-21795	-211438	0	-21795	1	Si
45	0	0	0	0	-810 SLD 13	-810	-21795	-211438	0	-21795	1	Si

Verifiche delle tensioni in esercizio

x	Rara							Quasi permanente							Verifica
	Mela	Comb.	Mdes	σ c	σ c lim.	σ f.	σ f lim.	Mela	Comb.	Mdes	σ c	σ c lim.	σ FRP	σ FRP lim.	
0	0	4	0	0	0	0	3600	0	2	0	0	0	0	+∞	Si
15	-2025	6	-2025	0	149.4	1.1	3600	-2025	3	-2025	0	112.1	0	+∞	Si
23	-4556	6	-3797	0	149.4	2	3600	-4556	3	-3797	0	112.1	0	+∞	Si
45	-18225	8	-6075	0.1	149.4	3.2	3600	-18225	4	-6075	0.1	112.1	0	+∞	Si

Verifica di apertura delle fessure

La campata non presenta apertura delle fessure

Verifica di deformabilità

x	Rara				Frequente				Quasi permanente						Verifica
	Elastica+	Elastica-	Fess.+	Fess.-	Elastica+	Elastica-	Fess.+	Fess.-	Elastica+	Elastica-	Fess. viscosa+	Comb.	Fess. viscosa-	Comb.	l/f
0	0.031	0.02	0.001	0.001	0.028	0.02	0.001	0.001	0.027	0.02	0.003	4	0.002	4	3357
15	0.021	0.014	0.001	0	0.019	0.014	0.001	0	0.018	0.014	0.002	4	0.001	4	5035
23	0.016	0.01	0.001	0	0.014	0.01	0.001	0	0.013	0.01	0.002	4	0.001	4	6714

Campata 2 tra i fili Palo62 - Palo61, sezione R 90x80, asta 2334

Verifiche a flessione in famiglia SLU

x	A sup.	C.b. sup.	A inf.	C.b. inf.	M+ela	Comb.	M+des	M+ult	x/d	M-ela	Comb.	M-des	M-ult	x/d	Verifica
0	28.27	6	25.13	6	2764723	SLU 16	2023193	6914755	0.094						Si
30	28.27	6	25.13	6	2075134	SLV 16	1271225	6914755	0.094	625037	SLU 1	-411032	-7752052	0.101	Si
95	28.27	6	25.13	6	-1024086	SLU 1	37440	6914755	0.094	-2036648	SLU 16	-3769732	-7752052	0.101	Si
160	28.27	6	25.13	6						-5443568	SLU 16	-5443568	-7752052	0.101	Si
190	28.27	6	25.13	6						-7049205	SLU 16	-6241167	-7752052	0.101	Si

Verifiche a flessione in famiglia SLV (domini sostanzialmente elastici)

La struttura oppure parte di essa, è stata dichiarata come non dissipativa pertanto la verifica a pressoflessione, per tutte o solo alcune sezioni, viene eseguita calcolando i momenti resistenti in campo sostanzialmente elastico secondo D.M. 17-01-2018 §7.4.1

Le dilatazioni ultime utilizzate sono le seguenti: $\epsilon_{c2} = 0.002$, $\epsilon_{yd} = 0.0019$

x	A sup.	C.b. sup.	A inf.	C.b. inf.	M+ela	Comb.	M+des	M+ult	x/d	M-ela	Comb.	M-des	M-ult	x/d	Verifica
0	28.27	6	25.13	6	3239667	SLV 7	2664519	6642484	0.222						Si
30	28.27	6	25.13	6	2075134	SLV 7	2075134	6642484	0.222	-474336	SLV 10	-1346730	-7429082	0.238	Si
95	28.27	6	25.13	6	-425548	SLV 11	847658	6642484	0.222	-2229591	SLV 6	-3190397	-7429082	0.238	Si
160	28.27	6	25.13	6						-4130180	SLV 5	-4130180	-7429082	0.238	Si
190	28.27	6	25.13	6						-5188120	SLV 1	-4631416	-7429082	0.238	Si

Verifiche SLD Resistenza a flessione (domini sostanzialmente elastici)

La struttura oppure parte di essa, è stata dichiarata come non dissipativa pertanto la verifica a pressoflessione, per tutte o solo alcune sezioni, viene eseguita calcolando i momenti resistenti in campo sostanzialmente elastico secondo D.M. 17-01-2018 §7.4.1

Le dilatazioni ultime utilizzate sono le seguenti: $\epsilon_{c2} = 0.002$, $\epsilon_{yd} = 0.0019$

x	A sup.	C.b. sup.	A inf.	C.b. inf.	M+ela	Comb.	M+des	M+ult	x/d	M-ela	Comb.	M-des	M-ult	x/d	Verifica
0	28.27	6	25.13	6	2549983	SLD 7	2022024	6642484	0.222						Si
30	28.27	6	25.13	6	1482888	SLD 7	1482888	6642484	0.222	117909	SLD 10	-851333	-7429082	0.238	Si
95	28.27	6	25.13	6	-845435	SLD 11	348062	6642484	0.222	-1809704	SLD 6	-2843246	-7429082	0.238	Si
160	28.27	6	25.13	6						-3849027	SLD 5	-3849027	-7429082	0.238	Si
190	28.27	6	25.13	6						-4887943	SLD 1	-4347490	-7429082	0.238	Si

Verifiche a taglio in famiglia SLU

x	A st	A sl	A sag	Vela	Comb.	Vdes	Vrd	Vrcd	Vrsd	Vult	cotgθ	Verifica
0	0	25.13	0	0	-49429	SLU 16	-49429	-25632	-211438	0	-25632	1
30	0.242	25.13	0	0	-50131	SLU 16	-50131	-25632	-211438	-62979	-62979	1
95	0.242	28.27	0	0	-51652	SLU 16	-51652	-26659	-211438	-62979	-62979	1
160	0.242	28.27	0	0	-53173	SLU 16	-53173	-26659	-211438	-62979	-62979	1
190	0	28.27	0	0	-53875	SLU 16	-53875	-26659	-211438	0	-26659	1

Verifiche a taglio in famiglia SLV

x	A st	A sl	A sag	Vela	Comb.	Vdes	Vrd	Vrcd	Vrsd	Vult	cotgθ	Verifica
0	0	25.13	0	0	-38752	SLV 7	-38752	-25632	-211438	0	-25632	1
30	0.242	25.13	0	0	-39292	SLV 7	-39292	-25632	-211438	-62979	-62979	1
95	0.242	28.27	0	0	-40462	SLV 7	-40462	-26659	-211438	-62979	-62979	1
160	0.242	28.27	0	0	-41632	SLV 7	-41632	-26659	-211438	-62979	-62979	1
190	0	28.27	0	0	-42172	SLV 7	-42172	-26659	-211438	0	-26659	1

Verifiche SLD Resistenza a taglio

x	A st	A sl	A sag	Vela	Comb.	Vdes	Vrd	Vrcd	Vrsd	Vult	cotgθ	Verifica
0	0	25.13	0	-35402	SLD 7	-35402	-25632	-211438	0	-25632	1	Si
30	0.242	25.13	0	-35942	SLD 7	-35942	-25632	-211438	-62979	-62979	1	Si
95	0.242	28.27	0	-37112	SLD 7	-37112	-26659	-211438	-62979	-62979	1	Si
160	0.242	28.27	0	-38282	SLD 7	-38282	-26659	-211438	-62979	-62979	1	Si
190	0	28.27	0	-38822	SLD 7	-38822	-26659	-211438	0	-26659	1	Si

Verifiche delle tensioni in esercizio

x	Rara								Quasi permanente						Verifica
	Mela	Comb.	Mdes	σ c	σ c lim.	σ f.	σ f lim.	Mela	Comb.	Mdes	σ c	σ c lim.	σ FRP	σ FRP lim.	
0	2024565	8	1481708	19.4	149.4	868.9	3600	1756990	4	1282709	16.8	112.1	0	+∞	Si
30	930821	8	930821	12.2	149.4	545.8	3600	800399	4	800399	10.5	112.1	0	+∞	Si
95	-1494310	8	-2766290	35.4	149.4	1449	3600	-1327570	4	-2447310	31.3	112.1	0	+∞	Si
160	-3995632	8	-3995632	51.2	149.4	2092.9	3600	-3531728	4	-3531728	45.2	112.1	0	+∞	Si
190	-5175636	8	-4581619	58.7	149.4	2399.8	3600	-4574580	4	-4049139	51.9	112.1	0	+∞	Si

Verifica di apertura delle fessure

x	Rara				Frequente				Quasi permanente				Verifica
	Bordo	Dmax	Esm	Wd	Comb	Dmax	Esm	Wd	Comb	Dmax	Esm	Wd	Comb
160	superiore	33.2	0.00061	0.0203	8	33.2	0.00062	0.0206	4	33.2	0.00059	0.0195	4
190	superiore	33.2	0.0007	0.0232	8	33.2	0.00076	0.0251	4	33.2	0.00072	0.0239	4

Verifica di deformabilità

x	Rara				Frequente				Quasi permanente				Verifica
	Elastica+	Elastica-	Fess.+	Fess.-	Elastica+	Elastica-	Fess.+	Fess.-	Elastica+	Elastica-	Fess. viscosa+	Fess. viscosa-	
30	-0.001	-0.001	-0.001	-0.002	-0.001	-0.001	-0.001	-0.001	-0.001	-0.001	-0.002	1	9999
95	-0.004	-0.005	-0.004	-0.006	-0.004	-0.005	-0.004	-0.005	-0.004	-0.005	-0.009	1	9999
127	-0.004	-0.006	-0.004	-0.007	-0.004	-0.006	-0.004	-0.006	-0.004	-0.005	-0.01	1	9999
160	-0.003	-0.005	-0.003	-0.006	-0.003	-0.004	-0.003	-0.005	-0.003	-0.004	-0.008	1	9999

Campata 3 tra i fili Palo61 - Palo60, sezione R 90x80, asta 2333

Verifiche a flessione in famiglia SLU

x	A sup.	C.b. sup.	A inf.	C.b. inf.	M+ela	Comb.	M+des	M+ult	x/d	M-ela	Comb.	M-des	M-ult	x/d	Verifica
0	28.27	6	25.13	6						-6137126	SLU 16	-6094819	-7752052	0.101	Si
30	28.27	6	25.13	6						-4878028	SLV 6	-6062912	-7752052	0.101	Si
100	28.27	6	25.13	6	-3049395	SLU 1	42266	6914755	0.094	-5971212	SLU 16	-6000477	-7752052	0.101	Si
170	28.27	6	25.13	6						-5994433	SLU 16	-5994433	-7752052	0.101	Si
200	28.27	6	25.13	6						-6039299	SLU 16	-6011666	-7752052	0.101	Si

Verifiche a flessione in famiglia SLV (domini sostanzialmente elastici)

La struttura oppure parte di essa, è stata dichiarata come non dissipativa pertanto la verifica a pressoflessione, per tutte o solo alcune sezioni, viene eseguita calcolando i momenti resistenti in campo sostanzialmente elastico secondo D.M. 17-01-2018 §7.4.1

Le dilatazioni ultime utilizzate sono le seguenti: $\epsilon_{c2} = 0.002$, $\epsilon_{yd} = 0.0019$

x	A sup.	C.b. sup.	A inf.	C.b. inf.	M+ela	Comb.	M+des	M+ult	x/d	M-ela	Comb.	M-des	M-ult	x/d	Verifica
0	28.27	6	25.13	6						-5285365	SLV 6	-5079761	-7429082	0.238	Si
30	28.27	6	25.13	6						-4878028	SLV 6	-4878028	-7429082	0.238	Si
100	28.27	6	25.13	6						-4368003	SLV 4	-4480807	-7429082	0.238	Si
170	28.27	6	25.13	6						-4928096	SLV 7	-4928096	-7429082	0.238	Si
200	28.27	6	25.13	6						-5318914	SLV 7	-5116611	-7429082	0.238	Si

Verifiche SLD Resistenza a flessione (domini sostanzialmente elastici)

La struttura oppure parte di essa, è stata dichiarata come non dissipativa pertanto la verifica a pressoflessione, per tutte o solo alcune sezioni, viene eseguita calcolando i momenti resistenti in campo sostanzialmente elastico secondo D.M. 17-01-2018 §7.4.1

Le dilatazioni ultime utilizzate sono le seguenti: $\epsilon_{c2} = 0.002$, $\epsilon_{yd} = 0.0019$

x	A sup.	C.b. sup.	A inf.	C.b. inf.	M+ela	Comb.	M+des	M+ult	x/d	M-ela	Comb.	M-des	M-ult	x/d	Verifica
0	28.27	6	25.13	6						-4688806	SLD 6	-4564933	-7429082	0.238	Si
30	28.27	6	25.13	6						-4446906	SLD 6	-4446906	-7429082	0.238	Si
100	28.27	6	25.13	6						-4138543	SLD 4	-4210757	-7429082	0.238	Si
170	28.27	6	25.13	6						-4463909	SLD 7	-4463909	-7429082	0.238	Si
200	28.27	6	25.13	6						-4692575	SLD 7	-4572708	-7429082	0.238	Si

Verifiche a taglio in famiglia SLU

x	A st	A sl	A sag	Vela	Comb.	Vdes	Vrd	Vrcd	Vrsd	Vult	cotgθ	Verifica
0	0	28.27	0	2829	SLU 16	2829	26659	211438	0	26659	1	Si
30	0.157	28.27	0	2127	SLU 16	2127	26659	211438	40936	40936	1	Si
100	0.157	28.27	0	489	SLU 16	489	26659	211438	40936	40936	1	Si
170	0.157	28.27	0	-1587	SLU 10	-1587	-26659	-211438	-40936	-40936	1	Si
200	0	28.27	0	-2289	SLU 10	-2289	-26659	-211438	0	-26659	1	Si

Verifiche a taglio in famiglia SLV

x	A st	A sl	A sag	Vela	Comb.	Vdes	Vrd	Vrcd	Vrsd	Vult	cotgθ	Verifica
0	0	28.27	0	13989	SLV 6	13989	26659	211438	0	26659	1	Si
0	0	28.27	0	-10055	SLV 11	-10055	-26659	-211438	0	-26659	1	Si
30	0.157	28.27	0	13449	SLV 6	13449	26659	211438	40936	40936	1	Si
30	0.157	28.27	0	-10595	SLV 11	-10595	-26659	-211438	-40936	-40936	1	Si
100	0.157	28.27	0	12189	SLV 6	12189	26659	211438	40936	40936	1	Si
100	0.157	28.27	0	-11855	SLV 11	-11855	-26659	-211438	-40936	-40936	1	Si
170	0.157	28.27	0	10929	SLV 6	10929	26659	211438	40936	40936	1	Si
170	0.157	28.27	0	-13115	SLV 11	-13115	-26659	-211438	-40936	-40936	1	Si
200	0	28.27	0	10389	SLV 6	10389	26659	211438	0	26659	1	Si
200	0	28.27	0	-13655	SLV 11	-13655	-26659	-211438	0	-26659	1	Si

Verifiche SLD Resistenza a taglio

x	A st	A sl	A sag	Vela	Comb.	Vdes	Vrd	Vrcd	Vrsd	Vult	cotgθ	Verifica
0	0	28.27	0	8408	SLD 6	8408	26659	211438	0	26659	1	Si
0	0	28.27	0	-4474	SLD 11	-4474	-26659	-211438	0	-26659	1	Si
30	0.157	28.27	0	7868	SLD 6	7868	26659	211438	40936	40936	1	Si
30	0.157	28.27	0	-5014	SLD 11	-5014	-26659	-211438	-40936	-40936	1	Si
100	0.157	28.27	0	6608	SLD 6	6608	26659	211438	40936	40936	1	Si
100	0.157	28.27	0	-6274	SLD 11	-6274	-26659	-211438	-40936	-40936	1	Si
170	0.157	28.27	0	5348	SLD 6	5348	26659	211438	40936	40936	1	Si
170	0.157	28.27	0	-7534	SLD 11	-7534	-26659	-211438	-40936	-40936	1	Si
200	0	28.27	0	4808	SLD 6	4808	26659	211438	0	26659	1	Si
200	0	28.27	0	-8074	SLD 11	-8074	-26659	-211438	0	-26659	1	Si

Verifiche delle tensioni in esercizio

x	Rara								Quasi permanente						Verifica
	Mela	Comb.	Mdes	σ c	σ c lim.	σ f.	σ f lim.	Mela	Comb.	Mdes	σ c	σ c lim.	σ FRP	σ FRP lim.	

RELAZIONE GEOTECNICA E SULLE FONDAZIONI

x	Rara							Quasi permanente							Verifica
	Mela	Comb.	Mdes	σc	σc lim.	σf	σf lim.	Mela	Comb.	Mdes	σc	σc lim.	σFRP	σFRP lim.	
0	-4510535	8	-4478664	57.4	149.4	2345.9	3600	-4008788	4	-3979382	51	112.1	0	+∞	Si
30	-4454793	8	-4454793	57	149.4	2333.4	3600	-3957976	4	-3957976	50.7	112.1	0	+∞	Si
100	-4387394	8	-4408412	56.5	149.4	2309.1	3600	-3902082	4	-3917627	50.2	112.1	0	+∞	Si
170	-4408396	8	-4408396	56.5	149.4	2309.1	3600	-3934588	4	-3934588	50.4	112.1	0	+∞	Si
200	-4444254	8	-4422325	56.6	149.4	2316.4	3600	-3975376	4	-3950982	50.6	112.1	0	+∞	Si

Verifica di apertura delle fessure

x	Bordo	Rara				Frequente				Quasi permanente				Verifica
		Dmax	Esm	Wd	Comb	Dmax	Esm	Wd	Comb	Dmax	Esm	Wd	Comb	
0	superiore	33.2	0.00068	0.0227	8	33.2	0.00074	0.0245	4	33.2	0.0007	0.0233	4	Si
30	superiore	33.2	0.00068	0.0226	8	33.2	0.00073	0.0243	4	33.2	0.00069	0.0231	4	Si
53	superiore	33.2	0.00068	0.0226	8	33.2	0.00073	0.0243	4	33.2	0.00069	0.0231	4	Si
100	superiore	33.2	0.00067	0.0224	8	33.2	0.00072	0.0239	4	33.2	0.00068	0.0227	4	Si
170	superiore	33.2	0.00067	0.0224	8	33.2	0.00072	0.024	4	33.2	0.00069	0.0229	4	Si
200	superiore	33.2	0.00067	0.0224	8	33.2	0.00073	0.0242	4	33.2	0.00069	0.023	4	Si

Verifica di deformabilità

x	Rara				Frequente				Quasi permanente							Verifica
	Elastica+	Elastica-	Fess.+	Fess.-	Elastica+	Elastica-	Fess.+	Fess.-	Elastica+	Elastica-	Fess. viscosa+	Comb.	Fess. viscosa-	Comb.	I/f	
30	-0.006	-0.009	-0.006	-0.015	-0.006	-0.009	-0.006	-0.012	-0.006	-0.008	-0.018	1	-0.033	1	9999	Si
100	-0.013	-0.018	-0.012	-0.029	-0.013	-0.017	-0.012	-0.023	-0.013	-0.016	-0.034	1	-0.064	1	5937	Si
170	-0.006	-0.009	-0.006	-0.015	-0.006	-0.008	-0.006	-0.012	-0.006	-0.008	-0.018	1	-0.033	1	9999	Si

Campata 4 tra i fili Palo60 - Palo59, sezione R 90x80, asta 2338

Verifiche a flessione in famiglia SLU

x	A sup.	C.b. sup.	A inf.	C.b. inf.	M+ela	Comb.	M+des	M+ult	x/d	M-ela	Comb.	M-des	M-ult	x/d	Verifica
0	28.27	6	25.13	6						-6692728	SLU 16	-5958909	-7752052	0.101	Si
30	28.27	6	25.13	6						-5235529	SLU 16	-5235529	-7752052	0.101	Si
95	28.27	6	25.13	6	-1075504	SLU 1	37440	6914755	0.094	-2150224	SLU 16	-3718542	-7752052	0.101	Si
160	28.27	6	25.13	6	836033	SLU 16	836033	6914755	0.094	496352	SLU 1	-681457	-7752052	0.101	Si
190	28.27	6	25.13	6	2181094	SLU 16	1513783	6914755	0.094						Si

Verifiche a flessione in famiglia SLV (domini sostanzialmente elastici)

La struttura oppure parte di essa, è stata dichiarata come non dissipativa pertanto la verifica a pressoflessione, per tutte o solo alcune sezioni, viene eseguita calcolando i momenti resistenti in campo sostanzialmente elastico secondo D.M. 17-01-2018 §7.4.1

Le dilatazioni ultime utilizzate sono le seguenti: $\epsilon c2 = 0.002$, $\epsilon yd = 0.0019$

x	A sup.	C.b. sup.	A inf.	C.b. inf.	M+ela	Comb.	M+des	M+ult	x/d	M-ela	Comb.	M-des	M-ult	x/d	Verifica
0	28.27	6	25.13	6						-5054025	SLV 4	-4581843	-7429082	0.238	Si
30	28.27	6	25.13	6						-4152349	SLV 8	-4152349	-7429082	0.238	Si
95	28.27	6	25.13	6	-455384	SLV 9	718750	6642484	0.222	-2329544	SLV 8	-3252382	-7429082	0.238	Si
160	28.27	6	25.13	6	1860476	SLV 6	1860476	6642484	0.222	-670880	SLV 11	-1489040	-7429082	0.238	Si
190	28.27	6	25.13	6	2938644	SLV 6	2405976	6642484	0.222						Si

Verifiche SLD Resistenza a flessione (domini sostanzialmente elastici)

La struttura oppure parte di essa, è stata dichiarata come non dissipativa pertanto la verifica a pressoflessione, per tutte o solo alcune sezioni, viene eseguita calcolando i momenti resistenti in campo sostanzialmente elastico secondo D.M. 17-01-2018 §7.4.1

Le dilatazioni ultime utilizzate sono le seguenti: $\epsilon c2 = 0.002$, $\epsilon yd = 0.0019$

x	A sup.	C.b. sup.	A inf.	C.b. inf.	M+ela	Comb.	M+des	M+ult	x/d	M-ela	Comb.	M-des	M-ult	x/d	Verifica
0	28.27	6	25.13	6						-4752140	SLD 4	-4281343	-7429082	0.238	Si
30	28.27	6	25.13	6						-3826508	SLD 8	-3826508	-7429082	0.238	Si
95	28.27	6	25.13	6	-891016	SLD 9	215604	6642484	0.222	-1893912	SLD 8	-2873755	-7429082	0.238	Si
160	28.27	6	25.13	6	1272087	SLD 6	1272087	6642484	0.222	-82491	SLD 11	-989791	-7429082	0.238	Si
190	28.27	6	25.13	6	2262591	SLD 6	1772598	6642484	0.222						Si

Verifiche a taglio in famiglia SLU

x	A st	A sl	A sag	Vela	Comb.	Vdes	Vrd	Vrcd	Vrsd	Vult	cotgθ	Verifica
0	0	28.27	0	48927	SLU 16	48927	26659	211438	0	26659	1	Si
30	0.217	28.27	0	48225	SLU 16	48225	26659	211438	56681	56681	1	Si
95	0.217	28.27	0	46704	SLU 16	46704	26659	211438	56681	56681	1	Si
160	0.217	25.13	0	45183	SLU 16	45183	25632	211438	56681	56681	1	Si
190	0	25.13	0	44481	SLU 16	44481	25632	211438	0	25632	1	Si

Verifiche a taglio in famiglia SLV

x	A st	A sl	A sag	Vela	Comb.	Vdes	Vrd	Vrcd	Vrsd	Vult	cotgθ	Verifica
0	0	28.27	0	39247	SLV 6	39247	26659	211438	0	26659	1	Si
30	0.217	28.27	0	38707	SLV 6	38707	26659	211438	56681	56681	1	Si
95	0.217	28.27	0	37537	SLV 6	37537	26659	211438	56681	56681	1	Si
160	0.217	25.13	0	36367	SLV 6	36367	25632	211438	56681	56681	1	Si
190	0	25.13	0	35827	SLV 6	35827	25632	211438	0	25632	1	Si

Verifiche SLD Resistenza a taglio

x	A st	A sl	A sag	Vela	Comb.	Vdes	Vrd	Vrcd	Vrsd	Vult	cotgθ	Verifica
0	0	28.27	0	36247	SLD 6	36247	26659	211438	0	26659	1	Si
30	0.217	28.27	0	35707	SLD 6	35707	26659	211438	56681	56681	1	Si
95	0.217	28.27	0	34537	SLD 6	34537	26659	211438	56681	56681	1	Si
160	0.217	25.13	0	33367	SLD 6	33367	25632	211438	56681	56681	1	Si
190	0	25.13	0	32827	SLD 6	32827	25632	211438	0	25632	1	Si

Verifiche delle tensioni in esercizio

x	Rara							Quasi permanente							Verifica
	Mela	Comb.	Mdes	σc	σc lim.	σf	σf lim.	Mela	Comb.	Mdes	σc	σc lim.	σFRP	σFRP lim.	
0	-4929783	8	-4387623	56.2	149.4	2298.2	3600	-4433825	4	-3940855	50.5	112.1	0	+∞	Si
30	-3853493	8	-3853493	49.3	149.4	2018.4	3600	-3455915	4	-3455915	44.3	112.1	0	+∞	Si
95	-1576883	8	-2733741	35	149.4	1431.9	3600	-1392464	4	-2440119	31.2	112.1	0	+∞	Si
160	623536	8	623536	8.2	149.4	365.6	3600	594798	4	594798	7.8	112.1	0	+∞	Si
190	1613566	8	1122566	14.7	149.4	658.3	3600	1486448	4	1044638	13.7	112.1	0	+∞	Si

Verifica di apertura delle fessure

x	Bordo	Rara				Frequente				Quasi permanente				Verifica
		Dmax	Esm	Wd	Comb	Dmax	Esm	Wd	Comb	Dmax	Esm	Wd	Comb	
0	superiore	33.2	0.00067	0.0222	8	33.2	0.00072	0.024	4	33.2	0.00069	0.0229	4	Si
30	superiore	33.2	0.00059	0.0195	8	33.2	0.0006	0.0198	4	33.2	0.00057	0.0188	4	Si

Verifica di deformabilità

x	Rara				Frequente				Quasi permanente						Verifica	
	Elastica+	Elastica-	Fess.+	Fess.-	Elastica+	Elastica-	Fess.+	Fess.-	Elastica+	Elastica-	Fess. viscosa+	Comb.	Fess. viscosa-	Comb.	I/f	
30	-0.003	-0.005	-0.003	-0.005	-0.003	-0.004	-0.003	-0.005	-0.003	-0.004	-0.008	1	-0.012	1	9999	Si

RELAZIONE GEOTECNICA E SULLE FONDAZIONI

x	Rara				Frequente				Quasi permanente						Verifica
	Elastica+	Elastica-	Fess.+	Fess.-	Elastica+	Elastica-	Fess.+	Fess.-	Elastica+	Elastica-	Fess. viscosa+	Comb.	Fess. viscosa-	Comb.	
63	-0.004	-0.006	-0.004	-0.007	-0.004	-0.006	-0.004	-0.006	-0.004	-0.006	-0.011	1	-0.016	1	9999 Si
95	-0.004	-0.006	-0.004	-0.006	-0.004	-0.005	-0.004	-0.005	-0.004	-0.005	-0.009	1	-0.014	1	9999 Si
160	-0.001	-0.001	-0.001	-0.002	-0.001	-0.001	-0.001	-0.002	-0.001	-0.001	-0.003	1	-0.004	1	9999 Si

Campata 5 tra i fili Palo59 - Pil.B3, sezione R 90x80, asta 387

Verifiche a flessione in famiglia SLU

x	A sup.	C.b. sup.	A inf.	C.b. inf.	M+ela	Comb.	M+des	M+ult	x/d	M-ela	Comb.	M-des	M-ult	x/d	Verifica
0	28.27	6	25.13	6						-23693	SLU 12	-7897	-7752052	0.101	Si
22	28.27	6	25.13	6						-5923	SLU 9	-4936	-7752052	0.101	Si
30	28.27	6	25.13	6	-2025	SLU 7	0	6914755	0.094	-2632	SLU 9	-2632	-7752052	0.101	Si
40	0	0	0	0	-182	SLU 7	0	0	0	-237	SLU 9	-2632	0	0	Si
45	0	0	0	0	0	SLU 15	0	0	0	0	SLU 1	-2632	0	0	Si

Verifiche a flessione in famiglia SLV (domini sostanzialmente elastici)

La struttura oppure parte di essa, è stata dichiarata come non dissipativa pertanto la verifica a pressoflessione, per tutte o solo alcune sezioni, viene eseguita calcolando i momenti resistenti in campo sostanzialmente elastico secondo D.M. 17-01-2018 §7.4.1

Le dilatazioni ultime utilizzate sono le seguenti: $\epsilon_c = 0.002$, $\epsilon_{yd} = 0.0019$

x	A sup.	C.b. sup.	A inf.	C.b. inf.	M+ela	Comb.	M+des	M+ult	x/d	M-ela	Comb.	M-des	M-ult	x/d	Verifica
0	28.27	6	25.13	6						-18225	SLV 16	-6075	-7429082	0.238	Si
22	28.27	6	25.13	6						-4556	SLV 16	-3797	-7429082	0.238	Si
30	28.27	6	25.13	6	-2025	SLV 1	0	6642484	0.222	-2025	SLV 16	-2025	-7429082	0.238	Si
40	0	0	0	0	-182	SLV 1	0	0	0	-182	SLV 16	-2025	0	0	Si
45	0	0	0	0	0	SLV 1	0	0	0	0	SLV 16	-2025	0	0	Si

Verifiche SLD Resistenza a flessione (domini sostanzialmente elastici)

La struttura oppure parte di essa, è stata dichiarata come non dissipativa pertanto la verifica a pressoflessione, per tutte o solo alcune sezioni, viene eseguita calcolando i momenti resistenti in campo sostanzialmente elastico secondo D.M. 17-01-2018 §7.4.1

Le dilatazioni ultime utilizzate sono le seguenti: $\epsilon_c = 0.002$, $\epsilon_{yd} = 0.0019$

x	A sup.	C.b. sup.	A inf.	C.b. inf.	M+ela	Comb.	M+des	M+ult	x/d	M-ela	Comb.	M-des	M-ult	x/d	Verifica
0	28.27	6	25.13	6						-18225	SLD 4	-6075	-7429082	0.238	Si
22	28.27	6	25.13	6						-4556	SLD 14	-3797	-7429082	0.238	Si
30	28.27	6	25.13	6	-2025	SLD 3	0	6642484	0.222	-2025	SLD 14	-2025	-7429082	0.238	Si
40	0	0	0	0	-182	SLD 3	0	0	0	-182	SLD 14	-2025	0	0	Si
45	0	0	0	0	0	SLD 4	0	0	0	0	SLD 13	-2025	0	0	Si

Verifiche a taglio in famiglia SLU

x	A st	A sl	A sag	Vela	Comb.	Vdes	Vrd	Vrcd	Vrsd	Vult	cotgθ	Verifica
0	0	0	0	1053	SLU 12	1053	21795	211438	0	21795	1	Si
22	0	0	0	527	SLU 12	527	21795	211438	0	21795	1	Si
30	0.209	0	0	351	SLU 12	351	21795	211438	54582	54582	1	Si
45	0.209	0	0	0	Ger.	0	-23101	-228582	-59007	-59007	1	Si

Verifiche a taglio in famiglia SLV

x	A st	A sl	A sag	Vela	Comb.	Vdes	Vrd	Vrcd	Vrsd	Vult	cotgθ	Verifica
0	0	0	0	810	SLV 16	810	21795	211438	0	21795	1	Si
22	0	0	0	405	SLV 16	405	21795	211438	0	21795	1	Si
30	0.209	0	0	270	SLV 16	270	21795	211438	54582	54582	1	Si
45	0.209	0	0	0	Ger.	0	23101	228582	59007	59007	1	Si
45	0.209	0	0	0	Ger.	0	-23101	-228582	-59007	-59007	1	Si

Verifiche SLD Resistenza a taglio

x	A st	A sl	A sag	Vela	Comb.	Vdes	Vrd	Vrcd	Vrsd	Vult	cotgθ	Verifica
0	0	0	0	810	SLD 4	810	21795	211438	0	21795	1	Si
22	0	0	0	405	SLD 4	405	21795	211438	0	21795	1	Si
30	0.209	0	0	270	SLD 4	270	21795	211438	54582	54582	1	Si
45	0.209	0	0	0	Ger.	0	23101	228582	59007	59007	1	Si
45	0.209	0	0	0	Ger.	0	-23101	-228582	-59007	-59007	1	Si

Verifiche delle tensioni in esercizio

x	Rara								Quasi permanente						Verifica
	Mela	Comb.	Mdes	σ c	σ c lim.	σ f.	σ f lim.	Mela	Comb.	Mdes	σ c	σ c lim.	σ FRP	σ FRP lim.	
0	-18225	4	-6075	0.1	149.4	3.2	3600	-18225	2	-6075	0.1	112.1	0	+∞	Si
22	-4556	1	-3797	0	149.4	2	3600	-4556	1	-3797	0	112.1	0	+∞	Si
30	-2025	1	-2025	0	149.4	1.1	3600	-2025	1	-2025	0	112.1	0	+∞	Si
45	0	7	0	0	0	0	3600	0	4	0	0	0	0	+∞	Si

Verifica di apertura delle fessure

La campata non presenta apertura delle fessure

Verifica di deformabilità

x	Rara				Frequente				Quasi permanente						Verifica
	Elastica+	Elastica-	Fess.+	Fess.-	Elastica+	Elastica-	Fess.+	Fess.-	Elastica+	Elastica-	Fess. viscosa+	Comb.	Fess. viscosa-	Comb.	
22	0.013	0.009	0.001	0.001	0.012	0.009	0.001	0.001	0.012	0.009	0.002	4	0.001	4	7737 Si
30	0.017	0.012	0.001	0.001	0.016	0.012	0.001	0.001	0.016	0.012	0.003	4	0.002	4	5803 Si
45	0.025	0.019	0.002	0.001	0.024	0.019	0.002	0.001	0.023	0.019	0.004	4	0.003	4	3869 Si

Trave a "Fondazione" Pil.B10-Pil.B4

Caratteristiche dei materiali

Acciaio: B450C Fyk 4500
Calcestruzzo: C25/30 Rck 300

Elenco delle sezioni

N°	Descrizione	Tipo	Base	Altezza	Copriferro sup.	Copriferro inf.	Copriferro lat.
1	R 90x80	Rettangolare	90	80	4	4	4

Output campate

Campata 1 tra i fili Pil.B10 - Palo58, sezione R 90x80, asta 2337

Verifiche a flessione in famiglia SLU

x	A sup.	C.b. sup.	A inf.	C.b. inf.	M+ela	Comb.	M+des	M+ult	x/d	M-ela	Comb.	M-des	M-ult	x/d	Verifica
---	--------	-----------	--------	-----------	-------	-------	-------	-------	-----	-------	-------	-------	-------	-----	----------

RELAZIONE GEOTECNICA E SULLE FONDAZIONI

x	A sup.	C.b. sup.	A inf.	C.b. inf.	M+ela	Comb.	M+des	M+ult	x/d	M-ela	Comb.	M-des	M-ult	x/d	Verifica
0	0	0	0	0	0					0	SLU 10	-2633	0	0	Si
15	28.27	6	25.13	6						-2633	SLU 14	-2633	-7752052	0.101	Si
23	28.27	6	25.13	6						-5923	SLU 16	-4936	-7752052	0.101	Si
45	28.27	6	25.13	6						-23693	SLU 16	-7898	-7752052	0.101	Si

Verifiche a flessione in famiglia SLV (domini sostanzialmente elastici)

La struttura oppure parte di essa, è stata dichiarata come non dissipativa pertanto la verifica a pressoflessione, per tutte o solo alcune sezioni, viene eseguita calcolando i momenti resistenti in campo sostanzialmente elastico secondo D.M. 17-01-2018 §7.4.1

Le dilatazioni ultime utilizzate sono le seguenti: $\epsilon_c2= 0.002$, $\epsilon_{yd}= 0.0019$

x	A sup.	C.b. sup.	A inf.	C.b. inf.	M+ela	Comb.	M+des	M+ult	x/d	M-ela	Comb.	M-des	M-ult	x/d	Verifica
0	0	0	0	0	0	SLV 4	0	0	0	0	SLV 13	-2025	0	0	Si
15	28.27	6	25.13	6	-2025	SLV 16	0	6642484	0.222	-2025	SLV 1	-2025	-7429082	0.238	Si
23	28.27	6	25.13	6						-4556	SLV 5	-3797	-7429082	0.238	Si
45	28.27	6	25.13	6						-18225	SLV 1	-6075	-7429082	0.238	Si

Verifiche SLD Resistenza a flessione (domini sostanzialmente elastici)

La struttura oppure parte di essa, è stata dichiarata come non dissipativa pertanto la verifica a pressoflessione, per tutte o solo alcune sezioni, viene eseguita calcolando i momenti resistenti in campo sostanzialmente elastico secondo D.M. 17-01-2018 §7.4.1

Le dilatazioni ultime utilizzate sono le seguenti: $\epsilon_c2= 0.002$, $\epsilon_{yd}= 0.0019$

x	A sup.	C.b. sup.	A inf.	C.b. inf.	M+ela	Comb.	M+des	M+ult	x/d	M-ela	Comb.	M-des	M-ult	x/d	Verifica
0	0	0	0	0	0	SLD 15	0	0	0	0	SLD 2	-2025	0	0	Si
15	28.27	6	25.13	6	-2025	SLD 15	0	6642484	0.222	-2025	SLD 2	-2025	-7429082	0.238	Si
23	28.27	6	25.13	6						-4556	SLD 6	-3797	-7429082	0.238	Si
45	28.27	6	25.13	6						-18225	SLD 1	-6075	-7429082	0.238	Si

Verifiche a taglio in famiglia SLU

x	A st	A sl	A sag	Vela	Comb.	Vdes	Vrd	Vrcd	Vrsd	Vult	cotgθ	Verifica
0	0.209	0	0	0	Ger.	0	23101	228582	59007	59007	1	Si
0	0.209	0	0	0	Ger.	0	-23101	-228582	-59007	-59007	1	Si
15	0.209	0	0	-351	SLU 16	-351	-21795	-211438	-54582	-54582	1	Si
23	0	0	0	-527	SLU 16	-527	-21795	-211438	0	-21795	1	Si
45	0	0	0	-1053	SLU 16	-1053	-21795	-211438	0	-21795	1	Si

Verifiche a taglio in famiglia SLV

x	A st	A sl	A sag	Vela	Comb.	Vdes	Vrd	Vrcd	Vrsd	Vult	cotgθ	Verifica
0	0.209	0	0	0	Ger.	0	23101	228582	59007	59007	1	Si
0	0.209	0	0	0	Ger.	0	-23101	-228582	-59007	-59007	1	Si
15	0.209	0	0	-270	SLV 1	-270	-21795	-211438	-54582	-54582	1	Si
23	0	0	0	-405	SLV 1	-405	-21795	-211438	0	-21795	1	Si
45	0	0	0	-810	SLV 1	-810	-21795	-211438	0	-21795	1	Si

Verifiche SLD Resistenza a taglio

x	A st	A sl	A sag	Vela	Comb.	Vdes	Vrd	Vrcd	Vrsd	Vult	cotgθ	Verifica
0	0.209	0	0	0	Ger.	0	23101	228582	59007	59007	1	Si
0	0.209	0	0	0	Ger.	0	-23101	-228582	-59007	-59007	1	Si
15	0.209	0	0	-270	SLD 1	-270	-21795	-211438	-54582	-54582	1	Si
23	0	0	0	-405	SLD 1	-405	-21795	-211438	0	-21795	1	Si
45	0	0	0	-810	SLD 1	-810	-21795	-211438	0	-21795	1	Si

Verifiche delle tensioni in esercizio

x	Rara								Quasi permanente						Verifica
	Mela	Comb.	Mdes	σ c	σ c lim.	σ f.	σ f lim.	Mela	Comb.	Mdes	σ c	σ c lim.	σ FRP	σ FRP lim.	
0	0	2	-2025	0	0	0	3600	0	1	-2025	0	0	0	+∞	Si
15	-2025	6	-2025	0	149.4	1.1	3600	-2025	3	-2025	0	112.1	0	+∞	Si
23	-4556	8	-3797	0	149.4	2	3600	-4556	4	-3797	0	112.1	0	+∞	Si
45	-18225	8	-6075	0.1	149.4	3.2	3600	-18225	4	-6075	0.1	112.1	0	+∞	Si

Verifica di apertura delle fessure

La campata non presenta apertura delle fessure

Verifica di deformabilità

x	Rara				Frequente				Quasi permanente						Verifica
	Elastica+	Elastica-	Fess.+	Fess.-	Elastica+	Elastica-	Fess.+	Fess.-	Elastica+	Elastica-	Fess. viscosa+	Comb.	Fess. viscosa-	Comb.	l/f
0	0.031	0.02	0.001	0.001	0.028	0.02	0.001	0.001	0.027	0.02	0.003	4	0.002	4	3365
15	0.021	0.013	0.001	0	0.019	0.013	0.001	0	0.018	0.013	0.002	4	0.001	4	5047
23	0.016	0.01	0.001	0	0.014	0.01	0.001	0	0.013	0.01	0.002	4	0.001	4	6729

Campata 2 tra i fili Palo58 - Palo57, sezione R 90x80, asta 2335

Verifiche a flessione in famiglia SLU

x	A sup.	C.b. sup.	A inf.	C.b. inf.	M+ela	Comb.	M+des	M+ult	x/d	M-ela	Comb.	M-des	M-ult	x/d	Verifica
0	28.27	6	25.13	6	2809052	SLU 16	2061259	6914755	0.094						Si
30	28.27	6	25.13	6	1303027	SLU 16	1303027	6914755	0.094	621293	SLU 1	-393133	-7752052	0.101	Si
95	28.27	6	25.13	6	-1006121	SLU 1	37440	6914755	0.094	-2031985	SLU 16	-3778973	-7752052	0.101	Si
160	28.27	6	25.13	6						-5466045	SLU 16	-5466045	-7752052	0.101	Si
190	28.27	6	25.13	6						-7084207	SLU 16	-6269907	-7752052	0.101	Si

Verifiche a flessione in famiglia SLV (domini sostanzialmente elastici)

La struttura oppure parte di essa, è stata dichiarata come non dissipativa pertanto la verifica a pressoflessione, per tutte o solo alcune sezioni, viene eseguita calcolando i momenti resistenti in campo sostanzialmente elastico secondo D.M. 17-01-2018 §7.4.1

Le dilatazioni ultime utilizzate sono le seguenti: $\epsilon_c2= 0.002$, $\epsilon_{yd}= 0.0019$

x	A sup.	C.b. sup.	A inf.	C.b. inf.	M+ela	Comb.	M+des	M+ult	x/d	M-ela	Comb.	M-des	M-ult	x/d	Verifica
0	28.27	6	25.13	6	3341083	SLV 8	2748403	6642484	0.222						Si
30	28.27	6	25.13	6	2141442	SLV 8	2141442	6642484	0.222	-521177	SLV 9	-1380507	-7429082	0.238	Si
95	28.27	6	25.13	6	-343656	SLV 12	898009	6642484	0.222	-2296042	SLV 5	-3289006	-7429082	0.238	Si
160	28.27	6	25.13	6						-4483799	SLV 1	-4483799	-7429082	0.238	Si
190	28.27	6	25.13	6						-5699716	SLV 1	-5086313	-7429082	0.238	Si

Verifiche SLD Resistenza a flessione (domini sostanzialmente elastici)

La struttura oppure parte di essa, è stata dichiarata come non dissipativa pertanto la verifica a pressoflessione, per tutte o solo alcune sezioni, viene eseguita calcolando i momenti resistenti in campo sostanzialmente elastico secondo D.M. 17-01-2018 §7.4.1

Le dilatazioni ultime utilizzate sono le seguenti: $\epsilon_c2= 0.002$, $\epsilon_{yd}= 0.0019$

x	A sup.	C.b. sup.	A inf.	C.b. inf.	M+ela	Comb.	M+des	M+ult	x/d	M-ela	Comb.	M-des	M-ult	x/d	Verifica
0	28.27	6	25.13	6	2607385	SLD 8	2070239	6642484	0.222						Si
30	28.27	6	25.13	6	1521885	SLD 8	1521885	6642484	0.222	98380	SLD 9	-864526	-7429082	0.238	Si
95	28.27	6	25.13	6	-799930	SLD 12	378280	6642484	0.222	-1839767	SLD 5	-2889808	-7429082	0.238	Si
160	28.27	6	25.13	6						-4015146	SLD 1	-4015146	-7429082	0.238	Si
190	28.27	6	25.13	6						-5144503	SLD 1	-4575148	-7429082	0.238	Si

Verifiche a taglio in famiglia SLU

x	A st	A sl	A sag	Vela	Comb.	Vdes	Vrd	Vrcd	Vrsd	Vult	cotgθ	Verifica
0	0	25.13	0	-49847	SLU 16	-49847	-25632	-211438	0	-25632	1	Si
30	0.242	25.13	0	-50549	SLU 16	-50549	-25632	-211438	-62979	-62979	1	Si
95	0.242	28.27	0	-52070	SLU 16	-52070	-26659	-211438	-62979	-62979	1	Si
160	0.242	28.27	0	-53591	SLU 16	-53591	-26659	-211438	-62979	-62979	1	Si
190	0	28.27	0	-54293	SLU 16	-54293	-26659	-211438	0	-26659	1	Si

Verifiche a taglio in famiglia SLV

x	A st	A sl	A sag	Vela	Comb.	Vdes	Vrd	Vrcd	Vrsd	Vult	cotgθ	Verifica
0	0	25.13	0	-41133	SLV 3	-41133	-25632	-211438	0	-25632	1	Si
30	0.242	25.13	0	-41673	SLV 3	-41673	-25632	-211438	-62979	-62979	1	Si
95	0.242	28.27	0	-42843	SLV 3	-42843	-26659	-211438	-62979	-62979	1	Si
160	0.242	28.27	0	-44013	SLV 3	-44013	-26659	-211438	-62979	-62979	1	Si
190	0	28.27	0	-44553	SLV 3	-44553	-26659	-211438	0	-26659	1	Si

Verifiche SLD Resistenza a taglio

x	A st	A sl	A sag	Vela	Comb.	Vdes	Vrd	Vrcd	Vrsd	Vult	cotgθ	Verifica
0	0	25.13	0	-36513	SLD 3	-36513	-25632	-211438	0	-25632	1	Si
30	0.242	25.13	0	-37053	SLD 3	-37053	-25632	-211438	-62979	-62979	1	Si
95	0.242	28.27	0	-38223	SLD 3	-38223	-26659	-211438	-62979	-62979	1	Si
160	0.242	28.27	0	-39393	SLD 3	-39393	-26659	-211438	-62979	-62979	1	Si
190	0	28.27	0	-39933	SLD 3	-39933	-26659	-211438	0	-26659	1	Si

Verifiche delle tensioni in esercizio

x	Rara							Quasi permanente							Verifica
	Mela	Comb.	Mdes	σ c	σ c lim.	σ f.	σ f lim.	Mela	Comb.	Mdes	σ c	σ c lim.	σ FRP	σ FRP lim.	
0	2052282	8	1505918	19.7	149.4	883.1	3600	1767654	4	1292908	17	112.1	0	+∞	Si
30	951524	8	951524	12.5	149.4	558	3600	810133	4	810133	10.6	112.1	0	+∞	Si
95	-1488806	8	-2768572	35.5	149.4	1450.2	3600	-1319849	4	-2440620	31.3	112.1	0	+∞	Si
160	-4005327	8	-4005327	51.3	149.4	2098	3600	-3526020	4	-3526020	45.2	112.1	0	+∞	Si
190	-5192345	8	-4594821	58.8	149.4	2406.7	3600	-4569801	4	-4043896	51.8	112.1	0	+∞	Si

Verifica di apertura delle fessure

x	Bordo	Rara				Frequente				Quasi permanente				Verifica
		Dmax	Esm	Wd	Comb	Dmax	Esm	Wd	Comb	Dmax	Esm	Wd	Comb	
146	superiore	33.2	0.00061	0.0203	8	33.2	0.00062	0.0206	4	33.2	0.00058	0.0194	4	Si
160	superiore	33.2	0.00061	0.0203	8	33.2	0.00062	0.0206	4	33.2	0.00058	0.0194	4	Si
190	superiore	33.2	0.0007	0.0233	8	33.2	0.00076	0.0251	4	33.2	0.00072	0.0238	4	Si

Verifica di deformabilità

x	Rara				Frequente				Quasi permanente					Verifica		
	Elastica+	Elastica-	Fess.+	Fess.-	Elastica+	Elastica-	Fess.+	Fess.-	Elastica+	Elastica-	Fess. viscosa+	Comb.	Fess. viscosa-	Comb.	I/f	
30	-0.001	-0.001	-0.001	-0.002	-0.001	-0.001	-0.001	-0.001	-0.001	-0.001	-0.002	1	-0.003	1	9999	Si
95	-0.004	-0.005	-0.003	-0.006	-0.004	-0.005	-0.003	-0.005	-0.004	-0.005	-0.009	1	-0.013	1	9999	Si
127	-0.004	-0.006	-0.004	-0.007	-0.004	-0.006	-0.004	-0.006	-0.004	-0.005	-0.01	1	-0.015	1	9999	Si
160	-0.003	-0.005	-0.003	-0.006	-0.003	-0.004	-0.003	-0.005	-0.003	-0.004	-0.008	1	-0.012	1	9999	Si

Campata 3 tra i fili Palo57 - Palo56, sezione R 90x80, asta 2332

Verifiche a flessione in famiglia SLU

x	A sup.	C.b. sup.	A inf.	C.b. inf.	M+ela	Comb.	M+des	M+ult	x/d	M-ela	Comb.	M-des	M-ult	x/d	Verifica
0	28.27	6	25.13	6						-6152886	SLU 16	-6111738	-7752052	0.101	Si
30	28.27	6	25.13	6						-6080990	SLU 16	-6080990	-7752052	0.101	Si
100	28.27	6	25.13	6	-3005517	SLU 1	42266	6914755	0.094	-5994701	SLU 16	-6021392	-7752052	0.101	Si
170	28.27	6	25.13	6						-6023332	SLU 16	-6023332	-7752052	0.101	Si
200	28.27	6	25.13	6						-6070517	SLU 16	-6041724	-7752052	0.101	Si

Verifiche a flessione in famiglia SLV (domini sostanzialmente elastici)

La struttura oppure parte di essa, è stata dichiarata come non dissipativa pertanto la verifica a pressoflessione, per tutte o solo alcune sezioni, viene eseguita calcolando i momenti resistenti in campo sostanzialmente elastico secondo D.M. 17-01-2018 §7.4.1

Le dilatazioni ultime utilizzate sono le seguenti: $\epsilon_{c2} = 0.002$, $\epsilon_{yd} = 0.0019$

x	A sup.	C.b. sup.	A inf.	C.b. inf.	M+ela	Comb.	M+des	M+ult	x/d	M-ela	Comb.	M-des	M-ult	x/d	Verifica
0	28.27	6	25.13	6						-5443797	SLV 5	-5232928	-7429082	0.238	Si
30	28.27	6	25.13	6						-5135294	SLV 1	-5135294	-7429082	0.238	Si
100	28.27	6	25.13	6						-4828186	SLV 1	-4949712	-7429082	0.238	Si
170	28.27	6	25.13	6						-5048511	SLV 3	-5048511	-7429082	0.238	Si
200	28.27	6	25.13	6						-5397320	SLV 7	-5211375	-7429082	0.238	Si

Verifiche SLD Resistenza a flessione (domini sostanzialmente elastici)

La struttura oppure parte di essa, è stata dichiarata come non dissipativa pertanto la verifica a pressoflessione, per tutte o solo alcune sezioni, viene eseguita calcolando i momenti resistenti in campo sostanzialmente elastico secondo D.M. 17-01-2018 §7.4.1

Le dilatazioni ultime utilizzate sono le seguenti: $\epsilon_{c2} = 0.002$, $\epsilon_{yd} = 0.0019$

x	A sup.	C.b. sup.	A inf.	C.b. inf.	M+ela	Comb.	M+des	M+ult	x/d	M-ela	Comb.	M-des	M-ult	x/d	Verifica
0	28.27	6	25.13	6						-4763276	SLD 5	-4637195	-7429082	0.238	Si
30	28.27	6	25.13	6						-4556064	SLD 1	-4556064	-7429082	0.238	Si
100	28.27	6	25.13	6						-4368373	SLD 1	-4439498	-7429082	0.238	Si
170	28.27	6	25.13	6						-4507714	SLD 7	-4507714	-7429082	0.238	Si
200	28.27	6	25.13	6						-4730693	SLD 7	-4618931	-7429082	0.238	Si

Verifiche a taglio in famiglia SLU

x	A st	A sl	A sag	Vela	Comb.	Vdes	Vrd	Vrcd	Vrsd	Vult	cotgθ	Verifica
0	0	28.27	0	2752	SLU 16	2752	26659	211438	0	26659	1	Si
30	0.157	28.27	0	2050	SLU 16	2050	26659	211438	40936	40936	1	Si
100	0.157	28.27	0	415	SLU 8	415	26659	211438	40936	40936	1	Si
100	0.157	28.27	0	-13	SLU 10	-13	-26659	-211438	-40936	-40936	1	Si
170	0.157	28.27	0	-1651	SLU 10	-1651	-26659	-211438	-40936	-40936	1	Si
200	0	28.27	0	-2353	SLU 10	-2353	-26659	-211438	0	-26659	1	Si

Verifiche a taglio in famiglia SLV

x	A st	A sl	A sag	Vela	Comb.	Vdes	Vrd	Vrcd	Vrsd	Vult	cotgθ	Verifica
0	0	28.27	0	13792	SLV 9	13792	26659	211438	0	26659	1	Si
0	0	28.27	0	-9970	SLV 8	-9970	-26659	-211438	0	-26659	1	Si
30	0.157	28.27	0	13252	SLV 9	13252	26659	211438	40936	40936	1	Si
30	0.157	28.27	0	-10510	SLV 8	-10510	-26659	-211438	-40936	-40936	1	Si
100	0.157	28.27	0	11992	SLV 9	11992	26659	211438	40936	40936	1	Si
100	0.157	28.27	0	-11770	SLV 8	-11770	-26659	-211438	-40936	-40936	1	Si
170	0.157	28.27	0	10732	SLV 9	10732	26659	211438	40936	40936	1	Si
170	0.157	28.27	0	-13030	SLV 8	-13030	-26659	-211438	-40936	-40936	1	Si
200	0	28.27	0	10192	SLV 9	10192	26659	211438	0	26659	1	Si
200	0	28.27	0	-13570	SLV 8	-13570	-26659	-211438	0	-26659	1	Si

Verifiche SLD Resistenza a taglio

x	A st	A sl	A sag	Vela	Comb.	Vdes	Vrd	Vrcd	Vrsd	Vult	cotgθ	Verifica
0	0	28.27	0	8273	SLD 9	8273	26659	211438	0	26659	1	Si
0	0	28.27	0	-4451	SLD 8	-4451	-26659	-211438	0	-26659	1	Si
30	0.157	28.27	0	7733	SLD 9	7733	26659	211438	40936	40936	1	Si
30	0.157	28.27	0	-4991	SLD 8	-4991	-26659	-211438	-40936	-40936	1	Si
100	0.157	28.27	0	6473	SLD 9	6473	26659	211438	40936	40936	1	Si
100	0.157	28.27	0	-6251	SLD 8	-6251	-26659	-211438	-40936	-40936	1	Si
170	0.157	28.27	0	5213	SLD 9	5213	26659	211438	40936	40936	1	Si
170	0.157	28.27	0	-7511	SLD 8	-7511	-26659	-211438	-40936	-40936	1	Si
200	0	28.27	0	4673	SLD 9	4673	26659	211438	0	26659	1	Si
200	0	28.27	0	-8051	SLD 8	-8051	-26659	-211438	0	-26659	1	Si

Verifiche delle tensioni in esercizio

x	Rara							Quasi permanente							Verifica
	Mela	Comb.	Mdes	σ c	σ c lim.	σ f.	σ f lim.	Mela	Comb.	Mdes	σ c	σ c lim.	σ FRP	σ FRP lim.	
0	-4514537	8	-4483537	57.4	149.4	2348.5	3600	-3997183	4	-3968618	50.8	112.1	0	+∞	Si
30	-4460537	8	-4460537	57.1	149.4	2336.4	3600	-3948052	4	-3948052	50.6	112.1	0	+∞	Si
100	-4397203	8	-4416287	56.6	149.4	2313.2	3600	-3896078	4	-3909758	50.1	112.1	0	+∞	Si
170	-4422269	8	-4422269	56.6	149.4	2316.4	3600	-3932504	4	-3932504	50.4	112.1	0	+∞	Si
200	-4459869	8	-4437069	56.8	149.4	2324.1	3600	-3974972	4	-3949738	50.6	112.1	0	+∞	Si

Verifica di apertura delle fessure

x	Bordo	Rara				Frequente				Quasi permanente				Verifica
		Dmax	Esm	Wd	Comb	Dmax	Esm	Wd	Comb	Dmax	Esm	Wd	Comb	
0	superiore	33.2	0.00068	0.0227	8	33.2	0.00073	0.0244	4	33.2	0.0007	0.0232	4	Si
30	superiore	33.2	0.00068	0.0226	8	33.2	0.00073	0.0242	4	33.2	0.00069	0.023	4	Si
60	superiore	33.2	0.00068	0.0226	8	33.2	0.00073	0.0242	4	33.2	0.00069	0.023	4	Si
100	superiore	33.2	0.00067	0.0224	8	33.2	0.00072	0.0239	4	33.2	0.00068	0.0227	4	Si
170	superiore	33.2	0.00067	0.0224	8	33.2	0.00072	0.0241	4	33.2	0.00069	0.0229	4	Si
200	superiore	33.2	0.00068	0.0225	8	33.2	0.00073	0.0242	4	33.2	0.00069	0.023	4	Si

Verifica di deformabilità

x	Rara				Frequente				Quasi permanente						Verifica
	Elastica+	Elastica-	Fess.+	Fess.-	Elastica+	Elastica-	Fess.+	Fess.-	Elastica+	Elastica-	Fess. viscosa+	Comb.	Fess. viscosa-	Comb.	I/f
30	-0.006	-0.009	-0.006	-0.015	-0.006	-0.009	-0.006	-0.012	-0.006	-0.008	-0.015	1	-0.033	1	9999
100	-0.012	-0.018	-0.011	-0.029	-0.012	-0.017	-0.011	-0.023	-0.012	-0.016	-0.029	1	-0.064	1	6884
170	-0.006	-0.009	-0.006	-0.015	-0.006	-0.008	-0.006	-0.012	-0.006	-0.008	-0.015	1	-0.033	1	9999

Campata 4 tra i fili Palo56 - Palo55, sezione R 90x80, asta 2339

Verifiche a flessione in famiglia SLU

x	A sup.	C.b. sup.	A inf.	C.b. inf.	M+ela	Comb.	M+des	M+ult	x/d	M-ela	Comb.	M-des	M-ult	x/d	Verifica
0	28.27	6	25.13	6						-6710820	SLU 16	-5976941	-7752052	0.101	Si
30	28.27	6	25.13	6						-5253501	SLU 16	-5253501	-7752052	0.101	Si
95	28.27	6	25.13	6	-1061680	SLU 1	37440	6914755	0.094	-2167935	SLU 16	-3736387	-7752052	0.101	Si
160	28.27	6	25.13	6	818583	SLU 16	818583	6914755	0.094	485763	SLU 1	-699041	-7752052	0.101	Si
190	28.27	6	25.13	6	2163765	SLU 16	1496394	6914755	0.094						Si

Verifiche a flessione in famiglia SLV (domini sostanzialmente elastici)

La struttura oppure parte di essa, è stata dichiarata come non dissipativa pertanto la verifica a pressoflessione, per tutte o solo alcune sezioni, viene eseguita calcolando i momenti resistenti in campo sostanzialmente elastico secondo D.M. 17-01-2018 §7.4.1

Le dilatazioni ultime utilizzate sono le seguenti: $\epsilon_{c2} = 0.002$, $\epsilon_{yd} = 0.0019$

x	A sup.	C.b. sup.	A inf.	C.b. inf.	M+ela	Comb.	M+des	M+ult	x/d	M-ela	Comb.	M-des	M-ult	x/d	Verifica
0	28.27	6	25.13	6						-5559236	SLV 4	-4977965	-7429082	0.238	Si
30	28.27	6	25.13	6						-4408050	SLV 4	-4408050	-7429082	0.238	Si
95	28.27	6	25.13	6	-420711	SLV 9	744109	6642484	0.222	-2367365	SLV 8	-3285811	-7429082	0.238	Si
160	28.27	6	25.13	6	1921201	SLV 5	1921201	6642484	0.222	-748949	SLV 12	-1524507	-7429082	0.238	Si
190	28.27	6	25.13	6	3054449	SLV 5	2494774	6642484	0.222	-105449	SLV 12	-105449	-7429082	0.238	Si

Verifiche SLD Resistenza a flessione (domini sostanzialmente elastici)

La struttura oppure parte di essa, è stata dichiarata come non dissipativa pertanto la verifica a pressoflessione, per tutte o solo alcune sezioni, viene eseguita calcolando i momenti resistenti in campo sostanzialmente elastico secondo D.M. 17-01-2018 §7.4.1

Le dilatazioni ultime utilizzate sono le seguenti: $\epsilon_{c2} = 0.002$, $\epsilon_{yd} = 0.0019$

x	A sup.	C.b. sup.	A inf.	C.b. inf.	M+ela	Comb.	M+des	M+ult	x/d	M-ela	Comb.	M-des	M-ult	x/d	Verifica
0	28.27	6	25.13	6						-5002421	SLD 4	-4466464	-7429082	0.238	Si
30	28.27	6	25.13	6						-3940073	SLD 4	-3940073	-7429082	0.238	Si
95	28.27	6	25.13	6	-874927	SLD 9	226035	6642484	0.222	-1913148	SLD 8	-2887900	-7429082	0.238	Si
160	28.27	6	25.13	6	1299207	SLD 5	1299207	6642484	0.222	-126955	SLD 12	-1010368	-7429082	0.238	Si
190	28.27	6	25.13	6	2316508	SLD 5	1813381	6642484	0.222						Si

Verifiche a taglio in famiglia SLU

x	A st	A sl	A sag	Vela	Comb.	Vdes	Vrd	Vrcd	Vrsd	Vult	cotgθ	Verifica
0	0	28.27	0	48931	SLU 16	48931	26659	211438	0	26659	1	Si
30	0.217	28.27	0	48229	SLU 16	48229	26659	211438	56681	56681	1	Si
95	0.217	28.27	0	46708	SLU 16	46708	26659	211438	56681	56681	1	Si
160	0.217	25.13	0	45187	SLU 16	45187	25632	211438	56681	56681	1	Si
190	0	25.13	0	44485	SLU 16	44485	25632	211438	0	25632	1	Si

Verifiche a taglio in famiglia SLV

x	A st	A sl	A sag	Vela	Comb.	Vdes	Vrd	Vrcd	Vrsd	Vult	cotgθ	Verifica
0	0	28.27	0	42259	SLV 2	42259	26659	211438	0	26659	1	Si
30	0.217	28.27	0	41719	SLV 2	41719	26659	211438	56681	56681	1	Si
95	0.217	28.27	0	40549	SLV 2	40549	26659	211438	56681	56681	1	Si
160	0.217	25.13	0	39379	SLV 2	39379	25632	211438	56681	56681	1	Si
190	0	25.13	0	38839	SLV 2	38839	25632	211438	0	25632	1	Si

Verifiche SLD Resistenza a taglio

x	A st	A sl	A sag	Vela	Comb.	Vdes	Vrd	Vrcd	Vrsd	Vult	cotgθ	Verifica
0	0	28.27	0	37621	SLD 2	37621	26659	211438	0	26659	1	Si
30	0.217	28.27	0	37081	SLD 2	37081	26659	211438	56681	56681	1	Si
95	0.217	28.27	0	35911	SLD 2	35911	26659	211438	56681	56681	1	Si
160	0.217	25.13	0	34741	SLD 2	34741	25632	211438	56681	56681	1	Si
190	0	25.13	0	34201	SLD 2	34201	25632	211438	0	25632	1	Si

Verifiche delle tensioni in esercizio

x	Rara							Quasi permanente							Verifica
	Mela	Comb.	Mdes	σ c	σ c lim.	σ f.	σ f lim.	Mela	Comb.	Mdes	σ c	σ c lim.	σ FRP	σ FRP lim.	
0	-4935244	8	-4393795	56.3	149.4	2301.4	3600	-4425025	4	-3933693	50.4	112.1	0	+∞	Si
30	-3860376	8	-3860376	49.4	149.4	2022	3600	-3450391	4	-3450391	44.2	112.1	0	+∞	Si

RELAZIONE GEOTECNICA E SULLE FONDAZIONI

x	Rara							Quasi permanente							Verifica
	Mela	Comb.	Mdes	σc	σc lim.	σf	σf lim.	Mela	Comb.	Mdes	σc	σc lim.	σFRP	σFRP lim.	
95	-1586848	8	-2742126	35.1	149.4	1436.3	3600	-1394038	4	-2438056	31.2	112.1	0	+∞	Si
160	610491	8	610491	8	149.4	358	3600	586126	4	586126	7.7	112.1	0	+∞	Si
190	1599099	8	1108810	14.5	149.4	650.2	3600	1474500	4	1034328	13.6	112.1	0	+∞	Si

Verifica di apertura delle fessure

x	Bordo	Rara				Frequente				Quasi permanente				Verifica
		Dmax	Esm	Wd	Comb	Dmax	Esm	Wd	Comb	Dmax	Esm	Wd	Comb	
0	superiore	33.2	0.00067	0.0223	8	33.2	0.00072	0.024	4	33.2	0.00069	0.0229	4	Si
30	superiore	33.2	0.00059	0.0196	8	33.2	0.0006	0.0198	4	33.2	0.00057	0.0188	4	Si
51	superiore	33.2	0.00059	0.0196	8	33.2	0.0006	0.0198	4	33.2	0.00057	0.0188	4	Si

Verifica di deformabilità

x	Rara				Frequente				Quasi permanente						Verifica
	Elastica+	Elastica-	Fess.+	Fess.-	Elastica+	Elastica-	Fess.+	Fess.-	Elastica+	Elastica-	Fess. viscosa+	Comb.	Fess. viscosa-	Comb.	
30	-0.003	-0.005	-0.003	-0.005	-0.003	-0.004	-0.003	-0.005	-0.003	-0.004	-0.008	1	-0.012	1	9999 Si
63	-0.004	-0.006	-0.004	-0.007	-0.004	-0.006	-0.004	-0.006	-0.004	-0.006	-0.01	1	-0.016	1	9999 Si
95	-0.004	-0.006	-0.004	-0.006	-0.004	-0.005	-0.004	-0.005	-0.004	-0.005	-0.009	1	-0.014	1	9999 Si
160	-0.001	-0.001	-0.001	-0.002	-0.001	-0.001	-0.001	-0.002	-0.001	-0.001	-0.003	1	-0.004	1	9999 Si

Campata 5 tra i fili Palo55 - Pil.B4, sezione R 90x80, asta 388

Verifiche a flessione in famiglia SLU

x	A sup.	C.b. sup.	A inf.	C.b. inf.	M+ela	Comb.	M+des	M+ult	x/d	M-ela	Comb.	M-des	M-ult	x/d	Verifica
0	28.27	6	25.13	6						-23693	SLU 13	-7897	-7752052	0.101	Si
22	28.27	6	25.13	6						-5923	SLU 16	-4936	-7752052	0.101	Si
30	28.27	6	25.13	6						-2632	SLU 16	-2632	-7752052	0.101	Si
40	0	0	0	0						-237	SLU 12	-2632	0	0	Si
45	0	0	0	0						0	SLU 12	-2632	0	0	Si

Verifiche a flessione in famiglia SLV (domini sostanzialmente elastici)

La struttura oppure parte di essa, è stata dichiarata come non dissipativa pertanto la verifica a pressoflessione, per tutte o solo alcune sezioni, viene eseguita calcolando i momenti resistenti in campo sostanzialmente elastico secondo D.M. 17-01-2018 §7.4.1

Le dilatazioni ultime utilizzate sono le seguenti: $\epsilon c2= 0.002$, $\epsilon yd= 0.0019$

x	A sup.	C.b. sup.	A inf.	C.b. inf.	M+ela	Comb.	M+des	M+ult	x/d	M-ela	Comb.	M-des	M-ult	x/d	Verifica
0	28.27	6	25.13	6						-18225	SLV 13	-6075	-7429082	0.238	Si
22	28.27	6	25.13	6						-4556	SLV 13	-3797	-7429082	0.238	Si
30	28.27	6	25.13	6	-2025	SLV 16	0	6642484	0.222	-2025	SLV 1	-2025	-7429082	0.238	Si
40	0	0	0	0	-182	SLV 16	0	0	0	-182	SLV 1	-2025	0	0	Si
45	0	0	0	0	0	SLV 14	0	0	0	0	SLV 3	-2025	0	0	Si

Verifiche SLD Resistenza a flessione (domini sostanzialmente elastici)

La struttura oppure parte di essa, è stata dichiarata come non dissipativa pertanto la verifica a pressoflessione, per tutte o solo alcune sezioni, viene eseguita calcolando i momenti resistenti in campo sostanzialmente elastico secondo D.M. 17-01-2018 §7.4.1

Le dilatazioni ultime utilizzate sono le seguenti: $\epsilon c2= 0.002$, $\epsilon yd= 0.0019$

x	A sup.	C.b. sup.	A inf.	C.b. inf.	M+ela	Comb.	M+des	M+ult	x/d	M-ela	Comb.	M-des	M-ult	x/d	Verifica
0	28.27	6	25.13	6						-18225	SLD 15	-6075	-7429082	0.238	Si
22	28.27	6	25.13	6						-4556	SLD 15	-3797	-7429082	0.238	Si
30	28.27	6	25.13	6	-2025	SLD 2	0	6642484	0.222	-2025	SLD 15	-2025	-7429082	0.238	Si
40	0	0	0	0	-182	SLD 14	0	0	0	-182	SLD 3	-2025	0	0	Si
45	0	0	0	0	0	SLD 14	0	0	0	0	SLD 3	-2025	0	0	Si

Verifiche a taglio in famiglia SLU

x	A st	A sl	A sag	Vela	Comb.	Vdes	Vrd	Vrcd	Vrsd	Vult	cotgθ	Verifica
0	0	0	0	0	1053	SLU 13	1053	21795	211438	0	21795	1 Si
22	0	0	0	0	527	SLU 13	527	21795	211438	0	21795	1 Si
30	0.209	0	0	0	351	SLU 13	351	21795	211438	54582	54582	1 Si
45	0.209	0	0	0	0	Ger.	0	23101	228582	59007	59007	1 Si

Verifiche a taglio in famiglia SLV

x	A st	A sl	A sag	Vela	Comb.	Vdes	Vrd	Vrcd	Vrsd	Vult	cotgθ	Verifica
0	0	0	0	0	810	SLV 13	810	21795	211438	0	21795	1 Si
22	0	0	0	0	405	SLV 13	405	21795	211438	0	21795	1 Si
30	0.209	0	0	0	270	SLV 13	270	21795	211438	54582	54582	1 Si
45	0.209	0	0	0	0	Ger.	0	23101	228582	59007	59007	1 Si
45	0.209	0	0	0	0	Ger.	0	-23101	-228582	-59007	-59007	1 Si

Verifiche SLD Resistenza a taglio

x	A st	A sl	A sag	Vela	Comb.	Vdes	Vrd	Vrcd	Vrsd	Vult	cotgθ	Verifica
0	0	0	0	0	810	SLD 13	810	21795	211438	0	21795	1 Si
22	0	0	0	0	405	SLD 13	405	21795	211438	0	21795	1 Si
30	0.209	0	0	0	270	SLD 13	270	21795	211438	54582	54582	1 Si
45	0.209	0	0	0	0	Ger.	0	23101	228582	59007	59007	1 Si
45	0.209	0	0	0	0	Ger.	0	-23101	-228582	-59007	-59007	1 Si

Verifiche delle tensioni in esercizio

x	Rara							Quasi permanente							Verifica
	Mela	Comb.	Mdes	σc	σc lim.	σf	σf lim.	Mela	Comb.	Mdes	σc	σc lim.	σFRP	σFRP lim.	
0	-18225	5	-6075	0.1	149.4	3.2	3600	-18225	3	-6075	0.1	112.1	0	+∞	Si
22	-4556	8	-3797	0	149.4	2	3600	-4556	4	-3797	0	112.1	0	+∞	Si
30	-2025	8	-2025	0	149.4	1.1	3600	-2025	4	-2025	0	112.1	0	+∞	Si
45	0	4	-2025	0	0	0	3600	0	2	-2025	0	0	0	+∞	Si

Verifica di apertura delle fessure

La campata non presenta apertura delle fessure

Verifica di deformabilità

x	Rara				Frequente				Quasi permanente						Verifica
	Elastica+	Elastica-	Fess.+	Fess.-	Elastica+	Elastica-	Fess.+	Fess.-	Elastica+	Elastica-	Fess. viscosa+	Comb.	Fess. viscosa-	Comb.	
22	0.013	0.009	0.001	0.001	0.012	0.009	0.001	0.001	0.012	0.009	0.002	4	0.001	4	7746 Si
30	0.017	0.012	0.001	0.001	0.016	0.012	0.001	0.001	0.015	0.012	0.003	4	0.002	4	5809 Si
45	0.025	0.018	0.002	0.001	0.024	0.018	0.002	0.001	0.023	0.018	0.004	4	0.003	4	3873 Si

Trave a "Fondazione" Platea A-Platea B1

Caratteristiche dei materiali

Acciaio: B450C Fyk 4500
Calcestruzzo: C25/30 Rck 300

Elenco delle sezioni

N°	Descrizione	Tipo	Base	Altezza	Copriferro sup.	Copriferro inf.	Copriferro lat.
1	R 90x80	Rettangolare	90	80	4	4	4

Output campate

Campata 1 tra i fili Palo53 - Palo53, sezione R 90x80, asta 2399

Verifiche a flessione in famiglia SLU

x	A sup.	C.b. sup.	A inf.	C.b. inf.	M+ela	Comb.	M+des	M+ult	x/d	M-ela	Comb.	M-des	M-ult	x/d	Verifica
0	25.13	6	25.13	6	1905	SLU 8	1905	6915255	0.095	-5396	SLU 9	-21762	-6915255	0.095	Si
30	25.13	6	25.13	6	-14320	SLU 6	1905	6915255	0.095	-21762	SLU 12	-21762	-6915255	0.095	Si
60	25.13	6	25.13	6						-61998	SLU 16	-36509	-6915255	0.095	Si

Verifiche a flessione in famiglia SLV (domini sostanzialmente elastici)

La struttura oppure parte di essa, è stata dichiarata come non dissipativa pertanto la verifica a pressoflessione, per tutte o solo alcune sezioni, viene eseguita calcolando i momenti resistenti in campo sostanzialmente elastico secondo D.M. 17-01-2018 §7.4.1

Le dilatazioni ultime utilizzate sono le seguenti: $\epsilon_c2= 0.002$, $\epsilon_{yd}= 0.0019$

x	A sup.	C.b. sup.	A inf.	C.b. inf.	M+ela	Comb.	M+des	M+ult	x/d	M-ela	Comb.	M-des	M-ult	x/d	Verifica
0	25.13	6	25.13	6	71445	SLV 8	89480	6635554	0.225	-74095	SLV 9	-120261	-6635554	0.225	Si
30	25.13	6	25.13	6	89480	SLV 12	89480	6635554	0.225	-120261	SLV 5	-120261	-6635554	0.225	Si
60	25.13	6	25.13	6	91502	SLV 12	91502	6635554	0.225	-182814	SLV 5	-147548	-6635554	0.225	Si

Verifiche SLD Resistenza a flessione (domini sostanzialmente elastici)

La struttura oppure parte di essa, è stata dichiarata come non dissipativa pertanto la verifica a pressoflessione, per tutte o solo alcune sezioni, viene eseguita calcolando i momenti resistenti in campo sostanzialmente elastico secondo D.M. 17-01-2018 §7.4.1

Le dilatazioni ultime utilizzate sono le seguenti: $\epsilon_c2= 0.002$, $\epsilon_{yd}= 0.0019$

x	A sup.	C.b. sup.	A inf.	C.b. inf.	M+ela	Comb.	M+des	M+ult	x/d	M-ela	Comb.	M-des	M-ult	x/d	Verifica
0	25.13	6	25.13	6	37542	SLD 8	41330	6635554	0.225	-40193	SLD 9	-71331	-6635554	0.225	Si
30	25.13	6	25.13	6	40550	SLD 12	41330	6635554	0.225	-71331	SLD 5	-71331	-6635554	0.225	Si
60	25.13	6	25.13	6	27453	SLD 12	27453	6635554	0.225	-118765	SLD 5	-91029	-6635554	0.225	Si

Verifiche a taglio in famiglia SLU

x	A st	A sl	A sag	Vela	Comb.	Vdes	Vrd	Vrcd	Vrsd	Vult	cotgθ	Verifica
0	0.209	25.13	0	-342	SLU 16	-342	-25632	-211438	-54582	-54582	1	Si
30	0.209	25.13	0	-1044	SLU 16	-1044	-25632	-211438	-54582	-54582	1	Si
60	0	25.13	0	-1746	SLU 16	-1746	-25632	-211438	0	-25632	1	Si

Verifiche a taglio in famiglia SLV

x	A st	A sl	A sag	Vela	Comb.	Vdes	Vrd	Vrcd	Vrsd	Vult	cotgθ	Verifica
0	0.209	25.13	0	881	SLV 12	881	25632	211438	54582	54582	1	Si
0	0.209	25.13	0	-1279	SLV 5	-1279	-25632	-211438	-54582	-54582	1	Si
30	0.209	25.13	0	341	SLV 12	341	25632	211438	54582	54582	1	Si
30	0.209	25.13	0	-1819	SLV 5	-1819	-25632	-211438	-54582	-54582	1	Si
60	0	25.13	0	-2359	SLV 5	-2359	-25632	-211438	0	-25632	1	Si

Verifiche SLD Resistenza a taglio

x	A st	A sl	A sag	Vela	Comb.	Vdes	Vrd	Vrcd	Vrsd	Vult	cotgθ	Verifica
0	0.209	25.13	0	375	SLD 12	375	25632	211438	54582	54582	1	Si
0	0.209	25.13	0	-773	SLD 5	-773	-25632	-211438	-54582	-54582	1	Si
30	0.209	25.13	0	-1313	SLD 5	-1313	-25632	-211438	-54582	-54582	1	Si
60	0	25.13	0	-1853	SLD 5	-1853	-25632	-211438	0	-25632	1	Si

Verifiche delle tensioni in esercizio

x	Rara							Quasi permanente							Verifica
	Mela	Comb.	Mdes	σ c	σ c lim.	σ f.	σ f lim.	Mela	Comb.	Mdes	σ c	σ c lim.	σ FRP	σ FRP lim.	
0	-4151	1	-16692	0.2	149.4	9.8	3600	-4151	1	-16473	0.2	112.1	0	$+\infty$	Si
30	-16692	4	-16692	0.2	149.4	9.8	3600	-16473	2	-16473	0.2	112.1	0	$+\infty$	Si
60	-47306	8	-27878	0.4	149.4	16.4	3600	-45656	4	-26943	0.4	112.1	0	$+\infty$	Si

Verifica di apertura delle fessure

La campata non presenta apertura delle fessure

Verifica di deformabilità

x	Rara				Frequente				Quasi permanente								Verifica
	Elastica+	Elastica-	Fess.+	Fess.-	Elastica+	Elastica-	Fess.+	Fess.-	Elastica+	Elastica-	Fess. viscosa+	Comb.	Fess. viscosa-	Comb.	I/f		
30	0	0	0	0	0	0	0	0	0	0	0	3	0	3		9999	Si
36	0	0	0	0	0	0	0	0	0	0	0	3	0	3		9999	Si

Campata 2 tra i fili Palo53 - Palo47, sezione R 90x80, aste 2278, 2277, 2276, 2275

Verifiche a flessione in famiglia SLU

x	A sup.	C.b. sup.	A inf.	C.b. inf.	M+ela	Comb.	M+des	M+ult	x/d	M-ela	Comb.	M-des	M-ult	x/d	Verifica
0	25.13	6	25.13	6						-13098	SLU 12	-12784	-6915255	0.095	Si
30	25.13	6	25.13	6	31811	SLU 16	150226	6915255	0.095						Si
90	25.13	6	25.13	6	173568	SLU 16	238377	6915255	0.095						Si
132	25.13	6	25.13	6	239149	SLU 16	239149	6915255	0.095						Si
180	25.13	6	25.13	6	80951	SLU 16	154662	6915255	0.095						Si

Verifiche a flessione in famiglia SLV (domini sostanzialmente elastici)

La struttura oppure parte di essa, è stata dichiarata come non dissipativa pertanto la verifica a pressoflessione, per tutte o solo alcune sezioni, viene eseguita calcolando i momenti resistenti in campo sostanzialmente elastico secondo D.M. 17-01-2018 §7.4.1

Le dilatazioni ultime utilizzate sono le seguenti: $\epsilon_c2= 0.002$, $\epsilon_{yd}= 0.0019$

x	A sup.	C.b. sup.	A inf.	C.b. inf.	M+ela	Comb.	M+des	M+ult	x/d	M-ela	Comb.	M-des	M-ult	x/d	Verifica
0	25.13	6	25.13	6	162081	SLV 9	162081	6635554	0.225	-179628	SLV 8	-179628	-6635554	0.225	Si
30	25.13	6	25.13	6	319131	SLV 9	794188	6635554	0.225	-274863	SLV 8	-597467	-6635554	0.225	Si
90	25.13	6	25.13	6	911340	SLV 5	1156807	6635554	0.225	-680345	SLV 12	-840481	-6635554	0.225	Si
156	25.13	6	25.13	6	1037745	SLV 5	1170259	6635554	0.225	-862500	SLV 12	-881426	-6635554	0.225	Si
180	25.13	6	25.13	6	944237	SLV 5	1071227	6635554	0.225	-846698	SLV 12	-871606	-6635554	0.225	Si

Verifiche SLD Resistenza a flessione (domini sostanzialmente elastici)

La struttura oppure parte di essa, è stata dichiarata come non dissipativa pertanto la verifica a pressoflessione, per tutte o solo alcune sezioni, viene eseguita calcolando i momenti resistenti in campo sostanzialmente elastico secondo D.M. 17-01-2018 §7.4.1

Le dilatazioni ultime utilizzate sono le seguenti: $\epsilon_{c2} = 0.002$, $\epsilon_{yd} = 0.0019$

x	A sup.	C.b. sup.	A inf.	C.b. inf.	M+ela	Comb.	M+des	M+ult	x/d	M-ela	Comb.	M-des	M-ult	x/d	Verifica
0	25.13	6	25.13	6	81975	SLD 9	81975	6635554	0.225	-99523	SLD 8	-99523	-6635554	0.225	Si
30	25.13	6	25.13	6	180736	SLD 9	471033	6635554	0.225	-136468	SLD 8	-274313	-6635554	0.225	Si
90	25.13	6	25.13	6	541943	SLD 5	693416	6635554	0.225	-310948	SLD 12	-377090	-6635554	0.225	Si
156	25.13	6	25.13	6	596663	SLD 5	700698	6635554	0.225	-421418	SLD 12	-430955	-6635554	0.225	Si
180	25.13	6	25.13	6	528494	SLD 5	620271	6635554	0.225	-430955	SLD 12	-430955	-6635554	0.225	Si

Verifiche a taglio in famiglia SLU

x	A st	A sl	A sag	Vela	Comb.	Vdes	Vrd	Vrcd	Vrsd	Vult	cotgθ	Verifica
0	0	25.13	0	1838	SLV 16	1838	25632	211438	0	25632	1	Si
30	0.147	25.13	0	1136	SLV 16	1136	25632	211438	38207	38207	1	Si
90	0.147	25.13	0	558	SLV 16	558	25632	211438	38207	38207	1	Si
180	0.175	25.13	0	-2606	SLV 16	-2606	-25632	-211438	-45485	-45485	1	Si

Verifiche a taglio in famiglia SLV

x	A st	A sl	A sag	Vela	Comb.	Vdes	Vrd	Vrcd	Vrsd	Vult	cotgθ	Verifica
0	0	25.13	0	5777	SLV 9	5777	25632	211438	0	25632	1	Si
0	0	25.13	0	-3177	SLV 8	-3177	-25632	-211438	0	-25632	1	Si
30	0.147	25.13	0	5237	SLV 9	5237	25632	211438	38207	38207	1	Si
30	0.147	25.13	0	-3717	SLV 8	-3717	-25632	-211438	-38207	-38207	1	Si
90	0.147	25.13	0	3887	SLV 5	3887	25632	211438	38207	38207	1	Si
90	0.147	25.13	0	-3285	SLV 12	-3285	-25632	-211438	-38207	-38207	1	Si
180	0.175	25.13	0	613	SLV 12	613	25632	211438	45485	45485	1	Si
180	0.175	25.13	0	-4282	SLV 5	-4282	-25632	-211438	-45485	-45485	1	Si

Verifiche SLD Resistenza a taglio

x	A st	A sl	A sag	Vela	Comb.	Vdes	Vrd	Vrcd	Vrsd	Vult	cotgθ	Verifica
0	0	25.13	0	3698	SLD 9	3698	25632	211438	0	25632	1	Si
0	0	25.13	0	-1097	SLD 8	-1097	-25632	-211438	0	-25632	1	Si
30	0.147	25.13	0	3158	SLD 9	3158	25632	211438	38207	38207	1	Si
30	0.147	25.13	0	-1637	SLD 8	-1637	-25632	-211438	-38207	-38207	1	Si
90	0.147	25.13	0	2220	SLD 5	2220	25632	211438	38207	38207	1	Si
90	0.147	25.13	0	-1618	SLD 12	-1618	-25632	-211438	-38207	-38207	1	Si
180	0.175	25.13	0	-3143	SLD 5	-3143	-25632	-211438	-45485	-45485	1	Si

Verifiche delle tensioni in esercizio

x	Rara							Quasi permanente							Verifica
	Mela	Comb.	Mdes	σ c	σ c lim.	σ f.	σ f lim.	Mela	Comb.	Mdes	σ c	σ c lim.	σ FRP	σ FRP lim.	
0	-9879	4	-9670	0.1	149.4	5.7	3600	-8983	2	-8983	0.1	112.1	0	+∞	Si
30	23648	8	111243	1.5	149.4	65.3	3600	22134	4	100958	1.3	112.1	0	+∞	Si
90	128254	8	176146	2.4	149.4	103.4	3600	115497	4	158163	2.1	112.1	0	+∞	Si
180	58501	8	113556	1.5	149.4	66.7	3600	48770	4	99811	1.3	112.1	0	+∞	Si

Verifica di apertura delle fessure

La campata non presenta apertura delle fessure

Verifica di deformabilità

x	Rara				Frequente				Quasi permanente						Verifica
	Elastica+	Elastica-	Fess.+	Fess.-	Elastica+	Elastica-	Fess.+	Fess.-	Elastica+	Elastica-	Fess. viscosa+	Comb.	Fess. viscosa-	Comb.	l/f
30	0	0	0	0	0	0	0	0	0	0	0	4	0	4	9999
90	0	0	0	0	0	0	0	0	0	0	0.001	4	0.001	4	9999
96	0.001	0	0	0	0	0	0	0	0	0	0.001	4	0.001	4	9999

Campata 3 tra i fili Palo47 - Pil.A4, sezione R 90x80, aste 2274, 2273

Verifiche a flessione in famiglia SLU

x	A sup.	C.b. sup.	A inf.	C.b. inf.	M+ela	Comb.	M+des	M+ult	x/d	M-ela	Comb.	M-des	M-ult	x/d	Verifica
0	25.13	6	25.13	6	28053	SLV 16	95859	6915255	0.095						Si
36	25.13	6	25.13	6	272368	SLV 16	316439	6915255	0.095						Si
43	25.13	6	25.13	6	284097	SLV 16	318883	6915255	0.095						Si
72	25.13	6	25.13	6	318883	SLV 16	318883	6915255	0.095						Si

Verifiche a flessione in famiglia SLV (domini sostanzialmente elastici)

La struttura oppure parte di essa, è stata dichiarata come non dissipativa pertanto la verifica a pressoflessione, per tutte o solo alcune sezioni, viene eseguita calcolando i momenti resistenti in campo sostanzialmente elastico secondo D.M. 17-01-2018 §7.4.1

Le dilatazioni ultime utilizzate sono le seguenti: $\epsilon_{c2} = 0.002$, $\epsilon_{yd} = 0.0019$

x	A sup.	C.b. sup.	A inf.	C.b. inf.	M+ela	Comb.	M+des	M+ult	x/d	M-ela	Comb.	M-des	M-ult	x/d	Verifica
0	25.13	6	25.13	6	482053	SLV 5	556707	6635554	0.225	-445412	SLV 12	-445412	-6635554	0.225	Si
36	25.13	6	25.13	6	791911	SLV 9	840678	6635554	0.225	-402354	SLV 8	-442239	-6635554	0.225	Si
53	25.13	6	25.13	6	818427	SLV 9	843959	6635554	0.225	-390474	SLV 8	-427498	-6635554	0.225	Si
72	25.13	6	25.13	6	843959	SLV 9	843959	6635554	0.225	-384564	SLV 8	-400024	-6635554	0.225	Si

Verifiche SLD Resistenza a flessione (domini sostanzialmente elastici)

La struttura oppure parte di essa, è stata dichiarata come non dissipativa pertanto la verifica a pressoflessione, per tutte o solo alcune sezioni, viene eseguita calcolando i momenti resistenti in campo sostanzialmente elastico secondo D.M. 17-01-2018 §7.4.1

Le dilatazioni ultime utilizzate sono le seguenti: $\epsilon_{c2} = 0.002$, $\epsilon_{yd} = 0.0019$

x	A sup.	C.b. sup.	A inf.	C.b. inf.	M+ela	Comb.	M+des	M+ult	x/d	M-ela	Comb.	M-des	M-ult	x/d	Verifica
0	25.13	6	25.13	6	266410	SLD 5	329427	6635554	0.225	-229802	SLD 12	-229802	-6635554	0.225	Si
36	25.13	6	25.13	6	512641	SLD 9	552716	6635554	0.225	-123084	SLD 8	-225975	-6635554	0.225	Si
53	25.13	6	25.13	6	535068	SLD 9	555193	6635554	0.225	-107115	SLD 8	-206112	-6635554	0.225	Si
72	25.13	6	25.13	6	555193	SLD 9	555193	6635554	0.225	-95798	SLD 8	-120139	-6635554	0.225	Si

Verifiche a taglio in famiglia SLU

x	A st	A sl	A sag	Vela	Comb.	Vdes	Vrd	Vrcd	Vrsd	Vult	cotgθ	Verifica
0	0.175	25.13	0	2426	SLV 16	2426	25632	211438	45485	45485	1	Si
36	0.175	25.13	0	1725	SLV 15	1725	25632	211438	45485	45485	1	Si
72	0.251	25.13	0	883	SLV 15	883	25632	211438	65498	65498	1	Si

Verifiche a taglio in famiglia SLV

x	A st	A sl	A sag	Vela	Comb.	Vdes	Vrd	Vrcd	Vrsd	Vult	cotgθ	Verifica
0	0.175	25.13	0	4822	SLV 10	4822	25632	211438	45485	45485	1	Si
0	0.175	25.13	0	-1291	SLV 7	-1291	-25632	-211438	-45485	-45485	1	Si
36	0.175	25.13	0	4173	SLV 10	4173	25632	211438	45485	45485	1	Si
36	0.175	25.13	0	-1585	SLV 7	-1585	-25632	-211438	-45485	-45485	1	Si
72	0.251	25.13	0	3525	SLV 10	3525	25632	211438	65498	65498	1	Si

RELAZIONE GEOTECNICA E SULLE FONDAZIONI

x	A st	A sl	A sag	Vela	Comb.	Vdes	Vrd	Vrcd	Vrsd	Vult	cotgθ	Verifica
72	0.251	25.13	0	-2233	SLV 7	-2233	-25632	-211438	-65498	-65498	1	Si

Verifiche SLD Resistenza a taglio

x	A st	A sl	A sag	Vela	Comb.	Vdes	Vrd	Vrcd	Vrsd	Vult	cotgθ	Verifica
0	0.175	25.13	0	3368	SLD 10	3368	25632	211438	45485	45485	1	Si
36	0.175	25.13	0	2777	SLD 10	2777	25632	211438	45485	45485	1	Si
36	0.175	25.13	0	-189	SLD 7	-189	-25632	-211438	-45485	-45485	1	Si
72	0.251	25.13	0	2129	SLD 10	2129	25632	211438	65498	65498	1	Si
72	0.251	25.13	0	-837	SLD 7	-837	-25632	-211438	-65498	-65498	1	Si

Verifiche delle tensioni in esercizio

x	Rara							Quasi permanente							Verifica
	Mela	Comb.	Mdes	σ c	σ c lim.	σ f.	σ f lim.	Mela	Comb.	Mdes	σ c	σ c lim.	σ FRP	σ FRP lim.	
0	20506	8	71622	1	149.4	42	3600	18304	4	67104	0.9	112.1	0	+∞	Si
36	204789	8	238327	3.2	149.4	139.9	3600	194778	4	227882	3	112.1	0	+∞	Si
72	240178	8	240178	3.2	149.4	141	3600	229697	4	229697	3.1	112.1	0	+∞	Si

Verifica di apertura delle fessure

La campata non presenta apertura delle fessure

Verifica di deformabilità

x	Rara				Frequente				Quasi permanente						Verifica
	Elastica+	Elastica-	Fess.+	Fess.-	Elastica+	Elastica-	Fess.+	Fess.-	Elastica+	Elastica-	Fess. viscosa+	Comb.	Fess. viscosa-	Comb.	I/f
36	0	0	0	0	0	0	0	0	0	0	0	4	0	4	9999
55	0	0	0	0	0	0	0	0	0	0	0	4	0	4	9999
72	0	0	0	0	0	0	0	0	0	0	0	4	0	4	9999

Campata 4 tra i fili Pil.A4 - Pil.A4, sezione R 90x80, asta 2272

Verifiche a flessione in famiglia SLU

x	A sup.	C.b. sup.	A inf.	C.b. inf.	M+ela	Comb.	M+des	M+ult	x/d	M-ela	Comb.	M-des	M-ult	x/d	Verifica
0	25.13	6	25.13	6	484548	SLU 16	534124	6915255	0.095						Si
1	25.13	6	25.13	6	486437	SLU 16	534124	6915255	0.095						Si
13	25.13	6	25.13	6	511164	SLU 16	534124	6915255	0.095						Si
25	25.13	6	25.13	6	534124	SLU 16	534124	6915255	0.095						Si

Verifiche a flessione in famiglia SLV (domini sostanzialmente elastici)

La struttura oppure parte di essa, è stata dichiarata come non dissipativa pertanto la verifica a pressoflessione, per tutte o solo alcune sezioni, viene eseguita calcolando i momenti resistenti in campo sostanzialmente elastico secondo D.M. 17-01-2018 §7.4.1

Le dilatazioni ultime utilizzate sono le seguenti: $\epsilon_{c2} = 0.002$, $\epsilon_{yd} = 0.0019$

x	A sup.	C.b. sup.	A inf.	C.b. inf.	M+ela	Comb.	M+des	M+ult	x/d	M-ela	Comb.	M-des	M-ult	x/d	Verifica
0	25.13	6	25.13	6	1270678	SLV 10	1408927	6635554	0.225	-565965	SLV 7	-631044	-6635554	0.225	Si
3	25.13	6	25.13	6	1284891	SLV 10	1408927	6635554	0.225	-571848	SLV 7	-631044	-6635554	0.225	Si
13	25.13	6	25.13	6	1340890	SLV 10	1408927	6635554	0.225	-596779	SLV 7	-631044	-6635554	0.225	Si
25	25.13	6	25.13	6	1408927	SLV 10	1408927	6635554	0.225	-631044	SLV 7	-631044	-6635554	0.225	Si

Verifiche SLD Resistenza a flessione (domini sostanzialmente elastici)

La struttura oppure parte di essa, è stata dichiarata come non dissipativa pertanto la verifica a pressoflessione, per tutte o solo alcune sezioni, viene eseguita calcolando i momenti resistenti in campo sostanzialmente elastico secondo D.M. 17-01-2018 §7.4.1

Le dilatazioni ultime utilizzate sono le seguenti: $\epsilon_{c2} = 0.002$, $\epsilon_{yd} = 0.0019$

x	A sup.	C.b. sup.	A inf.	C.b. inf.	M+ela	Comb.	M+des	M+ult	x/d	M-ela	Comb.	M-des	M-ult	x/d	Verifica
0	25.13	6	25.13	6	834708	SLD 10	923428	6635554	0.225	-129995	SLD 7	-145545	-6635554	0.225	Si
7	25.13	6	25.13	6	859337	SLD 10	923428	6635554	0.225	-132912	SLD 7	-145545	-6635554	0.225	Si
13	25.13	6	25.13	6	880311	SLD 10	923428	6635554	0.225	-136200	SLD 7	-145545	-6635554	0.225	Si
25	25.13	6	25.13	6	923428	SLD 10	923428	6635554	0.225	-145545	SLD 7	-145545	-6635554	0.225	Si

Verifiche a taglio in famiglia SLU

x	A st	A sl	A sag	Vela	Comb.	Vdes	Vrd	Vrcd	Vrsd	Vult	cotgθ	Verifica
0	0.251	25.13	0	2287	SLU 15	2287	25632	211438	65498	65498	1	Si
13	0.251	25.13	0	1995	SLU 15	1995	25632	211438	65498	65498	1	Si
25	0.251	25.13	0	1702	SLU 15	1702	25632	211438	65498	65498	1	Si

Verifiche a taglio in famiglia SLV

x	A st	A sl	A sag	Vela	Comb.	Vdes	Vrd	Vrcd	Vrsd	Vult	cotgθ	Verifica
0	0.251	25.13	0	6374	SLV 10	6374	25632	211438	65498	65498	1	Si
0	0.251	25.13	0	-2997	SLV 7	-2997	-25632	-211438	-65498	-65498	1	Si
13	0.251	25.13	0	6149	SLV 10	6149	25632	211438	65498	65498	1	Si
13	0.251	25.13	0	-3222	SLV 7	-3222	-25632	-211438	-65498	-65498	1	Si
25	0.251	25.13	0	5924	SLV 10	5924	25632	211438	65498	65498	1	Si
25	0.251	25.13	0	-3447	SLV 7	-3447	-25632	-211438	-65498	-65498	1	Si

Verifiche SLD Resistenza a taglio

x	A st	A sl	A sag	Vela	Comb.	Vdes	Vrd	Vrcd	Vrsd	Vult	cotgθ	Verifica
0	0.251	25.13	0	4103	SLD 10	4103	25632	211438	65498	65498	1	Si
0	0.251	25.13	0	-726	SLD 7	-726	-25632	-211438	-65498	-65498	1	Si
13	0.251	25.13	0	3878	SLD 10	3878	25632	211438	65498	65498	1	Si
13	0.251	25.13	0	-951	SLD 7	-951	-25632	-211438	-65498	-65498	1	Si
25	0.251	25.13	0	3653	SLD 10	3653	25632	211438	65498	65498	1	Si
25	0.251	25.13	0	-1176	SLD 7	-1176	-25632	-211438	-65498	-65498	1	Si

Verifiche delle tensioni in esercizio

x	Rara							Quasi permanente							Verifica
	Mela	Comb.	Mdes	σ c	σ c lim.	σ f.	σ f lim.	Mela	Comb.	Mdes	σ c	σ c lim.	σ FRP	σ FRP lim.	
0	365740	8	403276	5.4	149.4	236.7	3600	352357	4	388942	5.2	112.1	0	+∞	Si
13	385915	8	403276	5.4	149.4	236.7	3600	372055	4	388942	5.2	112.1	0	+∞	Si
25	403276	8	403276	5.4	149.4	236.7	3600	388942	4	388942	5.2	112.1	0	+∞	Si

Verifica di apertura delle fessure

La campata non presenta apertura delle fessure

Verifica di deformabilità

x	Rara				Frequente				Quasi permanente						Verifica
	Elastica+	Elastica-	Fess.+	Fess.-	Elastica+	Elastica-	Fess.+	Fess.-	Elastica+	Elastica-	Fess. viscosa+	Comb.	Fess. viscosa-	Comb.	I/f
0	0	0	0	0	0	0	0	0	0	0	0	4	0	4	9999
13	0	0	0	0	0	0	0	0	0	0	0	4	0	4	9999

Campata 5 tra i fili Pil.A4 - Palo41, sezione R 90x80, aste 2271, 2270

Verifiche a flessione in famiglia SLU

x	A sup.	C.b. sup.	A inf.	C.b. inf.	M+ela	Comb.	M+des	M+ult	x/d	M-ela	Comb.	M-des	M-ult	x/d	Verifica
0	25.13	6	25.13	6	583858	SLU 16	583858	6915255	0.095						Si
42	25.13	6	25.13	6	372614	SLU 16	545310	6915255	0.095						Si
53	25.13	6	25.13	6	116417	SLU 16	488595	6915255	0.095						Si
83	25.13	6	25.13	6	27233	SLU 14	27233	6915255	0.095						Si

Verifiche a flessione in famiglia SLV (domini sostanzialmente elastici)

La struttura oppure parte di essa, è stata dichiarata come non dissipativa pertanto la verifica a pressoflessione, per tutte o solo alcune sezioni, viene eseguita calcolando i momenti resistenti in campo sostanzialmente elastico secondo D.M. 17-01-2018 §7.4.1

Le dilatazioni ultime utilizzate sono le seguenti: $\epsilon_{c2}=0.002$, $\epsilon_{yd}=0.0019$

x	A sup.	C.b. sup.	A inf.	C.b. inf.	M+ela	Comb.	M+des	M+ult	x/d	M-ela	Comb.	M-des	M-ult	x/d	Verifica
0	25.13	6	25.13	6	1467754	SLV 13	1467754	6635554	0.225	-616915	SLV 4	-616915	-6635554	0.225	Si
25	25.13	6	25.13	6	1086278	SLV 13	1467754	6635554	0.225	-413209	SLV 4	-616915	-6635554	0.225	Si
42	25.13	6	25.13	6	826494	SLV 13	1343269	6635554	0.225	-284339	SLV 4	-548513	-6635554	0.225	Si
53	25.13	6	25.13	6	251006	SLV 10	1166780	6635554	0.225	-82089	SLV 7	-454759	-6635554	0.225	Si
83	25.13	6	25.13	6	200587	SLV 10	200587	6635554	0.225	-162111	SLV 7	-101929	-6635554	0.225	Si

Verifiche SLD Resistenza a flessione (domini sostanzialmente elastici)

La struttura oppure parte di essa, è stata dichiarata come non dissipativa pertanto la verifica a pressoflessione, per tutte o solo alcune sezioni, viene eseguita calcolando i momenti resistenti in campo sostanzialmente elastico secondo D.M. 17-01-2018 §7.4.1

Le dilatazioni ultime utilizzate sono le seguenti: $\epsilon_{c2}=0.002$, $\epsilon_{yd}=0.0019$

x	A sup.	C.b. sup.	A inf.	C.b. inf.	M+ela	Comb.	M+des	M+ult	x/d	M-ela	Comb.	M-des	M-ult	x/d	Verifica
0	25.13	6	25.13	6	957352	SLD 13	957352	6635554	0.225	-106514	SLD 4	-106514	-6635554	0.225	Si
25	25.13	6	25.13	6	719253	SLD 13	957352	6635554	0.225	-46185	SLD 4	-106514	-6635554	0.225	Si
42	25.13	6	25.13	6	554697	SLD 13	880126	6635554	0.225	-12543	SLD 4	-85371	-6635554	0.225	Si
53	25.13	6	25.13	6	172467	SLD 10	769851	6635554	0.225	-3550	SLD 7	-57830	-6635554	0.225	Si
83	25.13	6	25.13	6	115750	SLD 10	115750	6635554	0.225	-77275	SLD 7	-28011	-6635554	0.225	Si

Verifiche a taglio in famiglia SLU

x	A st	A sl	A sag	Vela	Comb.	Vdes	Vrd	Vrcd	Vrsd	Vult	cotgθ	Verifica
0	0.251	25.13	0	-4605	SLV 16	-4605	-25632	-211438	-65498	-65498	1	Si
42	0.178	25.13	0	-5576	SLU 16	-5576	-25632	-211438	-46343	-46343	1	Si
53	0.178	25.13	0	-2660	SLU 16	-2660	-25632	-211438	-46343	-46343	1	Si
83	0	25.13	0	-3362	SLU 16	-3362	-25632	-211438	0	-25632	1	Si

Verifiche a taglio in famiglia SLV

x	A st	A sl	A sag	Vela	Comb.	Vdes	Vrd	Vrcd	Vrsd	Vult	cotgθ	Verifica
0	0.251	25.13	0	8458	SLV 4	8458	25632	211438	65498	65498	1	Si
0	0.251	25.13	0	-15149	SLV 13	-15149	-25632	-211438	-65498	-65498	1	Si
42	0.178	25.13	0	7711	SLV 4	7711	25632	211438	46343	46343	1	Si
42	0.178	25.13	0	-15896	SLV 13	-15896	-25632	-211438	-46343	-46343	1	Si
53	0.178	25.13	0	1247	SLV 4	1247	25632	211438	46343	46343	1	Si
53	0.178	25.13	0	-5056	SLV 13	-5056	-25632	-211438	-46343	-46343	1	Si
83	0	25.13	0	707	SLV 4	707	25632	211438	0	25632	1	Si
83	0	25.13	0	-5596	SLV 13	-5596	-25632	-211438	0	-25632	1	Si

Verifiche SLD Resistenza a taglio

x	A st	A sl	A sag	Vela	Comb.	Vdes	Vrd	Vrcd	Vrsd	Vult	cotgθ	Verifica
0	0.251	25.13	0	2674	SLD 4	2674	25632	211438	65498	65498	1	Si
0	0.251	25.13	0	-9365	SLD 13	-9365	-25632	-211438	-65498	-65498	1	Si
42	0.178	25.13	0	1927	SLD 4	1927	25632	211438	46343	46343	1	Si
42	0.178	25.13	0	-10112	SLD 13	-10112	-25632	-211438	-46343	-46343	1	Si
53	0.178	25.13	0	-3516	SLD 13	-3516	-25632	-211438	-46343	-46343	1	Si
83	0	25.13	0	-4056	SLD 13	-4056	-25632	-211438	0	-25632	1	Si

Verifiche delle tensioni in esercizio

x	Rara							Quasi permanente							Verifica
	Mela	Comb.	Mdes	σ_c	$\sigma_{c\ lim.}$	σ_f	$\sigma_{f\ lim.}$	Mela	Comb.	Mdes	σ_c	$\sigma_{c\ lim.}$	σ_{FRP}	$\sigma_{FRP\ lim.}$	
0	440894	8	440894	5.9	149.4	258.8	3600	425419	4	425419	5.7	112.1	0	$+\infty$	Si
42	281075	8	411770	5.5	149.4	241.7	3600	271077	4	397378	5.3	112.1	0	$+\infty$	Si
53	87268	8	368885	4.9	149.4	216.5	3600	84459	4	356011	4.8	112.1	0	$+\infty$	Si
83	19838	6	19838	0.3	149.4	11.6	3600	19306	3	19306	0.3	112.1	0	$+\infty$	Si

Verifica di apertura delle fessure

La campata non presenta apertura delle fessure

Verifica di deformabilità

x	Rara				Frequente				Quasi permanente							Verifica
	Elastica+	Elastica-	Fess.+	Fess.-	Elastica+	Elastica-	Fess.+	Fess.-	Elastica+	Elastica-	Fess. viscosa+	Comb.	Fess. viscosa-	Comb.	I/f	
33	0	0	0	0	0	0	0	0	0	0	0	4	0	4	9999	Si
42	0	0	0	0	0	0	0	0	0	0	0	4	0	4	9999	Si
53	0	0	0	0	0	0	0	0	0	0	0	4	0	4	9999	Si

Campata 6 tra i fili Palo41 - Palo33, sezione R 90x80, aste 2269, 2267

Verifiche a flessione in famiglia SLU

x	A sup.	C.b. sup.	A inf.	C.b. inf.	M+ela	Comb.	M+des	M+ult	x/d	M-ela	Comb.	M-des	M-ult	x/d	Verifica
0	25.13	6	25.13	6						-28412	SLU 12	-9697	-6915255	0.095	Si
30	25.13	6	25.13	6	42154	SLU 15	254572	6915255	0.095						Si
90	25.13	6	25.13	6	296398	SLU 16	674953	6915255	0.095						Si
150	25.13	6	25.13	6	850457	SLU 16	850457	6915255	0.095						Si
180	25.13	6	25.13	6	1036390	SLU 16	978360	6915255	0.095						Si

Verifiche a flessione in famiglia SLV (domini sostanzialmente elastici)

La struttura oppure parte di essa, è stata dichiarata come non dissipativa pertanto la verifica a pressoflessione, per tutte o solo alcune sezioni, viene eseguita calcolando i momenti resistenti in campo sostanzialmente elastico secondo D.M. 17-01-2018 §7.4.1

Le dilatazioni ultime utilizzate sono le seguenti: $\epsilon_{c2}=0.002$, $\epsilon_{yd}=0.0019$

x	A sup.	C.b. sup.	A inf.	C.b. inf.	M+ela	Comb.	M+des	M+ult	x/d	M-ela	Comb.	M-des	M-ult	x/d	Verifica
0	25.13	6	25.13	6	410657	SLV 8	410657	6635554	0.225	-434475	SLV 9	-418726	-6635554	0.225	Si
30	25.13	6	25.13	6	436678	SLV 8	625744	6635554	0.225	-378110	SLV 9	-378110	-6635554	0.225	Si
90	25.13	6	25.13	6	742251	SLV 6	1847579	6635554	0.225	-333593	SLV 11	-909619	-6635554	0.225	Si
150	25.13	6	25.13	6	2351137	SLV 10	2351137	6635554	0.225	-1166838	SLV 7	-1166838	-6635554	0.225	Si
180	25.13	6	25.13	6	2910506	SLV 10	2729108	6635554	0.225	-1466747	SLV 7	-1365762	-6635554	0.225	Si

Verifiche SLD Resistenza a flessione (domini sostanzialmente elastici)

La struttura oppure parte di essa, è stata dichiarata come non dissipativa pertanto la verifica a pressoflessione, per tutte o solo alcune sezioni, viene

eseguita calcolando i momenti resistenti in campo sostanzialmente elastico secondo D.M. 17-01-2018 §7.4.1

Le dilatazioni ultime utilizzate sono le seguenti: $\epsilon_{c2} = 0.002$, $\epsilon_{yd} = 0.0019$

x	A sup.	C.b. sup.	A inf.	C.b. inf.	M+ela	Comb.	M+des	M+ult	x/d	M-ela	Comb.	M-des	M-ult	x/d	Verifica
0	25.13	6	25.13	6	211018	SLD 8	211018	6635554	0.225	-234836	SLD 9	-218583	-6635554	0.225	Si
30	25.13	6	25.13	6	244335	SLD 8	414221	6635554	0.225	-185766	SLD 9	-185766	-6635554	0.225	Si
90	25.13	6	25.13	6	489871	SLD 6	1199403	6635554	0.225	-81213	SLD 11	-261443	-6635554	0.225	Si
150	25.13	6	25.13	6	1523611	SLD 10	1523611	6635554	0.225	-339312	SLD 7	-339312	-6635554	0.225	Si
180	25.13	6	25.13	6	1880366	SLD 10	1765522	6635554	0.225	-436608	SLD 7	-402175	-6635554	0.225	Si

Verifiche a taglio in famiglia SLU

x	A st	A sl	A sag	Vela	Comb.	Vdes	Vrd	Vrcd	Vrsd	Vult	cotgθ	Verifica
0	0	25.13	0	2911	SLU 16	2911	25632	211438	0	25632	1	Si
30	0.157	25.13	0	2385	SLU 16	2385	25632	211438	40936	40936	1	Si
90	0.157	25.13	0	1852	SLU 16	1852	25632	211438	40936	40936	1	Si
150	0.157	25.13	0	8527	SLU 16	8527	25632	211438	40936	40936	1	Si
156	0	25.13	0	8422	SLU 16	8422	25632	211438	0	25632	1	Si
180	0	25.13	0	8000	SLU 16	8000	25632	211438	0	25632	1	Si

Verifiche a taglio in famiglia SLV

x	A st	A sl	A sag	Vela	Comb.	Vdes	Vrd	Vrcd	Vrsd	Vult	cotgθ	Verifica
0	0	25.13	0	5847	SLV 10	5847	25632	211438	0	25632	1	Si
0	0	25.13	0	-1780	SLV 7	-1780	-25632	-211438	0	-25632	1	Si
30	0.157	25.13	0	5442	SLV 10	5442	25632	211438	40936	40936	1	Si
30	0.157	25.13	0	-2185	SLV 7	-2185	-25632	-211438	-40936	-40936	1	Si
90	0.157	25.13	0	6907	SLV 10	6907	25632	211438	40936	40936	1	Si
90	0.157	25.13	0	-4339	SLV 7	-4339	-25632	-211438	-40936	-40936	1	Si
150	0.157	25.13	0	25198	SLV 10	25198	25632	211438	40936	40936	1	Si
150	0.157	25.13	0	-13262	SLV 7	-13262	-25632	-211438	-40936	-40936	1	Si
156	0	25.13	0	25117	SLV 10	25117	25632	211438	0	25632	1	Si
156	0	25.13	0	-13343	SLV 7	-13343	-25632	-211438	0	-25632	1	Si
180	0	25.13	0	24793	SLV 10	24793	25632	211438	0	25632	1	Si
180	0	25.13	0	-13667	SLV 7	-13667	-25632	-211438	0	-25632	1	Si

Verifiche SLD Resistenza a taglio

x	A st	A sl	A sag	Vela	Comb.	Vdes	Vrd	Vrcd	Vrsd	Vult	cotgθ	Verifica
0	0	25.13	0	4054	SLD 10	4054	25632	211438	0	25632	1	Si
30	0.157	25.13	0	3649	SLD 10	3649	25632	211438	40936	40936	1	Si
30	0.157	25.13	0	-392	SLD 7	-392	-25632	-211438	-40936	-40936	1	Si
90	0.157	25.13	0	4255	SLD 10	4255	25632	211438	40936	40936	1	Si
90	0.157	25.13	0	-1687	SLD 7	-1687	-25632	-211438	-40936	-40936	1	Si
150	0.157	25.13	0	16127	SLD 10	16127	25632	211438	40936	40936	1	Si
150	0.157	25.13	0	-4191	SLD 7	-4191	-25632	-211438	-40936	-40936	1	Si
156	0	25.13	0	16046	SLD 10	16046	25632	211438	0	25632	1	Si
156	0	25.13	0	-4272	SLD 7	-4272	-25632	-211438	0	-25632	1	Si
180	0	25.13	0	15722	SLD 10	15722	25632	211438	0	25632	1	Si
180	0	25.13	0	-4596	SLD 7	-4596	-25632	-211438	0	-25632	1	Si

Verifiche delle tensioni in esercizio

x	Rara								Quasi permanente						Verifica
	Mela	Comb.	Mdes	σ c	σ c lim.	σ f.	σ f lim.	Mela	Comb.	Mdes	σ c	σ c lim.	σ FRP	σ FRP lim.	
0	-21253	4	-6129	0.1	149.4	3.6	3600	-18511	2	-5569	0.1	112.1	0	+∞	Si
30	30504	7	188305	2.5	149.4	110.5	3600	29284	4	174966	2.3	112.1	0	+∞	Si
90	219589	8	502578	6.7	149.4	295	3600	204329	4	468980	6.3	112.1	0	+∞	Si
150	633876	8	633876	8.5	149.4	372.1	3600	592149	4	592149	7.9	112.1	0	+∞	Si
180	772740	8	729489	9.7	149.4	428.2	3600	721879	4	681673	9.1	112.1	0	+∞	Si

Verifica di apertura delle fessure

La campata non presenta apertura delle fessure

Verifica di deformabilità

x	Rara				Frequente				Quasi permanente						Verifica
	Elastica+	Elastica-	Fess.+	Fess.-	Elastica+	Elastica-	Fess.+	Fess.-	Elastica+	Elastica-	Fess. viscosa+	Comb.	Fess. viscosa-	Comb.	I/f
30	0	0	0	0	0	0	0	0	0	0	0.001	4	0.001	4	9999
90	0	0	0.001	0.001	0	0	0.001	0.001	0	0	0.002	4	0.002	4	9999
114	0	0	0.001	0.001	0	0	0.001	0.001	0	0	0.002	4	0.002	4	9999
150	0	0	0.001	0.001	0	0	0.001	0.001	0	0	0.002	4	0.001	4	9999

Campata 7 tra i fili Palo33 - Palo27, sezione R 90x80, aste 2394, 2393, 2392, 2391, 2390, 2389

Verifiche a flessione in famiglia SLU

x	A sup.	C.b. sup.	A inf.	C.b. inf.	M+ela	Comb.	M+des	M+ult	x/d	M-ela	Comb.	M-des	M-ult	x/d	Verifica
0	25.13	6	25.13	6	593087	SLV 8	593087	6635554	0.225	-517263	SLU 16	-324011	-6915255	0.095	Si
30	25.13	6	25.13	6	-132578	SLU 6	4091	6915255	0.095	-210984	SLU 12	-210984	-6915255	0.095	Si
90	25.13	6	25.13	6	-61549	SLU 1	32906	6915255	0.095	-160153	SLU 16	-311744	-6915255	0.095	Si
120	25.13	6	25.13	6	-135310	SLU 1	17111	6915255	0.095	-307561	SLU 16	-401257	-6915255	0.095	Si
150	35.93	6	42.49	6						-401257	SLU 16	-401257	-9789346	0.102	Si
180	43.18	6	53.41	6						-529745	SLU 16	-410063	-11717044	0.106	Si

Verifiche a flessione in famiglia SLV (domini sostanzialmente elastici)

La struttura oppure parte di essa, è stata dichiarata come non dissipativa pertanto la verifica a pressoflessione, per tutte o solo alcune sezioni, viene

eseguita calcolando i momenti resistenti in campo sostanzialmente elastico secondo D.M. 17-01-2018 §7.4.1

Le dilatazioni ultime utilizzate sono le seguenti: $\epsilon_{c2} = 0.002$, $\epsilon_{yd} = 0.0019$

x	A sup.	C.b. sup.	A inf.	C.b. inf.	M+ela	Comb.	M+des	M+ult	x/d	M-ela	Comb.	M-des	M-ult	x/d	Verifica
0	25.13	6	25.13	6	593087	SLV 8	593087	6635554	0.225	-1351001	SLV 9	-1304861	-6635554	0.225	Si
30	25.13	6	25.13	6	1106281	SLV 8	1996351	6635554	0.225	-1390239	SLV 9	-2023463	-6635554	0.225	Si
90	25.13	6	25.13	6	2346137	SLV 8	2368271	6635554	0.225	-2508327	SLV 9	-2705306	-6635554	0.225	Si
96	25.13	6	25.13	6	2354511	SLV 8	2368271	6635554	0.225	-2533220	SLV 9	-2705306	-6635554	0.225	Si
150	35.93	6	42.49	6	1911653	SLV 8	2349603	11012375	0.281	-2405769	SLV 9	-2700326	-9409409	0.253	Si
180	43.18	6	53.41	6	1342646	SLV 8	1342646	13734447	0.307	-2043905	SLV 9	-2043905	-11265990	0.268	Si

Verifiche SLD Resistenza a flessione (domini sostanzialmente elastici)

La struttura oppure parte di essa, è stata dichiarata come non dissipativa pertanto la verifica a pressoflessione, per tutte o solo alcune sezioni, viene

eseguita calcolando i momenti resistenti in campo sostanzialmente elastico secondo D.M. 17-01-2018 §7.4.1

Le dilatazioni ultime utilizzate sono le seguenti: $\epsilon_{c2} = 0.002$, $\epsilon_{yd} = 0.0019$

x	A sup.	C.b. sup.	A inf.	C.b. inf.	M+ela	Comb.	M+des	M+ult	x/d	M-ela	Comb.	M-des	M-ult	x/d	Verifica
0	25.13	6	25.13	6	136630	SLD 8	136630	6635554	0.225	-894544	SLD 9	-805210	-6635554	0.225	Si
30	25.13	6	25.13	6	524358	SLD 8	1060653	6635554	0.225	-808316	SLD 9	-1087765	-6635554	0.225	Si
90	25.13	6	25.13	6	1215727	SLD 8	1216319	6635554	0.225	-1377917	SLD 9	-1525424	-6635554	0.225	Si
96	25.13	6	25.13	6	1216319	SLD 8	1216319	6635554	0.225	-1395028	SLD 9	-1525424	-6635554	0.225	Si

RELAZIONE GEOTECNICA E SULLE FONDAZIONI

x	A sup.	C.b. sup.	A inf.	C.b. inf.	M+ela	Comb.	M+des	M+ult	x/d	M-ela	Comb.	M-des	M-ult	x/d	Verifica
150	35.93	6	42.49	6	903568	SLD 8	1172903	11012375	0.281	-1397684	SLD 9	-1523627	-9409409	0.253	Si
180	43.18	6	53.41	6	544758	SLD 8	544758	13734447	0.307	-1246017	SLD 9	-1246017	-11265990	0.268	Si

Verifiche a taglio in famiglia SLU

x	A st	A sl	A sag	Vela	Comb.	Vdes	Vrd	Vrcd	Vrsd	Vult	cotgθ	Verifica
0	0	25.13	0	8935	SLU 16	8935	25632	211438	0	25632	1	Si
30	0.157	25.13	0	8057	SLU 16	8057	25632	211438	40936	40936	1	Si
90	0.157	25.13	0	-1617	SLU 16	-1617	-25632	-211438	-40936	-40936	1	Si
150	0.157	25.13	0	-694	SLU 14	-694	-25632	-211438	-40936	-40936	1	Si
180	0	25.13	0	-3481	SLU 14	-3481	-25632	-211438	0	-25632	1	Si

Verifiche a taglio in famiglia SLV

x	A st	A sl	A sag	Vela	Comb.	Vdes	Vrd	Vrcd	Vrsd	Vult	cotgθ	Verifica
0	0	25.13	0	18331	SLV 8	18331	25632	211438	0	25632	1	Si
0	0	25.13	0	-5017	SLV 9	-5017	-25632	-211438	0	-25632	1	Si
30	0.157	25.13	0	17656	SLV 8	17656	25632	211438	40936	40936	1	Si
30	0.157	25.13	0	-5692	SLV 9	-5692	-25632	-211438	-40936	-40936	1	Si
90	0.157	25.13	0	1342	SLV 8	1342	25632	211438	40936	40936	1	Si
90	0.157	25.13	0	-3410	SLV 9	-3410	-25632	-211438	-40936	-40936	1	Si
150	0.157	25.13	0	5220	SLV 5	5220	25632	211438	40936	40936	1	Si
150	0.157	25.13	0	-6185	SLV 12	-6185	-25632	-211438	-40936	-40936	1	Si
180	0	25.13	0	23341	SLV 5	23341	25632	211438	0	25632	1	Si
180	0	25.13	0	-28098	SLV 12	-28098	-25632	-211438	0	-25632	1	Si

Verifiche SLD Resistenza a taglio

x	A st	A sl	A sag	Vela	Comb.	Vdes	Vrd	Vrcd	Vrsd	Vult	cotgθ	Verifica
0	0	25.13	0	12846	SLD 8	12846	25632	211438	0	25632	1	Si
30	0.157	25.13	0	12171	SLD 8	12171	25632	211438	40936	40936	1	Si
30	0.157	25.13	0	-207	SLD 9	-207	-25632	-211438	-40936	-40936	1	Si
90	0.157	25.13	0	224	SLD 8	224	25632	211438	40936	40936	1	Si
90	0.157	25.13	0	-2292	SLD 9	-2292	-25632	-211438	-40936	-40936	1	Si
150	0.157	25.13	0	2562	SLD 5	2562	25632	211438	40936	40936	1	Si
150	0.157	25.13	0	-3527	SLD 12	-3527	-25632	-211438	-40936	-40936	1	Si
180	0	25.13	0	11313	SLD 5	11313	25632	211438	0	25632	1	Si
180	0	25.13	0	-16070	SLD 12	-16070	-25632	-211438	0	-25632	1	Si

Verifiche delle tensioni in esercizio

x	Rara							Quasi permanente							Verifica
	Mela	Comb.	Mdes	σ c	σ c lim.	σ f.	σ f lim.	Mela	Comb.	Mdes	σ c	σ c lim.	σ FRP	σ FRP lim.	
0	-393872	8	-246619	3.3	149.4	144.8	3600	-378957	4	-234699	3.1	112.1	0	+∞	Si
30	-160115	4	-160115	2.1	149.4	94	3600	-150191	2	-150191	2	112.1	0	+∞	Si
90	-114975	8	-226173	3	149.4	132.8	3600	-81095	4	-180651	2.4	112.1	0	+∞	Si
150	-292726	8	-292726	3.1	149.4	120.9	3600	-247058	4	-247058	2.6	112.1	0	+∞	Si
180	-389524	8	-299314	2.9	149.4	103.1	3600	-350630	4	-254297	2.4	112.1	0	+∞	Si

Verifica di apertura delle fessure

La campata non presenta apertura delle fessure

Verifica di deformabilità

x	Rara				Frequente				Quasi permanente						Verifica
	Elastica+	Elastica-	Fess.+	Fess.-	Elastica+	Elastica-	Fess.+	Fess.-	Elastica+	Elastica-	Fess. viscosa+	Comb.	Fess. viscosa-	Comb.	l/f
30	0	0	0	0	0	0	0	0	0	0	0	3	0	3	9999
90	0	-0.001	0	0	0	0	0	0	0	0	-0.001	1	-0.001	1	9999
114	0	-0.001	0	0	0	-0.001	0	0	0	-0.001	-0.001	1	-0.001	1	9999
150	0	-0.001	0	0	0	0	0	0	0	0	0	1	-0.001	1	9999

Campata 8 tra i fili Palo27 - Palo26, sezione R 90x80, asta 2331

Verifiche a flessione in famiglia SLU

x	A sup.	C.b. sup.	A inf.	C.b. inf.	M+ela	Comb.	M+des	M+ult	x/d	M-ela	Comb.	M-des	M-ult	x/d	Verifica
0	43.18	6	53.41	6	1106742	SLU 16	1032010	14424619	0.127						Si
30	50.27	6	53.41	6	790568	SLU 16	790568	14431409	0.12						Si
93	37.87	6	46.47	6	89470	SLU 12	463326	12585701	0.121	-8391	SLU 5	-379567	-10305941	0.103	Si
155	25.13	6	28.27	6						-745879	SLU 15	-745879	-6914755	0.094	Si
185	25.13	6	28.27	6						-1166049	SLU 16	-1049130	-6914755	0.094	Si

Verifiche a flessione in famiglia SLV (domini sostanzialmente elastici)

La struttura oppure parte di essa, è stata dichiarata come non dissipativa pertanto la verifica a pressoflessione, per tutte o solo alcune sezioni, viene eseguita calcolando i momenti resistenti in campo sostanzialmente elastico secondo D.M. 17-01-2018 §7.4.1

Le dilatazioni ultime utilizzate sono le seguenti: $\epsilon_{c2} = 0.002$, $\epsilon_{yd} = 0.0019$

x	A sup.	C.b. sup.	A inf.	C.b. inf.	M+ela	Comb.	M+des	M+ult	x/d	M-ela	Comb.	M-des	M-ult	x/d	Verifica
0	43.18	6	53.41	6	7039445	SLV 8	6780780	13734447	0.307	-5588058	SLV 9	-5429595	-11265990	0.268	Si
30	50.27	6	53.41	6	5960214	SLV 8	5960214	13783317	0.301	-4938438	SLV 9	-4938438	-13028093	0.289	Si
93	37.87	6	46.47	6	3674486	SLV 8	4897827	12003719	0.292	-3647797	SLV 9	-4324205	-9910655	0.256	Si
111	25.13	6	28.27	6	2991501	SLV 8	4219465	7429082	0.238	-3285376	SLV 9	-3945033	-6642484	0.222	Si
155	25.13	6	28.27	6	1981405	SLV 4	2624634	7429082	0.238	-3085490	SLV 13	-3109467	-6642484	0.222	Si
185	25.13	6	28.27	6	1581709	SLV 1	1156040	7429082	0.238	-3276594	SLV 16	-2845405	-6642484	0.222	Si

Verifiche SLD Resistenza a flessione (domini sostanzialmente elastici)

La struttura oppure parte di essa, è stata dichiarata come non dissipativa pertanto la verifica a pressoflessione, per tutte o solo alcune sezioni, viene eseguita calcolando i momenti resistenti in campo sostanzialmente elastico secondo D.M. 17-01-2018 §7.4.1

Le dilatazioni ultime utilizzate sono le seguenti: $\epsilon_{c2} = 0.002$, $\epsilon_{yd} = 0.0019$

x	A sup.	C.b. sup.	A inf.	C.b. inf.	M+ela	Comb.	M+des	M+ult	x/d	M-ela	Comb.	M-des	M-ult	x/d	Verifica
0	43.18	6	53.41	6	4093293	SLD 8	3930709	13734447	0.307	-2641906	SLD 9	-2579523	-11265990	0.268	Si
30	50.27	6	53.41	6	3414609	SLD 8	3414609	13783317	0.301	-2392834	SLD 9	-2392834	-13028093	0.289	Si
93	37.87	6	46.47	6	1956801	SLD 8	2740511	12003719	0.292	-1930111	SLD 9	-2166889	-9910655	0.256	Si
111	25.13	6	28.27	6	1515463	SLD 8	2306937	7429082	0.238	-1809338	SLD 9	-2032504	-6642484	0.222	Si
155	25.13	6	28.27	6	741229	SLD 4	1258783	7429082	0.238	-1845315	SLD 13	-1845315	-6642484	0.222	Si
185	25.13	6	28.27	6	386740	SLD 1	203650	7429082	0.238	-2081624	SLD 16	-1857967	-6642484	0.222	Si

Verifiche a taglio in famiglia SLU

x	A st	A sl	A sag	Vela	Comb.	Vdes	Vrd	Vrcd	Vrsd	Vult	cotgθ	Verifica
0	0	52.86	0	-15095	SLU 16	-15095	-32840	-211438	0	-32840	1	Si
30	0.226	42.22	0	-16096	SLU 16	-16096	-30470	-211438	-58948	-58948	1	Si
93	0.226	28.27	0	-18182	SLU 16	-18182	-26659	-211438	-58948	-58948	1	Si
155	0.226	25.13	0	-20268	SLU 16	-20268	-25632	-211438	-58948	-58948	1	Si
185	0	25.13	0	-21270	SLU 16	-21270	-25632	-211438	0	-25632	1	Si

Verifiche a taglio in famiglia SLV

x	A st	A sl	A sag	Vela	Comb.	Vdes	Vrd	Vrcd	Vrsd	Vult	cotgθ	Verifica
0	0	42.34	0	33514	SLV 9	33514	30499	211438	0	30499	1	Si
0	0	52.86	0	-53934	SLV 8	-53934	-32840	-211438	0	-32840	1	Si
30	0.226	34.89	0	32744	SLV 9	32744	28595	211438	58948	58948	1	Si
30	0.226	42.22	0	-54704	SLV 8	-54704	-30470	-211438	-58948	-58948	1	Si
93	0.226	25.13	0	31139	SLV 9	31139	25632	211438	58948	58948	1	Si
93	0.226	28.27	0	-56309	SLV 8	-56309	-26659	-211438	-58948	-58948	1	Si
155	0.226	25.13	0	29534	SLV 9	29534	25632	211438	58948	58948	1	Si
155	0.226	28.27	0	-57914	SLV 8	-57914	-26659	-211438	-58948	-58948	1	Si
185	0	25.13	0	28764	SLV 9	28764	25632	211438	0	25632	1	Si
185	0	25.13	0	-58684	SLV 8	-58684	-25632	-211438	0	-25632	1	Si

Verifiche SLD Resistenza a taglio

x	A st	A sl	A sag	Vela	Comb.	Vdes	Vrd	Vrcd	Vrsd	Vult	cotgθ	Verifica
0	0	42.34	0	13216	SLD 9	13216	30499	211438	0	30499	1	Si
0	0	52.86	0	-33636	SLD 8	-33636	-32840	-211438	0	-32840	1	Si
30	0.226	34.89	0	12446	SLD 9	12446	28595	211438	58948	58948	1	Si
30	0.226	42.22	0	-34407	SLD 8	-34407	-30470	-211438	-58948	-58948	1	Si
93	0.226	25.13	0	10841	SLD 9	10841	25632	211438	58948	58948	1	Si
93	0.226	28.27	0	-36011	SLD 8	-36011	-26659	-211438	-58948	-58948	1	Si
155	0.226	25.13	0	9237	SLD 9	9237	25632	211438	58948	58948	1	Si
155	0.226	28.27	0	-37616	SLD 8	-37616	-26659	-211438	-58948	-58948	1	Si
185	0	25.13	0	8466	SLD 9	8466	25632	211438	0	25632	1	Si
185	0	25.13	0	-38386	SLD 8	-38386	-25632	-211438	0	-25632	1	Si

Verifiche delle tensioni in esercizio

x	Rara							Quasi permanente							Verifica
	Mela	Comb.	Mdes	σ c	σ c lim.	σ f.	σ f lim.	Mela	Comb.	Mdes	σ c	σ c lim.	σ FRP	σ FRP lim.	
0	821945	8	766519	7.2	149.4	216	3600	725694	4	675593	6.4	112.1	0	++	Si
30	586660	8	586660	5.3	149.4	164.8	3600	510888	4	510888	4.6	112.1	0	++	Si
93	61546	4	342651	3.5	149.4	110.6	3600	28437	2	286811	2.9	112.1	0	++	Si
93	-845	5	-285599	2.9	149.4	112	3600	-845	3	-283965	2.9	112.1	0	++	Si
155	-562114	7	-562114	7.4	149.4	329.6	3600	-552043	4	-552043	7.2	112.1	0	++	Si
185	-877475	8	-789598	10.4	149.4	463	3600	-847442	4	-764890	10	112.1	0	++	Si

Verifica di apertura delle fessure

La campata non presenta apertura delle fessure

Verifica di deformabilità

x	Rara				Frequente				Quasi permanente						Verifica
	Elastica+	Elastica-	Fess.+	Fess.-	Elastica+	Elastica-	Fess.+	Fess.-	Elastica+	Elastica-	Fess. viscosa+	Comb.	Fess. viscosa-	Comb.	l/f
30	0	0	0	0	0	0	0	0	0	0	0.001	4	0	4	9999
93	0	0	0	0	0	0	0	0	0	0	0	2	0	2	9999
142	0	0	0	0	0	0	0	0	0	0	-0.001	2	-0.001	2	9999
155	0	0	0	0	0	0	0	0	0	0	-0.001	2	-0.001	2	9999

Campata 9 tra i fili Palo26 - Pil.A11, sezione R 90x80, asta 1608

Verifiche a flessione in famiglia SLU

x	A sup.	C.b. sup.	A inf.	C.b. inf.	M+ela	Comb.	M+des	M+ult	x/d	M-ela	Comb.	M-des	M-ult	x/d	Verifica
0	25.13	6	28.27	6						-1270418	SLU 16	-840506	-6914755	0.094	Si
30	25.13	6	28.27	6	-292810	SLU 4	445116	7752052	0.101	-444213	SLU 14	-444213	-6914755	0.094	Si
93	25.13	6	28.27	6	1170039	SLU 16	1944905	7752052	0.101						Si
140	25.13	6	28.27	6	2258796	SLU 16	2258796	7752052	0.101						Si
185	25.13	6	28.27	6	3187814	SLU 16	2748215	7752052	0.101						Si

Verifiche a flessione in famiglia SLV (domini sostanzialmente elastici)

La struttura oppure parte di essa, è stata dichiarata come non dissipativa pertanto la verifica a pressoflessione, per tutte o solo alcune sezioni, viene eseguita calcolando i momenti resistenti in campo sostanzialmente elastico secondo D.M. 17-01-2018 §7.4.1

Le dilatazioni ultime utilizzate sono le seguenti: $\epsilon_{c2} = 0.002$, $\epsilon_{yd} = 0.0019$

x	A sup.	C.b. sup.	A inf.	C.b. inf.	M+ela	Comb.	M+des	M+ult	x/d	M-ela	Comb.	M-des	M-ult	x/d	Verifica
0	25.13	6	28.27	6	2267517	SLV 4	2250388	7429082	0.238	-4093597	SLV 13	-3492514	-6642484	0.222	Si
30	25.13	6	28.27	6	2574014	SLV 7	3585536	7429082	0.238	-3238648	SLV 10	-3238648	-6642484	0.222	Si
93	25.13	6	28.27	6	4512740	SLV 7	5891174	7429082	0.238	-2976859	SLV 10	-3304524	-6642484	0.222	Si
140	25.13	6	28.27	6	6515671	SLV 11	6515671	7429082	0.238	-3506380	SLV 6	-3506380	-6642484	0.222	Si
185	25.13	6	28.27	6	8472109	SLV 11	7541299	7429082	0.238	-4224547	SLV 6	-3874550	-6642484	0.222	Si

Verifiche SLD Resistenza a flessione (domini sostanzialmente elastici)

La struttura oppure parte di essa, è stata dichiarata come non dissipativa pertanto la verifica a pressoflessione, per tutte o solo alcune sezioni, viene eseguita calcolando i momenti resistenti in campo sostanzialmente elastico secondo D.M. 17-01-2018 §7.4.1

Le dilatazioni ultime utilizzate sono le seguenti: $\epsilon_{c2} = 0.002$, $\epsilon_{yd} = 0.0019$

x	A sup.	C.b. sup.	A inf.	C.b. inf.	M+ela	Comb.	M+des	M+ult	x/d	M-ela	Comb.	M-des	M-ult	x/d	Verifica
0	25.13	6	28.27	6	713065	SLD 4	713065	7429082	0.238	-2539145	SLD 13	-2090920	-6642484	0.222	Si
30	25.13	6	28.27	6	1208928	SLD 7	2041694	7429082	0.238	-1873561	SLD 10	-1873561	-6642484	0.222	Si
93	25.13	6	28.27	6	2776145	SLD 7	3752865	7429082	0.238	-1240263	SLD 10	-1539879	-6642484	0.222	Si
140	25.13	6	28.27	6	4181657	SLD 11	4181657	7429082	0.238	-1172366	SLD 6	-1175059	-6642484	0.222	Si
185	25.13	6	28.27	6	5504521	SLD 11	4876286	7429082	0.238	-1256959	SLD 6	-1209537	-6642484	0.222	Si

Verifiche a taglio in famiglia SLU

x	A st	A sl	A sag	Vela	Comb.	Vdes	Vrd	Vrcd	Vrsd	Vult	cotgθ	Verifica
0	0	25.13	0	28668	SLU 16	28668	25632	211438	0	25632	1	Si
30	0.228	25.13	0	27186	SLU 16	27186	25632	211438	59544	59544	1	Si
93	0.228	28.27	0	24098	SLU 16	24098	26659	211438	59544	59544	1	Si
140	0.228	28.27	0	21752	SLU 16	21752	26659	211438	59544	59544	1	Si
185	0	28.27	0	19529	SLU 16	19529	26659	211438	0	26659	1	Si

Verifiche a taglio in famiglia SLV

x	A st	A sl	A sag	Vela	Comb.	Vdes	Vrd	Vrcd	Vrsd	Vult	cotgθ	Verifica
0	0	25.13	0	56457	SLV 15	56457	25632	211438	0	25632	1	Si
0	0	28.27	0	-16597	SLV 2	-16597	-26659	-211438	0	-26659	1	Si
30	0.228	25.13	0	55317	SLV 15	55317	25632	211438	59544	59544	1	Si
30	0.228	28.27	0	-17737	SLV 2	-17737	-26659	-211438	-59544	-59544	1	Si
93	0.228	28.27	0	52942	SLV 15	52942	26659	211438	59544	59544	1	Si
93	0.228	25.13	0	-20112	SLV 2	-20112	-25632	-211438	-59544	-59544	1	Si
140	0.228	28.27	0	51137	SLV 15	51137	26659	211438	59544	59544	1	Si
140	0.228	25.13	0	-21917	SLV 2	-21917	-25632	-211438	-59544	-59544	1	Si
185	0	28.27	0	49427	SLV 15	49427	26659	211438	0	26659	1	Si
185	0	25.13	0	-23627	SLV 2	-23627	-25632	-211438	0	-25632	1	Si

Verifiche SLD Resistenza a taglio

x	A st	A sl	A sag	Vela	Comb.	Vdes	Vrd	Vrcd	Vrsd	Vult	cotgθ	Verifica
0	0	25.13	0	38604	SLD 15	38604	25632	211438	0	25632	1	Si
30	0.228	25.13	0	37464	SLD 15	37464	25632	211438	59544	59544	1	Si
93	0.228	28.27	0	35089	SLD 15	35089	26659	211438	59544	59544	1	Si
93	0.228	28.27	0	-2258	SLD 2	-2258	-26659	-211438	-59544	-59544	1	Si
140	0.228	28.27	0	33284	SLD 15	33284	26659	211438	59544	59544	1	Si
140	0.228	25.13	0	-4063	SLD 2	-4063	-25632	-211438	-59544	-59544	1	Si
185	0	28.27	0	31574	SLD 15	31574	26659	211438	0	26659	1	Si
185	0	25.13	0	-5773	SLD 2	-5773	-25632	-211438	0	-25632	1	Si

Verifiche delle tensioni in esercizio

x	Rara							Quasi permanente							Verifica
	Mela	Comb.	Mdes	σ c	σ c lim.	σ f.	σ f lim.	Mela	Comb.	Mdes	σ c	σ c lim.	σ FRP	σ FRP lim.	
0	-954048	8	-632808	8.3	149.4	371.1	3600	-913040	4	-614170	8.1	112.1	0	+∞	Si
30	-336249	6	-336249	4.4	149.4	197.2	3600	-333916	3	-333916	4.4	112.1	0	+∞	Si
93	864882	8	1439928	18.4	149.4	754.2	3600	767941	4	1293325	16.6	112.1	0	+∞	Si
140	1672426	8	1672426	21.4	149.4	876	3600	1504646	4	1504646	19.3	112.1	0	+∞	Si
185	2358671	8	2034709	26.1	149.4	1065.8	3600	2123781	4	1833374	23.5	112.1	0	+∞	Si

Verifica di apertura delle fessure

La campata non presenta apertura delle fessure

Verifica di deformabilità

x	Rara				Frequente				Quasi permanente						Verifica
	Elastica+	Elastica-	Fess.+	Fess.-	Elastica+	Elastica-	Fess.+	Fess.-	Elastica+	Elastica-	Fess. viscosa+	Comb.	Fess. viscosa-	Comb.	l/f
30	0.001	0.001	0.001	0.001	0.001	0.001	0.001	0.001	0.001	0.001	0.002	4	0.001	4	9999
93	0.003	0.002	0.003	0.002	0.003	0.002	0.002	0.002	0.003	0.002	0.006	4	0.005	4	9999
117	0.003	0.003	0.003	0.002	0.003	0.003	0.003	0.002	0.003	0.003	0.007	4	0.005	4	9999
140	0.003	0.002	0.003	0.002	0.003	0.002	0.002	0.002	0.003	0.002	0.006	4	0.005	4	9999

Campata 10 tra i fili Pil.A11 - , sezione R 90x80, asta 2239

Verifiche a flessione in famiglia SLU

x	A sup.	C.b. sup.	A inf.	C.b. inf.	M+ela	Comb.	M+des	M+ult	x/d	M-ela	Comb.	M-des	M-ult	x/d	Verifica
0	25.13	6	28.27	6	3574866	SLU 16	2954658	7752052	0.101						Si
45	25.13	6	28.27	6	2284491	SLU 16	2284491	7752052	0.101						Si
55	25.13	6	28.27	6	1984244	SLU 16	2284491	7752052	0.101						Si
110	25.13	6	28.27	6	244190	SLU 16	1315542	7752052	0.101						Si

Verifiche a flessione in famiglia SLV (domini sostanzialmente elastici)

La struttura oppure parte di essa, è stata dichiarata come non dissipativa pertanto la verifica a pressoflessione, per tutte o solo alcune sezioni, viene eseguita calcolando i momenti resistenti in campo sostanzialmente elastico secondo D.M. 17-01-2018 §7.4.1

Le dilatazioni ultime utilizzate sono le seguenti: $\epsilon_{c2} = 0.002$, $\epsilon_{yd} = 0.0019$

x	A sup.	C.b. sup.	A inf.	C.b. inf.	M+ela	Comb.	M+des	M+ult	x/d	M-ela	Comb.	M-des	M-ult	x/d	Verifica
0	25.13	6	28.27	6	11838238	SLV 11	9378574	7429082	0.238	-7109711	SLV 6	-5463925	-6642484	0.222	Si
45	25.13	6	28.27	6	7042106	SLV 11	7042106	7429082	0.238	-4018194	SLV 6	-4018194	-6642484	0.222	Si
55	25.13	6	28.27	6	5971579	SLV 11	7042106	7429082	0.238	-3347236	SLV 6	-4018194	-6642484	0.222	Si
110	25.13	6	28.27	6	2267157	SLV 13	3659078	7429082	0.238	-1976894	SLV 4	-1976894	-6642484	0.222	Si

Verifiche SLD Resistenza a flessione (domini sostanzialmente elastici)

La struttura oppure parte di essa, è stata dichiarata come non dissipativa pertanto la verifica a pressoflessione, per tutte o solo alcune sezioni, viene eseguita calcolando i momenti resistenti in campo sostanzialmente elastico secondo D.M. 17-01-2018 §7.4.1

Le dilatazioni ultime utilizzate sono le seguenti: $\epsilon_{c2} = 0.002$, $\epsilon_{yd} = 0.0019$

x	A sup.	C.b. sup.	A inf.	C.b. inf.	M+ela	Comb.	M+des	M+ult	x/d	M-ela	Comb.	M-des	M-ult	x/d	Verifica
0	25.13	6	28.27	6	7428698	SLD 11	5920292	7429082	0.238	-2700171	SLD 6	-2005643	-6642484	0.222	Si
45	25.13	6	28.27	6	4460353	SLD 11	4460353	7429082	0.238	-1436441	SLD 6	-1436441	-6642484	0.222	Si
55	25.13	6	28.27	6	3793251	SLD 11	4460353	7429082	0.238	-1168909	SLD 6	-1436441	-6642484	0.222	Si
110	25.13	6	28.27	6	1232599	SLD 13	2344239	7429082	0.238	-942336	SLD 4	-942336	-6642484	0.222	Si

Verifiche a taglio in famiglia SLU

x	A st	A sl	A sag	Vela	Comb.	Vdes	Vrd	Vrcd	Vrsd	Vult	cotgθ	Verifica
0	0	28.27	0	-27562	SLU 16	-27562	-26659	-211438	0	-26659	1	Si
44	0	28.27	0	-29736	SLU 16	-29736	-26659	-211438	0	-26659	1	Si
45	0.435	28.27	0	-29785	SLU 16	-29785	-26659	-211438	-113363	-113363	1	Si
55	0.435	28.27	0	-30279	SLU 16	-30279	-26659	-211438	-113363	-113363	1	Si
110	0.435	28.27	0	-32996	SLU 16	-32996	-26659	-211438	-113363	-113363	1	Si

Verifiche a taglio in famiglia SLV

x	A st	A sl	A sag	Vela	Comb.	Vdes	Vrd	Vrcd	Vrsd	Vult	cotgθ	Verifica
0	0	25.13	0	70966	SLV 10	70966	25632	211438	0	25632	1	Si
0	0	28.27	0	-107134	SLV 7	-107134	-26659	-211438	0	-26659	1	Si
44	0	25.13	0	69294	SLV 10	69294	25632	211438	0	25632	1	Si
44	0	28.27	0	-108806	SLV 7	-108806	-26659	-211438	0	-26659	1	Si
45	0.435	25.13	0	69256	SLV 10	69256	25632	211438	113363	113363	1	Si
45	0.435	28.27	0	-108844	SLV 7	-108844	-26659	-211438	-113363	-113363	1	Si
55	0.435	25.13	0	68876	SLV 10	68876	25632	211438	113363	113363	1	Si
55	0.435	28.27	0	-109224	SLV 7	-109224	-26659	-211438	-113363	-113363	1	Si
110	0.435	28.27	0	66786	SLV 10	66786	26659	211438	113363	113363	1	Si
110	0.435	25.13	0	-111314	SLV 7	-111314	-25632	-211438	-113363	-113363	1	Si

Verifiche SLD Resistenza a taglio

x	A st	A sl	A sag	Vela	Comb.	Vdes	Vrd	Vrcd	Vrsd	Vult	cotgθ	Verifica
0	0	25.13	0	29672	SLD 10	29672	25632	211438	0	25632	1	Si
0	0	28.27	0	-65841	SLD 7	-65841	-26659	-211438	0	-26659	1	Si
44	0	25.13	0	28000	SLD 10	28000	25632	211438	0	25632	1	Si
44	0	28.27	0	-67513	SLD 7	-67513	-26659	-211438	0	-26659	1	Si
45	0.435	25.13	0	27962	SLD 10	27962	25632	211438	113363	113363	1	Si
45	0.435	28.27	0	-67551	SLD 7	-67551	-26659	-211438	-113363	-113363	1	Si
55	0.435	25.13	0	27582	SLD 10	27582	25632	211438	113363	113363	1	Si
55	0.435	28.27	0	-67931	SLD 7	-67931	-26659	-211438	-113363	-113363	1	Si
110	0.435	28.27	0	25492	SLD 10	25492	26659	211438	113363	113363	1	Si
110	0.435	25.13	0	-70021	SLD 7	-70021	-25632	-211438	-113363	-113363	1	Si

Verifiche delle tensioni in esercizio

x	Rara							Quasi permanente							Verifica
	Mela	Comb.	Mdes	σ c	σ c lim.	σ f.	σ f lim.	Mela	Comb.	Mdes	σ c	σ c lim.	σ FRP	σ FRP lim.	
0	2641918	8	2184734	28	149.4	1144.4	3600	2364264	4	1957324	25.1	112.1	0	+∞	Si
45	1689121	8	1689121	21.6	149.4	884.8	3600	1511956	4	1511956	19.4	112.1	0	+∞	Si

RELAZIONE GEOTECNICA E SULLE FONDAZIONI

x	Rara							Quasi permanente							Verifica
	Mela	Comb.	Mdes	σ c	σ c lim.	σ f.	σ f lim.	Mela	Comb.	Mdes	σ c	σ c lim.	σ FRP	σ FRP lim.	
55	1467006	8	1689121	21.6	149.4	884.8	3600	1312171	4	1511956	19.4	112.1	0	+∞	Si
110	177146	8	971811	12.4	149.4	509	3600	145131	4	865434	11.1	112.1	0	+∞	Si

Verifica di apertura delle fessure

La campata non presenta apertura delle fessure

Verifica di deformabilità

x	Rara				Frequente				Quasi permanente						Verifica
	Elastica+	Elastica-	Fess.+	Fess.-	Elastica+	Elastica-	Fess.+	Fess.-	Elastica+	Elastica-	Fess. viscosa+	Comb.	Fess. viscosa-	Comb.	
45	0.003	0.002	0.002	0.002	0.002	0.002	0.002	0.002	0.002	0.002	0.006	4	0.005	4	9999 Si
55	0.003	0.002	0.003	0.002	0.002	0.002	0.002	0.002	0.002	0.002	0.006	4	0.005	4	9999 Si
62	0.003	0.002	0.003	0.002	0.002	0.002	0.002	0.002	0.002	0.002	0.006	4	0.005	4	9999 Si
110	0.001	0.001	0.002	0.001	0.001	0.001	0.002	0.001	0.001	0.001	0.004	4	0.003	4	9999 Si

Campata 11 tra i fili - Palo18, sezione R 90x80, aste 2238, 2237

Verifiche a flessione in famiglia SLU

x	A sup.	C.b. sup.	A inf.	C.b. inf.	M+ela	Comb.	M+des	M+ult	x/d	M-ela	Comb.	M-des	M-ult	x/d	Verifica
0	25.13	6	28.27	6	241972	SLU 16	241972	7752052	0.101	112248	SLU 1	-220764	-6914755	0.094	Si
55	25.13	6	28.27	6						-551754	SLU 16	-671124	-6914755	0.094	Si
80	25.13	6	28.27	6						-671124	SLU 16	-671124	-6914755	0.094	Si
110	25.13	6	28.27	6						-843142	SLU 16	-746028	-6914755	0.094	Si

Verifiche a flessione in famiglia SLV (domini sostanzialmente elastici)

La struttura oppure parte di essa, è stata dichiarata come non dissipativa pertanto la verifica a pressoflessione, per tutte o solo alcune sezioni, viene eseguita calcolando i momenti resistenti in campo sostanzialmente elastico secondo D.M. 17-01-2018 §7.4.1

Le dilatazioni ultime utilizzate sono le seguenti: $\epsilon_c=0.002$, $\epsilon_{yd}=0.0019$

x	A sup.	C.b. sup.	A inf.	C.b. inf.	M+ela	Comb.	M+des	M+ult	x/d	M-ela	Comb.	M-des	M-ult	x/d	Verifica
0	25.13	6	28.27	6	1718653	SLV 13	1718653	7429082	0.238	-1423095	SLV 4	-2026165	-6642484	0.222	Si
55	25.13	6	28.27	6	1961323	SLV 10	1961323	7429082	0.238	-2719430	SLV 7	-2736548	-6642484	0.222	Si
80	25.13	6	28.27	6	1779618	SLV 10	1961323	7429082	0.238	-2696217	SLV 7	-2736548	-6642484	0.222	Si
110	25.13	6	28.27	6	1710662	SLV 6	1710662	7429082	0.238	-2859930	SLV 11	-2744196	-6642484	0.222	Si

Verifiche SLD Resistenza a flessione (domini sostanzialmente elastici)

La struttura oppure parte di essa, è stata dichiarata come non dissipativa pertanto la verifica a pressoflessione, per tutte o solo alcune sezioni, viene eseguita calcolando i momenti resistenti in campo sostanzialmente elastico secondo D.M. 17-01-2018 §7.4.1

Le dilatazioni ultime utilizzate sono le seguenti: $\epsilon_c=0.002$, $\epsilon_{yd}=0.0019$

x	A sup.	C.b. sup.	A inf.	C.b. inf.	M+ela	Comb.	M+des	M+ult	x/d	M-ela	Comb.	M-des	M-ult	x/d	Verifica
0	25.13	6	28.27	6	951916	SLD 13	951916	7429082	0.238	-656358	SLD 4	-1152317	-6642484	0.222	Si
55	25.13	6	28.27	6	871307	SLD 10	871307	7429082	0.238	-1629414	SLD 7	-1657285	-6642484	0.222	Si
80	25.13	6	28.27	6	740686	SLD 10	871307	7429082	0.238	-1657285	SLD 7	-1657285	-6642484	0.222	Si
110	25.13	6	28.27	6	645957	SLD 6	645957	7429082	0.238	-1795226	SLD 11	-1703616	-6642484	0.222	Si

Verifiche a taglio in famiglia SLU

x	A st	A sl	A sag	Vela	Comb.	Vdes	Vrd	Vrcd	Vrsd	Vult	cotgθ	Verifica
0	0.435	28.27	0	-13073	SLU 16	-13073	-26659	-211438	-113363	-113363	1	Si
55	0.196	25.13	0	-15790	SLU 16	-15790	-25632	-211438	-51170	-51170	1	Si
80	0.196	25.13	0	-4994	SLU 16	-4994	-25632	-211438	-51170	-51170	1	Si
110	0	25.13	0	-6476	SLU 16	-6476	-25632	-211438	0	-25632	1	Si

Verifiche a taglio in famiglia SLV

x	A st	A sl	A sag	Vela	Comb.	Vdes	Vrd	Vrcd	Vrsd	Vult	cotgθ	Verifica
0	0.435	28.27	0	27667	SLV 6	27667	26659	211438	113363	113363	1	Si
0	0.435	28.27	0	-44735	SLV 11	-44735	-26659	-211438	-113363	-113363	1	Si
55	0.196	28.27	0	25577	SLV 6	25577	26659	211438	51170	51170	1	Si
55	0.196	25.13	0	-46825	SLV 11	-46825	-25632	-211438	-51170	-51170	1	Si
80	0.196	25.13	0	16110	SLV 1	16110	25632	211438	51170	51170	1	Si
80	0.196	25.13	0	-22727	SLV 16	-22727	-25632	-211438	-51170	-51170	1	Si
110	0	28.27	0	14970	SLV 1	14970	26659	211438	0	26659	1	Si
110	0	25.13	0	-23867	SLV 16	-23867	-25632	-211438	0	-25632	1	Si

Verifiche SLD Resistenza a taglio

x	A st	A sl	A sag	Vela	Comb.	Vdes	Vrd	Vrcd	Vrsd	Vult	cotgθ	Verifica
0	0.435	28.27	0	10772	SLD 6	10772	26659	211438	113363	113363	1	Si
0	0.435	28.27	0	-27839	SLD 11	-27839	-26659	-211438	-113363	-113363	1	Si
55	0.196	28.27	0	8682	SLD 6	8682	26659	211438	51170	51170	1	Si
55	0.196	25.13	0	-29929	SLD 11	-29929	-25632	-211438	-51170	-51170	1	Si
80	0.196	25.13	0	6548	SLD 1	6548	25632	211438	51170	51170	1	Si
80	0.196	25.13	0	-13165	SLD 16	-13165	-25632	-211438	-51170	-51170	1	Si
110	0	25.13	0	5408	SLD 1	5408	25632	211438	0	25632	1	Si
110	0	25.13	0	-14305	SLD 16	-14305	-25632	-211438	0	-25632	1	Si

Verifiche delle tensioni in esercizio

x	Rara							Quasi permanente							Verifica
	Mela	Comb.	Mdes	σ c	σ c lim.	σ f.	σ f lim.	Mela	Comb.	Mdes	σ c	σ c lim.	σ FRP	σ FRP lim.	
0	176281	8	176281	2.3	149.4	92.3	3600	147779	4	147779	1.9	112.1	0	+∞	Si
55	-410914	8	-499466	6.6	149.4	292.9	3600	-379054	4	-458299	6	112.1	0	+∞	Si
80	-499466	8	-499466	6.6	149.4	292.9	3600	-458299	4	-458299	6	112.1	0	+∞	Si
110	-627306	8	-554843	7.3	149.4	325.4	3600	-574634	4	-507924	6.7	112.1	0	+∞	Si

Verifica di apertura delle fessure

La campata non presenta apertura delle fessure

Verifica di deformabilità

x	Rara				Frequente				Quasi permanente						Verifica
	Elastica+	Elastica-	Fess.+	Fess.-	Elastica+	Elastica-	Fess.+	Fess.-	Elastica+	Elastica-	Fess. viscosa+	Comb.	Fess. viscosa-	Comb.	
0	0.001	0.001	0.002	0.001	0.001	0.001	0.002	0.001	0.001	0.001	0.004	4	0.003	4	9999 Si
55	0	0	0.001	0	0	0	0.001	0	0	0	0.001	4	0.001	4	9999 Si
80	0	0	0	0	0	0	0	0	0	0	0	2	0	2	9999 Si

Campata 12 tra i fili Palo18 - Palo12, sezione R 90x80, aste 2281, 2280, 2279

Verifiche a flessione in famiglia SLU

x	A sup.	C.b. sup.	A inf.	C.b. inf.	M+ela	Comb.	M+des	M+ult	x/d	M-ela	Comb.	M-des	M-ult	x/d	Verifica
0	25.13	6	28.27	6						-844945	SLU 16	-716879	-6914755	0.094	Si
30	25.13	6	28.27	6						-497824	SLU 16	-497824	-6914755	0.094	Si

RELAZIONE GEOTECNICA E SULLE FONDAZIONI

x	A sup.	C.b. sup.	A inf.	C.b. inf.	M+ela	Comb.	M+des	M+ult	x/d	M-ela	Comb.	M-des	M-ult	x/d	Verifica
90	25.13	6	28.27	6	-3730	SLU 1	158855	7752052	0.101	-112094	SLU 16	-369968	-6914755	0.094	Si
150	25.13	6	28.27	6	257720	SLU 9	257720	7752052	0.101	105550	SLU 8	-54744	-6914755	0.094	Si
180	25.13	6	28.27	6	420780	SLU 13	362696	7752052	0.101						Si

Verifiche a flessione in famiglia SLV (domini sostanzialmente elastici)

La struttura oppure parte di essa, è stata dichiarata come non dissipativa pertanto la verifica a pressoflessione, per tutte o solo alcune sezioni, viene eseguita calcolando i momenti resistenti in campo sostanzialmente elastico secondo D.M. 17-01-2018 §7.4.1

Le dilatazioni ultime utilizzate sono le seguenti: $\epsilon_{c2} = 0.002$, $\epsilon_{yd} = 0.0019$

x	A sup.	C.b. sup.	A inf.	C.b. inf.	M+ela	Comb.	M+des	M+ult	x/d	M-ela	Comb.	M-des	M-ult	x/d	Verifica
0	25.13	6	28.27	6	751508	SLV 6	751508	7429082	0.238	-1912936	SLV 11	-1782325	-6642484	0.222	Si
30	25.13	6	28.27	6	966942	SLV 10	2324783	7429082	0.238	-1630567	SLV 7	-2752427	-6642484	0.222	Si
90	25.13	6	28.27	6	2504929	SLV 10	3917778	7429082	0.238	-2583697	SLV 7	-3834424	-6642484	0.222	Si
150	25.13	6	28.27	6	4192290	SLV 14	4192290	7429082	0.238	-3843181	SLV 3	-3843181	-6642484	0.222	Si
180	25.13	6	28.27	6	4584001	SLV 14	4436381	7429082	0.238	-3965813	SLV 3	-3907992	-6642484	0.222	Si

Verifiche SLD Resistenza a flessione (domini sostanzialmente elastici)

La struttura oppure parte di essa, è stata dichiarata come non dissipativa pertanto la verifica a pressoflessione, per tutte o solo alcune sezioni, viene eseguita calcolando i momenti resistenti in campo sostanzialmente elastico secondo D.M. 17-01-2018 §7.4.1

Le dilatazioni ultime utilizzate sono le seguenti: $\epsilon_{c2} = 0.002$, $\epsilon_{yd} = 0.0019$

x	A sup.	C.b. sup.	A inf.	C.b. inf.	M+ela	Comb.	M+des	M+ult	x/d	M-ela	Comb.	M-des	M-ult	x/d	Verifica
0	25.13	6	28.27	6	132286	SLD 6	132286	7429082	0.238	-1293714	SLD 11	-1181407	-6642484	0.222	Si
30	25.13	6	28.27	6	363714	SLD 10	1140210	7429082	0.238	-1027340	SLD 7	-1568952	-6642484	0.222	Si
90	25.13	6	28.27	6	1310608	SLD 10	2094991	7429082	0.238	-1389375	SLD 7	-2015098	-6642484	0.222	Si
150	25.13	6	28.27	6	2249107	SLD 10	2249107	7429082	0.238	-1899999	SLD 7	-2015098	-6642484	0.222	Si
180	25.13	6	28.27	6	2499992	SLD 14	2403670	7429082	0.238	-1881804	SLD 3	-1875281	-6642484	0.222	Si

Verifiche a taglio in famiglia SLU

x	A st	A sl	A sag	Vela	Comb.	Vdes	Vrd	Vrcd	Vrsd	Vult	cotgθ	Verifica
0	0	25.13	0	15150	SLU 16	15150	25632	211438	0	25632	1	Si
30	0.157	25.13	0	14604	SLU 16	14604	25632	211438	40936	40936	1	Si
90	0.157	25.13	0	10779	SLU 16	10779	25632	211438	40936	40936	1	Si
150	0.157	28.27	0	8265	SLU 16	8265	26659	211438	40936	40936	1	Si
180	0	28.27	0	7719	SLU 16	7719	26659	211438	0	26659	1	Si

Verifiche a taglio in famiglia SLV

x	A st	A sl	A sag	Vela	Comb.	Vdes	Vrd	Vrcd	Vrsd	Vult	cotgθ	Verifica
0	0	25.13	0	25933	SLV 16	25933	25632	211438	0	25632	1	Si
0	0	25.13	0	-4179	SLV 1	-4179	-25632	-211438	0	-25632	1	Si
30	0.157	25.13	0	25513	SLV 16	25513	25632	211438	40936	40936	1	Si
30	0.157	25.13	0	-4599	SLV 1	-4599	-25632	-211438	-40936	-40936	1	Si
90	0.157	28.27	0	19502	SLV 16	19502	26659	211438	40936	40936	1	Si
90	0.157	25.13	0	-4004	SLV 1	-4004	-25632	-211438	-40936	-40936	1	Si
150	0.157	28.27	0	18362	SLV 16	18362	26659	211438	40936	40936	1	Si
150	0.157	25.13	0	-6410	SLV 1	-6410	-25632	-211438	-40936	-40936	1	Si
180	0	28.27	0	17942	SLV 16	17942	26659	211438	0	26659	1	Si
180	0	25.13	0	-6830	SLV 1	-6830	-25632	-211438	0	-25632	1	Si

Verifiche SLD Resistenza a taglio

x	A st	A sl	A sag	Vela	Comb.	Vdes	Vrd	Vrcd	Vrsd	Vult	cotgθ	Verifica
0	0	25.13	0	18520	SLD 16	18520	25632	211438	0	25632	1	Si
30	0.157	25.13	0	18100	SLD 16	18100	25632	211438	40936	40936	1	Si
90	0.157	28.27	0	13721	SLD 16	13721	26659	211438	40936	40936	1	Si
150	0.157	28.27	0	12257	SLD 16	12257	26659	211438	40936	40936	1	Si
150	0.157	25.13	0	-305	SLD 1	-305	-25632	-211438	-40936	-40936	1	Si
180	0	28.27	0	11837	SLD 16	11837	26659	211438	0	26659	1	Si
180	0	25.13	0	-725	SLD 1	-725	-25632	-211438	0	-25632	1	Si

Verifiche delle tensioni in esercizio

x	Rara								Quasi permanente								Verifica
	Mela	Comb.	Mdes	σ c	σ c lim.	σ f.	σ f lim.	Mela	Comb.	Mdes	σ c	σ c lim.	σ FRP	σ FRP lim.			
0	-629880	8	-533518	7	149.4	312.8	3600	-580714	4	-488672	6.4	112.1	0	+∞		Si	
30	-368884	8	-368884	4.8	149.4	216.3	3600	-331813	4	-331813	4.4	112.1	0	+∞		Si	
90	-75227	8	-269307	3.5	149.4	157.9	3600	-39384	4	-225093	3	112.1	0	+∞		Si	
150	198246	1	198246	2.5	149.4	103.8	3600	198246	1	198246	2.5	112.1	0	+∞		Si	
180	322948	5	278933	3.6	149.4	146.1	3600	322948	3	278933	3.6	112.1	0	+∞		Si	

Verifica di apertura delle fessure

La campata non presenta apertura delle fessure

Verifica di deformabilità

x	Rara				Frequente				Quasi permanente								Verifica
	Elastica+	Elastica-	Fess.+	Fess.-	Elastica+	Elastica-	Fess.+	Fess.-	Elastica+	Elastica-	Fess. viscosa+	Comb.	Fess. viscosa-	Comb.	I/f		
30	0	0	0	0	0	0	0	0	0	0	0	1	-0.001	1		9999	Si
48	0	0	0	0	0	0	0	0	0	0	0	1	-0.001	1		9999	Si
90	0	0	0	0	0	0	0	0	0	0	0	1	0	1		9999	Si
150	0	0	0	0	0	0	0	0	0	0	0	1	0	1		9999	Si

Campata 13 tra i fili Palo12 - Palo9, sezione R 90x80, aste 1606, 1605, 1604, 1603

Verifiche a flessione in famiglia SLU

x	A sup.	C.b. sup.	A inf.	C.b. inf.	M+ela	Comb.	M+des	M+ult	x/d	M-ela	Comb.	M-des	M-ult	x/d	Verifica
0	25.13	6	28.27	6						-649157	SLU 16	-388617	-6914755	0.094	Si
30	25.13	6	28.27	6						-238476	SLU 16	-238476	-6914755	0.094	Si
65	25.13	6	28.27	6						-102775	SLU 16	-230820	-6914755	0.094	Si
130	25.13	6	28.27	6	360	SLU 6	360	7752052	0.101	-216	SLU 12	-27730	-6914755	0.094	Si

Verifiche a flessione in famiglia SLV (domini sostanzialmente elastici)

La struttura oppure parte di essa, è stata dichiarata come non dissipativa pertanto la verifica a pressoflessione, per tutte o solo alcune sezioni, viene eseguita calcolando i momenti resistenti in campo sostanzialmente elastico secondo D.M. 17-01-2018 §7.4.1

Le dilatazioni ultime utilizzate sono le seguenti: $\epsilon_{c2} = 0.002$, $\epsilon_{yd} = 0.0019$

x	A sup.	C.b. sup.	A inf.	C.b. inf.	M+ela	Comb.	M+des	M+ult	x/d	M-ela	Comb.	M-des	M-ult	x/d	Verifica
0	25.13	6	28.27	6	1087490	SLV 10	955167	7429082	0.238	-1979962	SLV 7	-1483009	-6642484	0.222	Si
30	25.13	6	28.27	6	860511	SLV 10	985846	7429082	0.238	-1179777	SLV 7	-1275360	-6642484	0.222	Si
65	25.13	6	28.27	6	635460	SLV 10	985846	7429082	0.238	-763239	SLV 7	-1275360	-6642484	0.222	Si
130	25.13	6	28.27	6	15346	SLV 10	245638	7429082	0.238	-15008	SLV 7	-270962	-6642484	0.222	Si

Verifiche SLD Resistenza a flessione (domini sostanzialmente elastici)

La struttura oppure parte di essa, è stata dichiarata come non dissipativa pertanto la verifica a pressoflessione, per tutte o solo alcune sezioni, viene

eseguita calcolando i momenti resistenti in campo sostanzialmente elastico secondo D.M. 17-01-2018 §7.4.1

Le dilatazioni ultime utilizzate sono le seguenti: $\epsilon_{c2}= 0.002$, $\epsilon_{yd}= 0.0019$

x	A sup.	C.b. sup.	A inf.	C.b. inf.	M+ela	Comb.	M+des	M+ult	x/d	M-ela	Comb.	M-des	M-ult	x/d	Verifica
0	25.13	6	28.27	6	368072	SLD 10	368072	7429082	0.238	-1260544	SLD 7	-910360	-6642484	0.222	Si
30	25.13	6	28.27	6	380848	SLD 10	453523	7429082	0.238	-700115	SLD 7	-743037	-6642484	0.222	Si
65	25.13	6	28.27	6	306676	SLD 10	453523	7429082	0.238	-434455	SLD 7	-743037	-6642484	0.222	Si
130	25.13	6	28.27	6	8261	SLD 10	124450	7429082	0.238	-7923	SLD 7	-149773	-6642484	0.222	Si

Verifiche a taglio in famiglia SLU

x	A st	A sl	A sag	Vela	Comb.	Vdes	Vrd	Vrcd	Vrsd	Vult	cotgθ	Verifica
0	0	25.13	0	10927	SLU 16	10927	25632	211438	0	25632	1	Si
30	0.157	25.13	0	10009	SLU 16	10009	25632	211438	40937	40937	1	Si
65	0.157	25.13	0	2562	SLU 16	2562	25632	211438	40937	40937	1	Si
130	0.157	28.27	0	247	SLU 8	247	26659	211438	40937	40937	1	Si
130	0.157	25.13	0	-33	SLU 9	-33	-25632	-211438	-40937	-40937	1	Si

Verifiche a taglio in famiglia SLV

x	A st	A sl	A sag	Vela	Comb.	Vdes	Vrd	Vrcd	Vrsd	Vult	cotgθ	Verifica
0	0	25.13	0	20922	SLV 7	20922	25632	211438	0	25632	1	Si
0	0	28.27	0	-5604	SLV 10	-5604	-26659	-211438	0	-26659	1	Si
30	0.157	25.13	0	20215	SLV 7	20215	25632	211438	40937	40937	1	Si
30	0.157	28.27	0	-6310	SLV 10	-6310	-26659	-211438	-40937	-40937	1	Si
65	0.157	25.13	0	12103	SLV 7	12103	25632	211438	40937	40937	1	Si
65	0.157	28.27	0	-8706	SLV 10	-8706	-26659	-211438	-40937	-40937	1	Si
130	0.157	25.13	0	4611	SLV 7	4611	25632	211438	40937	40937	1	Si
130	0.157	28.27	0	-4462	SLV 10	-4462	-26659	-211438	-40937	-40937	1	Si

Verifiche SLD Resistenza a taglio

x	A st	A sl	A sag	Vela	Comb.	Vdes	Vrd	Vrcd	Vrsd	Vult	cotgθ	Verifica
0	0	25.13	0	14723	SLD 7	14723	25632	211438	0	25632	1	Si
30	0.157	25.13	0	14016	SLD 7	14016	25632	211438	40937	40937	1	Si
30	0.157	28.27	0	-111	SLD 10	-111	-26659	-211438	-40937	-40937	1	Si
65	0.157	25.13	0	7202	SLD 7	7202	25632	211438	40937	40937	1	Si
65	0.157	28.27	0	-3805	SLD 10	-3805	-26659	-211438	-40937	-40937	1	Si
130	0.157	25.13	0	2478	SLD 7	2478	25632	211438	40937	40937	1	Si
130	0.157	28.27	0	-2329	SLD 10	-2329	-26659	-211438	-40937	-40937	1	Si

Verifiche delle tensioni in esercizio

x	Rara							Quasi permanente							Verifica
	Mela	Comb.	Mdes	σ c	σ c lim.	σ f.	σ f lim.	Mela	Comb.	Mdes	σ c	σ c lim.	σ FRP	σ FRP lim.	
0	-485164	8	-289980	3.8	149.4	170	3600	-446236	4	-263921	3.5	112.1	0	$+\infty$	Si
30	-177726	8	-177726	2.3	149.4	104.2	3600	-159633	4	-159633	2.1	112.1	0	$+\infty$	Si
65	-75341	8	-171569	2.3	149.4	100.6	3600	-63889	4	-152867	2	112.1	0	$+\infty$	Si
130	211	6	211	0	149.4	0.1	3600	190	3	190	0	112.1	0	$+\infty$	Si
130	-156	4	-20253	0.3	149.4	11.9	3600	-107	2	-16947	0.2	112.1	0	$+\infty$	Si

Verifica di apertura delle fessure

La campata non presenta apertura delle fessure

Verifica di deformabilità

x	Rara				Frequente				Quasi permanente						Verifica	
	Elastica+	Elastica-	Fess.+	Fess.-	Elastica+	Elastica-	Fess.+	Fess.-	Elastica+	Elastica-	Fess. viscosa+	Comb.	Fess. viscosa-	Comb.	I/f	
30	0	0	0	0	0	0	0	0	0	0	0	1	0	1	9999	Si
43	0	0	0	0	0	0	0	0	0	0	0	1	0	1	9999	Si
65	0	0	0	0	0	0	0	0	0	0	0	1	0	1	9999	Si

Trave n.1 a "Fondazione" Platea B1-Platea B3

Caratteristiche dei materiali

Acciaio: B450C Fyk 4500

Calcestruzzo: C25/30 Rck 300

Elenco delle sezioni

N°	Descrizione	Tipo	Base	Altezza	Copriferro sup.	Copriferro inf.	Copriferro lat.
1	R 90x80	Rettangolare	90	80	4	4	4

Output campate

Campata 1 tra i fili Palo31 - Palo27, sezione R 90x80, aste 2261, 2260, 2259, 2258

Verifiche a flessione in famiglia SLU

x	A sup.	C.b. sup.	A inf.	C.b. inf.	M+ela	Comb.	M+des	M+ult	x/d	M-ela	Comb.	M-des	M-ult	x/d	Verifica
0	28.27	6	25.13	6	695	SLU 9	3338	6914755	0.094	-5363	SLU 8	-10604	-7752052	0.101	Si
80	28.27	6	25.13	6	18834	SLU 9	80262	6914755	0.094	-19312	SLU 8	-19312	-7752052	0.101	Si
107	28.27	6	25.13	6	78317	SLU 9	202034	6914755	0.094	26598	SLU 7	-19312	-7752052	0.101	Si
130	28.27	6	25.13	6	200885	SLU 12	202034	6914755	0.094						Si
160	28.27	6	25.13	6	186497	SLU 12	186497	6914755	0.094						Si

Verifiche a flessione in famiglia SLV (domini sostanzialmente elastici)

La struttura oppure parte di essa, è stata dichiarata come non dissipativa pertanto la verifica a pressoflessione, per tutte o solo alcune sezioni, viene eseguita calcolando i momenti resistenti in campo sostanzialmente elastico secondo D.M. 17-01-2018 §7.4.1

Le dilatazioni ultime utilizzate sono le seguenti: $\epsilon_{c2}= 0.002$, $\epsilon_{yd}= 0.0019$

x	A sup.	C.b. sup.	A inf.	C.b. inf.	M+ela	Comb.	M+des	M+ult	x/d	M-ela	Comb.	M-des	M-ult	x/d	Verifica
0	28.27	6	25.13	6	38274	SLV 13	53461	6642484	0.222	-42821	SLV 4	-62706	-7429082	0.238	Si
80	28.27	6	25.13	6	223125	SLV 11	432017	6642484	0.222	-228174	SLV 6	-354948	-7429082	0.238	Si
130	28.27	6	25.13	6	651926	SLV 11	651926	6642484	0.222	-380702	SLV 6	-380702	-7429082	0.238	Si
160	28.27	6	25.13	6	741412	SLV 11	712891	6642484	0.222	-501512	SLV 6	-452932	-7429082	0.238	Si

Verifiche SLD Resistenza a flessione (domini sostanzialmente elastici)

La struttura oppure parte di essa, è stata dichiarata come non dissipativa pertanto la verifica a pressoflessione, per tutte o solo alcune sezioni, viene eseguita calcolando i momenti resistenti in campo sostanzialmente elastico secondo D.M. 17-01-2018 §7.4.1

Le dilatazioni ultime utilizzate sono le seguenti: $\epsilon_{c2}= 0.002$, $\epsilon_{yd}= 0.0019$

x	A sup.	C.b. sup.	A inf.	C.b. inf.	M+ela	Comb.	M+des	M+ult	x/d	M-ela	Comb.	M-des	M-ult	x/d	Verifica
0	28.27	6	25.13	6	18351	SLD 13	25879	6642484	0.222	-22898	SLD 4	-35125	-7429082	0.238	Si
80	28.27	6	25.13	6	116264	SLD 11	245591	6642484	0.222	-121313	SLD 6	-168522	-7429082	0.238	Si

RELAZIONE GEOTECNICA E SULLE FONDAZIONI

x	A sup.	C.b. sup.	A inf.	C.b. inf.	M+ela	Comb.	M+des	M+ult	x/d	M-ela	Comb.	M-des	M-ult	x/d	Verifica
130	28.27	6	25.13	6	406748	SLD 11	406748	6642484	0.222	-135524	SLD 6	-177832	-7429082	0.238	Si
160	28.27	6	25.13	6	447452	SLD 11	436640	6642484	0.222	-207553	SLD 6	-176681	-7429082	0.238	Si

Verifiche a taglio in famiglia SLU

x	A st	A sl	A sag	Vela	Comb.	Vdes	Vrd	Vrcd	Vrsd	Vult	cotgθ	Verifica
0	0.145	25.13	0	353	SLU 9	353	25632	211438	37787	37787	1	Si
80	0.145	28.27	0	-922	SLU 16	-922	-26659	-211438	-37787	-37787	1	Si
130	0.145	25.13	0	-584	SLU 15	-584	-25632	-211438	-37787	-37787	1	Si
160	0	25.13	0	-1187	SLU 15	-1187	-25632	-211438	0	-25632	1	Si

Verifiche a taglio in famiglia SLV

x	A st	A sl	A sag	Vela	Comb.	Vdes	Vrd	Vrcd	Vrsd	Vult	cotgθ	Verifica
0	0.145	28.27	0	1686	SLV 12	1686	26659	211438	37787	37787	1	Si
0	0.145	25.13	0	-1332	SLV 5	-1332	-25632	-211438	-37787	-37787	1	Si
80	0.145	25.13	0	3408	SLV 12	3408	25632	211438	37787	37787	1	Si
80	0.145	28.27	0	-4598	SLV 5	-4598	-26659	-211438	-37787	-37787	1	Si
130	0.145	25.13	0	5247	SLV 12	5247	25632	211438	37787	37787	1	Si
130	0.145	28.27	0	-5998	SLV 5	-5998	-26659	-211438	-37787	-37787	1	Si
160	0	25.13	0	4783	SLV 12	4783	25632	211438	0	25632	1	Si
160	0	28.27	0	-6462	SLV 5	-6462	-26659	-211438	0	-26659	1	Si

Verifiche SLD Resistenza a taglio

x	A st	A sl	A sag	Vela	Comb.	Vdes	Vrd	Vrcd	Vrsd	Vult	cotgθ	Verifica
0	0.145	28.27	0	981	SLD 12	981	26659	211438	37787	37787	1	Si
0	0.145	25.13	0	-628	SLD 5	-628	-25632	-211438	-37787	-37787	1	Si
80	0.145	25.13	0	1543	SLD 12	1543	25632	211438	37787	37787	1	Si
80	0.145	28.27	0	-2732	SLD 5	-2732	-26659	-211438	-37787	-37787	1	Si
130	0.145	25.13	0	2626	SLD 12	2626	25632	211438	37787	37787	1	Si
130	0.145	28.27	0	-3377	SLD 5	-3377	-26659	-211438	-37787	-37787	1	Si
160	0	25.13	0	2161	SLD 12	2161	25632	211438	0	25632	1	Si
160	0	28.27	0	-3841	SLD 5	-3841	-26659	-211438	0	-26659	1	Si

Verifiche delle tensioni in esercizio

x	Mela	Comb.	Mdes	σ c	σ c lim.	σ f.	σ f lim.	Mela	Comb.	Mdes	σ c	σ c lim.	σ FRP	σ FRP lim.	Verifica
0	534	1	2567	0	149.4	1.5	3600	534	1	2567	0	112.1	0	+∞	Si
0	-3397	8	-6768	0.1	149.4	3.5	3600	-2273	4	-4623	0.1	112.1	0	+∞	Si
80	14487	1	61740	0.8	149.4	36.2	3600	14487	1	61740	0.8	112.1	0	+∞	Si
80	-8045	8	-8045	0.1	149.4	4.2	3600	-2524	4	-2524	0	112.1	0	+∞	Si
130	153322	4	154171	2	149.4	90.4	3600	147839	2	148530	1.9	112.1	0	+∞	Si
160	142396	4	142396	1.9	149.4	83.5	3600	137560	2	137560	1.8	112.1	0	+∞	Si

Verifica di apertura delle fessure

La campata non presenta apertura delle fessure

Verifica di deformabilità

x	Elastica+	Elastica-	Fess.+	Fess.-	Elastica+	Elastica-	Fess.+	Fess.-	Elastica+	Elastica-	Fess. viscosa+	Comb.	Fess. viscosa-	Comb.	I/f	Verifica
80	0	0	0	0	0	0	0	0	0	0	0	1	0	1	9999	Si
101	0	0	0	0	0	0	0	0	0	0	0	1	0	1	9999	Si
130	0	0	0	0	0	0	0	0	0	0	0	1	0	1	9999	Si

Campata 2 tra i fili Palo27 - Palo55, sezione R 90x80, aste 2257, 2256, 2255, 2254, 2253, 2252, 2251, 2250, 403

Verifiche a flessione in famiglia SLU

x	A sup.	C.b. sup.	A inf.	C.b. inf.	M+ela	Comb.	M+des	M+ult	x/d	M-ela	Comb.	M-des	M-ult	x/d	Verifica
0	28.27	6	25.13	6						-584315	SLU 16	-491246	-7752052	0.101	Si
30	28.27	6	25.13	6						-414657	SLU 16	-665976	-7752052	0.101	Si
242	28.27	6	25.13	6	-1626461	SLU 1	689272	6914755	0.094	-3132291	SLU 16	-5285661	-7752052	0.101	Si
330	28.27	6	25.13	6	-1605347	SLU 1	1074650	6914755	0.094	-3282399	SLU 16	-4268435	-7752052	0.101	Si
630	28.27	6	25.13	6	2922302	SLU 16	2922302	6914755	0.094						Si
660	28.27	6	25.13	6	3282271	SLU 16	3107407	6914755	0.094						Si

Verifiche a flessione in famiglia SLV (domini sostanzialmente elastici)

La struttura oppure parte di essa, è stata dichiarata come non dissipativa pertanto la verifica a pressoflessione, per tutte o solo alcune sezioni, viene eseguita calcolando i momenti resistenti in campo sostanzialmente elastico secondo D.M. 17-01-2018 §7.4.1

Le dilatazioni ultime utilizzate sono le seguenti: $\epsilon_{c2} = 0.002$, $\epsilon_{yd} = 0.0019$

x	A sup.	C.b. sup.	A inf.	C.b. inf.	M+ela	Comb.	M+des	M+ult	x/d	M-ela	Comb.	M-des	M-ult	x/d	Verifica
0	28.27	6	25.13	6	890206	SLV 13	838355	6642484	0.222	-1695847	SLV 4	-1504169	-7429082	0.238	Si
30	28.27	6	25.13	6	1249700	SLV 15	1360624	6642484	0.222	-1800825	SLV 2	-2186030	-7429082	0.238	Si
330	28.27	6	25.13	6						-3755130	SLV 1	-5029914	-7429082	0.238	Si
630	28.27	6	25.13	6	5699353	SLV 1	5699353	6642484	0.222	-1973353	SLV 16	-1973353	-7429082	0.238	Si
660	28.27	6	25.13	6	6442756	SLV 1	6067540	6642484	0.222	-2316932	SLV 16	-2131212	-7429082	0.238	Si

Verifiche SLD Resistenza a flessione (domini sostanzialmente elastici)

La struttura oppure parte di essa, è stata dichiarata come non dissipativa pertanto la verifica a pressoflessione, per tutte o solo alcune sezioni, viene eseguita calcolando i momenti resistenti in campo sostanzialmente elastico secondo D.M. 17-01-2018 §7.4.1

Le dilatazioni ultime utilizzate sono le seguenti: $\epsilon_{c2} = 0.002$, $\epsilon_{yd} = 0.0019$

x	A sup.	C.b. sup.	A inf.	C.b. inf.	M+ela	Comb.	M+des	M+ult	x/d	M-ela	Comb.	M-des	M-ult	x/d	Verifica
0	28.27	6	25.13	6	253748	SLD 13	253748	6642484	0.222	-1059390	SLD 4	-928056	-7429082	0.238	Si
30	28.27	6	25.13	6	498991	SLD 15	533330	6642484	0.222	-1050116	SLD 2	-1358736	-7429082	0.238	Si
242	28.27	6	25.13	6						-2918376	SLD 1	-4943795	-7429082	0.238	Si
330	28.27	6	25.13	6						-2964713	SLD 1	-3944050	-7429082	0.238	Si
630	28.27	6	25.13	6	3813368	SLD 1	3813368	6642484	0.222	-87369	SLD 16	-87369	-7429082	0.238	Si
660	28.27	6	25.13	6	4289939	SLD 1	4052422	6642484	0.222	-164114	SLD 16	-116094	-7429082	0.238	Si

Verifiche a taglio in famiglia SLU

x	A st	A sl	A sag	Vela	Comb.	Vdes	Vrd	Vrcd	Vrsd	Vult	cotgθ	Verifica
0	0	28.27	0	5863	SLU 12	5863	26659	211438	0	26659	1	Si
30	0.157	28.27	0	5137	SLU 12	5137	26659	211438	40936	40936	1	Si
264	0.166	28.27	0	31037	SLU 16	31037	26659	211438	43289	43289	1	Si
330	0.166	28.27	0	27666	SLU 16	27666	26659	211438	43289	43289	1	Si
630	0.148	25.13	0	12340	SLU 16	12340	25632	211438	38529	38529	1	Si
660	0	25.13	0	10808	SLU 16	10808	25632	211438	0	25632	1	Si

Verifiche a taglio in famiglia SLV

x	A st	A sl	A sag	Vela	Comb.	Vdes	Vrd	Vrcd	Vrsd	Vult	cotgθ	Verifica
0	0	28.27	0	21602	SLV 11	21602	26659	211438	0	26659	1	Si
0	0	28.27	0	-12839	SLV 6	-12839	-26659	-211438	0	-26659	1	Si

RELAZIONE GEOTECNICA E SULLE FONDAZIONI

x	A st	A sl	A sag	Vela	Comb.	Vdes	Vrd	Vrcd	Vrsd	Vult	cotgθ	Verifica
30	0.157	25.13	0	21044	SLV 11	21044	25632	211438	40936	40936	1	Si
30	0.157	28.27	0	-13398	SLV 6	-13398	-26659	-211438	-40936	-40936	1	Si
330	0.166	28.27	0	36334	SLV 1	36334	26659	211438	43289	43289	1	Si
630	0.148	25.13	0	24546	SLV 1	24546	25632	211438	38529	38529	1	Si
630	0.148	28.27	0	-10524	SLV 16	-10524	-26659	-211438	-38529	-38529	1	Si
638	0	25.13	0	24231	SLV 1	24231	25632	211438	0	25632	1	Si
638	0	28.27	0	-10838	SLV 16	-10838	-26659	-211438	0	-26659	1	Si
660	0	25.13	0	23367	SLV 1	23367	25632	211438	0	25632	1	Si
660	0	28.27	0	-11703	SLV 16	-11703	-26659	-211438	0	-26659	1	Si

Verifiche SLD Resistenza a taglio

x	A st	A sl	A sag	Vela	Comb.	Vdes	Vrd	Vrcd	Vrsd	Vult	cotgθ	Verifica
0	0	28.27	0	13531	SLD 11	13531	26659	211438	0	26659	1	Si
0	0	28.27	0	-4768	SLD 6	-4768	-26659	-211438	0	-26659	1	Si
30	0.157	25.13	0	12973	SLD 11	12973	25632	211438	40936	40936	1	Si
30	0.157	28.27	0	-5327	SLD 6	-5327	-26659	-211438	-40936	-40936	1	Si
264	0.166	28.27	0	30319	SLD 1	30319	26659	211438	43289	43289	1	Si
330	0.166	28.27	0	27726	SLD 1	27726	26659	211438	43289	43289	1	Si
630	0.148	25.13	0	15937	SLD 1	15937	25632	211438	38529	38529	1	Si
630	0.148	28.27	0	-1915	SLD 16	-1915	-26659	-211438	-38529	-38529	1	Si
660	0	25.13	0	14758	SLD 1	14758	25632	211438	0	25632	1	Si
660	0	28.27	0	-3094	SLD 16	-3094	-26659	-211438	0	-26659	1	Si

Verifiche delle tensioni in esercizio

x	Rara								Quasi permanente						Verifica
	Mela	Comb.	Mdes	σ c	σ c lim.	σ f.	σ f lim.	Mela	Comb.	Mdes	σ c	σ c lim.	σ FRP	σ FRP lim.	
0	-432661	8	-361330	4.6	149.4	189.3	3600	-402821	4	-332907	4.3	112.1	0	+∞	Si
30	-302659	8	-483431	6.2	149.4	253.2	3600	-275563	4	-412703	5.3	112.1	0	+∞	Si
330	-2402312	8	-3132880	40.1	149.4	1641	3600	-2139982	4	-2813016	36	112.1	0	+∞	Si
630	2118986	8	2118986	27.8	149.4	1242.6	3600	1863000	4	1863000	24.4	112.1	0	+∞	Si
660	2370730	8	2249211	29.5	149.4	1318.9	3600	2062912	4	1968164	25.8	112.1	0	+∞	Si

Verifica di apertura delle fessure

x	Bordo	Rara				Frequente				Quasi permanente				Verifica
		Dmax	Esm	Wd	Comb	Dmax	Esm	Wd	Comb	Dmax	Esm	Wd	Comb	
242	superiore	33.2	0.00059	0.0197	8	33.2	0.00061	0.0202	4	33.2	0.00058	0.0193	4	Si
330	superiore	33.2	0.00048	0.0159	8	33.2	0.00044	0.0147	4	33.2	0.00043	0.0143	4	Si

Verifica di deformabilità

x	Rara				Frequente				Quasi permanente						Verifica
	Elastica+	Elastica-	Fess.+	Fess.-	Elastica+	Elastica-	Fess.+	Fess.-	Elastica+	Elastica-	Fess. viscosa+	Comb.	Fess. viscosa-	Comb.	I/f
30	-0.006	-0.009	-0.005	-0.008	-0.006	-0.008	-0.005	-0.007	-0.006	-0.008	-0.013	1	-0.019	1	9999
286	-0.043	-0.064	-0.036	-0.059	-0.043	-0.059	-0.036	-0.057	-0.043	-0.057	-0.09	1	-0.132	1	7330
330	-0.04	-0.06	-0.034	-0.056	-0.04	-0.055	-0.034	-0.049	-0.04	-0.054	-0.085	1	-0.125	1	7727
630	-0.001	-0.001	-0.001	-0.002	-0.001	-0.001	-0.001	-0.001	-0.001	-0.001	-0.002	1	-0.003	1	9999

Campata 3 tra i fili Palo55 - Palo59, sezione R 90x80, asta 402

Verifiche a flessione in famiglia SLU

x	A sup.	C.b. sup.	A inf.	C.b. inf.	M+ela	Comb.	M+des	M+ult	x/d	M-ela	Comb.	M-des	M-ult	x/d	Verifica
0	28.27	6	25.13	6	1658248	SLU 16	1658248	6914755	0.094						Si
30	28.27	6	25.13	6	1793294	SLU 16	1892281	6914755	0.094						Si
132	28.27	6	25.13	6	1924091	SLU 16	1939435	6914755	0.094						Si
197	28.27	6	25.13	6	1735862	SLU 16	1856765	6914755	0.094						Si
365	31.42	6	25.13	6	297363	SLU 8	688435	6914505	0.093	-28744	SLU 9	-28744	-8587340	0.106	Si
395	31.42	6	25.13	6						-381579	SLU 9	-194476	-8587340	0.106	Si

Verifiche a flessione in famiglia SLV (domini sostanzialmente elastici)

La struttura oppure parte di essa, è stata dichiarata come non dissipativa pertanto la verifica a pressoflessione, per tutte o solo alcune sezioni, viene eseguita calcolando i momenti resistenti in campo sostanzialmente elastico secondo D.M. 17-01-2018 §7.4.1

Le dilatazioni ultime utilizzate sono le seguenti: $\epsilon_{c2} = 0.002$, $\epsilon_{yd} = 0.0019$

x	A sup.	C.b. sup.	A inf.	C.b. inf.	M+ela	Comb.	M+des	M+ult	x/d	M-ela	Comb.	M-des	M-ult	x/d	Verifica
0	28.27	6	25.13	6	2374055	SLV 13	2374055	6642484	0.222	-399616	SLV 4	-272998	-7429082	0.238	Si
13	28.27	6	25.13	6	2379683	SLV 13	2379683	6642484	0.222	-290842	SLV 4	-251689	-7429082	0.238	Si
30	28.27	6	25.13	6	2376960	SLV 13	2376960	6642484	0.222	-162373	SLV 4	-162373	-7429082	0.238	Si
197	28.27	6	25.13	6	1979323	SLV 9	2068291	6642484	0.222						Si
365	31.42	6	25.13	6	1118124	SLV 6	1334516	6649058	0.22	-853553	SLV 11	-853553	-8216628	0.251	Si
395	31.42	6	25.13	6	892890	SLV 6	892890	6649058	0.22	-1217724	SLV 11	-1032516	-8216628	0.251	Si

Verifiche SLD Resistenza a flessione (domini sostanzialmente elastici)

La struttura oppure parte di essa, è stata dichiarata come non dissipativa pertanto la verifica a pressoflessione, per tutte o solo alcune sezioni, viene eseguita calcolando i momenti resistenti in campo sostanzialmente elastico secondo D.M. 17-01-2018 §7.4.1

Le dilatazioni ultime utilizzate sono le seguenti: $\epsilon_{c2} = 0.002$, $\epsilon_{yd} = 0.0019$

x	A sup.	C.b. sup.	A inf.	C.b. inf.	M+ela	Comb.	M+des	M+ult	x/d	M-ela	Comb.	M-des	M-ult	x/d	Verifica
0	28.27	6	25.13	6	1699136	SLD 13	1699136	6642484	0.222						Si
30	28.27	6	25.13	6	1759177	SLD 13	1787433	6642484	0.222						Si
39	28.27	6	25.13	6	1772047	SLD 13	1788385	6642484	0.222						Si
197	28.27	6	25.13	6	1593290	SLD 9	1674744	6642484	0.222						Si
365	31.42	6	25.13	6	660776	SLD 6	910809	6649058	0.22	-396204	SLD 11	-396204	-8216628	0.251	Si
395	31.42	6	25.13	6	402673	SLD 6	402673	6649058	0.22	-727507	SLD 11	-556189	-8216628	0.251	Si

Verifiche a taglio in famiglia SLU

x	A st	A sl	A sag	Vela	Comb.	Vdes	Vrd	Vrcd	Vrsd	Vult	cotgθ	Verifica
0	0	25.13	0	6982	SLV 9	6982	25632	211438	0	25632	1	Si
30	0.141	25.13	0	5500	SLV 9	5500	25632	211438	36659	36659	1	Si
197	0.141	25.13	0	-4485	SLV 16	-4485	-25632	-211438	-36659	-36659	1	Si
365	0.141	25.13	0	-12760	SLV 16	-12760	-25632	-211438	-36659	-36659	1	Si
382	0	25.13	0	-13591	SLV 16	-13591	-25632	-211438	0	-25632	1	Si
395	0	31.42	0	-14242	SLV 16	-14242	-27611	-211438	0	-27611	1	Si

Verifiche a taglio in famiglia SLV

x	A st	A sl	A sag	Vela	Comb.	Vdes	Vrd	Vrcd	Vrsd	Vult	cotgθ	Verifica
0	0	28.27	0	9187	SLV 2	9187	26659	211438	0	26659	1	Si
30	0.141	25.13	0	8047	SLV 2	8047	25632	211438	36659	36659	1	Si
30	0.141	25.13	0	-1138	SLV 15	-1138	-25632	-211438	-36659	-36659	1	Si
197	0.141	25.13	0	1682	SLV 2	1682	25632	211438	36659	36659	1	Si
197	0.141	25.13	0	-7503	SLV 15	-7503	-25632	-211438	-36659	-36659	1	Si
365	0.141	31.42	0	-13868	SLV 15	-13868	-27611	-211438	-36659	-36659	1	Si
395	0	31.42	0	-15008	SLV 15	-15008	-27611	-211438	0	-27611	1	Si

Verifiche SLD Resistenza a taglio

x	A st	A sl	A sag	Vela	Comb.	Vdes	Vrd	Vrcd	Vrsd	Vult	cotgθ	Verifica
0	0	25.13	0	6965	SLD 2	6965	25632	211438	0	25632	1	Si
30	0.141	25.13	0	5825	SLD 2	5825	25632	211438	36659	36659	1	Si
197	0.141	25.13	0	-5281	SLD 15	-5281	-25632	-211438	-36659	-36659	1	Si
365	0.141	31.42	0	-11646	SLD 15	-11646	-27611	-211438	-36659	-36659	1	Si
395	0	31.42	0	-12786	SLD 15	-12786	-27611	-211438	0	-27611	1	Si

Verifiche delle tensioni in esercizio

x	Rara							Quasi permanente							Verifica
	Mela	Comb.	Mdes	σ c	σ c lim.	σ f.	σ f lim.	Mela	Comb.	Mdes	σ c	σ c lim.	σ FRP	σ FRP lim.	
0	1178759	8	1178759	15.5	149.4	691.2	3600	987220	4	987220	12.9	112.1	0	++	Si
30	1287905	8	1369892	18	149.4	803.3	3600	1107294	4	1201411	15.8	112.1	0	++	Si
197	1273119	8	1360278	17.8	149.4	797.7	3600	1153520	4	1228549	16.1	112.1	0	++	Si
365	190872	8	490956	6.3	149.4	287.6	3600	132286	4	420240	5.4	112.1	0	++	Si
365	-22110	1	-22110	0.3	149.4	10.5	3600	-22110	1	-22110	0.3	112.1	0	++	Si
395	-293522	1	-149597	1.8	149.4	70.8	3600	-293522	1	-149597	1.8	112.1	0	++	Si

Verifica di apertura delle fessure

La campata non presenta apertura delle fessure

Verifica di deformabilità

x	Rara				Frequente				Quasi permanente						Verifica	
	Elastica+	Elastica-	Fess.+	Fess.-	Elastica+	Elastica-	Fess.+	Fess.-	Elastica+	Elastica-	Fess. viscosa+	Comb.	Fess. viscosa-	Comb.	l/f	
30	0.006	0.004	0.005	0.003	0.005	0.004	0.005	0.003	0.005	0.004	0.011	4	0.008	4	9999	Si
184	0.019	0.013	0.017	0.011	0.018	0.013	0.016	0.011	0.017	0.013	0.037	4	0.027	4	9999	Si
197	0.019	0.013	0.017	0.011	0.018	0.013	0.015	0.011	0.017	0.013	0.037	4	0.027	4	9999	Si
365	0.004	0.003	0.004	0.002	0.004	0.003	0.003	0.002	0.004	0.003	0.008	4	0.005	4	9999	Si

Campata 4 tra i fili Palo59 - 11, sezione R 90x80, aste 2264, 2342

Verifiche a flessione in famiglia SLU

x	A sup.	C.b. sup.	A inf.	C.b. inf.	M+ela	Comb.	M+des	M+ult	x/d	M-ela	Comb.	M-des	M-ult	x/d	Verifica
0	31.42	6	25.13	6	707016	SLU 16	707016	6914505	0.093						Si
30	31.42	6	25.13	6	818136	SLU 16	889795	6914505	0.093						Si
228	31.42	6	25.13	6	525247	SLU 9	642831	6914505	0.093						Si
349	31.42	6	25.13	6	-200731	SLU 1	43691	6914505	0.093	-738051	SLU 16	-1148144	-8587340	0.106	Si
435	31.42	6	25.13	6						-625722	SLU 16	-729715	-8587340	0.106	Si
455	31.42	6	25.13	6						-576120	SLU 16	-576120	-8587340	0.106	Si

Verifiche a flessione in famiglia SLV (domini sostanzialmente elastici)

La struttura oppure parte di essa, è stata dichiarata come non dissipativa pertanto la verifica a pressoflessione, per tutte o solo alcune sezioni, viene eseguita calcolando i momenti resistenti in campo sostanzialmente elastico secondo D.M. 17-01-2018 §7.4.1

Le dilatazioni ultime utilizzate sono le seguenti: $\epsilon_{c2} = 0.002$, $\epsilon_{yd} = 0.0019$

x	A sup.	C.b. sup.	A inf.	C.b. inf.	M+ela	Comb.	M+des	M+ult	x/d	M-ela	Comb.	M-des	M-ult	x/d	Verifica
0	31.42	6	25.13	6	6443045	SLV 14	6023196	6649058	0.22	-5720130	SLV 3	-5172135	-8216628	0.251	Si
30	31.42	6	25.13	6	5586742	SLV 14	5586742	6649058	0.22	-4640333	SLV 3	-4640333	-8216628	0.251	Si
228	31.42	6	25.13	6	1633914	SLV 4	2537210	6649058	0.22	-914175	SLV 13	-2148562	-8216628	0.251	Si
435	31.42	6	25.13	6	2987424	SLV 3	3336133	6649058	0.22	-3810060	SLV 14	-4284512	-8216628	0.251	Si
455	31.42	6	25.13	6	2768257	SLV 3	2768257	6649058	0.22	-3535151	SLV 14	-3535151	-8216628	0.251	Si

Verifiche SLD Resistenza a flessione (domini sostanzialmente elastici)

La struttura oppure parte di essa, è stata dichiarata come non dissipativa pertanto la verifica a pressoflessione, per tutte o solo alcune sezioni, viene eseguita calcolando i momenti resistenti in campo sostanzialmente elastico secondo D.M. 17-01-2018 §7.4.1

Le dilatazioni ultime utilizzate sono le seguenti: $\epsilon_{c2} = 0.002$, $\epsilon_{yd} = 0.0019$

x	A sup.	C.b. sup.	A inf.	C.b. inf.	M+ela	Comb.	M+des	M+ult	x/d	M-ela	Comb.	M-des	M-ult	x/d	Verifica
0	31.42	6	25.13	6	3457831	SLD 14	3275351	6649058	0.22	-2734916	SLD 3	-2424289	-8216628	0.251	Si
30	31.42	6	25.13	6	3076365	SLD 14	3076365	6649058	0.22	-2129956	SLD 3	-2129956	-8216628	0.251	Si
228	31.42	6	25.13	6	1011327	SLD 4	1390250	6649058	0.22	-291589	SLD 13	-1001603	-8216628	0.251	Si
435	31.42	6	25.13	6	1323692	SLD 3	1469525	6649058	0.22	-2146329	SLD 14	-2417903	-8216628	0.251	Si
455	31.42	6	25.13	6	1226295	SLD 3	1226295	6649058	0.22	-1993189	SLD 14	-1993189	-8216628	0.251	Si

Verifiche a taglio in famiglia SLU

x	A st	A sl	A sag	Vela	Comb.	Vdes	Vrd	Vrcd	Vrsd	Vult	cotgθ	Verifica
0	0	25.13	0	7754	SLU 9	7754	25632	211438	0	25632	1	Si
30	0.148	25.13	0	6272	SLU 9	6272	25632	211438	38527	38527	1	Si
228	0.17	25.13	0	-6763	SLU 16	-6763	-25632	-211438	-44348	-44348	1	Si
435	0.196	31.42	0	2713	SLU 16	2713	27611	211438	51170	51170	1	Si
455	0	31.42	0	2245	SLU 16	2245	27611	211438	0	27611	1	Si

Verifiche a taglio in famiglia SLV

x	A st	A sl	A sag	Vela	Comb.	Vdes	Vrd	Vrcd	Vrsd	Vult	cotgθ	Verifica
0	0	31.42	0	36593	SLV 3	36593	27611	211438	0	27611	1	Si
0	0	25.13	0	-27957	SLV 14	-27957	-25632	-211438	0	-25632	1	Si
30	0.148	31.42	0	35453	SLV 3	35453	27611	211438	38527	38527	1	Si
30	0.148	25.13	0	-29097	SLV 14	-29097	-25632	-211438	-38527	-38527	1	Si
228	0.17	25.13	0	27948	SLV 3	27948	25632	211438	44348	44348	1	Si
228	0.17	31.42	0	-36602	SLV 14	-36602	-27611	-211438	-44348	-44348	1	Si
435	0.196	31.42	0	14081	SLV 13	14081	27611	211438	51170	51170	1	Si
435	0.196	25.13	0	-10935	SLV 4	-10935	-25632	-211438	-51170	-51170	1	Si
455	0	31.42	0	13721	SLV 13	13721	27611	211438	0	27611	1	Si
455	0	25.13	0	-11295	SLV 4	-11295	-25632	-211438	0	-25632	1	Si

Verifiche SLD Resistenza a taglio

x	A st	A sl	A sag	Vela	Comb.	Vdes	Vrd	Vrcd	Vrsd	Vult	cotgθ	Verifica
0	0	31.42	0	20762	SLD 3	20762	27611	211438	0	27611	1	Si
0	0	25.13	0	-12126	SLD 14	-12126	-25632	-211438	0	-25632	1	Si
30	0.148	31.42	0	19622	SLD 3	19622	27611	211438	38527	38527	1	Si
30	0.148	25.13	0	-13266	SLD 14	-13266	-25632	-211438	-38527	-38527	1	Si
228	0.17	25.13	0	12117	SLD 3	12117	25632	211438	44348	44348	1	Si
228	0.17	31.42	0	-20771	SLD 14	-20771	-27611	-211438	-44348	-44348	1	Si
435	0.196	31.42	0	7914	SLD 13	7914	27611	211438	51170	51170	1	Si
435	0.196	25.13	0	-4768	SLD 4	-4768	-25632	-211438	-51170	-51170	1	Si
455	0	31.42	0	7554	SLD 13	7554	27611	211438	0	27611	1	Si
455	0	25.13	0	-5128	SLD 4	-5128	-25632	-211438	0	-25632	1	Si

Verifiche delle tensioni in esercizio

x	Rara								Quasi permanente								Verifica
	Mela	Comb.	Mdes	σ c	σ c lim.	σ f.	σ f lim.	Mela	Comb.	Mdes	σ c	σ c lim.	σ FRP	σ FRP lim.			

RELAZIONE GEOTECNICA E SULLE FONDAZIONI

x	Rara							Quasi permanente							Verifica
	Mela	Comb.	Mdes	σ c	σ c lim.	σ f.	σ f lim.	Mela	Comb.	Mdes	σ c	σ c lim.	σ FRP	σ FRP lim.	
0	475485	8	475485	6.1	149.4	278.6	3600	361457	4	361457	4.7	112.1	0	$+\infty$	Si
30	571050	8	637370	8.2	149.4	373.4	3600	473205	4	557486	7.2	112.1	0	$+\infty$	Si
228	404036	1	491418	6.3	149.4	287.9	3600	404036	1	482140	6.2	112.1	0	$+\infty$	Si
435	-452533	8	-526395	6.5	149.4	249.1	3600	-411318	4	-474189	5.9	112.1	0	$+\infty$	Si
455	-418060	8	-418060	5.2	149.4	197.8	3600	-383447	4	-383447	4.7	112.1	0	$+\infty$	Si

Verifica di apertura delle fessure

La campata non presenta apertura delle fessure

Verifica di deformabilità

x	Rara				Frequente				Quasi permanente							Verifica
	Elastica+	Elastica-	Fess.+	Fess.-	Elastica+	Elastica-	Fess.+	Fess.-	Elastica+	Elastica-	Fess. viscosa+	Comb.	Fess. viscosa-	Comb.	l/f	
30	0.002	0.002	0.002	0.001	0.002	0.002	0.002	0.001	0.002	0.002	0.004	4	0.004	4	9999	Si
182	0.007	0.006	0.005	0.005	0.007	0.006	0.005	0.005	0.007	0.006	0.013	2	0.013	2	9999	Si
228	0.006	0.005	0.005	0.004	0.006	0.005	0.005	0.004	0.006	0.005	0.012	1	0.011	1	9999	Si
435	0	0	0	0	0	0	0	0	0	0	0	1	-0.001	1	9999	Si

Campata 5 tra i fili 11 - Palo63, sezione R 90x80, aste 2341, 2340

Verifiche a flessione in famiglia SLU

x	A sup.	C.b. sup.	A inf.	C.b. inf.	M+ela	Comb.	M+des	M+ult	x/d	M-ela	Comb.	M-des	M-ult	x/d	Verifica
0	31.42	6	25.13	6						-471297	SLU 16	-471297	-8587340	0.106	Si
20	31.42	6	25.13	6						-524131	SLU 16	-963764	-8587340	0.106	Si
40	31.42	6	25.13	6	-299850	SLU 1	4314	6914505	0.093	-586323	SLU 16	-963764	-8587340	0.106	Si
50	31.42	6	25.13	6	-531161	SLU 1	1682	6914505	0.093	-963764	SLU 16	-963764	-8587340	0.106	Si
80	31.42	6	25.13	6						-1134722	SLU 16	-1043980	-8587340	0.106	Si

Verifiche a flessione in famiglia SLV (domini sostanzialmente elastici)

La struttura oppure parte di essa, è stata dichiarata come non dissipativa pertanto la verifica a pressoflessione, per tutte o solo alcune sezioni, viene eseguita calcolando i momenti resistenti in campo sostanzialmente elastico secondo D.M. 17-01-2018 §7.4.1

Le dilatazioni ultime utilizzate sono le seguenti: $\epsilon c2= 0.002$, $\epsilon yd= 0.0019$

x	A sup.	C.b. sup.	A inf.	C.b. inf.	M+ela	Comb.	M+des	M+ult	x/d	M-ela	Comb.	M-des	M-ult	x/d	Verifica
0	31.42	6	25.13	6	1908968	SLV 3	1726172	6649058	0.22	-2547816	SLV 14	-2397873	-8216628	0.251	Si
20	31.42	6	25.13	6	1539457	SLV 3	1539457	6649058	0.22	-2251211	SLV 14	-2251211	-8216628	0.251	Si
40	31.42	6	25.13	6	1162899	SLV 3	1539457	6649058	0.22	-1961957	SLV 14	-2251211	-8216628	0.251	Si
50	31.42	6	25.13	6	253473	SLV 4	1539457	6649058	0.22	-1575422	SLV 13	-2251211	-8216628	0.251	Si
80	31.42	6	25.13	6						-1552357	SLV 15	-1499872	-8216628	0.251	Si

Verifiche SLD Resistenza a flessione (domini sostanzialmente elastici)

La struttura oppure parte di essa, è stata dichiarata come non dissipativa pertanto la verifica a pressoflessione, per tutte o solo alcune sezioni, viene eseguita calcolando i momenti resistenti in campo sostanzialmente elastico secondo D.M. 17-01-2018 §7.4.1

Le dilatazioni ultime utilizzate sono le seguenti: $\epsilon c2= 0.002$, $\epsilon yd= 0.0019$

x	A sup.	C.b. sup.	A inf.	C.b. inf.	M+ela	Comb.	M+des	M+ult	x/d	M-ela	Comb.	M-des	M-ult	x/d	Verifica
0	31.42	6	25.13	6	821181	SLD 3	719389	6649058	0.22	-1460028	SLD 14	-1391090	-8216628	0.251	Si
20	31.42	6	25.13	6	613834	SLD 3	613834	6649058	0.22	-1325588	SLD 14	-1325588	-8216628	0.251	Si
40	31.42	6	25.13	6	399366	SLD 3	613834	6649058	0.22	-1198423	SLD 14	-1325588	-8216628	0.251	Si
50	31.42	6	25.13	6	-196202	SLD 4	613834	6649058	0.22	-1125747	SLD 13	-1325588	-8216628	0.251	Si
80	31.42	6	25.13	6						-1171268	SLD 15	-1134942	-8216628	0.251	Si

Verifiche a taglio in famiglia SLU

x	A st	A sl	A sag	Vela	Comb.	Vdes	Vrd	Vrcd	Vrsd	Vult	cotgθ	Verifica
0	0	31.42	0	-2459	SLU 12	-2459	-27611	-211438	0	-27611	1	Si
20	0.209	31.42	0	-2927	SLU 12	-2927	-27611	-211438	-54585	-54585	1	Si
40	0.209	31.42	0	-3395	SLU 12	-3395	-27611	-211438	-54585	-54585	1	Si
50	0.209	31.42	0	-5348	SLU 16	-5348	-27611	-211438	-54585	-54585	1	Si
80	0	31.42	0	-6050	SLU 16	-6050	-27611	-211438	0	-27611	1	Si

Verifiche a taglio in famiglia SLV

x	A st	A sl	A sag	Vela	Comb.	Vdes	Vrd	Vrcd	Vrsd	Vult	cotgθ	Verifica
0	0	31.42	0	15026	SLV 14	15026	27611	211438	0	27611	1	Si
0	0	25.13	0	-18311	SLV 3	-18311	-25632	-211438	0	-25632	1	Si
19	0	31.42	0	14690	SLV 14	14690	27611	211438	0	27611	1	Si
19	0	25.13	0	-18647	SLV 3	-18647	-25632	-211438	0	-25632	1	Si
20	0.209	31.42	0	14666	SLV 14	14666	27611	211438	54585	54585	1	Si
20	0.209	25.13	0	-18671	SLV 3	-18671	-25632	-211438	-54585	-54585	1	Si
40	0.209	31.42	0	14306	SLV 14	14306	27611	211438	54585	54585	1	Si
40	0.209	25.13	0	-19031	SLV 3	-19031	-25632	-211438	-54585	-54585	1	Si
50	0.209	31.42	0	4633	SLV 10	4633	27611	211438	54585	54585	1	Si
50	0.209	31.42	0	-12019	SLV 7	-12019	-27611	-211438	-54585	-54585	1	Si
80	0	31.42	0	4093	SLV 10	4093	27611	211438	0	27611	1	Si
80	0	31.42	0	-12559	SLV 7	-12559	-27611	-211438	0	-27611	1	Si

Verifiche SLD Resistenza a taglio

x	A st	A sl	A sag	Vela	Comb.	Vdes	Vrd	Vrcd	Vrsd	Vult	cotgθ	Verifica
0	0	31.42	0	6910	SLD 14	6910	27611	211438	0	27611	1	Si
0	0	25.13	0	-10196	SLD 3	-10196	-25632	-211438	0	-25632	1	Si
19	0	31.42	0	6574	SLD 14	6574	27611	211438	0	27611	1	Si
19	0	25.13	0	-10531	SLD 3	-10531	-25632	-211438	0	-25632	1	Si
20	0.209	31.42	0	6550	SLD 14	6550	27611	211438	54585	54585	1	Si
20	0.209	25.13	0	-10556	SLD 3	-10556	-25632	-211438	-54585	-54585	1	Si
40	0.209	31.42	0	6190	SLD 14	6190	27611	211438	54585	54585	1	Si
40	0.209	25.13	0	-10915	SLD 3	-10915	-25632	-211438	-54585	-54585	1	Si
50	0.209	31.42	0	746	SLD 10	746	27611	211438	54585	54585	1	Si
50	0.209	31.42	0	-8132	SLD 7	-8132	-27611	-211438	-54585	-54585	1	Si
80	0	31.42	0	206	SLD 10	206	27611	211438	0	27611	1	Si
80	0	31.42	0	-8672	SLD 7	-8672	-27611	-211438	0	-27611	1	Si

Verifiche delle tensioni in esercizio

x	Rara							Quasi permanente							Verifica
	Mela	Comb.	Mdes	σc	σc lim.	σf .	σf lim.	Mela	Comb.	Mdes	σc	σc lim.	σFRP	σFRP lim.	
0	-343716	8	-343716	4.2	149.4	162.6	3600	-319424	4	-319424	3.9	112.1	0	+∞	Si
20	-383690	8	-713330	8.8	149.4	337.5	3600	-355877	4	-660975	8.2	112.1	0	+∞	Si
40	-430862	8	-713330	8.8	149.4	337.5	3600	-399529	4	-660975	8.2	112.1	0	+∞	Si
50	-713330	8	-713330	8.8	149.4	337.5	3600	-660975	4	-660975	8.2	112.1	0	+∞	Si
80	-841201	8	-773218	9.5	149.4	365.9	3600	-779871	4	-716375	8.8	112.1	0	+∞	Si

Verifica di apertura delle fessure

La campata non presenta apertura delle fessure

Verifica di deformabilità

x	Rara				Frequente				Quasi permanente						Verifica	
	Elastica+	Elastica-	Fess.+	Fess.-	Elastica+	Elastica-	Fess.+	Fess.-	Elastica+	Elastica-	Fess. viscosa+	Comb.	Fess. viscosa-	Comb.	l/f	
20	0	0	0	0	0	0	0	0	0	0	0	1	-0.001	1	9999	Si
40	0	0	0	0	0	0	0	0	0	0	-0.001	1	-0.001	1	9999	Si
45	0	0	0	0	0	0	0	0	0	0	-0.001	1	-0.001	1	9999	Si
50	0	0	0	0	0	0	0	0	0	0	-0.001	1	-0.001	1	9999	Si

Campata 6 tra i fili Palo63 - Palo64, sezione R 90x80, aste 2346, 2345, 2344, 2343

Verifiche a flessione in famiglia SLU

x	A sup.	C.b. sup.	A inf.	C.b. inf.	M+ela	Comb.	M+des	M+ult	x/d	M-ela	Comb.	M-des	M-ult	x/d	Verifica
0	31.42	6	25.13	6						-1194645	SLU 16	-1188348	-8587340	0.106	Si
30	31.42	6	25.13	6						-1192576	SLU 16	-1227893	-8587340	0.106	Si
85	31.42	6	25.13	6	-697785	SLU 1	28665	6914505	0.093	-1247429	SLU 16	-1357606	-8587340	0.106	Si
140	31.42	6	25.13	6						-1534293	SLU 16	-1534293	-8587340	0.106	Si
170	31.42	6	25.13	6						-1608078	SLU 16	-1565922	-8587340	0.106	Si

Verifiche a flessione in famiglia SLV (domini sostanzialmente elastici)

La struttura oppure parte di essa, è stata dichiarata come non dissipativa pertanto la verifica a pressoflessione, per tutte o solo alcune sezioni, viene eseguita calcolando i momenti resistenti in campo sostanzialmente elastico secondo D.M. 17-01-2018 §7.4.1

Le dilatazioni ultime utilizzate sono le seguenti: $\epsilon_{c2} = 0.002$, $\epsilon_{yd} = 0.0019$

x	A sup.	C.b. sup.	A inf.	C.b. inf.	M+ela	Comb.	M+des	M+ult	x/d	M-ela	Comb.	M-des	M-ult	x/d	Verifica
0	31.42	6	25.13	6						-1186091	SLV 16	-1145554	-8216628	0.251	Si
30	31.42	6	25.13	6						-1165973	SLV 16	-1261325	-8216628	0.251	Si
85	31.42	6	25.13	6						-1289432	SLV 12	-1499993	-8216628	0.251	Si
140	31.42	6	25.13	6						-1851283	SLV 11	-1851283	-8216628	0.251	Si
170	31.42	6	25.13	6						-1993649	SLV 11	-1919138	-8216628	0.251	Si

Verifiche SLD Resistenza a flessione (domini sostanzialmente elastici)

La struttura oppure parte di essa, è stata dichiarata come non dissipativa pertanto la verifica a pressoflessione, per tutte o solo alcune sezioni, viene eseguita calcolando i momenti resistenti in campo sostanzialmente elastico secondo D.M. 17-01-2018 §7.4.1

Le dilatazioni ultime utilizzate sono le seguenti: $\epsilon_{c2} = 0.002$, $\epsilon_{yd} = 0.0019$

x	A sup.	C.b. sup.	A inf.	C.b. inf.	M+ela	Comb.	M+des	M+ult	x/d	M-ela	Comb.	M-des	M-ult	x/d	Verifica
0	31.42	6	25.13	6						-1008750	SLD 16	-989214	-8216628	0.251	Si
30	31.42	6	25.13	6						-1001037	SLD 12	-1064236	-8216628	0.251	Si
85	31.42	6	25.13	6						-1085896	SLD 12	-1235122	-8216628	0.251	Si
140	31.42	6	25.13	6						-1481398	SLD 11	-1481398	-8216628	0.251	Si
170	31.42	6	25.13	6						-1582015	SLD 11	-1528029	-8216628	0.251	Si

Verifiche a taglio in famiglia SLU

x	A st	A sl	A sag	Vela	Comb.	Vdes	Vrd	Vrcd	Vrsd	Vult	cotgθ	Verifica
0	0	31.42	0	519	SLU 9	519	27611	211438	0	27611	1	Si
30	0.143	31.42	0	-282	SLU 16	-282	-27611	-211438	-37215	-37215	1	Si
85	0.143	31.42	0	-1157	SLU 16	-1157	-27611	-211438	-37215	-37215	1	Si
140	0.143	31.42	0	-2109	SLU 16	-2109	-27611	-211438	-37215	-37215	1	Si
170	0	31.42	0	-2811	SLU 16	-2811	-27611	-211438	0	-27611	1	Si

Verifiche a taglio in famiglia SLV

x	A st	A sl	A sag	Vela	Comb.	Vdes	Vrd	Vrcd	Vrsd	Vult	cotgθ	Verifica
0	0	31.42	0	1576	SLV 2	1576	27611	211438	0	27611	1	Si
0	0	31.42	0	-857	SLV 15	-857	-27611	-211438	0	-27611	1	Si
30	0.143	31.42	0	1036	SLV 2	1036	27611	211438	37215	37215	1	Si
30	0.143	31.42	0	-1397	SLV 15	-1397	-27611	-211438	-37215	-37215	1	Si
85	0.143	31.42	0	327	SLV 10	327	27611	211438	37215	37215	1	Si
85	0.143	31.42	0	-1996	SLV 7	-1996	-27611	-211438	-37215	-37215	1	Si
140	0.143	31.42	0	1556	SLV 6	1556	27611	211438	37215	37215	1	Si
140	0.143	31.42	0	-4524	SLV 11	-4524	-27611	-211438	-37215	-37215	1	Si
170	0	31.42	0	1016	SLV 6	1016	27611	211438	0	27611	1	Si
170	0	31.42	0	-5064	SLV 11	-5064	-27611	-211438	0	-27611	1	Si

Verifiche SLD Resistenza a taglio

x	A st	A sl	A sag	Vela	Comb.	Vdes	Vrd	Vrcd	Vrsd	Vult	cotgθ	Verifica
0	0	31.42	0	995	SLD 6	995	27611	211438	0	27611	1	Si
0	0	31.42	0	-276	SLD 11	-276	-27611	-211438	0	-27611	1	Si
30	0.143	31.42	0	455	SLD 6	455	27611	211438	37215	37215	1	Si
30	0.143	31.42	0	-816	SLD 11	-816	-27611	-211438	-37215	-37215	1	Si
85	0.143	31.42	0	-1452	SLD 7	-1452	-27611	-211438	-37215	-37215	1	Si
140	0.143	31.42	0	142	SLD 6	142	27611	211438	37215	37215	1	Si
140	0.143	31.42	0	-3109	SLD 11	-3109	-27611	-211438	-37215	-37215	1	Si
170	0	31.42	0	-3649	SLD 11	-3649	-27611	-211438	0	-27611	1	Si

Verifiche delle tensioni in esercizio

x	Rara							Quasi permanente							Verifica
	Mela	Comb.	Mdes	σ c	σ c lim.	σ f.	σ f lim.	Mela	Comb.	Mdes	σ c	σ c lim.	σ FRP	σ FRP lim.	
0	-886223	8	-881227	10.9	149.4	417	3600	-820067	4	-814679	10.1	112.1	0	+∞	Si
30	-884328	8	-909987	11.2	149.4	430.6	3600	-817388	4	-839347	10.4	112.1	0	+∞	Si
85	-924657	8	-1007008	12.4	149.4	476.5	3600	-853182	4	-929854	11.5	112.1	0	+∞	Si
140	-1139601	8	-1139601	14.1	149.4	539.2	3600	-1054592	4	-1054592	13	112.1	0	+∞	Si
170	-1195128	8	-1163316	14.4	149.4	550.4	3600	-1107197	4	-1076846	13.3	112.1	0	+∞	Si

Verifica di apertura delle fessure

La campata non presenta apertura delle fessure

Verifica di deformabilità

x	Rara				Frequente				Quasi permanente							Verifica
	Elastica+	Elastica-	Fess.+	Fess.-	Elastica+	Elastica-	Fess.+	Fess.-	Elastica+	Elastica-	Fess. viscosa+	Comb.	Fess. viscosa-	Comb.	l/f	
30	-0.001	-0.002	-0.001	-0.001	-0.001	-0.002	-0.001	-0.001	-0.001	-0.001	-0.003	1	-0.003	1	9999	Si
85	-0.002	-0.003	-0.002	-0.003	-0.002	-0.003	-0.002	-0.002	-0.002	-0.003	-0.005	1	-0.006	1	9999	Si
140	-0.001	-0.002	-0.001	-0.002	-0.001	-0.002	-0.001	-0.002	-0.001	-0.002	-0.003	1	-0.004	1	9999	Si

Campata 7 tra i fili Palo64 - Palo65, sezione R 90x80, aste 2349, 2348, 2347

Verifiche a flessione in famiglia SLU

x	A sup.	C.b. sup.	A inf.	C.b. inf.	M+ela	Comb.	M+des	M+ult	x/d	M-ela	Comb.	M-des	M-ult	x/d	Verifica
---	--------	-----------	--------	-----------	-------	-------	-------	-------	-----	-------	-------	-------	-------	-----	----------

RELAZIONE GEOTECNICA E SULLE FONDAZIONI

x	A sup.	C.b. sup.	A inf.	C.b. inf.	M+ela	Comb.	M+des	M+ult	x/d	M-ela	Comb.	M-des	M-ult	x/d	Verifica
0	31.42	6	25.13	6						-1636863	SLU 16	-1583654	-8587340	0.106	Si
30	31.42	6	25.13	6						-1540971	SLU 16	-1540971	-8587340	0.106	Si
85	31.42	6	25.13	6	-715518	SLU 1	28665	6914505	0.093	-1280656	SLU 16	-1484769	-8587340	0.106	Si
140	31.42	6	25.13	6						-1173718	SLU 16	-1256663	-8587340	0.106	Si
170	45.22	6	40.9	6						-1170118	SLU 16	-1166655	-12254872	0.116	Si

Verifiche a flessione in famiglia SLV (domini sostanzialmente elastici)

La struttura oppure parte di essa, è stata dichiarata come non dissipativa pertanto la verifica a pressoflessione, per tutte o solo alcune sezioni, viene eseguita calcolando i momenti resistenti in campo sostanzialmente elastico secondo D.M. 17-01-2018 §7.4.1

Le dilatazioni ultime utilizzate sono le seguenti: $\epsilon_{c2} = 0.002$, $\epsilon_{yd} = 0.0019$

x	A sup.	C.b. sup.	A inf.	C.b. inf.	M+ela	Comb.	M+des	M+ult	x/d	M-ela	Comb.	M-des	M-ult	x/d	Verifica
0	31.42	6	25.13	6						-1968497	SLV 7	-1894630	-8216628	0.251	Si
30	31.42	6	25.13	6						-1823227	SLV 7	-1823227	-8216628	0.251	Si
85	31.42	6	25.13	6						-1418523	SLV 7	-1729226	-8216628	0.251	Si
140	31.42	6	25.13	6						-1264004	SLV 7	-1378423	-8216628	0.251	Si
170	45.22	6	40.9	6						-1261195	SLV 3	-1245594	-11712042	0.285	Si

Verifiche SLD Resistenza a flessione (domini sostanzialmente elastici)

La struttura oppure parte di essa, è stata dichiarata come non dissipativa pertanto la verifica a pressoflessione, per tutte o solo alcune sezioni, viene eseguita calcolando i momenti resistenti in campo sostanzialmente elastico secondo D.M. 17-01-2018 §7.4.1

Le dilatazioni ultime utilizzate sono le seguenti: $\epsilon_{c2} = 0.002$, $\epsilon_{yd} = 0.0019$

x	A sup.	C.b. sup.	A inf.	C.b. inf.	M+ela	Comb.	M+des	M+ult	x/d	M-ela	Comb.	M-des	M-ult	x/d	Verifica
0	31.42	6	25.13	6						-1576660	SLD 7	-1519332	-8216628	0.251	Si
30	31.42	6	25.13	6						-1467238	SLD 7	-1467238	-8216628	0.251	Si
85	31.42	6	25.13	6						-1165012	SLD 7	-1398710	-8216628	0.251	Si
140	31.42	6	25.13	6						-1047894	SLD 7	-1135782	-8216628	0.251	Si
170	45.22	6	40.9	6						-1042966	SLD 7	-1036175	-11712042	0.285	Si

Verifiche a taglio in famiglia SLU

x	A st	A sl	A sag	Vela	Comb.	Vdes	Vrd	Vrcd	Vrsd	Vult	cotgθ	Verifica
0	0	31.42	0	3548	SLU 16	3548	27611	211438	0	27611	1	Si
30	0.143	31.42	0	2846	SLU 16	2846	27611	211438	37215	37215	1	Si
85	0.143	31.42	0	1362	SLU 16	1362	27611	211438	37215	37215	1	Si
140	0.143	31.42	0	471	SLU 16	471	27611	211438	37215	37215	1	Si
170	0	31.42	0	-447	SLU 9	-447	-27611	-211438	0	-27611	1	Si

Verifiche a taglio in famiglia SLV

x	A st	A sl	A sag	Vela	Comb.	Vdes	Vrd	Vrcd	Vrsd	Vult	cotgθ	Verifica
0	0	31.42	0	5302	SLV 8	5302	27611	211438	0	27611	1	Si
0	0	31.42	0	-225	SLV 9	-225	-27611	-211438	0	-27611	1	Si
30	0.143	31.42	0	4762	SLV 8	4762	27611	211438	37215	37215	1	Si
30	0.143	31.42	0	-765	SLV 9	-765	-27611	-211438	-37215	-37215	1	Si
85	0.143	31.42	0	2626	SLV 12	2626	27611	211438	37215	37215	1	Si
85	0.143	31.42	0	-731	SLV 5	-731	-27611	-211438	-37215	-37215	1	Si
140	0.143	31.42	0	1613	SLV 4	1613	27611	211438	37215	37215	1	Si
140	0.143	31.42	0	-1033	SLV 13	-1033	-27611	-211438	-37215	-37215	1	Si
170	0	31.42	0	1073	SLV 4	1073	27611	211438	0	27611	1	Si
170	0	31.42	0	-1573	SLV 13	-1573	-27611	-211438	0	-27611	1	Si

Verifiche SLD Resistenza a taglio

x	A st	A sl	A sag	Vela	Comb.	Vdes	Vrd	Vrcd	Vrsd	Vult	cotgθ	Verifica
0	0	31.42	0	4014	SLD 8	4014	27611	211438	0	27611	1	Si
30	0.143	31.42	0	3474	SLD 8	3474	27611	211438	37215	37215	1	Si
85	0.143	31.42	0	1839	SLD 12	1839	27611	211438	37215	37215	1	Si
140	0.143	31.42	0	976	SLD 4	976	27611	211438	37215	37215	1	Si
140	0.143	31.42	0	-396	SLD 13	-396	-27611	-211438	-37215	-37215	1	Si
170	0	31.42	0	436	SLD 4	436	27611	211438	0	27611	1	Si
170	0	31.42	0	-936	SLD 13	-936	-27611	-211438	0	-27611	1	Si

Verifiche delle tensioni in esercizio

x	Rara							Quasi permanente							Verifica
	Mela	Comb.	Mdes	σ c	σ c lim.	σ f.	σ f lim.	Mela	Comb.	Mdes	σ c	σ c lim.	σ FRP	σ FRP lim.	
0	-1216106	8	-1176037	14.5	149.4	556.5	3600	-1125487	4	-1087415	13.4	112.1	0	+∞	Si
30	-1144063	8	-1144063	14.1	149.4	541.3	3600	-1057440	4	-1057440	13	112.1	0	+∞	Si
85	-949173	8	-1102075	13.6	149.4	521.5	3600	-874889	4	-1018341	12.6	112.1	0	+∞	Si
140	-870024	8	-931383	11.5	149.4	440.7	3600	-802824	4	-858612	10.6	112.1	0	+∞	Si
170	-867918	8	-864922	8.7	149.4	286.3	3600	-802225	4	-798476	8	112.1	0	+∞	Si

Verifica di apertura delle fessure

La campata non presenta apertura delle fessure

Verifica di deformabilità

x	Rara				Frequente				Quasi permanente						Verifica
	Elastica+	Elastica-	Fess.+	Fess.-	Elastica+	Elastica-	Fess.+	Fess.-	Elastica+	Elastica-	Fess. viscosa+	Comb.	Fess. viscosa-	Comb.	
30	-0.001	-0.002	-0.001	-0.002	-0.001	-0.002	-0.001	-0.002	-0.001	-0.002	-0.003	1	-0.004	1	9999 Si
79	-0.002	-0.003	-0.002	-0.003	-0.002	-0.003	-0.002	-0.002	-0.002	-0.003	-0.005	1	-0.006	1	9999 Si
85	-0.002	-0.003	-0.002	-0.003	-0.002	-0.003	-0.002	-0.002	-0.002	-0.003	-0.005	1	-0.006	1	9999 Si
140	-0.001	-0.002	-0.001	-0.002	-0.001	-0.002	-0.001	-0.001	-0.001	-0.001	-0.003	1	-0.003	1	9999 Si

Campata 8 tra i fili Palo65 - 17, sezione R 90x80, aste 401, 400

Verifiche a flessione in famiglia SLU

x	A sup.	C.b. sup.	A inf.	C.b. inf.	M+ela	Comb.	M+des	M+ult	x/d	M-ela	Comb.	M-des	M-ult	x/d	Verifica
0	45.22	6	40.9	6						-1219861	SLU 16	-1131045	-12254872	0.116	Si
30	54.25	6	50.27	6	-575629	SLU 1	1682	13600217	0.113	-1052753	SLU 16	-1052753	-14654813	0.122	Si
40	54.25	6	50.27	6	-545145	SLU 1	4315	13600217	0.113	-1001719	SLU 16	-1052753	-14654813	0.122	Si
60	53.75	6	50.27	6						-608047	SLU 16	-1052753	-14523141	0.121	Si
80	47.71	6	43.76	6						-571692	SLU 16	-571692	-12918778	0.118	Si

Verifiche a flessione in famiglia SLV (domini sostanzialmente elastici)

La struttura oppure parte di essa, è stata dichiarata come non dissipativa pertanto la verifica a pressoflessione, per tutte o solo alcune sezioni, viene eseguita calcolando i momenti resistenti in campo sostanzialmente elastico secondo D.M. 17-01-2018 §7.4.1

Le dilatazioni ultime utilizzate sono le seguenti: $\epsilon_{c2} = 0.002$, $\epsilon_{yd} = 0.0019$

x	A sup.	C.b. sup.	A inf.	C.b. inf.	M+ela	Comb.	M+des	M+ult	x/d	M-ela	Comb.	M-des	M-ult	x/d	Verifica
0	45.22	6	40.9	6	32292	SLV 13	32292	10663899	0.267	-1700277	SLV 4	-1643259	-11712042	0.285	Si
30	54.25	6	50.27	6	264954	SLV 15	1560677	13032845	0.288	-1699653	SLV 2	-2372392	-13990196	0.303	Si
40	54.25	6	50.27	6	353907	SLV 15	1560677	13032845	0.288	-1718028	SLV 2	-2372392	-13990196	0.303	Si
60	53.75	6	50.27	6	1560677	SLV 15	1560677	13030149	0.289	-2372392	SLV 2	-2372392	-13867962	0.302	Si

RELAZIONE GEOTECNICA E SULLE FONDAZIONI

x	A sup.	C.b. sup.	A inf.	C.b. inf.	M+ela	Comb.	M+des	M+ult	x/d	M-ela	Comb.	M-des	M-ult	x/d	Verifica
80	47.71	6	43.76	6	1891419	SLV 15	1727930	11386337	0.274	-2651317	SLV 2	-2510136	-12344066	0.29	Si

Verifiche SLD Resistenza a flessione (domini sostanzialmente elastici)

La struttura oppure parte di essa, è stata dichiarata come non dissipativa pertanto la verifica a pressoflessione, per tutte o solo alcune sezioni, viene eseguita calcolando i momenti resistenti in campo sostanzialmente elastico secondo D.M. 17-01-2018 §7.4.1

Le dilatazioni ultime utilizzate sono le seguenti: $\epsilon_{c2}=0.002$, $\epsilon_{yd}=0.0019$

x	A sup.	C.b. sup.	A inf.	C.b. inf.	M+ela	Comb.	M+des	M+ult	x/d	M-ela	Comb.	M-des	M-ult	x/d	Verifica
0	45.22	6	40.9	6						-1273522	SLD 4	-1224643	-11712042	0.285	Si
30	54.25	6	50.27	6	-219242	SLD 15	598212	13032845	0.288	-1215457	SLD 2	-1409927	-13990196	0.303	Si
40	54.25	6	50.27	6	-156178	SLD 15	598212	13032845	0.288	-1207942	SLD 2	-1409927	-13990196	0.303	Si
60	53.75	6	50.27	6	598212	SLD 15	598212	13030149	0.289	-1409927	SLD 2	-1409927	-13867962	0.302	Si
80	47.71	6	43.76	6	780309	SLD 15	691101	11386337	0.274	-1540208	SLD 2	-1473308	-12344066	0.29	Si

Verifiche a taglio in famiglia SLU

x	A st	A sl	A sag	Vela	Comb.	Vdes	Vrd	Vrcd	Vrsd	Vult	cotgθ	Verifica
0	0	53.75	0	5921	SLU 16	5921	33025	211438	0	33025	1	Si
30	0.209	53.75	0	5219	SLU 16	5219	33025	211438	54579	54579	1	Si
40	0.209	53.75	0	4985	SLU 16	4985	33025	211438	54579	54579	1	Si
60	0.209	53.75	0	2166	SLU 12	2166	33025	211438	54579	54579	1	Si
80	0	53.75	0	1698	SLU 12	1698	33025	211438	0	33025	1	Si

Verifiche a taglio in famiglia SLV

x	A st	A sl	A sag	Vela	Comb.	Vdes	Vrd	Vrcd	Vrsd	Vult	cotgθ	Verifica
0	0	53.75	0	11774	SLV 11	11774	33025	211438	0	33025	1	Si
0	0	53.75	0	-3458	SLV 6	-3458	-33025	-211438	0	-33025	1	Si
30	0.209	53.75	0	11234	SLV 11	11234	33025	211438	54579	54579	1	Si
30	0.209	53.75	0	-3998	SLV 6	-3998	-33025	-211438	-54579	-54579	1	Si
40	0.209	53.75	0	11054	SLV 11	11054	33025	211438	54579	54579	1	Si
40	0.209	53.75	0	-4178	SLV 6	-4178	-33025	-211438	-54579	-54579	1	Si
60	0.209	50.27	0	16725	SLV 15	16725	32294	211438	54579	54579	1	Si
60	0.209	53.75	0	-13774	SLV 2	-13774	-33025	-211438	-54579	-54579	1	Si
61	0	50.27	0	16701	SLV 15	16701	32294	211438	0	32294	1	Si
61	0	53.75	0	-13798	SLV 2	-13798	-33025	-211438	0	-33025	1	Si
80	0	50.27	0	16365	SLV 15	16365	32294	211438	0	32294	1	Si
80	0	53.75	0	-14134	SLV 2	-14134	-33025	-211438	0	-33025	1	Si

Verifiche SLD Resistenza a taglio

x	A st	A sl	A sag	Vela	Comb.	Vdes	Vrd	Vrcd	Vrsd	Vult	cotgθ	Verifica
0	0	53.75	0	8210	SLD 11	8210	33025	211438	0	33025	1	Si
30	0.209	53.75	0	7670	SLD 11	7670	33025	211438	54579	54579	1	Si
30	0.209	53.75	0	-433	SLD 6	-433	-33025	-211438	-54579	-54579	1	Si
40	0.209	53.75	0	7490	SLD 11	7490	33025	211438	54579	54579	1	Si
40	0.209	53.75	0	-613	SLD 6	-613	-33025	-211438	-54579	-54579	1	Si
60	0.209	50.27	0	9289	SLD 15	9289	32294	211438	54579	54579	1	Si
60	0.209	53.75	0	-6338	SLD 2	-6338	-33025	-211438	-54579	-54579	1	Si
61	0	50.27	0	9265	SLD 15	9265	32294	211438	0	32294	1	Si
61	0	53.75	0	-6362	SLD 2	-6362	-33025	-211438	0	-33025	1	Si
80	0	50.27	0	8929	SLD 15	8929	32294	211438	0	32294	1	Si
80	0	53.75	0	-6698	SLD 2	-6698	-33025	-211438	0	-33025	1	Si

Verifiche delle tensioni in esercizio

x	Rara							Quasi permanente							Verifica
	Mela	Comb.	Mdes	σ c	σ c lim.	σ f.	σ f lim.	Mela	Comb.	Mdes	σ c	σ c lim.	σ FRP	σ FRP lim.	
0	-903622	8	-837056	8.4	149.4	277.1	3600	-833993	4	-771623	7.7	112.1	0	+∞	Si
30	-778586	8	-778586	7	149.4	215.4	3600	-717350	4	-717350	6.5	112.1	0	+∞	Si
40	-740498	8	-778586	7	149.4	215.4	3600	-682060	4	-717350	6.5	112.1	0	+∞	Si
60	-444694	8	-778586	7.1	149.4	217.4	3600	-405858	4	-717350	6.5	112.1	0	+∞	Si
80	-416907	8	-416907	4	149.4	130.9	3600	-379949	4	-379949	3.7	112.1	0	+∞	Si

Verifica di apertura delle fessure

La campata non presenta apertura delle fessure

Verifica di deformabilità

x	Rara				Frequente				Quasi permanente						Verifica
	Elastica+	Elastica-	Fess.+	Fess.-	Elastica+	Elastica-	Fess.+	Fess.-	Elastica+	Elastica-	Fess. viscosa+	Comb.	Fess. viscosa-	Comb.	l/f
30	0	0	0	0	0	0	0	0	0	0	-0.001	1	-0.001	1	9999
35	0	0	0	0	0	0	0	0	0	0	-0.001	1	-0.001	1	9999
40	0	0	0	0	0	0	0	0	0	0	-0.001	1	-0.001	1	9999
60	0	0	0	0	0	0	0	0	0	0	0	1	0	1	9999

Campata 9 tra i fili 17 - Palo83, sezione R 90x80, aste 399, 398, 397

Verifiche a flessione in famiglia SLU

x	A sup.	C.b. sup.	A inf.	C.b. inf.	M+ela	Comb.	M+des	M+ult	x/d	M-ela	Comb.	M-des	M-ult	x/d	Verifica
0	47.71	6	43.76	6						-695486	SLU 16	-688427	-12918778	0.118	Si
20	31.42	6	25.13	6						-686046	SLU 16	-930855	-8587340	0.106	Si
45	31.42	6	25.13	6						-912256	SLU 16	-1428273	-8587340	0.106	Si
227	31.42	6	25.13	6	498875	SLU 9	643471	6914505	0.093						Si
425	31.42	6	25.13	6	1068021	SLU 16	1090140	6914505	0.093						Si
455	31.42	6	25.13	6	1002438	SLU 16	1002438	6914505	0.093						Si

Verifiche a flessione in famiglia SLV (domini sostanzialmente elastici)

La struttura oppure parte di essa, è stata dichiarata come non dissipativa pertanto la verifica a pressoflessione, per tutte o solo alcune sezioni, viene eseguita calcolando i momenti resistenti in campo sostanzialmente elastico secondo D.M. 17-01-2018 §7.4.1

Le dilatazioni ultime utilizzate sono le seguenti: $\epsilon_{c2}=0.002$, $\epsilon_{yd}=0.0019$

x	A sup.	C.b. sup.	A inf.	C.b. inf.	M+ela	Comb.	M+des	M+ult	x/d	M-ela	Comb.	M-des	M-ult	x/d	Verifica
0	47.71	6	43.76	6	2689176	SLV 15	2672038	11386337	0.274	-3606529	SLV 2	-3577359	-12344066	0.29	Si
20	31.42	6	25.13	6	2650269	SLV 15	3318083	6649058	0.22	-3550754	SLV 2	-4518280	-8216628	0.251	Si
227	31.42	6	25.13	6	1576078	SLV 15	2440998	6649058	0.22	-914027	SLV 2	-2174886	-8216628	0.251	Si
425	31.42	6	25.13	6	5714732	SLV 2	5714732	6649058	0.22	-4441417	SLV 15	-4441417	-8216628	0.251	Si
455	31.42	6	25.13	6	6591480	SLV 2	6161423	6649058	0.22	-5483242	SLV 15	-4954246	-8216628	0.251	Si

Verifiche SLD Resistenza a flessione (domini sostanzialmente elastici)

La struttura oppure parte di essa, è stata dichiarata come non dissipativa pertanto la verifica a pressoflessione, per tutte o solo alcune sezioni, viene eseguita calcolando i momenti resistenti in campo sostanzialmente elastico secondo D.M. 17-01-2018 §7.4.1

Le dilatazioni ultime utilizzate sono le seguenti: $\epsilon_{c2}=0.002$, $\epsilon_{yd}=0.0019$

x	A sup.	C.b. sup.	A inf.	C.b. inf.	M+ela	Comb.	M+des	M+ult	x/d	M-ela	Comb.	M-des	M-ult	x/d	Verifica
0	47.71	6	43.76	6	1147515	SLD 15	1141512	11386337	0.274	-2064868	SLD 2	-2046832	-12344066	0.29	Si

RELAZIONE GEOTECNICA E SULLE FONDAZIONI

x	A sup.	C.b. sup.	A inf.	C.b. inf.	M+ela	Comb.	M+des	M+ult	x/d	M-ela	Comb.	M-des	M-ult	x/d	Verifica
20	31.42	6	25.13	6	1131372	SLD 15	1396167	6649058	0.22	-2031857	SLD 2	-2596365	-8216628	0.251	Si
227	31.42	6	25.13	6	967053	SLD 15	1310006	6649058	0.22	-305002	SLD 2	-1043893	-8216628	0.251	Si
425	31.42	6	25.13	6	3219175	SLD 2	3219175	6649058	0.22	-1945860	SLD 15	-1945860	-8216628	0.251	Si
455	31.42	6	25.13	6	3624895	SLD 2	3430297	6649058	0.22	-2516657	SLD 15	-2223119	-8216628	0.251	Si

Verifiche a taglio in famiglia SLU

x	A st	A sl	A sag	Vela	Comb.	Vdes	Vrd	Vrcd	Vrsd	Vult	cotgθ	Verifica
0	0	31.42	0	847	SLU 9	847	27611	211438	0	27611	1	Si
20	0.196	31.42	0	379	SLU 9	379	27611	211438	51170	51170	1	Si
76	0.196	31.42	0	15773	SLU 16	15773	27611	211438	51170	51170	1	Si
227	0.183	25.13	0	8281	SLU 16	8281	25632	211438	47759	47759	1	Si
425	0.148	25.13	0	-5278	SLU 9	-5278	-25632	-211438	-38529	-38529	1	Si
455	0	25.13	0	-6760	SLU 9	-6760	-25632	-211438	0	-25632	1	Si

Verifiche a taglio in famiglia SLV

x	A st	A sl	A sag	Vela	Comb.	Vdes	Vrd	Vrcd	Vrsd	Vult	cotgθ	Verifica
0	0	31.42	0	4379	SLV 6	4379	27611	211438	0	27611	1	Si
0	0	25.13	0	-3175	SLV 11	-3175	-25632	-211438	0	-25632	1	Si
20	0.196	31.42	0	4019	SLV 6	4019	27611	211438	51170	51170	1	Si
20	0.196	25.13	0	-3535	SLV 11	-3535	-25632	-211438	-51170	-51170	1	Si
227	0.183	31.42	0	37284	SLV 2	37284	27611	211438	47759	47759	1	Si
227	0.183	25.13	0	-26684	SLV 15	-26684	-25632	-211438	-47759	-47759	1	Si
425	0.148	25.13	0	29779	SLV 2	29779	25632	211438	38529	38529	1	Si
425	0.148	31.42	0	-34189	SLV 15	-34189	-27611	-211438	-38529	-38529	1	Si
455	0	25.13	0	28639	SLV 2	28639	25632	211438	0	25632	1	Si
455	0	31.42	0	-35329	SLV 15	-35329	-27611	-211438	0	-27611	1	Si

Verifiche SLD Resistenza a taglio

x	A st	A sl	A sag	Vela	Comb.	Vdes	Vrd	Vrcd	Vrsd	Vult	cotgθ	Verifica
0	0	31.42	0	2616	SLD 6	2616	27611	211438	0	27611	1	Si
0	0	25.13	0	-1412	SLD 11	-1412	-25632	-211438	0	-25632	1	Si
20	0.196	31.42	0	2256	SLD 6	2256	27611	211438	51170	51170	1	Si
20	0.196	25.13	0	-1772	SLD 11	-1772	-25632	-211438	-51170	-51170	1	Si
227	0.183	31.42	0	21580	SLD 2	21580	27611	211438	47759	47759	1	Si
227	0.183	25.13	0	-10979	SLD 15	-10979	-25632	-211438	-47759	-47759	1	Si
425	0.148	25.13	0	14075	SLD 2	14075	25632	211438	38529	38529	1	Si
425	0.148	31.42	0	-18484	SLD 15	-18484	-27611	-211438	-38529	-38529	1	Si
455	0	25.13	0	12935	SLD 2	12935	25632	211438	0	25632	1	Si
455	0	31.42	0	-19624	SLD 15	-19624	-27611	-211438	0	-27611	1	Si

Verifiche delle tensioni in esercizio

x	Rara								Quasi permanente						Verifica
	Mela	Comb.	Mdes	σ c	σ c lim.	σ f.	σ f lim.	Mela	Comb.	Mdes	σ c	σ c lim.	σ FRP	σ FRP lim.	
0	-505668	8	-500094	4.9	149.4	157	3600	-458676	4	-452660	4.4	112.1	0	+∞	Si
20	-498118	8	-672922	8.3	149.4	318.4	3600	-450243	4	-600099	7.4	112.1	0	+∞	Si
227	383750	1	492535	6.3	149.4	288.6	3600	383750	1	485720	6.3	112.1	0	+∞	Si
425	755071	8	784298	10.1	149.4	459.5	3600	636657	4	688517	8.9	112.1	0	+∞	Si
455	692923	8	692923	8.9	149.4	406	3600	554119	4	554119	7.1	112.1	0	+∞	Si

Verifica di apertura delle fessure

La campata non presenta apertura delle fessure

Verifica di deformabilità

x	Rara				Frequente				Quasi permanente						Verifica
	Elastica+	Elastica-	Fess.+	Fess.-	Elastica+	Elastica-	Fess.+	Fess.-	Elastica+	Elastica-	Fess. viscosa+	Comb.	Fess. viscosa-	Comb.	l/f
20	0	-0.001	0	-0.001	0	-0.001	0	0	0	-0.001	0	1	-0.001	1	9999
227	0.006	0.005	0.005	0.004	0.006	0.005	0.005	0.004	0.006	0.005	0.012	1	0.01	1	9999
288	0.007	0.006	0.005	0.005	0.007	0.006	0.005	0.005	0.007	0.006	0.013	1	0.013	1	9999
425	0.002	0.002	0.002	0.002	0.002	0.002	0.002	0.002	0.002	0.002	0.005	4	0.004	4	9999

Campata 10 tra i fili Palo83 - Palo87, sezione R 90x80, asta 396

Verifiche a flessione in famiglia SLU

x	A sup.	C.b. sup.	A inf.	C.b. inf.	M+ela	Comb.	M+des	M+ult	x/d	M-ela	Comb.	M-des	M-ult	x/d	Verifica
0	31.42	6	25.13	6						-520123	SLU 9	-328746	-8587340	0.106	Si
30	31.42	6	25.13	6	149928	SLU 8	521808	6914505	0.093	-158739	SLU 9	-158739	-8587340	0.106	Si
198	31.42	6	25.13	6	1612783	SLU 16	1744492	6914505	0.093						Si
263	31.42	6	25.13	6	1822376	SLU 16	1846265	6914505	0.093						Si
365	41.65	6	44.01	6	1724570	SLU 16	1812751	11934326	0.114						Si
395	25.13	6	25.13	6	1599259	SLU 16	1599259	6915255	0.095						Si

Verifiche a flessione in famiglia SLV (domini sostanzialmente elastici)

La struttura oppure parte di essa, è stata dichiarata come non dissipativa pertanto la verifica a pressoflessione, per tutte o solo alcune sezioni, viene eseguita calcolando i momenti resistenti in campo sostanzialmente elastico secondo D.M. 17-01-2018 §7.4.1

Le dilatazioni ultime utilizzate sono le seguenti: $\epsilon_{c2} = 0.002$, $\epsilon_{yd} = 0.0019$

x	A sup.	C.b. sup.	A inf.	C.b. inf.	M+ela	Comb.	M+des	M+ult	x/d	M-ela	Comb.	M-des	M-ult	x/d	Verifica
0	31.42	6	25.13	6	543384	SLV 10	543384	6649058	0.22	-1125264	SLV 7	-962430	-8216628	0.251	Si
30	31.42	6	25.13	6	846128	SLV 10	1147606	6649058	0.22	-824693	SLV 7	-824693	-8216628	0.251	Si
198	31.42	6	25.13	6	2071616	SLV 6	2225148	6649058	0.22						Si
277	31.42	6	25.13	6	2374695	SLV 6	2434674	6649058	0.22	26198	SLV 11	-68216	-8216628	0.251	Si
365	41.65	6	44.01	6	2445393	SLV 6	2455385	11417451	0.28	-318616	SLV 11	-318616	-10843895	0.271	Si
395	25.13	6	25.13	6	2404225	SLV 6	2404225	6635554	0.225	-503686	SLV 11	-406318	-6635554	0.225	Si

Verifiche SLD Resistenza a flessione (domini sostanzialmente elastici)

La struttura oppure parte di essa, è stata dichiarata come non dissipativa pertanto la verifica a pressoflessione, per tutte o solo alcune sezioni, viene eseguita calcolando i momenti resistenti in campo sostanzialmente elastico secondo D.M. 17-01-2018 §7.4.1

Le dilatazioni ultime utilizzate sono le seguenti: $\epsilon_{c2} = 0.002$, $\epsilon_{yd} = 0.0019$

x	A sup.	C.b. sup.	A inf.	C.b. inf.	M+ela	Comb.	M+des	M+ult	x/d	M-ela	Comb.	M-des	M-ult	x/d	Verifica
0	31.42	6	25.13	6	154701	SLD 10	154701	6649058	0.22	-736581	SLD 7	-576102	-8216628	0.251	Si
30	31.42	6	25.13	6	457703	SLD 10	757113	6649058	0.22	-436269	SLD 7	-436269	-8216628	0.251	Si
198	31.42	6	25.13	6	1604523	SLD 6	1724312	6649058	0.22						Si
277	31.42	6	25.13	6	1825060	SLD 6	1848362	6649058	0.22						Si
365	41.65	6	44.01	6	1797050	SLD 6	1841930	11417451	0.28						Si
395	25.13	6	25.13	6	1721689	SLD 6	1721689	6635554	0.225						Si

Verifiche a taglio in famiglia SLU

x	A st	A sl	A sag	Vela	Comb.	Vdes	Vrd	Vrcd	Vrsd	Vult	cotgθ	Verifica
0	0	31.42	0	14566	SLU 16	14566	27611	211438	0	27611	1	Si
30	0.141	25.13	0	13084	SLU 16	13084	25632	211438	36659	36659	1	Si

RELAZIONE GEOTECNICA E SULLE FONDAZIONI

x	A st	A sl	A sag	Vela	Comb.	Vdes	Vrd	Vrcd	Vrsd	Vult	cotgθ	Verifica
198	0.141	25.13	0	4810	SLU 16	4810	25632	211438	36659	36659	1	Si
365	0.141	42.27	0	-5215	SLU 9	-5215	-30482	-211438	-36659	-36659	1	Si
395	0	44.01	0	-6697	SLU 9	-6697	-30894	-211438	0	-30894	1	Si

Verifiche a taglio in famiglia SLV

x	A st	A sl	A sag	Vela	Comb.	Vdes	Vrd	Vrcd	Vrsd	Vult	cotgθ	Verifica
0	0	31.42	0	15031	SLV 2	15031	27611	211438	0	27611	1	Si
30	0.141	31.42	0	13891	SLV 2	13891	27611	211438	36659	36659	1	Si
198	0.141	25.13	0	7526	SLV 2	7526	25632	211438	36659	36659	1	Si
198	0.141	25.13	0	-1241	SLV 15	-1241	-25632	-211438	-36659	-36659	1	Si
365	0.141	42.27	0	1161	SLV 2	1161	30482	211438	36659	36659	1	Si
365	0.141	41.65	0	-7606	SLV 15	-7606	-30332	-211438	-36659	-36659	1	Si
395	0	44.01	0	21	SLV 2	21	30894	211438	0	30894	1	Si
395	0	41.65	0	-8746	SLV 15	-8746	-30332	-211438	0	-30332	1	Si

Verifiche SLD Resistenza a taglio

x	A st	A sl	A sag	Vela	Comb.	Vdes	Vrd	Vrcd	Vrsd	Vult	cotgθ	Verifica
0	0	31.42	0	12914	SLD 2	12914	27611	211438	0	27611	1	Si
30	0.141	31.42	0	11774	SLD 2	11774	27611	211438	36659	36659	1	Si
198	0.141	25.13	0	5409	SLD 2	5409	25632	211438	36659	36659	1	Si
365	0.141	42.27	0	-5490	SLD 15	-5490	-30482	-211438	-36659	-36659	1	Si
395	0	44.01	0	-6630	SLD 15	-6630	-30894	-211438	0	-30894	1	Si

Verifiche delle tensioni in esercizio

x	Rara							Quasi permanente							Verifica
	Mela	Comb.	Mdes	σ c	σ c lim.	σ f.	σ f lim.	Mela	Comb.	Mdes	σ c	σ c lim.	σ FRP	σ FRP lim.	
0	-400095	1	-252882	3.1	149.4	119.7	3600	-400095	1	-252882	3.1	112.1	0	$+\infty$	Si
30	59250	8	367511	4.7	149.4	215.3	3600	10717	4	306392	3.9	112.1	0	$+\infty$	Si
30	-122107	1	-122107	1.5	149.4	57.8	3600	-122107	1	-122107	1.5	112.1	0	$+\infty$	Si
198	1182629	8	1277965	16.5	149.4	748.7	3600	1070783	4	1153533	14.9	112.1	0	$+\infty$	Si
365	1238547	8	1312357	13.2	149.4	445.8	3600	1063389	4	1149786	11.6	112.1	0	$+\infty$	Si
395	1136768	8	1136768	15.2	149.4	667.2	3600	950269	4	950269	12.7	112.1	0	$+\infty$	Si

Verifica di apertura delle fessure

La campata non presenta apertura delle fessure

Verifica di deformabilità

x	Rara				Frequente				Quasi permanente						Verifica	
	Elastica+	Elastica-	Fess.+	Fess.-	Elastica+	Elastica-	Fess.+	Fess.-	Elastica+	Elastica-	Fess. viscosa+	Comb.	Fess. viscosa-	Comb.	I/f	
30	0.004	0.002	0.003	0.002	0.003	0.002	0.003	0.002	0.003	0.002	0.007	4	0.005	4	9999	Si
198	0.018	0.012	0.015	0.01	0.017	0.012	0.014	0.01	0.016	0.012	0.033	4	0.024	4	9999	Si
211	0.018	0.012	0.015	0.01	0.017	0.012	0.014	0.01	0.016	0.012	0.034	4	0.024	4	9999	Si
365	0.005	0.003	0.005	0.003	0.005	0.003	0.004	0.003	0.005	0.003	0.01	4	0.007	4	9999	Si

Campata 11 tra i fili Pal087 - Pal093, sezione R 90x80, aste 2266, 2369

Verifiche a flessione in famiglia SLU

x	A sup.	C.b. sup.	A inf.	C.b. inf.	M+ela	Comb.	M+des	M+ult	x/d	M-ela	Comb.	M-des	M-ult	x/d	Verifica
0	25.13	6	25.13	6	2569232	SLU 16	2522338	6915255	0.095						Si
30	25.13	6	25.13	6	2453938	SLU 16	2453938	6915255	0.095						Si
240	25.13	6	25.13	6	467796	SLU 9	876487	6915255	0.095	298702	SLU 8	-147221	-6915255	0.095	Si
368	25.13	6	25.13	6	-876444	SLU 1	16793	6915255	0.095	-1908759	SLU 16	-2614875	-6915255	0.095	Si
450	25.13	6	25.13	6						-1618908	SLU 16	-1849332	-6915255	0.095	Si
480	25.13	6	25.13	6						-1433648	SLU 16	-1433648	-6915255	0.095	Si

Verifiche a flessione in famiglia SLV (domini sostanzialmente elastici)

La struttura oppure parte di essa, è stata dichiarata come non dissipativa pertanto la verifica a pressoflessione, per tutte o solo alcune sezioni, viene eseguita calcolando i momenti resistenti in campo sostanzialmente elastico secondo D.M. 17-01-2018 §7.4.1

Le dilatazioni ultime utilizzate sono le seguenti: $\epsilon_{c2} = 0.002$, $\epsilon_{yd} = 0.0019$

x	A sup.	C.b. sup.	A inf.	C.b. inf.	M+ela	Comb.	M+des	M+ult	x/d	M-ela	Comb.	M-des	M-ult	x/d	Verifica
0	25.13	6	25.13	6	6267399	SLV 14	5965555	6635554	0.225	-3089839	SLV 3	-2809604	-6635554	0.225	Si
30	25.13	6	25.13	6	5646812	SLV 14	5646812	6635554	0.225	-2545555	SLV 3	-2545555	-6635554	0.225	Si
240	25.13	6	25.13	6	413484	SLV 12	1313711	6635554	0.225	245610	SLV 5	-669767	-6635554	0.225	Si
450	25.13	6	25.13	6	664380	SLV 3	831314	6635554	0.225	-2831222	SLV 14	-3294933	-6635554	0.225	Si
480	25.13	6	25.13	6	497657	SLV 3	497657	6635554	0.225	-2431485	SLV 14	-2431485	-6635554	0.225	Si

Verifiche SLD Resistenza a flessione (domini sostanzialmente elastici)

La struttura oppure parte di essa, è stata dichiarata come non dissipativa pertanto la verifica a pressoflessione, per tutte o solo alcune sezioni, viene eseguita calcolando i momenti resistenti in campo sostanzialmente elastico secondo D.M. 17-01-2018 §7.4.1

Le dilatazioni ultime utilizzate sono le seguenti: $\epsilon_{c2} = 0.002$, $\epsilon_{yd} = 0.0019$

x	A sup.	C.b. sup.	A inf.	C.b. inf.	M+ela	Comb.	M+des	M+ult	x/d	M-ela	Comb.	M-des	M-ult	x/d	Verifica
0	25.13	6	25.13	6	3976447	SLD 14	3817076	6635554	0.225	-798887	SLD 3	-661124	-6635554	0.225	Si
30	25.13	6	25.13	6	3640977	SLD 14	3640977	6635554	0.225	-539721	SLD 3	-539721	-6635554	0.225	Si
240	25.13	6	25.13	6	373389	SLD 12	980804	6635554	0.225	285704	SLD 5	-351342	-6635554	0.225	Si
450	25.13	6	25.13	6						-1974333	SLD 14	-2284523	-6635554	0.225	Si
480	25.13	6	25.13	6						-1712472	SLD 14	-1712472	-6635554	0.225	Si

Verifiche a taglio in famiglia SLU

x	A st	A sl	A sag	Vela	Comb.	Vdes	Vrd	Vrcd	Vrsd	Vult	cotgθ	Verifica
0	0	25.13	0	2455	SLU 9	2455	25632	211438	0	25632	1	Si
0	0	25.13	0	-3645	SLU 8	-3645	-25632	-211438	0	-25632	1	Si
30	0.148	25.13	0	973	SLU 9	973	25632	211438	38527	38527	1	Si
30	0.148	25.13	0	-4785	SLU 8	-4785	-25632	-211438	-38527	-38527	1	Si
240	0.148	25.13	0	-14934	SLU 16	-14934	-25632	-211438	-38528	-38528	1	Si
400	0.157	25.13	0	-22838	SLU 16	-22838	-25632	-211438	-40936	-40936	1	Si
450	0.157	25.13	0	6526	SLU 16	6526	25632	211438	40936	40936	1	Si
480	0	25.13	0	5824	SLU 16	5824	25632	211438	0	25632	1	Si

Verifiche a taglio in famiglia SLV

x	A st	A sl	A sag	Vela	Comb.	Vdes	Vrd	Vrcd	Vrsd	Vult	cotgθ	Verifica
0	0	25.13	0	18743	SLV 3	18743	25632	211438	0	25632	1	Si
0	0	25.13	0	-20110	SLV 14	-20110	-25632	-211438	0	-25632	1	Si
30	0.148	25.13	0	17603	SLV 3	17603	25632	211438	38527	38527	1	Si
30	0.148	25.13	0	-21250	SLV 14	-21250	-25632	-211438	-38527	-38527	1	Si
240	0.148	25.13	0	9623	SLV 3	9623	25632	211438	38528	38528	1	Si
240	0.148	25.13	0	-29230	SLV 14	-29230	-25632	-211438	-38528	-38528	1	Si
368	0.148	25.13	0	4759	SLV 3	4759	25632	211438	38528	38528	1	Si
368	0.148	25.13	0	-34094	SLV 14	-34094	-25632	-211438	-38528	-38528	1	Si
450	0.157	25.13	0	13653	SLV 14	13653	25632	211438	40936	40936	1	Si

RELAZIONE GEOTECNICA E SULLE FONDAZIONI

x	A st	A sl	A sag	Vela	Comb.	Vdes	Vrd	Vrcd	Vrsd	Vult	cotgθ	Verifica
450	0.157	25.13	0	-5347	SLV 3	-5347	-25632	-211438	-40936	-40936	1	Si
480	0	25.13	0	13113	SLV 14	13113	25632	211438	0	25632	1	Si
480	0	25.13	0	-5887	SLV 3	-5887	-25632	-211438	0	-25632	1	Si

Verifiche SLD Resistenza a taglio

x	A st	A sl	A sag	Vela	Comb.	Vdes	Vrd	Vrcd	Vrsd	Vult	cotgθ	Verifica
0	0	25.13	0	9234	SLD 3	9234	25632	211438	0	25632	1	Si
0	0	25.13	0	-10600	SLD 14	-10600	-25632	-211438	0	-25632	1	Si
30	0.148	25.13	0	8094	SLD 3	8094	25632	211438	38527	38527	1	Si
30	0.148	25.13	0	-11740	SLD 14	-11740	-25632	-211438	-38527	-38527	1	Si
240	0.148	25.13	0	114	SLD 3	114	25632	211438	38528	38528	1	Si
240	0.148	25.13	0	-19720	SLD 14	-19720	-25632	-211438	-38528	-38528	1	Si
368	0.148	25.13	0	-24584	SLD 14	-24584	-25632	-211438	-38528	-38528	1	Si
450	0.157	25.13	0	9027	SLD 14	9027	25632	211438	40936	40936	1	Si
450	0.157	25.13	0	-721	SLD 3	-721	-25632	-211438	-40936	-40936	1	Si
480	0	25.13	0	8487	SLD 14	8487	25632	211438	0	25632	1	Si
480	0	25.13	0	-1261	SLD 3	-1261	-25632	-211438	0	-25632	1	Si

Verifiche delle tensioni in esercizio

x	Rara								Quasi permanente						Verifica
	Mela	Comb.	Mdes	σ c	σ c lim.	σ f.	σ f lim.	Mela	Comb.	Mdes	σ c	σ c lim.	σ FRP	σ FRP lim.	
0	1846403	8	1818843	24.3	149.4	1067.6	3600	1588780	4	1577976	21.1	112.1	0	+∞	Si
30	1774740	8	1774740	23.7	149.4	1041.7	3600	1550628	4	1550628	20.7	112.1	0	+∞	Si
240	359843	1	661594	8.8	149.4	388.3	3600	359843	1	634861	8.5	112.1	0	+∞	Si
450	-1190499	8	-1357915	18.1	149.4	797.1	3600	-1083421	4	-1231810	16.5	112.1	0	+∞	Si
480	-1056851	8	-1056851	14.1	149.4	620.3	3600	-966914	4	-966914	12.9	112.1	0	+∞	Si

Verifica di apertura delle fessure

La campata non presenta apertura delle fessure

Verifica di deformabilità

x	Rara				Frequente				Quasi permanente						Verifica
	Elastica+	Elastica-	Fess.+	Fess.-	Elastica+	Elastica-	Fess.+	Fess.-	Elastica+	Elastica-	Fess. viscosa+	Comb.	Fess. viscosa-	Comb.	
30	0.004	0.003	0.004	0.003	0.004	0.003	0.004	0.003	0.004	0.003	0.009	4	0.007	4	9999 Si
128	0.01	0.009	0.009	0.007	0.01	0.009	0.009	0.007	0.01	0.009	0.022	4	0.019	4	9999 Si
240	0.006	0.005	0.005	0.004	0.006	0.005	0.005	0.004	0.006	0.005	0.012	1	0.011	1	9999 Si
450	-0.002	-0.003	-0.001	-0.002	-0.002	-0.003	-0.001	-0.002	-0.002	-0.003	-0.003	1	-0.005	1	9999 Si
480	0	0	0	0	0	0	0	0	0	0	0	1	0	1	9999 Si

Campata 12 tra i fili Palo93 - 21, sezione R 90x80, aste 2373, 2372, 2371

Verifiche a flessione in famiglia SLU

x	A sup.	C.b. sup.	A inf.	C.b. inf.	M+ela	Comb.	M+des	M+ult	x/d	M-ela	Comb.	M-des	M-ult	x/d	Verifica
0	25.13	6	25.13	6						-970925	SLU 16	-916033	-6915255	0.095	Si
30	25.13	6	25.13	6						-871671	SLU 16	-871671	-6915255	0.095	Si
67	25.13	6	25.13	6	-260489	SLU 1	20073	6915255	0.095	-535779	SLU 16	-859513	-6915255	0.095	Si
135	25.13	6	25.13	6						-137676	SLU 16	-228418	-6915255	0.095	Si

Verifiche a flessione in famiglia SLV (domini sostanzialmente elastici)

La struttura oppure parte di essa, è stata dichiarata come non dissipativa pertanto la verifica a pressoflessione, per tutte o solo alcune sezioni, viene eseguita calcolando i momenti resistenti in campo sostanzialmente elastico secondo D.M. 17-01-2018 §7.4.1

Le dilatazioni ultime utilizzate sono le seguenti: $\epsilon_{c2}= 0.002$, $\epsilon_{yd}= 0.0019$

x	A sup.	C.b. sup.	A inf.	C.b. inf.	M+ela	Comb.	M+des	M+ult	x/d	M-ela	Comb.	M-des	M-ult	x/d	Verifica
0	25.13	6	25.13	6	77262	SLV 3	77262	6635554	0.225	-1391548	SLV 14	-1390958	-6635554	0.225	Si
30	25.13	6	25.13	6	229246	SLV 3	1250322	6635554	0.225	-1403498	SLV 14	-1962965	-6635554	0.225	Si
67	25.13	6	25.13	6	1297873	SLV 7	2901312	6635554	0.225	-1995125	SLV 10	-3156900	-6635554	0.225	Si
103	25.13	6	25.13	6	2971022	SLV 7	3774267	6635554	0.225	-3213830	SLV 10	-3888383	-6635554	0.225	Si
135	25.13	6	25.13	6	3774267	SLV 7	3774267	6635554	0.225	-3888383	SLV 10	-3888383	-6635554	0.225	Si

Verifiche SLD Resistenza a flessione (domini sostanzialmente elastici)

La struttura oppure parte di essa, è stata dichiarata come non dissipativa pertanto la verifica a pressoflessione, per tutte o solo alcune sezioni, viene eseguita calcolando i momenti resistenti in campo sostanzialmente elastico secondo D.M. 17-01-2018 §7.4.1

Le dilatazioni ultime utilizzate sono le seguenti: $\epsilon_{c2}= 0.002$, $\epsilon_{yd}= 0.0019$

x	A sup.	C.b. sup.	A inf.	C.b. inf.	M+ela	Comb.	M+des	M+ult	x/d	M-ela	Comb.	M-des	M-ult	x/d	Verifica
0	25.13	6	25.13	6						-1032057	SLD 14	-1013326	-6635554	0.225	Si
30	25.13	6	25.13	6	-168960	SLD 3	500137	6635554	0.225	-1005292	SLD 14	-1212779	-6635554	0.225	Si
67	25.13	6	25.13	6	529224	SLD 7	1492397	6635554	0.225	-1226476	SLD 10	-1747985	-6635554	0.225	Si
103	25.13	6	25.13	6	1532756	SLD 7	1993504	6635554	0.225	-1775565	SLD 10	-2107620	-6635554	0.225	Si
135	25.13	6	25.13	6	1993504	SLD 7	1993504	6635554	0.225	-2107620	SLD 10	-2107620	-6635554	0.225	Si

Verifiche a taglio in famiglia SLU

x	A st	A sl	A sag	Vela	Comb.	Vdes	Vrd	Vrcd	Vrsd	Vult	cotgθ	Verifica
0	0	25.13	0	3659	SLU 16	3659	25632	211438	0	25632	1	Si
30	0.15	25.13	0	2957	SLU 16	2957	25632	211438	38987	38987	1	Si
67	0.15	25.13	0	2493	SLU 16	2493	25632	211438	38987	38987	1	Si
135	0.15	25.13	0	2369	SLU 15	2369	25632	211438	38987	38987	1	Si

Verifiche a taglio in famiglia SLV

x	A st	A sl	A sag	Vela	Comb.	Vdes	Vrd	Vrcd	Vrsd	Vult	cotgθ	Verifica
0	0	25.13	0	8874	SLV 7	8874	25632	211438	0	25632	1	Si
0	0	25.13	0	-3666	SLV 10	-3666	-25632	-211438	0	-25632	1	Si
30	0.15	25.13	0	8334	SLV 7	8334	25632	211438	38987	38987	1	Si
30	0.15	25.13	0	-4206	SLV 10	-4206	-25632	-211438	-38987	-38987	1	Si
67	0.15	25.13	0	11337	SLV 7	11337	25632	211438	38987	38987	1	Si
67	0.15	25.13	0	-7754	SLV 10	-7754	-25632	-211438	-38987	-38987	1	Si
90	0.15	25.13	0	26077	SLV 7	26077	25632	211438	38987	38987	1	Si
90	0.15	25.13	0	-20939	SLV 10	-20939	-25632	-211438	-38987	-38987	1	Si
135	0.15	25.13	0	25267	SLV 7	25267	25632	211438	38987	38987	1	Si
135	0.15	25.13	0	-21749	SLV 10	-21749	-25632	-211438	-38987	-38987	1	Si

Verifiche SLD Resistenza a taglio

x	A st	A sl	A sag	Vela	Comb.	Vdes	Vrd	Vrcd	Vrsd	Vult	cotgθ	Verifica
0	0	25.13	0	5964	SLD 7	5964	25632	211438	0	25632	1	Si
0	0	25.13	0	-756	SLD 10	-756	-25632	-211438	0	-25632	1	Si
30	0.15	25.13	0	5424	SLD 7	5424	25632	211438	38987	38987	1	Si
30	0.15	25.13	0	-1296	SLD 10	-1296	-25632	-211438	-38987	-38987	1	Si
67	0.15	25.13	0	6915	SLD 7	6915	25632	211438	38987	38987	1	Si
67	0.15	25.13	0	-3331	SLD 10	-3331	-25632	-211438	-38987	-38987	1	Si
90	0.15	25.13	0	15181	SLD 7	15181	25632	211438	38987	38987	1	Si

RELAZIONE GEOTECNICA E SULLE FONDAZIONI

x	A st	A sl	A sag	Vela	Comb.	Vdes	Vrd	Vrcd	Vrsd	Vult	cotgθ	Verifica
90	0.15	25.13	0	-10042	SLD 10	-10042	-25632	-211438	-38987	-38987	1	Si
135	0.15	25.13	0	14371	SLD 7	14371	25632	211438	38987	38987	1	Si
135	0.15	25.13	0	-10852	SLD 10	-10852	-25632	-211438	-38987	-38987	1	Si

Verifiche delle tensioni in esercizio

x	Rara								Quasi permanente								Verifica
	Mela	Comb.	Mdes	σ c	σ c lim.	σ f.	σ f lim.	Mela	Comb.	Mdes	σ c	σ c lim.	σ FRP	σ FRP lim.			
0	-716608	8	-675554	9	149.4	396.5	3600	-657143	4	-618084	8.3	112.1	0	+∞	Si		
30	-642600	8	-642600	8.6	149.4	377.2	3600	-587126	4	-587126	7.8	112.1	0	+∞	Si		
67	-391918	8	-633575	8.5	149.4	371.9	3600	-348626	4	-578660	7.7	112.1	0	+∞	Si		
135	-92765	8	-161414	2.2	149.4	94.7	3600	-57058	4	-125664	1.7	112.1	0	+∞	Si		

Verifica di apertura delle fessure

La campata non presenta apertura delle fessure

Verifica di deformabilità

x	Rara				Frequente				Quasi permanente								Verifica
	Elastica+	Elastica-	Fess.+	Fess.-	Elastica+	Elastica-	Fess.+	Fess.-	Elastica+	Elastica-	Fess. viscosa+	Comb.	Fess. viscosa-	Comb.	I/f		
30	0	-0.001	0	-0.001	0	-0.001	0	-0.001	0	-0.001	-0.001	1	-0.001	1	9999	Si	
58	0	-0.001	0	-0.001	0	-0.001	0	-0.001	0	-0.001	-0.001	1	-0.002	1	9999	Si	
67	0	-0.001	0	-0.001	0	-0.001	0	-0.001	0	-0.001	-0.001	1	-0.002	1	9999	Si	

Campata 13 tra i fili 21 - Palo94, sezione R 90x80, asta 2370

Verifiche a flessione in famiglia SLU

x	A sup.	C.b. sup.	A inf.	C.b. inf.	M+ela	Comb.	M+des	M+ult	x/d	M-ela	Comb.	M-des	M-ult	x/d	Verifica
0	25.13	6	25.13	6	143384	SLU 9	143384	6915255	0.095	58243	SLU 8	-16994	-6915255	0.095	Si
23	25.13	6	25.13	6	80849	SLU 9	143384	6915255	0.095	9596	SLU 8	-48163	-6915255	0.095	Si
45	25.13	6	25.13	6	6468	SLU 9	112340	6915255	0.095	-48163	SLU 8	-48163	-6915255	0.095	Si

Verifiche a flessione in famiglia SLV (domini sostanzialmente elastici)

La struttura oppure parte di essa, è stata dichiarata come non dissipativa pertanto la verifica a pressoflessione, per tutte o solo alcune sezioni, viene eseguita calcolando i momenti resistenti in campo sostanzialmente elastico secondo D.M. 17-01-2018 §7.4.1

Le dilatazioni ultime utilizzate sono le seguenti: $\epsilon_{c2}=0.002$, $\epsilon_{yd}=0.0019$

x	A sup.	C.b. sup.	A inf.	C.b. inf.	M+ela	Comb.	M+des	M+ult	x/d	M-ela	Comb.	M-des	M-ult	x/d	Verifica
0	25.13	6	25.13	6	3743134	SLV 7	3743134	6635554	0.225	-3553172	SLV 10	-3553172	-6635554	0.225	Si
23	25.13	6	25.13	6	3064288	SLV 7	3743134	6635554	0.225	-2974605	SLV 10	-3553172	-6635554	0.225	Si
45	25.13	6	25.13	6	2376909	SLV 7	3391201	6635554	0.225	-2405729	SLV 10	-3251116	-6635554	0.225	Si

Verifiche SLD Resistenza a flessione (domini sostanzialmente elastici)

La struttura oppure parte di essa, è stata dichiarata come non dissipativa pertanto la verifica a pressoflessione, per tutte o solo alcune sezioni, viene eseguita calcolando i momenti resistenti in campo sostanzialmente elastico secondo D.M. 17-01-2018 §7.4.1

Le dilatazioni ultime utilizzate sono le seguenti: $\epsilon_{c2}=0.002$, $\epsilon_{yd}=0.0019$

x	A sup.	C.b. sup.	A inf.	C.b. inf.	M+ela	Comb.	M+des	M+ult	x/d	M-ela	Comb.	M-des	M-ult	x/d	Verifica
0	25.13	6	25.13	6	2050418	SLD 7	2050418	6635554	0.225	-1860456	SLD 10	-1860456	-6635554	0.225	Si
23	25.13	6	25.13	6	1662556	SLD 7	2050418	6635554	0.225	-1572872	SLD 10	-1860456	-6635554	0.225	Si
45	25.13	6	25.13	6	1265893	SLD 7	1849827	6635554	0.225	-1294713	SLD 10	-1709742	-6635554	0.225	Si

Verifiche a taglio in famiglia SLU

x	A st	A sl	A sag	Vela	Comb.	Vdes	Vrd	Vrcd	Vrsd	Vult	cotgθ	Verifica
0	0.15	25.13	0	-2722	SLV 14	-2722	-25632	-211438	-38987	-38987	1	Si
23	0.14	25.13	0	-3248	SLV 14	-3248	-25632	-211438	-36388	-36388	1	Si
44	0.14	25.13	0	-3740	SLV 14	-3740	-25632	-211438	-36388	-36388	1	Si
45	0.157	25.13	0	-3775	SLV 14	-3775	-25632	-211438	-40936	-40936	1	Si

Verifiche a taglio in famiglia SLV

x	A st	A sl	A sag	Vela	Comb.	Vdes	Vrd	Vrcd	Vrsd	Vult	cotgθ	Verifica
0	0.15	25.13	0	26276	SLV 6	26276	25632	211438	38987	38987	1	Si
0	0.15	25.13	0	-30328	SLV 11	-30328	-25632	-211438	-38987	-38987	1	Si
23	0.14	25.13	0	25871	SLV 6	25871	25632	211438	36388	36388	1	Si
23	0.14	25.13	0	-30733	SLV 11	-30733	-25632	-211438	-36388	-36388	1	Si
44	0.14	25.13	0	25493	SLV 6	25493	25632	211438	36388	36388	1	Si
44	0.14	25.13	0	-31111	SLV 11	-31111	-25632	-211438	-36388	-36388	1	Si
45	0.157	25.13	0	25466	SLV 6	25466	25632	211438	40936	40936	1	Si
45	0.157	25.13	0	-31138	SLV 11	-31138	-25632	-211438	-40936	-40936	1	Si

Verifiche SLD Resistenza a taglio

x	A st	A sl	A sag	Vela	Comb.	Vdes	Vrd	Vrcd	Vrsd	Vult	cotgθ	Verifica
0	0.15	25.13	0	13168	SLD 6	13168	25632	211438	38987	38987	1	Si
0	0.15	25.13	0	-17220	SLD 11	-17220	-25632	-211438	-38987	-38987	1	Si
23	0.14	25.13	0	12763	SLD 6	12763	25632	211438	36388	36388	1	Si
23	0.14	25.13	0	-17625	SLD 11	-17625	-25632	-211438	-36388	-36388	1	Si
44	0.14	25.13	0	12385	SLD 6	12385	25632	211438	36388	36388	1	Si
44	0.14	25.13	0	-18003	SLD 11	-18003	-25632	-211438	-36388	-36388	1	Si
45	0.157	25.13	0	12358	SLD 6	12358	25632	211438	40936	40936	1	Si
45	0.157	25.13	0	-18030	SLD 11	-18030	-25632	-211438	-40936	-40936	1	Si

Verifiche delle tensioni in esercizio

x	Rara								Quasi permanente								Verifica
	Mela	Comb.	Mdes	σ c	σ c lim.	σ f.	σ f lim.	Mela	Comb.	Mdes	σ c	σ c lim.	σ FRP	σ FRP lim.			
0	110295	1	110295	1.5	149.4	64.7	3600	110295	1	110295	1.5	112.1	0	+∞	Si		
23	62191	1	110295	1.5	149.4	64.7	3600	62191	1	110295	1.5	112.1	0	+∞	Si		
45	4975	1	86415	1.2	149.4	50.7	3600	4975	1	86415	1.2	112.1	0	+∞	Si		
45	-30450	8	-30450	0.4	149.4	17.9	3600	-14410	4	-14410	0.2	112.1	0	+∞	Si		

Verifica di apertura delle fessure

La campata non presenta apertura delle fessure

Verifica di deformabilità

x	Rara				Frequente				Quasi permanente								Verifica
	Elastica+	Elastica-	Fess.+	Fess.-	Elastica+	Elastica-	Fess.+	Fess.-	Elastica+	Elastica-	Fess. viscosa+	Comb.	Fess. viscosa-	Comb.	I/f		
15	0	0	0	0	0	0	0	0	0	0	0	1	0	1	9999	Si	
23	0	0	0	0	0	0	0	0	0	0	0	1	0	1	9999	Si	

Campata 14 tra i fili Palo94 - Palo92, sezione R 90x80, aste 409, 408

Verifiche a flessione in famiglia SLU

x	A sup.	C.b. sup.	A inf.	C.b. inf.	M+ela	Comb.	M+des	M+ult	x/d	M-ela	Comb.	M-des	M-ult	x/d	Verifica
0	25.13	6	25.13	6	43381	SLU 10	43509	6915255	0.095						Si
45	25.13	6	25.13	6	-40559	SLU 1	42697	6915255	0.095	-69123	SLU 16	-87102	-6915255	0.095	Si
60	25.13	6	25.13	6	-52837	SLU 1	37201	6915255	0.095	-87102	SLU 16	-87102	-6915255	0.095	Si
90	25.13	6	25.13	6						-138854	SLU 16	-107713	-6915255	0.095	Si

Verifiche a flessione in famiglia SLV (domini sostanzialmente elastici)

La struttura oppure parte di essa, è stata dichiarata come non dissipativa pertanto la verifica a pressoflessione, per tutte o solo alcune sezioni, viene eseguita calcolando i momenti resistenti in campo sostanzialmente elastico secondo D.M. 17-01-2018 §7.4.1

Le dilatazioni ultime utilizzate sono le seguenti: $\epsilon_{c2}=0.002$, $\epsilon_{yd}=0.0019$

x	A sup.	C.b. sup.	A inf.	C.b. inf.	M+ela	Comb.	M+des	M+ult	x/d	M-ela	Comb.	M-des	M-ult	x/d	Verifica
0	25.13	6	25.13	6	1413275	SLV 7	1413275	6635554	0.225	-1350646	SLV 10	-1350646	-6635554	0.225	Si
45	25.13	6	25.13	6	337443	SLV 7	1322051	6635554	0.225	-434616	SLV 10	-1261124	-6635554	0.225	Si
60	25.13	6	25.13	6	265738	SLV 3	1204019	6635554	0.225	-390011	SLV 14	-1152463	-6635554	0.225	Si
90	25.13	6	25.13	6	264571	SLV 2	217479	6635554	0.225	-467344	SLV 15	-395980	-6635554	0.225	Si

Verifiche SLD Resistenza a flessione (domini sostanzialmente elastici)

La struttura oppure parte di essa, è stata dichiarata come non dissipativa pertanto la verifica a pressoflessione, per tutte o solo alcune sezioni, viene eseguita calcolando i momenti resistenti in campo sostanzialmente elastico secondo D.M. 17-01-2018 §7.4.1

Le dilatazioni ultime utilizzate sono le seguenti: $\epsilon_{c2}=0.002$, $\epsilon_{yd}=0.0019$

x	A sup.	C.b. sup.	A inf.	C.b. inf.	M+ela	Comb.	M+des	M+ult	x/d	M-ela	Comb.	M-des	M-ult	x/d	Verifica
0	25.13	6	25.13	6	773266	SLD 7	773266	6635554	0.225	-710637	SLD 10	-710637	-6635554	0.225	Si
45	25.13	6	25.13	6	156562	SLD 7	723839	6635554	0.225	-253735	SLD 10	-662911	-6635554	0.225	Si
60	25.13	6	25.13	6	105855	SLD 3	658115	6635554	0.225	-230128	SLD 14	-606559	-6635554	0.225	Si
90	25.13	6	25.13	6	84730	SLD 2	64797	6635554	0.225	-287502	SLD 15	-239698	-6635554	0.225	Si

Verifiche a taglio in famiglia SLU

x	A st	A sl	A sag	Vela	Comb.	Vdes	Vrd	Vrcd	Vrsd	Vult	cotgθ	Verifica
0	0.157	25.13	0	119	SLU 12	119	25632	211438	40936	40936	1	Si
45	0.157	25.13	0	-1031	SLU 15	-1031	-25632	-211438	-40936	-40936	1	Si
60	0.157	25.13	0	-1382	SLU 15	-1382	-25632	-211438	-40936	-40936	1	Si
90	0	25.13	0	-2084	SLU 15	-2084	-25632	-211438	0	-25632	1	Si

Verifiche a taglio in famiglia SLV

x	A st	A sl	A sag	Vela	Comb.	Vdes	Vrd	Vrcd	Vrsd	Vult	cotgθ	Verifica
0	0.157	25.13	0	8288	SLV 6	8288	25632	211438	40936	40936	1	Si
0	0.157	25.13	0	-8222	SLV 11	-8222	-25632	-211438	-40936	-40936	1	Si
45	0.157	25.13	0	8489	SLV 6	8489	25632	211438	40936	40936	1	Si
45	0.157	25.13	0	-10025	SLV 11	-10025	-25632	-211438	-40936	-40936	1	Si
60	0.157	25.13	0	8219	SLV 6	8219	25632	211438	40936	40936	1	Si
60	0.157	25.13	0	-10295	SLV 11	-10295	-25632	-211438	-40936	-40936	1	Si
90	0	25.13	0	7679	SLV 6	7679	25632	211438	0	25632	1	Si
90	0	25.13	0	-10835	SLV 11	-10835	-25632	-211438	0	-25632	1	Si

Verifiche SLD Resistenza a taglio

x	A st	A sl	A sag	Vela	Comb.	Vdes	Vrd	Vrcd	Vrsd	Vult	cotgθ	Verifica
0	0.157	25.13	0	4450	SLD 6	4450	25632	211438	40936	40936	1	Si
0	0.157	25.13	0	-4384	SLD 11	-4384	-25632	-211438	-40936	-40936	1	Si
45	0.157	25.13	0	4181	SLD 6	4181	25632	211438	40936	40936	1	Si
45	0.157	25.13	0	-5717	SLD 11	-5717	-25632	-211438	-40936	-40936	1	Si
60	0.157	25.13	0	3911	SLD 6	3911	25632	211438	40936	40936	1	Si
60	0.157	25.13	0	-5987	SLD 11	-5987	-25632	-211438	-40936	-40936	1	Si
90	0	25.13	0	3371	SLD 6	3371	25632	211438	0	25632	1	Si
90	0	25.13	0	-6527	SLD 11	-6527	-25632	-211438	0	-25632	1	Si

Verifiche delle tensioni in esercizio

x	Mela	Comb.	Mdes	σ c	σ c lim.	σ f.	σ f lim.	Mela	Comb.	Mdes	σ c	σ c lim.	σ FRP	σ FRP lim.	Verifica
0	33366	2	33466	0.4	149.4	19.6	3600	33338	1	33448	0.4	112.1	0	+∞	Si
45	-51490	8	-65113	0.9	149.4	38.2	3600	-48586	4	-62136	0.8	112.1	0	+∞	Si
60	-65113	8	-65113	0.9	149.4	38.2	3600	-62136	4	-62136	0.8	112.1	0	+∞	Si
90	-104509	8	-80761	1.1	149.4	47.4	3600	-101386	4	-77711	1	112.1	0	+∞	Si

Verifica di apertura delle fessure

La campata non presenta apertura delle fessure

Verifica di deformabilità

x	Rara				Frequente				Quasi permanente						Verifica
	Elastica+	Elastica-	Fess.+	Fess.-	Elastica+	Elastica-	Fess.+	Fess.-	Elastica+	Elastica-	Fess. viscosa+	Comb.	Fess. viscosa-	Comb.	l/f
45	0	0	0	0	0	0	0	0	0	0	0	1	0	1	9999
60	0	0	0	0	0	0	0	0	0	0	0	1	0	1	9999
63	0	0	0	0	0	0	0	0	0	0	0	1	0	1	9999

Campata 15 tra i fili Palo92 - 26, sezione R 90x80, asta 407

Verifiche a flessione in famiglia SLU

x	A sup.	C.b. sup.	A inf.	C.b. inf.	M+ela	Comb.	M+des	M+ult	x/d	M-ela	Comb.	M-des	M-ult	x/d	Verifica
0	25.13	6	25.13	6	480	SLU 8	480	6915255	0.095	-17822	SLU 9	-5721	-6915255	0.095	Si
30	25.13	6	25.13	6	9226	SLU 8	9294	6915255	0.095	-259	SLU 9	-5416	-6915255	0.095	Si
35	25.13	6	25.13	6	9261	SLU 16	9294	6915255	0.095	485	SLU 1	-8437	-6915255	0.095	Si
37	25.13	6	25.13	6	9102	SLU 16	9294	6915255	0.095	647	SLU 1	-9584	-6915255	0.095	Si
70	25.13	6	25.13	6	-4298	SLU 8	9145	6915255	0.095	-9584	SLU 10	-9584	-6915255	0.095	Si

Verifiche a flessione in famiglia SLV (domini sostanzialmente elastici)

La struttura oppure parte di essa, è stata dichiarata come non dissipativa pertanto la verifica a pressoflessione, per tutte o solo alcune sezioni, viene eseguita calcolando i momenti resistenti in campo sostanzialmente elastico secondo D.M. 17-01-2018 §7.4.1

Le dilatazioni ultime utilizzate sono le seguenti: $\epsilon_{c2}=0.002$, $\epsilon_{yd}=0.0019$

x	A sup.	C.b. sup.	A inf.	C.b. inf.	M+ela	Comb.	M+des	M+ult	x/d	M-ela	Comb.	M-des	M-ult	x/d	Verifica
0	25.13	6	25.13	6	183541	SLV 10	167251	6635554	0.225	-201046	SLV 7	-164872	-6635554	0.225	Si
30	25.13	6	25.13	6	142847	SLV 10	142847	6635554	0.225	-136772	SLV 7	-136772	-6635554	0.225	Si
35	25.13	6	25.13	6	134498	SLV 10	142847	6635554	0.225	-127629	SLV 7	-136772	-6635554	0.225	Si
70	25.13	6	25.13	6	63453	SLV 10	131545	6635554	0.225	-76309	SLV 7	-124635	-6635554	0.225	Si

Verifiche SLD Resistenza a flessione (domini sostanzialmente elastici)

La struttura oppure parte di essa, è stata dichiarata come non dissipativa pertanto la verifica a pressoflessione, per tutte o solo alcune sezioni, viene eseguita calcolando i momenti resistenti in campo sostanzialmente elastico secondo D.M. 17-01-2018 §7.4.1

Le dilatazioni ultime utilizzate sono le seguenti: $\epsilon_c = 0.002$, $\epsilon_{yd} = 0.0019$

x	A sup.	C.b. sup.	A inf.	C.b. inf.	M+ela	Comb.	M+des	M+ult	x/d	M-ela	Comb.	M-des	M-ult	x/d	Verifica
0	25.13	6	25.13	6	93832	SLD 10	89804	6635554	0.225	-111338	SLD 7	-87425	-6635554	0.225	Si
30	25.13	6	25.13	6	77673	SLD 10	77673	6635554	0.225	-71597	SLD 7	-71597	-6635554	0.225	Si
35	25.13	6	25.13	6	73412	SLD 10	77673	6635554	0.225	-66543	SLD 7	-71597	-6635554	0.225	Si
70	25.13	6	25.13	6	30966	SLD 10	71849	6635554	0.225	-43822	SLD 7	-64939	-6635554	0.225	Si

Verifiche a taglio in famiglia SLU

x	A st	A sl	A sag	Vela	Comb.	Vdes	Vrd	Vrcd	Vrsd	Vult	cotgθ	Verifica
0	0	25.13	0	937	SLU 9	937	25632	211438	0	25632	1	Si
30	0.157	25.13	0	235	SLU 9	235	25632	211438	40936	40936	1	Si
35	0.157	25.13	0	118	SLU 9	118	25632	211438	40936	40936	1	Si
35	0.157	25.13	0	-68	SLU 8	-68	-25632	-211438	-40936	-40936	1	Si
70	0.157	25.13	0	-860	SLU 16	-860	-25632	-211438	-40936	-40936	1	Si

Verifiche a taglio in famiglia SLV

x	A st	A sl	A sag	Vela	Comb.	Vdes	Vrd	Vrcd	Vrsd	Vult	cotgθ	Verifica
0	0	25.13	0	2413	SLV 7	2413	25632	211438	0	25632	1	Si
0	0	25.13	0	-1087	SLV 10	-1087	-25632	-211438	0	-25632	1	Si
30	0.157	25.13	0	1873	SLV 7	1873	25632	211438	40936	40936	1	Si
30	0.157	25.13	0	-1627	SLV 10	-1627	-25632	-211438	-40936	-40936	1	Si
35	0.157	25.13	0	1783	SLV 7	1783	25632	211438	40936	40936	1	Si
35	0.157	25.13	0	-1717	SLV 10	-1717	-25632	-211438	-40936	-40936	1	Si
70	0.157	25.13	0	1153	SLV 7	1153	25632	211438	40936	40936	1	Si
70	0.157	25.13	0	-2347	SLV 10	-2347	-25632	-211438	-40936	-40936	1	Si

Verifiche SLD Resistenza a taglio

x	A st	A sl	A sag	Vela	Comb.	Vdes	Vrd	Vrcd	Vrsd	Vult	cotgθ	Verifica
0	0	25.13	0	1595	SLD 7	1595	25632	211438	0	25632	1	Si
0	0	25.13	0	-269	SLD 10	-269	-25632	-211438	0	-25632	1	Si
30	0.157	25.13	0	1055	SLD 7	1055	25632	211438	40936	40936	1	Si
30	0.157	25.13	0	-809	SLD 10	-809	-25632	-211438	-40936	-40936	1	Si
35	0.157	25.13	0	965	SLD 7	965	25632	211438	40936	40936	1	Si
35	0.157	25.13	0	-899	SLD 10	-899	-25632	-211438	-40936	-40936	1	Si
70	0.157	25.13	0	335	SLD 7	335	25632	211438	40936	40936	1	Si
70	0.157	25.13	0	-1529	SLD 10	-1529	-25632	-211438	-40936	-40936	1	Si

Verifiche delle tensioni in esercizio

x	Rara							Quasi permanente							Verifica
	Mela	Comb.	Mdes	σ c	σ c lim.	σ f.	σ f lim.	Mela	Comb.	Mdes	σ c	σ c lim.	σ FRP	σ FRP lim.	
0	-13709	1	-4250	0.1	149.4	2.5	3600	-13709	1	-2907	0	112.1	0	$+\infty$	Si
30	6085	8	6239	0.1	149.4	3.7	3600	3038	4	3463	0	112.1	0	$+\infty$	Si
30	-199	1	-4166	0.1	149.4	2.4	3600	-199	1	-4166	0.1	112.1	0	$+\infty$	Si
35	6239	8	6239	0.1	149.4	3.7	3600	3435	4	3463	0	112.1	0	$+\infty$	Si
70	-7372	2	-7372	0.1	149.4	4.3	3600	-7371	1	-7371	0.1	112.1	0	$+\infty$	Si

Verifica di apertura delle fessure

La campata non presenta apertura delle fessure

Verifica di deformabilità

x	Rara				Frequente				Quasi permanente							Verifica
	Elastica+	Elastica-	Fess.+	Fess.-	Elastica+	Elastica-	Fess.+	Fess.-	Elastica+	Elastica-	Fess. viscosa+	Comb.	Fess. viscosa-	Comb.	l/f	
30	0	0	0	0	0	0	0	0	0	0	0	4	0	4	9999	Si
35	0	0	0	0	0	0	0	0	0	0	0	4	0	4	9999	Si

6.2 Verifiche platea C.A.

Le unità di misura elencate nel capitolo sono in [cm, daN] ove non espressamente specificato.

Nodo: indice del nodo di verifica.

Dir.: direzione della sezione di verifica.

B: base della sezione rettangolare di verifica. [cm]

H: altezza della sezione rettangolare di verifica. [cm]

A. sup.: area barre armatura superiori. [cm²]

C. sup.: distanza media delle barre superiori dal bordo superiore della sezione. [cm]

A. inf.: area barre armatura inferiori. [cm²]

C. inf.: distanza media delle barre inferiori dal bordo inferiore della sezione. [cm]

Comb.: combinazione di verifica.

M: momento flettente. [daN*cm]

N: sforzo normale. [daN]

Mu: momento flettente ultimo. [daN*cm]

Nu: sforzo normale ultimo. [daN]

c.s.: coefficiente di sicurezza.

Verifica: stato di verifica.

A. st.: area staffe su interasse. [cm]

A. sag.: area sagomati su interasse. [cm]

Ved: taglio agente. [daN]

Vrd: taglio resistente. [daN]

Vrdc: resistenza di calcolo a taglio per elementi privi di armature trasversali. [daN]

Vrsd: resistenza di calcolo a taglio trazione. [daN]

Vrcd: resistenza di calcolo a taglio compressione. [daN]

cotgθ: cotangente dell'inclinazione dei puntoni di calcestruzzo rispetto all'asse dell'elemento.

Asl: area longitudinale tesa nella combinazione di verifica di Ved. [cm²]

σc: tensione nel calcestruzzo. [daN/cm²]

σlim: tensione limite. [daN/cm²]

Es/Ec: coefficiente di omogenizzazione.

σf: tensione nell'acciaio d'armatura. [daN/cm²]

Nome: nome attribuito alla zona di punzonamento.

Lato punzonante: lato considerato come punzonante in verifica.

Verticali inferiori: elementi punzonanti inferiori.

Verticali superiori: elementi punzonanti superiori.

Zona: nome della zona di punzonamento.

Lato: lato su cui agisce l'azione punzonante.

ved: tensione tangenziale per punzonamento. [daN/cm²]

vr_{d,max}: resistenza a punzonamento. [daN/cm²]

d: media delle altezze utili nelle due direzioni ortogonali. [cm]

U₀: lunghezza efficace del perimetro di verifica. [cm]

VE_d: forza netta di taglio-punzonamento. [daN]

Peso: peso del blocco di cls e dell'eventuale carico superficiale. [daN]

Suolo: reazione trasmessa dal suolo. [daN]

β: formula per il calcolo del coefficiente.

M₁: momento di calcolo secondo l'asse principale di verifica 1. [daN*cm]

M₂: momento di calcolo secondo l'asse principale di verifica 2. [daN*cm]

W₁₁: w₁ secondo l'asse principale di verifica 1. [cm²]

W₁₂: w₁ secondo l'asse principale di verifica 2. [cm²]

β: coefficiente per reazione eccentrica rispetto al perimetro di verifica.

vr_{d,c}: resistenza a punzonamento. [daN/cm²]

Offset: distanza del perimetro di verifica dall'area caricata. [cm]

U₁: lunghezza efficace del perimetro di verifica. [cm]

Platea A

Verifiche condotte secondo D.M. 17-01-18 (N.T.C.)

Caratteristiche dei materiali

Acciaio: B450C Fyk 4500

Calcestruzzo: C25/30 Rck 300

Sistema di riferimento e direzioni di armatura

Le coordinate citate nel seguito sono espresse in un sistema di riferimento cartesiano con origine in (-115; 1594; 0), direzione dell'asse X = (1; 0; 0), direzione dell'asse Y = (0; 1; 0).

Le direzioni X/Y di armatura e le sezioni X/Y di verifica sono individuate dagli assi del sistema di riferimento.

Verifiche nei nodi

Verifiche SLU flessione nei nodi

Nodo	Dir.	B	H	A. sup.	C. sup.	A. inf.	C. inf.	Comb.	M	N	Mu	Nu	c.s.	Verifica
793	X	100	80	20.94	7	20.94	7	SLU 9	-489175	0	-5672976	0	11.597	Si
796	X	100	80	20.94	7	20.94	7	SLU 9	-478260	0	-5672976	0	11.8617	Si
791	X	100	80	20.94	7	20.94	7	SLU 9	-461545	0	-5672976	0	12.2913	Si
795	X	100	80	20.94	7	20.94	7	SLU 9	-455131	0	-5672976	0	12.4645	Si
794	X	100	80	20.94	7	20.94	7	SLU 9	-447135	0	-5672976	0	12.6874	Si

Verifiche SLD Resistenza flessione nei nodi

Nodo	Dir.	B	H	A. sup.	C. sup.	A. inf.	C. inf.	Comb.	M	N	Mu	Nu	c.s.	Verifica
793	X	100	80	20.94	7	20.94	7	SLD 1	-376288	0	-5672976	0	15.0761	Si
796	X	100	80	20.94	7	20.94	7	SLD 1	-367892	0	-5672976	0	15.4202	Si
791	X	100	80	20.94	7	20.94	7	SLD 1	-355034	0	-5672976	0	15.9787	Si
795	X	100	80	20.94	7	20.94	7	SLD 1	-350101	0	-5672976	0	16.2038	Si
794	X	100	80	20.94	7	20.94	7	SLD 1	-343950	0	-5672976	0	16.4936	Si

Verifiche SLU taglio nei nodi

Nodo	Dir.	B	H	A. sup.	C. sup.	A. inf.	C. inf.	A. st.	A. sag.	Comb.	Ved	N	Vrd	Vrdc	Vr _{sd}	Vr _{cd}	cotgθ	Asl	c.s.	Verifica
785	X	50	80	10.47	7	10.47	7	0	0	SLU 9	-3306	0	12851	12851	0	79916	2.5	10.472	3.8872	Si
774	X	50	80	10.47	7	10.47	7	0	0	SLU 9	-3265	0	12851	12851	0	79916	2.5	10.472	3.9364	Si
796	X	100	80	20.94	7	20.94	7	0	0	SLU 9	-6424	0	25702	25702	0	159832	2.5	20.944	4.0008	Si
793	X	100	80	20.94	7	20.94	7	0	0	SLU 9	-6149	0	25702	25702	0	159832	2.5	20.944	4.1797	Si
817	X	50	80	10.47	7	10.47	7	0	0	SLU 9	2990	0	12851	12851	0	79916	2.5	10.472	4.2973	Si

Verifiche SLD Resistenza taglio nei nodi

Nodo	Dir.	B	H	A. sup.	C. sup.	A. inf.	C. inf.	A. st.	A. sag.	Comb.	Ved	N	Vrd	Vrdc	Vr _{sd}	Vr _{cd}	cotgθ	Asl	c.s.	Verifica
785	X	50	80	10.47	7	10.47	7	0	0	SLD 1	-2543	0	19277	19277	0	79916	2.5	10.472	7.58	Si
774	X	50	80	10.47	7	10.47	7	0	0	SLD 1	-2511	0	19277	19277	0	79916	2.5	10.472	7.6759	Si
796	X	100	80	20.94	7	20.94	7	0	0	SLD 1	-4942	0	38553	38553	0	159832	2.5	20.944	7.8016	Si
793	X	100	80	20.94	7	20.94	7	0	0	SLD 1	-4730	0	38553	38553	0	159832	2.5	20.944	8.1504	Si
817	X	50	80	10.47	7	10.47	7	0	0	SLD 1	2300	0	19277	19277	0	79916	2.5	10.472	8.3798	Si

Verifiche SLE tensione calcestruzzo nei nodi

Nodo	Dir.	B	H	A. sup.	C. sup.	A. inf.	C. inf.	Comb.	M	N	σ _c	σ _{lim}	Es/Ec	Verifica
793	X	100	80	20.94	7	20.94	7	SLE QP 1	-376288	0	-3	112.1	15	Si
796	X	100	80	20.94	7	20.94	7	SLE QP 1	-367892	0	-3	112.1	15	Si
791	X	100	80	20.94	7	20.94	7	SLE QP 1	-355034	0	-2.9	112.1	15	Si
795	X	100	80	20.94	7	20.94	7	SLE QP 1	-350101	0	-2.8	112.1	15	Si
794	X	100	80	20.94	7	20.94	7	SLE QP 1	-343950	0	-2.8	112.1	15	Si

Verifiche SLE tensione acciaio nei nodi

Nodo	Dir.	B	H	A. sup.	C. sup.	A. inf.	C. inf.	Comb.	M	N	σ _f	σ _{lim}	Es/Ec	Verifica
793	X	100	80	20.94	7	20.94	7	SLE RA 1	-376288	0	37.6	3600	15	Si
796	X	100	80	20.94	7	20.94	7	SLE RA 1	-367892	0	36.8	3600	15	Si
791	X	100	80	20.94	7	20.94	7	SLE RA 1	-355034	0	35.5	3600	15	Si
795	X	100	80	20.94	7	20.94	7	SLE RA 1	-350101	0	35	3600	15	Si
794	X	100	80	20.94	7	20.94	7	SLE RA 1	-343950	0	34.4	3600	15	Si

Verifiche SLE fessurazione nei nodi

La piastra non presenta nodi con apertura delle fessure.

Platea B1

Verifiche condotte secondo D.M. 17-01-18 (N.T.C.)

Caratteristiche dei materiali

Acciaio: B450C Fyk 4500
Calcestruzzo: C25/30 Rck 300

Sistema di riferimento e direzioni di armatura

Le coordinate citate nel seguito sono espresse in un sistema di riferimento cartesiano con origine in (115; 334; 0), direzione dell'asse X = (1; 0; 0), direzione dell'asse Y = (0; 1; 0).

Le direzioni X/Y di armatura e le sezioni X/Y di verifica sono individuate dagli assi del sistema di riferimento.

Verifiche nei nodi

Verifiche SLU flessione nei nodi

Nodo	Dir.	B	H	A. sup.	C. sup.	A. inf.	C. inf.	Comb.	M	N	Mu	Nu	c.s.	Verifica
570	Y	100	80	20.94	5	20.94	5	SLU 9	-1172760	0	-5835292	0	4.9757	Si
608	Y	100	80	20.94	5	20.94	5	SLU 9	-1125276	0	-5835292	0	5.1857	Si
115	Y	100	80	20.94	5	20.94	5	SLU 9	-1002683	0	-5835292	0	5.8197	Si
127	Y	100	80	20.94	5	20.94	5	SLU 9	-1000916	0	-5835292	0	5.8299	Si
536	Y	100	80	20.94	5	20.94	5	SLU 9	-843000	0	-5835292	0	6.9221	Si

Verifiche SLD Resistenza flessione nei nodi

Nodo	Dir.	B	H	A. sup.	C. sup.	A. inf.	C. inf.	Comb.	M	N	Mu	Nu	c.s.	Verifica
570	Y	100	80	20.94	5	20.94	5	SLD 1	-902123	0	-5835292	0	6.4684	Si
608	Y	100	80	20.94	5	20.94	5	SLD 1	-865597	0	-5835292	0	6.7414	Si
115	Y	100	80	20.94	5	20.94	5	SLD 1	-771294	0	-5835292	0	7.5656	Si
127	Y	100	80	20.94	5	20.94	5	SLD 1	-769936	0	-5835292	0	7.5789	Si
536	Y	100	80	20.94	5	20.94	5	SLD 1	-648461	0	-5835292	0	8.9987	Si

Verifiche SLU taglio nei nodi

Nodo	Dir.	B	H	A. sup.	C. sup.	A. inf.	C. inf.	A. st.	A. sag.	Comb.	Ved	N	Vrd	Vrdc	Vrsd	Vrcd	cotgθ	Asl	c.s.	Verifica
282	X	100	80	20.94	7	20.94	7	0	0	SLU 9	-24760	0	25702	25702	0	159832	2.5	20.944	1.0381	Si
570	Y	100	80	20.94	5	20.94	5	0	0	SLU 9	25049	0	26049	26049	0	164211	2.5	20.944	1.0399	Si
608	Y	100	80	20.94	5	20.94	5	0	0	SLU 9	22200	0	26049	26049	0	164211	2.5	20.944	1.1734	Si
281	X	100	80	20.94	7	20.94	7	0	0	SLU 9	-20386	0	25702	25702	0	159832	2.5	20.944	1.2607	Si
283	X	100	80	20.94	7	20.94	7	0	0	SLU 9	-16934	0	25702	25702	0	159832	2.5	20.944	1.5178	Si

Verifiche SLD Resistenza taglio nei nodi

Nodo	Dir.	B	H	A. sup.	C. sup.	A. inf.	C. inf.	A. st.	A. sag.	Comb.	Ved	N	Vrd	Vrdc	Vrsd	Vrcd	cotgθ	Asl	c.s.	Verifica
282	X	100	80	20.94	7	20.94	7	0	0	SLD 1	-19046	0	38553	38553	0	159832	2.5	20.944	2.0242	Si
570	Y	100	80	20.94	5	20.94	5	0	0	SLD 1	19269	0	39073	39073	0	164211	2.5	20.944	2.0278	Si
608	Y	100	80	20.94	5	20.94	5	0	0	SLD 1	17077	0	39073	39073	0	164211	2.5	20.944	2.2881	Si
281	X	100	80	20.94	7	20.94	7	0	0	SLD 1	-15682	0	38553	38553	0	159832	2.5	20.944	2.4585	Si
283	X	100	80	20.94	7	20.94	7	0	0	SLD 1	-13026	0	38553	38553	0	159832	2.5	20.944	2.9597	Si

Verifiche SLE tensione calcestruzzo nei nodi

Nodo	Dir.	B	H	A. sup.	C. sup.	A. inf.	C. inf.	Comb.	M	N	oc	oim	Es/Ec	Verifica
570	Y	100	80	20.94	5	20.94	5	SLE QP 1	-902123	0	-7.2	112.1	15	Si
608	Y	100	80	20.94	5	20.94	5	SLE QP 1	-865597	0	-6.9	112.1	15	Si
115	Y	100	80	20.94	5	20.94	5	SLE QP 1	-771294	0	-6.1	112.1	15	Si
127	Y	100	80	20.94	5	20.94	5	SLE QP 1	-769936	0	-6.1	112.1	15	Si
570	Y	100	80	20.94	5	20.94	5	SLE RA 1	-902123	0	-7.2	149.4	15	Si

Verifiche SLE tensione acciaio nei nodi

Nodo	Dir.	B	H	A. sup.	C. sup.	A. inf.	C. inf.	Comb.	M	N	σf	σim	Es/Ec	Verifica
570	Y	100	80	20.94	5	20.94	5	SLE RA 1	-902123	0	94	3600	15	Si
608	Y	100	80	20.94	5	20.94	5	SLE RA 1	-865597	0	90.2	3600	15	Si
115	Y	100	80	20.94	5	20.94	5	SLE RA 1	-771294	0	80.4	3600	15	Si
127	Y	100	80	20.94	5	20.94	5	SLE RA 1	-769936	0	80.3	3600	15	Si
536	Y	100	80	20.94	5	20.94	5	SLE RA 1	-648461	0	67.6	3600	15	Si

Verifiche SLE fessurazione nei nodi

La piastra non presenta nodi con apertura delle fessure.

Verifiche punzonamento

Zone di punzonamento considerate

Nome	Lato punzonante	Verticali inferiori	Verticali superiori
ZFPil.A4	Superiore		Pilastro C.A. a tronco Fondazione - Primo Impalcato filo Pil.A4
ZFPil.A7	Superiore		Pilastro C.A. a tronco Fondazione - Primo Impalcato filo Pil.A7
ZFPil.A8	Superiore		Pilastro C.A. a tronco Fondazione - Primo Impalcato filo Pil.A8

Verifiche punzonamento U0 SLU

Zona	Lato	Comb.	ved	vrđ,max	d	U0	VEđ	Peso	Suolo	β	M1	M2	W11	W12	β	c.s.	Verifica
ZFPil.A7	Sup.	SLV 6	-24.5	28.22	74	190	-158741	420	0	(6.43)	3607218	-320868			2.17	1.1517	Si
ZFPil.A4	Sup.	SLV 10	-14.76	28.22	74	190	-117127	420	0	(6.43)	1730640	527238			1.77	1.9119	Si

Verifiche punzonamento U0 SLD Resistenza

Zona	Lato	Comb.	ved	vrđ,max	d	U0	VEđ	Peso	Suolo	β	M1	M2	W11	W12	β	c.s.	Verifica
ZFPil.A8	Sup.	SLD 11	-24.95	28.22	74	107	-64058	252	0	(6.39)	-2006566	60074	1141	1566	3.08	1.1309	Si
ZFPil.A7	Sup.	SLD 6	-14.36	28.22	74	190	-106670	420	0	(6.43)	1847028	-224661			1.89	1.9652	Si
ZFPil.A4	Sup.	SLD 10	-8.92	28.22	74	190	-77931	420	0	(6.43)	909821	265435			1.61	3.1642	Si

Piastra B2

Verifiche condotte secondo D.M. 17-01-18 (N.T.C.)

Caratteristiche dei materiali

Acciaio: B450C Fyk 4500
Calcestruzzo: C25/30 Rck 300

Sistema di riferimento e direzioni di armatura

Le coordinate citate nel seguito sono espresse in un sistema di riferimento cartesiano con origine in (1715; 334; 0), direzione dell'asse X = (1; 0; 0), direzione dell'asse Y = (0; 1; 0).

Le direzioni X/Y di armatura e le sezioni X/Y di verifica sono individuate dagli assi del sistema di riferimento.

Verifiche nei nodi

Verifiche SLU flessione nei nodi

Nodo	Dir.	B	H	A. sup.	C. sup.	A. inf.	C. inf.	Comb.	M	N	Mu	Nu	c.s.	Verifica
136	X	77.5	80	16.23	7	16.23	7	SLV 1	-597801	0	-4391871	0	7.3467	Si
137	X	100	80	20.94	7	20.94	7	SLV 1	-748685	0	-5672976	0	7.5773	Si
276	X	96.7	80	20.25	7	20.25	7	SLV 1	649954	0	5482822	0	8.4357	Si
265	Y	100	80	20.94	5	20.94	5	SLV 1	681746	0	5835292	0	8.5593	Si
138	X	100	80	20.94	7	20.94	7	SLV 1	-631390	0	-5672976	0	8.9849	Si

Verifiche SLD Resistenza flessione nei nodi

Nodo	Dir.	B	H	A. sup.	C. sup.	A. inf.	C. inf.	Comb.	M	N	Mu	Nu	c.s.	Verifica
137	X	100	80	20.94	7	20.94	7	SLD 1	-530300	0	-5672976	0	10.6977	Si
138	X	100	80	20.94	7	20.94	7	SLD 1	-510326	0	-5672976	0	11.1164	Si
136	X	77.5	80	16.23	7	16.23	7	SLD 1	-392232	0	-4391871	0	11.1971	Si
137	Y	100	80	20.94	5	20.94	5	SLD 1	-450641	0	-5835292	0	12.9489	Si
135	X	50	80	10.47	7	10.47	7	SLD 1	-206482	0	-2830210	0	13.7068	Si

Verifiche SLU taglio nei nodi

Nodo	Dir.	B	H	A. sup.	C. sup.	A. inf.	C. inf.	A. st.	A. sag.	Comb.	Ved	N	Vrd	Vrdc	Vrsd	Vrcd	cotgθ	Asl	c.s.	Verifica
276	X	96.7	80	20.25	7	20.25	7	0	0	SLV 1	22221	0	24846	24846	0	154510	2.5	20.247	1.1181	Si
92	X	50	80	10.47	7	10.47	7	0	0	SLU 9	-11184	0	12851	12851	0	79916	2.5	10.472	1.149	Si
276	X	96.7	80	20.25	7	20.25	7	0	0	SLV 16	-19645	0	24846	24846	0	154510	2.5	20.247	1.2648	Si
327	Y	100	80	20.94	5	20.94	5	0	0	SLV 1	19233	0	26049	26049	0	164211	2.5	20.944	1.3543	Si
318	Y	100	80	20.94	5	20.94	5	0	0	SLU 16	18626	0	26049	26049	0	164211	2.5	20.944	1.3985	Si

Verifiche SLD Resistenza taglio nei nodi

Nodo	Dir.	B	H	A. sup.	C. sup.	A. inf.	C. inf.	A. st.	A. sag.	Comb.	Ved	N	Vrd	Vrdc	Vrsd	Vrcd	cotgθ	Asl	c.s.	Verifica
92	X	50	80	10.47	7	10.47	7	0	0	SLD 16	-8745	0	19277	19277	0	79916	2.5	10.472	2.2043	Si
318	Y	100	80	20.94	5	20.94	5	0	0	SLD 1	15132	0	39073	39073	0	164211	2.5	20.944	2.5821	Si
309	Y	100	80	20.94	5	20.94	5	0	0	SLD 1	15131	0	39073	39073	0	164211	2.5	20.944	2.5823	Si
112	X	91.7	80	19.21	7	19.21	7	0	0	SLD 16	-12504	0	35356	35356	0	146576	2.5	19.207	2.8275	Si
651	Y	100	80	20.94	5	20.94	5	0	0	SLD 1	13664	0	39073	39073	0	164211	2.5	20.944	2.8596	Si

Verifiche SLE tensione calcestruzzo nei nodi

Nodo	Dir.	B	H	A. sup.	C. sup.	A. inf.	C. inf.	Comb.	M	N	σc	σlim	Es/Ec	Verifica
137	X	100	80	20.94	7	20.94	7	SLE QP 1	-411029	0	-3.3	112.1	15	Si
609	Y	100	80	20.94	5	20.94	5	SLE QP 4	-416186	0	-3.3	112.1	15	Si
138	X	100	80	20.94	7	20.94	7	SLE QP 4	-399545	0	-3.2	112.1	15	Si
136	X	77.5	80	16.23	7	16.23	7	SLE QP 1	-307727	0	-3.2	112.1	15	Si
137	Y	100	80	20.94	5	20.94	5	SLE QP 4	-403843	0	-3.2	112.1	15	Si

Verifiche SLE tensione acciaio nei nodi

Nodo	Dir.	B	H	A. sup.	C. sup.	A. inf.	C. inf.	Comb.	M	N	σf	σlim	Es/Ec	Verifica
609	Y	100	80	20.94	5	20.94	5	SLE RA 8	-416186	0	43.4	3600	15	Si
137	Y	100	80	20.94	5	20.94	5	SLE RA 8	-404438	0	42.2	3600	15	Si
610	Y	100	80	20.94	5	20.94	5	SLE RA 8	-401790	0	41.9	3600	15	Si
137	X	100	80	20.94	7	20.94	7	SLE RA 1	-411029	0	41.1	3600	15	Si
578	Y	100	80	20.94	5	20.94	5	SLE RA 2	-387695	0	40.4	3600	15	Si

Verifiche SLE fessurazione nei nodi

La piastra non presenta nodi con apertura delle fessure.

Verifiche punzonamento

Zone di punzonamento considerate

Nome	Lato punzonante	Verticali inferiori	Verticali superiori
ZFPil.B8	Superiore		Pilastro C.A. a tronco Fondazione - Primo Impalcato filo Pil.B8
ZFPil.B7	Superiore		Pilastro C.A. a tronco Fondazione - Primo Impalcato filo Pil.B7

Verifiche punzonamento U0 SLU

Zona	Lato	Comb.	ved	vrd,max	d	U0	VEd	Peso	Suolo	β	M1	M2	W11	W12	β	c.s.	Verifica
ZFPil.B8	Sup.	SLV 2	-20.34	28.22	74	220	-121757	560	0	(6.43)	242917	-4649109			2.72	1.3877	Si
ZFPil.B7	Sup.	SLV 13	-18.93	28.22	74	220	-99184	560	0	(6.43)	119296	4644166			3.11	1.4907	Si

Verifiche punzonamento U0 SLD Resistenza

Zona	Lato	Comb.	ved	vrd,max	d	U0	VEd	Peso	Suolo	β	M1	M2	W11	W12	β	c.s.	Verifica
ZFPil.B8	Sup.	SLD 2	-12.89	28.22	74	220	-103346	560	0	(6.43)	123884	-2365409			2.03	2.1894	Si
ZFPil.B7	Sup.	SLD 13	-12.23	28.22	74	220	-92754	560	0	(6.43)	62041	2363673			2.15	2.3071	Si

Platea B3

Verifiche condotte secondo D.M. 17-01-18 (N.T.C.)

Caratteristiche dei materiali

Acciaio: B450C Fyk 4500
 Calcestruzzo: C25/30 Rck 300

Sistema di riferimento e direzioni di armatura

Le coordinate citate nel seguito sono espresse in un sistema di riferimento cartesiano con origine in (3545; 334; 0), direzione dell'asse X = (1; 0; 0), direzione dell'asse Y = (0; 1; 0).

Le direzioni X/Y di armatura e le sezioni X/Y di verifica sono individuate dagli assi del sistema di riferimento.

Verifiche nei nodi

Verifiche SLU flessione nei nodi

Nodo	Dir.	B	H	A. sup.	C. sup.	A. inf.	C. inf.	Comb.	M	N	Mu	Nu	c.s.	Verifica
116	Y	100	80	20.94	5	20.94	5	SLU 9	-1026574	0	-5835292	0	5.6842	Si
611	Y	100	80	20.94	5	20.94	5	SLU 9	-1026574	0	-5835292	0	5.6842	Si
156	Y	100	80	20.94	5	20.94	5	SLU 9	-1025200	0	-5835292	0	5.6919	Si
598	Y	100	80	20.94	5	20.94	5	SLU 9	-1025200	0	-5835292	0	5.6919	Si
178	Y	100	80	20.94	5	20.94	5	SLU 9	-824820	0	-5835292	0	7.0746	Si

Verifiche SLD Resistenza flessione nei nodi

Nodo	Dir.	B	H	A. sup.	C. sup.	A. inf.	C. inf.	Comb.	M	N	Mu	Nu	c.s.	Verifica
116	Y	100	80	20.94	5	20.94	5	SLD 1	-789672	0	-5835292	0	7.3895	Si
611	Y	100	80	20.94	5	20.94	5	SLD 1	-789672	0	-5835292	0	7.3895	Si
156	Y	100	80	20.94	5	20.94	5	SLD 1	-788616	0	-5835292	0	7.3994	Si

RELAZIONE GEOTECNICA E SULLE FONDAZIONI

Nodo	Dir.	B	H	A. sup.	C. sup.	A. inf.	C. inf.	Comb.	M	N	Mu	Nu	c.s.	Verifica
598	Y	100	80	20.94	5	20.94	5	SLD 1	-788616	0	-5835292	0	7.3994	Si
178	Y	100	80	20.94	5	20.94	5	SLD 1	-634477	0	-5835292	0	9.197	Si

Verifiche SLU taglio nei nodi

Nodo	Dir.	B	H	A. sup.	C. sup.	A. inf.	C. inf.	A. st.	A. sag.	Comb.	Ved	N	Vrd	Vrdc	Vrsd	Vrcd	cotgθ	Asl	c.s.	Verifica
155	Y	100	80	20.94	5	20.94	5	0	0	SLU 9	-13639	0	26049	26049	0	164211	2.5	20.944	1.9099	Si
597	Y	100	80	20.94	5	20.94	5	0	0	SLU 9	-13639	0	26049	26049	0	164211	2.5	20.944	1.9099	Si
618	Y	100	80	20.94	5	20.94	5	0	0	SLU 9	-11062	0	26049	26049	0	164211	2.5	20.944	2.3547	Si
109	Y	100	80	20.94	5	20.94	5	0	0	SLU 9	-11062	0	26049	26049	0	164211	2.5	20.944	2.3547	Si
596	Y	100	80	20.94	5	20.94	5	0	0	SLU 9	-10943	0	26049	26049	0	164211	2.5	20.944	2.3803	Si

Verifiche SLD Resistenza taglio nei nodi

Nodo	Dir.	B	H	A. sup.	C. sup.	A. inf.	C. inf.	A. st.	A. sag.	Comb.	Ved	N	Vrd	Vrdc	Vrsd	Vrcd	cotgθ	Asl	c.s.	Verifica
155	Y	100	80	20.94	5	20.94	5	0	0	SLD 1	-10492	0	39073	39073	0	164211	2.5	20.944	3.7243	Si
597	Y	100	80	20.94	5	20.94	5	0	0	SLD 1	-10492	0	39073	39073	0	164211	2.5	20.944	3.7243	Si
618	Y	100	80	20.94	5	20.94	5	0	0	SLD 1	-8510	0	39073	39073	0	164211	2.5	20.944	4.5917	Si
109	Y	100	80	20.94	5	20.94	5	0	0	SLD 1	-8510	0	39073	39073	0	164211	2.5	20.944	4.5917	Si
596	Y	100	80	20.94	5	20.94	5	0	0	SLD 1	-8418	0	39073	39073	0	164211	2.5	20.944	4.6416	Si

Verifiche SLE tensione calcestruzzo nei nodi

Nodo	Dir.	B	H	A. sup.	C. sup.	A. inf.	C. inf.	Comb.	M	N	oc	σlim	Es/Ec	Verifica
116	Y	100	80	20.94	5	20.94	5	SLE QP 1	-789672	0	-6.3	112.1	15	Si
611	Y	100	80	20.94	5	20.94	5	SLE QP 1	-789672	0	-6.3	112.1	15	Si
156	Y	100	80	20.94	5	20.94	5	SLE QP 1	-788616	0	-6.3	112.1	15	Si
598	Y	100	80	20.94	5	20.94	5	SLE QP 1	-788616	0	-6.3	112.1	15	Si
178	Y	100	80	20.94	5	20.94	5	SLE QP 1	-634477	0	-5	112.1	15	Si

Verifiche SLE tensione acciaio nei nodi

Nodo	Dir.	B	H	A. sup.	C. sup.	A. inf.	C. inf.	Comb.	M	N	σf	σlim	Es/Ec	Verifica
116	Y	100	80	20.94	5	20.94	5	SLE RA 1	-789672	0	82.3	3600	15	Si
611	Y	100	80	20.94	5	20.94	5	SLE RA 1	-789672	0	82.3	3600	15	Si
156	Y	100	80	20.94	5	20.94	5	SLE RA 1	-788616	0	82.2	3600	15	Si
598	Y	100	80	20.94	5	20.94	5	SLE RA 1	-788616	0	82.2	3600	15	Si
178	Y	100	80	20.94	5	20.94	5	SLE RA 1	-634477	0	66.1	3600	15	Si

Verifiche SLE fessurazione nei nodi

La piastra non presenta nodi con apertura delle fessure.

6.3 Verifiche pali

Le unità di misura elencate nel capitolo sono in [cm, daN, deg] ove non espressamente specificato.

Quota: quota sezione. [cm]

Filo: numero del filo (se assegnato).

Ind.: indice del palo.

Xp: coordinata x del palo che ha prodotto la verifica peggiore. [cm]

Yp: coordinata y del palo che ha prodotto la verifica peggiore. [cm]

As: area complessiva delle armature verticali. [cm²]

Cop.: distanza baricentrica minima delle barre dal lembo esterno. [cm]

N: sforzo normale. [daN]

|M|: momento agente in valore assoluto. [daN*cm]

Mu: momento ultimo. [daN*cm]

Dom.: tipo di dominio utilizzato in questa sezione (P=plastico; SE=sostanzialmente elastico NTC18 §7.4.1).

SnmFcd: tensione normale media su Fcd (minore di 0.45, NTC18 §7.2.5).

MultM: fattore di sovrarresistenza sul momento flettente (NTC18 §7.2.5).

Comb.: combinazione peggiore.

C.S.: coefficiente sicurezza minimo.

Verifica: stato di verifica.

Mx: momento Mx. [daN*cm]

My: momento My. [daN*cm]

Sc,max: tensione massima sul calcestruzzo. [daN/cm²]

Sf,max: tensione massima sull'acciaio. [daN/cm²]

Fess: sezione fessurata.

Wka,mm: apertura delle fessure ammissibile, in [mm].

Wk,mm: apertura delle fessure, in [mm].

Sm,cm: distanza media fra le fessure, in [cm].

Tx: taglio Tx. [daN]

Ty: taglio Ty. [daN]

MultT: fattore di sovrarresistenza sul taglio.

Vrd,4.1.23: resistenza calcestruzzo non staffato. [daN]

VRsd,4.1.27: resistenza staffe. [daN]

VRcd,4.1.28: resistenza delle bielle compresse. [daN]

Cotg: cotagente delle bielle.

yR laterale: coefficiente parziale di sicurezza sulla resistenza laterale.

yR punta: coefficiente parziale di sicurezza sulla resistenza alla punta.

Pl,d: portanza laterale di progetto. [daN]

Pp,d: portanza di punta di progetto. [daN]

Def.vol: deformazione volumetrica (usata per formula portanza punta secondo Vesic).

Cnd: condizione peggiore a breve termine (BT) o lungo termine (LT).

N: sforzo normale in testa. [daN]

Ed: azione totale di progetto. [daN]

Rd: resistenza totale di progetto. [daN]

C.S.: coefficiente di sicurezza.

yR trasversale: coeff. parziale di sicurezza sulla resistenza trasversale.

LRf: fattore di riduzione per liquefazione.

Cnd: condizione di calcolo: D calcolo condotto per la condizione drenata e terreno incoerente, ND calcolo condotto per la condizione non drenata e terreno eminentemente coesivo.

Rd: resistenza trasversale di progetto. [daN]

Ed (T): azione trasversale di progetto. [daN]

C.S.: coefficiente di sicurezza Rd/Ed.

Tipo: tipologia del palo o micropalo : TL a testa libera, TI testa incastrata.

L.frs.: larghezza del fronte di spinta. [cm]

L.tr.lib.: lunghezza del tratto libero. [cm]

L.tr.inf.: lunghezza del tratto infisso nel terreno. [cm]

Coes.: coesione non drenata di progetto. [daN/cm²]

Fi: angolo di attrito interno di progetto. [deg]

P.spec: peso specifico del terreno di progetto. [daN/cm³]

T max: sforzo trasversale massimo al collasso. [daN]

Mecc.coll.: meccanismo di collasso: PC palo corto (nessuna cerniera), PI palo intermedio (una cerniera), PL_L palo lungo libero (cerniera lungo il fusto), PL_V palo lungo vincolato (doppia cerniera).

M.plast.sup.: momento di plasticizzazione della cerniera plastica superiore o momento massimo lungo il fusto in caso di palo corto. [daN*cm]

Quota sup.: quota cerniera plastica superiore o quota del momento massimo lungo il fusto in caso di palo corto. [cm]

N sup.: sforzo normale di calcolo alla quota superiore. [daN]

M.plast.inf.: momento di plasticizzazione della cerniera plastica inferiore. [daN*cm]

Quota inf.: quota cerniera plastica inferiore. [cm]

N inf.: sforzo normale di calcolo alla quota inferiore. [daN]

108 pali "Trivellato D60" gruppo 1

Verifiche effettuate secondo D.M. 17-01-18, Circolare 7 21-01-19

Pali coinvolti

Palo a coordinate x,y: (935, 854)[filo Palo56];(2740, 854)[filo Palo84];(1330, 854)[filo Palo60];(935, 654)[filo Palo57];(1330, 654)[filo Palo61];(1865, 1034)[filo Palo63];(1775, 944)[filo Palo66];(2035, 1034)[filo Palo64];(1955, 944)[filo Palo67];(2115, 944)[filo Palo68];(2205, 1034)[filo Palo65];(2295, 944)[filo Palo69];(2205, 854)[filo Palo71];(1865, 854)[filo Palo70];(1865, 674)[filo Palo74];(1955, 564)[filo Palo77];(2115, 564)[filo Palo78];(2205, 674)[filo Palo75];(2205, 474)[filo Palo82];(2295, 564)[filo Palo79];(2295, 764)[filo Palo73];(1775, 764)[filo Palo72];(1775, 564)[filo Palo76];(1865, 474)[filo Palo80];(2740, 654)[filo Palo85];(2035, 474)[filo Palo81];(3135, 654)[filo Palo89];(3615, 844)[filo Palo97];(935, 1044)[filo Palo55];(935, 464)[filo Palo58];(1330, 464)[filo Palo62];(1330, 1044)[filo Palo59];(3135, 1044)[filo Palo87];(3135, 464)[filo Palo90];(2740, 1044)[filo Palo83];(2740, 464)[filo Palo86];(3705, 1114)[filo Palo91];(3885, 1114)[filo Palo92];(3795, 1024)[filo Palo94];(3885, 934)[filo Palo96];(-70, 1299)[filo Palo25];(3795, 844)[filo Palo98];(3705, 754)[filo Palo99];(3885, 754)[filo Palo100];(3795, 664)[filo Palo102];(3705, 574)[filo Palo103];(3885, 574)[filo Palo104];(3795, 484)[filo Palo106];(3705, 394)[filo Palo107];(3885, 394)[filo Palo108];(3615, 1024)[filo Palo93];(3135, 854)[filo Palo88];(3615, 664)[filo Palo101];(3615, 484)[filo Palo105];(455, 1114)[filo Palo28];(365, 1024)[filo Palo32];(275, 1114)[filo Palo27];(185, 1024)[filo Palo31];(261.2, 1299)[filo Palo26];(-70, 1074)[filo Palo30];(275, 934)[filo Palo33];(365, 844)[filo Palo38];(456, 753.3)[filo Palo42];(185, 844)[filo Palo37];(275, 754)[filo Palo41];(185, 664)[filo Palo43];(365, 664)[filo Palo44];(455, 574)[filo Palo48];(275, 394)[filo Palo53];(185, 484)[filo Palo51];(275, 574)[filo Palo47];(365, 484)[filo Palo52];(455, 394)[filo Palo54];(-225, 464)[filo Palo50];(-70, 555)[filo Palo46];(-70, 765)[filo Palo40];(-495, 464)[filo Palo49];(-650, 592.3)[filo Palo45];(-650, 740.7)[filo Palo39];(455, 934)[filo Palo34];(-495, 889)[filo Palo35];(-650, 1074)[filo Palo29];(-225, 889)[filo Palo36];(-650, 1299)[filo Palo24];(-495, 1484)[filo Palo21];(-225, 1484)[filo Palo22];(91.2, 1484)[filo Palo23];(-650, 1664)[filo Palo19];(-495, 1844)[filo Palo13];(-225, 1844)[filo Palo14];(-78.7, 1704)[filo Palo16];(11.3, 1794)[filo Palo15];(51.3, 1704)[filo Palo17];(3705, 934)[filo Palo95];(266.3, 1704)[filo Palo18];(-650, 2344)[filo Palo3];(-495, 2184)[filo Palo5];(-650, 2014)[filo Palo7];(-70, 2344)[filo Palo4];(-225, 2504)[filo Palo2];(-225, 2184)[filo Palo6];(11.3, 1974)[filo Palo8];(171.3, 1974)[filo Palo9];(261.3, 1884)[filo Palo12];(91.3, 1884)[filo Palo11];(-78.7, 1884)[filo Palo10];(-495, 2504)[filo Palo1];(11.3, 1634)[filo Palo20];

Caratteristiche geometriche

Diametro 60

Lunghezza 1800

Caratteristiche dei materiali

Calcestruzzo C25/30 Rck 300

Acciaio B450C fyk,m: 4500

Verifiche a pressoflessione

Quota	Filo	Ind.	Xp	Yp	As	Cop.	N	M	Mu	Dom.	SnmFed	MultM	Comb.	C.S.	Verifica
0	Palo1	-	-495	2504	47.12	6	-84842	918047	3740170	P			SLU 16	4.07	SI
0	Palo10	-	-78.75	1884	47.12	6	-50042	138281	1387008	P			SLU 16	10.03	SI
0	Palo100	-	3885	754	47.12	6	-18493	251938	4130240	P			SLU 16	16.39	SI
0	Palo101	-	3615	664	47.12	6	-35188	221981	2708743	P			SLU 16	12.2	SI
0	Palo102	-	3795	664	47.12	6	-25030	233457	3461500	P			SLU 16	14.83	SI
0	Palo103	-	3705	574	47.12	6	-30866	192182	2684310	P			SLU 16	13.97	SI
0	Palo104	-	3885	574	47.12	6	-19202	282439	4246881	P			SLU 16	15.04	SI
0	Palo105	-	3615	484	47.12	6	-38736	398374	3648017	P			SLU 16	9.16	SI
0	Palo106	-	3795	484	47.12	6	-25376	304001	3914086	P			SLU 16	12.88	SI
0	Palo107	-	3705	394	47.12	6	-31820	327649	3650351	P			SLU 16	11.14	SI
0	Palo108	-	3885	394	47.12	6	-17795	319201	4523097	P			SLU 16	14.17	SI
0	Palo11	-	91.25	1884	47.12	6	-42773	154362	1757071	P			SLU 16	11.38	SI
0	Palo12	-	261.25	1884	47.12	6	-33416	249249	3032037	P			SLU 16	12.16	SI
0	Palo13	-	-495	1844	47.12	6	-69835	1054849	4284981	P			SLU 16	4.06	SI
0	Palo14	-	-225	1844	47.12	6	-46604	229714	2258597	P			SLU 16	9.83	SI
0	Palo15	-	11.25	1794	47.12	6	-47195	62140	660892	P			SLU 16	10.64	SI
0	Palo16	-	-78.75	1704	47.12	6	-51312	157164	1528826	P			SLU 16	9.73	SI
0	Palo17	-	51.25	1704	47.12	6	-47130	76997	820033	P			SLU 16	10.65	SI
0	Palo18	-	266.25	1704	47.12	6	-40882	261988	2738308	P			SLU 16	10.45	SI
0	Palo19	-	-650	1664	47.12	6	-113296	82915	367342	P			SLU 16	4.43	SI
0	Palo2	-	-225	2504	47.12	6	-70676	566230	3173502	P			SLU 16	5.6	SI
0	Palo20	-	11.25	1634	47.12	6	-50277	168834	1653640	P			SLU 16	9.79	SI
0	Palo21	-	-495	1484	47.12	6	-79680	856905	3729532	P			SLU 16	4.35	SI
0	Palo22	-	-225	1484	47.12	6	-58944	230471	1878225	P			SLU 16	8.15	SI
0	Palo23	-	91.25	1484	47.12	6	-55087	58861	536327	P			SLU 16	9.11	SI
0	Palo24	-	-650	1299	47.12	6	-83817	670053	3169320	P			SLU 16	4.73	SI
0	Palo25	-	-70	1299	47.12	6	-49784	381751	3087134	P			SLU 16	8.09	SI
0	Palo26	-	261.25	1299	47.12	6	-49938	418505	3259235	P			SLU 16	7.79	SI
0	Palo27	-	275	1114	47.12	6	-47976	213826	2088860	P			SLU 16	9.77	SI
0	Palo28	-	455	1114	47.12	6	-40867	65242	801328	P			SLU 16	12.28	SI
0	Palo29	-	-650	1074	47.12	6	-79844	461948	2547299	P			SLU 16	5.51	SI
0	Palo3	-	-650	2344	47.12	6	-107413	164401	768250	P			SLU 16	4.67	SI
0	Palo30	-	-70	1074	47.12	6	-49536	366375	3015259	P			SLU 16	8.23	SI
0	Palo31	-	185	1024	47.12	6	-51964	194220	1809247	P			SLU 16	9.32	SI

RELAZIONE GEOTECNICA E SULLE FONDAZIONI

Quota	Filo	Ind.	Xp	Yp	As	Cop.	N	M	Mu	Dom.	SnmFcd	MultM	Comb.	C.S.	Verifica
0	Palo32	-	365	1024	47.12	6	-42257	216280	2324342	P			SLU 16	10.75	SI
0	Palo33	-	275	934	47.12	6	-46677	217741	2164756	P			SLU 16	9.94	SI
0	Palo34	-	455	934	47.12	6	-37572	123012	1618456	P			SLU 16	13.16	SI
0	Palo35	-	-495	889	47.12	6	-59683	750960	3997158	P			SLU 16	5.32	SI
0	Palo36	-	-225	889	47.12	6	-53970	522195	3531376	P			SLU 16	6.76	SI
0	Palo37	-	185	844	47.12	6	-51260	267442	2358350	P			SLU 16	8.82	SI
0	Palo38	-	365	844	47.12	6	-40760	216184	2387760	P			SLU 16	11.05	SI
0	Palo39	-	-650	740.66	47.12	6	-83196	391182	2178054	P			SLU 16	5.57	SI
0	Palo4	-	-70	2344	47.12	6	-72405	377636	2357751	P			SLU 16	6.24	SI
0	Palo40	-	-70	765	47.12	6	-69743	10786	77630	P			SLU 16	7.2	SI
0	Palo41	-	275	754	47.12	6	-45447	222526	2247121	P			SLU 16	10.1	SI
0	Palo42	-	456	753.31	47.12	6	-36076	134044	1900393	P			SLU 16	13.43	SI
0	Palo43	-	185	664	47.12	6	-49126	224781	2132480	P			SLU 16	9.49	SI
0	Palo44	-	365	664	47.12	6	-39943	148236	1798601	P			SLU 16	12.13	SI
0	Palo45	-	-650	592.33	47.12	6	-82600	520747	2707591	P			SLU 16	5.2	SI
0	Palo46	-	-70	555	47.12	6	-65997	180636	1373824	P			SLU 16	7.61	SI
0	Palo47	-	275	574	47.12	6	-42752	215914	2300890	P			SLU 16	10.66	SI
0	Palo48	-	455	574	47.12	6	-35570	101131	1427083	P			SLU 16	14.11	SI
0	Palo49	-	-495	464	47.12	6	-74056	688611	3455639	P			SLU 16	5.02	SI
0	Palo5	-	-495	2184	47.12	6	-61485	1131914	4557722	P			SLU 16	4.03	SI
0	Palo50	-	-225	464	47.12	6	-61137	221854	1765194	P			SLU 16	7.96	SI
0	Palo51	-	185	484	47.12	6	-45249	254952	2497978	P			SLU 16	9.8	SI
0	Palo52	-	365	484	47.12	6	-37740	109481	1456093	P			SLU 16	13.3	SI
0	Palo53	-	275	394	47.12	6	-38455	216927	2500189	P			SLU 16	11.53	SI
0	Palo54	-	455	394	47.12	6	-35256	211862	2617894	P			SLU 16	12.36	SI
0	Palo55	-	935	1044	47.12	6	-91591	1314172	4210946	P			SLU 16	3.2	SI
0	Palo56	-	935	854	47.12	6	-50859	640528	3998699	P			SLU 16	6.24	SI
0	Palo57	-	935	654	47.12	6	-57045	931552	4394905	P			SLU 16	4.72	SI
0	Palo58	-	935	464	47.12	6	-110191	1607039	4234563	P			SLU 16	2.64	SI
0	Palo59	-	1330	1044	47.12	6	-91553	1233590	4111918	P			SLU 16	3.33	SI
0	Palo6	-	-225	2184	47.12	6	-42586	632220	4260180	P			SLU 16	6.74	SI
0	Palo60	-	1330	854	47.12	6	-50778	4035457	4035023	P			SLU 16	6.17	SI
0	Palo61	-	1330	654	47.12	6	-56704	912106	4373841	P			SLU 16	4.8	SI
0	Palo62	-	1330	464	47.12	6	-109450	1473195	4110172	P			SLU 16	2.79	SI
0	Palo63	-	1865	1034	47.12	6	-49384	222389	2106147	P			SLU 16	9.47	SI
0	Palo64	-	2035	1034	47.12	6	-43995	81273	927246	P			SLU 16	11.41	SI
0	Palo65	-	2205	1034	47.12	6	-48539	378102	3118670	P			SLU 16	8.25	SI
0	Palo66	-	1775	944	47.12	6	-54711	198974	1768461	P			SLU 16	8.89	SI
0	Palo67	-	1955	944	47.12	6	-46554	66695	719100	P			SLU 16	10.78	SI
0	Palo68	-	2115	944	47.12	6	-46218	204262	2074866	P			SLU 16	10.16	SI
0	Palo69	-	2295	944	47.12	6	-53568	356079	2807693	P			SLU 16	7.89	SI
0	Palo7	-	-650	2014	47.12	6	-109102	173974	800395	P			SLU 16	4.6	SI
0	Palo70	-	1865	854	47.12	6	-50316	72738	725624	P			SLU 16	9.98	SI
0	Palo71	-	2205	854	47.12	6	-49668	234494	2184964	P			SLU 16	9.32	SI
0	Palo72	-	1775	764	47.12	6	-52901	108100	1025675	P			SLU 16	9.49	SI
0	Palo73	-	2295	764	47.12	6	-51976	266071	2324663	P			SLU 16	8.74	SI
0	Palo74	-	1865	674	47.12	6	-50965	39495	388973	P			SLU 16	9.85	SI
0	Palo75	-	2205	674	47.12	6	-50465	216725	2027796	P			SLU 16	9.36	SI
0	Palo76	-	1775	564	47.12	6	-60472	474479	3133247	P			SLU 16	6.6	SI
0	Palo77	-	1955	564	47.12	6	-51214	143337	1404821	P			SLU 16	9.8	SI
0	Palo78	-	2115	564	47.12	6	-51130	271827	2392018	P			SLU 16	8.8	SI
0	Palo79	-	2295	564	47.12	6	-60138	601050	3593321	P			SLU 16	5.98	SI
0	Palo8	-	11.25	1974	47.12	6	-45929	166655	1765081	P			SLU 16	10.59	SI
0	Palo80	-	1865	474	47.12	6	-61381	511742	3249496	P			SLU 16	6.35	SI
0	Palo81	-	2035	474	47.12	6	-54469	340555	2692042	P			SLU 16	7.9	SI
0	Palo82	-	2205	474	47.12	6	-61501	663929	3736130	P			SLU 16	5.63	SI
0	Palo83	-	2740	1044	47.12	6	-91310	1287128	4184589	P			SLU 16	3.25	SI
0	Palo84	-	2740	854	47.12	6	-50535	679918	4109494	P			SLU 16	6.04	SI
0	Palo85	-	2740	654	47.12	6	-55820	868071	4326369	P			SLU 16	4.98	SI
0	Palo86	-	2740	464	47.12	6	-107509	1463547	4129029	P			SLU 16	2.82	SI
0	Palo87	-	3135	1044	47.12	6	-93428	1286230	4147083	P			SLU 16	3.22	SI
0	Palo88	-	3135	854	47.12	6	-51819	689068	4089932	P			SLU 16	5.94	SI
0	Palo89	-	3135	654	47.12	6	-57702	908152	4343284	P			SLU 16	4.78	SI
0	Palo9	-	171.25	1974	47.12	6	-35254	232150	2789760	P			SLU 16	12.02	SI
0	Palo90	-	3135	464	47.12	6	-111489	1504387	4114328	P			SLU 16	2.73	SI
0	Palo91	-	3705	1114	47.12	6	-24986	287828	3847404	P			SLU 16	13.37	SI
0	Palo92	-	3885	1114	47.12	6	-12630	265271	4696260	P			SLU 16	17.7	SI
0	Palo93	-	3615	1024	47.12	6	-32672	355469	3749582	P			SLU 16	10.55	SI
0	Palo94	-	3795	1024	47.12	6	-20562	260803	4010614	P			SLU 16	15.38	SI
0	Palo95	-	3705	934	47.12	6	-27092	175979	2763822	P			SLU 16	15.71	SI
0	Palo96	-	3885	934	47.12	6	-16350	249944	4302031	P			SLU 16	17.21	SI
0	Palo97	-	3615	844	47.12	6	-33045	209951	2722113	P			SLU 16	12.97	SI
0	Palo98	-	3795	844	47.12	6	-23296	221305	3496401	P			SLU 16	15.8	SI
0	Palo99	-	3705	754	47.12	6	-28912	149884	2347025	P			SLU 16	15.66	SI
0	Palo1	-	-495	2504	47.12	6	-73434	1697121	3727446	SE			SLD 12	2.2	SI
0	Palo10	-	-78.75	1884	47.12	6	-46075	867460	3638193	SE			SLD 7	4.19	SI
0	Palo100	-	3885	754	47.12	6	-19260	545636	3790909	SE			SLD 13	6.95	SI
0	Palo101	-	3615	664	47.12	6	-18814	596597	3820189	SE			SLD 15	6.4	SI
0	Palo102	-	3795	664	47.12	6	-23090	530804	3725491	SE			SLD 13	7.02	SI
0	Palo103	-	3705	574	47.12	6	1339	518517	2592728	SE			SLD 11	5	SI
0	Palo104	-	3885	574	47.12	6	8643	415839	2022438	SE			SLD 7	4.86	SI
0	Palo105	-	3615	484	47.12	6	5203	793715	2447424	SE			SLD 11	3.08	SI
0	Palo106	-	3795	484	47.12	6	13390	497460	1877276	SE			SLD 11	3.77	SI
0	Palo107	-	3705	394	47.12	6	18571	715549	1898709	SE			SLD 11	2.65	SI
0	Palo108	-	3885	394	47.12	6	26405	526655	1472530	SE			SLD 7	2.8	SI
0	Palo11	-	91.25	1884	47.12	6	-31033	874282	3789322	SE			SLD 7	4.33	SI
0	Palo12	-	261.25	1884	47.12	6	-20578	1137782	3612681	SE			SLD 7	3.18	SI
0	Palo13	-	-495	1844	47.12	6	-26350	1578447	3530585	SE			SLD 16	2.24	SI
0	Palo14	-	-225	1844	47.12	6	-55609	1043592	3636405	SE			SLD 1	3.48	SI
0	Palo15	-	11.25	1794	47.12	6	-28535	786018	3782858	SE			SLD 9	4.81	SI
0	Palo16	-	-78.75	1704	47.12	6	-35708	901048	3756474	SE			SLD 12	4.17	SI
0	Palo17	-	51.25	1704	47.12	6	-38417	881062	3724611	SE			SLD 7	4.23	SI
0	Palo18	-	266.25	1704	47.12	6	-28797	1358654	3810505	SE			SLD 7	2.8	SI
0	Palo19	-	-650	1664	47.12	6	-95312	1056244	3181313	SE			SLD 5	3.01	SI
0	Palo2	-	-225	2504	47.12	6	-56421	1260419	3714594	SE			SLD 7	2.95	SI

RELAZIONE GEOTECNICA E SULLE FONDAZIONI

Quota	Filo	Ind.	Xp	Yp	As	Cop.	N	M	Mu	Dom.	SnmFcd	MultM	Comb.	C.S.	Verifica
0	Palo26	-	261.25	1299	47.12	6	-14400	934644	3457930	SE			SLD 9	3.7	SI
0	Palo27	-	275	1114	47.12	6	-14345	784311	3625014	SE			SLD 9	4.62	SI
0	Palo28	-	455	1114	47.12	6	-3614	593815	2966487	SE			SLD 5	5	SI
0	Palo29	-	-650	1074	47.12	6	-57128	1549159	3778285	SE			SLD 12	2.44	SI
0	Palo3	-	-650	2344	47.12	6	-89016	816371	2928023	SE			SLD 1	3.59	SI
0	Palo30	-	-70	1074	47.12	6	-37985	1070245	3789356	SE			SLD 12	3.54	SI
0	Palo31	-	185	1024	47.12	6	-37329	622013	3564244	SE			SLD 13	5.73	SI
0	Palo32	-	365	1024	47.12	6	-30302	648545	3696404	SE			SLD 13	5.7	SI
0	Palo33	-	275	934	47.12	6	-34941	611453	3595214	SE			SLD 13	5.88	SI
0	Palo34	-	455	934	47.12	6	-29917	613394	3677562	SE			SLD 14	6	SI
0	Palo35	-	-495	889	47.12	6	-36331	900002	3750669	SE			SLD 16	4.17	SI
0	Palo36	-	-225	889	47.12	6	-42954	928308	3700579	SE			SLD 4	3.99	SI
0	Palo37	-	185	844	47.12	6	-40450	650565	3541248	SE			SLD 13	5.44	SI
0	Palo38	-	365	844	47.12	6	-32294	649495	3668901	SE			SLD 13	5.65	SI
0	Palo39	-	-650	740.66	47.12	6	-60990	1097328	3612328	SE			SLD 5	3.29	SI
0	Palo4	-	-70	2344	47.12	6	-48708	994986	3675912	SE			SLD 10	3.69	SI
0	Palo40	-	-70	765	47.12	6	-42904	549010	3343569	SE			SLD 12	6.09	SI
0	Palo41	-	275	754	47.12	6	-38787	634942	3552784	SE			SLD 13	5.6	SI
0	Palo42	-	456	753.31	47.12	6	-31807	608854	3646109	SE			SLD 13	5.99	SI
0	Palo43	-	185	664	47.12	6	-43273	683839	3528975	SE			SLD 13	5.16	SI
0	Palo44	-	365	664	47.12	6	-36751	644908	3596933	SE			SLD 13	5.58	SI
0	Palo45	-	-650	592.33	47.12	6	-52241	1259724	3742034	SE			SLD 8	2.97	SI
0	Palo46	-	-70	555	47.12	6	-62048	504294	2750240	SE			SLD 6	5.45	SI
0	Palo47	-	275	574	47.12	6	-53549	715259	3387842	SE			SLD 9	4.74	SI
0	Palo48	-	455	574	47.12	6	-44987	646924	3452790	SE			SLD 9	5.34	SI
0	Palo49	-	-495	464	47.12	6	-37766	951804	3756092	SE			SLD 13	3.95	SI
0	Palo5	-	-495	2184	47.12	6	-33590	1533802	3848746	SE			SLD 16	2.51	SI
0	Palo50	-	-225	464	47.12	6	-55775	793392	3443492	SE			SLD 2	4.34	SI
0	Palo51	-	185	484	47.12	6	-61445	848487	3417820	SE			SLD 9	4.03	SI
0	Palo52	-	365	484	47.12	6	3558	573568	2459768	SE			SLD 8	4.29	SI
0	Palo53	-	275	394	47.12	6	10251	561372	2087769	SE			SLD 8	3.72	SI
0	Palo54	-	455	394	47.12	6	8333	740866	2290478	SE			SLD 8	3.09	SI
0	Palo55	-	935	1044	47.12	6	-54026	1393543	3763267	SE			SLD 6	2.7	SI
0	Palo56	-	935	854	47.12	6	-32721	984418	3807208	SE			SLD 6	3.87	SI
0	Palo57	-	935	654	47.12	6	-35621	1097736	3813352	SE			SLD 7	3.47	SI
0	Palo58	-	935	464	47.12	6	-60976	1530791	3754872	SE			SLD 8	2.45	SI
0	Palo59	-	1330	1044	47.12	6	-48965	1211596	3750310	SE			SLD 10	3.1	SI
0	Palo6	-	-225	2184	47.12	6	-26384	1386861	3670177	SE			SLD 1	2.65	SI
0	Palo60	-	1330	854	47.12	6	-31489	923777	3800538	SE			SLD 6	4.11	SI
0	Palo61	-	1330	654	47.12	6	-34494	1034235	3806318	SE			SLD 7	3.68	SI
0	Palo62	-	1330	464	47.12	6	-56751	1378720	3744441	SE			SLD 11	2.72	SI
0	Palo63	-	1865	1034	47.12	6	-54835	401421	2591423	SE			SLD 11	6.46	SI
0	Palo64	-	2035	1034	47.12	6	-53054	269585	2044940	SE			SLD 11	7.59	SI
0	Palo65	-	2205	1034	47.12	6	-54202	475763	2865249	SE			SLD 7	6.02	SI
0	Palo66	-	1775	944	47.12	6	-48139	348800	2575476	SE			SLD 11	7.38	SI
0	Palo67	-	1955	944	47.12	6	-44644	416664	2952884	SE			SLD 11	7.09	SI
0	Palo68	-	2115	944	47.12	6	-44117	460994	3106764	SE			SLD 7	6.74	SI
0	Palo69	-	2295	944	47.12	6	-47489	445144	2959036	SE			SLD 7	6.65	SI
0	Palo7	-	-650	2014	47.12	6	-89824	867469	3001341	SE			SLD 5	3.46	SI
0	Palo70	-	1865	854	47.12	6	-42495	278069	2418922	SE			SLD 7	8.7	SI
0	Palo71	-	2205	854	47.12	6	-26303	531702	3671200	SE			SLD 6	6.9	SI
0	Palo72	-	1775	764	47.12	6	-42527	475424	3192335	SE			SLD 6	6.71	SI
0	Palo73	-	2295	764	47.12	6	-41680	559404	3392207	SE			SLD 10	6.06	SI
0	Palo74	-	1865	674	47.12	6	-45016	475884	3121550	SE			SLD 6	6.56	SI
0	Palo75	-	2205	674	47.12	6	-23902	630553	3770092	SE			SLD 7	5.98	SI
0	Palo76	-	1775	564	47.12	6	-22668	756806	3832096	SE			SLD 11	5.06	SI
0	Palo77	-	1955	564	47.12	6	-20523	636575	3814921	SE			SLD 7	5.99	SI
0	Palo78	-	2115	564	47.12	6	-19163	729129	3859987	SE			SLD 7	5.29	SI
0	Palo79	-	2295	564	47.12	6	-23779	946551	3868887	SE			SLD 7	4.09	SI
0	Palo8	-	11.25	1974	47.12	6	-29490	922296	3816905	SE			SLD 10	4.14	SI
0	Palo80	-	1865	474	47.12	6	-19238	769261	3869761	SE			SLD 11	5.03	SI
0	Palo81	-	2035	474	47.12	6	-17460	767321	3871454	SE			SLD 7	5.05	SI
0	Palo82	-	2205	474	47.12	6	-20436	961196	3814928	SE			SLD 7	3.97	SI
0	Palo83	-	2740	1044	47.12	6	-47025	1342574	3793092	SE			SLD 6	2.83	SI
0	Palo84	-	2740	854	47.12	6	-30884	1005411	3826333	SE			SLD 10	3.81	SI
0	Palo85	-	2740	654	47.12	6	-33917	1099420	3825338	SE			SLD 11	3.48	SI
0	Palo86	-	2740	464	47.12	6	-55459	1371995	3750240	SE			SLD 7	2.73	SI
0	Palo87	-	3135	1044	47.12	6	-51585	1347412	3767099	SE			SLD 10	2.8	SI
0	Palo88	-	3135	854	47.12	6	-32513	1031665	3820343	SE			SLD 10	3.7	SI
0	Palo89	-	3135	654	47.12	6	-34812	1127648	3825176	SE			SLD 11	3.39	SI
0	Palo9	-	171.25	1974	47.12	6	-38413	909782	3736162	SE			SLD 11	4.11	SI
0	Palo90	-	3135	464	47.12	6	-58961	1504966	3760039	SE			SLD 11	2.5	SI
0	Palo91	-	3705	1114	47.12	6	21239	624947	1733338	SE			SLD 10	2.77	SI
0	Palo92	-	3885	1114	47.12	6	29233	563196	1448639	SE			SLD 6	2.57	SI
0	Palo93	-	3615	1024	47.12	6	6961	672377	2319219	SE			SLD 10	3.45	SI
0	Palo94	-	3795	1024	47.12	6	17530	475997	1681242	SE			SLD 6	3.53	SI
0	Palo95	-	3705	934	47.12	6	3215	434660	2418443	SE			SLD 10	5.56	SI
0	Palo96	-	3885	934	47.12	6	10672	442941	1941501	SE			SLD 6	4.38	SI
0	Palo97	-	3615	844	47.12	6	-19397	552388	3792379	SE			SLD 13	6.87	SI
0	Palo98	-	3795	844	47.12	6	-23772	537360	3719218	SE			SLD 15	6.92	SI
0	Palo99	-	3705	754	47.12	6	-20844	461977	3711282	SE			SLD 13	8.03	SI
0	Palo1	-	-495	2504	47.12	6	-89984	2919172	3825526	SE			SLV FO 12	1.31	SI
0	Palo10	-	-78.75	1884	47.12	6	-10242	1723077	2959962	SE			SLV FO 10	1.72	SI
0	Palo100	-	3885	754	47.12	6	-26115	982543	3857716	SE			SLV FO 13	3.93	SI
0	Palo101	-	3615	664	47.12	6	45	1038850	2694297	SE			SLV FO 11	2.59	SI
0	Palo102	-	3795	664	47.12	6	8069	664343	2262326	SE			SLV FO 7	3.41	SI
0	Palo103	-	3705	574	47.12	6	24947	1002905	1923293	SE			SLV FO 11	1.92	SI
0	Palo104	-	3885	574	47.12	6	32060	918427	1716156	SE			SLV FO 7	1.87	SI
0	Palo105	-	3615	484	47.12	6	38087	1417076	1878132	SE			SLV FO 11	1.33	SI
0	Palo106	-	3795	484	47.12	6	50021	998905	1473369	SE			SLV FO 7	1.47	SI
0	Palo107	-	3705	394	47.12	6	60502	1357816	1553348	SE			SLV FO 11	1.14	SI
0	Palo108	-	3885	394	47.12	6	67085	1189751	1391489	SE			SLV FO 7	1.17	SI
0	Palo11	-	91.25	1884	47.12	6	-12416	1538433	3061396	SE			SLV FO 6	1.99	SI
0	Palo12	-	261.25	1884	47.12	6	37597	1554294	1939232	SE			SLV FO 5	1.25	SI
0	Palo13	-	-495	1844	47.12	6	-3463	2609661	2752489	SE	</				

RELAZIONE GEOTECNICA E SULLE FONDAZIONI

Quota	Filo	Ind.	Xp	Yp	As	Cop.	N	[M]	Mu	Dom.	SnmFcd	MultM	Comb.	C.S.	Verifica
0	Palo2	-	-225	2504	47.12	6	-22603	1989873	3232759	SE			SLV FO 3	1.62	SI
0	Palo20	-	11.25	1634	47.12	6	-15516	1490849	3181225	SE			SLV FO 6	2.13	SI
0	Palo21	-	-495	1484	47.12	6	-30220	1665417	3616265	SE			SLV FO 14	2.17	SI
0	Palo22	-	-225	1484	47.12	6	-59131	1753162	3803359	SE			SLV FO 3	2.17	SI
0	Palo23	-	91.25	1484	47.12	6	-10807	1033858	3183669	SE			SLV FO 10	3.08	SI
0	Palo24	-	-650	1299	47.12	6	-76064	3395461	3862050	SE			SLV FO 5	1.14	SI
0	Palo25	-	-70	1299	47.12	6	-25383	1982152	3314086	SE			SLV FO 5	1.67	SI
0	Palo26	-	261.25	1299	47.12	6	6659	1839532	2553363	SE			SLV FO 9	1.39	SI
0	Palo27	-	275	1114	47.12	6	5648	1516899	2549501	SE			SLV FO 9	1.68	SI
0	Palo28	-	455	1114	47.12	6	23440	1189984	2050489	SE			SLV FO 5	1.72	SI
0	Palo29	-	-650	1074	47.12	6	-63367	2988988	3810847	SE			SLV FO 12	1.27	SI
0	Palo3	-	-650	2344	47.12	6	-59982	1778192	3903331	SE			SLV FO 5	2.14	SI
0	Palo30	-	-70	1074	47.12	6	-43462	1955889	3857253	SE			SLV FO 12	1.97	SI
0	Palo31	-	185	1024	47.12	6	-9186	1241135	3028725	SE			SLV FO 9	2.44	SI
0	Palo32	-	365	1024	47.12	6	5329	1208552	2524214	SE			SLV FO 9	2.09	SI
0	Palo33	-	275	934	47.12	6	-37856	1161000	3812180	SE			SLV FO 13	3.28	SI
0	Palo34	-	455	934	47.12	6	-10320	1195594	3089348	SE			SLV FO 10	2.58	SI
0	Palo35	-	-495	889	47.12	6	-28841	1399875	3771161	SE			SLV FO 15	2.69	SI
0	Palo36	-	-225	889	47.12	6	-51240	1594694	3815727	SE			SLV FO 4	2.39	SI
0	Palo37	-	185	844	47.12	6	-46136	1208424	3767942	SE			SLV FO 13	3.12	SI
0	Palo38	-	365	844	47.12	6	-36509	1236781	3835366	SE			SLV FO 13	3.1	SI
0	Palo39	-	-650	740.66	47.12	6	-69742	2095011	3806812	SE			SLV FO 5	1.82	SI
0	Palo4	-	-70	2344	47.12	6	-14541	1468485	3154535	SE			SLV FO 9	2.15	SI
0	Palo40	-	-70	765	47.12	6	-38247	1100730	3795333	SE			SLV FO 12	3.45	SI
0	Palo41	-	275	754	47.12	6	-46781	1198227	3761109	SE			SLV FO 13	3.14	SI
0	Palo42	-	456	753.31	47.12	6	-39140	1201789	3812466	SE			SLV FO 13	3.17	SI
0	Palo43	-	185	664	47.12	6	-53411	1298181	3744590	SE			SLV FO 13	2.88	SI
0	Palo44	-	365	664	47.12	6	2925	933994	2571126	SE			SLV FO 8	2.75	SI
0	Palo45	-	-650	592.33	47.12	6	-50735	2257355	3864016	SE			SLV FO 8	1.71	SI
0	Palo46	-	-70	555	47.12	6	-79982	940774	3252547	SE			SLV FO 6	3.46	SI
0	Palo47	-	275	574	47.12	6	19171	1038490	2082510	SE			SLV FO 8	2.01	SI
0	Palo48	-	455	574	47.12	6	17231	1114219	2164105	SE			SLV FO 8	1.94	SI
0	Palo49	-	-495	464	47.12	6	-8747	1396649	2974726	SE			SLV FO 15	2.13	SI
0	Palo5	-	-495	2184	47.12	6	-24674	2445651	3164351	SE			SLV FO 16	1.29	SI
0	Palo50	-	-225	464	47.12	6	-71229	1521898	3695664	SE			SLV FO 2	2.43	SI
0	Palo51	-	185	484	47.12	6	30205	1234881	1932904	SE			SLV FO 8	1.57	SI
0	Palo52	-	365	484	47.12	6	35023	1288849	1871623	SE			SLV FO 8	1.45	SI
0	Palo53	-	275	394	47.12	6	49413	1351545	1686037	SE			SLV FO 8	1.25	SI
0	Palo54	-	455	394	47.12	6	42541	1538490	1861253	SE			SLV FO 8	1.21	SI
0	Palo55	-	935	1044	47.12	6	-70809	1920954	3778409	SE			SLV FO 2	1.97	SI
0	Palo56	-	935	854	47.12	6	-31047	1551214	3732889	SE			SLV FO 6	2.41	SI
0	Palo57	-	935	654	47.12	6	-34334	1652207	3782891	SE			SLV FO 7	2.29	SI
0	Palo58	-	935	464	47.12	6	-51770	2122655	3874531	SE			SLV FO 8	1.83	SI
0	Palo59	-	1330	1044	47.12	6	-34573	1637415	3805111	SE			SLV FO 10	2.32	SI
0	Palo6	-	-225	2184	47.12	6	-22412	2468795	3111941	SE			SLV FO 1	1.26	SI
0	Palo60	-	1330	854	47.12	6	-28391	1416164	3735030	SE			SLV FO 6	2.64	SI
0	Palo61	-	1330	654	47.12	6	-31938	1529076	3789967	SE			SLV FO 7	2.48	SI
0	Palo62	-	1330	464	47.12	6	-42613	1926725	3854495	SE			SLV FO 11	2	SI
0	Palo63	-	1865	1034	47.12	6	17342	575172	1808683	SE			SLV FO 10	3.14	SI
0	Palo64	-	2035	1034	47.12	6	13912	718120	2058870	SE			SLV FO 6	2.87	SI
0	Palo65	-	2205	1034	47.12	6	18883	683806	1862028	SE			SLV FO 6	2.72	SI
0	Palo66	-	1775	944	47.12	6	-460	713156	2723179	SE			SLV FO 13	3.82	SI
0	Palo67	-	1955	944	47.12	6	-57244	827441	3457184	SE			SLV FO 11	4.18	SI
0	Palo68	-	2115	944	47.12	6	-56343	856223	3499261	SE			SLV FO 7	4.09	SI
0	Palo69	-	2295	944	47.12	6	2396	837554	2582050	SE			SLV FO 2	3.08	SI
0	Palo7	-	-650	2014	47.12	6	-32705	2087949	3472192	SE			SLV FO 12	1.66	SI
0	Palo70	-	1865	854	47.12	6	-29346	716534	3746063	SE			SLV FO 6	5.23	SI
0	Palo71	-	2205	854	47.12	6	-17478	968359	3610444	SE			SLV FO 6	3.73	SI
0	Palo72	-	1775	764	47.12	6	-49777	915150	3624839	SE			SLV FO 6	3.96	SI
0	Palo73	-	2295	764	47.12	6	-7341	961311	3040135	SE			SLV FO 4	3.16	SI
0	Palo74	-	1865	674	47.12	6	-12637	980208	3318785	SE			SLV FO 11	3.39	SI
0	Palo75	-	2205	674	47.12	6	-12859	1231412	3183085	SE			SLV FO 7	2.58	SI
0	Palo76	-	1775	564	47.12	6	-3958	1272737	2831382	SE			SLV FO 11	2.22	SI
0	Palo77	-	1955	564	47.12	6	-6207	1242733	2916770	SE			SLV FO 7	2.35	SI
0	Palo78	-	2115	564	47.12	6	-3279	1363848	2800466	SE			SLV FO 7	2.05	SI
0	Palo79	-	2295	564	47.12	6	-6470	1582926	2875028	SE			SLV FO 7	1.82	SI
0	Palo8	-	11.25	1974	47.12	6	-26359	1845722	3396410	SE			SLV FO 10	1.84	SI
0	Palo80	-	1865	474	47.12	6	3278	1270608	2592804	SE			SLV FO 11	2.04	SI
0	Palo81	-	2035	474	47.12	6	2077	1361872	2634061	SE			SLV FO 7	1.93	SI
0	Palo82	-	2205	474	47.12	6	876	1568800	2673024	SE			SLV FO 7	1.7	SI
0	Palo83	-	2740	1044	47.12	6	-30697	1868336	3515442	SE			SLV FO 6	1.88	SI
0	Palo84	-	2740	854	47.12	6	-27240	1567553	3570413	SE			SLV FO 10	2.28	SI
0	Palo85	-	2740	654	47.12	6	-31073	1682267	3636051	SE			SLV FO 11	2.16	SI
0	Palo86	-	2740	464	47.12	6	-40729	1845923	3853099	SE			SLV FO 7	2.09	SI
0	Palo87	-	3135	1044	47.12	6	-39074	1873370	3787981	SE			SLV FO 10	2.02	SI
0	Palo88	-	3135	854	47.12	6	-29875	1617569	3635930	SE			SLV FO 10	2.25	SI
0	Palo89	-	3135	654	47.12	6	-31984	1718887	3644413	SE			SLV FO 11	2.12	SI
0	Palo9	-	171.25	1974	47.12	6	17858	1442540	2255117	SE			SLV FO 5	1.56	SI
0	Palo90	-	3135	464	47.12	6	-46202	2135811	3840087	SE			SLV FO 11	1.8	SI
0	Palo91	-	3705	1114	47.12	6	62974	1198218	1440056	SE			SLV FO 10	1.2	SI
0	Palo92	-	3885	1114	47.12	6	70603	1257655	1394525	SE			SLV FO 6	1.11	SI
0	Palo93	-	3615	1024	47.12	6	39021	1199056	1760941	SE			SLV FO 10	1.47	SI
0	Palo94	-	3795	1024	47.12	6	52123	1048260	1478237	SE			SLV FO 6	1.41	SI
0	Palo95	-	3705	934	47.12	6	27154	842070	1766715	SE			SLV FO 10	2.1	SI
0	Palo96	-	3885	934	47.12	6	34970	986047	1705940	SE			SLV FO 6	1.73	SI
0	Palo97	-	3615	844	47.12	6	-934	894974	2740240	SE			SLV FO 10	3.06	SI
0	Palo98	-	3795	844	47.12	6	9259	745548	2253898	SE			SLV FO 6	3.02	SI
0	Palo99	-	3705	754	47.12	6	-21407	883751	3875813	SE			SLV FO 13	4.39	SI
-471	Palo1	-	-495	2504	47.12	6	-61371	52958	973973	P			SLU 16	8.18	SI
-471	Palo10	-	-78.75	1884	47.12	6	-36324	28083	380311	P			SLU 16	13.82	SI
-471	Palo100	-	3885	754	47.12	6	-13617	27663	1722257	P			SLU 16	35.89	SI
-471	Palo101	-	3615	664	47.12	6	-25633	27388	914918	P			SLU 16	19.58	SI
-471	Palo102	-	3795	664	47.12	6	-18322	27278	1275867	P			SLU 16	27.4	SI
-471	Palo103	-	3705	574	47.12	6	-22522	25960	941905	P			SLU 16	22.29	SI

RELAZIONE GEOTECNICA E SULLE FONDAZIONI

Quota	Filo	Ind.	Xp	Yp	As	Cop.	N	M	Mu	Dom.	SnmFcd	MultM	Comb.	C.S.	Verifica
-471	Palo13	-	-495	1844	47.12	6	-50569	65357	1414115	P			SLU 16	9.93	SI
-471	Palo14	-	-225	1844	47.12	6	-33850	24578	264952	P			SLU 16	14.83	SI
-471	Palo15	-	11.25	1794	47.12	6	-34275	32419	616900	P			SLU 16	14.64	SI
-471	Palo16	-	-78.75	1704	47.12	6	-37238	32721	617550	P			SLU 16	13.48	SI
-471	Palo17	-	51.25	1704	47.12	6	-34228	30400	562413	P			SLU 16	14.66	SI
-471	Palo18	-	266.25	1704	47.12	6	-29731	32898	834873	P			SLU 16	16.88	SI
-471	Palo19	-	-650	1664	47.12	6	-81850	31066	267934	P			SLU 16	6.13	SI
-471	Palo2	-	-225	2504	47.12	6	-51175	6428	247109	P			SLU 16	9.81	SI
-471	Palo20	-	11.25	1634	47.12	6	-36493	32476	642996	P			SLU 16	13.75	SI
-471	Palo21	-	-495	1484	47.12	6	-57655	53295	1009713	P			SLU 16	8.71	SI
-471	Palo22	-	-225	1484	47.12	6	-42731	18907	128005	P			SLU 16	11.75	SI
-471	Palo23	-	91.25	1484	47.12	6	-39955	28630	493129	P			SLU 16	12.56	SI
-471	Palo24	-	-650	1299	47.12	6	-60633	34500	633838	P			SLU 16	8.28	SI
-471	Palo25	-	-70	1299	47.12	6	-36139	25187	610592	P			SLU 16	13.89	SI
-471	Palo26	-	261.25	1299	47.12	6	-36249	34953	933826	P			SLU 16	13.85	SI
-471	Palo27	-	275	1114	47.12	6	-34837	25783	630474	P			SLU 16	14.41	SI
-471	Palo28	-	455	1114	47.12	6	-29720	18423	365617	P			SLU 16	16.89	SI
-471	Palo29	-	-650	1074	47.12	6	-57774	24161	436287	P			SLU 16	8.69	SI
-471	Palo3	-	-650	2344	47.12	6	-77616	30155	296100	P			SLU 16	6.47	SI
-471	Palo30	-	-70	1074	47.12	6	-35960	25407	663816	P			SLU 16	13.96	SI
-471	Palo31	-	185	1024	47.12	6	-37708	25631	572656	P			SLU 16	13.31	SI
-471	Palo32	-	365	1024	47.12	6	-30721	26177	733734	P			SLU 16	16.34	SI
-471	Palo33	-	275	934	47.12	6	-33902	26367	671602	P			SLU 16	14.81	SI
-471	Palo34	-	455	934	47.12	6	-27349	22958	646390	P			SLU 16	18.35	SI
-471	Palo35	-	-495	889	47.12	6	-43263	43440	1131601	P			SLU 16	11.6	SI
-471	Palo36	-	-225	889	47.12	6	-39151	3451	353590	P			SLU 16	12.82	SI
-471	Palo37	-	185	844	47.12	6	-37201	27180	655749	P			SLU 16	13.49	SI
-471	Palo38	-	365	844	47.12	6	-29643	25101	720326	P			SLU 16	16.93	SI
-471	Palo39	-	-650	740.66	47.12	6	-60186	26138	428902	P			SLU 16	8.34	SI
-471	Palo4	-	-70	2344	47.12	6	-52420	25431	386095	P			SLU 16	9.58	SI
-471	Palo40	-	-70	765	47.12	6	-50503	19869	253149	P			SLU 16	9.94	SI
-471	Palo41	-	275	754	47.12	6	-33017	25990	679183	P			SLU 16	15.2	SI
-471	Palo42	-	456	753.31	47.12	6	-26272	23615	706305	P			SLU 16	19.11	SI
-471	Palo43	-	185	664	47.12	6	-35665	25886	625617	P			SLU 16	14.07	SI
-471	Palo44	-	365	664	47.12	6	-29055	24001	658985	P			SLU 16	17.28	SI
-471	Palo45	-	-650	592.33	47.12	6	-59757	23723	450345	P			SLU 16	8.4	SI
-471	Palo46	-	-70	555	47.12	6	-47808	20280	313782	P			SLU 16	10.5	SI
-471	Palo47	-	275	574	47.12	6	-31077	24873	676075	P			SLU 16	16.15	SI
-471	Palo48	-	455	574	47.12	6	-25908	21818	615383	P			SLU 16	19.37	SI
-471	Palo49	-	-495	464	47.12	6	-53608	41285	853978	P			SLU 16	9.36	SI
-471	Palo5	-	-495	2184	47.12	6	-44560	65487	1629484	P			SLU 16	11.08	SI
-471	Palo50	-	-225	464	47.12	6	-44309	12298	38372	P			SLU 16	11.33	SI
-471	Palo51	-	185	484	47.12	6	-32875	26592	713441	P			SLU 16	15.27	SI
-471	Palo52	-	365	484	47.12	6	-27470	20105	495626	P			SLU 16	18.27	SI
-471	Palo53	-	275	394	47.12	6	-27984	24128	718084	P			SLU 16	17.94	SI
-471	Palo54	-	455	394	47.12	6	-25682	13720	208414	P			SLU 16	19.54	SI
-471	Palo55	-	935	1044	47.12	6	-66228	35172	884479	P			SLU 16	7.58	SI
-471	Palo56	-	935	854	47.12	6	-36912	24360	834705	P			SLU 16	13.6	SI
-471	Palo57	-	935	654	47.12	6	-41364	38908	1202722	P			SLU 16	12.13	SI
-471	Palo58	-	935	464	47.12	6	-79615	52300	977800	P			SLU 16	6.3	SI
-471	Palo59	-	1330	1044	47.12	6	-66201	41053	903238	P			SLU 16	7.58	SI
-471	Palo6	-	-225	2184	47.12	6	-30958	8775	415777	P			SLU 16	16.21	SI
-471	Palo60	-	1330	854	47.12	6	-36854	23623	832115	P			SLU 16	13.62	SI
-471	Palo61	-	1330	654	47.12	6	-41119	40087	1219243	P			SLU 16	12.21	SI
-471	Palo62	-	1330	464	47.12	6	-79082	59168	996277	P			SLU 16	6.35	SI
-471	Palo63	-	1865	1034	47.12	6	-35850	24977	600237	P			SLU 16	14	SI
-471	Palo64	-	2035	1034	47.12	6	-31972	16663	257968	P			SLU 16	15.7	SI
-471	Palo65	-	2205	1034	47.12	6	-35242	9235	241248	P			SLU 16	14.24	SI
-471	Palo66	-	1775	944	47.12	6	-39684	23855	500443	P			SLU 16	12.65	SI
-471	Palo67	-	1955	944	47.12	6	-33813	21175	444170	P			SLU 16	14.84	SI
-471	Palo68	-	2115	944	47.12	6	-33572	15611	264738	P			SLU 16	14.95	SI
-471	Palo69	-	2295	944	47.12	6	-38861	9477	171324	P			SLU 16	12.92	SI
-471	Palo7	-	-650	2014	47.12	6	-78831	34130	320513	P			SLU 16	6.37	SI
-471	Palo70	-	1865	854	47.12	6	-36521	21040	404891	P			SLU 16	13.74	SI
-471	Palo71	-	2205	854	47.12	6	-36055	13119	125541	P			SLU 16	13.92	SI
-471	Palo72	-	1775	764	47.12	6	-38382	21483	406310	P			SLU 16	13.08	SI
-471	Palo73	-	2295	764	47.12	6	-37716	12196	94178	P			SLU 16	13.31	SI
-471	Palo74	-	1865	674	47.12	6	-36988	21084	388890	P			SLU 16	13.57	SI
-471	Palo75	-	2205	674	47.12	6	-36629	15551	222559	P			SLU 16	13.7	SI
-471	Palo76	-	1775	564	47.12	6	-43831	34045	791282	P			SLU 16	11.45	SI
-471	Palo77	-	1955	564	47.12	6	-37168	23618	491074	P			SLU 16	13.5	SI
-471	Palo78	-	2115	564	47.12	6	-37107	17694	351349	P			SLU 16	13.53	SI
-471	Palo79	-	2295	564	47.12	6	-43590	23456	648066	P			SLU 16	11.52	SI
-471	Palo8	-	11.25	1974	47.12	6	-33364	38210	864482	P			SLU 16	15.04	SI
-471	Palo80	-	1865	474	47.12	6	-44485	35925	833089	P			SLU 16	11.28	SI
-471	Palo81	-	2035	474	47.12	6	-39510	24811	574807	P			SLU 16	12.7	SI
-471	Palo82	-	2205	474	47.12	6	-44571	23109	670155	P			SLU 16	11.26	SI
-471	Palo83	-	2740	1044	47.12	6	-66026	31001	837287	P			SLU 16	7.6	SI
-471	Palo84	-	2740	854	47.12	6	-36679	20912	799808	P			SLU 16	13.68	SI
-471	Palo85	-	2740	654	47.12	6	-40483	41622	1233281	P			SLU 16	12.4	SI
-471	Palo86	-	2740	464	47.12	6	-77685	55882	978172	P			SLU 16	6.46	SI
-471	Palo87	-	3135	1044	47.12	6	-67550	40184	898175	P			SLU 16	7.43	SI
-471	Palo88	-	3135	854	47.12	6	-37603	21458	797776	P			SLU 16	13.35	SI
-471	Palo89	-	3135	654	47.12	6	-41837	43184	1247319	P			SLU 16	12	SI
-471	Palo9	-	171.25	1974	47.12	6	-25681	38610	1168286	P			SLU 16	19.55	SI
-471	Palo90	-	3135	464	47.12	6	-80550	64161	1031290	P			SLU 16	6.23	SI
-471	Palo91	-	3705	1114	47.12	6	-18290	28196	1405482	P			SLU 16	27.44	SI
-471	Palo92	-	3885	1114	47.12	6	-9589	26678	2294757	P			SLU 15	47.55	SI
-471	Palo93	-	3615	1024	47.12	6	-23822	29470	1180540	P			SLU 16	21.07	SI
-471	Palo94	-	3795	1024	47.12	6	-15106	27711	1609320	P			SLU 16	32.76	SI
-471	Palo95	-	3705	934	47.12	6	-19806	25100	1038006	P			SLU 16	25.34	SI
-471	Palo96	-	3885	934	47.12	6	-12075	27673	1916174	P			SLU 16	39.61	SI
-471	Palo97	-	3615	844	47.12	6	-24091	25611	892961	P			SLU 16	20.84	SI
-471	Palo98	-	3795	844	47.12	6	-17074	26572	1326782	P			SLU 16	29.4	SI
-471	Palo99	-	3705	754	47.12	6	-21116	24638	919930	P					

RELAZIONE GEOTECNICA E SULLE FONDAZIONI

Quota	Filo	Ind.	Xp	Yp	As	Cop.	N	M	Mu	Dom.	SnmFcd	MultM	Comb.	C.S.	Verifica
-471	Palo104	-	3885	574	47.12	6	5984	172565	1793217	SE			SLD 7	9.26	SI
-471	Palo105	-	3615	484	47.12	6	-41623	170105	1925249	SE			SLD 6	9.92	SI
-471	Palo106	-	3795	484	47.12	6	10893	176988	1364229	SE			SLD 7	7.35	SI
-471	Palo107	-	3705	394	47.12	6	14056	173091	1211975	SE			SLD 7	6.33	SI
-471	Palo108	-	3885	394	47.12	6	18768	168655	981666	SE			SLD 7	5.56	SI
-471	Palo11	-	91.25	1884	47.12	6	-32970	167863	2316242	SE			SLD 16	11.49	SI
-471	Palo12	-	261.25	1884	47.12	6	14595	200553	1383685	SE			SLD 1	5.41	SI
-471	Palo13	-	-495	1844	47.12	6	-47523	224531	2209958	SE			SLD 1	8.16	SI
-471	Palo14	-	-225	1844	47.12	6	-40260	187000	1901587	SE			SLD 1	10.31	SI
-471	Palo15	-	11.25	1794	47.12	6	-23777	198469	3065866	SE			SLD 1	12.74	SI
-471	Palo16	-	-78.75	1704	47.12	6	-33398	188518	2452712	SE			SLD 1	10.98	SI
-471	Palo17	-	51.25	1704	47.12	6	-28355	151777	2397337	SE			SLD 16	13.11	SI
-471	Palo18	-	266.25	1704	47.12	6	7777	187507	1748700	SE			SLD 1	7.46	SI
-471	Palo19	-	-650	1664	47.12	6	-72659	208479	1493224	SE			SLD 1	6.2	SI
-471	Palo2	-	-225	2504	47.12	6	-55945	281582	2282104	SE			SLD 12	6.82	SI
-471	Palo20	-	11.25	1634	47.12	6	-24854	179732	2849798	SE			SLD 1	13.2	SI
-471	Palo21	-	-495	1484	47.12	6	-46566	207408	2211135	SE			SLD 5	8.33	SI
-471	Palo22	-	-225	1484	47.12	6	-35515	174236	2207932	SE			SLD 5	10.93	SI
-471	Palo23	-	91.25	1484	47.12	6	-38822	130469	1761177	SE			SLD 11	11.01	SI
-471	Palo24	-	-650	1299	47.12	6	-50942	156808	1451779	SE			SLD 1	8.92	SI
-471	Palo25	-	-70	1299	47.12	6	-27285	112565	2205088	SE			SLD 3	14.24	SI
-471	Palo26	-	261.25	1299	47.12	6	-45979	128012	1394191	SE			SLD 11	9.99	SI
-471	Palo27	-	275	1114	47.12	6	-41874	133087	1453690	SE			SLD 12	10.85	SI
-471	Palo28	-	455	1114	47.12	6	-39584	124491	1541542	SE			SLD 12	11.28	SI
-471	Palo29	-	-650	1074	47.12	6	-43152	134696	1645333	SE			SLD 2	10.14	SI
-471	Palo3	-	-650	2344	47.12	6	-64304	280951	2089823	SE			SLD 1	6.2	SI
-471	Palo30	-	-70	1074	47.12	6	-25268	125116	2316480	SE			SLD 2	14.99	SI
-471	Palo31	-	185	1024	47.12	6	-38528	136661	1638797	SE			SLD 12	11.37	SI
-471	Palo32	-	365	1024	47.12	6	-37223	125915	1673675	SE			SLD 12	11.68	SI
-471	Palo33	-	275	934	47.12	6	-33191	130002	1936404	SE			SLD 12	12.41	SI
-471	Palo34	-	455	934	47.12	6	-30094	130327	1970501	SE			SLD 12	13.59	SI
-471	Palo35	-	-495	889	47.12	6	-31519	184064	2625477	SE			SLD 12	11.13	SI
-471	Palo36	-	-225	889	47.12	6	-29655	156747	2438108	SE			SLD 12	12.41	SI
-471	Palo37	-	185	844	47.12	6	-27571	134055	2212632	SE			SLD 6	14.06	SI
-471	Palo38	-	365	844	47.12	6	-25917	133709	2285275	SE			SLD 12	14.72	SI
-471	Palo39	-	-650	740.66	47.12	6	-50066	120385	1283512	SE			SLD 2	9.37	SI
-471	Palo4	-	-70	2344	47.12	6	-57351	256949	2189441	SE			SLD 12	6.8	SI
-471	Palo40	-	-70	765	47.12	6	-39329	114031	1543558	SE			SLD 2	11.35	SI
-471	Palo41	-	275	754	47.12	6	-28931	144368	2018960	SE			SLD 9	13.99	SI
-471	Palo42	-	456	753.31	47.12	6	-22862	140127	2493538	SE			SLD 9	15.87	SI
-471	Palo43	-	185	664	47.12	6	-36102	144482	1685594	SE			SLD 9	12.02	SI
-471	Palo44	-	365	664	47.12	6	-31091	146975	1960812	SE			SLD 9	13.18	SI
-471	Palo45	-	-650	592.33	47.12	6	-56340	137501	1493703	SE			SLD 2	8	SI
-471	Palo46	-	-70	555	47.12	6	-45370	136670	1456716	SE			SLD 5	10	SI
-471	Palo47	-	275	574	47.12	6	-38777	144450	1573630	SE			SLD 9	11.44	SI
-471	Palo48	-	455	574	47.12	6	-31038	127606	2069143	SE			SLD 5	12.9	SI
-471	Palo49	-	-495	464	47.12	6	-47433	175849	1921692	SE			SLD 5	8.71	SI
-471	Palo5	-	-495	2184	47.12	6	-35249	262667	2940984	SE			SLD 1	9.01	SI
-471	Palo50	-	-225	464	47.12	6	-43633	155267	1860771	SE			SLD 5	9.59	SI
-471	Palo51	-	185	484	47.12	6	-44460	134008	1380765	SE			SLD 9	10.36	SI
-471	Palo52	-	365	484	47.12	6	-38979	125685	1701346	SE			SLD 5	11.1	SI
-471	Palo53	-	275	394	47.12	6	7142	164637	1583922	SE			SLD 8	9.45	SI
-471	Palo54	-	455	394	47.12	6	-39637	124071	1587937	SE			SLD 5	11.16	SI
-471	Palo55	-	935	1044	47.12	6	-54893	136529	1590097	SE			SLD 8	8.06	SI
-471	Palo56	-	935	854	47.12	6	-27971	136827	2303193	SE			SLD 8	13.58	SI
-471	Palo57	-	935	654	47.12	6	-29871	120419	2179791	SE			SLD 5	13.08	SI
-471	Palo58	-	935	464	47.12	6	-60573	136417	1569470	SE			SLD 5	7.33	SI
-471	Palo59	-	1330	1044	47.12	6	-55103	138492	1604860	SE			SLD 7	8	SI
-471	Palo6	-	-225	2184	47.12	6	-25405	228767	3126862	SE			SLD 12	11.59	SI
-471	Palo60	-	1330	854	47.12	6	-27938	122020	2149916	SE			SLD 7	14.08	SI
-471	Palo61	-	1330	654	47.12	6	-29566	132123	2238344	SE			SLD 6	13.04	SI
-471	Palo62	-	1330	464	47.12	6	-60254	147518	1599333	SE			SLD 6	7.33	SI
-471	Palo63	-	1865	1034	47.12	6	-43453	142411	1691289	SE			SLD 7	9.97	SI
-471	Palo64	-	2035	1034	47.12	6	-38421	139649	1776210	SE			SLD 11	11.09	SI
-471	Palo65	-	2205	1034	47.12	6	-43418	146364	1718240	SE			SLD 11	9.93	SI
-471	Palo66	-	1775	944	47.12	6	-40687	132356	1769536	SE			SLD 7	10.48	SI
-471	Palo67	-	1955	944	47.12	6	-33985	143459	1929859	SE			SLD 7	12.14	SI
-471	Palo68	-	2115	944	47.12	6	-34079	139436	1927090	SE			SLD 11	12.11	SI
-471	Palo69	-	2295	944	47.12	6	-40492	149108	1831461	SE			SLD 11	10.4	SI
-471	Palo7	-	-650	2014	47.12	6	-68751	246934	1812381	SE			SLD 1	6.15	SI
-471	Palo70	-	1865	854	47.12	6	-30821	143723	2022026	SE			SLD 7	13.12	SI
-471	Palo71	-	2205	854	47.12	6	-30763	142081	2075367	SE			SLD 11	13	SI
-471	Palo72	-	1775	764	47.12	6	-34515	116224	1670609	SE			SLD 4	12.61	SI
-471	Palo73	-	2295	764	47.12	6	-35222	92354	1364484	SE			SLD 13	13.12	SI
-471	Palo74	-	1865	674	47.12	6	-32636	135689	1861619	SE			SLD 6	12.82	SI
-471	Palo75	-	2205	674	47.12	6	-32250	144931	1898214	SE			SLD 10	12.88	SI
-471	Palo76	-	1775	564	47.12	6	-41745	140579	1715933	SE			SLD 6	10.33	SI
-471	Palo77	-	1955	564	47.12	6	-35892	142521	1798596	SE			SLD 6	11.81	SI
-471	Palo78	-	2115	564	47.12	6	-35715	143804	1813780	SE			SLD 10	11.83	SI
-471	Palo79	-	2295	564	47.12	6	-40732	155138	1843878	SE			SLD 10	10.31	SI
-471	Palo8	-	11.25	1974	47.12	6	-20210	216213	3344520	SE			SLD 1	12.92	SI
-471	Palo80	-	1865	474	47.12	6	-44703	148257	1662636	SE			SLD 6	9.75	SI
-471	Palo81	-	2035	474	47.12	6	-40071	149078	1785386	SE			SLD 6	10.61	SI
-471	Palo82	-	2205	474	47.12	6	-44024	154486	1758342	SE			SLD 10	9.71	SI
-471	Palo83	-	2740	1044	47.12	6	-56327	152110	1670316	SE			SLD 11	7.73	SI
-471	Palo84	-	2740	854	47.12	6	-28236	131971	2262640	SE			SLD 11	13.58	SI
-471	Palo85	-	2740	654	47.12	6	-29323	149984	2387946	SE			SLD 10	12.7	SI
-471	Palo86	-	2740	464	47.12	6	-60233	165891	1669350	SE			SLD 10	7.23	SI
-471	Palo87	-	3135	1044	47.12	6	-57561	157049	1667913	SE			SLD 11	7.56	SI
-471	Palo88	-	3135	854	47.12	6	-28853	144145	2320657	SE			SLD 11	13.11	SI
-471	Palo89	-	3135	654	47.12	6	-30947	152821	2349350	SE			SLD 10	12.14	SI
-471	Palo9	-	171.25	1974	47.12	6	2861	211493	2304445	SE			SLD 1	8.71	SI
-471	Palo90	-	3135	464	47.12	6	-63719	167470	1647686	SE			SLD 10	6.86	SI
-471	Palo91	-	3705												

RELAZIONE GEOTECNICA E SULLE FONDAZIONI

Quota	Filo	Ind.	Xp	Yp	As	Cop.	N	M	Mu	Dom.	SnmFcd	MultM	Comb.	C.S.	Verifica
-471	Palo99	-	3705	754	47.12	6	-14917	179419	3423047	SE			SLD 10	16.52	SI
-471	Palo1	-	-495	2504	47.12	6	-65001	589750	2993931	SE			SLV FO 12	4.79	SI
-471	Palo10	-	-78.75	1884	47.12	6	-40879	408619	3180093	SE			SLV FO 1	7.03	SI
-471	Palo100	-	3885	754	47.12	6	-6321	372553	3434615	SE			SLV FO 7	8.14	SI
-471	Palo101	-	3615	664	47.12	6	-1688	354273	2880712	SE			SLV FO 7	7.19	SI
-471	Palo102	-	3795	664	47.12	6	5572	368783	2231543	SE			SLV FO 7	5.27	SI
-471	Palo103	-	3705	574	47.12	6	18863	360413	1528568	SE			SLV FO 7	3.74	SI
-471	Palo104	-	3885	574	47.12	6	22839	357084	1377728	SE			SLV FO 7	3.47	SI
-471	Palo105	-	3615	484	47.12	6	25894	350013	1272853	SE			SLV FO 7	3.3	SI
-471	Palo106	-	3795	484	47.12	6	35766	362304	1053941	SE			SLV FO 7	2.77	SI
-471	Palo107	-	3705	394	47.12	6	45253	354091	925423	SE			SLV FO 7	2.41	SI
-471	Palo108	-	3885	394	47.12	6	48047	348150	854702	SE			SLV FO 7	2.39	SI
-471	Palo11	-	91.25	1884	47.12	6	1489	426873	2583447	SE			SLV FO 1	4.9	SI
-471	Palo12	-	261.25	1884	47.12	6	52848	406693	1001349	SE			SLV FO 1	1.95	SI
-471	Palo13	-	-495	1844	47.12	6	-63996	445452	2694802	SE			SLV FO 1	5.37	SI
-471	Palo14	-	-225	1844	47.12	6	14427	360710	1646124	SE			SLV FO 16	4.43	SI
-471	Palo15	-	11.25	1794	47.12	6	-23820	405608	3681004	SE			SLV FO 1	7.48	SI
-471	Palo16	-	-78.75	1704	47.12	6	-43098	383406	3111584	SE			SLV FO 1	6.88	SI
-471	Palo17	-	51.25	1704	47.12	6	-33697	346350	3313027	SE			SLV FO 16	7.91	SI
-471	Palo18	-	266.25	1704	47.12	6	41988	380881	1090450	SE			SLV FO 1	2.3	SI
-471	Palo19	-	-650	1664	47.12	6	-94851	433001	2074604	SE			SLV FO 1	4.22	SI
-471	Palo2	-	-225	2504	47.12	6	5528	597337	2381097	SE			SLV FO 5	3.66	SI
-471	Palo20	-	11.25	1634	47.12	6	-24929	364907	3594338	SE			SLV FO 1	8.25	SI
-471	Palo21	-	-495	1484	47.12	6	-56366	424281	2947664	SE			SLV FO 5	5.62	SI
-471	Palo22	-	-225	1484	47.12	6	-43660	335949	2998809	SE			SLV FO 5	7.12	SI
-471	Palo23	-	91.25	1484	47.12	6	-45498	331966	2876983	SE			SLV FO 12	7.15	SI
-471	Palo24	-	-650	1299	47.12	6	-63854	337357	2127783	SE			SLV FO 1	6.19	SI
-471	Palo25	-	-70	1299	47.12	6	-31055	226164	3021311	SE			SLV FO 3	9.93	SI
-471	Palo26	-	261.25	1299	47.12	6	17336	281575	1252913	SE			SLV FO 6	4.99	SI
-471	Palo27	-	275	1114	47.12	6	11394	284314	1625286	SE			SLV FO 5	5.71	SI
-471	Palo28	-	455	1114	47.12	6	16635	263907	1361967	SE			SLV FO 5	4.82	SI
-471	Palo29	-	-650	1074	47.12	6	-49907	275658	2386138	SE			SLV FO 2	7.47	SI
-471	Palo3	-	-650	2344	47.12	6	-78937	589409	2885222	SE			SLV FO 1	4.11	SI
-471	Palo30	-	-70	1074	47.12	6	-26756	251333	3209260	SE			SLV FO 2	10.59	SI
-471	Palo31	-	185	1024	47.12	6	-51560	286197	2250419	SE			SLV FO 12	7.46	SI
-471	Palo32	-	365	1024	47.12	6	9889	271170	1767638	SE			SLV FO 5	5.76	SI
-471	Palo33	-	275	934	47.12	6	-43190	271558	2634655	SE			SLV FO 12	8.1	SI
-471	Palo34	-	455	934	47.12	6	2246	278005	2418474	SE			SLV FO 5	7.96	SI
-471	Palo35	-	-495	889	47.12	6	-35437	382895	3400533	SE			SLV FO 12	7.08	SI
-471	Palo36	-	-225	889	47.12	6	-33727	329156	3282594	SE			SLV FO 12	8.05	SI
-471	Palo37	-	185	844	47.12	6	-29432	269838	3136708	SE			SLV FO 6	9.96	SI
-471	Palo38	-	365	844	47.12	6	-31395	276347	3050673	SE			SLV FO 12	9.71	SI
-471	Palo39	-	-650	740.66	47.12	6	-63163	256198	1909972	SE			SLV FO 2	6.56	SI
-471	Palo4	-	-70	2344	47.12	6	5723	568160	2385382	SE			SLV FO 5	3.49	SI
-471	Palo40	-	-70	765	47.12	6	-45223	231762	2303983	SE			SLV FO 2	8.4	SI
-471	Palo41	-	275	754	47.12	6	-30682	265055	3172112	SE			SLV FO 5	9.4	SI
-471	Palo42	-	456	753.31	47.12	6	-27705	287821	3240098	SE			SLV FO 9	10.05	SI
-471	Palo43	-	185	664	47.12	6	-48181	306353	2347561	SE			SLV FO 9	7.8	SI
-471	Palo44	-	365	664	47.12	6	1869	322273	2465621	SE			SLV FO 8	7.96	SI
-471	Palo45	-	-650	592.33	47.12	6	-76144	280737	1956703	SE			SLV FO 2	5.39	SI
-471	Palo46	-	-70	555	47.12	6	-58779	288289	2120278	SE			SLV FO 5	6.73	SI
-471	Palo47	-	275	574	47.12	6	13562	325026	1614459	SE			SLV FO 8	4.85	SI
-471	Palo48	-	455	574	47.12	6	12166	322792	1605721	SE			SLV FO 8	5.44	SI
-471	Palo49	-	-495	464	47.12	6	-60080	377367	2686917	SE			SLV FO 5	5.74	SI
-471	Palo5	-	-495	2184	47.12	6	-28726	556817	3724616	SE			SLV FO 5	5.65	SI
-471	Palo50	-	-225	464	47.12	6	-57848	325975	2526289	SE			SLV FO 5	6.22	SI
-471	Palo51	-	185	484	47.12	6	21504	306839	1283204	SE			SLV FO 8	3.94	SI
-471	Palo52	-	365	484	47.12	6	24971	324978	1099389	SE			SLV FO 8	3.84	SI
-471	Palo53	-	275	394	47.12	6	35328	330515	967646	SE			SLV FO 8	2.99	SI
-471	Palo54	-	455	394	47.12	6	30382	324213	955593	SE			SLV FO 8	3.51	SI
-471	Palo55	-	935	1044	47.12	6	-65212	253876	2024091	SE			SLV FO 8	6.2	SI
-471	Palo56	-	935	854	47.12	6	-31960	247549	3001163	SE			SLV FO 4	9.72	SI
-471	Palo57	-	935	654	47.12	6	-34105	212435	2853169	SE			SLV FO 2	9.61	SI
-471	Palo58	-	935	464	47.12	6	-71253	246571	1987563	SE			SLV FO 5	5.72	SI
-471	Palo59	-	1330	1044	47.12	6	-65461	257185	2022812	SE			SLV FO 7	6.18	SI
-471	Palo6	-	-225	2184	47.12	6	-29633	483967	3631100	SE			SLV FO 12	6.59	SI
-471	Palo60	-	1330	854	47.12	6	-29467	248814	3023061	SE			SLV FO 11	10.46	SI
-471	Palo61	-	1330	654	47.12	6	-30465	257364	3061859	SE			SLV FO 9	9.96	SI
-471	Palo62	-	1330	464	47.12	6	-70429	266594	1999258	SE			SLV FO 6	5.77	SI
-471	Palo63	-	1865	1034	47.12	6	12246	287735	1669281	SE			SLV FO 10	5.11	SI
-471	Palo64	-	2035	1034	47.12	6	9776	307574	1849705	SE			SLV FO 6	5.33	SI
-471	Palo65	-	2205	1034	47.12	6	13355	314414	1659785	SE			SLV FO 6	4.73	SI
-471	Palo66	-	1775	944	47.12	6	-54722	271917	2326579	SE			SLV FO 7	6.9	SI
-471	Palo67	-	1955	944	47.12	6	-44940	297374	2599170	SE			SLV FO 7	7.86	SI
-471	Palo68	-	2115	944	47.12	6	-45332	295322	2617364	SE			SLV FO 11	7.76	SI
-471	Palo69	-	2295	944	47.12	6	-54908	311355	2420996	SE			SLV FO 11	6.73	SI
-471	Palo7	-	-650	2014	47.12	6	-88518	510945	2472981	SE			SLV FO 1	4.12	SI
-471	Palo70	-	1865	854	47.12	6	-36888	295586	2832027	SE			SLV FO 7	8.95	SI
-471	Palo71	-	2205	854	47.12	6	-37114	296365	2888826	SE			SLV FO 11	8.72	SI
-471	Palo72	-	1775	764	47.12	6	-44254	236605	2274851	SE			SLV FO 4	8.64	SI
-471	Palo73	-	2295	764	47.12	6	-46166	204388	1964504	SE			SLV FO 13	8.87	SI
-471	Palo74	-	1865	674	47.12	6	-40776	271326	2538106	SE			SLV FO 6	8.8	SI
-471	Palo75	-	2205	674	47.12	6	-40198	294129	2587803	SE			SLV FO 10	8.81	SI
-471	Palo76	-	1775	564	47.12	6	-55212	272331	2156265	SE			SLV FO 6	7.11	SI
-471	Palo77	-	1955	564	47.12	6	-47491	283065	2342264	SE			SLV FO 6	7.93	SI
-471	Palo78	-	2115	564	47.12	6	-47147	289777	2379804	SE			SLV FO 10	7.91	SI
-471	Palo79	-	2295	564	47.12	6	-53191	305925	2346383	SE			SLV FO 10	7.07	SI
-471	Palo8	-	11.25	1974	47.12	6	-16412	438537	3818974	SE			SLV FO 1	7.38	SI
-471	Palo80	-	1865	474	47.12	6	-60908	287971	2049460	SE			SLV FO 6	6.6	SI
-471	Palo81	-	2035	474	47.12	6	-54601	292780	2239889	SE			SLV FO 6	7.06	SI
-471	Palo82	-	2205	474	47.12	6	-59363	304273	2194751	SE			SLV FO 10	6.56	SI
-471	Palo83	-	2740	1044	47.12	6	-68079	288716	2113771	SE			SLV FO 11	5.82	SI
-471	Palo84	-	2740	854	47.12	6	-30166	284391	3106272	SE			SLV FO 7	9.86	SI
-															

RELAZIONE GEOTECNICA E SULLE FONDAZIONI

Quota	Filo	Ind.	Xp	Yp	As	Cop.	N	M	Mu	Dom.	SnmFcd	MultM	Comb.	C.S.	Verifica
-471	Palo92	-	3885	1114	47.12	6	50579	347589	844743	SE			SLV FO 6	2.28	SI
-471	Palo93	-	3615	1024	47.12	6	26181	352176	1293358	SE			SLV FO 6	3.21	SI
-471	Palo94	-	3795	1024	47.12	6	37279	348717	1033459	SE			SLV FO 6	2.7	SI
-471	Palo95	-	3705	934	47.12	6	19308	356648	1508074	SE			SLV FO 10	3.72	SI
-471	Palo96	-	3885	934	47.12	6	24933	356948	1320415	SE			SLV FO 6	3.31	SI
-471	Palo97	-	3615	844	47.12	6	-2651	359648	2977918	SE			SLV FO 6	7.11	SI
-471	Palo98	-	3795	844	47.12	6	6428	357064	2160863	SE			SLV FO 6	5.24	SI
-471	Palo99	-	3705	754	47.12	6	-14956	366091	3789578	SE			SLV FO 10	8.99	SI
-942	Palo1	-	-495	2504	47.12	6	-37293	45718	676588	P			SLU 16	13.46	SI
-942	Palo10	-	-78.75	1884	47.12	6	-22020	8265	227546	P			SLU 16	22.79	SI
-942	Palo100	-	3885	754	47.12	6	-8174	12166	806931	P			SLU 16	61.4	SI
-942	Palo101	-	3615	664	47.12	6	-15501	10531	364136	P			SLU 16	32.38	SI
-942	Palo102	-	3795	664	47.12	6	-11043	11211	548540	P			SLU 16	45.45	SI
-942	Palo103	-	3705	574	47.12	6	-13604	9166	362854	P			SLU 16	36.9	SI
-942	Palo104	-	3885	574	47.12	6	-8485	13795	887698	P			SLU 16	59.15	SI
-942	Palo105	-	3615	484	47.12	6	-17058	19503	624691	P			SLU 16	29.42	SI
-942	Palo106	-	3795	484	47.12	6	-11195	14882	726750	P			SLU 16	44.84	SI
-942	Palo107	-	3705	394	47.12	6	-14023	16040	625209	P			SLU 16	35.79	SI
-942	Palo108	-	3885	394	47.12	6	-7868	15778	1102871	P			SLU 16	63.8	SI
-942	Palo11	-	91.25	1884	47.12	6	-18830	7219	205805	P			SLU 16	26.66	SI
-942	Palo12	-	261.25	1884	47.12	6	-14724	12150	451465	P			SLU 16	34.09	SI
-942	Palo13	-	-495	1844	47.12	6	-30707	52357	939175	P			SLU 16	16.35	SI
-942	Palo14	-	-225	1844	47.12	6	-20511	12902	370304	P			SLU 16	24.47	SI
-942	Palo15	-	11.25	1794	47.12	6	-20771	2991	83827	P			SLU 16	24.17	SI
-942	Palo16	-	-78.75	1704	47.12	6	-22578	7687	187864	P			SLU 16	22.23	SI
-942	Palo17	-	51.25	1704	47.12	6	-20742	4181	120325	P			SLU 16	24.2	SI
-942	Palo18	-	266.25	1704	47.12	6	-18000	13151	406565	P			SLU 16	27.89	SI
-942	Palo19	-	-650	1664	47.12	6	-49781	3111	27867	P			SLU 16	10.08	SI
-942	Palo2	-	-225	2504	47.12	6	-31076	29701	543187	P			SLU 16	16.15	SI
-942	Palo20	-	11.25	1634	47.12	6	-22123	8160	201601	P			SLU 16	22.69	SI
-942	Palo21	-	-495	1484	47.12	6	-35027	42525	668642	P			SLU 16	14.33	SI
-942	Palo22	-	-225	1484	47.12	6	-25927	12720	286335	P			SLU 16	19.36	SI
-942	Palo23	-	91.25	1484	47.12	6	-24234	1958	31659	P			SLU 16	20.71	SI
-942	Palo24	-	-650	1299	47.12	6	-36843	33870	511933	P			SLU 16	13.62	SI
-942	Palo25	-	-70	1299	47.12	6	-21907	19567	501675	P			SLU 16	22.91	SI
-942	Palo26	-	261.25	1299	47.12	6	-21974	20458	508203	P			SLU 16	22.84	SI
-942	Palo27	-	275	1114	47.12	6	-21114	10227	261090	P			SLU 16	23.77	SI
-942	Palo28	-	455	1114	47.12	6	-17993	3776	126545	P			SLU 16	27.9	SI
-942	Palo29	-	-650	1074	47.12	6	-35099	23527	374945	P			SLU 16	14.3	SI
-942	Palo3	-	-650	2344	47.12	6	-47198	7636	85875	P			SLU 16	10.63	SI
-942	Palo30	-	-70	1074	47.12	6	-21798	18490	472188	P			SLU 16	23.03	SI
-942	Palo31	-	185	1024	47.12	6	-22864	9145	213352	P			SLU 16	21.95	SI
-942	Palo32	-	365	1024	47.12	6	-18604	10278	296388	P			SLU 16	26.98	SI
-942	Palo33	-	275	934	47.12	6	-20543	10330	269456	P			SLU 16	24.43	SI
-942	Palo34	-	455	934	47.12	6	-16547	5620	178058	P			SLU 16	30.33	SI
-942	Palo35	-	-495	889	47.12	6	-26251	37395	786148	P			SLU 16	19.12	SI
-942	Palo36	-	-225	889	47.12	6	-23744	27258	650717	P			SLU 16	21.14	SI
-942	Palo37	-	185	844	47.12	6	-22555	12949	311697	P			SLU 16	22.25	SI
-942	Palo38	-	365	844	47.12	6	-17947	10431	315105	P			SLU 16	27.97	SI
-942	Palo39	-	-650	740.66	47.12	6	-36571	19634	297828	P			SLU 16	13.73	SI
-942	Palo4	-	-70	2344	47.12	6	-31835	19578	347667	P			SLU 16	15.77	SI
-942	Palo40	-	-70	765	47.12	6	-30666	351	13388	P			SLU 16	16.37	SI
-942	Palo41	-	275	754	47.12	6	-20004	10651	287055	P			SLU 16	25.09	SI
-942	Palo42	-	456	753.31	47.12	6	-15891	6114	201132	P			SLU 16	31.59	SI
-942	Palo43	-	185	664	47.12	6	-21618	10797	269901	P			SLU 16	23.22	SI
-942	Palo44	-	365	664	47.12	6	-17588	6852	205508	P			SLU 16	28.54	SI
-942	Palo45	-	-650	592.33	47.12	6	-36309	26542	409030	P			SLU 16	13.82	SI
-942	Palo46	-	-70	555	47.12	6	-29023	9224	178491	P			SLU 16	17.29	SI
-942	Palo47	-	275	574	47.12	6	-18821	10468	302495	P			SLU 16	26.67	SI
-942	Palo48	-	455	574	47.12	6	-15669	4693	159590	P			SLU 16	32.03	SI
-942	Palo49	-	-495	464	47.12	6	-32559	34238	579797	P			SLU 16	15.42	SI
-942	Palo5	-	-495	2184	47.12	6	-27042	56362	1150193	P			SLU 16	18.56	SI
-942	Palo50	-	-225	464	47.12	6	-26889	12019	258425	P			SLU 16	18.67	SI
-942	Palo51	-	185	484	47.12	6	-19917	12369	337658	P			SLU 16	25.2	SI
-942	Palo52	-	365	484	47.12	6	-16621	5600	190390	P			SLU 16	30.2	SI
-942	Palo53	-	275	394	47.12	6	-16935	10646	344599	P			SLU 16	29.64	SI
-942	Palo54	-	455	394	47.12	6	-15531	11452	425912	P			SLU 16	32.32	SI
-942	Palo55	-	935	1044	47.12	6	-40255	67166	934762	P			SLU 16	12.47	SI
-942	Palo56	-	935	854	47.12	6	-22379	32717	818900	P			SLU 16	22.43	SI
-942	Palo57	-	935	654	47.12	6	-25093	47156	1047154	P			SLU 16	20	SI
-942	Palo58	-	935	464	47.12	6	-48418	81748	943371	P			SLU 16	10.37	SI
-942	Palo59	-	1330	1044	47.12	6	-40238	62774	871869	P			SLU 16	12.47	SI
-942	Palo6	-	-225	2184	47.12	6	-18748	33237	1008761	P			SLU 16	26.77	SI
-942	Palo60	-	1330	854	47.12	6	-22343	33416	838272	P			SLU 16	22.46	SI
-942	Palo61	-	1330	654	47.12	6	-24944	46079	1028157	P			SLU 16	20.12	SI
-942	Palo62	-	1330	464	47.12	6	-48093	74474	862170	P			SLU 16	10.44	SI
-942	Palo63	-	1865	1034	47.12	6	-21731	10740	268040	P			SLU 16	23.1	SI
-942	Palo64	-	2035	1034	47.12	6	-19366	4858	152099	P			SLU 16	25.92	SI
-942	Palo65	-	2205	1034	47.12	6	-21361	19907	530769	P			SLU 16	23.5	SI
-942	Palo66	-	1775	944	47.12	6	-24069	9637	217694	P			SLU 16	20.85	SI
-942	Palo67	-	1955	944	47.12	6	-20489	2788	67660	P			SLU 16	24.5	SI
-942	Palo68	-	2115	944	47.12	6	-20342	10918	308411	P			SLU 16	24.67	SI
-942	Palo69	-	2295	944	47.12	6	-23568	18824	455866	P			SLU 16	21.3	SI
-942	Palo7	-	-650	2014	47.12	6	-47940	8171	91359	P			SLU 16	10.47	SI
-942	Palo70	-	1865	854	47.12	6	-22140	3263	77484	P			SLU 16	22.67	SI
-942	Palo71	-	2205	854	47.12	6	-21856	12634	333290	P			SLU 16	22.97	SI
-942	Palo72	-	1775	764	47.12	6	-23275	5165	120443	P			SLU 16	21.57	SI
-942	Palo73	-	2295	764	47.12	6	-22869	14272	358979	P			SLU 16	21.95	SI
-942	Palo74	-	1865	674	47.12	6	-22425	1261	21343	P			SLU 16	22.38	SI
-942	Palo75	-	2205	674	47.12	6	-22206	11628	301431	P			SLU 16	22.6	SI
-942	Palo76	-	1775	564	47.12	6	-26598	23438	484059	P			SLU 16	18.87	SI
-942	Palo77	-	1955	564	47.12	6	-22535	6772	161183	P			SLU 16	22.27	SI
-942	Palo78	-	2115	564	47.12	6	-22498	14224	359194	P			SLU 16	22.31	SI
-942	Palo79	-	2295	564	47.12	6	-26451	30790	653138	P			SLU 16	18.98	SI
-942	Palo8	-	11.25	1974	47.12	6	-20215	7188	178371	P					

RELAZIONE GEOTECNICA E SULLE FONDAZIONI

Quota	Filo	Ind.	Xp	Yp	As	Cop.	N	M	Mu	Dom.	SnmFcd	MultM	Comb.	C.S.	Verifica
-942	Palo86	-	2740	464	47.12	6	-47241	74149	875007	P			SLU 16	10.63	SI
-942	Palo87	-	3135	1044	47.12	6	-41061	65552	892978	P			SLU 16	12.22	SI
-942	Palo88	-	3135	854	47.12	6	-22800	35364	871100	P			SLU 16	22.01	SI
-942	Palo89	-	3135	654	47.12	6	-25382	45733	1000985	P			SLU 16	19.78	SI
-942	Palo9	-	171.25	1974	47.12	6	-15530	10891	374279	P			SLU 16	32.32	SI
-942	Palo90	-	3135	464	47.12	6	-48987	75877	861223	P			SLU 16	10.25	SI
-942	Palo91	-	3705	1114	47.12	6	-11024	13951	687382	P			SLU 16	45.53	SI
-942	Palo92	-	3885	1114	47.12	6	-5932	11816	1080952	P			SLU 14	84.61	SI
-942	Palo93	-	3615	1024	47.12	6	-14397	17474	664961	P			SLU 16	34.86	SI
-942	Palo94	-	3795	1024	47.12	6	-9083	12559	748112	P			SLU 16	55.26	SI
-942	Palo95	-	3705	934	47.12	6	-11948	8268	368845	P			SLU 16	42.01	SI
-942	Palo96	-	3985	934	47.12	6	-7234	12008	896811	P			SLU 16	69.39	SI
-942	Palo97	-	3615	844	47.12	6	-14561	10089	374745	P			SLU 16	34.47	SI
-942	Palo98	-	3795	844	47.12	6	-10282	10591	555397	P			SLU 16	48.82	SI
-942	Palo99	-	3705	754	47.12	6	-12747	6968	289690	P			SLU 16	39.38	SI
-942	Palo1	-	-495	2504	47.12	6	-34882	74443	1184023	SE			SLD 8	13.7	SI
-942	Palo10	-	-78.75	1884	47.12	6	-20266	51536	1405379	SE			SLD 7	22.62	SI
-942	Palo100	-	3885	754	47.12	6	-8497	31215	1870209	SE			SLD 13	49.16	SI
-942	Palo101	-	3615	664	47.12	6	-15884	25123	1015216	SE			SLD 6	31.01	SI
-942	Palo102	-	3795	664	47.12	6	-13211	28684	1280574	SE			SLD 10	35.52	SI
-942	Palo103	-	3705	574	47.12	6	-19568	25860	850870	SE			SLD 10	25.65	SI
-942	Palo104	-	3885	574	47.12	6	3748	28268	994391	SE			SLD 7	27.59	SI
-942	Palo105	-	3615	484	47.12	6	-25281	29435	746716	SE			SLD 6	19.85	SI
-942	Palo106	-	3795	484	47.12	6	6741	30166	713244	SE			SLD 7	18.73	SI
-942	Palo107	-	3705	394	47.12	6	8105	42716	773673	SE			SLD 11	14.97	SI
-942	Palo108	-	3885	394	47.12	6	11543	33949	520951	SE			SLD 7	12.3	SI
-942	Palo11	-	91.25	1884	47.12	6	-20005	14449	425110	SE			SLD 16	25.09	SI
-942	Palo12	-	261.25	1884	47.12	6	-30937	18294	352344	SE			SLD 16	16.22	SI
-942	Palo13	-	-495	1844	47.12	6	-28879	19523	473654	SE			SLD 1	17.38	SI
-942	Palo14	-	-225	1844	47.12	6	-24450	60771	1370105	SE			SLD 1	18.87	SI
-942	Palo15	-	11.25	1794	47.12	6	-17302	42106	1360938	SE			SLD 7	26.72	SI
-942	Palo16	-	-78.75	1704	47.12	6	-21648	40738	1094261	SE			SLD 7	22.43	SI
-942	Palo17	-	51.25	1704	47.12	6	-18283	44212	1329349	SE			SLD 11	25.44	SI
-942	Palo18	-	266.25	1704	47.12	6	-30893	15327	294252	SE			SLD 16	16.25	SI
-942	Palo19	-	-650	1664	47.12	6	-44206	44501	608808	SE			SLD 1	11.35	SI
-942	Palo2	-	-225	2504	47.12	6	-34014	32375	626425	SE			SLD 12	14.76	SI
-942	Palo20	-	11.25	1634	47.12	6	-19055	48582	1383386	SE			SLD 11	24.16	SI
-942	Palo21	-	-495	1484	47.12	6	-29141	7960	191277	SE			SLD 1	17.22	SI
-942	Palo22	-	-225	1484	47.12	6	-22513	42315	1090103	SE			SLD 1	21.59	SI
-942	Palo23	-	91.25	1484	47.12	6	-23573	19919	510728	SE			SLD 11	21.29	SI
-942	Palo24	-	-650	1299	47.12	6	-30963	83328	1421499	SE			SLD 1	14.76	SI
-942	Palo25	-	-70	1299	47.12	6	-17464	12872	482173	SE			SLD 7	28.74	SI
-942	Palo26	-	261.25	1299	47.12	6	-27948	45682	959305	SE			SLD 12	17.8	SI
-942	Palo27	-	275	1114	47.12	6	-25434	31808	765596	SE			SLD 12	19.73	SI
-942	Palo28	-	455	1114	47.12	6	-24038	31854	811775	SE			SLD 12	20.88	SI
-942	Palo29	-	-650	1074	47.12	6	-27306	70151	1379789	SE			SLD 8	16.87	SI
-942	Palo3	-	-650	2344	47.12	6	-42784	30951	433190	SE			SLD 3	11.73	SI
-942	Palo30	-	-70	1074	47.12	6	-16715	60077	1790243	SE			SLD 12	25.41	SI
-942	Palo31	-	185	1024	47.12	6	-23394	26869	713678	SE			SLD 12	21.46	SI
-942	Palo32	-	365	1024	47.12	6	-22598	27108	742179	SE			SLD 12	22.21	SI
-942	Palo33	-	275	934	47.12	6	-20140	21221	668737	SE			SLD 12	24.92	SI
-942	Palo34	-	455	934	47.12	6	-18251	20586	720854	SE			SLD 12	27.5	SI
-942	Palo35	-	-495	889	47.12	6	-20359	20515	584453	SE			SLD 8	24.65	SI
-942	Palo36	-	-225	889	47.12	6	-18896	51483	1444803	SE			SLD 4	24.08	SI
-942	Palo37	-	185	844	47.12	6	-18481	35331	1094032	SE			SLD 14	26.28	SI
-942	Palo38	-	365	844	47.12	6	-15804	27877	1014278	SE			SLD 16	31.17	SI
-942	Palo39	-	-650	740.66	47.12	6	-30429	31430	615300	SE			SLD 2	16.5	SI
-942	Palo4	-	-70	2344	47.12	6	-34871	13795	304559	SE			SLD 12	14.39	SI
-942	Palo40	-	-70	765	47.12	6	-24331	25239	647211	SE			SLD 6	20.63	SI
-942	Palo41	-	275	754	47.12	6	-17489	35842	1181978	SE			SLD 10	27.33	SI
-942	Palo42	-	456	753.31	47.12	6	-14004	34980	1368090	SE			SLD 13	32.97	SI
-942	Palo43	-	185	664	47.12	6	-21915	38427	1037683	SE			SLD 9	22.38	SI
-942	Palo44	-	365	664	47.12	6	-18859	35085	1094196	SE			SLD 9	25.75	SI
-942	Palo45	-	-650	592.33	47.12	6	-34255	35434	596538	SE			SLD 2	14.65	SI
-942	Palo46	-	-70	555	47.12	6	-27566	30555	687208	SE			SLD 5	18.21	SI
-942	Palo47	-	275	574	47.12	6	-23546	42077	1050308	SE			SLD 9	20.79	SI
-942	Palo48	-	455	574	47.12	6	-19788	38587	1136028	SE			SLD 9	24.36	SI
-942	Palo49	-	-495	464	47.12	6	-30220	4274	123618	SE			SLD 2	16.61	SI
-942	Palo5	-	-495	2184	47.12	6	-18464	84559	2121849	SE			SLD 12	21.43	SI
-942	Palo50	-	-225	464	47.12	6	-26551	40860	911010	SE			SLD 6	18.89	SI
-942	Palo51	-	185	484	47.12	6	-27011	48787	1050315	SE			SLD 9	18.12	SI
-942	Palo52	-	365	484	47.12	6	-24573	42376	1021395	SE			SLD 9	20.02	SI
-942	Palo53	-	275	394	47.12	6	-27999	50249	1046871	SE			SLD 9	17.49	SI
-942	Palo54	-	455	394	47.12	6	-24830	43506	1036125	SE			SLD 9	19.76	SI
-942	Palo55	-	935	1044	47.12	6	-33372	28622	455106	SE			SLD 8	15.04	SI
-942	Palo56	-	935	854	47.12	6	-16368	38473	1272965	SE			SLD 2	28.71	SI
-942	Palo57	-	935	654	47.12	6	-17709	42163	1281126	SE			SLD 3	26.5	SI
-942	Palo58	-	935	464	47.12	6	-36836	28393	392399	SE			SLD 5	13.63	SI
-942	Palo59	-	1330	1044	47.12	6	-33630	25755	400786	SE			SLD 8	14.93	SI
-942	Palo6	-	-225	2184	47.12	6	-11624	79501	2749433	SE			SLD 1	29.12	SI
-942	Palo60	-	1330	854	47.12	6	-16990	2923	179405	SE			SLD 8	29.54	SI
-942	Palo61	-	1330	654	47.12	6	-15183	57249	1844927	SE			SLD 7	27.66	SI
-942	Palo62	-	1330	464	47.12	6	-36641	31745	471401	SE			SLD 6	13.7	SI
-942	Palo63	-	1865	1034	47.12	6	-26397	18130	438855	SE			SLD 7	19.02	SI
-942	Palo64	-	2035	1034	47.12	6	-23328	19307	539438	SE			SLD 11	21.52	SI
-942	Palo65	-	2205	1034	47.12	6	-26375	20955	500888	SE			SLD 11	19.03	SI
-942	Palo66	-	1775	944	47.12	6	-24710	15868	418909	SE			SLD 7	20.31	SI
-942	Palo67	-	1955	944	47.12	6	-20624	22515	692462	SE			SLD 7	24.34	SI
-942	Palo68	-	2115	944	47.12	6	-20681	24491	745802	SE			SLD 11	24.27	SI
-942	Palo69	-	2295	944	47.12	6	-24591	19691	512063	SE			SLD 11	20.41	SI
-942	Palo7	-	-650	2014	47.12	6	-41823	38947	574985	SE			SLD 1	12	SI
-942	Palo70	-	1865	854	47.12	6	-19621	14913	491836	SE			SLD 3	25.58	SI
-942	Palo71	-	2205	854	47.12	6	-19878	12362	407549	SE			SLD 15	25.25	SI
-942	Palo72	-	1775	764	47.12	6	-21617	21594	619227	SE			SLD 2	23.22	SI
-942	Palo7														

RELAZIONE GEOTECNICA E SULLE FONDAZIONI

Quota	Filo	Ind.	Xp	Yp	As	Cop.	N	M	Mu	Dom.	SnmFcd	MultM	Comb.	C.S.	Verifica
-942	Palo8	-	11.25	1974	47.12	6	-16814	39913	1318421	SE			SLD 12	27.71	SI
-942	Palo80	-	1865	474	47.12	6	-27159	19127	454842	SE			SLD 6	18.48	SI
-942	Palo81	-	2035	474	47.12	6	-24335	22157	586660	SE			SLD 6	20.63	SI
-942	Palo82	-	2205	474	47.12	6	-26745	20883	505395	SE			SLD 10	18.77	SI
-942	Palo83	-	2740	1044	47.12	6	-34247	18260	255981	SE			SLD 11	14.66	SI
-942	Palo84	-	2740	854	47.12	6	-17118	7741	353417	SE			SLD 11	29.32	SI
-942	Palo85	-	2740	654	47.12	6	-14930	61160	1959971	SE			SLD 11	27.45	SI
-942	Palo86	-	2740	464	47.12	6	-36629	20024	256678	SE			SLD 10	13.7	SI
-942	Palo87	-	3135	1044	47.12	6	-35000	20291	283334	SE			SLD 11	14.34	SI
-942	Palo88	-	3135	854	47.12	6	-14314	58157	1957850	SE			SLD 10	28.65	SI
-942	Palo89	-	3135	654	47.12	6	-17608	43562	1317669	SE			SLD 15	26.47	SI
-942	Palo9	-	171.25	1974	47.12	6	-24593	17743	436484	SE			SLD 16	20.41	SI
-942	Palo90	-	3135	464	47.12	6	-38755	22867	282584	SE			SLD 10	12.95	SI
-942	Palo91	-	3705	1114	47.12	6	9276	38310	660346	SE			SLD 10	14.08	SI
-942	Palo92	-	3885	1114	47.12	6	12785	36335	507216	SE			SLD 6	11.19	SI
-942	Palo93	-	3615	1024	47.12	6	-23799	27234	731593	SE			SLD 7	21.09	SI
-942	Palo94	-	3795	1024	47.12	6	7648	31802	678893	SE			SLD 6	16.87	SI
-942	Palo95	-	3705	934	47.12	6	-18662	25182	871116	SE			SLD 7	26.9	SI
-942	Palo96	-	3885	934	47.12	6	4639	30269	914591	SE			SLD 6	23.68	SI
-942	Palo97	-	3615	844	47.12	6	-15080	23363	996572	SE			SLD 7	32.77	SI
-942	Palo98	-	3795	844	47.12	6	-12990	30724	1361655	SE			SLD 11	35.58	SI
-942	Palo99	-	3705	754	47.12	6	-9193	26974	1560100	SE			SLD 13	48.39	SI
-942	Palo1	-	-495	2504	47.12	6	-45199	123208	1457565	SE			SLV FO 8	10.04	SI
-942	Palo10	-	-78.75	1884	47.12	6	-25830	104580	1987273	SE			SLV FO 7	15.78	SI
-942	Palo100	-	3885	754	47.12	6	-11506	57957	2350528	SE			SLV FO 13	32.65	SI
-942	Palo101	-	3615	664	47.12	6	-21353	56505	1520269	SE			SLV FO 6	21	SI
-942	Palo102	-	3795	664	47.12	6	3496	48143	1399860	SE			SLV FO 7	22.3	SI
-942	Palo103	-	3705	574	47.12	6	10903	64782	853751	SE			SLV FO 11	10.53	SI
-942	Palo104	-	3885	574	47.12	6	14025	61873	708862	SE			SLV FO 7	9.03	SI
-942	Palo105	-	3615	484	47.12	6	16670	84939	757680	SE			SLV FO 11	7.36	SI
-942	Palo106	-	3795	484	47.12	6	21908	65859	533121	SE			SLV FO 7	6.43	SI
-942	Palo107	-	3705	394	47.12	6	26508	83337	539962	SE			SLV FO 11	5.3	SI
-942	Palo108	-	3885	394	47.12	6	29397	75732	467587	SE			SLV FO 7	4.98	SI
-942	Palo11	-	91.25	1884	47.12	6	-23482	88916	1875996	SE			SLV FO 12	17.77	SI
-942	Palo12	-	261.25	1884	47.12	6	32324	17640	131870	SE			SLV FO 1	5.37	SI
-942	Palo13	-	-495	1844	47.12	6	-38923	79860	1216130	SE			SLV FO 1	12.2	SI
-942	Palo14	-	-225	1844	47.12	6	8896	102474	1222826	SE			SLV FO 16	9.92	SI
-942	Palo15	-	11.25	1794	47.12	6	-20354	89051	2097704	SE			SLV FO 7	19.55	SI
-942	Palo16	-	-78.75	1704	47.12	6	-28628	79638	1503151	SE			SLV FO 7	15.71	SI
-942	Palo17	-	51.25	1704	47.12	6	-22528	88119	1914360	SE			SLV FO 11	18.37	SI
-942	Palo18	-	266.25	1704	47.12	6	25702	19532	164790	SE			SLV FO 1	6.65	SI
-942	Palo19	-	-650	1664	47.12	6	-57738	97030	1000274	SE			SLV FO 1	8.55	SI
-942	Palo2	-	-225	2504	47.12	6	-47642	90665	1155827	SE			SLV FO 12	10.08	SI
-942	Palo20	-	11.25	1634	47.12	6	-23255	95454	1979607	SE			SLV FO 11	17.55	SI
-942	Palo21	-	-495	1484	47.12	6	-36212	29810	582140	SE			SLV FO 1	13.86	SI
-942	Palo22	-	-225	1484	47.12	6	-28809	82454	1532645	SE			SLV FO 1	15.52	SI
-942	Palo23	-	91.25	1484	47.12	6	-31206	40269	774692	SE			SLV FO 11	16.08	SI
-942	Palo24	-	-650	1299	47.12	6	-38837	154129	1912584	SE			SLV FO 1	10.66	SI
-942	Palo25	-	-70	1299	47.12	6	-17801	88288	2274727	SE			SLV FO 12	21.48	SI
-942	Palo26	-	261.25	1299	47.12	6	10690	88209	1008828	SE			SLV FO 5	9.57	SI
-942	Palo27	-	275	1114	47.12	6	7047	72284	1150401	SE			SLV FO 5	13.15	SI
-942	Palo28	-	455	1114	47.12	6	10242	72222	930536	SE			SLV FO 5	10.6	SI
-942	Palo29	-	-650	1074	47.12	6	-32610	132856	1957421	SE			SLV FO 8	12.58	SI
-942	Palo3	-	-650	2344	47.12	6	-55660	60890	664735	SE			SLV FO 3	9.02	SI
-942	Palo30	-	-70	1074	47.12	6	-19119	111305	2494198	SE			SLV FO 12	18.98	SI
-942	Palo31	-	185	1024	47.12	6	-31341	55680	1072706	SE			SLV FO 12	15.55	SI
-942	Palo32	-	365	1024	47.12	6	-32554	55425	1034430	SE			SLV FO 12	15.08	SI
-942	Palo33	-	275	934	47.12	6	-26237	42867	1023464	SE			SLV FO 12	18.74	SI
-942	Palo34	-	455	934	47.12	6	-25102	43463	1073596	SE			SLV FO 12	19.42	SI
-942	Palo35	-	-495	889	47.12	6	-24199	20908	588140	SE			SLV FO 8	20.74	SI
-942	Palo36	-	-225	889	47.12	6	-22533	89822	1930997	SE			SLV FO 4	18.3	SI
-942	Palo37	-	185	844	47.12	6	-21738	66822	1613142	SE			SLV FO 14	20.25	SI
-942	Palo38	-	365	844	47.12	6	-19397	53404	1473955	SE			SLV FO 16	23.32	SI
-942	Palo39	-	-650	740.66	47.12	6	-38415	56150	886161	SE			SLV FO 2	13.07	SI
-942	Palo4	-	-70	2344	47.12	6	-48853	42179	603028	SE			SLV FO 12	10.27	SI
-942	Palo40	-	-70	765	47.12	6	-28219	54276	1145050	SE			SLV FO 6	17.05	SI
-942	Palo41	-	275	754	47.12	6	-21342	69026	1702925	SE			SLV FO 10	20.26	SI
-942	Palo42	-	456	753.31	47.12	6	-17222	70267	1988181	SE			SLV FO 13	23.66	SI
-942	Palo43	-	185	664	47.12	6	-29280	73277	1400027	SE			SLV FO 9	15.67	SI
-942	Palo44	-	365	664	47.12	6	-25877	69017	1473547	SE			SLV FO 9	17.48	SI
-942	Palo45	-	-650	592.33	47.12	6	-46331	53921	681434	SE			SLV FO 2	10.83	SI
-942	Palo46	-	-70	555	47.12	6	-35742	58032	999309	SE			SLV FO 5	13.82	SI
-942	Palo47	-	275	574	47.12	6	8368	65873	1003037	SE			SLV FO 8	12.28	SI
-942	Palo48	-	455	574	47.12	6	7517	69471	1095163	SE			SLV FO 8	12.8	SI
-942	Palo49	-	-495	464	47.12	6	-39860	33864	535542	SE			SLV FO 2	12.59	SI
-942	Palo5	-	-495	2184	47.12	6	-18764	137928	2864514	SE			SLV FO 12	17.4	SI
-942	Palo50	-	-225	464	47.12	6	-35266	76289	1218088	SE			SLV FO 6	13.46	SI
-942	Palo51	-	185	484	47.12	6	13211	76008	825354	SE			SLV FO 8	8.87	SI
-942	Palo52	-	365	484	47.12	6	15326	78649	764483	SE			SLV FO 8	7.97	SI
-942	Palo53	-	275	394	47.12	6	21641	82420	621189	SE			SLV FO 8	6.18	SI
-942	Palo54	-	455	394	47.12	6	18625	91373	735880	SE			SLV FO 8	6.68	SI
-942	Palo55	-	935	1044	47.12	6	-39665	21131	318823	SE			SLV FO 8	12.65	SI
-942	Palo56	-	935	854	47.12	6	-17823	55817	1614869	SE			SLV FO 2	24.69	SI
-942	Palo57	-	935	654	47.12	6	-19434	56548	1526578	SE			SLV FO 3	23.04	SI
-942	Palo58	-	935	464	47.12	6	-43349	4356	31243	SE			SLV FO 5	11.58	SI
-942	Palo59	-	1330	1044	47.12	6	-40083	30110	448521	SE			SLV FO 8	12.52	SI
-942	Palo6	-	-225	2184	47.12	6	-9881	144090	3594503	SE			SLV FO 1	20.81	SI
-942	Palo60	-	1330	854	47.12	6	-18795	31482	1070694	SE			SLV FO 7	25.95	SI
-942	Palo61	-	1330	654	47.12	6	-14062	87504	2602203	SE			SLV FO 7	25.1	SI
-942	Palo62	-	1330	464	47.12	6	-42846	47899	673728	SE			SLV FO 6	11.72	SI
-942	Palo63	-	1865	1034	47.12	6	-38164	36960	631264	SE			SLV FO 7	13.15	SI
-942	Palo64	-	2035	1034	47.12	6	-33445	42959	830682	SE			SLV FO 11	15.01	SI
-942	Palo65	-	2205	1034	47.12	6	-38394	39642	671112	SE			SLV FO 11	13.07	SI
-942	Palo66	-	1775	944	47.12	6	-								

RELAZIONE GEOTECNICA E SULLE FONDAZIONI

Quota	Filo	Ind.	Xp	Yp	As	Cop.	N	M	Mu	Dom.	SnmFcd	MultM	Comb.	C.S.	Verifica
-942	Palo73	-	2295	764	47.12	6	-28017	45577	987423	SE			SLV FO 14	17.67	SI
-942	Palo74	-	1865	674	47.12	6	-24764	61757	1410764	SE			SLV FO 6	18.49	SI
-942	Palo75	-	2205	674	47.12	6	-24412	70178	1569118	SE			SLV FO 10	18.19	SI
-942	Palo76	-	1775	564	47.12	6	-33567	51079	951966	SE			SLV FO 6	14.84	SI
-942	Palo77	-	1955	564	47.12	6	-28859	62444	1257049	SE			SLV FO 6	16.33	SI
-942	Palo78	-	2115	564	47.12	6	-28649	69571	1376069	SE			SLV FO 10	16.09	SI
-942	Palo79	-	2295	564	47.12	6	-32335	60456	1127592	SE			SLV FO 10	14.93	SI
-942	Palo8	-	11.25	1974	47.12	6	-19665	82375	2020124	SE			SLV FO 12	20.57	SI
-942	Palo80	-	1865	474	47.12	6	-37040	49778	851953	SE			SLV FO 6	13.55	SI
-942	Palo81	-	2035	474	47.12	6	-32653	60394	1114942	SE			SLV FO 10	14.82	SI
-942	Palo82	-	2205	474	47.12	6	-36098	56036	970430	SE			SLV FO 10	13.75	SI
-942	Palo83	-	2740	1044	47.12	6	-41413	27206	424162	SE			SLV FO 11	12.12	SI
-942	Palo84	-	2740	854	47.12	6	-19213	41072	1288325	SE			SLV FO 11	24.39	SI
-942	Palo85	-	2740	654	47.12	6	-19520	38053	1208502	SE			SLV FO 10	24.36	SI
-942	Palo86	-	2740	464	47.12	6	-43093	15228	263616	SE			SLV FO 10	11.65	SI
-942	Palo87	-	3135	1044	47.12	6	-42439	14483	256186	SE			SLV FO 11	11.83	SI
-942	Palo88	-	3135	854	47.12	6	-19682	41955	1281584	SE			SLV FO 11	23.84	SI
-942	Palo89	-	3135	654	47.12	6	-21141	36414	1100628	SE			SLV FO 10	22.94	SI
-942	Palo9	-	171.25	1974	47.12	6	17277	16384	227059	SE			SLV FO 1	9.6	SI
-942	Palo90	-	3135	464	47.12	6	-46599	9662	162511	SE			SLV FO 10	10.77	SI
-942	Palo91	-	3705	1114	47.12	6	28521	65140	427448	SE			SLV FO 6	5.24	SI
-942	Palo92	-	3885	1114	47.12	6	30941	79568	465961	SE			SLV FO 6	4.73	SI
-942	Palo93	-	3615	1024	47.12	6	17080	73797	682807	SE			SLV FO 10	7.54	SI
-942	Palo94	-	3795	1024	47.12	6	22830	68791	533295	SE			SLV FO 6	6.17	SI
-942	Palo95	-	3705	934	47.12	6	11872	56480	746390	SE			SLV FO 10	10.41	SI
-942	Palo96	-	3885	934	47.12	6	15302	65785	694576	SE			SLV FO 6	8.35	SI
-942	Palo97	-	3615	844	47.12	6	-20127	51410	1487794	SE			SLV FO 7	22.42	SI
-942	Palo98	-	3795	844	47.12	6	4019	53222	1369408	SE			SLV FO 6	19.84	SI
-942	Palo99	-	3705	754	47.12	6	-9440	52959	2474023	SE			SLV FO 13	38.63	SI
-1319	Palo1	-	-495	2504	47.12	6	-23865	11728	352430	P			SLU 16	21.03	SI
-1319	Palo10	-	-78.75	1884	47.12	6	-14328	311	21068	P			SLU 16	35.03	SI
-1319	Palo100	-	3885	754	47.12	6	-5682	3771	462100	P			SLU 16	88.35	SI
-1319	Palo101	-	3615	664	47.12	6	-10257	3529	237542	P			SLU 16	48.94	SI
-1319	Palo102	-	3795	664	47.12	6	-7473	3578	332075	P			SLU 16	67.17	SI
-1319	Palo103	-	3705	574	47.12	6	-9072	3072	232948	P			SLU 16	55.33	SI
-1319	Palo104	-	3885	574	47.12	6	-5876	4045	482549	P			SLU 16	85.43	SI
-1319	Palo105	-	3615	484	47.12	6	-11229	5543	348433	P			SLU 16	44.7	SI
-1319	Palo106	-	3795	484	47.12	6	-7568	4298	399071	P			SLU 16	66.33	SI
-1319	Palo107	-	3705	394	47.12	6	-9334	4611	347542	P			SLU 16	53.78	SI
-1319	Palo108	-	3885	394	47.12	6	-5490	4345	559292	P			SLU 16	91.43	SI
-1319	Palo11	-	91.25	1884	47.12	6	-12336	2979	160347	P			SLU 16	40.69	SI
-1319	Palo12	-	261.25	1884	47.12	6	-9771	3853	271104	P			SLU 16	51.37	SI
-1319	Palo13	-	-495	1844	47.12	6	-19752	13699	495863	P			SLU 16	25.41	SI
-1319	Palo14	-	-225	1844	47.12	6	-13386	1083	76194	P			SLU 16	37.5	SI
-1319	Palo15	-	11.25	1794	47.12	6	-13548	1931	88404	P			SLU 16	37.05	SI
-1319	Palo16	-	-78.75	1704	47.12	6	-14676	2714	123752	P			SLU 16	34.2	SI
-1319	Palo17	-	51.25	1704	47.12	6	-13530	1691	77794	P			SLU 16	37.1	SI
-1319	Palo18	-	266.25	1704	47.12	6	-11817	3600	212824	P			SLU 16	42.47	SI
-1319	Palo19	-	-650	1664	47.12	6	-31663	2364	48047	P			SLU 16	15.85	SI
-1319	Palo2	-	-225	2504	47.12	6	-19983	5315	203533	P			SLU 16	25.12	SI
-1319	Palo20	-	11.25	1634	47.12	6	-14392	2894	135390	P			SLU 16	34.88	SI
-1319	Palo21	-	-495	1484	47.12	6	-22450	11138	354648	P			SLU 16	22.36	SI
-1319	Palo22	-	-225	1484	47.12	6	-16767	1367	70899	P			SLU 16	29.94	SI
-1319	Palo23	-	91.25	1484	47.12	6	-15711	2004	80847	P			SLU 16	31.95	SI
-1319	Palo24	-	-650	1299	47.12	6	-23584	8013	246369	P			SLU 16	21.28	SI
-1319	Palo25	-	-70	1299	47.12	6	-14257	4358	222692	P			SLU 16	35.21	SI
-1319	Palo26	-	261.25	1299	47.12	6	-14299	5852	288694	P			SLU 16	35.1	SI
-1319	Palo27	-	275	1114	47.12	6	-13762	3325	167220	P			SLU 16	36.47	SI
-1319	Palo28	-	455	1114	47.12	6	-11813	847	45336	P			SLU 16	42.49	SI
-1319	Palo29	-	-650	1074	47.12	6	-22495	5344	173182	P			SLU 16	22.31	SI
-1319	Palo3	-	-650	2344	47.12	6	-30051	2976	66781	P			SLU 16	16.7	SI
-1319	Palo30	-	-70	1074	47.12	6	-14189	4504	228367	P			SLU 16	35.37	SI
-1319	Palo31	-	185	1024	47.12	6	-14855	3174	146930	P			SLU 16	33.79	SI
-1319	Palo32	-	365	1024	47.12	6	-12194	3415	193575	P			SLU 16	41.16	SI
-1319	Palo33	-	275	934	47.12	6	-13405	3451	177878	P			SLU 16	37.44	SI
-1319	Palo34	-	455	934	47.12	6	-10910	2295	141583	P			SLU 16	46.01	SI
-1319	Palo35	-	-495	889	47.12	6	-16970	9598	405557	P			SLU 16	29.58	SI
-1319	Palo36	-	-225	889	47.12	6	-15404	5073	249961	P			SLU 16	32.58	SI
-1319	Palo37	-	185	844	47.12	6	-14662	3931	187371	P			SLU 16	34.23	SI
-1319	Palo38	-	365	844	47.12	6	-11784	3271	192778	P			SLU 16	42.6	SI
-1319	Palo39	-	-650	740.66	47.12	6	-23414	4900	150254	P			SLU 16	21.44	SI
-1319	Palo4	-	-70	2344	47.12	6	-20457	4069	146340	P			SLU 16	24.54	SI
-1319	Palo40	-	-70	765	47.12	6	-19727	1086	32991	P			SLU 16	25.44	SI
-1319	Palo41	-	275	754	47.12	6	-13068	3436	182267	P			SLU 16	38.41	SI
-1319	Palo42	-	456	753.31	47.12	6	-10500	2468	158755	P			SLU 16	47.8	SI
-1319	Palo43	-	185	664	47.12	6	-14077	3434	169326	P			SLU 16	35.66	SI
-1319	Palo44	-	365	664	47.12	6	-11560	2617	153746	P			SLU 16	43.42	SI
-1319	Palo45	-	-650	592.33	47.12	6	-23251	5960	187420	P			SLU 16	21.59	SI
-1319	Palo46	-	-70	555	47.12	6	-18701	2274	86167	P			SLU 16	26.84	SI
-1319	Palo47	-	275	574	47.12	6	-12330	3224	181820	P			SLU 16	40.71	SI
-1319	Palo48	-	455	574	47.12	6	-10362	1933	124354	P			SLU 16	48.44	SI
-1319	Palo49	-	-495	464	47.12	6	-20909	8870	303733	P			SLU 16	24.01	SI
-1319	Palo5	-	-495	2184	47.12	6	-17464	14470	594112	P			SLU 16	28.74	SI
-1319	Palo50	-	-225	464	47.12	6	-17369	1596	75386	P			SLU 16	28.9	SI
-1319	Palo51	-	185	484	47.12	6	-13014	3742	200818	P			SLU 16	38.57	SI
-1319	Palo52	-	365	484	47.12	6	-10956	1610	99846	P			SLU 16	45.81	SI
-1319	Palo53	-	275	394	47.12	6	-11152	3115	195170	P			SLU 16	45.01	SI
-1319	Palo54	-	455	394	47.12	6	-10276	1617	126094	P			SLU 16	48.85	SI
-1319	Palo55	-	935	1044	47.12	6	-25715	14614	418734	P			SLU 16	19.52	SI
-1319	Palo56	-	935	854	47.12	6	-14552	7204	363515	P			SLU 16	34.49	SI
-1319	Palo57	-	935	654	47.12	6	-16247	10969	491528	P			SLU 16	30.89	SI
-1319	Palo58	-	935	464	47.12	6	-30812	18365	436699	P			SLU 16	16.29	SI
-1319	Palo59	-	1330	1044	47.12	6	-25704	14080	401393	P			SLU 16	19.53	SI
-1319	Palo6	-	-225	2184	47.12	6	-12284	5839	365129	P			SLU 16	40.86	SI
-1319	Palo60	-	133												

RELAZIONE GEOTECNICA E SULLE FONDAZIONI

Quota	Filo	Ind.	Xp	Yp	As	Cop.	N	M	Mu	Dom.	SnmFcd	MultM	Comb.	C.S.	Verifica
-1319	Palo67	-	1955	944	47.12	6	-13372	1658	80495	P			SLU 16	37.54	SI
-1319	Palo68	-	2115	944	47.12	6	-13280	1812	104336	P			SLU 16	37.8	SI
-1319	Palo69	-	2295	944	47.12	6	-15294	3170	160537	P			SLU 16	32.82	SI
-1319	Palo7	-	-650	2014	47.12	6	-30514	3159	69523	P			SLU 16	16.45	SI
-1319	Palo70	-	1865	854	47.12	6	-14403	1635	74028	P			SLU 16	34.85	SI
-1319	Palo71	-	2205	854	47.12	6	-14225	1814	102109	P			SLU 16	35.28	SI
-1319	Palo72	-	1775	764	47.12	6	-15111	1915	85066	P			SLU 16	33.22	SI
-1319	Palo73	-	2295	764	47.12	6	-14858	2113	113337	P			SLU 16	33.78	SI
-1319	Palo74	-	1865	674	47.12	6	-14581	1434	61979	P			SLU 16	34.42	SI
-1319	Palo75	-	2205	674	47.12	6	-14444	1831	98371	P			SLU 16	34.75	SI
-1319	Palo76	-	1775	564	47.12	6	-17186	6332	261996	P			SLU 16	29.21	SI
-1319	Palo77	-	1955	564	47.12	6	-14649	2446	113470	P			SLU 16	34.26	SI
-1319	Palo78	-	2115	564	47.12	6	-14626	2759	140502	P			SLU 16	34.32	SI
-1319	Palo79	-	2295	564	47.12	6	-17095	6666	287040	P			SLU 16	29.36	SI
-1319	Palo8	-	11.25	1974	47.12	6	-13201	3550	178505	P			SLU 16	38.02	SI
-1319	Palo80	-	1865	474	47.12	6	-17435	6813	278038	P			SLU 16	28.79	SI
-1319	Palo81	-	2035	474	47.12	6	-15541	4205	194398	P			SLU 16	32.3	SI
-1319	Palo82	-	2205	474	47.12	6	-17468	7290	307950	P			SLU 16	28.73	SI
-1319	Palo83	-	2740	1044	47.12	6	-25638	14155	407744	P			SLU 16	19.58	SI
-1319	Palo84	-	2740	854	47.12	6	-14463	7397	378247	P			SLU 16	34.71	SI
-1319	Palo85	-	2740	654	47.12	6	-15911	10505	478075	P			SLU 16	31.55	SI
-1319	Palo86	-	2740	464	47.12	6	-30077	17117	414995	P			SLU 16	16.69	SI
-1319	Palo87	-	3135	1044	47.12	6	-26218	14551	407436	P			SLU 16	19.14	SI
-1319	Palo88	-	3135	854	47.12	6	-14815	7519	375130	P			SLU 16	33.88	SI
-1319	Palo89	-	3135	654	47.12	6	-16427	10995	484685	P			SLU 16	30.56	SI
-1319	Palo9	-	171.25	1974	47.12	6	-10275	4022	265732	P			SLU 16	48.85	SI
-1319	Palo90	-	3135	464	47.12	6	-31168	18014	419561	P			SLU 16	16.1	SI
-1319	Palo91	-	3705	1114	47.12	6	-7461	4199	393912	P			SLU 16	67.28	SI
-1319	Palo92	-	3885	1114	47.12	6	-4281	3545	580525	P			SLU 14	117.24	SI
-1319	Palo93	-	3615	1024	47.12	6	-9568	4883	360809	P			SLU 16	52.46	SI
-1319	Palo94	-	3795	1024	47.12	6	-6249	3912	436180	P			SLU 16	80.33	SI
-1319	Palo95	-	3705	934	47.12	6	-8038	2933	249892	P			SLU 16	62.45	SI
-1319	Palo96	-	3885	934	47.12	6	-5094	3794	517774	P			SLU 16	98.53	SI
-1319	Palo97	-	3615	844	47.12	6	-9670	3236	231681	P			SLU 16	51.91	SI
-1319	Palo98	-	3795	844	47.12	6	-6998	3434	339768	P			SLU 16	71.73	SI
-1319	Palo99	-	3705	754	47.12	6	-8537	2631	209185	P			SLU 16	58.8	SI
-1319	Palo1	-	-495	2504	47.12	6	-22226	13159	422261	SE			SLD 8	22.58	SI
-1319	Palo10	-	-78.75	1884	47.12	6	-13724	4482	160104	SE			SLD 3	36.57	SI
-1319	Palo100	-	3885	754	47.12	6	-5750	2333	374553	SE			SLD 13	87.29	SI
-1319	Palo101	-	3615	664	47.12	6	-10363	5766	274202	SE			SLD 6	48.44	SI
-1319	Palo102	-	3795	664	47.12	6	-8694	6298	391435	SE			SLD 10	57.74	SI
-1319	Palo103	-	3705	574	47.12	6	-12663	5282	203854	SE			SLD 10	39.64	SI
-1319	Palo104	-	3885	574	47.12	6	-10243	5447	300191	SE			SLD 10	49	SI
-1319	Palo105	-	3615	484	47.12	6	-16231	4866	133576	SE			SLD 6	30.92	SI
-1319	Palo106	-	3795	484	47.12	6	-14244	4938	200045	SE			SLD 10	35.24	SI
-1319	Palo107	-	3705	394	47.12	6	-17671	3938	108105	SE			SLD 10	28.4	SI
-1319	Palo108	-	3885	394	47.12	6	6765	3479	75364	SE			SLD 7	26.35	SI
-1319	Palo11	-	91.25	1884	47.12	6	-12936	7825	364923	SE			SLD 16	38.8	SI
-1319	Palo12	-	261.25	1884	47.12	6	-19763	7059	213812	SE			SLD 16	25.4	SI
-1319	Palo13	-	-495	1844	47.12	6	-18478	9600	301664	SE			SLD 1	27.16	SI
-1319	Palo14	-	-225	1844	47.12	6	-15712	4781	222910	SE			SLD 1	31.95	SI
-1319	Palo15	-	11.25	1794	47.12	6	-11248	2569	204774	SE			SLD 7	44.62	SI
-1319	Palo16	-	-78.75	1704	47.12	6	-14382	6897	278503	SE			SLD 3	34.9	SI
-1319	Palo17	-	51.25	1704	47.12	6	-11861	4256	308972	SE			SLD 11	42.32	SI
-1319	Palo18	-	266.25	1704	47.12	6	-19735	7472	233036	SE			SLD 16	25.43	SI
-1319	Palo19	-	-650	1664	47.12	6	-28049	8966	201956	SE			SLD 1	17.9	SI
-1319	Palo2	-	-225	2504	47.12	6	-21685	11587	318185	SE			SLD 12	23.15	SI
-1319	Palo20	-	11.25	1634	47.12	6	-12494	3994	271423	SE			SLD 7	40.17	SI
-1319	Palo21	-	-495	1484	47.12	6	-18641	10542	305507	SE			SLD 1	26.93	SI
-1319	Palo22	-	-225	1484	47.12	6	-14503	4858	241932	SE			SLD 1	34.61	SI
-1319	Palo23	-	91.25	1484	47.12	6	-15165	6849	285746	SE			SLD 11	33.1	SI
-1319	Palo24	-	-650	1299	47.12	6	-19779	12577	488719	SE			SLD 1	25.38	SI
-1319	Palo25	-	-70	1299	47.12	6	-11349	2836	130124	SE			SLD 7	44.23	SI
-1319	Palo26	-	261.25	1299	47.12	6	-17897	5598	225517	SE			SLD 12	28.05	SI
-1319	Palo27	-	275	1114	47.12	6	-16327	1629	46239	SE			SLD 12	30.74	SI
-1319	Palo28	-	455	1114	47.12	6	-15455	2005	79475	SE			SLD 12	32.48	SI
-1319	Palo29	-	-650	1074	47.12	6	-17736	6026	212712	SE			SLD 4	28.3	SI
-1319	Palo3	-	-650	2344	47.12	6	-27161	10197	236986	SE			SLD 3	18.48	SI
-1319	Palo30	-	-70	1074	47.12	6	-11240	5349	431537	SE			SLD 8	44.66	SI
-1319	Palo31	-	185	1024	47.12	6	-15053	2437	58718	SE			SLD 12	33.35	SI
-1319	Palo32	-	365	1024	47.12	6	-14555	2997	106108	SE			SLD 12	34.48	SI
-1319	Palo33	-	275	934	47.12	6	-13020	3963	152056	SE			SLD 12	38.55	SI
-1319	Palo34	-	455	934	47.12	6	-11841	3907	164691	SE			SLD 12	42.39	SI
-1319	Palo35	-	-495	889	47.12	6	-13157	9864	449928	SE			SLD 8	38.15	SI
-1319	Palo36	-	-225	889	47.12	6	-12434	7591	417439	SE			SLD 8	40.37	SI
-1319	Palo37	-	185	844	47.12	6	-11985	2220	234615	SE			SLD 14	41.88	SI
-1319	Palo38	-	365	844	47.12	6	-10313	3712	274746	SE			SLD 16	48.67	SI
-1319	Palo39	-	-650	740.66	47.12	6	-19446	5306	168190	SE			SLD 2	25.81	SI
-1319	Palo4	-	-70	2344	47.12	6	-22220	14208	412755	SE			SLD 12	22.59	SI
-1319	Palo40	-	-70	765	47.12	6	-15638	1988	58165	SE			SLD 6	32.1	SI
-1319	Palo41	-	275	754	47.12	6	-11398	4249	230334	SE			SLD 9	44.04	SI
-1319	Palo42	-	456	753.31	47.12	6	-9189	2611	256539	SE			SLD 13	54.62	SI
-1319	Palo43	-	185	664	47.12	6	-14129	4061	195652	SE			SLD 9	35.53	SI
-1319	Palo44	-	365	664	47.12	6	-12221	4857	252523	SE			SLD 9	41.07	SI
-1319	Palo45	-	-650	592.33	47.12	6	-21835	10605	335617	SE			SLD 2	22.99	SI
-1319	Palo46	-	-70	555	47.12	6	-17658	2138	43648	SE			SLD 5	28.43	SI
-1319	Palo47	-	275	574	47.12	6	-15147	3817	184910	SE			SLD 9	33.14	SI
-1319	Palo48	-	455	574	47.12	6	-12801	3880	202415	SE			SLD 9	39.21	SI
-1319	Palo49	-	-495	464	47.12	6	-19315	10917	389159	SE			SLD 2	25.99	SI
-1319	Palo5	-	-495	2184	47.12	6	-14532	11651	523458	SE			SLD 3	34.54	SI
-1319	Palo50	-	-225	464	47.12	6	-17024	6766	276958	SE			SLD 6	29.48	SI
-1319	Palo51	-	185	484	47.12	6	-17312	4965	223147	SE			SLD 9	28.99	SI
-1319	Palo52	-	365	484	47.12	6	-15789	3329	156797	SE			SLD 9	31.79	SI
-1319	Palo53	-	275	394	47.12	6	-17928	3856	183121	SE			SLD 9	28	SI
-1319	Palo54	-	455	394	47.12	6									

RELAZIONE GEOTECNICA E SULLE FONDAZIONI

Quota	Filo	Ind.	Xp	Yp	As	Cop.	N	M	Mu	Dom.	SnmFcd	MultM	Comb.	C.S.	Verifica
-1319	Palo60	-	1330	854	47.12	6	-11054	6348	337482	SE			SLD 8	45.41	SI
-1319	Palo61	-	1330	654	47.12	6	-11640	7689	396588	SE			SLD 6	43.12	SI
-1319	Palo62	-	1330	464	47.12	6	-23325	12956	367892	SE			SLD 6	21.52	SI
-1319	Palo63	-	1865	1034	47.12	6	-16928	6043	209778	SE			SLD 7	29.65	SI
-1319	Palo64	-	2035	1034	47.12	6	-15012	4492	147077	SE			SLD 11	33.44	SI
-1319	Palo65	-	2205	1034	47.12	6	-16914	6063	209269	SE			SLD 11	29.68	SI
-1319	Palo66	-	1775	944	47.12	6	-15874	5855	212173	SE			SLD 7	31.62	SI
-1319	Palo67	-	1955	944	47.12	6	-13323	3820	139726	SE			SLD 7	37.68	SI
-1319	Palo68	-	2115	944	47.12	6	-13358	3716	134174	SE			SLD 11	37.58	SI
-1319	Palo69	-	2295	944	47.12	6	-15800	5868	210015	SE			SLD 11	31.77	SI
-1319	Palo7	-	-650	2014	47.12	6	-26561	10990	248479	SE			SLD 1	18.9	SI
-1319	Palo70	-	1865	854	47.12	6	-12696	3787	164975	SE			SLD 3	39.53	SI
-1319	Palo71	-	2205	854	47.12	6	-12857	3565	157484	SE			SLD 15	39.04	SI
-1319	Palo72	-	1775	764	47.12	6	-13943	3406	142498	SE			SLD 2	36	SI
-1319	Palo73	-	2295	764	47.12	6	-13794	3090	139001	SE			SLD 13	36.39	SI
-1319	Palo74	-	1865	674	47.12	6	-12809	2292	41552	SE			SLD 6	39.19	SI
-1319	Palo75	-	2205	674	47.12	6	-12662	2183	48420	SE			SLD 10	39.64	SI
-1319	Palo76	-	1775	564	47.12	6	-16278	5436	179174	SE			SLD 6	30.84	SI
-1319	Palo77	-	1955	564	47.12	6	-14049	2704	52120	SE			SLD 6	35.73	SI
-1319	Palo78	-	2115	564	47.12	6	-13981	2580	52224	SE			SLD 10	35.9	SI
-1319	Palo79	-	2295	564	47.12	6	-15892	5240	176122	SE			SLD 10	31.58	SI
-1319	Palo8	-	11.25	1974	47.12	6	-10944	2398	193238	SE			SLD 12	45.87	SI
-1319	Palo80	-	1865	474	47.12	6	-17404	5938	188151	SE			SLD 6	28.84	SI
-1319	Palo81	-	2035	474	47.12	6	-15640	4289	133803	SE			SLD 6	32.09	SI
-1319	Palo82	-	2205	474	47.12	6	-17145	6173	182895	SE			SLD 10	29.28	SI
-1319	Palo83	-	2740	1044	47.12	6	-21830	11938	354443	SE			SLD 11	22.99	SI
-1319	Palo84	-	2740	854	47.12	6	-11134	6215	313835	SE			SLD 11	45.08	SI
-1319	Palo85	-	2740	654	47.12	6	-11548	7586	383325	SE			SLD 10	43.47	SI
-1319	Palo86	-	2740	464	47.12	6	-23317	13044	364747	SE			SLD 10	21.53	SI
-1319	Palo87	-	3135	1044	47.12	6	-22300	12300	359285	SE			SLD 11	22.51	SI
-1319	Palo88	-	3135	854	47.12	6	-11369	6604	327000	SE			SLD 11	44.15	SI
-1319	Palo89	-	3135	654	47.12	6	-12166	8050	388810	SE			SLD 10	41.26	SI
-1319	Palo9	-	171.25	1974	47.12	6	-15801	6671	242600	SE			SLD 16	31.77	SI
-1319	Palo90	-	3135	464	47.12	6	-24645	13860	368038	SE			SLD 10	20.37	SI
-1319	Palo91	-	3705	1114	47.12	6	-16750	3499	113054	SE			SLD 11	29.97	SI
-1319	Palo92	-	3885	1114	47.12	6	7540	3532	60690	SE			SLD 6	23.8	SI
-1319	Palo93	-	3615	1024	47.12	6	-15306	4458	133177	SE			SLD 7	32.79	SI
-1319	Palo94	-	3795	1024	47.12	6	-13703	4544	204263	SE			SLD 11	36.63	SI
-1319	Palo95	-	3705	934	47.12	6	-12098	4995	197460	SE			SLD 7	41.49	SI
-1319	Palo96	-	3885	934	47.12	6	-10146	5027	295569	SE			SLD 11	49.47	SI
-1319	Palo97	-	3615	844	47.12	6	-9861	5307	268186	SE			SLD 7	50.9	SI
-1319	Palo98	-	3795	844	47.12	6	-8556	5735	371023	SE			SLD 11	58.67	SI
-1319	Palo99	-	3705	754	47.12	6	-6241	1127	208753	SE			SLD 16	80.42	SI
-1319	Palo1	-	-495	2504	47.12	6	-28669	20859	504839	SE			SLV FO 8	17.51	SI
-1319	Palo10	-	-78.75	1884	47.12	6	-18095	10023	286094	SE			SLV FO 3	27.74	SI
-1319	Palo100	-	3885	754	47.12	6	-7629	2864	357332	SE			SLV FO 13	65.79	SI
-1319	Palo101	-	3615	664	47.12	6	-13778	10775	377268	SE			SLV FO 6	36.43	SI
-1319	Palo102	-	3795	664	47.12	6	-12303	12008	501867	SE			SLV FO 10	40.8	SI
-1319	Palo103	-	3705	574	47.12	6	6801	10726	254318	SE			SLV FO 7	24.07	SI
-1319	Palo104	-	3885	574	47.12	6	8315	8982	159026	SE			SLV FO 7	20.62	SI
-1319	Palo105	-	3615	484	47.12	6	9966	10248	217254	SE			SLV FO 11	16.72	SI
-1319	Palo106	-	3795	484	47.12	6	13237	7676	79496	SE			SLV FO 7	13.44	SI
-1319	Palo107	-	3705	394	47.12	6	16849	8063	81198	SE			SLV FO 7	10.55	SI
-1319	Palo108	-	3885	394	47.12	6	17914	5656	31233	SE			SLV FO 7	10.15	SI
-1319	Palo11	-	91.25	1884	47.12	6	-17767	18379	620132	SE			SLV FO 16	28.25	SI
-1319	Palo12	-	261.25	1884	47.12	6	19741	19862	199033	SE			SLV FO 1	8.52	SI
-1319	Palo13	-	-495	1844	47.12	6	-24750	14128	309212	SE			SLV FO 1	20.28	SI
-1319	Palo14	-	-225	1844	47.12	6	-23353	9850	296306	SE			SLV FO 1	21.49	SI
-1319	Palo15	-	11.25	1794	47.12	6	-13154	4961	366560	SE			SLV FO 7	38.16	SI
-1319	Palo16	-	-78.75	1704	47.12	6	-19448	13729	408240	SE			SLV FO 3	25.81	SI
-1319	Palo17	-	51.25	1704	47.12	6	-14512	9117	518405	SE			SLV FO 11	34.59	SI
-1319	Palo18	-	266.25	1704	47.12	6	15607	19605	248061	SE			SLV FO 1	10.52	SI
-1319	Palo19	-	-650	1664	47.12	6	-36499	17640	307140	SE			SLV FO 1	13.75	SI
-1319	Palo2	-	-225	2504	47.12	6	-30195	21289	401322	SE			SLV FO 12	16.62	SI
-1319	Palo20	-	11.25	1634	47.12	6	-15277	6678	391112	SE			SLV FO 7	32.86	SI
-1319	Palo21	-	-495	1484	47.12	6	-23057	16346	352160	SE			SLV FO 1	21.77	SI
-1319	Palo22	-	-225	1484	47.12	6	-18434	9968	376737	SE			SLV FO 1	27.23	SI
-1319	Palo23	-	91.25	1484	47.12	6	-19931	14918	474797	SE			SLV FO 11	25.18	SI
-1319	Palo24	-	-650	1299	47.12	6	-24696	21523	672061	SE			SLV FO 1	20.32	SI
-1319	Palo25	-	-70	1299	47.12	6	-13328	3022	96872	SE			SLV FO 7	37.66	SI
-1319	Palo26	-	261.25	1299	47.12	6	-26300	7406	220682	SE			SLV FO 12	19.09	SI
-1319	Palo27	-	275	1114	47.12	6	-23359	2330	38784	SE			SLV FO 12	21.49	SI
-1319	Palo28	-	455	1114	47.12	6	-22869	3672	100831	SE			SLV FO 12	21.95	SI
-1319	Palo29	-	-650	1074	47.12	6	-21386	10532	292990	SE			SLV FO 4	23.47	SI
-1319	Palo3	-	-650	2344	47.12	6	-35202	19770	348933	SE			SLV FO 3	14.26	SI
-1319	Palo30	-	-70	1074	47.12	6	-13160	7919	589963	SE			SLV FO 8	38.14	SI
-1319	Palo31	-	185	1024	47.12	6	-20015	4973	84368	SE			SLV FO 12	25.08	SI
-1319	Palo32	-	365	1024	47.12	6	-20773	4942	91037	SE			SLV FO 12	24.16	SI
-1319	Palo33	-	275	934	47.12	6	-16828	7728	211843	SE			SLV FO 12	29.83	SI
-1319	Palo34	-	455	934	47.12	6	-16119	7295	209836	SE			SLV FO 12	31.14	SI
-1319	Palo35	-	-495	889	47.12	6	-15555	16495	601858	SE			SLV FO 8	32.27	SI
-1319	Palo36	-	-225	889	47.12	6	-14876	13937	603703	SE			SLV FO 8	33.74	SI
-1319	Palo37	-	185	844	47.12	6	-14018	1897	289360	SE			SLV FO 14	35.81	SI
-1319	Palo38	-	365	844	47.12	6	-12557	5697	348495	SE			SLV FO 16	39.97	SI
-1319	Palo39	-	-650	740.66	47.12	6	-24433	9982	239417	SE			SLV FO 2	20.54	SI
-1319	Palo4	-	-70	2344	47.12	6	-30951	28184	571432	SE			SLV FO 12	16.22	SI
-1319	Palo40	-	-70	765	47.12	6	-18066	3411	75841	SE			SLV FO 6	27.78	SI
-1319	Palo41	-	275	754	47.12	6	-13840	7851	317242	SE			SLV FO 9	36.27	SI
-1319	Palo42	-	456	753.31	47.12	6	-11198	3822	336913	SE			SLV FO 13	44.82	SI
-1319	Palo43	-	185	664	47.12	6	-18728	7328	240855	SE			SLV FO 9	26.8	SI
-1319	Palo44	-	365	664	47.12	6	-16603	9099	331609	SE			SLV FO 9	30.23	SI
-1319	Palo45	-	-650	592.33	47.12	6	-29376	18213	419596	SE			SLV FO 2	17.09	SI
-1319	Palo46	-	-70	555	47.12	6	-22764	5877	116883	SE			SLV FO 5	22.05	SI
-1319	Palo47	-	275	574	47.12	6	-22072	6993	2125						

RELAZIONE GEOTECNICA E SULLE FONDAZIONI

Quota	Filo	Ind.	Xp	Yp	As	Cop.	N	M	Mu	Dom.	SnmFcd	MultM	Comb.	C.S.	Verifica
-1319	Palo54	-	455	394	47.12	6	11187	7077	158105	SE			SLV FO 8	15.33	SI
-1319	Palo55	-	935	1044	47.12	6	-25213	14191	348690	SE			SLV FO 8	19.91	SI
-1319	Palo56	-	935	854	47.12	6	-12552	12994	628768	SE			SLV FO 4	39.99	SI
-1319	Palo57	-	935	654	47.12	6	-13518	12155	557131	SE			SLV FO 1	37.13	SI
-1319	Palo58	-	935	464	47.12	6	-27514	15561	349839	SE			SLV FO 5	18.24	SI
-1319	Palo59	-	1330	1044	47.12	6	-25474	14375	351325	SE			SLV FO 8	19.7	SI
-1319	Palo60	-	-225	2184	47.12	6	-11666	16872	856814	SE			SLV FO 12	43.03	SI
-1319	Palo60	-	1330	854	47.12	6	-12250	7614	301155	SE			SLV FO 8	40.97	SI
-1319	Palo61	-	1330	654	47.12	6	-12740	8790	343950	SE			SLV FO 6	39.4	SI
-1319	Palo62	-	1330	464	47.12	6	-27200	15345	352736	SE			SLV FO 6	18.45	SI
-1319	Palo63	-	1865	1034	47.12	6	-24276	10808	246368	SE			SLV FO 7	20.68	SI
-1319	Palo64	-	2035	1034	47.12	6	-21329	9117	206915	SE			SLV FO 11	23.53	SI
-1319	Palo65	-	2205	1034	47.12	6	-24419	10861	238341	SE			SLV FO 11	20.55	SI
-1319	Palo66	-	1775	944	47.12	6	-21295	7367	192928	SE			SLV FO 3	23.57	SI
-1319	Palo67	-	1955	944	47.12	6	-17494	7982	217358	SE			SLV FO 7	28.69	SI
-1319	Palo68	-	2115	944	47.12	6	-17643	7775	199975	SE			SLV FO 11	28.45	SI
-1319	Palo69	-	2295	944	47.12	6	-21612	7483	194646	SE			SLV FO 15	23.23	SI
-1319	Palo70	-	-650	2014	47.12	6	-34088	21606	381571	SE			SLV FO 1	14.72	SI
-1319	Palo70	-	1865	854	47.12	6	-15808	6916	232582	SE			SLV FO 3	31.75	SI
-1319	Palo71	-	2205	854	47.12	6	-16288	6330	199920	SE			SLV FO 15	30.82	SI
-1319	Palo72	-	1775	764	47.12	6	-18105	5868	179565	SE			SLV FO 2	27.72	SI
-1319	Palo73	-	2295	764	47.12	6	-17961	5022	158563	SE			SLV FO 13	27.95	SI
-1319	Palo74	-	1865	674	47.12	6	-15908	4192	52008	SE			SLV FO 6	31.55	SI
-1319	Palo75	-	2205	674	47.12	6	-15689	3598	22929	SE			SLV FO 10	31.99	SI
-1319	Palo76	-	1775	564	47.12	6	-21405	7084	143135	SE			SLV FO 6	23.45	SI
-1319	Palo77	-	1955	564	47.12	6	-18466	4118	30330	SE			SLV FO 6	27.18	SI
-1319	Palo78	-	2115	564	47.12	6	-18334	3617	18281	SE			SLV FO 10	27.38	SI
-1319	Palo79	-	2295	564	47.12	6	-20636	6409	121551	SE			SLV FO 10	24.32	SI
-1319	Palo80	-	11.25	1974	47.12	6	-12724	7204	400140	SE			SLV FO 12	39.45	SI
-1319	Palo80	-	1865	474	47.12	6	-23574	7812	151230	SE			SLV FO 6	21.29	SI
-1319	Palo81	-	2035	474	47.12	6	-21173	6122	112288	SE			SLV FO 6	23.71	SI
-1319	Palo82	-	2205	474	47.12	6	-22986	7864	126015	SE			SLV FO 10	21.84	SI
-1319	Palo83	-	2740	1044	47.12	6	-26305	14671	332744	SE			SLV FO 11	19.08	SI
-1319	Palo84	-	2740	854	47.12	6	-12441	7350	254851	SE			SLV FO 11	40.34	SI
-1319	Palo85	-	2740	654	47.12	6	-12634	9287	359422	SE			SLV FO 10	39.73	SI
-1319	Palo86	-	2740	464	47.12	6	-27354	15436	336204	SE			SLV FO 10	18.35	SI
-1319	Palo87	-	3135	1044	47.12	6	-26945	15057	331737	SE			SLV FO 11	18.63	SI
-1319	Palo88	-	3135	854	47.12	6	-12752	12035	561249	SE			SLV FO 15	39.36	SI
-1319	Palo89	-	3135	654	47.12	6	-13691	12801	572773	SE			SLV FO 14	36.66	SI
-1319	Palo90	-	171.25	1974	47.12	6	10345	20615	361150	SE			SLV FO 1	14.98	SI
-1319	Palo90	-	3135	464	47.12	6	-29543	16835	344938	SE			SLV FO 10	16.99	SI
-1319	Palo91	-	3705	1114	47.12	6	17367	8105	70736	SE			SLV FO 6	10.29	SI
-1319	Palo92	-	3885	1114	47.12	6	18878	5681	30124	SE			SLV FO 6	9.64	SI
-1319	Palo93	-	3615	1024	47.12	6	10222	10395	197964	SE			SLV FO 10	16.46	SI
-1319	Palo94	-	3795	1024	47.12	6	13813	7891	77077	SE			SLV FO 6	12.89	SI
-1319	Palo95	-	3705	934	47.12	6	6970	10910	254946	SE			SLV FO 10	23.47	SI
-1319	Palo96	-	3885	934	47.12	6	9112	9170	147505	SE			SLV FO 6	18.92	SI
-1319	Palo97	-	3615	844	47.12	6	-13013	10384	384988	SE			SLV FO 7	38.57	SI
-1319	Palo98	-	3795	844	47.12	6	-12230	11274	477550	SE			SLV FO 11	41.04	SI
-1319	Palo99	-	3705	754	47.12	6	-6459	1481	240870	SE			SLV FO 16	77.72	SI
-1790	Palo1	-	-495	2504	29.11	6	-4902	0	0	P			SLU 16	88.02	SI
-1790	Palo10	-	-78.75	1884	29.11	6	-3220	0	0	P			SLU 16	133.98	SI
-1790	Palo100	-	3885	754	29.11	6	-1696	0	0	P			SLU 16	254.45	SI
-1790	Palo101	-	3615	664	29.11	6	-2502	0	0	P			SLU 16	172.41	SI
-1790	Palo102	-	3795	664	29.11	6	-2012	0	0	P			SLU 16	214.49	SI
-1790	Palo103	-	3705	574	29.11	6	-2294	0	0	P			SLU 16	188.12	SI
-1790	Palo104	-	3885	574	29.11	6	-1730	0	0	P			SLU 16	249.42	SI
-1790	Palo105	-	3615	484	29.11	6	-2674	0	0	P			SLU 16	161.36	SI
-1790	Palo106	-	3795	484	29.11	6	-2028	0	0	P			SLU 16	212.72	SI
-1790	Palo107	-	3705	394	29.11	6	-2340	0	0	P			SLU 16	184.41	SI
-1790	Palo108	-	3885	394	29.11	6	-1662	0	0	P			SLU 16	259.62	SI
-1790	Palo11	-	91.25	1884	29.11	6	-2869	0	0	P			SLU 16	150.39	SI
-1790	Palo12	-	261.25	1884	29.11	6	-2417	0	0	P			SLU 16	178.52	SI
-1790	Palo13	-	-495	1844	29.11	6	-4177	0	0	P			SLU 16	103.3	SI
-1790	Palo14	-	-225	1844	29.11	6	-3054	0	0	P			SLU 16	141.27	SI
-1790	Palo15	-	11.25	1794	29.11	6	-3083	0	0	P			SLU 16	139.96	SI
-1790	Palo16	-	-78.75	1704	29.11	6	-3282	0	0	P			SLU 16	131.48	SI
-1790	Palo17	-	51.25	1704	29.11	6	-3080	0	0	P			SLU 16	140.11	SI
-1790	Palo18	-	266.25	1704	29.11	6	-2778	0	0	P			SLU 16	155.34	SI
-1790	Palo19	-	-650	1664	29.11	6	-6277	0	0	P			SLU 16	68.73	SI
-1790	Palo2	-	-225	2504	29.11	6	-4217	0	0	P			SLU 16	102.3	SI
-1790	Palo20	-	11.25	1634	29.11	6	-3232	0	0	P			SLU 16	133.51	SI
-1790	Palo21	-	-495	1484	29.11	6	-4653	0	0	P			SLU 16	92.74	SI
-1790	Palo22	-	-225	1484	29.11	6	-3650	0	0	P			SLU 16	118.19	SI
-1790	Palo23	-	91.25	1484	29.11	6	-3464	0	0	P			SLU 16	124.55	SI
-1790	Palo24	-	-650	1299	29.11	6	-4853	0	0	P			SLU 16	88.91	SI
-1790	Palo25	-	-70	1299	29.11	6	-3208	0	0	P			SLU 16	134.5	SI
-1790	Palo26	-	261.25	1299	29.11	6	-3215	0	0	P			SLU 16	134.19	SI
-1790	Palo27	-	275	1114	29.11	6	-3120	0	0	P			SLU 16	138.27	SI
-1790	Palo28	-	455	1114	29.11	6	-2777	0	0	P			SLU 16	155.38	SI
-1790	Palo29	-	-650	1074	29.11	6	-4661	0	0	P			SLU 16	92.58	SI
-1790	Palo30	-	-650	2344	29.11	6	-5993	0	0	P			SLU 16	72	SI
-1790	Palo31	-	-70	1074	29.11	6	-3196	0	0	P			SLU 16	135.01	SI
-1790	Palo32	-	185	1024	29.11	6	-3313	0	0	P			SLU 16	130.22	SI
-1790	Palo33	-	365	1024	29.11	6	-2844	0	0	P			SLU 16	151.7	SI
-1790	Palo34	-	275	934	29.11	6	-3058	0	0	P			SLU 16	141.11	SI
-1790	Palo35	-	455	934	29.11	6	-2618	0	0	P			SLU 16	164.83	SI
-1790	Palo36	-	-495	889	29.11	6	-3686	0	0	P			SLU 16	117.05	SI
-1790	Palo37	-	-225	889	29.11	6	-3410	0	0	P			SLU 16	126.52	SI
-1790	Palo38	-	185	844	29.11	6	-3279	0	0	P			SLU 16	131.58	SI
-1790	Palo39	-	365	844	29.11	6	-2772	0	0	P			SLU 16	155.67	SI
-1790	Palo40	-	-650	740.66	29.11	6	-4823	0	0	P			SLU 16	89.47	SI
-1790	Palo41	-	-70	2344	29.11	6	-4301	0	0	P			SLU 16	100.32	SI
-1790	Palo42	-	-70	765	29.11	6	-4172	0	0	P			SLU 16	103.41	SI
-1790	Palo43	-	275	754	29.11	6	-2998	0	0	P			SLU 16	143.91	SI
-1790	Palo44	-	456	753.31	29.11	6	-2545	0	0	P			SLU 16	169.51	SI
-1790	Palo45	-	185	664	29.11	6	-3176	0	0	P</					

RELAZIONE GEOTECNICA E SULLE FONDAZIONI

Quota	Filo	Ind.	Xp	Yp	As	Cop.	N	M	Mu	Dom.	SnmFcd	MultM	Comb.	C.S.	Verifica
-1790	Palo48	-	455	574	29.11	6	-2521	0	0	P			SLU 16	171.15	SI
-1790	Palo49	-	-495	464	29.11	6	-4381	0	0	P			SLU 16	98.49	SI
-1790	Palo50	-	-495	2184	29.11	6	-3773	0	0	P			SLU 16	114.35	SI
-1790	Palo51	-	-225	464	29.11	6	-3756	0	0	P			SLU 16	114.86	SI
-1790	Palo52	-	185	484	29.11	6	-2989	0	0	P			SLU 16	144.37	SI
-1790	Palo53	-	365	484	29.11	6	-2626	0	0	P			SLU 16	164.32	SI
-1790	Palo54	-	275	394	29.11	6	-2660	0	0	P			SLU 16	162.18	SI
-1790	Palo55	-	455	394	29.11	6	-2506	0	0	P			SLU 16	172.19	SI
-1790	Palo56	-	935	1044	29.11	6	-5228	0	0	P			SLU 16	82.53	SI
-1790	Palo57	-	935	854	29.11	6	-3260	0	0	P			SLU 16	132.36	SI
-1790	Palo58	-	935	654	29.11	6	-3559	0	0	P			SLU 16	121.24	SI
-1790	Palo59	-	935	464	29.11	6	-6127	0	0	P			SLU 16	70.42	SI
-1790	Palo60	-	1330	1044	29.11	6	-5226	0	0	P			SLU 16	82.55	SI
-1790	Palo61	-	-225	2184	29.11	6	-2860	0	0	P			SLU 16	150.86	SI
-1790	Palo62	-	1330	854	29.11	6	-3256	0	0	P			SLU 16	132.52	SI
-1790	Palo63	-	1330	654	29.11	6	-3542	0	0	P			SLU 16	121.8	SI
-1790	Palo64	-	1330	464	29.11	6	-6091	0	0	P			SLU 16	70.83	SI
-1790	Palo65	-	1865	1034	29.11	6	-3188	0	0	P			SLU 16	135.32	SI
-1790	Palo66	-	2035	1034	29.11	6	-2928	0	0	P			SLU 16	147.35	SI
-1790	Palo67	-	2205	1034	29.11	6	-3148	0	0	P			SLU 16	137.07	SI
-1790	Palo68	-	1775	944	29.11	6	-3446	0	0	P			SLU 16	125.21	SI
-1790	Palo69	-	1955	944	29.11	6	-3052	0	0	P			SLU 16	141.38	SI
-1790	Palo70	-	2115	944	29.11	6	-3036	0	0	P			SLU 16	142.14	SI
-1790	Palo71	-	2295	944	29.11	6	-3391	0	0	P			SLU 16	127.25	SI
-1790	Palo72	-	-650	2014	29.11	6	-6074	0	0	P			SLU 16	71.03	SI
-1790	Palo73	-	1865	854	29.11	6	-3234	0	0	P			SLU 16	133.43	SI
-1790	Palo74	-	2205	854	29.11	6	-3202	0	0	P			SLU 16	134.74	SI
-1790	Palo75	-	1775	764	29.11	6	-3358	0	0	P			SLU 16	128.47	SI
-1790	Palo76	-	2295	764	29.11	6	-3314	0	0	P			SLU 16	130.2	SI
-1790	Palo77	-	1865	674	29.11	6	-3265	0	0	P			SLU 16	132.15	SI
-1790	Palo78	-	2205	674	29.11	6	-3241	0	0	P			SLU 16	133.14	SI
-1790	Palo79	-	1775	564	29.11	6	-3724	0	0	P			SLU 16	115.85	SI
-1790	Palo80	-	1955	564	29.11	6	-3277	0	0	P			SLU 16	131.67	SI
-1790	Palo81	-	2115	564	29.11	6	-3273	0	0	P			SLU 16	131.83	SI
-1790	Palo82	-	2295	564	29.11	6	-3708	0	0	P			SLU 16	116.35	SI
-1790	Palo83	-	11.25	1974	29.11	6	-3022	0	0	P			SLU 16	142.8	SI
-1790	Palo84	-	1865	474	29.11	6	-3768	0	0	P			SLU 16	114.5	SI
-1790	Palo85	-	2035	474	29.11	6	-3434	0	0	P			SLU 16	125.63	SI
-1790	Palo86	-	2205	474	29.11	6	-3774	0	0	P			SLU 16	114.32	SI
-1790	Palo87	-	2740	1044	29.11	6	-5215	0	0	P			SLU 16	82.74	SI
-1790	Palo88	-	2740	854	29.11	6	-3244	0	0	P			SLU 16	133	SI
-1790	Palo89	-	2740	654	29.11	6	-3500	0	0	P			SLU 16	123.29	SI
-1790	Palo90	-	2740	464	29.11	6	-5997	0	0	P			SLU 16	71.94	SI
-1790	Palo91	-	3135	1044	29.11	6	-5317	0	0	P			SLU 16	81.15	SI
-1790	Palo92	-	3135	854	29.11	6	-3306	0	0	P			SLU 16	130.5	SI
-1790	Palo93	-	3135	654	29.11	6	-3590	0	0	P			SLU 16	120.17	SI
-1790	Palo94	-	171.25	1974	29.11	6	-2506	0	0	P			SLU 16	172.2	SI
-1790	Palo95	-	3135	464	29.11	6	-6190	0	0	P			SLU 16	69.7	SI
-1790	Palo96	-	3705	1114	29.11	6	-2009	0	0	P			SLU 16	214.72	SI
-1790	Palo97	-	3885	1114	29.11	6	-1449	0	0	P			SLU 14	297.82	SI
-1790	Palo98	-	3615	1024	29.11	6	-2381	0	0	P			SLU 16	181.22	SI
-1790	Palo99	-	3795	1024	29.11	6	-1796	0	0	P			SLU 16	240.28	SI
-1790	Palo100	-	3705	934	29.11	6	-2111	0	0	P			SLU 16	204.37	SI
-1790	Palo101	-	3885	934	29.11	6	-1592	0	0	P			SLU 16	271.01	SI
-1790	Palo102	-	3615	844	29.11	6	-2399	0	0	P			SLU 16	179.86	SI
-1790	Palo103	-	3795	844	29.11	6	-1928	0	0	P			SLU 16	223.82	SI
-1790	Palo104	-	3705	754	29.11	6	-2199	0	0	P			SLU 16	196.2	SI
-1790	Palo105	-	-495	2504	29.11	6	-4453	0	0	SE			SLD 8	96.89	SI
-1790	Palo106	-	-78.75	1884	29.11	6	-2954	0	0	SE			SLD 3	146.08	SI
-1790	Palo107	-	3885	754	29.11	6	-1548	0	0	SE			SLD 13	278.79	SI
-1790	Palo108	-	3615	664	29.11	6	-2361	0	0	SE			SLD 6	182.74	SI
-1790	Palo109	-	3795	664	29.11	6	-2067	0	0	SE			SLD 10	208.77	SI
-1790	Palo110	-	3705	574	29.11	6	-2767	0	0	SE			SLD 10	155.95	SI
-1790	Palo111	-	3885	574	29.11	6	-2340	0	0	SE			SLD 10	184.4	SI
-1790	Palo112	-	3615	484	29.11	6	-3396	0	0	SE			SLD 6	127.06	SI
-1790	Palo113	-	3795	484	29.11	6	-3045	0	0	SE			SLD 10	141.67	SI
-1790	Palo114	-	3705	394	29.11	6	-3650	0	0	SE			SLD 10	118.22	SI
-1790	Palo115	-	3885	394	29.11	6	-3075	0	0	SE			SLD 10	140.31	SI
-1790	Palo116	-	91.25	1884	29.11	6	-2815	0	0	SE			SLD 16	153.28	SI
-1790	Palo117	-	261.25	1884	29.11	6	-4019	0	0	SE			SLD 16	107.36	SI
-1790	Palo118	-	-495	1844	29.11	6	-3792	0	0	SE			SLD 1	113.78	SI
-1790	Palo119	-	-225	1844	29.11	6	-3304	0	0	SE			SLD 1	130.58	SI
-1790	Palo120	-	11.25	1794	29.11	6	-2517	0	0	SE			SLD 7	171.41	SI
-1790	Palo121	-	-78.75	1704	29.11	6	-3070	0	0	SE			SLD 3	140.56	SI
-1790	Palo122	-	51.25	1704	29.11	6	-2625	0	0	SE			SLD 11	164.35	SI
-1790	Palo123	-	266.25	1704	29.11	6	-4014	0	0	SE			SLD 16	107.5	SI
-1790	Palo124	-	-650	1664	29.11	6	-5480	0	0	SE			SLD 1	78.74	SI
-1790	Palo125	-	-225	2504	29.11	6	-4357	0	0	SE			SLD 12	99.02	SI
-1790	Palo126	-	11.25	1634	29.11	6	-2737	0	0	SE			SLD 7	157.65	SI
-1790	Palo127	-	-495	1484	29.11	6	-3821	0	0	SE			SLD 1	112.92	SI
-1790	Palo128	-	-225	1484	29.11	6	-3091	0	0	SE			SLD 1	139.59	SI
-1790	Palo129	-	91.25	1484	29.11	6	-3208	0	0	SE			SLD 11	134.51	SI
-1790	Palo130	-	-650	1299	29.11	6	-4022	0	0	SE			SLD 1	107.29	SI
-1790	Palo131	-	-70	1299	29.11	6	-2535	0	0	SE			SLD 7	170.2	SI
-1790	Palo132	-	261.25	1299	29.11	6	-3690	0	0	SE			SLD 12	116.94	SI
-1790	Palo133	-	275	1114	29.11	6	-3413	0	0	SE			SLD 12	126.43	SI
-1790	Palo134	-	455	1114	29.11	6	-3259	0	0	SE			SLD 12	132.4	SI
-1790	Palo135	-	-650	1074	29.11	6	-3661	0	0	SE			SLD 4	117.85	SI
-1790	Palo136	-	-650	2344	29.11	6	-5323	0	0	SE			SLD 3	81.05	SI
-1790	Palo137	-	-70	1074	29.11	6	-2516	0	0	SE			SLD 8	171.51	SI
-1790	Palo138	-	185	1024	29.11	6	-3188	0	0	SE			SLD 12	135.34	SI
-1790	Palo139	-	365	1024	29.11	6	-3100	0	0	SE			SLD 12	139.17	SI
-1790	Palo140	-	275	934	29.11	6	-2830	0	0	SE			SLD 12	152.48	SI
-1790	Palo141	-	455	934	29.11	6	-2622	0	0	SE			SLD 12	164.57	SI
-1790	Palo142	-	-495	889	29.11	6	-2854	0	0	SE			SLD 8	151.19	SI
-1790	Palo143	-	-225	889	29.11	6	-2726	0	0	SE			SLD 8	158.26	SI
-1790	Palo144	-	185	844	29.11	6	-2647	0	0	SE			SLD 14	163	SI
-1790	Palo145	-	365	844	29.11	6	-2352	0	0	SE			SLD 16	183.43	SI
-1790	Palo146	-	-650	740.66	29.11	6	-3963	0	0	SE			SLD 2	108.88	SI
-1790	Palo147	-	-70	2344	29.11	6	-4452	0	0	SE			SLD 12	96.92	SI
-1790	Palo148	-	-70	765</											

RELAZIONE GEOTECNICA E SULLE FONDAZIONI

Quota	Filo	Ind.	Xp	Yp	As	Cop.	N	M	Mu	Dom.	SnmFcd	MultM	Comb.	C.S.	Verifica
-1790	Palo41	-	275	754	29.11	6	-2544	0	0	SE			SLD 9	169.63	SI
-1790	Palo42	-	456	753.31	29.11	6	-2154	0	0	SE			SLD 13	200.31	SI
-1790	Palo43	-	185	664	29.11	6	-3025	0	0	SE			SLD 9	142.63	SI
-1790	Palo44	-	365	664	29.11	6	-2689	0	0	SE			SLD 9	160.48	SI
-1790	Palo45	-	-650	592.33	29.11	6	-4384	0	0	SE			SLD 2	98.42	SI
-1790	Palo46	-	-70	555	29.11	6	-3647	0	0	SE			SLD 5	118.29	SI
-1790	Palo47	-	275	574	29.11	6	-3205	0	0	SE			SLD 9	134.63	SI
-1790	Palo48	-	455	574	29.11	6	-2791	0	0	SE			SLD 9	154.59	SI
-1790	Palo49	-	-495	464	29.11	6	-3940	0	0	SE			SLD 2	109.52	SI
-1790	Palo5	-	-495	2184	29.11	6	-3096	0	0	SE			SLD 3	139.35	SI
-1790	Palo50	-	-225	464	29.11	6	-3536	0	0	SE			SLD 6	122.03	SI
-1790	Palo51	-	185	484	29.11	6	-3586	0	0	SE			SLD 9	120.31	SI
-1790	Palo52	-	365	484	29.11	6	-3318	0	0	SE			SLD 9	130.04	SI
-1790	Palo53	-	275	394	29.11	6	-3695	0	0	SE			SLD 9	116.77	SI
-1790	Palo54	-	455	394	29.11	6	-3346	0	0	SE			SLD 9	128.94	SI
-1790	Palo55	-	935	1044	29.11	6	-4287	0	0	SE			SLD 8	100.65	SI
-1790	Palo56	-	935	854	29.11	6	-2499	0	0	SE			SLD 4	172.69	SI
-1790	Palo57	-	935	654	29.11	6	-2643	0	0	SE			SLD 1	163.28	SI
-1790	Palo58	-	935	464	29.11	6	-4668	0	0	SE			SLD 5	92.42	SI
-1790	Palo59	-	1330	1044	29.11	6	-4315	0	0	SE			SLD 8	99.99	SI
-1790	Palo6	-	-225	2184	29.11	6	-2307	0	0	SE			SLD 12	187.04	SI
-1790	Palo60	-	1330	854	29.11	6	-2483	0	0	SE			SLD 8	173.78	SI
-1790	Palo61	-	1330	654	29.11	6	-2586	0	0	SE			SLD 6	166.83	SI
-1790	Palo62	-	1330	464	29.11	6	-4647	0	0	SE			SLD 6	92.85	SI
-1790	Palo63	-	1865	1034	29.11	6	-3519	0	0	SE			SLD 7	122.62	SI
-1790	Palo64	-	2035	1034	29.11	6	-3181	0	0	SE			SLD 11	135.65	SI
-1790	Palo65	-	2205	1034	29.11	6	-3516	0	0	SE			SLD 11	122.7	SI
-1790	Palo66	-	1775	944	29.11	6	-3333	0	0	SE			SLD 7	129.45	SI
-1790	Palo67	-	1955	944	29.11	6	-2883	0	0	SE			SLD 7	149.66	SI
-1790	Palo68	-	2115	944	29.11	6	-2889	0	0	SE			SLD 11	149.33	SI
-1790	Palo69	-	2295	944	29.11	6	-3320	0	0	SE			SLD 11	129.96	SI
-1790	Palo7	-	-650	2014	29.11	6	-5217	0	0	SE			SLD 1	82.7	SI
-1790	Palo70	-	1865	854	29.11	6	-2772	0	0	SE			SLD 3	155.62	SI
-1790	Palo71	-	2205	854	29.11	6	-2801	0	0	SE			SLD 15	154.05	SI
-1790	Palo72	-	1775	764	29.11	6	-2992	0	0	SE			SLD 2	144.19	SI
-1790	Palo73	-	2295	764	29.11	6	-2966	0	0	SE			SLD 13	145.47	SI
-1790	Palo74	-	1865	674	29.11	6	-2792	0	0	SE			SLD 6	154.51	SI
-1790	Palo75	-	2205	674	29.11	6	-2766	0	0	SE			SLD 10	155.96	SI
-1790	Palo76	-	1775	564	29.11	6	-3404	0	0	SE			SLD 6	126.75	SI
-1790	Palo77	-	1955	564	29.11	6	-3011	0	0	SE			SLD 6	143.3	SI
-1790	Palo78	-	2115	564	29.11	6	-2999	0	0	SE			SLD 10	143.86	SI
-1790	Palo79	-	2295	564	29.11	6	-3336	0	0	SE			SLD 10	129.33	SI
-1790	Palo8	-	11.25	1974	29.11	6	-2463	0	0	SE			SLD 12	175.15	SI
-1790	Palo80	-	1865	474	29.11	6	-3603	0	0	SE			SLD 6	119.76	SI
-1790	Palo81	-	2035	474	29.11	6	-3292	0	0	SE			SLD 6	131.08	SI
-1790	Palo82	-	2205	474	29.11	6	-3557	0	0	SE			SLD 10	121.3	SI
-1790	Palo83	-	2740	1044	29.11	6	-4383	0	0	SE			SLD 11	98.44	SI
-1790	Palo84	-	2740	854	29.11	6	-2497	0	0	SE			SLD 11	172.8	SI
-1790	Palo85	-	2740	654	29.11	6	-2570	0	0	SE			SLD 10	167.89	SI
-1790	Palo86	-	2740	464	29.11	6	-4645	0	0	SE			SLD 10	92.88	SI
-1790	Palo87	-	3135	1044	29.11	6	-4466	0	0	SE			SLD 11	96.61	SI
-1790	Palo88	-	3135	854	29.11	6	-2538	0	0	SE			SLD 11	169.98	SI
-1790	Palo89	-	3135	654	29.11	6	-2679	0	0	SE			SLD 10	161.05	SI
-1790	Palo9	-	171.25	1974	29.11	6	-3320	0	0	SE			SLD 16	129.96	SI
-1790	Palo90	-	3135	464	29.11	6	-4879	0	0	SE			SLD 10	88.42	SI
-1790	Palo91	-	3705	1114	29.11	6	-3487	0	0	SE			SLD 11	123.72	SI
-1790	Palo92	-	3885	1114	29.11	6	796	0	0	SE			SLD 6	143.13	SI
-1790	Palo93	-	3615	1024	29.11	6	-3233	0	0	SE			SLD 7	133.47	SI
-1790	Palo94	-	3795	1024	29.11	6	-2950	0	0	SE			SLD 11	146.26	SI
-1790	Palo95	-	3705	934	29.11	6	-2667	0	0	SE			SLD 7	161.78	SI
-1790	Palo96	-	3885	934	29.11	6	-2323	0	0	SE			SLD 11	185.75	SI
-1790	Palo97	-	3615	844	29.11	6	-2272	0	0	SE			SLD 7	189.86	SI
-1790	Palo98	-	3795	844	29.11	6	-2042	0	0	SE			SLD 11	211.26	SI
-1790	Palo99	-	3705	754	29.11	6	-1634	0	0	SE			SLD 16	264.02	SI
-1790	Palo1	-	-495	2504	29.11	6	-5589	0	0	SE			SLV FO 8	77.2	SI
-1790	Palo10	-	-78.75	1884	29.11	6	-3725	0	0	SE			SLV FO 3	115.84	SI
-1790	Palo100	-	3885	754	29.11	6	-1879	0	0	SE			SLV FO 13	229.63	SI
-1790	Palo101	-	3615	664	29.11	6	-2963	0	0	SE			SLV FO 6	145.6	SI
-1790	Palo102	-	3795	664	29.11	6	-2703	0	0	SE			SLV FO 10	159.61	SI
-1790	Palo103	-	3705	574	29.11	6	-3948	0	0	SE			SLV FO 10	109.29	SI
-1790	Palo104	-	3885	574	29.11	6	933	0	0	SE			SLV FO 7	122.16	SI
-1790	Palo105	-	3615	484	29.11	6	-4985	0	0	SE			SLV FO 6	86.55	SI
-1790	Palo106	-	3795	484	29.11	6	1801	0	0	SE			SLV FO 7	63.27	SI
-1790	Palo107	-	3705	394	29.11	6	2438	0	0	SE			SLV FO 7	46.74	SI
-1790	Palo108	-	3885	394	29.11	6	2625	0	0	SE			SLV FO 7	43.39	SI
-1790	Palo11	-	91.25	1884	29.11	6	-3667	0	0	SE			SLV FO 16	117.67	SI
-1790	Palo12	-	261.25	1884	29.11	6	2947	0	0	SE			SLV FO 1	38.65	SI
-1790	Palo13	-	-495	1844	29.11	6	-4898	0	0	SE			SLV FO 1	88.09	SI
-1790	Palo14	-	-225	1844	29.11	6	-4652	0	0	SE			SLV FO 1	92.75	SI
-1790	Palo15	-	11.25	1794	29.11	6	-2853	0	0	SE			SLV FO 7	151.22	SI
-1790	Palo16	-	-78.75	1704	29.11	6	-3963	0	0	SE			SLV FO 3	108.87	SI
-1790	Palo17	-	51.25	1704	29.11	6	-3093	0	0	SE			SLV FO 11	139.51	SI
-1790	Palo18	-	266.25	1704	29.11	6	2218	0	0	SE			SLV FO 1	51.35	SI
-1790	Palo19	-	-650	1664	29.11	6	-6970	0	0	SE			SLV FO 1	61.9	SI
-1790	Palo2	-	-225	2504	29.11	6	-5858	0	0	SE			SLV FO 12	73.65	SI
-1790	Palo20	-	11.25	1634	29.11	6	-3228	0	0	SE			SLV FO 7	133.68	SI
-1790	Palo21	-	-495	1484	29.11	6	-4599	0	0	SE			SLV FO 1	93.81	SI
-1790	Palo22	-	-225	1484	29.11	6	-3784	0	0	SE			SLV FO 1	114.01	SI
-1790	Palo23	-	91.25	1484	29.11	6	-4048	0	0	SE			SLV FO 11	106.58	SI
-1790	Palo24	-	-650	1299	29.11	6	-4889	0	0	SE			SLV FO 1	88.26	SI
-1790	Palo25	-	-70	1299	29.11	6	-2884	0	0	SE			SLV FO 7	149.61	SI
-1790	Palo26	-	261.25	1299	29.11	6	-5171	0	0	SE			SLV FO 12	83.43	SI
-1790	Palo27	-	275	1114	29.11	6	-4653	0	0	SE			SLV FO 12	92.73	SI
-1790	Palo28	-	455	1114	29.11	6	-4566	0	0	SE			SLV FO 12	94.49	SI
-1790	Palo29	-	-650	1074	29.11	6	-4305	0	0	SE			SLV FO 4	100.23	SI
-1790	Palo3	-	-650	2344	29.11	6	-6741	0	0	SE			SLV FO 3	64	SI
-1790	Palo30	-	-70	1074	29.11	6	-2854	0	0	SE			SLV FO 8	151.17	SI
-1790	Palo31	-	185	1024	29.11	6	-4063	0	0	SE			SLV FO 12	106.19	SI
-1790	Palo32	-	365	1024	29.11	6	-4197	0	0	SE			SLV FO 12	102.81	SI
-1790	Palo33	-	275	934	29.11	6	-3501	0	0	SE			SLV FO 12	123.24	SI
-1790	Palo34	-	455	93											

RELAZIONE GEOTECNICA E SULLE FONDAZIONI

Quota	Filo	Ind.	Xp	Yp	As	Cop.	N	M	Mu	Dom.	SnmFcd	MultM	Comb.	C.S.	Verifica
-1790	Palo35	-	-495	889	29.11	6	-3277	0	0	SE			SLV FO 8	131.68	SI
-1790	Palo36	-	-225	889	29.11	6	-3157	0	0	SE			SLV FO 8	136.67	SI
-1790	Palo37	-	185	844	29.11	6	-3006	0	0	SE			SLV FO 14	143.55	SI
-1790	Palo38	-	365	844	29.11	6	-2748	0	0	SE			SLV FO 16	157.02	SI
-1790	Palo39	-	-650	740.66	29.11	6	-4842	0	0	SE			SLV FO 2	89.11	SI
-1790	Palo4	-	-70	2344	29.11	6	-5991	0	0	SE			SLV FO 12	72.01	SI
-1790	Palo40	-	-70	765	29.11	6	-3719	0	0	SE			SLV FO 6	116	SI
-1790	Palo41	-	275	754	29.11	6	-2974	0	0	SE			SLV FO 9	145.07	SI
-1790	Palo42	-	456	753.31	29.11	6	-2508	0	0	SE			SLV FO 13	172.01	SI
-1790	Palo43	-	185	664	29.11	6	-3836	0	0	SE			SLV FO 9	112.47	SI
-1790	Palo44	-	365	664	29.11	6	-3461	0	0	SE			SLV FO 9	124.65	SI
-1790	Palo45	-	-650	592.33	29.11	6	-5714	0	0	SE			SLV FO 2	75.51	SI
-1790	Palo46	-	-70	555	29.11	6	-4548	0	0	SE			SLV FO 5	94.87	SI
-1790	Palo47	-	275	574	29.11	6	-4426	0	0	SE			SLV FO 9	97.49	SI
-1790	Palo48	-	455	574	29.11	6	-3834	0	0	SE			SLV FO 9	112.54	SI
-1790	Palo49	-	-495	464	29.11	6	-5001	0	0	SE			SLV FO 2	86.27	SI
-1790	Palo5	-	-495	2184	29.11	6	-3665	0	0	SE			SLV FO 3	117.73	SI
-1790	Palo50	-	-225	464	29.11	6	-4495	0	0	SE			SLV FO 6	95.98	SI
-1790	Palo51	-	185	484	29.11	6	-5125	0	0	SE			SLV FO 9	84.18	SI
-1790	Palo52	-	365	484	29.11	6	-4838	0	0	SE			SLV FO 9	89.17	SI
-1790	Palo53	-	275	394	29.11	6	1771	0	0	SE			SLV FO 8	64.32	SI
-1790	Palo54	-	455	394	29.11	6	1439	0	0	SE			SLV FO 8	79.16	SI
-1790	Palo55	-	935	1044	29.11	6	-4980	0	0	SE			SLV FO 8	86.64	SI
-1790	Palo56	-	935	854	29.11	6	-2747	0	0	SE			SLV FO 4	157.07	SI
-1790	Palo57	-	935	654	29.11	6	-2917	0	0	SE			SLV FO 1	147.9	SI
-1790	Palo58	-	935	464	29.11	6	-5385	0	0	SE			SLV FO 5	80.12	SI
-1790	Palo59	-	1330	1044	29.11	6	-5026	0	0	SE			SLV FO 8	85.85	SI
-1790	Palo6	-	-225	2184	29.11	6	-2591	0	0	SE			SLV FO 12	166.54	SI
-1790	Palo60	-	1330	854	29.11	6	-2694	0	0	SE			SLV FO 8	160.17	SI
-1790	Palo61	-	1330	654	29.11	6	-2780	0	0	SE			SLV FO 6	155.19	SI
-1790	Palo62	-	1330	464	29.11	6	-5330	0	0	SE			SLV FO 6	80.95	SI
-1790	Palo63	-	1865	1034	29.11	6	-4814	0	0	SE			SLV FO 7	89.62	SI
-1790	Palo64	-	2035	1034	29.11	6	-4295	0	0	SE			SLV FO 11	100.46	SI
-1790	Palo65	-	2205	1034	29.11	6	-4840	0	0	SE			SLV FO 11	89.15	SI
-1790	Palo66	-	1775	944	29.11	6	-4289	0	0	SE			SLV FO 3	100.6	SI
-1790	Palo67	-	1955	944	29.11	6	-3619	0	0	SE			SLV FO 7	119.24	SI
-1790	Palo68	-	2115	944	29.11	6	-3645	0	0	SE			SLV FO 11	118.38	SI
-1790	Palo69	-	2295	944	29.11	6	-4345	0	0	SE			SLV FO 15	99.31	SI
-1790	Palo7	-	-650	2014	29.11	6	-6545	0	0	SE			SLV FO 1	65.93	SI
-1790	Palo70	-	1865	854	29.11	6	-3321	0	0	SE			SLV FO 3	129.91	SI
-1790	Palo71	-	2205	854	29.11	6	-3406	0	0	SE			SLV FO 15	126.68	SI
-1790	Palo72	-	1775	764	29.11	6	-3726	0	0	SE			SLV FO 2	115.79	SI
-1790	Palo73	-	2295	764	29.11	6	-3701	0	0	SE			SLV FO 13	116.59	SI
-1790	Palo74	-	1865	674	29.11	6	-3339	0	0	SE			SLV FO 6	129.22	SI
-1790	Palo75	-	2205	674	29.11	6	-3300	0	0	SE			SLV FO 10	130.74	SI
-1790	Palo76	-	1775	564	29.11	6	-4308	0	0	SE			SLV FO 6	100.15	SI
-1790	Palo77	-	1955	564	29.11	6	-3790	0	0	SE			SLV FO 6	113.85	SI
-1790	Palo78	-	2115	564	29.11	6	-3767	0	0	SE			SLV FO 10	114.55	SI
-1790	Palo79	-	2295	564	29.11	6	-4173	0	0	SE			SLV FO 10	103.41	SI
-1790	Palo8	-	11.25	1974	29.11	6	-2777	0	0	SE			SLV FO 12	155.35	SI
-1790	Palo80	-	1865	474	29.11	6	-4691	0	0	SE			SLV FO 6	91.98	SI
-1790	Palo81	-	2035	474	29.11	6	-4267	0	0	SE			SLV FO 6	101.11	SI
-1790	Palo82	-	2205	474	29.11	6	-4587	0	0	SE			SLV FO 10	94.06	SI
-1790	Palo83	-	2740	1044	29.11	6	-5172	0	0	SE			SLV FO 11	83.42	SI
-1790	Palo84	-	2740	854	29.11	6	-2728	0	0	SE			SLV FO 11	158.19	SI
-1790	Palo85	-	2740	654	29.11	6	-2761	0	0	SE			SLV FO 10	156.25	SI
-1790	Palo86	-	2740	464	29.11	6	-5357	0	0	SE			SLV FO 10	80.54	SI
-1790	Palo87	-	3135	1044	29.11	6	-5285	0	0	SE			SLV FO 11	81.64	SI
-1790	Palo88	-	3135	854	29.11	6	-2782	0	0	SE			SLV FO 15	155.07	SI
-1790	Palo89	-	3135	654	29.11	6	-2948	0	0	SE			SLV FO 14	146.36	SI
-1790	Palo9	-	171.25	1974	29.11	6	-5020	0	0	SE			SLV FO 16	85.96	SI
-1790	Palo90	-	3135	464	29.11	6	-5743	0	0	SE			SLV FO 10	75.13	SI
-1790	Palo91	-	3705	1114	29.11	6	2529	0	0	SE			SLV FO 6	45.05	SI
-1790	Palo92	-	3885	1114	29.11	6	2795	0	0	SE			SLV FO 6	40.76	SI
-1790	Palo93	-	3615	1024	29.11	6	1269	0	0	SE			SLV FO 10	89.78	SI
-1790	Palo94	-	3795	1024	29.11	6	1902	0	0	SE			SLV FO 6	59.89	SI
-1790	Palo95	-	3705	934	29.11	6	-3824	0	0	SE			SLV FO 7	112.83	SI
-1790	Palo96	-	3885	934	29.11	6	1073	0	0	SE			SLV FO 6	106.16	SI
-1790	Palo97	-	3615	844	29.11	6	-2828	0	0	SE			SLV FO 7	152.55	SI
-1790	Palo98	-	3795	844	29.11	6	-2690	0	0	SE			SLV FO 11	160.37	SI
-1790	Palo99	-	3705	754	29.11	6	-1673	0	0	SE			SLV FO 16	257.97	SI

Verifiche delle tensioni nella famiglia Rara

Tensione limite del calcestruzzo: 149.4

Tensione limite dell'acciaio: 3600

Coefficiente di omogeneizzazione impiegato: Es / Ec = 6.55

Quota	Filo	Ind.	Xp	Yp	Mx	My	N	Comb.	Sc,max	Mx	My	N	Comb.	Sf,max	Verifica
0	Palo1	-	-495	2504	20413	677483	-63194	SLE RA 8	-48.5	20413	677483	-63194	SLE RA 8	15.7	Si
	Palo10	-	-78.75	1884	36406	-99951	-37245	SLE RA 8	-16.4	45142	-96866	-29128	SLE RA 1	-37.7	Si
0	Palo100	-	3885	754	12573	186138	-13965	SLE RA 8	-12.3	12573	186138	-13965	SLE RA 8	11.5	Si
0	Palo101	-	3615	664	-30725	160481	-26241	SLE RA 8	-15.2	-23060	113250	-20868	SLE RA 1	-18.5	Si
0	Palo102	-	3795	664	8158	172520	-18755	SLE RA 8	-13.2	8158	172520	-18755	SLE RA 8	-1.6	Si
0	Palo103	-	3705	574	22057	139659	-23018	SLE RA 8	-13.3	11985	98863	-18308	SLE RA 1	-16.6	Si
0	Palo104	-	3885	574	48788	202521	-14420	SLE RA 8	-13.3	48788	202521	-14420	SLE RA 8	15.3	Si
0	Palo105	-	3615	484	-25278	291817	-28775	SLE RA 8	-21.4	-25278	291817	-28775	SLE RA 8	3.7	Si
0	Palo106	-	3795	484	52814	217660	-18938	SLE RA 8	-15.4	52814	217660	-18938	SLE RA 8	9.3	Si
0	Palo107	-	3705	394	45772	236854	-23652	SLE RA 8	-17.6	45772	236854	-23652	SLE RA 8	3.1	Si
0	Palo108	-	3885	394	98520	213564	-13313	SLE RA 8	-14.1	98520	213564	-13313	SLE RA 8	23.5	Si
0	Palo11	-	91.25	1884	-100537	48284	-32067	SLE RA 8	-14.9	-71927	976	-26639	SLE RA 1	-40.2	Si
0	Palo12	-	261.25	1884	-169632	68378	-25370	SLE RA 8	-15.8	-169632	68378	-25370	SLE RA 8	-13.2	Si
0	Palo13	-	-495	1844	-2872	773973	-51475	SLE RA 8	-54.1	-2872	773973	-51475	SLE RA 8	123	Si
0	Palo14	-	-225	1844	2177	-171330	-34547	SLE RA 8	-18.2	2542	-136487	-26084	SLE RA 1	-24.9	Si
0	Palo15	-	11.25	1794	43307	15631	-35184	SLE RA 8	-13.2	46076	-20052	-27909	SLE RA 1	-47.6	Si
0	Palo16	-	-78.75	1704	-110892	14859	-38030	SLE RA 8	-16.9	-57351	-22392	-28663	SLE RA 1	-46.7	Si
0	Palo17	-	51.25	1704	-53355	-17532	-35130	SLE RA 8	-13.6	-22906	-54738	-27827	SLE RA 1	-45.4	Si
0	Palo18	-	266.25	1704	-191884	16290	-30840	SLE RA 8	-17.9	-191884	16290	-30840	SLE RA 8	-22.6	Si
0	Palo19	-	-650	1664	-537	60843	-83356	SLE RA 8	-29.2	-19913	42054	-58685	SLE RA 1	-113	Si
0	Palo20	-	-225	2504	21558	-424486	-53024	SLE RA 8	-34.7	18881	-356095	-44302	SLE RA 1	-15	Si
0	Palo20	-	11.25	1634	-116431	30174	-37338	SLE RA 8	-17	-66508	-22321	-28652	SLE RA 1	-44.8	Si
0	Palo21	-	-495	1484	12680	630986	-58686	SLE RA 8	-45.1	12680	630986	-58686	SLE RA 8	14.9	Si

RELAZIONE GEOTECNICA E SULLE FONDAZIONI

Quota	Filo	Ind.	Xp	Yp	Mx	My	N	Comb.	Sc,max	Mx	My	N	Comb.	Sf,max	Verifica
0	Palo22	-	-225	1484	1976	-168736	-43419	SLE RA 8	-21	1637	-113239	-30924	SLE RA 1	-40.1	SI
0	Palo23	-	91.25	1484	-1601	34328	-40876	SLE RA 8	-14.5	-1016	-36640	-31135	SLE RA 1	-57.3	SI
0	Palo24	-	-650	1299	491693	20990	-61728	SLE RA 8	-40.3	340472	14655	-43873	SLE RA 1	-17.5	SI
0	Palo25	-	-70	1299	278606	-2003	-36729	SLE RA 8	-23.4	235521	-2143	-31988	SLE RA 4	-15.6	SI
0	Palo26	-	261.25	1299	76574	303001	-37392	SLE RA 8	-25	52454	246101	-30750	SLE RA 1	-9.5	SI
0	Palo27	-	275	1114	65231	142733	-35949	SLE RA 8	-18.1	59988	128635	-32979	SLE RA 4	-38.2	SI
0	Palo28	-	455	1114	42708	-18435	-30706	SLE RA 8	-11.8	21933	-6416	-25959	SLE RA 1	-49.5	SI
0	Palo29	-	-650	1074	-333296	32581	-58613	SLE RA 8	-32.8	-200814	20883	-40379	SLE RA 1	-40.6	SI
0	Palo3	-	-650	2344	101017	78152	-79477	SLE RA 8	-30.8	129685	55682	-59017	SLE RA 1	-93	SI
0	Palo30	-	-70	1074	-273519	-5567	-36618	SLE RA 8	-23.2	-219874	-5497	-26953	SLE RA 1	-8.4	SI
0	Palo31	-	185	1024	23085	139537	-38852	SLE RA 8	-18.3	13972	88559	-31570	SLE RA 1	-46.6	SI
0	Palo32	-	365	1024	33414	156485	-31732	SLE RA 8	-16.8	30947	142851	-29173	SLE RA 4	-29.2	SI
0	Palo33	-	275	934	17397	158650	-34969	SLE RA 8	-17.9	13345	132518	-31390	SLE RA 3	-36.7	SI
0	Palo34	-	455	934	35347	85076	-28240	SLE RA 8	-12.9	25527	73952	-24151	SLE RA 2	-33.6	SI
0	Palo35	-	-495	889	320	546150	-43833	SLE RA 8	-36.8	320	546150	-43833	SLE RA 8	27.5	SI
0	Palo36	-	-225	889	-7817	-387490	-39846	SLE RA 8	-28.9	-6974	-295711	-28999	SLE RA 1	3.9	SI
0	Palo37	-	185	844	76592	179259	-38300	SLE RA 8	-20.4	69777	149741	-34767	SLE RA 4	-36.8	SI
0	Palo38	-	365	844	88328	134465	-30579	SLE RA 8	-16.5	71130	107280	-25792	SLE RA 2	-26	SI
0	Palo39	-	-650	740.66	274366	41020	-61044	SLE RA 8	-31.1	122182	26258	-41852	SLE RA 1	-60.5	SI
0	Palo4	-	-70	2344	282781	-49209	-54283	SLE RA 8	-29.4	261620	-39719	-45098	SLE RA 1	-36.7	SI
0	Palo40	-	-70	765	-12252	5960	-51715	SLE RA 8	-17.1	-60526	827	-39145	SLE RA 1	-68.9	SI
0	Palo41	-	275	754	56417	154564	-34027	SLE RA 8	-17.8	37832	119722	-28282	SLE RA 2	-31.9	SI
0	Palo42	-	456	753.31	23852	98502	-27065	SLE RA 8	-12.9	26017	88632	-22791	SLE RA 2	-27.6	SI
0	Palo43	-	185	664	68065	151634	-36732	SLE RA 8	-18.7	42471	120296	-30239	SLE RA 2	-35.5	SI
0	Palo44	-	365	664	30948	107855	-29912	SLE RA 8	-14.3	27250	99525	-24859	SLE RA 2	-29.6	SI
0	Palo45	-	-650	592.33	-392690	30660	-60869	SLE RA 8	-35.9	-349899	20227	-43523	SLE RA 1	-14.7	SI
0	Palo46	-	-70	555	126065	20220	-49162	SLE RA 8	-21.1	53081	12525	-38726	SLE RA 1	-69.3	SI
0	Palo47	-	275	574	97702	128618	-31987	SLE RA 8	-17	73700	114315	-26421	SLE RA 2	-25.7	SI
0	Palo48	-	455	574	51093	59298	-26588	SLE RA 8	-11.8	52275	64993	-21727	SLE RA 2	-27.3	SI
0	Palo49	-	-495	464	-30554	501900	-54894	SLE RA 8	-38.6	-30554	501900	-54894	SLE RA 8	-5.2	SI
0	Palo5	-	-495	2184	-1265	832605	-45487	SLE RA 8	-59.4	-1265	832605	-45487	SLE RA 8	216.2	SI
0	Palo50	-	-225	464	2982	-166024	-45575	SLE RA 8	-21.5	296	-136129	-36125	SLE RA 1	-46	SI
0	Palo51	-	185	484	93198	166275	-33841	SLE RA 8	-18.8	65645	146079	-27905	SLE RA 2	-23.5	SI
0	Palo52	-	365	484	79684	19729	-28209	SLE RA 8	-12.5	62531	40276	-23076	SLE RA 2	-32.1	SI
0	Palo53	-	275	394	121334	108006	-28756	SLE RA 8	-16	90929	104372	-23637	SLE RA 2	-19.3	SI
0	Palo54	-	455	394	93317	-122285	-26269	SLE RA 8	-14.8	93317	-122285	-26269	SLE RA 8	-21.5	SI
0	Palo55	-	935	1044	893560	-373265	-67774	SLE RA 8	-67.7	893560	-373265	-67774	SLE RA 8	132.4	SI
0	Palo56	-	935	854	475375	-12380	-37628	SLE RA 8	-31.9	445978	-10595	-33497	SLE RA 6	27.3	SI
0	Palo57	-	935	654	-677808	-15053	-41913	SLE RA 8	-47.6	-677808	-15053	-41913	SLE RA 8	131.2	SI
0	Palo58	-	935	464	-1077594	-461210	-80643	SLE RA 8	-81.8	-1077594	-461210	-80643	SLE RA 8	168.8	SI
0	Palo59	-	1330	1044	901454	131170	-67829	SLE RA 8	-63.8	901454	131170	-67829	SLE RA 8	101.8	SI
0	Palo6	-	-225	2184	9148	-471336	-31819	SLE RA 8	-29.9	9148	-471336	-31819	SLE RA 8	36.4	SI
0	Palo60	-	1330	854	485530	4314	-37617	SLE RA 8	-32.3	453417	3638	-33564	SLE RA 6	28.8	SI
0	Palo61	-	1330	654	-665101	4989	-41737	SLE RA 8	-46.6	-665101	4989	-41737	SLE RA 8	123.9	SI
0	Palo62	-	1330	464	-1065886	149566	-80255	SLE RA 8	-75.4	-1065886	149566	-80255	SLE RA 8	119.7	SI
0	Palo63	-	1865	1034	42553	160711	-37018	SLE RA 8	-18.8	56403	124873	-30715	SLE RA 1	-34.5	SI
0	Palo64	-	2035	1034	18986	-57920	-33025	SLE RA 8	-13.1	38921	-41433	-27710	SLE RA 1	-45.7	SI
0	Palo65	-	2205	1034	41338	-277533	-36404	SLE RA 8	-23.4	44661	-271360	-35766	SLE RA 7	-14.9	SI
0	Palo66	-	1775	944	61370	135674	-40892	SLE RA 8	-19.3	66345	103999	-33140	SLE RA 1	-42.6	SI
0	Palo67	-	1955	944	-40074	25083	-34847	SLE RA 8	-13.1	-11275	22223	-28584	SLE RA 1	-54.5	SI
0	Palo68	-	2115	944	-42529	-144208	-34603	SLE RA 8	-17.4	-13179	-107104	-28433	SLE RA 1	-36.1	SI
0	Palo69	-	2295	944	61501	-256799	-40061	SLE RA 8	-23.9	68272	-229441	-36545	SLE RA 6	-24.3	SI
0	Palo7	-	-650	2014	-90620	88242	-80335	SLE RA 8	-31	-50171	61461	-57001	SLE RA 1	-102.3	SI
0	Palo70	-	1865	854	24773	49725	-37568	SLE RA 8	-14.4	38598	40366	-30179	SLE RA 1	-51.1	SI
0	Palo71	-	2205	854	25629	-171855	-37097	SLE RA 8	-19.1	38982	-126502	-29885	SLE RA 1	-33.8	SI
0	Palo72	-	1775	764	50546	65057	-39397	SLE RA 8	-16.1	67003	46635	-30969	SLE RA 1	-47.1	SI
0	Palo73	-	2295	764	50109	-190503	-38723	SLE RA 8	-20.6	65959	-135010	-30540	SLE RA 1	-31.2	SI
0	Palo74	-	1865	674	-13853	22202	-37891	SLE RA 8	-13.2	17612	10849	-29360	SLE RA 1	-57.1	SI
0	Palo75	-	2205	674	-27233	-155587	-37528	SLE RA 8	-18.6	7796	-104225	-29136	SLE RA 1	-38.3	SI
0	Palo76	-	1775	564	-288544	189788	-44769	SLE RA 8	-28.8	-288544	189788	-44769	SLE RA 8	-18.4	SI
0	Palo77	-	1955	564	-97790	28922	-37991	SLE RA 8	-16.4	-45336	16473	-28864	SLE RA 1	-50	SI
0	Palo78	-	2115	564	-103426	-168462	-37931	SLE RA 8	-20.4	-49652	-114512	-28838	SLE RA 1	-33.2	SI
0	Palo79	-	2295	564	-297886	-322607	-44532	SLE RA 8	-32.6	-297886	-322607	-44532	SLE RA 8	2.6	SI
0	Palo8	-	11.25	1974	-10034	120055	-34356	SLE RA 8	-16	2434	70766	-28023	SLE RA 1	-43.3	SI
0	Palo80	-	1865	474	-293890	230990	-45388	SLE RA 8	-30.1	-293890	230990	-45388	SLE RA 8	-13.5	SI
0	Palo81	-	2035	474	-236351	-75779	-40326	SLE RA 8	-23.3	-149688	-53067	-30096	SLE RA 1	-28.4	SI
0	Palo82	-	2205	474	-302630	-380394	-45482	SLE RA 8	-34.9	-302630	-380394	-45482	SLE RA 8	10.9	SI
0	Palo83	-	2740	1044	910927	-267243	-67657	SLE RA 8	-66.3	910927	-267243	-67657	SLE RA 8	122.6	SI
0	Palo84	-	2740	854	504158	-8726	-37450	SLE RA 8	-33	496571	-8433	-36546	SLE RA 7	32	SI
0	Palo85	-	2740	654	-634356	-8917	-41132	SLE RA 8	-44.4	-634356	-8917	-41132	SLE RA 8	108.3	SI
0	Palo86	-	2740	464	-1035928	-270507	-78932	SLE RA 8	-74.9	-1035928	-270507	-78932	SLE RA 8	123.7	SI
0	Palo87	-	3135	1044	927937	192577	-69126	SLE RA 8	-66.3	927937	192577	-69126	SLE RA 8	113.6	SI
0	Palo88	-	3135	854	509988	6416	-38342	SLE RA 8	-33.6	502206	6201	-37395	SLE RA 7	31.4	SI
0	Palo89	-	3135	654	-662728	7370	-42438	SLE RA 8	-46.4	-662728	7370	-42438	SLE RA 8	117	SI
0	Palo9	-	171.25	1974	-127100	111678	-26632	SLE RA 8	-15.6	-127100	111678	-26632	SLE RA 8	-18.9	SI
0	Palo90	-	3135	464	-1076355	224086	-81694	SLE RA 8	-77	-1076355	224086	-81694	SLE RA 8	123.7	SI
0	Palo91	-	3705	1114	-18575	212810	-18921	SLE RA 8	-15	-18575	212810	-18921	SLE RA 8	7	SI
0	Palo92	-	3885	1114	-53744	190443	-9745	SLE RA 8	-11.4	-53744	190443	-9745	SLE RA 8	22.8	SI
0	Palo93	-	3615	1024	34835	260649	-24572	SLE RA 8	-18.8	34835	260649	-24572	SLE RA 8	6	SI
0	Palo94	-	3795	1024	-23162	192712	-15609	SLE RA 8	-13.1	-23162	192712	-15609	SLE RA 8	9.7	SI
0	Palo95	-	3705	934	-8347	129893	-20406	SLE RA 8	-12	-8347	129893	-20406	SLE RA 8	-14.3	SI
0	Palo96	-	3885	934	-17538	185022	-12450	SLE RA 8	-11.7	-17538	185022	-12450	SLE RA 8	14.5	SI
0	Palo97	-	3615	844	24703	152941	-24756	SLE RA 8	-14.4	24703	152941	-24756	SLE RA 8	-18.1	SI
0	Palo98	-	3795	844	1213	164282	-17556	SLE RA 8	-12.5	1213	164282	-17556	SLE RA 8	-0.9	SI
0	Palo99	-	3705	754	3000	110403	-21661	SLE RA 8	-11.5	-262	7894				

RELAZIONE GEOTECNICA E SULLE FONDAZIONI

Quota	Filo	Ind.	Xp	Yp	Mx	My	N	Comb.	Sc,max	Mx	My	N	Comb.	Sf,max	Verifica
-471	Palo16	-	-78.75	1704	-6725	22575	-27608	SLE RA 8	-10.2	-2253	12965	-20866	SLE RA 1	-40.2	SI
-471	Palo17	-	51.25	1704	-4076	21452	-25520	SLE RA 8	-9.3	-655	11863	-20264	SLE RA 1	-39.9	SI
-471	Palo18	-	266.25	1704	-7357	22535	-22433	SLE RA 8	-8.7	-3594	12820	-19593	SLE RA 1	-36.9	SI
-471	Palo19	-	-650	1664	7225	22454	-60230	SLE RA 8	-20.6	3580	13998	-42474	SLE RA 1	-84.7	SI
-471	Palo2	-	-225	2504	-1699	3568	-38400	SLE RA 8	-13.1	620	-2467	-32122	SLE RA 1	-62.2	SI
-471	Palo20	-	11.25	1634	-6352	22464	-27110	SLE RA 8	-10.1	-2212	12580	-20858	SLE RA 1	-40.3	SI
-471	Palo21	-	-495	1484	2521	38933	-42474	SLE RA 8	-17.2	3911	25942	-30282	SLE RA 1	-50.7	SI
-471	Palo22	-	-225	1484	-2229	13471	-31486	SLE RA 8	-10.4	416	8062	-22493	SLE RA 1	-46.4	SI
-471	Palo23	-	91.25	1484	-2503	23039	-29656	SLE RA 8	-10.7	91	10795	-22645	SLE RA 1	-45	SI
-471	Palo24	-	-650	1299	18766	17253	-44664	SLE RA 8	-16.7	15410	10875	-31813	SLE RA 1	-57.7	SI
-471	Palo25	-	-70	1299	6425	17268	-26671	SLE RA 8	-9.9	5934	10877	-19343	SLE RA 1	-35.7	SI
-471	Palo26	-	261.25	1299	882	25757	-27148	SLE RA 8	-10.8	2312	18469	-22368	SLE RA 1	-38.7	SI
-471	Palo27	-	275	1114	227	18916	-26110	SLE RA 8	-9.7	1729	12960	-21637	SLE RA 1	-40.5	SI
-471	Palo28	-	455	1114	-537	13513	-22336	SLE RA 8	-7.8	1143	9379	-18920	SLE RA 1	-37.1	SI
-471	Palo29	-	-650	1074	-7982	15494	-42422	SLE RA 8	-15.1	-2080	10117	-29299	SLE RA 1	-57.1	SI
-471	Palo3	-	-650	2344	5952	21115	-57439	SLE RA 8	-19.8	8231	12052	-42712	SLE RA 1	-84	SI
-471	Palo30	-	-70	1074	-11364	14610	-26591	SLE RA 8	-10	-6904	9560	-19635	SLE RA 1	-35.9	SI
-471	Palo31	-	185	1024	-1355	18691	-28200	SLE RA 8	-10.3	806	12498	-22959	SLE RA 1	-43.6	SI
-471	Palo32	-	365	1024	-742	19219	-23075	SLE RA 8	-8.8	1110	13425	-19455	SLE RA 1	-35.6	SI
-471	Palo33	-	275	934	-1523	19253	-25404	SLE RA 8	-9.5	563	13110	-21024	SLE RA 1	-39.2	SI
-471	Palo34	-	455	934	-891	16861	-20562	SLE RA 8	-7.7	1139	11936	-17470	SLE RA 1	-32.4	SI
-471	Palo35	-	-495	889	1948	31655	-31784	SLE RA 8	-13.1	3674	20485	-22070	SLE RA 1	-36.4	SI
-471	Palo36	-	-225	889	-1683	1409	-28915	SLE RA 8	-10.1	915	-126	-21107	SLE RA 1	-40.5	SI
-471	Palo37	-	185	844	361	19887	-27802	SLE RA 8	-10.4	2065	13251	-22513	SLE RA 1	-42	SI
-471	Palo38	-	365	844	855	18460	-22245	SLE RA 8	-8.4	2655	13003	-18619	SLE RA 1	-33.9	SI
-471	Palo39	-	-650	740.66	11921	15055	-44172	SLE RA 8	-15.7	8568	10223	-30359	SLE RA 1	-58.7	SI
-471	Palo4	-	-70	2344	5647	17561	-39306	SLE RA 8	-13.9	7639	9380	-32695	SLE RA 1	-62.8	SI
-471	Palo40	-	-70	765	-2725	14291	-37457	SLE RA 8	-12.8	-1544	9648	-28410	SLE RA 1	-56.7	SI
-471	Palo41	-	275	754	-338	19102	-24726	SLE RA 8	-9.3	1472	13372	-20364	SLE RA 1	-37.5	SI
-471	Palo42	-	456	753.31	-1386	17330	-19716	SLE RA 8	-7.5	1067	12460	-16511	SLE RA 1	-30.1	SI
-471	Palo43	-	185	664	6	19046	-26673	SLE RA 8	-9.9	1616	13423	-21723	SLE RA 1	-40.4	SI
-471	Palo44	-	365	664	-1265	17649	-21765	SLE RA 8	-8.2	1035	12827	-17961	SLE RA 1	-32.9	SI
-471	Palo45	-	-650	592.33	-9607	14517	-44046	SLE RA 8	-15.8	-6658	9914	-31561	SLE RA 1	-59.3	SI
-471	Palo46	-	-70	555	1816	14778	-35620	SLE RA 8	-12.3	2197	10080	-28109	SLE RA 1	-55.8	SI
-471	Palo47	-	275	574	876	18349	-23258	SLE RA 8	-8.7	2524	13319	-19048	SLE RA 1	-34.7	SI
-471	Palo48	-	455	574	-596	16090	-19373	SLE RA 8	-7.2	1844	11770	-15754	SLE RA 1	-28.9	SI
-471	Palo49	-	-495	464	1056	30205	-39745	SLE RA 8	-15.5	3086	20166	-30048	SLE RA 1	-53.4	SI
-471	Palo5	-	-495	2184	1204	47799	-32975	SLE RA 8	-15.1	2864	31115	-24514	SLE RA 1	-35.5	SI
-471	Palo50	-	-225	464	-1197	8793	-33038	SLE RA 8	-10.7	1296	5321	-26237	SLE RA 1	-54.6	SI
-471	Palo51	-	185	484	753	19642	-24593	SLE RA 8	-9.3	2315	14396	-20072	SLE RA 1	-36.2	SI
-471	Palo52	-	365	484	176	14876	-20539	SLE RA 8	-7.4	2058	11051	-16697	SLE RA 1	-31.3	SI
-471	Palo53	-	275	394	1583	17795	-20933	SLE RA 8	-8	3033	13146	-17074	SLE RA 1	-30.6	SI
-471	Palo54	-	455	394	679	10190	-19143	SLE RA 8	-6.5	2654	7865	-15163	SLE RA 1	-29.6	SI
-471	Palo55	-	935	1044	26195	1418	-49016	SLE RA 8	-19.3	20854	1334	-36476	SLE RA 1	-62.4	SI
-471	Palo56	-	935	854	12601	13115	-27318	SLE RA 8	-10.7	11658	9083	-20325	SLE RA 1	-34.5	SI
-471	Palo57	-	935	654	-24946	13072	-30402	SLE RA 8	-12.7	-14076	9093	-21198	SLE RA 1	-35	SI
-471	Palo58	-	935	464	-37904	-938	-58278	SLE RA 8	-23.4	-22885	378	-39006	SLE RA 1	-66.4	SI
-471	Palo59	-	1330	1044	25114	17164	-49055	SLE RA 8	-19.4	20107	11147	-36907	SLE RA 1	-63.1	SI
-471	Palo6	-	-225	2184	-1198	5717	-23137	SLE RA 8	-8.2	1067	164	-18741	SLE RA 1	-34.7	SI
-471	Palo60	-	1330	854	11598	13265	-27311	SLE RA 8	-10.7	10795	9229	-20560	SLE RA 1	-35.1	SI
-471	Palo61	-	1330	654	-25866	13331	-30276	SLE RA 8	-12.7	-15309	9176	-21473	SLE RA 1	-35.2	SI
-471	Palo62	-	1330	464	-38859	18483	-57998	SLE RA 8	-23.4	-24268	11590	-39578	SLE RA 1	-67	SI
-471	Palo63	-	1865	1034	-4786	17715	-26879	SLE RA 8	-9.9	-1475	12814	-22343	SLE RA 1	-41.8	SI
-471	Palo64	-	2035	1034	-5845	10611	-24005	SLE RA 8	-8.2	-2204	7419	-20180	SLE RA 1	-40.8	SI
-471	Palo65	-	2205	1034	-5500	3490	-26437	SLE RA 8	-9	-1904	2018	-22068	SLE RA 1	-44.2	SI
-471	Palo66	-	1775	944	-4087	17036	-29668	SLE RA 8	-10.7	-1116	12212	-24088	SLE RA 1	-45.9	SI
-471	Palo67	-	1955	944	-7602	13477	-25317	SLE RA 8	-9	-3737	9585	-20809	SLE RA 1	-40.5	SI
-471	Palo68	-	2115	944	-7989	7977	-25141	SLE RA 8	-8.6	-3981	5388	-20700	SLE RA 1	-42.2	SI
-471	Palo69	-	2295	944	-5123	4361	-29069	SLE RA 8	-9.7	-1728	2731	-23711	SLE RA 1	-48.1	SI
-471	Palo7	-	-650	2014	-181	24777	-58056	SLE RA 8	-20.1	2521	15219	-41262	SLE RA 1	-81.6	SI
-471	Palo70	-	1865	854	-5409	14422	-27275	SLE RA 8	-9.6	-2084	10256	-21957	SLE RA 1	-42.8	SI
-471	Palo71	-	2205	854	-6036	7277	-26936	SLE RA 8	-8.9	-2457	4882	-21745	SLE RA 1	-45.3	SI
-471	Palo72	-	1775	764	-4488	15054	-28591	SLE RA 8	-10.1	-1131	10536	-22525	SLE RA 1	-43.8	SI
-471	Palo73	-	2295	764	-5484	6833	-28106	SLE RA 8	-9.2	-1735	4702	-22217	SLE RA 1	-46.1	SI
-471	Palo74	-	1865	674	-6709	13809	-27508	SLE RA 8	-9.7	-2799	9463	-21367	SLE RA 1	-42.1	SI
-471	Palo75	-	2205	674	-7761	8137	-27247	SLE RA 8	-9.2	-3474	5801	-21206	SLE RA 1	-43.6	SI
-471	Palo76	-	1775	564	-15451	19447	-32458	SLE RA 8	-12.5	-9016	13353	-24283	SLE RA 1	-43.9	SI
-471	Palo77	-	1955	564	-9612	14257	-27580	SLE RA 8	-9.9	-4947	9784	-21011	SLE RA 1	-40.6	SI
-471	Palo78	-	2115	564	-10080	7895	-27537	SLE RA 8	-9.6	-5252	5563	-20992	SLE RA 1	-42	SI
-471	Palo79	-	2295	564	-16723	2929	-32287	SLE RA 8	-12	-9834	2131	-24204	SLE RA 1	-45.3	SI
-471	Palo8	-	11.25	1974	-3014	27556	-24963	SLE RA 8	-9.7	-69	16959	-20405	SLE RA 1	-37.3	SI
-471	Palo80	-	1865	474	-15797	20956	-32904	SLE RA 8	-12.8	-9520	14370	-24353	SLE RA 1	-43.4	SI
-471	Palo81	-	2035	474	-14268	11061	-29260	SLE RA 8	-10.7	-8429	7648	-21897	SLE RA 1	-41.5	SI
-471	Palo82	-	2205	474	-16713	1254	-32971	SLE RA 8	-12.4	-10113	969	-24428	SLE RA 1	-45.2	SI
-471	Palo83	-	2740	1044	22913	3848	-48931	SLE RA 8	-19.1	18912	3608	-36855	SLE RA 1	-63.7	SI
-471	Palo84	-	2740	854	9704	12262	-27190	SLE RA 8	-10.5	9716	8563	-20535	SLE RA 1	-35.3	SI
-471	Palo85	-	2740	654	-27360	12852	-29840	SLE RA 8	-12.6	-16311	9041	-21391	SLE RA 1	-34.9	SI
-471	Palo86	-	2740	464	-40383	4894	-57046	SLE RA 8	-22.9	-25330	4455	-39423	SLE RA 1	-67	SI
-471	Palo87	-	3135	1044	23449	18539	-49989	SLE RA 8	-19.7	19681	12647	-37164	SLE RA 1	-63.3	SI
-471	Palo88	-	3135	854	9869	12701	-27832	SLE RA 8	-10.8	10399	8859	-20728	SLE RA 1	-35.5	SI
-471	Palo89	-	3135	654	-28317	13183	-30780	SLE RA 8	-13	-15958	9196	-21665	SLE RA 1	-35.4	SI
-471	Palo9	-	171.25	1974	-5841	27348	-19404	SLE RA 8	-8	-4911	22477	-17965	SLE RA 4	-30	SI
-471	Palo90	-	3135	464	-41735	20665	-59034	SLE RA 8	-23.9	-25114	13450	-40007	SLE RA 1	-67.2	SI
-471	Palo91	-	3705	1114	-8040	18996	-13854	SLE RA 8	-6	-6566	16429	-12820	SLE RA 4	-19.8	SI
-471	Palo92	-	3885	1114	-9535	18243	-7250	SLE RA 8	-3.9	-9535	18243	-7250	SLE RA 8	-7.1	SI
-471	Palo93	-	3615	1024	-6206	20681	-17922	SLE RA 8	-7.5	-954	14994	-15301	SLE RA 1	-25.6	SI
-471	Palo94	-													

RELAZIONE GEOTECNICA E SULLE FONDAZIONI

Quota	Filo	Ind.	Xp	Yp	Mx	My	N	Comb.	Sc,max	Mx	My	N	Comb.	Sf,max	Verifica
-942	Palo107	-	3705	394	-2629	-11508	-10425	SLE RA 8	-3.9	-1449	-8221	-8070	SLE RA 1	-15	SI
-942	Palo108	-	3885	394	-5317	-10327	-5888	SLE RA 8	-2.4	-3457	-7477	-4817	SLE RA 1	-8.1	SI
-942	Palo11	-	91.25	1884	5022	-1547	-14118	SLE RA 8	-4.8	3661	512	-11736	SLE RA 1	-23.7	SI
-942	Palo12	-	261.25	1884	8570	-2573	-11179	SLE RA 8	-4	6545	-382	-10224	SLE RA 1	-19.9	SI
-942	Palo13	-	-495	1844	206	-38424	-22635	SLE RA 8	-9	234	-26401	-16233	SLE RA 1	-27.7	SI
-942	Palo14	-	-225	1844	-213	9597	-15207	SLE RA 8	-5.3	-129	7487	-11492	SLE RA 1	-22.2	SI
-942	Palo15	-	11.25	1794	-2303	96	-15486	SLE RA 8	-5.1	-2345	1570	-12293	SLE RA 1	-25.1	SI
-942	Palo16	-	-78.75	1704	5510	105	-16735	SLE RA 8	-5.6	2897	1670	-12624	SLE RA 1	-25.6	SI
-942	Palo17	-	51.25	1704	2618	1747	-15462	SLE RA 8	-5.1	1167	3310	-12257	SLE RA 1	-24.8	SI
-942	Palo18	-	266.25	1704	9700	29	-13580	SLE RA 8	-4.8	7013	1783	-11848	SLE RA 1	-23.1	SI
-942	Palo19	-	-650	1664	134	-2293	-36627	SLE RA 8	-11.8	1176	-1644	-25800	SLE RA 1	-53.7	SI
-942	Palo2	-	-225	2504	-1188	22231	-23316	SLE RA 8	-8.5	-959	18436	-19488	SLE RA 1	-36.4	SI
-942	Palo20	-	11.25	1634	5812	-697	-16431	SLE RA 8	-5.5	3375	1651	-12620	SLE RA 1	-25.5	SI
-942	Palo21	-	-495	1484	-562	-31324	-25800	SLE RA 8	-9.7	-268	-22346	-18366	SLE RA 1	-33.2	SI
-942	Palo22	-	-225	1484	-190	9306	-19100	SLE RA 8	-6.6	-69	6207	-13616	SLE RA 1	-27	SI
-942	Palo23	-	91.25	1484	-14	-995	-17984	SLE RA 8	-5.8	56	2327	-13709	SLE RA 1	-28.1	SI
-942	Palo24	-	-650	1299	-24859	-421	-27135	SLE RA 8	-9.8	-17120	-340	-19299	SLE RA 1	-36.4	SI
-942	Palo25	-	-70	1299	-14250	776	-16164	SLE RA 8	-5.8	-9180	538	-11696	SLE RA 1	-22.3	SI
-942	Palo26	-	261.25	1299	-3951	-14767	-16455	SLE RA 8	-6	-2640	-12090	-13540	SLE RA 1	-25.5	SI
-942	Palo27	-	275	1114	-3386	-6692	-15822	SLE RA 8	-5.4	-1959	-4743	-13094	SLE RA 1	-26.3	SI
-942	Palo28	-	455	1114	-2244	1485	-13521	SLE RA 8	-4.5	-1097	699	-11438	SLE RA 1	-23.7	SI
-942	Palo29	-	-650	1074	17035	-1093	-25768	SLE RA 8	-9	10370	-693	-17766	SLE RA 1	-34.7	SI
-942	Palo3	-	-650	2344	-5026	-3246	-34925	SLE RA 8	-11.5	-6429	-2429	-25945	SLE RA 1	-52.8	SI
-942	Palo30	-	-70	1074	13793	858	-16115	SLE RA 8	-5.8	11174	658	-11874	SLE RA 1	-22.2	SI
-942	Palo31	-	185	1024	-1254	-6535	-17096	SLE RA 8	-5.8	-696	-4123	-13900	SLE RA 1	-28.2	SI
-942	Palo32	-	365	1024	-1768	-7396	-13971	SLE RA 8	-4.8	-893	-5595	-11764	SLE RA 1	-23.4	SI
-942	Palo33	-	275	934	-965	-7508	-15392	SLE RA 8	-5.3	-327	-5123	-12720	SLE RA 1	-25.5	SI
-942	Palo34	-	455	934	-1874	-3772	-12439	SLE RA 8	-4.2	-1227	-3286	-10553	SLE RA 1	-21.3	SI
-942	Palo35	-	-495	889	59	-27192	-19282	SLE RA 8	-7.4	158	-16967	-13358	SLE RA 1	-24	SI
-942	Palo36	-	-225	889	341	20221	-17532	SLE RA 8	-6.6	399	15385	-12771	SLE RA 1	-23	SI
-942	Palo37	-	185	844	-3972	-8556	-16854	SLE RA 8	-5.8	-2694	-5363	-13629	SLE RA 1	-27.2	SI
-942	Palo38	-	365	844	-4564	-6280	-13465	SLE RA 8	-4.7	-3531	-4933	-11254	SLE RA 1	-22.2	SI
-942	Palo39	-	-650	740.66	-13815	-1549	-26835	SLE RA 8	-9.2	-6025	-969	-18412	SLE RA 1	-37.2	SI
-942	Palo4	-	-70	2344	-14497	3244	-23868	SLE RA 8	-8.3	-13318	2432	-19837	SLE RA 1	-38.3	SI
-942	Palo40	-	-70	765	532	246	-22741	SLE RA 8	-7.3	3090	332	-17224	SLE RA 1	-35.4	SI
-942	Palo41	-	275	754	-2949	-7301	-14978	SLE RA 8	-5.2	-1852	-5510	-12318	SLE RA 1	-24.5	SI
-942	Palo42	-	456	753.31	-1295	-4452	-11923	SLE RA 8	-4	-1271	-4012	-9969	SLE RA 1	-19.9	SI
-942	Palo43	-	185	664	-3542	-7151	-16165	SLE RA 8	-5.5	-2080	-5516	-13147	SLE RA 1	-26.2	SI
-942	Palo44	-	365	664	-1660	-4927	-13172	SLE RA 8	-4.4	-1334	-4541	-10853	SLE RA 1	-21.7	SI
-942	Palo45	-	-650	592.33	20063	-1031	-26759	SLE RA 8	-9.5	17951	-667	-19146	SLE RA 1	-35.8	SI
-942	Palo46	-	-70	555	-6490	-477	-21620	SLE RA 8	-7.2	-2677	-260	-17041	SLE RA 1	-35.1	SI
-942	Palo47	-	275	574	-5051	-5980	-14083	SLE RA 8	-4.9	-3658	-5247	-11516	SLE RA 1	-22.7	SI
-942	Palo48	-	455	574	-2682	-2460	-11714	SLE RA 8	-3.9	-2610	-2824	-9507	SLE RA 1	-19.1	SI
-942	Palo49	-	-495	464	1631	-24946	-24136	SLE RA 8	-8.9	1382	-16249	-18223	SLE RA 1	-34.3	SI
-942	Palo5	-	-495	2184	113	-41472	-20008	SLE RA 8	-8.3	99	-29234	-14848	SLE RA 1	-24.1	SI
-942	Palo50	-	-225	464	-202	8983	-20046	SLE RA 8	-6.9	35	7292	-15899	SLE RA 1	-31.5	SI
-942	Palo51	-	185	484	-4821	-7889	-14897	SLE RA 8	-5.2	-3251	-6809	-12140	SLE RA 1	-23.7	SI
-942	Palo52	-	365	484	-4140	-448	-12425	SLE RA 8	-4.2	-3109	-1574	-10082	SLE RA 1	-20.3	SI
-942	Palo53	-	275	394	-6253	-4929	-12665	SLE RA 8	-4.4	-4526	-4743	-10312	SLE RA 1	-20.1	SI
-942	Palo54	-	455	394	-4830	6760	-11574	SLE RA 8	-4.1	-4006	3371	-9147	SLE RA 1	-17.9	SI
-942	Palo55	-	935	1044	-45485	19481	-29789	SLE RA 8	-11.8	-32871	12866	-22143	SLE RA 1	-37.9	SI
-942	Palo56	-	935	854	-24250	1154	-16559	SLE RA 8	-6.4	-18480	778	-12295	SLE RA 1	-21.3	SI
-942	Palo57	-	935	654	34305	1292	-18439	SLE RA 8	-7.5	21673	844	-12827	SLE RA 1	-21.6	SI
-942	Palo58	-	935	464	54607	23966	-35437	SLE RA 8	-14.1	35480	15017	-23685	SLE RA 1	-40.3	SI
-942	Palo59	-	1330	1044	-45938	-6159	-29813	SLE RA 8	-11.7	-33641	-3065	-22406	SLE RA 1	-38.8	SI
-942	Palo6	-	-225	2184	-523	24752	-14009	SLE RA 8	-5.7	-366	19497	-11328	SLE RA 1	-19	SI
-942	Palo60	-	1330	854	-24817	291	-16554	SLE RA 8	-6.5	-19061	246	-12438	SLE RA 1	-21.5	SI
-942	Palo61	-	1330	654	33608	259	-18362	SLE RA 8	-7.4	21672	241	-12995	SLE RA 1	-22	SI
-942	Palo62	-	1330	464	53961	-7065	-35266	SLE RA 8	-13.8	35713	-2934	-24034	SLE RA 1	-41.7	SI
-942	Palo63	-	1865	1034	-2401	-7675	-16291	SLE RA 8	-5.6	-2993	-6000	-13525	SLE RA 1	-26.8	SI
-942	Palo64	-	2035	1034	-1215	3427	-14538	SLE RA 8	-4.8	-2111	2445	-12206	SLE RA 1	-24.8	SI
-942	Palo65	-	2205	1034	-2365	14580	-16021	SLE RA 8	-5.8	-2962	10914	-13357	SLE RA 1	-25.2	SI
-942	Palo66	-	1775	944	-3353	-6398	-17991	SLE RA 8	-6.1	-3496	-4937	-14589	SLE RA 1	-29.2	SI
-942	Palo67	-	1955	944	1790	-781	-15338	SLE RA 8	-5	441	-784	-12589	SLE RA 1	-26.2	SI
-942	Palo68	-	2115	944	1903	7815	-15231	SLE RA 8	-5.3	531	5784	-12523	SLE RA 1	-24.8	SI
-942	Palo69	-	2295	944	-3400	13534	-17626	SLE RA 8	-6.3	-3524	9991	-14359	SLE RA 1	-27.5	SI
-942	Palo7	-	-650	2014	4709	-3629	-35301	SLE RA 8	-11.6	2709	-2607	-25061	SLE RA 1	-51.7	SI
-942	Palo70	-	1865	854	-1500	-2027	-16532	SLE RA 8	-5.4	-2090	-1702	-13290	SLE RA 1	-27.2	SI
-942	Palo71	-	2205	854	-1569	9227	-16325	SLE RA 8	-5.7	-2124	6773	-13160	SLE RA 1	-25.8	SI
-942	Palo72	-	1775	764	-2805	-2800	-17335	SLE RA 8	-5.7	-3531	-2017	-13636	SLE RA 1	-27.6	SI
-942	Palo73	-	2295	764	-2821	10180	-17039	SLE RA 8	-6	-3500	7209	-13448	SLE RA 1	-26.2	SI
-942	Palo74	-	1865	674	460	-618	-16674	SLE RA 8	-5.4	-1025	-197	-12930	SLE RA 1	-26.9	SI
-942	Palo75	-	2205	674	1115	8414	-16515	SLE RA 8	-5.7	-541	5650	-12832	SLE RA 1	-25.5	SI
-942	Palo76	-	1775	564	14416	-9121	-19693	SLE RA 8	-7.1	8869	-6096	-14708	SLE RA 1	-28.3	SI
-942	Palo77	-	1955	564	4715	-951	-16718	SLE RA 8	-5.6	2167	-477	-12712	SLE RA 1	-26.2	SI
-942	Palo78	-	2115	564	4991	9074	-16692	SLE RA 8	-5.8	2380	6176	-12701	SLE RA 1	-25	SI
-942	Palo79	-	2295	564	14852	16904	-19589	SLE RA 8	-7.3	9254	11589	-14660	SLE RA 1	-27.1	SI
-942	Palo8	-	11.25	1974	405	-5176	-15123	SLE RA 8	-5.1	-129	-3023	-12343	SLE RA 1	-25.2	SI
-942	Palo80	-	1865	474	14681	-11206	-19964	SLE RA 8	-7.2	9489	-7515	-14751	SLE RA 1	-28.1	SI
-942	Palo81	-	2035	474	11745	4374	-17743	SLE RA 8	-6.3	7462	3059	-13253	SLE RA 1	-25.8	SI
-942	Palo82	-	2205	474	15100	19846	-20006	SLE RA 8	-7.6	9832	13586	-14796	SLE RA 1	-26.9	SI
-942	Palo83	-	2740	1044	-46517	14058	-29738	SLE RA 8	-11.8	-33918	8537	-22374	SLE RA 1	-38.4	SI
-942	Palo84	-	2740	854	-25861	931	-16481	SLE RA 8	-6.5	-19509	605	-12423	SLE RA 1	-21.3	SI
-942	Palo85	-	2740	654	31950	964	-18097	SLE RA 8	-7.3	21107	617	-12944	SLE RA 1	-22	SI
-942	Palo86	-	2740	464	52342	14268	-34686	SLE RA 8	-13.6	35242	8160	-23940	SLE RA 1	-41.4	SI
-942	Palo87	-	3135	1044	-47381	-9301	-30382	SLE RA 8	-12	-33894	-5812	-22562	SLE RA 1	-39	SI
-942	Palo88	-	3135	854	-26158	160	-16872	SLE RA 8	-6.6	-19364	134	-12540	SLE RA 1	-21.6	SI
-942	Palo89	-	3135	654	33389										

RELAZIONE GEOTECNICA E SULLE FONDAZIONI

Quota	Filo	Ind.	Xp	Yp	Mx	My	N	Comb.	Sc,max	Mx	My	N	Comb.	Sf,max	Verifica
-1319	Palo100	-	3885	754	249	-2776	-4299	SLE RA 8	-1.5	66	-2055	-3836	SLE RA 1	-7.4	SI
-1319	Palo101	-	3615	664	727	-2486	-7663	SLE RA 8	-2.6	357	-1752	-6191	SLE RA 1	-12.4	SI
-1319	Palo102	-	3795	664	295	-2624	-5612	SLE RA 8	-2	67	-1923	-4724	SLE RA 1	-9.3	SI
-1319	Palo103	-	3705	574	133	-2255	-6780	SLE RA 8	-2.3	-38	-1591	-5489	SLE RA 1	-11	SI
-1319	Palo104	-	3885	574	-163	-2981	-4424	SLE RA 8	-1.6	-222	-2154	-3800	SLE RA 1	-7.3	SI
-1319	Palo105	-	3615	484	669	-4017	-8358	SLE RA 8	-2.9	366	-2803	-6536	SLE RA 1	-12.8	SI
-1319	Palo106	-	3795	484	-211	-3162	-5662	SLE RA 8	-2	-251	-2264	-4625	SLE RA 1	-9	SI
-1319	Palo107	-	3705	394	-139	-3393	-6954	SLE RA 8	-2.4	-210	-2408	-5484	SLE RA 1	-10.8	SI
-1319	Palo108	-	3885	394	-734	-3122	-4120	SLE RA 8	-1.5	-659	-2237	-3452	SLE RA 1	-6.5	SI
-1319	Palo11	-	91.25	1884	1265	-1712	-9260	SLE RA 8	-3.1	818	-728	-7772	SLE RA 1	-16	SI
-1319	Palo12	-	261.25	1884	2011	-1937	-7425	SLE RA 8	-2.5	1435	-925	-6828	SLE RA 1	-13.8	SI
-1319	Palo13	-	-495	1844	-44	-10041	-14579	SLE RA 8	-5.3	-133	-6807	-10581	SLE RA 1	-20.1	SI
-1319	Palo14	-	-225	1844	106	828	-9940	SLE RA 8	-3.2	-29	862	-7620	SLE RA 1	-15.7	SI
-1319	Palo15	-	11.25	1794	-366	-1316	-10114	SLE RA 8	-3.3	-524	-474	-8121	SLE RA 1	-16.8	SI
-1319	Palo16	-	-78.75	1704	1433	-1269	-10894	SLE RA 8	-3.6	680	-422	-8327	SLE RA 1	-17.2	SI
-1319	Palo17	-	51.25	1704	731	-892	-10099	SLE RA 8	-3.3	260	-47	-8098	SLE RA 1	-16.9	SI
-1319	Palo18	-	266.25	1704	2267	-1281	-8924	SLE RA 8	-3	1541	-393	-7843	SLE RA 1	-16	SI
-1319	Palo19	-	-650	1664	-130	-1719	-23316	SLE RA 8	-7.6	19	-1112	-16555	SLE RA 1	-34.4	SI
-1319	Palo2	-	-225	2504	-129	4029	-15004	SLE RA 8	-5.1	-218	3651	-12613	SLE RA 1	-25.3	SI
-1319	Palo20	-	11.25	1634	1469	-1415	-10705	SLE RA 8	-3.5	769	-404	-8324	SLE RA 1	-17.2	SI
-1319	Palo21	-	-495	1484	-251	-8187	-16555	SLE RA 8	-5.8	-274	-5736	-11913	SLE RA 1	-23.2	SI
-1319	Palo22	-	-225	1484	91	1003	-12371	SLE RA 8	-4	-37	721	-8947	SLE RA 1	-18.5	SI
-1319	Palo23	-	91.25	1484	140	-1352	-11674	SLE RA 8	-3.8	6	-173	-9005	SLE RA 1	-18.9	SI
-1319	Palo24	-	-650	1299	-5805	-1065	-17389	SLE RA 8	-5.9	-4140	-686	-12496	SLE RA 1	-24.9	SI
-1319	Palo25	-	-70	1299	-3080	-838	-10538	SLE RA 8	-3.6	-2087	-519	-7747	SLE RA 1	-15.6	SI
-1319	Palo26	-	261.25	1299	-803	-4282	-10719	SLE RA 8	-3.7	-635	-3356	-8899	SLE RA 1	-17.6	SI
-1319	Palo27	-	275	1114	-658	-2354	-10324	SLE RA 8	-3.4	-472	-1643	-8621	SLE RA 1	-17.6	SI
-1319	Palo28	-	455	1114	-397	-489	-8887	SLE RA 8	-2.9	-274	-403	-7586	SLE RA 1	-15.8	SI
-1319	Palo29	-	-650	1074	3699	-1093	-16535	SLE RA 8	-5.5	2093	-710	-11538	SLE RA 1	-23.5	SI
-1319	Palo3	-	-650	2344	-1297	-1824	-22253	SLE RA 8	-7.3	-1694	-1151	-16646	SLE RA 1	-34.3	SI
-1319	Palo30	-	-70	1074	3275	-671	-10507	SLE RA 8	-3.6	2522	-421	-7858	SLE RA 1	-15.7	SI
-1319	Palo31	-	185	1024	-161	-2312	-11120	SLE RA 8	-3.7	-178	-1499	-9124	SLE RA 1	-18.7	SI
-1319	Palo32	-	365	1024	-294	-2506	-9168	SLE RA 8	-3.1	-233	-1832	-7790	SLE RA 1	-15.8	SI
-1319	Palo33	-	275	934	-97	-2529	-10055	SLE RA 8	-3.4	-94	-1724	-8387	SLE RA 1	-17.1	SI
-1319	Palo34	-	455	934	-306	-1681	-8211	SLE RA 8	-2.7	-299	-1307	-7034	SLE RA 1	-14.4	SI
-1319	Palo35	-	-495	889	-100	-6985	-12485	SLE RA 8	-4.4	-180	-4400	-8786	SLE RA 1	-17.1	SI
-1319	Palo36	-	-225	889	161	3770	-11392	SLE RA 8	-3.9	24	2936	-8419	SLE RA 1	-16.7	SI
-1319	Palo37	-	185	844	-777	-2765	-10968	SLE RA 8	-3.7	-631	-1778	-8954	SLE RA 1	-18.2	SI
-1319	Palo38	-	365	844	-918	-2250	-8852	SLE RA 8	-3	-824	-1682	-7472	SLE RA 1	-15.1	SI
-1319	Palo39	-	-650	740.66	-3311	-1155	-17202	SLE RA 8	-5.7	-1636	-768	-11942	SLE RA 1	-24.5	SI
-1319	Palo4	-	-70	2344	-3083	-385	-15349	SLE RA 8	-5.1	-2972	-73	-12831	SLE RA 1	-26	SI
-1319	Palo40	-	-70	765	257	-769	-14645	SLE RA 8	-4.7	676	-488	-11200	SLE RA 1	-23.3	SI
-1319	Palo41	-	275	754	-542	-2481	-9797	SLE RA 8	-3.3	-437	-1813	-8136	SLE RA 1	-16.5	SI
-1319	Palo42	-	456	753.31	-167	-1837	-7889	SLE RA 8	-2.6	-303	-1475	-6669	SLE RA 1	-13.5	SI
-1319	Palo43	-	185	664	-675	-2449	-10538	SLE RA 8	-3.5	-488	-1817	-8654	SLE RA 1	-17.6	SI
-1319	Palo44	-	365	664	-244	-1946	-8670	SLE RA 8	-2.9	-313	-1597	-7221	SLE RA 1	-14.7	SI
-1319	Palo45	-	-650	592.33	4369	-1025	-17154	SLE RA 8	-5.8	3798	-693	-12400	SLE RA 1	-24.8	SI
-1319	Palo46	-	-70	555	-1339	-935	-13945	SLE RA 8	-4.6	-635	-625	-11085	SLE RA 1	-23	SI
-1319	Palo47	-	275	574	-1012	-2186	-9238	SLE RA 8	-3.1	-841	-1760	-7635	SLE RA 1	-15.4	SI
-1319	Palo48	-	455	574	-477	-1387	-7759	SLE RA 8	-2.6	-602	-1210	-6381	SLE RA 1	-13	SI
-1319	Palo49	-	-495	464	250	-6474	-15516	SLE RA 8	-5.4	87	-4245	-11824	SLE RA 1	-23.5	SI
-1319	Palo5	-	-495	2184	-47	-10626	-12938	SLE RA 8	-4.8	-145	-7343	-9716	SLE RA 1	-18.1	SI
-1319	Palo50	-	-225	464	30	1208	-12962	SLE RA 8	-4.2	-67	1084	-10372	SLE RA 1	-21.4	SI
-1319	Palo51	-	185	484	-961	-2624	-9746	SLE RA 8	-3.3	-751	-2119	-8025	SLE RA 1	-16.2	SI
-1319	Palo52	-	365	484	-798	-935	-8203	SLE RA 8	-2.7	-709	-931	-6740	SLE RA 1	-13.8	SI
-1319	Palo53	-	275	394	-1281	-1955	-8353	SLE RA 8	-2.8	-1035	-1654	-6883	SLE RA 1	-13.8	SI
-1319	Palo54	-	455	394	-958	705	-7671	SLE RA 8	-2.5	-914	193	-6156	SLE RA 1	-12.6	SI
-1319	Palo55	-	935	1044	-10156	3628	-19046	SLE RA 8	-6.8	-7449	2373	-14271	SLE RA 1	-27.4	SI
-1319	Palo56	-	935	854	-5337	-529	-10784	SLE RA 8	-3.8	-4184	-371	-8121	SLE RA 1	-15.7	SI
-1319	Palo57	-	935	654	7956	-500	-11958	SLE RA 8	-4.3	4930	-359	-8454	SLE RA 1	-16.2	SI
-1319	Palo58	-	935	464	12561	4617	-22573	SLE RA 8	-8	8062	2838	-15235	SLE RA 1	-29.2	SI
-1319	Palo59	-	1330	1044	-10180	-2153	-19061	SLE RA 8	-6.7	-7553	-1220	-14435	SLE RA 1	-27.9	SI
-1319	Palo6	-	-225	2184	-31	4386	-9192	SLE RA 8	-3.2	-131	3703	-7518	SLE RA 1	-14.6	SI
-1319	Palo60	-	1330	854	-5387	-702	-10781	SLE RA 8	-3.8	-4246	-480	-8211	SLE RA 1	-15.9	SI
-1319	Palo61	-	1330	654	7876	-712	-11910	SLE RA 8	-4.3	5000	-478	-8558	SLE RA 1	-16.4	SI
-1319	Palo62	-	1330	464	12493	-2401	-22467	SLE RA 8	-8	8185	-1220	-15452	SLE RA 1	-29.8	SI
-1319	Palo63	-	1865	1034	-184	-2473	-10617	SLE RA 8	-3.5	-486	-1874	-8889	SLE RA 1	-18.1	SI
-1319	Palo64	-	2035	1034	102	47	-9523	SLE RA 8	-3.1	-276	42	-8066	SLE RA 1	-16.8	SI
-1319	Palo65	-	2205	1034	-136	2577	-10449	SLE RA 8	-3.5	-455	1963	-8785	SLE RA 1	-17.8	SI
-1319	Palo66	-	1775	944	-405	-2191	-11679	SLE RA 8	-3.9	-602	-1637	-9554	SLE RA 1	-19.5	SI
-1319	Palo67	-	1955	944	775	-918	-10022	SLE RA 8	-3.3	297	-697	-8305	SLE RA 1	-17.2	SI
-1319	Palo68	-	2115	944	818	1033	-9955	SLE RA 8	-3.3	328	794	-8264	SLE RA 1	-17	SI
-1319	Palo69	-	2295	944	-355	2328	-11451	SLE RA 8	-3.8	-572	1746	-9411	SLE RA 1	-19.1	SI
-1319	Palo7	-	-650	2014	907	-2106	-22488	SLE RA 8	-7.3	372	-1365	-16094	SLE RA 1	-33.4	SI
-1319	Palo70	-	1865	854	23	-1209	-10768	SLE RA 8	-3.5	-279	-910	-8743	SLE RA 1	-18.1	SI
-1319	Palo71	-	2205	854	46	1341	-10638	SLE RA 8	-3.5	-264	1011	-8662	SLE RA 1	-17.8	SI
-1319	Palo72	-	1775	764	-278	-1393	-11269	SLE RA 8	-3.7	-608	-986	-8959	SLE RA 1	-18.4	SI
-1319	Palo73	-	2295	764	-224	1548	-11084	SLE RA 8	-3.7	-567	1104	-8842	SLE RA 1	-18.1	SI
-1319	Palo74	-	1865	674	471	-906	-10856	SLE RA 8	-3.5	-35	-578	-8518	SLE RA 1	-17.7	SI
-1319	Palo75	-	2205	674	656	1137	-10757	SLE RA 8	-3.5	95	744	-8457	SLE RA 1	-17.5	SI
-1319	Palo76	-	1775	564	3627	-2847	-12741	SLE RA 8	-4.4	2204	-1923	-9628	SLE RA 1	-19.3	SI
-1319	Palo77	-	1955	564	1447	-995	-10884	SLE RA 8	-3.6	695	-649	-8382	SLE RA 1	-17.3	SI
-1319	Palo78	-	2115	564	1526	1277	-10867	SLE RA 8	-3.6	753	858	-8375	SLE RA 1	-17.2	SI
-1319	Palo79	-	2295	564	3783	3051	-12676	SLE RA 8	-4.4	2324	2085	-9598	SLE RA 1	-19.1	SI
-1319	Palo8	-	11.25	1974	249	-2559	-9887	SLE RA 8	-3.3	-21	-1544	-8152	SLE RA 1	-16.7	SI
-1319	Palo80	-	1865	474	3697	-3330	-12911	SLE RA 8	-4.4	2350	-2251	-9655	SLE RA 1	-19.3	SI
-1319	Palo81	-	2035	474	3051	201	-11523	SLE RA 8	-3.9	1902	146	-8720	SLE RA 1	-17.7	SI
-1319	Palo82	-	2205	474	3829	3707	-12937	SLE RA 8	-4.5	2449	2531	-9684	SLE RA 1	-19.2	SI
-1319	Palo83	-	2740	1044	-10165	2457	-19014	SLE RA 8	-6.7	-7538	1419	-14415			

RELAZIONE GEOTECNICA E SULLE FONDAZIONI

Quota	Filo	Ind.	Xp	Yp	Mx	My	N	Comb.	Sc,max	Mx	My	N	Comb.	Sf,max	Verifica
-1319	Palo95	-	3705	934	465	-2111	-6064	SLE RA 8	-2.1	206	-1541	-5291	SLE RA 1	-10.6	SI
-1319	Palo96	-	3885	934	591	-2747	-3884	SLE RA 8	-1.4	336	-2084	-3658	SLE RA 1	-7	SI
-1319	Palo97	-	3615	844	84	-2384	-7256	SLE RA 8	-2.5	-118	-1715	-6075	SLE RA 1	-12.2	SI
-1319	Palo98	-	3795	844	367	-2514	-5283	SLE RA 8	-1.8	118	-1887	-4636	SLE RA 1	-9.2	SI
-1319	Palo99	-	3705	754	342	-1903	-6408	SLE RA 8	-2.2	96	-1355	-5378	SLE RA 1	-10.9	SI
-1790	Palo1	-	-495	2504	0	0	-3671	SLE RA 8	-1.2	0	0	-3021	SLE RA 1	-6.6	SI
-1790	Palo10	-	-78.75	1884	0	0	-2417	SLE RA 8	-0.8	0	0	-2025	SLE RA 1	-4.4	SI
-1790	Palo100	-	3885	754	0	0	-1292	SLE RA 8	-0.4	0	0	-1210	SLE RA 1	-2.6	SI
-1790	Palo101	-	3615	664	0	0	-1885	SLE RA 8	-0.6	0	0	-1625	SLE RA 1	-3.5	SI
-1790	Palo102	-	3795	664	0	0	-1523	SLE RA 8	-0.5	0	0	-1367	SLE RA 1	-3	SI
-1790	Palo103	-	3705	574	0	0	-1729	SLE RA 8	-0.6	0	0	-1502	SLE RA 1	-3.3	SI
-1790	Palo104	-	3885	574	0	0	-1314	SLE RA 8	-0.4	0	0	-1204	SLE RA 1	-2.6	SI
-1790	Palo105	-	3615	484	0	0	-2007	SLE RA 8	-0.7	0	0	-1686	SLE RA 1	-3.7	SI
-1790	Palo106	-	3795	484	0	0	-1532	SLE RA 8	-0.5	0	0	-1349	SLE RA 1	-2.9	SI
-1790	Palo107	-	3705	394	0	0	-1760	SLE RA 8	-0.6	0	0	-1501	SLE RA 1	-3.3	SI
-1790	Palo108	-	3885	394	0	0	-1260	SLE RA 8	-0.4	0	0	-1142	SLE RA 1	-2.5	SI
-1790	Palo11	-	91.25	1884	0	0	-2167	SLE RA 8	-0.7	0	0	-1904	SLE RA 1	-4.2	SI
-1790	Palo12	-	261.25	1884	0	0	-1843	SLE RA 8	-0.6	0	0	-1738	SLE RA 1	-3.8	SI
-1790	Palo13	-	-495	1844	0	0	-3104	SLE RA 8	-1	0	0	-2400	SLE RA 1	-5.2	SI
-1790	Palo14	-	-225	1844	0	0	-2286	SLE RA 8	-0.8	0	0	-1877	SLE RA 1	-4.1	SI
-1790	Palo15	-	11.25	1794	0	0	-2317	SLE RA 8	-0.8	0	0	-1966	SLE RA 1	-4.3	SI
-1790	Palo16	-	-78.75	1704	0	0	-2455	SLE RA 8	-0.8	0	0	-2002	SLE RA 1	-4.4	SI
-1790	Palo17	-	51.25	1704	0	0	-2315	SLE RA 8	-0.8	0	0	-1962	SLE RA 1	-4.3	SI
-1790	Palo18	-	266.25	1704	0	0	-2107	SLE RA 8	-0.7	0	0	-1917	SLE RA 1	-4.2	SI
-1790	Palo19	-	-650	1664	0	0	-4645	SLE RA 8	-1.5	0	0	-3453	SLE RA 1	-7.5	SI
-1790	Palo2	-	-225	2504	0	0	-3179	SLE RA 8	-1.1	0	0	-2758	SLE RA 1	-6	SI
-1790	Palo20	-	11.25	1634	0	0	-2421	SLE RA 8	-0.8	0	0	-2002	SLE RA 1	-4.4	SI
-1790	Palo21	-	-495	1484	0	0	-3453	SLE RA 8	-1.1	0	0	-2634	SLE RA 1	-5.7	SI
-1790	Palo22	-	-225	1484	0	0	-2715	SLE RA 8	-0.9	0	0	-2111	SLE RA 1	-4.6	SI
-1790	Palo23	-	91.25	1484	0	0	-2592	SLE RA 8	-0.9	0	0	-2122	SLE RA 1	-4.6	SI
-1790	Palo24	-	-650	1299	0	0	-3600	SLE RA 8	-1.2	0	0	-2737	SLE RA 1	-6	SI
-1790	Palo25	-	-70	1299	0	0	-2392	SLE RA 8	-0.8	0	0	-1900	SLE RA 1	-4.1	SI
-1790	Palo26	-	261.25	1299	0	0	-2424	SLE RA 8	-0.8	0	0	-2103	SLE RA 1	-4.6	SI
-1790	Palo27	-	275	1114	0	0	-2354	SLE RA 8	-0.8	0	0	-2054	SLE RA 1	-4.5	SI
-1790	Palo28	-	455	1114	0	0	-2101	SLE RA 8	-0.7	0	0	-1871	SLE RA 1	-4.1	SI
-1790	Palo29	-	-650	1074	0	0	-3449	SLE RA 8	-1.1	0	0	-2568	SLE RA 1	-5.6	SI
-1790	Palo3	-	-650	2344	0	0	-4458	SLE RA 8	-1.5	0	0	-3469	SLE RA 1	-7.6	SI
-1790	Palo30	-	-70	1074	0	0	-2386	SLE RA 8	-0.8	0	0	-1919	SLE RA 1	-4.2	SI
-1790	Palo31	-	185	1024	0	0	-2494	SLE RA 8	-0.8	0	0	-2143	SLE RA 1	-4.7	SI
-1790	Palo32	-	365	1024	0	0	-2150	SLE RA 8	-0.7	0	0	-1907	SLE RA 1	-4.2	SI
-1790	Palo33	-	275	934	0	0	-2307	SLE RA 8	-0.8	0	0	-2013	SLE RA 1	-4.4	SI
-1790	Palo34	-	455	934	0	0	-1982	SLE RA 8	-0.7	0	0	-1774	SLE RA 1	-3.9	SI
-1790	Palo35	-	-495	889	0	0	-2735	SLE RA 8	-0.9	0	0	-2083	SLE RA 1	-4.5	SI
-1790	Palo36	-	-225	889	0	0	-2543	SLE RA 8	-0.8	0	0	-2018	SLE RA 1	-4.4	SI
-1790	Palo37	-	185	844	0	0	-2468	SLE RA 8	-0.8	0	0	-2113	SLE RA 1	-4.6	SI
-1790	Palo38	-	365	844	0	0	-2095	SLE RA 8	-0.7	0	0	-1851	SLE RA 1	-4	SI
-1790	Palo39	-	-650	740.66	0	0	-3567	SLE RA 8	-1.2	0	0	-2639	SLE RA 1	-5.8	SI
-1790	Palo4	-	-70	2344	0	0	-3240	SLE RA 8	-1.1	0	0	-2796	SLE RA 1	-6.1	SI
-1790	Palo40	-	-70	765	0	0	-3116	SLE RA 8	-1	0	0	-2509	SLE RA 1	-5.5	SI
-1790	Palo41	-	275	754	0	0	-2261	SLE RA 8	-0.8	0	0	-1968	SLE RA 1	-4.3	SI
-1790	Palo42	-	456	753.31	0	0	-1925	SLE RA 8	-0.6	0	0	-1710	SLE RA 1	-3.7	SI
-1790	Palo43	-	185	664	0	0	-2392	SLE RA 8	-0.8	0	0	-2060	SLE RA 1	-4.5	SI
-1790	Palo44	-	365	664	0	0	-2062	SLE RA 8	-0.7	0	0	-1807	SLE RA 1	-3.9	SI
-1790	Palo45	-	-650	592.33	0	0	-3558	SLE RA 8	-1.2	0	0	-2720	SLE RA 1	-5.9	SI
-1790	Palo46	-	-70	555	0	0	-2993	SLE RA 8	-1	0	0	-2488	SLE RA 1	-5.4	SI
-1790	Palo47	-	275	574	0	0	-2163	SLE RA 8	-0.7	0	0	-1880	SLE RA 1	-4.1	SI
-1790	Palo48	-	455	574	0	0	-1902	SLE RA 8	-0.6	0	0	-1659	SLE RA 1	-3.6	SI
-1790	Palo49	-	-495	464	0	0	-3270	SLE RA 8	-1.1	0	0	-2619	SLE RA 1	-5.7	SI
-1790	Palo5	-	-495	2184	0	0	-2815	SLE RA 8	-0.9	0	0	-2247	SLE RA 1	-4.9	SI
-1790	Palo50	-	-225	464	0	0	-2819	SLE RA 8	-0.9	0	0	-2363	SLE RA 1	-5.2	SI
-1790	Palo51	-	185	484	0	0	-2252	SLE RA 8	-0.7	0	0	-1949	SLE RA 1	-4.2	SI
-1790	Palo52	-	365	484	0	0	-1980	SLE RA 8	-0.7	0	0	-1722	SLE RA 1	-3.8	SI
-1790	Palo53	-	275	394	0	0	-2007	SLE RA 8	-0.7	0	0	-1747	SLE RA 1	-3.8	SI
-1790	Palo54	-	455	394	0	0	-1886	SLE RA 8	-0.6	0	0	-1619	SLE RA 1	-3.5	SI
-1790	Palo55	-	935	1044	0	0	-3892	SLE RA 8	-1.3	0	0	-3050	SLE RA 1	-6.7	SI
-1790	Palo56	-	935	854	0	0	-2435	SLE RA 8	-0.8	0	0	-1966	SLE RA 1	-4.3	SI
-1790	Palo57	-	935	654	0	0	-2642	SLE RA 8	-0.9	0	0	-2024	SLE RA 1	-4.4	SI
-1790	Palo58	-	935	464	0	0	-4514	SLE RA 8	-1.5	0	0	-3220	SLE RA 1	-7	SI
-1790	Palo59	-	1330	1044	0	0	-3895	SLE RA 8	-1.3	0	0	-3079	SLE RA 1	-6.7	SI
-1790	Palo6	-	-225	2184	0	0	-2155	SLE RA 8	-0.7	0	0	-1859	SLE RA 1	-4.1	SI
-1790	Palo60	-	1330	854	0	0	-2435	SLE RA 8	-0.8	0	0	-1982	SLE RA 1	-4.3	SI
-1790	Palo61	-	1330	654	0	0	-2634	SLE RA 8	-0.9	0	0	-2043	SLE RA 1	-4.5	SI
-1790	Palo62	-	1330	464	0	0	-4495	SLE RA 8	-1.5	0	0	-3258	SLE RA 1	-7.1	SI
-1790	Palo63	-	1865	1034	0	0	-2406	SLE RA 8	-0.8	0	0	-2101	SLE RA 1	-4.6	SI
-1790	Palo64	-	2035	1034	0	0	-2213	SLE RA 8	-0.7	0	0	-1956	SLE RA 1	-4.3	SI
-1790	Palo65	-	2205	1034	0	0	-2376	SLE RA 8	-0.8	0	0	-2083	SLE RA 1	-4.5	SI
-1790	Palo66	-	1775	944	0	0	-2593	SLE RA 8	-0.9	0	0	-2218	SLE RA 1	-4.8	SI
-1790	Palo67	-	1955	944	0	0	-2301	SLE RA 8	-0.8	0	0	-1998	SLE RA 1	-4.4	SI
-1790	Palo68	-	2115	944	0	0	-2289	SLE RA 8	-0.8	0	0	-1991	SLE RA 1	-4.3	SI
-1790	Palo69	-	2295	944	0	0	-2553	SLE RA 8	-0.8	0	0	-2193	SLE RA 1	-4.8	SI
-1790	Palo7	-	-650	2014	0	0	-4499	SLE RA 8	-1.5	0	0	-3372	SLE RA 1	-7.4	SI
-1790	Palo70	-	1865	854	0	0	-2432	SLE RA 8	-0.8	0	0	-2075	SLE RA 1	-4.5	SI
-1790	Palo71	-	2205	854	0	0	-2410	SLE RA 8	-0.8	0	0	-2061	SLE RA 1	-4.5	SI
-1790	Palo72	-	1775	764	0	0	-2521	SLE RA 8	-0.8	0	0	-2113	SLE RA 1	-4.6	SI
-1790	Palo73	-	2295	764	0	0	-2488	SLE RA 8	-0.8	0	0	-2093	SLE RA 1	-4.6	SI
-1790	Palo74	-	1865	674	0	0	-2448	SLE RA 8	-0.8	0	0	-2036	SLE RA 1	-4.4	SI
-1790	Palo75	-	2205	674	0	0	-2430	SLE RA 8	-0.8	0	0	-2025	SLE RA 1	-4.4	SI
-1790	Palo76	-	1775	564	0	0	-2780	SLE RA 8	-0.9	0	0	-2231	SLE RA 1	-4.9	SI
-1790	Palo77	-	1955	564	0	0	-2453	SLE RA 8	-0.8	0	0	-2012	SLE RA 1	-4.4	SI
-1790	Palo78	-	2115	564	0	0	-2450	SLE RA 8	-0.8	0	0	-2011	SLE RA 1	-4.4	SI
-1790	Palo79	-	2295	564	0	0	-2769	SLE RA 8	-0.9	0	0	-2226	SLE RA 1	-4.9	SI
-1790	Palo8	-	11.25	1974	0	0	-2277	SLE RA 8	-0.8	0	0	-1971	SLE RA 1	-4.3	SI
-1790	Palo80	-	1865	474	0	0	-2810	SLE RA 8	-0.9	0	0	-2236	SLE RA 1	-4.9	SI
-1790	Palo81	-	2035	474	0	0	-2566	SLE RA 8	-0.9	0	0	-2071	SLE RA 1	-4.5	SI
-1790	Palo82	-	2205	474	0	0	-2815	SLE RA 8	-0.9	0	0	-2241	SLE RA 1	-4.9	SI
-1790	Palo83	-	2740	1044	0	0	-3887	SLE RA 8	-1.3	0	0	-3076	SLE RA 1	-6.7	SI
-1790	Palo84	-	2740	854	0	0	-2427								

RELAZIONE GEOTECNICA E SULLE FONDAZIONI

Quota	Filo	Ind.	Xp	Yp	Mx	My	N	Comb.	Sc,max	Mx	My	N	Comb.	Sf,max	Verifica
-1790	Palo89	-	3135	654	0	0	-2668	SLE RA 8	-0.9	0	0	-2056	SLE RA 1	-4.5	Si
-1790	Palo9	-	171.25	1974	0	0	-1904	SLE RA 8	-0.6	0	0	-1751	SLE RA 1	-3.8	Si
-1790	Palo90	-	3135	464	0	0	-4565	SLE RA 8	-1.5	0	0	-3287	SLE RA 1	-7.2	Si
-1790	Palo91	-	3705	1114	0	0	-1531	SLE RA 8	-0.5	0	0	-1437	SLE RA 1	-3.1	Si
-1790	Palo92	-	3885	1114	0	0	-1112	SLE RA 6	-0.4	0	0	-1075	SLE RA 4	-2.3	Si
-1790	Palo93	-	3615	1024	0	0	-1804	SLE RA 8	-0.6	0	0	-1628	SLE RA 1	-3.6	Si
-1790	Palo94	-	3795	1024	0	0	-1371	SLE RA 8	-0.5	0	0	-1306	SLE RA 1	-2.8	Si
-1790	Palo95	-	3705	934	0	0	-1603	SLE RA 8	-0.5	0	0	-1467	SLE RA 1	-3.2	Si
-1790	Palo96	-	3885	934	0	0	-1219	SLE RA 8	-0.4	0	0	-1179	SLE RA 1	-2.6	Si
-1790	Palo97	-	3615	844	0	0	-1813	SLE RA 8	-0.6	0	0	-1605	SLE RA 1	-3.5	Si
-1790	Palo98	-	3795	844	0	0	-1465	SLE RA 8	-0.5	0	0	-1351	SLE RA 1	-2.9	Si
-1790	Palo99	-	3705	754	0	0	-1664	SLE RA 8	-0.6	0	0	-1482	SLE RA 1	-3.2	Si

Verifiche delle tensioni nella famiglia Quasi permanenti

Tensione limite del calcestruzzo: 112.1

Coefficiente di omogeneizzazione impiegato: $E_s \cdot (1 + \varphi) / E_c = 6.55$

Coefficiente di viscosità: $\varphi = 0$

Quota	Filo	Ind.	Xp	Yp	Mx	My	N	Comb.	Sc,max	Verifica
0	Palo1	-	-495	2504	19517	608664	-58444	SLE QP 4	-44.1	Si
0	Palo10	-	-78.75	1884	42092	-99893	-34498	SLE QP 4	-15.6	Si
0	Palo100	-	3885	754	7948	170047	-13391	SLE QP 4	-11.4	Si
0	Palo101	-	3615	664	-27204	143290	-24254	SLE QP 4	-13.9	Si
0	Palo102	-	3795	664	6081	156465	-17551	SLE QP 4	-12.2	Si
0	Palo103	-	3705	574	17985	124683	-21194	SLE QP 4	-12	Si
0	Palo104	-	3885	574	39953	182148	-13505	SLE QP 4	-12.1	Si
0	Palo105	-	3615	484	-24889	258297	-26150	SLE QP 4	-19.2	Si
0	Palo106	-	3795	484	43547	194614	-17395	SLE QP 4	-13.9	Si
0	Palo107	-	3705	394	37760	211112	-21450	SLE QP 4	-15.8	Si
0	Palo108	-	3885	394	84713	191147	-12231	SLE QP 4	-12.6	Si
0	Palo11	-	91.25	1884	-88968	30474	-30355	SLE QP 4	-13.6	Si
0	Palo12	-	261.25	1884	-153448	50127	-24893	SLE QP 4	-14.7	Si
0	Palo13	-	-495	1844	-2716	680676	-46026	SLE QP 4	-47.5	Si
0	Palo14	-	-225	1844	2436	-160801	-31559	SLE QP 4	-16.8	Si
0	Palo15	-	11.25	1794	46467	1944	-32706	SLE QP 4	-12.4	Si
0	Palo16	-	-78.75	1704	-88731	452	-34668	SLE QP 4	-14.8	Si
0	Palo17	-	51.25	1704	-39568	-31880	-32576	SLE QP 4	-12.6	Si
0	Palo18	-	266.25	1704	-169400	1231	-29578	SLE QP 4	-16.5	Si
0	Palo19	-	-650	1664	-13428	53803	-74175	SLE QP 4	-26.1	Si
0	Palo2	-	-225	2504	20666	-407154	-50223	SLE QP 4	-33.1	Si
0	Palo20	-	11.25	1634	-95656	10282	-34201	SLE QP 4	-15	Si
0	Palo21	-	-495	1484	10901	565627	-52464	SLE QP 4	-40.4	Si
0	Palo22	-	-225	1484	1814	-146321	-38780	SLE QP 4	-18.5	Si
0	Palo23	-	91.25	1484	-1386	8280	-37264	SLE QP 4	-12.3	Si
0	Palo24	-	-650	1299	439407	18670	-55102	SLE QP 4	-36	Si
0	Palo25	-	-70	1299	240322	-2044	-32921	SLE QP 4	-20.6	Si
0	Palo26	-	261.25	1299	65598	281382	-34890	SLE QP 4	-23.2	Si
0	Palo27	-	275	1114	50489	123267	-33677	SLE QP 4	-16.3	Si
0	Palo28	-	455	1114	31365	-19347	-29142	SLE QP 4	-10.9	Si
0	Palo29	-	-650	1074	-277942	27943	-51554	SLE QP 4	-28.2	Si
0	Palo3	-	-650	2344	116604	69758	-71949	SLE QP 4	-28.7	Si
0	Palo30	-	-70	1074	-256450	-5561	-33019	SLE QP 4	-21.3	Si
0	Palo31	-	185	1024	15302	117769	-36167	SLE QP 4	-16.5	Si
0	Palo32	-	365	1024	24348	138774	-30003	SLE QP 4	-15.5	Si
0	Palo33	-	275	934	11188	138141	-32793	SLE QP 4	-16.3	Si
0	Palo34	-	455	934	31676	78051	-26824	SLE QP 4	-12.1	Si
0	Palo35	-	-495	889	76	463183	-38594	SLE QP 4	-31.7	Si
0	Palo36	-	-225	889	-7660	-355384	-35816	SLE QP 4	-26.3	Si
0	Palo37	-	185	844	65069	153511	-35630	SLE QP 4	-18.4	Si
0	Palo38	-	365	844	81047	121516	-28809	SLE QP 4	-15.3	Si
0	Palo39	-	-650	740.66	213085	35163	-53519	SLE QP 4	-26.2	Si
0	Palo4	-	-70	2344	274895	-46400	-51467	SLE QP 4	-28.1	Si
0	Palo40	-	-70	765	-34996	4154	-47138	SLE QP 4	-16.6	Si
0	Palo41	-	275	754	47668	140562	-31836	SLE QP 4	-16.4	Si
0	Palo42	-	456	753.31	25591	93900	-25478	SLE QP 4	-12.2	Si
0	Palo43	-	185	664	56292	140358	-34235	SLE QP 4	-17.3	Si
0	Palo44	-	365	664	29412	105211	-27968	SLE QP 4	-13.5	Si
0	Palo45	-	-650	592.33	-378467	26508	-54100	SLE QP 4	-33.2	Si
0	Palo46	-	-70	555	95576	17539	-45464	SLE QP 4	-18.6	Si
0	Palo47	-	275	574	87305	124587	-29823	SLE QP 4	-15.9	Si
0	Palo48	-	455	574	52265	62091	-24667	SLE QP 4	-11.3	Si
0	Palo49	-	-495	464	-28194	430493	-49734	SLE QP 4	-33.9	Si
0	Palo5	-	-495	2184	-629	738001	-41118	SLE QP 4	-52.5	Si
0	Palo50	-	-225	464	1819	-158310	-42208	SLE QP 4	-20.1	Si
0	Palo51	-	185	484	81209	161024	-31543	SLE QP 4	-17.6	Si
0	Palo52	-	365	484	72447	29756	-26166	SLE QP 4	-11.7	Si
0	Palo53	-	275	394	108468	109061	-26723	SLE QP 4	-15	Si
0	Palo54	-	455	394	87852	-95129	-24071	SLE QP 4	-13.1	Si
0	Palo55	-	935	1044	819151	-332011	-62488	SLE QP 4	-61.7	Si
0	Palo56	-	935	854	450053	-10997	-34449	SLE QP 4	-29.8	Si
0	Palo57	-	935	654	-572618	-12836	-36976	SLE QP 4	-40.1	Si
0	Palo58	-	935	464	-927149	-392953	-70004	SLE QP 4	-70.3	Si
0	Palo59	-	1330	1044	827328	115774	-62598	SLE QP 4	-58.5	Si
0	Palo6	-	-225	2184	8701	-443384	-29818	SLE QP 4	-28.1	Si
0	Palo60	-	1330	854	458449	3781	-34502	SLE QP 4	-30.2	Si
0	Palo61	-	1330	654	-565792	3936	-37001	SLE QP 4	-35.5	Si
0	Palo62	-	1330	464	-922089	117039	-70070	SLE QP 4	-65.1	Si
0	Palo63	-	1865	1034	49946	149942	-34758	SLE QP 4	-17.7	Si
0	Palo64	-	2035	1034	28443	-52122	-31096	SLE QP 4	-12.4	Si
0	Palo65	-	2205	1034	48755	-254903	-34249	SLE QP 4	-21.8	Si
0	Palo66	-	1775	944	65923	126949	-38064	SLE QP 4	-18.2	Si
0	Palo67	-	1955	944	-27265	25088	-32495	SLE QP 4	-12	Si
0	Palo68	-	2115	944	-29554	-131939	-32294	SLE QP 4	-16	Si
0	Palo69	-	2295	944	65854	-235279	-37370	SLE QP 4	-22.2	Si
0	Palo7	-	-650	2014	-75410	78132	-71528	SLE QP 4	-27.4	Si
0	Palo70	-	1865	854	32301	48454	-34748	SLE QP 4	-13.6	Si
0	Palo71	-	2205	854	32753	-157433	-34358	SLE QP 4	-17.7	Si
0	Palo72	-	1775	764	60164	59818	-36135	SLE QP 4	-15.1	Si
0	Palo73	-	2295	764	58824	-171647	-35578	SLE QP 4	-19	Si
0	Palo74	-	1865	674	466	18721	-34481	SLE QP 4	-11.8	Si
0	Palo75	-	2205	674	-11948	-137414	-34191	SLE QP 4	-16.7	Si

RELAZIONE GEOTECNICA E SULLE FONDAZIONI

Quota	Filo	Ind.	Xp	Yp	Mx	My	N	Comb.	Sc,max	Verifica
0	Palo76	-	1775	564	-241941	165365	-40170	SLE QP 4	-25.1	Si
0	Palo77	-	1955	564	-75902	23754	-34264	SLE QP 4	-14.3	Si
0	Palo78	-	2115	564	-81223	-148098	-34228	SLE QP 4	-18	Si
0	Palo79	-	2295	564	-251578	-284218	-40022	SLE QP 4	-28.7	Si
0	Palo8	-	11.25	1974	-3840	102399	-32353	SLE QP 4	-14.6	Si
0	Palo80	-	1865	474	-250648	200470	-40510	SLE QP 4	-26.4	Si
0	Palo81	-	2035	474	-200700	-67454	-36112	SLE QP 4	-20.4	Si
0	Palo82	-	2205	474	-259177	-333854	-40637	SLE QP 4	-30.7	Si
0	Palo83	-	2740	1044	834233	-236008	-62479	SLE QP 4	-60.6	Si
0	Palo84	-	2740	854	471267	-7679	-34413	SLE QP 4	-30.7	Si
0	Palo85	-	2740	654	-546671	-7501	-36687	SLE QP 4	-34.6	Si
0	Palo86	-	2740	464	-904573	-226721	-69409	SLE QP 4	-65.3	Si
0	Palo87	-	3135	1044	846866	171136	-63723	SLE QP 4	-60.4	Si
0	Palo88	-	3135	854	475790	5703	-35136	SLE QP 4	-31.1	Si
0	Palo89	-	3135	654	-568229	6168	-37643	SLE QP 4	-35.8	Si
0	Palo9	-	171.25	1974	-115147	90972	-25816	SLE QP 4	-14.4	Si
0	Palo90	-	3135	464	-935666	187580	-71395	SLE QP 4	-66.8	Si
0	Palo91	-	3705	1114	-21341	196884	-18568	SLE QP 4	-14.2	Si
0	Palo92	-	3885	1114	-57058	177708	-10070	SLE QP 4	-11	Si
0	Palo93	-	3615	1024	30264	239473	-23583	SLE QP 4	-17.6	Si
0	Palo94	-	3795	1024	-25356	179778	-15374	SLE QP 4	-12.5	Si
0	Palo95	-	3705	934	-9699	118895	-19603	SLE QP 4	-11.3	Si
0	Palo96	-	3885	934	-20409	171763	-12314	SLE QP 4	-11.2	Si
0	Palo97	-	3615	844	23029	138754	-23346	SLE QP 4	-13.4	Si
0	Palo98	-	3795	844	-200	151530	-16823	SLE QP 4	-11.7	Si
0	Palo99	-	3705	754	1807	99510	-20351	SLE QP 4	-10.7	Si
-471	Palo1	-	-495	2504	1926	33369	-42300	SLE QP 4	-16.8	Si
-471	Palo10	-	-78.75	1884	-385	16660	-25065	SLE QP 4	-8.7	Si
-471	Palo100	-	3885	754	-4600	16825	-9874	SLE QP 4	-4.5	Si
-471	Palo101	-	3615	664	-5443	16025	-17693	SLE QP 4	-6.9	Si
-471	Palo102	-	3795	664	-4597	16450	-12868	SLE QP 4	-5.4	Si
-471	Palo103	-	3705	574	-4202	15566	-15490	SLE QP 4	-6.1	Si
-471	Palo104	-	3885	574	-3655	17450	-9956	SLE QP 4	-4.5	Si
-471	Palo105	-	3615	484	-5441	20027	-19057	SLE QP 4	-7.8	Si
-471	Palo106	-	3795	484	-3532	17953	-12756	SLE QP 4	-5.5	Si
-471	Palo107	-	3705	394	-3589	18636	-15675	SLE QP 4	-6.5	Si
-471	Palo108	-	3885	394	-2243	17952	-9039	SLE QP 4	-4.3	Si
-471	Palo11	-	91.25	1884	-3776	20795	-22084	SLE QP 4	-8.3	Si
-471	Palo12	-	261.25	1884	-4968	21302	-18152	SLE QP 4	-7.2	Si
-471	Palo13	-	-495	1844	2327	41310	-33362	SLE QP 4	-14.5	Si
-471	Palo14	-	-225	1844	-1251	14410	-22950	SLE QP 4	-7.7	Si
-471	Palo15	-	11.25	1794	148	19519	-23776	SLE QP 4	-8.6	Si
-471	Palo16	-	-78.75	1704	-4626	18796	-25188	SLE QP 4	-9.2	Si
-471	Palo17	-	51.25	1704	-2346	17682	-23682	SLE QP 4	-8.5	Si
-471	Palo18	-	266.25	1704	-5480	18738	-21525	SLE QP 4	-8.1	Si
-471	Palo19	-	-650	1664	3079	19124	-53622	SLE QP 4	-18.3	Si
-471	Palo2	-	-225	2504	-529	1114	-36383	SLE QP 4	-12.6	Si
-471	Palo20	-	11.25	1634	-4368	18583	-24852	SLE QP 4	-9.1	Si
-471	Palo21	-	-495	1484	3279	33999	-37996	SLE QP 4	-15.3	Si
-471	Palo22	-	-225	1484	-908	11338	-28148	SLE QP 4	-9.3	Si
-471	Palo23	-	91.25	1484	-1137	16641	-27056	SLE QP 4	-9.6	Si
-471	Palo24	-	-650	1299	17872	14736	-39895	SLE QP 4	-14.9	Si
-471	Palo25	-	-70	1299	6551	14748	-23930	SLE QP 4	-8.9	Si
-471	Palo26	-	261.25	1299	1765	22977	-25348	SLE QP 4	-10	Si
-471	Palo27	-	275	1114	1054	16562	-24475	SLE QP 4	-9	Si
-471	Palo28	-	455	1114	421	11789	-21210	SLE QP 4	-7.4	Si
-471	Palo29	-	-650	1074	-5362	13420	-37341	SLE QP 4	-13.2	Si
-471	Palo3	-	-650	2344	7163	17733	-52020	SLE QP 4	-17.9	Si
-471	Palo30	-	-70	1074	-9422	12671	-24001	SLE QP 4	-9	Si
-471	Palo31	-	185	1024	-272	16277	-26267	SLE QP 4	-9.5	Si
-471	Palo32	-	365	1024	282	16940	-21831	SLE QP 4	-8.2	Si
-471	Palo33	-	275	934	-387	16882	-23838	SLE QP 4	-8.9	Si
-471	Palo34	-	455	934	327	14929	-19542	SLE QP 4	-7.2	Si
-471	Palo35	-	-495	889	2838	27245	-28013	SLE QP 4	-11.5	Si
-471	Palo36	-	-225	889	-377	735	-26014	SLE QP 4	-9.1	Si
-471	Palo37	-	185	844	1323	17343	-25880	SLE QP 4	-9.6	Si
-471	Palo38	-	365	844	1953	16333	-20971	SLE QP 4	-7.9	Si
-471	Palo39	-	-650	740.66	10749	13210	-38756	SLE QP 4	-13.7	Si
-471	Palo4	-	-70	2344	6744	14488	-37279	SLE QP 4	-13.1	Si
-471	Palo40	-	-70	765	-2057	12517	-34163	SLE QP 4	-11.6	Si
-471	Palo41	-	275	754	719	16933	-23149	SLE QP 4	-8.6	Si
-471	Palo42	-	456	753.31	15	15467	-18574	SLE QP 4	-7	Si
-471	Palo43	-	185	664	966	16959	-24877	SLE QP 4	-9.2	Si
-471	Palo44	-	365	664	32	15844	-20366	SLE QP 4	-7.6	Si
-471	Palo45	-	-650	592.33	-8338	12749	-39174	SLE QP 4	-14.1	Si
-471	Palo46	-	-70	555	2233	12966	-32958	SLE QP 4	-11.4	Si
-471	Palo47	-	275	574	1887	16494	-21701	SLE QP 4	-8.2	Si
-471	Palo48	-	455	574	792	14460	-17990	SLE QP 4	-6.7	Si
-471	Palo49	-	-495	464	2079	26188	-36031	SLE QP 4	-13.9	Si
-471	Palo5	-	-495	2184	2070	41443	-29830	SLE QP 4	-13.5	Si
-471	Palo50	-	-225	464	76	7312	-30614	SLE QP 4	-9.8	Si
-471	Palo51	-	185	484	1713	17740	-22939	SLE QP 4	-8.7	Si
-471	Palo52	-	365	484	1300	13475	-19069	SLE QP 4	-6.9	Si
-471	Palo53	-	275	394	2519	16098	-19470	SLE QP 4	-7.4	Si
-471	Palo54	-	455	394	1857	9355	-17561	SLE QP 4	-6	Si
-471	Palo55	-	935	1044	25291	1181	-45211	SLE QP 4	-17.8	Si
-471	Palo56	-	935	854	13301	11590	-25030	SLE QP 4	-9.9	Si
-471	Palo57	-	935	654	-19993	11545	-26849	SLE QP 4	-11.1	Si
-471	Palo58	-	935	464	-31487	-389	-50621	SLE QP 4	-20.2	Si
-471	Palo59	-	1330	1044	24245	15187	-45290	SLE QP 4	-17.9	Si
-471	Palo6	-	-225	2184	-49	3318	-21697	SLE QP 4	-7.8	Si
-471	Palo60	-	1330	854	12266	11756	-25069	SLE QP 4	-9.9	Si
-471	Palo61	-	1330	654	-21078	11732	-26867	SLE QP 4	-11.1	Si
-471	Palo62	-	1330	464	-32631	15821	-50668	SLE QP 4	-20.3	Si
-471	Palo63	-	1865	1034	-3052	15978	-25252	SLE QP 4	-9.3	Si
-471	Palo64	-	2035	1034	-3974	9418	-22617	SLE QP 4	-7.6	Si
-471	Palo65	-	2205	1034	-3623	2848	-24886	SLE QP 4	-8.4	Si
-471	Palo66	-	1775	944	-2476	15334	-27632	SLE QP 4	-10	Si
-471	Palo67	-	1955	944	-5655	12058	-23624	SLE QP 4	-8.3	Si
-471	Palo68	-	2115	944	-5972	6959	-23479	SLE QP 4	-7.9	Si
-471	Palo69	-	2295	944	-3299	3644	-27133	SLE QP 4	-9.1	Si

RELAZIONE GEOTECNICA E SULLE FONDAZIONI

Quota	Filo	Ind.	Xp	Yp	Mx	My	N	Comb.	Sc,max	Verifica
-471	Palo7	-	-650	2014	1042	21094	-51718	SLE QP 4	-17.9	Si
-471	Palo70	-	1865	854	-3664	12927	-25246	SLE QP 4	-8.9	Si
-471	Palo71	-	2205	854	-4165	6292	-24965	SLE QP 4	-8.1	Si
-471	Palo72	-	1775	764	-2705	13399	-26244	SLE QP 4	-9.3	Si
-471	Palo73	-	2295	764	-3518	5956	-25843	SLE QP 4	-8.4	Si
-471	Palo74	-	1865	674	-4736	12179	-25053	SLE QP 4	-8.8	Si
-471	Palo75	-	2205	674	-5623	7202	-24845	SLE QP 4	-8.3	Si
-471	Palo76	-	1775	564	-12466	17094	-29148	SLE QP 4	-11.1	Si
-471	Palo77	-	1955	564	-7356	12526	-24897	SLE QP 4	-8.9	Si
-471	Palo78	-	2115	564	-7751	6989	-24872	SLE QP 4	-8.6	Si
-471	Palo79	-	2295	564	-13537	2605	-29042	SLE QP 4	-10.7	Si
-471	Palo8	-	11.25	1974	-1496	23493	-23522	SLE QP 4	-9	Si
-471	Palo80	-	1865	474	-12887	18372	-29393	SLE QP 4	-11.3	Si
-471	Palo81	-	2035	474	-11533	9728	-26227	SLE QP 4	-9.5	Si
-471	Palo82	-	2205	474	-13658	1151	-29484	SLE QP 4	-11	Si
-471	Palo83	-	2740	1044	22526	3516	-45204	SLE QP 4	-17.7	Si
-471	Palo84	-	2740	854	10748	10865	-25004	SLE QP 4	-9.8	Si
-471	Palo85	-	2740	654	-22387	11410	-26641	SLE QP 4	-11.1	Si
-471	Palo86	-	2740	464	-33994	4681	-50192	SLE QP 4	-20	Si
-471	Palo87	-	3135	1044	23333	16535	-46100	SLE QP 4	-18.3	Si
-471	Palo88	-	3135	854	11283	11270	-25525	SLE QP 4	-10	Si
-471	Palo89	-	3135	654	-22708	11675	-27329	SLE QP 4	-11.4	Si
-471	Palo9	-	171.25	1974	-4245	23169	-18817	SLE QP 4	-7.5	Si
-471	Palo90	-	3135	464	-34628	17889	-51622	SLE QP 4	-20.8	Si
-471	Palo91	-	3705	1114	-5148	17236	-13600	SLE QP 4	-5.8	Si
-471	Palo92	-	3885	1114	-6582	16587	-7484	SLE QP 4	-3.8	Si
-471	Palo93	-	3615	1024	-3413	18708	-17209	SLE QP 4	-7.1	Si
-471	Palo94	-	3795	1024	-5384	16768	-11301	SLE QP 4	-5	Si
-471	Palo95	-	3705	934	-4767	14909	-14345	SLE QP 4	-5.7	Si
-471	Palo96	-	3885	934	-5430	16641	-9099	SLE QP 4	-4.2	Si
-471	Palo97	-	3615	844	-3716	15646	-17039	SLE QP 4	-6.6	Si
-471	Palo98	-	3795	844	-4665	16056	-12344	SLE QP 4	-5.2	Si
-471	Palo99	-	3705	754	-4549	14525	-14884	SLE QP 4	-5.8	Si
-942	Palo1	-	-495	2504	-941	-30379	-25694	SLE QP 4	-9.6	Si
-942	Palo10	-	-78.75	1884	-2206	5847	-15185	SLE QP 4	-5.2	Si
-942	Palo100	-	3885	754	-593	-8195	-5922	SLE QP 4	-2.3	Si
-942	Palo101	-	3615	664	1204	-6834	-10689	SLE QP 4	-3.7	Si
-942	Palo102	-	3795	664	-495	-7503	-7747	SLE QP 4	-2.8	Si
-942	Palo103	-	3705	574	-1099	-5883	-9346	SLE QP 4	-3.3	Si
-942	Palo104	-	3885	574	-2221	-8801	-5972	SLE QP 4	-2.3	Si
-942	Palo105	-	3615	484	1084	-12664	-11521	SLE QP 4	-4.3	Si
-942	Palo106	-	3795	484	-2404	-9430	-7679	SLE QP 4	-2.9	Si
-942	Palo107	-	3705	394	-2105	-10262	-9459	SLE QP 4	-3.5	Si
-942	Palo108	-	3885	394	-4496	-9250	-5413	SLE QP 4	-2.2	Si
-942	Palo11	-	91.25	1884	4483	-777	-13367	SLE QP 4	-4.5	Si
-942	Palo12	-	261.25	1884	7793	-1780	-10970	SLE QP 4	-3.9	Si
-942	Palo13	-	-495	1844	232	-33818	-20244	SLE QP 4	-8	Si
-942	Palo14	-	-225	1844	-175	8929	-13895	SLE QP 4	-4.9	Si
-942	Palo15	-	11.25	1794	-2413	658	-14399	SLE QP 4	-4.7	Si
-942	Palo16	-	-78.75	1704	4438	708	-15260	SLE QP 4	-5.1	Si
-942	Palo17	-	51.25	1704	1968	2347	-14342	SLE QP 4	-4.8	Si
-942	Palo18	-	266.25	1704	8603	665	-13026	SLE QP 4	-4.6	Si
-942	Palo19	-	-650	1664	819	-2056	-32598	SLE QP 4	-10.5	Si
-942	Palo2	-	-225	2504	-1096	21233	-22086	SLE QP 4	-8.1	Si
-942	Palo20	-	11.25	1634	4808	188	-15055	SLE QP 4	-5	Si
-942	Palo21	-	-495	1484	-440	-28115	-23070	SLE QP 4	-8.7	Si
-942	Palo22	-	-225	1484	-130	8056	-17064	SLE QP 4	-5.9	Si
-942	Palo23	-	91.25	1484	28	216	-16399	SLE QP 4	-5.3	Si
-942	Palo24	-	-650	1299	-22173	-398	-24227	SLE QP 4	-8.8	Si
-942	Palo25	-	-70	1299	-12252	680	-14493	SLE QP 4	-5.2	Si
-942	Palo26	-	261.25	1299	-3345	-13750	-15357	SLE QP 4	-5.6	Si
-942	Palo27	-	275	1114	-2587	-5771	-14825	SLE QP 4	-5	Si
-942	Palo28	-	455	1114	-1616	1465	-12834	SLE QP 4	-4.2	Si
-942	Palo29	-	-650	1074	14256	-932	-22670	SLE QP 4	-7.9	Si
-942	Palo3	-	-650	2344	-5790	-2941	-31621	SLE QP 4	-10.4	Si
-942	Palo30	-	-70	1074	12980	782	-14536	SLE QP 4	-5.3	Si
-942	Palo31	-	185	1024	-807	-5496	-15917	SLE QP 4	-5.3	Si
-942	Palo32	-	365	1024	-1256	-6563	-13212	SLE QP 4	-4.5	Si
-942	Palo33	-	275	934	-597	-6533	-14436	SLE QP 4	-4.9	Si
-942	Palo34	-	455	934	-1636	-3481	-11817	SLE QP 4	-4	Si
-942	Palo35	-	-495	889	106	-23046	-16983	SLE QP 4	-6.5	Si
-942	Palo36	-	-225	889	384	18524	-15763	SLE QP 4	-5.9	Si
-942	Palo37	-	185	844	-3335	-7315	-15682	SLE QP 4	-5.4	Si
-942	Palo38	-	365	844	-4142	-5689	-12688	SLE QP 4	-4.4	Si
-942	Palo39	-	-650	740.66	-10672	-1316	-23533	SLE QP 4	-8	Si
-942	Palo4	-	-70	2344	-14044	2978	-22632	SLE QP 4	-7.9	Si
-942	Palo40	-	-70	765	1741	271	-20732	SLE QP 4	-6.7	Si
-942	Palo41	-	275	754	-2453	-6657	-14017	SLE QP 4	-4.8	Si
-942	Palo42	-	456	753.31	-1331	-4285	-11226	SLE QP 4	-3.8	Si
-942	Palo43	-	185	664	-2892	-6645	-15070	SLE QP 4	-5.2	Si
-942	Palo44	-	365	664	-1529	-4859	-12319	SLE QP 4	-4.2	Si
-942	Palo45	-	-650	592.33	19372	-884	-23788	SLE QP 4	-8.5	Si
-942	Palo46	-	-70	555	-4887	-408	-19998	SLE QP 4	-6.6	Si
-942	Palo47	-	275	574	-4470	-5842	-13133	SLE QP 4	-4.5	Si
-942	Palo48	-	455	574	-2689	-2669	-10871	SLE QP 4	-3.6	Si
-942	Palo49	-	-495	464	1548	-21386	-21872	SLE QP 4	-8	Si
-942	Palo5	-	-495	2184	113	-36796	-18090	SLE QP 4	-7.5	Si
-942	Palo50	-	-225	464	-92	8523	-18568	SLE QP 4	-6.4	Si
-942	Palo51	-	185	484	-4160	-7690	-13888	SLE QP 4	-4.8	Si
-942	Palo52	-	365	484	-3720	-1024	-11528	SLE QP 4	-3.9	Si
-942	Palo53	-	275	394	-5547	-5050	-11773	SLE QP 4	-4.1	Si
-942	Palo54	-	455	394	-4500	5315	-10609	SLE QP 4	-3.7	Si
-942	Palo55	-	935	1044	-41648	17325	-27469	SLE QP 4	-10.9	Si
-942	Palo56	-	935	854	-22905	1023	-15164	SLE QP 4	-5.9	Si
-942	Palo57	-	935	654	29023	1117	-16273	SLE QP 4	-6.6	Si
-942	Palo58	-	935	464	47027	20435	-30768	SLE QP 4	-12.2	Si
-942	Palo59	-	1330	1044	-42114	-5435	-27517	SLE QP 4	-10.8	Si
-942	Palo6	-	-225	2184	-455	23204	-13131	SLE QP 4	-5.3	Si
-942	Palo60	-	1330	854	-23382	261	-15187	SLE QP 4	-6	Si
-942	Palo61	-	1330	654	28626	251	-16284	SLE QP 4	-6.5	Si
-942	Palo62	-	1330	464	46719	-5476	-30796	SLE QP 4	-12	Si

RELAZIONE GEOTECNICA E SULLE FONDAZIONI

Quota	Filo	Ind.	Xp	Yp	Mx	My	N	Comb.	Sc,max	Verifica
-942	Palo63	-	1865	1034	-2718	-7182	-15299	SLE QP 4	-5.2	Si
-942	Palo64	-	2035	1034	-1635	3079	-13692	SLE QP 4	-4.6	Si
-942	Palo65	-	2205	1034	-2678	13377	-15076	SLE QP 4	-5.5	Si
-942	Palo66	-	1775	944	-3527	-6010	-16750	SLE QP 4	-5.7	Si
-942	Palo67	-	1955	944	1199	-837	-14306	SLE QP 4	-4.6	Si
-942	Palo68	-	2115	944	1306	7137	-14218	SLE QP 4	-4.9	Si
-942	Palo69	-	2295	944	-3556	12386	-16445	SLE QP 4	-5.9	Si
-942	Palo7	-	-650	2014	3965	-3246	-31436	SLE QP 4	-10.3	Si
-942	Palo70	-	1865	854	-1824	-2019	-15295	SLE QP 4	-5	Si
-942	Palo71	-	2205	854	-1867	8438	-15124	SLE QP 4	-5.3	Si
-942	Palo72	-	1775	764	-3236	-2592	-15904	SLE QP 4	-5.3	Si
-942	Palo73	-	2295	764	-3198	9165	-15659	SLE QP 4	-5.5	Si
-942	Palo74	-	1865	674	-209	-501	-15178	SLE QP 4	-4.9	Si
-942	Palo75	-	2205	674	403	7432	-15050	SLE QP 4	-5.2	Si
-942	Palo76	-	1775	564	12107	-7941	-17674	SLE QP 4	-6.3	Si
-942	Palo77	-	1955	564	3664	-749	-15082	SLE QP 4	-5	Si
-942	Palo78	-	2115	564	3926	7979	-15067	SLE QP 4	-5.2	Si
-942	Palo79	-	2295	564	12566	14893	-17609	SLE QP 4	-6.6	Si
-942	Palo8	-	11.25	1974	142	-4416	-14244	SLE QP 4	-4.7	Si
-942	Palo80	-	1865	474	12543	-9718	-17823	SLE QP 4	-6.4	Si
-942	Palo81	-	2035	474	9996	3889	-15893	SLE QP 4	-5.6	Si
-942	Palo82	-	2205	474	12957	17420	-17879	SLE QP 4	-6.7	Si
-942	Palo83	-	2740	1044	-42540	12419	-27465	SLE QP 4	-10.9	Si
-942	Palo84	-	2740	854	-24108	822	-15147	SLE QP 4	-6	Si
-942	Palo85	-	2740	654	27580	834	-16146	SLE QP 4	-6.4	Si
-942	Palo86	-	2740	464	45755	11981	-30506	SLE QP 4	-12	Si
-942	Palo87	-	3135	1044	-43166	-8263	-28011	SLE QP 4	-11	Si
-942	Palo88	-	3135	854	-24323	142	-15465	SLE QP 4	-6.1	Si
-942	Palo89	-	3135	654	28689	133	-16565	SLE QP 4	-6.6	Si
-942	Palo9	-	171.25	1974	5827	-3833	-11375	SLE QP 4	-4	Si
-942	Palo90	-	3135	464	47348	-9066	-31378	SLE QP 4	-12.3	Si
-942	Palo91	-	3705	1114	910	-9576	-8194	SLE QP 4	-3.1	Si
-942	Palo92	-	3885	1114	2837	-8347	-4525	SLE QP 3	-1.8	Si
-942	Palo93	-	3615	1024	-1708	-11735	-10395	SLE QP 4	-3.9	Si
-942	Palo94	-	3795	1024	1110	-8704	-6792	SLE QP 4	-2.6	Si
-942	Palo95	-	3705	934	319	-5608	-8648	SLE QP 4	-3	Si
-942	Palo96	-	3885	934	851	-8292	-5449	SLE QP 4	-2.1	Si
-942	Palo97	-	3615	844	-1343	-6613	-10291	SLE QP 4	-3.6	Si
-942	Palo98	-	3795	844	-171	-7262	-7428	SLE QP 4	-2.7	Si
-942	Palo99	-	3705	754	-271	-4614	-8976	SLE QP 4	-3.1	Si
-1319	Palo1	-	-495	2504	-289	-7689	-16489	SLE QP 4	-5.7	Si
-1319	Palo10	-	-78.75	1884	-398	162	-9926	SLE QP 4	-3.2	Si
-1319	Palo100	-	3885	754	150	-2521	-4142	SLE QP 4	-1.5	Si
-1319	Palo101	-	3615	664	540	-2216	-7119	SLE QP 4	-2.4	Si
-1319	Palo102	-	3795	664	168	-2368	-5282	SLE QP 4	-1.8	Si
-1319	Palo103	-	3705	574	31	-2009	-6280	SLE QP 4	-2.1	Si
-1319	Palo104	-	3885	574	-214	-2672	-4173	SLE QP 4	-1.5	Si
-1319	Palo105	-	3615	484	517	-3555	-7638	SLE QP 4	-2.7	Si
-1319	Palo106	-	3795	484	-256	-2821	-5239	SLE QP 4	-1.8	Si
-1319	Palo107	-	3705	394	-196	-3018	-6350	SLE QP 4	-2.2	Si
-1319	Palo108	-	3885	394	-728	-2786	-3824	SLE QP 4	-1.4	Si
-1319	Palo11	-	91.25	1884	1069	-1335	-8791	SLE QP 4	-2.9	Si
-1319	Palo12	-	261.25	1884	1767	-1555	-7294	SLE QP 4	-2.5	Si
-1319	Palo13	-	-495	1844	-89	-8798	-13086	SLE QP 4	-4.7	Si
-1319	Palo14	-	-225	1844	38	877	-9121	SLE QP 4	-3	Si
-1319	Palo15	-	11.25	1794	-468	-989	-9435	SLE QP 4	-3.1	Si
-1319	Palo16	-	-78.75	1704	1109	-939	-9973	SLE QP 4	-3.3	Si
-1319	Palo17	-	51.25	1704	509	-563	-9400	SLE QP 4	-3	Si
-1319	Palo18	-	266.25	1704	1951	-943	-8578	SLE QP 4	-2.9	Si
-1319	Palo19	-	-650	1664	-20	-1483	-20800	SLE QP 4	-6.7	Si
-1319	Palo2	-	-225	2504	-178	3979	-14236	SLE QP 4	-4.8	Si
-1319	Palo20	-	11.25	1634	1165	-1025	-9845	SLE QP 4	-3.2	Si
-1319	Palo21	-	-495	1484	-271	-7294	-14850	SLE QP 4	-5.2	Si
-1319	Palo22	-	-225	1484	27	886	-11100	SLE QP 4	-3.6	Si
-1319	Palo23	-	91.25	1484	70	-909	-10684	SLE QP 4	-3.5	Si
-1319	Palo24	-	-650	1299	-5242	-917	-15573	SLE QP 4	-5.3	Si
-1319	Palo25	-	-70	1299	-2707	-713	-9494	SLE QP 4	-3.2	Si
-1319	Palo26	-	261.25	1299	-738	-3930	-10034	SLE QP 4	-3.4	Si
-1319	Palo27	-	275	1114	-553	-2045	-9701	SLE QP 4	-3.2	Si
-1319	Palo28	-	455	1114	-332	-394	-8458	SLE QP 4	-2.7	Si
-1319	Palo29	-	-650	1074	3021	-944	-14601	SLE QP 4	-4.9	Si
-1319	Palo3	-	-650	2344	-1511	-1572	-20190	SLE QP 4	-6.6	Si
-1319	Palo30	-	-70	1074	3009	-575	-9521	SLE QP 4	-3.2	Si
-1319	Palo31	-	185	1024	-138	-1976	-10384	SLE QP 4	-3.4	Si
-1319	Palo32	-	365	1024	-255	-2217	-8694	SLE QP 4	-2.9	Si
-1319	Palo33	-	275	934	-92	-2208	-9459	SLE QP 4	-3.2	Si
-1319	Palo34	-	455	934	-330	-1515	-7823	SLE QP 4	-2.6	Si
-1319	Palo35	-	-495	889	-142	-5944	-11049	SLE QP 4	-3.9	Si
-1319	Palo36	-	-225	889	95	3485	-10288	SLE QP 4	-3.5	Si
-1319	Palo37	-	185	844	-711	-2383	-10237	SLE QP 4	-3.4	Si
-1319	Palo38	-	365	844	-900	-2016	-8367	SLE QP 4	-2.8	Si
-1319	Palo39	-	-650	740.66	-2646	-1005	-15139	SLE QP 4	-5	Si
-1319	Palo4	-	-70	2344	-3059	-260	-14577	SLE QP 4	-4.9	Si
-1319	Palo40	-	-70	765	449	-663	-13390	SLE QP 4	-4.3	Si
-1319	Palo41	-	275	754	-508	-2234	-9197	SLE QP 4	-3.1	Si
-1319	Palo42	-	456	753.31	-254	-1699	-7454	SLE QP 4	-2.5	Si
-1319	Palo43	-	185	664	-606	-2234	-9854	SLE QP 4	-3.3	Si
-1319	Palo44	-	365	664	-293	-1830	-8137	SLE QP 4	-2.7	Si
-1319	Palo45	-	-650	592.33	4165	-896	-15298	SLE QP 4	-5.2	Si
-1319	Palo46	-	-70	555	-1058	-818	-12932	SLE QP 4	-4.2	Si
-1319	Palo47	-	275	574	-959	-2054	-8645	SLE QP 4	-2.9	Si
-1319	Palo48	-	455	574	-557	-1334	-7232	SLE QP 4	-2.4	Si
-1319	Palo49	-	-495	464	176	-5567	-14102	SLE QP 4	-4.8	Si
-1319	Palo5	-	-495	2184	-97	-9372	-11741	SLE QP 4	-4.3	Si
-1319	Palo50	-	-225	464	-22	1205	-12039	SLE QP 4	-3.9	Si
-1319	Palo51	-	185	484	-890	-2477	-9117	SLE QP 4	-3.1	Si
-1319	Palo52	-	365	484	-782	-965	-7643	SLE QP 4	-2.5	Si
-1319	Palo53	-	275	394	-1200	-1881	-7795	SLE QP 4	-2.6	Si
-1319	Palo54	-	455	394	-963	478	-7069	SLE QP 4	-2.3	Si
-1319	Palo55	-	935	1044	-9374	3231	-17597	SLE QP 4	-6.2	Si
-1319	Palo56	-	935	854	-5120	-467	-9913	SLE QP 4	-3.5	Si

RELAZIONE GEOTECNICA E SULLE FONDAZIONI

Quota	Filo	Ind.	Xp	Yp	Mx	My	N	Comb.	Sc,max	Verifica
-1319	Palo57	-	935	654	6668	-447	-10605	SLE QP 4	-3,8	Si
-1319	Palo58	-	935	464	10752	3913	-19657	SLE QP 4	-7	Si
-1319	Palo59	-	1330	1044	-9403	-1902	-17628	SLE QP 4	-6,2	Si
-1319	Palo6	-	-225	2184	-84	4229	-8644	SLE QP 4	-3	Si
-1319	Palo60	-	1330	854	-5152	-622	-9927	SLE QP 4	-3,5	Si
-1319	Palo61	-	1330	654	6654	-622	-10612	SLE QP 4	-3,8	Si
-1319	Palo62	-	1330	464	10758	-1946	-19675	SLE QP 4	-7	Si
-1319	Palo63	-	1865	1034	-343	-2280	-9997	SLE QP 4	-3,3	Si
-1319	Palo64	-	2035	1034	-84	48	-8994	SLE QP 4	-2,9	Si
-1319	Palo65	-	2205	1034	-303	2384	-9858	SLE QP 4	-3,3	Si
-1319	Palo66	-	1775	944	-530	-2020	-10904	SLE QP 4	-3,6	Si
-1319	Palo67	-	1955	944	551	-848	-9377	SLE QP 4	-3,1	Si
-1319	Palo68	-	2115	944	590	962	-9322	SLE QP 4	-3,1	Si
-1319	Palo69	-	2295	944	-489	2150	-10713	SLE QP 4	-3,6	Si
-1319	Palo7	-	-650	2014	695	-1823	-20075	SLE QP 4	-6,5	Si
-1319	Palo70	-	1865	854	-138	-1123	-9995	SLE QP 4	-3,3	Si
-1319	Palo71	-	2205	854	-118	1247	-9888	SLE QP 4	-3,3	Si
-1319	Palo72	-	1775	764	-462	-1259	-10375	SLE QP 4	-3,4	Si
-1319	Palo73	-	2295	764	-408	1405	-10222	SLE QP 4	-3,4	Si
-1319	Palo74	-	1865	674	231	-791	-9922	SLE QP 4	-3,2	Si
-1319	Palo75	-	2205	674	398	1004	-9842	SLE QP 4	-3,2	Si
-1319	Palo76	-	1775	564	3017	-2488	-11481	SLE QP 4	-3,9	Si
-1319	Palo77	-	1955	564	1118	-858	-9862	SLE QP 4	-3,2	Si
-1319	Palo78	-	2115	564	1190	1120	-9852	SLE QP 4	-3,3	Si
-1319	Palo79	-	2295	564	3166	2687	-11440	SLE QP 4	-3,9	Si
-1319	Palo8	-	11,25	1974	112	-2182	-9338	SLE QP 4	-3,1	Si
-1319	Palo80	-	1865	474	3124	-2899	-11574	SLE QP 4	-4	Si
-1319	Palo81	-	2035	474	2562	185	-10369	SLE QP 4	-3,5	Si
-1319	Palo82	-	2205	474	3247	3251	-11609	SLE QP 4	-4	Si
-1319	Palo83	-	2740	1044	-9386	2164	-17595	SLE QP 4	-6,2	Si
-1319	Palo84	-	2740	854	-5204	-464	-9903	SLE QP 4	-3,5	Si
-1319	Palo85	-	2740	654	6529	-493	-10526	SLE QP 4	-3,8	Si
-1319	Palo86	-	2740	464	10653	2014	-19494	SLE QP 4	-6,9	Si
-1319	Palo87	-	3135	1044	-9551	-2517	-17936	SLE QP 4	-6,3	Si
-1319	Palo88	-	3135	854	-5275	-617	-10101	SLE QP 4	-3,6	Si
-1319	Palo89	-	3135	654	6759	-641	-10788	SLE QP 4	-3,9	Si
-1319	Palo9	-	171,25	1974	1352	-2053	-7547	SLE QP 4	-2,6	Si
-1319	Palo90	-	3135	464	10992	-2748	-20038	SLE QP 4	-7,1	Si
-1319	Palo91	-	3705	1114	467	-2807	-5561	SLE QP 4	-1,9	Si
-1319	Palo92	-	3885	1114	844	-2496	-3270	SLE QP 3	-1,2	Si
-1319	Palo93	-	3615	1024	-130	-3303	-6935	SLE QP 4	-2,4	Si
-1319	Palo94	-	3795	1024	519	-2615	-4685	SLE QP 4	-1,7	Si
-1319	Palo95	-	3705	934	333	-1919	-5844	SLE QP 4	-2	Si
-1319	Palo96	-	3885	934	472	-2529	-3846	SLE QP 4	-1,4	Si
-1319	Palo97	-	3615	844	-44	-2152	-6870	SLE QP 4	-2,3	Si
-1319	Palo98	-	3795	844	234	-2299	-5082	SLE QP 4	-1,8	Si
-1319	Palo99	-	3705	754	208	-1708	-6049	SLE QP 4	-2	Si
-1790	Palo1	-	-495	2504	0	0	-3441	SLE QP 4	-1,1	Si
-1790	Palo10	-	-78,75	1884	0	0	-2284	SLE QP 4	-0,8	Si
-1790	Palo100	-	3885	754	0	0	-1264	SLE QP 4	-0,4	Si
-1790	Palo101	-	3615	664	0	0	-1789	SLE QP 4	-0,6	Si
-1790	Palo102	-	3795	664	0	0	-1465	SLE QP 4	-0,5	Si
-1790	Palo103	-	3705	574	0	0	-1641	SLE QP 4	-0,5	Si
-1790	Palo104	-	3885	574	0	0	-1270	SLE QP 4	-0,4	Si
-1790	Palo105	-	3615	484	0	0	-1881	SLE QP 4	-0,6	Si
-1790	Palo106	-	3795	484	0	0	-1458	SLE QP 4	-0,5	Si
-1790	Palo107	-	3705	394	0	0	-1653	SLE QP 4	-0,6	Si
-1790	Palo108	-	3885	394	0	0	-1208	SLE QP 4	-0,4	Si
-1790	Palo11	-	91,25	1884	0	0	-2084	SLE QP 4	-0,7	Si
-1790	Palo12	-	261,25	1884	0	0	-1820	SLE QP 4	-0,6	Si
-1790	Palo13	-	-495	1844	0	0	-2841	SLE QP 4	-0,9	Si
-1790	Palo14	-	-225	1844	0	0	-2142	SLE QP 4	-0,7	Si
-1790	Palo15	-	11,25	1794	0	0	-2197	SLE QP 4	-0,7	Si
-1790	Palo16	-	-78,75	1704	0	0	-2292	SLE QP 4	-0,8	Si
-1790	Palo17	-	51,25	1704	0	0	-2191	SLE QP 4	-0,7	Si
-1790	Palo18	-	266,25	1704	0	0	-2046	SLE QP 4	-0,7	Si
-1790	Palo19	-	-650	1664	0	0	-4202	SLE QP 4	-1,4	Si
-1790	Palo2	-	-225	2504	0	0	-3044	SLE QP 4	-1	Si
-1790	Palo20	-	11,25	1634	0	0	-2270	SLE QP 4	-0,8	Si
-1790	Palo21	-	-495	1484	0	0	-3152	SLE QP 4	-1	Si
-1790	Palo22	-	-225	1484	0	0	-2491	SLE QP 4	-0,8	Si
-1790	Palo23	-	91,25	1484	0	0	-2418	SLE QP 4	-0,8	Si
-1790	Palo24	-	-650	1299	0	0	-3280	SLE QP 4	-1,1	Si
-1790	Palo25	-	-70	1299	0	0	-2208	SLE QP 4	-0,7	Si
-1790	Palo26	-	261,25	1299	0	0	-2303	SLE QP 4	-0,8	Si
-1790	Palo27	-	275	1114	0	0	-2244	SLE QP 4	-0,7	Si
-1790	Palo28	-	455	1114	0	0	-2025	SLE QP 4	-0,7	Si
-1790	Palo29	-	-650	1074	0	0	-3108	SLE QP 4	-1	Si
-1790	Palo3	-	-650	2344	0	0	-4094	SLE QP 4	-1,4	Si
-1790	Palo30	-	-70	1074	0	0	-2213	SLE QP 4	-0,7	Si
-1790	Palo31	-	185	1024	0	0	-2365	SLE QP 4	-0,8	Si
-1790	Palo32	-	365	1024	0	0	-2067	SLE QP 4	-0,7	Si
-1790	Palo33	-	275	934	0	0	-2202	SLE QP 4	-0,7	Si
-1790	Palo34	-	455	934	0	0	-1913	SLE QP 4	-0,6	Si
-1790	Palo35	-	-495	889	0	0	-2482	SLE QP 4	-0,8	Si
-1790	Palo36	-	-225	889	0	0	-2348	SLE QP 4	-0,8	Si
-1790	Palo37	-	185	844	0	0	-2339	SLE QP 4	-0,8	Si
-1790	Palo38	-	365	844	0	0	-2009	SLE QP 4	-0,7	Si
-1790	Palo39	-	-650	740,66	0	0	-3203	SLE QP 4	-1,1	Si
-1790	Palo4	-	-70	2344	0	0	-3104	SLE QP 4	-1	Si
-1790	Palo40	-	-70	765	0	0	-2895	SLE QP 4	-1	Si
-1790	Palo41	-	275	754	0	0	-2155	SLE QP 4	-0,7	Si
-1790	Palo42	-	456	753,31	0	0	-1848	SLE QP 4	-0,6	Si
-1790	Palo43	-	185	664	0	0	-2271	SLE QP 4	-0,8	Si
-1790	Palo44	-	365	664	0	0	-1968	SLE QP 4	-0,7	Si
-1790	Palo45	-	-650	592,33	0	0	-3231	SLE QP 4	-1,1	Si
-1790	Palo46	-	-70	555	0	0	-2814	SLE QP 4	-0,9	Si
-1790	Palo47	-	275	574	0	0	-2058	SLE QP 4	-0,7	Si
-1790	Palo48	-	455	574	0	0	-1809	SLE QP 4	-0,6	Si
-1790	Palo49	-	-495	464	0	0	-3020	SLE QP 4	-1	Si
-1790	Palo5	-	-495	2184	0	0	-2604	SLE QP 4	-0,9	Si

RELAZIONE GEOTECNICA E SULLE FONDAZIONI

Quota	Filo	Ind.	Xp	Yp	Mx	My	N	Comb.	Sc,max	Verifica
-1790	Palo50	-	-225	464	0	0	-2657	SLE QP 4	-0.9	Si
-1790	Palo51	-	185	484	0	0	-2141	SLE QP 4	-0.7	Si
-1790	Palo52	-	365	484	0	0	-1881	SLE QP 4	-0.6	Si
-1790	Palo53	-	275	394	0	0	-1908	SLE QP 4	-0.6	Si
-1790	Palo54	-	455	394	0	0	-1780	SLE QP 4	-0.6	Si
-1790	Palo55	-	935	1044	0	0	-3637	SLE QP 4	-1.2	Si
-1790	Palo56	-	935	854	0	0	-2282	SLE QP 4	-0.8	Si
-1790	Palo57	-	935	654	0	0	-2404	SLE QP 4	-0.8	Si
-1790	Palo58	-	935	464	0	0	-4000	SLE QP 4	-1.3	Si
-1790	Palo59	-	1330	1044	0	0	-3642	SLE QP 4	-1.2	Si
-1790	Palo6	-	-225	2184	0	0	-2058	SLE QP 4	-0.7	Si
-1790	Palo60	-	1330	854	0	0	-2284	SLE QP 4	-0.8	Si
-1790	Palo61	-	1330	654	0	0	-2405	SLE QP 4	-0.8	Si
-1790	Palo62	-	1330	464	0	0	-4003	SLE QP 4	-1.3	Si
-1790	Palo63	-	1865	1034	0	0	-2297	SLE QP 4	-0.8	Si
-1790	Palo64	-	2035	1034	0	0	-2120	SLE QP 4	-0.7	Si
-1790	Palo65	-	2205	1034	0	0	-2272	SLE QP 4	-0.8	Si
-1790	Palo66	-	1775	944	0	0	-2456	SLE QP 4	-0.8	Si
-1790	Palo67	-	1955	944	0	0	-2187	SLE QP 4	-0.7	Si
-1790	Palo68	-	2115	944	0	0	-2178	SLE QP 4	-0.7	Si
-1790	Palo69	-	2295	944	0	0	-2423	SLE QP 4	-0.8	Si
-1790	Palo7	-	-650	2014	0	0	-4074	SLE QP 4	-1.4	Si
-1790	Palo70	-	1865	854	0	0	-2296	SLE QP 4	-0.8	Si
-1790	Palo71	-	2205	854	0	0	-2277	SLE QP 4	-0.8	Si
-1790	Palo72	-	1775	764	0	0	-2363	SLE QP 4	-0.8	Si
-1790	Palo73	-	2295	764	0	0	-2336	SLE QP 4	-0.8	Si
-1790	Palo74	-	1865	674	0	0	-2283	SLE QP 4	-0.8	Si
-1790	Palo75	-	2205	674	0	0	-2269	SLE QP 4	-0.8	Si
-1790	Palo76	-	1775	564	0	0	-2558	SLE QP 4	-0.9	Si
-1790	Palo77	-	1955	564	0	0	-2273	SLE QP 4	-0.8	Si
-1790	Palo78	-	2115	564	0	0	-2271	SLE QP 4	-0.8	Si
-1790	Palo79	-	2295	564	0	0	-2551	SLE QP 4	-0.8	Si
-1790	Palo8	-	11.25	1974	0	0	-2180	SLE QP 4	-0.7	Si
-1790	Palo80	-	1865	474	0	0	-2575	SLE QP 4	-0.9	Si
-1790	Palo81	-	2035	474	0	0	-2362	SLE QP 4	-0.8	Si
-1790	Palo82	-	2205	474	0	0	-2581	SLE QP 4	-0.9	Si
-1790	Palo83	-	2740	1044	0	0	-3636	SLE QP 4	-1.2	Si
-1790	Palo84	-	2740	854	0	0	-2280	SLE QP 4	-0.8	Si
-1790	Palo85	-	2740	654	0	0	-2390	SLE QP 4	-0.8	Si
-1790	Palo86	-	2740	464	0	0	-3971	SLE QP 4	-1.3	Si
-1790	Palo87	-	3135	1044	0	0	-3696	SLE QP 4	-1.2	Si
-1790	Palo88	-	3135	854	0	0	-2315	SLE QP 4	-0.8	Si
-1790	Palo89	-	3135	654	0	0	-2436	SLE QP 4	-0.8	Si
-1790	Palo9	-	171.25	1974	0	0	-1864	SLE QP 4	-0.6	Si
-1790	Palo90	-	3135	464	0	0	-4067	SLE QP 4	-1.4	Si
-1790	Palo91	-	3705	1114	0	0	-1514	SLE QP 4	-0.5	Si
-1790	Palo92	-	3885	1114	0	0	-1110	SLE QP 3	-0.4	Si
-1790	Palo93	-	3615	1024	0	0	-1757	SLE QP 4	-0.6	Si
-1790	Palo94	-	3795	1024	0	0	-1360	SLE QP 4	-0.5	Si
-1790	Palo95	-	3705	934	0	0	-1564	SLE QP 4	-0.5	Si
-1790	Palo96	-	3885	934	0	0	-1212	SLE QP 4	-0.4	Si
-1790	Palo97	-	3615	844	0	0	-1745	SLE QP 4	-0.6	Si
-1790	Palo98	-	3795	844	0	0	-1430	SLE QP 4	-0.5	Si
-1790	Palo99	-	3705	754	0	0	-1600	SLE QP 4	-0.5	Si

Verifiche delle fessure nella famiglia Esercizio frequente

Valore limite di controllo: 0.4 mm

Coefficiente di omogeneizzazione impiegato: Es / Ec = 6.55

Quota	Filo	Ind.	Xp	Yp	Mx	My	N	Comb.	Fess	Wka,mm	Wk,mm	Sm,cm	Verifica
0	Palo1	-	-495	2504	17348	492891	-49743	SLE FR 1	no				Si
0	Palo10	-	-78.75	1884	45142	-96866	-29128	SLE FR 1	no				Si
0	Palo100	-	3885	754	3029	139660	-12274	SLE FR 1	no				Si
0	Palo101	-	3615	664	-23060	113250	-20868	SLE FR 1	no				Si
0	Palo102	-	3795	664	2828	128073	-15516	SLE FR 1	no				Si
0	Palo103	-	3705	574	11985	98863	-18308	SLE FR 1	no				Si
0	Palo104	-	3885	574	28379	147640	-12143	SLE FR 1	no				Si
0	Palo105	-	3615	484	-23585	203686	-22129	SLE FR 1	no				Si
0	Palo106	-	3795	484	30916	156967	-15154	SLE FR 1	no				Si
0	Palo107	-	3705	394	26968	168993	-18287	SLE FR 1	no				Si
0	Palo108	-	3885	394	66438	154311	-10874	SLE FR 1	no				Si
0	Palo11	-	91.25	1884	-71927	976	-26639	SLE FR 1	no				Si
0	Palo12	-	261.25	1884	-128234	18492	-23194	SLE FR 1	no				Si
0	Palo13	-	-495	1844	-2169	530589	-36887	SLE FR 1	no				Si
0	Palo14	-	-225	1844	2542	-136487	-26084	SLE FR 1	no				Si
0	Palo15	-	11.25	1794	46076	-20052	-27909	SLE FR 1	no				Si
0	Palo16	-	-78.75	1704	-57351	-22392	-28663	SLE FR 1	no				Si
0	Palo17	-	51.25	1704	-22906	-54738	-27827	SLE FR 1	no				Si
0	Palo18	-	266.25	1704	-137445	-24676	-26895	SLE FR 1	no				Si
0	Palo19	-	-650	1664	-19913	42054	-58685	SLE FR 1	no				Si
0	Palo2	-	-225	2504	18881	-356095	-44302	SLE FR 1	no				Si
0	Palo20	-	11.25	1634	-66508	-22321	-28652	SLE FR 1	no				Si
0	Palo21	-	-495	1484	8081	448752	-41745	SLE FR 1	no				Si
0	Palo22	-	-225	1484	1637	-113239	-30924	SLE FR 1	no				Si
0	Palo23	-	91.25	1484	-1016	-36640	-31135	SLE FR 1	no				Si
0	Palo24	-	-650	1299	340472	14655	-43873	SLE FR 1	no				Si
0	Palo25	-	-70	1299	180830	-2202	-26547	SLE FR 1	no				Si
0	Palo26	-	261.25	1299	52454	246101	-30750	SLE FR 1	no				Si
0	Palo27	-	275	1114	38927	100826	-29734	SLE FR 1	no				Si
0	Palo28	-	455	1114	21933	-6416	-25959	SLE FR 1	no				Si
0	Palo29	-	-650	1074	-200814	20883	-40379	SLE FR 1	no				Si
0	Palo3	-	-650	2344	129685	55682	-59017	SLE FR 1	no				Si
0	Palo30	-	-70	1074	-219874	-5497	-26953	SLE FR 1	no				Si
0	Palo31	-	185	1024	13972	88559	-31570	SLE FR 1	no				Si
0	Palo32	-	365	1024	17996	117550	-26703	SLE FR 1	no				Si
0	Palo33	-	275	934	6705	108227	-28882	SLE FR 1	no				Si
0	Palo34	-	455	934	24427	72053	-23944	SLE FR 1	no				Si
0	Palo35	-	-495	889	-293	341323	-30336	SLE FR 1	no				Si
0	Palo36	-	-225	889	-6974	-295711	-28999	SLE FR 1	no				Si
0	Palo37	-	185	844	53315	112958	-30952	SLE FR 1	no				Si
0	Palo38	-	365	844	69840	104503	-25541	SLE FR 1	no				Si

RELAZIONE GEOTECNICA E SULLE FONDAZIONI

Quota	Filo	Ind.	Xp	Yp	Mx	My	N	Comb.	Fess	Wka,mm	Wk,mm	Sm,cm	Verifica
0	Palo39	-	-650	740.66	122182	26258	-41852	SLE FR 1	no				Si
0	Palo4	-	-70	2344	261620	-39719	-45098	SLE FR 1	no				Si
0	Palo40	-	-70	765	-60526	827	-39145	SLE FR 1	no				Si
0	Palo41	-	275	754	36676	115870	-27966	SLE FR 1	no				Si
0	Palo42	-	456	753.31	25212	86401	-22612	SLE FR 1	no				Si
0	Palo43	-	185	664	41167	116028	-29855	SLE FR 1	no				Si
0	Palo44	-	365	664	26402	96849	-24627	SLE FR 1	no				Si
0	Palo45	-	-650	592.33	-349899	20227	-43523	SLE FR 1	no				Si
0	Palo46	-	-70	555	53081	12525	-38726	SLE FR 1	no				Si
0	Palo47	-	275	574	72168	110770	-26138	SLE FR 1	no				Si
0	Palo48	-	455	574	51526	63055	-21560	SLE FR 1	no				Si
0	Palo49	-	-495	464	-24246	327299	-41421	SLE FR 1	no				Si
0	Palo5	-	-495	2184	-811	765031	-42367	SLE FR 4	si	0.4	0.014	25.4	Si
0	Palo50	-	-225	464	296	-136129	-36125	SLE FR 1	no				Si
0	Palo51	-	185	484	64191	141601	-27560	SLE FR 1	no				Si
0	Palo52	-	365	484	61282	38501	-22870	SLE FR 1	no				Si
0	Palo53	-	275	394	89241	100970	-23394	SLE FR 1	no				Si
0	Palo54	-	455	394	78951	-58891	-20739	SLE FR 1	no				Si
0	Palo55	-	935	1044	840411	-343798	-63998	SLE FR 4	si	0.4	0.012	32.9	Si
0	Palo56	-	935	854	363795	-8154	-27912	SLE FR 1	no				Si
0	Palo57	-	935	654	-426952	-9417	-29124	SLE FR 1	no				Si
0	Palo58	-	935	464	-970134	-412455	-73044	SLE FR 4	si	0.4	0.015	33.5	Si
0	Palo59	-	1330	1044	848507	120173	-64093	SLE FR 4	si	0.4	0.008	30.6	Si
0	Palo6	-	-225	2184	7838	-374503	-25710	SLE FR 1	no				Si
0	Palo60	-	1330	854	374325	2174	-28239	SLE FR 1	no				Si
0	Palo61	-	1330	654	-427864	2221	-29507	SLE FR 1	no				Si
0	Palo62	-	1330	464	-963174	126332	-72980	SLE FR 4	si	0.4	0.009	30.5	Si
0	Palo63	-	1865	1034	56403	124873	-30715	SLE FR 1	no				Si
0	Palo64	-	2035	1034	38921	-41433	-27710	SLE FR 1	no				Si
0	Palo65	-	2205	1034	55489	-208206	-30333	SLE FR 1	no				Si
0	Palo66	-	1775	944	66345	103999	-33140	SLE FR 1	no				Si
0	Palo67	-	1955	944	-11275	22223	-28584	SLE FR 1	no				Si
0	Palo68	-	2115	944	-13179	-107104	-28433	SLE FR 1	no				Si
0	Palo69	-	2295	944	66413	-189934	-32616	SLE FR 1	no				Si
0	Palo7	-	-650	2014	-50171	61461	-57001	SLE FR 1	no				Si
0	Palo70	-	1865	854	38598	40366	-30179	SLE FR 1	no				Si
0	Palo71	-	2205	854	38982	-126502	-29885	SLE FR 1	no				Si
0	Palo72	-	1775	764	67003	46635	-30969	SLE FR 1	no				Si
0	Palo73	-	2295	764	65959	-135010	-30540	SLE FR 1	no				Si
0	Palo74	-	1865	674	17612	10849	-29360	SLE FR 1	no				Si
0	Palo75	-	2205	674	7796	-104225	-29136	SLE FR 1	no				Si
0	Palo76	-	1775	564	-177157	127111	-33411	SLE FR 1	no				Si
0	Palo77	-	1955	564	-45336	16473	-28864	SLE FR 1	no				Si
0	Palo78	-	2115	564	-49652	-114512	-28838	SLE FR 1	no				Si
0	Palo79	-	2295	564	-185168	-221095	-33301	SLE FR 1	no				Si
0	Palo8	-	11.25	1974	2434	70766	-28023	SLE FR 1	no				Si
0	Palo80	-	1865	474	-189438	155140	-33508	SLE FR 1	no				Si
0	Palo81	-	2035	474	-149688	-53067	-30096	SLE FR 1	no				Si
0	Palo82	-	2205	474	-196475	-260334	-33612	SLE FR 1	no				Si
0	Palo83	-	2740	1044	856145	-244933	-63959	SLE FR 4	si	0.4	0.011	32.2	Si
0	Palo84	-	2740	854	382129	-5220	-28204	SLE FR 1	no				Si
0	Palo85	-	2740	654	-417752	-5101	-29392	SLE FR 1	no				Si
0	Palo86	-	2740	464	-942103	-239231	-72130	SLE FR 4	si	0.4	0.01	30.9	Si
0	Palo87	-	3135	1044	870029	177262	-65267	SLE FR 4	si	0.4	0.009	31.3	Si
0	Palo88	-	3135	854	379848	4052	-28472	SLE FR 1	no				Si
0	Palo89	-	3135	654	-429984	4237	-29774	SLE FR 1	no				Si
0	Palo9	-	171.25	1974	-95776	55225	-23467	SLE FR 1	no				Si
0	Palo90	-	3135	464	-975863	198010	-74338	SLE FR 4	si	0.4	0.01	30.7	Si
0	Palo91	-	3705	1114	-21797	161739	-16980	SLE FR 1	no				Si
0	Palo92	-	3885	1114	-55383	148355	-9936	SLE FR 1	no				Si
0	Palo93	-	3615	1024	23103	193551	-20931	SLE FR 1	no				Si
0	Palo94	-	3795	1024	-24498	149895	-14257	SLE FR 1	no				Si
0	Palo95	-	3705	934	-10376	95852	-17586	SLE FR 1	no				Si
0	Palo96	-	3885	934	-20756	142867	-11627	SLE FR 1	no				Si
0	Palo97	-	3615	844	17884	110731	-20444	SLE FR 1	no				Si
0	Palo98	-	3795	844	-2082	125645	-15193	SLE FR 1	no				Si
0	Palo99	-	3705	754	-262	78947	-17903	SLE FR 1	no				Si
-471	Palo1	-	-495	2504	2707	24483	-36038	SLE FR 1	no				Si
-471	Palo10	-	-78.75	1884	1052	11357	-21200	SLE FR 1	no				Si
-471	Palo100	-	3885	754	-1928	13496	-9070	SLE FR 1	no				Si
-471	Palo101	-	3615	664	-2593	12675	-15255	SLE FR 1	no				Si
-471	Palo102	-	3795	664	-1911	13152	-11403	SLE FR 1	no				Si
-471	Palo103	-	3705	574	-1626	12307	-13413	SLE FR 1	no				Si
-471	Palo104	-	3885	574	-1183	13904	-8976	SLE FR 1	no				Si
-471	Palo105	-	3615	484	-2672	15786	-16163	SLE FR 1	no				Si
-471	Palo106	-	3795	484	-1114	14267	-11143	SLE FR 1	no				Si
-471	Palo107	-	3705	394	-1158	14754	-13398	SLE FR 1	no				Si
-471	Palo108	-	3885	394	20	14251	-8062	SLE FR 1	no				Si
-471	Palo11	-	91.25	1884	-2125	14464	-19409	SLE FR 1	no				Si
-471	Palo12	-	261.25	1884	-3303	14921	-16930	SLE FR 1	no				Si
-471	Palo13	-	-495	1844	3103	31184	-26785	SLE FR 1	no				Si
-471	Palo14	-	-225	1844	79	9869	-19010	SLE FR 1	no				Si
-471	Palo15	-	11.25	1794	1358	13537	-20323	SLE FR 1	no				Si
-471	Palo16	-	-78.75	1704	-2253	12965	-20866	SLE FR 1	no				Si
-471	Palo17	-	51.25	1704	-655	11863	-20264	SLE FR 1	no				Si
-471	Palo18	-	266.25	1704	-3594	12820	-19593	SLE FR 1	no				Si
-471	Palo19	-	-650	1664	3580	13998	-42474	SLE FR 1	no				Si
-471	Palo2	-	-225	2504	620	-2467	-32122	SLE FR 1	no				Si
-471	Palo20	-	11.25	1634	-2212	12580	-20858	SLE FR 1	no				Si
-471	Palo21	-	-495	1484	3911	25942	-30282	SLE FR 1	no				Si
-471	Palo22	-	-225	1484	416	8062	-22493	SLE FR 1	no				Si
-471	Palo23	-	91.25	1484	91	10795	-22645	SLE FR 1	no				Si
-471	Palo24	-	-650	1299	15410	10875	-31813	SLE FR 1	no				Si
-471	Palo25	-	-70	1299	5934	10877	-19343	SLE FR 1	no				Si
-471	Palo26	-	261.25	1299	2312	18469	-22368	SLE FR 1	no				Si
-471	Palo27	-	275	1114	1729	12960	-21637	SLE FR 1	no				Si
-471	Palo28	-	455	1114	1143	9379	-18920	SLE FR 1	no				Si
-471	Palo29	-	-650	1074	-2080	10117	-29299	SLE FR 1	no				Si
-471	Palo3	-	-650	2344	8231	12052	-42712	SLE FR 1	no				Si
-471	Palo30	-	-70	1074	-6904	9560	-19635	SLE FR 1	no				Si
-471	Palo31	-	185	1024	806	12498	-22959	SLE FR 1	no				Si

RELAZIONE GEOTECNICA E SULLE FONDAZIONI

Quota	Filo	Ind.	Xp	Yp	Mx	My	N	Comb.	Fess	Wka,mm	Wk,mm	Sm,cm	Verifica
-471	Palo32	-	365	1024	1110	13425	-19455	SLE FR 1	no				Si
-471	Palo33	-	275	934	563	13110	-21024	SLE FR 1	no				Si
-471	Palo34	-	455	934	1139	11936	-17470	SLE FR 1	no				Si
-471	Palo35	-	-495	889	3674	20485	-22070	SLE FR 1	no				Si
-471	Palo36	-	-225	889	915	-126	-21107	SLE FR 1	no				Si
-471	Palo37	-	185	844	2065	13251	-22513	SLE FR 1	no				Si
-471	Palo38	-	365	844	2655	13003	-18619	SLE FR 1	no				Si
-471	Palo39	-	-650	740.66	8568	10223	-30359	SLE FR 1	no				Si
-471	Palo4	-	-70	2344	7639	9380	-32695	SLE FR 1	no				Si
-471	Palo40	-	-70	765	-1544	9648	-28410	SLE FR 1	no				Si
-471	Palo41	-	275	754	1472	13372	-20364	SLE FR 1	no				Si
-471	Palo42	-	456	753.31	1067	12460	-16511	SLE FR 1	no				Si
-471	Palo43	-	185	664	1616	13423	-21723	SLE FR 1	no				Si
-471	Palo44	-	365	664	1035	12827	-17961	SLE FR 1	no				Si
-471	Palo45	-	-650	592.33	-6658	9914	-31561	SLE FR 1	no				Si
-471	Palo46	-	-70	555	2197	10080	-28109	SLE FR 1	no				Si
-471	Palo47	-	275	574	2524	13319	-19048	SLE FR 1	no				Si
-471	Palo48	-	455	574	1844	11770	-15754	SLE FR 1	no				Si
-471	Palo49	-	-495	464	3086	20166	-30048	SLE FR 1	no				Si
-471	Palo5	-	-495	2184	2864	31115	-24514	SLE FR 1	no				Si
-471	Palo50	-	-225	464	1296	5321	-26237	SLE FR 1	no				Si
-471	Palo51	-	185	484	2315	14396	-20072	SLE FR 1	no				Si
-471	Palo52	-	365	484	2058	11051	-16697	SLE FR 1	no				Si
-471	Palo53	-	275	394	3033	13146	-17074	SLE FR 1	no				Si
-471	Palo54	-	455	394	2654	7865	-15163	SLE FR 1	no				Si
-471	Palo55	-	935	1044	20854	1334	-36476	SLE FR 1	no				Si
-471	Palo56	-	935	854	11658	9083	-20325	SLE FR 1	no				Si
-471	Palo57	-	935	654	-14076	9093	-21198	SLE FR 1	no				Si
-471	Palo58	-	935	464	-22885	378	-39006	SLE FR 1	no				Si
-471	Palo59	-	1330	1044	20107	11147	-36907	SLE FR 1	no				Si
-471	Palo6	-	-225	2184	1067	164	-18741	SLE FR 1	no				Si
-471	Palo60	-	1330	854	10795	9229	-20560	SLE FR 1	no				Si
-471	Palo61	-	1330	654	-15309	9176	-21473	SLE FR 1	no				Si
-471	Palo62	-	1330	464	-24268	11590	-39578	SLE FR 1	no				Si
-471	Palo63	-	1865	1034	-1475	12814	-22343	SLE FR 1	no				Si
-471	Palo64	-	2035	1034	-2204	7419	-20180	SLE FR 1	no				Si
-471	Palo65	-	2205	1034	-1904	2018	-22068	SLE FR 1	no				Si
-471	Palo66	-	1775	944	-1116	12212	-24088	SLE FR 1	no				Si
-471	Palo67	-	1955	944	-3737	9585	-20809	SLE FR 1	no				Si
-471	Palo68	-	2115	944	-3981	5388	-20700	SLE FR 1	no				Si
-471	Palo69	-	2295	944	-1728	2731	-23711	SLE FR 1	no				Si
-471	Palo7	-	-650	2014	2521	15219	-41262	SLE FR 1	no				Si
-471	Palo70	-	1865	854	-2084	10256	-21957	SLE FR 1	no				Si
-471	Palo71	-	2205	854	-2457	4882	-21745	SLE FR 1	no				Si
-471	Palo72	-	1775	764	-1131	10536	-22525	SLE FR 1	no				Si
-471	Palo73	-	2295	764	-1735	4702	-22217	SLE FR 1	no				Si
-471	Palo74	-	1865	674	-2799	9463	-21367	SLE FR 1	no				Si
-471	Palo75	-	2205	674	-3474	5801	-21206	SLE FR 1	no				Si
-471	Palo76	-	1775	564	-9016	13353	-24283	SLE FR 1	no				Si
-471	Palo77	-	1955	564	-4947	9784	-21011	SLE FR 1	no				Si
-471	Palo78	-	2115	564	-5252	5563	-20992	SLE FR 1	no				Si
-471	Palo79	-	2295	564	-9834	2131	-24204	SLE FR 1	no				Si
-471	Palo8	-	11.25	1974	-69	16959	-20405	SLE FR 1	no				Si
-471	Palo80	-	1865	474	-9520	14370	-24353	SLE FR 1	no				Si
-471	Palo81	-	2035	474	-8429	7648	-21897	SLE FR 1	no				Si
-471	Palo82	-	2205	474	-10113	969	-24428	SLE FR 1	no				Si
-471	Palo83	-	2740	1044	18912	3608	-36855	SLE FR 1	no				Si
-471	Palo84	-	2740	854	9716	8563	-20535	SLE FR 1	no				Si
-471	Palo85	-	2740	654	-16311	9041	-21391	SLE FR 1	no				Si
-471	Palo86	-	2740	464	-25330	4455	-39423	SLE FR 1	no				Si
-471	Palo87	-	3135	1044	19681	12647	-37164	SLE FR 1	no				Si
-471	Palo88	-	3135	854	10399	8859	-20728	SLE FR 1	no				Si
-471	Palo89	-	3135	654	-15958	9196	-21665	SLE FR 1	no				Si
-471	Palo9	-	171.25	1974	-2631	16507	-17126	SLE FR 1	no				Si
-471	Palo90	-	3135	464	-25114	13450	-40007	SLE FR 1	no				Si
-471	Palo91	-	3705	1114	-2436	13915	-12457	SLE FR 1	no				Si
-471	Palo92	-	3885	1114	-3716	13456	-7387	SLE FR 1	no				Si
-471	Palo93	-	3615	1024	-954	14994	-15301	SLE FR 1	no				Si
-471	Palo94	-	3795	1024	-2590	13582	-10497	SLE FR 1	no				Si
-471	Palo95	-	3705	934	-2071	11904	-12893	SLE FR 1	no				Si
-471	Palo96	-	3885	934	-2624	13443	-8604	SLE FR 1	no				Si
-471	Palo97	-	3615	844	-1182	12440	-14951	SLE FR 1	no				Si
-471	Palo98	-	3795	844	-1955	12921	-11171	SLE FR 1	no				Si
-471	Palo99	-	3705	754	-1877	11517	-13121	SLE FR 1	no				Si
-942	Palo1	-	-495	2504	-798	-24699	-21876	SLE FR 1	no				Si
-942	Palo10	-	-78.75	1884	-2308	5483	-12828	SLE FR 1	no				Si
-942	Palo100	-	3885	754	-233	-6743	-5432	SLE FR 1	no				Si
-942	Palo101	-	3615	664	1099	-5401	-9203	SLE FR 1	no				Si
-942	Palo102	-	3795	664	-222	-6154	-6854	SLE FR 1	no				Si
-942	Palo103	-	3705	574	-687	-4666	-8080	SLE FR 1	no				Si
-942	Palo104	-	3885	574	-1523	-7143	-5374	SLE FR 1	no				Si
-942	Palo105	-	3615	484	1123	-9986	-9757	SLE FR 1	no				Si
-942	Palo106	-	3795	484	-1652	-7614	-6696	SLE FR 1	no				Si
-942	Palo107	-	3705	394	-1449	-8221	-8070	SLE FR 1	no				Si
-942	Palo108	-	3885	394	-3457	-7477	-4817	SLE FR 1	no				Si
-942	Palo11	-	91.25	1884	3661	512	-11736	SLE FR 1	no				Si
-942	Palo12	-	261.25	1884	6545	-382	-10224	SLE FR 1	no				Si
-942	Palo13	-	-495	1844	234	-26401	-16233	SLE FR 1	no				Si
-942	Palo14	-	-225	1844	-129	7487	-11492	SLE FR 1	no				Si
-942	Palo15	-	11.25	1794	-2345	1570	-12293	SLE FR 1	no				Si
-942	Palo16	-	-78.75	1704	2897	1670	-12624	SLE FR 1	no				Si
-942	Palo17	-	51.25	1704	1167	3310	-12257	SLE FR 1	no				Si
-942	Palo18	-	266.25	1704	7013	1783	-11848	SLE FR 1	no				Si
-942	Palo19	-	-650	1664	1176	-1644	-25800	SLE FR 1	no				Si
-942	Palo2	-	-225	2504	-959	18436	-19488	SLE FR 1	no				Si
-942	Palo20	-	11.25	1634	3375	1651	-12620	SLE FR 1	no				Si
-942	Palo21	-	-495	1484	-268	-22346	-18366	SLE FR 1	no				Si
-942	Palo22	-	-225	1484	-69	6207	-13616	SLE FR 1	no				Si
-942	Palo23	-	91.25	1484	56	2327	-13709	SLE FR 1	no				Si
-942	Palo24	-	-650	1299	-17120	-340	-19299	SLE FR 1	no				Si
-942	Palo25	-	-70	1299	-9180	538	-11696	SLE FR 1	no				Si

RELAZIONE GEOTECNICA E SULLE FONDAZIONI

Quota	Filo	Ind.	Xp	Yp	Mx	My	N	Comb.	Fess	Wka,mm	Wk,mm	Sm,cm	Verifica
-942	Palo26	-	261.25	1299	-2640	-12090	-13540	SLE FR 1	no				Si
-942	Palo27	-	275	1114	-1959	-4743	-13094	SLE FR 1	no				Si
-942	Palo28	-	455	1114	-1097	699	-11438	SLE FR 1	no				Si
-942	Palo29	-	-650	1074	10370	-693	-17766	SLE FR 1	no				Si
-942	Palo3	-	-650	2344	-6429	-2429	-25945	SLE FR 1	no				Si
-942	Palo30	-	-70	1074	11174	658	-11874	SLE FR 1	no				Si
-942	Palo31	-	185	1024	-696	-4123	-13900	SLE FR 1	no				Si
-942	Palo32	-	365	1024	-893	-5595	-11764	SLE FR 1	no				Si
-942	Palo33	-	275	934	-327	-5123	-12720	SLE FR 1	no				Si
-942	Palo34	-	455	934	-1227	-3286	-10553	SLE FR 1	no				Si
-942	Palo35	-	-495	889	158	-16967	-13358	SLE FR 1	no				Si
-942	Palo36	-	-225	889	399	15385	-12771	SLE FR 1	no				Si
-942	Palo37	-	185	844	-2694	-5363	-13629	SLE FR 1	no				Si
-942	Palo38	-	365	844	-3531	-4933	-11254	SLE FR 1	no				Si
-942	Palo39	-	-650	740.66	-6025	-969	-18412	SLE FR 1	no				Si
-942	Palo4	-	-70	2344	-13318	2432	-19837	SLE FR 1	no				Si
-942	Palo40	-	-70	765	3090	332	-17224	SLE FR 1	no				Si
-942	Palo41	-	275	754	-1852	-5510	-12318	SLE FR 1	no				Si
-942	Palo42	-	456	753.31	-1271	-4012	-9969	SLE FR 1	no				Si
-942	Palo43	-	185	664	-2080	-5516	-13147	SLE FR 1	no				Si
-942	Palo44	-	365	664	-1334	-4541	-10853	SLE FR 1	no				Si
-942	Palo45	-	-650	592.33	17951	-667	-19146	SLE FR 1	no				Si
-942	Palo46	-	-70	555	-2677	-260	-17041	SLE FR 1	no				Si
-942	Palo47	-	275	574	-3658	-5247	-11516	SLE FR 1	no				Si
-942	Palo48	-	455	574	-2610	-2824	-9507	SLE FR 1	no				Si
-942	Palo49	-	-495	464	1382	-16249	-18223	SLE FR 1	no				Si
-942	Palo5	-	-495	2184	99	-29234	-14848	SLE FR 1	no				Si
-942	Palo50	-	-225	464	35	7292	-15899	SLE FR 1	no				Si
-942	Palo51	-	185	484	-3251	-6809	-12140	SLE FR 1	no				Si
-942	Palo52	-	365	484	-3109	-1574	-10082	SLE FR 1	no				Si
-942	Palo53	-	275	394	-4526	-4743	-10312	SLE FR 1	no				Si
-942	Palo54	-	455	394	-4006	3371	-9147	SLE FR 1	no				Si
-942	Palo55	-	935	1044	-32871	12866	-22143	SLE FR 1	no				Si
-942	Palo56	-	935	854	-18480	778	-12295	SLE FR 1	no				Si
-942	Palo57	-	935	654	21673	844	-12827	SLE FR 1	no				Si
-942	Palo58	-	935	464	35480	15017	-23685	SLE FR 1	no				Si
-942	Palo59	-	1330	1044	-33641	-3065	-22406	SLE FR 1	no				Si
-942	Palo6	-	-225	2184	-366	19497	-11328	SLE FR 1	no				Si
-942	Palo60	-	1330	854	-19061	246	-12438	SLE FR 1	no				Si
-942	Palo61	-	1330	654	21672	241	-12995	SLE FR 1	no				Si
-942	Palo62	-	1330	464	35713	-2934	-24034	SLE FR 1	no				Si
-942	Palo63	-	1865	1034	-2993	-6000	-13525	SLE FR 1	no				Si
-942	Palo64	-	2035	1034	-2111	2445	-12206	SLE FR 1	no				Si
-942	Palo65	-	2205	1034	-2962	10914	-13357	SLE FR 1	no				Si
-942	Palo66	-	1775	944	-3496	-4937	-14589	SLE FR 1	no				Si
-942	Palo67	-	1955	944	441	-784	-12589	SLE FR 1	no				Si
-942	Palo68	-	2115	944	531	5784	-12523	SLE FR 1	no				Si
-942	Palo69	-	2295	944	-3524	9991	-14359	SLE FR 1	no				Si
-942	Palo7	-	-650	2014	2709	-2607	-25061	SLE FR 1	no				Si
-942	Palo70	-	1865	854	-2090	-1702	-13290	SLE FR 1	no				Si
-942	Palo71	-	2205	854	-2124	6773	-13160	SLE FR 1	no				Si
-942	Palo72	-	1775	764	-3531	-2017	-13636	SLE FR 1	no				Si
-942	Palo73	-	2295	764	-3500	7209	-13448	SLE FR 1	no				Si
-942	Palo74	-	1865	674	-1025	-197	-12930	SLE FR 1	no				Si
-942	Palo75	-	2205	674	-541	5650	-12832	SLE FR 1	no				Si
-942	Palo76	-	1775	564	8869	-6096	-14708	SLE FR 1	no				Si
-942	Palo77	-	1955	564	2167	-477	-12712	SLE FR 1	no				Si
-942	Palo78	-	2115	564	2380	6176	-12701	SLE FR 1	no				Si
-942	Palo79	-	2295	564	9254	11589	-14660	SLE FR 1	no				Si
-942	Palo8	-	11.25	1974	-129	-3023	-12343	SLE FR 1	no				Si
-942	Palo80	-	1865	474	9489	-7515	-14751	SLE FR 1	no				Si
-942	Palo81	-	2035	474	7462	3059	-13253	SLE FR 1	no				Si
-942	Palo82	-	2205	474	9832	13586	-14796	SLE FR 1	no				Si
-942	Palo83	-	2740	1044	-33918	8537	-22374	SLE FR 1	no				Si
-942	Palo84	-	2740	854	-19509	605	-12423	SLE FR 1	no				Si
-942	Palo85	-	2740	654	21107	617	-12944	SLE FR 1	no				Si
-942	Palo86	-	2740	464	35242	8160	-23940	SLE FR 1	no				Si
-942	Palo87	-	3135	1044	-33894	-5812	-22562	SLE FR 1	no				Si
-942	Palo88	-	3135	854	-19364	134	-12540	SLE FR 1	no				Si
-942	Palo89	-	3135	654	21757	137	-13112	SLE FR 1	no				Si
-942	Palo9	-	171.25	1974	4882	-2232	-10344	SLE FR 1	no				Si
-942	Palo90	-	3135	464	36102	-6199	-24296	SLE FR 1	no				Si
-942	Palo91	-	3705	1114	1040	-7876	-7497	SLE FR 1	no				Si
-942	Palo92	-	3885	1114	2738	-7197	-4405	SLE FR 1	no				Si
-942	Palo93	-	3615	1024	-1239	-9490	-9231	SLE FR 1	no				Si
-942	Palo94	-	3795	1024	1174	-7273	-6302	SLE FR 1	no				Si
-942	Palo95	-	3705	934	459	-4525	-7763	SLE FR 1	no				Si
-942	Palo96	-	3885	934	978	-6912	-5148	SLE FR 1	no				Si
-942	Palo97	-	3615	844	-977	-5279	-9017	SLE FR 1	no				Si
-942	Palo98	-	3795	844	32	-6036	-6713	SLE FR 1	no				Si
-942	Palo99	-	3705	754	-59	-3661	-7902	SLE FR 1	no				Si
-1319	Palo1	-	-495	2504	-306	-6101	-14104	SLE FR 1	no				Si
-1319	Palo10	-	-78.75	1884	-500	395	-8454	SLE FR 1	no				Si
-1319	Palo100	-	3885	754	66	-2055	-3836	SLE FR 1	no				Si
-1319	Palo101	-	3615	664	357	-1752	-6191	SLE FR 1	no				Si
-1319	Palo102	-	3795	664	67	-1923	-4724	SLE FR 1	no				Si
-1319	Palo103	-	3705	574	-38	-1591	-5489	SLE FR 1	no				Si
-1319	Palo104	-	3885	574	-222	-2154	-3800	SLE FR 1	no				Si
-1319	Palo105	-	3615	484	366	-2803	-6536	SLE FR 1	no				Si
-1319	Palo106	-	3795	484	-251	-2264	-4625	SLE FR 1	no				Si
-1319	Palo107	-	3705	394	-210	-2408	-5484	SLE FR 1	no				Si
-1319	Palo108	-	3885	394	-659	-2237	-3452	SLE FR 1	no				Si
-1319	Palo11	-	91.25	1884	818	-728	-7772	SLE FR 1	no				Si
-1319	Palo12	-	261.25	1884	1435	-925	-6828	SLE FR 1	no				Si
-1319	Palo13	-	-495	1844	-133	-6807	-10581	SLE FR 1	no				Si
-1319	Palo14	-	-225	1844	-29	862	-7620	SLE FR 1	no				Si
-1319	Palo15	-	11.25	1794	-524	-474	-8121	SLE FR 1	no				Si
-1319	Palo16	-	-78.75	1704	680	-422	-8327	SLE FR 1	no				Si
-1319	Palo17	-	51.25	1704	260	-47	-8098	SLE FR 1	no				Si
-1319	Palo18	-	266.25	1704	1541	-393	-7843	SLE FR 1	no				Si
-1319	Palo19	-	-650	1664	19	-1112	-16555	SLE FR 1	no				Si

RELAZIONE GEOTECNICA E SULLE FONDAZIONI

Quota	Filo	Ind.	Xp	Yp	Mx	My	N	Comb.	Fess	Wka,mm	Wk,mm	Sm,cm	Verifica
-1319	Palo2	-	-225	2504	-218	3651	-12613	SLE FR 1	no				Si
-1319	Palo20	-	11.25	1634	769	-404	-8324	SLE FR 1	no				Si
-1319	Palo21	-	-495	1484	-274	-5736	-11913	SLE FR 1	no				Si
-1319	Palo22	-	-225	1484	-37	721	-8947	SLE FR 1	no				Si
-1319	Palo23	-	91.25	1484	6	-173	-9005	SLE FR 1	no				Si
-1319	Palo24	-	-650	1299	-4140	-686	-12496	SLE FR 1	no				Si
-1319	Palo25	-	-70	1299	-2087	-519	-7747	SLE FR 1	no				Si
-1319	Palo26	-	261.25	1299	-635	-3356	-8899	SLE FR 1	no				Si
-1319	Palo27	-	275	1114	-472	-1643	-8621	SLE FR 1	no				Si
-1319	Palo28	-	455	1114	-274	-403	-7586	SLE FR 1	no				Si
-1319	Palo29	-	-650	1074	2093	-710	-11538	SLE FR 1	no				Si
-1319	Palo3	-	-650	2344	-1694	-1151	-16646	SLE FR 1	no				Si
-1319	Palo30	-	-70	1074	2522	-421	-7858	SLE FR 1	no				Si
-1319	Palo31	-	185	1024	-178	-1499	-9124	SLE FR 1	no				Si
-1319	Palo32	-	365	1024	-233	-1832	-7790	SLE FR 1	no				Si
-1319	Palo33	-	275	934	-94	-1724	-8387	SLE FR 1	no				Si
-1319	Palo34	-	455	934	-299	-1307	-7034	SLE FR 1	no				Si
-1319	Palo35	-	-495	889	-180	-4400	-8786	SLE FR 1	no				Si
-1319	Palo36	-	-225	889	24	2936	-8419	SLE FR 1	no				Si
-1319	Palo37	-	185	844	-631	-1778	-8954	SLE FR 1	no				Si
-1319	Palo38	-	365	844	-824	-1682	-7472	SLE FR 1	no				Si
-1319	Palo39	-	-650	740.66	-1636	-768	-11942	SLE FR 1	no				Si
-1319	Palo4	-	-70	2344	-2972	-73	-12831	SLE FR 1	no				Si
-1319	Palo40	-	-70	765	676	-488	-11200	SLE FR 1	no				Si
-1319	Palo41	-	275	754	-437	-1813	-8136	SLE FR 1	no				Si
-1319	Palo42	-	456	753.31	-303	-1475	-6669	SLE FR 1	no				Si
-1319	Palo43	-	185	664	-488	-1817	-8654	SLE FR 1	no				Si
-1319	Palo44	-	365	664	-313	-1597	-7221	SLE FR 1	no				Si
-1319	Palo45	-	-650	592.33	3798	-693	-12400	SLE FR 1	no				Si
-1319	Palo46	-	-70	555	-635	-625	-11085	SLE FR 1	no				Si
-1319	Palo47	-	275	574	-841	-1760	-7635	SLE FR 1	no				Si
-1319	Palo48	-	455	574	-602	-1210	-6381	SLE FR 1	no				Si
-1319	Palo49	-	-495	464	87	-4245	-11824	SLE FR 1	no				Si
-1319	Palo5	-	-495	2184	-145	-7343	-9716	SLE FR 1	no				Si
-1319	Palo50	-	-225	464	-67	1084	-10372	SLE FR 1	no				Si
-1319	Palo51	-	185	484	-751	-2119	-8025	SLE FR 1	no				Si
-1319	Palo52	-	365	484	-709	-931	-6740	SLE FR 1	no				Si
-1319	Palo53	-	275	394	-1035	-1654	-6883	SLE FR 1	no				Si
-1319	Palo54	-	455	394	-914	193	-6156	SLE FR 1	no				Si
-1319	Palo55	-	935	1044	-7449	2373	-14271	SLE FR 1	no				Si
-1319	Palo56	-	935	854	-4184	-371	-8121	SLE FR 1	no				Si
-1319	Palo57	-	935	654	4930	-359	-8454	SLE FR 1	no				Si
-1319	Palo58	-	935	464	8062	2838	-15235	SLE FR 1	no				Si
-1319	Palo59	-	1330	1044	-7553	-1220	-14435	SLE FR 1	no				Si
-1319	Palo6	-	-225	2184	-131	3703	-7518	SLE FR 1	no				Si
-1319	Palo60	-	1330	854	-4246	-480	-8211	SLE FR 1	no				Si
-1319	Palo61	-	1330	654	5000	-478	-8558	SLE FR 1	no				Si
-1319	Palo62	-	1330	464	8185	-1220	-15452	SLE FR 1	no				Si
-1319	Palo63	-	1865	1034	-486	-1874	-8889	SLE FR 1	no				Si
-1319	Palo64	-	2035	1034	-276	42	-8066	SLE FR 1	no				Si
-1319	Palo65	-	2205	1034	-455	1963	-8785	SLE FR 1	no				Si
-1319	Palo66	-	1775	944	-602	-1637	-9554	SLE FR 1	no				Si
-1319	Palo67	-	1955	944	297	-697	-8305	SLE FR 1	no				Si
-1319	Palo68	-	2115	944	328	794	-8264	SLE FR 1	no				Si
-1319	Palo69	-	2295	944	-572	1746	-9411	SLE FR 1	no				Si
-1319	Palo7	-	-650	2014	372	-1365	-16094	SLE FR 1	no				Si
-1319	Palo70	-	1865	854	-279	-910	-8743	SLE FR 1	no				Si
-1319	Palo71	-	2205	854	-264	1011	-8662	SLE FR 1	no				Si
-1319	Palo72	-	1775	764	-608	-986	-8959	SLE FR 1	no				Si
-1319	Palo73	-	2295	764	-567	1104	-8842	SLE FR 1	no				Si
-1319	Palo74	-	1865	674	-35	-578	-8518	SLE FR 1	no				Si
-1319	Palo75	-	2205	674	95	744	-8457	SLE FR 1	no				Si
-1319	Palo76	-	1775	564	2204	-1923	-9628	SLE FR 1	no				Si
-1319	Palo77	-	1955	564	695	-649	-8382	SLE FR 1	no				Si
-1319	Palo78	-	2115	564	753	858	-8375	SLE FR 1	no				Si
-1319	Palo79	-	2295	564	2324	2085	-9598	SLE FR 1	no				Si
-1319	Palo8	-	11.25	1974	-21	-1544	-8152	SLE FR 1	no				Si
-1319	Palo80	-	1865	474	2350	-2251	-9655	SLE FR 1	no				Si
-1319	Palo81	-	2035	474	1902	146	-8720	SLE FR 1	no				Si
-1319	Palo82	-	2205	474	2449	2531	-9684	SLE FR 1	no				Si
-1319	Palo83	-	2740	1044	-7538	1419	-14415	SLE FR 1	no				Si
-1319	Palo84	-	2740	854	-4269	-374	-8201	SLE FR 1	no				Si
-1319	Palo85	-	2740	654	4950	-399	-8527	SLE FR 1	no				Si
-1319	Palo86	-	2740	464	8156	1299	-15393	SLE FR 1	no				Si
-1319	Palo87	-	3135	1044	-7577	-1829	-14533	SLE FR 1	no				Si
-1319	Palo88	-	3135	854	-4281	-480	-8275	SLE FR 1	no				Si
-1319	Palo89	-	3135	654	5054	-499	-8632	SLE FR 1	no				Si
-1319	Palo9	-	171.25	1974	1080	-1368	-6903	SLE FR 1	no				Si
-1319	Palo90	-	3135	464	8308	-1948	-15616	SLE FR 1	no				Si
-1319	Palo91	-	3705	1114	337	-2294	-5125	SLE FR 1	no				Si
-1319	Palo92	-	3885	1114	733	-2139	-3195	SLE FR 1	no				Si
-1319	Palo93	-	3615	1024	-182	-2663	-6208	SLE FR 1	no				Si
-1319	Palo94	-	3795	1024	371	-2160	-4379	SLE FR 1	no				Si
-1319	Palo95	-	3705	934	206	-1541	-5291	SLE FR 1	no				Si
-1319	Palo96	-	3885	934	336	-2084	-3658	SLE FR 1	no				Si
-1319	Palo97	-	3615	844	-118	-1715	-6075	SLE FR 1	no				Si
-1319	Palo98	-	3795	844	118	-1887	-4636	SLE FR 1	no				Si
-1319	Palo99	-	3705	754	96	-1355	-5378	SLE FR 1	no				Si
-1790	Palol	-	-495	2504	0	0	-3021	SLE FR 1	no				Si
-1790	Palol10	-	-78.75	1884	0	0	-2025	SLE FR 1	no				Si
-1790	Palol100	-	3885	754	0	0	-1210	SLE FR 1	no				Si
-1790	Palol101	-	3615	664	0	0	-1625	SLE FR 1	no				Si
-1790	Palol102	-	3795	664	0	0	-1367	SLE FR 1	no				Si
-1790	Palol103	-	3705	574	0	0	-1502	SLE FR 1	no				Si
-1790	Palol104	-	3885	574	0	0	-1204	SLE FR 1	no				Si
-1790	Palol105	-	3615	484	0	0	-1686	SLE FR 1	no				Si
-1790	Palol106	-	3795	484	0	0	-1349	SLE FR 1	no				Si
-1790	Palol107	-	3705	394	0	0	-1501	SLE FR 1	no				Si
-1790	Palol108	-	3885	394	0	0	-1142	SLE FR 1	no				Si
-1790	Palol11	-	91.25	1884	0	0	-1904	SLE FR 1	no				Si
-1790	Palol12	-	261.25	1884	0	0	-1738	SLE FR 1	no				Si

RELAZIONE GEOTECNICA E SULLE FONDAZIONI

Quota	Filo	Ind.	Xp	Yp	Mx	My	N	Comb.	Fess	Wka,mm	Wk,mm	Sm,cm	Verifica
-1790	Palo13	-	-495	1844	0	0	-2400	SLE FR 1	no				Si
-1790	Palo14	-	-225	1844	0	0	-1877	SLE FR 1	no				Si
-1790	Palo15	-	11.25	1794	0	0	-1966	SLE FR 1	no				Si
-1790	Palo16	-	-78.75	1704	0	0	-2002	SLE FR 1	no				Si
-1790	Palo17	-	51.25	1704	0	0	-1962	SLE FR 1	no				Si
-1790	Palo18	-	266.25	1704	0	0	-1917	SLE FR 1	no				Si
-1790	Palo19	-	-650	1664	0	0	-3453	SLE FR 1	no				Si
-1790	Palo2	-	-225	2504	0	0	-2758	SLE FR 1	no				Si
-1790	Palo20	-	11.25	1634	0	0	-2002	SLE FR 1	no				Si
-1790	Palo21	-	-495	1484	0	0	-2634	SLE FR 1	no				Si
-1790	Palo22	-	-225	1484	0	0	-2111	SLE FR 1	no				Si
-1790	Palo23	-	91.25	1484	0	0	-2122	SLE FR 1	no				Si
-1790	Palo24	-	-650	1299	0	0	-2737	SLE FR 1	no				Si
-1790	Palo25	-	-70	1299	0	0	-1900	SLE FR 1	no				Si
-1790	Palo26	-	261.25	1299	0	0	-2103	SLE FR 1	no				Si
-1790	Palo27	-	275	1114	0	0	-2054	SLE FR 1	no				Si
-1790	Palo28	-	455	1114	0	0	-1871	SLE FR 1	no				Si
-1790	Palo29	-	-650	1074	0	0	-2568	SLE FR 1	no				Si
-1790	Palo3	-	-650	2344	0	0	-3469	SLE FR 1	no				Si
-1790	Palo30	-	-70	1074	0	0	-1919	SLE FR 1	no				Si
-1790	Palo31	-	185	1024	0	0	-2143	SLE FR 1	no				Si
-1790	Palo32	-	365	1024	0	0	-1907	SLE FR 1	no				Si
-1790	Palo33	-	275	934	0	0	-2013	SLE FR 1	no				Si
-1790	Palo34	-	455	934	0	0	-1774	SLE FR 1	no				Si
-1790	Palo35	-	-495	889	0	0	-2083	SLE FR 1	no				Si
-1790	Palo36	-	-225	889	0	0	-2018	SLE FR 1	no				Si
-1790	Palo37	-	185	844	0	0	-2113	SLE FR 1	no				Si
-1790	Palo38	-	365	844	0	0	-1851	SLE FR 1	no				Si
-1790	Palo39	-	-650	740.66	0	0	-2639	SLE FR 1	no				Si
-1790	Palo4	-	-70	2344	0	0	-2796	SLE FR 1	no				Si
-1790	Palo40	-	-70	765	0	0	-2509	SLE FR 1	no				Si
-1790	Palo41	-	275	754	0	0	-1968	SLE FR 1	no				Si
-1790	Palo42	-	456	753.31	0	0	-1710	SLE FR 1	no				Si
-1790	Palo43	-	185	664	0	0	-2060	SLE FR 1	no				Si
-1790	Palo44	-	365	664	0	0	-1807	SLE FR 1	no				Si
-1790	Palo45	-	-650	592.33	0	0	-2720	SLE FR 1	no				Si
-1790	Palo46	-	-70	555	0	0	-2488	SLE FR 1	no				Si
-1790	Palo47	-	275	574	0	0	-1880	SLE FR 1	no				Si
-1790	Palo48	-	455	574	0	0	-1659	SLE FR 1	no				Si
-1790	Palo49	-	-495	464	0	0	-2619	SLE FR 1	no				Si
-1790	Palo5	-	-495	2184	0	0	-2247	SLE FR 1	no				Si
-1790	Palo50	-	-225	464	0	0	-2363	SLE FR 1	no				Si
-1790	Palo51	-	185	484	0	0	-1949	SLE FR 1	no				Si
-1790	Palo52	-	365	484	0	0	-1722	SLE FR 1	no				Si
-1790	Palo53	-	275	394	0	0	-1747	SLE FR 1	no				Si
-1790	Palo54	-	455	394	0	0	-1619	SLE FR 1	no				Si
-1790	Palo55	-	935	1044	0	0	-3050	SLE FR 1	no				Si
-1790	Palo56	-	935	854	0	0	-1966	SLE FR 1	no				Si
-1790	Palo57	-	935	654	0	0	-2024	SLE FR 1	no				Si
-1790	Palo58	-	935	464	0	0	-3220	SLE FR 1	no				Si
-1790	Palo59	-	1330	1044	0	0	-3079	SLE FR 1	no				Si
-1790	Palo6	-	-225	2184	0	0	-1859	SLE FR 1	no				Si
-1790	Palo60	-	1330	854	0	0	-1982	SLE FR 1	no				Si
-1790	Palo61	-	1330	654	0	0	-2043	SLE FR 1	no				Si
-1790	Palo62	-	1330	464	0	0	-3258	SLE FR 1	no				Si
-1790	Palo63	-	1865	1034	0	0	-2101	SLE FR 1	no				Si
-1790	Palo64	-	2035	1034	0	0	-1956	SLE FR 1	no				Si
-1790	Palo65	-	2205	1034	0	0	-2083	SLE FR 1	no				Si
-1790	Palo66	-	1775	944	0	0	-2218	SLE FR 1	no				Si
-1790	Palo67	-	1955	944	0	0	-1998	SLE FR 1	no				Si
-1790	Palo68	-	2115	944	0	0	-1991	SLE FR 1	no				Si
-1790	Palo69	-	2295	944	0	0	-2193	SLE FR 1	no				Si
-1790	Palo7	-	-650	2014	0	0	-3372	SLE FR 1	no				Si
-1790	Palo70	-	1865	854	0	0	-2075	SLE FR 1	no				Si
-1790	Palo71	-	2205	854	0	0	-2061	SLE FR 1	no				Si
-1790	Palo72	-	1775	764	0	0	-2113	SLE FR 1	no				Si
-1790	Palo73	-	2295	764	0	0	-2093	SLE FR 1	no				Si
-1790	Palo74	-	1865	674	0	0	-2036	SLE FR 1	no				Si
-1790	Palo75	-	2205	674	0	0	-2025	SLE FR 1	no				Si
-1790	Palo76	-	1775	564	0	0	-2231	SLE FR 1	no				Si
-1790	Palo77	-	1955	564	0	0	-2012	SLE FR 1	no				Si
-1790	Palo78	-	2115	564	0	0	-2011	SLE FR 1	no				Si
-1790	Palo79	-	2295	564	0	0	-2226	SLE FR 1	no				Si
-1790	Palo8	-	11.25	1974	0	0	-1971	SLE FR 1	no				Si
-1790	Palo80	-	1865	474	0	0	-2236	SLE FR 1	no				Si
-1790	Palo81	-	2035	474	0	0	-2071	SLE FR 1	no				Si
-1790	Palo82	-	2205	474	0	0	-2241	SLE FR 1	no				Si
-1790	Palo83	-	2740	1044	0	0	-3076	SLE FR 1	no				Si
-1790	Palo84	-	2740	854	0	0	-1980	SLE FR 1	no				Si
-1790	Palo85	-	2740	654	0	0	-2037	SLE FR 1	no				Si
-1790	Palo86	-	2740	464	0	0	-3248	SLE FR 1	no				Si
-1790	Palo87	-	3135	1044	0	0	-3096	SLE FR 1	no				Si
-1790	Palo88	-	3135	854	0	0	-1993	SLE FR 1	no				Si
-1790	Palo89	-	3135	654	0	0	-2056	SLE FR 1	no				Si
-1790	Palo9	-	171.25	1974	0	0	-1751	SLE FR 1	no				Si
-1790	Palo90	-	3135	464	0	0	-3287	SLE FR 1	no				Si
-1790	Palo91	-	3705	1114	0	0	-1437	SLE FR 1	no				Si
-1790	Palo92	-	3885	1114	0	0	-1097	SLE FR 1	no				Si
-1790	Palo93	-	3615	1024	0	0	-1628	SLE FR 1	no				Si
-1790	Palo94	-	3795	1024	0	0	-1306	SLE FR 1	no				Si
-1790	Palo95	-	3705	934	0	0	-1467	SLE FR 1	no				Si
-1790	Palo96	-	3885	934	0	0	-1179	SLE FR 1	no				Si
-1790	Palo97	-	3615	844	0	0	-1605	SLE FR 1	no				Si
-1790	Palo98	-	3795	844	0	0	-1351	SLE FR 1	no				Si
-1790	Palo99	-	3705	754	0	0	-1482	SLE FR 1	no				Si

Verifiche delle fessure nella famiglia Esercizio quasi permanente

Valore limite di controllo: 0.3 mm

Coefficiente di omogeneizzazione impiegato: $E_s \cdot (1 + \varphi) / E_c = 6.55$

Coefficiente di viscosità: $\varphi = 0$

RELAZIONE GEOTECNICA E SULLE FONDAZIONI

Quota	Filo	Ind.	Xp	Yp	Mx	My	N	Comb.	Fess	Wka,mm	Wk,mm	Sm,cm	Verifica
0	Palo1	-	-495	2504	17348	492891	-49743	SLE QP 1	no				Si
0	Palo10	-	-78.75	1884	45142	-96866	-29128	SLE QP 1	no				Si
0	Palo100	-	3885	754	3029	139660	-12274	SLE QP 1	no				Si
0	Palo101	-	3615	664	-23060	113250	-20868	SLE QP 1	no				Si
0	Palo102	-	3795	664	2828	128073	-15516	SLE QP 1	no				Si
0	Palo103	-	3705	574	11985	98863	-18308	SLE QP 1	no				Si
0	Palo104	-	3885	574	28379	147640	-12143	SLE QP 1	no				Si
0	Palo105	-	3615	484	-23585	203686	-22129	SLE QP 1	no				Si
0	Palo106	-	3795	484	30916	156967	-15154	SLE QP 1	no				Si
0	Palo107	-	3705	394	26968	168993	-18287	SLE QP 1	no				Si
0	Palo108	-	3885	394	66438	154311	-10874	SLE QP 1	no				Si
0	Palo11	-	91.25	1884	-71927	976	-26639	SLE QP 1	no				Si
0	Palo12	-	261.25	1884	-128234	18492	-23194	SLE QP 1	no				Si
0	Palo13	-	-495	1844	-2169	530589	-36887	SLE QP 1	no				Si
0	Palo14	-	-225	1844	2542	-136487	-26084	SLE QP 1	no				Si
0	Palo15	-	11.25	1794	46076	-20052	-27909	SLE QP 1	no				Si
0	Palo16	-	-78.75	1704	-57351	-22392	-28663	SLE QP 1	no				Si
0	Palo17	-	51.25	1704	-22906	-54738	-27827	SLE QP 1	no				Si
0	Palo18	-	266.25	1704	-137445	-24676	-26895	SLE QP 1	no				Si
0	Palo19	-	-650	1664	-19913	42054	-58685	SLE QP 1	no				Si
0	Palo2	-	-225	2504	18881	-356095	-44302	SLE QP 1	no				Si
0	Palo20	-	11.25	1634	-66508	-22321	-28652	SLE QP 1	no				Si
0	Palo21	-	-495	1484	8081	448752	-41745	SLE QP 1	no				Si
0	Palo22	-	-225	1484	1637	-113239	-30924	SLE QP 1	no				Si
0	Palo23	-	91.25	1484	-1016	-36640	-31135	SLE QP 1	no				Si
0	Palo24	-	-650	1299	340472	14655	-43873	SLE QP 1	no				Si
0	Palo25	-	-70	1299	180830	-2202	-26547	SLE QP 1	no				Si
0	Palo26	-	261.25	1299	52454	246101	-30750	SLE QP 1	no				Si
0	Palo27	-	275	1114	38927	100826	-29734	SLE QP 1	no				Si
0	Palo28	-	455	1114	21933	-6416	-25959	SLE QP 1	no				Si
0	Palo29	-	-650	1074	-200814	20883	-40379	SLE QP 1	no				Si
0	Palo3	-	-650	2344	129685	55682	-59017	SLE QP 1	no				Si
0	Palo30	-	-70	1074	-219874	-5497	-26953	SLE QP 1	no				Si
0	Palo31	-	185	1024	13972	88559	-31570	SLE QP 1	no				Si
0	Palo32	-	365	1024	17996	117550	-26703	SLE QP 1	no				Si
0	Palo33	-	275	934	6705	108227	-28882	SLE QP 1	no				Si
0	Palo34	-	455	934	24427	72053	-23944	SLE QP 1	no				Si
0	Palo35	-	-495	889	-293	341323	-30336	SLE QP 1	no				Si
0	Palo36	-	-225	889	-6974	-295711	-28999	SLE QP 1	no				Si
0	Palo37	-	185	844	53315	112958	-30952	SLE QP 1	no				Si
0	Palo38	-	365	844	69840	104503	-25541	SLE QP 1	no				Si
0	Palo39	-	-650	740.66	122182	26258	-41852	SLE QP 1	no				Si
0	Palo4	-	-70	2344	261620	-39719	-45098	SLE QP 1	no				Si
0	Palo40	-	-70	765	-60526	827	-39145	SLE QP 1	no				Si
0	Palo41	-	275	754	36676	119870	-27966	SLE QP 1	no				Si
0	Palo42	-	456	753.31	25212	86401	-22612	SLE QP 1	no				Si
0	Palo43	-	185	664	41167	116028	-29855	SLE QP 1	no				Si
0	Palo44	-	365	664	26402	96849	-24627	SLE QP 1	no				Si
0	Palo45	-	-650	592.33	-349899	20227	-43523	SLE QP 1	no				Si
0	Palo46	-	-70	555	53081	12525	-38726	SLE QP 1	no				Si
0	Palo47	-	275	574	72168	110770	-26138	SLE QP 1	no				Si
0	Palo48	-	455	574	51526	63055	-21560	SLE QP 1	no				Si
0	Palo49	-	-495	464	-24246	327299	-41421	SLE QP 1	no				Si
0	Palo5	-	-495	2184	-629	738001	-41118	SLE QP 4	si	0.3	0.014	25.4	Si
0	Palo50	-	-225	464	296	-136129	-36125	SLE QP 1	no				Si
0	Palo51	-	185	484	64191	141601	-27560	SLE QP 1	no				Si
0	Palo52	-	365	484	61282	38501	-22870	SLE QP 1	no				Si
0	Palo53	-	275	394	89241	100970	-23394	SLE QP 1	no				Si
0	Palo54	-	455	394	78951	-58891	-20739	SLE QP 1	no				Si
0	Palo55	-	935	1044	819151	-332011	-62488	SLE QP 4	si	0.3	0.011	32.8	Si
0	Palo56	-	935	854	363795	-8154	-27912	SLE QP 1	no				Si
0	Palo57	-	935	654	-426952	-9417	-29124	SLE QP 1	no				Si
0	Palo58	-	935	464	-927149	-392953	-70004	SLE QP 4	si	0.3	0.014	33.4	Si
0	Palo59	-	1330	1044	827328	115774	-62598	SLE QP 4	si	0.3	0.008	30.6	Si
0	Palo6	-	-225	2184	7838	-374503	-25710	SLE QP 1	no				Si
0	Palo60	-	1330	854	374325	2174	-28239	SLE QP 1	no				Si
0	Palo61	-	1330	654	-427864	2221	-29507	SLE QP 1	no				Si
0	Palo62	-	1330	464	-922089	117039	-70070	SLE QP 4	si	0.3	0.009	30.4	Si
0	Palo63	-	1865	1034	56403	124873	-30715	SLE QP 1	no				Si
0	Palo64	-	2035	1034	38921	-41433	-27710	SLE QP 1	no				Si
0	Palo65	-	2205	1034	55489	-208206	-30333	SLE QP 1	no				Si
0	Palo66	-	1775	944	66345	103999	-33140	SLE QP 1	no				Si
0	Palo67	-	1955	944	-11275	22223	-28584	SLE QP 1	no				Si
0	Palo68	-	2115	944	-13179	-107104	-28433	SLE QP 1	no				Si
0	Palo69	-	2295	944	66413	-189934	-32616	SLE QP 1	no				Si
0	Palo7	-	-650	2014	-50171	61461	-57001	SLE QP 1	no				Si
0	Palo70	-	1865	854	38598	40366	-30179	SLE QP 1	no				Si
0	Palo71	-	2205	854	38982	-126502	-29885	SLE QP 1	no				Si
0	Palo72	-	1775	764	67003	46635	-30969	SLE QP 1	no				Si
0	Palo73	-	2295	764	65959	-135010	-30540	SLE QP 1	no				Si
0	Palo74	-	1865	674	17612	10849	-29360	SLE QP 1	no				Si
0	Palo75	-	2205	674	7796	-104225	-29136	SLE QP 1	no				Si
0	Palo76	-	1775	564	-177157	127111	-33411	SLE QP 1	no				Si
0	Palo77	-	1955	564	-45336	16473	-28864	SLE QP 1	no				Si
0	Palo78	-	2115	564	-49652	-114512	-28838	SLE QP 1	no				Si
0	Palo79	-	2295	564	-185168	-221095	-33301	SLE QP 1	no				Si
0	Palo8	-	11.25	1974	2434	70766	-28023	SLE QP 1	no				Si
0	Palo80	-	1865	474	-189438	155140	-33508	SLE QP 1	no				Si
0	Palo81	-	2035	474	-149688	-53067	-30096	SLE QP 1	no				Si
0	Palo82	-	2205	474	-196475	-260334	-33612	SLE QP 1	no				Si
0	Palo83	-	2740	1044	834233	-236008	-62479	SLE QP 4	si	0.3	0.01	32	Si
0	Palo84	-	2740	854	382129	-5220	-28204	SLE QP 1	no				Si
0	Palo85	-	2740	654	-417752	-5101	-29392	SLE QP 1	no				Si
0	Palo86	-	2740	464	-904573	-226721	-69409	SLE QP 4	si	0.3	0.009	30.8	Si
0	Palo87	-	3135	1044	846866	171136	-63723	SLE QP 4	si	0.3	0.009	31.2	Si
0	Palo88	-	3135	854	379848	4052	-28472	SLE QP 1	no				Si
0	Palo89	-	3135	654	-429984	4237	-29774	SLE QP 1	no				Si
0	Palo9	-	171.25	1974	-95776	55225	-23467	SLE QP 1	no				Si
0	Palo90	-	3135	464	-935666	187580	-71395	SLE QP 4	si	0.3	0.009	30.6	Si
0	Palo91	-	3705	1114	-21797	161739	-16980	SLE QP 1	no				Si
0	Palo92	-	3885	1114	-55383	148355	-9936	SLE QP 1	no				Si

RELAZIONE GEOTECNICA E SULLE FONDAZIONI

Quota	Filo	Ind.	Xp	Yp	Mx	My	N	Comb.	Fess	Wka,mm	Wk,mm	Sm,cm	Verifica
0	Palo93	-	3615	1024	23103	193551	-20931	SLE QP 1	no				Si
0	Palo94	-	3795	1024	-24498	149895	-14257	SLE QP 1	no				Si
0	Palo95	-	3705	934	-10376	95852	-17586	SLE QP 1	no				Si
0	Palo96	-	3885	934	-20756	142867	-11627	SLE QP 1	no				Si
0	Palo97	-	3615	844	17884	110731	-20444	SLE QP 1	no				Si
0	Palo98	-	3795	844	-2082	125645	-15193	SLE QP 1	no				Si
0	Palo99	-	3705	754	-262	78947	-17903	SLE QP 1	no				Si
-471	Palo1	-	-495	2504	2707	24483	-36038	SLE QP 1	no				Si
-471	Palo10	-	-78.75	1884	1052	11357	-21200	SLE QP 1	no				Si
-471	Palo100	-	3885	754	-1928	13496	-9070	SLE QP 1	no				Si
-471	Palo101	-	3615	664	-2593	12675	-15255	SLE QP 1	no				Si
-471	Palo102	-	3795	664	-1911	13152	-11403	SLE QP 1	no				Si
-471	Palo103	-	3705	574	-1626	12307	-13413	SLE QP 1	no				Si
-471	Palo104	-	3885	574	-1183	13904	-8976	SLE QP 1	no				Si
-471	Palo105	-	3615	484	-2672	15786	-16163	SLE QP 1	no				Si
-471	Palo106	-	3795	484	-1114	14267	-11143	SLE QP 1	no				Si
-471	Palo107	-	3705	394	-1158	14754	-13398	SLE QP 1	no				Si
-471	Palo108	-	3885	394	20	14251	-8062	SLE QP 1	no				Si
-471	Palo11	-	91.25	1884	-2125	14464	-19409	SLE QP 1	no				Si
-471	Palo12	-	261.25	1884	-3303	14921	-16930	SLE QP 1	no				Si
-471	Palo13	-	-495	1844	3103	31184	-26785	SLE QP 1	no				Si
-471	Palo14	-	-225	1844	79	9869	-19010	SLE QP 1	no				Si
-471	Palo15	-	11.25	1794	1358	13537	-20323	SLE QP 1	no				Si
-471	Palo16	-	-78.75	1704	-2253	12965	-20866	SLE QP 1	no				Si
-471	Palo17	-	51.25	1704	-655	11863	-20264	SLE QP 1	no				Si
-471	Palo18	-	266.25	1704	-3594	12820	-19593	SLE QP 1	no				Si
-471	Palo19	-	-650	1664	3580	13998	-42474	SLE QP 1	no				Si
-471	Palo2	-	-225	2504	620	-2467	-32122	SLE QP 1	no				Si
-471	Palo20	-	11.25	1634	-2212	12580	-20858	SLE QP 1	no				Si
-471	Palo21	-	-495	1484	3911	25942	-30282	SLE QP 1	no				Si
-471	Palo22	-	-225	1484	416	8062	-22493	SLE QP 1	no				Si
-471	Palo23	-	91.25	1484	91	10795	-22645	SLE QP 1	no				Si
-471	Palo24	-	-650	1299	15410	10875	-31813	SLE QP 1	no				Si
-471	Palo25	-	-70	1299	5934	10877	-19343	SLE QP 1	no				Si
-471	Palo26	-	261.25	1299	2312	18469	-22368	SLE QP 1	no				Si
-471	Palo27	-	275	1114	1729	12960	-21637	SLE QP 1	no				Si
-471	Palo28	-	455	1114	1143	9379	-18920	SLE QP 1	no				Si
-471	Palo29	-	-650	1074	-2080	10117	-29299	SLE QP 1	no				Si
-471	Palo3	-	-650	2344	8231	12052	-42712	SLE QP 1	no				Si
-471	Palo30	-	-70	1074	-6904	9560	-19635	SLE QP 1	no				Si
-471	Palo31	-	185	1024	806	12498	-22959	SLE QP 1	no				Si
-471	Palo32	-	365	1024	1110	13425	-19455	SLE QP 1	no				Si
-471	Palo33	-	275	934	563	13110	-21024	SLE QP 1	no				Si
-471	Palo34	-	455	934	1139	11936	-17470	SLE QP 1	no				Si
-471	Palo35	-	-495	889	3674	20485	-22070	SLE QP 1	no				Si
-471	Palo36	-	-225	889	915	-126	-21107	SLE QP 1	no				Si
-471	Palo37	-	185	844	2065	13251	-22513	SLE QP 1	no				Si
-471	Palo38	-	365	844	2655	13003	-18619	SLE QP 1	no				Si
-471	Palo39	-	-650	740.66	8568	10223	-30359	SLE QP 1	no				Si
-471	Palo4	-	-70	2344	7639	9380	-32695	SLE QP 1	no				Si
-471	Palo40	-	-70	765	-1544	9648	-28410	SLE QP 1	no				Si
-471	Palo41	-	275	754	1472	13372	-20364	SLE QP 1	no				Si
-471	Palo42	-	456	753.31	1067	12460	-16511	SLE QP 1	no				Si
-471	Palo43	-	185	664	1616	13423	-21723	SLE QP 1	no				Si
-471	Palo44	-	365	664	1035	12827	-17961	SLE QP 1	no				Si
-471	Palo45	-	-650	592.33	-6658	9914	-31561	SLE QP 1	no				Si
-471	Palo46	-	-70	555	2197	10080	-28109	SLE QP 1	no				Si
-471	Palo47	-	275	574	2524	13319	-19048	SLE QP 1	no				Si
-471	Palo48	-	455	574	1844	11770	-15754	SLE QP 1	no				Si
-471	Palo49	-	-495	464	3086	20166	-30048	SLE QP 1	no				Si
-471	Palo5	-	-495	2184	2864	31115	-24514	SLE QP 1	no				Si
-471	Palo50	-	-225	464	1296	5321	-26237	SLE QP 1	no				Si
-471	Palo51	-	185	484	2315	14396	-20072	SLE QP 1	no				Si
-471	Palo52	-	365	484	2058	11051	-16697	SLE QP 1	no				Si
-471	Palo53	-	275	394	3033	13146	-17074	SLE QP 1	no				Si
-471	Palo54	-	455	394	2654	7865	-15163	SLE QP 1	no				Si
-471	Palo55	-	935	1044	20854	1334	-36476	SLE QP 1	no				Si
-471	Palo56	-	935	854	11658	9083	-20325	SLE QP 1	no				Si
-471	Palo57	-	935	654	-14076	9093	-21198	SLE QP 1	no				Si
-471	Palo58	-	935	464	-22885	378	-39006	SLE QP 1	no				Si
-471	Palo59	-	1330	1044	20107	11147	-36907	SLE QP 1	no				Si
-471	Palo6	-	-225	2184	1067	164	-18741	SLE QP 1	no				Si
-471	Palo60	-	1330	854	10795	9229	-20560	SLE QP 1	no				Si
-471	Palo61	-	1330	654	-15309	9176	-21473	SLE QP 1	no				Si
-471	Palo62	-	1330	464	-24268	11590	-39578	SLE QP 1	no				Si
-471	Palo63	-	1865	1034	-1475	12814	-22343	SLE QP 1	no				Si
-471	Palo64	-	2035	1034	-2204	7419	-20180	SLE QP 1	no				Si
-471	Palo65	-	2205	1034	-1904	2018	-22068	SLE QP 1	no				Si
-471	Palo66	-	1775	944	-1116	12212	-24088	SLE QP 1	no				Si
-471	Palo67	-	1955	944	-3737	9585	-20809	SLE QP 1	no				Si
-471	Palo68	-	2115	944	-3981	5388	-20700	SLE QP 1	no				Si
-471	Palo69	-	2295	944	-1728	2731	-23711	SLE QP 1	no				Si
-471	Palo7	-	-650	2014	2521	15219	-41262	SLE QP 1	no				Si
-471	Palo70	-	1865	854	-2084	10256	-21957	SLE QP 1	no				Si
-471	Palo71	-	2205	854	-2457	4882	-21745	SLE QP 1	no				Si
-471	Palo72	-	1775	764	-1131	10536	-22525	SLE QP 1	no				Si
-471	Palo73	-	2295	764	-1735	4702	-22217	SLE QP 1	no				Si
-471	Palo74	-	1865	674	-2799	9463	-21367	SLE QP 1	no				Si
-471	Palo75	-	2205	674	-3474	5801	-21206	SLE QP 1	no				Si
-471	Palo76	-	1775	564	-9016	13353	-24283	SLE QP 1	no				Si
-471	Palo77	-	1955	564	-4947	9784	-21011	SLE QP 1	no				Si
-471	Palo78	-	2115	564	-5252	5563	-20992	SLE QP 1	no				Si
-471	Palo79	-	2295	564	-9834	2131	-24204	SLE QP 1	no				Si
-471	Palo8	-	11.25	1974	-69	16959	-20405	SLE QP 1	no				Si
-471	Palo80	-	1865	474	-9520	14370	-24353	SLE QP 1	no				Si
-471	Palo81	-	2035	474	-8429	7648	-21897	SLE QP 1	no				Si
-471	Palo82	-	2205	474	-10113	969	-24428	SLE QP 1	no				Si
-471	Palo83	-	2740	1044	18912	3608	-36855	SLE QP 1	no				Si
-471	Palo84	-	2740	854	9716	8563	-20535	SLE QP 1	no				Si
-471	Palo85	-	2740	654	-16311	9041	-21391	SLE QP 1	no				Si
-471	Palo86	-	2740	464	-25330	4455	-39423	SLE QP 1	no				Si

RELAZIONE GEOTECNICA E SULLE FONDAZIONI

Quota	Filo	Ind.	Xp	Yp	Mx	My	N	Comb.	Fess	Wka,mm	Wk,mm	Sm,cm	Verifica
-471	Palo87	-	3135	1044	19681	12647	-37164	SLE QP 1	no				Si
-471	Palo88	-	3135	854	10399	8859	-20728	SLE QP 1	no				Si
-471	Palo89	-	3135	654	-15958	9196	-21665	SLE QP 1	no				Si
-471	Palo9	-	171.25	1974	-2631	16507	-17126	SLE QP 1	no				Si
-471	Palo90	-	3135	464	-25114	13450	-40007	SLE QP 1	no				Si
-471	Palo91	-	3705	1114	-2436	13915	-12457	SLE QP 1	no				Si
-471	Palo92	-	3885	1114	-3716	13456	-7387	SLE QP 1	no				Si
-471	Palo93	-	3615	1024	-954	14994	-15301	SLE QP 1	no				Si
-471	Palo94	-	3795	1024	-2590	13582	-10497	SLE QP 1	no				Si
-471	Palo95	-	3705	934	-2071	11904	-12893	SLE QP 1	no				Si
-471	Palo96	-	3885	934	-2624	13443	-8604	SLE QP 1	no				Si
-471	Palo97	-	3615	844	-1182	12440	-14951	SLE QP 1	no				Si
-471	Palo98	-	3795	844	-1955	12921	-11171	SLE QP 1	no				Si
-471	Palo99	-	3705	754	-1877	11517	-13121	SLE QP 1	no				Si
-942	Palo1	-	-495	2504	-798	-24699	-21876	SLE QP 1	no				Si
-942	Palo10	-	-78.75	1884	-2308	5483	-12828	SLE QP 1	no				Si
-942	Palo100	-	3885	754	-233	-6743	-5432	SLE QP 1	no				Si
-942	Palo101	-	3615	664	1099	-5401	-9203	SLE QP 1	no				Si
-942	Palo102	-	3795	664	-222	-6154	-6854	SLE QP 1	no				Si
-942	Palo103	-	3705	574	-687	-4666	-8080	SLE QP 1	no				Si
-942	Palo104	-	3885	574	-1523	-7143	-5374	SLE QP 1	no				Si
-942	Palo105	-	3615	484	1123	-9986	-9757	SLE QP 1	no				Si
-942	Palo106	-	3795	484	-1652	-7614	-6696	SLE QP 1	no				Si
-942	Palo107	-	3705	394	-1449	-8221	-8070	SLE QP 1	no				Si
-942	Palo108	-	3885	394	-3457	-7477	-4817	SLE QP 1	no				Si
-942	Palo11	-	91.25	1884	3661	512	-11736	SLE QP 1	no				Si
-942	Palo12	-	261.25	1884	6545	-382	-10224	SLE QP 1	no				Si
-942	Palo13	-	-495	1844	234	-26401	-16233	SLE QP 1	no				Si
-942	Palo14	-	-225	1844	-129	7487	-11492	SLE QP 1	no				Si
-942	Palo15	-	11.25	1794	-2345	1570	-12293	SLE QP 1	no				Si
-942	Palo16	-	-78.75	1704	2897	1670	-12624	SLE QP 1	no				Si
-942	Palo17	-	51.25	1704	1167	3310	-12257	SLE QP 1	no				Si
-942	Palo18	-	266.25	1704	7013	1783	-11848	SLE QP 1	no				Si
-942	Palo19	-	-650	1664	1176	-1644	-25800	SLE QP 1	no				Si
-942	Palo2	-	-225	2504	-959	18436	-19488	SLE QP 1	no				Si
-942	Palo20	-	11.25	1634	3375	1651	-12620	SLE QP 1	no				Si
-942	Palo21	-	-495	1484	-268	-22346	-18366	SLE QP 1	no				Si
-942	Palo22	-	-225	1484	-69	6207	-13616	SLE QP 1	no				Si
-942	Palo23	-	91.25	1484	56	2327	-13709	SLE QP 1	no				Si
-942	Palo24	-	-650	1299	-17120	-340	-19299	SLE QP 1	no				Si
-942	Palo25	-	-70	1299	-9180	538	-11696	SLE QP 1	no				Si
-942	Palo26	-	261.25	1299	-2640	-12090	-13540	SLE QP 1	no				Si
-942	Palo27	-	275	1114	-1959	-4743	-13094	SLE QP 1	no				Si
-942	Palo28	-	455	1114	-1097	699	-11438	SLE QP 1	no				Si
-942	Palo29	-	-650	1074	10370	-693	-17766	SLE QP 1	no				Si
-942	Palo3	-	-650	2344	-6429	-2429	-25945	SLE QP 1	no				Si
-942	Palo30	-	-70	1074	11174	658	-11874	SLE QP 1	no				Si
-942	Palo31	-	185	1024	-696	-4123	-13900	SLE QP 1	no				Si
-942	Palo32	-	365	1024	-893	-5595	-11764	SLE QP 1	no				Si
-942	Palo33	-	275	934	-327	-5123	-12720	SLE QP 1	no				Si
-942	Palo34	-	455	934	-1227	-3286	-10553	SLE QP 1	no				Si
-942	Palo35	-	-495	889	158	-16967	-13358	SLE QP 1	no				Si
-942	Palo36	-	-225	889	399	15385	-12771	SLE QP 1	no				Si
-942	Palo37	-	185	844	-2694	-5363	-13629	SLE QP 1	no				Si
-942	Palo38	-	365	844	-3531	-4933	-11254	SLE QP 1	no				Si
-942	Palo39	-	-650	740.66	-6025	-969	-18412	SLE QP 1	no				Si
-942	Palo4	-	-70	2344	-13318	2432	-19837	SLE QP 1	no				Si
-942	Palo40	-	-70	765	3090	332	-17224	SLE QP 1	no				Si
-942	Palo41	-	275	754	-1852	-5510	-12318	SLE QP 1	no				Si
-942	Palo42	-	456	753.31	-1271	-4012	-9969	SLE QP 1	no				Si
-942	Palo43	-	185	664	-2080	-5516	-13147	SLE QP 1	no				Si
-942	Palo44	-	365	664	-1334	-4541	-10853	SLE QP 1	no				Si
-942	Palo45	-	-650	592.33	17951	-667	-19146	SLE QP 1	no				Si
-942	Palo46	-	-70	555	-2677	-260	-17041	SLE QP 1	no				Si
-942	Palo47	-	275	574	-3658	-5247	-11516	SLE QP 1	no				Si
-942	Palo48	-	455	574	-2610	-2824	-9507	SLE QP 1	no				Si
-942	Palo49	-	-495	464	1382	-16249	-18223	SLE QP 1	no				Si
-942	Palo5	-	-495	2184	99	-29234	-14848	SLE QP 1	no				Si
-942	Palo50	-	-225	464	35	7292	-15899	SLE QP 1	no				Si
-942	Palo51	-	185	484	-3251	-6809	-12140	SLE QP 1	no				Si
-942	Palo52	-	365	484	-3109	-1574	-10082	SLE QP 1	no				Si
-942	Palo53	-	275	394	-4526	-4743	-10312	SLE QP 1	no				Si
-942	Palo54	-	455	394	-4006	3371	-9147	SLE QP 1	no				Si
-942	Palo55	-	935	1044	-32871	12866	-22143	SLE QP 1	no				Si
-942	Palo56	-	935	854	-18480	778	-12295	SLE QP 1	no				Si
-942	Palo57	-	935	654	21673	844	-12827	SLE QP 1	no				Si
-942	Palo58	-	935	464	35480	15017	-23685	SLE QP 1	no				Si
-942	Palo59	-	1330	1044	-33641	-3065	-22406	SLE QP 1	no				Si
-942	Palo6	-	-225	2184	-366	19497	-11328	SLE QP 1	no				Si
-942	Palo60	-	1330	854	-19061	246	-12438	SLE QP 1	no				Si
-942	Palo61	-	1330	654	21672	241	-12995	SLE QP 1	no				Si
-942	Palo62	-	1330	464	35713	-2934	-24034	SLE QP 1	no				Si
-942	Palo63	-	1865	1034	-2993	-6000	-13525	SLE QP 1	no				Si
-942	Palo64	-	2035	1034	-2111	2445	-12206	SLE QP 1	no				Si
-942	Palo65	-	2205	1034	-2962	10914	-13357	SLE QP 1	no				Si
-942	Palo66	-	1775	944	-3496	-4937	-14589	SLE QP 1	no				Si
-942	Palo67	-	1955	944	441	-784	-12589	SLE QP 1	no				Si
-942	Palo68	-	2115	944	531	5784	-12523	SLE QP 1	no				Si
-942	Palo69	-	2295	944	-3524	9991	-14359	SLE QP 1	no				Si
-942	Palo7	-	-650	2014	2709	-2607	-25061	SLE QP 1	no				Si
-942	Palo70	-	1865	854	-2090	-1702	-13290	SLE QP 1	no				Si
-942	Palo71	-	2205	854	-2124	6773	-13160	SLE QP 1	no				Si
-942	Palo72	-	1775	764	-3531	-2017	-13636	SLE QP 1	no				Si
-942	Palo73	-	2295	764	-3500	7209	-13448	SLE QP 1	no				Si
-942	Palo74	-	1865	674	-1025	-197	-12930	SLE QP 1	no				Si
-942	Palo75	-	2205	674	-541	5650	-12832	SLE QP 1	no				Si
-942	Palo76	-	1775	564	8869	-6096	-14708	SLE QP 1	no				Si
-942	Palo77	-	1955	564	2167	-477	-12712	SLE QP 1	no				Si
-942	Palo78	-	2115	564	2380	6176	-12701	SLE QP 1	no				Si
-942	Palo79	-	2295	564	9254	11589	-14660	SLE QP 1	no				Si
-942	Palo8	-	11.25	1974	-129	-3023	-12343	SLE QP 1	no				Si

RELAZIONE GEOTECNICA E SULLE FONDAZIONI

Quota	Filo	Ind.	Xp	Yp	Mx	My	N	Comb.	Fess	Wka,mm	Wk,mm	Sm,cm	Verifica
-942	Palo80	-	1865	474	9489	-7515	-14751	SLE QP 1	no				Si
-942	Palo81	-	2035	474	7462	3059	-13253	SLE QP 1	no				Si
-942	Palo82	-	2205	474	9832	13586	-14796	SLE QP 1	no				Si
-942	Palo83	-	2740	1044	-33918	8537	-22374	SLE QP 1	no				Si
-942	Palo84	-	2740	854	-19509	605	-12423	SLE QP 1	no				Si
-942	Palo85	-	2740	654	21107	617	-12944	SLE QP 1	no				Si
-942	Palo86	-	2740	464	35242	8160	-23940	SLE QP 1	no				Si
-942	Palo87	-	3135	1044	-33894	-5812	-22562	SLE QP 1	no				Si
-942	Palo88	-	3135	854	-19364	134	-12540	SLE QP 1	no				Si
-942	Palo89	-	3135	654	21757	137	-13112	SLE QP 1	no				Si
-942	Palo9	-	171.25	1974	4882	-2232	-10344	SLE QP 1	no				Si
-942	Palo90	-	3135	464	36102	-6199	-24296	SLE QP 1	no				Si
-942	Palo91	-	3705	1114	1040	-7876	-7497	SLE QP 1	no				Si
-942	Palo92	-	3885	1114	2738	-7197	-4405	SLE QP 1	no				Si
-942	Palo93	-	3615	1024	-1239	-9490	-9231	SLE QP 1	no				Si
-942	Palo94	-	3795	1024	1174	-7273	-6302	SLE QP 1	no				Si
-942	Palo95	-	3705	934	459	-4525	-7763	SLE QP 1	no				Si
-942	Palo96	-	3885	934	978	-6912	-5148	SLE QP 1	no				Si
-942	Palo97	-	3615	844	-977	-5279	-9017	SLE QP 1	no				Si
-942	Palo98	-	3795	844	32	-6036	-6713	SLE QP 1	no				Si
-942	Palo99	-	3705	754	-59	-3661	-7902	SLE QP 1	no				Si
-1319	Palo1	-	-495	2504	-306	-6101	-14104	SLE QP 1	no				Si
-1319	Palo10	-	-78.75	1884	-500	395	-8454	SLE QP 1	no				Si
-1319	Palo100	-	3885	754	66	-2055	-3836	SLE QP 1	no				Si
-1319	Palo101	-	3615	664	357	-1752	-6191	SLE QP 1	no				Si
-1319	Palo102	-	3795	664	67	-1923	-4724	SLE QP 1	no				Si
-1319	Palo103	-	3705	574	-38	-1591	-5489	SLE QP 1	no				Si
-1319	Palo104	-	3885	574	-222	-2154	-3800	SLE QP 1	no				Si
-1319	Palo105	-	3615	484	366	-2803	-6536	SLE QP 1	no				Si
-1319	Palo106	-	3795	484	-251	-2264	-4625	SLE QP 1	no				Si
-1319	Palo107	-	3705	394	-210	-2408	-5484	SLE QP 1	no				Si
-1319	Palo108	-	3885	394	-659	-2237	-3452	SLE QP 1	no				Si
-1319	Palo11	-	91.25	1884	818	-728	-7772	SLE QP 1	no				Si
-1319	Palo112	-	261.25	1884	1435	-925	-6828	SLE QP 1	no				Si
-1319	Palo113	-	-495	1844	-133	-6807	-10581	SLE QP 1	no				Si
-1319	Palo114	-	-225	1844	-29	862	-7620	SLE QP 1	no				Si
-1319	Palo115	-	11.25	1794	-524	-474	-8121	SLE QP 1	no				Si
-1319	Palo116	-	-78.75	1704	680	-422	-8327	SLE QP 1	no				Si
-1319	Palo117	-	51.25	1704	260	-47	-8098	SLE QP 1	no				Si
-1319	Palo118	-	266.25	1704	1541	-393	-7843	SLE QP 1	no				Si
-1319	Palo119	-	-650	1664	19	-1112	-16555	SLE QP 1	no				Si
-1319	Palo12	-	-225	2504	-218	3651	-12613	SLE QP 1	no				Si
-1319	Palo120	-	11.25	1634	769	-404	-8324	SLE QP 1	no				Si
-1319	Palo121	-	-495	1484	-274	-5736	-11913	SLE QP 1	no				Si
-1319	Palo122	-	-225	1484	-37	721	-8947	SLE QP 1	no				Si
-1319	Palo123	-	91.25	1484	6	-173	-9005	SLE QP 1	no				Si
-1319	Palo124	-	-650	1299	-4140	-686	-12496	SLE QP 1	no				Si
-1319	Palo125	-	-70	1299	-2087	-519	-7747	SLE QP 1	no				Si
-1319	Palo126	-	261.25	1299	-635	-3356	-8899	SLE QP 1	no				Si
-1319	Palo127	-	275	1114	-472	-1643	-8621	SLE QP 1	no				Si
-1319	Palo128	-	455	1114	-274	-403	-7586	SLE QP 1	no				Si
-1319	Palo129	-	-650	1074	2093	-710	-11538	SLE QP 1	no				Si
-1319	Palo13	-	-650	2344	-1694	-1151	-16646	SLE QP 1	no				Si
-1319	Palo130	-	-70	1074	2522	-421	-7858	SLE QP 1	no				Si
-1319	Palo131	-	185	1024	-178	-1499	-9124	SLE QP 1	no				Si
-1319	Palo132	-	365	1024	-233	-1832	-7790	SLE QP 1	no				Si
-1319	Palo133	-	275	934	-94	-1724	-8387	SLE QP 1	no				Si
-1319	Palo134	-	455	934	-299	-1307	-7034	SLE QP 1	no				Si
-1319	Palo135	-	-495	889	-180	-4400	-8786	SLE QP 1	no				Si
-1319	Palo136	-	-225	889	24	2936	-8419	SLE QP 1	no				Si
-1319	Palo137	-	185	844	-631	-1778	-8954	SLE QP 1	no				Si
-1319	Palo138	-	365	844	-824	-1682	-7472	SLE QP 1	no				Si
-1319	Palo139	-	-650	740.66	-1636	-768	-11942	SLE QP 1	no				Si
-1319	Palo14	-	-70	2344	-2972	-73	-12831	SLE QP 1	no				Si
-1319	Palo140	-	-70	765	676	-488	-11200	SLE QP 1	no				Si
-1319	Palo141	-	275	754	-437	-1813	-8136	SLE QP 1	no				Si
-1319	Palo142	-	456	753.31	-303	-1475	-6669	SLE QP 1	no				Si
-1319	Palo143	-	185	664	-488	-1817	-8654	SLE QP 1	no				Si
-1319	Palo144	-	365	664	-313	-1597	-7221	SLE QP 1	no				Si
-1319	Palo145	-	-650	592.33	3798	-693	-12400	SLE QP 1	no				Si
-1319	Palo146	-	-70	555	-635	-625	-11085	SLE QP 1	no				Si
-1319	Palo147	-	275	574	-841	-1760	-7635	SLE QP 1	no				Si
-1319	Palo148	-	455	574	-602	-1210	-6381	SLE QP 1	no				Si
-1319	Palo149	-	-495	464	87	-4245	-11824	SLE QP 1	no				Si
-1319	Palo15	-	-495	2184	-145	-7343	-9716	SLE QP 1	no				Si
-1319	Palo150	-	-225	464	-67	1084	-10372	SLE QP 1	no				Si
-1319	Palo151	-	185	484	-751	-2119	-8025	SLE QP 1	no				Si
-1319	Palo152	-	365	484	-709	-931	-6740	SLE QP 1	no				Si
-1319	Palo153	-	275	394	-1035	-1654	-6883	SLE QP 1	no				Si
-1319	Palo154	-	455	394	-914	193	-6156	SLE QP 1	no				Si
-1319	Palo155	-	935	1044	-7449	2373	-14271	SLE QP 1	no				Si
-1319	Palo156	-	935	854	-4184	-371	-8121	SLE QP 1	no				Si
-1319	Palo157	-	935	654	4930	-359	-8454	SLE QP 1	no				Si
-1319	Palo158	-	935	464	8062	2838	-15235	SLE QP 1	no				Si
-1319	Palo159	-	1330	1044	-7553	-1220	-14435	SLE QP 1	no				Si
-1319	Palo16	-	-225	2184	-131	3703	-7518	SLE QP 1	no				Si
-1319	Palo160	-	1330	854	-4246	-480	-8211	SLE QP 1	no				Si
-1319	Palo161	-	1330	654	5000	-478	-8558	SLE QP 1	no				Si
-1319	Palo162	-	1330	464	8185	-1220	-15452	SLE QP 1	no				Si
-1319	Palo163	-	1865	1034	-486	-1874	-8889	SLE QP 1	no				Si
-1319	Palo164	-	2035	1034	-276	42	-8066	SLE QP 1	no				Si
-1319	Palo165	-	2205	1034	-455	1963	-8785	SLE QP 1	no				Si
-1319	Palo166	-	1775	944	-602	-1637	-9554	SLE QP 1	no				Si
-1319	Palo167	-	1955	944	297	-697	-8305	SLE QP 1	no				Si
-1319	Palo168	-	2115	944	328	794	-8264	SLE QP 1	no				Si
-1319	Palo169	-	2295	944	-572	1746	-9411	SLE QP 1	no				Si
-1319	Palo17	-	-650	2014	372	-1365	-16094	SLE QP 1	no				Si
-1319	Palo170	-	1865	854	-279	-910	-8743	SLE QP 1	no				Si
-1319	Palo171	-	2205	854	-264	1011	-8662	SLE QP 1	no				Si
-1319	Palo172	-	1775	764	-608	-986	-8959	SLE QP 1	no				Si
-1319	Palo173	-	2295	764	-567	1104	-8842	SLE QP 1	no				Si

RELAZIONE GEOTECNICA E SULLE FONDAZIONI

Quota	Filo	Ind.	Xp	Yp	Mx	My	N	Comb.	Fess	Wka,mm	Wk,mm	Sm,cm	Verifica
-1319	Palo74	-	1865	674	-35	-578	-8518	SLE QP 1	no				Si
-1319	Palo75	-	2205	674	95	744	-8457	SLE QP 1	no				Si
-1319	Palo76	-	1775	564	2204	-1923	-9628	SLE QP 1	no				Si
-1319	Palo77	-	1955	564	695	-649	-8382	SLE QP 1	no				Si
-1319	Palo78	-	2115	564	753	858	-8375	SLE QP 1	no				Si
-1319	Palo79	-	2295	564	2324	2085	-9598	SLE QP 1	no				Si
-1319	Palo8	-	11.25	1974	-21	-1544	-8152	SLE QP 1	no				Si
-1319	Palo80	-	1865	474	2350	-2251	-9655	SLE QP 1	no				Si
-1319	Palo81	-	2035	474	1902	146	-8720	SLE QP 1	no				Si
-1319	Palo82	-	2205	474	2449	2531	-9684	SLE QP 1	no				Si
-1319	Palo83	-	2740	1044	-7538	1419	-14415	SLE QP 1	no				Si
-1319	Palo84	-	2740	854	-4269	-374	-8201	SLE QP 1	no				Si
-1319	Palo85	-	2740	654	4950	-399	-8527	SLE QP 1	no				Si
-1319	Palo86	-	2740	464	8156	1299	-15393	SLE QP 1	no				Si
-1319	Palo87	-	3135	1044	-7577	-1829	-14533	SLE QP 1	no				Si
-1319	Palo88	-	3135	854	-4281	-480	-8275	SLE QP 1	no				Si
-1319	Palo89	-	3135	654	5054	-499	-8632	SLE QP 1	no				Si
-1319	Palo9	-	171.25	1974	1080	-1368	-6903	SLE QP 1	no				Si
-1319	Palo90	-	3135	464	8308	-1948	-15616	SLE QP 1	no				Si
-1319	Palo91	-	3705	1114	337	-2294	-5125	SLE QP 1	no				Si
-1319	Palo92	-	3885	1114	733	-2139	-3195	SLE QP 1	no				Si
-1319	Palo93	-	3615	1024	-182	-2663	-6208	SLE QP 1	no				Si
-1319	Palo94	-	3795	1024	371	-2160	-4379	SLE QP 1	no				Si
-1319	Palo95	-	3705	934	206	-1541	-5291	SLE QP 1	no				Si
-1319	Palo96	-	3885	934	336	-2084	-3658	SLE QP 1	no				Si
-1319	Palo97	-	3615	844	-118	-1715	-6075	SLE QP 1	no				Si
-1319	Palo98	-	3795	844	118	-1887	-4636	SLE QP 1	no				Si
-1319	Palo99	-	3705	754	96	-1355	-5378	SLE QP 1	no				Si
-1790	Palo1	-	-495	2504	0	0	-3021	SLE QP 1	no				Si
-1790	Palo10	-	-78.75	1884	0	0	-2025	SLE QP 1	no				Si
-1790	Palo100	-	3885	754	0	0	-1210	SLE QP 1	no				Si
-1790	Palo101	-	3615	664	0	0	-1625	SLE QP 1	no				Si
-1790	Palo102	-	3795	664	0	0	-1367	SLE QP 1	no				Si
-1790	Palo103	-	3705	574	0	0	-1502	SLE QP 1	no				Si
-1790	Palo104	-	3885	574	0	0	-1204	SLE QP 1	no				Si
-1790	Palo105	-	3615	484	0	0	-1686	SLE QP 1	no				Si
-1790	Palo106	-	3795	484	0	0	-1349	SLE QP 1	no				Si
-1790	Palo107	-	3705	394	0	0	-1501	SLE QP 1	no				Si
-1790	Palo108	-	3885	394	0	0	-1142	SLE QP 1	no				Si
-1790	Palo11	-	91.25	1884	0	0	-1904	SLE QP 1	no				Si
-1790	Palo12	-	261.25	1884	0	0	-1738	SLE QP 1	no				Si
-1790	Palo13	-	-495	1844	0	0	-2400	SLE QP 1	no				Si
-1790	Palo14	-	-225	1844	0	0	-1877	SLE QP 1	no				Si
-1790	Palo15	-	11.25	1794	0	0	-1966	SLE QP 1	no				Si
-1790	Palo16	-	-78.75	1704	0	0	-2002	SLE QP 1	no				Si
-1790	Palo17	-	51.25	1704	0	0	-1962	SLE QP 1	no				Si
-1790	Palo18	-	266.25	1704	0	0	-1917	SLE QP 1	no				Si
-1790	Palo19	-	-650	1664	0	0	-3453	SLE QP 1	no				Si
-1790	Palo2	-	-225	2504	0	0	-2758	SLE QP 1	no				Si
-1790	Palo20	-	11.25	1634	0	0	-2002	SLE QP 1	no				Si
-1790	Palo21	-	-495	1484	0	0	-2634	SLE QP 1	no				Si
-1790	Palo22	-	-225	1484	0	0	-2111	SLE QP 1	no				Si
-1790	Palo23	-	91.25	1484	0	0	-2122	SLE QP 1	no				Si
-1790	Palo24	-	-650	1299	0	0	-2737	SLE QP 1	no				Si
-1790	Palo25	-	-70	1299	0	0	-1900	SLE QP 1	no				Si
-1790	Palo26	-	261.25	1299	0	0	-2103	SLE QP 1	no				Si
-1790	Palo27	-	275	1114	0	0	-2054	SLE QP 1	no				Si
-1790	Palo28	-	455	1114	0	0	-1871	SLE QP 1	no				Si
-1790	Palo29	-	-650	1074	0	0	-2568	SLE QP 1	no				Si
-1790	Palo3	-	-650	2344	0	0	-3469	SLE QP 1	no				Si
-1790	Palo30	-	-70	1074	0	0	-1919	SLE QP 1	no				Si
-1790	Palo31	-	185	1024	0	0	-2143	SLE QP 1	no				Si
-1790	Palo32	-	365	1024	0	0	-1907	SLE QP 1	no				Si
-1790	Palo33	-	275	934	0	0	-2013	SLE QP 1	no				Si
-1790	Palo34	-	455	934	0	0	-1774	SLE QP 1	no				Si
-1790	Palo35	-	-495	889	0	0	-2083	SLE QP 1	no				Si
-1790	Palo36	-	-225	889	0	0	-2018	SLE QP 1	no				Si
-1790	Palo37	-	185	844	0	0	-2113	SLE QP 1	no				Si
-1790	Palo38	-	365	844	0	0	-1851	SLE QP 1	no				Si
-1790	Palo39	-	-650	740.66	0	0	-2639	SLE QP 1	no				Si
-1790	Palo4	-	-70	2344	0	0	-2796	SLE QP 1	no				Si
-1790	Palo40	-	-70	765	0	0	-2509	SLE QP 1	no				Si
-1790	Palo41	-	275	754	0	0	-1968	SLE QP 1	no				Si
-1790	Palo42	-	456	753.31	0	0	-1710	SLE QP 1	no				Si
-1790	Palo43	-	185	664	0	0	-2060	SLE QP 1	no				Si
-1790	Palo44	-	365	664	0	0	-1807	SLE QP 1	no				Si
-1790	Palo45	-	-650	592.33	0	0	-2720	SLE QP 1	no				Si
-1790	Palo46	-	-70	555	0	0	-2488	SLE QP 1	no				Si
-1790	Palo47	-	275	574	0	0	-1880	SLE QP 1	no				Si
-1790	Palo48	-	455	574	0	0	-1659	SLE QP 1	no				Si
-1790	Palo49	-	-495	464	0	0	-2619	SLE QP 1	no				Si
-1790	Palo5	-	-495	2184	0	0	-2247	SLE QP 1	no				Si
-1790	Palo50	-	-225	464	0	0	-2363	SLE QP 1	no				Si
-1790	Palo51	-	185	484	0	0	-1949	SLE QP 1	no				Si
-1790	Palo52	-	365	484	0	0	-1722	SLE QP 1	no				Si
-1790	Palo53	-	275	394	0	0	-1747	SLE QP 1	no				Si
-1790	Palo54	-	455	394	0	0	-1619	SLE QP 1	no				Si
-1790	Palo55	-	935	1044	0	0	-3050	SLE QP 1	no				Si
-1790	Palo56	-	935	854	0	0	-1966	SLE QP 1	no				Si
-1790	Palo57	-	935	654	0	0	-2024	SLE QP 1	no				Si
-1790	Palo58	-	935	464	0	0	-3220	SLE QP 1	no				Si
-1790	Palo59	-	1330	1044	0	0	-3079	SLE QP 1	no				Si
-1790	Palo6	-	-225	2184	0	0	-1859	SLE QP 1	no				Si
-1790	Palo60	-	1330	854	0	0	-1982	SLE QP 1	no				Si
-1790	Palo61	-	1330	654	0	0	-2043	SLE QP 1	no				Si
-1790	Palo62	-	1330	464	0	0	-3258	SLE QP 1	no				Si
-1790	Palo63	-	1865	1034	0	0	-2101	SLE QP 1	no				Si
-1790	Palo64	-	2035	1034	0	0	-1956	SLE QP 1	no				Si
-1790	Palo65	-	2205	1034	0	0	-2083	SLE QP 1	no				Si
-1790	Palo66	-	1775	944	0	0	-2218	SLE QP 1	no				Si
-1790	Palo67	-	1955	944	0	0	-1998	SLE QP 1	no				Si

RELAZIONE GEOTECNICA E SULLE FONDAZIONI

Quota	Filo	Ind.	Xp	Yp	Mx	My	N	Comb.	Fess	Wka,mm	Wk,mm	Sm,cm	Verifica
-1790	Palo68	-	2115	944	0	0	-1991	SLE QP 1	no				Si
-1790	Palo69	-	2295	944	0	0	-2193	SLE QP 1	no				Si
-1790	Palo7	-	-650	2014	0	0	-3372	SLE QP 1	no				Si
-1790	Palo70	-	1865	854	0	0	-2075	SLE QP 1	no				Si
-1790	Palo71	-	2205	854	0	0	-2061	SLE QP 1	no				Si
-1790	Palo72	-	1775	764	0	0	-2113	SLE QP 1	no				Si
-1790	Palo73	-	2295	764	0	0	-2093	SLE QP 1	no				Si
-1790	Palo74	-	1865	674	0	0	-2036	SLE QP 1	no				Si
-1790	Palo75	-	2205	674	0	0	-2025	SLE QP 1	no				Si
-1790	Palo76	-	1775	564	0	0	-2231	SLE QP 1	no				Si
-1790	Palo77	-	1955	564	0	0	-2012	SLE QP 1	no				Si
-1790	Palo78	-	2115	564	0	0	-2011	SLE QP 1	no				Si
-1790	Palo79	-	2295	564	0	0	-2226	SLE QP 1	no				Si
-1790	Palo8	-	11.25	1974	0	0	-1971	SLE QP 1	no				Si
-1790	Palo80	-	1865	474	0	0	-2236	SLE QP 1	no				Si
-1790	Palo81	-	2035	474	0	0	-2071	SLE QP 1	no				Si
-1790	Palo82	-	2205	474	0	0	-2241	SLE QP 1	no				Si
-1790	Palo83	-	2740	1044	0	0	-3076	SLE QP 1	no				Si
-1790	Palo84	-	2740	854	0	0	-1980	SLE QP 1	no				Si
-1790	Palo85	-	2740	654	0	0	-2037	SLE QP 1	no				Si
-1790	Palo86	-	2740	464	0	0	-3248	SLE QP 1	no				Si
-1790	Palo87	-	3135	1044	0	0	-3096	SLE QP 1	no				Si
-1790	Palo88	-	3135	854	0	0	-1993	SLE QP 1	no				Si
-1790	Palo89	-	3135	654	0	0	-2056	SLE QP 1	no				Si
-1790	Palo9	-	171.25	1974	0	0	-1751	SLE QP 1	no				Si
-1790	Palo90	-	3135	464	0	0	-3287	SLE QP 1	no				Si
-1790	Palo91	-	3705	1114	0	0	-1437	SLE QP 1	no				Si
-1790	Palo92	-	3885	1114	0	0	-1097	SLE QP 1	no				Si
-1790	Palo93	-	3615	1024	0	0	-1628	SLE QP 1	no				Si
-1790	Palo94	-	3795	1024	0	0	-1306	SLE QP 1	no				Si
-1790	Palo95	-	3705	934	0	0	-1467	SLE QP 1	no				Si
-1790	Palo96	-	3885	934	0	0	-1179	SLE QP 1	no				Si
-1790	Palo97	-	3615	844	0	0	-1605	SLE QP 1	no				Si
-1790	Palo98	-	3795	844	0	0	-1351	SLE QP 1	no				Si
-1790	Palo99	-	3705	754	0	0	-1482	SLE QP 1	no				Si

Verifiche a taglio

Quota	Filo	Ind.	Xp	Yp	Tx	Ty	N	MultT	Vrd,4.1.23	VRsd,4.1.27	VRcd,4.1.28	Cotg	Comb.	C.S.	Verifica
0	Palo1	-	-495	2504	2567	-82	-84842		19913	17397	96571	1	SLU 16	7.75	Si
0	Palo10	-	-78.75	1884	-799	-198	-50042		15954	17397	89624	1	SLU 16	21.14	Si
0	Palo100	-	3885	754	569	-197	-18493		11756	17397	83327	1	SLU 16	28.88	Si
0	Palo101	-	3615	664	464	-5	-35188		13977	17397	86659	1	SLU 16	37.47	Si
0	Palo102	-	3795	664	511	-175	-25030		12625	17397	84631	1	SLU 16	32.2	Si
0	Palo103	-	3705	574	373	-233	-30866		13402	17397	85796	1	SLU 16	39.55	Si
0	Palo104	-	3885	574	635	-352	-19202		11850	17397	83468	1	SLU 16	23.96	Si
0	Palo105	-	3615	484	1014	-32	-38736		14449	17397	87367	1	SLU 16	17.15	Si
0	Palo106	-	3795	484	698	-369	-25376		12672	17397	84701	1	SLU 16	22.05	Si
0	Palo107	-	3705	394	776	-335	-31820		13529	17397	85987	1	SLU 16	20.58	Si
0	Palo108	-	3885	394	678	-561	-17795		11663	17397	83187	1	SLU 16	19.78	Si
0	Palo11	-	91.25	1884	-167	384	-42773		14987	17397	88173	1	SLU 16	41.55	Si
0	Palo12	-	261.25	1884	-82	688	-33416		13741	17397	86305	1	SLU 16	25.11	Si
0	Palo13	-	-495	1844	2896	33	-69835		18588	17397	93575	1	SLU 16	6.42	Si
0	Palo14	-	-225	1844	-1102	-57	-46604		15496	17397	88938	1	SLU 16	15.77	Si
0	Palo15	-	11.25	1794	-300	-222	-47195		15575	17397	89056	1	SLU 16	46.65	Si
0	Palo16	-	-78.75	1704	-289	425	-51312		16123	17397	89878	1	SLU 16	33.87	Si
0	Palo17	-	51.25	1704	-423	182	-45994		15415	17397	88816	1	SLU 15	37.76	Si
0	Palo18	-	266.25	1704	-279	786	-40882		14735	17397	87796	1	SLU 16	20.86	Si
0	Palo19	-	-650	1664	-35	170	-77754		19642	17397	95156	1	SLU 10	113.25	Si
0	Palo2	-	-225	2504	-2053	-133	-70676		18700	17397	93743	1	SLU 16	9.09	Si
0	Palo20	-	11.25	1634	-207	454	-50277		15985	17397	89671	1	SLU 16	34.85	Si
0	Palo21	-	-495	1484	2351	-24	-79680		19898	17397	95540	1	SLU 16	8.46	Si
0	Palo22	-	-225	1484	-1035	-51	-58944		17139	17397	91401	1	SLU 16	16.79	Si
0	Palo23	-	91.25	1484	-339	6	-40476		14681	17397	87715	1	SLU 9	51.37	Si
0	Palo24	-	-650	1299	-190	-2039	-83817		19913	17397	96366	1	SLU 16	9.72	Si
0	Palo25	-	-70	1299	-299	-1234	-49784		15920	17397	89573	1	SLU 16	13.7	Si
0	Palo26	-	261.25	1299	992	-355	-49938		15940	17397	89603	1	SLU 16	16.51	Si
0	Palo27	-	275	1114	364	-316	-47976		15679	17397	89212	1	SLU 16	36.11	Si
0	Palo28	-	455	1114	-317	-222	-40867		14733	17397	87793	1	SLU 16	44.93	Si
0	Palo29	-	-650	1074	-103	1469	-79844		19913	17397	95573	1	SLU 16	13.52	Si
0	Palo3	-	-650	2344	62	-460	-76722		19504	17397	94950	1	SLU 9	42.05	Si
0	Palo30	-	-70	1074	-270	1092	-49536		15887	17397	89523	1	SLU 16	15.47	Si
0	Palo31	-	185	1024	359	-138	-51964		16210	17397	90008	1	SLU 16	45.24	Si
0	Palo32	-	365	1024	420	-179	-42257		14918	17397	88070	1	SLU 16	38.09	Si
0	Palo33	-	275	934	437	-116	-46677		15506	17397	88952	1	SLU 16	38.51	Si
0	Palo34	-	455	934	116	-188	-37572		14295	17397	87135	1	SLU 16	78.75	Si
0	Palo35	-	-495	889	2100	25	-59683		17237	17397	91548	1	SLU 16	8.28	Si
0	Palo36	-	-225	889	-1855	3	-53970		16477	17397	90408	1	SLU 16	9.38	Si
0	Palo37	-	185	844	530	-364	-51260		16116	17397	89867	1	SLU 16	27.06	Si
0	Palo38	-	365	844	326	-406	-40760		14719	17397	87771	1	SLU 16	33.39	Si
0	Palo39	-	-650	740.66	-54	-1158	-83196		19913	17397	96242	1	SLU 16	17.17	Si
0	Palo4	-	-70	2344	-530	-1218	-72405		18930	17397	94088	1	SLU 16	14.25	Si
0	Palo40	-	-70	765	-150	251	-50888		16067	17397	89793	1	SLU 9	59.51	Si
0	Palo41	-	275	754	413	-281	-45447		15342	17397	88707	1	SLU 16	34.83	Si
0	Palo42	-	456	753.31	202	-103	-29664		13242	17397	85556	1	SLU 10	76.84	Si
0	Palo43	-	185	664	399	-333	-49126		15832	17397	89441	1	SLU 16	33.49	Si
0	Palo44	-	365	664	223	-161	-39041		14490	17397	87428	1	SLU 15	63.15	Si
0	Palo45	-	-650	592.33	-67	1505	-58012		17015	17397	91215	1	SLU 10	11.55	Si
0	Palo46	-	-70	555	-149	-597	-65997		18077	17397	92809	1	SLU 16	29.36	Si
0	Palo47	-	275	574	294	-453	-42752		14984	17397	88169	1	SLU 16	32.21	Si
0	Palo48	-	455	574	1	-248	-35570		14028	17397	86735	1	SLU 16	70.19	Si
0	Palo49	-	-495	464	1903	155	-74056		19150	17397	94418	1	SLU 16	10.03	Si
0	Palo5	-	-495	2184	3165	22	-61485		17477	17397	91908	1	SLU 16	5.52	Si
0	Palo50	-	-225	464	-926	-41	-61137		17430	17397	91839	1	SLU 16	18.81	Si
0	Palo51	-	185	484	449	-437	-45249		15316	17397	88667	1	SLU 16	27.77	Si
0	Palo52	-	365	484	-169	-378	-37740		14317	17397	87169	1	SLU 16	42.04	Si
0	Palo53	-	275	394	202	-554	-38455		14412	17397	87311	1	SLU 16	29.52	Si
0	Palo54	-	455	394	-769	-429	-35256		13986	17397	86673	1	SLU 16	19.75	Si
0	Palo55	-	935	1044	-1812	-3813	-91591		19913	17397	97918	1	SLU 16	4.72	Si
0	Palo56	-	935	854	-278	-2041	-50859		16063	17397	89787	1	SLU 16	8.45	Si
0	Palo57	-	935	654	-290	2840	-57045		16886	17397	91022	1	SLU 16	6.09	Si
0	Palo58	-	935	464	-2204	4534	-110191		19913	17397	99544	1	SLU 16	3.95	Si

RELAZIONE GEOTECNICA E SULLE FONDAZIONI

Quota	Filo	Ind.	Xp	Yp	Tx	Ty	N	MultT	Vrd,4.1.23	VRsd,4.1.27	VRcd,4.1.28	Cotg	Comb.	C.S.	Verifica
0	Palo59	-	1330	1044	354	-3862	-91553		19913	17397	97910	1	SLU 16	5.13	SI
0	Palo6	-	-225	2184	-2319	-67	-42586		14962	17397	88136	1	SLU 16	7.5	SI
0	Palo60	-	1330	854	-200	-2103	-50778		16052	17397	89771	1	SLU 16	8.24	SI
0	Palo61	-	1330	654	-198	-2758	-56704		16841	17397	90954	1	SLU 16	6.29	SI
0	Palo62	-	1330	464	430	4454	-109450		19913	17397	99544	1	SLU 16	4.45	SI
0	Palo63	-	1865	1034	463	-268	-49384		15866	17397	89493	1	SLU 16	32.49	SI
0	Palo64	-	2035	1034	-452	-174	-43995		15149	17397	88417	1	SLU 16	35.91	SI
0	Palo65	-	2205	1034	-1372	-275	-48539		15754	17397	89324	1	SLU 16	12.44	SI
0	Palo66	-	1775	944	357	-348	-54711		16575	17397	90556	1	SLU 16	34.86	SI
0	Palo67	-	1955	944	-108	72	-46554		15490	17397	88928	1	SLU 16	134.14	SI
0	Palo68	-	2115	944	-816	77	-46218		15445	17397	88861	1	SLU 16	21.22	SI
0	Palo69	-	2295	944	-1290	-366	-53568		16423	17397	90328	1	SLU 16	12.97	SI
0	Palo7	-	-650	2014	3	432	-109102		19913	17397	99544	1	SLU 16	46.14	SI
0	Palo70	-	1865	854	20	-211	-39672		14574	17397	87554	1	SLU 10	81.98	SI
0	Palo71	-	2205	854	-936	-212	-49668		15904	17397	89549	1	SLU 16	18.12	SI
0	Palo72	-	1775	764	63	-328	-46381		15467	17397	88893	1	SLU 14	52.12	SI
0	Palo73	-	2295	764	-1021	-314	-51976		16211	17397	90010	1	SLU 16	16.3	SI
0	Palo74	-	1865	674	-104	-126	-38594		14431	17397	87339	1	SLU 10	106.78	SI
0	Palo75	-	2205	674	-880	15	-50465		16010	17397	89709	1	SLU 16	19.77	SI
0	Palo76	-	1775	564	584	1131	-60472		17342	17397	91706	1	SLU 16	13.67	SI
0	Palo77	-	1955	564	-97	318	-51214		16110	17397	89858	1	SLU 16	52.34	SI
0	Palo78	-	2115	564	-936	337	-51130		16099	17397	89841	1	SLU 16	17.48	SI
0	Palo79	-	2295	564	-1589	1153	-60138		17297	17397	91639	1	SLU 16	8.86	SI
0	Palo8	-	11.25	1974	117	-1	-45929		15407	17397	88803	1	SLU 16	148.64	SI
0	Palo80	-	1865	474	756	1145	-61381		17463	17397	91888	1	SLU 16	12.73	SI
0	Palo81	-	2035	474	-545	896	-54469		16543	17397	90508	1	SLU 16	16.59	SI
0	Palo82	-	2205	474	-1837	1171	-61501		17479	17397	91911	1	SLU 16	8.02	SI
0	Palo83	-	2740	1044	-1353	-3946	-91310		19913	17397	97862	1	SLU 16	4.77	SI
0	Palo84	-	2740	854	-246	-2227	-50535		16020	17397	89722	1	SLU 16	7.76	SI
0	Palo85	-	2740	654	-257	2579	-55820		16723	17397	90777	1	SLU 16	6.71	SI
0	Palo86	-	2740	464	-1393	4277	-107509		19913	17397	99544	1	SLU 16	4.43	SI
0	Palo87	-	3135	1044	618	-4028	-93428		19913	17397	98284	1	SLU 16	4.89	SI
0	Palo88	-	3135	854	-181	-2258	-51819		16190	17397	89979	1	SLU 16	7.68	SI
0	Palo89	-	3135	654	-184	2701	-57702		16973	17397	91153	1	SLU 16	6.43	SI
0	Palo9	-	171.25	1974	87	500	-35254		13986	17397	86672	1	SLU 16	34.28	SI
0	Palo90	-	3135	464	741	4453	-111489		19913	17397	99544	1	SLU 16	4.41	SI
0	Palo91	-	3705	1114	690	-59	-24986		12620	17397	84623	1	SLU 16	25.11	SI
0	Palo92	-	3885	1114	595	78	-12630		10975	17397	82156	1	SLU 16	28.99	SI
0	Palo93	-	3615	1024	891	-278	-32672		13643	17397	86157	1	SLU 16	18.63	SI
0	Palo94	-	3795	1024	602	-42	-20562		12031	17397	83740	1	SLU 16	28.83	SI
0	Palo95	-	3705	934	340	-100	-27092		12900	17397	85043	1	SLU 16	49.09	SI
0	Palo96	-	3885	934	568	-70	-16350		11470	17397	82899	1	SLU 16	30.42	SI
0	Palo97	-	3615	844	436	-236	-33045		13692	17397	86231	1	SLU 16	35.1	SI
0	Palo98	-	3795	844	480	-143	-23296		12395	17397	84285	1	SLU 16	34.75	SI
0	Palo99	-	3705	754	254	-149	-28912		13142	17397	85406	1	SLU 16	59.06	SI
0	Palo1	-	-495	2504	7763	1576	-54592		16559	17397	90532	1	SLD 16	2.2	SI
0	Palo10	-	-78.75	1884	-3788	-3820	-33445		13745	17397	86311	1	SLD 5	3.23	SI
0	Palo100	-	3885	754	1357	-3605	-15657		11378	17397	82760	1	SLD 10	4.52	SI
0	Palo101	-	3615	664	1831	3301	-12416		10947	17397	82114	1	SLD 11	4.61	SI
0	Palo102	-	3795	664	1321	-3371	-30001		13287	17397	85624	1	SLD 10	4.81	SI
0	Palo103	-	3705	574	1296	-3486	-44485		15215	17397	88515	1	SLD 10	4.68	SI
0	Palo104	-	3885	574	1403	-3919	-35653		14039	17397	86752	1	SLD 10	4.18	SI
0	Palo105	-	3615	484	2625	3562	5203		9295	17397	79635	1	SLD 11	3.93	SI
0	Palo106	-	3795	484	1488	-4032	-50254		15982	17397	89666	1	SLD 10	4.05	SI
0	Palo107	-	3705	394	2322	3548	18571		9295	17397	79635	1	SLD 11	4.1	SI
0	Palo108	-	3885	394	1473	-4549	-50867		16064	17397	89789	1	SLD 10	3.64	SI
0	Palo11	-	91.25	1884	2445	4037	-41126		14767	17397	87844	1	SLD 12	3.69	SI
0	Palo12	-	261.25	1884	2635	4589	-53927		16471	17397	90400	1	SLD 12	3.29	SI
0	Palo13	-	-495	1844	6812	1663	-26350		12801	17397	84895	1	SLD 16	2.48	SI
0	Palo14	-	-225	1844	-5633	-1215	-55609		16695	17397	90735	1	SLD 1	3.02	SI
0	Palo15	-	11.25	1794	-2568	-4225	-29030		13158	17397	85430	1	SLD 5	3.52	SI
0	Palo16	-	-78.75	1704	-404	4576	-35708		14047	17397	86763	1	SLD 12	3.79	SI
0	Palo17	-	51.25	1704	-2504	4044	-38417		14407	17397	87304	1	SLD 7	3.66	SI
0	Palo18	-	266.25	1704	-2324	5908	-28797		13127	17397	85383	1	SLD 7	2.74	SI
0	Palo19	-	-650	1664	1414	5846	-53038		16353	17397	90222	1	SLD 12	2.89	SI
0	Palo2	-	-225	2504	-7261	-1999	-23044		12361	17397	84235	1	SLD 5	2.31	SI
0	Palo20	-	11.25	1634	-382	4567	-39049		14491	17397	87430	1	SLD 12	3.8	SI
0	Palo21	-	-495	1484	4764	696	-42180		14908	17397	88055	1	SLD 14	3.61	SI
0	Palo22	-	-225	1484	-4594	-1249	-51196		16108	17397	89854	1	SLD 1	3.65	SI
0	Palo23	-	91.25	1484	-2552	1547	-50253		15982	17397	89666	1	SLD 7	5.83	SI
0	Palo24	-	-650	1299	-891	-8038	-64832		17922	17397	92576	1	SLD 5	2.22	SI
0	Palo25	-	-70	1299	-986	-5152	-29200		13180	17397	85464	1	SLD 5	3.32	SI
0	Palo26	-	261.25	1299	564	-4645	-14400		11211	17397	82509	1	SLD 9	3.72	SI
0	Palo27	-	275	1114	1532	-3936	-14345		11204	17397	82499	1	SLD 9	4.12	SI
0	Palo28	-	455	1114	134	-3707	-8136		10377	17397	81259	1	SLD 9	4.69	SI
0	Palo29	-	-650	1074	488	7265	-57128		16897	17397	91039	1	SLD 12	2.39	SI
0	Palo3	-	-650	2344	-2951	-5185	-65925		18068	17397	92795	1	SLD 5	3.03	SI
0	Palo30	-	-70	1074	378	5127	-37985		14349	17397	87217	1	SLD 12	3.38	SI
0	Palo31	-	185	1024	1549	-3390	-22893		12341	17397	84205	1	SLD 9	4.67	SI
0	Palo32	-	365	1024	1565	-3402	-12643		10977	17397	82159	1	SLD 9	4.65	SI
0	Palo33	-	275	934	1615	-2956	-23392		12408	17397	84304	1	SLD 9	5.17	SI
0	Palo34	-	455	934	1285	-3488	-18668		11779	17397	83361	1	SLD 10	4.68	SI
0	Palo35	-	-495	889	3753	1646	-36331		14129	17397	86887	1	SLD 16	4.24	SI
0	Palo36	-	-225	889	-4251	93	-42954		15011	17397	88209	1	SLD 4	4.09	SI
0	Palo37	-	185	844	1707	-3208	-38165		14374	17397	87253	1	SLD 9	4.79	SI
0	Palo38	-	365	844	1404	-3370	-26871		12871	17397	84999	1	SLD 10	4.77	SI
0	Palo39	-	-650	740.66	97	-5763	-60990		17411	17397	91809	1	SLD 5	3.02	SI
0	Palo4	-	-70	2344	-3302	-3703	-23579		12432	17397	84342	1	SLD 5	3.51	SI
0	Palo40	-	-70	765	-243	3520	-42904		15004	17397	88199	1	SLD 12	4.93	SI
0	Palo41	-	275	754	1480	-3266	-39747		14584	17397	87569	1	SLD 10	4.85	SI
0	Palo42	-	456	753.31	1356	-3377	-30578		13364	17397	85739	1	SLD 10	4.78	SI
0	Palo43	-	185	664	22										

RELAZIONE GEOTECNICA E SULLE FONDAZIONI

Quota	Filo	Ind.	Xp	Yp	Tx	Ty	N	MultT	Vrd.4.1.23	VRsd.4.1.27	VRcd.4.1.28	Cotg	Comb.	C.S.	Verifica
0	Palo52	-	365	484	2388	-3429	-55890		16732	17397	90791	1	SLD 9	4.16	SI
0	Palo53	-	275	394	2995	-3608	-63696		17771	17397	92350	1	SLD 9	3.79	SI
0	Palo54	-	455	394	-3054	3145	8333		9295	17397	79635	1	SLD 8	3.97	SI
0	Palo55	-	935	1044	-2519	-5513	-54026		16484	17397	90419	1	SLD 6	2.87	SI
0	Palo56	-	935	854	347	-4637	-30588		13365	17397	85741	1	SLD 10	3.74	SI
0	Palo57	-	935	654	-778	4941	-35621		14035	17397	86746	1	SLD 7	3.48	SI
0	Palo58	-	935	464	-3590	5500	-60976		17409	17397	91807	1	SLD 8	2.65	SI
0	Palo59	-	1330	1044	1465	-5062	-48965		15811	17397	89409	1	SLD 10	3.3	SI
0	Palo6	-	-225	2184	-7163	-1197	-26384		12806	17397	84902	1	SLD 1	2.4	SI
0	Palo60	-	1330	854	-811	-4419	-31489		13485	17397	85921	1	SLD 6	3.87	SI
0	Palo61	-	1330	654	-706	4690	-34494		13885	17397	86521	1	SLD 7	3.67	SI
0	Palo62	-	1330	464	2482	5351	-56751		16847	17397	90963	1	SLD 11	2.95	SI
0	Palo63	-	1865	1034	-871	-2800	-14680		11248	17397	82565	1	SLD 6	5.93	SI
0	Palo64	-	2035	1034	-1404	-2799	-9139		10511	17397	81459	1	SLD 6	5.56	SI
0	Palo65	-	2205	1034	-1856	2640	-54202		16508	17397	90454	1	SLD 7	5.39	SI
0	Palo66	-	1775	944	-940	-2641	-27989		13019	17397	85222	1	SLD 6	6.21	SI
0	Palo67	-	1955	944	1147	2885	-44644		15236	17397	88547	1	SLD 11	5.6	SI
0	Palo68	-	2115	944	-1455	3005	-44117		15165	17397	88441	1	SLD 7	5.21	SI
0	Palo69	-	2295	944	-1140	-3047	-18809		11798	17397	83390	1	SLD 6	5.35	SI
0	Palo7	-	-650	2014	2224	5659	-53233		16379	17397	90261	1	SLD 12	2.86	SI
0	Palo70	-	1865	854	-205	-2991	-31963		13548	17397	86015	1	SLD 6	5.8	SI
0	Palo71	-	2205	854	-1919	-3152	-26303		12795	17397	84886	1	SLD 6	4.71	SI
0	Palo72	-	1775	764	-163	-3299	-42527		14954	17397	88124	1	SLD 6	5.27	SI
0	Palo73	-	2295	764	299	-3732	-41680		14841	17397	87955	1	SLD 10	4.65	SI
0	Palo74	-	1865	674	-270	-3344	-45016		15285	17397	88621	1	SLD 6	5.19	SI
0	Palo75	-	2205	674	-1595	3567	-23902		12475	17397	84406	1	SLD 7	4.45	SI
0	Palo76	-	1775	564	582	3994	-22668		12311	17397	84160	1	SLD 11	4.31	SI
0	Palo77	-	1955	564	-1149	3709	-20523		12026	17397	83732	1	SLD 7	4.48	SI
0	Palo78	-	2115	564	-1707	3843	-19163		11845	17397	83460	1	SLD 7	4.14	SI
0	Palo79	-	2295	564	-2136	4422	-23779		12459	17397	84382	1	SLD 7	3.54	SI
0	Palo8	-	11.25	1974	3367	3691	-38210		14379	17397	87262	1	SLD 12	3.48	SI
0	Palo80	-	1865	474	725	4027	-19238		11855	17397	83475	1	SLD 11	4.25	SI
0	Palo81	-	2035	474	-1513	4046	-17460		11618	17397	83120	1	SLD 7	4.03	SI
0	Palo82	-	2205	474	-2387	4312	-20436		12014	17397	83714	1	SLD 7	3.53	SI
0	Palo83	-	2740	1044	-2408	-5556	-47025		15552	17397	89022	1	SLD 6	2.87	SI
0	Palo84	-	2740	854	360	-4912	-30884		13405	17397	85800	1	SLD 10	3.53	SI
0	Palo85	-	2740	654	-14	5093	-33917		13808	17397	86405	1	SLD 11	3.42	SI
0	Palo86	-	2740	464	-1992	5694	-55459		16675	17397	90706	1	SLD 7	2.88	SI
0	Palo87	-	3135	1044	1554	-5799	-51585		16159	17397	89932	1	SLD 10	2.9	SI
0	Palo88	-	3135	854	395	-5016	-32513		13621	17397	86125	1	SLD 10	3.46	SI
0	Palo89	-	3135	654	38	5212	-34812		13927	17397	86584	1	SLD 11	3.34	SI
0	Palo9	-	171.25	1974	2997	4172	-46124		15433	17397	88842	1	SLD 12	3.39	SI
0	Palo90	-	3135	464	2545	5979	-58961		17141	17397	91404	1	SLD 11	2.68	SI
0	Palo91	-	3705	1114	1517	-3837	21239		9295	17397	79635	1	SLD 10	4.22	SI
0	Palo92	-	3885	1114	1653	4357	-49373		15865	17397	89491	1	SLD 11	3.73	SI
0	Palo93	-	3615	1024	1790	-3687	6961		9295	17397	79635	1	SLD 10	4.24	SI
0	Palo94	-	3795	1024	1669	3859	-48278		15719	17397	89272	1	SLD 11	4.14	SI
0	Palo95	-	3705	934	1179	-3277	3215		9295	17397	79635	1	SLD 10	5	SI
0	Palo96	-	3885	934	1711	3743	-35299		13992	17397	86681	1	SLD 11	4.23	SI
0	Palo97	-	3615	844	1284	-3391	-12434		10949	17397	82117	1	SLD 10	4.8	SI
0	Palo98	-	3795	844	1578	3104	-29497		13220	17397	85523	1	SLD 11	5	SI
0	Palo99	-	3705	754	1126	-3091	-20398		12009	17397	83707	1	SLD 10	5.29	SI
0	Palo1	-	-495	2504	14700	3437	-49784		15920	17397	89573	1	SLV FO 16	1.15	SI
0	Palo10	-	-78.75	1884	-7327	-7722	-32631		13637	17397	86149	1	SLV FO 5	1.63	SI
0	Palo100	-	3885	754	2496	-7328	-18327		11734	17397	83293	1	SLV FO 10	2.25	SI
0	Palo101	-	3615	664	3561	6758	45		9295	17397	79635	1	SLV FO 11	2.28	SI
0	Palo102	-	3795	664	2470	-6853	-43170		15040	17397	88252	1	SLV FO 10	2.39	SI
0	Palo103	-	3705	574	-2029	6817	26537		9295	17397	79635	1	SLV FO 7	2.45	SI
0	Palo104	-	3885	574	2566	-7862	-59070		17155	17397	91426	1	SLV FO 10	2.1	SI
0	Palo105	-	3615	484	4824	7297	38087		9295	17397	79635	1	SLV FO 11	1.99	SI
0	Palo106	-	3795	484	-1784	7685	50021		9295	17397	79635	1	SLV FO 7	2.21	SI
0	Palo107	-	3705	394	4360	7464	60502		9295	17397	79635	1	SLV FO 11	2.01	SI
0	Palo108	-	3885	394	-1794	8354	67085		9295	17397	79635	1	SLV FO 7	2.04	SI
0	Palo11	-	91.25	1884	5260	8022	-53405		16401	17397	90295	1	SLV FO 12	1.81	SI
0	Palo12	-	261.25	1884	796	10232	-16086		11435	17397	82846	1	SLV FO 7	1.7	SI
0	Palo13	-	-495	1844	12486	3527	-3463		9756	17397	80326	1	SLV FO 16	1.34	SI
0	Palo14	-	-225	1844	9779	2512	20373		9295	17397	79635	1	SLV FO 16	1.72	SI
0	Palo15	-	11.25	1794	-5107	-8572	-25189		12647	17397	84663	1	SLV FO 5	1.74	SI
0	Palo16	-	-78.75	1704	-557	9243	-36505		14153	17397	86922	1	SLV FO 12	1.68	SI
0	Palo17	-	51.25	1704	-4858	8248	-44413		15205	17397	88500	1	SLV FO 7	1.82	SI
0	Palo18	-	266.25	1704	-4592	11596	-27821		12997	17397	85189	1	SLV FO 7	1.39	SI
0	Palo19	-	-650	1664	3040	12348	-28839		13132	17397	85392	1	SLV FO 12	1.37	SI
0	Palo2	-	-225	2504	-13650	-4095	8008		9295	17397	79635	1	SLV FO 5	1.22	SI
0	Palo20	-	11.25	1634	-543	9160	-44096		15163	17397	88437	1	SLV FO 12	1.9	SI
0	Palo21	-	-495	1484	8446	1507	-30220		13316	17397	85667	1	SLV FO 14	2.03	SI
0	Palo22	-	-225	1484	-9139	-2640	-65542		18017	17397	92718	1	SLV FO 1	1.89	SI
0	Palo23	-	91.25	1484	-5109	3195	-63721		17774	17397	92355	1	SLV FO 7	2.95	SI
0	Palo24	-	-650	1299	-1773	-15643	-76064		19417	17397	94818	1	SLV FO 5	1.23	SI
0	Palo25	-	-70	1299	-1894	-9926	-25383		12672	17397	84702	1	SLV FO 5	1.72	SI
0	Palo26	-	261.25	1299	446	-9360	6659		9295	17397	79635	1	SLV FO 9	1.86	SI
0	Palo27	-	275	1114	3019	-7942	5648		9295	17397	79635	1	SLV FO 9	2.05	SI
0	Palo28	-	455	1114	536	-7523	13624		9295	17397	79635	1	SLV FO 9	2.31	SI
0	Palo29	-	-650	1074	1133	14455	-63367		17727	17397	92284	1	SLV FO 12	1.22	SI
0	Palo3	-	-650	2344	-6259	-10676	-59982		17277	17397	91608	1	SLV FO 5	1.41	SI
0	Palo30	-	-70	1074	1022	9837	-43462		15078	17397	88311	1	SLV FO 12	1.76	SI
0	Palo31	-	185	1024	3065	-6947	-9186		10517	17397	81469	1	SLV FO 9	2.29	SI
0	Palo32	-	365	1024	3054	-6926	5329		9295	17397	79635	1	SLV FO 9	2.3	SI
0	Palo33	-	275	934	3154	-6059	-13710		11119	17397	82372	1	SLV FO 9	2.55	SI
0	Palo34	-	455	934	2693	-7077	-10320		10668	17397	81695	1	SLV FO 10	2.3	SI
0	Palo35	-	-495	889	6627	3496	-33599		13766	17397	86342	1	SLV FO 16	2.32	SI
0	Palo36	-	-225	889	-7739	132	-51240		16113	17397	89863	1	SLV FO 4	2.25	SI
0	Palo37	-	18												

RELAZIONE GEOTECNICA E SULLE FONDAZIONI

Quota	Filo	Ind.	Xp	Yp	Tx	Ty	N	MultT	Vrd.4.1.23	VRsd.4.1.27	VRcd.4.1.28	Cotg	Comb.	C.S.	Verifica
0	Palo46	-	-70	555	-740	5911	-9588		10571	17397	81549	1	SLV FO 12	2.92	SI
0	Palo47	-	275	574	-4561	5900	19171		9295	17397	79635	1	SLV FO 8	2.33	SI
0	Palo48	-	455	574	2976	-7248	-56597		16826	17397	90933	1	SLV FO 10	2.22	SI
0	Palo49	-	-495	464	7325	297	-23440		12414	17397	84314	1	SLV FO 13	2.37	SI
0	Palo50	-	-495	2184	13040	3522	-24674		12578	17397	84560	1	SLV FO 16	1.29	SI
0	Palo50	-	-225	464	-7868	-1800	-71229		18773	17397	93853	1	SLV FO 2	2.33	SI
0	Palo51	-	185	484	-5394	6092	30205		9295	17397	79635	1	SLV FO 8	2.14	SI
0	Palo52	-	365	484	-5307	6346	35023		9295	17397	79635	1	SLV FO 8	2.1	SI
0	Palo53	-	275	394	-5796	6381	49413		9295	17397	79635	1	SLV FO 8	2.02	SI
0	Palo54	-	455	394	-6033	6783	42541		9295	17397	79635	1	SLV FO 8	1.92	SI
0	Palo55	-	935	1044	-4063	-8642	-45411		15338	17397	88700	1	SLV FO 6	1.82	SI
0	Palo56	-	935	854	968	-8047	-26416		12810	17397	84908	1	SLV FO 10	2.15	SI
0	Palo57	-	935	654	-1471	8295	-34334		13864	17397	86489	1	SLV FO 7	2.07	SI
0	Palo58	-	935	464	-6110	8280	-51770		16184	17397	89969	1	SLV FO 8	1.69	SI
0	Palo59	-	1330	1044	2913	-7644	-34573		13895	17397	86536	1	SLV FO 10	2.13	SI
0	Palo60	-	-225	2184	-13561	-2511	-22412		12277	17397	84109	1	SLV FO 1	1.26	SI
0	Palo60	-	1330	854	-1595	-7547	-28391		13073	17397	85302	1	SLV FO 6	2.26	SI
0	Palo61	-	1330	654	-1385	7817	-31938		13545	17397	86010	1	SLV FO 7	2.19	SI
0	Palo62	-	1330	464	5021	8000	-42613		14965	17397	88141	1	SLV FO 11	1.84	SI
0	Palo63	-	1865	1034	-2238	-5535	6046		9295	17397	79635	1	SLV FO 6	2.91	SI
0	Palo64	-	2035	1034	-2676	-5585	13912		9295	17397	79635	1	SLV FO 6	2.81	SI
0	Palo65	-	2205	1034	1089	-6082	6289		9295	17397	79635	1	SLV FO 10	2.82	SI
0	Palo66	-	1775	944	-2311	-5147	-17929		11681	17397	83214	1	SLV FO 6	3.08	SI
0	Palo67	-	1955	944	2525	5904	-57244		16912	17397	91062	1	SLV FO 11	2.71	SI
0	Palo68	-	2115	944	-2521	6140	-56343		16793	17397	90882	1	SLV FO 7	2.62	SI
0	Palo69	-	2295	944	-2880	5722	-57618		16962	17397	91136	1	SLV FO 7	2.72	SI
0	Palo70	-	-650	2014	4673	11731	-32705		13647	17397	86163	1	SLV FO 12	1.38	SI
0	Palo70	-	1865	854	-447	-5986	-29346		13200	17397	85493	1	SLV FO 6	2.9	SI
0	Palo71	-	2205	854	-3392	-6289	-17478		11621	17397	83124	1	SLV FO 6	2.43	SI
0	Palo72	-	1775	764	-397	-6534	-49777		15919	17397	89571	1	SLV FO 6	2.66	SI
0	Palo73	-	2295	764	1443	-7400	-48606		15763	17397	89337	1	SLV FO 10	2.31	SI
0	Palo74	-	1865	674	-482	-6815	-56326		16790	17397	90878	1	SLV FO 6	2.55	SI
0	Palo75	-	2205	674	-2808	7349	-12859		11006	17397	82202	1	SLV FO 7	2.21	SI
0	Palo76	-	1775	564	817	7483	-3958		9821	17397	80425	1	SLV FO 11	2.31	SI
0	Palo77	-	1955	564	-2420	7432	-6207		10121	17397	80874	1	SLV FO 7	2.23	SI
0	Palo78	-	2115	564	-3007	7688	-3279		9731	17397	80290	1	SLV FO 7	2.11	SI
0	Palo79	-	2295	564	-3442	8325	-6470		10156	17397	80927	1	SLV FO 7	1.93	SI
0	Palo80	-	11.25	1974	6968	7606	-44707		15244	17397	88559	1	SLV FO 12	1.69	SI
0	Palo80	-	1865	474	991	7516	3278		9295	17397	79635	1	SLV FO 11	2.29	SI
0	Palo81	-	2035	474	-2879	7714	2077		9295	17397	79635	1	SLV FO 7	2.11	SI
0	Palo82	-	2205	474	-3798	8069	876		9295	17397	79635	1	SLV FO 7	1.95	SI
0	Palo83	-	2740	1044	-4156	-8610	-30697		13380	17397	85763	1	SLV FO 6	1.82	SI
0	Palo84	-	2740	854	972	-8478	-27240		12920	17397	85073	1	SLV FO 10	2.04	SI
0	Palo85	-	2740	654	161	8727	-31073		13430	17397	85838	1	SLV FO 11	1.99	SI
0	Palo86	-	2740	464	-3353	8775	-40729		14715	17397	87765	1	SLV FO 7	1.85	SI
0	Palo87	-	3135	1044	2897	-9083	-39074		14494	17397	87435	1	SLV FO 10	1.82	SI
0	Palo88	-	3135	854	997	-8684	-29875		13270	17397	85599	1	SLV FO 10	1.99	SI
0	Palo89	-	3135	654	218	8899	-31984		13551	17397	86020	1	SLV FO 11	1.95	SI
0	Palo90	-	171.25	1974	3846	8919	-36662		14173	17397	86953	1	SLV FO 8	1.79	SI
0	Palo90	-	3135	464	4899	9277	-46202		15443	17397	88858	1	SLV FO 11	1.66	SI
0	Palo91	-	3705	1114	2727	-7893	62974		9295	17397	79635	1	SLV FO 10	2.08	SI
0	Palo92	-	3885	1114	-2220	-8586	70603		9295	17397	79635	1	SLV FO 6	1.96	SI
0	Palo93	-	3615	1024	3153	-7419	39021		9295	17397	79635	1	SLV FO 10	2.16	SI
0	Palo94	-	3795	1024	-2244	-7858	52123		9295	17397	79635	1	SLV FO 6	2.13	SI
0	Palo95	-	3705	934	2292	-6702	27154		9295	17397	79635	1	SLV FO 10	2.46	SI
0	Palo96	-	3885	934	3203	7690	-59597		17225	17397	91531	1	SLV FO 11	2.09	SI
0	Palo97	-	3615	844	2452	-6838	-934		9419	17397	79822	1	SLV FO 10	2.39	SI
0	Palo98	-	3795	844	3005	6434	-42905		15004	17397	88200	1	SLV FO 11	2.45	SI
0	Palo99	-	3705	754	2251	-6284	-20452		12016	17397	83718	1	SLV FO 10	2.61	SI
-471	Palo1	-	-495	2504	754	-21	-60564		17354	17397	91725	1	SLU 16	23.08	SI
-471	Palo10	-	-78.75	1884	-40	-42	-26754		12855	17397	84976	1	SLU 9	299.55	SI
-471	Palo100	-	3885	754	238	20	-12811		10999	17397	82192	1	SLU 16	72.87	SI
-471	Palo101	-	3615	664	214	63	-24827		12599	17397	84591	1	SLU 16	78.19	SI
-471	Palo102	-	3795	664	225	24	-17516		11626	17397	83131	1	SLU 16	76.95	SI
-471	Palo103	-	3705	574	193	10	-21716		12185	17397	83970	1	SLU 16	90	SI
-471	Palo104	-	3885	574	256	-17	-13321		11067	17397	82294	1	SLU 16	67.7	SI
-471	Palo105	-	3615	484	349	57	-27381		12938	17397	85101	1	SLU 16	49.23	SI
-471	Palo106	-	3795	484	273	-21	-17765		11659	17397	83181	1	SLU 16	63.64	SI
-471	Palo107	-	3705	394	293	-15	-22403		12276	17397	84107	1	SLU 16	59.28	SI
-471	Palo108	-	3885	394	269	-67	-12309		10933	17397	82092	1	SLU 16	62.77	SI
-471	Palo11	-	91.25	1884	147	112	-30286		13225	17397	85681	1	SLU 16	94.48	SI
-471	Palo12	-	261.25	1884	166	177	-23552		12429	17397	84336	1	SLU 16	71.79	SI
-471	Palo13	-	-495	1844	879	-2	-49763		15917	17397	89568	1	SLU 16	19.79	SI
-471	Palo14	-	-225	1844	-86	1	-28801		13127	17397	85384	1	SLU 14	203.43	SI
-471	Palo15	-	11.25	1794	111	-30	-33469		13748	17397	86316	1	SLU 16	150.66	SI
-471	Palo16	-	-78.75	1704	108	129	-36432		14143	17397	86907	1	SLU 16	103.35	SI
-471	Palo17	-	51.25	1704	76	67	-33422		13742	17397	86307	1	SLU 16	171.95	SI
-471	Palo18	-	266.25	1704	110	200	-28925		13144	17397	85409	1	SLU 16	76.24	SI
-471	Palo19	-	-650	1664	143	-12	-81044		19913	17397	95813	1	SLU 16	138.31	SI
-471	Palo20	-	-225	2504	-353	-11	-50369		15997	17397	89689	1	SLU 16	49.23	SI
-471	Palo20	-	11.25	1634	123	132	-35687		14044	17397	86759	1	SLU 16	96.61	SI
-471	Palo21	-	-495	1484	714	-20	-56849		14644	17397	90983	1	SLU 16	24.34	SI
-471	Palo22	-	-225	1484	-97	8	-41925		14874	17397	88004	1	SLU 16	178.59	SI
-471	Palo23	-	91.25	1484	121	12	-39149		14504	17397	87450	1	SLU 16	143.6	SI
-471	Palo24	-	-650	1299	87	-511	-59827		17256	17397	91577	1	SLU 16	33.59	SI
-471	Palo25	-	-70	1299	67	-274	-35332		13997	17397	86688	1	SLU 16	61.63	SI
-471	Palo26	-	261.25	1299	366	-71	-35443		14011	17397	86710	1	SLU 16	46.64	SI
-471	Palo27	-	275	1114	201	-59	-34031		13823	17397	86428	1	SLU 16	82.89	SI
-471	Palo28	-	455	1114	42	-33	-26202		12781	17397	84865	1	SLU 12	327.26	SI
-471	Palo29	-	-650	1074	91	334	-56968		16876	17397	91007	1	SLU 16	50.23	SI
-471	Palo30	-	-650	2344	124	-133	-65913		18066	17397	92792				

RELAZIONE GEOTECNICA E SULLE FONDAZIONI

Quota	Filo	Ind.	Xp	Yp	Tx	Ty	N	MultT	Vrd,4.1.23	VRsd,4.1.27	VRcd,4.1.28	Cotg	Comb.	C.S.	Verifica
-471	Palo4	-	-70	2344	28	-263	-51614		16163	17397	89938	1	SLU 16	65.69	SI
-471	Palo40	-	-70	765	38	57	-36949		14212	17397	87011	1	SLU 10	253.16	SI
-471	Palo41	-	275	754	212	-48	-32211		13581	17397	86065	1	SLU 16	80.14	SI
-471	Palo42	-	456	753.31	153	-13	-25466		12684	17397	84718	1	SLU 16	113.04	SI
-471	Palo43	-	185	664	208	-61	-34859		13933	17397	86593	1	SLU 16	80.14	SI
-471	Palo44	-	365	664	162	-21	-28249		13054	17397	85274	1	SLU 16	106.32	SI
-471	Palo45	-	-650	592.33	85	377	-58951		17139	17397	91402	1	SLU 16	44.97	SI
-471	Palo46	-	-70	555	76	-123	-47002		15549	17397	89017	1	SLU 16	119.84	SI
-471	Palo47	-	275	574	184	-89	-30271		13323	17397	85678	1	SLU 16	85.3	SI
-471	Palo48	-	455	574	114	-43	-24394		12541	17397	84504	1	SLU 15	142.49	SI
-471	Palo49	-	-495	464	569	24	-52802		16321	17397	90175	1	SLU 16	30.54	SI
-471	Palo5	-	-495	2184	930	-2	-43754		15117	17397	88369	1	SLU 16	18.71	SI
-471	Palo50	-	-225	464	-112	1	-42633		14968	17397	88145	1	SLU 15	156.01	SI
-471	Palo51	-	185	484	222	-85	-32068		13562	17397	86036	1	SLU 16	73.32	SI
-471	Palo52	-	365	484	81	-68	-23734		12453	17397	84373	1	SLU 14	165.17	SI
-471	Palo53	-	275	394	164	-110	-26500		12821	17397	84925	1	SLU 15	87.87	SI
-471	Palo54	-	455	394	-73	-83	-24876		12605	17397	84601	1	SLU 16	158.02	SI
-471	Palo55	-	935	1044	-329	-894	-65422		18001	17397	92694	1	SLU 16	18.9	SI
-471	Palo56	-	935	854	41	-467	-36106		14099	17397	86842	1	SLU 16	37.12	SI
-471	Palo57	-	935	654	38	709	-40558		14692	17397	87731	1	SLU 16	24.49	SI
-471	Palo58	-	935	464	-419	1117	-78809		19782	17397	95366	1	SLU 16	16.57	SI
-471	Palo59	-	1330	1044	188	-896	-65395		17997	17397	92689	1	SLU 16	19.67	SI
-471	Palo6	-	-225	2184	-389	-2	-30152		13307	17397	85654	1	SLU 16	44.73	SI
-471	Palo60	-	1330	854	56	-472	-36048		14092	17397	86831	1	SLU 16	36.63	SI
-471	Palo61	-	1330	654	57	700	-40313		14659	17397	87682	1	SLU 16	24.76	SI
-471	Palo62	-	1330	464	212	1109	-78276		19711	17397	95260	1	SLU 16	17.47	SI
-471	Palo63	-	1865	1034	211	-14	-35044		13958	17397	86630	1	SLU 16	82.33	SI
-471	Palo64	-	2035	1034	-7	-25	-25428		12679	17397	84711	1	SLU 9	671.63	SI
-471	Palo65	-	2205	1034	-231	-11	-34436		13877	17397	86509	1	SLU 16	75.16	SI
-471	Palo66	-	1775	944	186	-34	-38878		14468	17397	87396	1	SLU 16	91.79	SI
-471	Palo67	-	1955	944	75	69	-33007		13687	17397	86224	1	SLU 16	171.59	SI
-471	Palo68	-	2115	944	-96	72	-32766		13655	17397	86176	1	SLU 16	144.65	SI
-471	Palo69	-	2295	944	-210	-30	-38055		14359	17397	87231	1	SLU 16	82.03	SI
-471	Palo7	-	-650	2014	177	85	-78025		19678	17397	95210	1	SLU 16	100.21	SI
-471	Palo70	-	1865	854	100	3	-35715		14047	17397	86764	1	SLU 16	173.68	SI
-471	Palo71	-	2205	854	-123	5	-35249		13985	17397	86671	1	SLU 16	140.87	SI
-471	Palo72	-	1775	764	117	-22	-37576		14295	17397	87136	1	SLU 16	146.2	SI
-471	Palo73	-	2295	764	-142	-18	-36910		14206	17397	87003	1	SLU 16	121.21	SI
-471	Palo74	-	1865	674	75	43	-36182		14110	17397	86858	1	SLU 16	201.26	SI
-471	Palo75	-	2205	674	-107	59	-35823		14062	17397	86786	1	SLU 16	141.99	SI
-471	Palo76	-	1775	564	246	322	-43025		15020	17397	88223	1	SLU 16	42.93	SI
-471	Palo77	-	1955	564	82	129	-36362		14133	17397	86893	1	SLU 16	113.74	SI
-471	Palo78	-	2115	564	-119	136	-36301		14125	17397	86881	1	SLU 16	96.26	SI
-471	Palo79	-	2295	564	-276	335	-42784		14988	17397	88175	1	SLU 16	40.07	SI
-471	Palo8	-	11.25	1974	218	23	-32558		13627	17397	86134	1	SLU 16	79.26	SI
-471	Palo80	-	1865	474	289	327	-43679		15107	17397	88354	1	SLU 16	39.89	SI
-471	Palo81	-	2035	474	-24	269	-38704		14445	17397	87361	1	SLU 16	64.32	SI
-471	Palo82	-	2205	474	-334	338	-43765		15119	17397	88371	1	SLU 16	36.59	SI
-471	Palo83	-	2740	1044	-227	-895	-65220		17974	17397	92654	1	SLU 16	19.46	SI
-471	Palo84	-	2740	854	40	-481	-35872		14068	17397	86796	1	SLU 16	36.02	SI
-471	Palo85	-	2740	654	42	677	-39676		14575	17397	87555	1	SLU 16	25.64	SI
-471	Palo86	-	2740	464	-227	1086	-76879		19525	17397	94981	1	SLU 16	17.6	SI
-471	Palo87	-	3135	1044	246	-914	-66744		18177	17397	92958	1	SLU 16	19.2	SI
-471	Palo88	-	3135	854	56	-488	-36797		14191	17397	86980	1	SLU 16	35.44	SI
-471	Palo89	-	3135	654	59	708	-41031		14755	17397	87825	1	SLU 16	24.5	SI
-471	Palo9	-	171.25	1974	211	136	-24875		12605	17397	84600	1	SLU 16	69.2	SI
-471	Palo90	-	3135	464	285	1130	-79744		19906	17397	95553	1	SLU 16	17.09	SI
-471	Palo91	-	3705	1114	262	49	-17484		11621	17397	83125	1	SLU 16	65.27	SI
-471	Palo92	-	3885	1114	239	85	-8591		10438	17397	81350	1	SLU 16	68.65	SI
-471	Palo93	-	3615	1024	312	-5	-23016		12358	17397	84230	1	SLU 16	55.84	SI
-471	Palo94	-	3795	1024	242	54	-14300		11198	17397	82490	1	SLU 16	70.22	SI
-471	Palo95	-	3705	934	180	39	-19000		11823	17397	83428	1	SLU 16	94.46	SI
-471	Palo96	-	3885	934	235	49	-11269		10794	17397	81885	1	SLU 16	72.48	SI
-471	Palo97	-	3615	844	204	6	-23284		12393	17397	84283	1	SLU 16	85.17	SI
-471	Palo98	-	3795	844	215	30	-16268		11459	17397	82882	1	SLU 16	80.24	SI
-471	Palo99	-	3705	754	162	28	-20310		11997	17397	83689	1	SLU 16	105.8	SI
-471	Palo1	-	-495	2504	727	-410	-56748		16846	17397	90963	1	SLD 8	20.83	SI
-471	Palo10	-	-78.75	1884	-302	-41	-17199		11583	17397	83068	1	SLD 16	57.04	SI
-471	Palo100	-	3885	754	158	283	-10885		10743	17397	81808	1	SLD 10	53.61	SI
-471	Palo101	-	3615	664	102	310	-24899		12608	17397	84605	1	SLD 10	53.31	SI
-471	Palo102	-	3795	664	153	316	-21209		12117	17397	83869	1	SLD 10	49.6	SI
-471	Palo103	-	3705	574	158	-266	1893		9295	17397	79635	1	SLD 7	56.28	SI
-471	Palo104	-	3885	574	237	206	-22859		12337	17397	84198	1	SLD 6	55.39	SI
-471	Palo105	-	3615	484	350	-166	4129		9295	17397	79635	1	SLD 11	44.88	SI
-471	Palo106	-	3795	484	235	154	-35786		14057	17397	86778	1	SLD 10	61.93	SI
-471	Palo107	-	3705	394	246	-161	13750		9295	17397	79635	1	SLD 11	59.14	SI
-471	Palo108	-	3885	394	261	46	-36227		14116	17397	86866	1	SLD 10	65.61	SI
-471	Palo11	-	91.25	1884	613	49	-10577		10702	17397	81747	1	SLD 1	28.31	SI
-471	Palo12	-	261.25	1884	583	105	15215		9295	17397	79635	1	SLD 1	29.35	SI
-471	Palo13	-	-495	1844	674	380	-36635		14170	17397	86948	1	SLD 9	22.49	SI
-471	Palo14	-	-225	1844	-95	-413	-9771		10595	17397	81586	1	SLD 12	41.02	SI
-471	Palo15	-	11.25	1794	539	-46	-23157		12376	17397	84258	1	SLD 1	32.14	SI
-471	Palo16	-	-78.75	1704	457	-33	-32778		13657	17397	86178	1	SLD 1	38	SI
-471	Palo17	-	51.25	1704	495	6	-18389		11742	17397	83306	1	SLD 1	35.17	SI
-471	Palo18	-	266.25	1704	472	409	3072		9295	17397	79635	1	SLD 3	27.85	SI
-471	Palo19	-	-650	1664	514	-160	-72039		18881	17397	94015	1	SLD 1	35.11	SI
-471	Palo2	-	-225	2504	-496	-457	-55325		16657	17397	90679	1	SLD 12	25.8	SI
-471	Palo20	-	11.25	1634	469	-2	-24234		12520	17397	84473	1	SLD 1	37.06	SI
-471	Palo21	-	-495	1484	570	469	-45946		15409	17397	88807	1	SLD 5	23.57	SI
-471	Palo22	-	-225	1484	-114	-418	-20160		11977	17397	83659	1	SLD 12	40.16	SI
-471	Palo23	-	91.25	1484	358	379	-17507		11624	17397	83				

RELAZIONE GEOTECNICA E SULLE FONDAZIONI

Quota	Filo	Ind.	Xp	Yp	Tx	Ty	N	MultT	Vrd.4.1.23	VRsd.4.1.27	VRcd.4.1.28	Cotg	Comb.	C.S.	Verifica
-471	Palo33	-	275	934	229	170	-16452		11484	17397	82919	1	SLD 9	61.06	SI
-471	Palo34	-	455	934	84	-193	-29474		13217	17397	85518	1	SLD 12	82.68	SI
-471	Palo35	-	-495	889	458	-500	-30899		13407	17397	85803	1	SLD 12	25.67	SI
-471	Palo36	-	-225	889	-251	-421	-29035		13159	17397	85431	1	SLD 12	35.48	SI
-471	Palo37	-	185	844	234	111	-27085		12899	17397	85042	1	SLD 9	67.12	SI
-471	Palo38	-	365	844	96	-279	-25297		12661	17397	84685	1	SLD 12	58.93	SI
-471	Palo39	-	-650	740,66	353	-74	-46305		15457	17397	88878	1	SLD 4	48.26	SI
-471	Palo4	-	-70	2344	-642	-618	-55683		16705	17397	90750	1	SLD 16	19.52	SI
-471	Palo40	-	-70	765	304	32	-36612		14167	17397	86943	1	SLD 4	56.83	SI
-471	Palo41	-	275	754	117	-244	-18894		11809	17397	83407	1	SLD 12	64.3	SI
-471	Palo42	-	456	753,31	192	183	-22242		12254	17397	84075	1	SLD 9	65.65	SI
-471	Palo43	-	185	664	108	-227	-14988		11289	17397	82627	1	SLD 12	69.08	SI
-471	Palo44	-	365	664	219	190	-30471		13350	17397	85718	1	SLD 9	60.03	SI
-471	Palo45	-	-650	592,33	301	594	-55720		16710	17397	90758	1	SLD 2	26.12	SI
-471	Palo46	-	-70	555	326	-199	-33224		13716	17397	86267	1	SLD 4	45.58	SI
-471	Palo47	-	275	574	70	-245	-5812		10068	17397	80795	1	SLD 12	68.18	SI
-471	Palo48	-	455	574	207	112	-31995		13552	17397	86022	1	SLD 9	74.04	SI
-471	Palo49	-	-495	464	609	361	-48673		15772	17397	89351	1	SLD 1	24.57	SI
-471	Palo5	-	-495	2184	634	-506	-29822		13263	17397	85588	1	SLD 12	21.45	SI
-471	Palo50	-	-225	464	-281	434	-43013		15019	17397	88221	1	SLD 5	33.67	SI
-471	Palo51	-	185	484	319	78	-43840		15129	17397	88386	1	SLD 9	52.9	SI
-471	Palo52	-	365	484	203	59	-39842		14597	17397	87588	1	SLD 9	82.16	SI
-471	Palo53	-	275	394	267	16	-45461		15344	17397	88710	1	SLD 9	64.98	SI
-471	Palo54	-	455	394	-216	-122	6381		9295	17397	79635	1	SLD 8	70.2	SI
-471	Palo55	-	935	1044	-277	-714	-51956		16209	17397	90006	1	SLD 4	22.72	SI
-471	Palo56	-	935	854	306	-379	-27640		12973	17397	85152	1	SLD 4	35.71	SI
-471	Palo57	-	935	654	322	477	-28400		13074	17397	85304	1	SLD 4	30.23	SI
-471	Palo58	-	935	464	-281	804	-58362		17061	17397	91285	1	SLD 1	20.43	SI
-471	Palo59	-	1330	1044	3	-728	-54695		16573	17397	90553	1	SLD 8	23.89	SI
-471	Palo6	-	-225	2184	-312	-442	-24785		12593	17397	84583	1	SLD 12	32.14	SI
-471	Palo60	-	1330	854	317	-348	-24871		12604	17397	84600	1	SLD 2	36.92	SI
-471	Palo61	-	1330	654	331	450	-27072		12897	17397	85039	1	SLD 4	31.14	SI
-471	Palo62	-	1330	464	31	807	-59632		17230	17397	91538	1	SLD 5	21.54	SI
-471	Palo63	-	1865	1034	230	-266	-42833		14995	17397	88185	1	SLD 7	49.55	SI
-471	Palo64	-	2035	1034	-27	-241	-37801		14325	17397	87181	1	SLD 11	71.86	SI
-471	Palo65	-	2205	1034	-231	-264	-42798		14990	17397	88178	1	SLD 11	49.61	SI
-471	Palo66	-	1775	944	183	-283	-40066		14626	17397	87633	1	SLD 7	51.62	SI
-471	Palo67	-	1955	944	-15	234	-12643		10977	17397	82159	1	SLD 10	74.19	SI
-471	Palo68	-	2115	944	-88	225	-14350		11204	17397	82500	1	SLD 10	72.05	SI
-471	Palo69	-	2295	944	-183	-279	-39872		14601	17397	87594	1	SLD 11	52.04	SI
-471	Palo7	-	-650	2014	641	-74	-68131		18361	17397	93235	1	SLD 1	28.45	SI
-471	Palo70	-	1865	854	94	-211	-30201		13314	17397	85664	1	SLD 7	75.39	SI
-471	Palo71	-	2205	854	-103	-196	-29808		13261	17397	85585	1	SLD 12	78.5	SI
-471	Palo72	-	1775	764	182	-137	-33718		13782	17397	86366	1	SLD 3	76.38	SI
-471	Palo73	-	2295	764	-183	-139	-33520		13755	17397	86326	1	SLD 16	75.87	SI
-471	Palo74	-	1865	674	146	-53	-27262		12922	17397	85077	1	SLD 3	111.96	SI
-471	Palo75	-	2205	674	-130	-58	-27666		12976	17397	85158	1	SLD 16	122.35	SI
-471	Palo76	-	1775	564	172	287	-36637		14170	17397	86948	1	SLD 9	52.01	SI
-471	Palo77	-	1955	564	96	114	-34702		13913	17397	86562	1	SLD 5	116.72	SI
-471	Palo78	-	2115	564	-115	124	-25477		12685	17397	84721	1	SLD 2	103.21	SI
-471	Palo79	-	2295	564	-211	297	-25903		12742	17397	84806	1	SLD 2	47.77	SI
-471	Palo8	-	11,25	1974	524	36	-19590		11902	17397	83546	1	SLD 1	33.14	SI
-471	Palo80	-	1865	474	233	282	-41021		14754	17397	87823	1	SLD 9	47.54	SI
-471	Palo81	-	2035	474	12	233	-38663		14440	17397	87353	1	SLD 5	74.47	SI
-471	Palo82	-	2205	474	-273	286	-41710		14845	17397	87961	1	SLD 6	43.99	SI
-471	Palo83	-	2740	1044	-23	-729	-55707		16708	17397	90755	1	SLD 11	23.86	SI
-471	Palo84	-	2740	854	304	-331	-23929		12479	17397	84412	1	SLD 4	38.67	SI
-471	Palo85	-	2740	654	-263	452	-27756		12988	17397	85176	1	SLD 13	33.25	SI
-471	Palo86	-	2740	464	-89	794	-59613		17228	17397	91535	1	SLD 10	21.77	SI
-471	Palo87	-	3135	1044	95	-747	-56941		16872	17397	91001	1	SLD 11	23.11	SI
-471	Palo88	-	3135	854	-242	-382	-28154		13041	17397	85255	1	SLD 15	38.47	SI
-471	Palo89	-	3135	654	-247	492	-29942		13279	17397	85612	1	SLD 13	31.58	SI
-471	Palo9	-	171,25	1974	621	66	3481		9295	17397	79635	1	SLD 1	27.84	SI
-471	Palo90	-	3135	464	179	827	-59690		17238	17397	91550	1	SLD 14	20.57	SI
-471	Palo91	-	3705	1114	225	180	15671		9295	17397	79635	1	SLD 10	60.36	SI
-471	Palo92	-	3885	1114	251	-34	-35151		13972	17397	86652	1	SLD 11	68.73	SI
-471	Palo93	-	3615	1024	321	190	5394		9295	17397	79635	1	SLD 10	46.56	SI
-471	Palo94	-	3795	1024	227	-138	-34364		13868	17397	86495	1	SLD 11	65.46	SI
-471	Palo95	-	3705	934	140	287	2698		9295	17397	79635	1	SLD 10	54.53	SI
-471	Palo96	-	3885	934	229	-195	-22855		12336	17397	84197	1	SLD 7	57.92	SI
-471	Palo97	-	3615	844	168	271	-9378		10543	17397	81507	1	SLD 6	54.58	SI
-471	Palo98	-	3795	844	130	320	-3895		9813	17397	80413	1	SLD 10	50.4	SI
-471	Palo99	-	3705	754	103	333	-14297		11197	17397	82489	1	SLD 10	49.91	SI
-471	Palo1	-	-495	2504	773	-1077	-64380		17862	17397	92486	1	SLV FO 12	13.48	SI
-471	Palo10	-	-78,75	1884	-635	-63	-8631		10443	17397	81358	1	SLV FO 16	27.25	SI
-471	Palo100	-	3885	754	156	573	-12807		10999	17397	82192	1	SLV FO 10	29.29	SI
-471	Palo101	-	3615	664	62	601	-33077		13696	17397	86238	1	SLV FO 10	28.79	SI
-471	Palo102	-	3795	664	157	637	-30687		13378	17397	85761	1	SLV FO 10	26.51	SI
-471	Palo103	-	3705	574	190	-546	19483		9295	17397	79635	1	SLV FO 7	30.09	SI
-471	Palo104	-	3885	574	308	439	-36895		14204	17397	87000	1	SLV FO 6	32.44	SI
-471	Palo105	-	3615	484	482	-373	27797		9295	17397	79635	1	SLV FO 11	28.53	SI
-471	Palo106	-	3795	484	295	334	-60658		17367	17397	91743	1	SLV FO 10	39.06	SI
-471	Palo107	-	3705	394	304	-316	43930		9295	17397	79635	1	SLV FO 11	39.7	SI
-471	Palo108	-	3885	394	337	168	-60598		17359	17397	91731	1	SLV FO 6	46.2	SI
-471	Palo11	-	91,25	1884	1235	29	2109		9295	17397	79635	1	SLV FO 1	14.08	SI
-471	Palo12	-	261,25	1884	1155	99	53468		9295	17397	79635	1	SLV FO 1	15	SI
-471	Palo13	-	-495	1844	613	1043	-55480		16678	17397	90710	1	SLV FO 5	14.38	SI
-471	Palo14	-	-225	1844	-126	-868	4264		9295	17397	79635	1	SLV FO 12	19.83	SI
-471	Palo15	-	11,25	1794	1103	-59	-23200		12382	17397	84266	1	SLV FO 1	15.76	SI
-471	Palo16	-	-78,75	1704	927	-150	-42478		14947	17397	88114	1	SLV FO 1	18.53	SI
-471	Palo17	-	51,25	1704	1038	-20	-13047		11031	17397	82240				

RELAZIONE GEOTECNICA E SULLE FONDAZIONI

Quota	Filo	Ind.	Xp	Yp	Tx	Ty	N	MultT	Vrd.4.1.23	VRsd.4.1.27	VRcd.4.1.28	Cotg	Comb.	C.S.	Verifica
-471	Palo27	-	275	1114	305	-236	-26079		12765	17397	84841	1	SLV FO 13	45.16	SI
-471	Palo28	-	455	1114	264	-190	-40177		14641	17397	87655	1	SLV FO 15	53.41	SI
-471	Palo29	-	-650	1074	-213	1029	-45223		15313	17397	88662	1	SLV FO 12	16.56	SI
-471	Palo3	-	-650	2344	1412	-46	-42787		14989	17397	88176	1	SLV FO 5	12.32	SI
-471	Palo30	-	-70	1074	550	444	-29982		13284	17397	85620	1	SLV FO 4	24.61	SI
-471	Palo31	-	185	1024	371	131	-6227		10123	17397	80878	1	SLV FO 9	44.25	SI
-471	Palo32	-	365	1024	305	-63	-22186		12247	17397	84064	1	SLV FO 13	55.84	SI
-471	Palo33	-	275	934	324	354	-9484		10557	17397	81528	1	SLV FO 9	36.25	SI
-471	Palo34	-	455	934	73	-374	-40710		14712	17397	87761	1	SLV FO 12	45.65	SI
-471	Palo35	-	-495	889	544	-1050	-34816		13928	17397	86585	1	SLV FO 12	14.72	SI
-471	Palo36	-	-225	889	-273	-888	-33107		13700	17397	86244	1	SLV FO 12	18.73	SI
-471	Palo37	-	185	844	323	276	-29324		13197	17397	85489	1	SLV FO 9	40.89	SI
-471	Palo38	-	365	844	65	-512	-30775		13390	17397	85778	1	SLV FO 12	33.73	SI
-471	Palo39	-	-650	740.66	692	37	-55883		16731	17397	90790	1	SLV FO 4	25.12	SI
-471	Palo4	-	-70	2344	1418	705	4488		9295	17397	79635	1	SLV FO 1	10.99	SI
-471	Palo40	-	-70	765	613	35	-40278		14655	17397	87675	1	SLV FO 4	28.32	SI
-471	Palo41	-	275	754	92	-466	-14997		11290	17397	82629	1	SLV FO 12	36.61	SI
-471	Palo42	-	456	753.31	287	392	-27085		12899	17397	85042	1	SLV FO 9	35.81	SI
-471	Palo43	-	185	664	74	-426	-5199		9986	17397	80673	1	SLV FO 12	40.24	SI
-471	Palo44	-	365	664	337	408	-41981		14881	17397	88015	1	SLV FO 9	32.87	SI
-471	Palo45	-	-650	592.33	734	777	-65727		18041	17397	92755	1	SLV FO 4	16.87	SI
-471	Palo46	-	-70	555	647	-349	-34597		13899	17397	86541	1	SLV FO 4	23.68	SI
-471	Palo47	-	275	574	3	-439	10264		9295	17397	79635	1	SLV FO 12	39.62	SI
-471	Palo48	-	455	574	345	267	-47526		15619	17397	89122	1	SLV FO 9	39.88	SI
-471	Palo49	-	-495	464	644	1061	-59460		17207	17397	91504	1	SLV FO 5	14.02	SI
-471	Palo5	-	-495	2184	670	-1065	-30315		13329	17397	85686	1	SLV FO 12	13.83	SI
-471	Palo50	-	-225	464	-494	909	-57228		16910	17397	91059	1	SLV FO 5	16.82	SI
-471	Palo51	-	185	484	502	220	-66761		18179	17397	92962	1	SLV FO 9	33.18	SI
-471	Palo52	-	365	484	367	174	-62489		17610	17397	92109	1	SLV FO 9	43.33	SI
-471	Palo53	-	275	394	437	114	-73647		19095	17397	94336	1	SLV FO 9	42.28	SI
-471	Palo54	-	455	394	-417	-183	31002		9295	17397	79635	1	SLV FO 8	38.2	SI
-471	Palo55	-	935	1044	-352	-834	-60267		17315	17397	91665	1	SLV FO 4	19.22	SI
-471	Palo56	-	935	854	631	-433	-31340		13465	17397	85891	1	SLV FO 4	22.72	SI
-471	Palo57	-	935	654	666	530	-31021		13423	17397	85827	1	SLV FO 4	20.44	SI
-471	Palo58	-	935	464	-386	890	-66646		18164	17397	92938	1	SLV FO 2	18.73	SI
-471	Palo59	-	1330	1044	-122	-851	-65277		17981	17397	92665	1	SLV FO 8	20.9	SI
-471	Palo6	-	-225	2184	-343	-922	-29013		13156	17397	85427	1	SLV FO 12	17.68	SI
-471	Palo60	-	1330	854	644	-364	-25456		12682	17397	84716	1	SLV FO 2	23.51	SI
-471	Palo61	-	1330	654	674	472	-28123		13037	17397	85249	1	SLV FO 4	21.13	SI
-471	Palo62	-	1330	464	-68	923	-69806		18584	17397	93569	1	SLV FO 5	20.07	SI
-471	Palo63	-	1865	1034	323	-519	-62130		17563	17397	92037	1	SLV FO 7	28.74	SI
-471	Palo64	-	2035	1034	-52	-485	-54391		16533	17397	90492	1	SLV FO 11	35.63	SI
-471	Palo65	-	2205	1034	-310	-519	-62507		17613	17397	92112	1	SLV FO 11	29.11	SI
-471	Palo66	-	1775	944	245	-542	-54102		16494	17397	90434	1	SLV FO 7	29.24	SI
-471	Palo67	-	1955	944	-90	444	-1688		9519	17397	79972	1	SLV FO 10	38.42	SI
-471	Palo68	-	2115	944	39	438	-1007		9429	17397	79836	1	SLV FO 6	39.6	SI
-471	Palo69	-	2295	944	-230	-538	-54288		16519	17397	90472	1	SLV FO 11	29.73	SI
-471	Palo7	-	-650	2014	1250	-214	-87898		19913	17397	97181	1	SLV FO 1	15.7	SI
-471	Palo70	-	1865	854	123	-421	-36268		14121	17397	86875	1	SLV FO 7	39.63	SI
-471	Palo71	-	2205	854	-125	-393	-35805		14059	17397	86782	1	SLV FO 12	42.17	SI
-471	Palo72	-	1775	764	303	-256	-43261		15052	17397	88271	1	SLV FO 3	43.82	SI
-471	Palo73	-	2295	764	-284	-264	-43295		15056	17397	88277	1	SLV FO 16	44.82	SI
-471	Palo74	-	1865	674	260	-127	-30807		13394	17397	85785	1	SLV FO 3	60.03	SI
-471	Palo75	-	2205	674	-200	-152	-31902		13540	17397	86003	1	SLV FO 16	69.36	SI
-471	Palo76	-	1775	564	187	386	-44902		15270	17397	88598	1	SLV FO 9	40.56	SI
-471	Palo77	-	1955	564	146	160	-45698		15376	17397	88757	1	SLV FO 5	80.34	SI
-471	Palo78	-	2115	564	-158	179	-26551		12828	17397	84935	1	SLV FO 2	72.95	SI
-471	Palo79	-	2295	564	-247	405	-22593		12301	17397	84145	1	SLV FO 2	36.67	SI
-471	Palo8	-	11.25	1974	979	76	-15792		11396	17397	82787	1	SLV FO 1	17.72	SI
-471	Palo80	-	1865	474	288	367	-53716		16443	17397	90357	1	SLV FO 9	37.27	SI
-471	Palo81	-	2035	474	43	307	-52360		16262	17397	90087	1	SLV FO 5	56.2	SI
-471	Palo82	-	2205	474	-336	369	-55080		16624	17397	90630	1	SLV FO 6	34.85	SI
-471	Palo83	-	2740	1044	108	-854	-67459		18272	17397	93101	1	SLV FO 11	21.23	SI
-471	Palo84	-	2740	854	629	-321	-23301		12395	17397	84286	1	SLV FO 4	24.65	SI
-471	Palo85	-	2740	654	-602	487	-29708		13248	17397	85565	1	SLV FO 13	22.46	SI
-471	Palo86	-	2740	464	12	894	-67748		18310	17397	93158	1	SLV FO 9	20.48	SI
-471	Palo87	-	3135	1044	209	-829	-62127		17562	17397	92036	1	SLV FO 15	20.55	SI
-471	Palo88	-	3135	854	-567	-426	-31867		13535	17397	85996	1	SLV FO 15	24.53	SI
-471	Palo89	-	3135	654	-580	556	-33641		13771	17397	86350	1	SLV FO 13	21.66	SI
-471	Palo9	-	171.25	1974	1200	46	-28792		9295	17397	79635	1	SLV FO 1	14.49	SI
-471	Palo90	-	3135	464	253	931	-66906		18198	17397	92990	1	SLV FO 13	18.85	SI
-471	Palo91	-	3705	1114	274	340	-45708		9295	17397	79635	1	SLV FO 10	39.85	SI
-471	Palo92	-	3885	1114	332	-161	-60892		17398	17397	91790	1	SLV FO 7	47.16	SI
-471	Palo93	-	3615	1024	440	400	-28469		9295	17397	79635	1	SLV FO 10	29.25	SI
-471	Palo94	-	3795	1024	274	-333	-56792		16852	17397	90972	1	SLV FO 7	40.32	SI
-471	Palo95	-	3705	934	160	567	-19928		9295	17397	79635	1	SLV FO 10	29.55	SI
-471	Palo96	-	3885	934	301	-430	-37811		14326	17397	87183	1	SLV FO 7	33.15	SI
-471	Palo97	-	3615	844	201	560	-2031		9565	17397	80041	1	SLV FO 6	29.24	SI
-471	Palo98	-	3795	844	113	642	4241		9295	17397	79635	1	SLV FO 10	26.71	SI
-471	Palo99	-	3705	754	97	671	-14336		11202	17397	82497	1	SLV FO 10	25.68	SI
-942	Palo1	-	-495	2504	-102	3	-36883		14203	17397	86997	1	SLU 16	170.55	SI
-942	Palo10	-	-78.75	1884	38	9	-21610		10328	17397	83949	1	SLU 16	450.78	SI
-942	Palo100	-	3885	754	-21	10	-7765		10328	17397	81185	1	SLU 16	756.49	SI
-942	Palo101	-	3615	664	-16	2	-15092		11303	17397	82648	1	SLU 16	1049.93	SI
-942	Palo102	-	3795	664	-18	9	-10633		10710	17397	81758	1	SLU 16	851.93	SI
-942	Palo103	-	3705	574	-13	11	-13195		11051	17397	82269	1	SLU 16	1026.06	SI
-942	Palo104	-	3885	574	-23	16	-8075		10369	17397	81247	1	SLU 16	610.77	SI
-942	Palo105	-	3615	484	-39	3	-16649		11510	17397	82958	1	SLU 16	445.26	SI
-942	Palo106	-	3795	484	-26	17	-10785		10730	17397	81788	1	SLU 16	561.87	SI
-942	Palo107	-	3705	394	-29	15	-13613		11106	17397	82353	1	SLU 16	527.19	SI
-942	Palo108	-	3885	394	-25										

RELAZIONE GEOTECNICA E SULLE FONDAZIONI

Quota	Filo	Ind.	Xp	Yp	Tx	Ty	N	MultT	Vrd.4.1.23	VRsd.4.1.27	VRcd.4.1.28	Cotg	Comb.	C.S.	Verifica
-942	Palo20	-	11.25	1634	13	-18	-21713		12184	17397	83969	1	SLU 16	783.45	SI
-942	Palo21	-	-495	1484	-93	1	-34617		13901	17397	86545	1	SLU 16	187.62	SI
-942	Palo22	-	-225	1484	46	3	-25517		12690	17397	84729	1	SLU 16	374.64	SI
-942	Palo23	-	91.25	1484	16	0	-17412		11612	17397	83111	1	SLU 9	1072.65	SI
-942	Palo24	-	-650	1299	11	83	-36433		14143	17397	86908	1	SLU 16	207.23	SI
-942	Palo25	-	-70	1299	16	51	-21497		12155	17397	83926	1	SLU 16	324.35	SI
-942	Palo26	-	261.25	1299	-38	15	-21565		12164	17397	83940	1	SLU 16	430.89	SI
-942	Palo27	-	275	1114	-12	13	-20704		12050	17397	83768	1	SLU 16	965.8	SI
-942	Palo28	-	455	1114	16	10	-17584		11635	17397	83145	1	SLU 16	938.41	SI
-942	Palo29	-	-650	1074	7	-61	-34690		13911	17397	86560	1	SLU 16	284.04	SI
-942	Palo3	-	-650	2344	-1	18	-33319		13729	17397	86286	1	SLU 9	960.87	SI
-942	Palo30	-	-70	1074	14	-44	-21388		12141	17397	83905	1	SLU 16	374.55	SI
-942	Palo31	-	185	1024	-12	6	-22454		12283	17397	84117	1	SLU 16	1301.82	SI
-942	Palo32	-	365	1024	-14	8	-18194		11716	17397	83267	1	SLU 16	1063.84	SI
-942	Palo33	-	275	934	-15	5	-20133		11974	17397	83654	1	SLU 16	1090.58	SI
-942	Palo34	-	455	934	-2	8	-16138		11442	17397	82856	1	SLU 16	2071.99	SI
-942	Palo35	-	-495	889	-83	-1	-25841		12733	17397	84793	1	SLU 16	208.58	SI
-942	Palo36	-	-225	889	79	0	-23334		12400	17397	84293	1	SLU 16	220.2	SI
-942	Palo37	-	185	844	-19	15	-22145		12242	17397	84056	1	SLU 16	712.92	SI
-942	Palo38	-	365	844	-11	17	-17537		11628	17397	83136	1	SLU 16	864.82	SI
-942	Palo39	-	-650	740.66	5	47	-36161		14107	17397	86853	1	SLU 16	367.89	SI
-942	Palo4	-	-70	2344	26	51	-31425		13477	17397	85908	1	SLU 16	305.73	SI
-942	Palo40	-	-70	765	8	-10	-21982		12220	17397	84023	1	SLU 9	1326.39	SI
-942	Palo41	-	275	754	-14	12	-19594		11902	17397	83546	1	SLU 16	938.83	SI
-942	Palo42	-	456	753.31	-6	4	-12667		10980	17397	82164	1	SLU 10	2282.86	SI
-942	Palo43	-	185	664	-14	14	-21208		12117	17397	83869	1	SLU 16	888.86	SI
-942	Palo44	-	365	664	-6	7	-16782		11528	17397	82985	1	SLU 15	1828.87	SI
-942	Palo45	-	-650	592.33	7	-69	-35899		14072	17397	86801	1	SLU 16	252.24	SI
-942	Palo46	-	-70	555	9	25	-28613		13102	17397	85347	1	SLU 16	653.84	SI
-942	Palo47	-	275	574	-9	19	-18411		11745	17397	83310	1	SLU 16	820.04	SI
-942	Palo48	-	455	574	3	11	-15259		11325	17397	82681	1	SLU 16	1574.17	SI
-942	Palo49	-	-495	464	-75	-7	-32149		13573	17397	86053	1	SLU 16	230.06	SI
-942	Palo5	-	-495	2184	-126	-1	-26632		12839	17397	84951	1	SLU 16	138.45	SI
-942	Palo50	-	-225	464	41	2	-26480		12818	17397	84921	1	SLU 16	425.19	SI
-942	Palo51	-	185	484	-16	18	-19507		11891	17397	83529	1	SLU 16	720.99	SI
-942	Palo52	-	365	484	10	16	-16211		11452	17397	82871	1	SLU 16	924.58	SI
-942	Palo53	-	275	394	-5	23	-16525		11494	17397	82934	1	SLU 16	728.68	SI
-942	Palo54	-	455	394	34	18	-15121		11307	17397	82654	1	SLU 16	446.89	SI
-942	Palo55	-	935	1044	77	157	-39845		14597	17397	87589	1	SLU 16	99.38	SI
-942	Palo56	-	935	854	14	84	-21969		12218	17397	84020	1	SLU 16	203.29	SI
-942	Palo57	-	935	654	15	-116	-24684		12579	17397	84562	1	SLU 16	148.89	SI
-942	Palo58	-	935	464	93	-185	-48008		15683	17397	89218	1	SLU 16	83.79	SI
-942	Palo59	-	1330	1044	-12	159	-39828		14595	17397	87585	1	SLU 16	108.81	SI
-942	Palo6	-	-225	2184	100	3	-18338		11735	17397	83296	1	SLU 16	174.71	SI
-942	Palo60	-	1330	854	11	87	-21933		12213	17397	84013	1	SLU 16	197.94	SI
-942	Palo61	-	1330	654	11	-112	-24534		12560	17397	84532	1	SLU 16	154.17	SI
-942	Palo62	-	1330	464	-15	-182	-47683		15640	17397	89153	1	SLU 16	95.29	SI
-942	Palo63	-	1865	1034	-16	12	-21321		12132	17397	83891	1	SLU 16	845.67	SI
-942	Palo64	-	2035	1034	21	8	-18956		11817	17397	83419	1	SLU 16	765.48	SI
-942	Palo65	-	2205	1034	59	13	-20951		12083	17397	83817	1	SLU 16	289.01	SI
-942	Palo66	-	1775	944	-12	16	-23659		12443	17397	84358	1	SLU 16	882.23	SI
-942	Palo67	-	1955	944	7	-2	-20079		11967	17397	83643	1	SLU 16	2424.9	SI
-942	Palo68	-	2115	944	36	-2	-19932		11947	17397	83614	1	SLU 16	481.85	SI
-942	Palo69	-	2295	944	56	17	-23158		12376	17397	84258	1	SLU 16	300.34	SI
-942	Palo7	-	-650	2014	4	-18	-47530		15620	17397	89123	1	SLU 16	929.05	SI
-942	Palo70	-	1865	854	3	9	-21730		12186	17397	83973	1	SLU 16	1772.92	SI
-942	Palo71	-	2205	854	41	10	-21446		12149	17397	83916	1	SLU 16	411.64	SI
-942	Palo72	-	1775	764	0	14	-20004		11957	17397	83628	1	SLU 14	1218.83	SI
-942	Palo73	-	2295	764	45	14	-22459		12283	17397	84118	1	SLU 16	371.9	SI
-942	Palo74	-	1865	674	6	6	-16586		11502	17397	82946	1	SLU 10	2071.15	SI
-942	Palo75	-	2205	674	39	1	-21796		12195	17397	83986	1	SLU 16	448.45	SI
-942	Palo76	-	1775	564	-21	-45	-26188		12780	17397	84863	1	SLU 16	348.44	SI
-942	Palo77	-	1955	564	7	-12	-22125		12239	17397	84052	1	SLU 16	1289.58	SI
-942	Palo78	-	2115	564	41	-12	-22088		12234	17397	84044	1	SLU 16	404.76	SI
-942	Palo79	-	2295	564	68	-46	-26041		12760	17397	84833	1	SLU 16	212.21	SI
-942	Palo8	-	11.25	1974	1	1	-17520		11626	17397	83132	1	SLU 12	17473.94	SI
-942	Palo80	-	1865	474	-28	-46	-26587		12833	17397	84942	1	SLU 16	323.55	SI
-942	Palo81	-	2035	474	25	-35	-23553		12429	17397	84337	1	SLU 16	400.63	SI
-942	Palo82	-	2205	474	78	-47	-26639		12840	17397	84953	1	SLU 16	191.1	SI
-942	Palo83	-	2740	1044	58	163	-39722		14581	17397	87564	1	SLU 16	100.31	SI
-942	Palo84	-	2740	854	13	93	-21827		12199	17397	83992	1	SLU 16	185.65	SI
-942	Palo85	-	2740	654	13	-104	-24146		12508	17397	84455	1	SLU 16	165.26	SI
-942	Palo86	-	2740	464	60	-174	-46831		15527	17397	88983	1	SLU 16	94.45	SI
-942	Palo87	-	3135	1044	-23	167	-40651		14704	17397	87750	1	SLU 16	103.34	SI
-942	Palo88	-	3135	854	10	94	-22390		12274	17397	84104	1	SLU 16	183.77	SI
-942	Palo89	-	3135	654	10	-109	-24972		12618	17397	84620	1	SLU 16	158.31	SI
-942	Palo9	-	171.25	1974	1	-20	-15120		11307	17397	82653	1	SLU 16	862.31	SI
-942	Palo90	-	3135	464	-28	-181	-48578		15759	17397	89332	1	SLU 16	94.83	SI
-942	Palo91	-	3705	1114	-26	4	-10614		10707	17397	81754	1	SLU 16	663.47	SI
-942	Palo92	-	3885	1114	-22	-2	-5192		9986	17397	80671	1	SLU 16	789.12	SI
-942	Palo93	-	3615	1024	-34	13	-13987		11156	17397	82427	1	SLU 16	476.32	SI
-942	Palo94	-	3795	1024	-22	3	-8673		10449	17397	81366	1	SLU 16	773.06	SI
-942	Palo95	-	3705	934	-11	6	-11538		10830	17397	81938	1	SLU 16	1358.88	SI
-942	Palo96	-	3885	934	-21	5	-6824		10203	17397	80997	1	SLU 16	816.89	SI
-942	Palo97	-	3615	844	-15	11	-14151		11178	17397	82460	1	SLU 16	912.51	SI
-942	Palo98	-	3795	844	-17	8	-9872		10608	17397	81606	1	SLU 16	927.93	SI
-942	Palo99	-	3705	754	-8	8	-12337		10936	17397	82098	1	SLU 16	1575.36	SI
-942	Palo1	-	-495	2504	-376	-119	-31958		13547	17397	86014	1	SLD 12	44.11	SI
-942	Palo10	-	-78.75	1884	180	176	-14408		11212	17397	82511	1	SLD 5	69.02	SI
-942	Palo100	-	3885	754	-60	177	-6601		10173	17397	80953	1	SLD 10	93.11	SI
-942	Palo101	-	3615	664	-82	-162	-5179		9984	17397	80669	1	SLD 11	96.05	SI
-942	Palo102	-													

RELAZIONE GEOTECNICA E SULLE FONDAZIONI

Quota	Filo	Ind.	Xp	Yp	Tx	Ty	N	MultT	Vrd.4.1.23	VRsd.4.1.27	VRcd.4.1.28	Cotg	Comb.	C.S.	Verifica
-942	Palo14	-	-225	1844	260	64	-24134		12506	17397	84453	1	SLD 1	64.9	SI
-942	Palo15	-	11.25	1794	128	195	-12470		10954	17397	82124	1	SLD 5	74.53	SI
-942	Palo16	-	-78.75	1704	-95	-210	-15401		11344	17397	82709	1	SLD 12	75.56	SI
-942	Palo17	-	51.25	1704	123	-184	-16590		11502	17397	82947	1	SLD 7	78.52	SI
-942	Palo18	-	266.25	1704	115	-264	-12368		10940	17397	82104	1	SLD 7	60.47	SI
-942	Palo19	-	-650	1664	-72	-270	-23006		12356	17397	84227	1	SLD 12	62.21	SI
-942	Palo20	-	-225	2504	339	105	-9843		10604	17397	81600	1	SLD 5	49	SI
-942	Palo20	-	11.25	1634	17	-209	-16867		11539	17397	83002	1	SLD 12	82.99	SI
-942	Palo21	-	-495	1484	-213	-87	-16683		11515	17397	82965	1	SLD 16	75.65	SI
-942	Palo22	-	-225	1484	211	65	-22198		12249	17397	84066	1	SLD 1	78.86	SI
-942	Palo23	-	91.25	1484	119	-80	-21784		12194	17397	83984	1	SLD 7	121.52	SI
-942	Palo24	-	-650	1299	48	359	-28182		13045	17397	85261	1	SLD 5	48.06	SI
-942	Palo25	-	-70	1299	52	234	-12544		10964	17397	82139	1	SLD 5	72.68	SI
-942	Palo26	-	261.25	1299	-24	212	-6049		10100	17397	80843	1	SLD 9	81.38	SI
-942	Palo27	-	275	1114	-67	184	-6025		10096	17397	80838	1	SLD 9	88.91	SI
-942	Palo28	-	455	1114	-6	174	-3300		9734	17397	80294	1	SLD 9	99.66	SI
-942	Palo29	-	-650	1074	-25	-328	-24801		12595	17397	84586	1	SLD 12	52.88	SI
-942	Palo30	-	-650	2344	158	242	-28662		13109	17397	85356	1	SLD 5	60.22	SI
-942	Palo30	-	-70	1074	-20	-232	-16400		11477	17397	82909	1	SLD 12	74.58	SI
-942	Palo31	-	185	1024	-68	162	-9777		10596	17397	81587	1	SLD 9	99.25	SI
-942	Palo32	-	365	1024	-69	162	-5278		9997	17397	80689	1	SLD 9	98.78	SI
-942	Palo33	-	275	934	-72	144	-9996		10625	17397	81630	1	SLD 9	108.31	SI
-942	Palo34	-	455	934	-57	166	-7922		10349	17397	81217	1	SLD 10	99.24	SI
-942	Palo35	-	-495	889	-166	-87	-15674		11380	17397	82764	1	SLD 16	93	SI
-942	Palo36	-	-225	889	191	-5	-18581		11767	17397	83344	1	SLD 4	90.99	SI
-942	Palo37	-	185	844	-77	154	-16479		11487	17397	82925	1	SLD 9	101.09	SI
-942	Palo38	-	365	844	-62	160	-11523		10828	17397	81935	1	SLD 10	101.23	SI
-942	Palo39	-	-650	740.66	-4	265	-26496		12821	17397	84924	1	SLD 5	65.58	SI
-942	Palo40	-	-70	2344	172	172	-10078		10636	17397	81647	1	SLD 5	71.49	SI
-942	Palo40	-	-70	765	13	-167	-18559		11764	17397	83340	1	SLD 12	104.08	SI
-942	Palo41	-	275	754	-87	146	-17227		11587	17397	83074	1	SLD 9	102.54	SI
-942	Palo42	-	456	753.31	-60	161	-13149		11044	17397	82260	1	SLD 10	101.08	SI
-942	Palo43	-	185	664	-101	150	-21599		12169	17397	83947	1	SLD 9	95.92	SI
-942	Palo44	-	365	664	-97	141	-18544		11762	17397	83337	1	SLD 9	101.57	SI
-942	Palo45	-	-650	592.33	54	-284	-22656		12310	17397	84158	1	SLD 8	60.1	SI
-942	Palo46	-	-70	555	-11	158	-27251		12921	17397	85075	1	SLD 5	109.72	SI
-942	Palo47	-	275	574	-112	157	-23231		12386	17397	84272	1	SLD 9	90.42	SI
-942	Palo48	-	455	574	-99	155	-19473		11886	17397	83522	1	SLD 9	94.68	SI
-942	Palo49	-	-495	464	-180	-9	-16304		11464	17397	82890	1	SLD 13	96.74	SI
-942	Palo50	-	-495	2184	-324	-87	-14471		11220	17397	82524	1	SLD 16	51.83	SI
-942	Palo50	-	-225	464	183	45	-24207		12516	17397	84467	1	SLD 2	92.31	SI
-942	Palo51	-	185	484	-136	159	-26696		12847	17397	84964	1	SLD 9	83.09	SI
-942	Palo52	-	365	484	-108	163	-24258		12523	17397	84477	1	SLD 9	88.8	SI
-942	Palo53	-	275	394	-135	171	-27684		12979	17397	85161	1	SLD 9	80.08	SI
-942	Palo54	-	455	394	140	-151	3927		9295	17397	79635	1	SLD 8	84.4	SI
-942	Palo55	-	935	1044	112	246	-23440		12414	17397	84314	1	SLD 6	64.45	SI
-942	Palo56	-	935	854	-19	210	-13154		11045	17397	82261	1	SLD 10	82.69	SI
-942	Palo57	-	935	654	41	-222	-15363		11339	17397	82702	1	SLD 7	77.23	SI
-942	Palo58	-	935	464	161	-244	-26490		12820	17397	84923	1	SLD 8	59.61	SI
-942	Palo59	-	1330	1044	-64	226	-21219		12118	17397	83871	1	SLD 10	74.11	SI
-942	Palo60	-	-225	2184	329	63	-11309		10800	17397	81893	1	SLD 1	51.96	SI
-942	Palo60	-	1330	854	43	200	-13549		11098	17397	81935	1	SLD 6	84.95	SI
-942	Palo61	-	1330	654	37	-211	-14868		11273	17397	82603	1	SLD 7	81.36	SI
-942	Palo62	-	1330	464	-111	-237	-24636		12573	17397	84553	1	SLD 11	66.47	SI
-942	Palo63	-	1865	1034	44	138	-6172		10116	17397	80867	1	SLD 6	120.26	SI
-942	Palo64	-	2035	1034	66	138	-3740		9792	17397	80382	1	SLD 6	113.82	SI
-942	Palo65	-	2205	1034	84	-131	-23517		12424	17397	84329	1	SLD 7	111.87	SI
-942	Palo66	-	1775	944	48	136	-12013		10893	17397	82033	1	SLD 6	120.62	SI
-942	Palo67	-	1955	944	61	139	-8659		10447	17397	81364	1	SLD 6	114.27	SI
-942	Palo68	-	2115	944	68	-146	-19091		11835	17397	83446	1	SLD 7	108.36	SI
-942	Palo69	-	2295	944	51	149	-7984		10357	17397	81229	1	SLD 6	110.54	SI
-942	Palo70	-	-650	2014	-114	-263	-23092		12368	17397	84245	1	SLD 12	60.78	SI
-942	Palo70	-	1865	854	12	145	-13757		11125	17397	82381	1	SLD 6	119.17	SI
-942	Palo71	-	2205	854	89	153	-11273		10795	17397	81885	1	SLD 6	98.45	SI
-942	Palo72	-	1775	764	10	158	-18393		11742	17397	83307	1	SLD 6	110.09	SI
-942	Palo73	-	2295	764	-17	178	-18022		11693	17397	83232	1	SLD 10	97.55	SI
-942	Palo74	-	1865	674	15	160	-19486		11888	17397	83525	1	SLD 6	108.28	SI
-942	Palo75	-	2205	674	74	-169	-10220		10655	17397	81675	1	SLD 7	94.43	SI
-942	Palo76	-	1775	564	-24	-185	-9678		10583	17397	81567	1	SLD 11	93.33	SI
-942	Palo77	-	1955	564	56	-174	-8736		10457	17397	81379	1	SLD 7	95.27	SI
-942	Palo78	-	2115	564	78	-180	-8140		10378	17397	81260	1	SLD 7	88.6	SI
-942	Palo79	-	2295	564	96	-204	-10166		10647	17397	81664	1	SLD 7	77.07	SI
-942	Palo80	-	11.25	1974	159	171	-11358		10806	17397	81902	1	SLD 5	74.37	SI
-942	Palo80	-	1865	474	-30	-187	-8173		10382	17397	81267	1	SLD 11	92.06	SI
-942	Palo81	-	2035	474	71	-188	-7392		10278	17397	81111	1	SLD 7	86.59	SI
-942	Palo82	-	2205	474	107	-200	-8698		10452	17397	81371	1	SLD 7	76.91	SI
-942	Palo83	-	2740	1044	107	249	-20367		12005	17397	83701	1	SLD 6	64.08	SI
-942	Palo84	-	2740	854	-19	223	-13284		11062	17397	82287	1	SLD 10	77.59	SI
-942	Palo85	-	2740	654	1	-229	-14615		11240	17397	82552	1	SLD 11	75.81	SI
-942	Palo86	-	2740	464	90	-254	-24069		12498	17397	84440	1	SLD 7	64.63	SI
-942	Palo87	-	3135	1044	-68	260	-22369		12271	17397	84100	1	SLD 10	64.74	SI
-942	Palo88	-	3135	854	-21	228	-13999		11158	17397	82429	1	SLD 10	76.01	SI
-942	Palo89	-	3135	654	-2	-235	-15008		11292	17397	82631	1	SLD 11	74.1	SI
-942	Palo90	-	171.25	1974	-144	-191	-19972		11952	17397	83622	1	SLD 12	72.79	SI
-942	Palo90	-	3135	464	-112	-266	-25606		12702	17397	84746	1	SLD 11	60.2	SI
-942	Palo91	-	3705	1114	-66	186	9592		9295	17397	79635	1	SLD 10	88.29	SI
-942	Palo92	-	3885	1114	-72	-206	-21398		12142	17397	83906	1	SLD 11	79.54	SI
-942	Palo93	-	3615	1024	-77	179	3325		9295	17397	79635	1	SLD 10	89.34	SI
-942	Palo94	-	3795	1024	-74	-186	-20917		12078	17397	83811	1	SLD 11	87.16	SI
-942	Palo95	-	3705	934	-53	162	1681		9295	17397	79635	1	SLD 10	102.4	SI
-942	Palo96	-	3885	934	-76	-181	-15221		11320	17397	82673	1	SLD 11	88.62	SI
-942	Palo97	-	3615	844</											

RELAZIONE GEOTECNICA E SULLE FONDAZIONI

Quota	Filo	Ind.	Xp	Yp	Tx	Ty	N	MultT	Vrd.4.1.23	VRsd.4.1.27	VRcd.4.1.28	Cotg	Comb.	C.S.	Verifica
-942	Palo105	-	3615	484	-216	-354	16986		9295	17397	79635	1	SLV FO 11	41.97	SI
-942	Palo106	-	3795	484	-123	389	-36951		14212	17397	87011	1	SLV FO 10	42.6	SI
-942	Palo107	-	3705	394	-138	389	-46295		15455	17397	88876	1	SLV FO 10	42.18	SI
-942	Palo108	-	3885	394	-122	428	-39907		14605	17397	87601	1	SLV FO 10	39.06	SI
-942	Palo11	-	91.25	1884	-258	-369	-23167		12378	17397	84260	1	SLV FO 12	38.62	SI
-942	Palo12	-	261.25	1884	-272	-407	-38079		14362	17397	87236	1	SLV FO 12	35.54	SI
-942	Palo13	-	-495	1844	-566	-185	-1250		9461	17397	79885	1	SLV FO 16	29.22	SI
-942	Palo14	-	-225	1844	521	135	-36371		14135	17397	86895	1	SLV FO 1	32.31	SI
-942	Palo15	-	11.25	1794	254	397	-10784		10730	17397	81788	1	SLV FO 5	36.92	SI
-942	Palo16	-	-78.75	1704	-213	-425	-15750		11391	17397	82779	1	SLV FO 12	36.61	SI
-942	Palo17	-	51.25	1704	239	-377	-19221		11852	17397	83472	1	SLV FO 7	38.99	SI
-942	Palo18	-	266.25	1704	227	-519	-11939		10883	17397	82018	1	SLV FO 7	30.68	SI
-942	Palo19	-	-650	1664	-158	-571	-12386		10943	17397	82108	1	SLV FO 12	29.39	SI
-942	Palo2	-	-225	2504	644	217	3785		9295	17397	79635	1	SLV FO 5	25.59	SI
-942	Palo20	-	11.25	1634	22	-421	-19082		11834	17397	83444	1	SLV FO 12	41.29	SI
-942	Palo21	-	-495	1484	-387	-186	-9612		10574	17397	81554	1	SLV FO 16	40.52	SI
-942	Palo22	-	-225	1484	420	138	-28494		13086	17397	85323	1	SLV FO 1	39.33	SI
-942	Palo23	-	91.25	1484	236	-166	-27695		12980	17397	85163	1	SLV FO 7	60.27	SI
-942	Palo24	-	-650	1299	95	704	-33112		13701	17397	86245	1	SLV FO 5	24.49	SI
-942	Palo25	-	-70	1299	100	453	-10869		10741	17397	81805	1	SLV FO 5	37.48	SI
-942	Palo26	-	261.25	1299	-22	429	3193		9295	17397	79635	1	SLV FO 9	40.51	SI
-942	Palo27	-	275	1114	-135	372	2749		9295	17397	79635	1	SLV FO 9	43.97	SI
-942	Palo28	-	455	1114	-24	355	6250		9295	17397	79635	1	SLV FO 9	48.94	SI
-942	Palo29	-	-650	1074	-59	-656	-27539		12959	17397	85132	1	SLV FO 12	26.4	SI
-942	Palo3	-	-650	2344	331	501	-26054		12762	17397	84836	1	SLV FO 5	28.96	SI
-942	Palo30	-	-70	1074	-54	-450	-18804		11797	17397	83389	1	SLV FO 12	38.42	SI
-942	Palo31	-	185	1024	-138	331	-3761		9795	17397	80386	1	SLV FO 9	48.5	SI
-942	Palo32	-	365	1024	-138	330	2609		9295	17397	79635	1	SLV FO 9	48.61	SI
-942	Palo33	-	275	934	-143	295	-5746		10059	17397	80782	1	SLV FO 9	53.07	SI
-942	Palo34	-	455	934	-122	337	-4259		9861	17397	80485	1	SLV FO 10	48.55	SI
-942	Palo35	-	-495	889	-300	-184	-14475		11221	17397	82525	1	SLV FO 16	49.49	SI
-942	Palo36	-	-225	889	352	-7	-22217		12251	17397	84070	1	SLV FO 4	49.48	SI
-942	Palo37	-	185	844	-151	309	-17845		11669	17397	83197	1	SLV FO 9	50.51	SI
-942	Palo38	-	365	844	-127	319	-10631		10709	17397	81757	1	SLV FO 10	50.64	SI
-942	Palo39	-	-650	740.66	-12	537	-30337		13332	17397	85691	1	SLV FO 5	32.41	SI
-942	Palo4	-	-70	2344	345	314	3904		9295	17397	79635	1	SLV FO 5	37.29	SI
-942	Palo40	-	-70	765	19	-342	-16515		11495	17397	82932	1	SLV FO 12	50.82	SI
-942	Palo41	-	275	754	-175	294	-21137		12107	17397	83854	1	SLV FO 9	50.82	SI
-942	Palo42	-	456	753.31	-127	329	-15703		11384	17397	82770	1	SLV FO 10	49.39	SI
-942	Palo43	-	185	664	-205	303	-28965		13149	17397	85417	1	SLV FO 9	47.58	SI
-942	Palo44	-	365	664	-202	287	-25562		12696	17397	84738	1	SLV FO 9	49.57	SI
-942	Palo45	-	-650	592.33	109	-549	-21996		12222	17397	84026	1	SLV FO 8	31.1	SI
-942	Palo46	-	-70	555	-28	314	-35427		14009	17397	86707	1	SLV FO 5	55.2	SI
-942	Palo47	-	275	574	-229	311	-34320		13862	17397	86486	1	SLV FO 9	45	SI
-942	Palo48	-	455	574	-213	311	-28943		13146	17397	85413	1	SLV FO 9	46.13	SI
-942	Palo49	-	-495	464	-334	-16	-10017		10628	17397	81635	1	SLV FO 13	52.1	SI
-942	Palo5	-	-495	2184	-602	-185	-10558		10700	17397	81743	1	SLV FO 16	27.64	SI
-942	Palo50	-	-225	464	361	95	-30990		13419	17397	85821	1	SLV FO 2	46.55	SI
-942	Palo51	-	185	484	-275	318	-40672		14707	17397	87754	1	SLV FO 9	41.41	SI
-942	Palo52	-	365	484	-237	326	-38067		14360	17397	87234	1	SLV FO 9	43.16	SI
-942	Palo53	-	275	394	-280	337	-44871		15266	17397	88592	1	SLV FO 9	39.73	SI
-942	Palo54	-	455	394	277	-324	18940		9295	17397	79635	1	SLV FO 8	40.81	SI
-942	Palo55	-	935	1044	184	394	-19659		11911	17397	83559	1	SLV FO 6	40.02	SI
-942	Palo56	-	935	854	-51	370	-11323		10801	17397	81895	1	SLV FO 10	46.62	SI
-942	Palo57	-	935	654	77	-379	-14798		11264	17397	82589	1	SLV FO 7	44.96	SI
-942	Palo58	-	935	464	277	-377	-22450		12282	17397	84116	1	SLV FO 8	37.19	SI
-942	Palo59	-	1330	1044	-130	350	-14903		11278	17397	82610	1	SLV FO 10	46.55	SI
-942	Palo6	-	-225	2184	628	133	-9565		10568	17397	81545	1	SLV FO 1	27.09	SI
-942	Palo60	-	1330	854	84	348	-12189		10917	17397	82068	1	SLV FO 6	48.57	SI
-942	Palo61	-	1330	654	73	-358	-13746		11124	17397	82379	1	SLV FO 7	47.57	SI
-942	Palo62	-	1330	464	-228	-364	-18431		11747	17397	83314	1	SLV FO 11	40.49	SI
-942	Palo63	-	1865	1034	109	273	2924		9295	17397	79635	1	SLV FO 6	59.18	SI
-942	Palo64	-	2035	1034	127	275	6376		9295	17397	79635	1	SLV FO 6	57.42	SI
-942	Palo65	-	2205	1034	135	-279	-32551		13626	17397	86133	1	SLV FO 7	56.05	SI
-942	Palo66	-	1775	944	113	268	-7598		10306	17397	81152	1	SLV FO 6	59.85	SI
-942	Palo67	-	1955	944	127	287	-3129		9711	17397	80260	1	SLV FO 6	55.49	SI
-942	Palo68	-	2115	944	118	-299	-24457		12549	17397	84517	1	SLV FO 7	54.15	SI
-942	Palo69	-	2295	944	133	-283	-25016		12624	17397	84629	1	SLV FO 7	55.63	SI
-942	Palo7	-	-650	2014	-242	-546	-14083		11169	17397	82446	1	SLV FO 12	29.14	SI
-942	Palo70	-	1865	854	24	292	-12608		10973	17397	82152	1	SLV FO 6	59.45	SI
-942	Palo71	-	2205	854	158	306	-7400		10279	17397	81112	1	SLV FO 6	50.55	SI
-942	Palo72	-	1775	764	22	313	-21575		12166	17397	83942	1	SLV FO 6	55.4	SI
-942	Palo73	-	2295	764	-71	353	-21061		12097	17397	83839	1	SLV FO 10	48.33	SI
-942	Palo74	-	1865	674	26	326	-24449		12548	17397	84515	1	SLV FO 6	53.26	SI
-942	Palo75	-	2205	674	131	-349	-5373		10010	17397	80708	1	SLV FO 7	46.72	SI
-942	Palo76	-	1775	564	-35	-351	-1466		9490	17397	79928	1	SLV FO 11	49.33	SI
-942	Palo77	-	1955	564	116	-350	-2454		9621	17397	80125	1	SLV FO 7	47.15	SI
-942	Palo78	-	2115	564	140	-362	-1169		9450	17397	79868	1	SLV FO 7	44.84	SI
-942	Palo79	-	2295	564	158	-389	-2569		9637	17397	80148	1	SLV FO 7	41.44	SI
-942	Palo8	-	11.25	1974	334	352	-8506		10427	17397	81333	1	SLV FO 5	35.85	SI
-942	Palo80	-	1865	474	-42	-353	1709		9295	17397	79635	1	SLV FO 11	48.92	SI
-942	Palo81	-	2035	474	135	-363	1182		9295	17397	79635	1	SLV FO 7	44.98	SI
-942	Palo82	-	2205	474	172	-378	655		9295	17397	79635	1	SLV FO 7	41.85	SI
-942	Palo83	-	2740	1044	187	396	-13201		11051	17397	82270	1	SLV FO 6	39.69	SI
-942	Palo84	-	2740	854	-51	392	-11684		10850	17397	81968	1	SLV FO 10	44.01	SI
-942	Palo85	-	2740	654	-9	-401	-13367		11073	17397	82303	1	SLV FO 11	43.39	SI
-942	Palo86	-	2740	464	154	-402	-17604		116304	17397	83149	1	SLV FO 7	40.44	SI
-942	Palo87	-	3135	1044	-129	417	-16878		11541	17397	83004	1	SLV FO 10	39.82	SI
-942	Palo88	-	3135	854	-52	401	-12841		11003	17397	82198	1	SLV FO 10	43.01	SI
-942	Palo89	-	3135	654	-11	-409	-13767		11127	17397	82383	1	SLV FO 11	42.56	SI
-942	Palo9	-	171.25	1974	-303	-377	-30227								

RELAZIONE GEOTECNICA E SULLE FONDAZIONI

Quota	Filo	Ind.	Xp	Yp	Tx	Ty	N	MultT	Vrd.4.1.23	VRsd.4.1.27	VRcd.4.1.28	Cotg	Comb.	C.S.	Verifica
-1319	Palo1	-	-495	2504	-64	2	-23140		12374	17397	84254	1	SLU 16	273.16	SI
-1319	Palo10	-	-78.75	1884	6	4	-10265		10661	17397	81684	1	SLU 9	2307.73	SI
-1319	Palo100	-	3885	754	-19	0	-4956		9954	17397	80624	1	SLU 16	937.61	SI
-1319	Palo101	-	3615	664	-16	-4	-9532		10563	17397	81538	1	SLU 16	1035	SI
-1319	Palo102	-	3795	664	-17	0	-6747		10193	17397	80982	1	SLU 16	1001.88	SI
-1319	Palo103	-	3705	574	-14	1	-8347		10405	17397	81301	1	SLU 16	1198.7	SI
-1319	Palo104	-	3885	574	-20	3	-5150		9980	17397	80663	1	SLU 16	852.57	SI
-1319	Palo105	-	3615	484	-28	-3	-10504		10692	17397	81732	1	SLU 16	609.36	SI
-1319	Palo106	-	3795	484	-22	4	-6842		12025	17397	81001	1	SLU 16	795.84	SI
-1319	Palo107	-	3705	394	-23	3	-8609		10440	17397	81354	1	SLU 16	739.15	SI
-1319	Palo108	-	3885	394	-21	8	-4765		9929	17397	80586	1	SLU 16	770.57	SI
-1319	Palo11	-	91.25	1884	-8	-9	-11610		10840	17397	81953	1	SLU 16	1397.37	SI
-1319	Palo12	-	261.25	1884	-10	-15	-9046		10498	17397	81441	1	SLU 16	947.96	SI
-1319	Palo13	-	-495	1844	-74	0	-19027		11827	17397	83433	1	SLU 16	236.25	SI
-1319	Palo14	-	-225	1844	12	0	-12660		10979	17397	82162	1	SLU 16	1439.84	SI
-1319	Palo15	-	11.25	1794	-5	3	-12822		11001	17397	82195	1	SLU 16	2874.61	SI
-1319	Palo16	-	-78.75	1704	-5	-11	-13951		11151	17397	82420	1	SLU 16	1464.6	SI
-1319	Palo17	-	51.25	1704	-2	-5	-12804		10999	17397	82191	1	SLU 16	3004.05	SI
-1319	Palo18	-	266.25	1704	-5	-18	-11092		10771	17397	81849	1	SLU 16	950.94	SI
-1319	Palo19	-	-650	1664	-8	1	-30938		13412	17397	85811	1	SLU 16	2059.56	SI
-1319	Palo2	-	-225	2504	35	2	-19257		11857	17397	83479	1	SLU 16	492.65	SI
-1319	Palo20	-	11.25	1634	-6	-11	-13667		11113	17397	82363	1	SLU 16	1353.56	SI
-1319	Palo21	-	-495	1484	-60	1	-21725		12186	17397	83972	1	SLU 16	290.73	SI
-1319	Palo22	-	-225	1484	13	0	-16042		11429	17397	82837	1	SLU 16	1368.43	SI
-1319	Palo23	-	91.25	1484	-7	-1	-12451		10952	17397	82121	1	SLU 8	2474.5	SI
-1319	Palo24	-	-650	1299	-4	45	-22859		12337	17397	84198	1	SLU 16	384.47	SI
-1319	Palo25	-	-70	1299	-2	25	-13532		11095	17397	82336	1	SLU 16	690.59	SI
-1319	Palo26	-	261.25	1299	-29	7	-13574		11101	17397	82345	1	SLU 16	578.71	SI
-1319	Palo27	-	275	1114	-15	6	-13036		11029	17397	82237	1	SLU 16	1086.81	SI
-1319	Palo28	-	455	1114	0	4	-11088		10770	17397	81848	1	SLU 16	4719.15	SI
-1319	Palo29	-	-650	1074	-5	-30	-21770		12192	17397	83981	1	SLU 16	565.38	SI
-1319	Palo3	-	-650	2344	-8	11	-25176		12645	17397	84661	1	SLU 14	1271.34	SI
-1319	Palo30	-	-70	1074	-2	-25	-13464		11086	17397	82323	1	SLU 16	698.64	SI
-1319	Palo31	-	185	1024	-15	2	-14129		11175	17397	82456	1	SLU 16	1168.54	SI
-1319	Palo32	-	365	1024	-16	3	-11469		10821	17397	81924	1	SLU 16	1065.28	SI
-1319	Palo33	-	275	934	-16	1	-12680		10982	17397	82166	1	SLU 16	1055.9	SI
-1319	Palo34	-	455	934	-10	3	-10185		10650	17397	81668	1	SLU 16	1745.89	SI
-1319	Palo35	-	-495	889	-52	0	-16244		11456	17397	82878	1	SLU 16	333.89	SI
-1319	Palo36	-	-225	889	33	-1	-14679		11248	17397	82565	1	SLU 16	528.48	SI
-1319	Palo37	-	185	844	-18	7	-13936		11149	17397	82417	1	SLU 16	888.76	SI
-1319	Palo38	-	365	844	-14	8	-11059		10766	17397	81843	1	SLU 16	1089.29	SI
-1319	Palo39	-	-650	740.66	-6	26	-22689		12314	17397	84164	1	SLU 16	648.41	SI
-1319	Palo4	-	-70	2344	2	24	-19731		11920	17397	83574	1	SLU 16	714.08	SI
-1319	Palo40	-	-70	765	-1	-5	-13834		11136	17397	82397	1	SLU 9	3238.18	SI
-1319	Palo41	-	275	754	-16	5	-12343		10937	17397	82099	1	SLU 16	1046.58	SI
-1319	Palo42	-	456	753.31	-11	2	-9775		10595	17397	81586	1	SLU 16	1606.52	SI
-1319	Palo43	-	185	664	-16	6	-13351		11071	17397	82300	1	SLU 16	1041.54	SI
-1319	Palo44	-	365	664	-12	2	-10587		10704	17397	81749	1	SLU 15	1470.57	SI
-1319	Palo45	-	-650	592.33	-5	-34	-22525		12292	17397	84131	1	SLU 16	502.86	SI
-1319	Palo46	-	-70	555	-4	12	-17975		11687	17397	83223	1	SLU 16	1428.51	SI
-1319	Palo47	-	275	574	-13	8	-11605		10839	17397	81952	1	SLU 16	1098.25	SI
-1319	Palo48	-	455	574	-7	5	-8577		10436	17397	81347	1	SLU 14	2009.64	SI
-1319	Palo49	-	-495	464	-48	-3	-20184		11981	17397	83664	1	SLU 16	363.06	SI
-1319	Palo5	-	-495	2184	-79	0	-16738		11522	17397	82976	1	SLU 16	221.5	SI
-1319	Palo50	-	-225	464	13	0	-16643		11509	17397	82957	1	SLU 16	1356.19	SI
-1319	Palo51	-	185	484	-17	8	-12026		10895	17397	82036	1	SLU 15	934.06	SI
-1319	Palo52	-	365	484	-4	7	-9955		10619	17397	81622	1	SLU 15	2236.15	SI
-1319	Palo53	-	275	394	-12	10	-10168		10648	17397	81665	1	SLU 15	1112.58	SI
-1319	Palo54	-	455	394	9	8	-9550		10566	17397	81541	1	SLU 16	1407.44	SI
-1319	Palo55	-	935	1044	32	80	-24989		12620	17397	84623	1	SLU 16	200.79	SI
-1319	Palo56	-	935	854	-1	42	-13826		11135	17397	82395	1	SLU 16	410.94	SI
-1319	Palo57	-	935	654	-1	-63	-15522		11360	17397	82733	1	SLU 16	277.7	SI
-1319	Palo58	-	935	464	40	-99	-30087		13298	17397	85641	1	SLU 16	162.63	SI
-1319	Palo59	-	1330	1044	-14	81	-24979		12619	17397	84621	1	SLU 16	211.99	SI
-1319	Palo6	-	-225	2184	39	1	-11559		10833	17397	81942	1	SLU 16	443.44	SI
-1319	Palo60	-	1330	854	-2	43	-13804		11132	17397	82391	1	SLU 16	403.82	SI
-1319	Palo61	-	1330	654	-2	-62	-15428		11348	17397	82715	1	SLU 16	282.5	SI
-1319	Palo62	-	1330	464	-16	-98	-29884		13271	17397	85600	1	SLU 16	175.21	SI
-1319	Palo63	-	1865	1034	-16	3	-13422		11081	17397	82314	1	SLU 16	1061.53	SI
-1319	Palo64	-	2035	1034	2	3	-9862		10607	17397	81604	1	SLU 10	4540.65	SI
-1319	Palo65	-	2205	1034	23	2	-13190		11050	17397	82268	1	SLU 16	743.45	SI
-1319	Palo66	-	1775	944	-14	4	-14882		11275	17397	82606	1	SLU 16	1188.25	SI
-1319	Palo67	-	1955	944	-4	-5	-12646		10978	17397	82160	1	SLU 16	2800.62	SI
-1319	Palo68	-	2115	944	11	-5	-12554		10965	17397	82141	1	SLU 16	1412.06	SI
-1319	Palo69	-	2295	944	21	4	-14569		11233	17397	82543	1	SLU 16	796.83	SI
-1319	Palo7	-	-650	2014	-11	-8	-29788		13259	17397	85581	1	SLU 16	1266.09	SI
-1319	Palo70	-	1865	854	-6	2	-13301		11065	17397	82290	1	SLU 15	2736.25	SI
-1319	Palo71	-	2205	854	14	1	-13500		11091	17397	82330	1	SLU 16	1263.34	SI
-1319	Palo72	-	1775	764	-7	4	-13940		11150	17397	82418	1	SLU 15	2065	SI
-1319	Palo73	-	2295	764	15	3	-14132		11175	17397	82456	1	SLU 16	1102.96	SI
-1319	Palo74	-	1865	674	-4	-3	-13855		11138	17397	82401	1	SLU 16	3741.67	SI
-1319	Palo75	-	2205	674	12	-4	-13718		11120	17397	82374	1	SLU 16	1345.88	SI
-1319	Palo76	-	1775	564	-19	-27	-16461		11485	17397	82921	1	SLU 16	520.12	SI
-1319	Palo77	-	1955	564	-5	-10	-13924		11148	17397	82414	1	SLU 16	1569.69	SI
-1319	Palo78	-	2115	564	13	-11	-13900		11144	17397	82410	1	SLU 16	1012.48	SI
-1319	Palo79	-	2295	564	27	-28	-16369		11473	17397	82903	1	SLU 16	440.35	SI
-1319	Palo8	-	11.25	1974	-14	-1	-12475		10955	17397	82125	1	SLU 16	1199.97	SI
-1319	Palo80	-	1865	474	-23	-28	-16710		11518	17397	82971	1	SLU 16	482.56	SI
-1319	Palo81	-	2035	474	5	-23	-14816		11266	17397	82593	1	SLU 16	751.05	SI
-1319	Palo82	-	2205	474	33	-29	-16743		11523	17397	82977	1	SLU 16	399.82	SI
-1319	Palo83	-	2740	1044	23	81	-24912		12610	17397	84608				

RELAZIONE GEOTECNICA E SULLE FONDAZIONI

Quota	Filo	Ind.	Xp	Yp	Tx	Ty	N	MultT	Vrd.4.1.23	VRsd.4.1.27	VRcd.4.1.28	Cotg	Comb.	C.S.	Verifica
-1319	Palo93	-	3615	1024	-25	2	-8842		10471	17397	81400	1	SLU 16	687.23	SI
-1319	Palo94	-	3795	1024	-19	-3	-5523		10030	17397	80738	1	SLU 16	903.26	SI
-1319	Palo95	-	3705	934	-13	-2	-7313		10268	17397	81095	1	SLU 16	1281.32	SI
-1319	Palo96	-	3885	934	-18	-3	-4369		9876	17397	80507	1	SLU 16	938.18	SI
-1319	Palo97	-	3615	844	-16	1	-8944		10485	17397	81421	1	SLU 16	1113.25	SI
-1319	Palo98	-	3795	844	-17	-1	-6272		10129	17397	80887	1	SLU 16	1051.04	SI
-1319	Palo99	-	3705	754	-12	-1	-7811		10334	17397	81194	1	SLU 16	1473.54	SI
-1319	Palo1	-	-495	2504	-89	18	-20039		11961	17397	83635	1	SLD 12	190.96	SI
-1319	Palo10	-	-78.75	1884	-14	38	-6195		10119	17397	80872	1	SLD 10	434.53	SI
-1319	Palo100	-	3885	754	-27	-4	-5192		9986	17397	80672	1	SLD 13	629.04	SI
-1319	Palo101	-	3615	664	-29	-6	-5070		9969	17397	80647	1	SLD 15	587.82	SI
-1319	Palo102	-	3795	664	-26	-3	-6242		10125	17397	80881	1	SLD 13	658.18	SI
-1319	Palo103	-	3705	574	-25	-3	-3966		9822	17397	80427	1	SLD 15	679.31	SI
-1319	Palo104	-	3885	574	-29	6	-6251		10126	17397	80883	1	SLD 13	589.38	SI
-1319	Palo105	-	3615	484	-43	-7	-3845		9806	17397	80403	1	SLD 15	399.39	SI
-1319	Palo106	-	3795	484	-32	6	-7284		10264	17397	81089	1	SLD 13	539.52	SI
-1319	Palo107	-	3705	394	-35	-4	-2653		9648	17397	80165	1	SLD 15	486.81	SI
-1319	Palo108	-	3885	394	-23	27	-13854		11138	17397	82401	1	SLD 10	493.55	SI
-1319	Palo11	-	91.25	1884	-1	-44	-8419		10415	17397	81316	1	SLD 7	394.65	SI
-1319	Palo12	-	261.25	1884	0	-60	-5553		10034	17397	80744	1	SLD 7	288.57	SI
-1319	Palo13	-	-495	1844	-89	5	-8245		10392	17397	81281	1	SLD 14	194.29	SI
-1319	Palo14	-	-225	1844	50	-8	-15154		11311	17397	82660	1	SLD 1	345.51	SI
-1319	Palo15	-	11.25	1794	-16	34	-7870		10342	17397	81206	1	SLD 5	461.32	SI
-1319	Palo16	-	-78.75	1704	10	-45	-9700		10585	17397	81571	1	SLD 12	377.97	SI
-1319	Palo17	-	51.25	1704	5	-42	-10442		10684	17397	81720	1	SLD 7	414.49	SI
-1319	Palo18	-	266.25	1704	2	-76	-7806		10333	17397	81193	1	SLD 7	229.67	SI
-1319	Palo19	-	-650	1664	-15	50	-26035		12759	17397	84832	1	SLD 5	330.72	SI
-1319	Palo2	-	-225	2504	57	8	-15377		11341	17397	82705	1	SLD 7	300.62	SI
-1319	Palo20	-	11.25	1634	11	-45	-10616		10707	17397	81754	1	SLD 12	371.49	SI
-1319	Palo21	-	-495	1484	-61	5	-11474		10822	17397	81925	1	SLD 14	286.55	SI
-1319	Palo22	-	-225	1484	44	-2	-13103		11038	17397	82251	1	SLD 3	390.94	SI
-1319	Palo23	-	91.25	1484	-31	-10	-5646		10046	17397	80762	1	SLD 6	535.45	SI
-1319	Palo24	-	-650	1299	-9	102	-17682		11648	17397	83165	1	SLD 5	169.91	SI
-1319	Palo25	-	-70	1299	-7	56	-7916		10348	17397	81215	1	SLD 5	305.8	SI
-1319	Palo26	-	261.25	1299	-34	-38	-15091		11303	17397	82648	1	SLD 8	339.78	SI
-1319	Palo27	-	275	1114	-24	30	-3845		9806	17397	80403	1	SLD 9	451.91	SI
-1319	Palo28	-	455	1114	-22	15	-7922		10349	17397	81216	1	SLD 13	651.61	SI
-1319	Palo29	-	-650	1074	1	-83	-15570		11367	17397	82743	1	SLD 12	209.8	SI
-1319	Palo3	-	-650	2344	-28	40	-24310		12530	17397	84488	1	SLD 1	355.58	SI
-1319	Palo30	-	-70	1074	-2	-56	-10682		10716	17397	81767	1	SLD 8	308.16	SI
-1319	Palo31	-	185	1024	-30	11	-10144		10645	17397	81660	1	SLD 13	548.43	SI
-1319	Palo32	-	365	1024	-31	11	-8218		10388	17397	81276	1	SLD 13	522.04	SI
-1319	Palo33	-	275	934	-31	6	-9490		10557	17397	81529	1	SLD 13	558.26	SI
-1319	Palo34	-	455	934	-28	13	-8113		10374	17397	81255	1	SLD 14	562.2	SI
-1319	Palo35	-	-495	889	-52	11	-9871		10608	17397	81605	1	SLD 16	325.08	SI
-1319	Palo36	-	-225	889	50	0	-11686		10850	17397	81968	1	SLD 4	344.51	SI
-1319	Palo37	-	185	844	-32	10	-10999		10758	17397	81831	1	SLD 13	522.6	SI
-1319	Palo38	-	365	844	-30	15	-9031		10496	17397	81438	1	SLD 14	523.37	SI
-1319	Palo39	-	-650	740.66	3	54	-14722		11254	17397	82574	1	SLD 9	323.65	SI
-1319	Palo4	-	-70	2344	0	59	-13263		11060	17397	82283	1	SLD 10	297.09	SI
-1319	Palo40	-	-70	765	-3	-21	-11672		10848	17397	81965	1	SLD 12	801	SI
-1319	Palo41	-	275	754	-30	12	-10524		10695	17397	81736	1	SLD 14	545.01	SI
-1319	Palo42	-	456	753.31	-30	7	-8631		10443	17397	81358	1	SLD 13	574.81	SI
-1319	Palo43	-	185	664	-34	8	-11773		10861	17397	81985	1	SLD 13	501.72	SI
-1319	Palo44	-	365	664	-32	7	-9986		10624	17397	81628	1	SLD 13	535.53	SI
-1319	Palo45	-	-650	592.33	-12	-67	-14231		11188	17397	82476	1	SLD 8	255.99	SI
-1319	Palo46	-	-70	555	-3	23	-16919		11546	17397	83012	1	SLD 6	763.14	SI
-1319	Palo47	-	275	574	-33	12	-11259		10793	17397	81883	1	SLD 13	489.32	SI
-1319	Palo48	-	455	574	-30	11	-9432		10550	17397	81518	1	SLD 13	542.99	SI
-1319	Palo49	-	-495	464	-57	-14	-18593		11769	17397	83347	1	SLD 1	296.94	SI
-1319	Palo5	-	-495	2184	-83	17	-11416		10814	17397	81914	1	SLD 12	205.34	SI
-1319	Palo50	-	-225	464	40	-6	-15199		11317	17397	82669	1	SLD 2	426.67	SI
-1319	Palo51	-	185	484	-39	17	-16753		11524	17397	82979	1	SLD 9	405.97	SI
-1319	Palo52	-	365	484	-31	12	-10641		10711	17397	81759	1	SLD 13	527.18	SI
-1319	Palo53	-	275	394	-36	23	-17370		11606	17397	83102	1	SLD 9	410.57	SI
-1319	Palo54	-	455	394	36	-4	-2840		9673	17397	80202	1	SLD 4	486.71	SI
-1319	Palo55	-	935	1044	42	68	-18042		11696	17397	83237	1	SLD 2	218.87	SI
-1319	Palo56	-	935	854	-2	53	-8881		10477	17397	81408	1	SLD 6	331.19	SI
-1319	Palo57	-	935	654	-5	-61	-9676		10582	17397	81567	1	SLD 7	286.17	SI
-1319	Palo58	-	935	464	44	-75	-16625		11507	17397	82954	1	SLD 8	199.31	SI
-1319	Palo59	-	1330	1044	-23	64	-13333		11069	17397	82297	1	SLD 10	254.09	SI
-1319	Palo6	-	-225	2184	69	-9	-7145		10245	17397	81061	1	SLD 1	251.02	SI
-1319	Palo60	-	1330	854	-7	49	-8544		10432	17397	81341	1	SLD 6	353.87	SI
-1319	Palo61	-	1330	654	-5	-57	-9367		10541	17397	81505	1	SLD 7	305.01	SI
-1319	Palo62	-	1330	464	-31	-72	-15467		11353	17397	82723	1	SLD 11	221.6	SI
-1319	Palo63	-	1865	1034	-23	3	-8959		10487	17397	81423	1	SLD 15	739.34	SI
-1319	Palo64	-	2035	1034	13	2	-6296		10132	17397	80892	1	SLD 2	1286.62	SI
-1319	Palo65	-	2205	1034	28	1	-8325		10402	17397	81297	1	SLD 4	629.77	SI
-1319	Palo66	-	1775	944	-21	4	-7832		10337	17397	81199	1	SLD 15	828.01	SI
-1319	Palo67	-	1955	944	-14	-6	-8908		10480	17397	81413	1	SLD 15	1127.98	SI
-1319	Palo68	-	2115	944	19	-5	-8421		10415	17397	81316	1	SLD 4	902.69	SI
-1319	Palo69	-	2295	944	26	3	-7329		10270	17397	81098	1	SLD 4	661.37	SI
-1319	Palo7	-	-650	2014	7	-47	-14503		11225	17397	82530	1	SLD 12	365.38	SI
-1319	Palo70	-	1865	854	-15	0	-6745		10192	17397	80982	1	SLD 13	1148.3	SI
-1319	Palo71	-	2205	854	21	3	-6361		10141	17397	80905	1	SLD 2	817.55	SI
-1319	Palo72	-	1775	764	-14	11	-9459		10553	17397	81523	1	SLD 9	995.95	SI
-1319	Palo73	-	2295	764	23	-5	-6093		10105	17397	80851	1	SLD 4	742.01	SI
-1319	Palo74	-	1865	674	-13	-17	-6476		10157	17397	80928	1	SLD 11	806.09	SI
-1319	Palo75	-	2205	674	14	-22	-6464		10155	17397	80926	1	SLD 7	666.74	SI
-1319	Palo76	-	1775	564	-13	-35	-6126		10110	17397	80858	1	SLD 11	471.82	SI
-1319	Palo77	-	1955	564	4	-26	-5538		10032	17397	80741	1	SLD 7	651.32	SI
-1319	Palo78	-	2115	564											

RELAZIONE GEOTECNICA E SULLE FONDAZIONI

Quota	Filo	Ind.	Xp	Yp	Tx	Ty	N	MultT	Vrd.4.1.23	VRsd.4.1.27	VRcd.4.1.28	Cotg	Comb.	C.S.	Verifica
-1319	Palo87	-	3135	1044	-25	71	-14051		11165	17397	82440	1	SLD 10	231.92	SI
-1319	Palo88	-	3135	854	-1	54	-8824		10469	17397	81397	1	SLD 10	323.57	SI
-1319	Palo89	-	3135	654	0	-61	-9454		10553	17397	81522	1	SLD 11	285.27	SI
-1319	Palo9	-	171.25	1974	-3	-48	-6299		10133	17397	80892	1	SLD 7	360.77	SI
-1319	Palo90	-	3135	464	-36	-78	-16073		11434	17397	82843	1	SLD 11	203.84	SI
-1319	Palo91	-	3705	1114	-32	2	-1779		9531	17397	79990	1	SLD 14	544.29	SI
-1319	Palo92	-	3885	1114	-26	-26	-13445		11084	17397	82319	1	SLD 11	475.86	SI
-1319	Palo93	-	3615	1024	-39	6	-3137		9712	17397	80261	1	SLD 14	439.58	SI
-1319	Palo94	-	3795	1024	-30	-9	-7800		10333	17397	81192	1	SLD 15	550.31	SI
-1319	Palo95	-	3705	934	-23	-1	-3835		9805	17397	80401	1	SLD 13	742.14	SI
-1319	Palo96	-	3885	934	-29	-8	-6643		10179	17397	80961	1	SLD 15	583.37	SI
-1319	Palo97	-	3615	844	-27	4	-5230		9991	17397	80679	1	SLD 13	633.34	SI
-1319	Palo98	-	3795	844	-26	-1	-6429		10150	17397	80918	1	SLD 15	678.44	SI
-1319	Palo99	-	3705	754	-22	-3	-5626		10043	17397	80758	1	SLD 13	792.03	SI
-1319	Palo1	-	-495	2504	-143	37	-24575		12565	17397	84541	1	SLV FO 12	118.15	SI
-1319	Palo10	-	-78.75	1884	-33	75	-2721		9657	17397	80178	1	SLV FO 10	212.5	SI
-1319	Palo100	-	3885	754	-45	-10	-7071		10236	17397	81047	1	SLV FO 13	381.91	SI
-1319	Palo101	-	3615	664	-50	-10	-3451		9754	17397	80324	1	SLV FO 15	339.96	SI
-1319	Palo102	-	3795	664	-43	-7	-7926		10349	17397	81217	1	SLV FO 13	396.73	SI
-1319	Palo103	-	3705	574	-44	-7	-2115		9576	17397	80057	1	SLV FO 15	391.29	SI
-1319	Palo104	-	3885	574	-47	10	-9168		10515	17397	81465	1	SLV FO 13	361.73	SI
-1319	Palo105	-	3615	484	-71	-13	-409		9349	17397	79717	1	SLV FO 15	240.44	SI
-1319	Palo106	-	3795	484	-52	11	-10067		10634	17397	81645	1	SLV FO 13	328.31	SI
-1319	Palo107	-	3705	394	-59	-11	657		9295	17397	79635	1	SLV FO 15	290.52	SI
-1319	Palo108	-	3885	394	-34	49	-25003		12622	17397	84626	1	SLV FO 10	291.22	SI
-1319	Palo11	-	91.25	1884	31	-79	-13149		11045	17397	82260	1	SLV FO 11	205.69	SI
-1319	Palo12	-	261.25	1884	6	-113	-4322		9870	17397	80498	1	SLV FO 7	153.71	SI
-1319	Palo13	-	-495	1844	-138	10	-3241		9726	17397	80282	1	SLV FO 14	126.11	SI
-1319	Palo14	-	-225	1844	97	-18	-22795		12328	17397	84185	1	SLV FO 1	177.2	SI
-1319	Palo15	-	11.25	1794	-31	67	-6817		10202	17397	80996	1	SLV FO 5	234.83	SI
-1319	Palo16	-	-78.75	1704	23	-87	-9918		10615	17397	81615	1	SLV FO 12	193.8	SI
-1319	Palo17	-	51.25	1704	35	-76	-13954		11152	17397	82421	1	SLV FO 11	208.17	SI
-1319	Palo18	-	266.25	1704	6	-144	-7538		10298	17397	81140	1	SLV FO 7	120.89	SI
-1319	Palo19	-	-650	1664	-27	108	-32667		13642	17397	86156	1	SLV FO 5	156.73	SI
-1319	Palo2	-	-225	2504	91	16	-17534		11628	17397	83135	1	SLV FO 7	188.5	SI
-1319	Palo20	-	11.25	1634	27	-87	-11999		10891	17397	82030	1	SLV FO 12	191.27	SI
-1319	Palo21	-	-495	1484	-85	10	-8196		10385	17397	81271	1	SLV FO 14	204.32	SI
-1319	Palo22	-	-225	1484	86	-4	-16119		11440	17397	82853	1	SLV FO 3	201.63	SI
-1319	Palo23	-	91.25	1484	-62	-20	-880		9412	17397	79811	1	SLV FO 6	268.33	SI
-1319	Palo24	-	-650	1299	-16	184	-20760		12057	17397	83779	1	SLV FO 5	94.13	SI
-1319	Palo25	-	-70	1299	-13	101	-6870		10209	17397	81007	1	SLV FO 5	170.76	SI
-1319	Palo26	-	261.25	1299	-48	-84	-20863		12071	17397	83800	1	SLV FO 8	179.41	SI
-1319	Palo27	-	275	1114	-39	59	1634		9295	17397	79635	1	SLV FO 9	244.56	SI
-1319	Palo28	-	455	1114	-48	29	-8179		10383	17397	81268	1	SLV FO 13	309.29	SI
-1319	Palo29	-	-650	1074	6	-156	-17280		11594	17397	83084	1	SLV FO 12	111.18	SI
-1319	Palo3	-	-650	2344	-52	78	-29882		13271	17397	85600	1	SLV FO 1	185.81	SI
-1319	Palo30	-	-70	1074	-3	-99	-12602		10972	17397	82151	1	SLV FO 8	175.26	SI
-1319	Palo31	-	185	1024	-53	22	-10666		10714	17397	81764	1	SLV FO 13	300.47	SI
-1319	Palo32	-	365	1024	-56	22	-8508		10427	17397	81333	1	SLV FO 13	291.01	SI
-1319	Palo33	-	275	934	-54	11	-10289		10664	17397	81689	1	SLV FO 13	315.8	SI
-1319	Palo34	-	455	934	-54	25	-9204		10520	17397	81472	1	SLV FO 14	294.79	SI
-1319	Palo35	-	-495	889	-76	24	-9122		10509	17397	81456	1	SLV FO 16	219.08	SI
-1319	Palo36	-	-225	889	83	0	-13957		11152	17397	82421	1	SLV FO 4	209.37	SI
-1319	Palo37	-	185	844	-55	17	-12558		10966	17397	82142	1	SLV FO 13	302.37	SI
-1319	Palo38	-	365	844	-54	25	-10481		10689	17397	81727	1	SLV FO 14	293.17	SI
-1319	Palo39	-	-650	740.66	11	98	-14885		11275	17397	82606	1	SLV FO 9	176.87	SI
-1319	Palo4	-	-70	2344	-1	102	-12152		10912	17397	82061	1	SLV FO 10	170.18	SI
-1319	Palo40	-	-70	765	-5	-42	-10396		10678	17397	81710	1	SLV FO 12	412.53	SI
-1319	Palo41	-	275	754	-52	22	-12693		10984	17397	82169	1	SLV FO 14	309.78	SI
-1319	Palo42	-	456	753.31	-55	13	-10640		10711	17397	81759	1	SLV FO 13	307.98	SI
-1319	Palo43	-	185	664	-60	14	-14552		11231	17397	82540	1	SLV FO 13	281.53	SI
-1319	Palo44	-	365	664	-59	12	-12683		10982	17397	82167	1	SLV FO 13	288.19	SI
-1319	Palo45	-	-650	592.33	-22	-114	-13818		11134	17397	82393	1	SLV FO 8	149.26	SI
-1319	Palo46	-	-70	555	-3	40	-21834		12200	17397	83993	1	SLV FO 6	432.67	SI
-1319	Palo47	-	275	574	-61	19	-14764		11259	17397	82582	1	SLV FO 13	271.71	SI
-1319	Palo48	-	455	574	-59	19	-12472		10954	17397	82125	1	SLV FO 13	280.67	SI
-1319	Palo49	-	-495	464	-89	-27	-24430		12546	17397	84512	1	SLV FO 1	187.86	SI
-1319	Palo5	-	-495	2184	-119	35	-11603		10839	17397	81951	1	SLV FO 12	140.57	SI
-1319	Palo50	-	-225	464	76	-13	-19435		11881	17397	83515	1	SLV FO 2	226.16	SI
-1319	Palo51	-	185	484	-70	30	-25481		12686	17397	84722	1	SLV FO 9	228.68	SI
-1319	Palo52	-	365	484	-62	21	-14521		11227	17397	82534	1	SLV FO 13	264.58	SI
-1319	Palo53	-	275	394	-67	40	-28103		13034	17397	85245	1	SLV FO 9	224.73	SI
-1319	Palo54	-	455	394	71	-15	1137		9295	17397	79635	1	SLV FO 4	240.16	SI
-1319	Palo55	-	935	1044	66	82	-19320		11866	17397	83492	1	SLV FO 2	164.7	SI
-1319	Palo56	-	935	854	-3	77	-8422		10415	17397	81316	1	SLV FO 6	227.11	SI
-1319	Palo57	-	935	654	-10	-84	-9323		10535	17397	81496	1	SLV FO 7	205.36	SI
-1319	Palo58	-	935	464	77	-81	-21825		12199	17397	83992	1	SLV FO 4	155.32	SI
-1319	Palo59	-	1330	1044	-39	74	-9389		10544	17397	81509	1	SLV FO 10	206.96	SI
-1319	Palo6	-	-225	2184	116	-20	-6056		10101	17397	80844	1	SLV FO 1	148.36	SI
-1319	Palo60	-	1330	854	-12	68	-7695		10319	17397	81171	1	SLV FO 6	250.86	SI
-1319	Palo61	-	1330	654	-10	-77	-8667		10448	17397	81365	1	SLV FO 7	225.12	SI
-1319	Palo62	-	1330	464	-55	-83	-11592		10837	17397	81949	1	SLV FO 11	174.55	SI
-1319	Palo63	-	1865	1034	-37	2	-8173		10382	17397	81267	1	SLV FO 15	466.25	SI
-1319	Palo64	-	2035	1034	26	2	-4022		9830	17397	80438	1	SLV FO 2	667.16	SI
-1319	Palo65	-	2205	1034	41	-1	-6964		10221	17397	81025	1	SLV FO 4	424.28	SI
-1319	Palo66	-	1775	944	-33	4	-4747		9926	17397	80583	1	SLV FO 15	519.68	SI
-1319	Palo67	-	1955	944	-27	-11	-8882		10477	17397	81408	1	SLV FO 15	601.59	SI
-1319	Palo68	-	2115	944	31	-7	-7890		10345	17397	81210	1	SLV FO 4	542.35	SI
-1319	Palo69	-	2295	944	39	3	-3883		9811	17397	80410	1	SLV FO 4	441.36	SI
-1319	Palo7	-	-650	2014	24	-95	-8877		10476	17397	81407	1	SLV FO 12	177.98	SI
-1319	Palo70	-	1865	854	-27	-3	-3645</								

RELAZIONE GEOTECNICA E SULLE FONDAZIONI

Quota	Filo	Ind.	Xp	Yp	Tx	Ty	N	MultT	Vrd.4.1.23	VRsd.4.1.27	VRcd.4.1.28	Cotg	Comb.	C.S.	Verifica
-1319	Palo80	-	1865	474	-46	-32	-4390		9879	17397	80511	1	SLV FO 15	312.47	SI
-1319	Palo81	-	2035	474	21	-54	655		9295	17397	79635	1	SLV FO 7	301.94	SI
-1319	Palo82	-	2205	474	54	-50	-346		9341	17397	79704	1	SLV FO 8	237.49	SI
-1319	Palo83	-	2740	1044	50	79	-8326		10403	17397	81297	1	SLV FO 6	185.66	SI
-1319	Palo84	-	2740	854	7	75	-7379		10277	17397	81108	1	SLV FO 10	232.23	SI
-1319	Palo85	-	2740	654	2	-83	-8430		10416	17397	81318	1	SLV FO 11	209.54	SI
-1319	Palo86	-	2740	464	34	-87	-11076		10769	17397	81846	1	SLV FO 7	187.49	SI
-1319	Palo87	-	3135	1044	-56	77	-18553		11764	17397	83339	1	SLV FO 14	183.3	SI
-1319	Palo88	-	3135	854	-1	77	-8101		10373	17397	81252	1	SLV FO 10	224.65	SI
-1319	Palo89	-	3135	654	1	-85	-8679		10450	17397	81368	1	SLV FO 11	204.74	SI
-1319	Palo9	-	171.25	1974	2	-91	-5610		10041	17397	80755	1	SLV FO 7	191.57	SI
-1319	Palo90	-	3135	464	-60	-93	-12576		10968	17397	82145	1	SLV FO 11	157.09	SI
-1319	Palo91	-	3705	1114	-52	6	1637		9295	17397	79635	1	SLV FO 14	329.63	SI
-1319	Palo92	-	3885	1114	-40	-49	-24783		12593	17397	84582	1	SLV FO 11	275.51	SI
-1319	Palo93	-	3615	1024	-65	11	322		9295	17397	79635	1	SLV FO 14	265.54	SI
-1319	Palo94	-	3795	1024	-51	-16	-11766		10860	17397	81984	1	SLV FO 15	329.28	SI
-1319	Palo95	-	3705	934	-40	-1	-2336		9605	17397	80101	1	SLV FO 13	433.13	SI
-1319	Palo96	-	3885	934	-47	-15	-10355		10673	17397	81702	1	SLV FO 15	350.56	SI
-1319	Palo97	-	3615	844	-47	7	-4057		9835	17397	80445	1	SLV FO 13	367.76	SI
-1319	Palo98	-	3795	844	-42	-1	-8541		10431	17397	81340	1	SLV FO 15	410.66	SI
-1319	Palo99	-	3705	754	-38	-7	-5781		10064	17397	80789	1	SLV FO 13	451.55	SI
-1790	Palo1	-	-495	2504	0	0	-2526		9662	17476	80503	1	SLU 1	100	SI
-1790	Palo10	-	-78.75	1884	0	0	-1530		9529	17476	80303	1	SLU 1	100	SI
-1790	Palo100	-	3885	754	0	0	-715		9420	17476	80140	1	SLU 1	100	SI
-1790	Palo101	-	3615	664	0	0	-1131		9475	17476	80223	1	SLU 1	100	SI
-1790	Palo102	-	3795	664	0	0	-872		9441	17476	80171	1	SLU 1	100	SI
-1790	Palo103	-	3705	574	0	0	-1007		9459	17476	80198	1	SLU 1	100	SI
-1790	Palo104	-	3885	574	0	0	-709		9419	17476	80139	1	SLU 1	100	SI
-1790	Palo105	-	3615	484	0	0	-1191		9484	17476	80235	1	SLU 1	100	SI
-1790	Palo106	-	3795	484	0	0	-854		9439	17476	80168	1	SLU 1	100	SI
-1790	Palo107	-	3705	394	0	0	-1006		9459	17476	80198	1	SLU 1	100	SI
-1790	Palo108	-	3885	394	0	0	-648		9411	17476	80126	1	SLU 1	100	SI
-1790	Palo11	-	91.25	1884	0	0	-1409		9513	17476	80279	1	SLU 1	100	SI
-1790	Palo12	-	261.25	1884	0	0	-1243		9491	17476	80246	1	SLU 1	100	SI
-1790	Palo13	-	-495	1844	0	0	-1905		9579	17476	80378	1	SLU 1	100	SI
-1790	Palo14	-	-225	1844	0	0	-1383		9509	17476	80274	1	SLU 1	100	SI
-1790	Palo15	-	11.25	1794	0	0	-1471		9521	17476	80291	1	SLU 1	100	SI
-1790	Palo16	-	-78.75	1704	0	0	-1507		9526	17476	80299	1	SLU 1	100	SI
-1790	Palo17	-	51.25	1704	0	0	-1467		9520	17476	80291	1	SLU 1	100	SI
-1790	Palo18	-	266.25	1704	0	0	-1422		9514	17476	80282	1	SLU 1	100	SI
-1790	Palo19	-	-650	1664	0	0	-2958		9720	17476	80590	1	SLU 1	100	SI
-1790	Palo2	-	-225	2504	0	0	-2263		9627	17476	80450	1	SLU 1	100	SI
-1790	Palo20	-	11.25	1634	0	0	-1507		9526	17476	80299	1	SLU 1	100	SI
-1790	Palo21	-	-495	1484	0	0	-2139		9610	17476	80425	1	SLU 1	100	SI
-1790	Palo22	-	-225	1484	0	0	-1617		9540	17476	80321	1	SLU 1	100	SI
-1790	Palo23	-	91.25	1484	0	0	-1627		9542	17476	80323	1	SLU 1	100	SI
-1790	Palo24	-	-650	1299	0	0	-2242		9624	17476	80446	1	SLU 1	100	SI
-1790	Palo25	-	-70	1299	0	0	-1405		9512	17476	80278	1	SLU 1	100	SI
-1790	Palo26	-	261.25	1299	0	0	-1608		9539	17476	80319	1	SLU 1	100	SI
-1790	Palo27	-	275	1114	0	0	-1559		9533	17476	80309	1	SLU 1	100	SI
-1790	Palo28	-	455	1114	0	0	-1377		9508	17476	80272	1	SLU 1	100	SI
-1790	Palo29	-	-650	1074	0	0	-2073		9602	17476	80412	1	SLU 1	100	SI
-1790	Palo3	-	-650	2344	0	0	-2974		9722	17476	80593	1	SLU 1	100	SI
-1790	Palo30	-	-70	1074	0	0	-1425		9515	17476	80282	1	SLU 1	100	SI
-1790	Palo31	-	185	1024	0	0	-1648		9545	17476	80327	1	SLU 1	100	SI
-1790	Palo32	-	365	1024	0	0	-1413		9513	17476	80280	1	SLU 1	100	SI
-1790	Palo33	-	275	934	0	0	-1518		9527	17476	80301	1	SLU 1	100	SI
-1790	Palo34	-	455	934	0	0	-1279		9495	17476	80253	1	SLU 1	100	SI
-1790	Palo35	-	-495	889	0	0	-1588		9537	17476	80315	1	SLU 1	100	SI
-1790	Palo36	-	-225	889	0	0	-1523		9528	17476	80302	1	SLU 1	100	SI
-1790	Palo37	-	185	844	0	0	-1618		9541	17476	80321	1	SLU 1	100	SI
-1790	Palo38	-	365	844	0	0	-1356		9506	17476	80268	1	SLU 1	100	SI
-1790	Palo39	-	-650	740.66	0	0	-2145		9611	17476	80426	1	SLU 1	100	SI
-1790	Palo4	-	-70	2344	0	0	-2302		9632	17476	80458	1	SLU 1	100	SI
-1790	Palo40	-	-70	765	0	0	-2014		9594	17476	80400	1	SLU 1	100	SI
-1790	Palo41	-	275	754	0	0	-1474		9521	17476	80292	1	SLU 1	100	SI
-1790	Palo42	-	456	753.31	0	0	-1215		9487	17476	80240	1	SLU 1	100	SI
-1790	Palo43	-	185	664	0	0	-1565		9534	17476	80310	1	SLU 1	100	SI
-1790	Palo44	-	365	664	0	0	-1312		9500	17476	80260	1	SLU 1	100	SI
-1790	Palo45	-	-650	592.33	0	0	-2225		9622	17476	80443	1	SLU 1	100	SI
-1790	Palo46	-	-70	555	0	0	-1994		9591	17476	80396	1	SLU 1	100	SI
-1790	Palo47	-	275	574	0	0	-1385		9510	17476	80274	1	SLU 1	100	SI
-1790	Palo48	-	455	574	0	0	-1164		9480	17476	80230	1	SLU 1	100	SI
-1790	Palo49	-	-495	464	0	0	-2124		9608	17476	80422	1	SLU 1	100	SI
-1790	Palo5	-	-495	2184	0	0	-1752		9559	17476	80348	1	SLU 1	100	SI
-1790	Palo50	-	-225	464	0	0	-1868		9574	17476	80371	1	SLU 1	100	SI
-1790	Palo51	-	185	484	0	0	-1454		9519	17476	80288	1	SLU 1	100	SI
-1790	Palo52	-	365	484	0	0	-1227		9488	17476	80243	1	SLU 1	100	SI
-1790	Palo53	-	275	394	0	0	-1253		9492	17476	80248	1	SLU 1	100	SI
-1790	Palo54	-	455	394	0	0	-1124		9475	17476	80222	1	SLU 1	100	SI
-1790	Palo55	-	935	1044	0	0	-2555		9666	17476	80509	1	SLU 1	100	SI
-1790	Palo56	-	935	854	0	0	-1471		9521	17476	80291	1	SLU 1	100	SI
-1790	Palo57	-	935	654	0	0	-1530		9529	17476	80303	1	SLU 1	100	SI
-1790	Palo58	-	935	464	0	0	-2725		9689	17476	80543	1	SLU 1	100	SI
-1790	Palo59	-	1330	1044	0	0	-2584		9670	17476	80515	1	SLU 1	100	SI
-1790	Palo6	-	-225	2184	0	0	-1365		9507	17476	80270	1	SLU 1	100	SI
-1790	Palo60	-	1330	854	0	0	-1487		9523	17476	80295	1	SLU 1	100	SI
-1790	Palo61	-	1330	654	0	0	-1548		9531	17476	80307	1	SLU 1	100	SI
-1790	Palo62	-	1330	464	0	0	-2764		9694	17476	80551	1	SLU 1	100	SI
-1790	Palo63	-	1865	1034	0	0	-1606		9539	17476	80319	1	SLU 1	100	SI
-1790	Palo64	-	2035	1034	0	0	-1461		9520	17476	80289	1	SLU 1	100	SI
-1790	Palo65	-	2205	1034	0	0	-1588		9537	17476	80315	1	SLU 1	100	SI
-1790	Palo66	-	1775	944	0	0	-1724		9555	17476	80342	1	SLU 1	100	SI
-1790	Palo67	-	1955	944	0	0	-1503		9525	17476	80298	1	SLU 1	100	SI
-1790	Palo68	-	2115	944	0	0	-1496		9524	1					

RELAZIONE GEOTECNICA E SULLE FONDAZIONI

Quota	Filo	Ind.	Xp	Yp	Tx	Ty	N	MultT	Vrd.4.1.23	VRsd.4.1.27	VRcd.4.1.28	Cotg	Comb.	C.S.	Verifica
-1790	Palo74	-	1865	674	0	0	-1541		9530	17476	80305	1	SLU 1	100	SI
-1790	Palo75	-	2205	674	0	0	-1530		9529	17476	80303	1	SLU 1	100	SI
-1790	Palo76	-	1775	564	0	0	-1737		9557	17476	80345	1	SLU 1	100	SI
-1790	Palo77	-	1955	564	0	0	-1517		9527	17476	80301	1	SLU 1	100	SI
-1790	Palo78	-	2115	564	0	0	-1516		9527	17476	80300	1	SLU 1	100	SI
-1790	Palo79	-	2295	564	0	0	-1731		9556	17476	80344	1	SLU 1	100	SI
-1790	Palo8	-	11.25	1974	0	0	-1476		9522	17476	80292	1	SLU 1	100	SI
-1790	Palo80	-	1865	474	0	0	-1741		9557	17476	80346	1	SLU 1	100	SI
-1790	Palo81	-	2035	474	0	0	-1577		9535	17476	80313	1	SLU 1	100	SI
-1790	Palo82	-	2205	474	0	0	-1746		9558	17476	80347	1	SLU 1	100	SI
-1790	Palo83	-	2740	1044	0	0	-2581		9669	17476	80514	1	SLU 1	100	SI
-1790	Palo84	-	2740	854	0	0	-1485		9523	17476	80294	1	SLU 1	100	SI
-1790	Palo85	-	2740	654	0	0	-1542		9531	17476	80306	1	SLU 1	100	SI
-1790	Palo86	-	2740	464	0	0	-2753		9692	17476	80549	1	SLU 1	100	SI
-1790	Palo87	-	3135	1044	0	0	-2602		9672	17476	80518	1	SLU 1	100	SI
-1790	Palo88	-	3135	854	0	0	-1498		9525	17476	80297	1	SLU 1	100	SI
-1790	Palo89	-	3135	654	0	0	-1561		9533	17476	80309	1	SLU 1	100	SI
-1790	Palo9	-	171.25	1974	0	0	-1256		9492	17476	80248	1	SLU 1	100	SI
-1790	Palo90	-	3135	464	0	0	-2792		9698	17476	80556	1	SLU 1	100	SI
-1790	Palo91	-	3705	1114	0	0	-943		9450	17476	80185	1	SLU 1	100	SI
-1790	Palo92	-	3885	1114	0	0	-602		9405	17476	80117	1	SLU 1	100	SI
-1790	Palo93	-	3615	1024	0	0	-1134		9476	17476	80224	1	SLU 1	100	SI
-1790	Palo94	-	3795	1024	0	0	-811		9433	17476	80159	1	SLU 1	100	SI
-1790	Palo95	-	3705	934	0	0	-972		9454	17476	80191	1	SLU 1	100	SI
-1790	Palo96	-	3885	934	0	0	-684		9416	17476	80134	1	SLU 1	100	SI
-1790	Palo97	-	3615	844	0	0	-1110		9473	17476	80219	1	SLU 1	100	SI
-1790	Palo98	-	3795	844	0	0	-856		9439	17476	80168	1	SLU 1	100	SI
-1790	Palo99	-	3705	754	0	0	-987		9456	17476	80194	1	SLU 1	100	SI
-1790	Palo1	-	-495	2504	0	0	-3133		9743	17476	80625	1	SLD 1	100	SI
-1790	Palo10	-	-78.75	1884	0	0	-2276		9629	17476	80453	1	SLD 1	100	SI
-1790	Palo100	-	3885	754	0	0	-525		9395	17476	80102	1	SLD 1	100	SI
-1790	Palo101	-	3615	664	0	0	-1469		9521	17476	80291	1	SLD 1	100	SI
-1790	Palo102	-	3795	664	0	0	-917		9447	17476	80180	1	SLD 1	100	SI
-1790	Palo103	-	3705	574	0	0	-1291		9497	17476	80255	1	SLD 1	100	SI
-1790	Palo104	-	3885	574	0	0	-698		9418	17476	80136	1	SLD 1	100	SI
-1790	Palo105	-	3615	484	0	0	-1731		9556	17476	80344	1	SLD 1	100	SI
-1790	Palo106	-	3795	484	0	0	-1088		9470	17476	80215	1	SLD 1	100	SI
-1790	Palo107	-	3705	394	0	0	-1423		9515	17476	80282	1	SLD 1	100	SI
-1790	Palo108	-	3885	394	0	0	-803		9432	17476	80157	1	SLD 1	100	SI
-1790	Palo11	-	91.25	1884	0	0	-858		9439	17476	80168	1	SLD 1	100	SI
-1790	Palo12	-	261.25	1884	0	0	874		9324	17476	79996	1	SLD 1	100	SI
-1790	Palo13	-	-495	1844	0	0	-3297		9765	17476	80658	1	SLD 1	100	SI
-1790	Palo14	-	-225	1844	0	0	-2809		9700	17476	80560	1	SLD 1	100	SI
-1790	Palo15	-	11.25	1794	0	0	-1703		9552	17476	80338	1	SLD 1	100	SI
-1790	Palo16	-	-78.75	1704	0	0	-2349		9638	17476	80467	1	SLD 1	100	SI
-1790	Palo17	-	51.25	1704	0	0	-1383		9509	17476	80274	1	SLD 1	100	SI
-1790	Palo18	-	266.25	1704	0	0	416		9324	17476	79996	1	SLD 1	100	SI
-1790	Palo19	-	-650	1664	0	0	-4985		9991	17476	80996	1	SLD 1	100	SI
-1790	Palo2	-	-225	2504	0	0	-1447		9518	17476	80287	1	SLD 1	100	SI
-1790	Palo20	-	11.25	1634	0	0	-1775		9562	17476	80352	1	SLD 1	100	SI
-1790	Palo21	-	-495	1484	0	0	-3326		9769	17476	80663	1	SLD 1	100	SI
-1790	Palo22	-	-225	1484	0	0	-2596		9671	17476	80517	1	SLD 1	100	SI
-1790	Palo23	-	91.25	1484	0	0	-1525		9528	17476	80302	1	SLD 1	100	SI
-1790	Palo24	-	-650	1299	0	0	-3527		9796	17476	80704	1	SLD 1	100	SI
-1790	Palo25	-	-70	1299	0	0	-1786		9563	17476	80355	1	SLD 1	100	SI
-1790	Palo26	-	261.25	1299	0	0	-795		9431	17476	80156	1	SLD 1	100	SI
-1790	Palo27	-	275	1114	0	0	-1021		9461	17476	80201	1	SLD 1	100	SI
-1790	Palo28	-	455	1114	0	0	-806		9432	17476	80158	1	SLD 1	100	SI
-1790	Palo29	-	-650	1074	0	0	-2864		9707	17476	80571	1	SLD 1	100	SI
-1790	Palo3	-	-650	2344	0	0	-4424		9916	17476	80884	1	SLD 1	100	SI
-1790	Palo30	-	-70	1074	0	0	-1722		9554	17476	80342	1	SLD 1	100	SI
-1790	Palo31	-	185	1024	0	0	-1320		9501	17476	80261	1	SLD 1	100	SI
-1790	Palo32	-	365	1024	0	0	-938		9450	17476	80185	1	SLD 1	100	SI
-1790	Palo33	-	275	934	0	0	-1232		9489	17476	80243	1	SLD 1	100	SI
-1790	Palo34	-	455	934	0	0	-938		9450	17476	80185	1	SLD 1	100	SI
-1790	Palo35	-	-495	889	0	0	-2097		9605	17476	80417	1	SLD 1	100	SI
-1790	Palo36	-	-225	889	0	0	-1955		9586	17476	80388	1	SLD 1	100	SI
-1790	Palo37	-	185	844	0	0	-1606		9539	17476	80319	1	SLD 1	100	SI
-1790	Palo38	-	365	844	0	0	-1171		9481	17476	80231	1	SLD 1	100	SI
-1790	Palo39	-	-650	740.66	0	0	-3281		9763	17476	80654	1	SLD 1	100	SI
-1790	Palo4	-	-70	2344	0	0	-1332		9502	17476	80264	1	SLD 1	100	SI
-1790	Palo40	-	-70	765	0	0	-2633		9676	17476	80524	1	SLD 1	100	SI
-1790	Palo41	-	275	754	0	0	-1516		9527	17476	80300	1	SLD 1	100	SI
-1790	Palo42	-	456	753.31	0	0	-1190		9483	17476	80235	1	SLD 1	100	SI
-1790	Palo43	-	185	664	0	0	-1775		9562	17476	80352	1	SLD 1	100	SI
-1790	Palo44	-	365	664	0	0	-1482		9522	17476	80294	1	SLD 1	100	SI
-1790	Palo45	-	-650	592.33	0	0	-3688		9817	17476	80736	1	SLD 1	100	SI
-1790	Palo46	-	-70	555	0	0	-2833		9703	17476	80564	1	SLD 1	100	SI
-1790	Palo47	-	275	574	0	0	-1718		9554	17476	80341	1	SLD 1	100	SI
-1790	Palo48	-	455	574	0	0	-1448		9518	17476	80287	1	SLD 1	100	SI
-1790	Palo49	-	-495	464	0	0	-3416		9781	17476	80681	1	SLD 1	100	SI
-1790	Palo5	-	-495	2184	0	0	-2473		9655	17476	80492	1	SLD 1	100	SI
-1790	Palo50	-	-225	464	0	0	-2813		9700	17476	80560	1	SLD 1	100	SI
-1790	Palo51	-	185	484	0	0	-1883		9576	17476	80374	1	SLD 1	100	SI
-1790	Palo52	-	365	484	0	0	-1682		9549	17476	80334	1	SLD 1	100	SI
-1790	Palo53	-	275	394	0	0	-1796		9564	17476	80356	1	SLD 1	100	SI
-1790	Palo54	-	455	394	0	0	-1654		9545	17476	80328	1	SLD 1	100	SI
-1790	Palo55	-	935	1044	0	0	-3293		9765	17476	80657	1	SLD 1	100	SI
-1790	Palo56	-	935	854	0	0	-1914		9580	17476	80380	1	SLD 1	100	SI
-1790	Palo57	-	935	654	0	0	-2148		9611	17476	80427	1	SLD 1	100	SI
-1790	Palo58	-	935	464	0	0	-4067		9868	17476	80812	1	SLD 1	100	SI
-1790	Palo59	-	1330	1044	0	0	-3097		9738	17476	80617	1	SLD 1	100	SI
-1790	Palo6	-	-225	2184	0	0	-1397		9511	17476	80277	1	SLD 1	100	SI
-1790	Palo60	-	1330	854	0	0	-1815		9567	17476	80360	1	SLD 1	100	SI
-1790	Palo61	-	1330	654	0	0	-2055		9599	17476	80408	1	SLD 1	100	SI
-1790	Palo62	-	1330	464	0	0	-3892		9845	17476	80777	1	SLD 1	10	

RELAZIONE GEOTECNICA E SULLE FONDAZIONI

Quota	Filo	Ind.	Xp	Yp	Tx	Ty	N	MultT	Vrd.4.1.23	VRsd.4.1.27	VRcd.4.1.28	Cotg	Comb.	C.S.	Verifica
-1790	Palo68	-	2115	944	0	0	-1276		9495	17476	80252	1	SLD 1	100	Si
-1790	Palo69	-	2295	944	0	0	-1066		9467	17476	80210	1	SLD 1	100	Si
-1790	Palo7	-	-650	2014	0	0	-4723		9956	17476	80943	1	SLD 1	100	Si
-1790	Palo70	-	1865	854	0	0	-2126		9609	17476	80423	1	SLD 1	100	Si
-1790	Palo71	-	2205	854	0	0	-1272		9494	17476	80251	1	SLD 1	100	Si
-1790	Palo72	-	1775	764	0	0	-2486		9657	17476	80495	1	SLD 1	100	Si
-1790	Palo73	-	2295	764	0	0	-1284		9496	17476	80254	1	SLD 1	100	Si
-1790	Palo74	-	1865	674	0	0	-2219		9621	17476	80441	1	SLD 1	100	Si
-1790	Palo75	-	2205	674	0	0	-1543		9531	17476	80306	1	SLD 1	100	Si
-1790	Palo76	-	1775	564	0	0	-2699		9685	17476	80538	1	SLD 1	100	Si
-1790	Palo77	-	1955	564	0	0	-2095		9604	17476	80417	1	SLD 1	100	Si
-1790	Palo78	-	2115	564	0	0	-1836		9570	17476	80365	1	SLD 1	100	Si
-1790	Palo79	-	2295	564	0	0	-1865		9574	17476	80370	1	SLD 1	100	Si
-1790	Palo8	-	11.25	1974	0	0	-1463		9520	17476	80290	1	SLD 1	100	Si
-1790	Palo80	-	1865	474	0	0	-2606		9673	17476	80519	1	SLD 1	100	Si
-1790	Palo81	-	2035	474	0	0	-2166		9614	17476	80431	1	SLD 1	100	Si
-1790	Palo82	-	2205	474	0	0	-2147		9611	17476	80427	1	SLD 1	100	Si
-1790	Palo83	-	2740	1044	0	0	-2821		9701	17476	80562	1	SLD 1	100	Si
-1790	Palo84	-	2740	854	0	0	-1661		9546	17476	80329	1	SLD 1	100	Si
-1790	Palo85	-	2740	654	0	0	-1857		9573	17476	80369	1	SLD 1	100	Si
-1790	Palo86	-	2740	464	0	0	-3479		9789	17476	80694	1	SLD 1	100	Si
-1790	Palo87	-	3135	1044	0	0	-2751		9692	17476	80548	1	SLD 1	100	Si
-1790	Palo88	-	3135	854	0	0	-1621		9541	17476	80321	1	SLD 1	100	Si
-1790	Palo89	-	3135	654	0	0	-1804		9566	17476	80358	1	SLD 1	100	Si
-1790	Palo9	-	171.25	1974	0	0	86		9324	17476	79996	1	SLD 1	100	Si
-1790	Palo90	-	3135	464	0	0	-3370		9775	17476	80672	1	SLD 1	100	Si
-1790	Palo91	-	3705	1114	0	0	-570		9400	17476	80111	1	SLD 1	100	Si
-1790	Palo92	-	3885	1114	0	0	-61		9332	17476	80009	1	SLD 1	100	Si
-1790	Palo93	-	3615	1024	0	0	-1073		9468	17476	80212	1	SLD 1	100	Si
-1790	Palo94	-	3795	1024	0	0	-448		9384	17476	80086	1	SLD 1	100	Si
-1790	Palo95	-	3705	934	0	0	-913		9446	17476	80180	1	SLD 1	100	Si
-1790	Palo96	-	3885	934	0	0	-287		9363	17476	80054	1	SLD 1	100	Si
-1790	Palo97	-	3615	844	0	0	-1241		9490	17476	80245	1	SLD 1	100	Si
-1790	Palo98	-	3795	844	0	0	-686		9416	17476	80134	1	SLD 1	100	Si
-1790	Palo99	-	3705	754	0	0	-1072		9468	17476	80211	1	SLD 1	100	Si
-1790	Palo1	-	-495	2504	0	0	-3365		9774	17476	80671	1	SLV FO 1	100	Si
-1790	Palo10	-	-78.75	1884	0	0	-2851		9705	17476	80568	1	SLV FO 1	100	Si
-1790	Palo100	-	3885	754	0	0	-238		9356	17476	80044	1	SLV FO 1	100	Si
-1790	Palo101	-	3615	664	0	0	-1657		9546	17476	80329	1	SLV FO 1	100	Si
-1790	Palo102	-	3795	664	0	0	-840		9437	17476	80165	1	SLV FO 1	100	Si
-1790	Palo103	-	3705	574	0	0	-1435		9516	17476	80284	1	SLV FO 1	100	Si
-1790	Palo104	-	3885	574	0	0	-582		9402	17476	80113	1	SLV FO 1	100	Si
-1790	Palo105	-	3615	484	0	0	-2087		9603	17476	80415	1	SLV FO 1	100	Si
-1790	Palo106	-	3795	484	0	0	-1194		9484	17476	80236	1	SLV FO 1	100	Si
-1790	Palo107	-	3705	394	0	0	-1685		9550	17476	80334	1	SLV FO 1	100	Si
-1790	Palo108	-	3885	394	0	0	-860		9439	17476	80169	1	SLV FO 1	100	Si
-1790	Palo11	-	91.25	1884	0	0	-6		9325	17476	79998	1	SLV FO 1	100	Si
-1790	Palo12	-	261.25	1884	0	0	3442		9324	17476	79996	1	SLV FO 1	100	Si
-1790	Palo13	-	-495	1844	0	0	-4403		9913	17476	80879	1	SLV FO 1	100	Si
-1790	Palo14	-	-225	1844	0	0	-4157		9880	17476	80830	1	SLV FO 1	100	Si
-1790	Palo15	-	11.25	1794	0	0	-1706		9552	17476	80338	1	SLV FO 1	100	Si
-1790	Palo16	-	-78.75	1704	0	0	-3000		9725	17476	80598	1	SLV FO 1	100	Si
-1790	Palo17	-	51.25	1704	0	0	-1024		9461	17476	80202	1	SLV FO 1	100	Si
-1790	Palo18	-	266.25	1704	0	0	2713		9324	17476	79996	1	SLV FO 1	100	Si
-1790	Palo19	-	-650	1664	0	0	-6475		10190	17476	81295	1	SLV FO 1	100	Si
-1790	Palo2	-	-225	2504	0	0	-166		9347	17476	80030	1	SLV FO 1	100	Si
-1790	Palo20	-	11.25	1634	0	0	-1780		9562	17476	80353	1	SLV FO 1	100	Si
-1790	Palo21	-	-495	1484	0	0	-4105		9873	17476	80819	1	SLV FO 1	100	Si
-1790	Palo22	-	-225	1484	0	0	-3290		9764	17476	80656	1	SLV FO 1	100	Si
-1790	Palo23	-	91.25	1484	0	0	-1080		9469	17476	80213	1	SLV FO 1	100	Si
-1790	Palo24	-	-650	1299	0	0	-4394		9912	17476	80877	1	SLV FO 1	100	Si
-1790	Palo25	-	-70	1299	0	0	-1879		9576	17476	80373	1	SLV FO 1	100	Si
-1790	Palo26	-	261.25	1299	0	0	350		9324	17476	79996	1	SLV FO 1	100	Si
-1790	Palo27	-	275	1114	0	0	-206		9352	17476	80038	1	SLV FO 1	100	Si
-1790	Palo28	-	455	1114	0	0	2		9324	17476	79996	1	SLV FO 1	100	Si
-1790	Palo29	-	-650	1074	0	0	-3162		9747	17476	80631	1	SLV FO 1	100	Si
-1790	Palo3	-	-650	2344	0	0	-5406		10047	17476	81081	1	SLV FO 1	100	Si
-1790	Palo30	-	-70	1074	0	0	-1731		9556	17476	80344	1	SLV FO 1	100	Si
-1790	Palo31	-	185	1024	0	0	-703		9418	17476	80137	1	SLV FO 1	100	Si
-1790	Palo32	-	365	1024	0	0	-230		9355	17476	80043	1	SLV FO 1	100	Si
-1790	Palo33	-	275	934	0	0	-694		9417	17476	80136	1	SLV FO 1	100	Si
-1790	Palo34	-	455	934	0	0	-398		9378	17476	80076	1	SLV FO 1	100	Si
-1790	Palo35	-	-495	889	0	0	-2229		9622	17476	80443	1	SLV FO 1	100	Si
-1790	Palo36	-	-225	889	0	0	-2078		9602	17476	80413	1	SLV FO 1	100	Si
-1790	Palo37	-	185	844	0	0	-1330		9502	17476	80263	1	SLV FO 1	100	Si
-1790	Palo38	-	365	844	0	0	-776		9428	17476	80152	1	SLV FO 1	100	Si
-1790	Palo39	-	-650	740.66	0	0	-3952		9853	17476	80789	1	SLV FO 1	100	Si
-1790	Palo4	-	-70	2344	0	0	154		9324	17476	79996	1	SLV FO 1	100	Si
-1790	Palo40	-	-70	765	0	0	-2901		9712	17476	80578	1	SLV FO 1	100	Si
-1790	Palo41	-	275	754	0	0	-1339		9503	17476	80265	1	SLV FO 1	100	Si
-1790	Palo42	-	456	753.31	0	0	-996		9457	17476	80196	1	SLV FO 1	100	Si
-1790	Palo43	-	185	664	0	0	-1753		9559	17476	80348	1	SLV FO 1	100	Si
-1790	Palo44	-	365	664	0	0	-1471		9521	17476	80291	1	SLV FO 1	100	Si
-1790	Palo45	-	-650	592.33	0	0	-4793		9965	17476	80958	1	SLV FO 1	100	Si
-1790	Palo46	-	-70	555	0	0	-3412		9780	17476	80681	1	SLV FO 1	100	Si
-1790	Palo47	-	275	574	0	0	-1864		9574	17476	80370	1	SLV FO 1	100	Si
-1790	Palo48	-	455	574	0	0	-1573		9535	17476	80312	1	SLV FO 1	100	Si
-1790	Palo49	-	-495	464	0	0	-4445		9919	17476	80888	1	SLV FO 1	100	Si
-1790	Palo5	-	-495	2184	0	0	-2904		9713	17476	80579	1	SLV FO 1	100	Si
-1790	Palo50	-	-225	464	0	0	-3554		9799	17476	80709	1	SLV FO 1	100	Si
-1790	Palo51	-	185	484	0	0	-2115		9607	17476	80420	1	SLV FO 1	100	Si
-1790	Palo52	-	365	484	0	0	-1981		9589	17476	80394	1	SLV FO 1	100	Si
-1790	Palo53	-	275	394	0	0	-2185		9616	17476	80435	1	SLV FO 1	100	Si
-1790	Palo54	-	455	394	0	0	-2034		9596	17476	80404	1	SLV FO 1	100	Si
-1790	Palo55	-	935	1044	0	0	-3489		9791	17476	80696	1	SLV FO 1	100	Si
-1790	Palo56	-	935	854	0	0	-2067								

RELAZIONE GEOTECNICA E SULLE FONDAZIONI

Quota	Filo	Ind.	Xp	Yp	Tx	Ty	N	MultT	Vrd,4.1.23	VRsd,4.1.27	VRcd,4.1.28	Cotg	Comb.	C.S.	Verifica
-1790	Palo61	-	1330	654	0	0	-2219		9621	17476	80441	1	SLV FO 1	100	Si
-1790	Palo62	-	1330	464	0	0	-4321		9902	17476	80863	1	SLV FO 1	100	Si
-1790	Palo63	-	1865	1034	0	0	-2078		9602	17476	80413	1	SLV FO 1	100	Si
-1790	Palo64	-	2035	1034	0	0	-922		9448	17476	80181	1	SLV FO 1	100	Si
-1790	Palo65	-	2205	1034	0	0	-160		9346	17476	80029	1	SLV FO 1	100	Si
-1790	Palo66	-	1775	944	0	0	-2964		9721	17476	80591	1	SLV FO 1	100	Si
-1790	Palo67	-	1955	944	0	0	-1718		9554	17476	80341	1	SLV FO 1	100	Si
-1790	Palo68	-	2115	944	0	0	-820		9434	17476	80161	1	SLV FO 1	100	Si
-1790	Palo69	-	2295	944	0	0	-79		9335	17476	80012	1	SLV FO 1	100	Si
-1790	Palo7	-	-650	2014	0	0	-6050		10133	17476	81210	1	SLV FO 1	100	Si
-1790	Palo70	-	1865	854	0	0	-2515		9661	17476	80501	1	SLV FO 1	100	Si
-1790	Palo71	-	2205	854	0	0	-681		9415	17476	80133	1	SLV FO 1	100	Si
-1790	Palo72	-	1775	764	0	0	-3206		9753	17476	80639	1	SLV FO 1	100	Si
-1790	Palo73	-	2295	764	0	0	-628		9408	17476	80122	1	SLV FO 1	100	Si
-1790	Palo74	-	1865	674	0	0	-2710		9687	17476	80540	1	SLV FO 1	100	Si
-1790	Palo75	-	2205	674	0	0	-1259		9493	17476	80249	1	SLV FO 1	100	Si
-1790	Palo76	-	1775	564	0	0	-3419		9781	17476	80682	1	SLV FO 1	100	Si
-1790	Palo77	-	1955	564	0	0	-2442		9651	17476	80486	1	SLV FO 1	100	Si
-1790	Palo78	-	2115	564	0	0	-1882		9576	17476	80374	1	SLV FO 1	100	Si
-1790	Palo79	-	2295	564	0	0	-1619		9541	17476	80321	1	SLV FO 1	100	Si
-1790	Palo8	-	11.25	1974	0	0	-1208		9486	17476	80239	1	SLV FO 1	100	Si
-1790	Palo80	-	1865	474	0	0	-3189		9751	17476	80636	1	SLV FO 1	100	Si
-1790	Palo81	-	2035	474	0	0	-2481		9656	17476	80494	1	SLV FO 1	100	Si
-1790	Palo82	-	2205	474	0	0	-2189		9617	17476	80435	1	SLV FO 1	100	Si
-1790	Palo83	-	2740	1044	0	0	-2467		9654	17476	80491	1	SLV FO 1	100	Si
-1790	Palo84	-	2740	854	0	0	-1521		9528	17476	80301	1	SLV FO 1	100	Si
-1790	Palo85	-	2740	654	0	0	-1808		9566	17476	80359	1	SLV FO 1	100	Si
-1790	Palo86	-	2740	464	0	0	-3463		9787	17476	80691	1	SLV FO 1	100	Si
-1790	Palo87	-	3135	1044	0	0	-2243		9624	17476	80446	1	SLV FO 1	100	Si
-1790	Palo88	-	3135	854	0	0	-1392		9510	17476	80276	1	SLV FO 1	100	Si
-1790	Palo89	-	3135	654	0	0	-1638		9543	17476	80325	1	SLV FO 1	100	Si
-1790	Palo9	-	171.25	1974	0	0	1785		9324	17476	79996	1	SLV FO 1	100	Si
-1790	Palo90	-	3135	464	0	0	-3112		9740	17476	80620	1	SLV FO 1	100	Si
-1790	Palo91	-	3705	1114	0	0	-105		9338	17476	80018	1	SLV FO 1	100	Si
-1790	Palo92	-	3885	1114	0	0	528		9324	17476	79996	1	SLV FO 1	100	Si
-1790	Palo93	-	3615	1024	0	0	-886		9443	17476	80174	1	SLV FO 1	100	Si
-1790	Palo94	-	3795	1024	0	0	-4		9325	17476	79997	1	SLV FO 1	100	Si
-1790	Palo95	-	3705	934	0	0	-756		9425	17476	80148	1	SLV FO 1	100	Si
-1790	Palo96	-	3885	934	0	0	189		9324	17476	79996	1	SLV FO 1	100	Si
-1790	Palo97	-	3615	844	0	0	-1243		9490	17476	80246	1	SLV FO 1	100	Si
-1790	Palo98	-	3795	844	0	0	-411		9379	17476	80079	1	SLV FO 1	100	Si
-1790	Palo99	-	3705	754	0	0	-1033		9462	17476	80204	1	SLV FO 1	100	Si

Verifica di capacità portante per la famiglia SLU

Verifica di capacità portante verticale riferita al palo singolo

Fattore di correlazione ψ scelto in base alla conoscenza del sito = 1.6

Peso del palo = 12723.5 * 1.3

Filo	Ind.	Xp	Yp	yR laterale	yR punta	Pl,d	Pp,d	Def.vol	Comb.	Cnd	N	Ed	Rd	C.S.	Verifica
Palo1	-	-495	2504	1.15	1.35	174630	136205	0.0866	SLU 16	lungo	-84842	-101382	310835	3.07	Si
Palo2	-	-225	2504	1.15	1.35	174630	136205	0.0866	SLU 16	lungo	-70676	-87217	310835	3.56	Si
Palo3	-	-650	2344	1.15	1.35	174630	136205	0.0866	SLU 16	lungo	-107413	-123953	310835	2.51	Si
Palo4	-	-70	2344	1.15	1.35	174630	136205	0.0866	SLU 16	lungo	-72405	-88946	310835	3.49	Si
Palo5	-	-495	2184	1.15	1.35	174630	136205	0.0866	SLU 16	lungo	-61485	-78025	310835	3.98	Si
Palo6	-	-225	2184	1.15	1.35	174630	136205	0.0866	SLU 16	lungo	-42586	-59126	310835	5.26	Si
Palo7	-	-650	2014	1.15	1.35	174630	136205	0.0866	SLU 16	lungo	-109102	-125642	310835	2.47	Si
Palo8	-	11.25	1974	1.15	1.35	174630	136205	0.0866	SLU 16	lungo	-45929	-62470	310835	4.98	Si
Palo9	-	171.25	1974	1.15	1.35	174630	136205	0.0866	SLU 16	lungo	-35254	-51795	310835	6	Si
Palo10	-	-78.75	1884	1.15	1.35	174630	136205	0.0866	SLU 16	lungo	-50042	-66583	310835	4.67	Si
Palo11	-	91.25	1884	1.15	1.35	174630	136205	0.0866	SLU 16	lungo	-42773	-59314	310835	5.24	Si
Palo12	-	261.25	1884	1.15	1.35	174630	136205	0.0866	SLU 16	lungo	-33416	-49957	310835	6.22	Si
Palo13	-	-495	1844	1.15	1.35	174630	136205	0.0866	SLU 16	lungo	-69835	-86375	310835	3.6	Si
Palo14	-	-225	1844	1.15	1.35	174630	136205	0.0866	SLU 16	lungo	-46604	-63145	310835	4.92	Si
Palo15	-	11.25	1794	1.15	1.35	174630	136205	0.0866	SLU 16	lungo	-47195	-63735	310835	4.88	Si
Palo16	-	-78.75	1704	1.15	1.35	174630	136205	0.0866	SLU 16	lungo	-51312	-67853	310835	4.58	Si
Palo17	-	51.25	1704	1.15	1.35	174630	136205	0.0866	SLU 16	lungo	-47130	-63670	310835	4.88	Si
Palo18	-	266.25	1704	1.15	1.35	174630	136205	0.0866	SLU 16	lungo	-40882	-57422	310835	5.41	Si
Palo19	-	-650	1664	1.15	1.35	174630	136205	0.0866	SLU 16	lungo	-113296	-129837	310835	2.39	Si
Palo20	-	11.25	1634	1.15	1.35	174630	136205	0.0866	SLU 16	lungo	-50277	-66817	310835	4.65	Si
Palo21	-	-495	1484	1.15	1.35	174630	136205	0.0866	SLU 16	lungo	-79680	-96220	310835	3.23	Si
Palo22	-	-225	1484	1.15	1.35	174630	136205	0.0866	SLU 16	lungo	-58944	-75484	310835	4.12	Si
Palo23	-	91.25	1484	1.15	1.35	174630	136205	0.0866	SLU 16	lungo	-55087	-71628	310835	4.34	Si
Palo24	-	-650	1299	1.15	1.35	174630	136205	0.0866	SLU 16	lungo	-83817	-100358	310835	3.1	Si
Palo25	-	-70	1299	1.15	1.35	174630	136205	0.0866	SLU 16	lungo	-49784	-66325	310835	4.69	Si
Palo26	-	261.25	1299	1.15	1.35	174630	136205	0.0866	SLU 16	lungo	-49938	-66478	310835	4.68	Si
Palo27	-	275	1114	1.15	1.35	174630	136205	0.0866	SLU 16	lungo	-47976	-64517	310835	4.82	Si
Palo28	-	455	1114	1.15	1.35	174630	136205	0.0866	SLU 16	lungo	-40867	-57407	310835	5.41	Si
Palo29	-	-650	1074	1.15	1.35	174630	136205	0.0866	SLU 16	lungo	-79844	-96385	310835	3.22	Si
Palo30	-	-70	1074	1.15	1.35	174630	136205	0.0866	SLU 16	lungo	-49536	-66077	310835	4.7	Si
Palo31	-	185	1024	1.15	1.35	174630	136205	0.0866	SLU 16	lungo	-51964	-68505	310835	4.54	Si
Palo32	-	365	1024	1.15	1.35	174630	136205	0.0866	SLU 16	lungo	-42257	-58798	310835	5.29	Si
Palo33	-	275	934	1.15	1.35	174630	136205	0.0866	SLU 16	lungo	-46677	-63217	310835	4.92	Si
Palo34	-	455	934	1.15	1.35	174630	136205	0.0866	SLU 16	lungo	-37572	-54112	310835	5.74	Si
Palo35	-	-495	889	1.15	1.35	174630	136205	0.0866	SLU 16	lungo	-59683	-76223	310835	4.08	Si
Palo36	-	-225	889	1.15	1.35	174630	136205	0.0866	SLU 16	lungo	-53970	-70510	310835	4.41	Si
Palo37	-	185	844	1.15	1.35	174630	136205	0.0866	SLU 16	lungo	-51260	-67801	310835	4.58	Si
Palo38	-	365	844	1.15	1.35	174630	136205	0.0866	SLU 16	lungo	-40760	-57300	310835	5.42	Si
Palo39	-	-650	740.66	1.15	1.35	174630	136205	0.0866	SLU 16	lungo	-83196	-99737	310835	3.12	Si
Palo40	-	-70	765	1.15	1.35	174630	136205	0.0866	SLU 16	lungo	-69743	-86283	310835	3.6	Si
Palo41	-	275	754	1.15	1.35	174630	136205	0.0866	SLU 16	lungo	-45447	-61987	310835	5.01	Si
Palo42	-	456	753.31	1.15	1.35	174630	136205	0.0866	SLU 16	lungo	-36076	-52616	310835	5.91	Si
Palo43	-	185	664	1.15	1.35	174630	136205	0.0866	SLU 16	lungo	-49126	-65667	310835	4.73	Si
Palo44	-	365	664	1.15	1.35	174630	136205	0.0866	SLU 16	lungo	-39943	-56484	310835	5.5	Si
Palo45	-	-650	592.33	1.15	1.35	174630	136205	0.0866	SLU 16	lungo	-82600	-99140	310835	3.14	Si
Palo46	-	-70	555	1.15	1.35	174630	136205	0.0866	SLU 16	lungo	-65997	-82538	310835	3.77	Si
Palo47	-	275	574	1.15	1.35	174630	136205	0.0866	SLU 16	lungo	-42752	-59293	310835	5.24	Si
Palo48	-	455	574	1.15	1.35	174630	136205	0.0866	SLU 16	lungo	-35570	-52111	310835	5.96	Si
Palo49	-	-495	464	1.15	1.35	174630	136205	0.0866	SLU 16	lungo	-74056	-90597	310835	3.43	Si
Palo50	-	-225	464	1.15	1.35	174630	136205	0.0866	SLU 16	lungo	-61137	-77677	310835	4	Si
Palo51	-	185	484	1.15	1.35	174630	136205	0.0866	SLU 16	lungo	-45249	-61790	310835	5.03	Si

RELAZIONE GEOTECNICA E SULLE FONDAZIONI

Filo	Ind.	Xp	Yp	yR laterale	yR punta	Pl,d	Pp,d	Def.vol	Comb.	Cnd	N	Ed	Rd	C.S.	Verifica
Palo52	-	365	484	1.15	1.35	174630	136205	0.0866	SLU 16	lungo	-37740	-54280	310835	5.73	SI
Palo53	-	275	394	1.15	1.35	174630	136205	0.0866	SLU 16	lungo	-38455	-54995	310835	5.65	SI
Palo54	-	455	394	1.15	1.35	174630	136205	0.0866	SLU 16	lungo	-35256	-51796	310835	6	SI
Palo55	-	935	1044	1.15	1.35	174630	136205	0.0866	SLU 16	lungo	-91591	-108131	310835	2.87	SI
Palo56	-	935	854	1.15	1.35	174630	136205	0.0866	SLU 16	lungo	-50859	-67400	310835	4.61	SI
Palo57	-	935	654	1.15	1.35	174630	136205	0.0866	SLU 16	lungo	-57045	-73585	310835	4.22	SI
Palo58	-	935	464	1.15	1.35	174630	136205	0.0866	SLU 16	lungo	-110191	-126732	310835	2.45	SI
Palo59	-	1330	1044	1.15	1.35	174630	136205	0.0866	SLU 16	lungo	-91553	-108093	310835	2.88	SI
Palo60	-	1330	854	1.15	1.35	174630	136205	0.0866	SLU 16	lungo	-50778	-67319	310835	4.62	SI
Palo61	-	1330	654	1.15	1.35	174630	136205	0.0866	SLU 16	lungo	-56704	-73245	310835	4.24	SI
Palo62	-	1330	464	1.15	1.35	174630	136205	0.0866	SLU 16	lungo	-109450	-125991	310835	2.47	SI
Palo63	-	1865	1034	1.15	1.35	174630	136205	0.0866	SLU 16	lungo	-49384	-65924	310835	4.72	SI
Palo64	-	2035	1034	1.15	1.35	174630	136205	0.0866	SLU 16	lungo	-43995	-60535	310835	5.13	SI
Palo65	-	2205	1034	1.15	1.35	174630	136205	0.0866	SLU 16	lungo	-48539	-65080	310835	4.78	SI
Palo66	-	1775	944	1.15	1.35	174630	136205	0.0866	SLU 16	lungo	-54711	-71251	310835	4.36	SI
Palo67	-	1955	944	1.15	1.35	174630	136205	0.0866	SLU 16	lungo	-46554	-63094	310835	4.93	SI
Palo68	-	2115	944	1.15	1.35	174630	136205	0.0866	SLU 16	lungo	-46218	-62759	310835	4.95	SI
Palo69	-	2295	944	1.15	1.35	174630	136205	0.0866	SLU 16	lungo	-53568	-70108	310835	4.43	SI
Palo70	-	1865	854	1.15	1.35	174630	136205	0.0866	SLU 16	lungo	-50316	-66856	310835	4.65	SI
Palo71	-	2205	854	1.15	1.35	174630	136205	0.0866	SLU 16	lungo	-49668	-66208	310835	4.69	SI
Palo72	-	1775	764	1.15	1.35	174630	136205	0.0866	SLU 16	lungo	-52901	-69442	310835	4.48	SI
Palo73	-	2295	764	1.15	1.35	174630	136205	0.0866	SLU 16	lungo	-51976	-68517	310835	4.54	SI
Palo74	-	1865	674	1.15	1.35	174630	136205	0.0866	SLU 16	lungo	-50965	-67505	310835	4.6	SI
Palo75	-	2205	674	1.15	1.35	174630	136205	0.0866	SLU 16	lungo	-50465	-67006	310835	4.64	SI
Palo76	-	1775	564	1.15	1.35	174630	136205	0.0866	SLU 16	lungo	-60472	-77012	310835	4.04	SI
Palo77	-	1955	564	1.15	1.35	174630	136205	0.0866	SLU 16	lungo	-51214	-67755	310835	4.59	SI
Palo78	-	2115	564	1.15	1.35	174630	136205	0.0866	SLU 16	lungo	-51130	-67670	310835	4.59	SI
Palo79	-	2295	564	1.15	1.35	174630	136205	0.0866	SLU 16	lungo	-60138	-76678	310835	4.05	SI
Palo80	-	1865	474	1.15	1.35	174630	136205	0.0866	SLU 16	lungo	-61381	-77922	310835	3.99	SI
Palo81	-	2035	474	1.15	1.35	174630	136205	0.0866	SLU 16	lungo	-54469	-71010	310835	4.38	SI
Palo82	-	2205	474	1.15	1.35	174630	136205	0.0866	SLU 16	lungo	-61501	-78041	310835	3.98	SI
Palo83	-	2740	1044	1.15	1.35	174630	136205	0.0866	SLU 16	lungo	-91310	-107851	310835	2.88	SI
Palo84	-	2740	854	1.15	1.35	174630	136205	0.0866	SLU 16	lungo	-50535	-67075	310835	4.63	SI
Palo85	-	2740	654	1.15	1.35	174630	136205	0.0866	SLU 16	lungo	-55820	-72360	310835	4.3	SI
Palo86	-	2740	464	1.15	1.35	174630	136205	0.0866	SLU 16	lungo	-107509	-124049	310835	2.51	SI
Palo87	-	3135	1044	1.15	1.35	174630	136205	0.0866	SLU 16	lungo	-93428	-109969	310835	2.83	SI
Palo88	-	3135	854	1.15	1.35	174630	136205	0.0866	SLU 16	lungo	-51819	-68359	310835	4.55	SI
Palo89	-	3135	654	1.15	1.35	174630	136205	0.0866	SLU 16	lungo	-57702	-74242	310835	4.19	SI
Palo90	-	3135	464	1.15	1.35	174630	136205	0.0866	SLU 16	lungo	-111489	-128030	310835	2.43	SI
Palo91	-	3705	1114	1.15	1.35	174630	136205	0.0866	SLU 16	lungo	-24986	-41526	310835	7.49	SI
Palo92	-	3885	1114	1.15	1.35	174630	136205	0.0866	SLU 14	lungo	-13384	-29924	310835	10.39	SI
Palo93	-	3615	1024	1.15	1.35	174630	136205	0.0866	SLU 16	lungo	-32672	-49213	310835	6.32	SI
Palo94	-	3795	1024	1.15	1.35	174630	136205	0.0866	SLU 16	lungo	-20562	-37103	310835	8.38	SI
Palo95	-	3705	934	1.15	1.35	174630	136205	0.0866	SLU 16	lungo	-27092	-43632	310835	7.12	SI
Palo96	-	3885	934	1.15	1.35	174630	136205	0.0866	SLU 16	lungo	-16350	-32891	310835	9.45	SI
Palo97	-	3615	844	1.15	1.35	174630	136205	0.0866	SLU 16	lungo	-33045	-49585	310835	6.27	SI
Palo98	-	3795	844	1.15	1.35	174630	136205	0.0866	SLU 16	lungo	-23296	-39836	310835	7.8	SI
Palo99	-	3705	754	1.15	1.35	174630	136205	0.0866	SLU 16	lungo	-28912	-45452	310835	6.84	SI
Palo100	-	3885	754	1.15	1.35	174630	136205	0.0866	SLU 16	lungo	-18493	-35034	310835	8.87	SI
Palo101	-	3615	664	1.15	1.35	174630	136205	0.0866	SLU 16	lungo	-35188	-51729	310835	6.01	SI
Palo102	-	3795	664	1.15	1.35	174630	136205	0.0866	SLU 16	lungo	-25030	-41570	310835	7.48	SI
Palo103	-	3705	574	1.15	1.35	174630	136205	0.0866	SLU 16	lungo	-30866	-47406	310835	6.56	SI
Palo104	-	3885	574	1.15	1.35	174630	136205	0.0866	SLU 16	lungo	-19202	-35742	310835	8.7	SI
Palo105	-	3615	484	1.15	1.35	174630	136205	0.0866	SLU 16	lungo	-38736	-55277	310835	5.62	SI
Palo106	-	3795	484	1.15	1.35	174630	136205	0.0866	SLU 16	lungo	-25376	-41917	310835	7.42	SI
Palo107	-	3705	394	1.15	1.35	174630	136205	0.0866	SLU 16	lungo	-31820	-48361	310835	6.43	SI
Palo108	-	3885	394	1.15	1.35	174630	136205	0.0866	SLU 16	lungo	-17795	-34335	310835	9.05	SI

Verifica di capacità portante trasversale riferita al palo singolo

Fattore di correlazione ψ scelto in base alla conoscenza del sito = 1.6

Filo	Ind.	Xp	Yp	yR trasversale	LRF	Comb.	Cnd	Rd	Ed (T)	C.S.	Verifica
Palo1	-	-495	2504	1.3	1	SLU 16	D	20479.4	2568.5	7.97	Si
Palo2	-	-225	2504	1.3	1	SLU 16	D	20237.6	2057.2	9.84	Si
Palo3	-	-650	2344	1.3	1	SLU 9	D	20341	463.9	43.85	Si
Palo4	-	-70	2344	1.3	1	SLU 16	D	20267.2	1328.3	15.26	Si
Palo5	-	-495	2184	1.3	1	SLU 16	D	20035	3164.7	6.33	Si
Palo6	-	-225	2184	1.3	1	SLU 16	D	19597.7	2320.2	8.45	Si
Palo7	-	-650	2014	1.3	1	SLU 16	D	20890.2	431.6	48.4	Si
Palo8	-	11.25	1974	1.3	1	SLU 16	D	19675.4	117	168.1	Si
Palo9	-	171.25	1974	1.3	1	SLU 16	D	19421.7	507.5	38.27	Si
Palo10	-	-78.75	1884	1.3	1	SLU 16	D	19770.8	823.1	24.02	Si
Palo11	-	91.25	1884	1.3	1	SLU 16	D	19602	418.7	46.82	Si
Palo12	-	261.25	1884	1.3	1	SLU 16	D	19373	692.8	27.96	Si
Palo13	-	-495	1844	1.3	1	SLU 16	D	20223.2	2896.4	6.98	Si
Palo14	-	-225	1844	1.3	1	SLU 16	D	19691.1	1103.3	17.85	Si
Palo15	-	11.25	1794	1.3	1	SLU 16	D	19704.8	372.9	52.84	Si
Palo16	-	-78.75	1704	1.3	1	SLU 16	D	19800.2	513.6	38.55	Si
Palo17	-	51.25	1704	1.3	1	SLU 15	D	19676.9	460.8	42.7	Si
Palo18	-	266.25	1704	1.3	1	SLU 16	D	19558	834.1	23.45	Si
Palo19	-	-650	1664	1.3	1	SLU 10	D	20358.6	173.4	117.39	Si
Palo20	-	11.25	1634	1.3	1	SLU 16	D	19776.2	499.2	39.62	Si
Palo21	-	-495	1484	1.3	1	SLU 16	D	20391.5	2350.7	8.67	Si
Palo22	-	-225	1484	1.3	1	SLU 16	D	19976.5	1036.2	19.28	Si
Palo23	-	91.25	1484	1.3	1	SLU 9	D	19548.6	338.7	57.72	Si
Palo24	-	-650	1299	1.3	1	SLU 16	D	20462	2047.6	9.99	Si
Palo25	-	-70	1299	1.3	1	SLU 16	D	19764.8	1269.9	15.56	Si
Palo26	-	261.25	1299	1.3	1	SLU 16	D	19768.4	1054	18.76	Si
Palo27	-	275	1114	1.3	1	SLU 16	D	19722.9	481.8	40.94	Si
Palo28	-	455	1114	1.3	1	SLU 16	D	19557.7	387.2	50.5	Si
Palo29	-	-650	1074	1.3	1	SLU 16	D	20394.3	1473.1	13.84	Si
Palo30	-	-70	1074	1.3	1	SLU 16	D	19759.1	1124.6	17.57	Si
Palo31	-	185	1024	1.3	1	SLU 16	D	19815.3	384.5	51.53	Si
Palo32	-	365	1024	1.3	1	SLU 16	D	19590	456.8	42.89	Si
Palo33	-	275	934	1.3	1	SLU 16	D	19692.8	451.8	43.59	Si
Palo34	-	455	934	1.3	1	SLU 16	D	19480.8	220.9	88.18	Si
Palo35	-	-495	889	1.3	1	SLU 16	D	19993.5	2100.3	9.52	Si
Palo36	-	-225	889	1.3	1	SLU 16	D	19861.7	1855.4	10.7	Si
Palo37	-	185	844	1.3	1	SLU 16	D	19799	643	30.79	Si
Palo38	-	365	844	1.3	1	SLU 16	D	19555.2	521	37.53	Si
Palo39	-	-650	740.66	1.3	1	SLU 16	D	20451.4	1159.7	17.63	Si
Palo40	-	-70	765	1.3	1	SLU 9	D	19790.4	292.4	67.69	Si

RELAZIONE GEOTECNICA E SULLE FONDAZIONI

Filo	Ind.	Xp	Yp	yR trasversale	LRF	Comb.	Cnd	Rd	Ed (T)	C.S.	Verifica
Palo41	-	275	754	1.3	1	SLU 16	D	19664.2	499.5	39.37	SI
Palo42	-	456	753.31	1.3	1	SLU 10	D	19273.4	226.4	85.12	SI
Palo43	-	185	664	1.3	1	SLU 16	D	19749.6	519.4	38.02	SI
Palo44	-	365	664	1.3	1	SLU 14	D	19444.8	274.9	70.73	SI
Palo45	-	-650	592.33	1.3	1	SLU 16	D	20441.2	1661.3	12.3	SI
Palo46	-	-70	555	1.3	1	SLU 16	D	20138.8	615.7	32.71	SI
Palo47	-	275	574	1.3	1	SLU 16	D	19601.6	540.1	36.29	SI
Palo48	-	455	574	1.3	1	SLU 16	D	19430.1	247.9	78.39	SI
Palo49	-	-495	464	1.3	1	SLU 16	D	20295.4	1909.6	10.63	SI
Palo50	-	-225	464	1.3	1	SLU 16	D	20027	926.4	21.62	SI
Palo51	-	185	484	1.3	1	SLU 16	D	19659.6	626.6	31.38	SI
Palo52	-	365	484	1.3	1	SLU 16	D	19484.8	413.9	47.08	SI
Palo53	-	275	394	1.3	1	SLU 16	D	19501.4	589.3	33.09	SI
Palo54	-	455	394	1.3	1	SLU 16	D	19421.8	880.8	22.05	SI
Palo55	-	935	1044	1.3	1	SLU 16	D	20594.1	4221.4	4.88	SI
Palo56	-	935	854	1.3	1	SLU 16	D	19789.7	2059.5	9.61	SI
Palo57	-	935	654	1.3	1	SLU 16	D	19932.7	2854.4	6.98	SI
Palo58	-	935	464	1.3	1	SLU 16	D	20908.6	5041.1	4.15	SI
Palo59	-	1330	1044	1.3	1	SLU 16	D	20593.5	3878.5	5.31	SI
Palo60	-	1330	854	1.3	1	SLU 16	D	19787.9	2112.4	9.37	SI
Palo61	-	1330	654	1.3	1	SLU 16	D	19924.9	2765.4	7.21	SI
Palo62	-	1330	464	1.3	1	SLU 16	D	20896.1	4475	4.67	SI
Palo63	-	1865	1034	1.3	1	SLU 16	D	19755.5	535.4	36.9	SI
Palo64	-	2035	1034	1.3	1	SLU 16	D	19630.5	484.5	40.52	SI
Palo65	-	2205	1034	1.3	1	SLU 16	D	19736	1399	14.11	SI
Palo66	-	1775	944	1.3	1	SLU 16	D	19878.8	499	39.84	SI
Palo67	-	1955	944	1.3	1	SLU 16	D	19689.9	129.7	151.82	SI
Palo68	-	2115	944	1.3	1	SLU 16	D	19682.1	819.7	24.01	SI
Palo69	-	2295	944	1.3	1	SLU 16	D	19852.4	1340.9	14.8	SI
Palo70	-	1865	854	1.3	1	SLU 10	D	19529.8	212.2	92.02	SI
Palo71	-	2205	854	1.3	1	SLU 16	D	19762.1	959.9	20.59	SI
Palo72	-	1775	764	1.3	1	SLU 14	D	19685.9	333.8	58.97	SI
Palo73	-	2295	764	1.3	1	SLU 16	D	19815.6	1067.6	18.56	SI
Palo74	-	1865	674	1.3	1	SLU 10	D	19504.7	162.9	119.72	SI
Palo75	-	2205	674	1.3	1	SLU 16	D	19780.6	879.9	22.48	SI
Palo76	-	1775	564	1.3	1	SLU 16	D	20011.7	1272.7	15.72	SI
Palo77	-	1955	564	1.3	1	SLU 16	D	19798	332.4	59.56	SI
Palo78	-	2115	564	1.3	1	SLU 16	D	19796	995.1	19.89	SI
Palo79	-	2295	564	1.3	1	SLU 16	D	20004	1963.2	10.19	SI
Palo80	-	1865	474	1.3	1	SLU 16	D	20032.6	1372	14.6	SI
Palo81	-	2035	474	1.3	1	SLU 16	D	19873.2	1048.9	18.95	SI
Palo82	-	2205	474	1.3	1	SLU 16	D	20035.4	2178.7	9.2	SI
Palo83	-	2740	1044	1.3	1	SLU 16	D	20589.3	4172.1	4.94	SI
Palo84	-	2740	854	1.3	1	SLU 16	D	19782.2	2241.1	8.83	SI
Palo85	-	2740	654	1.3	1	SLU 16	D	19904.4	2591.6	7.68	SI
Palo86	-	2740	464	1.3	1	SLU 16	D	20863.4	4498.4	4.64	SI
Palo87	-	3135	1044	1.3	1	SLU 16	D	20625.3	4075	5.06	SI
Palo88	-	3135	854	1.3	1	SLU 16	D	19812	2265.6	8.74	SI
Palo89	-	3135	654	1.3	1	SLU 16	D	19947.9	2707.2	7.37	SI
Palo90	-	3135	464	1.3	1	SLU 16	D	20930.5	4514.1	4.64	SI
Palo91	-	3705	1114	1.3	1	SLU 16	D	19148.8	693	27.63	SI
Palo92	-	3885	1114	1.3	1	SLU 16	D	18787.1	600	31.31	SI
Palo93	-	3615	1024	1.3	1	SLU 16	D	19353.3	933.8	20.73	SI
Palo94	-	3795	1024	1.3	1	SLU 16	D	19030.6	603.5	31.54	SI
Palo95	-	3705	934	1.3	1	SLU 16	D	19204.9	354.4	54.19	SI
Palo96	-	3885	934	1.3	1	SLU 16	D	18914	571.9	33.07	SI
Palo97	-	3615	844	1.3	1	SLU 16	D	19363.2	495.6	39.07	SI
Palo98	-	3795	844	1.3	1	SLU 16	D	19103.6	500.6	38.16	SI
Palo99	-	3705	754	1.3	1	SLU 16	D	19253.4	294.6	65.36	SI
Palo100	-	3885	754	1.3	1	SLU 16	D	18975.1	602.4	31.5	SI
Palo101	-	3615	664	1.3	1	SLU 16	D	19420	464.3	41.83	SI
Palo102	-	3795	664	1.3	1	SLU 16	D	19149.9	540.3	35.45	SI
Palo103	-	3705	574	1.3	1	SLU 16	D	19305.3	439.9	43.89	SI
Palo104	-	3885	574	1.3	1	SLU 16	D	18994.1	726.2	26.16	SI
Palo105	-	3615	484	1.3	1	SLU 16	D	19508	1014.4	19.23	SI
Palo106	-	3795	484	1.3	1	SLU 16	D	19159.2	788.9	24.28	SI
Palo107	-	3705	394	1.3	1	SLU 16	D	19330.7	845.5	22.86	SI
Palo108	-	3885	394	1.3	1	SLU 16	D	18956.4	879.5	21.55	SI

Parametri utilizzati nel calcolo

Filo	Ind.	Xp	Yp	Tipo	L.frs.	L.tr.lib.	L.tr.inf.	Coes.	Fi	P.spec	T max	Mecc.coll.	M.plast.sup.	Quota sup.	N sup.	M.plast.inf.	Quota inf.	N inf.
Palo1	-	-495	2504	TI	60	0	1800	0	34	0.0014	42597	PLV	4597298	-40	-85117	4488974	-349	-68792
Palo2	-	-225	2504	TI	60	0	1800	0	34	0.0014	42094	PLV	4505555	-40	-70952	4372282	-347.1	-57316
Palo3	-	-650	2344	TI	60	0	1800	0	34	0.0014	42309	PLV	4544708	-40	-76997	4422083	-347.9	-62213
Palo4	-	-70	2344	TI	60	0	1800	0	34	0.0014	42156	PLV	4516755	-40	-72681	4386528	-347.4	-58717
Palo5	-	-495	2184	TI	60	0	1800	0	34	0.0014	41673	PLV	4417477	-40	-61760	4296534	-345.6	-49866
Palo6	-	-225	2184	TI	60	0	1800	0	34	0.0014	40763	PLV	4225315	-40	-42862	4140767	-342.2	-34546
Palo7	-	-650	2014	TI	60	0	1800	0	34	0.0014	43452	PLV	4754416	-40	-109377	4618854	-352.1	-88446
Palo8	-	11.25	1974	TI	60	0	1800	0	34	0.0014	40925	PLV	4259308	-40	-46205	4168322	-342.8	-37256
Palo9	-	171.25	1974	TI	60	0	1800	0	34	0.0014	40397	PLV	4150767	-40	-35530	4080333	-340.9	-28603
Palo10	-	-78.75	1884	TI	60	0	1800	0	34	0.0014	41123	PLV	4301130	-40	-50318	4202223	-343.6	-40591
Palo11	-	91.25	1884	TI	60	0	1800	0	34	0.0014	40772	PLV	4227217	-40	-43049	4142309	-342.3	-34698
Palo12	-	261.25	1884	TI	60	0	1800	0	34	0.0014	40296	PLV	4132077	-40	-33692	4065177	-340.5	-27112
Palo13	-	-495	1844	TI	60	0	1800	0	34	0.0014	42064	PLV	4500105	-40	-70110	4365350	-347	-56634
Palo14	-	-225	1844	TI	60	0	1800	0	34	0.0014	40957	PLV	4266171	-40	-46880	4173885	-343	-37804
Palo15	-	11.25	1794	TI	60	0	1800	0	34	0.0014	40986	PLV	4272179	-40	-47471	4178755	-343.1	-38283
Palo16	-	-78.75	1704	TI	60	0	1800	0	34	0.0014	41184	PLV	4314044	-40	-51588	4212692	-343.8	-41620
Palo17	-	51.25	1704	TI	60	0	1800	0	34	0.0014	40928	PLV	4259967	-40	-46270	4168856	-342.9	-37309
Palo18	-	266.25	1704	TI	60	0	1800	0	34	0.0014	40681	PLV	4207986	-40	-41157	4126719	-341.9	-33165
Palo19	-	-650	1664	TI	60	0	1800	0	34	0.0014	42346	PLV	4551396	-40	-78030	4430590	-348.1	-63050
Palo20	-	11.25	1634	TI	60	0	1800	0	34	0.0014	41135	PLV	4303516	-40	-50553	4204157	-343.6	-40781
Palo21	-	-495	1484	TI	60	0	1800	0	34	0.0014	42414	PLV	4563867	-40	-79956	4446453	-348.3	-64610
Palo22	-	-225	1484	TI	60	0	1800	0	34	0.0014	41551	PLV	4391642	-40	-59220	4275592	-345.2	-47806
Palo23	-	91.25	1484	TI	60	0	1800	0	34	0.0014	40661	PLV	4203859	-40	-40752	4123374	-341.9	-32836
Palo24	-	-650	1299	TI	60	0	1800	0	34	0.0014	42561	PLV	4590663	-40	-84093	4480535	-348.8	-67962
Palo25	-	-70	1299	TI	60	0	1800	0	34	0.0014	41111	PLV	4298509	-40	-50060	4200098	-343.5	-40382
Palo26	-	261.25	1299	TI	60	0	1800	0	34	0.0014	41118	PLV	4300068	-40	-50213	4201363	-343.6	-40506
Palo27	-	275	1114	TI	60	0	1800	0	34	0.0014	41024	PLV	4280125	-40	-48252	4185196	-343.2	-38916
Palo28	-	455	1114	TI	60	0	1800	0	34	0.0014	40680	PLV	4207834	-40	-41142	4126597	-341.9	-33153
Palo29	-	-650	1074	TI	60	0	1800	0	34	0.0014	42420	PLV	4564932	-40	-80120	4447807	-348.3	-64743

RELAZIONE GEOTECNICA E SULLE FONDAZIONI

Filo	Ind.	Xp	Yp	Tipo	L.fr.s.	L.tr.lib.	L.tr.inf.	Coes.	Fi	P.spec	T max	Mecc.coll.	M.plast.sup.	Quota sup.	N sup.	M.plast.inf.	Quota inf.	N inf.
Palo30	-	-70	1074	TI	60	0	1800	0	34	0.0014	41099	PLV	4295988	-40	-49812	4198055	-343.5	-40181
Palo31	-	185	1024	TI	60	0	1800	0	34	0.0014	41216	PLV	4320675	-40	-52240	4218067	-343.9	-42149
Palo32	-	365	1024	TI	60	0	1800	0	34	0.0014	40747	PLV	4221973	-40	-42533	4138058	-342.2	-34280
Palo33	-	275	934	TI	60	0	1800	0	34	0.0014	40961	PLV	4266908	-40	-46952	4174482	-343	-37862
Palo34	-	455	934	TI	60	0	1800	0	34	0.0014	40520	PLV	4174331	-40	-37847	4099438	-341.3	-30482
Palo35	-	-495	889	TI	60	0	1800	0	34	0.0014	41587	PLV	4399154	-40	-59958	4281681	-345.3	-48405
Palo36	-	-225	889	TI	60	0	1800	0	34	0.0014	41312	PLV	4341066	-40	-54246	4234596	-344.3	-43774
Palo37	-	185	844	TI	60	0	1800	0	34	0.0014	41182	PLV	4313515	-40	-51536	4212263	-343.8	-41578
Palo38	-	365	844	TI	60	0	1800	0	34	0.0014	40675	PLV	4206749	-40	-41036	4125717	-341.9	-33066
Palo39	-	-650	740.66	TI	60	0	1800	0	34	0.0014	42539	PLV	4586641	-40	-83472	4475419	-348.8	-67459
Palo40	-	-70	765	TI	60	0	1800	0	34	0.0014	41164	PLV	4309729	-40	-51164	4209194	-343.7	-41276
Palo41	-	275	754	TI	60	0	1800	0	34	0.0014	40902	PLV	4254405	-40	-45723	4164348	-342.8	-36866
Palo42	-	456	753.31	TI	60	0	1800	0	34	0.0014	40089	PLV	4093924	-40	-29940	4034241	-339.7	-24070
Palo43	-	185	664	TI	60	0	1800	0	34	0.0014	41079	PLV	4291818	-40	-49402	4194675	-343.4	-39848
Palo44	-	365	664	TI	60	0	1800	0	34	0.0014	40445	PLV	4159623	-40	-36401	4087513	-341.1	-29309
Palo45	-	-650	592.33	TI	60	0	1800	0	34	0.0014	42518	PLV	4582777	-40	-82875	4470504	-348.7	-66975
Palo46	-	-70	555	TI	60	0	1800	0	34	0.0014	41889	PLV	4463362	-40	-66273	4333727	-346.4	-53524
Palo47	-	275	574	TI	60	0	1800	0	34	0.0014	40771	PLV	4227008	-40	-43028	4142139	-342.3	-34681
Palo48	-	455	574	TI	60	0	1800	0	34	0.0014	40415	PLV	4153978	-40	-35846	4082937	-340.9	-28859
Palo49	-	-495	464	TI	60	0	1800	0	34	0.0014	42214	PLV	4527446	-40	-74332	4400127	-347.6	-60054
Palo50	-	-225	464	TI	60	0	1800	0	34	0.0014	41656	PLV	4413941	-40	-61413	4293667	-345.5	-49584
Palo51	-	185	484	TI	60	0	1800	0	34	0.0014	40892	PLV	4252397	-40	-45525	4162719	-342.7	-36705
Palo52	-	365	484	TI	60	0	1800	0	34	0.0014	40528	PLV	4176041	-40	-38016	4100824	-341.4	-30618
Palo53	-	275	394	TI	60	0	1800	0	34	0.0014	40563	PLV	4183309	-40	-38730	4106716	-341.5	-31198
Palo54	-	455	394	TI	60	0	1800	0	34	0.0014	40397	PLV	4150784	-40	-35532	4080347	-340.9	-28604
Palo55	-	935	1044	TI	60	0	1800	0	34	0.0014	42836	PLV	4641009	-40	-91867	4526979	-349.8	-74260
Palo56	-	935	854	TI	60	0	1800	0	34	0.0014	41163	PLV	4309440	-40	-51135	4208960	-343.7	-41253
Palo57	-	935	654	TI	60	0	1800	0	34	0.0014	41460	PLV	4372331	-40	-57320	4259938	-344.8	-46267
Palo58	-	935	464	TI	60	0	1800	0	34	0.0014	43490	PLV	4761471	-40	-110467	4624570	-352.2	-89328
Palo59	-	1330	1044	TI	60	0	1800	0	34	0.0014	42834	PLV	4640763	-40	-91829	4526780	-349.8	-74229
Palo60	-	1330	854	TI	60	0	1800	0	34	0.0014	41159	PLV	4308614	-40	-51054	4208290	-343.7	-41187
Palo61	-	1330	654	TI	60	0	1800	0	34	0.0014	41444	PLV	4368871	-40	-56980	4257134	-344.8	-45991
Palo62	-	1330	464	TI	60	0	1800	0	34	0.0014	43464	PLV	4756673	-40	-109726	4620683	-352.1	-88728
Palo63	-	1865	1034	TI	60	0	1800	0	34	0.0014	41092	PLV	4294433	-40	-49659	4196794	-343.5	-40057
Palo64	-	2035	1034	TI	60	0	1800	0	34	0.0014	40831	PLV	4239641	-40	-44271	4152379	-342.5	-35689
Palo65	-	2205	1034	TI	60	0	1800	0	34	0.0014	41051	PLV	4285847	-40	-48815	4189835	-343.3	-39372
Palo66	-	1775	944	TI	60	0	1800	0	34	0.0014	41348	PLV	4348598	-40	-54986	4240701	-344.4	-44375
Palo67	-	1955	944	TI	60	0	1800	0	34	0.0014	40955	PLV	4265659	-40	-46829	4173470	-343	-37763
Palo68	-	2115	944	TI	60	0	1800	0	34	0.0014	40939	PLV	4262250	-40	-46494	4170707	-342.9	-37491
Palo69	-	2295	944	TI	60	0	1800	0	34	0.0014	41293	PLV	4336977	-40	-53843	4231281	-344.2	-43448
Palo70	-	1865	854	TI	60	0	1800	0	34	0.0014	40622	PLV	4195685	-40	-39948	4116748	-341.7	-32184
Palo71	-	2205	854	TI	60	0	1800	0	34	0.0014	41105	PLV	4297325	-40	-49944	4199139	-343.5	-40287
Palo72	-	1775	764	TI	60	0	1800	0	34	0.0014	40947	PLV	4263908	-40	-46657	4172051	-342.9	-37623
Palo73	-	2295	764	TI	60	0	1800	0	34	0.0014	41216	PLV	4320794	-40	-52252	4218163	-343.9	-42158
Palo74	-	1865	674	TI	60	0	1800	0	34	0.0014	40570	PLV	4184723	-40	-38869	4107862	-341.5	-31310
Palo75	-	2205	674	TI	60	0	1800	0	34	0.0014	41144	PLV	4305432	-40	-50741	4205711	-343.7	-40934
Palo76	-	1775	564	TI	60	0	1800	0	34	0.0014	41624	PLV	4407179	-40	-60748	4288186	-345.4	-49045
Palo77	-	1955	564	TI	60	0	1800	0	34	0.0014	41180	PLV	4313047	-40	-51490	4211883	-343.8	-41541
Palo78	-	2115	564	TI	60	0	1800	0	34	0.0014	41176	PLV	4312187	-40	-51405	4211186	-343.8	-41472
Palo79	-	2295	564	TI	60	0	1800	0	34	0.0014	41608	PLV	4403780	-40	-60413	4285431	-345.4	-48774
Palo80	-	1865	474	TI	60	0	1800	0	34	0.0014	41668	PLV	4416424	-40	-61657	4295680	-345.6	-49782
Palo81	-	2035	474	TI	60	0	1800	0	34	0.0014	41336	PLV	4346145	-40	-54745	4238712	-344.4	-44179
Palo82	-	2205	474	TI	60	0	1800	0	34	0.0014	41674	PLV	4417641	-40	-61776	4296666	-345.6	-49879
Palo83	-	2740	1044	TI	60	0	1800	0	34	0.0014	42826	PLV	4639191	-40	-91586	4525506	-349.8	-74032
Palo84	-	2740	854	TI	60	0	1800	0	34	0.0014	41147	PLV	4306138	-40	-50810	4206282	-343.7	-40990
Palo85	-	2740	654	TI	60	0	1800	0	34	0.0014	41401	PLV	4359878	-40	-56096	4249845	-344.6	-45274
Palo86	-	2740	464	TI	60	0	1800	0	34	0.0014	43396	PLV	4744099	-40	-107784	4610496	-351.9	-87155
Palo87	-	3135	1044	TI	60	0	1800	0	34	0.0014	42901	PLV	4652906	-40	-93704	4536618	-350.1	-75748
Palo88	-	3135	854	TI	60	0	1800	0	34	0.0014	41209	PLV	4319194	-40	-52094	4216866	-343.9	-42031
Palo89	-	3135	654	TI	60	0	1800	0	34	0.0014	41492	PLV	4379012	-40	-57977	4265354	-344.9	-46799
Palo90	-	3135	464	TI	60	0	1800	0	34	0.0014	43535	PLV	4769878	-40	-111765	4631381	-352.4	-90380
Palo91	-	3705	1114	TI	60	0	1800	0	34	0.0014	39829	PLV	4046359	-40	-25262	3995671	-338.8	-20277
Palo92	-	3885	1114	TI	60	0	1800	0	34	0.0014	39077	PLV	3901914	-40	-12906	3863183	-335.9	-10255
Palo93	-	3615	1024	TI	60	0	1800	0	34	0.0014	40255	PLV	4124515	-40	-32948	4059046	-340.4	-26509
Palo94	-	3795	1024	TI	60	0	1800	0	34	0.0014	39584	PLV	4001380	-40	-20838	3957199	-337.8	-16690
Palo95	-	3705	934	TI	60	0	1800	0	34	0.0014	39946	PLV	4067772	-40	-27368	4013034	-339.2	-21984
Palo96	-	3885	934	TI	60	0	1800	0	34	0.0014	39341	PLV	3956270	-40	-16626	3907289	-336.9	-13274
Palo97	-	3615	844	TI	60	0	1800	0	34	0.0014	40275	PLV	4128302	-40	-33321	4062117	-340.4	-26811
Palo98	-	3795	844	TI	60	0	1800	0	34	0.0014	39736	PLV	4029172	-40	-23571	3981735	-338.4	-18906
Palo99	-	3705	754	TI	60	0	1800	0	34	0.0014	40047	PLV	4086275	-40	-29187	4028038	-339.6	-23460
Palo100	-	3885	754	TI	60	0	1800	0	34	0.0014	39468	PLV	3980341	-40	-18769	3932683	-337.4	-15012
Palo101	-	3615	664	TI	60	0	1800	0	34	0.0014	40394	PLV	4150096	-40	-35464	4079789	-340.9	-28549
Palo102	-	3795	664	TI	60	0	1800	0	34	0.0014	39832	PLV	4046803	-40	-25305	3996031	-338.8	-20312
Palo103	-	3705	574	TI	60	0	1800	0	34	0.0014	40155	PLV	4106145	-40	-31142			

RELAZIONE GEOTECNICA E SULLE FONDAZIONI

Filo	Ind.	Xp	Yp	yR laterale	yR punta	Pl.d	Pp.d	Def.vol	Comb.	Cnd	N	Ed	Rd	C.S.	Verifica
Palo14	-	-225	1844	1.15	1.35	174630	136205	0.0866	SLD 1	lungo	-55609	-68332	310835	4.55	SI
Palo15	-	11.25	1794	1.15	1.35	174630	136205	0.0866	SLD 7	lungo	-39321	-52045	310835	5.97	SI
Palo16	-	-78.75	1704	1.15	1.35	174630	136205	0.0866	SLD 3	lungo	-50754	-63478	310835	4.9	SI
Palo17	-	51.25	1704	1.15	1.35	174630	136205	0.0866	SLD 11	lungo	-41557	-54281	310835	5.73	SI
Palo18	-	266.25	1704	1.15	1.35	174630	136205	0.0866	SLD 16	lungo	-70290	-83013	310835	3.74	SI
Palo19	-	-650	1664	1.15	1.35	174630	136205	0.0866	SLD 1	lungo	-100625	-113348	310835	2.74	SI
Palo20	-	11.25	1634	1.15	1.35	174630	136205	0.0866	SLD 7	lungo	-43868	-56591	310835	5.49	SI
Palo21	-	-495	1484	1.15	1.35	174630	136205	0.0866	SLD 1	lungo	-66297	-79021	310835	3.93	SI
Palo22	-	-225	1484	1.15	1.35	174630	136205	0.0866	SLD 1	lungo	-51196	-63919	310835	4.86	SI
Palo23	-	91.25	1484	1.15	1.35	174630	136205	0.0866	SLD 11	lungo	-53611	-66335	310835	4.69	SI
Palo24	-	-650	1299	1.15	1.35	174630	136205	0.0866	SLD 1	lungo	-70450	-83174	310835	3.74	SI
Palo25	-	-70	1299	1.15	1.35	174630	136205	0.0866	SLD 7	lungo	-39691	-52414	310835	5.93	SI
Palo26	-	261.25	1299	1.15	1.35	174630	136205	0.0866	SLD 12	lungo	-63580	-76304	310835	4.07	SI
Palo27	-	275	1114	1.15	1.35	174630	136205	0.0866	SLD 12	lungo	-57852	-70576	310835	4.4	SI
Palo28	-	455	1114	1.15	1.35	174630	136205	0.0866	SLD 12	lungo	-54670	-67393	310835	4.61	SI
Palo29	-	-650	1074	1.15	1.35	174630	136205	0.0866	SLD 4	lungo	-62993	-75717	310835	4.11	SI
Palo30	-	-70	1074	1.15	1.35	174630	136205	0.0866	SLD 8	lungo	-39290	-52014	310835	5.98	SI
Palo31	-	185	1024	1.15	1.35	174630	136205	0.0866	SLD 12	lungo	-53203	-65927	310835	4.71	SI
Palo32	-	365	1024	1.15	1.35	174630	136205	0.0866	SLD 12	lungo	-51389	-64112	310835	4.85	SI
Palo33	-	275	934	1.15	1.35	174630	136205	0.0866	SLD 12	lungo	-45788	-58511	310835	5.31	SI
Palo34	-	455	934	1.15	1.35	174630	136205	0.0866	SLD 12	lungo	-41484	-54208	310835	5.73	SI
Palo35	-	-495	889	1.15	1.35	174630	136205	0.0866	SLD 8	lungo	-46287	-59010	310835	5.27	SI
Palo36	-	-225	889	1.15	1.35	174630	136205	0.0866	SLD 8	lungo	-43649	-56372	310835	5.51	SI
Palo37	-	185	844	1.15	1.35	174630	136205	0.0866	SLD 14	lungo	-42009	-54732	310835	5.68	SI
Palo38	-	365	844	1.15	1.35	174630	136205	0.0866	SLD 16	lungo	-35909	-48632	310835	6.39	SI
Palo39	-	-650	740.66	1.15	1.35	174630	136205	0.0866	SLD 2	lungo	-69233	-81957	310835	3.79	SI
Palo40	-	-70	765	1.15	1.35	174630	136205	0.0866	SLD 6	lungo	-55339	-68062	310835	4.57	SI
Palo41	-	275	754	1.15	1.35	174630	136205	0.0866	SLD 9	lungo	-39869	-52592	310835	5.91	SI
Palo42	-	456	753.31	1.15	1.35	174630	136205	0.0866	SLD 13	lungo	-31807	-44531	310835	6.98	SI
Palo43	-	185	664	1.15	1.35	174630	136205	0.0866	SLD 9	lungo	-49832	-62555	310835	4.97	SI
Palo44	-	365	664	1.15	1.35	174630	136205	0.0866	SLD 9	lungo	-42870	-55593	310835	5.59	SI
Palo45	-	-650	592.33	1.15	1.35	174630	136205	0.0866	SLD 2	lungo	-77951	-90674	310835	3.43	SI
Palo46	-	-70	555	1.15	1.35	174630	136205	0.0866	SLD 5	lungo	-62709	-75433	310835	4.12	SI
Palo47	-	275	574	1.15	1.35	174630	136205	0.0866	SLD 9	lungo	-53549	-66272	310835	4.69	SI
Palo48	-	455	574	1.15	1.35	174630	136205	0.0866	SLD 9	lungo	-44987	-57710	310835	5.39	SI
Palo49	-	-495	464	1.15	1.35	174630	136205	0.0866	SLD 2	lungo	-68756	-81480	310835	3.81	SI
Palo50	-	-225	464	1.15	1.35	174630	136205	0.0866	SLD 6	lungo	-60396	-73120	310835	4.25	SI
Palo51	-	185	484	1.15	1.35	174630	136205	0.0866	SLD 9	lungo	-61445	-74169	310835	4.19	SI
Palo52	-	365	484	1.15	1.35	174630	136205	0.0866	SLD 9	lungo	-55890	-68613	310835	4.53	SI
Palo53	-	275	394	1.15	1.35	174630	136205	0.0866	SLD 9	lungo	-63696	-76420	310835	4.07	SI
Palo54	-	455	394	1.15	1.35	174630	136205	0.0866	SLD 9	lungo	-56475	-69198	310835	4.49	SI
Palo55	-	935	1044	1.15	1.35	174630	136205	0.0866	SLD 8	lungo	-75940	-88663	310835	3.51	SI
Palo56	-	935	854	1.15	1.35	174630	136205	0.0866	SLD 4	lungo	-38936	-51660	310835	6.02	SI
Palo57	-	935	654	1.15	1.35	174630	136205	0.0866	SLD 1	lungo	-41916	-54639	310835	5.69	SI
Palo58	-	935	464	1.15	1.35	174630	136205	0.0866	SLD 5	lungo	-83933	-96556	310835	3.22	SI
Palo59	-	1330	1044	1.15	1.35	174630	136205	0.0866	SLD 8	lungo	-76527	-89250	310835	3.48	SI
Palo60	-	1330	854	1.15	1.35	174630	136205	0.0866	SLD 8	lungo	-38612	-51335	310835	6.06	SI
Palo61	-	1330	654	1.15	1.35	174630	136205	0.0866	SLD 6	lungo	-40750	-53474	310835	5.81	SI
Palo62	-	1330	464	1.15	1.35	174630	136205	0.0866	SLD 6	lungo	-83388	-96112	310835	3.23	SI
Palo63	-	1865	1034	1.15	1.35	174630	136205	0.0866	SLD 7	lungo	-60045	-72769	310835	4.27	SI
Palo64	-	2035	1034	1.15	1.35	174630	136205	0.0866	SLD 11	lungo	-53054	-65777	310835	4.73	SI
Palo65	-	2205	1034	1.15	1.35	174630	136205	0.0866	SLD 11	lungo	-59996	-72720	310835	4.27	SI
Palo66	-	1775	944	1.15	1.35	174630	136205	0.0866	SLD 7	lungo	-56202	-68925	310835	4.51	SI
Palo67	-	1955	944	1.15	1.35	174630	136205	0.0866	SLD 7	lungo	-46891	-59614	310835	5.21	SI
Palo68	-	2115	944	1.15	1.35	174630	136205	0.0866	SLD 11	lungo	-47021	-59744	310835	5.2	SI
Palo69	-	2295	944	1.15	1.35	174630	136205	0.0866	SLD 11	lungo	-55931	-68654	310835	4.53	SI
Palo70	-	1865	854	1.15	1.35	174630	136205	0.0866	SLD 3	lungo	-44605	-57328	310835	5.42	SI
Palo71	-	2205	854	1.15	1.35	174630	136205	0.0866	SLD 15	lungo	-45192	-57916	310835	5.37	SI
Palo72	-	1775	764	1.15	1.35	174630	136205	0.0866	SLD 2	lungo	-49153	-61876	310835	5.02	SI
Palo73	-	2295	764	1.15	1.35	174630	136205	0.0866	SLD 13	lungo	-48610	-61333	310835	5.07	SI
Palo74	-	1865	674	1.15	1.35	174630	136205	0.0866	SLD 6	lungo	-45016	-57740	310835	5.38	SI
Palo75	-	2205	674	1.15	1.35	174630	136205	0.0866	SLD 10	lungo	-44479	-57203	310835	5.43	SI
Palo76	-	1775	564	1.15	1.35	174630	136205	0.0866	SLD 6	lungo	-57672	-70396	310835	4.42	SI
Palo77	-	1955	564	1.15	1.35	174630	136205	0.0866	SLD 6	lungo	-49540	-62264	310835	4.99	SI
Palo78	-	2115	564	1.15	1.35	174630	136205	0.0866	SLD 10	lungo	-49294	-62017	310835	5.01	SI
Palo79	-	2295	564	1.15	1.35	174630	136205	0.0866	SLD 10	lungo	-56265	-68989	310835	4.51	SI
Palo80	-	1865	474	1.15	1.35	174630	136205	0.0866	SLD 6	lungo	-61782	-74505	310835	4.17	SI
Palo81	-	2035	474	1.15	1.35	174630	136205	0.0866	SLD 6	lungo	-55347	-68070	310835	4.57	SI
Palo82	-	2205	474	1.15	1.35	174630	136205	0.0866	SLD 10	lungo	-60838	-73562	310835	4.23	SI
Palo83	-	2740	1044	1.15	1.35	174630	136205	0.0866	SLD 11	lungo	-77933	-90657	310835	3.43	SI
Palo84	-	2740	854	1.15	1.35	174630	136205	0.0866	SLD 11	lungo	-38903	-51627	310835	6.02	SI
Palo85	-	2740	654	1.15	1.35	174630	136205	0.0866	SLD 10	lungo	-40414	-53137	310835	5.85	SI
Palo86	-	2740	464	1.15	1.35	174630	136205	0.0866	SLD 10	lungo	-83359	-96083	310835	3.24	SI
Palo87	-	3135	1044	1.15	1.35	174630	136205	0.0866	SLD 11	lungo	-79647	-92371	310835	3.37	SI
Palo88	-	3135	854	1.15	1.35	174630	136205	0.0866	SLD 11	lungo	-39760	-52484	310835	5.92	SI
Palo89	-	3135	654	1.15	1.35	174630	136205	0.0866	SLD 10	lungo	-42670	-55393	310835	5.61	SI
Palo90	-	3135	464	1.15	1.35	174630	136205	0.0866	SLD 10	lungo	-88203	-100927	310835	3.08	SI
Palo91	-	3705	1114	1.15	1.35	174630	136205	0.0866	SLD 11	lungo	-59397	-72121	310835	4.31	SI
Palo92	-	3885	1114	1.15	1.35	174630	136205	0.0866	SLD 11	lungo	-49373	-62096	310835	5.01	SI
Palo93	-	3615	1024	1.15	1.35	174630	136205	0.0866	SLD 7	lungo	-54126	-66849	310835	4.65	SI
Palo94	-	3795	1024	1.15	1.35	174630	136205	0.0866	SLD 11	lungo	-48278	-61002	310835	5.1	SI
Palo95	-	3705	934	1.15	1.35	174630	136205	0.0866	SLD 7	lungo	-42421	-55145	310835	5.64	SI
Palo96	-	3885													

RELAZIONE GEOTECNICA E SULLE FONDAZIONI

Peso del palo = 12723.5 * 1

Filo	Ind.	Xp	Yp	yR laterale	yR punta	Pl,d	Pp,d	Def.vol	Comb.	Cnd	N	Ed	Rd	C.S.	Verifica
Palo1	-	-495	2504	1.15	1.35	174630	136205	0.0866	SLV FO 8	lungo	-102887	-115610	310835	2.69	SI
Palo2	-	-225	2504	1.15	1.35	174630	136205	0.0866	SLV FO 12	lungo	-108454	-121177	310835	2.57	SI
Palo3	-	-650	2344	1.15	1.35	174630	136205	0.0866	SLV FO 3	lungo	-126725	-139448	310835	2.23	SI
Palo4	-	-70	2344	1.15	1.35	174630	136205	0.0866	SLV FO 12	lungo	-111214	-123937	310835	2.51	SI
Palo5	-	-495	2184	1.15	1.35	174630	136205	0.0866	SLV FO 3	lungo	-63070	-75793	310835	4.1	SI
Palo6	-	-225	2184	1.15	1.35	174630	136205	0.0866	SLV FO 12	lungo	-40844	-53568	310835	5.8	SI
Palo7	-	-650	2014	1.15	1.35	174630	136205	0.0866	SLV FO 1	lungo	-122659	-135383	310835	2.3	SI
Palo8	-	11.25	1974	1.15	1.35	174630	136205	0.0866	SLV FO 12	lungo	-44707	-57431	310835	5.41	SI
Palo9	-	171.25	1974	1.15	1.35	174630	136205	0.0866	SLV FO 16	lungo	-91102	-103825	310835	2.99	SI
Palo10	-	-78.75	1884	1.15	1.35	174630	136205	0.0866	SLV FO 3	lungo	-64306	-77029	310835	4.04	SI
Palo11	-	91.25	1884	1.15	1.35	174630	136205	0.0866	SLV FO 16	lungo	-63107	-75831	310835	4.1	SI
Palo12	-	261.25	1884	1.15	1.35	174630	136205	0.0866	SLV FO 16	lungo	-123540	-136264	310835	2.28	SI
Palo13	-	-495	1844	1.15	1.35	174630	136205	0.0866	SLV FO 1	lungo	-88588	-101311	310835	3.07	SI
Palo14	-	-225	1844	1.15	1.35	174630	136205	0.0866	SLV FO 1	lungo	-83491	-96215	310835	3.23	SI
Palo15	-	11.25	1794	1.15	1.35	174630	136205	0.0866	SLV FO 7	lungo	-46276	-58999	310835	5.27	SI
Palo16	-	-78.75	1704	1.15	1.35	174630	136205	0.0866	SLV FO 3	lungo	-69241	-81965	310835	3.79	SI
Palo17	-	51.25	1704	1.15	1.35	174630	136205	0.0866	SLV FO 11	lungo	-51230	-63954	310835	4.86	SI
Palo18	-	266.25	1704	1.15	1.35	174630	136205	0.0866	SLV FO 16	lungo	-117824	-130547	310835	2.38	SI
Palo19	-	-650	1664	1.15	1.35	174630	136205	0.0866	SLV FO 1	lungo	-131458	-144181	310835	2.16	SI
Palo20	-	11.25	1634	1.15	1.35	174630	136205	0.0866	SLV FO 7	lungo	-54022	-66746	310835	4.66	SI
Palo21	-	-495	1484	1.15	1.35	174630	136205	0.0866	SLV FO 1	lungo	-82409	-95133	310835	3.27	SI
Palo22	-	-225	1484	1.15	1.35	174630	136205	0.0866	SLV FO 1	lungo	-65542	-78265	310835	3.97	SI
Palo23	-	91.25	1484	1.15	1.35	174630	136205	0.0866	SLV FO 11	lungo	-71003	-83726	310835	3.71	SI
Palo24	-	-650	1299	1.15	1.35	174630	136205	0.0866	SLV FO 1	lungo	-88391	-101114	310835	3.07	SI
Palo25	-	-70	1299	1.15	1.35	174630	136205	0.0866	SLV FO 7	lungo	-46911	-59634	310835	5.21	SI
Palo26	-	261.25	1299	1.15	1.35	174630	136205	0.0866	SLV FO 12	lungo	-94242	-106965	310835	2.91	SI
Palo27	-	275	1114	1.15	1.35	174630	136205	0.0866	SLV FO 12	lungo	-83513	-96237	310835	3.23	SI
Palo28	-	455	1114	1.15	1.35	174630	136205	0.0866	SLV FO 12	lungo	-81724	-94447	310835	3.29	SI
Palo29	-	-650	1074	1.15	1.35	174630	136205	0.0866	SLV FO 4	lungo	-76314	-89038	310835	3.49	SI
Palo30	-	-70	1074	1.15	1.35	174630	136205	0.0866	SLV FO 8	lungo	-46296	-59019	310835	5.27	SI
Palo31	-	185	1024	1.15	1.35	174630	136205	0.0866	SLV FO 12	lungo	-71310	-84033	310835	3.7	SI
Palo32	-	365	1024	1.15	1.35	174630	136205	0.0866	SLV FO 12	lungo	-74074	-86798	310835	3.58	SI
Palo33	-	275	934	1.15	1.35	174630	136205	0.0866	SLV FO 12	lungo	-59680	-72403	310835	4.29	SI
Palo34	-	455	934	1.15	1.35	174630	136205	0.0866	SLV FO 12	lungo	-57096	-69819	310835	4.45	SI
Palo35	-	-495	889	1.15	1.35	174630	136205	0.0866	SLV FO 8	lungo	-55037	-67761	310835	4.59	SI
Palo36	-	-225	889	1.15	1.35	174630	136205	0.0866	SLV FO 8	lungo	-52559	-65282	310835	4.76	SI
Palo37	-	185	844	1.15	1.35	174630	136205	0.0866	SLV FO 14	lungo	-49429	-62153	310835	5	SI
Palo38	-	365	844	1.15	1.35	174630	136205	0.0866	SLV FO 16	lungo	-44095	-56819	310835	5.47	SI
Palo39	-	-650	740.66	1.15	1.35	174630	136205	0.0866	SLV FO 2	lungo	-87431	-100154	310835	3.1	SI
Palo40	-	-70	765	1.15	1.35	174630	136205	0.0866	SLV FO 6	lungo	-64198	-76922	310835	4.04	SI
Palo41	-	275	754	1.15	1.35	174630	136205	0.0866	SLV FO 9	lungo	-48779	-61502	310835	5.05	SI
Palo42	-	456	753.31	1.15	1.35	174630	136205	0.0866	SLV FO 13	lungo	-39140	-51863	310835	5.99	SI
Palo43	-	185	664	1.15	1.35	174630	136205	0.0866	SLV FO 9	lungo	-66615	-79338	310835	3.92	SI
Palo44	-	365	664	1.15	1.35	174630	136205	0.0866	SLV FO 9	lungo	-58862	-71585	310835	4.34	SI
Palo45	-	-650	592.33	1.15	1.35	174630	136205	0.0866	SLV FO 2	lungo	-105467	-118190	310835	2.63	SI
Palo46	-	-70	555	1.15	1.35	174630	136205	0.0866	SLV FO 5	lungo	-81340	-94063	310835	3.3	SI
Palo47	-	275	574	1.15	1.35	174630	136205	0.0866	SLV FO 9	lungo	-78917	-91541	310835	3.4	SI
Palo48	-	455	574	1.15	1.35	174630	136205	0.0866	SLV FO 9	lungo	-66566	-79290	310835	3.92	SI
Palo49	-	-495	464	1.15	1.35	174630	136205	0.0866	SLV FO 2	lungo	-90721	-103445	310835	3	SI
Palo50	-	-225	464	1.15	1.35	174630	136205	0.0866	SLV FO 6	lungo	-80254	-92977	310835	3.34	SI
Palo51	-	185	484	1.15	1.35	174630	136205	0.0866	SLV FO 9	lungo	-93292	-106015	310835	2.93	SI
Palo52	-	365	484	1.15	1.35	174630	136205	0.0866	SLV FO 9	lungo	-87355	-100078	310835	3.11	SI
Palo53	-	275	394	1.15	1.35	174630	136205	0.0866	SLV FO 9	lungo	-102859	-115582	310835	2.69	SI
Palo54	-	455	394	1.15	1.35	174630	136205	0.0866	SLV FO 9	lungo	-90683	-103406	310835	3.01	SI
Palo55	-	935	1044	1.15	1.35	174630	136205	0.0866	SLV FO 8	lungo	-90278	-103001	310835	3.02	SI
Palo56	-	935	854	1.15	1.35	174630	136205	0.0866	SLV FO 4	lungo	-44077	-56801	310835	5.47	SI
Palo57	-	935	654	1.15	1.35	174630	136205	0.0866	SLV FO 1	lungo	-47602	-60326	310835	5.15	SI
Palo58	-	935	464	1.15	1.35	174630	136205	0.0866	SLV FO 5	lungo	-98671	-111395	310835	2.79	SI
Palo59	-	1330	1044	1.15	1.35	174630	136205	0.0866	SLV FO 8	lungo	-91229	-103953	310835	2.99	SI
Palo60	-	1330	854	1.15	1.35	174630	136205	0.0866	SLV FO 8	lungo	-42977	-55701	310835	5.58	SI
Palo61	-	1330	654	1.15	1.35	174630	136205	0.0866	SLV FO 6	lungo	-44763	-57487	310835	5.41	SI
Palo62	-	1330	464	1.15	1.35	174630	136205	0.0866	SLV FO 6	lungo	-97526	-110249	310835	2.82	SI
Palo63	-	1865	1034	1.15	1.35	174630	136205	0.0866	SLV FO 7	lungo	-86857	-99581	310835	3.12	SI
Palo64	-	2035	1034	1.15	1.35	174630	136205	0.0866	SLV FO 11	lungo	-76104	-88828	310835	3.5	SI
Palo65	-	2205	1034	1.15	1.35	174630	136205	0.0866	SLV FO 11	lungo	-87381	-100104	310835	3.11	SI
Palo66	-	1775	944	1.15	1.35	174630	136205	0.0866	SLV FO 3	lungo	-75979	-88702	310835	3.5	SI
Palo67	-	1955	944	1.15	1.35	174630	136205	0.0866	SLV FO 7	lungo	-62112	-74835	310835	4.15	SI
Palo68	-	2115	944	1.15	1.35	174630	136205	0.0866	SLV FO 11	lungo	-62656	-75379	310835	4.12	SI
Palo69	-	2295	944	1.15	1.35	174630	136205	0.0866	SLV FO 15	lungo	-77135	-98959	310835	3.46	SI
Palo70	-	1865	854	1.15	1.35	174630	136205	0.0866	SLV FO 3	lungo	-55958	-68681	310835	4.53	SI
Palo71	-	2205	854	1.15	1.35	174630	136205	0.0866	SLV FO 15	lungo	-57711	-70435	310835	4.41	SI
Palo72	-	1775	764	1.15	1.35	174630	136205	0.0866	SLV FO 2	lungo	-64342	-77065	310835	4.03	SI
Palo73	-	2295	764	1.15	1.35	174630	136205	0.0866	SLV FO 13	lungo	-63814	-76538	310835	4.06	SI
Palo74	-	1865	674	1.15	1.35	174630	136205	0.0866	SLV FO 6	lungo	-56326	-69049	310835	4.5	SI
Palo75	-	2205	674	1.15	1.35	174630	136205	0.0866	SLV FO 10	lungo	-55523	-68247	310835	4.55	SI
Palo76	-	1775	564	1.15	1.35	174630	136205	0.0866	SLV FO 6	lungo	-76383	-89107	310835	3.49	SI
Palo77	-	1955	564	1.15	1.35	174630	136205	0.0866	SLV FO 6	lungo	-65656	-78379	310835	3.97	SI
Palo78	-	2115	564	1.15	1.35	174630	136205	0.0866	SLV FO 10	lungo	-65177	-77901	310835	3.99	SI
Palo79	-	2295	564	1.15	1.35	174630	136205	0.0866	SLV FO 10	lungo	-73575	-86299	310835	3.6	SI
Palo80	-	1865	474	1.15	1.35	174630	136205	0.0866	SLV FO 6	lungo	-84298	-97021	310835	3.2	SI
Palo81	-	2035	474	1.15	1.35	174630	136205	0.0866	SLV FO 6	lungo	-75535	-88258	310835	3.52	SI
Palo82	-	2205	474												

RELAZIONE GEOTECNICA E SULLE FONDAZIONI

Filo	Ind.	Xp	Yp	yR laterale	yR punta	Pl,d	Pp,d	Def.vol	Comb.	Cnd	N	Ed	Rd	C.S.	Verifica
Palo101	-	3615	664	1.15	1.35	174630	136205	0.0866	SLV FO 6	lungo	-48553	-61276	310835	5.07	Si
Palo102	-	3795	664	1.15	1.35	174630	136205	0.0866	SLV FO 10	lungo	-43170	-55894	310835	5.56	Si
Palo103	-	3705	574	1.15	1.35	174630	136205	0.0866	SLV FO 10	lungo	-68926	-81649	310835	3.81	Si
Palo104	-	3885	574	1.15	1.35	174630	136205	0.0866	SLV FO 10	lungo	-59070	-71794	310835	4.33	Si
Palo105	-	3615	484	1.15	1.35	174630	136205	0.0866	SLV FO 6	lungo	-90388	-103111	310835	3.01	Si
Palo106	-	3795	484	1.15	1.35	174630	136205	0.0866	SLV FO 10	lungo	-84812	-97536	310835	3.19	Si
Palo107	-	3705	394	1.15	1.35	174630	136205	0.0866	SLV FO 10	lungo	-106102	-118826	310835	2.62	Si
Palo108	-	3885	394	1.25	1.35	160659	0	0.0866	SLV FO 7	lungo	67085	54362	160659	2.96	Si

Verifica di capacità portante trasversale riferita al palo singolo

Fattore di correlazione ψ scelto in base alla conoscenza del sito = 1.6

Filo	Ind.	Xp	Yp	yR trasversale	LRF	Comb.	Cnd	Rd	Ed (T)	C.S.	Verifica
Palo1	-	-495	2504	1.3	1	SLV FO 12	D	17892.8	16292.2	1.1	Si
Palo2	-	-225	2504	1.3	1	SLV FO 5	D	14389.3	14250.7	1.01	Si
Palo3	-	-650	2344	1.3	1	SLV FO 5	D	17008.4	12375.5	1.37	Si
Palo4	-	-70	2344	1.3	1	SLV FO 5	D	14375.3	9361.9	1.54	Si
Palo5	-	-495	2184	1.3	1	SLV FO 16	D	15784.7	13507.5	1.17	Si
Palo6	-	-225	2184	1.3	1	SLV FO 1	D	15701.5	13791.7	1.14	Si
Palo7	-	-650	2014	1.3	1	SLV FO 12	D	16075.4	12627.7	1.27	Si
Palo8	-	11.25	1974	1.3	1	SLV FO 5	D	15611.1	10226.6	1.53	Si
Palo9	-	171.25	1974	1.3	1	SLV FO 5	D	13873.2	9698.8	1.43	Si
Palo10	-	-78.75	1884	1.3	1	SLV FO 5	D	16072.8	10644.5	1.51	Si
Palo11	-	91.25	1884	1.3	1	SLV FO 5	D	15124.1	9325.8	1.62	Si
Palo12	-	261.25	1884	1.3	1	SLV FO 5	D	12746.6	9822.4	1.3	Si
Palo13	-	-495	1844	1.3	1	SLV FO 16	D	14969.2	12974.5	1.15	Si
Palo14	-	-225	1844	1.3	1	SLV FO 16	D	13735.3	10096.8	1.36	Si
Palo15	-	11.25	1794	1.3	1	SLV FO 5	D	15803.4	9978.1	1.58	Si
Palo16	-	-78.75	1704	1.3	1	SLV FO 12	D	16212.1	9259.4	1.75	Si
Palo17	-	51.25	1704	1.3	1	SLV FO 7	D	16494.7	9572.1	1.72	Si
Palo18	-	266.25	1704	1.3	1	SLV FO 7	D	15898.9	12472.1	1.27	Si
Palo19	-	-650	1664	1.3	1	SLV FO 12	D	15935.8	12716.5	1.25	Si
Palo20	-	11.25	1634	1.3	1	SLV FO 12	D	16483.4	9175.7	1.8	Si
Palo21	-	-495	1484	1.3	1	SLV FO 14	D	15985.8	8579.9	1.86	Si
Palo22	-	-225	1484	1.3	1	SLV FO 1	D	17189.1	9513.2	1.81	Si
Palo23	-	91.25	1484	1.3	1	SLV FO 10	D	15264.6	5743.1	2.66	Si
Palo24	-	-650	1299	1.3	1	SLV FO 5	D	17528.5	15743.1	1.11	Si
Palo25	-	-70	1299	1.3	1	SLV FO 5	D	15810.5	10105	1.56	Si
Palo26	-	261.25	1299	1.3	1	SLV FO 9	D	14459.3	9370.6	1.54	Si
Palo27	-	275	1114	1.3	1	SLV FO 9	D	14511.6	8496.9	1.71	Si
Palo28	-	455	1114	1.3	1	SLV FO 5	D	13563.2	7409.5	1.83	Si
Palo29	-	-650	1074	1.3	1	SLV FO 12	D	17118.6	14499.4	1.18	Si
Palo30	-	-70	1074	1.3	1	SLV FO 12	D	16460.8	9890	1.66	Si
Palo31	-	185	1024	1.3	1	SLV FO 9	D	15199.7	7593	2	Si
Palo32	-	365	1024	1.3	1	SLV FO 9	D	14528.1	7569.3	1.92	Si
Palo33	-	275	934	1.3	1	SLV FO 9	D	15374.4	6831	2.25	Si
Palo34	-	455	934	1.3	1	SLV FO 10	D	15245.1	7572.3	2.01	Si
Palo35	-	-495	889	1.3	1	SLV FO 16	D	16107.7	7492.8	2.15	Si
Palo36	-	-225	889	1.3	1	SLV FO 4	D	16722.4	7740.1	2.16	Si
Palo37	-	185	844	1.3	1	SLV FO 9	D	16382.9	7208.8	2.27	Si
Palo38	-	365	844	1.3	1	SLV FO 10	D	15790.7	7244.2	2.18	Si
Palo39	-	-650	740.66	1.3	1	SLV FO 5	D	17325	11574.5	1.5	Si
Palo40	-	-70	765	1.3	1	SLV FO 12	D	16274.6	7211.4	2.26	Si
Palo41	-	275	754	1.3	1	SLV FO 7	D	15428.6	6680.3	2.31	Si
Palo42	-	456	753.31	1.3	1	SLV FO 7	D	15406.5	7152.9	2.15	Si
Palo43	-	185	664	1.3	1	SLV FO 8	D	14897	7070.8	2.11	Si
Palo44	-	365	664	1.3	1	SLV FO 8	D	14652.1	6984.5	2.1	Si
Palo45	-	-650	592.33	1.3	1	SLV FO 8	D	16705.8	12043.1	1.39	Si
Palo46	-	-70	555	1.3	1	SLV FO 12	D	15215.8	5957.3	2.55	Si
Palo47	-	275	574	1.3	1	SLV FO 8	D	13801.3	7457.7	1.85	Si
Palo48	-	455	574	1.3	1	SLV FO 8	D	13906.4	7638.5	1.82	Si
Palo49	-	-495	464	1.3	1	SLV FO 13	D	15739.8	7331.1	2.15	Si
Palo50	-	-225	464	1.3	1	SLV FO 2	D	17373	8071.7	2.15	Si
Palo51	-	185	484	1.3	1	SLV FO 8	D	13176.1	8136.9	1.62	Si
Palo52	-	365	484	1.3	1	SLV FO 8	D	12897	8272.2	1.56	Si
Palo53	-	275	394	1.3	1	SLV FO 8	D	12032	8620.4	1.4	Si
Palo54	-	455	394	1.3	1	SLV FO 8	D	12452.9	9078.3	1.37	Si
Palo55	-	935	1044	1.3	1	SLV FO 6	D	16530.2	9549.9	1.73	Si
Palo56	-	935	854	1.3	1	SLV FO 10	D	15848	8105.4	1.96	Si
Palo57	-	935	654	1.3	1	SLV FO 7	D	16134.1	8424.5	1.92	Si
Palo58	-	935	464	1.3	1	SLV FO 8	D	16739.8	10290.5	1.63	Si
Palo59	-	1330	1044	1.3	1	SLV FO 10	D	16142.7	8179.9	1.97	Si
Palo60	-	1330	854	1.3	1	SLV FO 6	D	15919.6	7713.7	2.06	Si
Palo61	-	1330	654	1.3	1	SLV FO 7	D	16047.8	7939.2	2.02	Si
Palo62	-	1330	464	1.3	1	SLV FO 11	D	16430.6	9445.5	1.74	Si
Palo63	-	1865	1034	1.3	1	SLV FO 6	D	14491	5970.1	2.43	Si
Palo64	-	2035	1034	1.3	1	SLV FO 6	D	14081.2	6193.6	2.27	Si
Palo65	-	2205	1034	1.3	1	SLV FO 6	D	13817.1	5999.4	2.3	Si
Palo66	-	1775	944	1.3	1	SLV FO 10	D	14824	5429.6	2.73	Si
Palo67	-	1955	944	1.3	1	SLV FO 6	D	15141.9	6421	2.36	Si
Palo68	-	2115	944	1.3	1	SLV FO 10	D	15161.9	6244.5	2.43	Si
Palo69	-	2295	944	1.3	1	SLV FO 6	D	14739.6	6132.9	2.4	Si
Palo70	-	1865	854	1.3	1	SLV FO 10	D	15557.6	5982.6	2.6	Si
Palo71	-	2205	854	1.3	1	SLV FO 6	D	15516.5	7145.5	2.17	Si
Palo72	-	1775	764	1.3	1	SLV FO 10	D	16120.8	6367.4	2.53	Si
Palo73	-	2295	764	1.3	1	SLV FO 7	D	15706.6	7444.7	2.11	Si
Palo74	-	1865	674	1.3	1	SLV FO 11	D	15333.9	6702.8	2.29	Si
Palo75	-	2205	674	1.3	1	SLV FO 7	D	15342.2	7867.7	1.95	Si
Palo76	-	1775	564	1.3	1	SLV FO 11	D	14989.2	7527.8	1.99	Si
Palo77	-	1955	564	1.3	1	SLV FO 7	D	15079.9	7816	1.93	Si
Palo78	-	2115	564	1.3	1	SLV FO 7	D	14961.7	8255.3	1.81	Si
Palo79	-	2295	564	1.3	1	SLV FO 7	D	15090.5	9008.7	1.68	Si
Palo80	-	1865	474	1.3	1	SLV FO 11	D	14633.9	7581.1	1.93	Si
Palo81	-	2035	474	1.3	1	SLV FO 7	D	14695.7	8234.2	1.78	Si
Palo82	-	2205	474	1.3	1	SLV FO 7	D	14757.3	8918.1	1.65	Si
Palo83	-	2740	1044	1.3	1	SLV FO 6	D	16003	9560.8	1.67	Si
Palo84	-	2740	854	1.3	1	SLV FO 10	D	15877.9	8533.9	1.86	Si
Palo85	-	2740	654	1.3	1	SLV FO 11	D	16016.6	8728.8	1.83	Si
Palo86	-	2740	464	1.3	1	SLV FO 7	D	16363.4	9393.9	1.74	Si
Palo87	-	3135	1044	1.3	1	SLV FO 10	D	16304.2	9533.3	1.71	Si
Palo88	-	3135	854	1.3	1	SLV FO 10	D	15973.3	8740.9	1.83	Si
Palo89	-	3135	654	1.3	1	SLV FO 11	D	16049.5	8902	1.8	Si

RELAZIONE GEOTECNICA E SULLE FONDAZIONI

Filo	Ind.	Xp	Yp	yR trasversale	LRF	Comb.	Cnd	Rd	Ed (T)	C.S.	Verifica
Palo90	-	3135	464	1.3	1	SLV FO 11	D	16556.4	10491.1	1.58	Si
Palo91	-	3705	1114	1.3	1	SLV FO 10	D	11159.7	8350.9	1.34	Si
Palo92	-	3885	1114	1.3	1	SLV FO 6	D	10648.4	8868.4	1.2	Si
Palo93	-	3615	1024	1.3	1	SLV FO 10	D	12663	8061	1.57	Si
Palo94	-	3795	1024	1.3	1	SLV FO 6	D	11861.4	8172.6	1.45	Si
Palo95	-	3705	934	1.3	1	SLV FO 10	D	13351.4	7082.8	1.89	Si
Palo96	-	3885	934	1.3	1	SLV FO 6	D	12900.1	8048.6	1.6	Si
Palo97	-	3615	844	1.3	1	SLV FO 10	D	14850	7264.7	2.04	Si
Palo98	-	3795	844	1.3	1	SLV FO 6	D	14324.3	6951.2	2.06	Si
Palo99	-	3705	754	1.3	1	SLV FO 10	D	15628.1	6675.1	2.34	Si
Palo100	-	3885	754	1.3	1	SLV FO 10	D	15548.4	7741	2.01	Si
Palo101	-	3615	664	1.3	1	SLV FO 11	D	14799.9	7638.8	1.94	Si
Palo102	-	3795	664	1.3	1	SLV FO 7	D	14386.2	6929.7	2.08	Si
Palo103	-	3705	574	1.3	1	SLV FO 7	D	13386.7	7112.2	1.88	Si
Palo104	-	3885	574	1.3	1	SLV FO 7	D	13069	7686.6	1.7	Si
Palo105	-	3615	484	1.3	1	SLV FO 11	D	12717.8	8747.5	1.45	Si
Palo106	-	3795	484	1.3	1	SLV FO 7	D	11994.3	7889.3	1.52	Si
Palo107	-	3705	394	1.3	1	SLV FO 11	D	11322.8	8644.8	1.31	Si
Palo108	-	3885	394	1.3	1	SLV FO 7	D	10885.7	8544	1.27	Si

Parametri utilizzati nel calcolo

Filo	Ind.	Xp	Yp	Tipo	L.frs.	L.tr.lib.	L.tr.inf.	Coes.	Fi	P.spec	T max	Mecc.coll.	M.plast.sup.	Quota sup.	N sup.	M.plast.inf.	Quota inf.	N inf.
Palo1	-	-495	2504	TI	60	0	1800	0	34	0.0014	37217	PLV	3883530	-40	-90196	3708014	-328.8	-72773
Palo2	-	-225	2504	TI	60	0	1800	0	34	0.0014	29930	PLV	2575699	-40	7796	2592573	-300	6704
Palo3	-	-650	2344	TI	60	0	1800	0	34	0.0014	35378	PLV	3546676	-40	-60194	3396059	-321.6	-48451
Palo4	-	-70	2344	TI	60	0	1800	0	34	0.0014	29901	PLV	2571511	-40	8068	2589174	-299.9	6924
Palo5	-	-495	2184	TI	60	0	1800	0	34	0.0014	32832	PLV	3063956	-40	-24886	2991629	-311.3	-19815
Palo6	-	-225	2184	TI	60	0	1800	0	34	0.0014	32659	PLV	3031691	-40	-22624	2965455	-310.5	-17980
Palo7	-	-650	2014	TI	60	0	1800	0	34	0.0014	33437	PLV	3178501	-40	-32917	3084543	-313.7	-26329
Palo8	-	11.25	1974	TI	60	0	1800	0	34	0.0014	32471	PLV	2997273	-40	-20211	2937533	-309.8	-16022
Palo9	-	171.25	1974	TI	60	0	1800	0	34	0.0014	28856	PLV	2423565	-40	17646	2469133	-296.3	14698
Palo10	-	-78.75	1884	TI	60	0	1800	0	34	0.0014	33431	PLV	3177446	-40	-32843	3083687	-313.7	-26269
Palo11	-	91.25	1884	TI	60	0	1800	0	34	0.0014	31458	PLV	2812163	-40	-7518	2784468	-305.5	-5724
Palo12	-	261.25	1884	TI	60	0	1800	0	34	0.0014	26513	PLV	2099857	-40	37385	2209114	-288.3	30723
Palo13	-	-495	1844	TI	60	0	1800	0	34	0.0014	31136	PLV	2752837	-40	-3675	2736326	-304.2	-2606
Palo14	-	-225	1844	TI	60	0	1800	0	34	0.0014	28569	PLV	2382322	-40	20161	2437609	-295.3	16740
Palo15	-	11.25	1794	TI	60	0	1800	0	34	0.0014	32871	PLV	3071309	-40	-25401	2997593	-311.4	-20233
Palo16	-	-78.75	1704	TI	60	0	1800	0	34	0.0014	33721	PLV	3232706	-40	-36717	3128510	-314.9	-29412
Palo17	-	51.25	1704	TI	60	0	1800	0	34	0.0014	34309	PLV	3345496	-40	-44625	3219995	-317.3	-35826
Palo18	-	266.25	1704	TI	60	0	1800	0	34	0.0014	33070	PLV	3108847	-40	-28033	3028043	-312.2	-22368
Palo19	-	-650	1664	TI	60	0	1800	0	34	0.0014	33147	PLV	3123370	-40	-29051	3039824	-312.5	-23194
Palo20	-	11.25	1634	TI	60	0	1800	0	34	0.0014	34286	PLV	3340983	-40	-44308	3216334	-317.2	-35569
Palo21	-	-495	1484	TI	60	0	1800	0	34	0.0014	33250	PLV	3143063	-40	-30432	3055798	-313	-24314
Palo22	-	-225	1484	TI	60	0	1800	0	34	0.0014	35753	PLV	3617992	-40	-65754	3453848	-323.1	-52956
Palo23	-	91.25	1484	TI	60	0	1800	0	34	0.0014	31750	PLV	2866172	-40	-11019	2828340	-306.7	-8565
Palo24	-	-650	1299	TI	60	0	1800	0	34	0.0014	36459	PLV	3752950	-40	-76276	3563316	-325.8	-61491
Palo25	-	-70	1299	TI	60	0	1800	0	34	0.0014	32886	PLV	3074071	-40	-25595	2999834	-311.5	-20390
Palo26	-	261.25	1299	TI	60	0	1800	0	34	0.0014	30075	PLV	2596538	-40	6447	2609485	-300.5	5608
Palo27	-	275	1114	TI	60	0	1800	0	34	0.0014	30184	PLV	2612145	-40	5436	2622151	-300.9	4788
Palo28	-	455	1114	TI	60	0	1800	0	34	0.0014	28211	PLV	2332024	-40	23228	2397605	-294.1	19229
Palo29	-	-650	1074	TI	60	0	1800	0	34	0.0014	35607	PLV	3590090	-40	-63579	3431276	-322.5	-51197
Palo30	-	-70	1074	TI	60	0	1800	0	34	0.0014	34239	PLV	3331935	-40	-43674	3208995	-317	-35055
Palo31	-	185	1024	TI	60	0	1800	0	34	0.0014	31615	PLV	2841195	-40	-9398	2808027	-306.2	-7250
Palo32	-	365	1024	TI	60	0	1800	0	34	0.0014	30218	PLV	2617070	-40	5117	2626148	-301	4529
Palo33	-	275	934	TI	60	0	1800	0	34	0.0014	31979	PLV	2907578	-40	-13922	2864708	-307.7	-10920
Palo34	-	455	934	TI	60	0	1800	0	34	0.0014	31710	PLV	2858709	-40	-10532	2822238	-306.6	-8170
Palo35	-	-495	889	TI	60	0	1800	0	34	0.0014	33504	PLV	3191261	-40	-33811	3094893	-314	-27055
Palo36	-	-225	889	TI	60	0	1800	0	34	0.0014	34783	PLV	3434557	-40	-51452	3298967	-319.2	-41363
Palo37	-	185	844	TI	60	0	1800	0	34	0.0014	34076	PLV	3300767	-40	-41489	3183715	-316.3	-33282
Palo38	-	365	844	TI	60	0	1800	0	34	0.0014	32845	PLV	3066332	-40	-25052	2993556	-311.3	-19950
Palo39	-	-650	740.66	TI	60	0	1800	0	34	0.0014	36036	PLV	3671859	-40	-69954	3497565	-324.2	-56365
Palo40	-	-70	765	TI	60	0	1800	0	34	0.0014	33851	PLV	3257556	-40	-38459	3148666	-315.4	-30825
Palo41	-	275	754	TI	60	0	1800	0	34	0.0014	32091	PLV	2928033	-40	-15356	2881361	-308.2	-12084
Palo42	-	456	753.31	TI	60	0	1800	0	34	0.0014	32046	PLV	2919688	-40	-14771	2874591	-308	-11609
Palo43	-	185	664	TI	60	0	1800	0	34	0.0014	30986	PLV	2728018	-40	-2068	2716186	-303.6	-1302
Palo44	-	365	664	TI	60	0	1800	0	34	0.0014	30476	PLV	2654194	-40	2713	2656276	-301.9	2578
Palo45	-	-650	592.33	TI	60	0	1800	0	34	0.0014	34748	PLV	3428079	-40	-50947	3293126	-319.1	-40953
Palo46	-	-70	555	TI	60	0	1800	0	34	0.0014	31649	PLV	2847405	-40	-9800	2813065	-306.3	-7576
Palo47	-	275	574	TI	60	0	1800	0	34	0.0014	28707	PLV	2402047	-40	18959	2452685	-295.8	15763
Palo48	-	455	574	TI	60	0	1800	0	34	0.0014	28925	PLV	2433289	-40	17019	2476992	-296.6	14189
Palo49	-	-495	464	TI	60	0	1800	0	34	0.0014	32739	PLV	3046362	-40	-23652	2977357	-310.9	-18814
Palo50	-	-225	464	TI	60	0	1800	0	34	0.0014	36136	PLV	3690939	-40	-71441	3513036	-324.6	-57571
Palo51	-	185	484	TI	60	0	1800	0	34	0.0014	27406	PLV	2221082	-40	29993	2307538	-291.3	24721
Palo52	-	365	484	TI	60	0	1800	0	34	0.0014	26826	PLV	2142073	-40	34811	2243391	-289.3	28633
Palo53	-	275	394	TI	60	0	1800	0	34	0.0014	25027	PLV	1900013	-40	49201	2051754	-283	40319
Palo54	-	455	394	TI	60	0	1800	0	34	0.0014	25902	PLV	2017638	-40	42329	2143287	-286.1	34737
Palo55	-	935	1044	TI	60	0	1800	0	34	0.0014	34383	PLV	3359731	-40	-45623	3231540	-317.6	-36635
Palo56	-	935	854	TI	60	0	1800	0	34	0.0014	32964	PLV	3088813	-40	-26629	3011792	-311.8	-21229
Palo57	-	935	654	TI	60	0	1800	0	34	0.0014	33559	PLV	3201737	-40	-34546	3103391	-314.2	-27651
Palo58	-	935	464	TI	60	0	1800	0	34	0.0014	34819	PLV	3441351	-40	-51982	3305094	-319.3	-41792
Palo59	-	1330	1044	TI	60	0	1800	0	34	0.0014	33577	PLV	3205152	-40	-34785	3106160	-314.3	-27845
Palo60	-	1330	854	TI	60	0	1800	0	34	0.0014	33113	PLV	3116974	-40	-28603	3034635	-312.4	-22830
Palo61	-	1330	654	TI	60	0	1800	0	34	0.0014	33379	PLV	3167570	-40	-32150	3075676	-313.5	-25708
Palo62	-	1330	464	TI	60	0	1800	0	34	0.0014	34176	PLV	3319831	-40	-42825	3199178	-316.7	-34366
Palo63	-	1865	1034	TI	60	0	1800	0	34	0.0014	30141	PLV	2606001	-40	5834	2617165	-300.7	5111
Palo64	-	2035	1034	TI	60	0	1800	0	34	0.0014	29289	PLV	2484550	-40	13699	2518597	-297.8	11495
Palo65	-	2205	1034	TI	60	0	1800	0	34	0.0014	28739	PLV	2406756	-40	18671	2456285	-295.9	15530
Palo66	-	1775	944	TI	60	0	1800	0	34	0.0014	30834	PLV	2705932	-40	-638	2698263	-303.1	-141
Palo67	-	1955	944	TI	60	0	1800	0	34	0.0014	31495	PLV	2818969	-40	-7958	2789990	-305.7	-6082
Palo68	-	2115	944	TI	60	0	1800	0	34	0.0014	31537	PLV	2826669	-40	-8457	2796239	-305.8	-6486
Palo69	-	2295	944	TI	60	0	1800	0	34	0.0014	30658	PLV	2680494	-40	1010	2677619	-302.5	1196
Palo70	-	1865	854	TI	60	0	1800	0	34	0.0014	32360	PLV	2976934	-40	-18785	2921033	-309.3	-14865
Palo71	-	2205	854	TI	60	0	1800	0	34	0.0014	32274	PLV	2961323	-40	-17690	2908368	-308.9	-13977
Palo72	-	1775	764	TI	60	0	1800	0	34	0.0014	33531	PLV	3196458	-40	-34176	3099109	-314.1	-27350
Palo73	-	2295	764	TI	60	0	1800	0	34	0.0014	32670	PLV	3033660	-40	-22762	2967053	-310.6	-18092
Palo74	-	1																

RELAZIONE GEOTECNICA E SULLE FONDAZIONI

Filo	Ind.	Xp	Yp	Tipo	L.frs.	L.tr.lib.	L.tr.inf.	Coes.	FI	P.spec	T max	Mecc.coll.	M.plast.sup.	Quota sup.	N sup.	M.plast.inf.	Quota inf.	N inf.
Palo79	-	2295	564	TI	60	0	1800	0	34	0.0014	31388	PLV	2799259	-40	-6682	2773997	-305.2	-5046
Palo80	-	1865	474	TI	60	0	1800	0	34	0.0014	30439	PLV	2648746	-40	3066	2651855	-301.7	2864
Palo81	-	2035	474	TI	60	0	1800	0	34	0.0014	30567	PLV	2667291	-40	1865	2666905	-302.2	1890
Palo82	-	2205	474	TI	60	0	1800	0	34	0.0014	30695	PLV	2685825	-40	664	2681945	-302.6	916
Palo83	-	2740	1044	TI	60	0	1800	0	34	0.0014	33286	PLV	3149863	-40	-30909	3061313	-313.1	-24701
Palo84	-	2740	854	TI	60	0	1800	0	34	0.0014	33026	PLV	3100559	-40	-27452	3021320	-312.1	-21897
Palo85	-	2740	654	TI	60	0	1800	0	34	0.0014	33315	PLV	3155235	-40	-31285	3065671	-313.2	-25006
Palo86	-	2740	464	TI	60	0	1800	0	34	0.0014	34036	PLV	3292954	-40	-40941	3177378	-316.2	-32838
Palo87	-	3135	1044	TI	60	0	1800	0	34	0.0014	33913	PLV	3269342	-40	-39286	3158226	-315.7	-31495
Palo88	-	3135	854	TI	60	0	1800	0	34	0.0014	33224	PLV	3138144	-40	-30087	3051808	-312.9	-24034
Palo89	-	3135	654	TI	60	0	1800	0	34	0.0014	33383	PLV	3168229	-40	-32197	3076211	-313.5	-25745
Palo90	-	3135	464	TI	60	0	1800	0	34	0.0014	34437	PLV	3369939	-40	-46414	3240697	-317.8	-37277
Palo91	-	3705	1114	TI	60	0	1800	0	34	0.0014	23212	PLV	1666417	-40	62762	1863491	-276.6	51335
Palo92	-	3885	1114	TI	60	0	1800	0	34	0.0014	22149	PLV	1532733	-40	70391	1757390	-272.7	57534
Palo93	-	3615	1024	TI	60	0	1800	0	34	0.0014	26339	PLV	2076517	-40	38809	2190163	-287.7	31879
Palo94	-	3795	1024	TI	60	0	1800	0	34	0.0014	24672	PLV	1853629	-40	51911	2014366	-281.7	42520
Palo95	-	3705	934	TI	60	0	1800	0	34	0.0014	27771	PLV	2271124	-40	26942	2348165	-292.6	22244
Palo96	-	3885	934	TI	60	0	1800	0	34	0.0014	26832	PLV	2142954	-40	34757	2244106	-289.4	28589
Palo97	-	3615	844	TI	60	0	1800	0	34	0.0014	30888	PLV	2713780	-40	-1146	2704631	-303.2	-554
Palo98	-	3795	844	TI	60	0	1800	0	34	0.0014	29795	PLV	2556384	-40	9047	2576898	-299.5	7719
Palo99	-	3705	754	TI	60	0	1800	0	34	0.0014	32507	PLV	3003745	-40	-20664	2942784	-309.9	-16390
Palo100	-	3885	754	TI	60	0	1800	0	34	0.0014	32341	PLV	2973435	-40	-18539	2918194	-309.2	-14666
Palo101	-	3615	664	TI	60	0	1800	0	34	0.0014	30784	PLV	2698670	-40	-167	2692369	-302.9	241
Palo102	-	3795	664	TI	60	0	1800	0	34	0.0014	29923	PLV	2574762	-40	7857	2591813	-300	6753
Palo103	-	3705	574	TI	60	0	1800	0	34	0.0014	27844	PLV	2281244	-40	26325	2356381	-292.8	21743
Palo104	-	3885	574	TI	60	0	1800	0	34	0.0014	27184	PLV	2190668	-40	31848	2282845	-290.6	26227
Palo105	-	3615	484	TI	60	0	1800	0	34	0.0014	26453	PLV	2091825	-40	37875	2202592	-288.1	31121
Palo106	-	3795	484	TI	60	0	1800	0	34	0.0014	24948	PLV	1889600	-40	49809	2043583	-282.7	40813
Palo107	-	3705	394	TI	60	0	1800	0	34	0.0014	23551	PLV	1709723	-40	60290	1897859	-277.8	49327
Palo108	-	3885	394	TI	60	0	1800	0	34	0.0014	22642	PLV	1594375	-40	66873	1806315	-274.5	54675

Verifica di capacità portante dei gruppi di pali per la famiglia SLU

Gruppo costituito da 12 pali

Verifica di capacità portante verticale riferita al gruppo di pali:

Palo a filo Palo23, coordinate 91, 1484
Palo a filo Palo17, coordinate 51, 1704
Palo a filo Palo16, coordinate -79, 1704
Palo a filo Palo14, coordinate -225, 1844
Palo a filo Palo15, coordinate 11, 1794
Palo a filo Palo18, coordinate 266, 1704
Palo a filo Palo8, coordinate 11, 1974
Palo a filo Palo9, coordinate 171, 1974
Palo a filo Palo12, coordinate 261, 1884
Palo a filo Palo11, coordinate 91, 1884
Palo a filo Palo10, coordinate -79, 1884
Palo a filo Palo20, coordinate 11, 1634
Fattore di correlazione ψ scelto in base alla conoscenza del sito = 1.6
Coeff. parziale di sicurezza sulla resistenza laterale = 1.15
Coeff. parziale di sicurezza sulla resistenza alla punta = 1.35
Verifica peggiore condotta in combinazione SLU 16 per la condizione a breve termine (BT)
Portanza minima ottenuta valutando il gruppo come somma di pali
Sforzo normale complessivo = -545901
Peso dei pali = 152681
Fattore parziale del peso dei pali = 1.3
Carico totale di progetto (Ed) = -744387
Resistenza totale di progetto (Rd) = 3730019
Coefficiente di sicurezza = $5.01 > 1$ - SODDISFATTA

Parametri del gruppo di pali

Diametro medio = 60
Lunghezza infissa media = 1800
Efficienza considerata per il gruppo = 1
Portanza laterale complessiva dei pali, al netto dell'efficienza = 3855821
Portanza alla punta complessiva dei pali, al netto dell'efficienza = 3530442

Gruppo costituito da 2 pali

Verifica di capacità portante verticale riferita al gruppo di pali:

Palo a filo Palo25, coordinate -70, 1299
Palo a filo Palo30, coordinate -70, 1074
Fattore di correlazione ψ scelto in base alla conoscenza del sito = 1.6
Coeff. parziale di sicurezza sulla resistenza laterale = 1.15
Coeff. parziale di sicurezza sulla resistenza alla punta = 1.35
Verifica peggiore condotta in combinazione SLU 16 per la condizione a breve termine (BT)
Portanza minima ottenuta valutando il gruppo come somma di pali
Sforzo normale complessivo = -99321
Peso dei pali = 25447
Fattore parziale del peso dei pali = 1.3
Carico totale di progetto (Ed) = -132402
Resistenza totale di progetto (Rd) = 621670
Coefficiente di sicurezza = $4.7 > 1$ - SODDISFATTA

Parametri del gruppo di pali

Diametro medio = 60
Lunghezza infissa media = 1800
Efficienza considerata per il gruppo = 1
Portanza laterale complessiva dei pali, al netto dell'efficienza = 642637

Portanza alla punta complessiva dei pali, al netto dell'efficienza = 588407

Gruppo costituito da 4 pali

Verifica di capacità portante verticale riferita al gruppo di pali:

Palo a filo Palo60, coordinate 1330, 854
 Palo a filo Palo61, coordinate 1330, 654
 Palo a filo Palo62, coordinate 1330, 464
 Palo a filo Palo59, coordinate 1330, 1044
 Fattore di correlazione ψ scelto in base alla conoscenza del sito = 1.6
 Coeff. parziale di sicurezza sulla resistenza laterale = 1.15
 Coeff. parziale di sicurezza sulla resistenza alla punta = 1.35
 Verifica peggiore condotta in combinazione SLU 16 per la condizione a breve termine (BT)
 Portanza minima ottenuta valutando il gruppo come somma di pali
 Sforzo normale complessivo = -308486
 Peso del pali = 50894
 Fattore parziale del peso dei pali = 1.3
 Carico totale di progetto (Ed) = -374648
 Resistenza totale di progetto (Rd) = 1243340
 Coefficiente di sicurezza = $3.32 > 1$ - SODDISFATTA

Parametri del gruppo di pali

Diametro medio = 60
 Lunghezza infissa media = 1800
 Efficienza considerata per il gruppo = 1
 Portanza laterale complessiva dei pali, al netto dell'efficienza = 1285274
 Portanza alla punta complessiva dei pali, al netto dell'efficienza = 1176814

Gruppo costituito da 4 pali

Verifica di capacità portante verticale riferita al gruppo di pali:

Palo a filo Palo50, coordinate -225, 464
 Palo a filo Palo46, coordinate -70, 555
 Palo a filo Palo40, coordinate -70, 765
 Palo a filo Palo36, coordinate -225, 889
 Fattore di correlazione ψ scelto in base alla conoscenza del sito = 1.6
 Coeff. parziale di sicurezza sulla resistenza laterale = 1.15
 Coeff. parziale di sicurezza sulla resistenza alla punta = 1.35
 Verifica peggiore condotta in combinazione SLU 16 per la condizione a breve termine (BT)
 Portanza minima ottenuta valutando il gruppo come somma di pali
 Sforzo normale complessivo = -250847
 Peso del pali = 50894
 Fattore parziale del peso dei pali = 1.3
 Carico totale di progetto (Ed) = -317009
 Resistenza totale di progetto (Rd) = 1243340
 Coefficiente di sicurezza = $3.92 > 1$ - SODDISFATTA

Parametri del gruppo di pali

Diametro medio = 60
 Lunghezza infissa media = 1800
 Efficienza considerata per il gruppo = 1
 Portanza laterale complessiva dei pali, al netto dell'efficienza = 1285274
 Portanza alla punta complessiva dei pali, al netto dell'efficienza = 1176814

Gruppo costituito da 4 pali

Verifica di capacità portante verticale riferita al gruppo di pali:

Palo a filo Palo84, coordinate 2740, 854
 Palo a filo Palo85, coordinate 2740, 654
 Palo a filo Palo83, coordinate 2740, 1044
 Palo a filo Palo86, coordinate 2740, 464
 Fattore di correlazione ψ scelto in base alla conoscenza del sito = 1.6
 Coeff. parziale di sicurezza sulla resistenza laterale = 1.15
 Coeff. parziale di sicurezza sulla resistenza alla punta = 1.35
 Verifica peggiore condotta in combinazione SLU 16 per la condizione a breve termine (BT)
 Portanza minima ottenuta valutando il gruppo come somma di pali
 Sforzo normale complessivo = -305173
 Peso del pali = 50894
 Fattore parziale del peso dei pali = 1.3
 Carico totale di progetto (Ed) = -371335
 Resistenza totale di progetto (Rd) = 1243340
 Coefficiente di sicurezza = $3.35 > 1$ - SODDISFATTA

Parametri del gruppo di pali

Diametro medio = 60
 Lunghezza infissa media = 1800
 Efficienza considerata per il gruppo = 1
 Portanza laterale complessiva dei pali, al netto dell'efficienza = 1285274
 Portanza alla punta complessiva dei pali, al netto dell'efficienza = 1176814

Gruppo costituito da 4 pali

Verifica di capacità portante verticale riferita al gruppo di pali:

Palo a filo Palo56, coordinate 935, 854

Palo a filo Palo57, coordinate 935, 654
 Palo a filo Palo55, coordinate 935, 1044
 Palo a filo Palo58, coordinate 935, 464
 Fattore di correlazione ψ scelto in base alla conoscenza del sito = 1.6
 Coeff. parziale di sicurezza sulla resistenza laterale = 1.15
 Coeff. parziale di sicurezza sulla resistenza alla punta = 1.35
 Verifica peggiore condotta in combinazione SLU 16 per la condizione a breve termine (BT)
 Portanza minima ottenuta valutando il gruppo come somma di pali
 Sforzo normale complessivo = -309686
 Peso del pali = 50894
 Fattore parziale del peso dei pali = 1.3
 Carico totale di progetto (Ed) = -375848
 Resistenza totale di progetto (Rd) = 1243340
 Coefficiente di sicurezza = $3.31 > 1$ - SODDISFATTA

Parametri del gruppo di pali
 Diametro medio = 60
 Lunghezza infissa media = 1800
 Efficienza considerata per il gruppo = 1
 Portanza laterale complessiva dei pali, al netto dell'efficienza = 1285274
 Portanza alla punta complessiva dei pali, al netto dell'efficienza = 1176814

Gruppo costituito da 4 pali

Verifica di capacità portante verticale riferita al gruppo di pali:

Palo a filo Palo49, coordinate -495, 464
 Palo a filo Palo45, coordinate -650, 592
 Palo a filo Palo39, coordinate -650, 741
 Palo a filo Palo35, coordinate -495, 889
 Fattore di correlazione ψ scelto in base alla conoscenza del sito = 1.6
 Coeff. parziale di sicurezza sulla resistenza laterale = 1.15
 Coeff. parziale di sicurezza sulla resistenza alla punta = 1.35
 Verifica peggiore condotta in combinazione SLU 16 per la condizione a breve termine (BT)
 Portanza minima ottenuta valutando il gruppo come somma di pali
 Sforzo normale complessivo = -299535
 Peso del pali = 50894
 Fattore parziale del peso dei pali = 1.3
 Carico totale di progetto (Ed) = -365697
 Resistenza totale di progetto (Rd) = 1243340
 Coefficiente di sicurezza = $3.4 > 1$ - SODDISFATTA

Parametri del gruppo di pali

Diametro medio = 60
 Lunghezza infissa media = 1800
 Efficienza considerata per il gruppo = 1
 Portanza laterale complessiva dei pali, al netto dell'efficienza = 1285274
 Portanza alla punta complessiva dei pali, al netto dell'efficienza = 1176814

Gruppo costituito da 20 pali

Verifica di capacità portante verticale riferita al gruppo di pali:

Palo a filo Palo63, coordinate 1865, 1034
 Palo a filo Palo66, coordinate 1775, 944
 Palo a filo Palo64, coordinate 2035, 1034
 Palo a filo Palo67, coordinate 1955, 944
 Palo a filo Palo68, coordinate 2115, 944
 Palo a filo Palo65, coordinate 2205, 1034
 Palo a filo Palo69, coordinate 2295, 944
 Palo a filo Palo71, coordinate 2205, 854
 Palo a filo Palo70, coordinate 1865, 854
 Palo a filo Palo74, coordinate 1865, 674
 Palo a filo Palo77, coordinate 1955, 564
 Palo a filo Palo78, coordinate 2115, 564
 Palo a filo Palo75, coordinate 2205, 674
 Palo a filo Palo82, coordinate 2205, 474
 Palo a filo Palo79, coordinate 2295, 564
 Palo a filo Palo73, coordinate 2295, 764
 Palo a filo Palo72, coordinate 1775, 764
 Palo a filo Palo76, coordinate 1775, 564
 Palo a filo Palo80, coordinate 1865, 474
 Palo a filo Palo81, coordinate 2035, 474
 Fattore di correlazione ψ scelto in base alla conoscenza del sito = 1.6
 Coeff. parziale di sicurezza sulla resistenza laterale = 1.15
 Coeff. parziale di sicurezza sulla resistenza alla punta = 1.35
 Verifica peggiore condotta in combinazione SLU 16 per la condizione a breve termine (BT)
 Portanza minima ottenuta valutando il gruppo come somma di pali
 Sforzo normale complessivo = -1049564
 Peso del pali = 254469
 Fattore parziale del peso dei pali = 1.3
 Carico totale di progetto (Ed) = -1380373
 Resistenza totale di progetto (Rd) = 6216698
 Coefficiente di sicurezza = $4.5 > 1$ - SODDISFATTA

Parametri del gruppo di pali

Diametro medio = 60
 Lunghezza infissa media = 1800
 Efficienza considerata per il gruppo = 1
 Portanza laterale complessiva dei pali, al netto dell'efficienza = 6426368
 Portanza alla punta complessiva dei pali, al netto dell'efficienza = 5884070

Gruppo costituito da 4 pali

Verifica di capacità portante verticale riferita al gruppo di pali:

Palo a filo Palo89, coordinate 3135, 654
 Palo a filo Palo90, coordinate 3135, 464
 Palo a filo Palo88, coordinate 3135, 854
 Palo a filo Palo87, coordinate 3135, 1044
 Fattore di correlazione ψ scelto in base alla conoscenza del sito = 1.6
 Coeff. parziale di sicurezza sulla resistenza laterale = 1.15
 Coeff. parziale di sicurezza sulla resistenza alla punta = 1.35
 Verifica peggiore condotta in combinazione SLU 16 per la condizione a breve termine (BT)
 Portanza minima ottenuta valutando il gruppo come somma di pali
 Sforzo normale complessivo = -314438
 Peso del pali = 50894
 Fattore parziale del peso dei pali = 1.3
 Carico totale di progetto (Ed) = -380600
 Resistenza totale di progetto (Rd) = 1243340
 Coefficiente di sicurezza = $3.27 > 1$ - SODDISFATTA

Parametri del gruppo di pali

Diametro medio = 60
 Lunghezza infissa media = 1800
 Efficienza considerata per il gruppo = 1
 Portanza laterale complessiva dei pali, al netto dell'efficienza = 1285274
 Portanza alla punta complessiva dei pali, al netto dell'efficienza = 1176814

Gruppo costituito da 18 pali

Verifica di capacità portante verticale riferita al gruppo di pali:

Palo a filo Palo97, coordinate 3615, 844
 Palo a filo Palo98, coordinate 3795, 844
 Palo a filo Palo94, coordinate 3795, 1024
 Palo a filo Palo91, coordinate 3705, 1114
 Palo a filo Palo92, coordinate 3885, 1114
 Palo a filo Palo96, coordinate 3885, 934
 Palo a filo Palo99, coordinate 3705, 754
 Palo a filo Palo100, coordinate 3885, 754
 Palo a filo Palo102, coordinate 3795, 664
 Palo a filo Palo103, coordinate 3705, 574
 Palo a filo Palo104, coordinate 3885, 574
 Palo a filo Palo106, coordinate 3795, 484
 Palo a filo Palo107, coordinate 3705, 394
 Palo a filo Palo108, coordinate 3885, 394
 Palo a filo Palo93, coordinate 3615, 1024
 Palo a filo Palo101, coordinate 3615, 664
 Palo a filo Palo105, coordinate 3615, 484
 Palo a filo Palo95, coordinate 3705, 934
 Fattore di correlazione ψ scelto in base alla conoscenza del sito = 1.6
 Coeff. parziale di sicurezza sulla resistenza laterale = 1.15
 Coeff. parziale di sicurezza sulla resistenza alla punta = 1.35
 Verifica peggiore condotta in combinazione SLU 16 per la condizione a breve termine (BT)
 Portanza minima ottenuta valutando il gruppo come somma di pali
 Sforzo normale complessivo = -462052
 Peso del pali = 229022
 Fattore parziale del peso dei pali = 1.3
 Carico totale di progetto (Ed) = -759781
 Resistenza totale di progetto (Rd) = 5595028
 Coefficiente di sicurezza = $7.36 > 1$ - SODDISFATTA

Parametri del gruppo di pali

Diametro medio = 60
 Lunghezza infissa media = 1800
 Efficienza considerata per il gruppo = 1
 Portanza laterale complessiva dei pali, al netto dell'efficienza = 5783731
 Portanza alla punta complessiva dei pali, al netto dell'efficienza = 5295663

Gruppo costituito da 3 pali

Verifica di capacità portante verticale riferita al gruppo di pali:

Palo a filo Palo4, coordinate -70, 2344
 Palo a filo Palo2, coordinate -225, 2504
 Palo a filo Palo6, coordinate -225, 2184
 Fattore di correlazione ψ scelto in base alla conoscenza del sito = 1.6
 Coeff. parziale di sicurezza sulla resistenza laterale = 1.15
 Coeff. parziale di sicurezza sulla resistenza alla punta = 1.35
 Verifica peggiore condotta in combinazione SLU 16 per la condizione a breve termine (BT)

Portanza minima ottenuta valutando il gruppo come somma di pali

Sforzo normale complessivo = -185667

Peso del pali = 38170

Fattore parziale del peso dei pali = 1.3

Carico totale di progetto (Ed) = -235289

Resistenza totale di progetto (Rd) = 932505

Coefficiente di sicurezza = 3.96 > 1 - SODDISFATTA

Parametri del gruppo di pali

Diametro medio = 60

Lunghezza infissa media = 1800

Efficienza considerata per il gruppo = 1

Portanza laterale complessiva dei pali, al netto dell'efficienza = 963955

Portanza alla punta complessiva dei pali, al netto dell'efficienza = 882611

Gruppo costituito da 19 pali

Verifica di capacità portante verticale riferita al gruppo di pali:

Palo a filo Palo28, coordinate 455, 1114

Palo a filo Palo32, coordinate 365, 1024

Palo a filo Palo27, coordinate 275, 1114

Palo a filo Palo31, coordinate 185, 1024

Palo a filo Palo26, coordinate 261, 1299

Palo a filo Palo33, coordinate 275, 934

Palo a filo Palo38, coordinate 365, 844

Palo a filo Palo42, coordinate 456, 753

Palo a filo Palo37, coordinate 185, 844

Palo a filo Palo41, coordinate 275, 754

Palo a filo Palo43, coordinate 185, 664

Palo a filo Palo44, coordinate 365, 664

Palo a filo Palo48, coordinate 455, 574

Palo a filo Palo51, coordinate 185, 484

Palo a filo Palo53, coordinate 275, 394

Palo a filo Palo47, coordinate 275, 574

Palo a filo Palo52, coordinate 365, 484

Palo a filo Palo54, coordinate 455, 394

Palo a filo Palo34, coordinate 455, 934

Fattore di correlazione ψ scelto in base alla conoscenza del sito = 1.6

Coeff. parziale di sicurezza sulla resistenza laterale = 1.15

Coeff. parziale di sicurezza sulla resistenza alla punta = 1.35

Verifica peggiore condotta in combinazione SLU 16 per la condizione a breve termine (BT)

Portanza minima ottenuta valutando il gruppo come somma di pali

Sforzo normale complessivo = -814886

Peso del pali = 241746

Fattore parziale del peso dei pali = 1.3

Carico totale di progetto (Ed) = -1129155

Resistenza totale di progetto (Rd) = 5905863

Coefficiente di sicurezza = 5.23 > 1 - SODDISFATTA

Parametri del gruppo di pali

Diametro medio = 60

Lunghezza infissa media = 1800

Efficienza considerata per il gruppo = 1

Portanza laterale complessiva dei pali, al netto dell'efficienza = 6105050

Portanza alla punta complessiva dei pali, al netto dell'efficienza = 5589867

Gruppo costituito da 2 pali

Verifica di capacità portante verticale riferita al gruppo di pali:

Palo a filo Palo29, coordinate -650, 1074

Palo a filo Palo24, coordinate -650, 1299

Fattore di correlazione ψ scelto in base alla conoscenza del sito = 1.6

Coeff. parziale di sicurezza sulla resistenza laterale = 1.15

Coeff. parziale di sicurezza sulla resistenza alla punta = 1.35

Verifica peggiore condotta in combinazione SLU 16 per la condizione a breve termine (BT)

Portanza minima ottenuta valutando il gruppo come somma di pali

Sforzo normale complessivo = -163661

Peso del pali = 25447

Fattore parziale del peso dei pali = 1.3

Carico totale di progetto (Ed) = -196742

Resistenza totale di progetto (Rd) = 621670

Coefficiente di sicurezza = 3.16 > 1 - SODDISFATTA

Parametri del gruppo di pali

Diametro medio = 60

Lunghezza infissa media = 1800

Efficienza considerata per il gruppo = 1

Portanza laterale complessiva dei pali, al netto dell'efficienza = 642637

Portanza alla punta complessiva dei pali, al netto dell'efficienza = 588407

Gruppo costituito da 7 pali

Verifica di capacità portante verticale riferita al gruppo di pali:

Palo a filo Palo21, coordinate -495, 1484

Palo a filo Palo19, coordinate -650, 1664
 Palo a filo Palo13, coordinate -495, 1844
 Palo a filo Palo7, coordinate -650, 2014
 Palo a filo Palo5, coordinate -495, 2184
 Palo a filo Palo3, coordinate -650, 2344
 Palo a filo Palo1, coordinate -495, 2504
 Fattore di correlazione ψ scelto in base alla conoscenza del sito = 1.6
 Coeff. parziale di sicurezza sulla resistenza laterale = 1.15
 Coeff. parziale di sicurezza sulla resistenza alla punta = 1.35
 Verifica peggiore condotta in combinazione SLU 16 per la condizione a breve termine (BT)
 Portanza minima ottenuta valutando il gruppo come somma di pali
 Sforzo normale complessivo = -625651
 Peso del pali = 89064
 Fattore parziale del peso dei pali = 1.3
 Carico totale di progetto (Ed) = -741435
 Resistenza totale di progetto (Rd) = 2175844
 Coefficiente di sicurezza = $2.93 > 1$ - SODDISFATTA

Parametri del gruppo di pali

Diametro medio = 60
 Lunghezza infissa media = 1800
 Efficienza considerata per il gruppo = 1
 Portanza laterale complessiva dei pali, al netto dell'efficienza = 2249229
 Portanza alla punta complessiva dei pali, al netto dell'efficienza = 2059425

Verifica di capacità portante dei gruppi di pali per la famiglia SLD

Gruppo costituito da 18 pali

Verifica di capacità portante verticale riferita al gruppo di pali:

Palo a filo Palo97, coordinate 3615, 844
 Palo a filo Palo98, coordinate 3795, 844
 Palo a filo Palo94, coordinate 3795, 1024
 Palo a filo Palo91, coordinate 3705, 1114
 Palo a filo Palo92, coordinate 3885, 1114
 Palo a filo Palo96, coordinate 3885, 934
 Palo a filo Palo99, coordinate 3705, 754
 Palo a filo Palo100, coordinate 3885, 754
 Palo a filo Palo102, coordinate 3795, 664
 Palo a filo Palo103, coordinate 3705, 574
 Palo a filo Palo104, coordinate 3885, 574
 Palo a filo Palo106, coordinate 3795, 484
 Palo a filo Palo107, coordinate 3705, 394
 Palo a filo Palo108, coordinate 3885, 394
 Palo a filo Palo93, coordinate 3615, 1024
 Palo a filo Palo101, coordinate 3615, 664
 Palo a filo Palo105, coordinate 3615, 484
 Palo a filo Palo95, coordinate 3705, 934
 Fattore di correlazione ψ scelto in base alla conoscenza del sito = 1.6
 Coeff. parziale di sicurezza sulla resistenza laterale = 1.15
 Coeff. parziale di sicurezza sulla resistenza alla punta = 1.35
 Verifica peggiore condotta in combinazione SLD 13 per la condizione a breve termine (BT)
 Portanza minima ottenuta valutando il gruppo come somma di pali
 Sforzo normale complessivo = -363746
 Peso del pali = 229022
 Fattore parziale del peso dei pali = 1
 Carico totale di progetto (Ed) = -592768
 Resistenza totale di progetto (Rd) = 5595028
 Coefficiente di sicurezza = $9.44 > 1$ - SODDISFATTA

Parametri del gruppo di pali

Diametro medio = 60
 Lunghezza infissa media = 1800
 Efficienza considerata per il gruppo = 1
 Portanza laterale complessiva dei pali, al netto dell'efficienza = 5783731
 Portanza alla punta complessiva dei pali, al netto dell'efficienza = 5295663

Gruppo costituito da 2 pali

Verifica di capacità portante verticale riferita al gruppo di pali:

Palo a filo Palo29, coordinate -650, 1074
 Palo a filo Palo24, coordinate -650, 1299
 Fattore di correlazione ψ scelto in base alla conoscenza del sito = 1.6
 Coeff. parziale di sicurezza sulla resistenza laterale = 1.15
 Coeff. parziale di sicurezza sulla resistenza alla punta = 1.35
 Verifica peggiore condotta in combinazione SLD 4 per la condizione a breve termine (BT)
 Portanza minima ottenuta valutando il gruppo come somma di pali
 Sforzo normale complessivo = -129071
 Peso del pali = 25447
 Fattore parziale del peso dei pali = 1
 Carico totale di progetto (Ed) = -154518
 Resistenza totale di progetto (Rd) = 621670
 Coefficiente di sicurezza = $4.02 > 1$ - SODDISFATTA

Parametri del gruppo di pali

Diametro medio = 60
 Lunghezza infissa media = 1800
 Efficienza considerata per il gruppo = 1
 Portanza laterale complessiva dei pali, al netto dell'efficienza = 642637
 Portanza alla punta complessiva dei pali, al netto dell'efficienza = 588407

Gruppo costituito da 4 pali

Verifica di capacità portante verticale riferita al gruppo di pali:

Palo a filo Palo60, coordinate 1330, 854
 Palo a filo Palo61, coordinate 1330, 654
 Palo a filo Palo62, coordinate 1330, 464
 Palo a filo Palo59, coordinate 1330, 1044
 Fattore di correlazione ψ scelto in base alla conoscenza del sito = 1.6
 Coeff. parziale di sicurezza sulla resistenza laterale = 1.15
 Coeff. parziale di sicurezza sulla resistenza alla punta = 1.35
 Verifica peggiore condotta in combinazione SLD 4 per la condizione a breve termine (BT)
 Portanza minima ottenuta valutando il gruppo come somma di pali
 Sforzo normale complessivo = -215651
 Peso del pali = 50894
 Fattore parziale del peso dei pali = 1
 Carico totale di progetto (Ed) = -266545
 Resistenza totale di progetto (Rd) = 1243340
 Coefficiente di sicurezza = 4.66 > 1 - SODDISFATTA

Parametri del gruppo di pali

Diametro medio = 60
 Lunghezza infissa media = 1800
 Efficienza considerata per il gruppo = 1
 Portanza laterale complessiva dei pali, al netto dell'efficienza = 1285274
 Portanza alla punta complessiva dei pali, al netto dell'efficienza = 1176814

Gruppo costituito da 4 pali

Verifica di capacità portante verticale riferita al gruppo di pali:

Palo a filo Palo89, coordinate 3135, 654
 Palo a filo Palo90, coordinate 3135, 464
 Palo a filo Palo88, coordinate 3135, 854
 Palo a filo Palo87, coordinate 3135, 1044
 Fattore di correlazione ψ scelto in base alla conoscenza del sito = 1.6
 Coeff. parziale di sicurezza sulla resistenza laterale = 1.15
 Coeff. parziale di sicurezza sulla resistenza alla punta = 1.35
 Verifica peggiore condotta in combinazione SLD 14 per la condizione a breve termine (BT)
 Portanza minima ottenuta valutando il gruppo come somma di pali
 Sforzo normale complessivo = -228811
 Peso del pali = 50894
 Fattore parziale del peso dei pali = 1
 Carico totale di progetto (Ed) = -279705
 Resistenza totale di progetto (Rd) = 1243340
 Coefficiente di sicurezza = 4.45 > 1 - SODDISFATTA

Parametri del gruppo di pali

Diametro medio = 60
 Lunghezza infissa media = 1800
 Efficienza considerata per il gruppo = 1
 Portanza laterale complessiva dei pali, al netto dell'efficienza = 1285274
 Portanza alla punta complessiva dei pali, al netto dell'efficienza = 1176814

Gruppo costituito da 7 pali

Verifica di capacità portante verticale riferita al gruppo di pali:

Palo a filo Palo21, coordinate -495, 1484
 Palo a filo Palo19, coordinate -650, 1664
 Palo a filo Palo13, coordinate -495, 1844
 Palo a filo Palo7, coordinate -650, 2014
 Palo a filo Palo5, coordinate -495, 2184
 Palo a filo Palo3, coordinate -650, 2344
 Palo a filo Palo1, coordinate -495, 2504
 Fattore di correlazione ψ scelto in base alla conoscenza del sito = 1.6
 Coeff. parziale di sicurezza sulla resistenza laterale = 1.15
 Coeff. parziale di sicurezza sulla resistenza alla punta = 1.35
 Verifica peggiore condotta in combinazione SLD 3 per la condizione a breve termine (BT)
 Portanza minima ottenuta valutando il gruppo come somma di pali
 Sforzo normale complessivo = -529369
 Peso del pali = 89064
 Fattore parziale del peso dei pali = 1
 Carico totale di progetto (Ed) = -618433
 Resistenza totale di progetto (Rd) = 2175844
 Coefficiente di sicurezza = 3.52 > 1 - SODDISFATTA

Parametri del gruppo di pali

Diametro medio = 60
 Lunghezza infissa media = 1800

Efficienza considerata per il gruppo = 1
 Portanza laterale complessiva dei pali, al netto dell'efficienza = 2249229
 Portanza alla punta complessiva dei pali, al netto dell'efficienza = 2059425

Gruppo costituito da 4 pali

Verifica di capacità portante verticale riferita al gruppo di pali:

Palo a filo Palo84, coordinate 2740, 854
 Palo a filo Palo85, coordinate 2740, 654
 Palo a filo Palo83, coordinate 2740, 1044
 Palo a filo Palo86, coordinate 2740, 464
 Fattore di correlazione ψ scelto in base alla conoscenza del sito = 1.6
 Coeff. parziale di sicurezza sulla resistenza laterale = 1.15
 Coeff. parziale di sicurezza sulla resistenza alla punta = 1.35
 Verifica peggiore condotta in combinazione SLD 15 per la condizione a breve termine (BT)
 Portanza minima ottenuta valutando il gruppo come somma di pali
 Sforzo normale complessivo = -213203
 Peso del pali = 50894
 Fattore parziale del peso dei pali = 1
 Carico totale di progetto (Ed) = -264097
 Resistenza totale di progetto (Rd) = 1243340
 Coefficiente di sicurezza = 4.71 > 1 - SODDISFATTA

Parametri del gruppo di pali

Diametro medio = 60
 Lunghezza infissa media = 1800
 Efficienza considerata per il gruppo = 1
 Portanza laterale complessiva dei pali, al netto dell'efficienza = 1285274
 Portanza alla punta complessiva dei pali, al netto dell'efficienza = 1176814

Gruppo costituito da 3 pali

Verifica di capacità portante verticale riferita al gruppo di pali:

Palo a filo Palo4, coordinate -70, 2344
 Palo a filo Palo2, coordinate -225, 2504
 Palo a filo Palo6, coordinate -225, 2184
 Fattore di correlazione ψ scelto in base alla conoscenza del sito = 1.6
 Coeff. parziale di sicurezza sulla resistenza laterale = 1.15
 Coeff. parziale di sicurezza sulla resistenza alla punta = 1.35
 Verifica peggiore condotta in combinazione SLD 12 per la condizione a breve termine (BT)
 Portanza minima ottenuta valutando il gruppo come somma di pali
 Sforzo normale complessivo = -191726
 Peso del pali = 38170
 Fattore parziale del peso dei pali = 1
 Carico totale di progetto (Ed) = -229897
 Resistenza totale di progetto (Rd) = 932505
 Coefficiente di sicurezza = 4.06 > 1 - SODDISFATTA

Parametri del gruppo di pali

Diametro medio = 60
 Lunghezza infissa media = 1800
 Efficienza considerata per il gruppo = 1
 Portanza laterale complessiva dei pali, al netto dell'efficienza = 963955
 Portanza alla punta complessiva dei pali, al netto dell'efficienza = 882611

Gruppo costituito da 4 pali

Verifica di capacità portante verticale riferita al gruppo di pali:

Palo a filo Palo56, coordinate 935, 854
 Palo a filo Palo57, coordinate 935, 654
 Palo a filo Palo55, coordinate 935, 1044
 Palo a filo Palo58, coordinate 935, 464
 Fattore di correlazione ψ scelto in base alla conoscenza del sito = 1.6
 Coeff. parziale di sicurezza sulla resistenza laterale = 1.15
 Coeff. parziale di sicurezza sulla resistenza alla punta = 1.35
 Verifica peggiore condotta in combinazione SLD 3 per la condizione a breve termine (BT)
 Portanza minima ottenuta valutando il gruppo come somma di pali
 Sforzo normale complessivo = -226448
 Peso del pali = 50894
 Fattore parziale del peso dei pali = 1
 Carico totale di progetto (Ed) = -277341
 Resistenza totale di progetto (Rd) = 1243340
 Coefficiente di sicurezza = 4.48 > 1 - SODDISFATTA

Parametri del gruppo di pali

Diametro medio = 60
 Lunghezza infissa media = 1800
 Efficienza considerata per il gruppo = 1
 Portanza laterale complessiva dei pali, al netto dell'efficienza = 1285274
 Portanza alla punta complessiva dei pali, al netto dell'efficienza = 1176814

Gruppo costituito da 4 pali

Verifica di capacità portante verticale riferita al gruppo di pali:

Palo a filo Palo50, coordinate -225, 464
 Palo a filo Palo46, coordinate -70, 555
 Palo a filo Palo40, coordinate -70, 765
 Palo a filo Palo36, coordinate -225, 889
 Fattore di correlazione ψ scelto in base alla conoscenza del sito = 1.6
 Coeff. parziale di sicurezza sulla resistenza laterale = 1.15
 Coeff. parziale di sicurezza sulla resistenza alla punta = 1.35
 Verifica peggiore condotta in combinazione SLD 6 per la condizione a breve termine (BT)
 Portanza minima ottenuta valutando il gruppo come somma di pali
 Sforzo normale complessivo = -212482
 Peso del pali = 50894
 Fattore parziale del peso dei pali = 1
 Carico totale di progetto (Ed) = -263376
 Resistenza totale di progetto (Rd) = 1243340
 Coefficiente di sicurezza = 4.72 > 1 - SODDISFATTA

Parametri del gruppo di pali

Diametro medio = 60
 Lunghezza infissa media = 1800
 Efficienza considerata per il gruppo = 1
 Portanza laterale complessiva dei pali, al netto dell'efficienza = 1285274
 Portanza alla punta complessiva dei pali, al netto dell'efficienza = 1176814

Gruppo costituito da 4 pali

Verifica di capacità portante verticale riferita al gruppo di pali:

Palo a filo Palo49, coordinate -495, 464
 Palo a filo Palo45, coordinate -650, 592
 Palo a filo Palo39, coordinate -650, 741
 Palo a filo Palo35, coordinate -495, 889
 Fattore di correlazione ψ scelto in base alla conoscenza del sito = 1.6
 Coeff. parziale di sicurezza sulla resistenza laterale = 1.15
 Coeff. parziale di sicurezza sulla resistenza alla punta = 1.35
 Verifica peggiore condotta in combinazione SLD 2 per la condizione a breve termine (BT)
 Portanza minima ottenuta valutando il gruppo come somma di pali
 Sforzo normale complessivo = -259047
 Peso del pali = 50894
 Fattore parziale del peso dei pali = 1
 Carico totale di progetto (Ed) = -309941
 Resistenza totale di progetto (Rd) = 1243340
 Coefficiente di sicurezza = 4.01 > 1 - SODDISFATTA

Parametri del gruppo di pali

Diametro medio = 60
 Lunghezza infissa media = 1800
 Efficienza considerata per il gruppo = 1
 Portanza laterale complessiva dei pali, al netto dell'efficienza = 1285274
 Portanza alla punta complessiva dei pali, al netto dell'efficienza = 1176814

Gruppo costituito da 20 pali

Verifica di capacità portante verticale riferita al gruppo di pali:

Palo a filo Palo63, coordinate 1865, 1034
 Palo a filo Palo66, coordinate 1775, 944
 Palo a filo Palo64, coordinate 2035, 1034
 Palo a filo Palo67, coordinate 1955, 944
 Palo a filo Palo68, coordinate 2115, 944
 Palo a filo Palo65, coordinate 2205, 1034
 Palo a filo Palo69, coordinate 2295, 944
 Palo a filo Palo71, coordinate 2205, 854
 Palo a filo Palo70, coordinate 1865, 854
 Palo a filo Palo74, coordinate 1865, 674
 Palo a filo Palo77, coordinate 1955, 564
 Palo a filo Palo78, coordinate 2115, 564
 Palo a filo Palo75, coordinate 2205, 674
 Palo a filo Palo82, coordinate 2205, 474
 Palo a filo Palo79, coordinate 2295, 564
 Palo a filo Palo73, coordinate 2295, 764
 Palo a filo Palo72, coordinate 1775, 764
 Palo a filo Palo76, coordinate 1775, 564
 Palo a filo Palo80, coordinate 1865, 474
 Palo a filo Palo81, coordinate 2035, 474
 Fattore di correlazione ψ scelto in base alla conoscenza del sito = 1.6
 Coeff. parziale di sicurezza sulla resistenza laterale = 1.15
 Coeff. parziale di sicurezza sulla resistenza alla punta = 1.35
 Verifica peggiore condotta in combinazione SLD 10 per la condizione a breve termine (BT)
 Portanza minima ottenuta valutando il gruppo come somma di pali
 Sforzo normale complessivo = -720559
 Peso del pali = 254469
 Fattore parziale del peso dei pali = 1

Carico totale di progetto (Ed) = -975028
 Resistenza totale di progetto (Rd) = 6216698
 Coefficiente di sicurezza = 6.38 > 1 - SODDISFATTA

Parametri del gruppo di pali

Diametro medio = 60
 Lunghezza infissa media = 1800
 Efficienza considerata per il gruppo = 1
 Portanza laterale complessiva dei pali, al netto dell'efficienza = 6426368
 Portanza alla punta complessiva dei pali, al netto dell'efficienza = 5884070

Gruppo costituito da 2 pali

Verifica di capacità portante verticale riferita al gruppo di pali:

Palo a filo Palo25, coordinate -70, 1299
 Palo a filo Palo30, coordinate -70, 1074
 Fattore di correlazione ψ scelto in base alla conoscenza del sito = 1.6
 Coeff. parziale di sicurezza sulla resistenza laterale = 1.15
 Coeff. parziale di sicurezza sulla resistenza alla punta = 1.35
 Verifica peggiore condotta in combinazione SLD 8 per la condizione a breve termine (BT)
 Portanza minima ottenuta valutando il gruppo come somma di pali
 Sforzo normale complessivo = -77520
 Peso del pali = 25447
 Fattore parziale del peso dei pali = 1
 Carico totale di progetto (Ed) = -102967
 Resistenza totale di progetto (Rd) = 621670
 Coefficiente di sicurezza = 6.04 > 1 - SODDISFATTA

Parametri del gruppo di pali

Diametro medio = 60
 Lunghezza infissa media = 1800
 Efficienza considerata per il gruppo = 1
 Portanza laterale complessiva dei pali, al netto dell'efficienza = 642637
 Portanza alla punta complessiva dei pali, al netto dell'efficienza = 588407

Gruppo costituito da 19 pali

Verifica di capacità portante verticale riferita al gruppo di pali:

Palo a filo Palo28, coordinate 455, 1114
 Palo a filo Palo32, coordinate 365, 1024
 Palo a filo Palo27, coordinate 275, 1114
 Palo a filo Palo31, coordinate 185, 1024
 Palo a filo Palo26, coordinate 261, 1299
 Palo a filo Palo33, coordinate 275, 934
 Palo a filo Palo38, coordinate 365, 844
 Palo a filo Palo42, coordinate 456, 753
 Palo a filo Palo37, coordinate 185, 844
 Palo a filo Palo41, coordinate 275, 754
 Palo a filo Palo43, coordinate 185, 664
 Palo a filo Palo44, coordinate 365, 664
 Palo a filo Palo48, coordinate 455, 574
 Palo a filo Palo51, coordinate 185, 484
 Palo a filo Palo53, coordinate 275, 394
 Palo a filo Palo47, coordinate 275, 574
 Palo a filo Palo52, coordinate 365, 484
 Palo a filo Palo54, coordinate 455, 394
 Palo a filo Palo34, coordinate 455, 934
 Fattore di correlazione ψ scelto in base alla conoscenza del sito = 1.6
 Coeff. parziale di sicurezza sulla resistenza laterale = 1.15
 Coeff. parziale di sicurezza sulla resistenza alla punta = 1.35
 Verifica peggiore condotta in combinazione SLD 13 per la condizione a breve termine (BT)
 Portanza minima ottenuta valutando il gruppo come somma di pali
 Sforzo normale complessivo = -700176
 Peso del pali = 241746
 Fattore parziale del peso dei pali = 1
 Carico totale di progetto (Ed) = -941921
 Resistenza totale di progetto (Rd) = 5905863
 Coefficiente di sicurezza = 6.27 > 1 - SODDISFATTA

Parametri del gruppo di pali

Diametro medio = 60
 Lunghezza infissa media = 1800
 Efficienza considerata per il gruppo = 1
 Portanza laterale complessiva dei pali, al netto dell'efficienza = 6105050
 Portanza alla punta complessiva dei pali, al netto dell'efficienza = 5589867

Gruppo costituito da 12 pali

Verifica di capacità portante verticale riferita al gruppo di pali:

Palo a filo Palo23, coordinate 91, 1484
 Palo a filo Palo17, coordinate 51, 1704
 Palo a filo Palo16, coordinate -79, 1704
 Palo a filo Palo14, coordinate -225, 1844
 Palo a filo Palo15, coordinate 11, 1794

Palo a filo Palo18, coordinate 266, 1704
 Palo a filo Palo8, coordinate 11, 1974
 Palo a filo Palo9, coordinate 171, 1974
 Palo a filo Palo12, coordinate 261, 1884
 Palo a filo Palo11, coordinate 91, 1884
 Palo a filo Palo10, coordinate -79, 1884
 Palo a filo Palo20, coordinate 11, 1634
 Fattore di correlazione ψ scelto in base alla conoscenza del sito = 1.6
 Coeff. parziale di sicurezza sulla resistenza laterale = 1.15
 Coeff. parziale di sicurezza sulla resistenza alla punta = 1.35
 Verifica peggiore condotta in combinazione SLD 11 per la condizione a breve termine (BT)
 Portanza minima ottenuta valutando il gruppo come somma di pali
 Sforzo normale complessivo = -488178
 Peso del pali = 152681
 Fattore parziale del peso dei pali = 1
 Carico totale di progetto (Ed) = -640859
 Resistenza totale di progetto (Rd) = 3730019
 Coefficiente di sicurezza = 5.82 > 1 - SODDISFATTA

Parametri del gruppo di pali

Diametro medio = 60
 Lunghezza infissa media = 1800
 Efficienza considerata per il gruppo = 1
 Portanza laterale complessiva dei pali, al netto dell'efficienza = 3855821
 Portanza alla punta complessiva dei pali, al netto dell'efficienza = 3530442

Verifica di capacità portante dei gruppi di pali per la famiglia SLV FO

Gruppo costituito da 12 pali

Verifica di capacità portante verticale riferita al gruppo di pali:

Palo a filo Palo23, coordinate 91, 1484
 Palo a filo Palo17, coordinate 51, 1704
 Palo a filo Palo16, coordinate -79, 1704
 Palo a filo Palo14, coordinate -225, 1844
 Palo a filo Palo15, coordinate 11, 1794
 Palo a filo Palo18, coordinate 266, 1704
 Palo a filo Palo8, coordinate 11, 1974
 Palo a filo Palo9, coordinate 171, 1974
 Palo a filo Palo12, coordinate 261, 1884
 Palo a filo Palo11, coordinate 91, 1884
 Palo a filo Palo10, coordinate -79, 1884
 Palo a filo Palo20, coordinate 11, 1634
 Fattore di correlazione ψ scelto in base alla conoscenza del sito = 1.6
 Coeff. parziale di sicurezza sulla resistenza laterale = 1.15
 Coeff. parziale di sicurezza sulla resistenza alla punta = 1.35
 Verifica peggiore condotta in combinazione SLV FO 15 per la condizione a breve termine (BT)
 Portanza minima ottenuta valutando il gruppo come somma di pali
 Sforzo normale complessivo = -612894
 Peso del pali = 152681
 Fattore parziale del peso dei pali = 1
 Carico totale di progetto (Ed) = -765576
 Resistenza totale di progetto (Rd) = 3730019
 Coefficiente di sicurezza = 4.87 > 1 - SODDISFATTA

Parametri del gruppo di pali

Diametro medio = 60
 Lunghezza infissa media = 1800
 Efficienza considerata per il gruppo = 1
 Portanza laterale complessiva dei pali, al netto dell'efficienza = 3855821
 Portanza alla punta complessiva dei pali, al netto dell'efficienza = 3530442

Gruppo costituito da 19 pali

Verifica di capacità portante verticale riferita al gruppo di pali:

Palo a filo Palo28, coordinate 455, 1114
 Palo a filo Palo32, coordinate 365, 1024
 Palo a filo Palo27, coordinate 275, 1114
 Palo a filo Palo31, coordinate 185, 1024
 Palo a filo Palo26, coordinate 261, 1299
 Palo a filo Palo33, coordinate 275, 934
 Palo a filo Palo38, coordinate 365, 844
 Palo a filo Palo42, coordinate 456, 753
 Palo a filo Palo37, coordinate 185, 844
 Palo a filo Palo41, coordinate 275, 754
 Palo a filo Palo43, coordinate 185, 664
 Palo a filo Palo44, coordinate 365, 664
 Palo a filo Palo48, coordinate 455, 574
 Palo a filo Palo51, coordinate 185, 484
 Palo a filo Palo53, coordinate 275, 394
 Palo a filo Palo47, coordinate 275, 574
 Palo a filo Palo52, coordinate 365, 484
 Palo a filo Palo54, coordinate 455, 394

Palo a filo Palo34, coordinate 455, 934
 Fattore di correlazione ψ scelto in base alla conoscenza del sito = 1.6
 Coeff. parziale di sicurezza sulla resistenza laterale = 1.15
 Coeff. parziale di sicurezza sulla resistenza alla punta = 1.35
 Verifica peggiore condotta in combinazione SLV FO 13 per la condizione a breve termine (BT)
 Portanza minima ottenuta valutando il gruppo come somma di pali
 Sforzo normale complessivo = -849894
 Peso del pali = 241746
 Fattore parziale del peso dei pali = 1
 Carico totale di progetto (Ed) = -1091640
 Resistenza totale di progetto (Rd) = 5905863
 Coefficiente di sicurezza = 5.41 > 1 - SODDISFATTA

Parametri del gruppo di pali

Diametro medio = 60
 Lunghezza infissa media = 1800
 Efficienza considerata per il gruppo = 1
 Portanza laterale complessiva dei pali, al netto dell'efficienza = 6105050
 Portanza alla punta complessiva dei pali, al netto dell'efficienza = 5589867

Gruppo costituito da 4 pali

Verifica di capacità portante verticale riferita al gruppo di pali:

Palo a filo Palo60, coordinate 1330, 854
 Palo a filo Palo61, coordinate 1330, 654
 Palo a filo Palo62, coordinate 1330, 464
 Palo a filo Palo59, coordinate 1330, 1044
 Fattore di correlazione ψ scelto in base alla conoscenza del sito = 1.6
 Coeff. parziale di sicurezza sulla resistenza laterale = 1.15
 Coeff. parziale di sicurezza sulla resistenza alla punta = 1.35
 Verifica peggiore condotta in combinazione SLV FO 4 per la condizione a breve termine (BT)
 Portanza minima ottenuta valutando il gruppo come somma di pali
 Sforzo normale complessivo = -229022
 Peso del pali = 50894
 Fattore parziale del peso dei pali = 1
 Carico totale di progetto (Ed) = -279916
 Resistenza totale di progetto (Rd) = 1243340
 Coefficiente di sicurezza = 4.44 > 1 - SODDISFATTA

Parametri del gruppo di pali

Diametro medio = 60
 Lunghezza infissa media = 1800
 Efficienza considerata per il gruppo = 1
 Portanza laterale complessiva dei pali, al netto dell'efficienza = 1285274
 Portanza alla punta complessiva dei pali, al netto dell'efficienza = 1176814

Gruppo costituito da 18 pali

Verifica di capacità portante verticale riferita al gruppo di pali:

Palo a filo Palo97, coordinate 3615, 844
 Palo a filo Palo98, coordinate 3795, 844
 Palo a filo Palo94, coordinate 3795, 1024
 Palo a filo Palo91, coordinate 3705, 1114
 Palo a filo Palo92, coordinate 3885, 1114
 Palo a filo Palo96, coordinate 3885, 934
 Palo a filo Palo99, coordinate 3705, 754
 Palo a filo Palo100, coordinate 3885, 754
 Palo a filo Palo102, coordinate 3795, 664
 Palo a filo Palo103, coordinate 3705, 574
 Palo a filo Palo104, coordinate 3885, 574
 Palo a filo Palo106, coordinate 3795, 484
 Palo a filo Palo107, coordinate 3705, 394
 Palo a filo Palo108, coordinate 3885, 394
 Palo a filo Palo93, coordinate 3615, 1024
 Palo a filo Palo101, coordinate 3615, 664
 Palo a filo Palo105, coordinate 3615, 484
 Palo a filo Palo95, coordinate 3705, 934
 Fattore di correlazione ψ scelto in base alla conoscenza del sito = 1.6
 Coeff. parziale di sicurezza sulla resistenza laterale = 1.15
 Coeff. parziale di sicurezza sulla resistenza alla punta = 1.35
 Verifica peggiore condotta in combinazione SLV FO 13 per la condizione a breve termine (BT)
 Portanza minima ottenuta valutando il gruppo come somma di pali
 Sforzo normale complessivo = -406283
 Peso del pali = 229022
 Fattore parziale del peso dei pali = 1
 Carico totale di progetto (Ed) = -635305
 Resistenza totale di progetto (Rd) = 5595028
 Coefficiente di sicurezza = 8.81 > 1 - SODDISFATTA

Parametri del gruppo di pali

Diametro medio = 60
 Lunghezza infissa media = 1800
 Efficienza considerata per il gruppo = 1
 Portanza laterale complessiva dei pali, al netto dell'efficienza = 5783731

Portanza alla punta complessiva dei pali, al netto dell'efficienza = 5295663

Gruppo costituito da 4 pali

Verifica di capacità portante verticale riferita al gruppo di pali:

Palo a filo Palo56, coordinate 935, 854
 Palo a filo Palo57, coordinate 935, 654
 Palo a filo Palo55, coordinate 935, 1044
 Palo a filo Palo58, coordinate 935, 464
 Fattore di correlazione ψ scelto in base alla conoscenza del sito = 1.6
 Coeff. parziale di sicurezza sulla resistenza laterale = 1.15
 Coeff. parziale di sicurezza sulla resistenza alla punta = 1.35
 Verifica peggiore condotta in combinazione SLV FO 3 per la condizione a breve termine (BT)
 Portanza minima ottenuta valutando il gruppo come somma di pali
 Sforzo normale complessivo = -252794
 Peso del pali = 50894
 Fattore parziale del peso dei pali = 1
 Carico totale di progetto (Ed) = -303688
 Resistenza totale di progetto (Rd) = 1243340
 Coefficiente di sicurezza = $4.09 > 1$ - SODDISFATTA

Parametri del gruppo di pali

Diametro medio = 60
 Lunghezza infissa media = 1800
 Efficienza considerata per il gruppo = 1
 Portanza laterale complessiva dei pali, al netto dell'efficienza = 1285274
 Portanza alla punta complessiva dei pali, al netto dell'efficienza = 1176814

Gruppo costituito da 4 pali

Verifica di capacità portante verticale riferita al gruppo di pali:

Palo a filo Palo50, coordinate -225, 464
 Palo a filo Palo46, coordinate -70, 555
 Palo a filo Palo40, coordinate -70, 765
 Palo a filo Palo36, coordinate -225, 889
 Fattore di correlazione ψ scelto in base alla conoscenza del sito = 1.6
 Coeff. parziale di sicurezza sulla resistenza laterale = 1.15
 Coeff. parziale di sicurezza sulla resistenza alla punta = 1.35
 Verifica peggiore condotta in combinazione SLV FO 6 per la condizione a breve termine (BT)
 Portanza minima ottenuta valutando il gruppo come somma di pali
 Sforzo normale complessivo = -257650
 Peso del pali = 50894
 Fattore parziale del peso dei pali = 1
 Carico totale di progetto (Ed) = -308544
 Resistenza totale di progetto (Rd) = 1243340
 Coefficiente di sicurezza = $4.03 > 1$ - SODDISFATTA

Parametri del gruppo di pali

Diametro medio = 60
 Lunghezza infissa media = 1800
 Efficienza considerata per il gruppo = 1
 Portanza laterale complessiva dei pali, al netto dell'efficienza = 1285274
 Portanza alla punta complessiva dei pali, al netto dell'efficienza = 1176814

Gruppo costituito da 4 pali

Verifica di capacità portante verticale riferita al gruppo di pali:

Palo a filo Palo84, coordinate 2740, 854
 Palo a filo Palo85, coordinate 2740, 654
 Palo a filo Palo83, coordinate 2740, 1044
 Palo a filo Palo86, coordinate 2740, 464
 Fattore di correlazione ψ scelto in base alla conoscenza del sito = 1.6
 Coeff. parziale di sicurezza sulla resistenza laterale = 1.15
 Coeff. parziale di sicurezza sulla resistenza alla punta = 1.35
 Verifica peggiore condotta in combinazione SLV FO 15 per la condizione a breve termine (BT)
 Portanza minima ottenuta valutando il gruppo come somma di pali
 Sforzo normale complessivo = -225075
 Peso del pali = 50894
 Fattore parziale del peso dei pali = 1
 Carico totale di progetto (Ed) = -275969
 Resistenza totale di progetto (Rd) = 1243340
 Coefficiente di sicurezza = $4.51 > 1$ - SODDISFATTA

Parametri del gruppo di pali

Diametro medio = 60
 Lunghezza infissa media = 1800
 Efficienza considerata per il gruppo = 1
 Portanza laterale complessiva dei pali, al netto dell'efficienza = 1285274
 Portanza alla punta complessiva dei pali, al netto dell'efficienza = 1176814

Gruppo costituito da 2 pali

Verifica di capacità portante verticale riferita al gruppo di pali:

Palo a filo Palo29, coordinate -650, 1074

Palo a filo Palo24, coordinate -650, 1299
 Fattore di correlazione ψ scelto in base alla conoscenza del sito = 1.6
 Coeff. parziale di sicurezza sulla resistenza laterale = 1.15
 Coeff. parziale di sicurezza sulla resistenza alla punta = 1.35
 Verifica peggiore condotta in combinazione SLV FO 4 per la condizione a breve termine (BT)
 Portanza minima ottenuta valutando il gruppo come somma di pali
 Sforzo normale complessivo = -155312
 Peso del pali = 25447
 Fattore parziale del peso dei pali = 1
 Carico totale di progetto (Ed) = -180759
 Resistenza totale di progetto (Rd) = 621670
 Coefficiente di sicurezza = 3.44 > 1 - SODDISFATTA

Parametri del gruppo di pali

Diametro medio = 60
 Lunghezza infissa media = 1800
 Efficienza considerata per il gruppo = 1
 Portanza laterale complessiva dei pali, al netto dell'efficienza = 642637
 Portanza alla punta complessiva dei pali, al netto dell'efficienza = 588407

Gruppo costituito da 20 pali

Verifica di capacità portante verticale riferita al gruppo di pali:

Palo a filo Palo63, coordinate 1865, 1034
 Palo a filo Palo66, coordinate 1775, 944
 Palo a filo Palo64, coordinate 2035, 1034
 Palo a filo Palo67, coordinate 1955, 944
 Palo a filo Palo68, coordinate 2115, 944
 Palo a filo Palo65, coordinate 2205, 1034
 Palo a filo Palo69, coordinate 2295, 944
 Palo a filo Palo71, coordinate 2205, 854
 Palo a filo Palo70, coordinate 1865, 854
 Palo a filo Palo74, coordinate 1865, 674
 Palo a filo Palo77, coordinate 1955, 564
 Palo a filo Palo78, coordinate 2115, 564
 Palo a filo Palo75, coordinate 2205, 674
 Palo a filo Palo82, coordinate 2205, 474
 Palo a filo Palo79, coordinate 2295, 564
 Palo a filo Palo73, coordinate 2295, 764
 Palo a filo Palo72, coordinate 1775, 764
 Palo a filo Palo76, coordinate 1775, 564
 Palo a filo Palo80, coordinate 1865, 474
 Palo a filo Palo81, coordinate 2035, 474
 Fattore di correlazione ψ scelto in base alla conoscenza del sito = 1.6
 Coeff. parziale di sicurezza sulla resistenza laterale = 1.15
 Coeff. parziale di sicurezza sulla resistenza alla punta = 1.35
 Verifica peggiore condotta in combinazione SLV FO 10 per la condizione a breve termine (BT)
 Portanza minima ottenuta valutando il gruppo come somma di pali
 Sforzo normale complessivo = -725761
 Peso del pali = 254469
 Fattore parziale del peso dei pali = 1
 Carico totale di progetto (Ed) = -980230
 Resistenza totale di progetto (Rd) = 6216698
 Coefficiente di sicurezza = 6.34 > 1 - SODDISFATTA

Parametri del gruppo di pali

Diametro medio = 60
 Lunghezza infissa media = 1800
 Efficienza considerata per il gruppo = 1
 Portanza laterale complessiva dei pali, al netto dell'efficienza = 6426368
 Portanza alla punta complessiva dei pali, al netto dell'efficienza = 5884070

Gruppo costituito da 2 pali

Verifica di capacità portante verticale riferita al gruppo di pali:

Palo a filo Palo25, coordinate -70, 1299
 Palo a filo Palo30, coordinate -70, 1074
 Fattore di correlazione ψ scelto in base alla conoscenza del sito = 1.6
 Coeff. parziale di sicurezza sulla resistenza laterale = 1.15
 Coeff. parziale di sicurezza sulla resistenza alla punta = 1.35
 Verifica peggiore condotta in combinazione SLV FO 8 per la condizione a breve termine (BT)
 Portanza minima ottenuta valutando il gruppo come somma di pali
 Sforzo normale complessivo = -90197
 Peso del pali = 25447
 Fattore parziale del peso dei pali = 1
 Carico totale di progetto (Ed) = -115644
 Resistenza totale di progetto (Rd) = 621670
 Coefficiente di sicurezza = 5.38 > 1 - SODDISFATTA

Parametri del gruppo di pali

Diametro medio = 60
 Lunghezza infissa media = 1800
 Efficienza considerata per il gruppo = 1
 Portanza laterale complessiva dei pali, al netto dell'efficienza = 642637

Portanza alla punta complessiva dei pali, al netto dell'efficienza = 588407

Gruppo costituito da 3 pali

Verifica di capacità portante verticale riferita al gruppo di pali:

Palo a filo Palo4, coordinate -70, 2344
 Palo a filo Palo2, coordinate -225, 2504
 Palo a filo Palo6, coordinate -225, 2184
 Fattore di correlazione ψ scelto in base alla conoscenza del sito = 1.6
 Coeff. parziale di sicurezza sulla resistenza laterale = 1.15
 Coeff. parziale di sicurezza sulla resistenza alla punta = 1.35
 Verifica peggiore condotta in combinazione SLV FO 12 per la condizione a breve termine (BT)
 Portanza minima ottenuta valutando il gruppo come somma di pali
 Sforzo normale complessivo = -260512
 Peso del pali = 38170
 Fattore parziale del peso dei pali = 1
 Carico totale di progetto (Ed) = -298682
 Resistenza totale di progetto (Rd) = 932505
 Coefficiente di sicurezza = $3.12 > 1$ - SODDISFATTA

Parametri del gruppo di pali

Diametro medio = 60
 Lunghezza infissa media = 1800
 Efficienza considerata per il gruppo = 1
 Portanza laterale complessiva dei pali, al netto dell'efficienza = 963955
 Portanza alla punta complessiva dei pali, al netto dell'efficienza = 882611

Gruppo costituito da 4 pali

Verifica di capacità portante verticale riferita al gruppo di pali:

Palo a filo Palo89, coordinate 3135, 654
 Palo a filo Palo90, coordinate 3135, 464
 Palo a filo Palo88, coordinate 3135, 854
 Palo a filo Palo87, coordinate 3135, 1044
 Fattore di correlazione ψ scelto in base alla conoscenza del sito = 1.6
 Coeff. parziale di sicurezza sulla resistenza laterale = 1.15
 Coeff. parziale di sicurezza sulla resistenza alla punta = 1.35
 Verifica peggiore condotta in combinazione SLV FO 14 per la condizione a breve termine (BT)
 Portanza minima ottenuta valutando il gruppo come somma di pali
 Sforzo normale complessivo = -253251
 Peso del pali = 50894
 Fattore parziale del peso dei pali = 1
 Carico totale di progetto (Ed) = -304144
 Resistenza totale di progetto (Rd) = 1243340
 Coefficiente di sicurezza = $4.09 > 1$ - SODDISFATTA

Parametri del gruppo di pali

Diametro medio = 60
 Lunghezza infissa media = 1800
 Efficienza considerata per il gruppo = 1
 Portanza laterale complessiva dei pali, al netto dell'efficienza = 1285274
 Portanza alla punta complessiva dei pali, al netto dell'efficienza = 1176814

Gruppo costituito da 4 pali

Verifica di capacità portante verticale riferita al gruppo di pali:

Palo a filo Palo49, coordinate -495, 464
 Palo a filo Palo45, coordinate -650, 592
 Palo a filo Palo39, coordinate -650, 741
 Palo a filo Palo35, coordinate -495, 889
 Fattore di correlazione ψ scelto in base alla conoscenza del sito = 1.6
 Coeff. parziale di sicurezza sulla resistenza laterale = 1.15
 Coeff. parziale di sicurezza sulla resistenza alla punta = 1.35
 Verifica peggiore condotta in combinazione SLV FO 2 per la condizione a breve termine (BT)
 Portanza minima ottenuta valutando il gruppo come somma di pali
 Sforzo normale complessivo = -331965
 Peso del pali = 50894
 Fattore parziale del peso dei pali = 1
 Carico totale di progetto (Ed) = -382859
 Resistenza totale di progetto (Rd) = 1243340
 Coefficiente di sicurezza = $3.25 > 1$ - SODDISFATTA

Parametri del gruppo di pali

Diametro medio = 60
 Lunghezza infissa media = 1800
 Efficienza considerata per il gruppo = 1
 Portanza laterale complessiva dei pali, al netto dell'efficienza = 1285274
 Portanza alla punta complessiva dei pali, al netto dell'efficienza = 1176814

Gruppo costituito da 7 pali

Verifica di capacità portante verticale riferita al gruppo di pali:

Palo a filo Palo21, coordinate -495, 1484
 Palo a filo Palo19, coordinate -650, 1664

Palo a filo Palo13, coordinate -495, 1844
 Palo a filo Palo7, coordinate -650, 2014
 Palo a filo Palo5, coordinate -495, 2184
 Palo a filo Palo3, coordinate -650, 2344
 Palo a filo Palo1, coordinate -495, 2504
 Fattore di correlazione ψ scelto in base alla conoscenza del sito = 1.6
 Coeff. parziale di sicurezza sulla resistenza laterale = 1.15
 Coeff. parziale di sicurezza sulla resistenza alla punta = 1.35
 Verifica peggiore condotta in combinazione SLV FO 3 per la condizione a breve termine (BT)
 Portanza minima ottenuta valutando il gruppo come somma di pali
 Sforzo normale complessivo = -661484
 Peso dei pali = 89064
 Fattore parziale del peso dei pali = 1
 Carico totale di progetto (Ed) = -750548
 Resistenza totale di progetto (Rd) = 2175844
 Coefficiente di sicurezza = 2.9 > 1 - SODDISFATTA

Parametri del gruppo di pali

Diametro medio = 60
 Lunghezza infissa media = 1800
 Efficienza considerata per il gruppo = 1
 Portanza laterale complessiva dei pali, al netto dell'efficienza = 2249229
 Portanza alla punta complessiva dei pali, al netto dell'efficienza = 2059425

6.4 Cedimenti

6.4.1 Cedimenti pali estremi

Nodo: Nodo del palo a cui si riferisce il cedimento.

Ind.: indice del nodo.

Cont.: Contesto a cui si riferisce il cedimento.

N.br.: nome breve della condizione o combinazione di carico.

Componenti: Componenti del cedimento.

Totale: Cedimento totale, ottenuto dalla sommatoria di tutti i contributi. Valori positivi indicano abbassamento.

Da carico laterale: Cedimento indotto sul terreno dal carico laterale. Valori positivi indicano abbassamento.

Da carico punta: Cedimento indotto sul terreno dal carico alla punta. Valori positivi indicano abbassamento.

Da accorciamento: Cedimento da accorciamento assiale del palo. Valori positivi indicano abbassamento.

Verifiche condotte sui cedimenti assoluti/differenziali estremi

Cedimento medio dei pali 0,16 cm in SLE RA 8, cedimento medio ammissibile 5,00 cm.

Cedimento assoluto massimo 0,28 cm al Nodo 1538 in SLE RA 8, cedimento assoluto ammissibile 5,00 cm.

Cedimento differenziale massimo 0,23 cm in SLE RA 8, cedimento differenziale ammissibile 5,00 cm.

Rotazione massima 1/1286 in SLE RA 8 tra nodi a distanza 127 cm, rotazione ammissibile 1/300 .

Cedimenti pali minimi

Vengono mostrati i soli 5 cedimenti di pali estremi.

Nodo	Cont.	Componenti			
Ind.	N.br.	Totale	Da carico laterale	Da carico punta	Da accorciamento
2174	SLE RA 4	0.05115	0.04016	0.00124	0.00974
2399	SLE RA 1	0.06184	0.03592	0.00059	0.02533
2252	SLE RA 1	0.06386	0.03712	0.0006	0.02613
2297	SLE RA 1	0.06469	0.03762	0.00061	0.02647
2128	SLE RA 1	0.06483	0.0377	0.00061	0.02652

Cedimenti pali massimi

Vengono mostrati i soli 5 cedimenti di pali estremi.

Nodo	Cont.	Componenti			
Ind.	N.br.	Totale	Da carico laterale	Da carico punta	Da accorciamento
1538	SLE RA 8	0.28226	0.24029	0.00486	0.03712
2310	SLE RA 8	0.25872	0.21987	0.00443	0.03442
1554	SLE RA 8	0.25425	0.21814	0.00476	0.03135
1464	SLE RA 8	0.25105	0.20759	0.0041	0.03936
1962	SLE RA 8	0.24919	0.21061	0.00436	0.03422

6.4.2 Cedimenti pali in combinazioni di carico

Nodo: nodo del palo a cui si riferisce il cedimento.

Indice: numero dell'elemento nell'insieme che lo contiene.

Contesto: contesto a cui si riferisce il cedimento.

Totale: cedimento totale, ottenuto dalla sommatoria di tutti i contributi. Valori positivi indicano abbassamento. [cm]

Da carico laterale: cedimento indotto sul terreno dal carico laterale. Valori positivi indicano abbassamento. [cm]

Da carico punta: cedimento indotto sul terreno dal carico alla punta. Valori positivi indicano abbassamento. [cm]

Da accorciamento: cedimento da accorciamento assiale del palo. Valori positivi indicano abbassamento. [cm]

Nodo	Contesto	Totale	Da carico laterale	Da carico punta	Da accorciamento
Indice					
1374	SLE rara 1	0.12675	0.10133	0.00231	0.02311
1374	SLE rara 2	0.12812	0.10245	0.00233	0.02334
1374	SLE rara 3	0.13913	0.11139	0.00245	0.02529
1374	SLE rara 4	0.14248	0.1141	0.00249	0.02589
1374	SLE rara 5	0.14035	0.11242	0.00247	0.02546
1374	SLE rara 6	0.14172	0.11354	0.00249	0.0257
1374	SLE rara 7	0.15274	0.12248	0.00261	0.02765
1374	SLE rara 8	0.15609	0.12519	0.00265	0.02825

RELAZIONE GEOTECNICA E SULLE FONDAZIONI

Nodo Indice	Contesto	Totale	Da carico laterale	Da carico punta	Da accorciamento
1374	SLE frequente 1	0.12675	0.10133	0.00231	0.02311
1374	SLE frequente 2	0.13461	0.10771	0.0024	0.0245
1374	SLE frequente 3	0.14035	0.11242	0.00247	0.02546
1374	SLE frequente 4	0.14822	0.1188	0.00256	0.02686
1374	SLE quasi permanente 1	0.12675	0.10133	0.00231	0.02311
1374	SLE quasi permanente 2	0.13147	0.10516	0.00237	0.02394
1374	SLE quasi permanente 3	0.14035	0.11242	0.00247	0.02546
1374	SLE quasi permanente 4	0.14507	0.11625	0.00252	0.0263
1375	SLE rara 1	0.08994	0.06779	0.00159	0.02056
1375	SLE rara 2	0.09066	0.06836	0.0016	0.02071
1375	SLE rara 3	0.09962	0.07511	0.00169	0.02282
1375	SLE rara 4	0.10274	0.07744	0.00172	0.02357
1375	SLE rara 5	0.10004	0.07549	0.00169	0.02285
1375	SLE rara 6	0.10076	0.07606	0.0017	0.023
1375	SLE rara 7	0.10972	0.08282	0.00179	0.02511
1375	SLE rara 8	0.11284	0.08515	0.00182	0.02587
1375	SLE frequente 1	0.08994	0.06779	0.00159	0.02056
1375	SLE frequente 2	0.09634	0.07262	0.00166	0.02207
1375	SLE frequente 3	0.10004	0.07549	0.00169	0.02285
1375	SLE frequente 4	0.10644	0.08032	0.00176	0.02436
1375	SLE quasi permanente 1	0.08994	0.06779	0.00159	0.02056
1375	SLE quasi permanente 2	0.09378	0.07069	0.00163	0.02146
1375	SLE quasi permanente 3	0.10004	0.07549	0.00169	0.02285
1375	SLE quasi permanente 4	0.10388	0.07839	0.00173	0.02376
1376	SLE rara 1	0.1038	0.0833	0.0023	0.0182
1376	SLE rara 2	0.10458	0.08394	0.00231	0.01834
1376	SLE rara 3	0.11648	0.09358	0.00244	0.02045
1376	SLE rara 4	0.1208	0.09708	0.00249	0.02122
1376	SLE rara 5	0.11612	0.09335	0.00244	0.02033
1376	SLE rara 6	0.1169	0.09398	0.00245	0.02047
1376	SLE rara 7	0.12879	0.10363	0.00259	0.02258
1376	SLE rara 8	0.13311	0.10713	0.00264	0.02335
1376	SLE frequente 1	0.1038	0.0833	0.0023	0.0182
1376	SLE frequente 2	0.1123	0.09019	0.00239	0.01971
1376	SLE frequente 3	0.11612	0.09335	0.00244	0.02033
1376	SLE frequente 4	0.12462	0.10024	0.00254	0.02184
1376	SLE quasi permanente 1	0.1038	0.0833	0.0023	0.0182
1376	SLE quasi permanente 2	0.1089	0.08744	0.00236	0.01911
1376	SLE quasi permanente 3	0.11612	0.09335	0.00244	0.02033
1376	SLE quasi permanente 4	0.12122	0.09748	0.0025	0.02124
1377	SLE rara 1	0.06586	0.0531	0.00167	0.01109
1377	SLE rara 2	0.06622	0.05341	0.00167	0.01113
1377	SLE rara 3	0.07303	0.0591	0.00176	0.01217
1377	SLE rara 4	0.07559	0.06123	0.00179	0.01257
1377	SLE rara 5	0.07232	0.05862	0.00175	0.01195
1377	SLE rara 6	0.07267	0.05893	0.00176	0.01198
1377	SLE rara 7	0.07948	0.06462	0.00184	0.01302
1377	SLE rara 8	0.08204	0.06674	0.00187	0.01343
1377	SLE frequente 1	0.06586	0.0531	0.00167	0.01109
1377	SLE frequente 2	0.07072	0.05716	0.00173	0.01183
1377	SLE frequente 3	0.07232	0.05862	0.00175	0.01195
1377	SLE frequente 4	0.07718	0.06268	0.00181	0.01269
1377	SLE quasi permanente 1	0.06586	0.0531	0.00167	0.01109
1377	SLE quasi permanente 2	0.06878	0.05554	0.00171	0.01153
1377	SLE quasi permanente 3	0.07232	0.05862	0.00175	0.01195
1377	SLE quasi permanente 4	0.07523	0.06105	0.00179	0.01239
1420	SLE rara 1	0.09973	0.0585	0.00082	0.04041
1420	SLE rara 2	0.10163	0.05963	0.00084	0.04117
1420	SLE rara 3	0.11408	0.06705	0.00091	0.04612
1420	SLE rara 4	0.11751	0.06909	0.00093	0.04748
1420	SLE rara 5	0.11445	0.06727	0.00091	0.04626
1420	SLE rara 6	0.11635	0.0684	0.00093	0.04702
1420	SLE rara 7	0.1288	0.07582	0.001	0.05197
1420	SLE rara 8	0.13222	0.07786	0.00102	0.05334
1420	SLE frequente 1	0.09973	0.0585	0.00082	0.04041
1420	SLE frequente 2	0.10862	0.06379	0.00088	0.04394
1420	SLE frequente 3	0.11445	0.06727	0.00091	0.04626
1420	SLE frequente 4	0.12334	0.07256	0.00097	0.0498
1420	SLE quasi permanente 1	0.09973	0.0585	0.00082	0.04041
1420	SLE quasi permanente 2	0.10506	0.06168	0.00086	0.04253
1420	SLE quasi permanente 3	0.11445	0.06727	0.00091	0.04626
1420	SLE quasi permanente 4	0.11978	0.07045	0.00095	0.04839
1421	SLE rara 1	0.12003	0.08318	0.00152	0.03533
1421	SLE rara 2	0.12217	0.08469	0.00154	0.03594
1421	SLE rara 3	0.13349	0.09267	0.00165	0.03917
1421	SLE rara 4	0.1362	0.09459	0.00167	0.03994
1421	SLE rara 5	0.13567	0.09423	0.00167	0.03978
1421	SLE rara 6	0.13781	0.09573	0.00169	0.04039
1421	SLE rara 7	0.14913	0.10372	0.00179	0.04362
1421	SLE rara 8	0.15184	0.10563	0.00182	0.04439
1421	SLE frequente 1	0.12003	0.08318	0.00152	0.03533
1421	SLE frequente 2	0.12812	0.08888	0.0016	0.03763
1421	SLE frequente 3	0.13567	0.09423	0.00167	0.03978
1421	SLE frequente 4	0.14376	0.09993	0.00174	0.04209
1421	SLE quasi permanente 1	0.12003	0.08318	0.00152	0.03533
1421	SLE quasi permanente 2	0.12488	0.0866	0.00157	0.03671
1421	SLE quasi permanente 3	0.13567	0.09423	0.00167	0.03978
1421	SLE quasi permanente 4	0.14053	0.09765	0.00171	0.04116
1434	SLE rara 1	0.12975	0.07639	0.00101	0.05235
1434	SLE rara 2	0.1316	0.07749	0.00102	0.05309
1434	SLE rara 3	0.15726	0.09278	0.00118	0.0633
1434	SLE rara 4	0.16641	0.09823	0.00123	0.06694
1434	SLE rara 5	0.15767	0.09303	0.00118	0.06347
1434	SLE rara 6	0.15953	0.09413	0.00119	0.0642
1434	SLE rara 7	0.18519	0.10942	0.00135	0.07442
1434	SLE rara 8	0.19433	0.11487	0.0014	0.07805
1434	SLE frequente 1	0.12975	0.07639	0.00101	0.05235
1434	SLE frequente 2	0.14808	0.08731	0.00112	0.05965
1434	SLE frequente 3	0.15767	0.09303	0.00118	0.06347
1434	SLE frequente 4	0.176	0.10395	0.00129	0.07076

RELAZIONE GEOTECNICA E SULLE FONDAZIONI

Nodo Indice	Contesto	Totale	Da carico laterale	Da carico punta	Da accorciamento
1434	SLE quasi permanente 1	0.12975	0.07639	0.00101	0.05235
1434	SLE quasi permanente 2	0.14075	0.08294	0.00108	0.05673
1434	SLE quasi permanente 3	0.15767	0.09303	0.00118	0.06347
1434	SLE quasi permanente 4	0.16867	0.09958	0.00125	0.06784
1435	SLE rara 1	0.13166	0.07753	0.00102	0.05312
1435	SLE rara 2	0.13345	0.0786	0.00103	0.05383
1435	SLE rara 3	0.15802	0.09323	0.00118	0.0636
1435	SLE rara 4	0.16676	0.09844	0.00124	0.06708
1435	SLE rara 5	0.1583	0.0934	0.00118	0.06371
1435	SLE rara 6	0.16009	0.09447	0.00119	0.06443
1435	SLE rara 7	0.18466	0.10911	0.00135	0.0742
1435	SLE rara 8	0.19339	0.11431	0.0014	0.07768
1435	SLE frequente 1	0.13166	0.07753	0.00102	0.05312
1435	SLE frequente 2	0.14921	0.08798	0.00113	0.0601
1435	SLE frequente 3	0.1583	0.0934	0.00118	0.06371
1435	SLE frequente 4	0.17585	0.10386	0.00129	0.0707
1435	SLE quasi permanente 1	0.13166	0.07753	0.00102	0.05312
1435	SLE quasi permanente 2	0.14219	0.0838	0.00108	0.05731
1435	SLE quasi permanente 3	0.1583	0.0934	0.00118	0.06371
1435	SLE quasi permanente 4	0.16883	0.09967	0.00125	0.0679
1451	SLE rara 1	0.13115	0.07722	0.00102	0.05291
1451	SLE rara 2	0.13295	0.0783	0.00103	0.05363
1451	SLE rara 3	0.15592	0.09198	0.00117	0.06277
1451	SLE rara 4	0.16396	0.09677	0.00122	0.06597
1451	SLE rara 5	0.15739	0.09286	0.00118	0.06335
1451	SLE rara 6	0.1592	0.09394	0.00119	0.06407
1451	SLE rara 7	0.18217	0.10763	0.00133	0.07321
1451	SLE rara 8	0.1902	0.11241	0.00138	0.07641
1451	SLE frequente 1	0.13115	0.07722	0.00102	0.05291
1451	SLE frequente 2	0.14755	0.087	0.00112	0.05944
1451	SLE frequente 3	0.15739	0.09286	0.00118	0.06335
1451	SLE frequente 4	0.1738	0.10264	0.00128	0.06988
1451	SLE quasi permanente 1	0.13115	0.07722	0.00102	0.05291
1451	SLE quasi permanente 2	0.14099	0.08308	0.00108	0.05683
1451	SLE quasi permanente 3	0.15739	0.09286	0.00118	0.06335
1451	SLE quasi permanente 4	0.16724	0.09873	0.00124	0.06727
1452	SLE rara 1	0.1331	0.07838	0.00103	0.05369
1452	SLE rara 2	0.13506	0.07955	0.00104	0.05447
1452	SLE rara 3	0.1599	0.09435	0.00119	0.06435
1452	SLE rara 4	0.16859	0.09953	0.00125	0.06781
1452	SLE rara 5	0.16138	0.09524	0.0012	0.06494
1452	SLE rara 6	0.16334	0.0964	0.00121	0.06572
1452	SLE rara 7	0.18818	0.1112	0.00137	0.0756
1452	SLE rara 8	0.19686	0.11638	0.00142	0.07906
1452	SLE frequente 1	0.1331	0.07838	0.00103	0.05369
1452	SLE frequente 2	0.15084	0.08896	0.00114	0.06075
1452	SLE frequente 3	0.16138	0.09524	0.0012	0.06494
1452	SLE frequente 4	0.17912	0.10581	0.00131	0.072
1452	SLE quasi permanente 1	0.1331	0.07838	0.00103	0.05369
1452	SLE quasi permanente 2	0.14375	0.08473	0.00109	0.05792
1452	SLE quasi permanente 3	0.16138	0.09524	0.0012	0.06494
1452	SLE quasi permanente 4	0.17202	0.10158	0.00127	0.06918
1463	SLE rara 1	0.16669	0.13118	0.0027	0.03281
1463	SLE rara 2	0.16834	0.13249	0.00271	0.03313
1463	SLE rara 3	0.19197	0.15118	0.00297	0.03782
1463	SLE rara 4	0.20043	0.15787	0.00306	0.0395
1463	SLE rara 5	0.19064	0.15016	0.00296	0.03753
1463	SLE rara 6	0.1923	0.15148	0.00298	0.03785
1463	SLE rara 7	0.21592	0.17016	0.00323	0.04253
1463	SLE rara 8	0.22439	0.17685	0.00332	0.04422
1463	SLE frequente 1	0.16669	0.13118	0.0027	0.03281
1463	SLE frequente 2	0.18356	0.14452	0.00288	0.03616
1463	SLE frequente 3	0.19064	0.15016	0.00296	0.03753
1463	SLE frequente 4	0.20752	0.16351	0.00314	0.04087
1463	SLE quasi permanente 1	0.16669	0.13118	0.0027	0.03281
1463	SLE quasi permanente 2	0.17681	0.13918	0.00281	0.03482
1463	SLE quasi permanente 3	0.19064	0.15016	0.00296	0.03753
1463	SLE quasi permanente 4	0.20077	0.15817	0.00307	0.03953
1464	SLE rara 1	0.18727	0.1544	0.00333	0.02954
1464	SLE rara 2	0.18909	0.15593	0.00335	0.02981
1464	SLE rara 3	0.21523	0.17771	0.00367	0.03386
1464	SLE rara 4	0.22462	0.18552	0.00378	0.03532
1464	SLE rara 5	0.2137	0.17647	0.00365	0.03358
1464	SLE rara 6	0.21552	0.17799	0.00367	0.03385
1464	SLE rara 7	0.24166	0.19978	0.00399	0.0379
1464	SLE rara 8	0.25105	0.20759	0.0041	0.03936
1464	SLE frequente 1	0.18727	0.1544	0.00333	0.02954
1464	SLE frequente 2	0.20595	0.16996	0.00356	0.03243
1464	SLE frequente 3	0.2137	0.17647	0.00365	0.03358
1464	SLE frequente 4	0.23237	0.19203	0.00388	0.03647
1464	SLE quasi permanente 1	0.18727	0.1544	0.00333	0.02954
1464	SLE quasi permanente 2	0.19848	0.16374	0.00347	0.03127
1464	SLE quasi permanente 3	0.2137	0.17647	0.00365	0.03358
1464	SLE quasi permanente 4	0.2249	0.18581	0.00379	0.03531
1465	SLE rara 1	0.1668	0.1312	0.0027	0.03291
1465	SLE rara 2	0.16846	0.13251	0.00271	0.03323
1465	SLE rara 3	0.1919	0.15104	0.00297	0.03788
1465	SLE rara 4	0.20028	0.15766	0.00306	0.03956
1465	SLE rara 5	0.19085	0.15023	0.00296	0.03766
1465	SLE rara 6	0.19251	0.15155	0.00298	0.03798
1465	SLE rara 7	0.21594	0.17008	0.00323	0.04263
1465	SLE rara 8	0.22433	0.1767	0.00332	0.04431
1465	SLE frequente 1	0.1668	0.1312	0.0027	0.03291
1465	SLE frequente 2	0.18354	0.14443	0.00288	0.03623
1465	SLE frequente 3	0.19085	0.15023	0.00296	0.03766
1465	SLE frequente 4	0.20759	0.16347	0.00314	0.04098
1465	SLE quasi permanente 1	0.1668	0.1312	0.0027	0.03291
1465	SLE quasi permanente 2	0.17685	0.13914	0.0028	0.03491
1465	SLE quasi permanente 3	0.19085	0.15023	0.00296	0.03766
1465	SLE quasi permanente 4	0.20089	0.15817	0.00307	0.03966

RELAZIONE GEOTECNICA E SULLE FONDAZIONI

Nodo Indice	Contesto	Totale	Da carico laterale	Da carico punta	Da accorciamento
1466	SLE rara 1	0.13309	0.10368	0.00231	0.0271
1466	SLE rara 2	0.13462	0.10485	0.00233	0.02744
1466	SLE rara 3	0.14603	0.11393	0.00246	0.02964
1466	SLE rara 4	0.14939	0.11664	0.00249	0.03025
1466	SLE rara 5	0.14751	0.11506	0.00247	0.02998
1466	SLE rara 6	0.14904	0.11624	0.00249	0.03031
1466	SLE rara 7	0.16045	0.12532	0.00261	0.03252
1466	SLE rara 8	0.16381	0.12803	0.00265	0.03313
1466	SLE frequente 1	0.13309	0.10368	0.00231	0.0271
1466	SLE frequente 2	0.14124	0.11016	0.0024	0.02868
1466	SLE frequente 3	0.14751	0.11506	0.00247	0.02998
1466	SLE frequente 4	0.15566	0.12155	0.00256	0.03156
1466	SLE quasi permanente 1	0.13309	0.10368	0.00231	0.0271
1466	SLE quasi permanente 2	0.13798	0.10757	0.00237	0.02805
1466	SLE quasi permanente 3	0.14751	0.11506	0.00247	0.02998
1466	SLE quasi permanente 4	0.1524	0.11895	0.00252	0.03093
1468	SLE rara 1	0.1662	0.14025	0.00336	0.0226
1468	SLE rara 2	0.16783	0.14165	0.00338	0.0228
1468	SLE rara 3	0.18287	0.15455	0.00356	0.02476
1468	SLE rara 4	0.18769	0.15866	0.00362	0.02541
1468	SLE rara 5	0.1843	0.15579	0.00358	0.02493
1468	SLE rara 6	0.18592	0.1572	0.0036	0.02512
1468	SLE rara 7	0.20096	0.17009	0.00379	0.02708
1468	SLE rara 8	0.20578	0.17421	0.00385	0.02773
1468	SLE frequente 1	0.1662	0.14025	0.00336	0.0226
1468	SLE frequente 2	0.17695	0.14945	0.00349	0.024
1468	SLE frequente 3	0.1843	0.15579	0.00358	0.02493
1468	SLE frequente 4	0.19504	0.165	0.00371	0.02633
1468	SLE quasi permanente 1	0.1662	0.14025	0.00336	0.0226
1468	SLE quasi permanente 2	0.17265	0.14577	0.00344	0.02344
1468	SLE quasi permanente 3	0.1843	0.15579	0.00358	0.02493
1468	SLE quasi permanente 4	0.19074	0.16132	0.00366	0.02577
1469	SLE rara 1	0.08799	0.0646	0.0015	0.02189
1469	SLE rara 2	0.08874	0.06516	0.0015	0.02208
1469	SLE rara 3	0.09901	0.0728	0.0016	0.0246
1469	SLE rara 4	0.10266	0.07553	0.00164	0.02549
1469	SLE rara 5	0.09921	0.07293	0.0016	0.02467
1469	SLE rara 6	0.09995	0.07348	0.00161	0.02486
1469	SLE rara 7	0.11022	0.08113	0.00171	0.02738
1469	SLE rara 8	0.11387	0.08385	0.00174	0.02827
1469	SLE frequente 1	0.08799	0.0646	0.0015	0.02189
1469	SLE frequente 2	0.09533	0.07007	0.00157	0.02369
1469	SLE frequente 3	0.09921	0.07293	0.0016	0.02467
1469	SLE frequente 4	0.10654	0.07839	0.00167	0.02647
1469	SLE quasi permanente 1	0.08799	0.0646	0.0015	0.02189
1469	SLE quasi permanente 2	0.09239	0.06788	0.00154	0.02297
1469	SLE quasi permanente 3	0.09921	0.07293	0.0016	0.02467
1469	SLE quasi permanente 4	0.10361	0.07621	0.00165	0.02575
1470	SLE rara 1	0.09269	0.07534	0.00215	0.0152
1470	SLE rara 2	0.09329	0.07584	0.00216	0.01529
1470	SLE rara 3	0.1029	0.08386	0.00227	0.01677
1470	SLE rara 4	0.10642	0.08679	0.00231	0.01731
1470	SLE rara 5	0.10255	0.08357	0.00227	0.01671
1470	SLE rara 6	0.10315	0.08407	0.00227	0.01681
1470	SLE rara 7	0.11276	0.09209	0.00239	0.01829
1470	SLE rara 8	0.11628	0.09502	0.00243	0.01883
1470	SLE frequente 1	0.09269	0.07534	0.00215	0.0152
1470	SLE frequente 2	0.09956	0.08107	0.00223	0.01625
1470	SLE frequente 3	0.10255	0.08357	0.00227	0.01671
1470	SLE frequente 4	0.10942	0.0893	0.00235	0.01777
1470	SLE quasi permanente 1	0.09269	0.07534	0.00215	0.0152
1470	SLE quasi permanente 2	0.09681	0.07878	0.0022	0.01583
1470	SLE quasi permanente 3	0.10255	0.08357	0.00227	0.01671
1470	SLE quasi permanente 4	0.10667	0.08701	0.00232	0.01735
1531	SLE rara 1	0.12406	0.08471	0.00152	0.03782
1531	SLE rara 2	0.12628	0.08625	0.00154	0.03849
1531	SLE rara 3	0.13811	0.09442	0.00165	0.04204
1531	SLE rara 4	0.14096	0.09639	0.00167	0.04289
1531	SLE rara 5	0.14049	0.09606	0.00167	0.04277
1531	SLE rara 6	0.14272	0.0976	0.00169	0.04343
1531	SLE rara 7	0.15455	0.10577	0.00179	0.04698
1531	SLE rara 8	0.15739	0.10774	0.00182	0.04784
1531	SLE frequente 1	0.12406	0.08471	0.00152	0.03782
1531	SLE frequente 2	0.13251	0.09055	0.0016	0.04036
1531	SLE frequente 3	0.14049	0.09606	0.00167	0.04277
1531	SLE frequente 4	0.14894	0.1019	0.00174	0.0453
1531	SLE quasi permanente 1	0.12406	0.08471	0.00152	0.03782
1531	SLE quasi permanente 2	0.12913	0.08821	0.00157	0.03934
1531	SLE quasi permanente 3	0.14049	0.09606	0.00167	0.04277
1531	SLE quasi permanente 4	0.14556	0.09956	0.00171	0.04429
1537	SLE rara 1	0.16438	0.12898	0.00268	0.03272
1537	SLE rara 2	0.16604	0.13029	0.0027	0.03305
1537	SLE rara 3	0.18833	0.14792	0.00295	0.03746
1537	SLE rara 4	0.19623	0.15417	0.00303	0.03903
1537	SLE rara 5	0.18746	0.14721	0.00294	0.03732
1537	SLE rara 6	0.18912	0.14852	0.00296	0.03764
1537	SLE rara 7	0.21141	0.16615	0.0032	0.04206
1537	SLE rara 8	0.21931	0.1724	0.00329	0.04362
1537	SLE frequente 1	0.16438	0.12898	0.00268	0.03272
1537	SLE frequente 2	0.1803	0.14157	0.00286	0.03587
1537	SLE frequente 3	0.18746	0.14721	0.00294	0.03732
1537	SLE frequente 4	0.20338	0.1598	0.00311	0.04047
1537	SLE quasi permanente 1	0.16438	0.12898	0.00268	0.03272
1537	SLE quasi permanente 2	0.17394	0.13654	0.00279	0.03461
1537	SLE quasi permanente 3	0.18746	0.14721	0.00294	0.03732
1537	SLE quasi permanente 4	0.19702	0.15477	0.00304	0.03921
1538	SLE rara 1	0.2124	0.18008	0.00397	0.02836
1538	SLE rara 2	0.21448	0.18186	0.004	0.02862
1538	SLE rara 3	0.24296	0.2064	0.00436	0.0322
1538	SLE rara 4	0.25309	0.21513	0.00449	0.03347

RELAZIONE GEOTECNICA E SULLE FONDAZIONI

Nodo Indice	Contesto	Totale	Da carico laterale	Da carico punta	Da accorciamento
1538	SLE rara 5	0.24158	0.20523	0.00434	0.03201
1538	SLE rara 6	0.24365	0.20702	0.00437	0.03227
1538	SLE rara 7	0.27213	0.23156	0.00473	0.03584
1538	SLE rara 8	0.28226	0.24029	0.00486	0.03712
1538	SLE frequente 1	0.2124	0.18008	0.00397	0.02836
1538	SLE frequente 2	0.23274	0.1976	0.00423	0.03091
1538	SLE frequente 3	0.24158	0.20523	0.00434	0.03201
1538	SLE frequente 4	0.26192	0.22276	0.0046	0.03456
1538	SLE quasi permanente 1	0.2124	0.18008	0.00397	0.02836
1538	SLE quasi permanente 2	0.22461	0.19059	0.00413	0.02989
1538	SLE quasi permanente 3	0.24158	0.20523	0.00434	0.03201
1538	SLE quasi permanente 4	0.25378	0.21575	0.0045	0.03354
1539	SLE rara 1	0.18379	0.15219	0.00327	0.02833
1539	SLE rara 2	0.18557	0.15369	0.00329	0.02859
1539	SLE rara 3	0.20994	0.17421	0.00358	0.03215
1539	SLE rara 4	0.2186	0.1815	0.00369	0.03341
1539	SLE rara 5	0.20883	0.17328	0.00357	0.03198
1539	SLE rara 6	0.21061	0.17478	0.00359	0.03224
1539	SLE rara 7	0.23498	0.1953	0.00388	0.0358
1539	SLE rara 8	0.24364	0.2026	0.00399	0.03706
1539	SLE frequente 1	0.18379	0.15219	0.00327	0.02833
1539	SLE frequente 2	0.2012	0.16685	0.00348	0.03087
1539	SLE frequente 3	0.20883	0.17328	0.00357	0.03198
1539	SLE frequente 4	0.22624	0.18794	0.00378	0.03452
1539	SLE quasi permanente 1	0.18379	0.15219	0.00327	0.02833
1539	SLE quasi permanente 2	0.19423	0.16098	0.00339	0.02985
1539	SLE quasi permanente 3	0.20883	0.17328	0.00357	0.03198
1539	SLE quasi permanente 4	0.21928	0.18208	0.0037	0.0335
1540	SLE rara 1	0.13947	0.10481	0.00205	0.03261
1540	SLE rara 2	0.14089	0.10589	0.00206	0.03294
1540	SLE rara 3	0.15964	0.12012	0.00225	0.03727
1540	SLE rara 4	0.16626	0.12515	0.00232	0.0388
1540	SLE rara 5	0.15927	0.11982	0.00225	0.03721
1540	SLE rara 6	0.16069	0.12089	0.00226	0.03754
1540	SLE rara 7	0.17944	0.13513	0.00245	0.04187
1540	SLE rara 8	0.18606	0.14016	0.00251	0.04339
1540	SLE frequente 1	0.13947	0.10481	0.00205	0.03261
1540	SLE frequente 2	0.15287	0.11498	0.00218	0.03571
1540	SLE frequente 3	0.15927	0.11982	0.00225	0.03721
1540	SLE frequente 4	0.17267	0.12999	0.00238	0.0403
1540	SLE quasi permanente 1	0.13947	0.10481	0.00205	0.03261
1540	SLE quasi permanente 2	0.14751	0.11091	0.00213	0.03447
1540	SLE quasi permanente 3	0.15927	0.11982	0.00225	0.03721
1540	SLE quasi permanente 4	0.16731	0.12592	0.00233	0.03907
1554	SLE rara 1	0.20703	0.17713	0.00416	0.02574
1554	SLE rara 2	0.20934	0.17914	0.00419	0.02601
1554	SLE rara 3	0.22679	0.19429	0.00441	0.02809
1554	SLE rara 4	0.23196	0.19878	0.00447	0.02871
1554	SLE rara 5	0.22932	0.19649	0.00444	0.02839
1554	SLE rara 6	0.23163	0.1985	0.00447	0.02866
1554	SLE rara 7	0.24908	0.21365	0.00469	0.03074
1554	SLE rara 8	0.25425	0.21814	0.00476	0.03135
1554	SLE frequente 1	0.20703	0.17713	0.00416	0.02574
1554	SLE frequente 2	0.21949	0.18796	0.00432	0.02722
1554	SLE frequente 3	0.22932	0.19649	0.00444	0.02839
1554	SLE frequente 4	0.24179	0.20731	0.0046	0.02987
1554	SLE quasi permanente 1	0.20703	0.17713	0.00416	0.02574
1554	SLE quasi permanente 2	0.21451	0.18363	0.00425	0.02663
1554	SLE quasi permanente 3	0.22932	0.19649	0.00444	0.02839
1554	SLE quasi permanente 4	0.2368	0.20299	0.00454	0.02928
1556	SLE rara 1	0.13395	0.1099	0.0027	0.02135
1556	SLE rara 2	0.13507	0.11085	0.00272	0.02151
1556	SLE rara 3	0.14688	0.12067	0.00286	0.02335
1556	SLE rara 4	0.15081	0.12393	0.00291	0.02398
1556	SLE rara 5	0.14823	0.12182	0.00288	0.02354
1556	SLE rara 6	0.14935	0.12276	0.00289	0.0237
1556	SLE rara 7	0.16116	0.13258	0.00303	0.02554
1556	SLE rara 8	0.16509	0.13584	0.00308	0.02617
1556	SLE frequente 1	0.13395	0.1099	0.0027	0.02135
1556	SLE frequente 2	0.14238	0.11691	0.00281	0.02266
1556	SLE frequente 3	0.14823	0.12182	0.00288	0.02354
1556	SLE frequente 4	0.15666	0.12883	0.00298	0.02485
1556	SLE quasi permanente 1	0.13395	0.1099	0.0027	0.02135
1556	SLE quasi permanente 2	0.13901	0.11411	0.00277	0.02214
1556	SLE quasi permanente 3	0.14823	0.12182	0.00288	0.02354
1556	SLE quasi permanente 4	0.15329	0.12603	0.00294	0.02433
1557	SLE rara 1	0.15459	0.13262	0.00374	0.01822
1557	SLE rara 2	0.15579	0.13367	0.00376	0.01836
1557	SLE rara 3	0.17121	0.14714	0.00396	0.02011
1557	SLE rara 4	0.17661	0.15185	0.00403	0.02072
1557	SLE rara 5	0.17239	0.14817	0.00397	0.02024
1557	SLE rara 6	0.17359	0.14922	0.00399	0.02038
1557	SLE rara 7	0.18901	0.16268	0.00419	0.02213
1557	SLE rara 8	0.19441	0.1674	0.00426	0.02275
1557	SLE frequente 1	0.15459	0.13262	0.00374	0.01822
1557	SLE frequente 2	0.1656	0.14224	0.00389	0.01947
1557	SLE frequente 3	0.17239	0.14817	0.00397	0.02024
1557	SLE frequente 4	0.1834	0.15778	0.00412	0.02149
1557	SLE quasi permanente 1	0.15459	0.13262	0.00374	0.01822
1557	SLE quasi permanente 2	0.16119	0.13839	0.00383	0.01897
1557	SLE quasi permanente 3	0.17239	0.14817	0.00397	0.02024
1557	SLE quasi permanente 4	0.17899	0.15394	0.00406	0.02099
1559	SLE rara 1	0.08252	0.06811	0.00211	0.01231
1559	SLE rara 2	0.08301	0.06853	0.00211	0.01236
1559	SLE rara 3	0.09041	0.07496	0.00221	0.01324
1559	SLE rara 4	0.0931	0.07729	0.00225	0.01356
1559	SLE rara 5	0.09048	0.07503	0.00221	0.01324
1559	SLE rara 6	0.09097	0.07546	0.00222	0.01329
1559	SLE rara 7	0.09837	0.08188	0.00232	0.01417
1559	SLE rara 8	0.10106	0.08421	0.00235	0.01449

RELAZIONE GEOTECNICA E SULLE FONDAZIONI

Nodo Indice	Contesto	Totale	Da carico laterale	Da carico punta	Da accorciamento
1559	SLE frequente 1	0.08252	0.06811	0.00211	0.01231
1559	SLE frequente 2	0.08781	0.0727	0.00218	0.01293
1559	SLE frequente 3	0.09048	0.07503	0.00221	0.01324
1559	SLE frequente 4	0.09577	0.07962	0.00228	0.01387
1559	SLE quasi permanente 1	0.08252	0.06811	0.00211	0.01231
1559	SLE quasi permanente 2	0.08569	0.07086	0.00215	0.01268
1559	SLE quasi permanente 3	0.09048	0.07503	0.00221	0.01324
1559	SLE quasi permanente 4	0.09365	0.07778	0.00225	0.01361
1576	SLE rara 1	0.14316	0.09905	0.00168	0.04243
1576	SLE rara 2	0.14643	0.10137	0.00171	0.04334
1576	SLE rara 3	0.16973	0.11797	0.00192	0.04984
1576	SLE rara 4	0.17645	0.12276	0.00198	0.05171
1576	SLE rara 5	0.1695	0.11779	0.00192	0.04979
1576	SLE rara 6	0.17277	0.12011	0.00195	0.05071
1576	SLE rara 7	0.19607	0.13671	0.00216	0.05721
1576	SLE rara 8	0.20279	0.1415	0.00222	0.05907
1576	SLE frequente 1	0.14316	0.09905	0.00168	0.04243
1576	SLE frequente 2	0.1598	0.11091	0.00183	0.04707
1576	SLE frequente 3	0.1695	0.11779	0.00192	0.04979
1576	SLE frequente 4	0.18614	0.12964	0.00207	0.05443
1576	SLE quasi permanente 1	0.14316	0.09905	0.00168	0.04243
1576	SLE quasi permanente 2	0.15315	0.10616	0.00177	0.04521
1576	SLE quasi permanente 3	0.1695	0.11779	0.00192	0.04979
1576	SLE quasi permanente 4	0.17949	0.1249	0.00201	0.05258
1664	SLE rara 1	0.07007	0.04082	0.00064	0.02861
1664	SLE rara 2	0.07103	0.0414	0.00065	0.02899
1664	SLE rara 3	0.08294	0.04849	0.00072	0.03373
1664	SLE rara 4	0.08708	0.05096	0.00075	0.03537
1664	SLE rara 5	0.08391	0.04907	0.00073	0.03411
1664	SLE rara 6	0.08487	0.04964	0.00073	0.03449
1664	SLE rara 7	0.09678	0.05674	0.00081	0.03923
1664	SLE rara 8	0.10092	0.0592	0.00083	0.04088
1664	SLE frequente 1	0.07007	0.04082	0.00064	0.02861
1664	SLE frequente 2	0.07858	0.04589	0.00069	0.03199
1664	SLE frequente 3	0.08391	0.04907	0.00073	0.03411
1664	SLE frequente 4	0.09241	0.05414	0.00078	0.0375
1664	SLE quasi permanente 1	0.07007	0.04082	0.00064	0.02861
1664	SLE quasi permanente 2	0.07517	0.04386	0.00067	0.03064
1664	SLE quasi permanente 3	0.08391	0.04907	0.00073	0.03411
1664	SLE quasi permanente 4	0.08901	0.05211	0.00076	0.03614
1665	SLE rara 1	0.07099	0.04137	0.00065	0.02897
1665	SLE rara 2	0.07193	0.04193	0.00065	0.02934
1665	SLE rara 3	0.08335	0.04874	0.00072	0.03389
1665	SLE rara 4	0.08731	0.0511	0.00075	0.03547
1665	SLE rara 5	0.08417	0.04923	0.00073	0.03422
1665	SLE rara 6	0.0851	0.04978	0.00073	0.03459
1665	SLE rara 7	0.09653	0.05659	0.0008	0.03913
1665	SLE rara 8	0.10049	0.05895	0.00083	0.04071
1665	SLE frequente 1	0.07099	0.04137	0.00065	0.02897
1665	SLE frequente 2	0.07915	0.04624	0.0007	0.03222
1665	SLE frequente 3	0.08417	0.04923	0.00073	0.03422
1665	SLE frequente 4	0.09233	0.05409	0.00078	0.03746
1665	SLE quasi permanente 1	0.07099	0.04137	0.00065	0.02897
1665	SLE quasi permanente 2	0.07589	0.04429	0.00068	0.03092
1665	SLE quasi permanente 3	0.08417	0.04923	0.00073	0.03422
1665	SLE quasi permanente 4	0.08907	0.05214	0.00076	0.03617
1666	SLE rara 1	0.07072	0.04121	0.00065	0.02886
1666	SLE rara 2	0.07165	0.04177	0.00065	0.02924
1666	SLE rara 3	0.08238	0.04816	0.00072	0.0335
1666	SLE rara 4	0.08603	0.05033	0.00074	0.03496
1666	SLE rara 5	0.08372	0.04896	0.00073	0.03404
1666	SLE rara 6	0.08466	0.04951	0.00073	0.03441
1666	SLE rara 7	0.09538	0.0559	0.0008	0.03868
1666	SLE rara 8	0.09903	0.05808	0.00082	0.04013
1666	SLE frequente 1	0.07072	0.04121	0.00065	0.02886
1666	SLE frequente 2	0.07837	0.04577	0.00069	0.03191
1666	SLE frequente 3	0.08372	0.04896	0.00073	0.03404
1666	SLE frequente 4	0.09137	0.05352	0.00077	0.03708
1666	SLE quasi permanente 1	0.07072	0.04121	0.00065	0.02886
1666	SLE quasi permanente 2	0.07531	0.04395	0.00067	0.03069
1666	SLE quasi permanente 3	0.08372	0.04896	0.00073	0.03404
1666	SLE quasi permanente 4	0.08831	0.05169	0.00075	0.03586
1667	SLE rara 1	0.07164	0.04176	0.00065	0.02923
1667	SLE rara 2	0.07265	0.04236	0.00066	0.02963
1667	SLE rara 3	0.08422	0.04925	0.00073	0.03423
1667	SLE rara 4	0.08816	0.0516	0.00075	0.0358
1667	SLE rara 5	0.08566	0.05011	0.00074	0.03481
1667	SLE rara 6	0.08667	0.05072	0.00074	0.03521
1667	SLE rara 7	0.09824	0.05761	0.00081	0.03981
1667	SLE rara 8	0.10218	0.05996	0.00084	0.04138
1667	SLE frequente 1	0.07164	0.04176	0.00065	0.02923
1667	SLE frequente 2	0.0799	0.04668	0.0007	0.03252
1667	SLE frequente 3	0.08566	0.05011	0.00074	0.03481
1667	SLE frequente 4	0.09392	0.05504	0.00079	0.0381
1667	SLE quasi permanente 1	0.07164	0.04176	0.00065	0.02923
1667	SLE quasi permanente 2	0.07659	0.04471	0.00068	0.0312
1667	SLE quasi permanente 3	0.08566	0.05011	0.00074	0.03481
1667	SLE quasi permanente 4	0.09062	0.05307	0.00077	0.03678
1687	SLE rara 1	0.17095	0.13854	0.0031	0.02931
1687	SLE rara 2	0.17302	0.14022	0.00313	0.02968
1687	SLE rara 3	0.18729	0.15192	0.0033	0.03207
1687	SLE rara 4	0.19133	0.15525	0.00334	0.03273
1687	SLE rara 5	0.18972	0.15391	0.00333	0.03248
1687	SLE rara 6	0.19179	0.15559	0.00335	0.03285
1687	SLE rara 7	0.20605	0.16729	0.00352	0.03525
1687	SLE rara 8	0.2101	0.17062	0.00357	0.03591
1687	SLE frequente 1	0.17095	0.13854	0.0031	0.02931
1687	SLE frequente 2	0.18114	0.1469	0.00322	0.03102
1687	SLE frequente 3	0.18972	0.15391	0.00333	0.03248
1687	SLE frequente 4	0.19991	0.16227	0.00345	0.0342

RELAZIONE GEOTECNICA E SULLE FONDAZIONI

Nodo Indice	Contesto	Totale	Da carico laterale	Da carico punta	Da accorciamento
1687	SLE quasi permanente 1	0.17095	0.13854	0.0031	0.02931
1687	SLE quasi permanente 2	0.17706	0.14356	0.00318	0.03033
1687	SLE quasi permanente 3	0.18972	0.15391	0.00333	0.03248
1687	SLE quasi permanente 4	0.19583	0.15892	0.0034	0.03351
1688	SLE rara 1	0.20037	0.17199	0.00409	0.02429
1688	SLE rara 2	0.20241	0.17377	0.00412	0.02451
1688	SLE rara 3	0.21846	0.18776	0.00433	0.02638
1688	SLE rara 4	0.22331	0.19197	0.00439	0.02695
1688	SLE rara 5	0.22138	0.19032	0.00437	0.0267
1688	SLE rara 6	0.22341	0.1921	0.00439	0.02692
1688	SLE rara 7	0.23947	0.20608	0.0046	0.02878
1688	SLE rara 8	0.24432	0.2103	0.00466	0.02936
1688	SLE frequente 1	0.20037	0.17199	0.00409	0.02429
1688	SLE frequente 2	0.21184	0.18198	0.00424	0.02562
1688	SLE frequente 3	0.22138	0.19032	0.00437	0.0267
1688	SLE frequente 4	0.23285	0.20031	0.00451	0.02803
1688	SLE quasi permanente 1	0.20037	0.17199	0.00409	0.02429
1688	SLE quasi permanente 2	0.20726	0.17798	0.00418	0.02509
1688	SLE quasi permanente 3	0.22138	0.19032	0.00437	0.0267
1688	SLE quasi permanente 4	0.22826	0.19631	0.00446	0.0275
1691	SLE rara 1	0.09758	0.07499	0.00191	0.02068
1691	SLE rara 2	0.09839	0.07562	0.00192	0.02086
1691	SLE rara 3	0.10729	0.08251	0.00201	0.02277
1691	SLE rara 4	0.11029	0.08484	0.00204	0.02341
1691	SLE rara 5	0.11089	0.08376	0.00203	0.02311
1691	SLE rara 6	0.10972	0.08439	0.00204	0.02329
1691	SLE rara 7	0.11862	0.09129	0.00213	0.0252
1691	SLE rara 8	0.12161	0.09361	0.00216	0.02584
1691	SLE frequente 1	0.09758	0.07499	0.00191	0.02068
1691	SLE frequente 2	0.10393	0.07991	0.00198	0.02204
1691	SLE frequente 3	0.1089	0.08376	0.00203	0.02311
1691	SLE frequente 4	0.11526	0.08869	0.0021	0.02448
1691	SLE quasi permanente 1	0.09758	0.07499	0.00191	0.02068
1691	SLE quasi permanente 2	0.10139	0.07794	0.00195	0.0215
1691	SLE quasi permanente 3	0.1089	0.08376	0.00203	0.02311
1691	SLE quasi permanente 4	0.11272	0.08672	0.00207	0.02393
1693	SLE rara 1	0.12491	0.10624	0.00312	0.01554
1693	SLE rara 2	0.1258	0.10703	0.00313	0.01564
1693	SLE rara 3	0.13558	0.11552	0.00326	0.0168
1693	SLE rara 4	0.13887	0.11838	0.0033	0.0172
1693	SLE rara 5	0.1376	0.11731	0.00329	0.017
1693	SLE rara 6	0.13849	0.11809	0.0033	0.0171
1693	SLE rara 7	0.14827	0.12659	0.00342	0.01826
1693	SLE rara 8	0.15156	0.12944	0.00347	0.01865
1693	SLE frequente 1	0.12491	0.10624	0.00312	0.01554
1693	SLE frequente 2	0.13189	0.11231	0.00321	0.01637
1693	SLE frequente 3	0.1376	0.11731	0.00329	0.017
1693	SLE frequente 4	0.14458	0.12338	0.00338	0.01783
1693	SLE quasi permanente 1	0.12491	0.10624	0.00312	0.01554
1693	SLE quasi permanente 2	0.1291	0.10988	0.00317	0.01604
1693	SLE quasi permanente 3	0.1376	0.11731	0.00329	0.017
1693	SLE quasi permanente 4	0.14179	0.12095	0.00334	0.0175
1707	SLE rara 1	0.15812	0.12664	0.00265	0.02883
1707	SLE rara 2	0.15969	0.12792	0.00267	0.0291
1707	SLE rara 3	0.17894	0.14367	0.00289	0.03238
1707	SLE rara 4	0.18562	0.14914	0.00296	0.03351
1707	SLE rara 5	0.17871	0.14348	0.00288	0.03234
1707	SLE rara 6	0.18028	0.14476	0.0029	0.03262
1707	SLE rara 7	0.19953	0.16052	0.00312	0.03589
1707	SLE rara 8	0.20621	0.16599	0.0032	0.03702
1707	SLE frequente 1	0.15812	0.12664	0.00265	0.02883
1707	SLE frequente 2	0.17187	0.13789	0.00281	0.03117
1707	SLE frequente 3	0.17871	0.14348	0.00288	0.03234
1707	SLE frequente 4	0.19246	0.15474	0.00304	0.03468
1707	SLE quasi permanente 1	0.15812	0.12664	0.00265	0.02883
1707	SLE quasi permanente 2	0.16637	0.13339	0.00274	0.03023
1707	SLE quasi permanente 3	0.17871	0.14348	0.00288	0.03234
1707	SLE quasi permanente 4	0.18696	0.15024	0.00298	0.03375
1708	SLE rara 1	0.15703	0.12578	0.00264	0.02862
1708	SLE rara 2	0.15858	0.12704	0.00265	0.02889
1708	SLE rara 3	0.17744	0.14248	0.00287	0.03209
1708	SLE rara 4	0.18396	0.14782	0.00295	0.03319
1708	SLE rara 5	0.17747	0.1425	0.00287	0.0321
1708	SLE rara 6	0.17902	0.14377	0.00289	0.03237
1708	SLE rara 7	0.19787	0.1592	0.00311	0.03557
1708	SLE rara 8	0.2044	0.16455	0.00318	0.03667
1708	SLE frequente 1	0.15703	0.12578	0.00264	0.02862
1708	SLE frequente 2	0.1705	0.1368	0.00279	0.0309
1708	SLE frequente 3	0.17747	0.1425	0.00287	0.0321
1708	SLE frequente 4	0.19093	0.15352	0.00303	0.03438
1708	SLE quasi permanente 1	0.15703	0.12578	0.00264	0.02862
1708	SLE quasi permanente 2	0.16511	0.13239	0.00273	0.02999
1708	SLE quasi permanente 3	0.17747	0.1425	0.00287	0.0321
1708	SLE quasi permanente 4	0.18555	0.14911	0.00296	0.03347
1770	SLE rara 1	0.14068	0.09817	0.00168	0.04082
1770	SLE rara 2	0.14407	0.10054	0.00171	0.04182
1770	SLE rara 3	0.1685	0.11754	0.00192	0.04904
1770	SLE rara 4	0.17557	0.12245	0.00198	0.05114
1770	SLE rara 5	0.16815	0.11731	0.00192	0.04892
1770	SLE rara 6	0.17155	0.11968	0.00195	0.04992
1770	SLE rara 7	0.19598	0.13667	0.00216	0.05715
1770	SLE rara 8	0.20305	0.14159	0.00222	0.05924
1770	SLE frequente 1	0.14068	0.09817	0.00168	0.04082
1770	SLE frequente 2	0.15812	0.11031	0.00183	0.04598
1770	SLE frequente 3	0.16815	0.11731	0.00192	0.04892
1770	SLE frequente 4	0.1856	0.12945	0.00207	0.05408
1770	SLE quasi permanente 1	0.14068	0.09817	0.00168	0.04082
1770	SLE quasi permanente 2	0.15115	0.10546	0.00177	0.04392
1770	SLE quasi permanente 3	0.16815	0.11731	0.00192	0.04892
1770	SLE quasi permanente 4	0.17862	0.12459	0.00201	0.05202

RELAZIONE GEOTECNICA E SULLE FONDAZIONI

Nodo Indice	Contesto	Totale	Da carico laterale	Da carico punta	Da accorciamento
1776	SLE rara 1	0.12059	0.096	0.00223	0.02236
1776	SLE rara 2	0.12163	0.09686	0.00224	0.02253
1776	SLE rara 3	0.13075	0.10435	0.00235	0.02405
1776	SLE rara 4	0.13361	0.10669	0.00238	0.02453
1776	SLE rara 5	0.13273	0.10591	0.00237	0.02445
1776	SLE rara 6	0.13377	0.10677	0.00238	0.02462
1776	SLE rara 7	0.14289	0.11425	0.00249	0.02615
1776	SLE rara 8	0.14575	0.1166	0.00252	0.02663
1776	SLE frequente 1	0.12059	0.096	0.00223	0.02236
1776	SLE frequente 2	0.1271	0.10135	0.00231	0.02344
1776	SLE frequente 3	0.13273	0.10591	0.00237	0.02445
1776	SLE frequente 4	0.13924	0.11125	0.00245	0.02554
1776	SLE quasi permanente 1	0.12059	0.096	0.00223	0.02236
1776	SLE quasi permanente 2	0.12449	0.09921	0.00228	0.02301
1776	SLE quasi permanente 3	0.13273	0.10591	0.00237	0.02445
1776	SLE quasi permanente 4	0.13663	0.10911	0.00242	0.02511
1778	SLE rara 1	0.19598	0.16479	0.00369	0.02749
1778	SLE rara 2	0.19823	0.16672	0.00372	0.0278
1778	SLE rara 3	0.21407	0.18025	0.00392	0.0299
1778	SLE rara 4	0.21859	0.18412	0.00397	0.0305
1778	SLE rara 5	0.21702	0.18276	0.00395	0.03031
1778	SLE rara 6	0.21928	0.18469	0.00398	0.03061
1778	SLE rara 7	0.23511	0.19823	0.00417	0.03271
1778	SLE rara 8	0.23964	0.2021	0.00423	0.03331
1778	SLE frequente 1	0.19598	0.16479	0.00369	0.02749
1778	SLE frequente 2	0.20728	0.17446	0.00383	0.029
1778	SLE frequente 3	0.21702	0.18276	0.00395	0.03031
1778	SLE frequente 4	0.22833	0.19243	0.00409	0.03181
1778	SLE quasi permanente 1	0.19598	0.16479	0.00369	0.02749
1778	SLE quasi permanente 2	0.20276	0.17059	0.00378	0.0284
1778	SLE quasi permanente 3	0.21702	0.18276	0.00395	0.03031
1778	SLE quasi permanente 4	0.22381	0.18856	0.00404	0.03121
1785	SLE rara 1	0.13707	0.11599	0.00324	0.01784
1785	SLE rara 2	0.13815	0.11692	0.00326	0.01797
1785	SLE rara 3	0.1486	0.12598	0.00339	0.01923
1785	SLE rara 4	0.15199	0.12892	0.00343	0.01963
1785	SLE rara 5	0.15168	0.12861	0.00343	0.01965
1785	SLE rara 6	0.15277	0.12954	0.00344	0.01978
1785	SLE rara 7	0.16322	0.1386	0.00358	0.02104
1785	SLE rara 8	0.16661	0.14154	0.00362	0.02144
1785	SLE frequente 1	0.13707	0.11599	0.00324	0.01784
1785	SLE frequente 2	0.14453	0.12246	0.00334	0.01873
1785	SLE frequente 3	0.15168	0.12861	0.00343	0.01965
1785	SLE frequente 4	0.15914	0.13508	0.00352	0.02054
1785	SLE quasi permanente 1	0.13707	0.11599	0.00324	0.01784
1785	SLE quasi permanente 2	0.14154	0.11987	0.0033	0.01837
1785	SLE quasi permanente 3	0.15168	0.12861	0.00343	0.01965
1785	SLE quasi permanente 4	0.15616	0.13249	0.00349	0.02019
1789	SLE rara 1	0.08318	0.06863	0.00212	0.01243
1789	SLE rara 2	0.0837	0.06908	0.00212	0.01249
1789	SLE rara 3	0.08823	0.073	0.00218	0.01304
1789	SLE rara 4	0.08965	0.07423	0.00222	0.01322
1789	SLE rara 5	0.09022	0.07474	0.00221	0.01327
1789	SLE rara 6	0.09074	0.0752	0.00221	0.01333
1789	SLE rara 7	0.09527	0.07912	0.00227	0.01388
1789	SLE rara 8	0.09669	0.08034	0.00229	0.01406
1789	SLE frequente 1	0.08318	0.06863	0.00212	0.01243
1789	SLE frequente 2	0.08641	0.07143	0.00216	0.01283
1789	SLE frequente 3	0.09022	0.07474	0.00221	0.01327
1789	SLE frequente 4	0.09345	0.07754	0.00225	0.01366
1789	SLE quasi permanente 1	0.08318	0.06863	0.00212	0.01243
1789	SLE quasi permanente 2	0.08512	0.07031	0.00214	0.01267
1789	SLE quasi permanente 3	0.09022	0.07474	0.00221	0.01327
1789	SLE quasi permanente 4	0.09216	0.07642	0.00223	0.0135
1798	SLE rara 1	0.15997	0.12693	0.00266	0.03038
1798	SLE rara 2	0.16158	0.12822	0.00268	0.03068
1798	SLE rara 3	0.17798	0.14131	0.00286	0.03381
1798	SLE rara 4	0.1834	0.14563	0.00292	0.03485
1798	SLE rara 5	0.17913	0.14226	0.00288	0.03399
1798	SLE rara 6	0.18074	0.14355	0.00289	0.03429
1798	SLE rara 7	0.19714	0.15664	0.00308	0.03742
1798	SLE rara 8	0.20255	0.16095	0.00314	0.03847
1798	SLE frequente 1	0.15997	0.12693	0.00266	0.03038
1798	SLE frequente 2	0.17168	0.13628	0.00279	0.03261
1798	SLE frequente 3	0.17913	0.14226	0.00288	0.03399
1798	SLE frequente 4	0.19084	0.15161	0.00301	0.03623
1798	SLE quasi permanente 1	0.15997	0.12693	0.00266	0.03038
1798	SLE quasi permanente 2	0.167	0.13254	0.00274	0.03172
1798	SLE quasi permanente 3	0.17913	0.14226	0.00288	0.03399
1798	SLE quasi permanente 4	0.18616	0.14787	0.00295	0.03533
1799	SLE rara 1	0.15797	0.12537	0.00264	0.02996
1799	SLE rara 2	0.15955	0.12663	0.00266	0.03026
1799	SLE rara 3	0.1754	0.13929	0.00283	0.03328
1799	SLE rara 4	0.18062	0.14345	0.00289	0.03428
1799	SLE rara 5	0.17675	0.1404	0.00285	0.03351
1799	SLE rara 6	0.17833	0.14166	0.00287	0.0338
1799	SLE rara 7	0.19418	0.15432	0.00304	0.03682
1799	SLE rara 8	0.19939	0.15848	0.0031	0.03782
1799	SLE frequente 1	0.15797	0.12537	0.00264	0.02996
1799	SLE frequente 2	0.1693	0.13441	0.00277	0.03212
1799	SLE frequente 3	0.17675	0.1404	0.00285	0.03351
1799	SLE frequente 4	0.18807	0.14944	0.00298	0.03566
1799	SLE quasi permanente 1	0.15797	0.12537	0.00264	0.02996
1799	SLE quasi permanente 2	0.16477	0.13079	0.00272	0.03126
1799	SLE quasi permanente 3	0.17675	0.1404	0.00285	0.03351
1799	SLE quasi permanente 4	0.18355	0.14582	0.00293	0.0348
1802	SLE rara 1	0.09424	0.05523	0.00079	0.03822
1802	SLE rara 2	0.09608	0.05632	0.0008	0.03895
1802	SLE rara 3	0.10711	0.0629	0.00087	0.04335
1802	SLE rara 4	0.11001	0.06462	0.00089	0.0445

RELAZIONE GEOTECNICA E SULLE FONDAZIONI

Nodo Indice	Contesto	Totale	Da carico laterale	Da carico punta	Da accorciamento
1802	SLE rara 5	0.10879	0.0639	0.00088	0.04401
1802	SLE rara 6	0.11062	0.06499	0.00089	0.04474
1802	SLE rara 7	0.12166	0.07157	0.00096	0.04914
1802	SLE rara 8	0.12456	0.07329	0.00098	0.05029
1802	SLE frequente 1	0.09424	0.05523	0.00079	0.03822
1802	SLE frequente 2	0.10212	0.05992	0.00084	0.04136
1802	SLE frequente 3	0.10879	0.0639	0.00088	0.04401
1802	SLE frequente 4	0.11667	0.06859	0.00093	0.04715
1802	SLE quasi permanente 1	0.09424	0.05523	0.00079	0.03822
1802	SLE quasi permanente 2	0.09897	0.05804	0.00082	0.04011
1802	SLE quasi permanente 3	0.10879	0.0639	0.00088	0.04401
1802	SLE quasi permanente 4	0.11352	0.06671	0.00091	0.04589
1862	SLE rara 1	0.18133	0.14773	0.00325	0.03036
1862	SLE rara 2	0.18365	0.14962	0.00327	0.03076
1862	SLE rara 3	0.19883	0.16206	0.00345	0.03332
1862	SLE rara 4	0.20303	0.1655	0.0035	0.03402
1862	SLE rara 5	0.20147	0.16423	0.00348	0.03375
1862	SLE rara 6	0.20378	0.16612	0.00351	0.03415
1862	SLE rara 7	0.21897	0.17857	0.00369	0.03671
1862	SLE rara 8	0.22316	0.18201	0.00374	0.03741
1862	SLE frequente 1	0.18133	0.14773	0.00325	0.03036
1862	SLE frequente 2	0.19218	0.15661	0.00337	0.03219
1862	SLE frequente 3	0.20147	0.16423	0.00348	0.03375
1862	SLE frequente 4	0.21232	0.17312	0.00361	0.03558
1862	SLE quasi permanente 1	0.18133	0.14773	0.00325	0.03036
1862	SLE quasi permanente 2	0.18784	0.15306	0.00332	0.03146
1862	SLE quasi permanente 3	0.20147	0.16423	0.00348	0.03375
1862	SLE quasi permanente 4	0.20798	0.16956	0.00356	0.03485
1863	SLE rara 1	0.20402	0.17473	0.00412	0.02517
1863	SLE rara 2	0.20607	0.17651	0.00415	0.02541
1863	SLE rara 3	0.22071	0.18927	0.00434	0.02711
1863	SLE rara 4	0.22494	0.19295	0.00439	0.02759
1863	SLE rara 5	0.22458	0.19262	0.00439	0.02758
1863	SLE rara 6	0.22663	0.1944	0.00441	0.02782
1863	SLE rara 7	0.24127	0.20715	0.0046	0.02951
1863	SLE rara 8	0.2455	0.21084	0.00466	0.03
1863	SLE frequente 1	0.20402	0.17473	0.00412	0.02517
1863	SLE frequente 2	0.21448	0.18384	0.00426	0.02638
1863	SLE frequente 3	0.22458	0.19262	0.00439	0.02758
1863	SLE frequente 4	0.23504	0.20173	0.00452	0.02879
1863	SLE quasi permanente 1	0.20402	0.17473	0.00412	0.02517
1863	SLE quasi permanente 2	0.2103	0.1802	0.0042	0.02589
1863	SLE quasi permanente 3	0.22458	0.19262	0.00439	0.02758
1863	SLE quasi permanente 4	0.23086	0.19808	0.00447	0.0283
1864	SLE rara 1	0.11325	0.09057	0.0024	0.02027
1864	SLE rara 2	0.11424	0.09137	0.00242	0.02045
1864	SLE rara 3	0.12119	0.09689	0.00249	0.02181
1864	SLE rara 4	0.12318	0.09846	0.00251	0.02221
1864	SLE rara 5	0.12534	0.10031	0.00254	0.02248
1864	SLE rara 6	0.12632	0.10111	0.00255	0.02266
1864	SLE rara 7	0.13328	0.10663	0.00263	0.02401
1864	SLE rara 8	0.13527	0.1082	0.00265	0.02441
1864	SLE frequente 1	0.11325	0.09057	0.0024	0.02027
1864	SLE frequente 2	0.11822	0.09452	0.00246	0.02124
1864	SLE frequente 3	0.12534	0.10031	0.00254	0.02248
1864	SLE frequente 4	0.1303	0.10426	0.0026	0.02345
1864	SLE quasi permanente 1	0.11325	0.09057	0.0024	0.02027
1864	SLE quasi permanente 2	0.11623	0.09294	0.00244	0.02085
1864	SLE quasi permanente 3	0.12534	0.10031	0.00254	0.02248
1864	SLE quasi permanente 4	0.12832	0.10268	0.00258	0.02306
1866	SLE rara 1	0.12283	0.1045	0.0031	0.01523
1866	SLE rara 2	0.12373	0.10528	0.00311	0.01533
1866	SLE rara 3	0.13051	0.11128	0.0032	0.01604
1866	SLE rara 4	0.13253	0.11306	0.00323	0.01624
1866	SLE rara 5	0.13425	0.11451	0.00325	0.0165
1866	SLE rara 6	0.13514	0.11529	0.00326	0.0166
1866	SLE rara 7	0.14193	0.12128	0.00335	0.0173
1866	SLE rara 8	0.14395	0.12307	0.00338	0.0175
1866	SLE frequente 1	0.12283	0.1045	0.0031	0.01523
1866	SLE frequente 2	0.12768	0.10878	0.00316	0.01574
1866	SLE frequente 3	0.13425	0.11451	0.00325	0.0165
1866	SLE frequente 4	0.1391	0.11879	0.00331	0.017
1866	SLE quasi permanente 1	0.12283	0.1045	0.0031	0.01523
1866	SLE quasi permanente 2	0.12574	0.10707	0.00314	0.01554
1866	SLE quasi permanente 3	0.13425	0.11451	0.00325	0.0165
1866	SLE quasi permanente 4	0.13716	0.11707	0.00329	0.0168
1880	SLE rara 1	0.06715	0.03908	0.00062	0.02744
1880	SLE rara 2	0.06814	0.03967	0.00063	0.02784
1880	SLE rara 3	0.0758	0.04424	0.00068	0.03089
1880	SLE rara 4	0.0781	0.04561	0.00069	0.0318
1880	SLE rara 5	0.07963	0.04652	0.0007	0.03241
1880	SLE rara 6	0.08062	0.04711	0.00071	0.0328
1880	SLE rara 7	0.08828	0.05168	0.00075	0.03585
1880	SLE rara 8	0.09058	0.05305	0.00077	0.03677
1880	SLE frequente 1	0.06715	0.03908	0.00062	0.02744
1880	SLE frequente 2	0.07262	0.04234	0.00066	0.02962
1880	SLE frequente 3	0.07963	0.04652	0.0007	0.03241
1880	SLE frequente 4	0.0851	0.04978	0.00073	0.03459
1880	SLE quasi permanente 1	0.06715	0.03908	0.00062	0.02744
1880	SLE quasi permanente 2	0.07043	0.04104	0.00064	0.02875
1880	SLE quasi permanente 3	0.07963	0.04652	0.0007	0.03241
1880	SLE quasi permanente 4	0.08291	0.04848	0.00072	0.03372
1881	SLE rara 1	0.06793	0.03955	0.00063	0.02776
1881	SLE rara 2	0.06889	0.04012	0.00063	0.02814
1881	SLE rara 3	0.07641	0.0446	0.00068	0.03113
1881	SLE rara 4	0.07867	0.04595	0.00069	0.03203
1881	SLE rara 5	0.07982	0.04663	0.0007	0.03249
1881	SLE rara 6	0.08078	0.0472	0.00071	0.03287
1881	SLE rara 7	0.08829	0.05168	0.00075	0.03586
1881	SLE rara 8	0.09056	0.05303	0.00077	0.03676

RELAZIONE GEOTECNICA E SULLE FONDAZIONI

Nodo Indice	Contesto	Totale	Da carico laterale	Da carico punta	Da accorciamento
1881	SLE frequente 1	0.06793	0.03955	0.00063	0.02776
1881	SLE frequente 2	0.0733	0.04275	0.00066	0.02989
1881	SLE frequente 3	0.07982	0.04663	0.0007	0.03249
1881	SLE frequente 4	0.08519	0.04983	0.00073	0.03462
1881	SLE quasi permanente 1	0.06793	0.03955	0.00063	0.02776
1881	SLE quasi permanente 2	0.07115	0.04147	0.00065	0.02904
1881	SLE quasi permanente 3	0.07982	0.04663	0.0007	0.03249
1881	SLE quasi permanente 4	0.08304	0.04855	0.00072	0.03377
1882	SLE rara 1	0.18789	0.15496	0.00331	0.02962
1882	SLE rara 2	0.18974	0.1565	0.00334	0.0299
1882	SLE rara 3	0.20674	0.1706	0.00354	0.03261
1882	SLE rara 4	0.21218	0.1751	0.0036	0.03348
1882	SLE rara 5	0.2088	0.17239	0.00356	0.03284
1882	SLE rara 6	0.21065	0.17394	0.00358	0.03312
1882	SLE rara 7	0.22765	0.18804	0.00378	0.03583
1882	SLE rara 8	0.23309	0.19253	0.00385	0.03671
1882	SLE frequente 1	0.18789	0.15496	0.00331	0.02962
1882	SLE frequente 2	0.20003	0.16503	0.00346	0.03155
1882	SLE frequente 3	0.2088	0.17239	0.00356	0.03284
1882	SLE frequente 4	0.22094	0.18246	0.0037	0.03478
1882	SLE quasi permanente 1	0.18789	0.15496	0.00331	0.02962
1882	SLE quasi permanente 2	0.19517	0.161	0.0034	0.03078
1882	SLE quasi permanente 3	0.2088	0.17239	0.00356	0.03284
1882	SLE quasi permanente 4	0.21608	0.17843	0.00365	0.034
1883	SLE rara 1	0.18577	0.15314	0.00329	0.02934
1883	SLE rara 2	0.18758	0.15466	0.00331	0.02961
1883	SLE rara 3	0.20401	0.16827	0.0035	0.03224
1883	SLE rara 4	0.20924	0.17258	0.00356	0.03309
1883	SLE rara 5	0.20624	0.17021	0.00353	0.0325
1883	SLE rara 6	0.20806	0.17173	0.00355	0.03278
1883	SLE rara 7	0.22449	0.18534	0.00374	0.03541
1883	SLE rara 8	0.22971	0.18965	0.0038	0.03626
1883	SLE frequente 1	0.18577	0.15314	0.00329	0.02934
1883	SLE frequente 2	0.1975	0.16286	0.00342	0.03121
1883	SLE frequente 3	0.20624	0.17021	0.00353	0.0325
1883	SLE frequente 4	0.21798	0.17993	0.00367	0.03438
1883	SLE quasi permanente 1	0.18577	0.15314	0.00329	0.02934
1883	SLE quasi permanente 2	0.19281	0.15898	0.00337	0.03046
1883	SLE quasi permanente 3	0.20624	0.17021	0.00353	0.0325
1883	SLE quasi permanente 4	0.21328	0.17604	0.00361	0.03363
1884	SLE rara 1	0.06785	0.0395	0.00063	0.02772
1884	SLE rara 2	0.06881	0.04007	0.00063	0.0281
1884	SLE rara 3	0.07614	0.04444	0.00068	0.03102
1884	SLE rara 4	0.07832	0.04574	0.00069	0.03189
1884	SLE rara 5	0.07969	0.04655	0.0007	0.03243
1884	SLE rara 6	0.08065	0.04712	0.00071	0.03281
1884	SLE rara 7	0.08797	0.05149	0.00075	0.03573
1884	SLE rara 8	0.09015	0.05279	0.00077	0.0366
1884	SLE frequente 1	0.06785	0.0395	0.00063	0.02772
1884	SLE frequente 2	0.07308	0.04262	0.00066	0.0298
1884	SLE frequente 3	0.07969	0.04655	0.0007	0.03243
1884	SLE frequente 4	0.08492	0.04967	0.00073	0.03451
1884	SLE quasi permanente 1	0.06785	0.0395	0.00063	0.02772
1884	SLE quasi permanente 2	0.07099	0.04137	0.00065	0.02897
1884	SLE quasi permanente 3	0.07969	0.04655	0.0007	0.03243
1884	SLE quasi permanente 4	0.08283	0.04842	0.00072	0.03368
1885	SLE rara 1	0.0685	0.03989	0.00063	0.02798
1885	SLE rara 2	0.06953	0.0405	0.00064	0.02839
1885	SLE rara 3	0.07726	0.04511	0.00069	0.03147
1885	SLE rara 4	0.07954	0.04647	0.0007	0.03238
1885	SLE rara 5	0.08126	0.04749	0.00071	0.03306
1885	SLE rara 6	0.08229	0.0481	0.00072	0.03347
1885	SLE rara 7	0.09002	0.05271	0.00076	0.03654
1885	SLE rara 8	0.0923	0.05407	0.00078	0.03745
1885	SLE frequente 1	0.0685	0.03989	0.00063	0.02798
1885	SLE frequente 2	0.07402	0.04318	0.00067	0.03018
1885	SLE frequente 3	0.08126	0.04749	0.00071	0.03306
1885	SLE frequente 4	0.08678	0.05078	0.00074	0.03525
1885	SLE quasi permanente 1	0.0685	0.03989	0.00063	0.02798
1885	SLE quasi permanente 2	0.07181	0.04186	0.00065	0.0293
1885	SLE quasi permanente 3	0.08126	0.04749	0.00071	0.03306
1885	SLE quasi permanente 4	0.08457	0.04946	0.00073	0.03438
1909	SLE rara 1	0.07299	0.04256	0.00066	0.02977
1909	SLE rara 2	0.07479	0.04364	0.00067	0.03048
1909	SLE rara 3	0.08743	0.05117	0.00075	0.03551
1909	SLE rara 4	0.09104	0.05332	0.00077	0.03695
1909	SLE rara 5	0.08749	0.05121	0.00075	0.03554
1909	SLE rara 6	0.08929	0.05228	0.00076	0.03625
1909	SLE rara 7	0.10193	0.05981	0.00084	0.04128
1909	SLE rara 8	0.10555	0.06196	0.00086	0.04272
1909	SLE frequente 1	0.07299	0.04256	0.00066	0.02977
1909	SLE frequente 2	0.08202	0.04794	0.00072	0.03336
1909	SLE frequente 3	0.08749	0.05121	0.00075	0.03554
1909	SLE frequente 4	0.09652	0.05659	0.0008	0.03913
1909	SLE quasi permanente 1	0.07299	0.04256	0.00066	0.02977
1909	SLE quasi permanente 2	0.07841	0.04579	0.00069	0.03192
1909	SLE quasi permanente 3	0.08749	0.05121	0.00075	0.03554
1909	SLE quasi permanente 4	0.09291	0.05443	0.00078	0.03769
1910	SLE rara 1	0.06977	0.04064	0.00064	0.02848
1910	SLE rara 2	0.07127	0.04154	0.00065	0.02908
1910	SLE rara 3	0.08099	0.04733	0.00071	0.03295
1910	SLE rara 4	0.08365	0.04892	0.00073	0.03401
1910	SLE rara 5	0.08204	0.04796	0.00072	0.03337
1910	SLE rara 6	0.08355	0.04885	0.00072	0.03397
1910	SLE rara 7	0.09327	0.05465	0.00078	0.03784
1910	SLE rara 8	0.09593	0.05623	0.0008	0.0389
1910	SLE frequente 1	0.06977	0.04064	0.00064	0.02848
1910	SLE frequente 2	0.07671	0.04478	0.00068	0.03125
1910	SLE frequente 3	0.08204	0.04796	0.00072	0.03337
1910	SLE frequente 4	0.08899	0.0521	0.00076	0.03613

RELAZIONE GEOTECNICA E SULLE FONDAZIONI

Nodo Indice	Contesto	Totale	Da carico laterale	Da carico punta	Da accorciamento
1910	SLE quasi permanente 1	0.06977	0.04064	0.00064	0.02848
1910	SLE quasi permanente 2	0.07393	0.04312	0.00067	0.03014
1910	SLE quasi permanente 3	0.08204	0.04796	0.00072	0.03337
1910	SLE quasi permanente 4	0.08621	0.05044	0.00074	0.03503
1962	SLE rara 1	0.205	0.17281	0.00382	0.02837
1962	SLE rara 2	0.2074	0.17487	0.00384	0.02869
1962	SLE rara 3	0.22327	0.18845	0.00404	0.03078
1962	SLE rara 4	0.22766	0.19221	0.0041	0.03136
1962	SLE rara 5	0.22652	0.19121	0.00408	0.03123
1962	SLE rara 6	0.22893	0.19327	0.00411	0.03155
1962	SLE rara 7	0.24479	0.20685	0.00431	0.03364
1962	SLE rara 8	0.24919	0.21061	0.00436	0.03422
1962	SLE frequente 1	0.205	0.17281	0.00382	0.02837
1962	SLE frequente 2	0.21633	0.18251	0.00396	0.02987
1962	SLE frequente 3	0.22652	0.19121	0.00408	0.03123
1962	SLE frequente 4	0.23785	0.20091	0.00422	0.03272
1962	SLE quasi permanente 1	0.205	0.17281	0.00382	0.02837
1962	SLE quasi permanente 2	0.2118	0.17863	0.0039	0.02927
1962	SLE quasi permanente 3	0.22652	0.19121	0.00408	0.03123
1962	SLE quasi permanente 4	0.23332	0.19703	0.00416	0.03213
1963	SLE rara 1	0.12969	0.10371	0.00235	0.02363
1963	SLE rara 2	0.1309	0.10471	0.00236	0.02383
1963	SLE rara 3	0.13909	0.11144	0.00245	0.02519
1963	SLE rara 4	0.14139	0.11333	0.00248	0.02558
1963	SLE rara 5	0.1423	0.11399	0.00249	0.02581
1963	SLE rara 6	0.14351	0.11499	0.0025	0.02601
1963	SLE rara 7	0.1517	0.12172	0.0026	0.02737
1963	SLE rara 8	0.15399	0.12361	0.00263	0.02776
1963	SLE frequente 1	0.12969	0.10371	0.00235	0.02363
1963	SLE frequente 2	0.13554	0.10852	0.00241	0.02461
1963	SLE frequente 3	0.1423	0.11399	0.00249	0.02581
1963	SLE frequente 4	0.14815	0.1188	0.00256	0.02679
1963	SLE quasi permanente 1	0.12969	0.10371	0.00235	0.02363
1963	SLE quasi permanente 2	0.1332	0.1066	0.00239	0.02422
1963	SLE quasi permanente 3	0.1423	0.11399	0.00249	0.02581
1963	SLE quasi permanente 4	0.14581	0.11688	0.00253	0.0264
1964	SLE rara 1	0.10952	0.08963	0.00235	0.01753
1964	SLE rara 2	0.11043	0.0904	0.00237	0.01767
1964	SLE rara 3	0.11566	0.0948	0.00243	0.01844
1964	SLE rara 4	0.11699	0.09591	0.00244	0.01863
1964	SLE rara 5	0.12026	0.09864	0.00248	0.01914
1964	SLE rara 6	0.12117	0.09941	0.00249	0.01927
1964	SLE rara 7	0.1264	0.1038	0.00255	0.02005
1964	SLE rara 8	0.12773	0.10492	0.00257	0.02024
1964	SLE frequente 1	0.10952	0.08963	0.00235	0.01753
1964	SLE frequente 2	0.11325	0.09277	0.0024	0.01808
1964	SLE frequente 3	0.12026	0.09864	0.00248	0.01914
1964	SLE frequente 4	0.12399	0.10178	0.00252	0.01969
1964	SLE quasi permanente 1	0.10952	0.08963	0.00235	0.01753
1964	SLE quasi permanente 2	0.11176	0.09152	0.00238	0.01786
1964	SLE quasi permanente 3	0.12026	0.09864	0.00248	0.01914
1964	SLE quasi permanente 4	0.1225	0.10052	0.00251	0.01947
1966	SLE rara 1	0.06588	0.05244	0.00163	0.01181
1966	SLE rara 2	0.06626	0.05276	0.00163	0.01186
1966	SLE rara 3	0.06803	0.05438	0.00166	0.012
1966	SLE rara 4	0.06841	0.05475	0.00166	0.012
1966	SLE rara 5	0.07043	0.05633	0.00168	0.01241
1966	SLE rara 6	0.07081	0.05665	0.00169	0.01247
1966	SLE rara 7	0.07258	0.05827	0.00171	0.0126
1966	SLE rara 8	0.07296	0.05864	0.00172	0.0126
1966	SLE frequente 1	0.06588	0.05244	0.00163	0.01181
1966	SLE frequente 2	0.06715	0.0536	0.00164	0.01191
1966	SLE frequente 3	0.07043	0.05633	0.00168	0.01241
1966	SLE frequente 4	0.07169	0.05749	0.0017	0.01251
1966	SLE quasi permanente 1	0.06588	0.05244	0.00163	0.01181
1966	SLE quasi permanente 2	0.06664	0.05314	0.00164	0.01187
1966	SLE quasi permanente 3	0.07043	0.05633	0.00168	0.01241
1966	SLE quasi permanente 4	0.07119	0.05702	0.00169	0.01247
1979	SLE rara 1	0.16465	0.12951	0.00268	0.03246
1979	SLE rara 2	0.16631	0.13083	0.0027	0.03278
1979	SLE rara 3	0.18092	0.14255	0.00287	0.0355
1979	SLE rara 4	0.18552	0.14626	0.00292	0.03634
1979	SLE rara 5	0.18315	0.14424	0.00289	0.03602
1979	SLE rara 6	0.18481	0.14556	0.00291	0.03635
1979	SLE rara 7	0.19941	0.15728	0.00307	0.03906
1979	SLE rara 8	0.20402	0.16099	0.00312	0.0399
1979	SLE frequente 1	0.16465	0.12951	0.00268	0.03246
1979	SLE frequente 2	0.17509	0.13789	0.0028	0.0344
1979	SLE frequente 3	0.18315	0.14424	0.00289	0.03602
1979	SLE frequente 4	0.19358	0.15262	0.00301	0.03796
1979	SLE quasi permanente 1	0.16465	0.12951	0.00268	0.03246
1979	SLE quasi permanente 2	0.17091	0.13454	0.00275	0.03362
1979	SLE quasi permanente 3	0.18315	0.14424	0.00289	0.03602
1979	SLE quasi permanente 4	0.18941	0.14927	0.00296	0.03719
1981	SLE rara 1	0.17963	0.14834	0.0032	0.02809
1981	SLE rara 2	0.18132	0.14976	0.00322	0.02834
1981	SLE rara 3	0.19596	0.16197	0.00339	0.0306
1981	SLE rara 4	0.20054	0.16579	0.00344	0.03131
1981	SLE rara 5	0.19806	0.16377	0.00342	0.03087
1981	SLE rara 6	0.19975	0.16519	0.00344	0.03113
1981	SLE rara 7	0.21439	0.1774	0.00361	0.03338
1981	SLE rara 8	0.21897	0.18121	0.00366	0.0341
1981	SLE frequente 1	0.17963	0.14834	0.0032	0.02809
1981	SLE frequente 2	0.19009	0.15707	0.00332	0.0297
1981	SLE frequente 3	0.19806	0.16377	0.00342	0.03087
1981	SLE frequente 4	0.20852	0.17249	0.00354	0.03249
1981	SLE quasi permanente 1	0.17963	0.14834	0.0032	0.02809
1981	SLE quasi permanente 2	0.1859	0.15358	0.00327	0.02905
1981	SLE quasi permanente 3	0.19806	0.16377	0.00342	0.03087
1981	SLE quasi permanente 4	0.20433	0.169	0.00349	0.03184

RELAZIONE GEOTECNICA E SULLE FONDAZIONI

Nodo Indice	Contesto	Totale	Da carico laterale	Da carico punta	Da accorciamento
1982	SLE rara 1	0.17874	0.14761	0.00319	0.02794
1982	SLE rara 2	0.18041	0.14901	0.00321	0.02819
1982	SLE rara 3	0.19481	0.16102	0.00338	0.03041
1982	SLE rara 4	0.1993	0.16476	0.00343	0.03111
1982	SLE rara 5	0.19698	0.16288	0.0034	0.0307
1982	SLE rara 6	0.19866	0.16428	0.00342	0.03095
1982	SLE rara 7	0.21305	0.17629	0.00359	0.03317
1982	SLE rara 8	0.21755	0.18004	0.00365	0.03386
1982	SLE frequente 1	0.17874	0.14761	0.00319	0.02794
1982	SLE frequente 2	0.18902	0.15619	0.00331	0.02953
1982	SLE frequente 3	0.19698	0.16288	0.0034	0.0307
1982	SLE frequente 4	0.20726	0.17146	0.00352	0.03228
1982	SLE quasi permanente 1	0.17874	0.14761	0.00319	0.02794
1982	SLE quasi permanente 2	0.18491	0.15276	0.00326	0.02889
1982	SLE quasi permanente 3	0.19698	0.16288	0.0034	0.0307
1982	SLE quasi permanente 4	0.20315	0.16803	0.00348	0.03165
1984	SLE rara 1	0.16236	0.12774	0.00266	0.03196
1984	SLE rara 2	0.16397	0.12903	0.00268	0.03227
1984	SLE rara 3	0.17796	0.14027	0.00283	0.03485
1984	SLE rara 4	0.18234	0.14381	0.00288	0.03565
1984	SLE rara 5	0.18038	0.14211	0.00286	0.03541
1984	SLE rara 6	0.182	0.14339	0.00288	0.03573
1984	SLE rara 7	0.19599	0.15464	0.00303	0.03831
1984	SLE rara 8	0.20037	0.15818	0.00308	0.0391
1984	SLE frequente 1	0.16236	0.12774	0.00266	0.03196
1984	SLE frequente 2	0.17235	0.13578	0.00277	0.0338
1984	SLE frequente 3	0.18038	0.14211	0.00286	0.03541
1984	SLE frequente 4	0.19037	0.15014	0.00297	0.03726
1984	SLE quasi permanente 1	0.16236	0.12774	0.00266	0.03196
1984	SLE quasi permanente 2	0.16835	0.13256	0.00273	0.03306
1984	SLE quasi permanente 3	0.18038	0.14211	0.00286	0.03541
1984	SLE quasi permanente 4	0.18638	0.14693	0.00293	0.03652
2044	SLE rara 1	0.15863	0.12505	0.00263	0.03095
2044	SLE rara 2	0.16062	0.12663	0.00265	0.03135
2044	SLE rara 3	0.17375	0.13704	0.00279	0.03392
2044	SLE rara 4	0.17739	0.13992	0.00283	0.03464
2044	SLE rara 5	0.1758	0.13873	0.00282	0.03426
2044	SLE rara 6	0.1778	0.14031	0.00284	0.03465
2044	SLE rara 7	0.19093	0.15072	0.00298	0.03723
2044	SLE rara 8	0.19456	0.1536	0.00302	0.03794
2044	SLE frequente 1	0.15863	0.12505	0.00263	0.03095
2044	SLE frequente 2	0.16801	0.13248	0.00273	0.03279
2044	SLE frequente 3	0.1758	0.13873	0.00282	0.03426
2044	SLE frequente 4	0.18518	0.14616	0.00292	0.0361
2044	SLE quasi permanente 1	0.15863	0.12505	0.00263	0.03095
2044	SLE quasi permanente 2	0.16425	0.12951	0.00269	0.03206
2044	SLE quasi permanente 3	0.1758	0.13873	0.00282	0.03426
2044	SLE quasi permanente 4	0.18143	0.14319	0.00288	0.03537
2048	SLE rara 1	0.19001	0.1601	0.00363	0.02628
2048	SLE rara 2	0.19197	0.16178	0.00365	0.02654
2048	SLE rara 3	0.20493	0.17291	0.00381	0.0282
2048	SLE rara 4	0.20853	0.17602	0.00386	0.02865
2048	SLE rara 5	0.20885	0.17625	0.00386	0.02874
2048	SLE rara 6	0.2108	0.17792	0.00389	0.029
2048	SLE rara 7	0.22376	0.18906	0.00405	0.03066
2048	SLE rara 8	0.22736	0.19216	0.00409	0.03111
2048	SLE frequente 1	0.19001	0.1601	0.00363	0.02628
2048	SLE frequente 2	0.19927	0.16806	0.00374	0.02747
2048	SLE frequente 3	0.20885	0.17625	0.00386	0.02874
2048	SLE frequente 4	0.2181	0.1842	0.00398	0.02992
2048	SLE quasi permanente 1	0.19001	0.1601	0.00363	0.02628
2048	SLE quasi permanente 2	0.19557	0.16488	0.0037	0.02699
2048	SLE quasi permanente 3	0.20885	0.17625	0.00386	0.02874
2048	SLE quasi permanente 4	0.2144	0.18102	0.00393	0.02945
2049	SLE rara 1	0.10038	0.07768	0.00196	0.02074
2049	SLE rara 2	0.10129	0.07839	0.00197	0.02093
2049	SLE rara 3	0.10603	0.08212	0.00202	0.02188
2049	SLE rara 4	0.10714	0.08301	0.00203	0.0221
2049	SLE rara 5	0.11078	0.08583	0.00207	0.02288
2049	SLE rara 6	0.11169	0.08654	0.00208	0.02307
2049	SLE rara 7	0.11642	0.09027	0.00213	0.02402
2049	SLE rara 8	0.11754	0.09116	0.00215	0.02424
2049	SLE frequente 1	0.10038	0.07768	0.00196	0.02074
2049	SLE frequente 2	0.10376	0.08035	0.002	0.02142
2049	SLE frequente 3	0.11078	0.08583	0.00207	0.02288
2049	SLE frequente 4	0.11416	0.08849	0.00211	0.02356
2049	SLE quasi permanente 1	0.10038	0.07768	0.00196	0.02074
2049	SLE quasi permanente 2	0.10241	0.07928	0.00198	0.02115
2049	SLE quasi permanente 3	0.11078	0.08583	0.00207	0.02288
2049	SLE quasi permanente 4	0.11281	0.08743	0.00209	0.02329
2050	SLE rara 1	0.08713	0.0707	0.00209	0.01434
2050	SLE rara 2	0.08772	0.0712	0.0021	0.01443
2050	SLE rara 3	0.08923	0.07247	0.00211	0.01465
2050	SLE rara 4	0.08929	0.07251	0.00211	0.01466
2050	SLE rara 5	0.0935	0.07603	0.00216	0.01531
2050	SLE rara 6	0.0941	0.07652	0.00217	0.0154
2050	SLE rara 7	0.09561	0.07779	0.00219	0.01563
2050	SLE rara 8	0.09566	0.07784	0.00219	0.01563
2050	SLE frequente 1	0.08713	0.0707	0.00209	0.01434
2050	SLE frequente 2	0.08821	0.07161	0.0021	0.0145
2050	SLE frequente 3	0.0935	0.07603	0.00216	0.01531
2050	SLE frequente 4	0.09458	0.07693	0.00218	0.01547
2050	SLE quasi permanente 1	0.08713	0.0707	0.00209	0.01434
2050	SLE quasi permanente 2	0.08777	0.07125	0.0021	0.01443
2050	SLE quasi permanente 3	0.0935	0.07603	0.00216	0.01531
2050	SLE quasi permanente 4	0.09415	0.07657	0.00217	0.01541
2057	SLE rara 1	0.18298	0.14958	0.00326	0.03013
2057	SLE rara 2	0.18474	0.15104	0.00328	0.03041
2057	SLE rara 3	0.19939	0.16335	0.00346	0.03258
2057	SLE rara 4	0.20391	0.16716	0.00352	0.03323

RELAZIONE GEOTECNICA E SULLE FONDAZIONI

Nodo Indice	Contesto	Totale	Da carico laterale	Da carico punta	Da accorciamento
2057	SLE rara 5	0.20202	0.16544	0.00349	0.03308
2057	SLE rara 6	0.20378	0.1669	0.00351	0.03336
2057	SLE rara 7	0.21843	0.17921	0.00369	0.03553
2057	SLE rara 8	0.22295	0.18302	0.00375	0.03618
2057	SLE frequente 1	0.18298	0.14958	0.00326	0.03013
2057	SLE frequente 2	0.19344	0.15837	0.00339	0.03168
2057	SLE frequente 3	0.20202	0.16544	0.00349	0.03308
2057	SLE frequente 4	0.21248	0.17423	0.00362	0.03463
2057	SLE quasi permanente 1	0.18298	0.14958	0.00326	0.03013
2057	SLE quasi permanente 2	0.18926	0.15485	0.00334	0.03106
2057	SLE quasi permanente 3	0.20202	0.16544	0.00349	0.03308
2057	SLE quasi permanente 4	0.2083	0.17072	0.00357	0.03401
2058	SLE rara 1	0.17547	0.14503	0.0032	0.02725
2058	SLE rara 2	0.1771	0.1464	0.00322	0.02749
2058	SLE rara 3	0.19029	0.15758	0.00338	0.02934
2058	SLE rara 4	0.19432	0.16099	0.00343	0.02989
2058	SLE rara 5	0.19275	0.15964	0.00341	0.02971
2058	SLE rara 6	0.19438	0.16101	0.00343	0.02994
2058	SLE rara 7	0.20757	0.17218	0.00359	0.03179
2058	SLE rara 8	0.21159	0.1756	0.00364	0.03235
2058	SLE frequente 1	0.17547	0.14503	0.0032	0.02725
2058	SLE frequente 2	0.1849	0.15301	0.00331	0.02857
2058	SLE frequente 3	0.19275	0.15964	0.00341	0.02971
2058	SLE frequente 4	0.20217	0.16762	0.00353	0.03103
2058	SLE quasi permanente 1	0.17547	0.14503	0.0032	0.02725
2058	SLE quasi permanente 2	0.18113	0.14982	0.00327	0.02804
2058	SLE quasi permanente 3	0.19275	0.15964	0.00341	0.02971
2058	SLE quasi permanente 4	0.1984	0.16443	0.00348	0.0305
2059	SLE rara 1	0.18114	0.14813	0.00324	0.02977
2059	SLE rara 2	0.18287	0.14957	0.00326	0.03004
2059	SLE rara 3	0.19702	0.16148	0.00344	0.03211
2059	SLE rara 4	0.20136	0.16515	0.00349	0.03272
2059	SLE rara 5	0.19979	0.16369	0.00347	0.03264
2059	SLE rara 6	0.20152	0.16512	0.00349	0.03291
2059	SLE rara 7	0.21568	0.17703	0.00366	0.03498
2059	SLE rara 8	0.22001	0.1807	0.00372	0.03559
2059	SLE frequente 1	0.18114	0.14813	0.00324	0.02977
2059	SLE frequente 2	0.19125	0.15664	0.00337	0.03124
2059	SLE frequente 3	0.19979	0.16369	0.00347	0.03264
2059	SLE frequente 4	0.2099	0.17219	0.00359	0.03412
2059	SLE quasi permanente 1	0.18114	0.14813	0.00324	0.02977
2059	SLE quasi permanente 2	0.1872	0.15323	0.00332	0.03065
2059	SLE quasi permanente 3	0.19979	0.16369	0.00347	0.03264
2059	SLE quasi permanente 4	0.20586	0.16879	0.00354	0.03352
2075	SLE rara 1	0.12127	0.07133	0.00096	0.04898
2075	SLE rara 2	0.1232	0.07248	0.00097	0.04975
2075	SLE rara 3	0.13595	0.08008	0.00105	0.05482
2075	SLE rara 4	0.13948	0.08219	0.00107	0.05623
2075	SLE rara 5	0.14508	0.08552	0.0011	0.05845
2075	SLE rara 6	0.14701	0.08667	0.00111	0.05922
2075	SLE rara 7	0.15976	0.09427	0.00119	0.0643
2075	SLE rara 8	0.16329	0.09638	0.00121	0.0657
2075	SLE frequente 1	0.12127	0.07133	0.00096	0.04898
2075	SLE frequente 2	0.13038	0.07676	0.00101	0.0526
2075	SLE frequente 3	0.14508	0.08552	0.0011	0.05845
2075	SLE frequente 4	0.15418	0.09095	0.00116	0.06208
2075	SLE quasi permanente 1	0.12127	0.07133	0.00096	0.04898
2075	SLE quasi permanente 2	0.12673	0.07459	0.00099	0.05115
2075	SLE quasi permanente 3	0.14508	0.08552	0.0011	0.05845
2075	SLE quasi permanente 4	0.15054	0.08878	0.00114	0.06063
2076	SLE rara 1	0.12271	0.07219	0.00097	0.04955
2076	SLE rara 2	0.12459	0.07331	0.00098	0.0503
2076	SLE rara 3	0.1372	0.08083	0.00105	0.05532
2076	SLE rara 4	0.14074	0.08293	0.00108	0.05673
2076	SLE rara 5	0.1454	0.08571	0.0011	0.05858
2076	SLE rara 6	0.14727	0.08683	0.00112	0.05933
2076	SLE rara 7	0.15989	0.09435	0.00119	0.06435
2076	SLE rara 8	0.16342	0.09645	0.00122	0.06575
2076	SLE frequente 1	0.12271	0.07219	0.00097	0.04955
2076	SLE frequente 2	0.13173	0.07756	0.00102	0.05314
2076	SLE frequente 3	0.1454	0.08571	0.0011	0.05858
2076	SLE frequente 4	0.15441	0.09108	0.00116	0.06217
2076	SLE quasi permanente 1	0.12271	0.07219	0.00097	0.04955
2076	SLE quasi permanente 2	0.12812	0.07542	0.001	0.05171
2076	SLE quasi permanente 3	0.1454	0.08571	0.0011	0.05858
2076	SLE quasi permanente 4	0.15081	0.08894	0.00114	0.06073
2092	SLE rara 1	0.12254	0.07209	0.00096	0.04948
2092	SLE rara 2	0.12441	0.07321	0.00098	0.05023
2092	SLE rara 3	0.1369	0.08065	0.00105	0.0552
2092	SLE rara 4	0.14038	0.08272	0.00107	0.05658
2092	SLE rara 5	0.14517	0.08557	0.0011	0.05849
2092	SLE rara 6	0.14704	0.08669	0.00111	0.05924
2092	SLE rara 7	0.15953	0.09413	0.00119	0.06421
2092	SLE rara 8	0.16301	0.09621	0.00121	0.06559
2092	SLE frequente 1	0.12254	0.07209	0.00096	0.04948
2092	SLE frequente 2	0.13146	0.07741	0.00102	0.05303
2092	SLE frequente 3	0.14517	0.08557	0.0011	0.05849
2092	SLE frequente 4	0.15409	0.09089	0.00116	0.06204
2092	SLE quasi permanente 1	0.12254	0.07209	0.00096	0.04948
2092	SLE quasi permanente 2	0.12789	0.07528	0.001	0.05161
2092	SLE quasi permanente 3	0.14517	0.08557	0.0011	0.05849
2092	SLE quasi permanente 4	0.15052	0.08876	0.00114	0.06062
2093	SLE rara 1	0.12358	0.07271	0.00097	0.0499
2093	SLE rara 2	0.12558	0.0739	0.00098	0.0507
2093	SLE rara 3	0.13861	0.08167	0.00106	0.05588
2093	SLE rara 4	0.14219	0.0838	0.00108	0.05731
2093	SLE rara 5	0.14793	0.08722	0.00112	0.05959
2093	SLE rara 6	0.14994	0.08842	0.00113	0.06039
2093	SLE rara 7	0.16297	0.09619	0.00121	0.06557
2093	SLE rara 8	0.16655	0.09832	0.00123	0.067

RELAZIONE GEOTECNICA E SULLE FONDAZIONI

Nodo Indice	Contesto	Totale	Da carico laterale	Da carico punta	Da accorciamento
2093	SLE frequente 1	0.12358	0.07271	0.00097	0.0499
2093	SLE frequente 2	0.13288	0.07826	0.00103	0.0536
2093	SLE frequente 3	0.14793	0.08722	0.00112	0.05959
2093	SLE frequente 4	0.15724	0.09277	0.00118	0.06329
2093	SLE quasi permanente 1	0.12358	0.07271	0.00097	0.0499
2093	SLE quasi permanente 2	0.12916	0.07604	0.001	0.05212
2093	SLE quasi permanente 3	0.14793	0.08722	0.00112	0.05959
2093	SLE quasi permanente 4	0.15352	0.09055	0.00115	0.06181
2127	SLE rara 1	0.09722	0.057	0.00081	0.03941
2127	SLE rara 2	0.09957	0.0584	0.00082	0.04035
2127	SLE rara 3	0.1166	0.06855	0.00093	0.04712
2127	SLE rara 4	0.12154	0.0715	0.00096	0.04909
2127	SLE rara 5	0.11687	0.06871	0.00093	0.04723
2127	SLE rara 6	0.11923	0.07012	0.00094	0.04817
2127	SLE rara 7	0.13626	0.08026	0.00105	0.05494
2127	SLE rara 8	0.1412	0.08321	0.00108	0.05691
2127	SLE frequente 1	0.09722	0.057	0.00081	0.03941
2127	SLE frequente 2	0.10938	0.06425	0.00088	0.04425
2127	SLE frequente 3	0.11687	0.06871	0.00093	0.04723
2127	SLE frequente 4	0.12903	0.07596	0.001	0.05207
2127	SLE quasi permanente 1	0.09722	0.057	0.00081	0.03941
2127	SLE quasi permanente 2	0.10451	0.06135	0.00085	0.04231
2127	SLE quasi permanente 3	0.11687	0.06871	0.00093	0.04723
2127	SLE quasi permanente 4	0.12417	0.07306	0.00097	0.05013
2128	SLE rara 1	0.06483	0.0377	0.00061	0.02652
2128	SLE rara 2	0.0661	0.03846	0.00062	0.02703
2128	SLE rara 3	0.07478	0.04363	0.00067	0.03048
2128	SLE rara 4	0.07723	0.04509	0.00069	0.03146
2128	SLE rara 5	0.07575	0.0442	0.00068	0.03086
2128	SLE rara 6	0.07701	0.04496	0.00068	0.03137
2128	SLE rara 7	0.08569	0.05013	0.00074	0.03482
2128	SLE rara 8	0.08814	0.05159	0.00075	0.0358
2128	SLE frequente 1	0.06483	0.0377	0.00061	0.02652
2128	SLE frequente 2	0.07103	0.0414	0.00065	0.02899
2128	SLE frequente 3	0.07575	0.0442	0.00068	0.03086
2128	SLE frequente 4	0.08195	0.0479	0.00071	0.03333
2128	SLE quasi permanente 1	0.06483	0.0377	0.00061	0.02652
2128	SLE quasi permanente 2	0.06855	0.03992	0.00063	0.028
2128	SLE quasi permanente 3	0.07575	0.0442	0.00068	0.03086
2128	SLE quasi permanente 4	0.07947	0.04642	0.0007	0.03234
2171	SLE rara 1	0.15207	0.12032	0.00256	0.02919
2171	SLE rara 2	0.15384	0.12174	0.00258	0.02951
2171	SLE rara 3	0.16551	0.1311	0.00271	0.03169
2171	SLE rara 4	0.16875	0.13369	0.00275	0.0323
2171	SLE rara 5	0.16768	0.1329	0.00274	0.03204
2171	SLE rara 6	0.16944	0.13432	0.00276	0.03237
2171	SLE rara 7	0.18112	0.14368	0.00289	0.03455
2171	SLE rara 8	0.18436	0.14627	0.00293	0.03516
2171	SLE frequente 1	0.15207	0.12032	0.00256	0.02919
2171	SLE frequente 2	0.16041	0.12701	0.00266	0.03075
2171	SLE frequente 3	0.16768	0.1329	0.00274	0.03204
2171	SLE frequente 4	0.17602	0.13959	0.00283	0.0336
2171	SLE quasi permanente 1	0.15207	0.12032	0.00256	0.02919
2171	SLE quasi permanente 2	0.15708	0.12433	0.00262	0.03012
2171	SLE quasi permanente 3	0.16768	0.1329	0.00274	0.03204
2171	SLE quasi permanente 4	0.17268	0.13691	0.00279	0.03298
2172	SLE rara 1	0.10833	0.08101	0.00176	0.02557
2172	SLE rara 2	0.10935	0.08178	0.00177	0.0258
2172	SLE rara 3	0.11604	0.0869	0.00184	0.0273
2172	SLE rara 4	0.11788	0.08831	0.00186	0.02771
2172	SLE rara 5	0.11886	0.08901	0.00187	0.02798
2172	SLE rara 6	0.11988	0.08979	0.00188	0.02821
2172	SLE rara 7	0.12656	0.0949	0.00195	0.02971
2172	SLE rara 8	0.12841	0.09632	0.00197	0.03012
2172	SLE frequente 1	0.10833	0.08101	0.00176	0.02557
2172	SLE frequente 2	0.11311	0.08466	0.00181	0.02664
2172	SLE frequente 3	0.11886	0.08901	0.00187	0.02798
2172	SLE frequente 4	0.12363	0.09267	0.00192	0.02905
2172	SLE quasi permanente 1	0.10833	0.08101	0.00176	0.02557
2172	SLE quasi permanente 2	0.1112	0.0832	0.00179	0.02621
2172	SLE quasi permanente 3	0.11886	0.08901	0.00187	0.02798
2172	SLE quasi permanente 4	0.12172	0.0912	0.0019	0.02862
2173	SLE rara 1	0.08238	0.06367	0.00176	0.01695
2173	SLE rara 2	0.08303	0.06419	0.00176	0.01708
2173	SLE rara 3	0.0848	0.0656	0.00178	0.01742
2173	SLE rara 4	0.0849	0.06569	0.00178	0.01743
2173	SLE rara 5	0.08925	0.06909	0.00183	0.01833
2173	SLE rara 6	0.0899	0.06961	0.00184	0.01846
2173	SLE rara 7	0.09167	0.07102	0.00185	0.0188
2173	SLE rara 8	0.09178	0.07111	0.00185	0.01881
2173	SLE frequente 1	0.08238	0.06367	0.00176	0.01695
2173	SLE frequente 2	0.08364	0.06468	0.00177	0.01719
2173	SLE frequente 3	0.08925	0.06909	0.00183	0.01833
2173	SLE frequente 4	0.09052	0.0701	0.00184	0.01857
2173	SLE quasi permanente 1	0.08238	0.06367	0.00176	0.01695
2173	SLE quasi permanente 2	0.08314	0.06428	0.00176	0.01709
2173	SLE quasi permanente 3	0.08925	0.06909	0.00183	0.01833
2173	SLE quasi permanente 4	0.09001	0.0697	0.00184	0.01847
2174	SLE rara 1	0.0515	0.04008	0.00124	0.01019
2174	SLE rara 2	0.05181	0.04034	0.00124	0.01023
2174	SLE rara 3	0.05156	0.0404	0.00124	0.00991
2174	SLE rara 4	0.05115	0.04016	0.00124	0.00974
2174	SLE rara 5	0.0544	0.04267	0.00128	0.01045
2174	SLE rara 6	0.0547	0.04294	0.00128	0.01049
2174	SLE rara 7	0.05445	0.04299	0.00128	0.01018
2174	SLE rara 8	0.05404	0.04276	0.00128	0.01001
2174	SLE frequente 1	0.0515	0.04008	0.00124	0.01019
2174	SLE frequente 2	0.05133	0.04012	0.00124	0.00997
2174	SLE frequente 3	0.0544	0.04267	0.00128	0.01045
2174	SLE frequente 4	0.05422	0.04271	0.00128	0.01023

RELAZIONE GEOTECNICA E SULLE FONDAZIONI

Nodo Indice	Contesto	Totale	Da carico laterale	Da carico punta	Da accorciamento
2174	SLE quasi permanente 1	0.0515	0.04008	0.00124	0.01019
2174	SLE quasi permanente 2	0.0514	0.0401	0.00124	0.01006
2174	SLE quasi permanente 3	0.0544	0.04267	0.00128	0.01045
2174	SLE quasi permanente 4	0.05429	0.0427	0.00128	0.01032
2251	SLE rara 1	0.10564	0.06202	0.00086	0.04276
2251	SLE rara 2	0.10778	0.06329	0.00087	0.04361
2251	SLE rara 3	0.12376	0.07282	0.00097	0.04997
2251	SLE rara 4	0.12847	0.07563	0.001	0.05185
2251	SLE rara 5	0.12588	0.07408	0.00098	0.05081
2251	SLE rara 6	0.12801	0.07535	0.001	0.05166
2251	SLE rara 7	0.14399	0.08487	0.0011	0.05802
2251	SLE rara 8	0.14871	0.08769	0.00112	0.0599
2251	SLE frequente 1	0.10564	0.06202	0.00086	0.04276
2251	SLE frequente 2	0.11706	0.06882	0.00093	0.0473
2251	SLE frequente 3	0.12588	0.07408	0.00098	0.05081
2251	SLE frequente 4	0.13729	0.08088	0.00105	0.05536
2251	SLE quasi permanente 1	0.10564	0.06202	0.00086	0.04276
2251	SLE quasi permanente 2	0.11249	0.0661	0.0009	0.04549
2251	SLE quasi permanente 3	0.12588	0.07408	0.00098	0.05081
2251	SLE quasi permanente 4	0.13273	0.07816	0.00103	0.05354
2252	SLE rara 1	0.06386	0.03712	0.0006	0.02613
2252	SLE rara 2	0.06506	0.03784	0.00061	0.02661
2252	SLE rara 3	0.07425	0.04331	0.00067	0.03027
2252	SLE rara 4	0.07698	0.04494	0.00068	0.03135
2252	SLE rara 5	0.07529	0.04393	0.00067	0.03068
2252	SLE rara 6	0.0765	0.04465	0.00068	0.03116
2252	SLE rara 7	0.08568	0.05013	0.00074	0.03482
2252	SLE rara 8	0.08841	0.05175	0.00075	0.0359
2252	SLE frequente 1	0.06386	0.03712	0.0006	0.02613
2252	SLE frequente 2	0.07042	0.04103	0.00064	0.02874
2252	SLE frequente 3	0.07529	0.04393	0.00067	0.03068
2252	SLE frequente 4	0.08185	0.04784	0.00071	0.03329
2252	SLE quasi permanente 1	0.06386	0.03712	0.0006	0.02613
2252	SLE quasi permanente 2	0.06779	0.03946	0.00063	0.0277
2252	SLE quasi permanente 3	0.07529	0.04393	0.00067	0.03068
2252	SLE quasi permanente 4	0.07923	0.04628	0.0007	0.03225
2254	SLE rara 1	0.07399	0.04316	0.00067	0.03017
2254	SLE rara 2	0.07483	0.04366	0.00067	0.0305
2254	SLE rara 3	0.08086	0.04726	0.00071	0.0329
2254	SLE rara 4	0.08261	0.0483	0.00072	0.0336
2254	SLE rara 5	0.08139	0.04757	0.00071	0.03311
2254	SLE rara 6	0.08223	0.04807	0.00072	0.03344
2254	SLE rara 7	0.08826	0.05167	0.00075	0.03585
2254	SLE rara 8	0.09001	0.05271	0.00076	0.03654
2254	SLE frequente 1	0.07399	0.04316	0.00067	0.03017
2254	SLE frequente 2	0.0783	0.04573	0.00069	0.03188
2254	SLE frequente 3	0.08139	0.04757	0.00071	0.03311
2254	SLE frequente 4	0.0857	0.05014	0.00074	0.03483
2254	SLE quasi permanente 1	0.07399	0.04316	0.00067	0.03017
2254	SLE quasi permanente 2	0.07658	0.0447	0.00068	0.0312
2254	SLE quasi permanente 3	0.08139	0.04757	0.00071	0.03311
2254	SLE quasi permanente 4	0.08398	0.04911	0.00073	0.03414
2257	SLE rara 1	0.10051	0.05896	0.00083	0.04072
2257	SLE rara 2	0.10239	0.06008	0.00084	0.04147
2257	SLE rara 3	0.1174	0.06903	0.00093	0.04744
2257	SLE rara 4	0.12195	0.07174	0.00096	0.04925
2257	SLE rara 5	0.11993	0.07054	0.00095	0.04845
2257	SLE rara 6	0.12181	0.07166	0.00096	0.0492
2257	SLE rara 7	0.13682	0.0806	0.00105	0.05517
2257	SLE rara 8	0.14137	0.08331	0.00108	0.05698
2257	SLE frequente 1	0.10051	0.05896	0.00083	0.04072
2257	SLE frequente 2	0.11123	0.06535	0.00089	0.04498
2257	SLE frequente 3	0.11993	0.07054	0.00095	0.04845
2257	SLE frequente 4	0.13065	0.07693	0.00101	0.05271
2257	SLE quasi permanente 1	0.10051	0.05896	0.00083	0.04072
2257	SLE quasi permanente 2	0.10694	0.0628	0.00087	0.04328
2257	SLE quasi permanente 3	0.11993	0.07054	0.00095	0.04845
2257	SLE quasi permanente 4	0.12636	0.07437	0.00099	0.05101
2258	SLE rara 1	0.07441	0.04341	0.00067	0.03033
2258	SLE rara 2	0.07582	0.04425	0.00068	0.03089
2258	SLE rara 3	0.08701	0.05092	0.00075	0.03535
2258	SLE rara 4	0.0904	0.05293	0.00077	0.03669
2258	SLE rara 5	0.08857	0.05184	0.00076	0.03597
2258	SLE rara 6	0.08997	0.05268	0.00076	0.03653
2258	SLE rara 7	0.10116	0.05935	0.00083	0.04098
2258	SLE rara 8	0.10455	0.06137	0.00085	0.04233
2258	SLE frequente 1	0.07441	0.04341	0.00067	0.03033
2258	SLE frequente 2	0.0824	0.04817	0.00072	0.03351
2258	SLE frequente 3	0.08857	0.05184	0.00076	0.03597
2258	SLE frequente 4	0.09656	0.05661	0.0008	0.03915
2258	SLE quasi permanente 1	0.07441	0.04341	0.00067	0.03033
2258	SLE quasi permanente 2	0.07921	0.04627	0.0007	0.03224
2258	SLE quasi permanente 3	0.08857	0.05184	0.00076	0.03597
2258	SLE quasi permanente 4	0.09336	0.0547	0.00079	0.03787
2259	SLE rara 1	0.09979	0.06796	0.0013	0.03054
2259	SLE rara 2	0.10129	0.06899	0.00131	0.03099
2259	SLE rara 3	0.11277	0.0769	0.00141	0.03446
2259	SLE rara 4	0.1162	0.07926	0.00144	0.03549
2259	SLE rara 5	0.11455	0.07819	0.00143	0.03493
2259	SLE rara 6	0.11605	0.07922	0.00144	0.03539
2259	SLE rara 7	0.12753	0.08713	0.00154	0.03885
2259	SLE rara 8	0.13096	0.0895	0.00157	0.03988
2259	SLE frequente 1	0.09979	0.06796	0.0013	0.03054
2259	SLE frequente 2	0.108	0.07361	0.00137	0.03301
2259	SLE frequente 3	0.11455	0.07819	0.00143	0.03493
2259	SLE frequente 4	0.12275	0.08384	0.0015	0.03741
2259	SLE quasi permanente 1	0.09979	0.06796	0.0013	0.03054
2259	SLE quasi permanente 2	0.10471	0.07135	0.00134	0.03202
2259	SLE quasi permanente 3	0.11455	0.07819	0.00143	0.03493
2259	SLE quasi permanente 4	0.11947	0.08158	0.00147	0.03642

RELAZIONE GEOTECNICA E SULLE FONDAZIONI

Nodo Indice	Contesto	Totale	Da carico laterale	Da carico punta	Da accorciamento
2274	SLE rara 1	0.18006	0.14873	0.00318	0.02815
2274	SLE rara 2	0.18254	0.1508	0.0032	0.02854
2274	SLE rara 3	0.20182	0.16684	0.00343	0.03155
2274	SLE rara 4	0.2076	0.17165	0.0035	0.03245
2274	SLE rara 5	0.20636	0.17069	0.00348	0.03219
2274	SLE rara 6	0.20884	0.17276	0.00351	0.03257
2274	SLE rara 7	0.22812	0.1888	0.00373	0.03559
2274	SLE rara 8	0.2339	0.19361	0.0038	0.03649
2274	SLE frequente 1	0.18006	0.14873	0.00318	0.02815
2274	SLE frequente 2	0.19383	0.16019	0.00334	0.0303
2274	SLE frequente 3	0.20636	0.17069	0.00348	0.03219
2274	SLE frequente 4	0.22013	0.18215	0.00364	0.03434
2274	SLE quasi permanente 1	0.18006	0.14873	0.00318	0.02815
2274	SLE quasi permanente 2	0.18832	0.15561	0.00327	0.02944
2274	SLE quasi permanente 3	0.20636	0.17069	0.00348	0.03219
2274	SLE quasi permanente 4	0.21462	0.17757	0.00358	0.03348
2285	SLE rara 1	0.14137	0.08331	0.00108	0.05698
2285	SLE rara 2	0.14372	0.08471	0.00109	0.05791
2285	SLE rara 3	0.16587	0.09791	0.00123	0.06673
2285	SLE rara 4	0.173	0.10216	0.00127	0.06957
2285	SLE rara 5	0.16924	0.09992	0.00125	0.06807
2285	SLE rara 6	0.17159	0.10132	0.00127	0.06901
2285	SLE rara 7	0.19374	0.11452	0.0014	0.07782
2285	SLE rara 8	0.20087	0.11877	0.00145	0.08066
2285	SLE frequente 1	0.14137	0.08331	0.00108	0.05698
2285	SLE frequente 2	0.15719	0.09274	0.00118	0.06327
2285	SLE frequente 3	0.16924	0.09992	0.00125	0.06807
2285	SLE frequente 4	0.18506	0.10935	0.00135	0.07436
2285	SLE quasi permanente 1	0.14137	0.08331	0.00108	0.05698
2285	SLE quasi permanente 2	0.15086	0.08897	0.00114	0.06075
2285	SLE quasi permanente 3	0.16924	0.09992	0.00125	0.06807
2285	SLE quasi permanente 4	0.17873	0.10558	0.00131	0.07184
2293	SLE rara 1	0.1508	0.12013	0.00251	0.02816
2293	SLE rara 2	0.15285	0.12176	0.00253	0.02856
2293	SLE rara 3	0.16904	0.13455	0.0027	0.03179
2293	SLE rara 4	0.17392	0.1384	0.00275	0.03277
2293	SLE rara 5	0.17326	0.13797	0.00275	0.03254
2293	SLE rara 6	0.17532	0.13961	0.00277	0.03294
2293	SLE rara 7	0.19151	0.1524	0.00294	0.03617
2293	SLE rara 8	0.19639	0.15625	0.00299	0.03715
2293	SLE frequente 1	0.1508	0.12013	0.00251	0.02816
2293	SLE frequente 2	0.16236	0.12926	0.00263	0.03047
2293	SLE frequente 3	0.17326	0.13797	0.00275	0.03254
2293	SLE frequente 4	0.18483	0.14711	0.00287	0.03485
2293	SLE quasi permanente 1	0.1508	0.12013	0.00251	0.02816
2293	SLE quasi permanente 2	0.15774	0.12561	0.00258	0.02955
2293	SLE quasi permanente 3	0.17326	0.13797	0.00275	0.03254
2293	SLE quasi permanente 4	0.1802	0.14345	0.00282	0.03393
2295	SLE rara 1	0.15506	0.12518	0.00251	0.02736
2295	SLE rara 2	0.15707	0.12685	0.00253	0.02768
2295	SLE rara 3	0.17266	0.13982	0.0027	0.03014
2295	SLE rara 4	0.17733	0.14371	0.00275	0.03086
2295	SLE rara 5	0.177	0.14339	0.00275	0.03087
2295	SLE rara 6	0.17902	0.14505	0.00277	0.03119
2295	SLE rara 7	0.19461	0.15802	0.00294	0.03364
2295	SLE rara 8	0.19927	0.16191	0.00299	0.03437
2295	SLE frequente 1	0.15506	0.12518	0.00251	0.02736
2295	SLE frequente 2	0.16619	0.13445	0.00263	0.02911
2295	SLE frequente 3	0.177	0.14339	0.00275	0.03087
2295	SLE frequente 4	0.18814	0.15265	0.00287	0.03262
2295	SLE quasi permanente 1	0.15506	0.12518	0.00251	0.02736
2295	SLE quasi permanente 2	0.16174	0.13074	0.00258	0.02841
2295	SLE quasi permanente 3	0.177	0.14339	0.00275	0.03087
2295	SLE quasi permanente 4	0.18368	0.14894	0.00282	0.03192
2297	SLE rara 1	0.06469	0.03762	0.00061	0.02647
2297	SLE rara 2	0.06521	0.03792	0.00061	0.02667
2297	SLE rara 3	0.06825	0.03974	0.00063	0.02788
2297	SLE rara 4	0.06904	0.04021	0.00064	0.0282
2297	SLE rara 5	0.06986	0.0407	0.00064	0.02852
2297	SLE rara 6	0.07037	0.041	0.00064	0.02873
2297	SLE rara 7	0.07342	0.04282	0.00066	0.02994
2297	SLE rara 8	0.07421	0.04329	0.00067	0.03025
2297	SLE frequente 1	0.06469	0.03762	0.00061	0.02647
2297	SLE frequente 2	0.06687	0.03891	0.00062	0.02733
2297	SLE frequente 3	0.06986	0.0407	0.00064	0.02852
2297	SLE frequente 4	0.07204	0.04199	0.00065	0.02939
2297	SLE quasi permanente 1	0.06469	0.03762	0.00061	0.02647
2297	SLE quasi permanente 2	0.066	0.0384	0.00062	0.02699
2297	SLE quasi permanente 3	0.06986	0.0407	0.00064	0.02852
2297	SLE quasi permanente 4	0.07117	0.04148	0.00065	0.02904
2310	SLE rara 1	0.20309	0.1719	0.00375	0.02744
2310	SLE rara 2	0.20555	0.17403	0.00378	0.02775
2310	SLE rara 3	0.22475	0.19061	0.00402	0.03013
2310	SLE rara 4	0.23051	0.19559	0.00409	0.03084
2310	SLE rara 5	0.2313	0.19618	0.00409	0.03102
2310	SLE rara 6	0.23376	0.19831	0.00412	0.03133
2310	SLE rara 7	0.25296	0.21489	0.00436	0.03371
2310	SLE rara 8	0.25872	0.21987	0.00443	0.03442
2310	SLE frequente 1	0.20309	0.1719	0.00375	0.02744
2310	SLE frequente 2	0.2168	0.18374	0.00392	0.02914
2310	SLE frequente 3	0.2313	0.19618	0.00409	0.03102
2310	SLE frequente 4	0.24501	0.20802	0.00426	0.03272
2310	SLE quasi permanente 1	0.20309	0.1719	0.00375	0.02744
2310	SLE quasi permanente 2	0.21132	0.17901	0.00385	0.02846
2310	SLE quasi permanente 3	0.2313	0.19618	0.00409	0.03102
2310	SLE quasi permanente 4	0.23952	0.20329	0.0042	0.03204
2333	SLE rara 1	0.08879	0.05198	0.00076	0.03606
2333	SLE rara 2	0.09002	0.05271	0.00076	0.03655
2333	SLE rara 3	0.10317	0.06055	0.00085	0.04178
2333	SLE rara 4	0.10757	0.06317	0.00087	0.04353

RELAZIONE GEOTECNICA E SULLE FONDAZIONI

Nodo Indice	Contesto	Totale	Da carico laterale	Da carico punta	Da accorciamento
2333	SLE rara 5	0.1052	0.06176	0.00086	0.04259
2333	SLE rara 6	0.10643	0.06249	0.00087	0.04308
2333	SLE rara 7	0.11957	0.07032	0.00095	0.04831
2333	SLE rara 8	0.12398	0.07295	0.00097	0.05006
2333	SLE frequente 1	0.08879	0.05198	0.00076	0.03606
2333	SLE frequente 2	0.09818	0.05758	0.00081	0.03979
2333	SLE frequente 3	0.1052	0.06176	0.00086	0.04259
2333	SLE frequente 4	0.11459	0.06735	0.00092	0.04632
2333	SLE quasi permanente 1	0.08879	0.05198	0.00076	0.03606
2333	SLE quasi permanente 2	0.09443	0.05534	0.00079	0.0383
2333	SLE quasi permanente 3	0.1052	0.06176	0.00086	0.04259
2333	SLE quasi permanente 4	0.11084	0.06512	0.00089	0.04483
2334	SLE rara 1	0.08909	0.06217	0.00124	0.02569
2334	SLE rara 2	0.09022	0.06296	0.00124	0.02601
2334	SLE rara 3	0.09995	0.06974	0.00133	0.02888
2334	SLE rara 4	0.103	0.07186	0.00136	0.02979
2334	SLE rara 5	0.10307	0.07199	0.00136	0.02971
2334	SLE rara 6	0.10419	0.07278	0.00137	0.03004
2334	SLE rara 7	0.11393	0.07957	0.00145	0.03291
2334	SLE rara 8	0.11697	0.08168	0.00148	0.03381
2334	SLE frequente 1	0.08909	0.06217	0.00124	0.02569
2334	SLE frequente 2	0.09605	0.06701	0.0013	0.02774
2334	SLE frequente 3	0.10307	0.07199	0.00136	0.02971
2334	SLE frequente 4	0.11002	0.07684	0.00142	0.03176
2334	SLE quasi permanente 1	0.08909	0.06217	0.00124	0.02569
2334	SLE quasi permanente 2	0.09327	0.06508	0.00127	0.02692
2334	SLE quasi permanente 3	0.10307	0.07199	0.00136	0.02971
2334	SLE quasi permanente 4	0.10724	0.0749	0.0014	0.03094
2355	SLE rara 1	0.17042	0.13873	0.00308	0.02861
2355	SLE rara 2	0.17231	0.14028	0.0031	0.02893
2355	SLE rara 3	0.18758	0.15273	0.00328	0.03157
2355	SLE rara 4	0.19223	0.15653	0.00333	0.03238
2355	SLE rara 5	0.19407	0.15808	0.00335	0.03263
2355	SLE rara 6	0.19596	0.15963	0.00338	0.03295
2355	SLE rara 7	0.21122	0.17208	0.00355	0.03559
2355	SLE rara 8	0.21588	0.17588	0.00361	0.0364
2355	SLE frequente 1	0.17042	0.13873	0.00308	0.02861
2355	SLE frequente 2	0.18133	0.14763	0.00321	0.03049
2355	SLE frequente 3	0.19407	0.15808	0.00335	0.03263
2355	SLE frequente 4	0.20498	0.16698	0.00348	0.03452
2355	SLE quasi permanente 1	0.17042	0.13873	0.00308	0.02861
2355	SLE quasi permanente 2	0.17697	0.14407	0.00316	0.02974
2355	SLE quasi permanente 3	0.19407	0.15808	0.00335	0.03263
2355	SLE quasi permanente 4	0.20061	0.16342	0.00343	0.03376
2357	SLE rara 1	0.18697	0.15716	0.00359	0.02622
2357	SLE rara 2	0.18866	0.15859	0.00361	0.02645
2357	SLE rara 3	0.20091	0.16905	0.00376	0.02809
2357	SLE rara 4	0.20447	0.17209	0.00381	0.02857
2357	SLE rara 5	0.20835	0.17541	0.00386	0.02908
2357	SLE rara 6	0.21004	0.17685	0.00388	0.02931
2357	SLE rara 7	0.22229	0.1873	0.00403	0.03096
2357	SLE rara 8	0.22585	0.19035	0.00407	0.03143
2357	SLE frequente 1	0.18697	0.15716	0.00359	0.02622
2357	SLE frequente 2	0.19572	0.16463	0.0037	0.02739
2357	SLE frequente 3	0.20835	0.17541	0.00386	0.02908
2357	SLE frequente 4	0.2171	0.18288	0.00396	0.03026
2357	SLE quasi permanente 1	0.18697	0.15716	0.00359	0.02622
2357	SLE quasi permanente 2	0.19222	0.16164	0.00366	0.02692
2357	SLE quasi permanente 3	0.20835	0.17541	0.00386	0.02908
2357	SLE quasi permanente 4	0.2136	0.17989	0.00392	0.02979
2358	SLE rara 1	0.10131	0.07669	0.00171	0.02291
2358	SLE rara 2	0.10195	0.0772	0.00172	0.02303
2358	SLE rara 3	0.10541	0.08016	0.00176	0.02349
2358	SLE rara 4	0.10626	0.08091	0.00177	0.02357
2358	SLE rara 5	0.1095	0.08335	0.00181	0.02435
2358	SLE rara 6	0.11014	0.08387	0.00181	0.02446
2358	SLE rara 7	0.1136	0.08682	0.00186	0.02492
2358	SLE rara 8	0.11445	0.08757	0.00187	0.025
2358	SLE frequente 1	0.10131	0.07669	0.00171	0.02291
2358	SLE frequente 2	0.10378	0.0788	0.00174	0.02324
2358	SLE frequente 3	0.1095	0.08335	0.00181	0.02435
2358	SLE frequente 4	0.11198	0.08546	0.00184	0.02468
2358	SLE quasi permanente 1	0.10131	0.07669	0.00171	0.02291
2358	SLE quasi permanente 2	0.1028	0.07796	0.00173	0.02311
2358	SLE quasi permanente 3	0.1095	0.08335	0.00181	0.02435
2358	SLE quasi permanente 4	0.11099	0.08462	0.00182	0.02454
2382	SLE rara 1	0.14216	0.11219	0.00242	0.02755
2382	SLE rara 2	0.14346	0.11324	0.00244	0.02779
2382	SLE rara 3	0.15342	0.12116	0.00254	0.02971
2382	SLE rara 4	0.15639	0.12352	0.00258	0.03029
2382	SLE rara 5	0.15941	0.12592	0.00261	0.03088
2382	SLE rara 6	0.16071	0.12696	0.00262	0.03112
2382	SLE rara 7	0.17067	0.13489	0.00273	0.03305
2382	SLE rara 8	0.17363	0.13724	0.00276	0.03363
2382	SLE frequente 1	0.14216	0.11219	0.00242	0.02755
2382	SLE frequente 2	0.14928	0.11786	0.0025	0.02892
2382	SLE frequente 3	0.15941	0.12592	0.00261	0.03088
2382	SLE frequente 4	0.16652	0.13158	0.00269	0.03225
2382	SLE quasi permanente 1	0.14216	0.11219	0.00242	0.02755
2382	SLE quasi permanente 2	0.14643	0.11559	0.00247	0.02837
2382	SLE quasi permanente 3	0.15941	0.12592	0.00261	0.03088
2382	SLE quasi permanente 4	0.16368	0.12932	0.00265	0.0317
2383	SLE rara 1	0.12949	0.10398	0.00233	0.02318
2383	SLE rara 2	0.13041	0.10475	0.00235	0.02331
2383	SLE rara 3	0.13636	0.10984	0.00242	0.02409
2383	SLE rara 4	0.13798	0.11125	0.00244	0.02429
2383	SLE rara 5	0.14187	0.1143	0.00248	0.02509
2383	SLE rara 6	0.1428	0.11507	0.00249	0.02523
2383	SLE rara 7	0.14874	0.12016	0.00257	0.02601
2383	SLE rara 8	0.15037	0.12157	0.00259	0.02621

RELAZIONE GEOTECNICA E SULLE FONDAZIONI

Nodo Indice	Contesto	Totale	Da carico laterale	Da carico punta	Da accorciamento
2383	SLE frequente 1	0.12949	0.10398	0.00233	0.02318
2383	SLE frequente 2	0.13373	0.10761	0.00239	0.02373
2383	SLE frequente 3	0.14187	0.1143	0.00248	0.02509
2383	SLE frequente 4	0.14612	0.11793	0.00253	0.02565
2383	SLE quasi permanente 1	0.12949	0.10398	0.00233	0.02318
2383	SLE quasi permanente 2	0.13204	0.10616	0.00237	0.02351
2383	SLE quasi permanente 3	0.14187	0.1143	0.00248	0.02509
2383	SLE quasi permanente 4	0.14442	0.11648	0.00251	0.02543
2396	SLE rara 1	0.13731	0.08089	0.00105	0.05536
2396	SLE rara 2	0.13909	0.08195	0.00107	0.05607
2396	SLE rara 3	0.16033	0.09461	0.0012	0.06452
2396	SLE rara 4	0.16765	0.09897	0.00124	0.06744
2396	SLE rara 5	0.16324	0.09635	0.00121	0.06568
2396	SLE rara 6	0.16502	0.09741	0.00123	0.06639
2396	SLE rara 7	0.18626	0.11006	0.00136	0.07484
2396	SLE rara 8	0.19359	0.11443	0.0014	0.07776
2396	SLE frequente 1	0.13731	0.08089	0.00105	0.05536
2396	SLE frequente 2	0.15248	0.08993	0.00115	0.0614
2396	SLE frequente 3	0.16324	0.09635	0.00121	0.06568
2396	SLE frequente 4	0.17841	0.10539	0.00131	0.07172
2396	SLE quasi permanente 1	0.13731	0.08089	0.00105	0.05536
2396	SLE quasi permanente 2	0.14641	0.08632	0.00111	0.05898
2396	SLE quasi permanente 3	0.16324	0.09635	0.00121	0.06568
2396	SLE quasi permanente 4	0.17235	0.10177	0.00127	0.0693
2398	SLE rara 1	0.08118	0.04744	0.00071	0.03303
2398	SLE rara 2	0.08208	0.04798	0.00072	0.03338
2398	SLE rara 3	0.09261	0.05426	0.00078	0.03758
2398	SLE rara 4	0.09624	0.05642	0.0008	0.03902
2398	SLE rara 5	0.09448	0.05537	0.00079	0.03832
2398	SLE rara 6	0.09538	0.0559	0.0008	0.03868
2398	SLE rara 7	0.10592	0.06218	0.00086	0.04287
2398	SLE rara 8	0.10954	0.06434	0.00088	0.04431
2398	SLE frequente 1	0.08118	0.04744	0.00071	0.03303
2398	SLE frequente 2	0.08871	0.05193	0.00076	0.03602
2398	SLE frequente 3	0.09448	0.05537	0.00079	0.03832
2398	SLE frequente 4	0.10201	0.05986	0.00084	0.04132
2398	SLE quasi permanente 1	0.08118	0.04744	0.00071	0.03303
2398	SLE quasi permanente 2	0.0857	0.05014	0.00074	0.03482
2398	SLE quasi permanente 3	0.09448	0.05537	0.00079	0.03832
2398	SLE quasi permanente 4	0.099	0.05806	0.00082	0.04012
2399	SLE rara 1	0.06184	0.03592	0.00059	0.02533
2399	SLE rara 2	0.06235	0.03622	0.00059	0.02553
2399	SLE rara 3	0.06717	0.0391	0.00062	0.02745
2399	SLE rara 4	0.06873	0.04002	0.00063	0.02807
2399	SLE rara 5	0.06968	0.04059	0.00064	0.02845
2399	SLE rara 6	0.07019	0.04089	0.00064	0.02865
2399	SLE rara 7	0.07501	0.04377	0.00067	0.03057
2399	SLE rara 8	0.07657	0.0447	0.00068	0.03119
2399	SLE frequente 1	0.06184	0.03592	0.00059	0.02533
2399	SLE frequente 2	0.06528	0.03797	0.00061	0.0267
2399	SLE frequente 3	0.06968	0.04059	0.00064	0.02845
2399	SLE frequente 4	0.07312	0.04264	0.00066	0.02982
2399	SLE quasi permanente 1	0.06184	0.03592	0.00059	0.02533
2399	SLE quasi permanente 2	0.0639	0.03715	0.0006	0.02615
2399	SLE quasi permanente 3	0.06968	0.04059	0.00064	0.02845
2399	SLE quasi permanente 4	0.07174	0.04182	0.00065	0.02927
2401	SLE rara 1	0.14217	0.08379	0.00108	0.0573
2401	SLE rara 2	0.14377	0.08474	0.00109	0.05793
2401	SLE rara 3	0.16192	0.09556	0.00121	0.06516
2401	SLE rara 4	0.16811	0.09925	0.00124	0.06762
2401	SLE rara 5	0.16558	0.09774	0.00123	0.06661
2401	SLE rara 6	0.16718	0.09869	0.00124	0.06725
2401	SLE rara 7	0.18533	0.10951	0.00135	0.07447
2401	SLE rara 8	0.19152	0.1132	0.00139	0.07693
2401	SLE frequente 1	0.14217	0.08379	0.00108	0.0573
2401	SLE frequente 2	0.15514	0.09152	0.00116	0.06246
2401	SLE frequente 3	0.16558	0.09774	0.00123	0.06661
2401	SLE frequente 4	0.17855	0.10547	0.00131	0.07177
2401	SLE quasi permanente 1	0.14217	0.08379	0.00108	0.0573
2401	SLE quasi permanente 2	0.14995	0.08843	0.00113	0.06039
2401	SLE quasi permanente 3	0.16558	0.09774	0.00123	0.06661
2401	SLE quasi permanente 4	0.17336	0.10238	0.00128	0.06971
2402	SLE rara 1	0.1086	0.06378	0.00088	0.04394
2402	SLE rara 2	0.10938	0.06425	0.00088	0.04425
2402	SLE rara 3	0.11617	0.0683	0.00093	0.04695
2402	SLE rara 4	0.1183	0.06957	0.00094	0.0478
2402	SLE rara 5	0.12105	0.0712	0.00096	0.04889
2402	SLE rara 6	0.12183	0.07167	0.00096	0.0492
2402	SLE rara 7	0.12862	0.07572	0.001	0.05191
2402	SLE rara 8	0.13075	0.07698	0.00101	0.05275
2402	SLE frequente 1	0.1086	0.06378	0.00088	0.04394
2402	SLE frequente 2	0.11345	0.06667	0.00091	0.04587
2402	SLE frequente 3	0.12105	0.0712	0.00096	0.04889
2402	SLE frequente 4	0.1259	0.07409	0.00098	0.05082
2402	SLE quasi permanente 1	0.1086	0.06378	0.00088	0.04394
2402	SLE quasi permanente 2	0.11151	0.06552	0.0009	0.0451
2402	SLE quasi permanente 3	0.12105	0.0712	0.00096	0.04889
2402	SLE quasi permanente 4	0.12396	0.07294	0.00097	0.05005
2405	SLE rara 1	0.1198	0.07046	0.00095	0.0484
2405	SLE rara 2	0.12094	0.07114	0.00095	0.04885
2405	SLE rara 3	0.1324	0.07797	0.00102	0.05341
2405	SLE rara 4	0.13617	0.08021	0.00105	0.05491
2405	SLE rara 5	0.13588	0.08004	0.00105	0.05479
2405	SLE rara 6	0.13702	0.08072	0.00105	0.05525
2405	SLE rara 7	0.14848	0.08755	0.00112	0.05981
2405	SLE rara 8	0.15224	0.08979	0.00115	0.0613
2405	SLE frequente 1	0.1198	0.07046	0.00095	0.0484
2405	SLE frequente 2	0.12798	0.07534	0.001	0.05165
2405	SLE frequente 3	0.13588	0.08004	0.00105	0.05479
2405	SLE frequente 4	0.14406	0.08492	0.0011	0.05805

RELAZIONE GEOTECNICA E SULLE FONDAZIONI

Nodo Indice	Contesto	Totale	Da carico laterale	Da carico punta	Da accorciamento
2405	SLE quasi permanente 1	0.1198	0.07046	0.00095	0.0484
2405	SLE quasi permanente 2	0.12471	0.07338	0.00098	0.05035
2405	SLE quasi permanente 3	0.13588	0.08004	0.00105	0.05479
2405	SLE quasi permanente 4	0.14079	0.08296	0.00108	0.05675
2406	SLE rara 1	0.10668	0.06264	0.00087	0.04317
2406	SLE rara 2	0.10745	0.0631	0.00087	0.04348
2406	SLE rara 3	0.1142	0.06712	0.00091	0.04617
2406	SLE rara 4	0.11633	0.06839	0.00093	0.04701
2406	SLE rara 5	0.11806	0.06942	0.00094	0.0477
2406	SLE rara 6	0.11883	0.06988	0.00094	0.04801
2406	SLE rara 7	0.12559	0.07391	0.00098	0.0507
2406	SLE rara 8	0.12772	0.07518	0.001	0.05154
2406	SLE frequente 1	0.10668	0.06264	0.00087	0.04317
2406	SLE frequente 2	0.1115	0.06551	0.0009	0.04509
2406	SLE frequente 3	0.11806	0.06942	0.00094	0.0477
2406	SLE frequente 4	0.12289	0.0723	0.00097	0.04962
2406	SLE quasi permanente 1	0.10668	0.06264	0.00087	0.04317
2406	SLE quasi permanente 2	0.10957	0.06436	0.00088	0.04433
2406	SLE quasi permanente 3	0.11806	0.06942	0.00094	0.0477
2406	SLE quasi permanente 4	0.12096	0.07115	0.00095	0.04886

7 Conclusioni

A conclusione di quanto relazionato si riscontra che (vedi tabulati di calcolo) la compressione estrema massima è minore della resistenza di progetto, E' appena il caso di evidenziare che tutti i valori di pressione trasmessi dalla struttura in elevazione al terreno di fondazione risultano inferiori rispetto ai valori di resistenza del sistema stesso (risulta sempre verificata la condizione $E_d \leq R_d$). Inoltre i cedimenti rientrano tra quelli ammissibili per il sistema terreno-fondazione adottato.

Il progettista strutturale